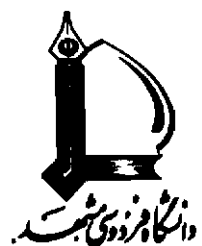


بِسْمِ اللّٰهِ الرَّحْمٰنِ الرَّحِيْمِ





انتشارات دانشگاه فردوسی (مشهد) شماره ۱۱۰

مباحث بنیادی

# تحلیل سازه‌ها

تألیف

نویس، ویلبر، (او تکو)

ترجمة

فریدون ایرانی

## فهرست مطالب

پانزده	پیشگفتار مترجم
۱	مقدمه مؤلفین
۳	پیشگفتار
۴	تاریخچه
۱۲	پروژه‌های مربوط به سازه‌های مهندسی
۱۳	فلسفه طرح سازه‌ها
۱۷	مصالح ساختمانی
۲۲	انواع نارسانی‌ها و گسیختگی‌های سازه‌ها
۲۵	شکل‌های سازه‌ها
۲۶	سازه‌های کابلی
۲۵	تحلیل رفتار سازه‌ها
۴۰	درگیری‌ها و مسئولیت‌های حرف مهندسی
	فصل اول " مقدمه "
۴۱	۱ - سازه‌های مهندسی
۴۲	۲ - طرح سازه‌ها
۴۳	۳ - بارهای مرده
۴۴	۴ - بارهای زنده - کلیات
۴۵	۵ - بارهای زنده برای پلهای جاده

۴۶	۱-۶ بارهای زنده پلهای راه آهن
۴۷	۲-۱ بارهای زنده ساختمانها
۴۸	۳-۱ ضربه
۵۱	۴-۱ بارهای حاصل از برف و بیخ
۵۲	۵-۱ بارهای جانبی - کلیات
۵۲	۶-۱ بارهای حاصل از باد
۵۴	۷-۱ فشار خاک
۵۵	۸-۱ فشار آب ساکن
۵۷	۹-۱ نیروهای حاصل از زلزله
۵۷	۱۰-۱ نیروهای گریز از مرکز
۵۸	۱۱-۱ نیروهای طولی
۵۸	۱۲-۱ نیروهای ناشی از تغییر دما
۵۹	۱۳-۱ ساخت تیر ورق ها
۶۰	۱۴-۱ ساخت خرپاها
۶۱	۱۵-۱ اجرای تیررسی کف ها
۶۳	۱۶-۱ باریندها و مهاری ها
۶۴	۱۷-۱ تنش های مجاز
۶۷	۱۸-۱ ضریب اطمینان
۶۸	۱۹-۱ سازه های واقعی و حقیقی
۶۹	۲۰-۱ مسائل

### فصل دوم " عکس العملها "

۲۳	۱-۲ تعاریف
۲۴	۲-۲ کلیات - تکیه گاههای قراردادی
۲۷	۳-۲ معادلات تعادل استاتیکی - سازه های مستوی
۲۸	۴-۲ معادلات خاص سازه ها
۲	۵-۲ پایداری و ناپایداری استاتیکی - سازه های معین و نامعین بدون در نظر گرفتن معادلات خاص سازه ها
۲۹	۶-۲ پایداری و معین بودن سازه ها با در نظر گرفتن معادلات خاص آنها

۸۳	۲ - ۷ نمودار پیکر آزاد
۸۴	۲ - ۸ محاسبه عکس العملها
۸۷	۲ - ۹ محاسبه عکس العملها - با در نظر گرفتن معادلات خاص سازه ها
۸۹	۲ - ۱۰ مثالهایی برای دسته بندی (سازه ها)
۹۳	۲ - ۱۱ مثالهای عددی برای محاسبه عکس العملها
۱۰۰	۲ - ۱۲ اصل جمع آثار
۱۰۲	۲ - ۱۳ سائل

### فصل سوم " تلاش برشی و لنگر خمشی "

۱۰۷	۳ - ۱ کلیات
۱۰۷	۳ - ۲ تعیین تنش در تیرها
۱۰۹	۳ - ۳ تعاریف برش و لنگر خمشی ، علامت گذاری
۱۱۱	۳ - ۴ روش محاسبه برش و لنگر خمشی
۱۱۳	۳ - ۵ منحنی های برش و لنگر خمشی
۱۱۵	۳ - ۶ روابط موجود بین بار ، برش و لنگر خمشی
۱۱۸	۳ - ۷ نمودارهای برش و لنگر خمشی
۱۱۹	۳ - ۸ مثالهای عددی - تیرهای معین
۱۲۲	۳ - ۹ مثالهای عددی - شاه تیر با تیر ریزی کف
۱۲۰	۳ - ۱۰ مثالهای عددی - تیرهای نامعین
۱۲۲	۳ - ۱۱ سائل

### فصل چهارم " خرپاها یا شبکه های مستوی "

۱۳۷	۴ - ۱ کلیات - تعاریف
۱۳۸	۴ - ۲ خرپاهای موجود ایده آل
۱۳۹	۴ - ۳ ترتیب اعضاء یک خرپا
۱۴۲	۴ - ۴ علام قراردادی در تعیین تنش خرپاها
۱۴۵	۴ - ۵ نظریه تحلیل تنش خرپاها
۱۴۹	۴ - ۶ کاربرد روش گرهها و روش مقاطع
۱۶۱	۴ - ۷ بحث روش گرهها و روش مقاطع

۱۶۳	۴-۸ پایداری استاتیکی و معین بودن خرپاها
۱۶۷	۹-۴ مثالهای در شرح تعیین معینی و پایداری
۱۷۱	۱۰-۴ خرپاهای متداول پلها و سقفها
۱۷۲	۱۱-۴ مثالهای عددی برای تحلیل تنش خرپاهای معین
۱۷۸	۱۲-۴ حالات استنایی
۱۸۰	۱۳-۴ قابهای صلب
۱۸۴	۱۴-۴ مسائل

### فصل پنجم "ایستایی ترسیمی

۱۹۳	۱-۵ مقدمه
۱۹۳	۲-۵ تعاریف
۱۹۵	۳-۵ ترکیب و تجزیه نیروها
۱۹۸	۴-۵ برآیند چند نیرو در یک صفحه - کثیرالاصلع نیروها
۱۹۹	۵-۵ شرایط تعادل برای دستگاه نیروهای متقارب و نامتقارب
۲۰۰	۶-۵ تعیین عکس العملها بروش سه نیرو
۲۰۱	۷-۵ کثیرالاصلع (تعادل) فونیکولر
۲۰۴	۸-۵ استفاده از کثیرالاصلع فونیکولر در تعیین عکس العملها
۲۰۵	۹-۵ رسم کثیرالاصلع فونیکولر از یک، دو یا سه نقطه معلوم
۲۰۸	۱۰-۵ تعیین ترسیمی برش و لنگر خمشی
۲۱۲	۱۱-۵ نیروی میله‌ها در خریاها - نمودار ماسوئل - علائم با و
۲۱۵	۱۲-۵ چند حالت مبهم - خرپای پوششی فینک
۲۱۶	۱۳-۵ عکس العملها و نیروی میله‌ها در قوس‌های سه‌مفصل
۲۱۷	۱۴-۵ مسائل

### فصل ششم "خطوط تأثیر"

۲۲۳	۱-۶ مقدمه
۲۲۴	۲-۶ شرح تغییر تنش بر حسب موقعیت بار
۲۲۵	۳-۶ خط تأثیر - تعریف
۲۲۶	۴-۶ خصوصیات خط تأثیر

۲۳۰	۶-۵ رسم خطوط تأشیر تیرها
۲۳۲	۶-۶ خطوط تأشیر شاهتیرها با تیر ریزی کف
۲۳۵	۶-۷ شرح خطوط تأشیر شاهتیرها با تیر ریزی کف
۲۳۸	۶-۸ سری بارهای متمنکر زنده - استفاده از نمودار لنگر
۲۴۰	۶-۹ سری بارهای زنده متمنکر - محاسبه لنگر حداقل
۲۴۳	۶-۱۰ سری بارهای زنده متمنکر - محاسبه برش حداقل
۲۴۵	۶-۱۱ برش حداقل مطلق حاصل از بارهای زنده
۲۴۵	۶-۱۲ لنگر حداقل مطلق حاصل از بارهای زنده
۲۴۸	۶-۱۳ خطوط تأشیر خرپاها - کلیات
۲۴۸	۶-۱۴ خطوط تأشیر برای خرپای پرات
۲۵۰	۶-۱۵ خطوط تأشیر برای خرپا با قطریهای k
۲۵۲	۶-۱۶ تعیین نیروی حداقل عضوی از خرپا تحت اثر سری بارهای زنده متمنکر
۲۵۴	۶-۱۷ جداول تأشیر
۲۵۶	۶-۱۸ طول بار شده
۲۵۷	۶-۱۹ نحوه دیگری برای تعیین خطوط تأشیر
۲۵۹	۶-۲۰ مسائل

### فصل هفتم "خرپاهای پلهای و سقفها"

۲۶۵	۱-۱ مقدمه
۲۶۷	۲-۱ تحلیل کلی یک خرپای سقف
۲۷۳	۲-۲ تنشهای مجاز برای قطعات تحت تنش حاصل از باد
۲۷۳	۴-۱ تحلیل کلی یک خرپای پل
۲۷۸	۵-۱ تغییر علامت تنش
۲۷۹	۶-۱ کشتهای قطری
۲۸۲	۷-۱ پلهای متحرک - کلیات
۲۸۲	۸-۱ پلهای قهانی
۲۸۴	۹-۱ پلهای بالارونده
۲۸۵	۱۰-۱ پلهای چرخان افقی
۲۸۶	۱۱-۱ پلهای اریب

۲۸۶

۱۲-۷ مسائل

## فصل هشتم " سازه‌های با دهانه وسیع "

۲۹۱	۱-۸ مقدمه
۲۹۱	۲-۸ سازه‌های طره‌ای - کلیات
۲۹۳	۳-۸ مشخصات ایستایی سازه‌های طره‌ای
۲۹۴	۴-۸ تحلیل تنش خرپاهای طره‌ای
۲۹۶	۵-۸ سازه‌های سرتاسری
۲۹۹	۶-۸ قوسها - کلیات
۳۰۱	۷-۸ تحلیل قوس خربایی سه مفصل
۳۰۳	۸-۸ خطوط تأثیر قوس خربایی سه مفصل
۳۰۵	۹-۸ قوسهای خربایی سه مفصل با اختلاف سطح تکیه‌گاهی
۳۰۷	۱۰-۸ پلهای معلق
۳۰۷	۱۱-۸ مسائل

## فصل نهم " شبکه‌های سه‌بعدی

۳۱۱	۱-۹ مقدمه
۳۱۲	۲-۹ شرط تعادل
۳۱۶	۳-۹ محاسبه عکس‌العملها
۳۱۷	۴-۹ محاسبه نیروی میله‌ها
۳۲۰	۵-۹ حالتی که محاسبه عکس‌العملها بدون محاسبه نیروی میله‌ها ممکن نیست
۳۲۳	۶-۹ قضایای مخصوص
۳۲۲	۷-۹ کاربرد قضایای مخصوص - گنبد شودلر
۳۲۶	۸-۹ برجها
۳۲۷	۹-۹ برج با ساق‌های مستقیم
۳۲۹	۱۰-۹ تئوری کلی شبکه‌های سه‌بعدی
۳۲۴	۱۱-۹ مسائل

## فصل دهم " کابلها "

۳۲۹	۱ - ۱ مقدمه
۳۲۹	۲ - ۲ قضيه کلى کابلها
۳۴۱	۳ - ۳ کاربرد قضيه عمومي کابلها
۳۴۲	۴ - ۴ شكل کابل با بار يکنواخت
۳۴۴	۵ - ۵ کشن کابل با بار يکنواخت
۳۴۵	۶ - ۶ مثال های مشروح
۳۴۶	۷ - ۷ طول کابل با بار يکنواخت
۳۴۸	۸ - ۸ اتساع ارتجاعي کابلها
۳۴۹	۹ - ۹ سازه های مهار شده توسط کابل
۳۵۱	۱۰ - ۱۰ پلهای معلق معین
۳۵۴	۱۱ - ۱۱ مسائل

## فصل یازدهم " تحلیل تقریبی سازه های نامعین "

۳۵۷	۱ - ۱ مقدمه
۳۵۸	۲ - ۲ اهمیت روش های تقریبی در تحلیل سازه های نامعین
۳۵۹	۳ - ۳ تعداد مفروضات لازم
۳۶۰	۴ - ۴ خرپای نردبانی با دو عضو قطری
۳۶۲	۵ - ۵ خرپای چند گونه
۳۶۵	۶ - ۶ پرتالها
۳۶۹	۷ - ۷ خرپاهای قابی کارخانه ها
۳۶۹	۸ - ۸ برج ها با پایه های مستقیم
۳۷۱	۹ - ۹ تنش حاصل از بارهای عمودی در قابهای ساختمانی
۳۷۴	۱۰ - ۱۱ تنش حاصل از بارهای جانبی در قابهای ساختمانی
۳۷۶	۱۱ - ۱۱ روش پرتال
۳۸۱	۱۲ - ۱۱ روش طرهای
۳۷۱	۱۳ - ۱۱ روش ضرب
۳۸۸	۱۴ - ۱۱ مسائل

**فصل دوازدهم " تغییر مکان سازه‌ها "**

۲۹۳	۱ - ۱ مقدمه
۲۹۴	۱ - ۲ ماهیت مسئله تغییر مکان
۲۹۶	۱ - ۳ اصل تغییر مکانهای مجازی
۲۹۹	۱ - ۴ پایه و اساس روش کار مجازی
۴۰۱	۱ - ۵ روابط کار مجازی خارجی و داخلی
۴۰۵	۱ - ۶ تغییر مکان خرپاها با استفاده از کار مجازی
۴۱۵	۱ - ۷ تغییر مکان تیرها و قابها با استفاده از روش کار مجازی
۴۲۵	۱ - ۸ قضایای سطح لنگر
۴۳۰	۱ - ۹ روش بار ارجاعی
۴۳۶	۱ - ۱۰ اعمال قضایای سطح لنگر و روش بار ارجاعی برای تغییر مکان تیرها و قابها
۴۴۱	۱ - ۱۱ روش تیر مزدوج
۴۴۴	۱ - ۱۲ روش ویلیوت - مور
۴۵۰	۱ - ۱۳ کاربرد روش ویلیوت - مور
۴۵۶	۱ - ۱۴ روش سلسه میله‌ها
۴۶۲	۱ - ۱۵ قضیه دوم کاستیگلیانو
۴۷۰	۱ - ۱۶ قضیه اول کاستیگلیانو
۴۷۲	۱ - ۱۷ محاسبه تغییر مکانها با استفاده از قضیه دوم کاستیگلیانو
۴۷۵	۱ - ۱۸ تغییر مکان شبکه‌های قضایی
۴۷۶	۱ - ۱۹ سایر مسائل تغییر مکان
۴۷۷	۱ - ۲۰ کوزدادن سازه‌ها
۴۷۸	۱ - ۲۱ قانون ماسکوغل در مورد تغییر مکانهای متقابل - قانون بتتی
۴۸۲	۱ - ۲۲ خطوط تأثیر برای تغییر مکانها
۴۸۳	۱ - ۲۳ مسائل

**فصل سیزدهم " تحلیل تنش در سازه‌های نامعین "**

۴۹۵	۱ - ۱ مقدمه
۴۹۷	۱ - ۲ کاربرد معادلات انطباق در تحلیل سازه‌های نامعین
۴۹۹	۱ - ۳ شرح کلی کاربرد معادلات انطباق در تحلیل سازه‌های نامعین

۵۰۳	۱۳ - ۴ مثالهای عددی تحلیل تنش بطریقه معادلات انطباق
۵۱۴	۱۳ - ۵ چند مثال برای بررسی اثر حرارت، نشت وغیره
۵۱۸	۱۳ - ۶ تذکراتی کلی در مورد انتخاب مجہولات اضافی
۵۱۹	۱۳ - ۷ تحلیل سازه‌های نامعین با استفاده از قضیه دوم کاستیکلیانو-قضیه کارحداقل
۵۲۱	۱۳ - ۸ مثالهایی چند درباره تحلیل تنش با استفاده از قضیه دوم کاستیکلیانو
۵۲۲	۱۳ - ۹ استخراج معادله سه لنگر
۵۲۹	۱۳ - ۱۰ کاربرد معادله سه لنگر
۵۲۲	۱۳ - ۱۱ استخراج معادله شیب - تغییر مکان
۵۲۷	۱۳ - ۱۲ اعمال روش شیب - تغییر مکان بر تیرها و قابها
۵۵۱	۱۳ - ۱۳ اساس روش پخش لنگر
۵۵۶	۱۳ - ۱۴ کاربرد روش پخش لنگر در تیرها و قابها
۵۷۰	۱۳ - ۱۵ کاربرد روش پخش لنگر در قطعاتی با لنگر لختی متغیر
۵۷۵	۱۳ - ۱۶ تحلیل تنش شبکه‌های فضایی نامعین
۵۷۶	۱۳ - ۱۷ تغییر مکان سازه‌های نامعین
۵۷۷	۱۳ - ۱۸ تنشهای ثانویه در خرپاهای
۵۸۲	۱۳ - ۱۹ تذکرات اضافی، بارهای متقارن و با ضد تقارن، مرکز ارجاعی و تشابه‌ستونی
۵۸۵	۱۳ - ۲۰ مسائل

### فصل چهاردهم " خطوط تأثیر سازه‌های نامعین "

۶۰۳	۱۴ - ۱ مقدمه
۶۰۴	۱۴ - ۲ رسم خطوط تأثیر به کمک وضعیت‌های متعدد بار واحد
۶۰۷	۱۴ - ۳ اصل مولر - بر سلا جهت تعیین خطوط تأثیر
۶۱۱	۱۴ - ۴ خطوط تأثیر حاصل از انطباق اثرات لنگرهای گیرداری
۶۱۵	۱۴ - ۵ مسائل

### ضایعات

۶۱۸	ضمیمه الف : تبدیل آحاد متعارف به یکدیگر
۶۱۹	ضمیمه ب : سطح و مرکز نقل برخی از اشکال بارگذاریها
۶۲۲	ضمیمه ج : مقادیر FEM در تیرهای مختلف
۶۲۲	واژه‌یاب (فارسی - انگلیسی)



## پیشگفتار مترجم

خدای را شکر که توفیق ترجمه کتاب حاضر را به من عطا فرمود تا بھاین وسیله بتوانم خدمت ناچیزی به پویندگان راه استقلال علمی و صنعتی این آب و خاک ارائه دهم. کتاب حاضر که ترجمه بدون دخل و تصرف کتاب "Elementary Structural Analysis" نوشته پروفسور نوریس و پروفسور ویلبر است به نحوی تلفیقی از چاپ دوم و سوم آن نیز هست. دلیل این تلفیق کامل بودن غیر قابل مقایسه چاپ دوم در زمینه "مباحث بنیادی تحلیل سازه ها" نسبت به چاپ سوم آن بوده است. ولی چون چاپ سوم نیز به نوبه خود بیانگر علم و صنعت جدید عصر حاضر است لذا در موارد لزوم مطالب مختلف کتاب براساس آن چاپ تصحیح گردیده است.

با کمال تأسف امکان تبدیل آحاد انگلیسی به آحاد SI بدلا لیل مختلف میسر نگردید، گرچه علم نظری نیاز به آحاد معینی ندارد با وجود این در ضمیمه این کتاب جدول مناسبی جهت تبدیل آحاد ارائه گردیده است.

در فصل اول کتاب که پمدگر نکات طراحی و بارگذاری اینیه پرداخته است و از ضوابط متدالول در مالک متحده امریکا یاد نموده است، به منظور غنایی بیشتر کتاب ضوابط متدالول در ایران به موازات آن آورده شده است.

واژه های فنی کلا" بهانه های کتاب برده شده است و خواننده می تواند با برخورد به هر واژه فارسی معادل انگلیسی آن را در واژه یاب کتاب بسیاید. خوشبختانه چون واژه های رایج در این کتاب قبل از توضیح کسوتان این علم معروف شده بود سعی شده است که از واژه سازی اجتناب کرده و تنها از واژه های متدالول فنی استفاده شود.

ویرایش علمی این کتاب توسط همکار ارجمند آقای دکتر محمد رضایی پژند و ویرایش ادبی آن توسط آقای حمید جاودانی شاهدین انجام گرفته است که از دقت زاید الوصف

نامبردگان بعاین وسیله صمیمانه سپاسگزاری می‌شود .

از خانم عزت شادمهری که تایپ کتاب و آقای مهدی پیوندی که صفحه‌آرائی آن را به عهده داشته‌اند و همچنین از سایر دست‌اندرکاران مؤسسه چاپ و انتشارات دانشگاه فردوسی که با امکانات محدود چاپخانه به‌ نحوی درچاپ و انتشار این کتاب سهیم بوده‌اند خالصانه تشکر می‌شود .

بدهی است که این ترجمه خالی از اشتباه نیست ، از همکاران گرامی ، اساتید ارجمند و دانشجویان عزیز انتظار دارم که هرگونه اشتباه و لغزش موجود در آن را بمانجانب پادآوری فرمایند .

فریدون ایرانی  
بهمن ماه ۱۳۶۸

## مقدمه مؤلفین

از سال ۱۹۴۸ میلادی که اولین چاپ این کتاب منتشر گردید تا عصر حاضر پیش‌رفتهای بسیاری در کلیه زمینه‌های مهندسی سازه و مهندسی ساختمان به‌موقع پیوسته است، روشهای پیش‌رفته‌ای که در صنعت ساخت و اجرا حاصل شده است باعث گشته که از مصالح ساختمانی نظیر فولاد، بتن و چوب به‌ نحو مناسبتری استفاده گردد. درحال حاضر فولادهای با خواص بسیار عالی و مخصوصاً "مخلوط‌های مناسبی از بتن جهت استفاده مهندسین و پیمانکاران تهیه می‌شود. استفاده از آلومینیوم و پلاستیک ساختمانی در قطعات پیش‌ساخته سبب شده است که بتوان در موارد موردنیاز از قابلیت باربری بعذار حالت ارتقای اجرام استفاده شود. استفاده از ماشینهای حسابگر الکترونیکی در تحلیل سازه‌ها مخصوصاً" در این بیست سال اخیر به‌ نحو خارق العاده‌ای توسعه یافته است.

به‌دلیل توسعه زاید‌الوصف کاربرد ماشینهای حسابگر از سال ۱۹۶۵ میلادی که همزمان با انتشار دومین چاپ کتاب حاضر می‌باشد، لازم بود که در سومین چاپ آن توجه شایانی به‌ تحلیل سازه‌ها توسط ماشینهای حسابگر مبذول شود زیرا چنین قابلیتی جهت استفاده از ظرفیت کامل ماشینهای الکترونی در صورت استفاده از آنان در تحلیل سازه‌ها لازم خواهد بود. جهت تأمین چنین نیازی، چندین فصل از چاپ سوم را به‌ تحلیل ماتریسی سازه‌ها اختصاص داده‌ایم تا بتوان معلومات لازم را به‌خواننده ارائه داد، لذا دو مؤلف اولیه این کتاب از پروفسور چنل اونکو (Utku) که استاد دانشگاه دوک (Duke) می‌باشد بمنظور همکاری در تألیف این قسمت دعوت بعمل آوردند.

در چاپ اخیر مانند چاپهای دیگر آن بر اصول بنیادی بیشتر از تعریف‌های حرفه‌ای تأکید شده و قصد این بوده است که رابطه‌ای بین عملکردهای مختلف تحلیل سازه‌ها و اصول مکانیک جامدات که پایه و اساس تحلیل سازه‌ها می‌باشد برقرار گردد. زمینه فکری حاکم بر این کتاب بطور مؤکدی بر تحلیل سازه‌ها استوار است و بدین جهت بمنظور استفاده کامل از این کتاب در رشته مهندسی سازه، باید مطالعه آن به‌ موازات کتابهای مربوط به‌ طراحی سازه‌ها انجام گیرد، لذا تأکید می‌شود که وظیفه اساسی مهندس سازه طرح سازه است و نه تحلیل آن و تحلیل سازه

فقط وسیله‌ای جهت به اتمام رساندن وظیفه مهندس سازه می‌باشد و نهایت وظیفه او نیست . امروزه کتابهای ارزنده‌ای جهت طراحی وجود دارد که مؤلفین در طول این کتاب به آنها اشاره کرده‌اند .

مؤلفین از همکاری افراد نامبرده زیر در تهیه دوچاپ قبلی این کتاب تشکر فراوان می‌نمایند ، پروفسور دونالد هارلمن ، پروفسور مایل هولی ، مرحومه خانم گریس پاور و آقای هارولد اسمیت . پروفسور نوریس یکی از مؤلفین کتاب حاضر همواره خود را مدیون و سیاسگزار همکاری و همراهی زاید الوصف همسرش خانم مارتا نوریس می‌داند که در طی سی سال از هرنوع کمک در تهیه چاپ این کتاب مضايقه نکرده است .

مؤلفین این کتاب (پروفسور نوریس و پروفسور ویلبر) عمیقاً "سیاسگزار مرحوم پروفسور چارلز میلتون اسیوفرد و مرحوم پروفسور چارلز چرج مور بوده و همچنین از همیاری و مساعدت‌های دوستانه و بی‌شایشه سالیان دراز همکاران خود در بخش مهندسی سازه T . I . M پروفسور جان بیگ ، پروفسور روبرت هانسون ، پروفسور مایل هولی ، پروفسور ارجی میرابلی و مرحوم والتر فایف و جان میچ تشکر می‌نمایند .

چارلز هد نوریس

جان نلسون ویلبر

چنل او تکو

## پیشگفتار

بدون شک قدمت طراحی و ایجاد سازه‌ها، برابر عمر بشر در این سیاره است زیرا آنچه از ابتدا در این سیاره برای بشر وجود داشته باند نیاز و سلیقه او همانگی داشته است، گرچه انسان اولیه به منظور پناهگیری از عناصر خارجی به یک غار طبیعی و یا یک حفره درخت پناه می‌برده است ولی اغلب چنین مکانی برای ذخیره غذایی و یا آب او مناسب نبوده است لذا بشر جهت رفع نیاز خود اقدام به ایجاد سازه‌ای نمود. کسی نمی‌داند که اولین سازه بشر یک پناهگاه زمخت یا یک پل استخوانی و یا ساخته‌ای از درخت موبده است یا نه.

سوابق تاریخی مربوط به تکامل مهندسی سازه از بد و پیدایش آن تا حال حاضر نسبت به سوابق تاریخی مربوط به تکامل معنوی، فلسفی و، سیاسی اقتصادی و هنری بشری‌سیار ناجیز است، کشفیات باستان‌شناسی چند نمونه محدود از ظواهر سازه‌های ابتدایی را به دست آورده است که در مورد آنها نیز هدف از ایجاد چنان ساخته‌هایی معلوم نیست و فقط می‌توان به صورت حدس و گمان به هدف ایجاد آنها پی برد.

احتیاجات اساسی بشر که همان غذا و مکان می‌باشد، در طول زمان همواره ثابت‌مانده است ولی سطح تأمین این نیاز به طور متداومی نسبت به درجه تمدن او متفاوت بوده است و افزون‌طلبی بشر همواره او را به کسب بیشتری در جهت رفع این نیاز و داشته است. گاهی تفاوت بین این دو چنان فاحش بوده است که بشر بدون این که "واقعاً" معین کند که نیاز چیست و چرا چنین چیزی را طلب می‌کند و با چه فن و روشی باید جهت تأمین آن اقدام کند، به تأمین خواسته خود می‌پردازد. نکات برجسته تاریخ بشری نشان دهنده سخت‌کوشی اوست که زمانی سبب پیشرفتی محسوس و زمانی گویای تنزلی فاحش است.

در طی قرون، سازندگان ابنيه و مهندسین سازه از ریاضیات به طرزی ناقص در فن خود استفاده می‌کردند و کاربرد ریاضیات و علوم به عنوان وسیله‌ای سازه آنها را در تعیین ابعاد و تناسب بین اعضاء سازه‌ها یاری کرده است و چون در آن‌زمان معلومات تئوری در حدی که قادر به رفع نیاز آنها باشد نبوده است طراحان بر طبق تجربه، آزمایشات در محل و یا در

آزمایشگاه و یا بر طبق احساس خود از طرز عمل سازه‌ها، اقدام به طراحی می‌نمودند. در حقیقت آنچه که یک طراح و سازنده را در کار خود موفق می‌گرداند بستگی به چهار عامل زیر دارد، نیاز و الزامات تدبیر آن زمان چه باشد، خصوصیات مصالح موجود چیست، فنون اجرایی و شرایط اقتصادی زمان چه بوده و قدرت سازندگی که لازمه عینیت بخشیدن به معلومات ذوق و تجربه طراح است چه باشد.

در قرون نوزدهم و بیستم علوم، ریاضیات و پیشرفت‌های مربوط به مصالح در مهندسی سازه‌ها دخالت روزافزونی داشته و در آن دو قرن کلیه معلوماتی که در زمینه مهندسی سازه مورد استفاده قرار گرفته به صورت آئین نامه‌های ساختمانی و فرمولهای منسجم ریاضی درجهت طرح و اجرای سازه‌ها طبقه‌بندی شده‌اند. در یک چنین موقعیت حرفه‌ای آثار طراحان و سازندگان مبرزی نظیر مایار Maillart، فرایسینه Freyssinet، تورجا Torroja و نروی Nervi بیشتر تحت تأثیر پیشینیان خود بوده است، کلیه این مهندسین مشهور دارای قدرت خلاقیت و ابتكار بیش از حد معمول بوده‌اند ولی آنچه که بیشتر از همه مورد توجه است این است که در کارهای خود نه تنها از معلومات علمی و ریاضی خود و دیگران استفاده کرده‌اند بلکه به یک سلسله تجارت آزمایشگاهی و در محل نیز اقدام نموده‌اند.\*

مطالعه زندگی این مهندسین مشهور‌همان درسی را می‌دهد که می‌توان با بررسی تاریخچه مربوط به پیشرفت مهندسی سازه مخصوصاً در زمینه کاربرد مکانیک، ریاضیات و علوم در طرح سازه‌ها و پدیده‌ها و نظریاتی که در طی قرون به صورت ثابتی در طرح و اجرای سازه‌ها به کار برده شده است آموخت.

### تاریخچه

قدیمترین ساختمانهایی که در مورد آنها اطلاعات حقیقی وجود دارد در اعمق دریاچه‌ها

\* جهت آگاهی از آثار این مهندسین مشهور می‌توان به کتب زیر مراجعه نمود:

Eduardo Torroja "Philosophy of Structures" University of California Press, Berkeley, 1958;

Eduardo Torroja, "The Structures of Eduardo Torroja," F. W. Dodge Corporation New York, 1958.

Pier Luigi Nervi, "Structures" F. W. Dodge Corporation, New York, 1956

Leonard Michaels, "Contemporary Structure in Architecture," Reinhold Publishing Corporation, New York, 1950.

قرار گرفته است که بعضی از آنها در دریاچه‌های سویس قرار دارد، این بناها، خانه‌هایی که بر روی شمع بنا شده‌اند و قدمت آنها به دوره پارینه سنگی Paleolithic میرسد. البته آثار قدیمی تری در اروپا و آسیا وجود دارد ولی این آثار نمایانگر هنر طراحی نیستند. کشفیات باستان‌شناسی آثارقابل ملاحظه‌ای از بناهای مصری، یونانی و تعداد متباشی از چنین آثاری را در آسیا و آسیای صغیر کشف نموده است.\*

شاید مهمترین و جالبترین اشکال ساختمانی که مورد توجه مهندسین سازه‌های اولیه قرار داشته است به شرح زیر باشد: تیروسر طاقهای مربوط به معماری کلاسیک یونان که مربوط به سالهای ۵۰۰ قبل از میلاد است و ساختمانهای یونانی که شامل قوسها، طاقها و گنبدها و همچنین خرپاهای چوبی و ہقی بوده است که توسط مهندسین یونانی در حدفاصل سالهای ۱۵۰۰ و ۱۰۰۰ میلادی ایجاد شده است. طاقهای سرتیز با تکیه‌گاههای سنگی که توسط سازندۀ های گوتیک Gothic در کلیساها با شکوه اروپا در قرون وسطی و در حدفاصل سالهای ۱۰۰۰ و ۱۵۰۰ میلادی ایجاد شده است، حتی در مقایسه با سازه‌های جدید پلهای رومی نظر پل معروف گار Pond du Gard و یا طاقهای گنبدی کلیسای سانتا صوفیه Santa Sophia استانبول (که در سالهای ۵۴۰ میلادی ساخته شده است) تحسین برانگیز می‌باشد. چنین تحسینی وقتی به نهایت می‌رسد که در مطالعه‌آن بناها امکانات هنری زمان مربوط نیز مد نظر باشد.

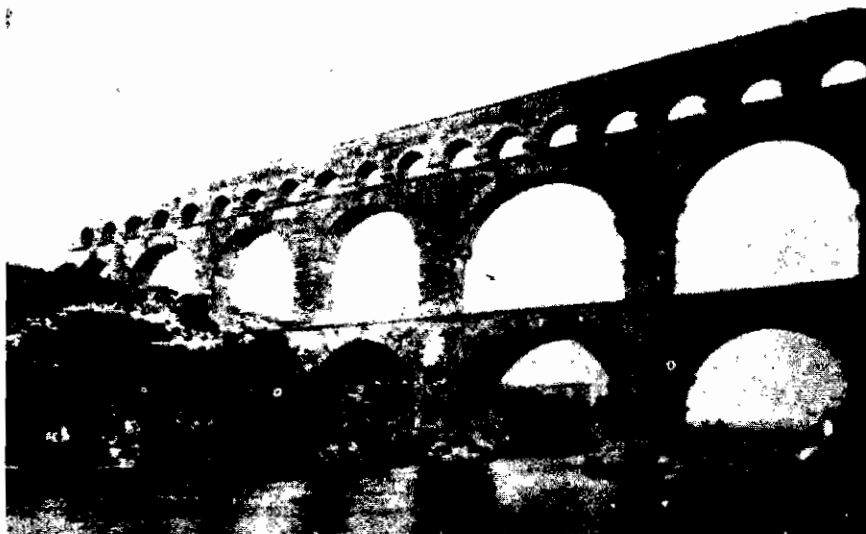
شکی نیست که مهندسین مصری و سایر مهندسین باستان برای طرح سازه‌های جدید تجربه‌های خود را به صورت فرمولی در آورده بوده‌اند ولی معلوم نیست که آنها پایه گذار تئوری سازه‌ها بوده باشند. بعدها یونانیها در پیشرفت هنر ساختمانی قدمهایی برداشتند

\* کتب عالی و متعددی در مورد تاریخچه و تکامل مکانیک ساختمان و مهندسی سازه‌ها وجود دارد که از آن جمله می‌توان کتب زیر را نام برد:

Stephen P. Timoshenko, "History of Strength of Materials," McGraw-Hill Book Company, Inc., 1953;

H. M. Westergaard, "Theory of Elasticity and Plasticity," Harvard University Press, Cambridge, Mass. 1952;

David B. Steinman and Sara Ruth Watson, "Bridges and Their Builders," Dover Publications, Inc., New York, 1957



شکل (ب-۱) پل گار (Pont du Gard) - از رشیو Bettmann

ولی آنچه آنان در مورد تئوری سازه‌ها بنا نهاده‌اند محدود به نظریات فلاسفه‌ای نظیر Aristotle ( Aristote ۳۸۴-۳۲۲ قبل از میلاد ) و Archimedes (Archimedes ۲۸۷-۲۱۲ قبل از میلاد ) است که پایه‌گذار مکانیک ساختمان از طریق بیان فرمول برخی از اصول استاتیک هستند . رومیان سازندگان اولین ساختمانهایی هستند که در ایجاد آنها برخی از اشکال ساختمانی پایه‌گذاری شده است ولی واضح است که آنها نیز معلومات ناچیزی در مرور تحلیل تنش این‌گونه اشکال ساختمانی داشته‌اند . به عنوان مثال هرگز نمی‌دانستند که چگونه شکل دقیق طاقهای خود را ایجاد کنند و همواره از قوسهای باده‌اند کوچک که شامل نیم دایره بوده است استفاده می‌کردند .

اکثر معلومات مهندسی سازه یونانیان و رومیان در قرون وسطی مفقود شد و پس از رنسانس دوباره کشف گردید . لئونارد داوینچی Leonardo da Vinci ( ۱۴۵۲-۱۵۱۹ ) نه تنها یک هنرمند برجسته عصر خود بود بلکه یک مهندس و عالم بزرگ نیز به حساب می‌آید زیرا از دفاتر پادداشت او معلوم است که نامبرده به برخی از اصول اساسی عملکرد مصالح ساختمانی کاملاً "واقف بوده است . اثر داوینچی بدوضوح بیانگر تدوین تئوری سازه‌های است ولی هرگز به صورت کتابی بچاپ نرسیده است ، همچنین Galileo Galilei ( ۱۵۶۴-۱۶۴۲ ) نه تنها بنیان‌گذار علم جدید بشمار می‌رود بلکه پایه‌گذار مکانیک مصالح نیز شمرده می‌شود زیرا که در آخرین اثر خود "دوعلم جدید " که در سال ۱۶۳۶ میلادی به اتمام

رسید و در سال ۱۶۳۸ به چاپ رسید، او اولین کسی است که مقاومت برخی از قطعات سازه‌ها از آن جمله مقاومت نهایی تیر را مورد بررسی قرار داده است.



شکل (ب - ۲) گنبد سانتا صوفیه (Santa Sophia) از آرشیو Bellmann

گالیله مقاومت نهایی یک تیر تره را با بررسی مقطع مجاور دیوار آن مورد بررسی قرار داده است، نامبرده با فرض صلب بودن مصالح چنین نتیجه‌گیری کرده است که در لحظه گسیختگی تارهای تحتانی مقطع گسیخته شده و تحمل فشار مرکز را ندارد و تنفس کششی در کل ارتفاع مقطع به صورت یکواختی گستردۀ شده است. چنین فرض گسترش تنفس در حیطه علکرد ارجاعی مصالحی که از قانون هوک تبعیت می‌نمایند صحیح نیست و فقط در حیطه خمیری مصالح و در تحت بعضی از فرضیات صحیح خواهد بود. در حالی که تحلیل گالیله منتهی به مقاومت واقعی یک تیر تره نمی‌گردد ولی از این نظرکه نسبت مقاومت دو تیر را با مقطع مشابه به صورت صحیحی ارائه می‌کند جالب می‌باشد. بهشتراز هرجیزی برای ما این جالب است که هم گالیله و هم داوینچی بهشتراز مقادیر تنفس و کرنش قطعه تحت بار در جستجوی مقاومت گسیختگی قطعه بوده‌اند. اگر کلیه محققینی که در این سه قرن گذشته زیسته‌اند به جای این که به عملکرد ارجاعی سازه‌ها بپردازنند به مقاومت آنها نیز نظر داشتند شاید علم مکانیک ساختمان در حال حاضر توازن بهتری بین مقاومت سازه‌ها و عملکرد ارجاعی قطعات ارائه می‌نمود. محققین بعدی نظیر هوک (Hook ۱۶۴۵-۱۷۰۳) ماریوت (Mariotte ۱۶۴۵-۱۶۸۴) ماریوت

ژاک برنولی Jocob Bernoulli (۱۶۵۴–۱۷۰۵) الی لگرانژ Euler (۱۷۰۷–۱۷۸۳) دانیل برنولی Daniel Bernoulli (۱۷۲۶–۱۷۴۸) Laqrance (۱۷۵۵–۱۷۸۲) جان برنولی John Bernoulli (۱۷۴۸–۱۶۶۷) کولومب Coulomb (۱۸۰۶ – ۱۲۳۶) سهم عده‌ای در تدوین این قسمت از علم داشته‌اند. از بین این افراد سهم کولمب بسیار قابل ملاحظه است و رساله‌ی او که در سال ۱۷۷۳ میلادی نوشته شد گرچه آن طوری که شایسته عصر خود بود جلب توجه نکرد اما بسیار تعیین کننده بود، در این مقاله برای اولین بار تحلیل کامل ارجاعی تیرهای خمی ارائه شده است او همچنین خاطرنشان کرد که تحت برخی از شرایط در لحظه گسیختگی محور خشی از محل ارجاعی خود تغییر مکان خواهد داد و به این ترتیب عملکردی از حالت خمیری را نشان داد.

در سال ۱۸۲۶ میلادی که اولین چاپ کتاب ناویه Navier (۱۸۳۶–۱۲۸۵) در باره مقاومت مصالح چاپ گردید و برخی از تصورات اشتباه کولمب تصحیح شد، اساس نظریه جدید مکانیک مصالح پایه‌گذاری گردید و لذا می‌باید کولمب و ناویه را دوپایه‌گذار اصلی این رشته سهم که اساس تحلیل سازه‌ها می‌باشد دانست. گرچه پیش‌کسوتانی که در قرن هیجدهم می‌زیستند به محاسبه و اندازه‌گیری بارهای نهایی قطعات سازه‌ها می‌پرداختند، ناویه در همان ابتدای ارائه نظریاتش اظهار کرد که درک عملکرد ارجاعی سازه‌ها بسیار مهم است و می‌باید حد نهایی این عملکرد را فهمید و به این ترتیب تعریف مطالعات در حیطه ارجاعی سازه‌ها پایه‌گذاری شد. او اظهار کرد فرمولهایی که در حیطه ارجاعی سازه‌ها ارائه می‌شود بارگذار سازه‌های موجود انطباق دارند و از آنها می‌توان به نحو رضایت‌بخشی در تعیین تنشهای مطمئن طراحی و محاسبات سازه‌ها استفاده نمود. متأسفانه در این مقاله بسیار مؤثر و مهم ناویه هیچ نوع توجیهی به عملکرد مصالح بعداز حیطه ارجاعی و مقاومت نهایی سازه‌ها ننموده است.

پس از چاپ کتاب ناویه باقیمانده قرن نوزدهم را می‌توان "عصر طلایی" نامید زیرا در آن عصر علمی که در حال حاضر نظریه کلاسیک سازه‌ها نامیده می‌شود تدوین گردید. برخی از کسانی که در این عصر سهم مهی در پیشرفت داشته‌اند عبارتنداز لامé (Lamé) ۱۸۲۰–۱۸۲۵، سن ونان Saint-Venant (۱۷۹۷–۱۸۸۶)، کلپرون Clapeyron (۱۸۶۴–۱۷۹۵)، رانکین Rankine (۱۸۲۲–۱۸۲۳)، آری Airy (۱۸۲۰–۱۸۲۲)، کلپش Clebsch (۱۷۹۹–۱۸۷۲)، ماکسوئل Maxwell (۱۸۷۱–۱۸۰۱)، کاستیگلیانو Castiglione (۱۸۹۲–۱۸۰۱)، کولمان Culmann (۱۸۸۴–۱۸۴۷)، موهر Mohr (۱۹۱۴–۱۸۱۹)، فوبل Föppl (۱۹۲۴–۱۸۵۰)، یوراوسکی Jouravski (۱۸۹۱–۱۸۲۱)، فوپل A. Föppl (۱۹۲۴–۱۸۵۰)، بوسینگ Bauschinger (۱۸۹۹–۱۸۵۰)، باسینسکی Bauschinger (۱۸۹۳–۱۸۴۳) و فون تتمایر von Tschirnhaus (۱۹۰۵–۱۸۵۰) هستند.

مولر برسلو Muller-Breslau (1848-1925) انگرسر Engesser (1851-1931) و بالاخره وهلر Wohler (1819-1914) این مردان و معاصرین آنها در تدوین، تالیف و ارائه نظریه مکانیک مصالح و تحلیل سازه‌ها به‌نحویکه اساساً به‌همان صورت که در حال حاضر ارائه می‌شود زحمات فراوانی تحمل نموده‌اند. در مباحث بعدی این کتاب هم‌زمان با ارائه روش‌هایی که توسط این مردان ارائه شده است نام آنان را در برخی از اثرات مهمشان ذکر خواهیم کرد. یکی از روش‌های کلاسیک که بعنوان روش "شیب - تغییر مکان" می‌باشد علاً در اولین سالهای قرن نوزدهم توسط بندیکسن Bendixen، مانی Maney و استفنلد Ostenfeld که عمده‌ترین مطرح کننده آن می‌باشد ارائه شده است.

از سال ۱۹۰۵ میلادی دوران مهندسی جدید سازه‌ها توسط پیشرفت‌های شگرف زیر مشخص گردیده است:

- ۱ - چاپ تعداد زیادی از کتابهای نفیس در مورد تئوریهای ارجاعی، خمیری، کهانش صفحات و ارتعاشات\*.

\* از بین کتبی که در پیشرفت مکانیک، تحلیل و طرح سازه‌های ایالات متحده آمریکا نقش بسیار زیادی، در پنجاه ساله گذشته داشته‌اند می‌توان کتب زیر را نام برد.

- A. E. H. Love, "The Mathematical Theory of Elasticity," Cambridge University Press, London, 1892, 4th ed., 1927;
- A. Föppl and L. Föppl, "Drang und Zwang," R. Oldenburg-Verlag, Munich, 1920, 2d ed., 1928;
- H. Lorenz, "Technische Elastizitätslehre," R. Oldenburg-Verlag, Munich, 1913;
- A. Nádai, "Plasticity," McGraw-Hill Book Company, Inc., New York, 1931;
- S. P. Timoshenko, "Theory of Elasticity," McGraw-Hill Book Company, Inc., New York, 1934, 2d ed. with J. N. Goodier, 1951;
- S. P. Timoshenko, "Theory of Elastic Stability," McGrawHill Book Company, Inc. New York, 1936;
- S. Timoshenko, "Theory of Plates and Shells," McGraw-Hill Book Company, Inc., New York, 1940, 2d ed. with S. Woinowsky-Krieger, 1960;
- R. V. Southwell, "An Introduction to the Theory of Elasticity for Engineers and





شکل (ب-۳) پل آلومینیومی بر فراز رودخانه سگونای ( Saguenay )

- ۲ - توسعه ماشین‌آلات ، وسایل و فنون پیشرفته زمایش مصالح و توسعه کاربرد تحلیل تجربی و تحقیقی در سازه‌ها .
- ۳ - کاربرد روش پخش لنگر و استفاده کلی از اندیشه پخش لنگر .
- ۴ - مورد توجه مجدد قراردادن مقاومت نهایی و علکرد خمیری سازه‌ها و قطعات

Physicists," Oxford University Press, London, 1936;

I. S. Sokolnikoff, "Mathematical Theory of Elasticity," McGraw-Hill Book Company, Inc., New York, 1946;

F. Bleich, "Buckling Strength of Metal Structures," McGraw Hill Book Company, Inc., New York, 1952;

W. Flügge, "Statik und Dynamik der Schalen," Springer-Verlag, Berlin, 1934;

K. Girkmann, "Flächentragwerke," Springer Verlag, Berlin, 1946, 4th ed., 1956.

سازه‌ها و استفاده از نتایج حاصل در روش‌های طرح سازه‌ها

۵- کاربرد نظریه احتمالات و روش‌های آماری در تعیین احتمال خرابی و یا احتمال غیرقابل مصرف بودن قطعات و مقایسه نتایج حاصل با ضرایب متعارف اضمیتار

۶- ظهور ماشینهای الکترونی و کاربرد روش‌های جدید محاسباتی در تحلیل و طرح سازه‌ها. این چنین کاربردی بعد از سال ۱۹۵۰ میلادی به دنبال چاپ کتابها و نشریات متعددی که درباره روش‌های ماتریسی و کاربرد ماشینهای محاسباتی در تحلیل و طرح سازه‌ها ایجاد شد ممکن گردید.

۷- درک پیشرفته عملکرد قطعات بتن مسلح و توسعه کاربرد قطعات پیش‌ساخته و پیش فشرده بتنی در اجرای سازه‌ها

۸- اجرای پوسته‌ها و جدارهای تحت تنش که در وله اول توسط مهندسین صنایع هواپی بکاربرده شد و بعدها با استفاده از تجارب آنها در طرح و ایجاد سازه‌های ساختمانهای فلزی و بتنی استفاده گردید.

۹- کاربرد مصالح پیشرفته ساختمانی نظیر فولاد، آلومینیوم، پلاستیک بتن، چوبهای آماده شده، سرامیک و مصالح مسلح آریست و سیمان در ساخت ابنيه.

۱۰- کاربرد متداول روش‌های جدید اجرای ساختمانها و روشها و فنون جدید ساخت، حمل، نصب و نگهداری سازه‌ها.

بدون شک در شصت سال اخیر روش پخش لنگر مهمترین سهم را در نظریه سازه‌ها داشته است این روش توسط مرحوم پرفسور هارولد کراس Hardy Cross در روشهای آزادسازی تنش به کار گرفته شد. چنین کلی توسط پروفسور ساوتول Pv. Southwell در روشهای آزادسازی تنش به کار گرفته شد. روشهای تحلیل سازه‌ها سهم عمده‌ای در درک بهتر عملکرد سازه‌هایی نظیر شبکه‌ها و قابها با استفاده از بیانی ریاضی که به طریق همگرایی بنتایج مطلوب می‌رسند به عهده دارد، به طوری که از سالهای ۱۹۳۵ و ۱۹۴۰ میلادی چنین روشهایی که به تدریج ( و با همگرایی اعداد) بنتایج دلخواه می‌کنند روشهای قدیمی را که همواره منجر به حل دستگاه معادلات چند مجهولی می‌گردند تحت الشاعع قرار داد.

از اوایل سال ۱۹۵۰ میلادی کاربرد ماشینهای حسابگر الکترونیکی که روز بروز تکامل بیشتری می‌یافتد سبب شد که در مسائل طراحی و محاسبات تحلیلی سازه‌ها که در امور روزمره مهندسی وجود داشت تسریع فوق العاده بوجود آید با در نظر گرفتن قدرت محاسباتی این نوع ماشینهای حسابگر، مهندسین قادرند که نظریه کلاسیک سازه‌ها را برآختی‌حتی زمانی که این تئوریها منجر به دستگاه معادلات چندین و چند مجهولی می‌گردند به کار گیرند. این

قدرت محاسباتی خارق العاده به هیچ عنوان سبب رؤیایی شدن تئوری سازه‌ها نه از نظر ابداع اشکال خارجی سازه‌ها و نه از نظر پیشرفت ممکن در مصالح مصرفی سازه‌ها و نه حتی از نظر تئوریهای پیچیده سازه‌ها نشده است بلکه کمک ماشینهای حسابگر به تحلیل سازه‌ها احتمالاً یکی از مهمترین پیشرفت ممکن در این ربع قرن اخیر می‌باشد.

همان‌طوری که ماشینهای حسابگر بسیار مهم بوده‌اند، یکی از مهمترین تحولات موجود در بخش سازه‌ها که در دهه اخیر ایجاد شده است سعی در ایجاد توازنی بین ضوابط مربوط به تئوری خمیری و ارجاعی در کاربرد آنها برای طراحی و محاسبه ابنيه می‌باشد.

سعی و کوشش فراوانی جهت بهتر نمودن کیفیت و تنوع فولادهای ساختمانی به عمل آمده و به همان نسبت نیز در مرغوب نمودن بتن سعی گردیده است، پیشرفتهای چشمگیری در پیش ساخته کسردن و اجرای سازه‌های فولادهای و بتی حاصل شده است، بدیهی است ساختمانهای ۱۰۵ طبقه "مرکز جان هنکوک Sears Tower" در شیکاگو و ۱۱۰ طبقه "مرکز تجارت جهانی" World Trade Center در نیویورک بیانگر قدرت ساخت و طرح ساختمانهای فولادی و همچنین ساختمانهای ۳۸ طبقه "ساختمان برانسویک Brunswick Building" در شیکاگو، ۵۲ طبقه "ساختمان میدان شل" One shell plaza Building در هستون و ۵۰ طبقه "برج میدان شل" One shell Square Building در نیوارلثان هنر ساختمان سازی بتی را نشان می‌دهد. بدیهی است که در هر گوشه جهان در چند دهه اخیر شاهد ایجاد ساختمانهای رویایی متعددی بوده‌ایم.

### پروژه‌های مربوط به سازه‌های مهندسی

عمولاً مهندس سازه زیر نظر و در خدمت مهندس طراح پروژه که به طور متعارف مدیر و مسؤول پروژه مهندس است انجام وظیفه می‌نماید.

در مهندسی راه، مهندس سازه در خدمت مهندس تراپری، مهندس هیدرولیک و یا مهندس تأسیسات انجام خدمت می‌کند تا این که سازه‌های مورد نیاز جهت پروژه آنها را تأمین نماید. در مهندسی ساختمان مهندس سازه یکی از همکاران نزدیک مهندس معمار می‌باشد و به همین نحو مهندس سازه می‌باید در طرح ماشین‌آلات سنگین که مورد نیاز مهندسین مکانیک، شیمی و یا برق می‌باشد با آنان

همکاری نماید . امروزه مهندسین سازه باید در ایجاد سازه‌های لازم جهت پرتاب سفینه‌های فضایی و همچنین در طرح سازه خود سفینه‌ها دخالت نمایند . البته برخی اوقات چون سازه پروژه مورد نظر اهمیت اولیه پیدا می‌کند ممکن است به منظور اجرای پروژه مهندس سازه مدیریت پروژه را عهده‌دار شود از آن جمله می‌توان پروژه‌های مربوط به پلهای عظیم یا سدها، اسلکه‌ها و یا سالن کارخانجات را نام برد .

می‌توان پروژه مربوط به مهندسی سازه را به سه مرحله زیر تقسیم نمود : برنامه‌ریزی – طرح – اجرا

در مرحله برنامه‌ریزی می‌باید به کلیه عواملی که در طرح کلی سازه و ابعاد آن نقش اساسی دارند توجه نموده و از میان چندین طرح اولیه به بهترین انتخابی که منجر به طرح نهایی می‌گردد اقدام نمود . اولین بررسی لازم سازه مربوط به قابلیت آن در تأمین هدف ساخت آن و قابلیت باربری آن در فضاست . بررسیهای دیگری نیز در درجه دوم اهمیت قرار دارند . از این قبیل عوامل مربوط به زیبایی، جامعه‌شناسی، قانونی و شرعاً، مالی، اقتصادی محیط‌زیست و حفظ منابع می‌باشد . علاوه بر عوامل فوق ممکن است برخی از الزامات و محدودیتهای سازه‌ای و اجرایی در نوع سازه انتخابی مؤثر باشد .

در مرحله طرح کلیه طرحهای اولیه انتخابی (ذرمرحله برنامه‌ریزی) در جزئیات مربوط به خصوصیات مصالح، ابعاد جزئیات قطعات و اتصالات اجرایی مورد بررسی قرار می‌گیرد . معمولاً "قبل از این که به آخرین مرحله بررسیهای مربوط به طرحها برسم طرح نهایی انتخاب شده است . برخی اوقات انتخاب طرح نهایی بستگی به عوامل اقتصادی و اجرایی پیدا می‌کند که علاً" تصمیم‌گیری نهایی به صورت دقیق نمی‌شود در این صورت طرحهای متعدد جهت مقایسه مالی و یا مناقصه تهیه می‌گردد .

در مرحله اجرایی مسائلی از قبیل تهیه مصالح، ماشین‌آلات، پرسنل، ساخت قطعات در کارخانه و نصب اولیه آنها، حمل قطعات به کارگاه و بالاخره ساخت و نصب آنها در کارگاه مطرح می‌باشد . بدینهی است در این مرحله امکان طرح و محاسبه دوباره برخی از قطعات ضروری است ، زیرا که در اجرا امکان برخورد با مسائل غیرقابل پیش‌بینی در پی‌ها و یا عدم امکان تهیه مصالح موردنظر و یا برخورد با مشکل دیگری وجود دارد .

## فلسفه طرح سازه‌ها

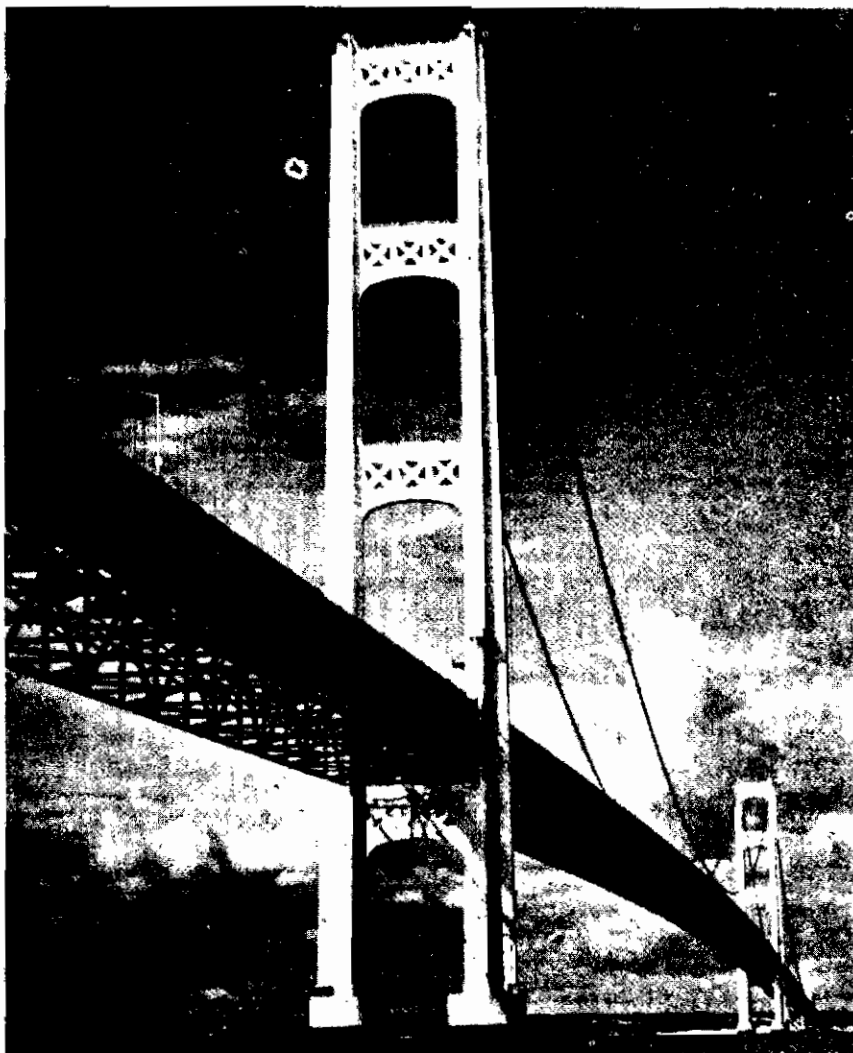
همان‌طوری که قبل از "ذگرکردیم منظور از طرح سازه‌ها" را راهه مناسب‌ترین خصوصیات و ابعاد برای قطعات سازه و طرح جزئیات و اتصالات آنها می‌باشد . بدینهی است که این مرحله از

پروژه نظری ترین و فنی‌ترین مرحله پروژه است ولی این چنین مرحله‌ای نمی‌تواند بدون هماهنگی کامل با مراحل برنامه‌ریزی و اجرایی سازه‌ها انجام پذیرد. یک طراح موفق همواره ازکلیه تذکرات و نکات بر جسته مرحله برنامه‌ریزی آگاه بوده و بر مسائل و مشکلات ممکن‌آتی در مرحله اجرایی نیز واقف است.

برای طرح هر سازه‌ای ابتدا می‌باید به بارگذاری لازم آن سازه که مقاومت سازه‌در برابر آن بارگذاریها در طرح سازه مطرح می‌باشد پرداخت و پس از این مرحله باید به تحلیل و تعیین نیروها و لنگرهای عمدۀ داخلی (نظیر فشار، برش، لنگرهای خمشی و لنگرهای پیچشی)، شدت تنش‌ها، کرنش‌ها، تغییر مکانها و دورانها، عکس العمل ناشی از بارگذاریها خارجی، تغییرات درجه حرارت، انقباض، خروش و یا سایر ملزمومات محاسباتی اقدام کرد و بالاخره پس از این مرحله می‌باید به طراحی قطعات از نظر ابعاد و انتخاب مقاطع و مصالح مصرفی و طرح اتصالات مناسب و منطبق بر شرایط محاسباتی اقدام نمود. ضوابطی که جهت داوری در عملکرد واقعی قطعات و مقاطع انتخابی بکاربرده می‌شود بر مجموعه‌ای از اطلاعات (نظری، آزمایشات در محل و در آزمایشگاه و تجربه علمی) استوار است. در طراحی و محاسبه اکثر سازه‌های متعارف مهندسی، نظیر پلها و ساختمانها و غیره، روش محاسباتی که بر اساس مقایسه شدت تنش مجاز با شدت تنش حاصل از بارگذاریها و یا سایر شرایط محاسباتی استوار می‌باشد از گذشته معمول است. این روش سنتی محاسباتی روش طرح ارتقای نایدیده می‌شود، زیرا در این روش شدت تنش مجاز به نوعی انتخاب می‌شود که در بدترین شرایط بارگذاری سازه، مقدار تنش و یا کرنش هرگز به مقدار تنش و کرنش جاری شدن مصالح نرسد. بدیهی است که تعیین تنش مجاز بر حسب شرایط مربوط به امکان کمانش، خستگی و یا تردی مصالح و یا محدودیتها تغییر مکانی سازه‌ها قابل تغییر خواهد بود.

امکان دارد که بر حسب نوع سازه و یا شرایط موجود تنشهای محاسباتی سازه که بر اساس روش‌های تحلیلی و شرایط فرضی بارگذاری سازه انجام می‌پذیرد هماهنگی و یکسانی کامل با تنشهای حاصل از شرایط و بارگذاری واقعی سازه نداشته باشد. تا زمانی که محاسبات سازه‌ها بر اساس تجربیات قبلی است چنین عدم تطبیقی مهم نیست زیرا با انتخاب بارگذاریها لازم و شدت تنش مجاز، همواره طیفی از ضریب اطمینان در برابر خرابی سازه بر محاسبات حاکم می‌باشد. انتخاب مقدار ضریب اطمینان بستگی به درجه عدم اطمینان در بر این تعیین بارگذاری واقعی، تحلیل و طرح سازه، کیفیت مصالح مصرفی، نوع اجرا و بالاخره به میزان جلوگیری از تخریب سازه دارد. به عنوان مثال اگر تنش مجاز کششی را برای فولاد ساختمانی برابر با  $2300 \text{ Kg/cm}^2$  بگیریم در جایی که تنش جاری شدن فولاد برابر با  $2400 \text{ Kg/cm}^2$  باشد ضریب اطمینانی برابر با  $1/65$  که حاصل تقسیم  $\frac{2300}{2400}$  است انتخاب کردہ‌ایم

روش محاسباتی مبتنی بر تنش مجاز دارای یک نارسايی کلی است و آن عدم توزيع يكسان تنش مجاز در کلیه قطعات سازه و یا در کلیه انواع سازهها است، به همین دلیل امروزه تعامل روزافزونی بر استفاده هرچه بیشتر محاسبات بر اساس مقاومت نهایی سازه



شکل (۴ - ۴) پل مکیناک استراتیت ( Mackinac Straits ) در میشیگان این پل طولبرین پل معلق است، فاصله بین دو مهار کالبهای آن ۲۸۷۷ متر است دهانه اصلی آن ۳۴۷۴ متر بوده که ازین حیث دارای سومین دهانه می باشد.

موجود است و روش مبتنی بر تنش مجاز به عنوان روش مکملی بر این نوع محاسبات تلقی می‌گردد. این روش توین محاسبات، در طراحی سازه‌های بتنی به نام طرح برآسان مقاومت نهایی و در طراحی سازه‌های فلزی به نام طرح خمیری خوانده می‌شود. در این روش ابتدا بارهای مؤثر بر سازه در اعداد مناسبی که ضریب بار خوانده می‌شود و مقدار عددی آنها اساس عدم اطمینانی که بر بارگذاری، امکان تغییر کیفیت بارگذاری در طول عمر بنا، ترکیب بارگذاریهای مختلف و طول زمان ترکیب چند بارگذاری حاکم است تعیین می‌گردد. همچنین در این روش هرگاه محاسبه سازه‌های بتنی مطرح باشد مقاومت نظری قطعات بتنی را با انتخاب ضریب مناسبی برای کاهش مقاومت آن که در اثر تغییرات مختصر مصالح مصرفی بتن، نوع اجرا و ابعاد قطعه بتنی معکن می‌باشد تا میزان مناسی کاهش می‌دهند. به این ترتیب سازه مورد نظر تعیین مقطع می‌گردد و برطبق شرایط موجود بارهای از دیاد یافته ممکن است (۱) سبب گسیختگی ناشی از خستگی، کمانش و یا تردی مصالح و یا (۲) سبب جاری شدن کامل یک مقطع میانی سازه (یا جاری شدن همزمان چندین مقطع) و یا (۳) سبب تغییر مکان ارجاعی- خمیری سازه و یا (۴) سبب قرار گرفتن کل سازه بر گسیختگی کامل، گردد.

طرفداران این روش عقیده دارند که نتایج حاصل از این طریقه بیان کننده مقاومتی یکسان دربرابر بارگذاری پیش‌بینی شده است زیرا که در این محاسبات عملکرد غیر ارجاعی و غیر خطی که در حیطه عملکرد نهایی سازه وجود دارد منظور می‌گردد.

در سالهای اخیر در بین اغلب مهندسین بر جسته این نگرانی روزافزون بوجود آمده است که روش مبتنی بر ضریب اطمینان نه تنها نادرست و دور از واقعیت است بلکه فلسفه طراحی سازه‌ها بر اساس چنین روشنی، در اغلب حالات منتهی بر طرحی غیر اقتصادی و محافظه‌کارانه مسخره‌ای می‌گردد و حتی در بعضی از حالات بر محاسبه‌ای غیر محافظه‌کارانه و با امکان خرابی ختم می‌شود. آنها می‌گویند که هرگز چیزی به عنوان اطمینان کامل دربرابر خرابی وجود ندارد بلکه همواره احتمال خرابی و یا احتمال اینستی وجود خارجی پیدا می‌کند. آنها احساس می‌کنند که بررسی تغییرات اثرات بارگذاری و تغییرات مقاومت سازه‌ها می‌باید بر اساس مطالعات آماری انجام گیرد و بر اساس آن احتمال کارایی و پایبرجایی سازه برآورد شود. در حال حاضر امکان ندارد که چنین روشنی را در طراحی سازه‌ای به کار برد ولی امکان این که بتوان چنین روشنی را بر ضوابط محاسباتی و طراحی سازه‌ها حاکم نمود پیش‌بینی می‌گردد. سعی فراوانی بر احراق این آرزو انجام می‌گیرد تا آئین نامه‌های ساختمنی به طور واضح ضریب و یا احتمال مربوط به هرمورדי را بیان کند.

## مصالح ساختمانی

بدیهی است که دسترسی بر مصالح مناسب ساختمانی یکی از شرایط محدود کننده یک مهندس سازه‌های مجرب است. سازنده‌های اولیه ساختمانها محدود به مصالحی نظری چوب، سنگ و آجر بودند و گرچه کاربرد آن حداقل از زمان بنای اهرام مصر متداول شده است ولی استفاده از آن به عنوان یکی از مصالح ساختمانی بدلیل عدم امکان ذوب آن در مقیاس وسیع همواره محدود بوده است. پس ازانقلاب صنعتی و نیاز میرم به آن به عنوان یکی از مصالح ساختمانی قدرت ذوب آن در حد وسیعی ممکن گردید.

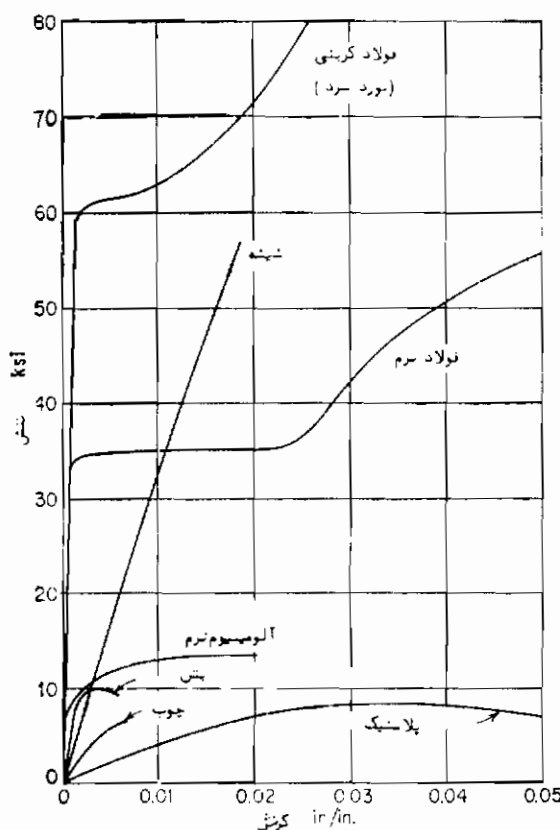
جان اسمیتن John Smeaton اولین مهندس انگلیسی ساختمان است که برای اولین بار به عنوان یک مهندس سازه در اواسط قرن هیجدهم از چدن استفاده کرد و سپس دومین مهندس انگلیسی آبراهام دارابی Abraham Darby اولین پل از چدن را در سالهای ۱۷۷۶-۱۷۷۹ میلادی که یک پل قوسی چدنی با قوسهای نیم دایره است احداث نمود. شاهتیرهای چدنی، غیرقابل انعطاف بودند و در تحت اثر بارهای متحرک در آنها گسیختگی ناشی از خستگی و شکنندگی ایجاد می‌شد، بعد از آنها آن انعطاف پذیر ساخته شد و بطور وسیعی بعداز سالهای ۱۸۴۱ میلادی به کار برده شد. شاهتیرهای ساخته شده از ورقهای آهنی به طور متداول در پلهای با دهانه کم به کار رفت. از آنجائی که پلهای معلق بادهانه‌های وسیع به عنوان پل عبوری راه آن دارای خمش پذیری زیادی بودند لازم بود که به طرح سازه‌های صلبتری برای چنین پلهایی اقدام شود و بهاین جهت از طرح لوله‌ای ساخته شده از آن نرم برای احداث پلهای معروف بریتانیا Britannia و کن وی Conway که در سالهای قبل از ۱۸۵۰ میلادی ایجاد شد استفاده گردید. در همین سالها ایجاد خرپاهای آهنی در ممالک متحده آمریکا، انگلستان و اروپا متداول شد. ضمناً اولین پل معلق از زنجیر آهنی در سال ۱۷۴۱ میلادی در انگلستان احداث گردید.

گرچه آن نرم مزیتهای فراوانی بر چدن داشت ولی باز هم گسیختگی‌هایی در سازه‌ها دیده می‌شد و نیاز مبرمی به مصالحی با انعطاف پذیری بیشتر حس می‌گردید. فولاد پاسخی براین نیاز بود. اختراع کوره بسمر Bessemer در سال ۱۸۵۶ میلادی و به دنبال آن کوره‌های زیمنس - مارتین Siemens-Martin که سبب تولید فولاد با قیمتی مناسب گردید باعث پیشرفت‌های شایانی در ایجاد سازه‌های فولادی صد سال اخیر شد.

معمولًا "فولاد کربنی تقریباً" یک ماده کامل ساختمانی است. آن را می‌توان به صورت مناسب و اقتصادی به شکل‌های مختلف نورد شده و ابعاد و اندازه‌های دلخواه در آورد. آن را می‌شود با فنون مختلف و روشهای متعدد بدون آن که به طور مشخصی خصوصیات فیزیکی آن

"تغییر کند قبلاً" در کارخانه ساخته و سپس در کارگاه نصب نمود . مقاومت فشاری آن برابر با مقاومت کشی آن است و تا حدود ۵۵ درصد مقاومتنهایی خود به صورت ارتتجاعی عمل می‌کند و در این حالت دارای ضریب ارتتجاعی بسیار بالایی است . پس از آن که از این محدوده خارج گردید فولاد با تنفسی ثابت کرنشی برابر با  $1/5$  الی  $2$  درصد را به صورت جاری تحمل می‌کند و چنان عملکردی این امکان را بموجود می‌آورد که اگر بدلیل خطای نصب و یا ساخت، تنفسهای بالایی در نقاطی بوجود آمده باشد این تنفسها به صورت یکنواخت متعادل گردد . پس از جاری شدن ، فولاد قسمتی از سختی اولیه خود را باز می‌یابد و قبل از آنکه گسیختگی کامل نعونه کشی ایجاد شود ، نعونه مزبور  $15$  الی  $25$  درصد طول اولیه خود از دیگر طول پیدا می‌کند . نعمودارهای تنش - کرنش مصالح مختلف در شکل (ب - ۵) نشان داده شده است .

مهترین عیب فولاد اکسایش سهل آن است و لذا آن را می‌باید توسط رنگ و یا سایر



شکل (ب - ۵) نعمودار تنش - کرنش مصالح مختلف

مواد دیگر پوشانید . اگر فولاد در مکانی که امکان حریق آن وجود داشته باشد به کار رود باید آن را با پوششی ضدحریق نظیر مصالح بنایی ، بتن وغیره پوشانید معمولاً "قطعات فولادی دچار گسیختگی ناشی از شکنندگی نمی شوند مگر این که اتفاقاً "دارای ترکیب نامناسب شیمیایی بوده و یا در دمای بسیار پائین واقع شده و یا این که تحت اثر تنشهای دو و یا سه محوری قرار گیرند (گسیختگی ناشی از تردی فولاد هنوز هم به طور کامل حل نشده است گرچه مکانیسم این شکست بنحو مطلوبی تحلیل گردیده است ) .

آلومینیوم ساختمانی هنوز به صورت وسیعی در سازه های مربوط به مهندسی راه و ساختمان کاربردی پیدا نکرده است گرچه استفاده از آن روز بروز افزایش می یابد . در اثر انتخاب مناسب آلیاژ آلومینیوم و دقت در حرارت دهی آن می توان انواع مختلف آلومینیوم با مقاومت های متفاوت بعدست آورد . برخی از آلیاژ های آن با فولاد ساختمانی دارای مشخصات یکسانی هستند و تنها اختلاف آنها با فولاد ساختمانی در ضریب ارتجاجایی قسمت خطی آنهاست که در حدود پنجم ضریب ارتجاجایی فولاد می باشد . سیکی وزن و مقاومت در برابر اکسایش دو مزیت عده آلومینیوم را تشکیل می دهد و چون خصوصیات آلومینیوم بستگی کامل به حرارت دهی آن دارد لذا در پرچکاری آن ملاحظات بسیاری لازم است . در سال های اخیر فنون متعددی جهت پیش ساخته نمودن قطعات آلومینیوم به منظور آماده نمودن آن جهت نصب توسط پیچ در کارگاه و ایجاد تعداد زیادی از سازه های پوسته ای زیبا ، ابداع شده است . به نظر مردم این چنین روشنی که بر پیش ساخته نمودن قطعات آلومینیوم در کارخانه و نصب آنها به کمک پیچ در محل استوار است بهترین روش جهت کاربرد آلومینیوم ساختمانی باشد .

بتن مسلح و بتن پیش تنبیده مانند فولاد ساختمانی سهم بزرگی در مصالح ساختمانی مهندسی ساختمان دارند . سیمان طبیعی در طی قرون متعددی در سازه ها به کار برده شده است . ساختمانهای جدید بتنی از اواسط قرن نوزدهم همزمان با اختراع سیمان پرتلند توسط آسپیدین Aspidin انگلیسی که در حدود سال ۱۸۲۵ میلادی اتفاق افتاد بنا شدند . گرچه ساختمانهای متعددی توسط مهندسین مجرب در نیمه دوم قرن نوزدهم از بتن فولادی ساخته شد ولی کاربرد عده بتن به عنوان یکی از مصالح مهم ساختمانی در دهه های قرن اخیر پیشرفت مهم و روزافزونی در طرح ساختمانهای بتنی پیش تنبیده بوجود آمده که این مهم عده مرهون فرایسینه Freyssinet فرانسوی و مانیل Magne1 بلژیکی است .

بتن غیر مسلح نه تنها یک ماده ناهمگن است بلکه به عنوان یکی از مصالح ساختمانی دارای عیوبی عده می باشد و آن عدم قدرت تحمل کشش آن است و قدرت کشش آن به یکدیم قدرت تحمل فشاری آن محدود می گردد . نه تنها گسیختگی بتن با فروریختن آن به صورت ناگهانی بوجود می آید بلکه گسیختگی فشاری آن نیز بهمین نحو بوده و بدون خبرگردان

قبلی توسط تغییر شکل زیاد حادث می‌شود (بديهی است که در ساختمانهای بتن فولادی انتخاب و جاگذاری مناسب فولاد در مقاطع بتی بقطعات بتی فولادی عملکرد انعطاف - پذیری خواهد داد) . حتی اگر در انتخاب دانه‌بندی مصالح و نوع آنها دقت بسیار انجام گیرد و در اختلاط و ریختن بتی ملاحظات کامل انجام پذیرد باز هم پیغامدگی بتی می‌تواند خسارات بسیاری بر بتی وارد نماید . بتی تحت اثر بارهای درازمدت خروش پیدا می‌کند و مراعات این خاصیت بتی در تحلیل قطعات بتی بسیار مهم است . در طی زمان نگهداری مخصوصاً "در دوران اولیه عمر آن ، بتی به مقدار قابل ملاحظه‌ای انقباض می‌یابد که مقدار آن را می‌توان تا اندازه‌ای با انتخاب مناسب مخلوط بتی و استفاده از فنون مناسب بتی سازی و بتی ریزی کاهش داد .

با تمام این نارسایهای جدی بتی مسلح ، مهندسین ساختمان توانسته‌اند در ایجاد ساختمانهای گوناگون زیبا و با دوام و اقتصادی از بتی مسلح موفق باشند . این چنین موققیتهایی مرهون انتخاب مناسب ابعاد قطعات ، فرآوری از بتی مسلح فولاد در مقاطع بتی مسلح و پیشرفت‌های عمدۀ در ساختن سیمان ، انتخاب مخلوط و مصالح مناسب بررسی دقیق اختلاط بتی ، بتی ریزی ، نگهداری بتی و همچنین پیشرفت‌های عمدۀ در طرق اجرای ساختمانها و در وسائل و ماشین‌آلات ساختمانی است .

روانی بتی و امکان تهیه مصالح آن در سطح وسیع به اضافه شکل‌گیری بتی سبب شده است که نه تنها در تهیه بتی پیش‌ساخته و پیش‌تییده پیشرفت روزافزونی حاصل شود بلکه سبب شده است که ساختمانهای بتی مسلح سنتی به صورت یکی از مهمترین سازه‌های در حال توسعه حال و آینده درآید . کاربرد قطعات بتی پیش‌ساخته که تحت بررسیهای جدی در کارخانجات تهیه شده و با استفاده از فنون تئیدن بتی در کارگاه‌های نصب می‌شوند به صورت بسیار سریعی توسعه می‌یابد دلیل آن نسبت بالای دستمزد کارگر بتی کار به قیمت مصالح آن بتی می‌باشد .

چوب یکی از مصالحی است که از ابتدای امر به دلیل استحکام تقریباً "یکسان آن در فشار و کشش مورد استفاده سازندگان اینیه قرار داشته است . چوب بر حسب نوع آن و به دلیل گرهای موجود در آن ماده‌ای ناهمگن است ، استحکام آن در امتداد طولی و عرضی دارای تفاوت فاحشی بوده و بعاین دلیل جسمی ناهمگن است . به دلیل حساسیت زیادی که بر رطوبت و باکتریها و اثرات حشرات مضر دارد دوام زیادی ندارد . استحکام کششی و فشاری این جسم در امتداد موازی با تارهای طولی آن بیشتر از استحکام آن در امتداد عمود بر تارها است و استحکام برش چوب در امتداد عمود بر تارهای طولی بیشتر از استحکام آن در امتداد موازی با آن تارها است . از طرف دیگر چوب مقاومت چندانی در برابر بارهای طویل المدت

ندارد. این ماده زیر بارها تغییرشکل پیدا کرده و شکم می‌دهد زیرا که ضربت ارجاعی آن در حدود نصف ضربت ارجاعی بتن (و در حدود یک دوازدهم ضربت ارجاعی فولاد) است. گسیختگی حاصل از فشار در چوب ناگهانی نیست ولی گسیختگی حاصل از کشش آن ناگهانی است. البته نه به صورت گسیختگی در بتن -. در طرح سازه‌های چوبی باید ابعاد مورد نظر را با در نظر گرفتن تغییر آن در اثر حرارت و رطوبت طرح نمود. واضح است که طریق تربین قسمت طراحی در سازه‌های چوبی مربوط به ارائه اتصالات مناسب و عملی در آنها است.

در حال حاضر بهدلیل توسعه وسیعی که در اجرای سازه‌های فولادی و بتن مسلح بوجود آمده است استفاده از چوب به طور عمده برای ایجاد داربست‌ها و چوب بست‌ها و یا جهت استفاده در سازه‌های درجه دوم و یا موقعی می‌باشد. صنایع جدید در این چهل سال اخیر به سازه‌های چوبی جانی تازه داده است احیای سازه‌های چوبی با ارائه انواع اتصالات جدید و با استفاده از صنعت برای بالابردن دوام چوبها و به صورت چندلایه در آوردن آنها و چسبانیدن این لایه‌ها به یکدیگر به مکم چسبهای باددام انجام گرفته است. استفاده از تخته‌های چندلایه دلیل استحکام یکسان آن در کلیه جهات روز به روز افزونتر می‌شود و پیشرفت فن اجرای سازه‌های چوبی با استفاده از این نوع چوبها تا جایی است که در برخی از انواع سازه‌ها این چنین اسکلت‌ها با سازه‌های بتنی و فولادی به رقابت پرداخته‌اند.

مصالحی که در آینده به عنوان مصالح مهندسی به کار خواهند رفت عبارت از پلاستیک و فلزهای خوشنما و الیازهای نظیر بریلیوم، تنگستن، تانتالیوم، تیتانیوم، مولیبدن، کرمونیوم، و انادیم و نیوبیوم است. انواع متفاوتی از مصالح پلاستیکی وجود دارد که مشخصات مکانیکی آن مصالح به نحویست که طیف وسیعی را ایجاد می‌نماید. در این طیف می‌توان مقاومت موردنیاز مصالح ساختمانی موردنیاز را یافت و به این ترتیب برای یک طرح مخصوص یک نوع پلاستیک مناسی را انتخاب نمود. تجربه نشان می‌دهد که کاربرد مصالح پلاستیکی در مجاورت هوا محدود است لذا باید به این خاصیت مواد پلاستیکی در طرح قطعات اولیه سازه‌ها توجه نمود. یکی از موارد کاربرد مصالح پلاستیکی استفاده از آنها در سازه‌های پوسته‌ای و مشبك است و به این جهت در آینده توسعه استفاده از این ماده در این سازه‌ها پیش‌بینی می‌شود.

یکی دیگر از مصالح پیشرفته ساختمانی ترکیبی از فیبر و یا اجسام نظیر فیبر و بتن است که سبب مسلح شدن بتن می‌گردد، گرچه از ترکیباتی مشتمل از فیبرهای شیشه‌ای و بتن که از جنس شیشه و یا پلاستیک می‌باشد استفاده می‌شود، ولی به نظر می‌رسد استفاده وسیع از آن در انواع عناصر درجه دوم ساختمانی بیشتر است. بتن مسلح شده توسط فیبر یکی دیگر از

ترکیباتی است که به طور جدی مورد بررسی قرار می‌گیرد تجربیات متعددی بر روی ساخته‌هایی از این ماده تحت شرایط مختلف باربری مورد آزمایش قرار گرفته است. آزمایشاتی بر روی ترکیبی از فیبرهای شیشه‌ای و یا آهنی و بتن انجام گرفته، بارگذاریهای تجربی بر روی ترکیب بتن و فیبر آهنی به عمل آمده است.

### انواع نارسایی‌ها و گسیختگی‌های سازه‌ها

نامناسب بودن سازه ممکن است به یکی از شکل‌های زیر ظاهر شود بدترین حالت آن حتی زمانی که کمترین تلفات جانی را سبب شود گسیختگی سازه خواهد بود. گسیختگی سازه ممکن است کلی بوده و سبب از هم پاشیدن کل سازه شود و یا ممکن است موضعی بوده و محدود به یک قسمت از سازه باشد. اغلب گسیختگی‌ها در زمان ساخت سازه اتفاق می‌افتد و معمولاً "بدلیل برنامه‌ریزی غلط اجرا و نامناسب بودن تکیه‌گاهها و مهارهای سازه‌های ناتمام بوجود می‌آید. گاهی اوقات گسیختگی کامل سازه به دلیل سانحه‌های طبیعی، انفجار، تصادم و یا حریق کامل اتفاق می‌افتد ولی اغلب گسیختگی‌ها به سبب بارگذاریهای معمول به سازه بوجود می‌آید.

شکل دیگری از نامناسب بودن یک سازه که نسبت به حالت قابل کم آسیب‌تر است غیرقابل استفاده شدن سازه است. چنین حالتی که به دلیل نقص سازه اتفاق می‌افتد علاوه بر آن مانند حالت قبل تأسیف بار نیست ولی می‌تواند خسارت مالی فراوانی به مالک خود وارد نماید. به عنوان مثال، غیرقابل استفاده بودن یک سازه ممکن است به دلیل عدم صلابت لازم و خاصیت ارتعاشی نامتعارف آن بوجود آید. در این حالت به علت خاصیت ارتعاشی سازه کارکرد مناسب برخی از ماشین‌آلات حساس‌که بر آن سازه تکیه دارند مقدور نبوده و بتدربیج ترکهای مویی در روکاری و یا توکاری ساختمن بوجود آمده و بسیاری از مردم ساکن آن ساختمن در حرکات شدید بنا و تغییر شکل‌های محسوس آن متوجه خواهند شد. از طرف دیگر ممکن است خاصیت ارتعاشی سازه به دلیل ضعف آن در برابر بارهای دینامیکی مؤثر بر آن اتفاق افتد، چنین ضعیی سبب خواهد شد که ساختمن در برابر زلزله‌ای ضعیف و یا در برابر اثرات آئیردینامیکی بادی نسبتاً ضعیف همان‌طوری که در مورد پل ناکوما Tacoma Narrows Suspension Bridge در سال ۱۹۴۰ میلادی اتفاق افتاد و از گونه شود.

بی‌توجهی‌های متعددی علاوه بر نامناسب بودن عناصر اصلی یک سازه می‌تواند عامل اولیه گسیختگی سازه باشد، به عنوان مثال روش غلط اطفاء حریق می‌تواند باعث حریقی

خارج از مهار شده و سبب چنان افزایش دمایی گردد که تغییرشکل فوق العاده فولاد سازه را ایجاد نماید و به این ترتیب سبب نقصان قدرت باربری یک خربای باربر شده و گسیختگی آن خربای سبب شود . نظارت ناصحیح ممکن است باعث گردد که پوشش ضد حریق تیریزی کف یک آزمایشگاه به طور ناقصی اجرا شده و سبب گردد که انفجاری موضعی که باعث حریقی موضعی می شود سبب خسارت فوق العاده ای گردد . اجرای نادرست می تواند منجر به رنگ آمیزی ناقص ضد زنگ اتصالات مهم شده و لذا باعث زنگزدگی آن اتصال گردد که خود عامل گسیختگی آن اتصال تحت اثربارهای دینامیکی خواهد شد . در حالت دیگری اشتباها محاسباتی سبب خواهد شد که مثلاً "اثر نیرویی در طرح و محاسبه گرهی در نظر گرفته نشده باشد و لذا سبب ریزش سازه نیمه نصب شده گردد . یکی دیگر از اشتباها متعارف طراحی، محاسبه غلط تکیه گاههای تیرهای قرار گرفته بر روی دیوارهای آجری است – طرح و محاسبه گرهها فوق العاده مهم می باشد . شاید بهتر باشد که مهندسین سازه و ساختمان همواره به میاد داشته باشند که بخاطر میخی، کفتشی از بین می رود و بخاطر نعل اسبی می میرد . اغلب در استفاده از سازه های کهنه و یا در تبدیل سازه های کهنه به سازه های جدید، قضاوت نادرستی در باربری آنها انجام می گیرد به طوری که سبب می گردد سازه تحت اثر بارهایی که هرگز برای آن محاسبه نشده است قرار گیرد و به این ترتیب واژگونی آن حادث گردد . بالاخره واژگونی و گسیختگی یک سازه ممکن است در اثر حرکت و نشست یک پی که به طور نادرستی محاسبه شده است بوجود آید .

گسیختگی یک سازه ممکن است در اثر گسیختگی یکی از عناصر آن در حالات زیر بوجود آید : تغییرشکل خمیری و یا گسیختگی تدریجی مصالح ، گسیختگی ناگهانی (توأم با شکستگی) مصالح ، کمانش و یا خستگی مصالح .

گسیختگی تدریجی سازه که در اثر کش آمدن مصالح نرم آن بوجود می آید بندرست امکان پذیر است زیرا در چنین گسیختگی تغییرشکلهای فوق العاده بوجود می آید که به دنبال خود تغییر مکان و افت چشمگیری را سبب می شود . تحت اثر بارگذاریهای متعارف در یک چنین حالاتی می توان با حذف بارگذاری موضعی ساختمان و یا با تقویت موقت آن از گسیختگی کامل بنا جلوگیری کرد . بدیهی است که در موارد فاجعه آمیز نظیر وقوع زلزله ، طوفان ، سیل آتش سوزی و بمباران شناس جلوگیری از ریزش حاصل از گسیختگی تدریجی سازه وجود نداشته و واژگونی در اثر تغییرشکل فوق العاده خمیری سازه اتفاق خواهد افتاد . در اغلب سازه های واژگون شده معمولاً "تغییرشکل فوق العاده خمیری در بسیاری از نقاط آن دیده می شود ، ولی به طور متعارف این نوع تغییرشکلهای همزمان با واژگونی سازه بوجود می آیند و بعثتها بسب گسیختگی سازه نمی شوند .

گسیختگی حاصل از تردی مصالح سازه بیشتر از گسیختگی تدریجی مصالح سبب واژگونی سازه‌ها می‌گردد. برخی از فولادها (و شاید بعضی از سایر آلیاژها) بر حسب این که ترکیب متالورژیکی آنها چه بوده و بچه نحوی ساخته شوند اغلب در دمای پائین دچار چنین گسیختگی و شکست می‌شوند. مخصوصاً "اگر قطعه به‌نوعی طرح و ساخته شده باشد که محل گسیختگی تحت اثرتیش دو و یا سه محوری قرار گرفته باشد و در اثر آن از جاری شدن خمیری فولاد در آن نقطه مانع شده و سبب برش مقطع در آن گردد. در سازه‌های بتمن مسلح شکستگی مقطع زمانی حادث می‌گردد که سطح مقطع فولاد بالا باشد ولذا قبل از این‌که فولاد مقطع به‌حد جاری شدن خود برسد بتمن تحت اثر فشار موجود گسیخته گردد. در یک چنان حالاتی اگر فولاد فشاری با تنگی‌های مناسب در مقطع بتمن پیش‌بینی نشده باشد که بتواند از گسیختگی سطح تحت فشار جلوگیری کند واژگونی ناگهانی مقطع بوجود خواهد آمد. چنین حالتی زمانی که فولاد نامناسب قطری نیز در مقطع وجود داشته باشد امکان وقوع پیدا خواهد نمود.

در سازه‌های مربوط به مهندسی (راه و ساختمان) عمران که در اغلب بارهای واردہ به‌آنها به صورت استاتیک است، اغلب واژگونی‌ها در اثر کماش قطعات است. ممکن است کماش موضعی به‌نتهایی سبب واژگونی کامل سازه شود. چنین حالتی بال و یا صفحه جان فشاری یک قطعه و یا بال و جان فشاری یک شاهتیر می‌تواند بطور موضعی کمانه کند. قطعات فشاری و یا تیری از یک سازه ممکن است به‌نتهایی کمانه نموده و یا امکان دارد کل سازه ناپایدار گردد. در سازه‌های مهندسی گاهی اوقات کماش سازه‌ها یک کماش ارتجاعی است، که در این صورت اگر بار واردہ بر سازه حذف شود آن سازه به‌شكل اولیه خود برگشت خواهد نمود. مقاومت در برابر چنین کماشی بستگی به صلابت خمشی قطعه و طول و گاهی عرض مهار نشده آن قطعه دارد و چندان ربطی به‌شدت تنش واردہ پیدا نمی‌کند. در اغلب اوقات با در نظر گرفتن ضریب لاغری‌های متعارف، کماش سازه‌ها یک کماش غیر ارتجاعی است، که در این حالت، تنش موجود در قطعه بیشتر از تنش حد خطی مصالح است در این حالت شدت تنش موجود عامل مؤثر و تعیین‌کننده خواهد بود زیرا در این حیطه از عملکرد مصالح، کرنش و صلابت خمشی رابطه مستقیم با شدت تنش پیدا می‌کند. گاهی اوقات در حیطه کماش ارتجاعی امکان دارد بار قسمتی از قطعه به‌دلیل تغییر‌شکل حاصل از کماش نقصان یابد ولی گاهی نیز چنین حالتی امکان وجود پیدا نمی‌کند و به‌دلیل اثر بار مداوم، تغییر‌شکل کماشی افزایش یافته و به‌دبیال خود سبب تغییر‌شکل خمیری در قطعه و در نتیجه باعث خرابی آن می‌گردد.

واژگونی حاصل از خستگی عموماً در سازه‌های متعارف مهندسی ساختمان

کمتر اتفاق می‌افتد دولی متناسبانه در برخی موارد احتمال چنین واژگونی رو به افزایش نهاده است. چنین واژگونیها بی معولاً "ا شکستگی ناگهانی بوجود می‌آید که اغلب تشخیص علت چنین شکستگیها غیرممکن است. نمونه عینی چنین واژگونی، گسیختگی پل معلق پوینت پلزنت (Point Pleasant) می‌باشد که این پل پس از بیش از پنجاه سال خدمت در ۱۵ دسامبر ۱۹۶۷ میلادی با بیش از بیست کشته واژگون گردید. این پل در ورجینیا غربی قرار داشت. گسیختگی به دلیل شکافتگی یکی از حفره‌های عبور میله‌های کشی که در اثر فساد تدریجی مصالح افتاده بود ایجاد گردید. البته مهندسین خبره در علت ایجاد این خرابی توافق ندارند و برخی از آنان علت شکستگی را خرابی حاصل از تنفس می‌دانند و برخی بر خرابی حاصل از خستگی اصرار می‌ورزند. در گزارش رسمی که علت خرابی را باید بیان کند نیز این اختلاف حل نگردید.

هرگاه بارهای دینامیکی قابل ملاحظه و یا این که لرزش شدیدی بر سازه اثر کند، باید امکان شکستگی حاصل از خستگی را در مد نظر داشت. شکستگی حاصل از خستگی ارتجاعی به صورت خشک بوجود می‌آید که علت آن را فقط می‌توان با بررسیهای دقیق، تعیین نمود. البته خستگی خمیری نیز امکان وقوع دارد ولی این نوع خستگی زمانی امکان پیدا می‌کند که مثلاً سیمی و یا قطعه‌ای به حد خمیری در جهت دیگر خم نماید خم تغییر یابد و بار دیگر آن قطعه و یا آن سیم را تا حد خمیری در جهت دیگر خم نماید و این عمل تغییر خم خود مداوم نادامه یابد. چون در سازه‌های مهندسی ساختمان چنین امکان تغییر جهت خمی با مقدار بالا وجود ندارد، چنین شکستگی ندرتاً امکان پیدامی کند با وجود این باید چنین حالت واژگونی را شناخت و مورد بررسی قرار داد.

بنابراین مهندسین سازه با شناخت کافی از امکانات خرابی و واژگونی سازه‌ها باید سازه را چنان طراحی نمایند که امکان غیرقابل مصرف شدن آن وجود نداشته باشد، لذا مهندس سازه می‌بایستی کلیه اسکلت‌های سازه مورد نظر را تحت اثر بارها و اثرات مؤثر بر آن مورد بررسی قرار دهد و اگر جهت چنین بررسی مباحثت نظری موجود نارسا و ناکافی باشد با استفاده از تجربیات خود اقدام به مدل‌سازی و یا آزمایشات لازم بنماید.

### شکلهای سازه

مهترین تصمیم طراحی که توسط مهندس سازه گرفته می‌شود انتخاب مناسب‌ترین شکل برای سازه است به نوعی که آن سازه قادر به پاسخگویی به کلیه خصوصیات مورد نظر باشد. اغلب اوقات مهندس سازه قادر نیست که به طور مطمئن و سریع

بهترین شکل سازه را انتخاب نماید و مجبور است چندین اسلکت مختلف را انتخاب کرده و پس از گذشتن از مراحل برنامه‌ریزی و طراحی به انتخاب بهترین آنها اقدام کند. بهترین و مناسب‌ترین شکل سازه اسلکتی است که بهترین نحو چه از نظر عملکرد و چهاربینی اقتصادی اجتماعی، زیبایی و سایر ملزومات مهندسی بر سایر راه حل‌های طراحی ارجحیت داشته باشد.

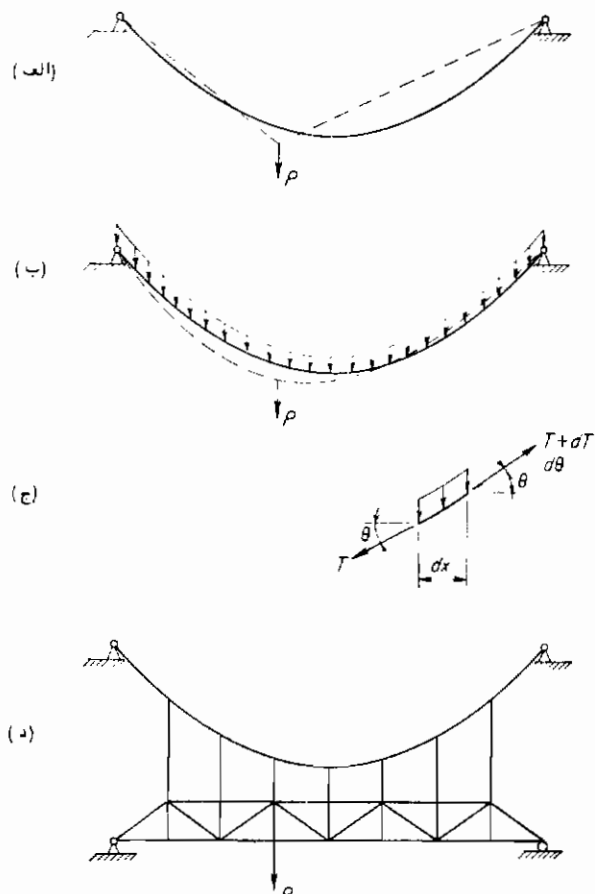
به صورت کلی شکل‌های سازه را می‌توان بر حسب تنوع حداکثر موجود در آنها به دو نوع زیر تقسیم کرد: اولین نوع اسلکت‌های با تنفس یکنواخت است. در این نوع اسلکت‌ها همواره شدت تنفس در عمق جدار مقدار ثابتی است به عنوان مثال می‌توان کابلها، قطعات خربنا، غشاها و پوسته‌ها را نام برد. دومین نوع، اسلکت‌های با تنفس متغیر است، در این نوع اسلکت‌ها شدت تنفس در عمق مقطع قطعه متغیر است که عموماً "این تغییر از مقدار حداکثر کششی در یکی از سطوح خارجی تا مقدار حداکثر فشاری در سطح دیگر خارجی قطعه تغییر می‌کند، به عنوان مثال می‌توان تیرها، قابهای صلب، دالها و صفحات را ذکر کرد.

بدیهی است در اسلکت‌های با تنفس یکنواخت بهتر از اسلکت‌های با تنفس متغیر از مصالح مصرفی بهره‌برداری می‌گردد زیرا تحت شرایط ارتقایی، همواره مصالح بین دو جدار خارجی قطعه، تحت اثر تنفس قابل ملاحظه‌ای قرار می‌گیرند و به این جهت همواره طراحان سازه‌سی براستفاده از اسلکت‌های با تنفس یکنواخت دارند ولی واضح است که گاهی به دلیل عدم محدودرات ساخت و مشکلات ناشی از اجرا، چنین انتخابی مقرن بصره نمی‌باشد.

### سازه‌های کابلی

سازه‌های حاصل از کابل‌های فلزی، اسلکت‌های مقرن به صرفه‌ای را ایجاد می‌کنند، کابلها قطعات خمش پذیری هستند به این معنی که مقاومت خمشی آنها ناچیز بوده ولذا فقط با تحمل کشش بهاربری قطعه می‌پردازند، و آنقدر تغییر شکل می‌دهند تا به شکل کثیرالاضلاع تعادل خود در آیند (بهمفصل ۱۵ مراجعه شود). این سازگاری شکل فقط یک تغییر شکل هندسی است و هیچ شباختی به خصوصیات تغییر شکل حاصل در اجسامی که بدلیل روابط بین تنفس و کوشش تغییر شکلی پیدا می‌کنند ندارد. همان‌طوری که در شکل (ب - ۶ الف) با خطر پر نشان داده شده است، شکل کابل تحت اثر وزن خود به صورت معادله زنجیر خواهد بود. حال اگر همین کابل را تحت اثر بار قابل ملاحظه‌ای (در مقایسه با وزن خود کابل) نظیر  $P$  قرار دهیم شکل کابل کامل‌ا" تغییر یافته و به صورت واضحی به شکلی که با خطوط مستقیم خط‌چین نشان داده شده است درمی‌آید. اگر همین کابل را تحت اثر باری که در مقام مقایسه با وزن خود کابل ناچیز باشد قرار دهیم همان‌طوری که در شکل (ب - ع) نشان داده شده است تغییر شکل آن در اثر

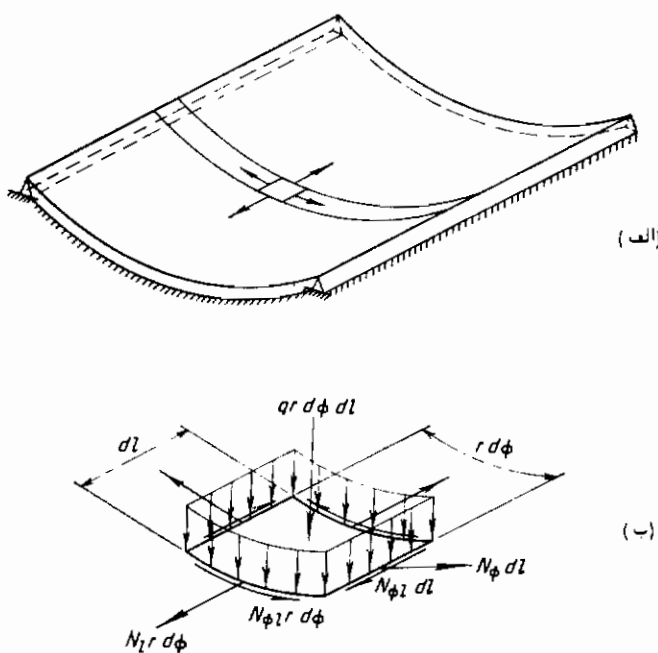
واردشدن این بار ناچیز خواهد بود . اصول حاکم بر تغییرشکل این سازه واضح است زیرا با بررسی تعادل قسمت کوچکی از آن می‌توان دریافت که حفظ تعادل افقی و عمودی یک کابل فقط به دو طریق امکان‌پذیر است . (۱) با تغییر کشش کابل (۲) با تغییر شیب آن . بهمیانی دیگر با قبول تغییرشکل ، فقط یک مجھول (کشش کابل) قادر نخواهد بود که در حالت کلی تأمین‌کننده هردو معادله تعادل باشد – دوم مجھول (کشش کابل و شیب آن) جهت این برقراری لازم است . از آن جایی که در عمل ، تغییرشکل زیاده از حد کابل سبب مزاحمت خواهد بود لذا به طوری که در شکل (پ - ۶) نشان داده شده است لازم است که خریابی جهت پخش بارهای متمرکز وارد بکابل اضافه گردد .



شکل (پ - ۶) – سازه‌های کابلی

یک غشاء خمش‌پذیر نظریه آنچه در شکل (پ - ۷ الف) نشان داده شده

است در وهله اول چنان وانسود می‌کند که عملکردی مشابه تعداد زیادی کابل که در کتار یکدیگر قرار گرفته باشند داشته باشد، در حقیقت هرگاه یک چنین غشاًی در دو کتار قوسی خود دارای تکیه‌گاه نباشد عملاً چنان حالتی نیز وجود خواهد داشت. ولی در حالت کلی تنشهای برشی موجود بین عناصر کابلی مجاور یکدیگر سبب می‌شود که تفاوت فاحشی بین یک غشاء و کابل بوجود آید. این تفاوت را می‌توان با بررسی جزء قطعه‌ای از غشاء به طوری که در شکل (پ - ۲) نشان داده شده است بررسی نمود. جهت تعادل جزیی از یک غشاء سه‌شرط باید تأمین گردد، - جمع جبری نیروها در سه جهت افقی، محیطی و شعاعی

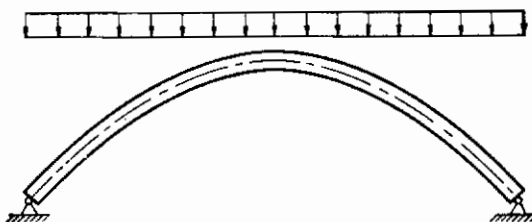


شکل (پ - ۲) غشاء استوانه‌ای

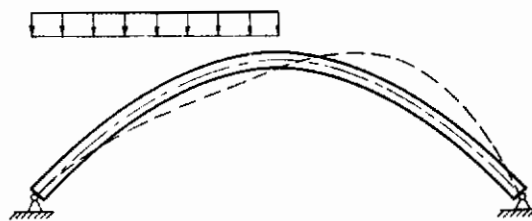
باید برابر با صفر شود - بیاید داریم که در تعادل کابل فقط دو شرط مجبوب بود، ملاحظه می‌گردد که در هر صورت در مورد یک غشاء، سه نیروی  $N_r$ ،  $N_\phi$  و  $N_{\phi l}$  وجود دارد که با تغییر مقادیر آنها می‌توان سه شرط تعادل موردنظر را بدون اینکه تغییر شکل غشاء در حد بیشتر از تغییر شکل‌های موجود حاصل از روابط بین تنش و کرنش لزوم داشته باشد برقرار نمود یک چنین خاصیت سه‌بعدی غشاء‌ها سبب می‌شود که از نظر سازه‌ای تفاوت فاحشی بین غشاء و کابل دو بعدی وجود داشته باشد. این چنین سازه‌ای یک اسکلت باربر با تنש یک‌باخت است که بدون این که تغییر شکلی خارج از تغییر مکان‌های کوچک حاصل از تغییر شکل مصالح

خود داشته باشد، قادر به تحمل بارهای گسترده است. واضح است که اثر یک بار متمنکر قابل ملاحظه بر یک غشاء – که سبب انفصال در بارگذاری می‌گردد – همان طوری که در کابلها سبب تغییرشکل ناگهانی می‌شود در آن نیزیک چنین تغییرشکلی را بوجود خواهد آورد.

اگر یک طاق (یا قوس) نظری آنچه در شکل (ب - ۸ الف) نشان داده شده است شکلی منطبق بر کثیرالاصلاء تعادل بار مؤثر بر آن داشته باشد مانند یک کابل وارونه عمل خواهد نمود. گرچه طاقها بر عکس کابلها خمش پذیر دارای استحکام و سختی خمی می‌باشند ولی آنها نیز عموماً بارگذاری فوق الذکر را با تنفس یکواخت در عمق مقطع خود و بدون خمش تحمل خواهند نمود. حال اگر این طاق را تحت اثر بارگذاری دیگری قرار دهیم همان طوری که در شکل (ب - ۸ ب) نشان داده شده است طاق تمايل به تغییرشکل پیدا خواهد کرد



(الف) - شکل محور طاق به نوعی انسخاب شده است که منطبق بر شکل کثیرالاصلاء تعادل بار واردہ باشد.



(ب) - این طاق همان شکل طاق (الف) را دارد ولی تحت اثر بار منفاوتی غفارگرته و به این جهت محور طاق به صورتی که با مقایسه عارج از اندازه توسط خط چین نشان داده شده است خمش پیدا کرده است.

### شکل (ب - ۸) طاق دو مفصل

درست مانند یک کابل – تابتواند به شکل کثیرالاصلاء تعادل بارگذاری جدید در آید، ولی چون دارای سختی خمی می‌باشد این تغییرشکل بدون ایجاد لنگر ممکن نخواهد شد درنتیجه طاق مزبور متحمل لنگرشده و تغییرشکل ناچیزی خواهد داد. – این تغییرشکل بعیزانی است که تعادل طاق توسط تنشهای حاصل از لنگر و نیروی فشاری محوری تأمین گردد. – دلیل این تغییرشکل

آن است که نیروی فشاری محوری طاق در حالت اخیر قادر نخواهد بود به تنها بی و بدون حضور لنگر و برش حاصل از آن هردو تعادل افقی و عمودی لازم را تأمین نماید. بدیهی است در حالتی که طاق همان شکل کثیرالاضلاع تعادل نیروهای وارد را داشته باشد حضور لنگر در مقاطع طاق بی مورد خواهد بود.

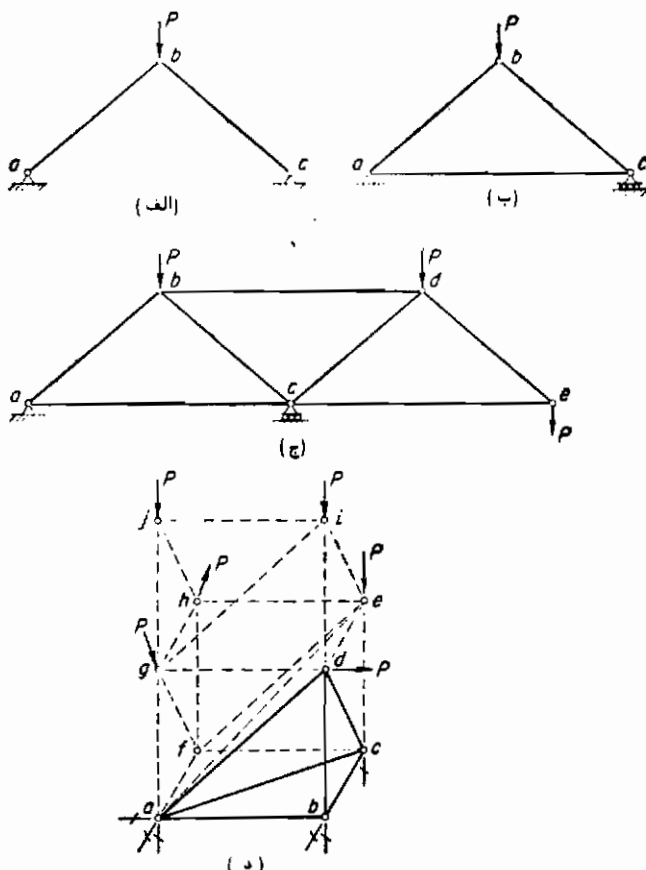
از نظر طراحی و درجهت یافتن یک شکل اقتصادی لازم است که شکل طاقهara منطبق بر کثیرالاضلاع تعادل تحت بارگذاری حد اکثر طاق، انتخاب نمود، در یک چنین حالتی تحت اثر بارگذاری حد اکثر طاق دارای تنفس یکنواخت شده و تحت اثر سایر بارگذاریها که عموماً تعیین کننده نیز نیستند و از نظر شدت بارگذاری نسبت به حالت اول در درجه دوم اهمیت قرار دارند به طور رضایت‌بخشی عمل خواهد نمود. واضح است که در هر یک از حالات اخیر باربری طاق باربری مطلوبی نخواهد بود.

تشابه یک پوسته نسبت به یک غشاء مانند تشابه یک طاق نسبت به یک کابل می‌باشد. زیرا یک پوسته، غشایی با سختی و مقاومت خمشی است، درست به همان صورتی که طاق در مقایسه با کابل دارای سختی است. اغلب اوقات پوسته‌های مهندسی ساختمان دارای شکل وارونه‌ای از آنچه در شکل (پ-۷الف) نشان داده شده است می‌باشد و به این جهت تنفس تعیین کننده در آنها کششی نبوده و بلکه فشاری خواهد بود و به این جهت اغلب پوسته‌ها را با بتن مسلح می‌سازند. پوسته، وارونه غشاء شکل (پ-۷الف) درست به همان دلیلی که در مورداختلاف بین غشاء و کابل ارائه شد با تعدادی از طاق که پهلو به پهلو قرار گرفته باشند متفاوت خواهد بود.

گرچه یک پوسته دارای مقاومتی بوده و دارای سختی خمشی است ولی در هر صورت معادلات اساسی تعادل آن همان معادلاتی است که در مورد غشاء نظیر آن برقرار خواهد بود. به این ترتیب که بدون در نظر گرفتن تنشهای حاصل از خمش، همان سنبنیروی مؤثر در غشای نظیر آن  $N_1$ ،  $N_2$ ،  $N_3$  - باید در سه معادله تعادل آن صدق نمایند. درنتیجه اگر برای این سازه پوسته‌ای، باری گسترده اثر کند عده این بار توسط تنشهای نظیر آنچه در غشاء‌ها ایجاد می‌گردد تحمل خواهد شد، حتی اگر شکل پوسته بر سطح تعادل بارهای وارد منطبق نباشد. از آنجایی که سطوح غشایی تمايل اند که به تغییر شکل خود دارند لذا در آنها تنشهای بالاهیت درجه دوم نیز ایجاد خواهد شد. فقط در مجاورت تکیه‌گاههای آنها چون معمولاً امکان تأمین دقیق نیروهای تکیه‌گاهی لازم توسط غشاء‌ها مقدور نیست لذا تنشهای خمشی قابل ملاحظه‌ای بوجود می‌آید. بدیهی است اگر به پوسته‌ای باری متعرک و یا باری گسترده با تغییر شدت ناگهانی اثر کند، تنشهای قابل ملاحظه‌ای به صورت موضعی درحدود آن بارگذاری بوجود خواهد آمد و یک چنین حالتی شبیه بارگذاری نظیر در غشاء‌ها است.

تنشهای خمشی در مجاورت تغییر ضخامت و با تغییر شکل ناگهانی بسته‌ها نیز بوجود خواهد آمد.

یکی دیگر از سازه‌های با تنفس یکنواخت خرپاهای مستوی (و یا شبکه‌های مستوی) است بدینهی است که یک بار مرکز  $P$  را می‌توان توسط دو عضو طاق مانندی نظری شکل (پ-۹-الف) مهار نمود. در یک چنین حالتی محور این دو عضو بر کثیر الاضلاع تعادل چنان‌باری منطبق است. در صورتی که شالوده‌های چنان سازه‌ای قادر به تحمل عکس العمل افقی  $H$  حاصل از بارگذاری فوق نباشند آن عکس العمل افقی را می‌توان توسط یک عضو کشی که  $a$  را به  $C$  وصل می‌نماید و قادر به تحمل نیروی  $H$  است از پی‌ها حذف نمود. در چنین حالتی همان طوری که در شکل (پ-۹-ب) نشان داده شده است سازه مورد بحث تبدیل به یک خرپای مثلثی خواهد شد. اگر لازم باشد که بارهای مرکز دیگری را که بر  $a$  و  $e$  وارد می‌شوند نیز مهار



شکل (پ-۹) شبکه‌های مستوی و فضایی

نمایم می‌توان مانند شکل (پ - ۹ج) و با استفاده از دو میله، اضافی دیگر هریک از این گره‌های جدید را بر خرپایی که قبله "وجود آمده است متصل نمود. واضح است که یک چنین آرایش میله‌ای این امکان را می‌دهد که اعضای خرپا با تحمل تنشهای یک‌واختی در مقاطع خود بتحمل بارهای گرهی بپردازند - این تنشهای در برخی از قطعات به صورت فشاری و در برخی دیگر به صورت تنش کششی خواهد بود. حال اگر دستگاه بارهای وارد مسیو نبوده و بلکه سبعده باشد در این حالت لازم است که این دستگاه بارگذاری را توسط یک خرپایی فضایی مناسب که با ایجاد یک چهار وجهی اولیه به همان نحوی که در شکل (پ - ۹د) با خطوط پر نشان داده شده است تشکیل می‌گردد مهار نمود. برای ایجاد هر گره دیگری اضافه براین چهار وجهی اولیه از سه میله اضافی استفاده خواهد شد.

در شکل (پ - ۹) گره‌های دایره‌ای کوچک نشان دهنده گره‌های مفصلی بدون اصطکاک در خرپاهای مستوی (یا شبکه‌های مستوی) و گره‌های گروی بدون اصطکاک در شبکه‌های فضایی می‌باشد. این نوع گرهها تنها لازمه یک چنان سازه‌هایی هستند. عمل "خرپاهای جدید به دلایل اقتصادی و سهولت کار از گره‌های صلب که با به کار بردن پرج، پیچ و یا جوش بوجود می‌آید استفاده می‌شود. بدینهی است اگر اتصالات میله‌ها، مفصلی باشد به سبب نیروی محوری میله‌ها طول آنها تغییر نموده و به دنبال این تغییر طول زاویه بین اعضاء در گره‌های اتصال مختصر تغییری خواهد کرد. حال اگر اتصالات خرپا صلب باشد، تغییر زاویه بین اعضاء غیر مقدور بوده و جهت تأمین تغییر طول اعضاء لازم است که در اتصالات موجود خرپا مختصری خمس ایجاد گردد. اگر خرپایی به صورت صحیحی طرح و ساخته شده باشد تنشهای حاصل از این خمش در اعضای آن در مقام مقایسه با تنش محوری آن اعضاء ناچیز بوده ولذا یک چنان تنشهایی را تنش‌های ثانویه می‌گویند.

جالب است بدانیم که شبکه‌های صلب به نوعی کامل "شبیه سازه‌های پوسته‌ای" هستند، در اصل این نوع سازه‌ها تا حد زیادی در زمرة سازه‌های با تنش یک‌واخت می‌باشد و لذا تعایل دارند که مانند شبکه‌های متشکل از گره‌های مفصلی و یا گروی عمل کنند ولی چون دارای گره‌های صلب هستند به مقدار اندکی تحمل خمش نیز خواهند نمود. اساساً پوسته‌ها نیز تا حد زیادی تعایل به عمل کردی نظیر غشاء‌ها دارند ولی چون دارای سختی خمشی بوده و دارای آرایش ویژه تکیه‌گاهی هستند لذا در حدود تکیه‌گاهی قادر نخواهند بود که مانند غشاء‌ها عمل کنند لذا معمولاً "خمشی بالهمیت درجه دوم در حدود تکیه‌گاهی خود تحمل خواهند نمود.

باید یاد آور شد که شبکه‌ها نمی‌توانند باری بجز در گره‌های خود تحمل کنند زیرا در غیر این صورت خمشی فوق العاده در میله‌ای بار شده و در میله‌های مجاور در انتهای آن میله

بوجود خواهد آمد . به عبارت دیگر باری که برای خرپاها مطلوبست فقط بارهای متumerکزگرهی است و درست برعکس ، برای غشاءها و پوستهها باری متumerکز مطلوب نبوده و بارگستردۀ بهترین نوع بارگذاری خواهد بود .

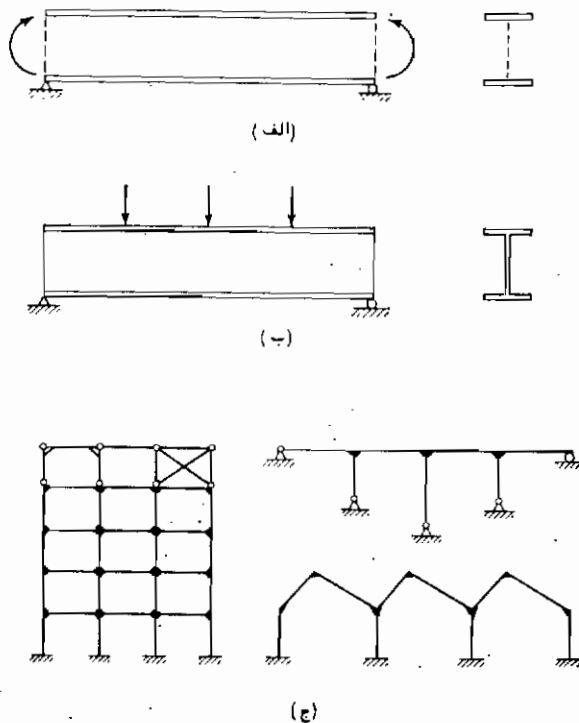
اغلب اوقات بهدلایل اجرایی ، اقتصادی و یا طراحی مخصوصا " هرگاه طرح پلها و یا ساختهای موردنظر باشد مجبور خواهیم بود از اسکلت‌های باربری با تنش متغیر نظری تیرها قابها و صفحات و دالها استفاده کنیم . در این صورت می‌توان با انتخاب مقاطع مناسبی برای این سازه‌ها حداقل استفاده از مصالح مصرفی در این سازه‌ها را به عمل آورد . به عنوان مثال در حالت فرضی خمس خالص تیر شکل (پ - ۱۰الف ) ، می‌توان کلیه مصالح مقطع تیر را در دو بال آن قرار داد ، زیرا بهدلیل عدم وجود برش تیر نیاز به جان نخواهد داشت .

بدیهی است که در عمل همواره خمس همراه برش است و همان طوری که در شکل (پ - ۱۰الف ) دیده می‌شود تیر جان نیز لازم خواهد داشت . سازندگان تیرهای فولادی و آلومینیومی تعداد زیادی مقاطع استاندارد I و II (بال یعنی برای حالات متفاوت اجرایی تهیه کرده‌اند که این مقاطع حداقل در مراحل تنش‌های بحرانی به صورت کاملاً مناسبی (از نظر اقتصادی) عمل می‌کنند . در سالهای اخیر به این واقعیت که قطعات خمشی قادر به تحمل بارهای بیشتر از آنچه تحت اثر آن قرار دارد می‌باشد توجه شده است . این حقیقت حتی در مقاطع قطعاتی که تنش در آن مقاطع به حد جاری شدن نیز رسیده باشد صدق می‌کند . به این ترتیب می‌توان سازه‌های غیرشکننده‌ای نظری سازه‌های فولادی و بتمن مسلح را تحت اثر بارهای بیشتری قرار داد که در این صورت در مقاطعی که تنش به حد جاری شدن رسیده باشد تغییر شکل خمیری بوجود خواهد آمد و یک چنین عملی سبب خواهد شد که تنش در سایر مقاطع تا حد قابل ملاحظه‌ای افزایش یابد . استفاده از چنین روش‌هایی همان‌طوری که قبل از تیر ذکر شد ، طرح خمیری نامیده می‌شود .

بدیهی است که در تیرهای با دهانه وسیع و با بارگذاری زیاد نمی‌توان از پروفیلهای سوردمده استفاده کرد و در این حالات لازم است که از پروفیلهای ساخته شده از ورق ، نبشی و سایر پروفیلهای استاندارد که توسط برج ، بیج و یا جوش بهم متصل می‌گردند جهت تأمین مقاومت خمشی لازم استفاده کرد . امکان دارد جهت چنین قطعاتی از تیرهای بتمن مسلح و یا جوبی و غیره استفاده نمود . محدودیت‌های مکانی ، کلیه مطالب بالا را تحت الشمام خود قرار می‌دهد و بهتر است که خواننده جهت آشنایی از این مقررات و استانداردها به کتابهای طرح و محاسبه مراجعه نماید .

گاهی تیرهارا همان‌طوری که در شکل‌های (پ - ۱۰الف ) و (پ - ۱۰ب ) نشان داده ایم روی دو تکیه‌گاه انتهایی قرار می‌دهند ولی اغلب اوقات مخصوصا " در سازه‌های جدید تیرها

را به صورت سرتاسری روی چندین تکیه‌گاه میانی قرار داده و یا به صورت قاب به یکدیگر متصل می‌کنند. معمولاً "هر روز نمونه‌های متعددی از این قابها را که به صورتهای مختلف در سازه‌های ساختمانی ساخته می‌شوند می‌بینیم. نمونه‌ای از این قابها در شکل (پ-۱۵ج) نشان داده شده است. عموماً این قابها به صورت سبعدی ساخته می‌شوند که البته اغلب اوقات آنها را می‌توان به قابهای مستوی تبدیل نموده و به طرح و محاسبه آنها پرداخت. کاهی اوقات

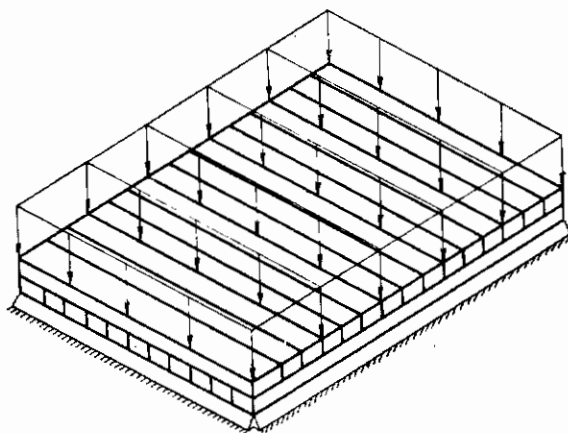


شکل (پ-۱۵) قطعات خمسي

گرههای این قابها را با اتصالات پرچی، پیچی و یا جوشی به نوعی صلب می‌کنند که نه تنها گرهها قادر به تغییر مکان افقی باشند بلکه بتوانند دورانی را که برای کلیه اعضاء مختوم به گره یکسان باشد نیز تحمل کنند. برخی اوقات اتصالات این گرهها به صورت نیمه‌صلب طرح می‌شود و ندرتاً "به شکل گرههای مفصلی طرح می‌گردد ولی کاهی اتصالات پرچی و یا پیچی را بنوعی طرح می‌کنند که گره قادر به تحمل مقدار لنگر ناچیزی باشد. در یک چنین حالاتی جهت پایداری سازه همان‌طوری که در طبقه فوقانی سازه (پ-۱۵ج) نشان داده شده است لازم است که از بادبندهای زانویی و یا قطری استفاده شود.

در اصل اعضاء سازه‌های قابی تحت اثر خمش و برش قرار دارند. البته کلیه اعضاء آنها تحت اثر نیروی محوری نیز می‌باشند ولی مقدار این نیروی محوری بجز در ستونهای عمودی قاب در سایر اعضاء آن ناچیز خواهد بود.

آخرین سازه با تنش متغیردال یا صفحه است. از نظر رفتار سازه‌ای، یک صفحه را می‌توان مانند دولایه از تیرهایی که پهلو به پهلوی یکدیگر قرار گرفته‌اند فرض کرد. این لایه‌های تیرها همان‌طوری که در شکل (پ - ۱۱) نشان داده‌ایم به صورت عمود بر یکدیگر خواهند بود. اگر چنین صفحه‌ای تحت اثر بار قائم قرار گیرد در صورتی که صفحه فوق الذکر در طول هرچهار لبه خود دارای تکیه‌گاه باشد، هردو لایه تیرها در برابری این بار مشارکت کرده و بار واردۀ را به تکیه‌گاه‌های خود منتقل خواهند نمود (باید بآ درآور شد که جهت ارائه صحیح این نوع رفتار صفحات، می‌باشیستی ضخامت هر یک از دولایه را برابر با ضخامت صفحه فرض نمود) بررسی رفتار یک صفحه طویل توسط دولایه تیر بسیار جالب است. در چنان حالتی لایه‌ای دارای طول زیادی است نسبت به لایه دیگر دارای سختی بسیار اندکی خواهد بود و درنتیجه قسمت عمده بار توسط تیرهای با دهانه کم تحمل خواهد شد، در این حالت دیده می‌شود که عمل " وجود دولایه تیر غیر ضروری است . به عبارت دیگر برای این که صفحه‌ای به صورت دو طرفه عمل کند لازم است که نسبت ابعاد آن ۲ و یا کمتر باشد .



شکل (پ - ۱۱) عملکرد سازه‌ای یک صفحه

### تحلیل رفتار سازه‌ها

یکی از قابلیت‌های مهندس سازه قدرت وی در تحلیل ریاضی عملکرد سازه مورد نظر

تحت اثر بارهای وارد است هرگاه مهندس سازه به نظریه‌ای که با تجربیات آزمایشگاهی و در محل سازگاری لازم داشته و توسط تجربه و مشاهداتی عینی نیز تائید گردد، دسترسی داشته باشد در این صورت او یک وسیله منطقی و اساسی جهت تحلیل و کاربرد معلومات خود در دست دارد. بدینهی است اگر چنان نظریه‌ای موجود نباشد مهندس موفق کسی خواهد بود که با استفاده از ترکیبی از مدل‌سازی و آزمایشات کارگاهی، تجربیات قبلی و مهارت مهندسی بتواند خود را در تحلیل و طرح سازه موفق نماید.

مهندس سازه باید قادر به تحلیل سه عملکرد اساسی سازه باشد\*:

- ۱ - تعیین مشخصات تنش، کرنش و تغییر مکان حاصل از بارهای ساکن و شبه ساکن و یا حاصل از تغییرشکل سازه‌ها.

۲ - تعیین مشخصات ارتعاشی حاصل از بارهای دینامیکی

- ۳ - تعیین مشخصات کمانشی که "معمولًا" تحت اثر بارهای ساکن و سندرت تحت اثر بارهای دینامیکی اتفاق می‌افتد در هریک از مراحل فوق مهندس سازه باید قدرت باربری نهایی سازه را با هریک از امکانات گسیختگی موجود مقایسه نموده و ازان جهت باربری محاسباتی سازه استفاده نماید.

بدینهی است که دسته‌بندی مراحل فوق امری اختیاری است ولی در هر صورت بررسیهای مربوط به مراحل ۲ و ۳ نسبت به مرحله ۱ احتیاج به فنون مخصوص دارد، لذا به نظر می‌رسد بهتر است به صورت جداگانه‌ای مورد بحث قرار گیرند. علاوه بر آن سازه‌های مهندسی را "معمولًا" باید با عدم احتمال کافی در برابر گسیختگی حاصل از مرحله ۱ طرح نمود و بدین ترتیب واضح است که آن سازه باید با عدم احتمال بیشتری در برابر گسیختگی حاصل از خستگی و یا ارتعاش و کمانش که در مراحل ۲ و ۳ تحلیل می‌گردند طراحی کرد.

تحلیل سازه‌های تحت اثر کمانش و ارتعاش خارج از موضوع این کتاب است. زیرا که این کتاب را به تحلیل تنش، کرنش و تغییر مکان حاصل از بارهای ساکن و یا شبه ساکن و یا تغییرشکل سازه‌ها اختصاص داده‌ایم. برای این که چنین مسائلی به طور کامل حل شوند باید تنשها و تغییرمکانهای مجھول در کل سازه به نوعی معین گردند که در معادلات موجود که بر طبق نیروهای معلوم و تغییر مکانهای محدود به شرایط حدی تنظیم شده‌اند صدق نمایند این مجھولات را می‌توان از طریق برقراری معادلات لازم که بهیکی از سلطیق زیرکه منطبق

\* تحلیل خصوصیات مربوط به تنش، کرنش و تغییر مکان رفتاری را سازه تحلیل سازه‌ای نامیده‌می‌شود. در حالی که تحلیل ساده نیروی محوری و خصوصیات تنش در یک سازه تحلیل تنش گفته می‌شود.

بر رفتار سازه‌ها می‌باشد محاسبه نمود:

- ۱ - شرایط حاکم بر تعادل استاتیکی نیروها و لنگرهای داخلی و خارجی موئیز بر سازه.
  - ۲ - روابط موجود بین تنש و کرنش مصالح مصرفی
  - ۳ - روابط هندسی موجود بین کرنشها و تغییر مکانهای نقاط سازه.
- واضح است که به سادگی می‌توان از ترکیب دو مرحله ۲ و ۳ بحذف کرنش پرداخته و مستقیماً به تعیین رابطه‌ای بین تنش (یا نیروی داخلی) و تغییر مکان اقدام کرد. بنابر این ممکن است برخی از محاسبین چنین نظر دهند که فقط دونوع رابطه اصلی در سازه‌ها وجود دارد.

- ۱ - شرایط حاکم بر تعادل استاتیکی
  - ۲ و ۳ - روابط موجود بین کرنشها (و یا نیروهای داخلی) و تغییر مکانها در حقیقت در این دونظره‌ی چگونه تفاوتی وجود ندارد زیرا هر یک از این دو روش اساسی فوق را می‌توان جهت تعیین فرمولهای اساسی حل مسئله قرار داد.
- این دو روش اساسی عبارتند از روش نیرو\* و روش تغییر مکان. این دو روش را می‌توان به صورت زیر شرح داد. هر یک از این روشها کلی بوده و برای هر عضو سازه نیز کاربرد دارد\*\*.

\* در اینجا غرض از کلمه نیرو و تغییر مکان برداشت کلی از این کلمات است. کلمه نیرو را می‌توان هم به نیرو و هم به لنگر تفسیر کرد و به همان ترتیب کلمه تغییر مکان شامل تغییر مکان خطی و دوران زاویه‌ای خواهد بود.

\*\* در تحلیل سازه‌ها معمولاً می‌توان سازه‌ها را بعد از نوع سازه عضوی و پانلی تقسیم نمود، زیرا بندرت سازه‌ای مرکب از این دو نوع وجود دارد. یک سازه عضوی عبارت از سازه‌ای مشکل از یک یا چند عضو است که به نوعی در انتهای خود به یکدیگر متصل شده‌اند و کل آنها بر تکیه‌گاه‌ها یا تکیه‌گاه‌هایی مجزا قرار گرفته است. هر یک از قطعات فوق الذکر دارای طول قابل ملاحظه‌ای نسبت به باعدها مقطع خود می‌باشد. شرایط حاکم بر تعادل و یا تغییر مکان یک سازه عضوی را می‌توان به توسط مقدار مشخصی معادلات جبری که بین بارها و عکس‌العملها و موئیلفه‌های مستقل نیروی قطعات - و یا مولفه‌های مستقل تغییر مکان گره‌ها - وجود دارد نوشت. یک سازه پانلی شامل یک یا چند پانل است که به طور یکسره در طول لبه‌ها و یا قسمتی از آنها به یکدیگر متصل شده باشند. کل مجموعه می‌تواند بر روی نقاط مشخص، یا سطوح معلوم و یا در طول خطوطی به اندازه قابل ملاحظه قرار گیرد. هر یک از پانل‌های چنان سازه‌ای می‌تواند مسطح یا منحنی باشد ولی در هر صورت

## ۱- روش نیرو

الف : نخست مقدار نیروهای (داخلی و خارجی) مجھول و مستقل تعیین شده و تعداد آنها با تعداد معادلات مستقل تعادل استاتیکی، که امکان برقرار نمودن آنها با این نیروها وجود دارد مقایسه می‌گردد، اگر تعداد نیروهای مجھول برابر با مقدار معادلات تعادل باشد مسئله از نظر استاتیکی معین می‌باشد، زیرا می‌توان نیروهای مجھول را مستقیماً "از طریق این معادلات تعیین نمود". اگر تعداد نیروهای مجھول از مقدار معادلات تعادل بیشتر باشد مسئله از نظر استاتیکی نامعین خواهد بود و درجه نامعینی برابر با تفاضل این دو تعداد است. در چنین حالتی تعدادی از نیروهای مجھول را که از نظر مقدار برابر با درجه نامعینی سازه می‌باشد و آنها را نیروهای اضافی می‌نامیم، جهت تحلیل سازه از سازه حذف می‌کیم تا به‌این ترتیب سازه‌ای معین (و پایدار) که آن را سازه اولیه خواهیم گفت به‌دست آید. برای هریک از نیروهای اضافی می‌توان معادله‌ای که توسط آن معادله تغییر مکان نقطه اثر آن نیرو در روی سازه اولیه بر حسب نیروهای مجھول اضافی بیان می‌گردد. برقرار نمود. بعدها می‌توان دستگاه معادلاتی را که به‌این ترتیب به‌دست می‌آید جهت تعیین نیروهای اضافی به‌طور همزمان حل نمود.

ب : پس از آن که کلیه نیروهای مؤثر بر سازه اولیه معلوم شود می‌توان به محاسبات تنش پرداخت سپس تحلیل سازه را با محاسبه کرنشها از طریق روابط بین تنش و کرنش و محاسبه تغییر مکانها را با استفاده از روابط بین تنش و تغییر مکان به اتمام رسانید.

## ۲- روش تغییر مکان

الف : ابتدا به تعیین تغییر مکانهای مجھول و مستقل موجود در سازه اقدام کرده و آنها را به عنوان مجھولات اساسی مسئله تلقی می‌کنند سپس با استفاده از روابط بین تنش- تغییر مکان، نیروهای داخلی سازه را بر حسب تغییر مکانهای مجھول بیان می‌کنند، برای هریک از مولفه‌های تغییر مکانهای مجھول یک معادله تعادل بر حسب نیروهای خارجی معلوم و نیروهای داخلی مجھول که به‌نوبه خود بر حسب تغییر مکانها معین شده‌اند برقرار می‌گردد.

ضخامت آن نسبت به طول لبه‌های آن باید کوچک باشد. شرایط حاکم بر تعادل یا تغییر مکان یک سازه پانلی را می‌توان به متوجه تعداد معینی معادلات دیفرانسیلی که از توابع پیوسته تشکیل شده و شامل تنشهای داخلی و تغییر مکانها در طول سازه است نوشت. حل این معادلات باید با تأمین شرایط معلوم حاکم بر نیروهای خارجی و یا تغییر مکانهای حدی سازه انجام گیرد. سازه‌های عضوی را سازه‌های مجزا و سازه‌های پانلی را سازه‌های پیوسته نیز می‌گویند.

تعداد این معادلات برابر با تعداد تغییر مکانهای مجہول خواهد بود و با حل دستگاه معادلات موجود می‌توان به تعیین تغییر مکانها پرداخت.

ب : پس از تعیین تغییر مکانها می‌توان مصالحه نیروهای داخلی اقدام کرد ، به این ترتیب کلیه نیروها بنز نیروهای خارجی مجہول معین خواهند شد . نیروهای خارجی مجہول را نیز می‌توان به کمک معادلات تعادلی که در تنظیم دستگاه معادلاتی که از طریق آنها به تعیین تغییر مکانهای مجہول پرداخته ایم دخالت نداشته اند ، مصالحه نمود .

اغلب روشهایی که جهت تحلیل سازه ها در طی قرون به کار برده شده اند منطبق بر روش نیرو است . البته روشهای شب - افت و قضیه اول کاستیکلیانو که بعدها در فصول ۱۲ و ۱۳ به شرح آنها خواهیم پرداخت منطبق بر روش تغییر مکان می‌باشد .

ارجحیت روش نیرو بر روش تغییر مکان یا بر عکس به چندین عامل بستگی دارد . تا حال حاضر در زمینه مهندسی راه و ساختمان از روش نیرو به دلایل متعددی بمطور وسیعی استفاده شده است . اولاً) باید توجه نمود که در اغلب اوقات تحلیل کامل تنش یا تغییر مکان کلیه نقاط سازه در مقاصد طراحی امری غیر ضروریست و عموماً " تصویر کاملی از تنشها مورد نیاز بوده ولی فقط چند تغییر مکان لازم مصالحه می‌گردد . علاوه بر آن معمولاً " سازه های مهندسی ساختمان ، سازه های معینی (ایزو استاتیکی ) هستند و حتی اگر از نظر استاتیکی نامعین باشند درجه نامعینی آنها به مرتب کمتر از تعداد مولفه های مجہول تغییر مکان می‌باشد . البته چند سازه نظری بسیاری از قابهای صلب وجود دارد که در آنها مقدار مولفه های مجہول تغییر مکان کمتر از درجه نامعینی سازه است .

در مورد تحلیل سازه باید به این مطلب واضح توجه نمود که تحلیل دقیق اغلب سازه های ساختمانی که مورد طرح مهندسین سازه می‌باشد محدود نیست ، این مطلب مخصوصاً " در مورد قابهای پیچیده فضایی شبكه ها ، دالها ، دیوارهای برشی و پوسته ها صادق است . در چنین حالاتی مدلی مطلوب و ساده از سازه واقعی جهت تحلیل آن سازه در نظر گرفته می‌شود ، اگر تجربه ای مشابه در مورد سازه ای مشابه موجود باشد استفاده از آن تجربه منجر به تحلیل و طرح رضایت بخشی خواهد شد که می‌تواند به نوبه خود اساس قضاوت و طرح مهندس سازه مجرب دیگری قرار گیرد .

در ارزیابی نتایج حاصل از یک چنین تحلیلی هرگز نباید فراموش کرد که نتایج به دست آمده می‌بایستی در معادلات تعادل صدق نمایند . اگر سازه ای به نوعی طرح شود کمتر تحلیل آن روابط تعادل برقرار بوده ولی روابط تنش - کرنش بمطور تقریبی صادق باشد بندرت یک چنین سازه ای در خطی واقعی قرار می‌گیرد زیرا که در محاسبات مربوط به تعیین این می در برابر کمانش و ارتعاش ، مهندس محاسب ضرایب اطمینان محافظه کارانه ای به کار خواهد برد .

یک چنین سازه‌ای امکان دارد ببیش از آنچه موردنظر است تغییرشکل دهد و حتی ممکن است تحت اثر بارهای کم شدت نیز ترک خورده و یا تغییر شکل خمیری دهد ، ولی در هر صورت اگر آن سازه با مقاومت کافی در برابر تعادل استاتیکی بارهای نهایی خود طرح شده باشد چنین طرحی ، نرمی و ایستایی کافی در برابر کمانش سازه با سازگار نمودن مقاومت در کلیه عناصر آن ایجاد خواهد کرد .

### درگیریها و مسئولیتهای حرف مهندسی

در صفحه‌های پیشین این پیشگفتار به معرفی کلیه زمینه‌های مهندسی سازه به همراه تاریخچه، مختصری از آنها پرداختیم اکنون به صورت مختصری به ذکر درگیریهایی که امروزه در مسائل حرفه‌ای وجود دارد می‌پردازیم . این مطلب نه تنها شامل مهندس سازه می‌شود بلکه شامل کلیه همکاران اجرایی مهندس سازه درسایر زمینه‌های حرفه‌ای مهندسی نیز می‌شود . امروزه همه این مهندسین در دنیا یوپیا به کار می‌پردازند ، به یک معنی مسائل و مسئولیتهای اساسی آنها ارتباط زیادی به زمان ندارد . به معنایی دیگر بدليل معلومات سریع الرشد در کلیه زمینه‌های حرفه‌ای به آنان قابلیتی داده می‌شود که به محل مسائل به پردازند که در گذشته حتی تصور رفع آن مسائل نیز نمی‌شد . علاوه بر آن تغییر نیازهای جامعه نیز به دنبال خود مسائل جدیدی را ایجاد می‌کند که حل آن مسائل نیاز به راه حل‌های راحت‌تری نسبت به راه حل‌های سنتی دارد . شاید خصیصه مشترک اغلب مسائل پیچیده قرن حاضر ، این باشد که مسائل به طور همزمان مربوط به رشته‌های مختلف علمی هستند . حل چنان مسائلی نیاز به قابلیت و تجرب کلیه افراد گروه منتخب از آن رشته‌های علمی دارد .

جوامع پیشرفتنه با مسائل مختلفی که هم‌زمان به علوم گوناگونی نظیر صنعت جامعه‌شناسی سیاست ، فلسفه ، اقتصاد و غیره مربوط می‌شود درگیر می‌باشند . عموماً "جامعه درگیر رشد سریع جمعیت ، آلودگی محیط زیست ، کمبود انرژی ، حیف و میل زیاد از حد منابع زیرزمینی قابل جبران و غیرقابل جبران می‌باشد . بتدریج جوامع درک می‌کنند که باید دست از "افزون طلبی" شسته و به "قناعت" روی آورند ، چنین تغییر مشی فقط به کمک تبدیل کلیه فعالیتهای اجتماعی به صورت درست آن امکان یافته می‌باشد که یک چنان عملی نیز به نوبه خود بدون تحت تأثیر قراردادن کلیه حرف جامعه مقدور نیست .

به منظور تأمین چنین هدفی مشاوره و مشارکت ترکیبی از رشته‌های مختلف مهندسی جهت تعیین برنامه مورد نظر که در جهت پویایتر نمودن جامعه و نجات آن از رخوت‌گذشته خواهد بود لازم است .

## مقدمه

### ۱ - ۱ سازه‌های مهندسی

طرح و محاسبه‌بلها، ساختمانها، برجها و سایر سازه‌های ثابت برای مهندسی راه و ساختمان بسیار مهم است. قطعات، اتصالات و تکیه‌گاه‌های چنین سازه‌هایی به‌نوعی است که این سازه‌ها قادرند نیروهای مؤثر خارجی را در تعادل استاتیکی حفظ کنند. به‌اضافه این‌گاه‌این سازه‌ها باید نیروهای نقل را نیز که نتیجه وزن خود سازه می‌باشد در تعادل نگهداشند. از انواع این سازه‌ها برج‌های انتقال نیرو را می‌توان نام برد این برج‌ها تحت اثر وزن خود، اثر باد و بار حاصل از پیزدگی که همگی به‌برج وارد می‌شوند به‌اضافه نیروهایی که توسط کابل‌های متصل بدان به‌آنها اثرمی‌کنند قراردارند. اعضای این برج‌ها باید به‌گونه‌ای طرح و محاسبه شوند که نیروها را در تعادل نگهداشته و اثرات ناشی از آنها را به‌پی‌های برج منتقل نمایند.

علاوه بر سازه‌های فوق الذکر، سازه‌های متعدد دیگری نیز وجود دارند. سدها، اسکله‌ها، رویه فرودگاه‌ها و شاهراه‌ها، سیل‌گیرها، خطوط‌لوله، و یا دوکها و مخازن همگی سازه‌های متداول مهندسی هستند. سازه‌ها فقط برای مهندس راه و ساختمان مهم نیستند، اسکله‌های قاب یک هواپیما برای مهندسی صنایع هواپی اهمیت دارد و اسکلت یک کشتی مورد توجه مخصوص مهندس معمار صنایع دریایی است و به‌همین ترتیب طرح پوسته‌های تحت فشار، ظروف و سایر اسباب آلات صنعتی مربوط به‌حرفهٔ مهندس شیمی بوده و مهندسین مکانیک نیز باید به‌طرح قطعات ماشین با درنظر گرفتن مقاومت لازم آنها بپردازند و بالاخره به‌همین ترتیب وسائل برقی و استقرار آنها در صلاحیت مهندسین برق است.

طرح و محاسبه کلیه این سازه‌ها اساساً بر یک اصول مشترک استوار است. در این کتاب برای شرح اجرایی این اصول در سطح وسیع، از سازه‌های مهندسی متداول در رشته راه و ساختمان (عمران) کمک گرفته شده است. واضح است که از روش‌های تحلیلی که در این کتاب

شرح داده شده می‌توان در سایر سازه‌های پراهمیت سایر رشته‌های مهندسی نیز کمک گرفت.

### ۱-۲ طرح سازه‌ها

یک سازه به منظور تأمین هدفی طرح می‌شود ولذا برای این که آن چنان هدفی را با رضایت کافی تأمین نماید باید دارای مقاومت و صلبیت کافی باشد، البته اقتصادی بودن و ظاهرپسند بودن سازه‌ها نیز در طراحی آنها اهمیت فراوانی دارد.

طرح کامل یک سازه تقریباً باید پنج مرحله زیر را شامل شود:

- ۱- تعیین اهداف کلی مورد نظر که باید توسط سازه تأمین گردد.
- ۲- بررسی راه حل‌های مختلف ممکن جهت تأمین اهداف مورد نظر
- ۳- طرح سازه‌های اولیه برای هر یک از راه حل‌های ممکن
- ۴- انتخاب بهترین و مورد پسندترین راه حل با مقایسه عوامل اقتصادی، رفتار و زیبایی راه حل‌های مختلف ممکن.

۵- طرح و محاسبه کامل بهترین راه حل مورد پسند

طرح سازه‌های اولیه که در مرحله ۳ عنوان شده است و همچنین طرح کامل سازه که در مرحله ۵ عنوان شد به سه بخش وسیع تقسیم می‌گردد، این سه بخش که عموماً "در اجرا باهم ادغام می‌شوند عبارتند از: نخست تعیین بارهای مؤثر بر سازه، سه تعیین و تحلیل تنشی‌های حداکثر در اعضاء و اتصالات سازه و بالاخره تعیین ابعاد اجرایی کلیه قطعات و اتصالات سازه به منظور ساخت آنها.

این این که این سه بخش عملاً به یکدیگر مرتبط هستند در بررسی زیر مشاهده می‌گردد: وزن سازه یکی از بارهایی است که سازه مورد بحث باید آن را تحمل نماید، ولی مقدار بار حاصل از وزن سازه تا زمانی که کل سازه طرح نشده است دقیقاً معلوم نیست. در یک سازه تأمین مقدار تنش بستگی به مشخصات ارجاعی قطعات دارد که این مشخصات تا زمانی که قطعات اصلی طرح و محاسبه نشده باشند نامعلوم است و بما می‌ترتیب معلوم می‌شود که طرح هر سازه‌ای عملی با تقریبات مثالاً لازم است که برای طرح قطعات، وزنی برای آنها در نظر بگیریم و پس از طرح سازه به مقدار واقعی وزن آنها بی خواهیم برد و تا زمانی که وزن واقعی قطعات به وزن فرض شده آنها نزدیک نشود محاسبات را باید تکرار نمود.

در طرح یک سازه اطمینان از این که هر قطعه‌ای از آن مقاومت کافی در برآ برنتش حداکثری که انتظار بوجود آمدن آن تنش در قطعه ممکن است، دارد بسیار مهم است. برای محاسبه چنین تنشی‌های حداکثری لازم است که هم بدانیم چه بارهایی بر آن وارد خواهد شد و هم موقعیت

دقیق بارهای واردہ را نیز که سبب ایجادنش با حداقل مقدار خود می‌نمایند تعیین کنیم .  
به‌این ترتیب وقتی قطاری از پلی عبور می‌کند قسمت مشخصی از پل تحت موقعیت  
دیگری از قطار بعثتش حداقل خود می‌رسد .

آنچه در این کتاب شرح آنها مورد توجه قرار دارد ، تحلیل سازه‌هاست به‌منظور این‌که  
تحلیل سازه‌ها بعنوان مطلوبتری شرح داده شود بهتر است که نخست مختصی بارهای موئیر  
بر یک سازه و طرح و محاسبه قطعات و اتصالات آنها تشریح گردد .

در پیش‌گفتار ذکرگردیم که اساس قراردادی طرح و محاسبه سازه‌ها ، بر طرح ارجاعی  
نهاده شده است . بارهای محاسباتی ، تنشهای مجاز و سایر مشخصات لازم برای چنین طرح  
و محاسبه‌ای در آئین نامه‌های متعددی که برای طرح و محاسبه این‌جای وجوددارد ذکر شده است .  
در مالک متحده آمریکا چنین آئین نامه‌هایی از طرف سازمانهای مشهور زیر ارائه می‌شود :

انجمن مهندسین راه و حمل و نقل ایالات آمریکا (AASHTO)

انجمن مهندسین راه آهن آمریکا (AREA)

موسسه ساختمانهای فولادی آمریکا (AISC)

موسسه بتن آمریکا (ACI)

موسسه آهن و فولاد آمریکا (AISI)

موسسه آزمایش و مصالح آمریکا (ASTM)

دفتر ملی استانداردها (NBS)

دفتر هماهنگی آئین نامه‌های ساختمانی (UBC)

برخی از آئین نامه‌ها محاسبات برخی از قطعات سازه‌هارا براساس طرح خمیری مجاز شمرده‌اند \*

### ۱ - ۳ بارهای مرده

بار مرده موئیر بر یک سازه شامل وزن سازه و هربار غیرمنقولی است که همواره به صورت  
ثبت از نظر مقدار ، بر سازه اثر نماید . به‌این ترتیب بار مرده یک پل جاده عبارت از وزن  
خرپاها و شاهتیرهای حمال ، تیرهای کف و تیرهای طولی کف پل ، دالها ماشین روی پل ،

\* مؤسسه استاندارد و تحقیقات صنعتی ایران "نشریاتی در مورد بارگذاری این‌جای و تنشهای  
مجاز منتشر گرده و "دفتر تحقیقات و استاندارهای فنی" واپسیه به سازمان برنامه و بودجه  
انتشاراتی در مورد ضوابطی برای این‌جای و اجرای آنها د راختیار علاقمندان قرارداده است .  
متوجه ) .

جدولها ، پیاده روها ، حصار و یا نرده‌ها تیرهای روشنایی و سایر وسایل متفرقه خواهد بود . چون نخست مقدار بار مرده موثر بر یک قطعه را باید قبل از طرح آن قطعه فرض کرد لذا قطعات یک سازه را باید به نوعی طرح نمود که تا جایی که امکان دارد وزن هر قطعه‌ای که طرح می‌شود قسمتی از بار مرده قطعه‌ای باشد که بعد از آن طرح خواهد شد . به این ترتیب در مورد یک پل جاده ابتدا باید دال ماشین روی پل و سپس تیرهای طولی را که بار دال را به تیرهای کف (تیرهای عرضی) منتقل می‌نمایند طرح نمود و پس از آن به طرح تیرهای کف که بار تیرهای طولی را به شاه تیرها و یا خرپاها منتقل می‌نمایند پرداخت ، بالاخره به طرح شاه تیرها و یا خرپاها مبادرت نمود .

در طرح و محاسبه قطعه‌ای نظیر دال ماشین روی پل ، تنشهای ناشی از بارهای مرده تقریباً "بخش کوچکی از کل تنش قطعه را تشکیل می‌دهند و به این جهت حتی اگر مقدار بارهای مرده به طور واقعی خود تخمین زده نشده باشند ، تنش کل حاصل از اولین محاسبات نیز تا حد بالایی تنش واقعی را نشان خواهد داد . ولی در مورد طرح و محاسبه خرپاها و شاه تیرها ، بارهای مرده قسمت بزرگی از کل بار مؤثر بر آنها را تشکیل می‌دهند و لذا باید در تخمین بارهای وزنی مؤثر بر آنها از دقت خوبی بسیار گرفت . اغلب اوقات از مشخصات بارهای مرده سازه‌های مشابه به عنوان راهنمای استفاده می‌کنند . البته تحقیقات متعددی برای تهییه و ازائمه چنان مشخصات معین و سهل‌الاجرا بیان گرفته است . باید تأکید گرد که در هر صورت تخمین وزن مرده واقعی از طریق مشخصاتی که مورد استفاده قرار می‌گیرد جنبه تجربی دارد ، پس از طرح سازه وزن مرده دقیق آن را می‌توان محاسبه گرد و تحلیل تنش را بر طبق آن بررسی نمود . این چنین عملی از نظر اطمینان و از نظر اقتصادی لازم است .

اگر ابعاد سازه‌ای معلوم باشد بارهای مرده آن را می‌توان براساس وزن واحد حجم مصالح آن بدست آورد وزن مخصوص برخی از مصالح متعارف در سازه‌های مهندسی بسیاری از کتب و کتب راهنمای درج شده است ( به عنوان مثال می‌توان به نشریه ۵۱۹ موسسه استاندارد و تحقیقات صنعتی ایران مراجعه نمود . مترجم )

#### ۱ - ۴ بارهای زنده - گلایات

برخلاف بارهای مرده که همواره از حیث مقدار و همچنین از حیث موقعیت ( محل تأثیر ) ثابت می‌مانند عموماً " لازمت بارهای زنده‌ای که وضعیت تأثیر آنها متغیر می‌باشد نیز در نظر گرفت . گاهی بارهای زنده را از نظر راحتی به بارهای منقول و بارهای متفرق تقسیم می‌کنند . بارهای منقول به بارهایی گفته می‌شود که امکان جابجا بیانها در یک بنا ممکن

باشد ، نظیر کالای موجود در یک ابزار . تأثیر این گونه بارها بر سازه‌ها عموماً به صورت تدریجی بوده و بدون ضریبه صورت می‌گیرد . بارهای متحرک به بارهایی گفته می‌شود که تحت اثر انرژی خود در حرکت باشند ، نظیر قطار راه‌آهن و یا چندین کامیون . این گونه بارها به سرعت وارد شده و لذا اثری ضربه‌ای بر سازه خواهد داشت .

وقتی که بارهای زنده اثر می‌کنند باید در محل اثر آنها بر روی سازه‌ها دقیق شود ، محل تأثیر آنها را به نوعی برگزید که شدت تنش در قطعه یا اتصال مورد نظر به مقدار حد اکثر خود برسد . همان‌طوری که منظور ما از تنש‌های مرده تنش حاصل از بارهای مرده می‌باشد به همان طریق غرض ما از تنش حد اکثر زنده تنش حاصل از بارهای زنده خواهد بود .

## ۱-۵ بارهای زنده برای پلهای جاده

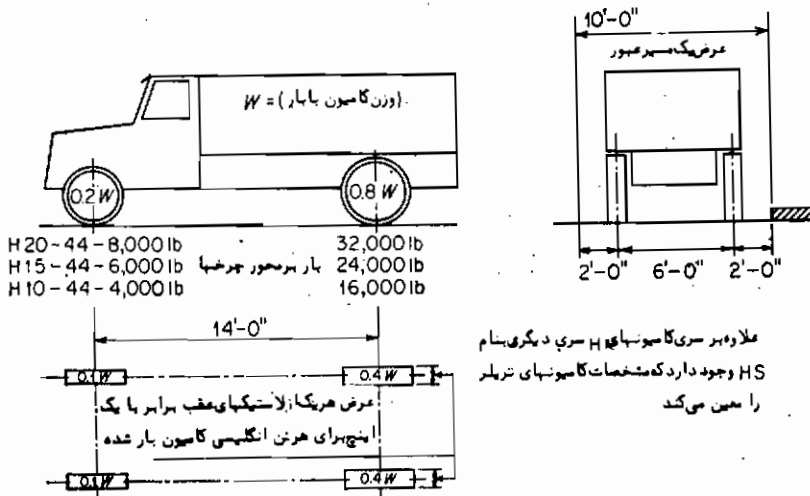
بار زنده پلهای جاده شامل وزن مؤثر حاصل از وسائط نقلیهٔ متحرک و بار زنده پهپاده روها است عملاً "رفت و آمد وسائط نقلیهٔ بر روی یک پل جاده شامل انواع مختلف آنها خواهد بود اما طراحی و محاسبهٔ پلی براساس زنجیره‌ای از کامیونهای استاندارد انجام می‌پذیرد انتخاب آنها به نحویست که اطمینان تحمل پل و صرفه اقتصادی آن تأمین کردد . بار زنده برای هر مسیر عبور جاده شامل زنجیره‌ای از کامیونهای سنگین است که بمنیال یکدیگر و با فاصله کم از هم قرار دارند . وزن و وزن گسترده هریک از این کامیونها بر حسب آئین نامه ورد استفاده طراح متفاوت خواهد بود AASHTO زنجیرهٔ کامیونهای مشخصی بنام سریهای II ارائه نموده است .

سری کامیونهای H در شکل (۱-۱) نشان داده شده است . این نوع بارگذاری با H و عددی که نشان دهنده وزن ناخالص کامیونهای استاندارد بر حسب تن انگلیسی \* می‌باشد مشخص شده است انتخاب نوع سری H برای طرح یک سازهٔ معلوم ، بستگی به شرایط و اهمیت و موقعیت رفت و آمد وسائط نقلیهٔ خواهد داشت .

دیده می‌شود که بارگذاری هر مسیر عبور جاده شامل تعدادی از بارهای متمرکز چرخها است ، تحلیل تنش برای تعیین حد اکثر تنش زنده که با درنظر گرفتن سری بارهای زنده به عمل می‌آید ممکن است بشکل پیچیده در آید . لذا تحت برخی از شرایط جهت تحلیل تنش می‌توان بارهای فوق را با بار معادل گسترده آن که بر حسب واحد طول مسیر عبور ذکر شده است و یک بار متمرکز در آن وجود دارد جایگزین نمود . بعاین ترتیب سری بار 20-H

\* تن انگلیسی برابر با ۱۶ ۰۰۰ است .

را می‌توان معادل با بار زنده‌ای برابر با بار گستردۀ ای با شدت یکواخت  $640 \text{ lb ft}$  (80100 N) بر واحد طول مسیر عبور به اضافه بار متعرکزی برابر با  $18,000 \text{ lb}$  و  $(93.5 \text{ N/m})$  و یا  $26,000 \text{ lb}$  و  $(115700 \text{ N})$  بر حسب آن که به ترتیب به محاسبه لنگر زنده و یا برش زنده بپردازیم فراردهیم. دیده می‌شود که این بار زنده‌گستردۀ دقیقاً "معادل سری بارهای متعرکز نیست ولی چنانی باری محاسبات تنشهای حد اکتر را که باندازه کافی بمقدار محاسباتی حاصل از بارهای واقعی نزدیک باشند برای طرح ساده می‌سازد\*.



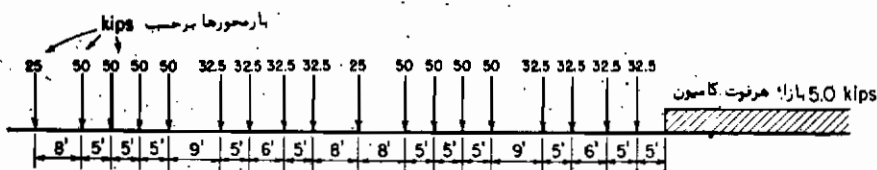
شکل ۱ - ۱ سری کامیونهای H بر طبق AASHTO

#### ۱ - ۶ بارهای زنده پلهای راه‌هن

بارهای زنده پلهای راه‌هن شامل بار لوکوموتیوها و واگن‌های می‌شود که توسط لوکوموتیوها کشیده می‌شوند. بار زنده برای هر خط قطار معمولاً "برابر با بار دو لوکوموتیو و بار گستردۀ با شدت یکواخت" که بیان‌کننده وزن واگن‌ها می‌باشد خواهد بود. برای استاندارد شدن چنانی بارگذاری تشدودورکوبر Theodore Cooper سری بارگذاری‌های E را ابداع کرده است. این بارگذاری‌ها با حرف E که به دنبال آن عددی آورده می‌شود مشخص می‌گردند

\* برای بارگذاری پلهای و ساختمانها در ایران می‌توان از جلد اول کتاب "طرح و محاسبات ایستایی" و نشریه ۵۱۹ مؤسسه استاندارد و تحقیقات صنعتی ایران استفاده نمود. (ترجم)

عدد مذکور بیان کننده بار واردہ بر محور محرک بر حسب kips است، بارهایی که توسط سایر محورها وارد می شود نسبت شان به بار واردہ از محور محرک عدد ثابتی است. بارگستردہ یکنواخت بمنابع دو لوگومتیو قرار دارد و همواره شدتی برابر با یکدهم بار واردہ بر محور محرک بر هر فوت طول ریل دارد. فواصل چرخها در بارگذاریهای کوپر یکسان است. شرحی از بارگذاری E-50 کوپر در شکل (۲-۱) نشان داده شده است. پلهای راه آهن جدید حداقل برای بارگذاریهای برابر با E-60 و حتی اغلب برابر با E-72 و گاهی



شکل ۱ - ۲ بارگذاری E-50 کوپر

بیشتر طرح می شوند. البته با یادداشتن شان کرد که سایر بارگذاریهای کوپر را می توان با استفاده از شکل (۲-۱) و تناسب ساده‌ای به دست آورد. گاهی اوقات از بارگذاریهای معادل ساده‌تری بجای بارگذاری کوپر برای بارهای زنده پلهای راه آهن استفاده می شود.

#### ۱ - ۷ بارهای زنده ساختمانها

عموماً بارهای زنده ساختمانهارا به صورت بارهای منقول گستردہ باشد ثابت در نظر می گیرند. شدت ثابت بارگذاری کف‌ها بستگی به نوع ساختمان مورد طرح دارد. چنین ارقامی در جدول (۱-۱) درج شده است.

جدول (۱-۱)

حداقل بار زنده		ساختمانهای مسکونی و ادارات	
daN/m <sup>2</sup>	lb/ft <sup>2</sup>	مساکن خصوصی، خانه‌های آپارتمانی و غیره	اتاق ادارات، مدارس و غیره
190	40		
240	50		
480	100	راهروها، اماکن انتظار و غیره در ساختمانهای عمومی	
		ساختمانهای صنعتی و تجاری	
1200	250	انبارها و مشابه آنها	
360	75	کارخانجات (سبک)	

### چاپخانه‌ها

480	100	انبار عمده فروشی (کالاهای سیک)
360	75	مراکز ارائه خردۀ فروشی (کالاهای سیک)
		گارازها
480	100	برای هممنوع و ساعط نقلیه
380	80	فقط برای ماشینهای مسافری
		پیاده‌روها باری گسترده باشد $ft \cdot 1200 daN/m^2$ ) و یا باری متعرکز برابر با $8,000 lb$ ( $3560 daN$ ) انتخاب می‌گردد و هر یک که لنگر یا برش بیشتر ایجاد کند برگزیده خواهد شد.

---

بدیهی است در صورتی که کف‌های فوق الذکر بار زنده‌ای باشد بیشتر از ارقام پیشنهادی فوق تحمل کنند ارقام بیشتر در محاسبات به کار خواهد رفت.

### ۱ - آن ضربه

اگر بار زنده به صورت تدریجی وارد نشود تغییر شکل سازه‌ای که تحت تأثیر بار زنده می‌باشد بزرگتر از زمانی خواهد بود که بار زنده به صورت ساکن بر آن اثر کند و چون در این حالت تغییر شکل بزرگتر است لذا تنش حاصل در سازه نیز بیشتر خواهد بود. مقدار اضافی تنش حاصل از بار زنده در این حالت نسبت به مقدار این تنش در صورت اثربار زنده به صورت تدریجی، تنش ضربه‌ای گفته می‌شود. تنشهای ضربه‌ای عموماً با بارهای متحرک همراه هستند. برای منظور نمودن تنش ضربه‌ای در محاسبات سازه‌ها تنش حاصل از بار زنده رابه‌میزان رقمی که به افزایش ضربه معروف است و عموماً به طریق تجربی تعیین می‌شود به زمان اثر بار زنده، به قسمتی از سازه که بار بر آن اثر می‌کند و بالاخره به مشخصات ارجاعی و لنگر لختی سازه بستگی کامل دارد.

برای هلهای جاده افزایش ضربه یعنی  $I$  در آئین نامه AASHTO به صورت زیر ارائه شده است:

$$I = L + \frac{50}{125} \leq 0.300 \quad (1-1)$$

در این رابطه  $I$  طول قسمتی از دهانه است که به منظور ایجاد تنش حداقل در قطعه، بارگذاری شده است، مقدار آن بر حسب فوت می‌باشد. به عنوان مثال فرض کنید که حداقل بررسی مثبت

در وسط شاهتیر طولی هر جاده‌ای برابر با  $lb = 1,000,000$  باشد که در اثر بارگذاری نصف دهانه  $50$  فوتی بوجود آمده است، در این صورت طول بارگذاری شده  $L$  برابر با  $50$  ft بوده و افزایش ضربه برابر است با\*

$$I = 50/(50 + 125) = 0.286$$

برش حاصل از ضربه، از حاصل ضرب افزایش ضربه در برش حاصل از بار زنده برابر با مقدار زیر خواهد بود:

$$1,000,000 \times 0.286 = 286,000 \text{ lb.}$$

کل برش حاصل از بار زنده یعنی برش حاصل از ضربه بار زنده به اضافه برش بار زنده بدون در نظر گرفتن اثر ضربه‌ای آن برابر خواهد شد با:

$$1,000,000 \text{ lb} + 286,000 \text{ lb} = 1,286,000 \text{ lb}$$

در آئین نامه‌های طرح و اجرای پلهای فلزی راه آهن که توسط AREA ارائه شده است، ضربه را به صورت زیر بررسی می‌کنند (توجه شود که درصد ضربه برابر با صد برابر افزایش ضربه است).

"به حداقل تنش محاسباتی حاصل از بارهای زنده ساکن برای در نظر گرفتن ضربه باید مقادیر زیر را اضافه نمود:

### ۱- اثر حاصل از غلت

برابر با درصدی از تنش حاصل از بار زنده ساکن معادل با  $\frac{100}{S}$  = فاصله مرکز به مرکز شاهتیرهای طولی، خرپاها و یا طول تیرهای کف و یا شاهتیرهای عرضی است (بر حسب فوت)

### ۲- اثر مستقیم عمودی

در لوکومتیوهای بخاری (ضربه اهرم بخار، ناصافی ریل، ضربه واگنها) برابر با درصدی از تنش حاصل از بار زنده که معادل است با:

الف - برای تیرها، تیرهای طولی، شاهتیرها و تیرهای کف

در صورتی که  $L$  کمتر از  $100$  ft باشد

---

\* در دستگاه متريک رابطه (۱-۱) به صورت  $I = \frac{15.24}{L+38.1}$  نوشته خواهد شد که در آن مقدار  $L$  بر حسب متر خواهد بود. (متراجم).

$$\frac{1,800}{L - 40} + 10 \quad \text{در صورتی که } L \text{ بیشتر یا برابر با } 100 \text{ باشد}$$

ب - برای دهانه خرپاها

$$\frac{4,000}{L + 25} + 15 \quad \text{در لوكومتيوهای برقی (ناصفی ریل، ضربه واگنها) برابر با درصدی از تنش حاصل از بار زنده ساکن معادل با :}$$

$$40 - \frac{3L^2}{1,600} \quad \text{در صورتی که } L \text{ کمتر از } 80 \text{ ft باشد}$$

در صورتی  $L$  برابر با بیشتر از 80 ft باشد

ج - فاصله مرکز به مرکز تکیه‌گاههای تیرهای طولی، شاهتیرهای طولی و خرپاها (میله‌ها و اعضای اصلی خرپا) است (برحسب فوت)

د - طول تیرهای کف یا شاهتیرهای عرضی برحسب فوت و همچنین طول قطعه‌های فرعی خرپاها شاهتیرهای عرضی و تکیه‌گاههای شاهتیرهای عرضی می‌باشد (برحسب فوت) " برای این‌که در مورد ضربه شرحی عملی برای این آئین نامه داده باشیم فرض کنید که شاهتیر طولی که در مثال قبل شرح داده‌ایم یکی از دو شاهتیر پل راه‌آهن برای لوكومتيو بخاری باشد و این دو شاهتیر فاصله مرکز به مرکزی برابر با 18 ft داشته باشند . برای تعیین اثر حاصل از غلت چون  $S = 18$  است ، لذا درصد ضربه برای  $L = 18$   $= 5.5\%$  خواهد شد . در مورد اثر مستقیم عمودی چون  $L = 100$  است لذا درصد ضربه برای  $L = 100 - 40 = 60$   $= 40.0\%$

می‌شود ( توجه شود که در اینجا  $L = 100$  در نظر گرفته شده است زیرا برابر با دهانه شاهتیر است ، در صورتی که در مثال قبل  $L = 50$  گرفته شد چون طول بارگذاری شاهتیر برابر با 50 ft بود ) به‌این ترتیب کل درصد ضربه برابر با

$$5.5 + 40.0 = 45.5\%$$

خواهد شد و برش حاصل از ضربه برابر با

$$1,000,000 \times 0.455 = 455,000 \text{ lb}$$

می‌شود و بالاخره کل اثر بار زنده یعنی برش حاصل از بار زنده به‌اضافه برش حاصل از ضربه برابر با

$$1,000,000 + 455,000 = 1,455,000 \text{ lb.}$$

خواهد شد.

سایر آئین نامه‌ها قواعد دیگری برای تعیین اثر ضربه ارائه می‌دهند ولی این دو

روش شاید مهمترین قواعد متدالول باشند.

"عموماً" در مورد بارهای زنده منقول که بارهای زنده ساختمانها را تشکیل می‌دهند به‌کاربردن تنש حاصل از ضربه موردي پیدا نمی‌کند و به علاوه وقتی سازه به صورت چوبی طرح می‌شود اغلب از ضربه در آن صرف‌نظر می‌شود، دلیل این عمل این است که چوب ماده‌ای است که در برابر بارهای با مدت اثر کوتاه نسبت به بارهای دائمی بسیار قویتر است و به این جهت از این ذخیره<sup>۸</sup> مقاومت می‌تواند در برابر بارهای ضربه‌ای استفاده کند.

## ۱-۹ بارهای حاصل از برف و بخ

بارهای حاصل از برف اغلب بسیار مهم هستند مخصوصاً "اگر محاسبه پشت بام‌ها مورد نظر باشد . برف در ردیف بارهای منقول است و به این جهت الزاماً" تمام سطح پشت بام را خواهد پوشاند لذا برخی از حمالهای سقف ممکن است تحت اثر پوشش قسمتی از سقف توسط برف ، تنشهای حداکثری را تحمل کنند ، بر حسب محل ریزش برف وزن مخصوص آن نیز تا حد زیادی تغییر خواهد کرد و همچنین در یک محل معین ارتفاع برفی که در یک پشت بام جمع خواهد شد بستگی به شیب بام و زیری که پشت بام خواهد داشت . در پشت - بامهای صاف که در معرض ریزش برفهای سنگین قرار دارند ممکن است بار حاصل از برف به ۶۰ حتی به ۹۰ پاؤند برفوت مربع ( ۲۹۰ تا ۴۳۰ daN/m<sup>2</sup> ) نیز برسد . فرض اثربزمان بار حاصل از برف و باد در یک پشت بام خود مسائله‌ای بحث انگیز است زیرا که یک باد قوی تقریباً "قسمت اعظم برف آن را پائین خواهد ریخت .

بارهای حاصل از بخ زدگی نیز ممکن است بسیار مهم باشد ، به عنوان مثال در طرح برجهایی که از قطعات نسبه "کوچک ساخته شده و در سطح نسبه" وسیعی از آن امکان جمع شدن بخ وجود دارد این مسئله حائز اهمیت است ، در چنان سطوحی بخ که دارای وزن مخصوصی تقریباً برابر با آب است می‌تواند ضخامتی برابر با ۵ سانتی‌متر با بیشتر نیز داشته باشد . گرچه امکان رسیدن به ضخامت بیشتر نیز موجود است ولی در چنان حالتی در برف شبم جمع شده و وزن مخصوص آن را تقلیل می‌دهد . وقتی قطعه‌ای با بخ پوشیده می‌شود شکل آن و سطح تصویری آن تغییر می‌یابد که باید در محاسبات این مقادیر تغییر یافته در مقابل اثر باد برش قطعه پوشیده شده از بخ به حساب آید .

## ۱-۱۰ بارهای جانبی - کلیات

"معمولًا" بارهایی که قبلاً ذکر شد به صورت عمودی اثر می‌کنند ولی اثر بارهای زنده و بارهای ضربه‌ای نظیر آنها فقط در همان جهت اثر نخواهند کرد و لذا علاوه بر بارهای قبلی برخی از بارها نیز تقریباً همواره در جهت افقی وارد می‌شوند و باید اثر آنها را در طرح و محاسبات اغلب سازه‌ها منظور نمود. این چنین بارها را بارهای جانبی گویند.

بارهای حاصل از باد، فشار خاک، فشار آب ساکن، نیروهای حاصل از زلزله نیروهای گریز از مرکز و نیروهای طولی را عموماً تحت این طبقه‌بندی ذکر می‌کنند.

## ۱-۱۱ بارهای حاصل از باد

بارهای حاصل از باد بسیار مهم است مخصوصاً در محاسبه سازه‌های بزرگ نظیر ساختهای بلند، برجهای رادیو، پلهای با دهانه وسیع و همچنین در سازه‌های نظیر ساختهای کارخانجات، شیانه‌ها و انبارها که در داخل فضای وسیعی دارند و با دیوارهایی که امکان وجود بازشویی بزرگ در آنها وجود دارد پوشیده شده‌اند اهمیت پیدا می‌کند.

سرعت باد که در محاسبه یک سازه در نظر گرفته می‌شود بستگی به موقعیت جغرافیایی و نمای بادگیر سازه دارد.\*

بارهای محاسباتی که برای باد در آئین نامه‌های مختلف توصیه می‌شود بعانت بارهای محاسباتی برای بارهای زنده معرف کامل بارهای حاصل از باد واقعی نمی‌باشند. تجربه‌نشان داده است که به کاربردن مقادیر توصیه شده منجر به طرحی با استحکام مناسب و همچنین صلابت مناسب می‌گردد.

آئین نامه AASHTO برای پلهای بزرگ جاده نیروی باد را معادل با باری منقول که به صورت افقی به شدت  $75 \text{ lb}/\text{ft}$  (  $350 \text{ daN}/\text{m}^2$  ) برای خرپاهای و طاقها به شدت  $50 \text{ lb}/\text{ft}$  (  $235 \text{ daN}/\text{m}^2$  ) برای شاهتیرها و تیرها در نظر می‌گیرد. البته این چنین نیروهایی برای سرعت بادی برابر با  $100 \text{ mph}$  (  $161 \text{ km/h}$  ) است. سطحی که باد بر آن اثر می‌کند مجموع سطوح کلیه قطعات تشکیل دهنده کف سازی و نرده خواهد بود که در

\* سرعت باد در سطح زمین برای کشور ایران برابر با  $125 \text{ km/h}$  گرفته شده است.  
متترجم ( )

نمای قائم بر محور طولی سازه دیده می‌شود. هرگاه در سازه‌ای بارهای زنده را با بار حاصل از باد جمع کنیم شدت اثر بار حاصل از باد  $25 \text{ daN/m}^2$  درصد کم خواهد شد. برای سازه‌های فرعی، نیروهای حاصل از باد را باید طبق آئین نامه با زاویه مایل به نحوی که هم نیروی طولی و هم نیروی عرضی ایجاد نماید در نظر گرفت.

در مورد ساختمانها بر طبق آئین نامه AISC قاب ساختمان باید به گونه‌ای طرح گردد که قادر به تحمل فشار زیادی حداقل برابر با  $20 \text{ lb/ft}^2$  (  $95 \text{ daN/m}^2$  ) که بر کل سطح تمام شده عمودی سازه اثر می‌کند باشد.

در مورد ساختمانهای با سقف شیبدار و یا گروی باید مشخصات دقیق‌تری برای بار حاصل از باد بکار برد، گزارشی با عنوان "بادبندی ساختمانهای فلزی" برای اطلاع دانشجویان معرفی می‌شود این گزارش از جهت راحتی بیشتر فشار (یا مکش) سقف را با علامت  $\oplus$  که فشار مبنی (حاصل از سرعت باد) است نشان داده است که مقدار آن به صورت زیر تعیین می‌شود\*:

$$q = \frac{1}{4} m V^2 \quad (2-1)$$

در این رابطه  $m$  جرم واحد حجم هوا و  $V$  سرعت باد در همان دستگاه اندازه‌گیری  $m$  می‌باشد در شرایط متوسط در صورتی که سرعت باد را بر حسب mph (مايل در سرعت) بیان کنیم فشار مبنی بر حسب پاوند بر فوت مربع چنان خواهد شد\*\*:

$$q = 0.002558 V^2 \quad (3-1) \quad (\text{هر مايل برابر با } 1760 \text{ يارد می‌باشد})$$

در مورد سقف‌های شیبدار بارگذاری‌های زیر برای شیبدار مکش بادگیر توصیه می‌شود

\* ASCE, March, 1936, p. 397      \*\*

شک سازگاری بیشتری با نیروهای آئیرودینامیکی مؤثر بر سقف با نیروهای دیگری که برای طرح سقف‌های بکار برد می‌شوند دارند در محاسبات عملی تعیین فشارناشی از باد در سطوحی که عمودی نباشند عموماً از رابطه‌ای نظیر رابطه دو خمین Duchemin است به صورت رابطه  $P_n = P \frac{2 \sin i}{1 + \sin^2 i}$  است استفاده می‌کنند، در این فرمول  $P$  شدت فشار عمودی بر سطح مورد نظر و  $i$  شدت فشار بر یک سطح عمودی است.  $i$  زاویه سطح مورد نظر با افق است چنان محاسبه‌ای مقدار فشار باد را در طرف بادگیر شیبدار پشت بام معین می‌کند ولی برای مقدار مکش باد در طرف پشت بادگیر شیبدار پشت بام عددی ارائه نمی‌دهد.

\*\* در دستگاه SI رابطه فوق بصورت  $q = \frac{V^2}{16.311}$  بیان می‌شود. در این رابطه  $V$  بر حسب  $\text{m/s}$  و  $P$  بر حسب  $\text{daN/m}^2$  است).

- ۱ - برای شیب‌هایی برابر با  $20^\circ$  و کمتر مکش (یعنی بعست بالا) برابر با  $0.7q$
- ۲ - شیب‌هایی بین  $20^\circ$  و  $30^\circ$  مذکو برابر با

$$p = (0.07\alpha - 2.10)q \quad (4-1)$$

که در آن  $\alpha$  شیب سقف بر حسب درجه است.

- ۳ - برای شیب‌هایی بین  $30^\circ$  و  $60^\circ$  فشاری برابر با:

$$p = (0.03\alpha - 0.90)q \quad (5-1)$$

- ۴ - برای شیب‌هایی تندتر از  $60^\circ$  فشاری برابر با  $0.90q$  پیشنهاد شده است که برای بارگذاری در اثر باد، برای پشت بادگیر سقف‌های شیب‌دار مکشی برابر با  $0.6q$  برای کلیه مقادیر شیب در نظر گرفته شود، البته جهت اثر فشار و مکش در کلیه این حالات عمود بر سطوح تحت تأثیر باد خواهد بود.

گزارش انجمن مهندسین عمران آمریکا (ASCE) که به عنوان مرجع از آنچه لازم استفاده شده است بحثی در مورد مقدار و طرز پخش فشار باد بر سقف‌های مدور که در پوشش آشیانه‌ها و انبیارها به کار بردۀ می‌شود نیز به عمل آمده است.

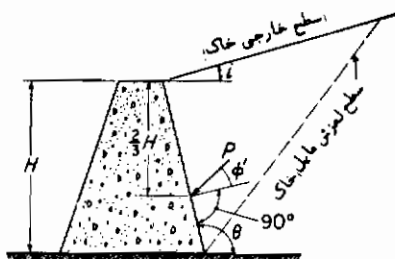
در آئینه‌نامه AISC بار حاصل از باد بر ساختمانها به صورت فشاری مؤثر بر سطح کل عمودی ساختمانها در نظر گرفته شده است. چنین طرز عملی برای محاسبات ساختمانهای بلند رضایت‌بخش است، گرچه علاوه بر این از باد شامل نیرویی فشار در سمت بادگیر و مکش در قسمت مقابل سمت بادگیر می‌شود.

## ۱۶ - فشار خاک

بارهای مؤثر بر دیوارهای حایل، دیوارهای ساختمانها و سایر سازه‌ها که بر اثر فشار خاک بوجود می‌آیند اغلب اوقات باید توسط مهندس سازه بررسی گردد، فشار جانبی خاک بر یک دیوار در اثر جابجایی دیوار تغییر می‌کند و در اثر جا خالی گردن دیوار مقدار فشار خاک به محدوده خود می‌رسد که بعاین مقدار حداقل فشار عامل خاک می‌گویند. از طرف دیگر اگر خاک به طرف خاگریز فشرده شود فشار بین دیوار و خاگریز پشت آن به حد اکثر خود که به فشار غیر عامل خاک معروف است می‌رسد. تحت شرایط متعارف فشار عامل در هر عمقی در حدود  $\frac{1}{3}$  فشار عمودی است و فشار غیر عامل در حدود  $\frac{4}{3}$  برابر فشار عمودی است. از آنجایی که در مورد مایعات فشار جانبی برابر با فشار عمودی است لذا مقادیر تقریبی  $\frac{1}{3}$  و  $\frac{4}{3}$  را کاهی

"نسبت‌های فشاری آب ساکن" به ترتیب برای فشار عامل و غیرعامل می‌گویند. بنابراین فواید فوق الذکر کلیه دیوارهایی که امکان جابجایی مختصری برای آنهاست اثر فشار خاک معکن است برآسی فشار عامل محاسبه می‌گردند، گرچه مقدار فشاری که در عمل بر آن دیوار اثر می‌کند عموماً قدری از نظر مقدار بیشتر خواهد بود در محاسبات نحوه گسترش این فشار بر دیوار به صورت مثلثی فرض می‌گردد گرچه چنین فرضی نیز کاملاً صحیح نیست.

در مورد خاکهای بدون چسبندگی فشار عامل خاک را می‌توان بر نواری به عرض یک فوت (در سیستم متريک یک متر) برآسی نظریه Coulomb که سطح لغزش دو قشر خاک را سطحی شبیدار فرض می‌کند محاسبه نمود. با مراجعه به مشکل (۳-۱) برآیند کل نیرو بر دیوار را با زاویه نشان داده‌ایم که در فاصله دو سوم ارتفاع دیوار از بالای دیوار درجه‌تی



شکل ۱-۳ دیوار حائل

که زاویه‌ای برابر با  $\phi'$  با خط عمود بر سطح دیوار می‌سازد بر دیوار اثر می‌کند. در اینجا  $\phi'$  زاویه اصطکاک بین خاک و مصالح دیوار است.  $H$  ارتفاع عمودی خاک از تراز پائین دیوار است. زاویه‌ای که سطح خاک با افق می‌سازد با  $\theta$  نشان داده شده است، شبیداخلي دیوار را با زاویه  $\theta$  نشان داده‌ایم.

نیروی کل  $P$  را بر حسب پاوند بر طبق تئوری کولمب از رابطه زیر معین می‌کنند:

$$P = \frac{1}{2} \gamma H^2 \left[ \frac{\csc \theta \sin (\theta - \phi)}{\sqrt{\sin (\theta + \phi')} + \sqrt{\frac{\sin (\phi + \phi') \sin (\phi - i)}{\sin (\theta - i)}}} \right]^2 \quad (6-1)$$

در این رابطه  $\gamma$  وزن واحد حجم خاک بر حسب  $\text{lb}/\text{ft}^3$  (در دستگاه SI بر حسب  $\text{daN}/\text{m}^2$ )،  $\phi$  زاویه اصطکاک داخلی خاک (که مقدار آن را می‌توان به سادگی توسط آزمایش بررسی در آزمایشگاه به دست آورد و مقدار متعارف آن بین  $30$  الی  $40^\circ$  است).  $\theta'$  زاویه اصطکاک بین خاک و مصالح بنایی است که از نظر مقدار برای دیوارهای زیر حدوداً "برابر با  $\phi$  بوده ولی

در مورد دیوارهای صاف قدری کمتراز  $\phi$  می‌باشد (در سیستم متريک فرمول (۱-۶) تغییر نمی‌کند و اگر  $H$  را بر حسب  $m$  در آن ملاحظه کنیم مقدار نیروی کل بر حسب  $dN$  برای نواری بعرض  $m$  بدست می‌آید.

اگر  $i = 0^\circ$ ,  $\theta = 90^\circ$ ,  $\phi' = \phi$  باشد رابطه (۱-۶) به صورت زیر در می‌آید:

$$P = \frac{1}{2} \gamma H^2 \left[ \frac{\cos \phi}{(1 + \sqrt{2 \sin \phi})^2} \right] \quad (۲-۱)$$

برای مثال اگر حالت شن را بررسی کنیم که در آن  $\phi = 30^\circ$  و  $\phi' = 30^\circ$  (یا  $1630 \text{ daN/m}^3$ ) می‌باشد و برپشت دیواری عمودی به ارتفاع  $10 \text{ ft}$  (یا  $3.05m$ ) اثر می‌کند نیروی برآیندی که بر نواری بعرض  $1 \text{ ft}$  (یا  $m$ ) اثر می‌کند از معادله (۱-۷) به صورت زیر محاسبه می‌گردد.

$$P = \frac{1}{2} (100)(10)^2 \left\{ \frac{0.867}{[1 + 1.414(0.500)]^2} \right\} = 1,490 \text{ lb}$$

(در دستگاه SI خواهد شد،)

$$P = \frac{1}{2} (1630)(3.05)^2 \left\{ \frac{0.867}{[1 + 1.414(0.5)]^2} \right\} = 2250$$

این نیروی برآیند در فاصله  $3.33 \text{ ft}$  (یا  $102\text{cm}$ ) از تراز پائین دیوار را در جهت دیوار و به طرف پائین با زاویه‌ای برابر با  $30^\circ$  بر آن اثر خواهد کرد. برای بررسی بیشتر فشار خاک باید به کتابهایی در زمینه مکانیک خاک مراجعه نمود.

### ۱-۱۳ فشار آب ساکن

سد ها مخازن و نظایر آنها تحت تأثیر فشار آب ساکن که به سادگی بر طبق قواعد معمول در اصول مقدماتی هیدرولیک قابل محاسبه می‌باشد قرار دارد. فشار آب ساکن را باید به صورت بارهای منقول در نظر گرفت زیرا الزاماً تنش بحرانی سازه زمانی که ارتفاع آب به حد اکثر سطح خود بر سد اتفاق نخواهد افتاد. در برخی از سازه‌ها وجود برخی از فشارهای آب ساکن علاوه بر تقلیل تنش در سازه می‌گردد. به این ترتیب یک مخزن زیرزمینی بیشتر زمانی امکان گسیختگی در آن وجود دارد که به حالت خالی باشد تا پر و یا یک مخزن روی

خاک امکان رسیدن آن به حالت تنش بحرانی زمانی است که مخزن نیمه پر باشد .  
گاهی لازم است که بارهای دینامیکی آب را نیز در محاسبات در نظر بگیریم مثلاً " زمانی که آبی با حد اکثر سرعت به پایه های پل اصابت می کند .

### ۱ - ۱۴ نیروهای حاصل از زلزله

سازه های مهم هرگاه در مناطق شدید زلزله واقع شوند اغلب در مقابل نیروی زلزله محاسبه می گردند . خسارات ناشی از اثر زلزله بر یک سازه ناشی از این حقیقت است که پی سازه تحمل شتاب می نماید ، چنین شتابی دارای مؤلفه افقی عمدتی است معمولاً " از مؤلفه عمودی آن صرف نظر می شود . میزان شتاب افقی پی ها می تواند ۵ درصد شتاب ثقل الی معادل آن گرفته شود یعنی  $16 \text{ sec}^2 / 3.2 \text{ ft}$  ( در دستگاه SI مقدار  $9.81 \text{ m/s}^2$  ) . اگر سازه را مانند جسمی فرض کنیم به همان میزان پی های خود شتاب پیدا خواهد کرد . یعنی هر قسمتی از سازه تحت تأثیر نیروی جرمی برابر با حاصل ضرب جرم آن در شتاب افقی قرار خواهد گرفت و یا به عنوان مثال :

$$( \text{وزن آن} \times 0.59 \times \frac{\text{وزن}}{g} ) = (\text{شتاب}) \times (\text{جرم}) = (\text{نیروی جانبی})$$

سازه ها را گاهی براساس مطالب فوق در برابر زلزله محاسبه می کنند ، گرچه این روش کاملاً تقریبی است . زیرا معمولاً " فرض این که کل سازه مانند جسمی صلب شتاب پیدا کند از نظر عملی صحیح نیست ، چون عملاً " سازه تغییر شکل ارتجاعی پیدا می کند که همین واقعیت در شتاب قطعات مختلف آن تأثیر می گذارد .

شتاب افقی سازه هایی نظیر یک سد نه تنها به سبب جرم خود تولید نیروهای جرمی می کند بلکه در اثر حرکت سریع سد به طرف آب پشت آن سبب ایجاد نیروهای دینامیکی آب نیز می شود .

### ۱ - ۱۵ نیروهای گریز از مرکز

در طرح پلی که دارای مسیر ماشین رو و یا ریلی منحنی می باشد و سائط نقلیه ای که از آن سازه عبور می کنند نیرویی گریز از مرکز بدان وارد می کنند که ممکن است مقدار آن نیرو به اندازه ای باشد که در نظر گرفتن آن در طرح پل لازم گردد . چنین نیروهای گریز از مرکزی بارهای جانبی بوده و باید مانند بارهای متحرك در نظر گرفته شوند .  
اگر وزنی برابر با  $W$  با سرعتی برابر با  $v$  یک منحنی به شعاع  $R$  را طی کند نیروی گریز

از مرکز  $C$  (که بر مرکز شغل جسم بوزن  $W$  اثر می‌کند) بر حسب رابطه زیر بیان خواهد شد.

$$C = \frac{W}{g} \cdot \frac{V^2}{R} = (\text{شتاب خروج از مرکز}) \times (\text{جرم}) \quad (8-1)$$

### ۱-۱۶ نیروهای طولی

در مورد یک پل نیروهای افقی که در جهت محور طولی آن اثر می‌کند یعنی درجهت جاده ماشین روی اثر می‌کند به نیروهای طولی معروف هستند، چنان نیروهایی زمانی بر آن وارد می‌شوند که وسائط نقلیه از آن عبور می‌کنند روی آن تغییر سرعت دهند، از آنجایی که این چنین نیروهایی جرمی هستند و در اثر شتاب مثبت یا منفی وسائط نقلیه اثر خواهند کرد. مقدار چنین نیروهایی محدود به نیروهای اصطکاکی است که قادرند بین دو سطح تعاس چرخهای وسایل نقلیه که این نیروها را بر جاده یا ریل منتقل می‌نمایند و سطح جاده یا ریل بوجود آیند.

برای پلهای راه آهن آئین نامه AREA فرض می‌کند که نیروهای افقی در فاصله ۶ft (183cm) بالای ریل اثر می‌کند و تأثیر آن همراه با بارهای زنده فقط بر روی یک ریل باشد. برای ریل مورد نظر باید نیروهای طولی را برابر با بزرگترین مقدار از دو مقدار زیر گرفت (۱) در اثر ترمر ۲۵ درصد کل بار زنده بدون در نظر گرفتن اثر ضربه (۲) در اثر کشن ۲۵ درصد وزن وارده بر چرخهای محرک لوکوموتیو بدون در نظر گرفتن اثر ضربه.

برای راههای ماشین رو آئین نامه AASHTO در خواست می‌کند که محاسبات برای مقابله با نیرویی طولی برابر با ۵ درصد بار زنده مؤثر بر سازه که در فاصله ۴ft (122cm) بالای جاده فرض می‌شود انجام گیرد.

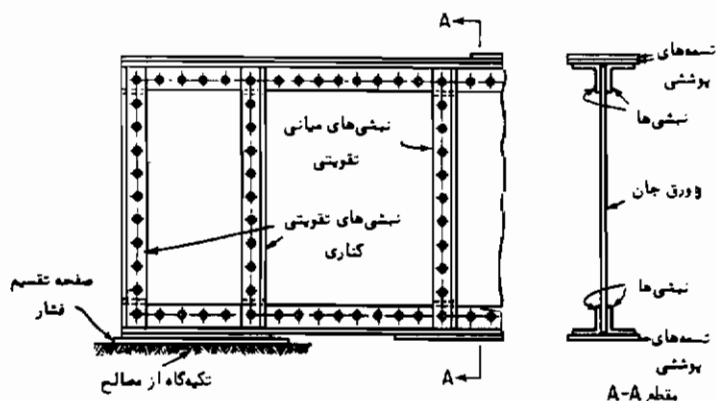
### ۱-۱۷ نیروهای ناشی از تغییر دما

تغییر دما سبب ایجاد کرنش در قطعات یک سازه می‌شود و بهاین جهت باعث تغییر شکل کلی سازه می‌گردد. اگر تغییر شکل ناشی از تغییر دما با مقاومتی مواجه گردد که اغلب در سازه‌های نامعین چنین حالتی وجود دارد، در سازه مورد بحث تنש بوجود خواهد آمد. نیروهای ناشی از تغییر دما که در سازه‌ها بوجود می‌آید اغلب نیروهای حرارتی خوانده می‌شوند. نه تنها باید نیروهای ناشی از تغییر دما را در نظر داشته باشیم بلکه در نظر گرفتن

انبساط و انقباض سازه مخصوصاً در طرح اتصالات تکیه‌گاهی بسیار مهم است. در آب و هوای معتدل تغییر دما را بین ۰ تا ۲۵ درجه فارنهایت (برابر با ۱۷ تا ۴۹ درجه سانتیگراد) و در آب و هوای سرد این حدود تغییرات را ۳۰ تا ۱۲۵ درجه فارنهایت (معادل با ۴۹ تا ۳۶ درجه سانتیگراد) می‌گیرند.

### ۱-۱۸ ساخت تیر ورقها

در سازه‌هایی که از فولاد ساختمانی در اجرای آنها استفاده می‌شود معمولاً "برای پوشش دهانه‌ها از نیمرخهای استاندارد I بال پهن جهت تحمل بارها استفاده می‌شود. هرگاه از نیمرخهای نوردشده استفاده شود این عملکرد اقتصادی خواهد بود زیرا کار ساخت چنین نیمرخهایی کمتر از تیرورقهاست. ولی در دهانه‌های بزرگ و بارگذاری‌های سنگین مقدار لنگر خمشی و نیروی برشی چنان بالاست که تحمل آنها به صورت این توسط نیمرخهای نوردشده ممکن نیست و در این صورت باید از تیرورقهای استفاده گردد. مهمترین قسمت‌های یک تیرورق چنانچه در شکل (۱-۴) دیده می‌شود عبارت است از ورق جان بال فوکانی که از دونیشی و تسمه تشکیل شده و بال تحتانی که بهمان طریق ساخته شده است. در دو طرف صفحه تقسیم فشار نیشی‌های عمودی که بنام تقویت کننده‌های کناری نامیده می‌شوند قرار دارند و در برخی از نقاط در طول دهانه آن معمولاً قراردادن نیشی‌های عمودی لازم است که به آنها تقویت کننده‌های میانی گویند. در شکل (۱-۴) اجزاء مختلف تیرورق را توسط پرج بهم متصل کرده‌اند، اغلب اوقات بجای پرج از جوش استفاده می‌شود، در این حالت جزئیات

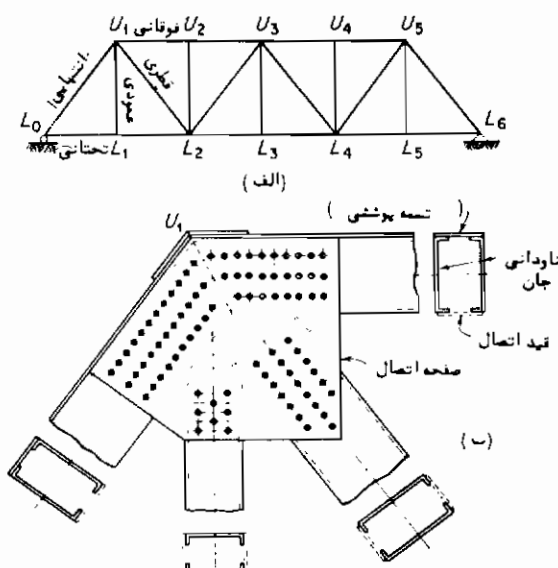


شکل ۱-۴ اجزاء تشکیل دهنده یک تیر ورق

اجرایی تیرورق کمی تغییر خواهد کرد ولی باید اجزای تشکیل‌دهنده آن که جان، بالهای فوقانی و تحتانی و تقویت‌کننده‌های جان می‌باشد بازهم تأمین گردد.

### ۱-۱۹ ساخت خرپاها

مسائل ناشی از ساخت، حمل و نصب تیرورقها معمولاً ارتفاع آنها را به حدود ۳ متر محدود می‌نماید. وقتی مقدار لنگر خمی و تلاش برشی به حدی بالا باشد که تحمل آنهاز تیرورقی به آن ارتفاع خارج گردد استفاده از خرپاها لازم خواهد بود. در شکل (۱-۵الف) نمونه یک خرپا نشان داده شده است. به اعضای  $L_1L_2$ ,  $L_2L_3$ , ... ,  $L_5L_6$  (میله‌های اصلی) و  $U_1U_2$ ,  $U_2U_3$ , ... ,  $U_4U_5$  (میله‌های) اصلی فوقانی، به اعضای  $U_5L_6$  و  $U_1L_2$  اعضای انتهایی گویند که این اعضا اغلب جزء اعضاء اصلی فوقانی به حساب می‌آیند به اعضای  $U_1L_2$ ,  $U_2U_3$ , ... ,  $L_4U_5$  (میله‌های) قطری و به اعضای  $U_1L_1$ ,  $U_2L_2$  و ... ,  $U_6L_5$  (میله‌های) عمودی گفته می‌شود. در شکل (۱-۵ب) نمونه‌ای از جزئیات یک اتصال و اجزای تشکیل‌دهنده یک خرپای پرچی دیده می‌شود. صفحاتی که کلیه اعضاء خرپا در یک گره بدان متصل می‌شوند صفحه اتصال گویند. در خرپاهای با دهانه‌های وسیع ممکن است اعضای خرپا در گرهی توسط یک میله محوری که از وسط جان کلیه اعضاء عبور

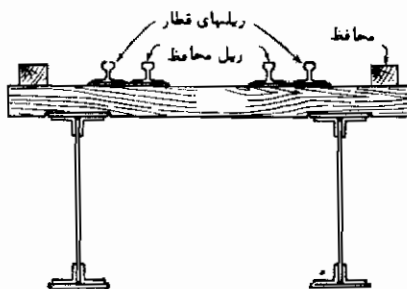


شکل ۱-۵ اجزای یک خرپا با اتصالات پرچی

می‌کند و یا از اتصالاتی که در آنها برای عبور میله محوری اقدام لازم انجام گرفته و آنها را به اعضاء خرها وصل کرده‌اند، بهم متصل شوند، البته عموماً "خرپاهای را بهم جوش می‌کنند تا پرچ یا پیچ.

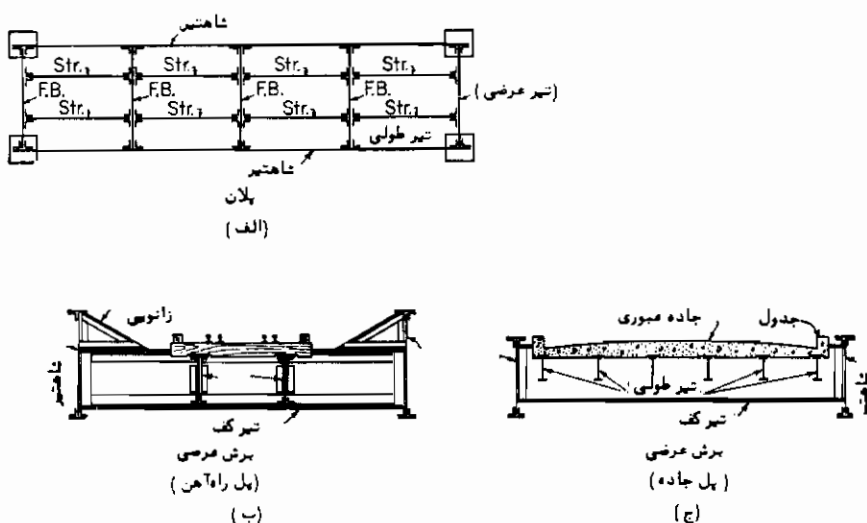
#### ۱-۲۰/ اجرای تیر ریزی گفته‌ها

اگر در یک پل عبوری قطار، فاصله شاهتیرها از هم زیاد نباشد و اگر ریلهای عبوری در بالای شاهتیرها قرار گرفته باشد از نظر اقتصادی بهتر است بطوریکه در شکل (۱-۶) نشان داده شده است تراورسها را مستقیماً برای روی تسممه پوششی بال فوچانی شاهتیرها قرار دهند. چنانچه چنین پلهایی را با عبورگاه فوچانی گویند. چنانچه



شکل ۱-۶ پل با تیرورق و با عبورگاه فوچانی

فوصل بین شاهتیرها افزایش پاید چنین طرح و اجرایی غیر اقتصادی خواهد شد به علاوه در صورتی که ریلهای عبور پائین تراز سطح فوچانی شاهتیرها واقع شده باشند عمل "عمل" چنین طرحی غیرممکن می‌گردد. در صورت تحقق هریک از حالات فوق الذکر طرح و اجرای تیرریزی کف که شامل تیرهای طولی، تیرهای کف (تیرهای عرضی) مانند شکل (۱-۷) باشد لازم می‌گردد. اگر تیرریزی کف در بالای شاهتیرها و یا خرپاهای افقی واقع شده باشد پل را باز هم با عبورگاه فوچانی گویند و اگر تیرریزی کف در پائین شاهتیر یا خرپا واقع شده باشد پل را با عبورگاه میانی گویند. عبورگاه تحتانی و اگر در وسط شاهتیر یا خرپا واقع شده باشد پل را با عبورگاه میانی گویند. شکل‌های (۱-۷) (الف) (۱-۷ ب) یک پل را می‌توان با یک خط عبوری قطار به صورت پلی با عبورگاه میانی نشان می‌دهد. در این شکل تیرریزی کف نشان داده شده است، تراورسها مستقیماً بر روی تیرهای طولی که به موازات شاهتیرهای اصلی قرار دارند واقع شده‌اند، کلیه



شکل ۱-۷ مقاطع پل با شاهتیر

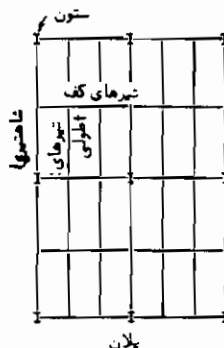
تیرهای طولی به قطعاتی که به تیرهای کف معروفند و به صورت عمودی تیرهای طولی را قطع می‌کنند متصل شده‌اند، تیرهای عرضی نیز به نوبه خود به شاهتیرهای اصلی وصل شده‌اند. بعایین ترتیب بار از طریق ریل‌ها به تراویر سه‌امی رسدو تراویر سه‌با بار را به تیرهای طولی و تیرهای طولی به نوبه خود بار را به تیرهای کف منتقل می‌کنند. تیرهای کف نیز بار را به شاهتیرها منتقل می‌کنند که آنها نیز به نوبه خود آن را به بی‌های سازه منتقل می‌نمایند.

شکل (۱-۷ج) یک مقطع عرضی از یک پل نمونه جاده‌را که دارای تیرریزی کف می‌باشد نشان می‌دهد چنین تیرریزی کف مشابه پل عبوری قطار است که قبلًا "شرح داده شده، در این پل دال کف پل بر روی تیرهای طولی واقع شده که این تیرها به تیرهای عرضی (تیرهای کف) تکیه دارند و تیرهای عرضی نیز به نوبه خود بر شاهتیرهای اصلی مهار شده‌اند.

همانطوری که در شکل (۱-۸) می‌بینیم تیرریزی مشابهی برای کف ساختمانها به کار برده می‌شود. در چنین حالتی تاوه کف بر روی تیرهای کف، شاهتیرها و تیرهای طولی قرار خواهد گرفت ولی بارهای که بر قسمتی از دال که مستقیماً بر روی تیرهای طولی قرار گرفته‌اند وارد می‌شوند از طریق تیرهای طولی به تیرهای کف و از طریق تیرهای کف به شاهتیرها و از طریق شاهتیرها به ستونها و بالاخره به پی‌ها منتقل خواهد شد.

در پلهای که اعضای اصلی باربر آنها بجای شاهتیرها خربا می‌باشد، تیرریزی کف همیشه به کار برده می‌شود، در این حالت تیرهای کف (تیرهای عرضی) در موازات گره‌های میله‌های اصلی قرار گرفته‌اند در این صورت اعضای خربا تحت اثر بارهای عرضی قرار نگرفته

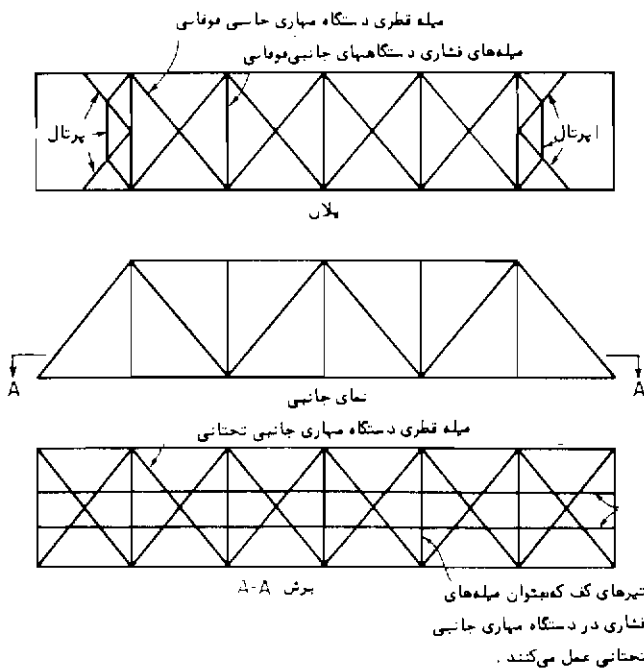
ولذا تحمل خمس اولیه نخواهد کرد.



شکل ۱ - ۸ تیرریزی کف ساختمانها

### ۱ - ۲۱ بادبندها و مهاری‌ها

خرپاها ، شاهتیرها ، تیرهای کف (تیرهای عرضی) ، تیرهای طولی ، ستونها و نظایر آنها که اساساً تحت اثر بارهای قائم محاسبه می‌شوند به عنوان قطعات اصلی سازه شمرده می‌شوند علاوه بر قطعات اصلی اغلب سازه‌ها به سیستم مهاری و بادبند نیز نیازمند می‌باشند که از این سیستم به منظورهای متعددی که مهمترین آنها مقاومت در برابر بارهای جانبی و مقاومت در برابر کماش می‌باشد استفاده می‌شود . مهمترین سیستم بادبند یک پل خرپایی با عبورگاه تحتانی در شکل (۹-۱) نشان داده شده است . اعضای اصلی سیستم مهاری جانبی فوقانی که در تراز صفحه میله‌های اصلی فوچانی خرپا قرار دارد و این سیستم از میله‌هایی فشاری عمود بر خرپا در کلیه نقاط پائی و از میله‌های قطری که دو انتهای دومیله فشاری فوق الذکر را بهم وصل می‌کند ، تشکیل شده است . سیستم مهاری جانبی تحتانی که در تراز صفحه میله‌های اصلی تحتانی خرپا قرار دارد و از تیرهای کف (تیرهای عرضی) که در کلیه نقاط پائی تحتانی قرار دارند و بهمنزله میله‌های فشاری تحتانی عمل می‌کند و از میله‌های قطری که دو انتهای دو تیر کف را بهم متصل می‌نماید تشکیل می‌شود . در صفحه اعضا انتهایی خرپا سیستم بادبندی مخصوصی که بدان "پرتابل" می‌گویند قرار دارد که اعضای انتهایی را در مقابل تغییر شکل جانبی تقویت می‌نماید .



شکل ۱ - ۹ سیستم مهاری (بادبند) جانبی در خرپا با عبورگاه تحتانی

## ۱ - ۲۲ تنش‌های مجاز

هرگاه سازه‌ای براساس روش طرح و محاسبه ارجاعی محاسبه شود تحلیل سازه تحت اثر چندین شرایط مختلف بارگذاری انجام می‌گیرد تا این که لنگرهای خمشی و پیچشی، نیروهای برشی و محوری در مقاطع مختلف سازه تعیین گردد. پس از تعیین این مقادیر محاسبه شدت تنشهای عمودی و برشی در آن مقاطع ساده خواهد بود. به منظور این که سازه بهنحو مطلوبی کارایی داشته باشد، لازم است که مقادیر تنشها که تحت اثر بارهای محاسباتی بوجود می‌آیند از حدود مجازی که برای مصالح مورد مصرف تعیین شده است تجاوز نکنند، این مقادیر محدود شده که توسط آئین نامه‌های معین می‌شوند بنام تنش‌های مجاز خوانده می‌شوند.

در مسائل عملی همواره ابهاماتی در مورد تعیین ابعاد مورد استفاده در محاسبات وجود دارد. فرضیات متعددی که در جهت رفع این مشکل می‌توان اتخاذ کرد همواره اثر واضحی بر روی مقادیر محاسباتی خواهد گذاشت به این جهت آئین نامه‌ها نه تنها مقادیر

تشهای مجاز را معین می‌کنند بلکه جنبه‌های اساسی قابل رعایت در محاسبات را نیز بیان می‌نمایند تا بتوان تنشهای حاصل از بارهای محاسباتی را با تنشهای مجاز مقایسه نمود. به عنوان مثال مقطع عرضی یک قطعه از سازه‌ای با اتصال پرچی را در نظر بگیرید. اگر پرچکاری به نحو مطلوبی انجام گرفته باشد، پرج کامل "سوراخ پرج را پر می‌کند و لذا مرسوم است که در قطعه فشاری فرض شود که قطعه به علت سوراخ پرج ضعیف نشده باشد. سطح مقطع را که بدون کسر سوراخ پرچها محاسبه می‌شود "سطح مقطع ناخالص" گویند ولی حتی اگر پرج‌ها کامل" سوراخ را پر کرده باشند دیگر نمی‌توان فرض کرد سوراخ پرچها بتوانند تنش کشی منتقل نمایند، به این ترتیب سطح مقطع قطعه را که با کسر سوراخ پرج در قسمت کشی از کل مقطع بدست می‌آید "سطح مقطع خالص" می‌گویند، در تعیین تنشهای مجاز لازم است معلوم شود که این تنشها به کدام یک از سطوح مقاطع خالص یا ناخالص مربوط می‌شوند.

در پرچکاری، قطر سوراخ پرج را  $1\frac{1}{16}$  in (1.5mm) بزرگتر از قطر خود پرج می‌گیرند و فرض می‌شود که مصالح سوراخ شده نیز  $1\frac{1}{16}$  in از نظر قطر آسیب دیده باشند و به این ترتیب در محاسبه سطح مقطع خالص، باید قطر مؤثر سوراخ پرج را  $1\frac{1}{8}$  in (3mm) بزرگتر از قطر خود پرج در نظر گرفت.

تشهای مجاز سازه‌های فولادی که توسط آئین نامه AISI برای ساختمانهای فولادی معین شده است در ذیل نقل می‌شود:

کشش: فولاد ساختمانی، سطح مقطع خالص

پرج، سطح مقطع بر اساس قطر اسمی

پیچ و سایر قطعات حدیده شده، سطح مقطع بر اساس قطر اسمی

در ریشه حدیده

فشار: ستونها، سطح مقطع ناخالص

برای ستونها با بارگذاری محوری اگر  $\frac{1}{r^2}$  بیشتر از 120 نباشد

$$(1218 - 0.0348 \frac{1^2}{r^2} \text{ bar}) = 17,000 - 0.485 \frac{l^2}{r^2} \text{ psi}$$

برای ستونها با بارگذاری محوری اگر  $\frac{1}{r^2}$  بیشتر از 120 باشد

$$1290 / (1 + \frac{1^2}{18000 r^2}) \text{ bar} = \frac{18,000}{1 + (\frac{l^2}{18,000 r^2})} \text{ psi}$$

در این روابط / طول مهارنشده ستون و / شعاع زیرا سیون مقطع آن ستون است، هردو باید با یک واحد محاسبه شوند.

خمش: (براساس لنگر لختی ناخالص) کشش در تارهای انتهایی نیمرخهای نورد -

شده، تیز ورقها، قطعات مرکب ۱۴۳۳ bar ۲۰۰۰۰ psi فشار در تارهای انتهایی نیمرخهای نورد شده، تیز ورقها و قطعات مرکب

۱۴۳۳ bar	۲۰۰۰۰ psi	اگر $ld/bt$ از ۸۰۰ تجاوز نکند
		اگر $ld/bt$ از ۶۰۰ تجاوز کند

860000/(ld/bt) bar                                    12000000/(ld/bt) psi

درین روابط، طول مهار نشده قطعه، ارتفاع قطعه، عرض و ضخامت بال فشاری است.

1075 bar	15000 psi	برش: پرچها
----------	-----------	------------

1075 "	15000 "	محور مفصلها
--------	---------	-------------

717 "	10000 "	پیچهای ناقص
-------	---------	-------------

932 "	13000 "	جان تیرها و تیز ورقها، با سطح مقطع ناخالص با دو سطح برش
-------	---------	--

تکیه گاهها:

2867 bar	40000 psi	پرچها
----------	-----------	-------

2867 "	40000 "	پیچها
--------	---------	-------

1792 "	25000 "	پیچهای سیاه
--------	---------	-------------

2293 "	32000 "	محور مفصلها سطح تماس
--------	---------	-------------------------

2150 bar	30000 psi	با قیدهای تقویتی کارخانه‌ای
----------	-----------	-----------------------------

1935 "	22000 "	با قیدهای تقویتی اجرا شده در محل
--------	---------	----------------------------------

(کلیه ارقام فوق برای فولاد ساختمانی A-7 با حداقل تنش تسلیم برابر با ۳۳,۰۰۰ psi است).  
تنشهای مجاز برای فولاد ساختمانی در پلهای جاده و راه‌هن قدری با آنچه در بالا

گفته شد متفاوت است، برای مقادیر آن تنشهای دانشجویان می‌باشد به آئین نامه‌های AASHTO (در مورد پلهای جاده) و به AREA (در مورد پلهای راه‌هن) مراجعه نمایند. برای تعیین تنشهای مجازیت، چوب و سایر مصالح ساختمانی می‌بایستی به آئین نامه‌های مربوطه و کتابهای راهنمای مراجعه نمود.\*

\* آنچه در این قسمت در مورد مقادیر تنشهای مجاز ذکر شد مربوط به آئین نامه قدیم AISC می‌باشد بدیهی است برای مقادیر تنش مجاز در آئین نامه‌های جدید باید به آخرين چاپ کتابهای راهنمایی مربوطه مراجعه نمود. در ایران مقادیر تنش مجاز متدالو در نشریه ۵۱۹ مؤسسه استاندارد و تحقیقات صنعتی ایران و نشریه ۷۴ دفتر تحقیقات و استانداردهای فنی درج گردیده است. مترجم).

## ۱- ۲۳ ضریب اطمینان

چنانچه در پیشگفتار ذکر شد، مقادیر تنشهای مجاز که در طرح و محاسبه ارجاعی به کار می‌رود به نوعی انتخاب شده‌اند که در برآوردن نقطه تسلیم صالح مصرفی در ساختمان این معنی مناسب در برابر از دیاد تنش یا کرنش وجود داشته باشد. بدینهی است که انتخاب تنش مجاز، بارهای محاسباتی و سایر مقررات طرح و محاسبه نسبت به ملاحظات مربوط به گسیختگی ناشی از خستگی، کمانش و یا شکستگی ناشی از تردی و یا ملاحظات مربوط به تغییر مکان مجاز تغییر خواهد کرد. اگر مقررات مربوط به محاسبات سازه‌ای را برای باربری دقیق تنش مجاز در کش که برابر با 20,000 psi برای فولاد ساختمانی با تنش تسلیم برابر با 33,000 psi می‌باشد طرح و محاسبه کنیم، ضریب اطمینان در برابر تنش تسلیم در کش برابر با  $1.65$  یعنی  $33,000/20,000 = 1.65$  خواهد بود.

واضح است که عملاً ایجاد ضریب اطمینانی برابر با رقم فوق ممکن نیست، زیرا بارهای افقی مؤثر بر یک سازه مخصوصاً برخی از آنها را نمی‌توان با دقت زیاد تعیین نمود به علاوه فرضیات متعددی برای ساده کردن تحلیل تنش و همچنین برای تعیین بارهای محاسباتی به کار می‌رود. اکرجه دقت بسیاری در ساخت و اجرای صالح ساختمانی به کار می‌رود ناهمگونی‌هایی در خصوصیات صالح موجود حتی زمانی که این صالح تازه نیزی باشد موجود است و باگذشت زمان تجزیه‌های نیز بوجود می‌آید. با ملاحظات فوق الذکر باید همیشه تقریبی در محاسبات مربوط به مقدار تنش واقعی در سازه و همچنین در مقدار تنش تسلیم سازه انتظار داشت. به این ترتیب مطلوب این است که به طریق آماری بررسی نمود که آیا به صورت رضایت بخشی و درجهت اطمینان تغییرات تنش محاسباتی با تغییرات تنش تسلیم حتی با احتمال کمی یکدیگر را پوشش می‌دهند یا نه.

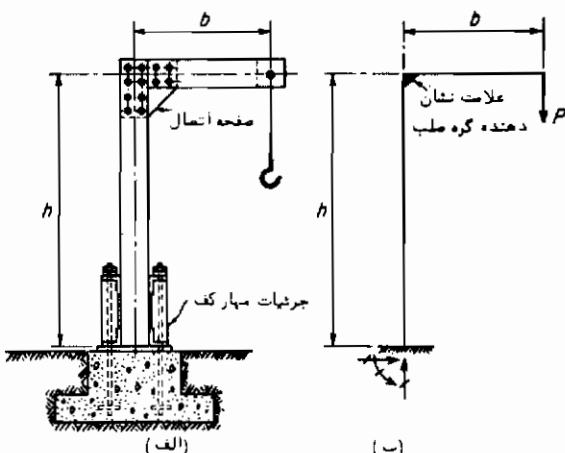
نحوه محاسبه ضریب اطمینان را ذکر کردیم، به این ترتیب که ضریب اطمینان در برابر تسلیم نسبت تنش تسلیم صالح مورد معرفت به تنش مجاز محاسباتی می‌باشد. البته واضح است که این یک روش غیر جامع برای بررسی چنین مطلبی است ولی باید این نکته را بخاطر بسیاریم که ضرایب اطمینانی که در آئین نامه‌های استاندارد متدالول به کار برده می‌شود منعکس کننده تجربه سالیان دراز است که در طی آن طرح و محاسبات انجام شده در رابطه با باربری واقعی سازه‌ها بررسی شده است که البته باربری و عملکرد سازه‌ها عموماً با محاسبات هماهنگی داشته ولی گاهی هم ناموفق بوده است (به غلسفه طرح سازه در پیشگفتار مراجعه شود).

در تعیین ضریب بار که در محاسبات مربوط به طرح و محاسبه خمیری به کار برده می‌شود نیز کلیه ملاحظات و بررسیهای فوق الذکر که برای ضریب اطمینان ذکر شد بعمل می‌آید.

## ۱-۲۴ سازه‌های واقعی و حقیقی

تطابق یک سازه واقعی با سازه حقیقی آن طور که در تحلیل سازه به کار می‌رود امری علاً "غیرممکن است، نه مصالح مصرف شده در ساخت سازه دارای همان خصوصیات فرض شده در تحلیل سازه می‌باشد و نه ابعاد آن دقیقاً" بر مقادیر نظری ابعاد سازه حقیقی انطباق کامل دارد. اتصالات ساختمانی، نظیرزانویه‌ها و صفحات اتصال اثراتی در ساختمان ایجاد می‌کنند که تحلیل آن اثرات واقعاً "بسیار پیچیده است ولی بدليل ناچیزی بودن اثر واقعی آنها در تحلیل تنش قطعات اصلی از وجود آن اثرات صرف نظر می‌شود. همچنین بدليل ضخامت قطعات امکان دارد تفاوت فاحشی بین فاصله بیرون به بیرون قطعات و فاصله مرکز به مرکز قطعات که در محاسبات به کاربرده می‌شود وجود داشته باشد. ممکن است طرح جزئیات تکیه‌گاهها تفاوت قابل توجهی با نوع تکیه‌گاه فرض شده در محاسبات داشته و ممکن است قطعه‌ای علاً "منشوری نبوده ولی بخاطر تسهیل در محاسبات آنرا منشوری فرض نمایند.

بعنوان مثال سازه واقعی شکل (۱۵-۱ الف) را ممکن است براساس سازه حقیقی شکل (۱۵-۱ ب) محاسبه نمود که در آن بی‌سازه کاملاً گیردار فرض شده است، در صورتی که



شکل ۱۵-۱ سازه حقیقی یک سازه واقعی

علاً "ممکن است چنین نباشد، سطح مقطع بزرگ ستون در قسمت اتصالات مربوط به قلاب و مصالح صفحات اتصال در گوشه همکنی نادیده گرفته شده‌اند، صفحه اتصال گوشه دقیقاً" مانند یک اتصال گیردار فرض شده است در صورتی که علاً چنین اتصالی یک دوران جزیی

بین ستون و شاهتیر افقی را ممکن می‌سازد. ارتفاع مؤثر ستون از سطح فوقانی کف ستون تا خط مرکزی شاهتیر فرض شده و دهانه مؤثر شاهتیر از خط ستون تا مرکز بار مؤثر در نظر گرفته شده است.

برای عملی نمودن محاسبات اجرایی لازم است که یک سازه واقعی را به سازه حقیقی آن تبدیل نمود، در این تبدیل قضاوت و تجربه و نقش عده‌ای ایفا می‌کند. در سازه‌های مهم که در تعیین فرضیات منطقی برای تبدیل آن به سازه حقیقی شک و تردید وجود دارد گاهی بهتر است که محاسبات تنفس را براساس بیش از یک سازه انجام داد و سازه را به نوعی طرح نمود که در برابر کلیه تحلیل‌های تنفس مقاومت داشته باشد.

## ۱-۲۵ مسائل

۱-۱ شاهتیری بدهانه  $50 \text{ lb ft}$  بروی دو تکیه گاه مساده قرار دارد و بارمدهای بهشت و بار زنده‌ای بهشت  $600 \text{ lb ft}$  را تحمل می‌کند. بار مرده در کل دهانه تیراژ کرده و لنگر زنده حداقلی در مقطع میانی شاهتیر براساس اثر بار زنده در کل دهانه تیر اتفاق می‌افتد.

(الف) با فرض این‌که شدت بار مرده مستقیماً "با دهانه شاهتیر تغییر کند ولی شدت بار زنده همواره ثابت بماند مقدار لنگر کل حداقل (بار زنده به اضافه بار مرده) تیر را در وسط دهانه آن هرگاه دهانه‌های آن از  $20 \text{ ft}$  تا  $100 \text{ ft}$  با اختلافهایی برابر با  $10 \text{ ft}$  تغییر کند محاسبه کنید.

(ب) هرگاه فرض شود با بدکاربردن آلیاژی سبک (برای شاهتیر) بارمدها آن در صد تقلیل یابد در صد تقلیل لنگر کل حداقل وسط دهانه تیر را در هریک از حالات ذکر شده در قسمت (الف) چقدر خواهد بود.

۱-۲ در قسمت (الف) از مسئله (۱-۱) لنگر حاصل از ضربه را بر طبق آئین نامه AASHTO محاسبه کنید.

جواب:

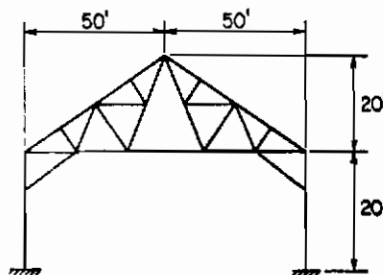
$20 \text{ ft} = \text{دهانه}$	$M_f = 9.00 \text{ kip-ft}$
$30 \text{ ft}$	$20.25 \text{ kip-ft}$
$40 \text{ ft}$	$36.00 \text{ kip-ft}$
$50 \text{ ft}$	$53.63 \text{ kip-ft}$
$60 \text{ ft}$	$72.90 \text{ kip-ft}$
$70 \text{ ft}$	$94.08 \text{ kip-ft}$
$80 \text{ ft}$	$117.12 \text{ kip-ft}$
$90 \text{ ft}$	$141.55 \text{ kip-ft}$
$100 \text{ ft}$	$166.67 \text{ kip-ft}$

۳-۱ در شکل (۱۱-۱) قاب خرپایی ساختمان یک کارخانه دیده می‌شود. این چنین خرپاهایی بدهاصله مرکز به مرکزی برابر با ۲۰ ft از یکدیگر قرار دارند. بارهای حاصل از باد را برای یکی از قابهای میانی محاسبه کنید. اساس محاسبات خود را برای بارگذاری سطوح عمودی آئین نامه AISC قرار داده و برای بارگذاری سطوح مایل توصیه‌های ASCE را که برای سرعت بادی برابر با ۱۰۰ mph می‌باشد ملاک محاسبات قرار دهید.

جواب:

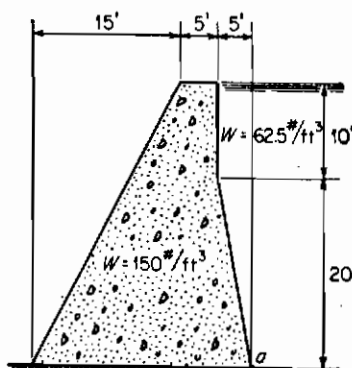
سطوح عمودی:  $P_N = 400 \text{ lb/ft}$

(برای سمت پشت بادگیر)  $P_N = 292 \text{ lb/ft}$  (برای سمت بادگیر)  $P_N = 308 \text{ lb/ft}$  (برای سطوح مایل)



شکل ۱۱-۱ مسأله ۳-۱

- ۴-۱ (الف) با در نظر گرفتن نواری بعرض ۱ ft از سد شکل (۱۲-۱) مقدار لنگر نسبت به نقطه « حاصل از فشار آب ساکن مؤثر بر سطح سد را محاسبه کنید.
- (ب) سد شکل (۱۲-۱) تحت تأثیر زلزله‌ای با شتاب افقی برابر ۰.۱ g که در پی آن اثر می‌گند واقع شده است با فرض صلب بودن سدو خالی بودن آن لنگر حول « از نیروهای



شکل ۱۲-۱ مسأله ۴-۱

جانبی مؤثر بر آن را که بر نواری بعرض ۱-ft از آن اثر می‌کند محاسبه کنید .  
 ۱-۵ بال فشاری شاهتیری از دو نیشی بابعاد " ۲۳ × ۶ × ۶ و یک ورق " ۱۴ × ۱۴ تشکیل شده است ارتفاع شاهتیر ۱۰ ft بوده و دهانه آن ۹۶ ft می‌باشد اگر بال فوقانی آن در فواصل ۱6 ft دارای مهارهای جانبی باشد مقدار تنش مجاز برای محاسبه بال فشاری بال فشاری این شاهتیر بر طبق عین نامه AISC چقدر است .

جواب :

= تنش مجاز  $7.29 \text{ kips sq in}$



## ۲

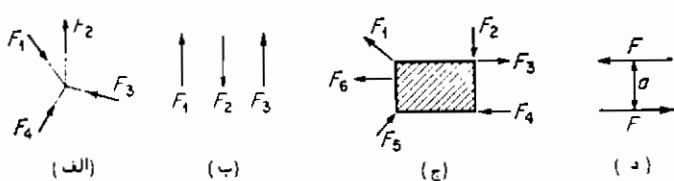
### عکس العملها

#### ۳ - ۱ تعاریف

قسمت اعظم این کتاب به بحث درباره سازه‌های مستوی یعنی سازه‌هایی که با کلید خطوط اثر نیروهای مؤثر بر آن سازه در یک صفحه قرار گرفته‌اند می‌پردازد. چنین سازه‌هایی متداول‌ترین سازه‌های مورد طرح و محاسبه می‌باشند. محاسبه سازه‌های سمبعدی یا سازه‌های فضایی مبنای محاسباتی جدیدی را اضافه بر آنچه برای سازه‌های مستوی موردنیاز می‌باشد اقتضا نمی‌کند فقط بدلیل بعد سوم، محاسبات عددی پیچیده‌ای ناشی از شکل هندسی سازه را لازم دارد، به‌این دلیل در مورد سازه‌های مستوی تأکید بیشتری شده و فقط بحث محدودی در قسمت‌های بعدی کتاب به سازه‌های فضایی اختصاص یافته است.

از آنجایی که اهم مطالب این کتاب محدود به سازه‌های مستوی می‌باشد، لذا کلیه دستگاه نیروها دستگاه نیروهای هم‌صفحه یعنی دستگاه‌هایی که خطوط اثر نیروهای آنها همگی در یک صفحه قرار دارند خواهند بود. برخی از این دستگاه‌ها دارای خصوصیات بخصوصی می‌باشند لذا برای فهم بهتر لازم است که آنها را بر حسب خاصیت‌شان طبقه‌بندی کرده و نام‌گذاری کنیم.

دستگاه نیروی هم‌صفحه متقارب چنان‌چه در شکل (۱-الف) نشان داده شده است دستگاه‌های است که در آن خطوط اثر کلیه نیروها در یک نقطه مشترک تلاقی نمایند.



شکل ۱-۲ دستگاه نیروی هم‌صفحه

دستگاه نیروی هم صفحه موازی شامل نیروهایی است که خطوط اثر آنها چنانکه در شکل (۱-۲ ب) نشان داده شده است با یکدیگر موازی باشند. دستگاه نیروی هم صفحه غیرمشخص دستگاهی است شامل چندین نیروی که خطوط اثر آنها در جهات مختلف بوده و در هیچ نقطه مشترکی یکدیگر را قطع نکنند. نظری شکل (۱-۲ ج). دستگاه مهم دیگری، زوج نیرو است که در شکل (۱-۲ د) نشان داده شده است. یک زوج نیرو متšکل از دو نیروی مساوی و موازی متقابل است که دارای یک خط اثر نمی‌باشد.

از آنجائی که در یک سازه مستوی خطوط اثر کلیه نیروها در صفحه سازه قرار دارد، هریک از نیروها را می‌توان بهدو مولفه  $\tau_m$  و  $\tau_p$  روی محورهای مختصات  $x$  و  $y$  تجزیه نمود. محورهای فوق را می‌توان بهشرطی که روی یکدیگر قرار نگیرند در هرجهت دلخواه اختیار نمود. تقریباً همیشه محورهای  $x$  و  $y$  را عمود بر یکدیگر انتخاب می‌کنند که در این صورت به  $\tau_F$  و  $\tau_p$  مولفه‌های قائم نیرو گویند. علاوه بر این برای راحتی بیشتر عوماً محور  $x$  را افقی و محور  $y$  را قائم در نظر می‌گیرند.

## ۲ - ۲ گلیات - تکیه‌گاههای قراردادی

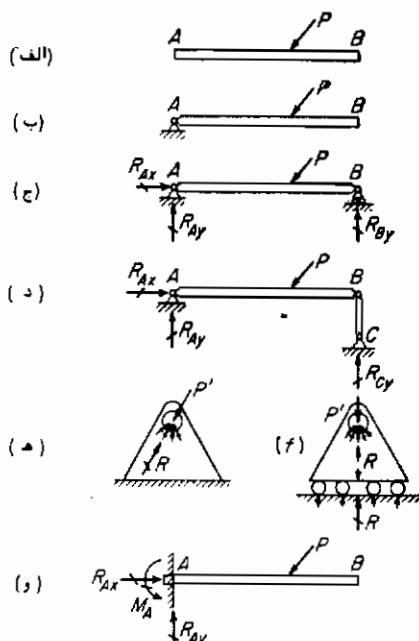
برای این که اغلب سازه‌ها به صورت آزاد در فضای حرکت نکنند کلاً و جزء "مهار می‌شوند" ، مهارهایی را که از حرکت آزاد جسم جلوگیری می‌کنند قیود اتصالی گویند که توسط تکیه گاهها سازه را به یک جسم ساکن متصل می‌سازند. به عنوان مثال سازه‌ای مستوی نظری میله  $AB$  از شکل (۲-۲) را در نظر بگیرید اگر این میله جسم آزادی باشد تحت اثر نیروی  $P$  به صورت آزاد در فضای بحرکتی که مرکب از انتقال و دوران می‌باشد خواهد پرداخت. حال اگر قیدی به شکل مفصل میله را به یک جسم ثابت در نقطه  $B$  وصل کند ، در این صورت قسمتی از حرکت آزاد جسم از آن سلب شده و فقط محدود به حرکت دورانی حول آن مفصل خواهد شد ، در طی چنین حرکتی نقطه  $B$  در طول قوسی به مرکز  $A$  حرکت خواهد کرد که این حرکت به صورت لحظه‌ای می‌تواند به شکل عمود بر  $AB$  و به عبارتی دیگر به صورت عمودی فرض گردد . حال اگر قید دیگری به شکلی که از حرکت لحظه‌ای نقطه  $B$  در جهت  $P$  در حرکت آزاد جسم کاملاً "مهار خواهد شد" ، کردد دیگر از دوران حول مفصل  $A$  جلوگیری شده و حرکت آزاد جسم کاملاً "مهار خواهد شد" . واضح است که چنین قیدی را می‌توان در نقطه  $B$  به یکی از دو صورت شکلهای (۲-۲ ج) و (۲-۲ د) عملی نمود.

تکیه‌گاههای  $A$  و  $B$  که حرکت آزاد میله را مهار می‌کنند باید در برابر نیرویی که توسط  $P$  از طریق میله به آنها اعمال می‌شود نیز مقاومت نمایند . مقاومتی که آنها در برابر

نیروی عامل میله از خود نشان می‌دهند به عکس‌العمل معروف است، به‌این ترتیب می‌توان اثر تکیه‌گاهها را بر روی سازه‌ها با عکس‌العمل‌های آنها بر سازه جایگزین نمود.

در بحث‌های آتی لازم خواهد شد مکرراً از عکس‌العمل‌هایی که انواع مختلف تکیه‌گاه‌ها اعمال می‌کنند صحبت شود، لذا بهتر است برای هریک از انواع مختلف آنها علامت قراردادی معینی به‌کار ببریم. یک تکیه‌گاه مفصلی چنانچه در شکل (۲-۲ه) نشان داده است با علامت  $\Delta$  معین می‌شود. در چنین تکیه‌گاهی فرض می‌شود که میله محور مفصل بدون اصطکاک در محل خود دوران کند در چنین حالتی فشاربین میله محور مفصل و سوراخ میله، به صورت عمود بر سطح دور سرایخ باقی مانده ولذا امتداد آن از مرکز میله محور خواهد گذشت.

عکس‌العمل  $R$  که توسط تکیه‌گاه به‌سازه اعمال می‌شود می‌باید کاملاً "برابر با نیروی عامل باشد لذا  $R = P$ " باید هم راستا و از نظر عددی با یکدیگر مساوی بوده ولی در خلاف یکدیگر اثرگند بـاین ترتیب واضح می‌شود که تکیه‌گاه مفصلی نیروی عکس‌العملی از خود بروز می‌دهد که خط اثر آن از مرکز میله محور مفصل می‌گذرد ولی مقدار و راستای عمل آن نامشخص است (غرض از کلمه "راستای نیرو" شبیه خط اثر آن است و منظور از مقدار نه تنها مقدار عددی آن است بلکه جهت اثر آن نیز مورد نظر است، مثلاً معلوم شود که نیرو به سمت جسم است و یا از آن خارج می‌گردد) این دو مشخصه عکس‌العمل را می‌توان با دو مقدار نامشخص مولفه‌های



شکل (۲-۲) – عکس‌العمل‌های تکیه‌گاهی

افقی و عمودی  $R_x$  و  $R_y$  ن که هردو از مرکز محور مفصل عبور می‌کنند نشان داد. تکیه‌گاه غلتکی را چنانکه در شکل (۲-۲) نشان داده شده است با یکی از علامت و نشان می‌دهیم. به همان صورت فوق الذکرمی توان استدلال کرد که عکس العمل تکیه‌گاه غلتکی نیز باید از مرکز محور مفصل آن عبور کند به علاوه این که اگر غلتکهای آن را بدون اصطلاح فرض کنیم آن غلتکها فقط نیروی را که عمود بر سطح غلت آنها باشد منتقل خواهند کرد. به این ترتیب تکیه‌گاههای غلتکی عکس العملی ایجاد می‌کنند که راستای آنها عمود بر سطح غلت غلتکهای این نوع تکیه‌گاهها بوده و از مرکز محور مفصل آنها نیز می‌گذرد. لذا واضح است که یک تکیه‌گاه غلتکی عکس العملی در راستای معین و مار بر نقطه‌ایی معلوم ولی نامعین از نظر مقدار ایجاد می‌نماید. تکیه‌گاههای غلتکی را عموماً به نحوی می‌سازند که بتوانند عکس العملی به طرف خارج از سطح تکیه‌گاهی ایجاد نمایند.

تکیه‌گاه بنددار  $BC$  شکل (۲-۲ د) را ملاحظه نمایید و می‌شود که در صورت حرکتهای کوچک این تکیه‌گاه درست مانند تکیه‌گاههای غلتکی نظیر  $B$  از شکل (۲-۲ ج) عمل می‌کند. به همان نحوی که در قبل دیدیم می‌توان استدلال نمود که در صورت بدون اصطلاح بودن مفصلهای دو انتهای بند این تکیه‌گاهها، نیروی که توسط تکیه‌گاه بنددار منتقل می‌گردد باید از مرکز محور مفصلهای دو سر بند بگذرد، پس تکیه‌گاه بنددار نیز عکس العملی با راستایی معلوم و نقطه اثری معین ولی با مقداری نامعین ایجاد می‌کند. یک تکیه‌گاه بنددار را نیز با علامت نشان می‌دهند. (دو نوع تکیه‌گاه غلتکی و بنددار را اصطلاحاً "تکیه‌گاه ساده گویند").

نوع متعارف دیگر از تکیه‌گاههای مورد استفاده در سازه‌های مستوی که در شکل (۲-۲) نشان داده شده است تکیه‌گاه گیردار می‌باشد چنین تکیه‌گاهی به نحوی قطعه را در بر می‌گیرد کامکان انتقال و دوران از انتهای قطعه سلب می‌گردد. بنا بر این تکیه‌گاه گیردار عکس العملی ایجاد می‌نماید که از نظر مقدار، نقطه اثر و راستا همگی نامعین است. این سه عامل نامعین را می‌توان به یک نیرو که به نقطه مسینی با مقدار و راستای نامعلوم اثر می‌کند و یک زوج نیرو و با مقدار نامعلوم تبدیل گرد. به عنوان مثال این سه عامل نامشخص را می‌توان با زوج نیرو و دو نیروی افقی و عمودی که از مرکز ثقل انتهای مقطع می‌گذرند نشان داد. تکیه‌گاه گیردار را با علامت نشان می‌دهند.

نیروهای مؤثر خارجی را که به یک جسم اثر می‌کنند با دو شکل متفاوت می‌کنیم— بارهای واردۀ را (که با  $\rightarrow$  نشان می‌دهیم) و عکس العمل  $R$  (را با  $\leftarrow$  نشان می‌دهیم) نیروی عکس العمل را در تکیه‌گاه  $a$  با  $R_a$  و مولفه‌های  $x$  و  $y$  آن را با  $R_{ax}$  و  $R_{ay}$  نشان می‌دهیم و لنگر عکس العمل را در تکیه‌گاه  $a$  با  $M_a$  نشان خواهیم داد.

### ۳-۳ معادلات تعادل استاتیکی - سازه‌های مستوی

اگر تکیه‌گاههای یک سازهٔ مستوی را با عکس‌العملهایی که آن تکیه‌گاه‌ها ایجاد می‌کند جایگزین کنیم سازهٔ مورد نظر تبدیل به سازه‌ای تحت اثر دستگاه نیروی هم‌صفحه غیرمشخص که شامل بارهای معلوم مؤثر و عکس‌العملهای نامعین می‌باشد می‌گردد، در حالت کلی برآیند پک دستگاه نیروی هم‌صفحه غیرمشخص یا یک نیروی برآیندی در راستایی معین و مار بر نقطه‌ای معلوم می‌باشد و یا یک زوج نیروی برآیند است.

جسمی را که ابتدا ساکن بوده و پس از اثر دستگاه نیرویی باز ساکن باقی می‌ماند در حالت تعادل استاتیکی گویند. برای این‌که چنین حالتی وجود داشته باشد لازم است که برآیند اثر حاصل دستگاه نیروها نه یک نیرو باشد نه یک زوج زیرا در غیر این صورت جسم شروع به حرکت خواهد گرد. برای این‌که برآیند اثر حاصل یک دستگاه نیروی غیرمشخص که بر یک سازهٔ مستوی اثرمی‌کند یک نیروی برآیند باشد لازم است که جمع جبری کلیه مولفه‌های آن دستگاه برابر با صفر بوده و به همین ترتیب جمع جبری مولفه‌های  $F_x$  نیز برابر با صفر باشد و برای این‌که برآیند اثر حاصل، معادل یک زوج نباشد لازم است که جمع جبری لنگر کلیه نیروها حول هر محور عمود بر صفحهٔ سازه نیز برابر با صفر باشد، بنابراین در مورد یک سازهٔ مستوی هر سه شرط زیر باید در مورد بارها و عکس‌العملهای سازه تأمین گردد تا این‌که سازه در حالت تعادل استاتیکی باقی بماند:

$$\Sigma F_x = 0 \quad \Sigma F_y = 0 \quad \Sigma M = 0 \quad (2-1)$$

سمعادله فوق را معادلات تعادل استاتیکی سازهٔ مستوی تحت اثر دستگاه نیروی غیرمشخص گویند.

در حالت خاص که یک سازهٔ مستوی تحت اثر دستگاه بار و عکس‌العمل متقارب قرار دارد، غیرممکن است که برآیند اثر این دستگاه یک زوج گردد زیرا که خط اثر کلیه نیروهای یک دستگاه متقارب از یک نقطه مشترک می‌گذرد بنابراین در چنان حالتی برای این‌که سازه در تعادل استاتیکی باقی بماند لازم است که دو شرط زیر تأمین گردد.

$$\Sigma F_x = 0 \quad \Sigma F_y = 0 \quad (2-2)$$

این معادلات را معادلات تعادل استاتیکی حالت خاص سازه‌ای مستوی که تحت اثر دستگاه نیروی متقارب قرار دارد گویند.

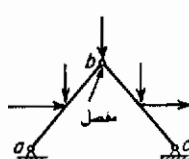
اغلب اوقات در مباحث بعدی قطعات سازه را به عنوان اجسام صلب خطاب می‌کنیم. بدمعنی درست کلمه در یک جسم صلب هیچ‌گونه حرکت نسبی بین دو جزء آن وجود ندارد.

واضح است که کلیه قطعات سازه‌ها هرگز به صورت مطلق صلب نیستند زیرا آنها تحت اثر بارهای واردہ کمی تغییرشکل می‌دهند ولی چنان تغییرشکل‌هایی آنقدر کوچک است که از تغییر بعد، جابجایی خط اثر نیروها و غیره هنگام بررسی شرط تعادل جسم صرفنظر می‌شود پس در بسیاری از مسایل مربوط به بررسی معادلات تعادل استاتیکی در قطعات سازه‌ها هرگاه مقاصد عملی مطرح باشد سازه‌ها را جسم صلب فرض خواهیم کرد و به این ترتیب شکل هندسی آنها بعداز اثر بارها نیز علاوه "مانند قبل از اثر نیرو فرض خواهد شد.

#### ۲-۴ معادلات خاص سازه‌ها

بسیاری از سازه‌ها از جسمی صلب - یک خرپا، قاب و یا تیر - که توسط چند تکیه‌گاه در فضای مهار شده است تشکیل یافته‌اند ولی کاهی برخی از سازه‌ها از ترکیب چند جسم که به‌نحوی ناقص به‌یکدیگر متصل شده و همگی باهم روی چند تکیه‌گاه سوار شده‌اند تشکیل می‌شود. در هر صورت برای این که سازه در حالت سکون باقی بماند، دستگاه نیروی متشكل از بارگذاریها و عکس‌العملها باید معادلات تعادل استاتیکی را ارضا نمایند. در مرور سازه‌های نوع دوم اتصالات ناشی از نوع سازه که جهت بهم پیوستن اجزاء مختلف به‌کار رفته‌اند قیود بیشتری را بر دستگاه نیروی مؤثر بر سازه تحمیل خواهند کرد و چون دو جزء سازه ممکن است توسط مفصل، یا تکیه‌گاه ساده به‌یکدیگر متصل شوند لذا هریک از این اتصالات قادر به‌انتقال نیرویی با مشخصاتی خاص از قسمتی از سازه به قسمت دیگر هستند.

شکل (۳-۲) این نوع سازه را که از دو قطعه صلب  $ab$  و  $bc$  که در نقطه  $b$  توسط مفصلی بدون اصطکاک بهم متصل شده‌اند و دارای دو تکیه‌گاه مفصلی در نقاط  $a$  و  $c$  می‌باشد نشان می‌دهد از آنجایی که یک مفصل بدون اصطکاک قادر به‌انتقال زوج نمی‌باشد لذا وجود آن ایجاد می‌کند که اثر یک قسمت از سازه بر قسمت دیگر آن که اتصال آنها توسط مفصل تأمین شده است فقط نیرویی مار بر مرکز محور مفصل مربوطه باشد. بنابراین این جمع جبری لکن بارها و عکس‌العملهای واردہ بر هریک از دو قسمت سازه که حول محور مار بر مرکز محور مفصل تعیین شود برابر با صفر است. چنین شرایطی که حاصل نوع خاص سازه می‌باشد به معادلات خاص سازه‌ها موسوم است.



شکل (۳-۲)- طاق سه مفصل

## ۵-۲ پایداری و ناپایداری استاتیکی - سازه‌های معین و نامعین بدون در نظر گرفتن معادلات خاص سازه‌ها

سازه‌ای مستوی که تحت اثر دستگاه بارگذاری غیرمشخص قرار دارد و در مورد آن معادله خاصی مورد پیدانمی‌کند در نظر می‌گیریم اگر تکیه‌گاهها را با عکس‌العملها بیان کردیم جایگزین کنیم سازه مورد نظر تحت اثر دستگاه نیرویی نامشخص که شامل بارهای معلوم و عکس‌العملهای نامعلوم است قرار خواهد گرفت، اگر سازه تحت اثر این نیروها در حالت تعادل استاتیکی باشد، سه معادله تعادل استاتیکی را می‌توان برای بارهای معلوم و اجزای نامعلوم عکس‌العملها نوشت. حل این دستگاه سه معادله در برخی از حالات به تعیین مقادیر اجزاء نامعلوم عکس‌العملها می‌انجامد. چه این معادلات کافی برای تعیین عکس‌العملها باشد و چه نباشد در هر صورت برای سازه‌های در حال تعادل استاتیکی صادق هستند. پس معادلات فوق را می‌توان قسمتی از راه حل لازم برای تعیین عکس‌العملهای کلیه سازه‌های در تعادل استاتیکی دانست.

اگر تعداد اجزاء مجہول عکس‌العمل مستقل از هم کمتر از سه باشد، مجہول‌گافی برای تأثیر دستگاه سه معادله تعادل استاتیکی موجود نیست، به این ترتیب کمتر از سه جزو مجہول عکس‌العمل کافی برای حفظ تعادل سازه‌های مستوی تحت اثر دستگاه نیروهای غیرمشخص نمی‌باشد، در چنین شرایطی سازه فوق الذکر را در حال تعادل ناپایدار استاتیکی گویند.

تحت برخی شرایط مخصوص یک سازه مستوی که دارای کمتر از سه جزو مجہول مستقل عکس‌العمل است می‌تواند در تعادل استاتیکی باشد واضح است که اگر دستگاه بارهای واردہ بر سازه بخودی خود در تعادل باشد نیازی به عکس‌العمل نخواهد داشت و همچنین اگر بارها و عکس‌العمل‌ها مشخصات مشترک بخصوصی داشته باشند کمتر از سه جزو عکس‌العمل کافی برای حفظ تعادل خواهد بود. به عنوان مثال تیر شکل (۲-۲) را در نظر بگیرید هرگاه برآیند بارهای واردہ نیرویی باشد که خط اثر آن از مرکز محور مفصل بگذرد نیروهای مؤثر بر سازه متقارب شده و لذا مولفه‌های افقی و عمودی عکس‌العمل در نقطه A قادر به حفظ تعادل استاتیکی خواهند شد. علاوه بر آن اگر تیری در دو انتهای A و B خود دارای تکیه‌گاه غلتکی روی سطح افقی باشد تحت اثر هر دستگاه باری که برآیند اثر آن یک زوج و یا یک نیروی عمودی است عکس‌العملهای ایجاد شده در چنان تکیه‌گاههایی حالت تعادل استاتیکی آن را حفظ خواهند کرد. اگرچه چنین سازه‌هایی تحت اثر برخی از انواع بارگذاریها حالت پایدار دارند ولی تحت حالت کلی بارگذاریها تعادل ناپایدار خواهد داشت و به این جهت آنها را در رده

سازه‌های ناپایدار به حساب می‌آورند.

از آنجائی که سه مجھول را می‌توان از حل دستگاه سه معادله مستقل بدست آورد، پس عکس‌العمل‌های یک سازه مستوی پایدار را که دقیقاً "دارای سه جزء مجھول عکس‌العمل می‌باشد می‌توان از حل دستگاه سه معادله تعادل استاتیکی بدست آورد. در چنین حالتی عکس‌العمل‌های سازه را معین گویند. اگر سازه مستوی پایدار دارای بیش از سه جزء مجھول و مستقل عکس‌العمل باشد سه معادله تعادل استاتیکی کافی برای تعیین عکس‌العمل‌های مجھول نخواهد بود واضح است اگر بجز سه مجھول، به سایر آنان مقادیر دلخواه بدھیم و سه مجھول باقی مانده را از حل سه معادله تعادل استاتیکی بدست آوریم در چنین حالاتی تعداد بی‌نهایت دسته جواب برای مقادیر عکس‌العمل‌های مجھول که قادر به تأمین شرایط تعادل استاتیکی هستند بدست خواهد آمد. بنابراین مقادیر صحیح عکس‌العمل‌ها را فقط از طریق این معادلات نمی‌توان بدست آورد بلکه چنانچه در این کتاب نیز بحث خواهد شد برخی از شرایط مخصوص تغییر شکل سازه نیز باید تأمین گردد. اگر اجزاء مجھول عکس‌العمل فقط از طریق معادلات تعادل استاتیکی قابل تعیین نباشند گویند که عکس‌العمل‌های سازه نامعین است. در این صورت سازه به میزانی برابر با تعداد مجھولاتی که بیش از تعداد معادلات استاتیکی است نامعین می‌باشد.

از بحث بالا می‌توان نتیجه گرفت که حداقل سه جزء مستقل عکس‌العمل برای تأمین شرایط تعادل استاتیکی سازه‌های مستوی که تحت اثر دستگاه بارهای غیرمشخص واقعند لازم است، البته بمسادگی می‌توان نشان داد که وجود سه یا بیش از سه جزء همیشه کافی نیست. بنابراین سازه‌ای مستوی که دارای سه یا بیش از سه جزء مستقل عکس‌العمل می‌باشد ممکن است ناپایدار نیز باشد، به این دلیل است که سازه مستوی پایدار را در بحث‌بند قبل معین نمودیم. مساله تعداد عکس‌العمل‌های کافی برای پایداری (سازه‌ها) را می‌توان با بسط قسمت اولیه بخش (۲-۲) به بحث گذاشت به عنوان مثال تیر شکل (۲-۲ج) و (۲-۲د) تا زمانی که توسط مولفه‌های افقی و عمودی عکس‌العمل در انتهای  $A$  و توسط عکس‌العمل عمودی در  $B$  نگهداری می‌شوند پایدار هستند. این سازه‌ها معادل سازه شکل (۴-۲) می‌باشند که در آن مفصل تکیه‌گاه  $A$  با دو بند که در مفصل نقطه  $A$  مشترک هستند جایگزین شده است. این دو بند را می‌توان تا جایی که هم راستا نباشند درجهتی انتخاب نمود. چنین سازه‌ای تا زمانی که امتداد خط اشر بند انتهای  $B$  نیز از مرکز محور مفصل نقطه  $A$  نگذرد پایدار خواهد بود، حال اگر این خط اثر از نقطه  $A$  بگذرد سازه فوق الذکر به صورت کلی مهار نبوده و بنابراین تحت اثر دستگاه بارهای غیرمشخص ناپایدار خواهد بود زیرا هیچ‌چیز از دوران لحظه‌ای سازه حول مفصل نقطه  $A$  جلوگیری نخواهد کرد. در حالاتی که تعداد حداقل اجزاء کافی عکس‌العمل

وجود داشته ولی آرایش هندسی بهنحوی است که سازه را ناپایدار می‌سازد گفته می‌شود که این چنین سازه‌های ناپایدار هندسی است.

اکنون حالت دیگری را که وجود سه‌جزء مستقل عکس‌العمل کافی برای پایداری نیست مورد بحث قرار می‌دهیم، تیر شکل (۲-۵) را که توسط سه‌بند موازی با یکدیگر مهار شده است ملاحظه کنید، واضح است که هیچ قیدی جهت جلوگیری از انتقال کوچک سازه فوق الذکر در جهت عمود بر راستای بندها وجود ندارد. بنابراین اگر برآیند اثر بارهای رارده مولفه‌ای در جهت افقی داشته باشد سازه به حرکت درمی‌آید و بعاین جهت است که این سازه در زمرة سازه‌های ناپایدار هندسی است. این سازه‌ها و نظایر آنها ما را به نتیجه‌گیری زیر می‌رساند: اگر عکس‌العمل‌های سازه‌ای مستوی توسط مجموعه‌ای از سه تکیه‌گاه بنددار و یا بیشتر به صورتی که خط اثر آنها با یکدیگر موازی یا متقارب باشد تأمین گردد چنین مجموعه‌ای کافی برای حفظ تعادل استاتیکی آن سازه‌ی مستوی که تحت اثر دستگاه بار غیر مشخص می‌باشد نیست حتی اگر سه جزء مجہول عکس‌العمل و یا بیشتر داشته باشد. به عبارت دیگر پایداری یک سازه نه تنها توسط تعداد اجزاء عکس‌العمل آن معین می‌گردد بلکه به آرایش هندسی آنها نیز مربوط می‌شود.

باید توجه شود که سازه‌های ناپایداری که دارای سه‌جزء مستقل عکس‌العمل یا بیشتر هستند عموماً در زمرة سازه‌های نامعین نیز به حساب می‌آیند. سازه شکل (۲-۵) را در نظر بگیرید در حالی که این سازه تحت اثر بار  $P$  شروع به حرکت انتقالی در امتداد افقی می‌نماید کاملاً هم رها شده نیست. تیر فوق الذکر به صورت لحظه‌ای حرکت انتقالی افقی را با دورانی حول نقطه‌های  $A$ ,  $B$  و  $C$  انجام می‌دهد و در طی یک دوران محدود بندهای تکیه‌گاهی نقاط  $A$ ,  $B$  و  $C$  هم‌زمان با حرکت افقی به حرکت عمودی نیز خواهند پرداخت. حرکت عمودی این نقاط در اثر خمث تیر  $AC$  و کشش بندهای تکیه‌گاهی است، به‌این ترتیب در تعیین وضعیت تعادل نهایی نه تنها مشخصات هندسی سازه وارد می‌شود بلکه تغییر شکل ارتجاعی جسم که ناشی از تنشهای موجود در تیر و بندهای تکیه‌گاهی است نیز دخیل خواهند بود. در وضعیت نهایی بندهای تکیه‌گاهی دوران محدود خود را زمانی به‌امام خواهند رساند که جمع جبری مولفه‌های افقی نیروهای داخلی بندها برابر با مولفه



شکل ۲-۵ سازه ناپایدار هندسی

شکل ۲-۴ سازه پایدار

افقی بار وارد گردد . از آنجایی که تحلیل وضعیت نهایی این سازه نه تنها به معادلات تعادل استاتیکی بستگی دارد بلکه به مشخصات تغییر شکل سازه نیز محتاج است ، لذا این سازه را می‌توان در زمرة سازه‌های نامعین قرار داد . در سازه شکل (۴-۲) نیز اگر خط اثر بند تکیه‌گاهی  $B$  از مفصل  $A$  بگذرد در دسته همان سازه‌ها قرار خواهد گرفت .

اگر بر سازه شکل (۵-۲) دستگاه بارهای عمودی وارد شود عاملی برای حرکت دادن افقی سازه وجود نخواهد داشت ، در این صورت سازه فوق الذکر در تعادل ناپایدار خواهد بود . باید یادآوری نمود که در چنین حالتی نیز تعیین عکس العمل‌ها از نظر استاتیکی نامعین است .

## ۲- ع پایداری و معین بودن سازه‌ها با درنظر گرفتن معادلات خاص آنها

قبل‌ا" بحث ما در مورد سازه‌هایی بود که در آنها شرط خاصی وجود نداشت اگر در مورد سازه‌ای مستوی معادلات خاصی نیز صادق باشد این معادلات به تعداد سه معادله تعادل استاتیکی اضافه می‌گردند ، بنابراین لازم است که بارهای وارد و عکس العمل‌های موثر بر سازه ، دستگاه معادله‌ای از مجموع معادلات تعادل استاتیکی و معادلات خاص سازه را تأمین نماید . هرگاه تعداد اجزاء مجهول عکس العمل کمتر از تعداد کل معادلات باشد سازه مزبور ناپایدار بوده و یا ممکن است در برخی از شرایط خاص بارگذاری ، ناپایدار گردد و هرگاه تعداد اجزاء مجهول عکس العمل بیشتر از تعداد کل معادلات باشد ، سازه موردنظر جزو سازه‌های نامعین خواهد بود ، اگر تعداد اجزاء عکس العمل برابر با تعداد معادلات باشد سازه مزبور معین است مگر این‌که آرایش عکس العمل‌ها به‌نوعی باشد که ناپایداری هندسی ممکن گردد .

با توجه به سازه‌ای نظیر شکل (۳-۲) می‌توان امکان چنان ناپایداری را به سادگی شرح داد ، در سازه نشان داده شده که البته سازه‌ای پایدار است اگر مفصل  $b$  در امتداد خط واصل بین  $a$  و  $c$  قرار گیرد هیچ عاملی از دوران لحظه‌ای قطعات  $ab$  و  $bc$  حول نقطه‌های  $a$  و  $c$  جلوگیری نخواهد کرد ، در این صورت پس از دوران محدود این قطعات نیروهای کششی ایجاد شده در قطعات  $ab$  و  $bc$  با در نظر گرفتن شبیب این قطعات دارای مولفه‌های قائم خواهند شد که همین مولفه‌های نیروی  $m$  را به حال تعادل در می‌آورند . تعیین وضعیت تعادلی نقطه  $b$  و نیروهای کششی ایجاد شده منوط به در نظر گرفتن مشخصات تغییر شکل سازه است از این‌رو این سازه نه تنها در اصل ناپایدار نیست بلکه سازه‌ای نامعین است .

هرگاه در سازه‌ای که در اصل پایدار است شرایط خاصی را اعمال کنیم به‌مانند نحوی که لحظه‌ای قبل دیدیم امکان ناپایداری هندسی سازه ممکن می‌گردد ، به‌این ترتیب واضح می‌گردد

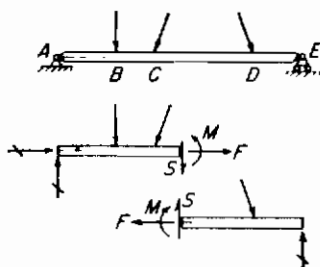
که در کاربرد مفصلهای ساختمانی دقت بسیاری لازم است تا از ایجاد ناپایداری هندسی جلوگیری شود. چنین حالاتی زمانی آشکار می‌گردد که حل مجموع معادلات خاص سازه‌ها و تعادل استاتیکی برای مقادیر اجزاء مجھول عکس‌العمل منجر به پاسخهایی ناسازگار، بی‌نهایت و یا نامعلوم گردد.

## ۲-۷ نمودار پیکر آزاد

در بحث قبل دیدیم که محاسبه اجزاء مجھول عکس‌العمل سازه‌های پایدار و معین را می‌توان با حل دستگاه معادلات تعادل استاتیکی و در برخی از حالات با حل مجموع معادلات خاص سازه‌ها به عمل آورد، هریک از این معادلات شامل برخی یا کل نیروهای مؤثر بر سازه اعم از بارهای وارد و عکس‌العمل‌های تکیه‌گاهی خواهد بود، برای این‌که شکل گرفتن این معادلات را بهتر لمس کنیم توصیه می‌شود که نمایش آزاد کل سازه و یا قسمتی از آن را رسم کنیم، اهمیت رسم تعداد لازمی ازین گونه نمایش قطعات را باید به دانشجویان توصیه کرد رسم چنین نمودارهایی اساس موقوفیت در تعیین تنش سازه‌های است. دانشجویان باید بدانند که مدت زمانی که صرف رسم نمودار پیکر آزاد قطعات سازه‌ها می‌گردد هرگز زمان تلف شده تلقی نمی‌شود.

نمایش آزاد کل سازه را می‌توان با جدا کردن سازه از تکیه‌گاه‌ها و رسم سازه تحت اثر کلیه بارهای مؤثر بر آن و کلیه مولفه‌های عکس‌العمل‌ها که امکان اعمال آنها از طریق تکیه کاههای سازه وجود دارد به دست آورد، چنین نموداری در شکل (۲-۲ ب) نشان داده شده است، به معین طریق قسمتی از سازه را می‌توان با رسم خط بررش از ( محل موردنظر ) سازه جدا نمود و نمودار آزادی برای این قسمت از سازه به صورتی که تحت اثر بارهای وارد، عکس‌العمل‌ها و کلیه نیروهای ممکن که بسطح مقاطع ایجاد شده در قطعه که توسط خط بررش ایجاد شده‌اند وارد می‌شوند رسم نمود. جهت هر نیرویی مجھول می‌تواند بهرسوی دلخواه امتداد داشته باشد، نیرو با جهتی که برایش انتخاب می‌شود در تشکیل معادلات داخلی می‌شود پس از آن که مقدار چنان نیرویی از حل معادلات به دست آمد در صورت مثبت بودن علامت نیرو جهت نیروهای جهت انتخابی است علامت منفی گویای جهتی برخلاف جهت انتخابی خواهد بود.

بعضی اوقات لازم است که قسمتی یا قسمتهای متعددی از سازه را جدا کرده نمودار آن قسمتهای جدا شده را رسم کنیم، در چنین حالاتی لازم است که نیروهای داخلی مؤثر بر سطوح داخلی را که توسط خط بررش ظاهر شده‌اند نیز نشان داد. اگر بخواهیم برای دو قسمت



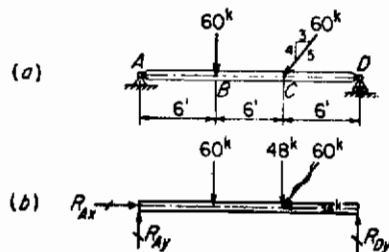
شکل ۲-۶ نمودار پیکر آزاد

مجاور از سازه نمودار آزاد رسم کنیم و نیروهای داخلی را که بر سطح داخلی یکی از قسمت‌ها اثر می‌کنند در جهت‌های دلخواهی انتخاب کنیم نیروهای نظریه مؤثر بر سطح قسمت دیگر سازه‌می‌باید بهمان مقدار ولی درجهت عکس فرض گردند. البته این مطلب واضح است زیرا که عمل و عکس‌العمل یک جسم بر جسم دیگر باید از نظر عددی با یکدیگر برابر بوده و از نظر جهت در خلاف هم باشند. چنین نمودار آزاد قطعات را در شکل (۲-۶) نشان داده‌ایم، اگر چنین طریقی دنبال نشود معادلات تعادل استاتیکی استخراج شده با یکدیگر سازگار نبوده و تعیین پاسخ صحیح از آن معادلات غیرممکن خواهد بود. بدینهی است اگر برای عکس‌العملی در روی یک نمودار آزاد جهت مشخصی فرض گردد در روی سایر نمودارها نیز باید همان جهت نشان داده شود.

### ۳-۸ محاسبه عکس‌العملها

اگر در سازه‌ای معین معادله‌ای ناشی شرایط خاص وجود نداشته باشد محاسبه عکس‌العملهای آن با حل مستقیم معادلات تعادل استاتیکی انجام می‌پذیرد، چنین محاسباتی را می‌توان با شرح تیر ساده شکل (۲-۶ الف) نشان داد. اجزاء مجھول عکس‌العمل را می‌توان مولفه‌های افقی و عمودی عکس‌العمل نقطه A و مولفه‌های عمودی عکس‌العمل نقطه D فرض نموده و جهت اثراً‌نها را مانند آنچه در نمودار پیکر آزاد شکل (۲-۶ ب) نشان داده شده است تصور نمود.

برای این‌که این سه مجھول را تعیین کنیم سه معادله تعادل استاتیکی  $\Sigma F_x = 0$  ،  $\Sigma F_y = 0$  و  $\Sigma M = 0$  را در اختیار داریم، چون سازه معین است، لذا می‌توان با نوشتن سه معادله تعادل استاتیکی به‌طریق زیر و حل آن دستگاه معادلات، سه مجھول  $R_{Ax}$  ،  $R_{Ay}$  و  $R_{Dy}$  را بدست آورد.



شكل ۲ - ۷ محاسبه عکس العملها

$$\begin{aligned}\Sigma F_x &= 0, \rightarrow, R_{Ax} - 36 = 0 \\ \Sigma F_y &= 0, \uparrow+, R_{Ay} + R_{Dy} - 60 - 48 = 0 \\ \Sigma M_C &= 0, +), 12R_{Ay} - 6R_{Dy} - (60)(6) = 0\end{aligned}$$

همیشه چنین راه حلی امکان پذیر است ولی مبتکرانه نیست و مخصوصاً "هرگاه سازه‌ای تا اندازه‌ای پیچیده باشد چنین راه حلی مناسب نیست. بهمزاپای روشی که ذیلاً "شرح آن داده می‌شود دقیق‌تر است: با لنگرگیری حول محوری که از نقطه A می‌گذرد تنها یک مجھول  $R_{Dy}$  در معادله وارد شده و پاسخ آن مستقیماً بدست می‌آید:

$$\begin{aligned}\Sigma M_A &= 0, +), (60)(6) + (48)(12) - (R_{Dy})(18) = 0 \\ \therefore R_{Dy} &= 936/18 = 52 \text{ kips} \uparrow\end{aligned}$$

به همان روش مقدار  $R_{Ay}$  مستقیماً از رابطه زیر محاسبه می‌شود:

$$\begin{aligned}\Sigma M_D &= 0, +), (R_{Ax})(18) - (60)(12) - (48)(6) = 0 \\ \therefore R_{Ax} &= 1,008/18 = 56 \text{ kips} \uparrow\end{aligned}$$

بدیهی است که این مقادیر باید در معادله  $\Sigma F_y = 0$  نیز صدق نمایند لذا بررسی زیر عمل می‌آید:

$$\Sigma F_y = 0, \uparrow+, 56 + 52 - 60 - 48 = 0 \quad \therefore \text{O.K.}$$

از رابطه  $R_{Ax}$ ،  $\Sigma F_z = 0$  مستقیماً بدست می‌آید.

$$\Sigma F_z = 0, \perp, R_{Az} - 36 = 0 \quad \therefore R_{Az} = 36 \text{ kips} \leftrightarrow$$

به این ترتیب با عملیات مبتکرانه در کاربرد معادلات تعادل استاتیکی تعیین عکس العملها ساده می‌گردد.

برای این که بحث وسعت بخشیم باید توجه کرد که سه معادله تعادل استاتیکی  $\Sigma F_y = 0$ ،  $\Sigma F_x = 0$ ،  $\Sigma M = 0$  را می‌توان همواره با معادلات لنگرهای مستقل از یکدیگر  $\Sigma M_B = 0$  و  $\Sigma M_A = 0$  به شرطی که نقاط  $A$  و  $B$  در روی یک خط راست واقع نشده باشند جایگزین نمود. صحت مطلب فوق را می‌توان به روش زیر تحقیق نمود: اگر دستگاه نیرویی یکی از معادلات لنگر فوق نظریه  $\Sigma M_A = 0$  را تأمین نماید، در این صورت برآیند اثر دستگاه نمی‌تواند یک زوج بوده بلکه باید نیرویی مار بر نقطه  $A$  باشد. به همین نحو اگر همان دستگاه نیرو معادله  $\Sigma M_B = 0$  را نیز تأمین کند برآیند اثر آن باز هم یک نیرو خواهد بود. در چنین صورتی چنان نیرویی می‌تواند در راستای خط اتصال بین نقاط  $A$  و  $B$  اثر نماید. اگر علاوه بر آن دستگاه نیروی فوق معادله  $\Sigma M_C = 0$  را نیز تأمین کند (در صورتی که نقطه  $C$  در امتداد دو نقطه  $A$  و  $B$  قرار نداشته باشد) دیگر امکان این که برآیند اثر موجود در راستای خط  $AB$  اثر نماید وجود ندارد بنابراین اگر دستگاهی هر سه معادله لنگر را تأمین کند برآیند اثر آن نه یک زوج است و نه یک نیروی برآیند، بلکه باید دستگاه در تعادل استاتیکی باشد.\*

اغلب کاربرد این اصل در نوشتن معادلات تعادل استاتیکی برتری پیدا می‌کند زیرا عموماً "انتخاب محوری" که لنگرگیری کل حول آن فقط یک عکس العمل مجھول را در برداشت و در نتیجه به محاسبه مستقیم آن یک مجھول بیانجامد امکان پذیرمی‌باشد. دانشجویان باید مثالهای بخش (۱۱-۲) را به دنبال همین بند بررسی نمایند تا این که روش‌های ترتیب و تنظیم عملیات محاسباتی جهت ساده‌کردن روش‌های کلی فوق الذکر در خاطر آنان نقش بندد.

#### \* سوالات مهم

- ۱ - اگر دو معادله لنگر یکی توسط  $\Sigma M_A = 0$  و دیگری توسط  $\Sigma M_B = 0$  ارائه شوند آیا سومین معادله مستقل را می‌توان ازتساوی جمع تصاویر کلیه نیروها بر روی  $AB$  با صفر بددست آورد؟ چرا؟ آیا جمع تصاویر نیروها در هر چهتی موازی با  $AB$  منتج به تأمین معادله‌ای مستقل می‌شود؟
- ۲ - دیدیم که اغلب در مورد سازه‌های مستوی که تحت اثر دستگاه نیروی غیرمشخصی می‌باشد یک معادله تعادل نیرویی را می‌توان با معادله تعادل لنگر جایگزین نمود. آیا مطلب زیر در مورد سازه‌ای که تحت اثر دستگاه نیروی متقارب قرار دارد صادق است؟  
دو معادله تعادل متعارف  $\Sigma F_y = 0$ ،  $\Sigma F_x = 0$  را به شرطی می‌توان با دو معادله لنگر  $\Sigma M_B = 0$  و  $\Sigma M_A = 0$  جایگزین نمود که نقطه تقارب نیروها در روی خط و اصل بین نقاط  $A$  و  $B$  واقع نگردد.

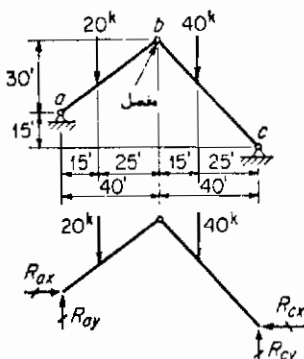
۲-۹ محاسبه عکس العملها - با در نظر گرفتن معادلات خاص (یا شرط) سازه‌ها

هرگاه ساختمان سازه‌ای شرایط خاصی را ایجاد نماید محاسبات عکس‌العملها به شکل یکجا معادلات تعادل استاتیکی و معادلات خاص (شرط) سازه را در بر می‌گیرد. حتی زمانی که سازه‌ای معین باشد محاسبه عکس‌العملها مشکل‌تر بوده و ابتکار بیشتری را نسبت به حالاتی که معادلات خاصی در بین نباشد لازم دارد.

برای این که روش شروع محاسبات را در چنین حالاتی شرح دهیم سازه شکل (۸-۲) را در نظر می‌گیریم این سازه از نوعی است که قبلاً در باره‌اش صحبت کردہ‌ایم و می‌توان ثابت نمود سازه‌ای پایدار و معین می‌باشد. در این حالت چهار مولفه مجھول عکس العمل وجود دارد و علاوه بر سه معادله تعادل استاتیکی یک معادله خاص (شرط) به خاطر وجود مفصل بدون اصطکاک ه نیز موجود است. چنان‌که قبلاً نیز ذکر شد (بخش ۴-۲) چنین مفصلی نه قادر به انتقال لنگر از قسمت  $ab$  به قسمت  $bc$  می‌باشد و نه بر عکس. بنابراین لازم است که جمع جبری لنگر حول محور مار بر نقطه  $a$  از کلیه نیروهای موثر بر قسمت  $ab$  و یا قسمت  $bc$  برابر باشد، پیان فرمولی مطلب فوق چنین است.

$$\sum_{b=1}^{ab} M_b = 0 \quad \text{or} \quad \sum_{b=1}^{be} M_b = 0$$

درنظر اول از روابط فوق ممکن است چنین تصور نمود که چنان مفصلی دو معادله مستقل خاص (یا شرط) ایجاد می‌نماید، ولی حقیقت غیر از این است، به طوری که در استدلال زیر می‌بینیم فقط یک معادله مستقل ایجاد می‌شود: یکی از معادلات تعادل استاتیکی ایجاب می‌کند که جمع کل لنگرگیری نیروهای مؤثر بر سازه حول هر محوری برابر با صفر باشد پس اگر محور



شكل ٢ - ٨ طاقه سه مفصل

انتخابی  $b$  باشد داریم ،  $0 = \Sigma M_b$  . حال اگر معادله خاص (شرط) سازه را برای قسمت  $ab$  بنویسیم یعنی  $0 = \sum_{bc}^b M_b$  بلا فاصله می‌توان چنین دریافت که جمع جبری لنگرگیری حول  $b$  از نیروهایی که بر بقیه سازه یعنی  $bc$  اثر می‌کنند نیز برابر با صفر است . بنابراین رابطه  $\sum_{bc}^b M_b = 0$  یک رابطه مستقل نیست – بلکه فقط مساوی معادله  $0 = \Sigma M_b$  منهای معادله  $\sum_{bc}^b M_b = 0$  است دانشجویان باید همواره مطلب فوق را زمانی که از معادلات خاص (شرط) سازه‌ها استفاده می‌کنند در خاطر داشته باشند و هرگز تصور نکنند ، معادلات مستقلی بیش از آنچه حقیقتاً وجود دارد در اختیار دارند . بهاین طریق دو معادله از سه معادله  $0 = \Sigma M_b$  ،  $\sum_{bc}^b M_b = 0$  را می‌توان به صورت مستقل به کار برد معادله سوم رابطه مستقلی نیست .

حال اگر به حل این مثال بپردازیم با انتخاب مبتکرانه معادلات استاتیک می‌توان عکس العللها را به سادگی معین نمود .

$$\Sigma M_a = 0, \quad \text{+}, \quad (20)(15) + (40)(55) - 80R_{ay} + 15R_{az} = 0 \\ \therefore R_{ay} = 31.25 + \frac{3}{16}R_{az} \quad (\text{الف})$$

$$\sum_{bc}^b M_b = 0, \quad \text{+}, \quad (40)(15) - 40R_{ay} + 45R_{az} = 0 \\ \therefore R_{az} = \frac{8}{9}R_{ay} - 13.33 \quad (\text{ب}) *$$

با جایگزین نمودن  $R_{ay}$  از معادله (ب) در معادله (a)

$$R_{az} = \frac{8}{9}(31.25 + \frac{3}{16}R_{az}) - 13.33 \quad \therefore R_{az} = 17.33 \text{ kips} \leftrightarrow$$

حال با جایگزینی بر عکس قبل در (الف)

$$R_{ay} = 34.5 \text{ kips} \dagger$$

به همان طریق قبل

$$\Sigma M_c = 0, \quad \text{+}, \quad 80R_{ay} + 15R_{az} - (20)(65) - (40)(25) = 0 \\ \therefore R_{ay} = 28.75 - \frac{3}{16}R_{az} \quad (\text{ج})$$

اعدادی نظیر ... 13.33 را اغلب به صورت 13.8 می‌نویسند ، نقطه روی رقم آخر نشان دهنده تکرار بی‌نهایت آن رقم می‌باشد .

$$\sum_{ab} M_b = 0, \rightarrow, 40R_{ay} - 30R_{ax} - (20)(25) = 0 \\ \therefore R_{ax} = \frac{4}{3}R_{ay} - 16.67 \quad (d)$$

سپس با جایگزین نمودن معادله (ج) در معادله (د) :

$$R_{ax} = \frac{4}{3}(28.75 - \frac{3}{16}R_{ax}) - 16.67 \quad \therefore R_{ax} = 17.33 \text{ kips} \leftrightarrow$$

و جایگزین نمودن بر عکس قبل در (ج)

$$R_{ay} = 25.5 \text{ kips} \uparrow$$

با استفاده از معادلات  $\Sigma F_x = 0$  و  $\Sigma F_y = 0$  برای بررسی جوابها داریم.

$$\Sigma F_x = 0, \rightarrow, 17.33 - 17.33 = 0 \quad \therefore \text{O.K.} \\ \Sigma F_y = 0, \uparrow, 25.5 - 20 - 40 + 34.5 = 0 \quad \therefore \text{O.K.}$$

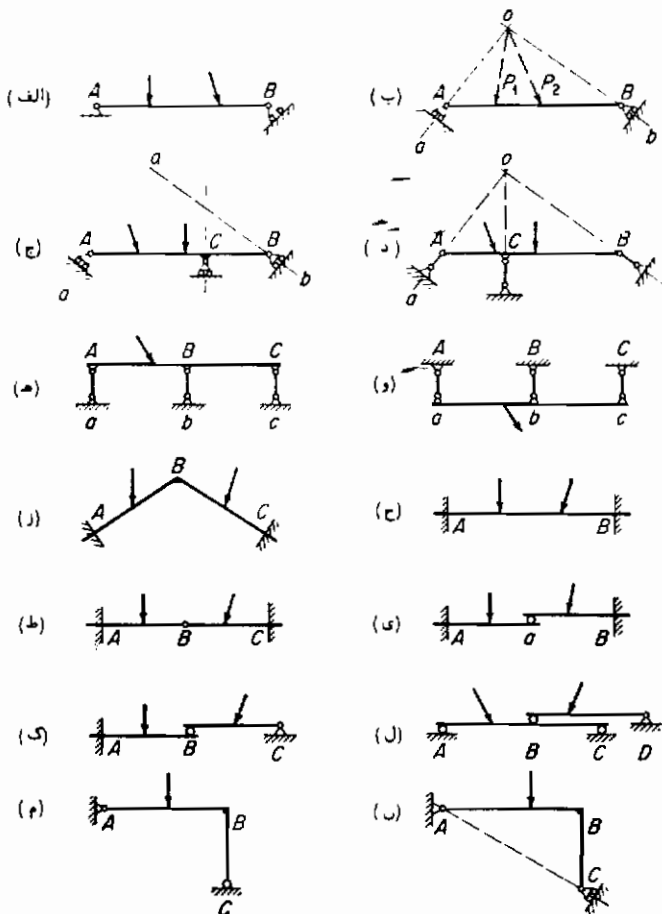
اگر شکیه‌گاه‌های  $a$  و  $c$  این سازه در یک تراز بودند واضح است که تعیین عکس‌العملها بسیار ساده‌تر می‌شد زیرا می‌توانستیم پاسخ مستقیم مولفه‌های عمودی عکس‌العملها را نوسط معادلات  $\Sigma M_a = 0$  و  $\Sigma M_c = 0$  بدست آوریم. با دقت در برخی از مثال‌های بخش (۱۱-۲) واضح می‌گردد که تعیین عکس‌العملها سازه‌های پیچیده که در آنها باید معادلات خاصی به کار رود در برخی از حالات با جدا کردن قسمت‌های داخلی، از سازه به عنوان نمودار پیکر آزاد و برقرار نمودن معادلات تعادل استاتیکی در مردانه قسمتها تسریع می‌گردد. باز دیگر باید به داشتگی اثبات شویان تأکید نمود که چنان عملی در هر صورت معادله مستقل تازه‌دیگری علاوه بر مجموع سه معادله تعادل استاتیکی برای کل سازه و معادلات خاصی که نتیجه شرایط خاص اجرایی ساختمان می‌باشد ایجاد نمی‌نماید. البته معادلاتی که به کار می‌رود ممکن است ظاهراً به صورت‌های مختلف به کار گرفته شود ولی در هر صورت معادلات جدیدی نیستند.

## ۲- ۱۰ مثال‌هایی برای دسته‌بندی (سازه‌ها)

در این بخش مثال‌هایی مورد بحث قرار گرفته‌اند تا روش‌های تعیین پایداری و ناپایداری سازه‌ها و همچنین معین و نامعین بودن سازه‌هارا بر حسب چگونگی عکس‌العملها آنها بررسی کنیم، دیده می‌شود که کلیه تیرها را با خطوط مستقیمی که بر محور مار بر مراکز ثقل آنها منطبق می‌باشد نشان داده‌ایم و از تماش ارتفاع تیر در کلیه سازه‌های شکل (۹-۲) خودداری

کرده‌ایم . از این پس این عمل متداول را در بقیه کتاب هرجا که ارتفاع تیر اثر قابل توجهی در پاسخ مسائل نداشته باشد انجام خواهیم داد .

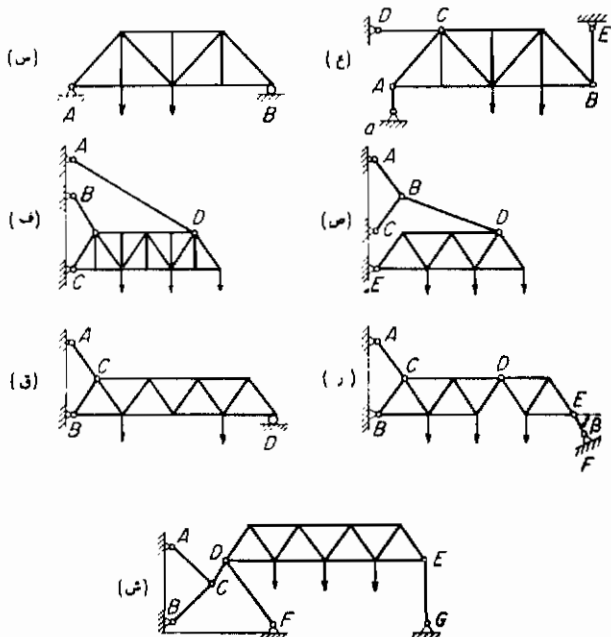
تیر شکل (۹-۲ الف) را در نظر بگیرید ، مولفه‌های مستقل و مجھول عکس‌العمل عبارت‌دار مقدار و جهت عکس‌العمل و مقدار عکس‌العمل در  $B$  و یا در کل مولفه . این مساحات را همچنین می‌توان مقدار مولفه‌های افقی و عمودی عکس‌العمل در  $A$  و یکی از دو مولفه افقی یا عمودی در  $B$  فرض نمود . باید توجه داشت که اگر نقطه اثر و جهت عکس‌العملی معلوم باشد عکس‌العمل مجھول را می‌توان مقدار عکس‌العمل برآورد یکی از مولفه‌های عمودی یا افقی آن گرفت زیرا که هریک از این مولفه‌هارا می‌توان بر حسب دیگری با در نظر گرفتن جهت معلوم عکس‌العمل محاسبه نمود . از آنجایی که عکس‌العمل تکیه‌گاه  $B$  از نقطه  $A$  نمی‌گذرد لذا



شکل (۹-۲) – مثالهایی برای دسته‌بندی سازه‌ها

این سازه پایدار است . بنابراین سه عکس العمل مجہول را می توان با دردست داشتن سه معادله تعادل استاتیکی بدست آورد لذا این سازه معین می باشد .

باتوجه به تیرشکل ( ۹-۲ ب ) دیده می شود که این تیر فقط دو عکس العمل مجہول دارد – که مقدار عکس العملها در  $A$  و  $B$  می باشد ، این دو مجہول را می توان مولفه های افقی یا عمودی هریک از عکس العملها فرض نمود . از آنجائی که سه معادله تعادل استاتیکی نمی توانند با این دو مجہول مستقل عکس العمل به طور تأمین سازگار باشد این سازه تحت اثر دستگاه نیروی غیر مشخص از نظر استاتیکی ناپایدار خواهد بود و چون خطوط اثر دو عکس العمل در نقطه  $C$  تلاقی می کنند اگر برآیند اثر نیروهای مؤثر نیرویی باشد که خط اثر آن از نقطه  $C$  بگذرد این دو عکس العمل قادر خواهند بود چنان دستگاه باری را در تعادل نگهدازند . از آنجائی این سازه در دسته سازه های ناپایدار جای دارد تحت اثرا بین نوع بارگذاری نیز حالت ناپایدار داشته ولی عکس العمل های آن را می توان با استفاده از معادلات تعادل استاتیکی بدست آورد .



ادامه شکل ( ۹-۲ ) – مثالهایی برای دسته بندی سازه ها

اگر یک تکیه گاه غلتکی به نقطه  $C$  چنانکه در شکل ( ۹-۲ ج ) نشان داده شده است اضافه کنیم عکس العمل های این سازه نظیر سه بند تکیه گاهی خواهد بود که خطوط اثر آنها نه موازی هستند و نه متقارب بنابراین این سازه پایدار و معین خواهد شد . چون عکس العمل مجہول

را می‌توان با استفاده از سه معادله تعادل استاتیکی بدست آورد. از طرف دیگر اگر تکیه‌گاهی بنددار در نقطه  $C$  مانند شکل (۹-۲ د) به‌آن اضافه کنیم، سازه از نظر هندسی ناپایدار خواهد شد زیرا خطوط اثر تکیه‌گاه‌های آن که از سه تکیه‌گاه بنددار تشکیل شده است همگی یکدیگر را در نقطه  $O$  قطع می‌کنند. البته این سازه کاملاً آزاد و بدون قیدنیست لذا بدیهی است که پس از دوران لحظه‌ای بهمیزان زاویه‌ای محدود حول نقطه  $O$  تعادل خود را باز خواهد یافت. از آنجایی که وضعیت جدید سازه تابعی از تغییرشکل سازه است عکس‌العمل‌های مؤثر بر سازه در وضعیت تغییر یافته از نظر استاتیکی نامعین خواهد بود.

واضح است که سازه  $\text{شکل (۹-۲ ز)}$  پایدار بوده و در کل شش عکس‌العمل مجہول – مولفه‌های افقی، عمودی و لنگر در هر تکیه‌گاه – دارد و چون فقط سه معادله تعادل استاتیکی وجود دارد پس این سازه سه درجه نامعین است. ایجاد مفصل در سازه شکل (۹-۲ ط) یک معادله خاص به معادلات اضافه می‌کند و سازه را دو درجه نامعین می‌نماید. با اضافه نمودن یک غلتک طبق شکل (۹-۲ ی) به سازه فقط یک نیروی عمودی از قسمتی از سازه به قسمت دیگر منتقل می‌گردد این عمل معادل ایجاد دو معادله شرط‌در سازه است یکی این که جمع لنگرگیری حول  $A$  از کلیه نیروهای مؤثر به‌هریک از دو قسمت برابر صفر می‌باشد دیگری این که جمع مولفه‌های افقی نیروهای مؤثر به‌هریک از دو قسمت برابر صفر است. در نتیجه این سازه فقط یک درجه نامعین خواهد بود.

در شکل‌های  $a$  به بعد کلیه قسمت‌های خربایی را می‌توان به عنوان یک جسم صلب در نظر گرفت. نیروی مولفه‌های این خربایها پس از این که عکس‌العمل‌ها معین گردید از نظر استاتیکی معین است. آرایش میله‌های یک خربای که برای پایداری آن لازم است با جزئیات کافی در فصل چهارم شرح داده شده است فقط در این بحث کافی است که قسمت‌های خربایی را به مثال جسمی صلب بدانیم به سادگی دیده می‌شود که سازه‌های شکل (۹-۲ س) و (۹-۲ ع) تحت اثر هر دستگاه بار غیرمشخصی پایدار و معین هستند. سازه  $\text{شکل (۹-۲ ف)}$  دارای چهار تکیه‌گاهی مجہول است. مقدار عکس‌العمل‌ها در تکیه‌گاه‌های بنددار  $A$ ،  $B$ ،  $C$ ،  $D$ ،  $E$ ،  $F$ ،  $G$ ،  $H$  مقدار و جمیت عکس‌العمل تکیه‌گاه مفصلی  $C$ . برای این که این چهار مجہول را معین کنیم فقط سه معادله تعادل استاتیکی را در اختیار داریم بنابراین این سازه پایدار بوده و یک درجه نامعین است. برای سازه‌هایی نظیر آنچه در شکل (۹-۲ ص) نشان داده شده است اغلب بهتر است که طریقه دیگری برای تعیین پایداری و معینی آنها به کار ببریم. زیرا در این سازه‌ها شمارش معادله‌های قابل درج ممکن است خسته‌کننده و میهم باشد. اگر به جای آن، سازه را به قسمت‌های جداگانه تقسیم کنیم و اثر نیروهای اتصال هر قسمت را به قیه سازه موردنظر داشته باشیم، در این حالت اگر مقطع جداکننده‌ای از میان بند  $BD$  بگذرانیم و تکیه‌گاه مفصلی  $E$  را با دو

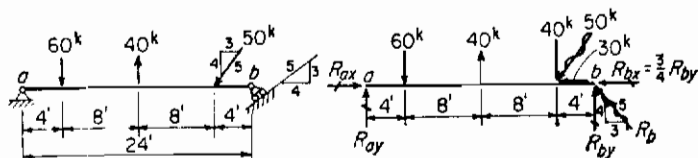
مولفه افقی و عمودی عکس‌العمل آن جایگزین کنیم قسمت خریابی بهمانندیک پیکر آزاد جدا شده و می‌تواند تحت اثر بارهای وارده و سه نیروی مجهول (نیروی داخلی بند اتصال و دو عکس‌العمل در  $E$ ) مورد بررسی قرار گیرد. اگر قرار است که این پیکر آزاد در تعادل باشد. این سه مجهول را می‌توان به نحوی تعیین نمود که در سه معادله تعادل استاتیکی صدق کند. با بهکاربردن  $\Sigma M_B = 0$  در مورد پیکر آزاد معادله‌ای برای تعیین نیروی بند اتصال با یک مجهول به دست می‌آید. با معلوم شدن نیروی بند اتصال  $BD$  می‌توانیم نیروهای بندهای اتصال  $BC$  و  $AB$  را با بهکاربردن  $\Sigma F_y = 0$  و  $\Sigma F_x = 0$  برای مفصل  $B$  و با جدایکن آن به صورت یک پیکر آزاد تعیین کنیم. بنابراین عکس‌العملهای این سازه را می‌توان از طریق معادلات تعادل استاتیکی تعیین نمود. لذا می‌توان گفت که این سازه پایدار و معین است.

## ۲ - ۱۱ مثالهای عددی برای محاسبه عکس‌العمل‌ها

دانشجویان باید مثالهای زیرین را با دقت تمام بررسی نمایند، کلیه سازه‌های مثالهای زیر معین است، ولی دانشجویان می‌توانند به عنوان تمرین آنها را به نحو نامعین نیز مورد مطالعه قرار دهند.

**مثال ۲-۱- عکس‌العملهای تیغ  $ab$  را تعیین کنید.**

روش الف -



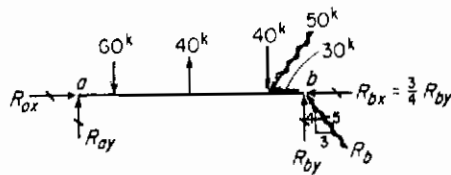
$$\Sigma M_a = 0, \uparrow \quad (60)(4) - (40)(12) + (40)(20) - (R_{by})(24) = 0 \quad \therefore R_{by} = \frac{56}{24} = 23.3k \uparrow \\ R_{bx} = \frac{3}{4}R_{by} = \underline{\underline{17.5k}} \leftrightarrow$$

$$\Sigma M_b = 0, \uparrow \quad (R_{ay})(24) - (60)(20) + (40)(12) - (40)(4) = 0 \quad \therefore R_{ay} = \frac{88}{24} = \underline{\underline{36.6k}} \uparrow \\ \Sigma F_x = 0, \uparrow, R_{ax} - 30 - 17.5 = 0 \quad \therefore R_{ax} = \underline{\underline{47.5k}} \uparrow$$

وارسی:

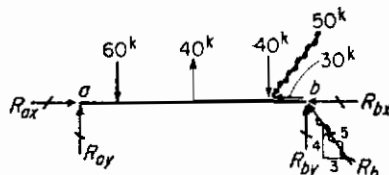
$$\Sigma F_y = 0, \uparrow +, 36.6 - 60 + 40 - 40 + 23.3 = 0 \\ 0 = 0 \quad \therefore O.K.$$

## روش ب :



$$\begin{array}{l}
 \Sigma M_b = 0, \uparrow \quad \Sigma M_a = 0, \uparrow \\
 -(60)(20) = +1,200 \quad +(60)(4) = 240 \\
 +(40)(12) = 480 \quad -(40)(12) = 480 \\
 -(40)(4) = 160 \quad +(40)(20) = 800 \\
 +\underline{480} - \underline{1,360} \quad +\underline{1,040} - \underline{480} \\
 +\underline{480} \\
 R_{ay} = \underline{36.6^k} \uparrow = -\frac{880}{24} \quad R_{by} = +\frac{560}{24} = \underline{23.3^k} \uparrow \\
 R_{az} = \underline{47.5^k} \rightarrow \quad R_{bx} = \frac{3}{4} \times 23.3 = \underline{17.5^k} \leftarrow
 \end{array}$$

## روش ج :



$$\begin{array}{l}
 \Sigma M_b = 0: R_{ay} \quad \Sigma M_a = 0: R_{by} \\
 40 \times \frac{5}{24} = 6.6 \quad 60 \times \frac{5}{24} = 10 \\
 40 \times \frac{1}{24} = 20 \quad 40 \times \frac{1}{24} = 20 \\
 60 \times \frac{2}{24} = 50 \quad 40 \times \frac{2}{24} = \underline{\underline{33.3}} \\
 \frac{56.6}{20} \quad \frac{48.3}{20} \\
 20 \\
 R_{ay} = \underline{36.6^k} \uparrow \quad R_{by} = \underline{23.3^k} \uparrow \\
 R_{az} = \underline{47.5^k} \rightarrow \quad R_{bx} = \underline{17.5^k} \leftarrow
 \end{array}$$

## بحث :

سروشی که برای تعیین عکس العمل ارائه شد اساساً "یکی هستند و فقط در جزئیات مربوط به نظم محاسبات با یکدیگر اختلاف دارند، طریقه الف احتمالاً" بهترین روش برای محاسبه سازه‌های غیرمعمولی و پیچیده است، در صورتیکه روش نظم یافته محاسبات به طریقه‌های بوج در تیرها و خریاهای متعارف بسیار مفید خواهد بود.

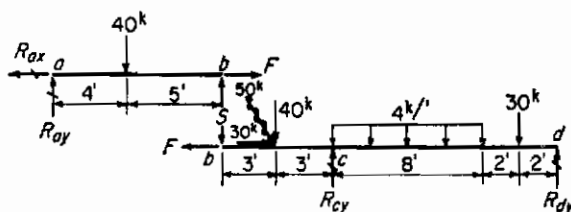
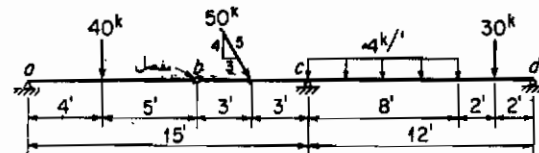
متوجه می‌شوید که جایگزین کردن هر نیروی مایل با مولقه‌های افقی و عمود آن در محاسبات و کاربرد این مولقه‌ها به جای خود نیرو در نوشتند معادلات تعادل استاتیکی، محاسبات

را عموماً "بسیار ساده" می‌کند (اگر نیرویی به همراه مولفه‌هایش در روی نموداری از پیکر آزاد رسم شده باشد خطی موج دار بر روی پیکان نمایش نیرو رسم شود تا نشان داده شود که نیرو توسط مولفه‌هایش جایگزین شده است).

محاسب می‌تواند با کشیدن خط زیر این پاسخها آنها را مشخص‌سازد و همچنین واحد و جهت نیروها را مشخص نماید. توجه شود که اگر جوابی به صورت مثبت به دست آید جهت نیرو روی نمودار پیکر آزاد صحیح انتخاب شده است و اگر پاسخی به صورت منفی بیرون آید جهت اثر نیرو خلاف فرض شده، خواهد بود.

دیده می‌شود که در این مساله از دو معادله لنگر و یک معادله نیرو استفاده شده است، معادله  $\Sigma F_y = 0$  فقط می‌تواند کنترلی بر روی مولفه‌های عمودی عکس‌العملها باشد ولی مولفه‌های افقی را بررسی نمی‌نماید. اگر معادله  $\Sigma M = 0$  را حول محوری که روی خط مار بر نقاط  $a$  و  $d$  قرار ندارد اعمال کنیم کنترلی برای مقادیر عکس‌العمل‌های افقی به دست خواهد آمد.

مثال ۲-۲ = عکس‌العمل‌های این سازه را محاسبه کنید.



به تنها<sup>۱</sup>  $ab$ :

$$\Sigma M_b = 0, \text{ } \uparrow \quad (8)(R_{ay}) - (40)(5) = 0 \\ \therefore R_{ay} = \underline{\underline{22.8}} \text{ } \uparrow$$

به تنها<sup>۱</sup>  $bd$ :

$$\Sigma M_d = 0, \text{ } \uparrow \quad -(17.7)(18) = -300 \quad -(40)(3) = 120 \\ -(40)(15) = -600 \quad +(4 \times 8)(4) = 128 \\ -(4 \times 8)(8) = -256 \quad +(30)(10) = 300 \\ \qquad \qquad \qquad +428 \quad -826.8$$

$$\begin{aligned} \sum M_a = 0 & \quad \text{---} \\ (30)(4) - (S)(9) &= 0 \quad \text{---} (30)(2) = -60 \\ S = 17.7k\uparrow & \quad R_{ay} = 103k\uparrow = -1,236 \\ & \quad 12 \quad R_{dy} = \frac{-226.6}{12} = 18.7k\uparrow \\ \Sigma F_x = 0 & \quad \Sigma F_x = 0 \\ \therefore R_{ax} = 30k\leftarrow & \quad \therefore F = 30k\leftarrow \end{aligned}$$

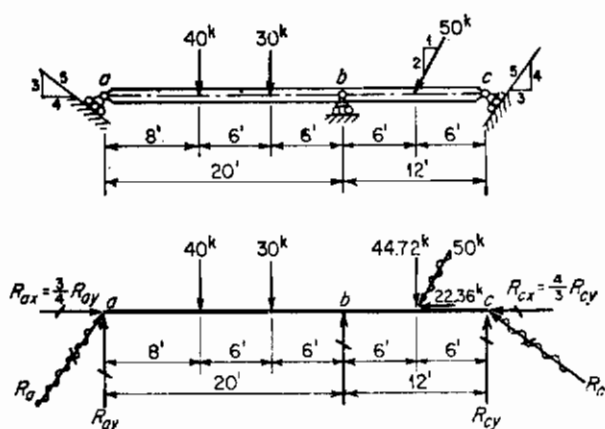
وارسی : برای کل سازه.

$$\begin{aligned} \Sigma F_y = 0, \uparrow +, \quad 22.6 - 40 - 40 + 103 - 32 - 30 + 18.7 &= 0 \\ 142 - 142 &= 0 \quad \therefore O.K. \end{aligned}$$

بحث :

وقتی که دو قسمت  $ab$  و  $bd$  را از یکدیگر جدا می‌کنید تصور کنید که میله محور مفصل را در آورد هاید و مفصل می‌تواند نیرویی درجهتی نامشخص که امتداد آن از مرکز محور مفصل عبور کند انتقال دهد. اگر مولفه‌های افقی و عمودی این نیرو را با  $F$  و  $S$  روی قسمت  $ab$  نشان دهیم باید در روی قسمت  $bd$  این مقادیر در خلاف جهت اثر کنند و باید توجه نمود که می‌توان وارسی مستقلی از عکس العملهای افقی و عمودی تیر با به کار گرفتن  $\Sigma M = 0$  حول محوری که از خط واصل بین  $a$  و  $d$  نگذرد به عمل آورد.

مثال ۳-۲ عکس العملهای این تیر را تعیین کنید.

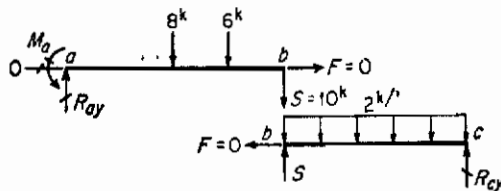
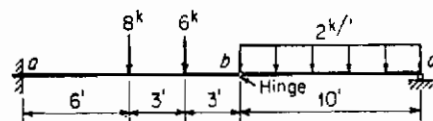


$$\begin{aligned}\Sigma M_b &= 0, \uparrow \\ (R_{ay})(20) - (40)(12) - (30)(6) + (44.72)(6) - (R_{cy})(12) &= 0 \\ 20R_{ay} - 480 - 180 + 268.32 - 12R_{cy} &= 0 \\ 20R_{ay} - 22.36 - 12R_{cy} &= 0 \quad R_{cy} = 0.5625R_{ay} - 16.77 \\ 20R_{ay} = 6.75R_{ay} - 201.24 + 391.68 & \quad R_{ay} = +14.37^k \uparrow \quad R_{az} = 10.78^k \rightarrow \\ R_{ay} = 8.08 - 16.77 &= -8.69 \quad R_{cy} = -8.69^k \uparrow \quad R_{cz} = -11.59^k \rightarrow \\ \Sigma M_a &= 0, \uparrow \\ (40)(8) + (30)(14) - (R_{by})(20) + (44.72)(26) + (8.69)(32) &= 0 \\ R_{by} &= 109.04^k \uparrow\end{aligned}$$

وارسي:  $\Sigma F_y = 0, \uparrow +$   
 $14.37 - 40 - 30 + 109.04 - 44.72 - 8.69 = 0$   
 $123.41 - 123.41 = 0 \quad \therefore O.K.$

وارسي:  $\Sigma F_z = 0, \rightarrow$   
 $10.78 - 22.36 + 11.59 = 0$   
 $-22.36 + 22.37 = 0 \quad \therefore O.K.$

مثال ۲-۴ عكس العمليات اين سازه را تعبيين کنيد.



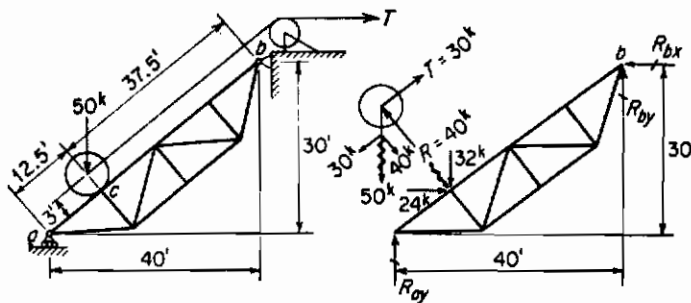
$$\begin{aligned}\Sigma M_b &= 0, \uparrow, (S)(10)(5) - (R_{cy})(10) = 0 \quad \therefore R_{cy} = 10^k \uparrow \\ \Sigma M_c &= 0, \uparrow, (S)(10) - (S)(10)(5) = 0 \quad \therefore S = 10^k \uparrow\end{aligned}$$

به ترتیب از ab:

$$\begin{aligned}\Sigma M_a &= 0, \uparrow, (10)(12) + (6)(9) + (8)(6) - M_a = 0 \quad \therefore M_a = 222^k \downarrow \\ \Sigma F_y &= 0, \uparrow +, R_{ay} - 8 - 6 - 10 = 0 \quad R_{ay} = 24^k \uparrow\end{aligned}$$

وارسي:  $\Sigma F_y = 0, 24 - 8 - 6 - 20 + 10 = 0$   
 $\therefore 0 = 0 \quad \therefore O.K.$

مثال ۵-۲ = عکس‌العملهای این خرپا را تعیین کنید.



$$\Sigma F_x = 0 \quad R_{bx} = 24k \leftarrow$$

$$\Sigma M_b = 0, \uparrow, (R_{ax})(40) - (40)(37.5) = 0 \quad R_{ax} = 37.5k \uparrow$$

$$\Sigma M_a = 0, \uparrow, (40)(12.5) - (24)(30) - (R_{bx})(40) = 0 \quad R_{bx} = -5.5k \downarrow$$

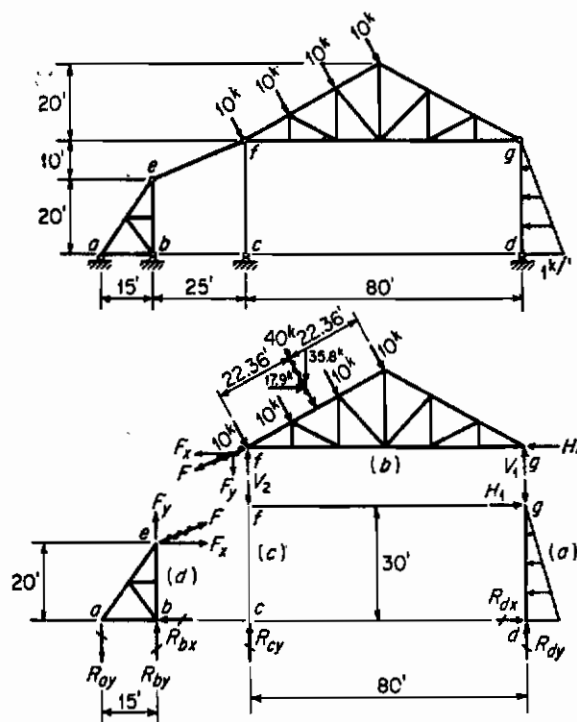
وارسی :

$$\Sigma F_y = 0, \uparrow +, 37.5 - 32 - 5.5 = 0 \quad \therefore O.K.$$

بحث :

در چنین مسائلی ابتدا بارهای مؤثر بر سازه را محاسبه کنید، بعاین منظور باید به طور جداگانه تعادل چرخ را تحت اثر وزن آن، کشنش کابل و عکس‌العمل خرپا روی چرخ بررسی نمود. پس از این که بارهای مؤثر بر سازه معلوم شد مسأله تبدیل به محاسبه مستقیم عکس‌العمل می‌شود. توجه شود فرض بر این است که اصطلاحکی بین چرخ و خرپا وجود ندارد و بنابراین نیروی مابین این دو، عمود بر خط ab بوده و خط اتر آن از مرکز چرخ می‌گذرد.

مثال ۲-۶ = عکس العملهای سازه را تعیین کنید.



( a ) زاد تکریل

$$\sum M_d = 0, \text{ at } (H_1)(30) - \frac{(1)(30)}{2}(10) = 0 \quad H_1 = 5^k \rightarrow$$

$$\sum M_d = 0, \frac{(1)(30)}{2}(20) - (R_{dx})(30) = 0 \quad R_{dx} = 10^k \rightarrow$$

( b ) زاد تکریل

$$\sum M_f = 0, \text{ at } (40)(88.36) - (V_1)(80) = 0 \quad V_1 = 11.18^k \uparrow \quad \therefore R_{dy} = 11.18^k \uparrow$$

$$\sum F_x = 0, \text{ at } 17.9 - 5 - F_x = 0 \quad F_x = 12.9 \leftarrow \quad \therefore F_y = \frac{1}{2}(12.9) = 6.45^k \downarrow$$

$$\sum M_g = 0, \text{ at } (17.9)(10) - (35.8)(60) - (5.16)(80) + (V_1)(80) = 0 \quad V_1 = 29.77 \uparrow$$

$$\therefore R_{dy} = 29.77^k \uparrow$$

وارسی :

$$\sum F_y = 0, \uparrow +, -5.16 + 29.77 - 35.8 + 11.18 = 0 \\ \therefore -0.01 = 0 \quad \therefore O.K.$$

(پیکر آزاد  $d$ )

$$\begin{aligned}\Sigma M_b &= 0, \uparrow, (12.9)(20) - (R_{ay})(15) = 0 \quad \therefore R_{ay} = \frac{17.84}{15} \uparrow \\ \Sigma M_a &= 0, \uparrow, (12.9)(20) - (5.16)(15) - (R_{by})(15) = 0 \quad \therefore R_{by} = \frac{12.04}{15} \uparrow \\ \Sigma F_z &= 0 \quad R_{bx} = \underline{12.94} \leftrightarrow\end{aligned}$$

وارسی عملیات با در نظر گرفتن کل سازه به عنوان یک قطعه:

$$\begin{aligned}\Sigma F_x &= 0, \rightarrow, -12.9 + 17.9 + 10 - \frac{(1)(30)}{2} = 0 \quad \therefore 0 = 0 \quad O.K. \\ \Sigma F_y &= 0, \uparrow+, -17.2 + 12.04 + 29.77 - 35.8 + 11.18 = 0 \quad -0.01 = 0 \quad O.K. \\ \Sigma M_a &= 0, \uparrow, -(12.04)(15) - (29.77)(40) - (11.18)(120) + (17.9)(40) \\ &\quad + (35.8)(60) - \frac{(1)(30)}{2}(10) = 0 \\ &-2,863 + 2,864 = 0 \quad O.K.\end{aligned}$$

بحث:

در مسائلی از این قبیل سازه به قطعات مختلف خود تجزیه می‌شود و برای هر قطعه نمودار پیکر آزاد آن رسم می‌شود نیروهای اثر قطعات برهمنرا می‌توان در هرجهتی فرض نمود ولی به طور مسلم باید این نیروها روی دو قطعه مجاور در خلاف هم باشند به عنوان مثال اگر نیروی  $H$  را روی پیکر آزاد  $d$  به طرف پائین و به سمت چهارضلعی کیم روی پیکر آزاد  $d$  باید به سمت راست و بالا اثر نماید. از آنجایی که کل سازه در تعادل است هریک از قطعات آن نیز باید در تعادل باشد، لذا معادلات تعادل استاتیکی برای هر قطعه باید صادق باشد و این می‌تواند اساس تعیین عکس العملهای مجھول و نیروهای بین قطعات باشد.

توجه شود که پس از آنکه کلیه عکس العملها بدست آمد صحت جوابها را می‌توان با اعمال معادلات تعادل استاتیکی برای کل سازه که به صورت یک جسم صلب گرفته می‌شود تحقیق نمود.

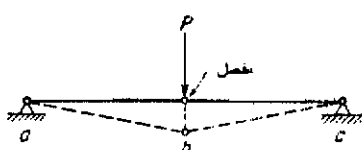
## ۲-۱۲ اصل جمع آثار

در اینجا بحث مختصری از اصل جمع آثار بی مناسب نیست. از این اصل به طور مستمر در محاسبات سازه‌ها استفاده می‌شود و شاهد براین مدعای کارگرفتن آن در راه حل روش ج مثال (۱-۲) است. در آن مثال عکس العمل را برای هریک از سه بارگذاری به طور جداگانه تعیین نمودیم و دیدیم که جمع جبری این سه عکس العمل مقدار کل عکس العمل را تحت اثر

همزمان سهبار معین می‌کند و به عبارت دیگر از جمع آثار اثرات جداگانه هریک به جمع اثرات آنها رسیدیم.

چنان عملکردی عموماً "جایز است ولی در دو حالت مهم اصل جمع آثار صادق نیست ۱ - وقتی که شکل هندسی سازه در طول اثر بارها تغییر زیادی پیدا کند ۲ - هرگاه که در سازه‌ای کرنش تناسب مستقیم با تنش نداشته باشد، هرچند که در آن سازه تغییر شکل هندسی قابل اغماض باشد. حالت اخیر زمانی اتفاق می‌افتد که مصالح سازه تنشی بیشتر از حد ارجاعی تحمل کند و یا این که اصولاً "تغییرات تنش - کرنش یا قسمتی از آن از قانون هوك تبعیت نکند.

در بخش ۲-۳ گفته‌یم که معمولاً "تغییر شکل سازه‌ها" تقدیر کوچک است که به‌ما‌جازه می‌دهد که آن را جسمی صلب فرض کرده و با آن فرض معادلات تعادل استاتیکی را در مورد آن به‌کار گیریم و از اثر تغییر ناچیز هندسی بازوی اهرم نیروها و از شبیب مختصراً که قطعات پیدا می‌کنند و نظایر آن صرف نظر کنیم. سازه شکل (۱۵-۲) را در نظر بگیرید در حالت بدون بار سازه سه مفصل روی یک خط راست قرار می‌گیرد، لازم است که تغییر هندسی ناشی از تغییر شکل سازه را برای بازوی اهرم، شبیب قطعات مقدار قابل توجهی می‌شود بررسی کنیم، در نتیجه این بررسی دیده خواهد شد که نیروها و تغییر مکانها در سازه با باربر رابطه مستقیم ندارند حتی اگر مصالح سازه از قانون هوك تبعیت کند. بنابراین این حالت مثال بارزی برای عدم صدق اصل جمع آثار (بر طبق حالت اول آن) می‌باشد، در چنان سازه‌ای اثر باری برابر با  $2P$  نه دو برابر اثر بار  $P$  است و نهاین که اثر بار  $P_1 + P_2$  برابر جمع جبری اثر جداگانه بار  $P_1$  و اثر بار جداگانه  $P_2$  می‌باشد. در مکانیک حالت بسیار مهمی وجود دارد که در مورد آن اصل جمع آثار صادق نیست که اینجا آن را ذکرمی‌کنیم و آن قطعه فشاری لاغریست که تحت اثر بار محوری و بار جانبی فشار گرفته باشد. در یک چنین حالتی، تنش، لنگر، تغییر مکان وغیره که در اثر بار محوری  $P_1 + P_2$  بوجود آمده باشد مساوی جمع جبری مقادیر فوق الذکر تحت اثر جداگانه  $P_1$  و  $P_2$  نیست. خوب‌خوانه بسیاری از این قبیل حالات که در مورد آنها اصل جمع آثار صادق نیست به سادگی قابل تشخیص هستند.



شکل ۲ - ۱۰ سازه غیرخطی

قبلًا" ذکر شد که اصل جمع آثار برای حالاتی که در مورد آنها از اثر تغییر هندسی می‌توان صرفنظر نمود ولی مصالح آن چنان سازه‌ای از قانون هوک تبعیت نمی‌کند نیز صادق نمی‌ست. اگر چنین سازه‌هایی معین باشند در مورد مقادیری که توسط تحلیل تنش این سازه‌ها (نتیر عکس‌العملها، تلاش برشیها، لنگر خمشیها) معین می‌شود می‌توان اصل جمع آثار را به کار برد ولی در مورد شدت تنش و تغییر مکان این‌کار ممکن نمی‌ست به عنوان مثال در مورد تیری از چدن که روی تکیه‌گاههای ساده قرار دارد عکس‌العملها، تلاش برشی و لنگر خمشی در مقطع را که ناشی از معین بودن تیراست می‌توان با جمع آثار به دست آورد ولی در هر صورت شدت تنش و تغییر مکان ناشی از لنگر خمشی حاصل از بار  $P$  برابر با دو برابر حاصل از بار  $P$  نمی‌ست و بداین جهت چنین کمیتها بجمع پذیر نیستند. حال اگر تیر نامعینی از جنس چدن باشد، هیچیک از کمیتها آن را نمی‌شود باهم جمع نمود زیرا تحلیل تنش تابعی از تغییر شکل سازه خواهد بود.

### ۲ - ۲ مسائل

۱ - سازه‌های شکل‌های (۹-۲ ه، و ۰۰ ن) و (۹-۲، و ۰۰ ش) را از نظر پایداری، ناپایداری و معین و نامعین بودن دسته‌بندی کنید و برای پاسخ خود دلیل ارائه دهید.

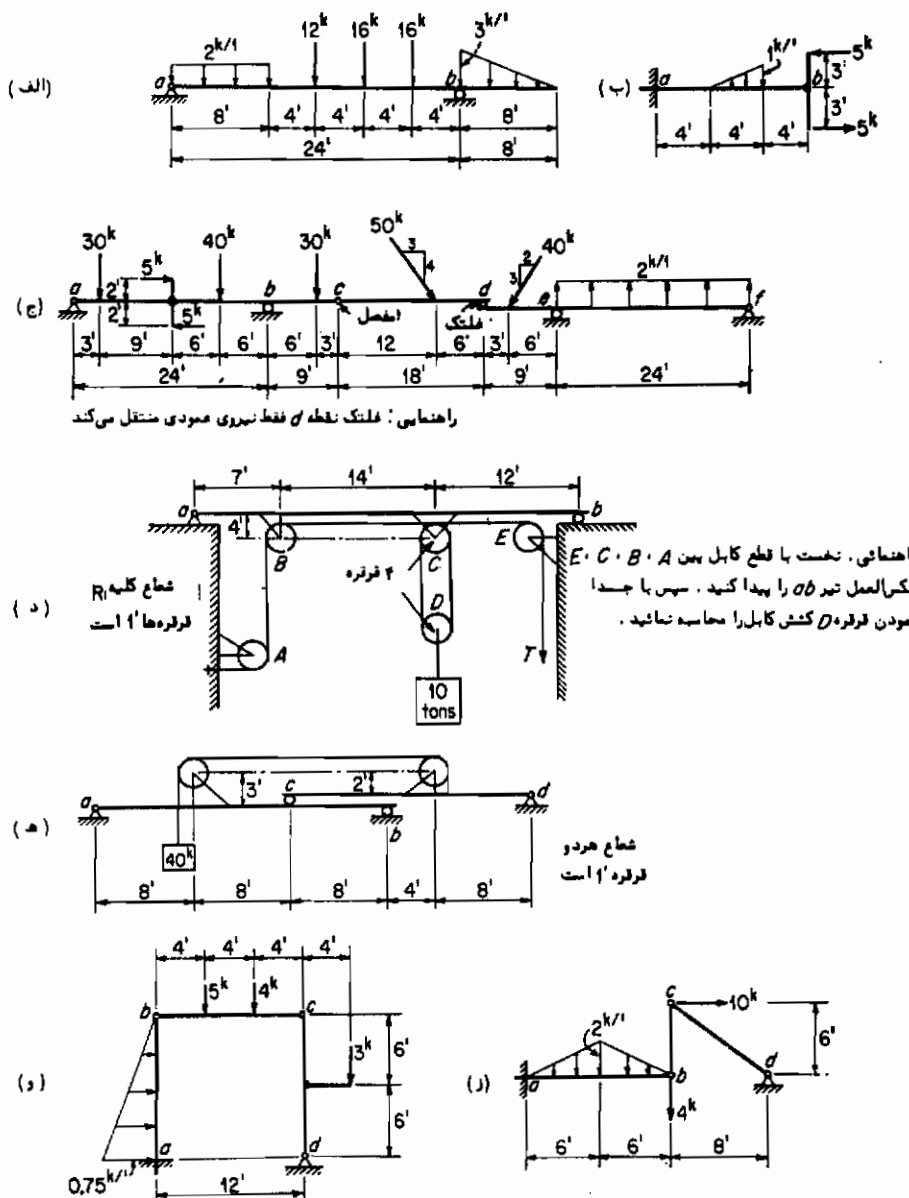
جواب :

- (ه) ناپایدار      (و) ناپایدار      (ح) پایدار و نامعین      (ط) پایدار و معین
- (ل) ناپایدار      (م) پایدار و معین      (ن) ناپایدار      (ق) پایدار کاملاً "معین
- (ر) پایدار و معین به شرطی که مقدار م طوری باشد که  $EF$  از  $D$  نگذرد (ش) پایدار و معین

۲ - عکس‌العملهای تیرهای شکل (۱۱-۲) را محاسبه کنید.

جواب :

(الف) $R_{dx} = 0, R_{ay} = 26.0 \text{ kips up}$	به طرف بالا	$R_{by} = 46 \text{ kips up}$
(ب) $R_{ax} = 0, R_{ay} = 2.0 \text{ kips up}$	به طرف بالا	$M_o = 16.6 \text{ kip-ft c.c.}$
(ج) $R_{ax} = 30.0 \text{ kips}$	به سمت چپ	$R_{ay} = 22.92 \text{ kips up}$
$R_{by} = 90.42 \text{ kips}$	به طرف بالا	$R_{ay} = 54.26 \text{ kips}$
$R_{fx} = 22.19 \text{ kips}$	به طرف راست	$R_{fy} = 42.32 \text{ kips}$



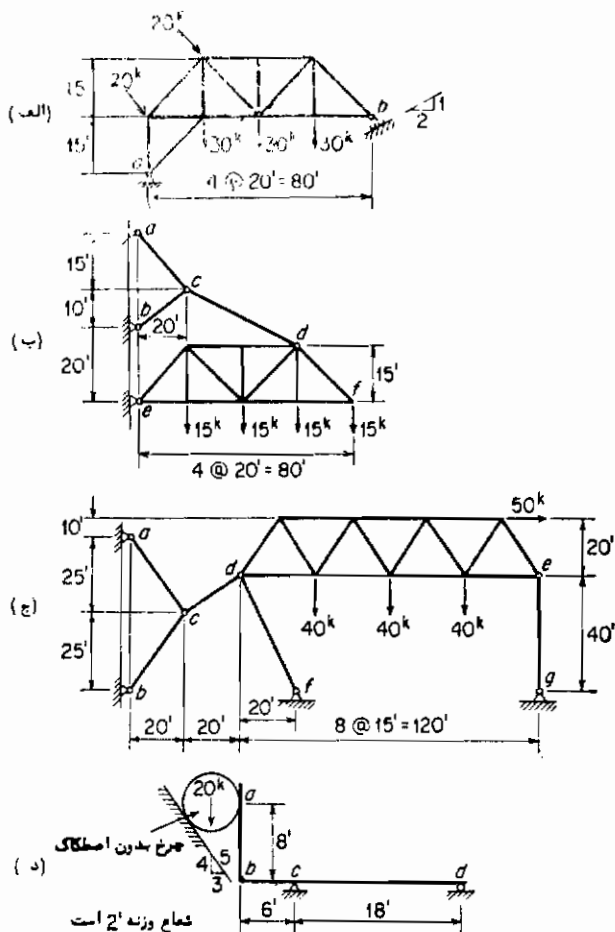
شكل ٢ - ١١ مساله ٢-٢

( د )	$R_{ax} = 10.00$ kips $R_{bx} = 13.64$ kips	به‌طرف چپ به‌طرف بالا	$R_{ay} = 16.36$ kips	به‌طرف بالا
( ه )	$R_{ax} = 40.0$ kips $R_{dx} = 40.0$ kips $R_{by} = 22.3$ kips	به‌طرف چپ به‌طرف راست به‌طرف بالا	$R_{ay} = 23.6$ kips $R_{dy} = 6.0$ kips	به‌طرف بالا به‌طرف پائین
( و )	$R_{ax} = 5.5$ kips $M_a = 30.0$ kip-ft c.c. $R_{dy} = 7.3$ kips	به‌طرف چپ به‌طرف بالا	$R_{az} = 4.6$ kips $R_{dz} = 1.0$ kips	به‌طرف بالا به‌طرف راست
( ز )	$R_{ax} = 0$ , $R_{ay} = 8.5$ kips $R_{dz} = 10.0$ kips		$M_a = 30.0$ kip-ft c.c. $R_{dy} = 7.5$ kips	به‌طرف بالا به‌طرف بالا

۲ - عکس‌العمل‌های سازه‌های شکل (۱۶-۲) را معنی کنید.

جواب :

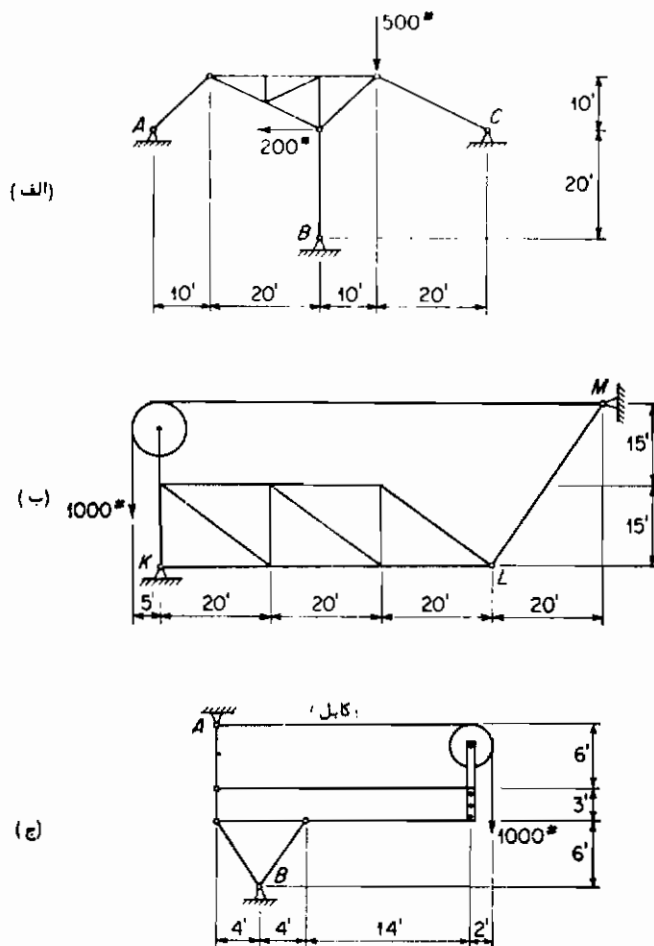
( الف )	$R_{ax} = 1.48$ kips $R_{bx} = 25.48$ kips	به‌طرف چپ به‌طرف چپ	$R_{ay} = 71.03$ kips $R_{by} = 50.97$ kips	به‌طرف بالا به‌طرف بالا
( ب )	$R_{ax} = 56.0$ kips $R_{bx} = 24.0$ kips $R_{cx} = 80.0$ kips	به‌طرف چپ به‌طرف چپ به‌طرف راست	$R_{ay} = 42.0$ kips $R_{by} = 12.0$ kips $R_{cy} = 30.0$ kips	به‌طرف بالا به‌طرف پائین به‌طرف بالا
( ج )	$R_{ax} = 3.51$ kips $R_{bx} = 14.07$ kips $R_{fx} = 32.42$ kips $R_{gx} = 0$	به‌طرف چپ به‌طرف چپ به‌طرف چپ	$R_{ay} = 4.39$ kips $R_{by} = 17.59$ kips $R_{fy} = 64.85$ kips $R_{gy} = 68.3$ kips	به‌طرف بالا به‌طرف پائین به‌طرف بالا به‌طرف بالا
( د )	$R_{ax} = 26.6$ kips $R_{dy} = 11.85$ kips	به‌طرف چپ به‌طرف بالا	$R_{ay} = 11.85$ kips	به‌طرف پائین



شکل ۲ - ۱۲ مساله ۳-۲

۴ - ۴ گاهی قانع کردن دانشجویان بیان که فقط تعداد معینی معادله مستقل وجود دارد مشکل است، برای اینکه چنین مطلبی را نشان دهیم سازه شکل (۸-۲) را در نظر بگیرید و برای آن سه پیکر آزاد که پکی کل سازه، دیگری قسمت *ab* و سومی قسمت *bc* باشدندماش دهید، سه معادله تعادل استاتیکی را برای هر جسم آزاد بنویسید، این نه معادله را کهشش مجھول دارد با یکدیگر مقایسه و ترکیب کند و نشان دهید که فقط چهار معادله مستقل با چهار مجھول وجود دارد.

۲ - ۵ عکس‌العملهای سازه‌های شکل (۱۳-۲) را معین کنید.



شکل ۲ - ۱۳ مسئله ۲

### ۳

## تلاش برشی و لنگر خمی

### ۱- اکلیات

هدف نهایی از تحلیل تنش تعیین کارایی سازه برای تحمل بارهایی است که برای آن طرح شده است، چنین هدفی با مقابله تنشهای ایجاد شده توسط بارهای واردہ با تنشهای مجاز برای مصالح ساختمانی مورد استفاده تأمین می‌گردد. برای تعیین تنش موجود در هر مقطع دلخواه از سازه می‌توان با گذراشیدن برشی تصوری از آن مقطع، قسمت مناسبی از سازه را بهبود آزاد تبدیل کرد. اگر سایر نیروهای مؤثر برآین قسمت از سازه قبلاً محاسبه شده باشند برآیند اثر تنشهای موجود در مقطع مورد نظر را می‌توان به‌سادگی با استفاده از معادلات تعادل استاتیکی تعیین نمود.

یکی از متداولترین اجزای سازه‌ها که بعاین ترتیب مورد تحلیل قرار می‌گیرد تیرها می‌باشند، تیرها قطعاتی هستند که تحت اثر خمش ناشی از بارهای عمود بر محور مار بر مراکز تقل مقطع آن و گاهی تحت اثربارهای موازی و عمود بر محور آن قرار می‌گیرند. بحث زیرین مربوط به تیرهای مستقیم است یعنی تیرهایی که محور مار بر مراکز تقل مقطع آن خط مستقیمی است همچنین شکل مقطع آن به صورتی است که مرکز برش و مرکز تقل آن برهم منطبق است، علاوه بر این فرض می‌شود که کلیه بارها و عکس‌العملها در صفحه مار بر مراکز تقل مقطع قطعه و یکی از محورهای اصلی مقطع قطعه واقع گردند با این شرایط تیر فقط در صفحه بارگذاری و بدون پیچش خم خواهد شد.

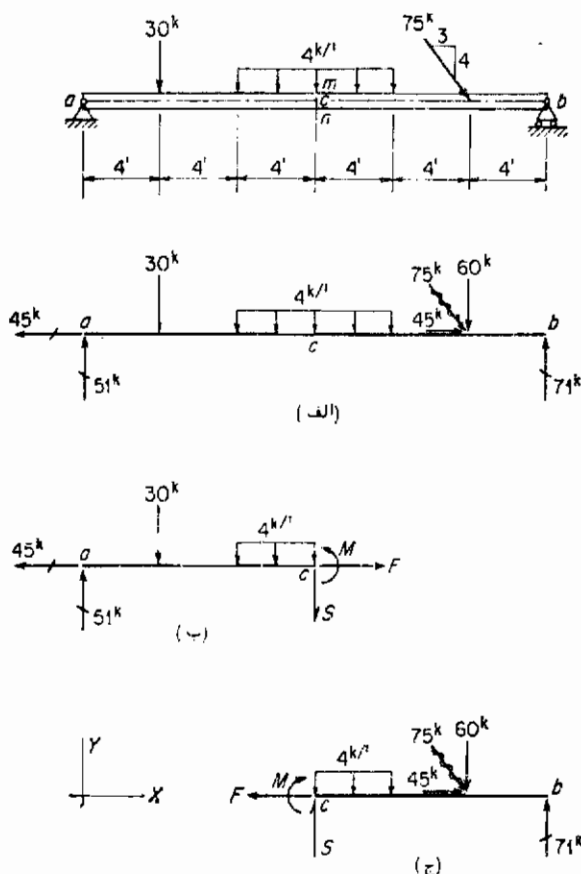
### ۲- تعیین تنش در تیرها

فرض کنید که برای تعیین کارایی تیر معین شکل (۱-۱) محاسبه تنش در مقطع  $mn$  ضروری باشد عکس‌العملهای لازم برای حفظ تعادل استاتیکی را می‌توان به‌سادگی بطریقی که در پیکر آزاد قسمت  $a$  می‌بینیم محاسبه نمود و می‌توان تصور کرد که قسمتهای چپ و راست مقطع  $mn$  توسط برشی که از این مقطع می‌گذرد از یکدیگر جدا شده باشند در این صورت ترسیم پیکر آزاد این دو قسمت تیر را کلیه نیروهای مؤثر بر آنها ممکن می‌گردد.

وقتی نیروهای مؤثر خارجی بر یکی از قسمتهای  $a$  و  $b$  را مورد توجه قرار می‌دهیم بلافاصله

معلوم می‌شود که این قسمت‌ها نمی‌توانند فقط تحت اثر نیروهای خارجی در تعادل استاتیکی باشند ولی چون کل تیر در تعادل است لذا هر قسمتی از آن نیز باید در تعادل باشد لذا لازم است که نیروهای داخلی و یا تنshهای مؤثر بر سطح داخلی نمایان شده توسط برش‌های تصویری وجود داشته باشند، این تنshهای باید دارای چنان مقادیری باشند که برآیند اثر آن نیروهای خارجی مؤثر بر هر یکی از قسمت‌های جدا شده را در حالت تعادل استاتیکی نگهدارد.

تنshهای مؤثر بر مقطع داخلی را می‌توان به دو مولفه تجزیه نمود یک مولفه عمود بر سطح که بدان تنshهای عمودی و دیگری بعوزات (ماس بر) سطح که به آن تنshهای برشی گویند، در پیکر آزاد قسمت‌های ۱ و ۲ این تنshهای با برآیند اثرشان که نیروهای  $S$  و  $M$  می‌باشند جایگزین شدم‌اند، این نیروها بر مرکز شغل مقطع اثر می‌کنند توجه شود که برآیند اثرهای  $S$  و  $M$  مربوط به تنshهای مؤثر بر قسمت آزاد، از نظر عددی به ترتیب برابر با نظیرشان از قسمت آزاد بوده‌اند در خلاف جهت آنان خواهند بود.



شکل ۱-۳ تنش در تیرها

پیکر آزاد  $\theta$  را که نشان دهنده کل تیر تحت اثر کلیه بارهای خارجی و عکس العملهاست در نظر بگیرید، فرض کنید که برآیند اثر کلیه نیروهای مؤثر خارجی بر قسمت چپ برش  $mn$  را از نظر مقدار و جهت معین گرده باشیم، بار دیگر فرض کنید که همین عملیات را برای نیروهای باقیمانده خارجی که بر قسمت راست برش  $mn$  اثر می‌کنند نیز انجام داده باشیم، حال اگر کل تیر تحت اثر کلیه نیروهای خارجی در تعادل باشد واضح است که برآیند نیروهای مؤثر بر قسمت چپ برش  $mn$  باید با برآیند باقی نیروهای خارجی که بر قسمت راست برش  $mn$  اثر می‌کنند روی یک خط و از نظر مقدار عددی برابر بگذیر و لی از حیث جهت در خلاف هم باشد، پس چنین نتیجه می‌شود که باید برآیند نیروهای خارجی در نمودار  $\delta$  از نظر عددی برابر با برآیند نیروهای خارجی در نمودار  $\epsilon$  بوده و لی از حیث جهت برخلاف آن باشد، لذا برآیند اثر تنش باید در نمودارهای  $\delta$  و  $\epsilon$  همان روابط را داشته باشد.

تعیین مشخصات برآیند اثر تنشهای مؤثر بر مقطع قطعه در نمودارهای  $\delta$  و  $\epsilon$  یعنی  $P$  و  $S$  امری ساده‌است، نیروی محوری  $P$  که بر مکر شغل مقطع اثر می‌کند را نیروی مقاوم محوری نیروی جانبی  $\delta$  را تلاش مقاوم برشی و لنگر  $M$  را لنگر مقاوم خواهیم نامید.

اگر قرار باشد سه معادله تعادل استاتیکی برای هر یک از قسمتهای تیر در نمودار  $\delta$  یا در نمودار  $\epsilon$  صدق کند مقدار  $P$ ،  $S$  و  $M$  باید به نحوی باشد که با برآیند نیروهای مؤثر خارجی در هر یک از قسمتهای مورد نظر مقابله نماید، از جنبه نظری برای هر دو قسمت موضوع یکی است لذا برای ساده‌گیردن محاسبات "عموماً" قسمتی را انتخاب می‌کنند که مقدار نیروهای خارجی آن کمتر باشد. تعادل استاتیکی را با مقادیری که به نحو زیر محاسبه می‌کنیم برقرار خواهیم کرد، نیروی مقاوم محوری  $P$  و تلاش مقاوم برشی  $S$  باید به ترتیب از نظر عددی برابر با مولفه محوری و جانبی برآیند نیروهای خارجی مؤثر بر قسمت مورد نظر تیر باشند. با لنگرگیری حول محوری که از مرکز شغل مقطع یعنی محل تلاقی نیروهای مقاوم  $P$  و  $S$  می‌گذرد معلوم می‌شود که لنگر مقاوم  $M$  باید از نظر عددی برابر با لنگر نیروهای خارجی مؤثر بر قسمت مورد نظر بوده و لی از حیث جهت در خلاف آن باشد.

پس از آنکه نیروی مقاوم برشی و تلاش مقاوم برشی و لنگر مقاوم در هر مقطعی معلوم شد شدت تنش عمودی و تنش برشی در هر نقطه مقطع را می‌توان با استفاده از معادلات موجود در کتابهای درسی متعارف مقاومت مصالح تعیین نمود.

### ۳-۳ تعاریف برش و لنگر خمشی، علامت‌گذاری

از بحث قبلی معلوم می‌شود که اگر بخواهیم مقدار نیروی مقاوم محوری، تلاش مقاوم برشی و لنگر مقاوم مؤثر بر یک مقطع تیر را محاسبه کنیم بہتر است که ابتدا مقدار و موقعیت برآیند نیروهای خارجی مؤثر بر هر قسمت مورد نظر از تیر را (که توسط برش مقطعي از یکدیگر جدا شده است) محاسبه نمائیم، "عموماً" ترجیح داده می‌شود که این مقدار را با مولفه‌های محوری، جانبی (عمود بر محور) و لنگر آن حول محور مار بر مرکز شغل مقطع مورد نظر تشان دهیم، این سه از نظر استاتیکی مادل

برآیند مورد نظر می‌باشد و به ترتیب به نامهای زیر خوانده می‌شود: نیروی محوری، تلاش (یا نیروی) برشی و لنگر خمشی، تعاریف این سه را می‌توان به شرح زیر خلاصه نمود.

نیروی محوری  $F$ : نیروی محوری در هر مقطع عرضی یک تیر مستقیم عبارتست از جمع جبری مولفه‌های موازی محور تیر از گلیه بارها و عکس‌العملهای مؤثر بر یکی از دو قسمت تیر که در یک طرف مقطع مورد نظر واقع شده است.

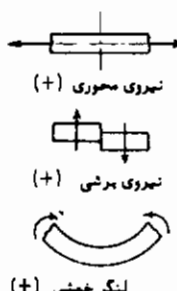
نیروی برشی (برش).  $S$ : نیروی برشی در هر مقطع عرضی یک تیر مستقیم عبارتست از جمع جبری مولفه‌های عمود بر محور تیر از گلیه بارها و عکس‌العملهای مؤثر بر یکی از دو قسمت تیر که در یک طرف مقطع مورد نظر واقع شده است.

لنگر خمشی  $M$ : لنگر خمشی در هر مقطع عرضی یک تیر مستقیم عبارتست از جمع جبری لنگر حول محور مار بر مرکز ثقل مقطع از گلیه بارها و عکس‌العملهای مؤثر بر یکی از دو قسمت تیر که در یک طرف مقطع مورد نظر واقع شده‌اند البته محوری که حول آن لنگرگیری انجام می‌پذیرد عمود بر صفحه بارگذاری می‌باشد.

گرچه قصد مولفین پادآوری زیاده‌ار حداصول سازه‌ها، روابط و غیره‌نمی‌باشد ولی این تعاریف آنچنان به صورت مستمر وجود دارند و برای مهندسین سازه اساسی می‌باشد که مطالعه و فهم آنها باید بهنحوی باشد که هرگز از ذهن آنان محو نگردد.

با این تعاریف اکنون می‌توان این بحث را چنین خلاصه نمود که نیروی مقاوم محوری که بر مقطع اثری گند برآبر ولی در خلاف جهت نیروی محوری در آن مقطع خواهد بود و نیروی مقاوم برشی برآبر ولی در خلاف جهت نیروی برشی (با برش) و لنگر مقاوم برآبر ولی در خلاف جهت لنگر خمشی در آن مقطع خواهد بود.

در محاسبات بعدی علام قراردادی زیر برای نیروی محوری، نیروی برشی و لنگر خمشی در مقاطع عرضی تیرها به کار برده خواهد شد. کاربرد علام قراردادی در مهندسی سازه امری متصرف است این علام که به آنها علام قراردادی تیرها گویند هم واضح است و هم کاربرد آنان امری ساده است. چنانکه در شکل (۲-۳) دیده می‌شود نیروی محوری زمانی مشت است که تابیل بدور کردن دو قسمت از یک قطعه (توسط کشش) داشته باشد لذا تابیل با یجاد کشش در مقطع خواهد داشت، نیروی



شکل (۲-۳) علام قراردادی تیرها

برشی زمانی مثبت است که قسمت سمت چپ را نسبت به قسمت سمت راست به سمت بالا براند لنگر خمشی زمانی مثبت است که تغایل بهای جاد کشش در تارهای تحتانی تیر و فشار در تارهای فوقانی داشته باشد به عبارتی دیگر قسمت فوقانی تیر را به شکل مقرر در آورد . از آنجایی که اکثر تیرها افقی هستند اجرای چنین علامت‌گذاری مبهم نخواهد بود . اگر قطعه‌ای افقی نباشد یکی از لبه‌های آن را به عنوان "لبه تحتانی" انتخاب کرده و علامت قراردادی را مناسب با آن اعمال می‌کنیم .

### ۳-۴ روش محاسبه برش و لنگر خمشی

روش محاسبه نیروی محوری ، نیروی برشی و لنگر خمشی در مقطعی از تیر روشی ساده است و می‌توان آن را به سادگی با مساله شکل (۳-۳) توضیح داد ، در این مساله می‌خواهیم نیروی محوری ، نیروی برشی و لنگر خمشی را در مقاطع  $c\cdot c$  و  $\square$  محاسبه کنیم ، محاسبه نیروی محوری ساده بوده و احتیاجی به توضیح ندارد و در اغلب تیرها نیز چنین است . اگر فرض کنیم که لنگر مؤثر توسط دستکنی به نقطه  $e$  در طول مقطع نقطه  $e$  اثر گند در این صورت تغییری ناگهانی در لنگر خمشی این نقطه وجود خواهد داشت ولذا لازم است که لنگر خمشی را در مقطعی به مفاصله بین نهایات کم از این نقطه و در طرف چپ نقطه  $e$  و سپس در مقطع به مفاصله بین نهایات کم از آن و در طرف راست نقطه  $e$  تعیین کنیم .

بازم بادآوری می‌کنیم که برش و لنگر خمشی در هر مقطعی را می‌توان با درنظرگرفتن کلیه نیروهای خارجی و عکس‌العملهای مؤثر بر هریک از قسمتهای طرفین مقطع نیز محاسبه نمود ، هر یک از قسمتهای طرفین مقطع تیر را می‌توان انتخاب کرد ولی معمولاً "می‌توان با انتخاب قطعه‌ای که تعداد نیروهای مؤثر بر آن کمتر است محاسبات را ساده‌تر نمود پس از انتخاب قسمت موردنظر فقط بارها و عکس‌العملهای مؤثر بر آن قسمت در تعیین مولفه‌های نیرو یا لنگرها وارد می‌شوند .

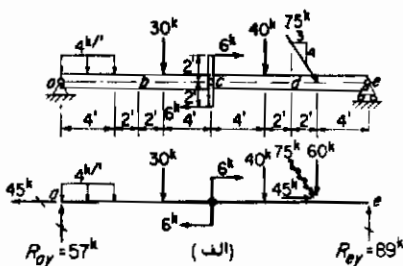
قسمت سمت چپ تیر را برای محاسبه برش و لنگر خمشی در مقطع  $a$  و در مقاطع طرف راست و چپ نقطه  $e$  انتخاب کرده‌ایم ، نمایش آزاد  $a$  و  $b$  ترتیب قسمتهای موردنظر در هر حالت را نشان می‌دهد برای اینکه مزایای انتخاب یک قسمت به جای دیگری را شرح دهیم ، برش و لنگر خمشی مقطع  $a$  را ابتدا با استفاده از قسمت سمت چپ و سپس با استفاده از قسمت سمت راست بترتیب با پیکر های آزاد  $a$  و  $b$  محاسبه کرده‌ایم . توجه شود که تا چه حد محاسبات نمودار(و) نسبت به نمودار (ه) ساده‌تر می‌باشد .

برای این که روش متعارف محاسبات را توضیح دهیم به محاسبات مربوط به برش و لنگر خمشی در مقطع چپ مجاور نقطه  $e$  چنانچه در نمودار (ج) نشان داده شده است توجه کنید . نیروی برشی در این مقطع برابر است با جمع جهی عکس‌العمل برابر با  $kip = 57.5$  . کل بار گسترده برابر با  $16 kips$  و بار متغیر برابر با  $30 kips$  که در آن عکس‌العمل سبب برش مثبت (قسمت چپ را بطرف بالامی راند) می‌شود و دوبار دیگر سبب برش منفی (قسمت چپ را بطرف پائین می‌راند) می‌شوند . لذا مقدار نیروی برشی خواهد شد :

$$S = +57 - 16 - 30 = +11 \text{ kips}$$

چون علاوه بر آیند مثبت است پس تعایل بهمیالا را ندن قسمت چه نسبت به قسمت راست دارد. برای حفظ تعادل واضح است که نیروی مقاوم برشی باستی دارای مقداری برابر با 11 kips بوده در جهت پایین مقطع مزبور بهنحوی که در نمودار (ج) می‌بینیم اثرگذارد، به همین نحو لنگر خمی برابر

نمودار الف:



$$\begin{aligned} \sum M_o &= 0, \uparrow \\ (4 \times 4)(82) &- 30(2) - 6(2) - 40(3) - 75(4) = 858 \\ (57)(12) &- 480 = 384 \\ (40)(8) &- 320 = 320 \\ (60)(4) &- 240 = 240 \\ (6)(4) &+ 24 = 24 \\ \therefore R_{oy} &= \frac{1,368}{24} = 57k \uparrow \quad \therefore R_{ey} = \frac{2,136}{24} = 89k \uparrow \end{aligned}$$

وارسی:

$$\sum F_y = 0, \uparrow \\ 57 + 89 - 16 - 30 - 40 - 60 = 0 \quad O.K.$$

نمودار ب:

$$\begin{aligned} S &= 57 - (4)(4) = +41k \\ M &= (57)(6) - (16)(4) = +278k' \end{aligned}$$

نمودار ج:

طرف چپ نقطه C

$$\begin{aligned} S &= 57 - 16 - 30 = +11k \\ M &= (57)(12) - (16)(10) - (30)(4) \\ &= +404k' \end{aligned}$$

نمودار د:

$$\begin{aligned} S &= 57 - 16 - 30 = +11k \\ M &= (57)(12) - (16)(10) - (30)(4) \\ &+ 24 = +428k' \end{aligned}$$

نمودار ه:

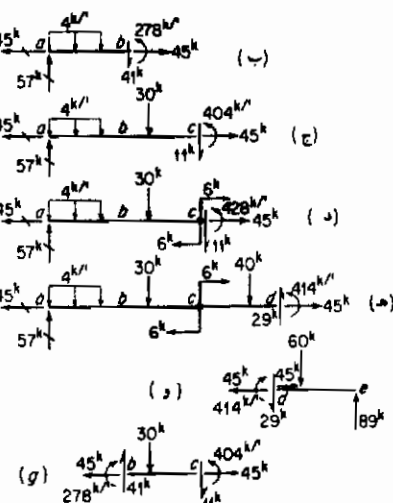
$$\begin{aligned} S &= 57 - 16 - 30 - 40 = -29k \\ M &= (57)(18) - (16)(16) - (30)(16) \\ &- (40)(2) + 24 = +414k' \end{aligned}$$

نمودار و:

$$\begin{aligned} S &= -89 + 60 = -29k \\ M &= (89)(6) - (60)(2) = +414k' \end{aligned}$$

نمودار ز:

$$\begin{aligned} S &= 41 - 30 = +11k \\ M &= 278 + (41)(6) - (89)(4) \\ &= +404k' \end{aligned}$$



شکل ۳ – محاسبه نیروهای محوری  
نیروی برشی و لنگر خمی

است با جمع جبری لنگرهای سینیروی فوق الذکر حول مرکز نقل سطح مقطع مورد نظر، از آنجایی که عکس العمل ایجاد تنش کشی در تار تحتانی مقطع و دوبار دیگر ایجاد کشش در بار فوقانی می‌نمایند لذا مقدار لنگر خمشی برابر خواهد شد با:

$$M = (57)(12) - (16)(10) - (30)(4) = +404 \text{ kip-ft}$$

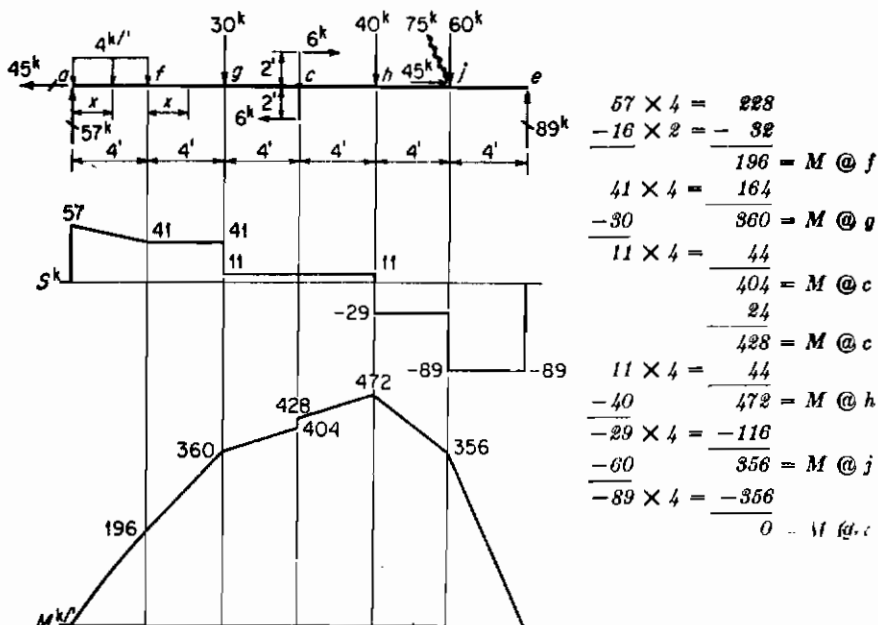
چون جواب مثبت است لذا در تار تحتانی ایجاد کشش خواهد شد، باز نظیر قبل برای این که تعادل برقرار را شود لازم است که لنگر مقاوم از نظر مقدار برابر با ۴۰۴ kip-ft باشد و در جهت مخالف ساعتگرد چنانچه در نمودار (ج) می‌بینیم بر مقطع اثر کند. بقیه محاسبات در خسود توضیحات لازم را دارد.

ذکر این نکته مهم است که اگر نیروی محوری، تلاش و لنگر خمشی در مقطعی معلوم شده باشد می‌توان مقادیر آنها را در هر مقطع دیگری با استفاده از مقادیر مشخص آنها در مقطع معلوم بدست آورد بدون آنکه کلیه نیروهای خارجی مؤثر بر کل قسمتهای تیر در دو طرف مقطع مورد نظر در در محاسبات وارد شوند. به عنوان مثال نیروی محوری، برش و لنگر خمشی در مقطع  $\sigma$  را می‌توان با استفاده از مقادیر آنها که قهلاً "برای مقطع  $\sigma$  محاسبه شده است به دست آورد. دلیل چنین عملکردی واضح است زیرا که برش، نیروی محوری و لنگر خمشی در  $\sigma$  از نظر استاتیکی معادل برآیند نیروهای خارجی مؤثر بر قسمت چهپ  $\sigma$  می‌باشند، زیرا که به جای این نیروها در تعیین برآیند اثر کلیه نیروهای مؤثر بر قسمت چهپ  $\sigma$  می‌توان معادل استاتیکی آنها را به جای خودشان تزار داد. مزایای چنین محاسباتی در نمودار (ز) شکل (۳-۳) نشان داده شده است که در آن نیروهای مؤثر بر قسمت جدا شده  $\sigma$  نیز مشخص شده است.

### ۳-۵ نمودارهای برش و لنگر خمشی

وقتی تیری تحت اثر دستگاه بارهای ساکن بررسی می‌شود اگر نمودارهایی داشته باشیم که از طریق آنها بتوانیم مقادیر برش و لنگر خمشی را در کامیه مقاطع براحتی تعیین کنیم بررسی سه لتر خواهد شد. چنین نمودارهایی را می‌توان با رسم خط اصلی آن که نشان دهنده محور نیز می‌باشد شروع نمود و سپس با مشخص نمودن عرض نقاط نظیر مقاطع مختلف تیر که در طول این خط تعیین می‌شوند و بیانگر مقادیر برش و لنگر خمشی به صورت عرض نقاط از خط اصلی به طرف بالا و مقادیر منفی با عرض نقاط به طرف پائین آن تعیین می‌شوند. نموداری که انتهای چنین عرض نقاطی را در طول خط اصلی بهم متصل می‌کند نمودارهای برش و پایا لنگر خمشی گفته می‌شود. در شکل (۴-۳) برای تیر شکل (۳-۳) منحنی‌های برش و لنگر خمشی نشان داده شده است.

رسم این نمودارها ساده است ولی نیاز به توضیح دارد، برش در مقطعی به فاصله بی‌نهایت کم از طرف راست نقطه  $\sigma$  برابر  $kip\cdot ft$  ۸۷+ می‌باشد بنابراین در این نقطه مقدار برش از صفر ناگهان



شکل ۳-۴ نمودار برش و لنگر خمسی

به مقدار  $+57$  می‌رسد در فاصله  $a-f$  مقدار برش در مقطعی به فاصله  $x$  از نقطه  $a$  از رابطه زیر بدست می‌آید:

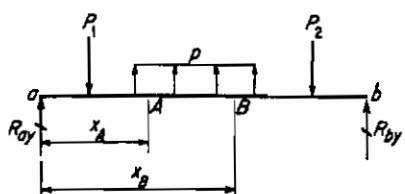
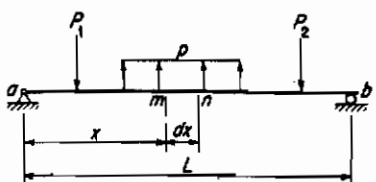
$$S = 57 - 4x$$

این رابطه نشان می‌دهد که نمودار برش در این فاصله یک خط مستقیم است که مقدار  $+57$  در  $a$  به  $+41$  در نقطه  $b$  به مدت ریج کم می‌شود، چون در حد فاصل  $b-g$  هیچ بار خارجی اضافی اثر نمی‌کند مقدار برش در هر مقطع از این فاصله برابر با  $+41$  باقی می‌ماند لذا منحنی برش در این فاصله چنانکه دیده می‌شود خطی افقی خواهد بود. در فاصله  $b-i$  به نهایت کم از نقطه  $b$  به طرف چپ مقدار برش  $+41$  می‌باشد ولی در فاصله  $b-j$  به نهایت کم از نقطه  $b$  به طرف راست بار  $-30\text{-kip}$  سبب می‌شود که برش بیشتر از پیش نقصان یافته و به مقدار  $-11$  به رسید، بنابراین در نقطه  $j$  یک تغییر ناگهانی در منحنی برش اتفاق می‌افتد و مقدار آن را از  $+41$  به  $-11$  می‌رساند، بهمین ترتیب بقیه نمودار برش را به سادگی می‌توان بررسی نمود، پایان دقت شود که چون فرض می‌شود، بار متوزع یک نقطه اثر می‌کند لذا در آن نقطه عرض منحنی برش ناگهان به میزانی برابر با مقدار بار تغییر می‌کند. از نظر فیزیکی اثر یک بار بر یک نقطه هندسی بدون ایجاد سطح تعاسی با فشار بی‌نهایت غیرممکن است به این جهت لازم است چنین بارهایی در سطح بسیار کوچکی گسترده شوند، در هر صورت در محاسباتی نظیر آنچه برای برش و لنگر خمسی انجام می‌گیرد چنین ناسازگاریهایی نادیده گرفته می‌شود و فرض

می شود که از نظر ریاضی امکان اثربارهای متغیر بر یک نقطه ممکن باشد . در فاصله  $\sigma$  لنگر خمشی در مقطعی به فاصله  $\sigma$  از نقطه  $\sigma$  برابر است با  $87\sigma - 87\sigma^2$  . لذا نمودار لنگر خمشی از مقدار صفر در نقطه  $\sigma$  در طول یک منحنی از دیگر دیگر افتته تا به عرضی برابر با  $196 + 41\sigma$  در نقطه  $\sigma$  برسد ، در قسمت  $\sigma$  مقدار لنگر خمشی در هر مقطعی به فاصله  $\sigma$  از نقطه  $\sigma$  برابر است با  $M = 196 + 41\sigma$  بنا بر این در این حد فاصل منحنی لنگر خمشی خط مستقیمی خواهد بود که از عرضی برابر با  $196$  در  $\sigma$  به عرضی برابر با  $360$  در  $\sigma$  ترقی خواهد پافت ، به همین ترتیب در فاصله  $\sigma$  نمودار لنگر خمشی خط راستی است که به مقدار  $404$  در مقطعی به فاصله  $\sigma$  بینهاست کم از طرف چپ نقطه  $\sigma$  افزایش می باید ، در مقطعی به فاصله  $\sigma$  بینهاست کم از طرف راست نقطه  $\sigma$  لنگر خمشی به مقداری برابر با  $24$  افزایش پافته و به  $428$  می رسد . با فرض این که لنگر خارجی که برابر  $24 \text{ kip}\cdot\text{ft}$  می باشد دقیقاً در مقطع نقطه  $\sigma$  اثربند در این مقطع تغییری ناگهانی در نمودار لنگر خمشی مانند تغییر ناگهانی در نمودار برش که در سطور قبل بحث شد اتفاق می افتد . به طریقی مشابه بقیه نمودار لنگر خمشی را می توان به سادگی بررسی نمود محاسبات مربوط به وارسی عرضهای نمودار در شکل (۳-۲) نشان داده شده است .

### ۳-۶ روابط موجود بین برش ، برش و لنگر خمشی

در حالاتی که تیزی تحت اثر بار عرضی قرار دارد ، رسم نمودارهای برش و لنگر خمشی را می توان با شناختن برخی روابط موجود بین برش ، برش و لنگر خمشی تسهیل نمود . به عنوان مثال تیزنشان داده شده در شکل (۳-۵) را در نظر بگیرید فرض کنید که برش  $S$  و لنگر خمشی  $m$  را برای مقطع نقطه  $m$  محاسبه کرد هایم نقطه  $m$  به فاصله  $\sigma$  واقع شده است که این فاصله از نقطه



شکل ۳-۵ روابط موجود بین برش ، برش و لنگر

۶ اندازه گرفته می شود و زمانی مثبت است که به سمت راست نقطه  $\sigma$  باشد ، حال فرض کنید که برش

ولنگر خمثی را برای مقطع نقطه  $n$  که بعفاضله دیفرانسیلی  $dx$  در سمت راست  $m$  قرار گرفته است نیز محاسبه شود. فرض نمائید که در حد فاصل بین  $m$  و  $n$  بارگذاری در جهت بالا و بهشدت  $p$  بر واحد طول تبر افزایش مقدار برش لنگر خمثی بهمیزانی دیفرانسیلی افزایشیافته و بهترتبه برابر با  $S + dS$  برابر با  $M + dM$  خواهد شد.

مقادیر جدید برش و لنگر خمثی در نقطه  $n$  را می‌توان با استفاده از مقادیری که قبل از نقطه  $m$  محاسبه شده است به طریقی که در بخش (۳-۴) ذکر شد محاسبه نمود. بنابراین خواهیم داشت.

$$S + dS = S + p dx \quad (\text{الف})$$

$$M + dM = M + S dx + p dx \frac{dx}{2} \quad (\text{ب})$$

از رابطه (الف) واضح است که:

$$dS = p dx \quad \therefore \quad \frac{dS}{dx} = p \quad (\text{ج})$$

و با صرف نظر نمودن از مقادیر دیفرانسیلی درجه دوم از رابطه (ب) می‌توان دریافت که:

$$\frac{dM}{dx} = S \quad (\text{د})$$

مخصوصاً "باشد توجه شود که علاوه بر علام قراردادی تبرها که برای برش و لنگر خمثی است، جهت بار به شرطی که به طرف بار باشد مثبت فرض شده است و مقدار  $x$  از طرف چپ به طرف راست افزایش یافته است.

روابطی که به صورت معادلات ریاضی (ج) و (د) بیان شد بطرز آنکاری در رسم نمودارهای برش و لنگر خمثی مفید واقع می‌شوند. ابتدا معادله (ج) را در نظر می‌گیریم. این معادله بیان می‌کند که میزان تغییر برش در هر نقطه‌ای برابر شدت بار مؤثر بر تبر در آن نقطه است به عبارت دیگر شب نمودار برش در هر نقطه‌ای برابر است با شدت بار مؤثر بر تبر در آن نقطه تغییر برش (یعنی  $dS$ ) بین دو مقطع بعفاضله دیفرانسیلی  $dx$  از یکدیگر خواهد شد:

$$dS = \frac{dS}{dx} dx = p dx$$

بنابراین تغییر در برش دو مقطع  $A$  و  $B$  به قرار زیر خواهد شد.

$$S_B - S_A = \int_{x_A}^{x_B} p dx \quad \therefore \quad S_B = S_A + \int_{x_A}^{x_B} p dx$$

به این ترتیب اختلاف بین عرض منحنی برش در  $B$  و  $A$  با کل بار مؤثر بر تبر در فاصله بین این دو

نقطه برابر است .

بر طبق معادله (ج) او قرارداد علامتی که در مشتق‌گیری بهکار بردیم اگر در نقطه‌ای از تپه‌باری بهستم بالا به عبارت دیگر به صورت ثابت اثر کند میزان تغییر برش در آن نقطه ثابت خواهد بود . این بهایمن معنی است که اگر بخواهیم مقدار برش را در مقطعی به فاصله بسیار کم در طرف راست این نقطه و به عبارت دیگر در فاصله‌ای کمی بیشتر از آن تکیه‌گاه سمت چپ محاسبه کنیم مقدار برش نسبت به نقطه‌نخست میل به ازدیاد مقدار ثابت خود و یا از نظر جبری میل به ازدیاد مقدار می‌نماید . بدینهی است که اگر بار وارده در جهت رو به پاشین اثر کند عکس مطلب فوق صحت خواهد داشت ، اگر این مطلب را بر حسب تعاریف شب منحنی برش بیان کنیم و در این بیان قرارداد علامت‌گذاری متعارف محاسبات شب را در نظر گیریم در صورتی که  $dS/dx$  ثابت باشد شب نمودار بهستم بالا طرف راست خواهد بود ، یعنی با ازدیاد مقدار  $x$  مقادیر ثابت  $S$  به تدریج عرض بیشتری خواهند داشت و اگر  $dS/dx$  منفی باشد شب نمودار بهستم پاشین و سمت راست خواهد بود .

برای فهم بیشتر اگر به قسمتی از یک تپه بارگذاری شویا خوشی اثر کند . مقدار  $M$  ثابت بوده و بهایمن مقدار برش در آن قسمت از تپه به میزان ثابتی تغییر خواهد کرد ولذا نمودار برش خط شب‌دار مستقیمی خواهد بود ولی اگر بار مؤثر باری گذارد و لی باشد شب متغیر باشد نمودار برش به صورت منحنی بوده که شب آن متناسب باز مؤثر تغییر خواهد کرد و اگر در بین دونقطه از تپه باری اثر نکند میزان تغییر برش صفر بوده و به عبارتی دیگر مقدار برش ثابت خواهد ماند و منحنی برش در آن قسمت خط مستقیمی به موازات خط اصلی تپه خواهد بود . در نقطه‌ای که باری متمرکز بر تپه اثر می‌کند شدت بارگذاری بیش از این بوده ولذا شب نمودار برش نیزی نهایت شده و یا عمودی می‌شود . در چنین نقطه‌ای نمودار برش نایمهوسته بوده و اختلاف بین عرضهای منحنی در دو طرف بار متمرکز برابر با مقدار بار متمرکز خواهد بود ، دیده می‌شود که مطالب فوق با آنکه در بند قبل ذکر شد تطابق دارد .

معادله (د) را نیز می‌توان به همین طریق بررسی نمود . بر حسب این معادله میزان تغییر لشگر خمشی در هر نقطه از تپه برابر با مقدار برش در آن نقطه می‌باشد به عبارتی دیگر شب نمودار لشگر خمشی در هر نقطه‌ای برابر با عرض نمودار برش در آن نقطه می‌شود ، مقدار تغییر لشگر خمشی  $dM$  بین دو مقطع به فاصله  $d\varphi$  انسیلوی  $dx$  از پنکه‌گیر برابر خواهد شد با :

$$dM = \frac{dM}{dx} dx = S dx$$

لذا اختلاف بین لشگر خمشی دو مقطع  $A$  و  $B$  برابر با مقدار زیر خواهد شد :

$$\int_{M_A}^{M_B} dM = M_B - M_A = \int_{x_A}^{x_B} S dx \quad \therefore M_B = M_A + \int_{x_A}^{x_B} S dx$$

یعنی اختلاف بین عرضهای نمودار لشگر خمشی در نقاط  $A$  و  $B$  برابر است با سطح بین دونقطه در منحنی برش .

از معادله (د) چنین پیدا است که اگر برش در نقطه‌ای ثابت باشد میزان تغییر لشگر خمشی

در آن نقطه نیز مشتث است. این بدان معنی است که اگر مقدار لنگر خمشی را در مقطعی به فاصله بسیار نزدیک طرف راست نقطه و یا به عبارتی دیگر به فاصله کمی بیشتر از از تکیه‌گاه چپ محاسبه کنیم مقدار آن تعایل بازدیداد مقدار مشتث خود و به عبارتی از نظر جبری تعایل به بازدیداد مقدار مشتث بمنطقه تخت خواهد داشت. اگر برش منفی باشد عکس مطلب فوق صحیح خواهد بود. بر حسب شیب نمودار لنگر خمشی می‌توان گفت که اگر مقدار  $\beta_{11}$  مشتث (یا منفی) باشد شیب نمودار لنگر خمشی در این نقطه به طرف بالا (یا به طرف پائین) و به سمت راست خواهد شد و به این ترتیب با افزایش مقدار  $\beta$  در جهت از چپ براست مقدار مشتث  $\beta_{11}$  در سمت بالا درج می‌گردد.

اگر مقدار برش در قسمتی از تیر ثابت باشد نمودار لنگر خمشی در آن قسمت خط مستقیمی خواهد بود. و اگر مقدار برش در حد فاصلی بمنحوی تغییر کند نمودار لنگر خمشی منحنی شکل خواهد شد. در نقطه‌ای که به آن باری متعرکز اثر کند در آن نقطه منحنی برش تغییر ناگهانی کرده و بدان جهت در شیب نمودار لنگر خمشی نیز در همان نقطه تغییری ناگهانی اتفاق خواهد افتاد، در نقطه‌ای که نمودار برش مقدار صفر پیدا می‌کند اگر عرض منحنی در طرف چپ آن نقطه مشتث بوده و در طرف راست منفی باشد شیب نمودار لنگر خمشی از مقدار مشتث در طرف چپ به مقدار منفی در طرف راست آن نقطه تغییر خواهد یافت. لذا عرض نمودار لنگر خمشی در آن نقطه به مقدار حد اکثر خودخواهد رسید و از طرف دیگر اگر مقدار برش در نقطه‌ای صفر شود عرض نمودار لنگر خمشی در آن نقطه مقدار حداقل پیدا خواهد کرد.

### ۳-۲ رسم نمودارهای برش و لنگر خمشی

از آنجه در بخش (۳-۶) گفته شد می‌توان بمنحو مفیدی در رسم منحنی‌های برش و لنگر خمشی تیرها تحت اثر بارهای عرضی به کار برد. برای این منظور می‌توان از روش زیر سود جست:

پس از محاسبه عکس‌العملهای تیر ابتدا نمودار بار را رسم کنید نمودار بار عبارتست از یک منحنی که عرض آن در هر نقطه نشان دهنده شدت پارگستره در آن نقطه است، ابتدا علاوه بر آن بارهای متعرکز را نیز باید نشان داد. بارهای در جهت بالا که بارهای مشتث می‌باشند را باید در بالای خط اصلی نشان داده و بارهای منفی را در پائین آن نشان داد، سهی می‌توان با به کار بردن اصول زیر که چکیده‌ای از مطالب قبل است به رسم نمودارهای برش و لنگر خمشی به شرط شروع و ادامه عطیات از طرف چپ براست پرداخت تا به تدریج آن نمودارها شکل گیرند:

- ۱- شیب نمودار برش در هر نقطه برابر شدت پارگستره در آن نقطه‌ای باشد.
  - ۲- تغییر ناگهانی در عرض نمودار برش در نقاط اثر بارهای متعرکز اتفاق خواهد افتاد.
  - ۳- شیب نمودار لنگر خمشی در هر نقطه‌ای برابر است با عرض نمودار برش در آن نقطه.
  - ۴- در نقاطی که بار متعرکز اثر می‌کند تغییری ناگهانی در عرض نمودار برش و تغییری ناگهانی در شیب نمودار لنگر خمشی اتفاق خواهد افتاد.
- ممولاً محاسبه مقدار عددی عرض نمودارهای برش و لنگر خمشی فقط در نقاطی که شکل نمودارها

تفییر پیدا می‌کند و با در نظر گرفتن مقادیرها به مقدار حد اکثر یا حداقل خود میرسند لازم می‌شود . چنین مقادیری را عموماً می‌توان بمسادگی با محاسبه مستقیم ، چنانچه در شکل (۳-۲) نشان داده شده است بدست آورد و چنان حساباتی را می‌توان به شرط آن که یک عرض از نمودار معلوم باشد بر طبق اصول زیر وارسی نمود :

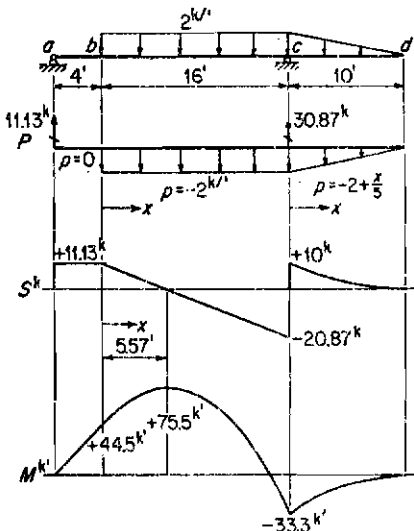
۵- اختلاف بین عرضهای نمودار برش در دونقطه برابر است با جمع کل بارهای مؤثر بر تبر در فاصله این دونقطه به عبارتی دیگر برابر است با سطح زیر منحنی بارهای این دونقطه به اضافه بارهای مرکز در این حد فاصل .

۶- اختلاف بین عرضهای نمودار لنگر خمشی در دونقطه برابر است با سطح زیر نمودار برش بین این دونقطه . این روش با رسم نمودارهای برش و لنگر خمشی در مثالهای زیرین تشریح خواهد شد .

گرچه کلیه این روابط و این بعثتها مخصوص حالت تبری با بارهای عرضی است ولی نباید چنین استنتاج کرد که آنها را نمی‌توان در تحلیل تبری تحت شرایط بارگذاری کلی به کار گرفت ، در مثالهای که بعد از آورده می‌شود روش رفتار با چنین حالاتی تشریح خواهد شد . در حالاتی که بارگذاری تبرها صرفاً محدود به بارگذاری عرضی تبر نباشد ، دیده می‌شود که منحنی بارگذاری خود را از دست می‌دهد و تبدیل به چیزی غیر عملی می‌کردد . در حالی که برخی از روابط فوق بخطاطر مزبوری که دارد به کار برده می‌شوند خواهیم دید که در بسیاری از حالات پیچیده بارگذاری تجدید نظر در آنها الزامی است ، برای روش‌شنیدن مطلب چنانکه در مثال (۳-۵) دیده خواهد شد تغییری ناگهانی در عرض نمودارهای لنگر خمشی در نظر گرفته شود لنگر خارجی اشر می‌کند ایجاد می‌شود ، بنابراین اختلاف بین عرضهای نمودار لنگر خمشی بین دونقطه برابر خواهد شد با سطح زیر نمودار برش در حد فاصل این دونقطه به اضافه یا منهای مقدار لنگر خارجی که در آن قسمت از تبر بدان اثر می‌کند . در هر صورت دانشجویان درک خواهند کرد تجربه‌ای که بر اثر رسم نمودارهای برش و لنگر خمشی در حالات ساده بارگذاری عرضی تبرها بدست می‌آورند آنان را قادر می‌سازد که در صورت برخوردها مسافتی پیچیده‌تر را کمی کوچش از عهده آن برآیند .

### ۳-۸ مثالهای عددی - تبرهای معین

در مثالهای زیر با استفاده از نظریات و اصول ارائه شده به رسم نمودارهای برش و لنگر خمشی در تبرهای معین با شرح لازم پرداخته خواهد شد .



$$\begin{aligned}\Sigma M_c &= 0, \uparrow \\ -(2)(16)(8) &= -256 \\ +(2)(10\frac{1}{2})(10\frac{3}{2}) &= +33.3 \\ &\hline -222.6\end{aligned}$$

$$\therefore R_{ay} = 11.13 \uparrow$$

$$\begin{aligned}\Sigma M_a &= 0, \uparrow \\ (2)(16)(12) &= +384 \\ (2)(10\frac{1}{2})(23.3) &= +233.3 \\ &\hline +617.3\end{aligned}$$

$$\therefore R_{ey} = 30.87 \uparrow$$

$$\begin{aligned}\Sigma F_y &= 0, \uparrow + \\ 11.13 + 30.87 - 32 - 10 &= 0 \quad \therefore O.K.\end{aligned}$$

بروش:

$$S_{(left)} = 11.13 - (2)(16) = -20.87 \downarrow$$

موقعیت نقطه س = 0 بین a و c لنگر خشنی:

$$S_x = 11.13 - 2x = 0 \quad \therefore x = 5.57'$$

لنگر خشنی:

$$M_b = +(11.13)(4) = +44.52 \uparrow$$

$$M_c = - \frac{(2)(16)}{2} \left( \frac{10}{3} \right) = -33.3 \uparrow$$

بین c و b

$$\begin{aligned}M_{max} &= (11.13)(9.57) - \frac{(2)(5.57)^3}{2} \\ &= +75.48 \uparrow\end{aligned}$$

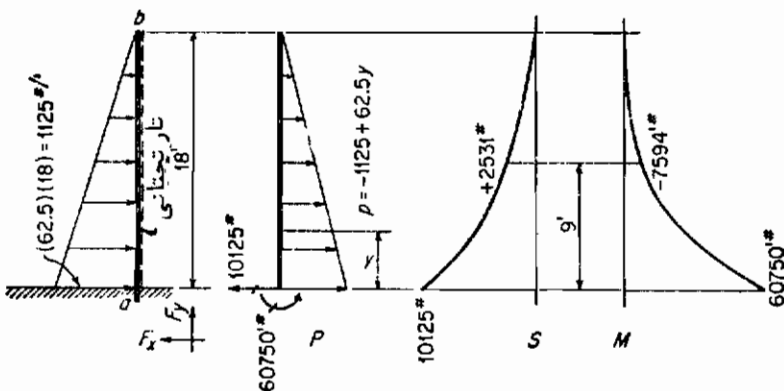
بحث:

در ایجاد شکل نمودارهای برush و لنگرخشنی مطالب بخش (۷-۳) دنبال می‌شود، اگر از انتهای چپ منحنی برush شروع کنیم، مقدار برush ناگهان به مقدار  $11.13 + 11.13$  افزایش می‌یابد از a تا b چون  $p = 0$  است نمودار برush افقی است، از b تا c چون  $-2 + (x/5)$  است نمودار برush با شبیه ثابت به سمت پائین و راست به نحوی که مقدار برush درست در طرف چپ نقطه c به مقدار  $-20.87$  تغییر می‌کند، در c وجود عکس العمل سبب ازدیاد ناگهانی عرض نمودار برush به مقدار  $10 + 10$  درست در طرف راست نقطه c می‌شود، از c تا d چون  $-2 + (x/5) = 0$  است نمودار برush به طرف پائین و راست شبیه پیدا می‌کند شبیه آن به طور خطی از c در c تا d در d تغییر می‌کند.

به همین طریق نمودار لنگرخشنی در a از مقدار ۰ شروع شده و از a تا b با شبیه ثابت از دپاد پیدا می‌کند (به طرف پائین و به راست). از b به بعد شبیه منحنی به طور خطی از مقداری برای برush با  $+11.13$  در c به مقدار صفر در نقطه لنگر خدا کثر و بالاخره به مقدار  $-20.87$  در c تقلیل پیدا می‌کند تغییری ناگهانی در مقدار شبیه در نقطه c وجود دارد که مقدار آن را به  $10 + 10$  درست طرف راست c

می‌رساند . بین  $c$  و  $d$  مقدار شیب از  $10 + \tan \alpha$  درجه تقلیل پیدا می‌کند .  
وارسی عددی مقادیر عرضهای برش و لنگر خمی را می‌توان با راحتی تمام توسط محاسبات مستقیمی به طریق ذکر شده در بخش (۴-۳) انجام داد .

مثال ۲-۳



$$\sum F_x = 0, \quad R_{ax} - (1,125)(1\frac{9}{12}) = 0 \quad R_{ax} = 10,125 \text{ N} \\ \sum M_a = 0, \quad (1,125)(1\frac{9}{12})(6) - M_a = 0 \quad M_a = 60,750 \text{ Nm}$$

برش و لنگر خمی در  $y = 9$ 

$$p = -1,125 + (62.5)(9) = -1,125 + 562.5 = -562.5 \text{ N/mm} \\ S = +(562.5)(\frac{9}{12}) = +2,531.3 \text{ N/mm} \\ M = -(562.5)(\frac{9}{12})(3) = -7,593.8 \text{ Nmm}$$

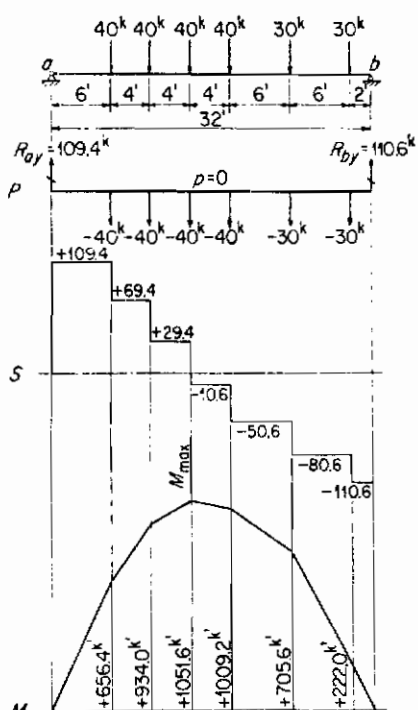
بحث :

پس از محاسبه عکس‌العمل‌ها نمودارهای بار، برش و لنگر خمی را می‌توان رسم کرد ، تارکار راست تبرتره را در تعیین علام قراردادی به عنوان تار تحتاتی فرض می‌کنیم ، بنابراین بارگذارده باشد متغیر یکنواخت را می‌توان در ترسیم منحنی بار به صفت پائین یا منفی فرض کرد .  
نمودار برش به طور ناگهانی در  $a$  به مقدار  $10,125$  افزایش می‌یابد . با پیشروی به مسوی  $b$  نمودار برشی با شیبی منفی برابر با  $1\frac{9}{12}$  به صفت پائین شروع می‌شود و به تدریج به شیب صفر و عرض صفر در  $b$  تقلیل می‌یابد .

از طرف دیگر نمودار لنگر خمی از عرضی برابر با  $80,750$  در  $a$  با شیبی مشتمل برابر با  $10,125$  شروع می‌شود با پیشروی به مسوی  $b$  مقدار شیب مشتمل باقی می‌ماند ولی به طور مداوم تا  $b$  که هم شیب

و هم عرض نمودار لنگر خمشی صفر می‌شود تقلیل می‌یابد .  
 پس از رسم شکل این نمودارها عرض میانی از نمودار برش با لنگر خمشی از نظیر نقطه‌ای به  $y = 9$  می‌توان به سادگی با محاسبه مستقیم بدست آورد ، در این محاسبه می‌توان قسمتی از تحریر را که بین نقطه موردنظر و  $b$  قرار دارد در نظر گرفت .

## مثال ۳ - ۲ :



$$\begin{aligned} \Sigma M_b &= 0, \uparrow \\ 30 \times 2 &= 60 \\ 30 \times 8 &= 240 \\ 40 \times 14 &= 560 \\ 40 \times 18 &= 720 \\ 40 \times 22 &= 880 \\ 40 \times 26 &= 1,040 \\ \hline 220 & 3,500 \\ \therefore R_{ay} &= \underline{\underline{109.37}} \uparrow \end{aligned}$$

$$\begin{aligned} \Sigma M_a &= 0, \uparrow \\ 30 \times 30 &= 900 \\ 30 \times 24 &= 720 \\ 40 \times 18 &= 720 \\ 40 \times 14 &= 560 \\ 40 \times 10 &= 400 \\ 40 \times 6 &= 240 \\ \hline 3,540 & \\ \therefore R_{bx} &= \underline{\underline{110.63}} \uparrow \end{aligned}$$

$$\Sigma F_x = 0, \uparrow, 109.37 + 110.63 - 220 = 0$$

∴ O.K.

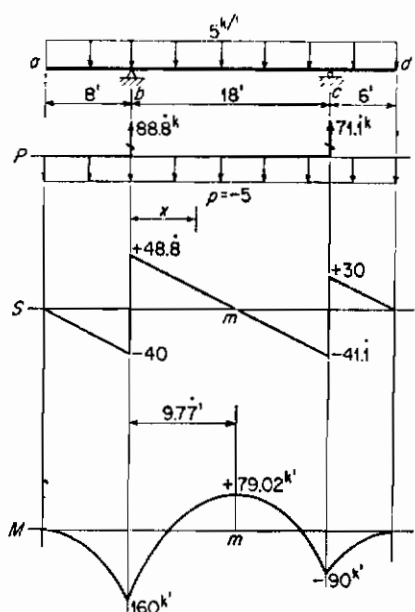
$$\begin{aligned} S &= 109.4 \times 6 = \frac{656.4}{656.4} = M_0 \\ -40 & \\ S &= \frac{69.4 \times 4}{-40} = \frac{+277.6}{934.0} = M_{10} \\ -40 & \\ S &= \frac{29.4 \times 4}{-40} = \frac{+117.6}{1,051.6} = M_{14} \\ -40 & \\ S &= \frac{-10.6 \times 4}{-40} = \frac{-42.4}{1,009.2} = M_{18} \\ -40 & \\ S &= \frac{-50.6 \times 6}{-30} = \frac{-303.6}{705.6} = M_{24} \\ -30 & \\ S &= \frac{-80.6 \times 6}{-30} = \frac{-483.6}{222.0} = M_{30} \\ -30 & \\ S &= \frac{-110.6 \times 2}{0} = \frac{-221.2}{0} = M_{34} \\ +110.6 & \\ \hline 0 & 0 \\ \therefore O.K. & \therefore O.K. \end{aligned}$$

دقت :  $M_{max}$  در نقطه‌ای است که برش آن صفر باشد (به فاصله ۱۴.۵ از ۰)

: بحث :

برای محاسبه عرض نموداربرس و لنگر خمشی در دستگاه بارهای متغیر بیشتر است که محاسبات را به صورت بالا نظم دهیم. عرضها را به ترتیب از طرف چپ به راست توسط اصول ۵ و عکس در اوخر بخش (۲-۳) ذکر شده است محاسبه کرد. همین برای این که اطمینان پایابیم که هر دو نمودار به مقدار صفر خود در نقطه ۰ باز می‌گردند و ارسی لازم به عمل آمده است.

مثال ۳ - ۳



$$\begin{aligned}\Sigma M_c &= 0, \uparrow \\ (R_{bv})(18) - (32)(5)(10) &= 0 \\ \therefore R_{bv} &= 88.8 \text{ kN} \uparrow\end{aligned}$$

$$\begin{aligned}\Sigma M_b &= 0, \uparrow \\ -(R_{cv})(18) + (32)(5)(8) &= 0 \\ \therefore R_{cv} &= 71.1 \text{ kN} \uparrow\end{aligned}$$

$$\begin{aligned}\Sigma F_y &= 0, \uparrow +, 88.8 + 71.1 - 160 = 0 \\ \therefore O.K. &\end{aligned}$$

$$\begin{aligned}M_b &= -(5)(8)(4) = -160 \text{ kNm} \\ M_c &= -(5)(6)(3) = -90 \text{ kNm}\end{aligned}$$

بین b و c

اگر

$$S = 48.8 - 5x$$

$$S = 0 = 48.8 - 5x \therefore x = 9.7'$$

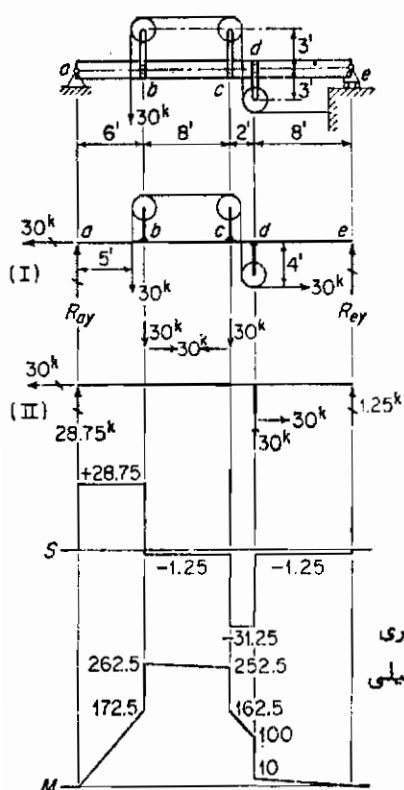
$$\therefore M_{max} - M_b = \frac{(48.8)(9.7)}{2}$$

$$\begin{aligned}M_{max} &= M_b + 239.02 \\ &= -160 + 239.02 \\ &= +79.02 \text{ kNm}\end{aligned}$$

: بحث :

توجه کنید که مقدار عرض حد اکثر نمودار لنگر خمشی بین b و c را بمسادگی می‌توان با جمع جهri سطح زیر نموداربرشی بین b و c عرض  $M_b$  بدست آورد، در این مثال این عمل بمسادگی ممکن است زیر سطح زیر نمودار برش یک مثبت است.

مثال ۳ - ۵



$$(5)(30) - (4)(30) = (R_{xy})(24) = 0$$

$\therefore R_{xy} = 1.25^k$

$$(R_{ay})(24) - (30)(19) - (30)(4) = 0 \\ \therefore R_{ay} = 28.75k$$

$$\Sigma F_y = 0, \uparrow +, 28.75 + 1.25 - 30 = 0 \\ \therefore O.K.$$

لنگرهای خمثی

### در ۶ (درست در طرف چپ آن)

$$M_{b_L} = +(28.75)(\theta) = +172.5^k$$

### در ۶ (درست در طرف راست آن)

$$M_{\delta_R} = (28.75)(6) + (30)(3) = +262.5^{\text{k}}$$

### ۲- درست در طف حب آن

$$M_{el} = 262.5 - (1.25)(8) = +254.5^k$$

در ۰ (درست در طرف راست آن)

جزئی از تیر را بین دو مقطع یکی درست طرف چپ و دیگری درست طرف راست نقطه  $\odot$  جدا کنید. این جزء طولی دیفرانسیلی به عبارت، پراپر با  $\frac{1}{4}$  خواهد داشت.

$$\Sigma M_{e_R} = 0, \quad +252.5 - (30)(\beta) - (1.25)(0+) = M_+ = 0$$

$$M_{ez} = 252.5 - 90 - 0 = +162.5^k$$

در ۴) (درست در طرف چپ آن)

$$M_{d_L} = (1.25)(8) + (30)(3) = +100\text{k'}$$

در  $d$  (درست در طرف راست آن)

$$M_{d_R} = (1.25)(3) = +10^{k\prime}$$

بحث

مطابق آنچه در فصل ۲ ارائه شد محاسبه عکسالعملهای چنین سازه‌ای را می‌توان بدون تعمین نیروهای جداگانه‌ای که هر قرقره بهتیر وارد می‌کند محاسبه نمود ولی برای رسم نمودارهای برش لنتگر خشی و سخابات مربوط به منتهی‌های داخلی در تیرها در هر صورت لازم خواهد بود که جزء بارهای واردہ توسط قرقره‌ها محاسبه شود، عکسالعملهای را از نمودار  $I$  می‌توان محاسبه نمود و پس از تعمین بارهای واردہ از طرف قرقره‌ها، نمودار  $II$  را برای نشان دادن دقیق بارگذاری سازه مرتباً رسم کرد.

بهطوری که در قسمت آخر بخش (۳-۷) توضیح دادیم درجه‌نین مسائلی رسم منحنی بار عاقله نیست، بهجای نمودار بار دراینجا پیکر آزاد تیر مانند نمودار II رسم شده است، حال داشتجوان می‌توانند با استفاده از تعاریف اساسی و روش‌هایی که با استفاده از تجربه از حل مسائل ساده‌ای نظری مثالهای (۱-۳) تا (۳-۴) بعدست آورده‌اند به رسم نمودارهای برش و لنگر خمشی پیروزی دارند، کلیه محاسبات فوق بدون اشکال قابل فهم است.

مثال ۲ - ۶

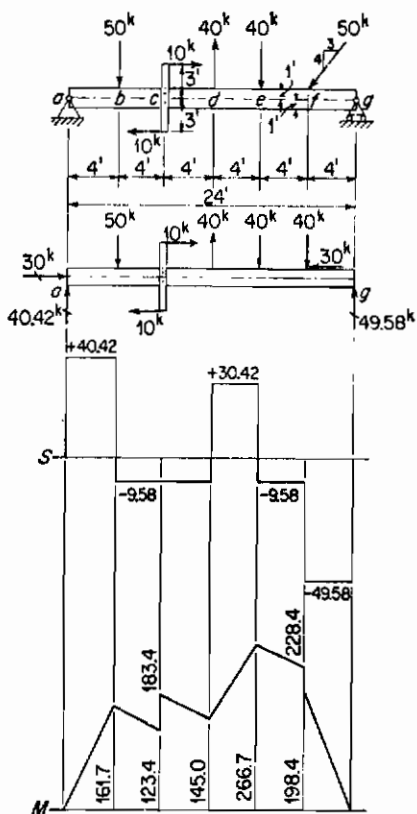
لنگر خوش:

$$\begin{aligned}
 \Sigma M_a &= 0, \uparrow + \\
 (50)(4) &+ (10)(6) - (40)(12) \\
 + (40)(16) &+ (40)(20) - (30)(1) \\
 - (R_{ay})(24) &= 0 \\
 200 + 60 - 480 + 640 + 800 - 30 &= 24R_{ay} \\
 \therefore R_{ay} &= \underline{\underline{49.58}} \text{ kN} \\
 \Sigma M_g &= 0, \uparrow + \\
 (R_{ay})(24) &- (50)(20) + (10)(6) \\
 + (40)(12) &- (40)(8) - (40)(4) \\
 - (30)(1) &= 0 \\
 24R_{ay} &= 1,000 - 60 - 480 + 320 \\
 &\quad + 160 + 30 \\
 \therefore R_{ay} &= \underline{\underline{40.42}} \text{ kN} \\
 \Sigma F_x &= 0, \uparrow +, \\
 40.42 + 49.58 - 50 + 40 - 40 - 40 &= 0 \quad \therefore O.K. \\
 \end{aligned}$$

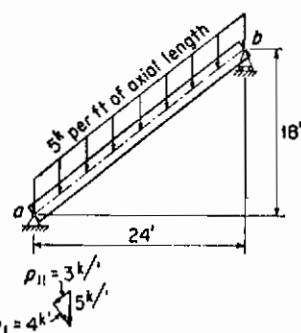
بحث

این مثال نظریه مثال (۳-۵) است به این جهت همان توضیحات برای این مثال نیز صادراست.

به علاوه باید بادآوری کرد که گاهی بارهای شبکه دار به لایه فوقانی یا تحتانی تیر مانند بار 50-kip که بعنجهه اثر می‌کند وارد می‌شوند در چنین حالاتی واضح است که مولفه افقی چنان بارهای لنگری که سبب تغییری ناگهانی در عرض نمودار لنگر خمشی ایجاد می‌کند وارد می‌نمایند.

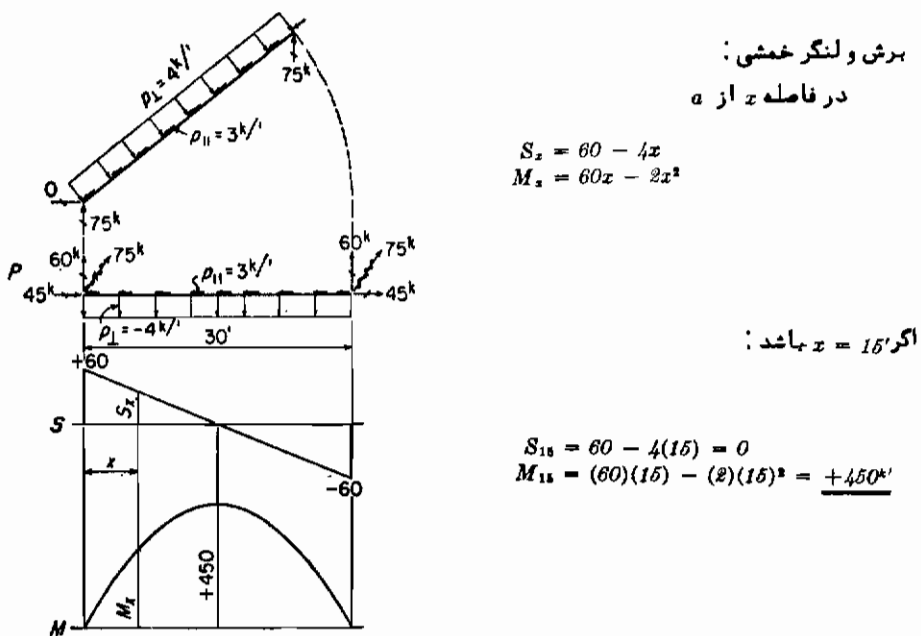


= ۳-۷



$$\begin{aligned} \Sigma M_a &= 0, \quad \text{at } a \\ (5)(30)(12) - (R_{bv})(24) &= 0 \\ \therefore R_{bv} &= 75 \text{ k} \end{aligned}$$

$$\begin{aligned} \Sigma M_b &= 0, \quad \text{at } b \\ -(5)(30)(12) + (R_{av})(24) &= 0 \\ \therefore R_{av} &= 75 \text{ k} \end{aligned}$$



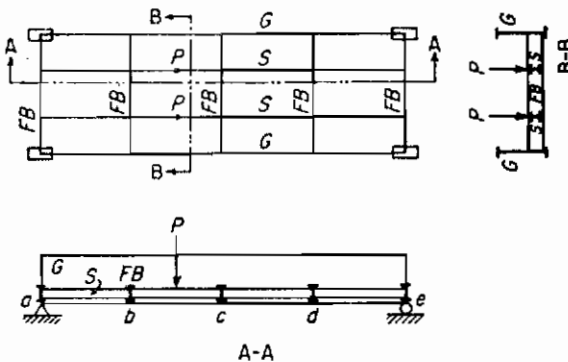
بحث :

هرگاه به تیری شبکه دار باری کسترد، پکتواخت به طور عمودی بر واحد محور طولی مانند وزن خود تیر اثر کند شدت بار واردۀ را می‌توان بعد و مولفه عمود و موازی محور تیر تجزیه نمود. اگر بار واردۀ بر محور تیر اثر کند فقط مولفه عمود بر محور تیر ایجاد برش و لنگر خمشی می‌نماید مولفه موازی با محور فقط ایجاد تیروی محوری می‌کند، حال اگر مکعبات هارانیز بعد و مولفه موازی و عمود بر محور (تیر) تجزیه کنیم رسم نمودارهای برش و لنگر خمشی را می‌توان به روش متعارف به سادگی انجام داد. این نمودارها را می‌توان نسبت به محوری که به موازات قطعه است و یا با در نظر گرفتن سادگی کار به طریقی که در فوق شرح داده شده است رسم نمود. منحنی بار را به دلیل ایجاد سهولت عملیات می‌توان در چنین ساقلهای به کار برد.

### ۳- ۹ مثالهای عددی - شاهتیر با تیرریزی گف

در کلیه مثالهای قبل بارها مستقیماً به خود تیر وارد می‌شوند، در صورتی که اغلب اوقات بارهای واردۀ به شکل غیرمستقیم از طریق تیرریزی گف توسط شاهتیرها تحمل می‌شوند، نمونه‌ای از چنین کار اجرایی در شکل (۲-۱) و همچنین در شکل (۲-۶) نشان داده شده است، در یک چنین سازه‌ای بارهای واردۀ م ابتدا به تیرهای طولی اثر می‌کنند که به نوبه خود این قطعات توسط قطعات

عرضی بر تیرهای کف  $M_H$  تحمل می‌شوند، تیرهای کف نیز بنوبه خود توسط شاهتیرها تحمل می‌کردند. اگر بارها چه به صورت بار گسترده یکنواخت و چه به صورت دستگاه بار متراکز بعتیرهای طولی اثر نکند در هر صورت اثر آنها بر شاهتیرها به صورت بارهای متراکزی که در نقاط  $a$ ،  $b$ ،  $c$  و غیره از طریق تیرهای کف اثر می‌کند ظاهر می‌شوند.



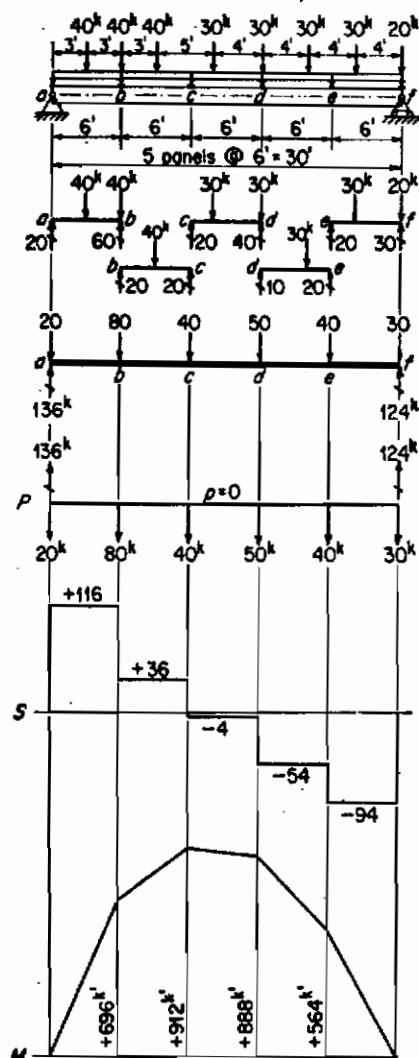
شکل ۳-۶ ملحقات شاهتیرها

برای رسم منحنیهای برش و لنگرخمشی شاهتیرهایی که بعاین طریق بارگذاری شده‌اند به مثال (۳-۸) توجه کنید. برای سادگی بیشتر فرض می‌شود که بارهای واردہ بر تیرهای طولی بمطربی که نشان داده شده است بر بال فوچانی شاهتیرها تکیه کنند و فرض می‌شود که تیرهای طولی و شاهتیرها در یک صفحه واقع شده باشند هم چنین فرض می‌شود که تیرهای طولی مانند تیرهای ساده در یک انتهای منتهی به تکیه‌گاه مفصلی و در انتهای دیگر به یک تکیه‌گاه غلتکدار خاتمه یابد. در وهله اول لازم است که عکس العملهای تیر طولی و برآسان آن نیروهای متراکز مؤثر بر شاهتیر را محاسبه کنیم از این به بعد رسم نمودارهای برش و لنگرخمشی شاهتیر مانند هر تیر دیگری که توسط دستگاه بارهای متراکز بارگذاری شده باشد انجام خواهد گرفت.

دانشجویان باید در مرور این سازه‌ها به سوالات زیر فکر کنند. فرق بین نمودارهای برش و لنگرخمشی در دو حالت با و بدون تیرهای طولی چیست؟ آیا تشابه قابل توجهی در این مقایسه وجود دارد؟ اگر باری گسترده یکنواخت بمسازه اثر کند نمودارهای برش و لنگرخمشی در مقایسه در حالات با و بدون تیر طولی چگونه خواهد بود؟ اگر تیرهای طولی به صورت تیرهای ساده بر شاهتیرها اثر نکند پاسخ به سوالات قبل فرق خواهد کرد؟ مسائل آخرین فصل در تأکید این نکات خواهد بود.

مثال ۳-۸

بررسی شاهتیر تحت اثر عکس العملهای تیر طولی.  
 $\sum M_a = 0, \quad ?$



$$(80)(1P) = 80P$$

$$(40)(2P) = 80P$$

$$(60)(3P) = 150P$$

$$(40)(4P) = 160P$$

$$(5P)(R_{f_y}) = 470P$$

$$Net R_{f_y} = \frac{94}{30} \uparrow \quad \text{مقدار خالص}$$

$$R_{f_y} = \frac{124}{124} \uparrow \quad \text{مقدار ناخالص}$$

$$\Sigma M_f = 0, \uparrow$$

$$(80)(4P) = 320P$$

$$(40)(3P) = 120P$$

$$(60)(2P) = 100P$$

$$(40)(1P) = 40P$$

$$(5P)(R_{av}) = 580P$$

$$Net R_{av} = \frac{116}{20} \uparrow \quad \text{مقدار خالص}$$

$$R_{av} = \frac{196}{196} \uparrow \quad \text{مقدار ناخالص}$$

$$\Sigma F_y = 0, \uparrow + \\ 124 + 136 - (3)(40) - (4)(30) \\ - 20 = 0$$

$$260 - 120 - 120 - 20 = 0 \therefore O.K.$$

مقدار این عکس‌العملها را می‌توان با بکاربردن

مستقیم بارهای واردہ نیز وارسی نمود.

برش و لنگر خمی در شاهتیر:

$$R_{av} = \frac{196}{-80} \quad 0 = M_a$$

$$S_{a-b} = \frac{116 \times 6}{+696} = \frac{+696}{+696} = M_b$$

$$S_{b-c} = \frac{-80}{-56} \times 6 = \frac{+216}{+912} = M_c$$

$$S_{c-d} = \frac{-40}{-4} \times 6 = \frac{-24}{+888} = M_d$$

$$S_{d-e} = \frac{-50}{-54} \times 6 = \frac{-324}{+564} = M_e$$

$$S_{e-f} = \frac{-40}{-94} \times 6 = \frac{-564}{0} = M_f$$

$$\frac{-30}{184}$$

بحث :

بما مطلاعهای عکس‌العمل "ناخالص" و "خالص" توجه شود، عکس‌العمل ناخالص مهارت ازکله بارهای است که توسط تکه‌گاه تحمل می‌شود از جمله هنر اباری که مستقیماً "منقطعه تکیه‌گاه اثرمی‌کند".

عکس العمل خالص عبارتست از عکس العمل کلیه بارها بجز باری که مستقیماً به تکیه‌گاه وارد می‌شود، توجه کنید که فقط عکس العمل خالص در محاسبات برش و لنگر خمشی وارد می‌شود.

### ۱-۰ مثالهای عددی - تیرهای نامعین

چنانکه در بحث فصل ۲ دیدیم وحال نیز پادآوری می‌کشم تحلیل تنش در سازه‌های نامعین نمتنها تأمین معادلات تعادل استاتیکی را لازم دارد بلکه به تأمین برخی از به شرایط تغییرشکل نیز نیاز دارد. حل و بررسی چنین سازه‌هایی با شرح کامل بعدها در این کتاب انجام خواهد گرفت در آن فصول خواهیم دید بعد از آن که برخی از مولفه‌های مجھول تنش (نظیر عکس العملها، برش‌ها و لنگر) توسط تأمین شرایط تغییرشکل تعیین شدند سایر مجھولات را می‌توان با تأمین معادلات تعادل استاتیکی محاسبه نمود. این بدان معنی است که قسمت پاقیمانده مساله از نظر ایستایی معین است و آن قسمت را می‌توان به توسط گفتن و روشنی که در فصلهای ۲ و ۳ برای سازه‌های معین شرح داده شد تعیین نمود.

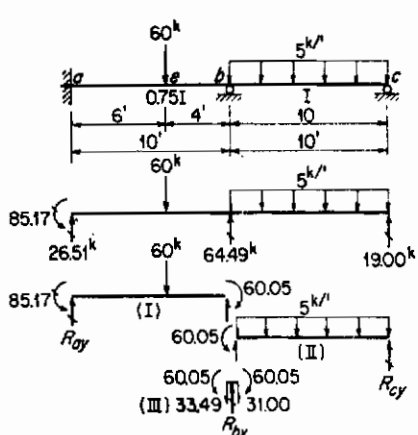
پس از آن که عکس العملهای تیرنا معین محاسبه شد، برش و لنگر خمشی را در هر مقطع مورد نظر می‌توان به همان طریقی که برای تیرهای معین گفته شد تعیین نمود، از همان اصول نیز در رسم نمودارهای برش و لنگر خمشی پیروی خواهیم کرد.

مثال ۲-۹ = تیر سرتاسری نامعین زیر نمتنها بارهای نشان داده شده را تحمل می‌کند بلکه تحت اثر نوعی جابجاگی تکیه‌گاهی نیز می‌باشد. لنگرهای خمشی زیرین با بعکار سردن روش‌های که برای تحلیل سازه‌های نامعین بعدها می‌بینیم محاسبه شده‌اند.

$$M_a = -85.17 k'$$

$$M_b = -60.05 k'$$

$$M_c = 0$$



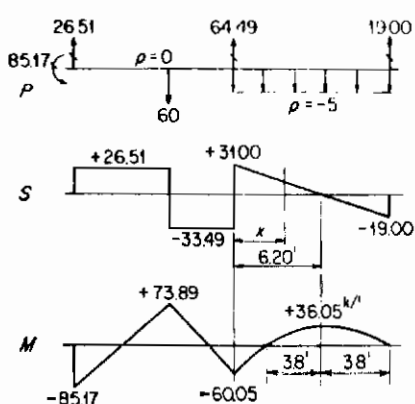
بهکار آزاد I :

$$\begin{aligned} \Sigma M_b &= 0, \uparrow, (R_{ay})(10) + 60.05 - 85.17 \\ &\quad - (60)(4) = 0 \\ \therefore R_{ay} &= \frac{26.51}{10} \uparrow \\ \therefore S_{bx} &= 26.51 - 60 = \underline{-33.49 k} \end{aligned}$$

بهکار آزاد II :

$$\begin{aligned} \Sigma M_b &= 0, \uparrow, (5)(10)(5) - 60.05 - (R_{cy})(10) = 0 \\ \therefore R_{cy} &= \frac{19.00}{10} \uparrow \\ \therefore S_{bx} &= -19.00 + 50 = \underline{+31.00 k} \end{aligned}$$

پکر آزاد III



$$\Sigma F_y = 0, R_{by} = 33.49 + 31.00 \\ = \underline{64.49 k}$$

لنگر خمشی :

$$M_s = -85.17 + (26.51)(6) \\ = \underline{+73.89 k'}$$

بین b و c لنگر حد اکثر  $M_{max}$  را تعیین می کنیم

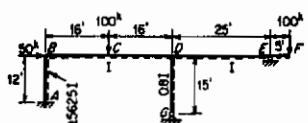
$$S_x = 31.00 - 5x$$

اگر

$$S_x = 0 = 31 - 5x, \\ \therefore x = \underline{6.20'}$$

$$M_{max} = -60.05 + (31.00) \left( \frac{6.20}{2} \right) \\ = \underline{+36.05 k'}$$

مثال ۱۵-۳



لنگرها خمشی زیرین پتوسط روش های  
تحلیل سازه های نامعین محاسبه شده است

در انتهای A از نقطه AB :  $M = -200.9$

در انتهای B از نقطه AB :  $M = -62.0$

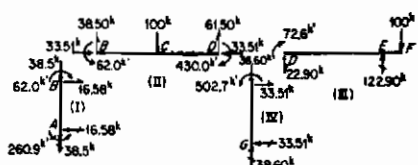
در انتهای B از قطعه BD :  $M = -62.0$

در انتهای D از قطعه BD :  $M = -490.0$

در انتهای D از قطعه DE :  $M = +72.6$

در انتهای D از قطعه DG :  $M = +602.7$

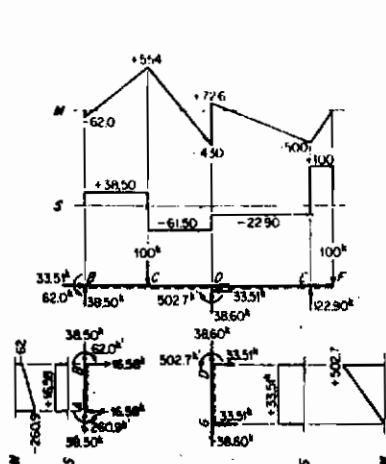
" تارهای تحتانی را در لبه قطعه انتخاب کرده و آنرا با خط منفصل نشان داده ایم لنگر خمشی (+) در تارهای تحتانی ایجاد کش می کند .



$$\Sigma M_B^{(I)} = 0, \quad 200.9$$

$\underline{62.0}$

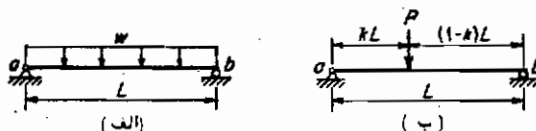
$$R_{Ax} = \frac{198.9}{12} = 16.58$$



$$\begin{array}{rcl} \Sigma M_B^{(II)} = 0, & 100 \times 16 = 1,600 \\ & \underline{\hspace{2cm}} \\ & 1,662.0 \\ & - 430.0 \\ & \underline{\hspace{2cm}} \\ & 1,232.0 \\ S_B = 38.5 & - & 32 \\ & & \underline{\hspace{2cm}} \\ \Sigma M_B^{(III)} = 0, & 100 \times 16 = 1,000 \\ & \underline{\hspace{2cm}} \\ & 430 \\ & \underline{\hspace{2cm}} \\ & 2,030 \\ & - 62 \\ & \underline{\hspace{2cm}} \\ & 1,968 \\ S_B = 61.5 & - & 32 \\ & & \underline{\hspace{2cm}} \\ \Sigma M_B^{(IV)} = 0, & 100 \times 30 = 3,000 \\ & \underline{\hspace{2cm}} \\ & 72.6 \\ & \underline{\hspace{2cm}} \\ R_{B_1} = 102.9 & - & 3,078.6 \\ & & \underline{\hspace{2cm}} \end{array}$$

۱۱-۲

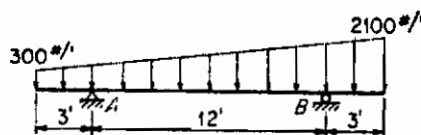
۳- ۱ نمودارهای برش و لنگرخمشی را برای بارگذاریهای شکل (۷-۳) در مورد تیری روی دو تکه گاه ساده رسم کنید.



### شكل ٢-٣ مساله (١-٣)

پیشنهاد: مقدار حد اکثر لنگر خمی در هر حالت چیست؟ اگر در قسمت ۶، مقدار ۰.۵ برابر ۰.۵ باشد مقدار حد اکثر لنگر چقدر است؟

۲- برای تبدیل شکل (۳-۸) نمودارهای پار، برش و لنگر خمی را رسم کنید.



شكل ٢-٨ مساله (٣-٣)

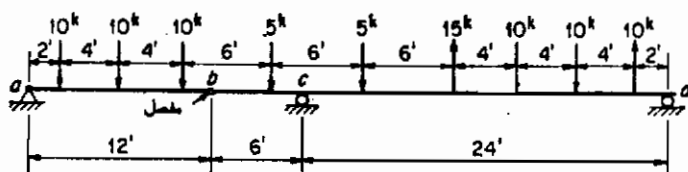
جواب :

$$\text{برش بر حسب (ا)} A = -1,350 \text{ lb-ft} \quad \text{طرف چپ} \quad A = +5,400 \text{ lb-ft} \quad \text{طرف راست} \quad B = -9,000 \text{ lb-ft} \quad \text{طرف چپ}$$

$$B = +5,850 \text{ lb-ft} \quad \text{طرف راست}$$

$$B = -9,000 \text{ lb-ft} \quad \text{و سطح } A = +10,200 \text{ lb-ft} \quad A = -1,800 \text{ lb-ft} \quad \text{لنگر بر حسب}$$

۳-۲ برای تیر شکل (۹-۳) منحنی های برش و لنگر خمی را رسم کنید.



شکل ۹-۳ ماله (۳-۳)

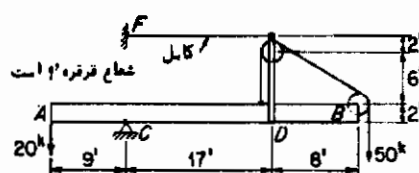
جواب :

$$\text{برش بر حسب (ب)} d = +5.417 \text{ lb-ft} \quad \text{طرف راست} \quad c = +5.417 \text{ lb-ft} \quad b = -15 \text{ ft} \quad a = +15 \text{ kips}$$

$$\text{لنگر بر حسب (ب)} c = -75.83 \text{ ft} \quad b = -100 \text{ ft} \quad a = +50 \text{ kip-ft} \quad \text{و سطح } b = 9 \text{ ft} \quad \text{طرف راست}$$

۳-۴ نودارهای برش و لنگر خمی را برای تیرها نشان داده شده در مسائل (۲-۲) و (۲-۶) رسم کنید.

۳-۵ منحنی های برش و لنگر خمی را برای تیر AB از شکل (۱۰-۳) رسم کنید.



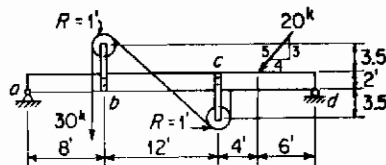
شکل ۱۰-۳ ماله (۳-۵)

جواب :

$$B = +20.0 \text{ kips} \quad \text{طرف راست} \quad C = +50.0 \text{ kips} \quad \text{طرف چپ} \quad D = +100.0 \text{ kips}$$

$$B = +40 \text{ lb-ft} \quad D = +808 \text{ lb-ft} \quad C = -180 \text{ lb-ft} \quad \text{و سطح } D = -120 \text{ lb-ft}$$

۳-۶ نمودارهای برش و لنگر خمشی را برای تیر شکل (۱۱-۳) رسم کنید.

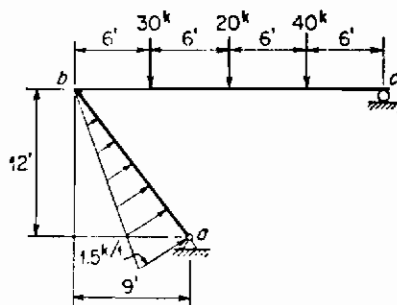


شکل ۱۱-۳ مساله (۶-۳)

جواب :

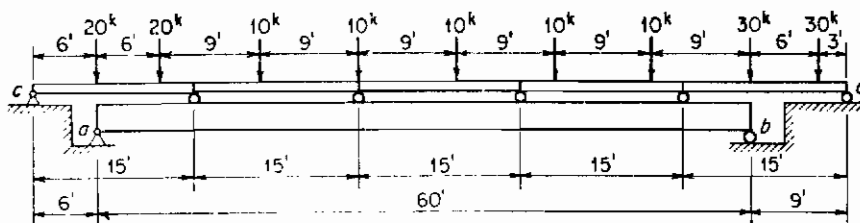
برش بر حسب  $c = +26.46$  : kips (طرف راست)  $b = -24.57$ ;  $a = +26.46$  : kips (طرف راست)  
 $c = -2.87$ ,  $+93.40$   $b = +195.73$ ,  $+201.97$   $a = -16.0$  : kip-ft  $d = -15.53$   
 ۲-۷ نمودارهای برش و لنگر خمشی را برای تیر ab از مساله (۲-۲ د) و برای تیرهای cd و ab مساله (۲-۲ ه) حل کنید.

۳-۸ برای قطعات ab و cd سازه شکل (۱۲-۳) نمودارهای برش و لنگر خمشی را رسم کنید.



شکل ۱۲-۳ مساله (۸-۳)

۳-۹ برای شاهتیر ab از شکل (۱۳-۳) نمودارهای برش و لنگر خمشی را رسم کنید.

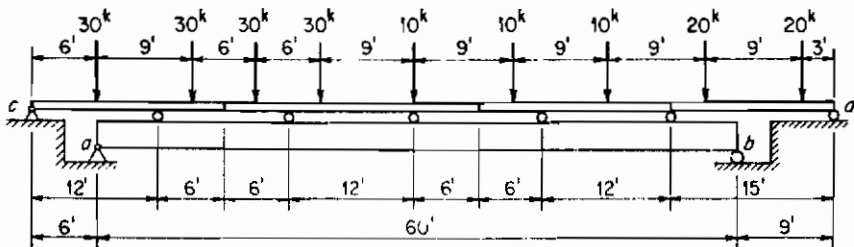


شکل ۱۳-۳ مساله (۹-۳)

جواب :

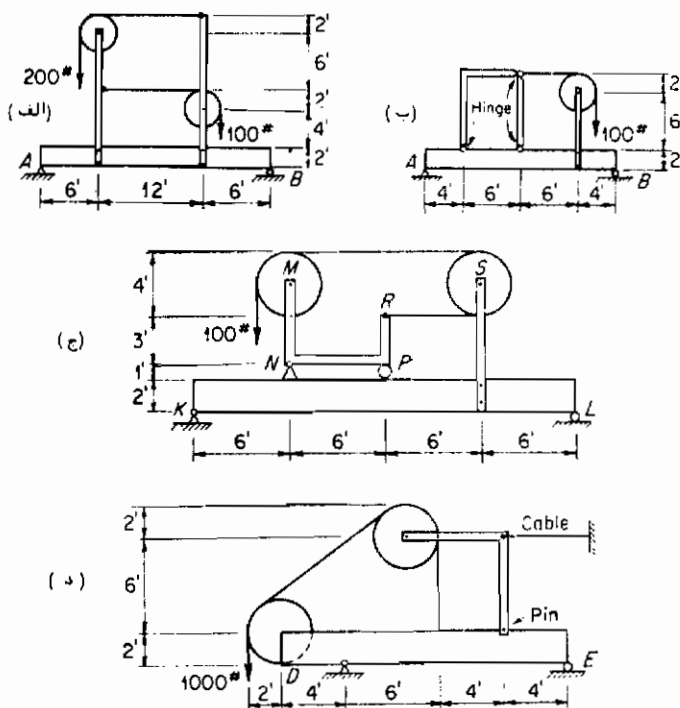
برش برحسب فوت طرف راست ( ۲۰ )  $b = -18.7$  kips  
 $a = +45.3$  kips  
 لنگر برحسب فوت طرف راست ( ۹ )  $a = +407.7$  kip-ft  
 $b = -52.7$   
 ( ۲۴ ) فوت طرف راست ( ۹ )  $b = 316.2$

۱۰- برای شاهتیر ab شکل ( ۱۴-۳ ) منحنیهای برش و لنگر خمثی را رسم کنید .



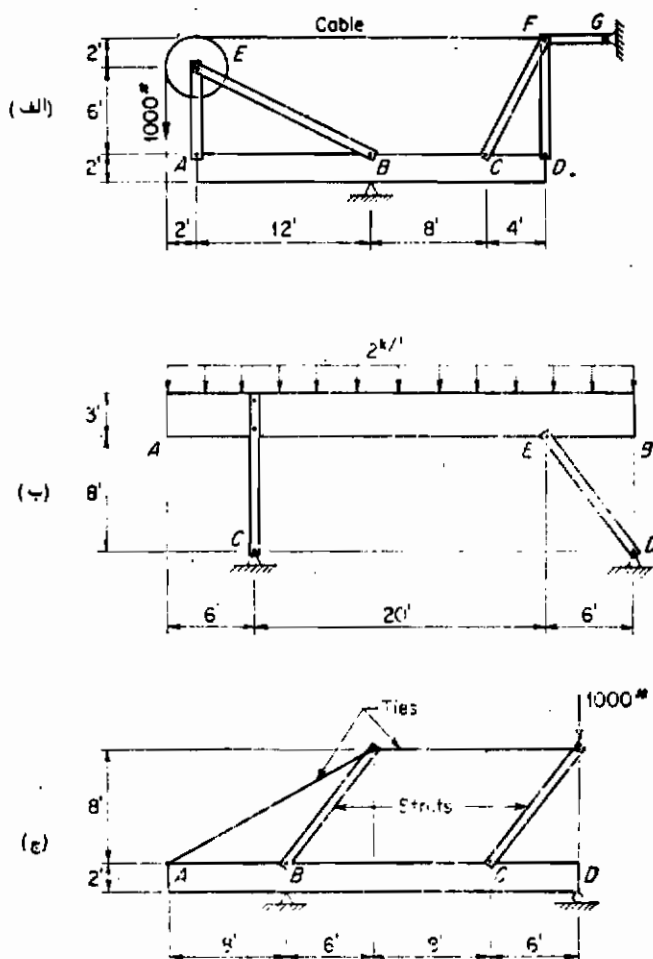
شکل ۱۴-۳ مساله ( ۱۰ )

۱۱- برای تیرهای نشان داده شده در شکل ( ۱۵-۳ ) نمودارهای برش و لنگر خمثی را رسم کنید .



شکل ۱۵-۳ مساله ( ۱۱ )

۱۲-۳ برای تیرهای شکل (۱۲-۳) نمودارهای برش و لنگر خمشی را رسم کنید.



شکل ۱۲-۳ مساله (۱۲-۳)

## ۴

### خرپاها یا شبکه‌های مستوی

#### ۴ - گلیات - تعاریف

درین فصل نظریه کلی تحلیل تنش خرپاها را مورد بحث قرار می‌دهیم ، در این بحث از وضع قرارگیری اعضای یک خرپا به منظور ایجاد سازه‌ای پایدار نیز صحبت خواهد شد . در یکی از فصول بعدی از تحلیل تنش در برخی از انواع خرپاهای مهم پلها و پوشش سقفها تحت اثر شرایط بارهای محاسباتی با جزئیات لازم بحث خواهد شد .

خرپا یا شبکه مستوی سازه‌ای است که از تعدادی میله که همگی در یک صفحه واقع شده و به یکدیگر در دو انتهای خود توسط مفصل متصل گشته و به‌این صورت تشکیل تیری مشبک و صلب را داده‌اند تشکیل شده است . در گلیه بحثی که در این فصل آمده است فرض شده که شرایط زیر موجود باشد : (۱) اعضای خرپا در انتهای خود به یکدیگر توسط مفصلی که بدون اصطکاک می‌باشد متصل شده‌اند (۲) بارها و عکس‌العملهای مؤثر بر خرپا فقط در گرمهاوارد می‌شوند (۳) محور مار بر مراکز ثقل هر عضو خرپا خطی است مستقیم که بر خطی که مراکز گره‌های دوسر عضوراً بهم متصل می‌سازد منطبق شده است . این خط همچنین در صفحه‌ای که خطوط اثر گلیه بارها و عکس‌العملهای را در بر دارد واقع شده است . بدیهی است در یک خرپای واقعی " عمل " تأمین گلیه این شرایط غیر ممکن است و به‌این جهت است خرپائی را که در مورد آن شرایط فوق فرض شده باشد خرپای ایده‌آل گویند .

هر عضو یک خرپای ایده‌آل را می‌توان با جداستودن آن از دو گره انتهاییش به صورت آزاد مورد بررسی قرارداد ، از آنجایی که گلیه نیروهای خارجی و عکس‌العملهای فقط به گره‌های خرپا وارد می‌شوند و هیچ باری بین دو انتهای اعضاء خرپا به‌آنها اثر نمی‌کند ، عضو آزاد شده فقط تحت اثر دو نیرو در دو انتهایش قرار خواهد داشت که هریک ازین نیروها بیانگر عمل گره انتهایی عضو می‌باشد و از آنجایی که گلیه محورهای مرکزی مفصل گره‌ها را بدون اصطکاک فرض کرده‌ایم لذا گلیه این نیروها باید دقیقاً از مرکز محور مفصل گره بگذرند . برای این که

این دونیرو سه شرط تعادل استاتیکی عضو  $\Delta F_z = 0$  ،  $\Delta F_y = 0$  و  $\Sigma M = 0$  را تأمین نمایند واضح است که این دونیرو باید هم راستای خط اتصال مراکز گره‌های دو انتهای میله بوده و از نظر عددی برابر ولی از حیث جهت در خلاف هم باشند . چون محورهای مار بر مراکز قلل اعضای یک خرپای ایده‌آل مستقیم بوده و بر خطوط اتصال گره‌های دو انتهای اعضاء منطبق است لذا کلیه مقاطع اعضاء تحت اثر نیروی محوری بوده ولی هیچ برش و لنگر خمشی تحمل نخواهند کرد . وقتی که نیروی محوری کلیه اعضای یک خرپا محاسبه شده باشد قسمت اساسی تحلیل تنش یک خرپای ایده‌آل به اتمام رسیده است زیرا شدت تنش در مقاطع اعضاء را می‌توان پس از آن به راحتی محاسبه نمود .

نوعی از سازه‌های سه بعدی را که توسط تعدادی میله با اتصال مفصلی به یکدیگر وصل شده باشند به نوعی که جسم مشبک صلب را تشکیل داده باشد شبکه‌های فضایی گویند . چنین سازه‌هایی را با جزئیات لازم در فصل ۹ شرح خواهیم داد .

خرپاهای مستوی و فضایی سازه‌هایی هستند که مخصوص تحمل بار در گره‌های خود می‌باشند . نتیجه اثر بارها به گره‌ها این است که اساساً "اعضای این شبکه‌ها نیروی محوری تحمل می‌نمایند و به مقدار بسیار کم یا هیچ تحت اثر برش و خمش قرار دارند ، اگر بارهای عرضی بین گره‌ها به اعضاء آنها وارد شوند یکی از ملزمات عملکرد خرپاها نقض می‌گردد و برش و خمش عده‌ای به وجود می‌آید . اگر گره‌ها اساساً مفصلهای بدون اصطکاک باشند (توسط مفصل با محور یا گوی بدون اصطکاک) اثرات خمشی محدود به اعضاء تحت اثر بار بین گره‌ها می‌شود (مسئله ۴-۶ چنین حالتی را شرح می‌دهد) ولی اگر گره‌ها صلب باشند سازه به مانند یک قاب عمل خواهد کرد (بهبخش ۱۳-۴ مراجعه شود) . در چنین حالتی اثرات خمشی ناشی از بارگذاری عرضی اعضاء از طریق گره‌ها به سایر اعضاء منتقل شده و در کلیه اعضاء سازه امکان بوجود آمدن برش و لنگر قابل ملاحظه وجود خواهد داشت . روش‌های حل و بررسی قابهای صلب نامعین در فصول ۱۱ و ۱۲ مورد بحث قرار خواهد گرفت .

## ۲ - ۴ خرپاهای موجود و ایده‌آل

گرچه وجود خرپای ایده‌آل یک فرض است و از نظر فیزیکی چنین خرپایی نمی‌تواند وجود خارجی داشته باشد ولی تحلیل تنش یک خرپای واقعی که بر اساس فرض به صورت خرپایی ایده‌آل انجام می‌گیرد عموماً "پاسخ قابل قبولی برای مقادیر نیروهای محوری در اعضای یک خرپای واقعی به دست می‌دهد . نیروهای محوری در اعضای میله‌های یک خرپا را نیروی میله و شدت تنش ناشی از نیروی میله را که بر اساس فرض خرپا به عنوان یک خرپای ایده‌آل به دست

می‌آید شدت تنش اولیه گویند.

مفصلهای یک خریای مفصلی هیچگاه بدون اصطکاک نیست و علاوه بر آن در خریاهای جدید که با اتصال برج و جوش ساخته می‌شوند امکان تغییر در زوایهای بین اعضای آن وجود ندارد (به سه پاراگراف اولیه بخش ۱۳-۴) با قابلیت صلب مراجعه شود (لذاحتی اگر بارهای خارجی به مرکز گرهها وارد شوند، عمل گره در انتهای یک عضو مجموعه‌ای از نیروی محوری نیروی عرضی و لنگر خواهد شد و بنابراین مقطع یک عضو تحت اثر نیروی محوری، نیروی برشی و لنگر خمش قرار خواهد گرفت و علاوه بر آن وزن مرده اعضاً خواهد شد. اگر طرح اتصالات کاملاً "صحیح باشد به نوعی که محورهای اصلی (محور مار بر مراکز نقل عضو) اعضاً بر خط اتصال بین مراکز گرهها منطبق گردد لنگر خمشی ناشی از خروج از مرکز ممکن از این نوع، را می‌توان تا حد زیادی حذف و پا به مداخل رساند.

اگر از هریک از شرایطی که برای خریای ایده‌آل لازم است دورشونم نه تنها در اعضای خریای موجود خمش ایجاد می‌شود بلکه ایجاد نیروی میله‌ای متفاوت از آنچه برای خریای ایده‌آل بددست می‌آید نیز می‌نماید. تفاوت بین شدت تنش در اعضاً یک خریای واقعی با شدت تنش اولیه که برای خریای متناظر ایده‌آل آن بددست می‌آید شدت تنش ثانویه گویند. می‌توان نشان داد که در حالت خریای متعارف که در آن اتصالات به نوعی است که محورهای اصلی اعضاً از مراکز گرهها می‌گذرد و اعضاً آن نسبتۀ<sup>\*</sup> "لاغر می‌باشند شدت تنش ثانویه در یک چنین خریایی نسبت به شدت تنش اولیه کوچک است. به این جهت برای مقاصد طرح عملی خریاهای تعیین شدت تنش اولیه آنها که با فرض ایده‌آل بودن آنها بددست می‌آید معمولاً" رضایت بخش می‌باشد\*.

در مباحثت بعدی لفظ خریا را به شبکه‌هایی اطلاق خواهیم گرد که مانند خریا را گرههای مفصلی ایده‌آل باشند و یا این که عملکرد آنها را بتوان مانند یک خریای ایده‌آل فرض نمود.

### ۳ - ۴ ترتیب اعضاً یک خریا

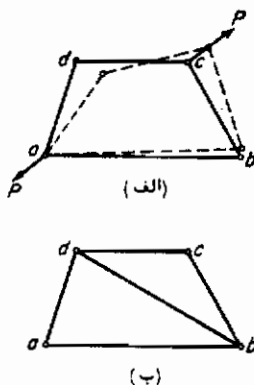
در بخش (۱-۴) بیان شد که اعضاً یک خریا باید به نحوی به یکدیگر مفصل شوند که

\* به فصل ۹ کتاب زیر مراجعه شود:

J. I. Parcel and R. B. B. Moorman "تحلیل سازه‌های نامعین"

تشکیل یک شبکه صلب را بدهد، لفظ صلب که در اینجا به کار می‌رود همان معنای به کار رفته در بخش (۳-۲) را دارد و در بین معنی که یک شبکه را زمانی صلب گویند که علاوه بر تغییر شکل گوچگ ارتقای اعضا آن شبکه، هیچ نوع حرکت نسی بین اجزا آن نباشد. با این هدف می‌توان به طرق مختلف با آرایش اعضاء یک شبکه صلب ایجاد نمود، پس از آنکه به طریقی معین به میله‌های خربها آرایش موردنظر را دادیم می‌توان کل خربها را بعنوان روی تکیه‌گاه قرارداد و برای تحمل بارها مانند تیرها از آن استفاده نمود.

فرش کنید که بخواهیم ب نقاط  $a$ ،  $b$ ،  $c$ ،  $d$  و  $e$  یک خربها با گرهای مفصلی بسازیم، اگر مانند شکل (۱-۴ الف) توسط چهار میله که دو بدو بهم مفصل شده‌اند شبکه‌ای بسازیم، چنین شبکه‌ای صلب نخواهد بود و تحت اثر باری نظیر در چنانکه دیده می‌شود متلاشی شده و تا زمانی که گرهای  $a$ ،  $c$  و  $d$  روی یک خط راست قرار گیرند تغییر شکل ادامه خواهد یافت.

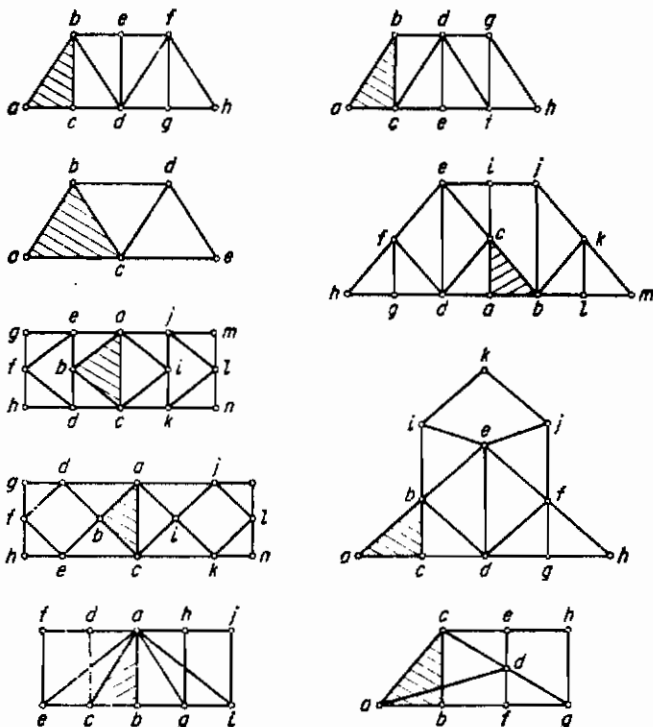


شکل ۱-۴ تیر مشک

پس از کمی تفکر در می‌بایبیم که کلیه روش‌های این چنینی که چهار یا بیشتر از چهار میله را توسط تعداد مشابهی مفصلی در انتهای آنها بهم وصل کند منتهی به شبکه‌ای می‌شود که بجز در مورد چند حالت انگشت شمار و استثنایی بارگذاری، تحت سایر بارگذاریها از هم متلاشی می‌گردد، ولی اگر ابتدا نقاط  $a$  و  $b$  را توسط میله  $ab$  بهم متصل کنیم و سه میله دیگر بخطولهای  $ad$  و  $bd$  بترتیب در  $a$  و  $b$  مفصل کنیم و سیم نقطه انتهایی  $d$  این میله‌رنقه  $d$  بهم مفصل شوند با اتصال نقاط  $a$ ،  $b$  و  $d$  یک مثلث صلب بدست آورده‌ایم پس از آن میله‌هایی بخطول  $dc$  و  $bc$  را می‌توان بترتیب به مفصلهای  $b$  و  $d$  متصل نمود و سیم انتهایی  $c$  این میله‌ها را می‌توان بهم منطبق کرد، و در نقطه  $c$  بهیکدیگر مفصل کرد. بعاین ترتیب گره  $c$  به صورت صلب بدمثلث  $abd$  متصل می‌شود لذا شبکه‌ای صلب با پنج میله و نقاط  $a$ ،

$c$  و  $d$  بددست می‌آید. با ترتیبی دیگر نقطه  $c$  را می‌توان به‌گره‌های « $a$ » و  $b$  توسط میله‌های  $ac$  و  $bc$  یا به‌گره‌های « $a$ » و  $b$  توسط میله‌های  $ab$  و  $bc$  متصل نمود. به همین ترتیب برای تشکیل مثلث اولیه می‌توان نقاط  $a$ ،  $c$ ،  $b$ ،  $a$  و یا  $c$ ،  $b$ ،  $a$  و یا  $c$ ،  $b$  را بهم متصل نمود. با هریک از این ترتیبها می‌توان شبکه‌ای صلب درست کرد که تا زمانی که اعضای آن کمانه نکنند و یا کرنشی بیشتر از نقطهٔ تسلیم صالح آن نداشته باشند هر نوع دستگاه بارگذاری وارد برگرهای را تحمل نمایند.

به همین ترتیب به مردمداری که گره‌های مفصلی جهت ایجاد شبکه‌ای صلب بخواهیم می‌توانیم با اتصال میله‌ها بوجود آوریم، شروع عمل با انتخاب سه نقطه که روی یک خط مستقیم واقع نشده باشند انجام می‌گیرد و سپس باید این نقاط را توسط سه میله جهت ایجاد یک مثلث بهم وصل نموده بعد هرگره دیگری را می‌توان به‌نوبهٔ خود با به‌کاربردن دو میله با اتصال به‌هندو گره مناسبی که قبلاً ایجاد شده است بوجود آورد. بدینهی است که هیچ گره جدید نباشد با دو گرهی که به‌آنها متصل می‌شود در یک راستا باشد و کلیه خریاهاشی شکل (۲-۴) به همین طریق یعنی ابتدا با ایجاد مثلث صلب  $abc$  و سپس با به‌کاربردن دو میله برای ایجاد گره



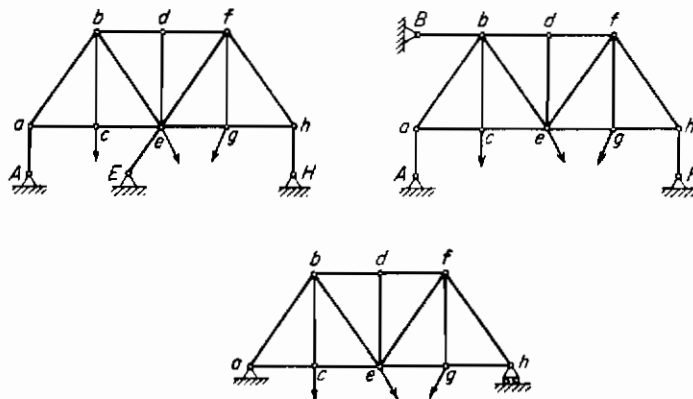
شکل ۲-۴ خریاهای ساده

جدید با ترتیب الفباء ایجاد شده است.

کلیه خرپاهای را که میله‌های آنها به‌این ترتیب آرایش پیدا می‌کنند خرپاهای ساده گویند زیرا این طریق ساده‌ترین و معمول‌ترین نوع آرایش میله‌ها می‌باشد.

در کلیه نمایش خرپاهای نظیر آنچه در شکل (۲-۴) می‌بینیم، اعضا خرپا را با یک خط و گره‌های مفصلی آنها با یک دایره کوچک نشان داده شده است. گاهی ممکن است میله‌هایی یکدیگر را قطع کنند (از زیر یا روی یکدیگر بگذرند) ولی آرایش آنها به‌نوعی باشد که در نقطه تلاقی آنها گرهی وجود نداشته باشد.

پس از آن که اعضاء خرپایی برای ایجاد خرپایی ساده شکل گرفت کل شبکه را می‌توان درست مانند یک تیر روی تکیه‌گاه قرارداد. برای این که به شرایط یک خرپای ایده‌آل نزدیک بمانیم تکیه‌گاهها باید به‌نوعی طرح شوند که عکس‌العملهای خرپا اشکنند. با به‌یاد آوردن بحثی که در بخش (۵-۲) کردۀ‌ایم واضح است که اگر تکیه‌گاه‌های خرپا به‌نوعی باشد که از سمت تکیه‌گاه بندداری که نه با یکدیگر موازی بوده و نه یکدیگر را در نقطه مشترکی قطع کنند تشکیل شوند سازه پایدار بوده و عکس‌العملهای آن را می‌توان تحت اثر حالت کلی بارگذاری به‌کمک معادلات تعادل محاسبه نمود. حالاتی از تکیه‌گاه‌های پایدار و معین خرپاهای ساده را در شکل (۳-۴) نشان داده‌ایم.



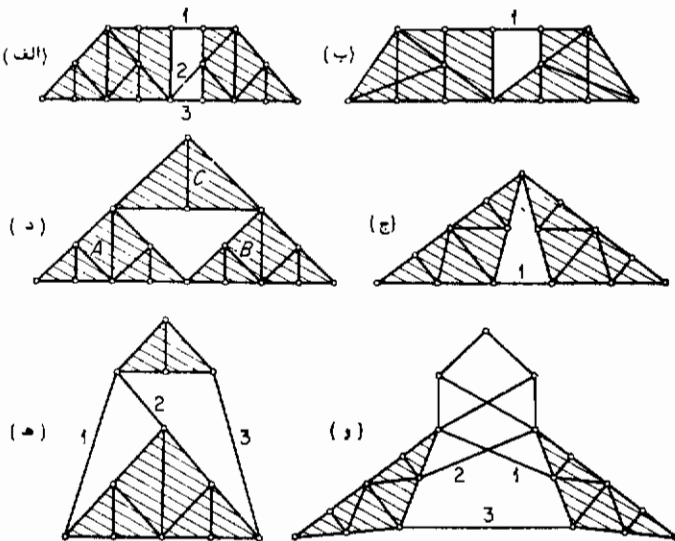
شکل ۴-۳ خرپاهای ساده پایدار و معین

گاهی ترجیح داده می‌شود که دو یا چند خرپای ساده را به‌منظور ایجاد شبکه‌صلب بهم وصل کنیم در یک چنین حالتی شبکه‌ای را که به‌این طریق بوجود می‌آید خرپای مرکب گویند یک خرپای ساده را می‌توان به‌خرپای ساده دیگری متصل کرد به‌این ترتیب که آنها را توسط سهند که نه با یکدیگر موازی باشند و نه متقارب و یا توسط هر نوع اتصال معادلی بهم

وصل نمود. اگر دو خریپا بعاین ترتیب بهم متصل شوند تشکیل یک شبکه مرکب کاملاً "صلبی" را خواهد داد. خریپاهای ساده دیگری را نیز به همین طریق می‌توان به شبکه‌ای جادشده به منظور تهیه خریپای مرکب عظیم‌تری متصل نمود.

مثالهای متعددی از خریپاهای ساده‌ای مرکب را در شکل (۴-۴) نشان داده‌ایم، در کلیه این حالات خریپاهای ساده‌ای را که بهم وصل شده‌اند با هاشور مشخص کرده‌ایم، در خریپاهای (الف)، (ه)، (و) خریپاهای ساده توسط میله‌های ۱، ۲ و ۳ بهم متصل شده‌اند و در حالات (ب) و (ج) خریپاهای دویک‌گره بهم مفصل شده‌اند ولذا فقط یک میله اتصال برای ایجاد شبکه‌ای مرکب لازم دارند، در حالت (د) و به جای میله اتصال بین خریپاهای A و B از یک خریپای ساده C استفاده شده است.

پس از آن که اعضای مختلف خریپا آرایش لازم را برای تشکیل یک خریپای مرکب پیدا کرد، کل شبکه را می‌توان به همان طریق خریپای ساده بر تکیه‌گاه‌های لازم قرار داد.



شکل ۴-۴ خریپاهای مرکب

#### ۴- علامت قراردادی در تعیین تنش خریپاها

قبل از این که به بحث تعیین تنش در خریپاهای بپردازیم لازم است که علامت‌گذاری مشخصی را برای نیروی میله‌ها در اعضاء یک خریپا تعیین کنیم. هر عضوی از یک خریپا را توسط اسامی گره‌های انتهایش مشخص خواهیم کرد، حرف  $\alpha$

برای نشان دادن نیروی میله در یک عضو به کار بردۀ خواهد شد و برای آن زیرنویسی که بیانگر میله باشد قائل خواهیم شد به این ترتیب  $F_{ah}$  نشان دهنده نیروی میله در عضو  $ah$  می باشد . اغلب مقادیر نیروی میله در اعضای یک خرپا را به صورت جدول و یا در طول اعضای خرپا که توسط یک خط در نمودار خرپا نشان داده شده است درج کرده ایم ، به این منظور راحت‌تر خواهیم بود اگر قرارداد مشخصی برای تعیین نوع تنش در یک عضو را به صورتی که معلوم شود تنش داخلی آن کششی است یا فشاری معلوم کنیم ، راحت‌ترین قرارداد به کار بردن علامت مثبت (+) برای کشش و علامت منفی (-) برای فشار می باشد . به این ترتیب + و - به معنی کششی به مقدار ۱۰۰- و - به معنی فشاری برابر با ۱۰ می باشد ، علت این که علامت مثبت را برای نیروی کششی برگزیده ایم این است که چون نیروی کششی سبب ازدیاد طول میله می شود لذا نیرویی مثبت سبب تغییری مثبت در طول می شود و بر عکس آن نیروی فشاری میله یا نیروی منفی میله سبب نقصان طول میله و یا سبب تغییری منفی در طول میله می گردد . در تعیین تنش خرپاها اغلب کارکردن با دو مولفه قائم نیروی میله به مراتب راحت‌تر از کارکردن با خود نیروی میله است ، به این جهت دووجهت عمود برهم  $x$  و  $y$  را (که معمولاً به ترتیب افقی و قائم گرفته می شوند ) انتخاب کرده ایم و در این صورت دو مولفه متناظر میله  $ah$  به ترتیب با  $X_{ah}$  و  $y_{ah}$  نشان داده می شوند ، برای دانشجویان بسیار مهم است که به روابط بین نیرو و مولفه های آن کاملاً "سلط داشته باشند ، این روابط تا حد زیادی در محاسبه خرپاها مهم هستند ولذا دانشجویان باید عملیات با آنها را به راحتی انجام دهند ، به این جهت برخی از این روابط را در اینجا یاد آوری می کنیم ، با در نظر داشتن این که نیروی میله در راستای محور عضو عمل می کند گفتار زیر بخودی خود صادق خواهد بود .

- ۱- مولفه افقی (یا قائم) یک نیروی میله برابر است با حاصل ضرب نیروی میله در نسبت تصویر افقی (یا قائم) آن عضو بر طول آن عضو
- ۲- نیروی میله یک عضو برابر است با حاصل ضرب مولفه افقی (یا قائم) آن در نسبت طول عضو به تصویر افقی (یا قائم) آن عضو .

- ۳- مولفه افقی یک نیروی میله برابر است با حاصل ضرب مولفه قائم آن در نسبت تصویر افقی عضو به تصویر افقی (یا قائم) آن عضو .
- اصل زیر نیز در محاسبات نیروی میله ها مهم و مفید می باشد .

- ۴- در نوشتن معادلات تعادل یک جسم منقشه شده (از یک سازه یا خرپا ) ، هر نیرویی را می توان به دو مولفه قائم و افقی آن به طوری که هر دوی این مولفه ها از نقطه ای که روی خط اثر نیرو قرار داشته و نقطه مناسبی برای تسهیل در محاسبات می باشد تجزیه نمود .

#### ۴-۵ نظریه تحلیل تنش خرپاها

برای تعیین قابلیت یک خرپا در تحمل بارگذاری، ابتدا باید مقدار نیروهای میله را که در اثر بارگذاری در اعضاء خرپا بوجود می‌آید محاسبه نمود. روش اساسی مطالعه تنش داخلی در هر جسمی یکسان است چه آن جسم یک تیر باشد و چه یک خرپا و با سازه دیگری برای یک خرپا، این روش شامل گذرانیدن برشی مجازی از چند میله و آزادنمودن قسمت مناسبی از خرپا می‌شود، در این حالت بر مقاطع داخلی که توسط برش ظاهری شوند تنشهای داخلی اثر می‌کنند، در حالتی که عضو برش خورده مربوط به یک خرپای ایده‌آل باشد این تنشهای فقط یک نیروی محوری است که همان نیروی میله عضو می‌باشد.

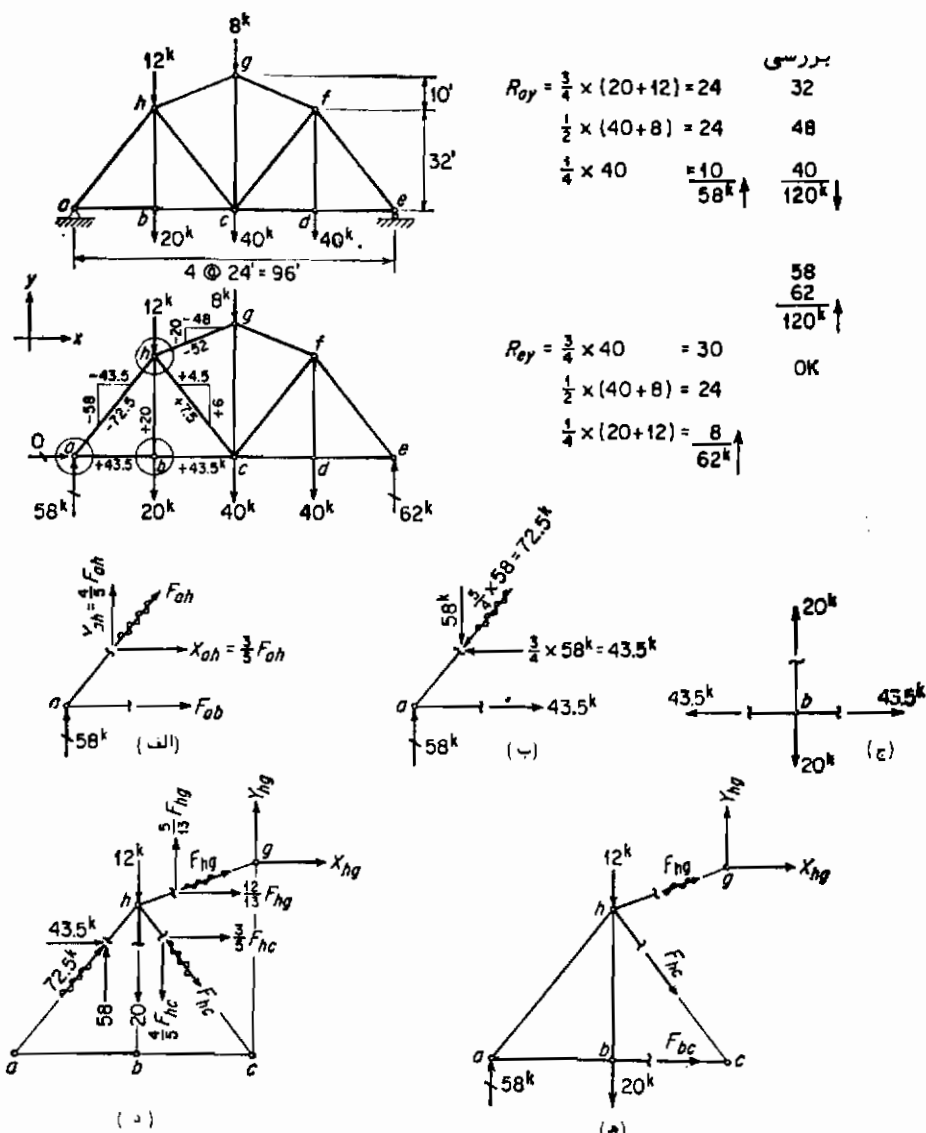
اگر کل خرپا در حالت تعادل استاتیکی باشد بمناچار هر قسمت جدا شده ازان نیز باید در تعادل باشد، هر قسمت جدا شده از خرپا تحت اثر دستگاه نیرویی که ممکن است شامل چند نیروی خارجی به اضافه نیروی میله‌ها که بر مقاطع برش خورده اعضاء اثر می‌کنند می‌باشد، اغلب می‌توان قسمت آزاد شده از خرپا را به نوعی برید که هر قسمت آزاد شده فقط تعداد محدودی نیروی میله نامعلوم داشته باشد تا بتوان با تأمین معادلات تعادل استاتیکی به تعیین آنها پرداخت.

این عملکرد را می‌توان با ملاحظه مثال مشخصی نظیر خرپای سازه‌شکل (۴-۵) به سادگی توضیح داد، تکیه‌گاههای این خرپا به نوعی است که عکس‌العملهای آن چنانکه در شکل می‌بینیم به سادگی توسط روابط تعادل قابل محاسبه است، حال به محاسبه نیروی میله‌های این خرپا می‌پردازیم، برش مجازی اطراف گره  $a$  را در نظر می‌گیریم این برش میله‌های  $ah$  و  $ab$  را بریده و به این ترتیب گره  $a$  را کاملاً از بقیه خرپا بمنحوی که در پیکر آزاد (a) از شکل (۴-۵) - می‌بینیم جدا می‌کند.

چنین گره آزاد شده‌ای یک جسم تحت اثر دستگاه نیروی متقارب خواهد بود زیرا کلیه نیروی میله‌ها مربوط به یک خرپای ایده‌آل بوده و کلیه خطوط اثر نیروهای خارجی از مرکز گره آزاد شده می‌گذرد. چون برآیند یک دستگاه نیروی متقارب نمی‌تواند یک لنگر باشد بنا بر این اگر  $\sum F_x = 0$  و  $\sum F_y = 0$  باشد آن دستگاه نیرو در تعادل خواهد بود. لذا اگر در گره مورد نظر فقط دونیروی میله مجھول باشد و خطوط اثر این دو نیرو هم راستا نباشند با این دو شرط تعادل استاتیکی که دو معادله مستقل هستند می‌توان به مقدار آن دونیروی مجھول رسید. اگر در گره بیش از دونیروی میله مجھول موجود باشد مقادیر مجھول را نمی‌توان توسط این دو

معادله بلا فاصله بعدست آورده است.

در این حالت، گره آزاد شده  $a$  تحت اثر عکس العمل معلوم و دونیروی میله مجہول



شکل ۵-۴ تحلیل یک خرپای ساده

\* سوال، اگر این دو نیروی میله دارای یک راستا باشند آیا این دو معادله سازگار و مستقل خواهند بود.

$F_{ah}$  و  $F_{ab}$  می‌باشد و چون شبکه‌ای اعضاً معلوم است مانند نمودار  $a$  مولفه‌های افقی و قائم دونیروی میله  $a$  مجھول را می‌توان بر حسب نیروی میله چنانکه در شکل می‌بینیم بیان کنیم. با فرض کششی بودن هر دوی  $F_{ah}$  و  $F_{ab}$  دو معادله تعادل استاتیکی را می‌توان به صورت زیر نوشت.

$$\Sigma F_y = 0, +\uparrow, 58 + \frac{3}{5}F_{ah} = 0 \quad (\text{الف})$$

$$\Sigma F_z = 0, \rightarrow, \frac{3}{5}F_{ah} + F_{ab} = 0 \quad (\text{ب})$$

از معادله (الف) داریم:

$$F_{ah} = -72.5 \text{ kips} \quad (\text{فشار})$$

و سپس از معادله (ب) خواهیم داشت:

$$F_{ab} = -\frac{3}{5}F_{ah} = -(\frac{3}{5})(-72.5) = +43.5 \text{ kips} \quad (\text{کشش})$$

پس مولفه‌های  $F_{ah}$  خواهد شد.

$$X_{ah} = (\frac{3}{5})(-72.5) = -43.5 \text{ kips}$$

$$Y_{ah} = (\frac{4}{5})(-72.5) = -58 \text{ kips}$$

به این ترتیب علامت منفی  $F$  نشان می‌دهد که جهت  $F_{ah}$  خلاف آنچه قبل "فرض شده است می‌باشد (یعنی فشاری است) و در صورتی که علامت مثبت  $F_{ah}$  نشان‌دهنده انتخاب درست جهت آن است (یعنی کششی است) دیده می‌شود که علامت نیروها به صورت خود به خودی با علامم قراردادی قبول شده برای مشخصات تنشها تطابق پیدا می‌کند. حال این پاسخها را باید در روی نمودار خطی خربها به صورت  $-72.5$  و  $+43.5$  درج نمود. علامتهای این اعداد نشان‌دهنده نوع تنشهاست، مولفه‌های نیروی میله  $ah$  را می‌توان به صورتی که در شکل می‌بینیم روی نمودار خطی درج نمود.

چنین سازگاری در علامت پاسخهای بعدست آمده را می‌توان همواره با فرض کششی بودن نیروی میله‌های مجھول در تشکیل معادلات تعادل برای پیکر آزاد گرهها حفظ نمود. اگر چنین کنیم در صورتی که پاسخ بعدست آمده مثبت باشد نشان می‌دهد که جهت انتخابی صحیح بوده و بنابراین کششی است در حالی که علامت منفی نشان‌دهنده نادرست بودن جهت انتخابی ولذا فشاری بودن آن است و به این ترتیب علامت پاسخها به صورت خود بخودی با

علام قراردادی تطابق پیدا می‌کند.

از روش محاسباتی به کار رفته می‌توان برای تعیین نیروی میله‌های مجھول در هرگزهی که در آن فقط دو نیروی میلهٔ مجھول وجود داشته باشد استفاده کرد. در خرپای مورد بحث تعیین سایر نیروی میله‌ها اعضاً گره بعدی بجز دو عضو گرهها با انتخابی که در طی آن کلیه نیروی میله‌های اعضاً گره بعدی بجز دو عضو (یا کمتر) آن در محاسبات قبلی معلوم شده باشد انجام داد. بدیهی است که لازم است این دونیروی میلهٔ مجھول دارای دو خط اثر متفاوت باشد. فنی که طی آن توسط برشی، یک گره را از بقیه خرپا جدا می‌کنیم به روش گرهها معروف است.

گاهی مناسبت‌این است که توسط برشی، قسمتی از خرپا را که دارای چندین گره می‌باشد جدا کنیم، چنانی فن برش خرپا را روش مقاطع گویند. قسمت جدا شده که شامل چند گره از خرپا می‌باشد مانند جسمی خواهد بود که تحت اثر دستگاه نیروی غیرمتقارب قرار دارد که این نیروها می‌توانند شامل نیروی خارجی و هم‌چنین نیروی میله‌ها در اعضاً برش خورده باشد، برای حفظ تعادل قطعه‌جداشده می‌بایستی سمععادله  $\Sigma F_y = 0$ ،  $\Sigma F_z = 0$  و  $\Sigma M_c = 0$ : توسط کلیه نیروهای مؤثر براین قسمت خرپا تأمین گرددند. بنابراین اگر در این قسمت فقط سه نیروی میلهٔ مجھول داشته باشیم و این سه نیرو نه با یکدیگر موازی باشند و نه متقارب مقادیر آن سه نیروی مجھول را می‌توان توسط این سمععادله تعادل به دست آورد. نمونه‌ای از عملکرد به طریق روش مقاطع را در پیکر آزاد (ه) از شکل (۵-۴) نشان داده‌ایم در این حالت برشی میله‌های  $hg$  و  $hc$  را قطع کرده و به‌این طریق قسمت طرف چپ خرپا توسط این برش جدا شده است و می‌توان نیروهای مجھول در میله‌های بریده شده را با حل سمععادله تعادل برای قسمت جدا شده به دست آورد. در مباحث قبلی کماز تعیین عکس‌عملها صحبت می‌کردیم دیدیم که اغلب می‌توان با عمال ابتکاری در نوشتن معادلات تعادل در مورد نیروهای غیرمتقارب حل مساله را ساده کرد مثلاً "برای این‌که مقدار  $F_{hg}$  را پیدا کنیم می‌توان نسبت به نقطه  $C$  که نقطه مقاطع  $hg$  و  $F_{hc}$  می‌باشد لنگرگیری نمود و  $F_{hg}$  را نیز به مولفه‌های افقی و عمودی‌اش در نقطه  $C$  تجزیه کرد و به‌این ترتیب فقط  $X_{hg}$  در معادله لنگر داخل می‌شود، و

$$\Sigma M_c = 0, \quad \text{and} \quad (X_{hg})(42) + (58)(48) - (32)(24) = 0$$

از اینجا  $X_{hg} = -48$  به دست می‌آید و با تناسب‌گیری  $F_{hg} = -20$  و  $Y_{hg} = -52$  می‌شود به روشنی مشابه خواهیم داشت

$$\Sigma M_h = 0, \quad \nabla, (58)(24) - (F_{bc})(32) = 0$$

از آنجا  $F_{bc} = +43.5$  می‌گردد و سهیم یکی از دو معادله  $\Sigma F_z = 0$  و  $\Sigma F_y = 0$  را می‌توان برای تعیین مولفه افقی یا عمودی  $F_{hc}$  به ترتیب به کار برد.

$$\Sigma F_z = 0, \quad \nabla, X_{hc} + 43.5 - 48 = 0$$

بنابراین  $X_{hc} = +4.5$  خواهد شد و با تناسب‌گیری  $Y_{hc} = +6$  و  $F_{hc} = +7.5$  می‌شود. واضح است که با نوشتن هر سه معادله مستقل تعادل می‌توان این سه‌نیروی مجہول را محاسبه نموده البته اگر ابتکار لازم در کاربرد این سه‌معادله انجام نگیرد ممکن است هر یک از سه‌معادله دارای سه‌مجہول بوده و حل مساله منجر به حل دستگاه معادله سه‌مجہولی گردد، در صورتی که چنانکه در بالا دیدیم ممکن است این سه‌معادله را به نحوی به کاربرد که هر یک از آنها فقط یک مجہول داشته باشد.

#### ۴- ۶ گاربرد روش گرهها و روش مقاطع

در مبحث قبلی از هردو روش گرهها و مقاطع از معادلات موجود به صورت نظام پافته استفاده کردیم، در صورتی که چنین عملکردی اغلب غیر ضروری است، برای مثال گره  $a$  را که در مبحث قبلی برای شرح روش گرهها برگزیدیم در نظر بگیرید، این گره را مانند پیکر آزاد  $a$  از شکل (۴-۵) در نظر داشته باشید با دقت در آن می‌بینیم برای این که  $\Sigma F_y = 0$  تأمین گردد، مولفه عمودی میله  $ab$  باید بانیرویی برابر با نیروی عکس العمل یعنی 58 kips بوطرف پائین فشار آورد تا این که نیروی عکس العمل را متعادل سازد، بنابراین می‌توان با تناسب‌گیری مقادیر مولفه افقی و خود نیروی میله را به ترتیب برابر با 43.5 و 72.5 به صورت فشاری درجهٔ های نشان داده شده به دست آورد. چون مولفه افقی در  $ah$  معلوم شده است واضح است برای این که  $\Sigma F_z = 0$  تأمین گردد باید نیروی میله  $ab$  نیرویی کششی برابر با 43.5 و بوطرف راست باشد تا بتواند مولفه افقی  $ah$  را که بطرف چپ جهت دارد متعادل کند.

چون نیروی میله در  $ab$  معلوم شده است پیدا کردن نیروهای  $bc$  و  $bh$  با ایجاد برشی جهت جدا کردن گره  $b$  چنانچه در پیکر آزاد  $c$ . از شکل (۴-۵) می‌بینیم امری ساده خواهد بود، دوباره با همین روش می‌توان این حالت ساده را نیز جهت تعیین دونیرویی میله مجہول  $F_{bc}$  و  $F_{bh}$  به کار برد، برای تأمین  $0 = \Sigma F_z$  واضح است که  $F_{bc}$  باید نیرویی کششی برابر با

43.5- بوده و برای تأمین  $\Sigma F_y = 0$  ،  $F_{h0} = 43.5$  باید نیروی کششی برابر با 20 باشد . اگر گره  $h$  را نیز به نحوی که در پیکر آزاد  $d$  دیده می‌شود با برشی که چهارمیله که در آن دومیله دارای مقدار نیروی میله معلوم و دومیله دیگر مقدار نیروی میله نامعلوم دارد جدا کنیم مقدار این دو مجھول را می‌توان با تأمین شرایط تعادل  $\Sigma F_z = 0$  و  $\Sigma F_y = 0$  برای گره آزاد شده محاسبه نمود . با فرض اینکه دونیروی مجھول کششی پاشند دو معادله فوق به صورت زیر نوشته خواهد شد :

$$\begin{aligned}\Sigma F_z &= 0, \rightarrow, 1\frac{2}{13}F_{h0} + \frac{3}{5}F_{hc} + 43.5 = 0 \\ \Sigma F_y &= 0, +\uparrow, \frac{5}{13}F_{h0} - \frac{3}{5}F_{hc} - 12 - 20 + 58 = 0\end{aligned}$$

در این حالت متأسفانه هر یک از دو معادله دارای دو مجھول هستند لذا لازم است که این دستگاه معادلات را به طور همزمان جهت تعیین مقادیر آنها حل کنیم ، البته این دو مجھول را می‌توان با راحتی کامل بر روش فوق بدست آورد ولی بهتر است به مزایای عمل به صورت زیر دقت کنیم :

در بحثی که در باره محاسبه عکس‌العملها در فصل ۲ داشتیم گفتیم که اغلب بهتر است که یک یا هر دوی  $\Sigma F_z = 0$  و  $\Sigma F_y = 0$  را با یک یا دو معادله لنگر جایگزین کنیم . به چنین فن مشابهی نیز در حالت گره آزاد  $h$  نیازمندیم فرض کنید که در پیکر آزاد  $d$  موقعیت گرهای  $a$  ،  $c$  و  $g$  مانند شکل نشان داده شده باشد ، در این حالت  $\Sigma M_c = 0$  را می‌توان به مجازی  $\Sigma F_y = 0$  و یا  $\Sigma F_z = 0$  به کار برد . لنگرگیری حول نقطه  $c$  نتنتها  $F_{hc}$  را از معادله حذف می‌کند بلکه محاسبه ساده لنگرهای نیروی میله‌های  $ah$  و  $hg$  را ممکن می‌سازد . نیروی این دومیله را می‌توان به مولفه‌های عمودی و افقی بترتیب در گره‌های  $a$  و  $g$  تجزیه نمود ، به این طریق فقط مولفه عمودی  $F_{ha}$  و مولفه افقی  $F_{hg}$  در معادله لنگر داخل می‌شوند و بازوی اهرم این دو مولفه نیز بمسادگی محاسبه می‌گردد ، به این ترتیب :

$$\Sigma M_c = 0, \rightarrow, (X_{h0})(42) + (58)(48) - (32)(24) = 0 \quad \therefore X_{h0} = -48$$

و با تناسب‌گیری  $-20 = Y_{h0}$  و  $-52 = F_{h0}$  به دست می‌آید . چون  $F_{h0}$  با دو مولفه‌اش معلوم می‌باشد با استفاده از  $\Sigma F_z = 0$  یا  $\Sigma F_y = 0$  می‌توان براحتی بترتیب مولفه‌های افقی و یا عمودی نیروی میله  $hc$  را مستقیماً "به دست آورد . برای مثال چون  $-48 = X_{h0}$  است پس مولفه افقی در  $hc$  باید به طرف راست بوده و مقداری برابر با  $4.5 \text{ kips}$  داشته باشد تا مقدار  $43.5 \text{ kips}$  میله  $ah$  را به کمک  $\Sigma F_z = 0$  متعادل سازد ، این بدان معنی است که میله به کشش کار می‌کند و پس از آن با نسبت‌گیری بترتیب نیروی

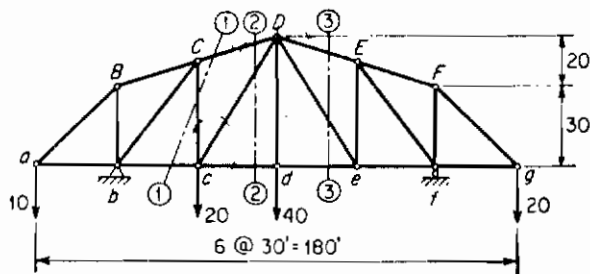
میله و مولفه عمودی آن برابر با  $+7.5$  و  $+6.0$  به دست خواهد آمد . حال صحت کلیه این محاسبات را می‌توان با تأثیر رابطه  $0 = 2F$  وارسی نمود .

در مثالهای عددی زیر فن و ابتكار دیگری جهت سرعت بخشیدن به کار روش گرهها و مقاطع به کار برده شده است ، در چند مثال نخستین در جزئیات کامل پیکر آزاد گرههایشان داده شده است ولی برای این که دانشجویان را قادر سازیم تا در موارد ممکن خود به پیکر آزاد گرهها بپردازند در مثالهای بعدی از چنین نمایشی خودداری شده است ، در مواردی که محاسبات عددی بدون روش نظام یافته راحتتر است از آن طریق استفاده کرده‌ایم ولی اگر دانشجویان چنین روش‌های میان برقی را مشکل بیابند لازم است که پیکر آزاد لازم را رسم و معادلات اساسی تعادل را برای آن برقرار کنند . دانشجویان بایستی درک کنند که منظور عده بسط قدرت دید در تجسم پیکر آزاد لازم و حل معادلات تعادل به طریق غیرنظم یافته می‌باشد ولی باید بدانند که حتی افراد مجبوب هم در مواردی که در مسائلهای سردرگم می‌شوند و یا این که به مساله مشکلی برخورت می‌نمایند به رسم پیکر آزاد لازم و نوشتن معادلات می‌پردازند .

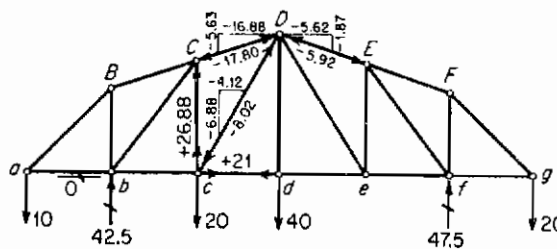
همچنین دانشجویان باید با دقت تمام به فن رسم پیکر آزاد قسمت‌های جدا شده از خریپا توجه نمایند کلیه نیروهای میله‌هایی که مقادیر و جهت آنها در محاسبات قبلی معلوم شده است باید در همه نمودارهای بعدی با مقدار و جهت خود رسم شوند . به عنوان مثال در رسم پیکر آزاد  $d$  از شکل (۴-۵) نیروی میله‌های  $ah$  و  $bh$  "قبل" محاسبه شده و مقادیر آن روی نمودار خطی خریپا با اعداد  $-72.5$  و  $-20$  به ترتیب درج شده است پس در نمایش نیروهایی مؤثر بر انتهای این دو میله باید نیروی رسم شده انتهای میله  $ah$  را به طرف  $b$  فشار داده و انتهای میله  $bh$  را از گره با کشش دور کند . پس از آن که جهت نیروی میله توسط پیکان نشان داده شد مقدار آنها را می‌توان با اعداد ساده پعنی با  $72.5$  و  $20$  به جای  $-72.5$  و  $-20$  نمایش داد . به طوری که در مبحث قبل پیشنهاد شد در پیکر آزاد جسم نیروهای مجهول میله‌ها را با فرض کششی بودن رسم نموده‌ایم .

پس از آنکه مقدار نیروی میله را در روی نمودار خطی خریپا درج کردیم رسم پیکان در دو انتهای عضو به منظور نشان دادن جهت اثر نیروی داخل عضو به گره مفید خواهد بود . در این فصل در درج نیروی میله‌ها مانیز چنین روشی را دنبال خواهیم کرد .

**مثال ۴-۱= نیروهای میله را در اعضاء  $Cc$  ،  $CD$  ،  $cD$  و  $DE$  خریپای زیر که تحت اثر بارهای نشان داده شده می‌باشد محاسبه کنید .**

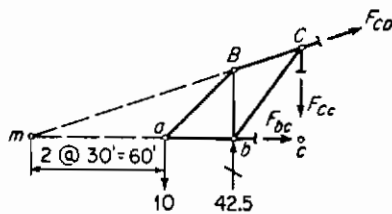


$$\begin{aligned}\Sigma M_b &= 0, \text{ +} \\ 20 \times 1 &= 20 \\ 40 \times 2 &= 80 \\ 20 \times 5 &= \frac{100}{200} \\ -10 \times 1 &= -10 \\ &= \frac{-10}{190} \\ R_{by} &= \underline{\underline{47.5 \uparrow}}\end{aligned}$$



$$\begin{aligned}\Sigma M_f &= 0, \text{ +} \\ 40 \times 2 &= -80 \\ 20 \times 3 &= -60 \\ 10 \times 5 &= -50 \\ &= \frac{-190}{-170} \\ 20 \times 1 &= \frac{20}{-170} \\ R_{by} &= \underline{\underline{49.5 \uparrow}} \\ \Sigma F_y &= 0, \text{ +} \\ 47.5 + 49.5 - 10 - 20 &= 0 \\ -40 &= 0\end{aligned}$$

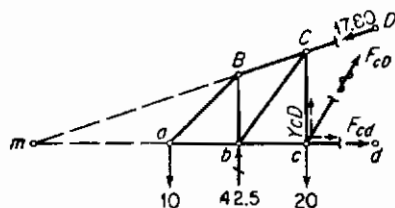
$\frac{Cc}{CD}$  میله ① - ① برش



$$\begin{aligned}\Sigma M_m &= 0, \text{ +} \\ 10 \times 2 &= +20 \\ 42.5 \times 3 &= \frac{-127.5}{-107.5 \curvearrowleft} \\ \therefore F_{ce} &= +\frac{107.5}{4} = \underline{\underline{+26.88}}\end{aligned}$$

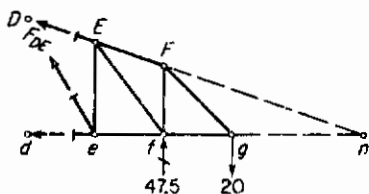
$$\begin{aligned}\Sigma M_c &= 0, \text{ +} \\ 42.5 \times 1 &= +42.5 \\ 10 \times 2 &= -20 \\ &= \frac{+22.5}{-16.88} \\ \therefore X_{cd} &= \frac{-(22.5)(30)}{40} \\ &= -16.88 \\ \therefore F_{cd} &= -(16.88) \left( \frac{31.63}{30} \right) \\ &= \underline{\underline{-17.80}}\end{aligned}$$

$\frac{cd}{cd}$  میله ② - ② برش



$$\begin{aligned}\Sigma M_m &= 0, \text{ +} \\ 10 \times 2 &= +20 \\ 20 \times 4 &= \frac{80}{+100} \\ 42.5 \times 3 &= \frac{-127.5}{-87.5 \curvearrowleft} \\ \therefore Y_{cd} &= \frac{-87.5}{4} = \underline{\underline{-6.88}} \\ \therefore F_{cd} &= -6.88 \times \frac{58.3}{50} \\ &= \underline{\underline{-8.02}}\end{aligned}$$

Bar DE Section (3) - (3)



$$\begin{aligned}\Sigma M_D &= 0, \uparrow \\ 20 \times 1 &\approx -20 \\ 10 \times 3 &= -30 \\ &\vdots \\ 42.5 \times 2 &= +85 \\ &\vdots \\ +35 &\approx\end{aligned}$$

$$\therefore F_{cE} = +35 \times \frac{30}{60} = +21$$

$$\begin{aligned}\Sigma M_E &= 0, \uparrow \\ 47.5 \times 1 &= -47.5 \\ 20 \times 2 &= +40 \\ &\vdots \\ -7.5 &\approx\end{aligned}$$

$$\therefore X_{DE} = -7.5 \times \frac{30}{40} = -5.62$$

$$\begin{aligned}\therefore F_{DE} &= -5.62 \times \frac{31.6}{30} \\ &= -5.92\end{aligned}$$

## بحث

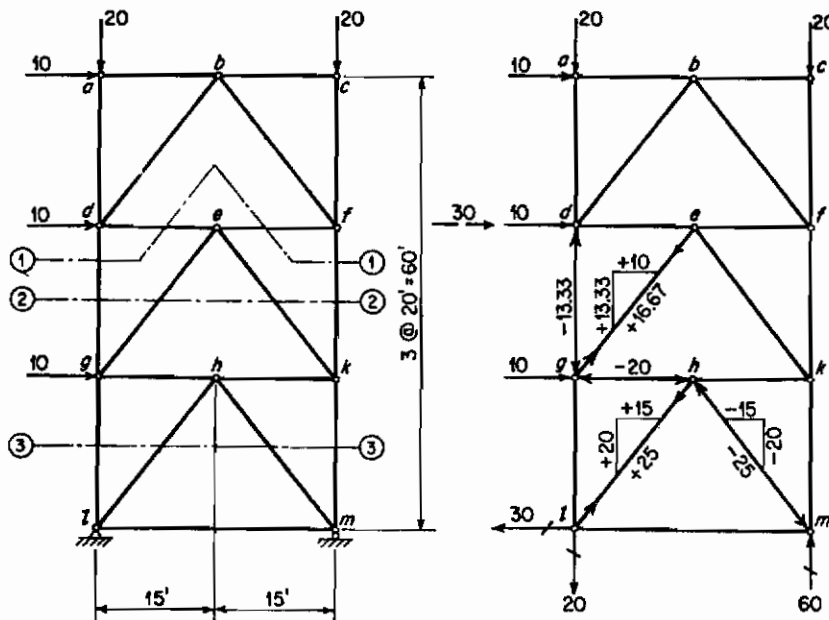
توجه شود که پس از محاسبه نیرو در  $Cc$  مولفه عمودی نیرو در  $cD$  را می‌توان به سادگی با جدالنودن گره  $c$  محاسبه نمود، همچنین توجه شود که پس از معلوم شدن نیرو در  $cD$  مولفه عمودی در  $CD$  را می‌توان از طریق  $\Sigma F_c = 0$  با  $\Sigma M_c = 0$  بجای  $\Sigma F_c = 0$  نظرگرفتن پیکر آزاد با برش ۲-۸ محاسبه نموده با همان پیکر آزاد پس از معلوم شدن نیرو در  $CD$  نیروی  $cd$  را می‌توان با به کار بردن  $\Sigma F_c = 0$  محاسبه کرد.

نیرو در عضو  $DE$  را می‌توان با جدا کردن قسمت راست یا چپ خرپا توسط برش و او به دست آورده در اینجا قسمت سمت راست را بعد لیل کم بودن مقدار بارهای مؤثر خارجی انتخاب کرد هایم.

در کلیه این محاسبات لنگرنیروهای عمودی را با تعداد فواصل پانلها محاسبه کرد هایم و در زمان مقتضی فاصله پانل را که برابر  $30/11$  می‌باشد در آخر محاسبات منظور کرد هایم، این چنین ابتکاری کار محاسباتی را به مقدار قابل توجهی ساده می‌سازد.

مثال ۲-۴ = نیروی میله را در اعضای  $Cc$  ،  $cD$  ،  $CD$  ،  $DE$  و  $DE$  محاسبه کنید .

$$\begin{aligned}\Sigma M_I &= 0, \uparrow \\ (20)(30) &= 600 \\ (30)(40) &= 1,200 \\ &\vdots \\ 1,800 &\approx\end{aligned}$$



$$\therefore R_{ay} = \underline{60 \text{ f}}$$

$$\Sigma M_m = 0, \nearrow$$

$$(30)(40) = +1,200$$

$$(20)(30) = -600$$

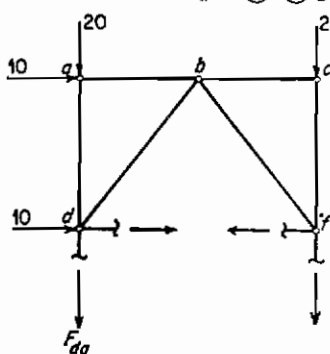
$$+ 600 \curvearrowright$$

$$\therefore R_{ay} = \underline{20 \text{ f}}$$

وارسی توسط

$$-20 - 20 + 60 - 20 = 0$$

$dg$ : میله ①-① برش



$$\Sigma M_f = 0, \nearrow$$

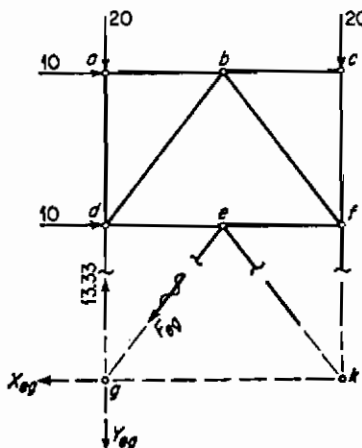
$$(10)(20) = +200$$

$$(20)(30) = -600$$

$$-400 \curvearrowright$$

$$\therefore F_{dg} = -\frac{400}{30} = \underline{-13.33}$$

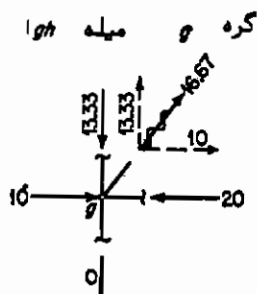
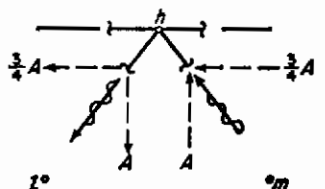
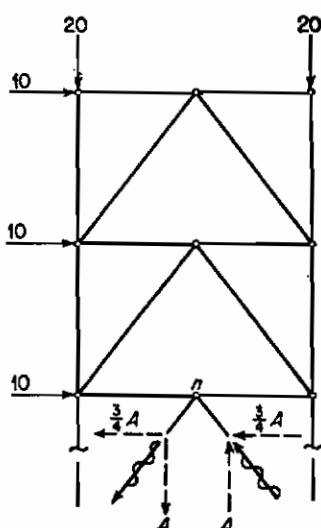
برش ②-② میله eg:



$$\begin{aligned} \sum M_b = 0, \rightarrow & \\ (13.33)(30) &= +400 \\ (10)(80) &= +800 \\ (10)(40) &= +400 \\ &= +1,000 \\ (80)(30) &= -600 \\ &= +400 \end{aligned}$$

$$\therefore Y_{eg} = \frac{400}{30} = +13.33 \quad X_{eg} = +10 \\ F_{eg} = +16.67$$

حال قسمتی را که در بالای برش وو جدا شده است در نظر بگیرید، از  $\Sigma F_x = 0$  مقدار  $y_u$  می‌باشد که برابر ولی در در خلاف جهت  $y_m$  باشد و بدین ترتیب اگر  $y_u = A$  فرض شود  $-A = y_m$  خواهد بود.

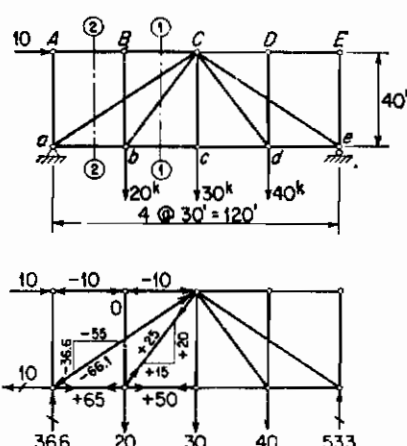
به این ترتیب از  $\Sigma F_x = 0, \rightarrow$  داریم:

$$10 + 10 + 10 - \frac{3}{4}A - \frac{3}{4}A = 0 \quad A = 80 \\ \therefore X_u = +16 \quad \text{and} \quad X_m = -15 \\ Y_u = +20 \quad Y_m = -20 \\ F_u = +25 \quad F_m = -25$$

## بحث

اگر بخواهیم کلیه نیروی میله‌ها را در اعضای خرها محاسبه کنیم و در این محاسبه از روش گره‌ها استفاده شود باید به ترتیب به‌زاد ساختن گره‌ها با نوبتهای  $m, l, h, k, g, e, f, d, b, c, a$  بپردازیم. در این خرها شاید این مفیدترین روش برای یافتن نیروی میله‌ها باشد، ولی اگر محاسبه تعداد بخصوصی از نیروی میله‌ها مورد نیاز باشد محاسبه را می‌توان به طریقی که در این مثال شرح داده شده است بعمل آوریم.

**مثال ۳-۴** = نیروی میله‌ها را در اعضاء  $bc$  و  $ac$  و  $bc$  محاسبه کنید.



$$\begin{aligned}\Sigma M_c &= 0, \uparrow \\ 10 \times \frac{4}{3}p &= +13.3p \\ 20 \times 1p &= 20p \\ 30 \times 2p &= 60p \\ 40 \times 3p &= 120p \\ &\quad +213.3p \\ \therefore R_{ay} &= \underline{\underline{53.3}} \uparrow\end{aligned}$$

$$\begin{aligned}\Sigma M_e &= 0, \uparrow \\ 20 \times 3p &= -60p \\ 30 \times 2p &= -60p \\ 40 \times 1p &= -40p \\ &\quad -160p \\ 10 \times \frac{4}{3}p &= +13.3p \\ &\quad -146.6p \\ \therefore R_{ay} &= \underline{\underline{36.6}} \uparrow\end{aligned}$$

وارسی

$$\Sigma F_y = 0, \uparrow +, 36.6 - 20 - 30 - 40 + 53.3 = 0$$

میله  $bc$ : قسمت طرف چپ برش ۱-۱

$$\begin{aligned}\Sigma M_c &= 0, \uparrow, 36.6 \times 2p = 73.2p \\ 20 \times 1p &= -20.0p \\ \hline 53.3p + 10 \times 40 & \\ 40 & \\ &= F_{bc} = \underline{\underline{+50}}\end{aligned}$$

$$F_{bc} = -10$$

میله  $BC$  : گره  $A$  را  $TA$  زاد کنید و سپس گره  $B$  را

میله  $aC$  : قسمت طرف چپ برش  $-2$  :

$$\Sigma F_y = 0 \quad \therefore Y_{ac} = -36.6$$

$$\therefore F_{ac} = \frac{\sqrt{3^2 + 3^2}}{3} (-36.6) = -66.1$$

میله  $bC$  : قسمت چپ برش  $-1$  : با معلوم بودن تنش در  $aC = 0$  از رابطه

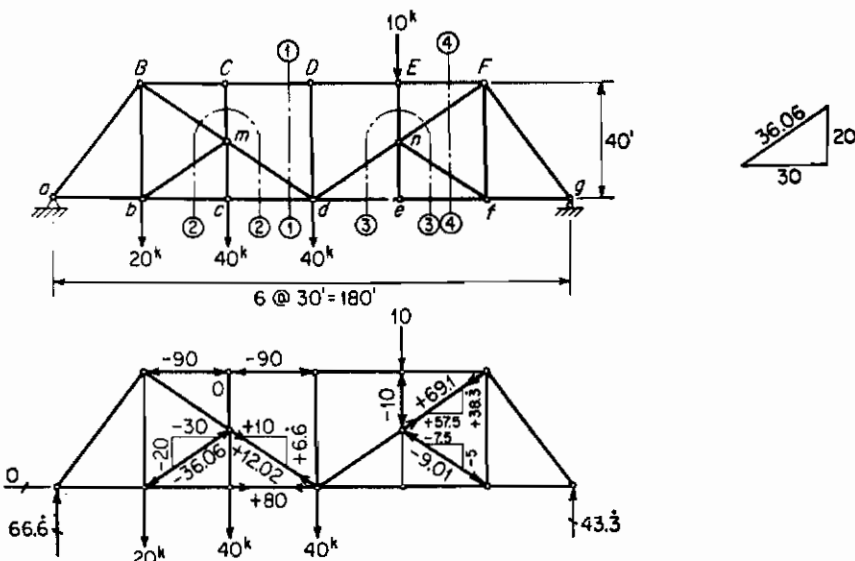
داریم :

$$\therefore Y_{bc} = +80$$

یا از گره  $B$  و سپس از گره  $d$  با رابطه  $\Sigma F_y = 0$  داریم :

$$\therefore Y_{bc} = +80$$

مثال ۴-۴: نیروی میله‌را در اعضاء  $md$ ،  $nf$ ،  $nf$ ،  $bm$ ،  $BC$ ،  $cd$  و محاسبه کنید.



$$\Sigma M_a = 0, \rightarrow \\ 20 \times 1 = 20$$

$$40 \times 2 = 80$$

$$40 \times 3 = 120$$

$$10 \times 4 = \frac{40}{260}$$

$$R_{ax} = 43.3 \uparrow$$

$$\Sigma M_y = 0, \uparrow \\ 10 \times 2 = 20$$

$$40 \times 3 = 120$$

$$40 \times 4 = 160$$

$$20 \times 5 = \frac{100}{400}$$

$$\therefore R_{ay} = 86.6 \uparrow$$

میله  $cd$  : قسمت طرف چپ برش ۱-۱

$$\Sigma M_B = 0, \text{ } \leftarrow, 68.6 \times 1p + 40 \times 1p = 108.6p \\ \therefore F_{cd} = \underline{\underline{-80}}$$

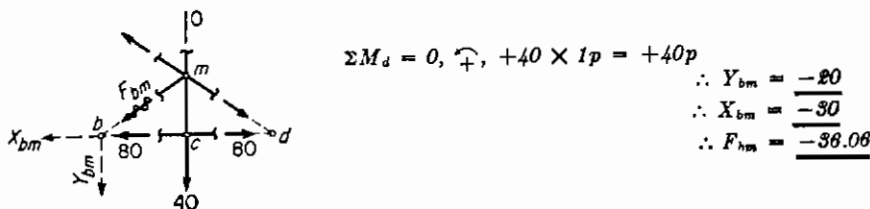
میله  $BC$  : همان قسمت

$$\Sigma M_d = 0, \text{ } \leftarrow, \\ 68.6 \times 3p - 40 \times 1p - 20 \times 2p = 120p \quad \therefore F_{cd} = \underline{\underline{-90}}$$

گره  $C$  را جدا کنید :  
 $F_{BC} = \underline{\underline{-90}}$

میله  $bm$  : زادکردن گره  $C$  نشان می‌دهد که :

حال قسمت جدا شده توسط برش ۲-۲ را در نظر بگیرید :



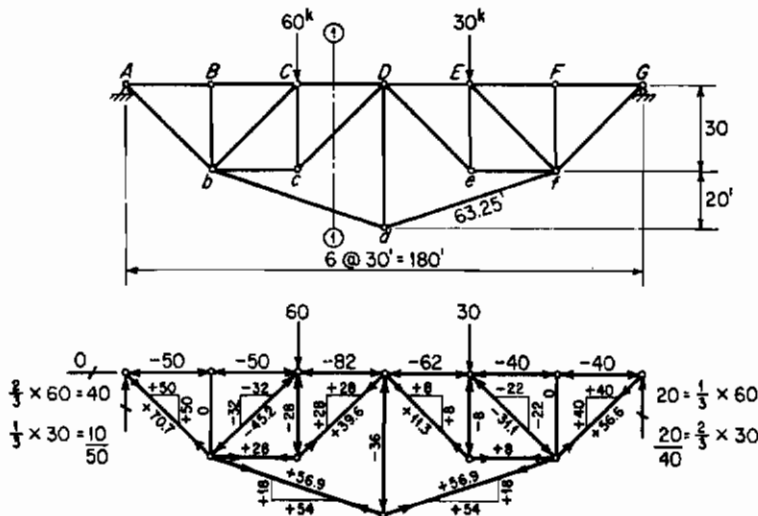
میله  $nF$  : زادساختن گره  $B$  نشان می‌دهد که  $F_{Bn} = -10$  با در نظر گرفتن قسمت جدا شده توسط برش ۳-۳ :

$$\Sigma M_d = 0, \text{ } \leftarrow, 10 \times 1p = 10p \quad \therefore Y_{nf} = \underline{\underline{-5}} \quad X_{nf} = \underline{\underline{-7.5}} \quad F_{nf} = \underline{\underline{-9.01}}$$

میله  $nF$  : قسمت طرف راست برش ۴-۴ :

میله  $md$  : قسمت طرف راست برش ۱-۱ :

مثال ۴-۵ = کلیه نیروهای میله را در اعضای این خرپا محاسبه کنید.



### قسمت چپ ۱-۱

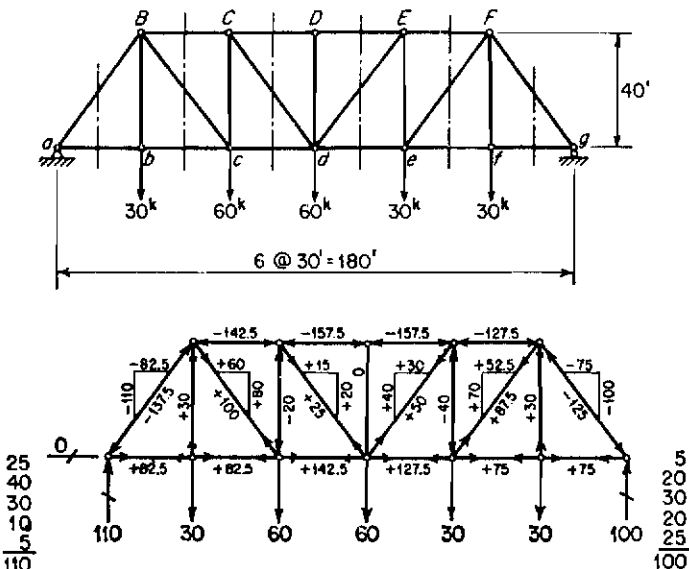
$$\begin{aligned} \Sigma M_D &= 0, \text{ at } D \\ 50 \times 3p &= 180p \\ 80 \times 1p &= -80p \\ \frac{-80p}{50} - \frac{90 \times 30}{50} &= 54 \quad \therefore X_{bd} = +54 \end{aligned}$$

۱

بحث :

در حل این مساله می‌توان با اعمال روش گره‌ها به ترتیب به گره‌های  $G, B, A$  و هر حل مساله را شروع نمود. اگر کسی این روش را با یکی از گره‌های دیگر شروع کند غیرممکن بودن ادامه آن را درخواهد یافت زیرا که هر یک از آن گره‌ها بیش از دو نیروی میله مجهول دارند. پس لازم است که از روش مقاطع کمک بگیریم، در این مساله نیروی میله در عضو  $bd$  با درنظر گرفتن قسمت طرف چپ برش ۱-۱ محاسبه شده است، پس از آن می‌توان روش گره‌ها را به گره  $D$  و سپس به ترتیب به سایر گره‌ها تعمیم داد. باید دقت کرد که این یک خرپای مرکب است در چنین خرپاهایی عموماً محاسبه کلیه نیروهای میله فقط به کمک روش گره‌ها غیرممکن است و چنانکه در این مساله دیدیم "عموماً" در چنین حالتی اعمال حداقل پکیار روش مقاطع لازم می‌باشد.

مثال ۴-۶ = نیروی میله‌ها را در کلیه اعضای این خرپا محاسبه کنید.



بیان

در حل این مثال می‌توان از یکی از انتهای‌های خرپا محاسبات را شروع کرده و تا انتهای دیگر خرپا ادامه داد و در این محاسبات می‌توان فقط از روش گره‌ها برای تعیین نیروی میله‌ها استفاده نمود، این یک خرپای ساده است و همیشه می‌توان پس از تعیین عکس العملها بهمین طریق به تعیین نیروی میله‌ها برداخت.

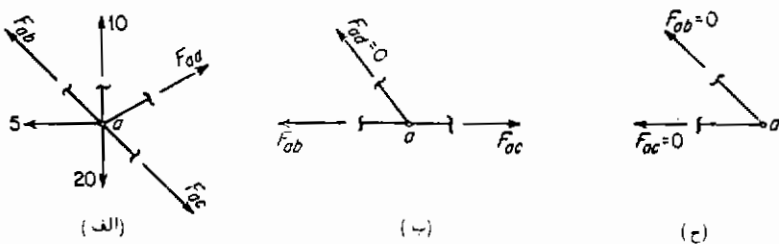
همچنین دقت شود که مولفه عمودی نیروی میله را در قطربهای می‌توان با اعمال معادله  $0 = \Sigma F_y$  در قسمت‌های طرف راست یا چپ برشهایی که از وسط پانلها می‌گذرد، به دست آورد و پس از آن نیرو در عمودیها را می‌شود با اعمال معادله  $0 = \Sigma F_x$  در گرهای مربوطه محاسبه نمود و مقدار نیرو در میله‌های اصلی (تحتانی و فوقانی) با بهکاربردن  $0 = \Sigma M_p$  در گرهای از یک انتهای خرپا تا انتهای دیگر آن بمسادگی قابل تعیین خواهد بود.

#### ۴- ۷ بحث روش‌گرهای و روش مقاطع

مثالهای مبحث قبلی نشان می‌دهد که تحلیل تنش در خرپاها پس از جداکردن قسمتی از خرپا نیاز به کار بردن هردو روش‌گرهای و مقاطع دارد. تجربه در چنین محاسباتی بهداشجویان این قابلیت را خواهد داد که چگونه در جای خود از هریک از این روش‌ها استفاده کنند. هدف این قسمت از بحث جمع‌بندی و روشنگری نکاتی مهم مربوط به این دو روش می‌باشد.

در مبحث قبلی خاطرنشان شد که روش‌گرهای از آنکه گرهی را از سایر قسمتها جدا کردیم به شرطی که تعداد نیروهای میله نامعلوم از دو بیشتر نباشد و به شرطی که این دو مجهول هم راستا نباشند فوراً "مقدار آنها را برای ما مشخص می‌سازد. گاهی اتفاق می‌افتد که پس از جداکردن گره فقط یک نیروی میله مجهول وجود داشته باشد در چنین حالتی بکی از دو معادله تعادل را می‌توان برای تعیین نیروی مجهول به کاربرده و از معادله دیگر برای وارسی مقادیر کلیه نیروهای مؤثر بر آن گره استفاده کنیم. حال اگر در یک گره جدا شده بیش از دو نیروی مجهول موجود باشد معمولاً "تعیین مقدار برای هریک از این نیروها از طریق کاربرد دو معادله تعادل قابل استفاده در آن نقطه در همان لحظه ممکن نیست. در چنین حالاتی لازم است که گرهای دیگری را نیز آزاد کنیم و برای هریک دو معادله تعادل برقرار نماییم و بنابراین گاهی ممکن می‌شود که " معادله مستقل برای " نیروی میله مجهول به دست آید و حل این دستگاه " معادله منجر به تعیین " مجهول می‌گردد.

حالت مهمی وجود دارد که در آن حالت بیش از دو نیروی میله مجهول در گره آزاد شده موجود است ولی ترتیب آنها بمنوعی است که تعیین بلا فاصله بکی از آنها ممکن باشد، به این صورت که اگر کلیه نیروهای مجهول به جزءی از آنها دارای خط اثر مشترک باشند در این حالت مقدار نیروی مجهول با خط اثر استثنایی بلا فاصله قابل محاسبه خواهد بود، چنین حالتی در نمودار (الف) از شکل (۴-۶) نشان داده شده است. اگر محور  $\alpha$  را موازی با خط  $bac$  گرفته و محور  $\beta$  را عمود بر آن فرض کنیم در این صورت مولغه  $\gamma$  نیروی مجهول را می‌توان بلا فاصله از طریق معادله  $F_{\alpha} = \Sigma F_{\alpha}$  به دست آورد. در چنین گرهی با عمال معادله  $F_{\beta} = \Sigma F_{\beta}$  به همیج جواب فوری نمی‌توان دست یافت زیرا که این معادله هردو مجهول  $F_{\alpha}$  و  $F_{\beta}$  را در برخواهد داشت. نوع مخصوص از این حالت در نمودار (ب) از شکل (۴-۶) نشان داده شده است و آن گرهی است که فقط تحت اثر سه نیروی میله مجهول واقع شده است و چون دو نیروی  $F_{\alpha}$  و  $F_{\beta}$  دارای یک خط اثر می‌باشند در این صورت واضح است که تنها



شکل (۴-۶) حالات خاص

نیروی باقیمانده‌گره یعنی  $F_{bb}$  باید برابر با صفر باشد. در نمودار (ج) از شکل (۴-۶) نیز حالت جالبی نشان داده شده است، این حالت گرهی را نشان می‌دهد که تحت اثر دو نیرو و با دو خط اثر متفاوت می‌باشد. در این حالت چون معادلات  $\sum F_x = 0$  و  $\sum F_y = 0$  باید برای گره صدق کند پس لازم می‌آید که هردو نیروی  $F_{ab}$  و  $F_{ac}$  برابر با صفر باشند.

خاطرنشان ساختن این مطلب نیز جالب است که بدانیم پس از آنکه عکس العمل‌های یک خرپای ساده محاسبه شد کلیه نیروی میله‌های خرپا را می‌توان فقط با بهکاربردن روش گرهها بدون این که بهروش مقاطع متول شویم محاسبه نمود، حقیقت چنین مطلبی واضح است زیرا در آرایش میله‌های خرپاهای ساده همواره موقعیت آخرين گرهرا توسط دو نیروی میله مجهول تثبیت می‌کنیم، پس از آن که این دو نیروی میله را با آزادساختن آن گره محاسبه کردیم، خواهیم دید که گرههای ملحق به این گره هریک دارای فقط دو نیروی میله مجهول می‌باشند و بدین ترتیب با آزاد کردن گرهها در جهت عکس یعنی بهتر تبیی که خرپا شکل گرفته است معلوم می‌شود که می‌توان روش گرهها را برای تعیین کلیه نیروی میله‌ها بهکار برد و به همین دلیل معلوم می‌شود که چرا می‌توان مثال (۴-۶) را به این طریق حل نمود. ولی باید توجه کرد که در بسیاری از حالات خرپاهای ساده، کاربرد توانم هردو روش گرهها و مقاطع در محاسبات چنانکه در برخی از مثالهای مبحث (۱۱-۴) شرح داده شد سرعت قابل توجهی را سبب می‌شود.

در کاربرد روش مقاطع اگر قسمت جدا شده از خرپا، دارای سه نیروی مجهول نه موافقی و نه متقابله باشد در این صورت هر سه نیروی مجهول را می‌توان با استفاده از سه معادله تعادل که برای آن قسمت وجود دارد محاسبه نمود. با یستی تأکید نمود که مقدار عکس العمل‌ها که به هر یک از قسمتها اشاره می‌کنند قبل از باید محاسبه شده باشند، واضح است که اگر در این حالت فقط یک و یا دو نیروی مجهول وجود داشته باشد مقدار آنها را می‌توان با تعداد مشابهی از معادلات تعادل بدست آورد بقیه تعداد معادلات موجود باید توسط دستگاه نیروی مؤثر بر آن قسمت تأمین گردد پس آن معادلات

کنترلی برای محاسبات انجام شده تا آن مرحله می‌باشد.

گاهی ممکن است توسط روش مقاطع پرخی از نیروهای مجہول را در حالی که بر قسمت جدا شده بیش از سه نیروی مجہول اثر می‌کند محاسبه کرد. به عنوان مثال فرض کنید که خطوط اثر کلیه نیروهای مجہول بجز یکی از آنها در نقطه  $a$  متقارب باشند، در این صورت مقدار تنش در تنها میله مذکور را می‌توان با استفاده از معادله  $\Sigma M_a = 0$  یعنی با لنگرگیری از کلیه نیروها حول نقطه  $a$  بدست آورد. حالت مشابه دیگر وقتی است که کلیه نیروهای مجہول بجز یکی از آنها با یکدیگر موادی باشند. در این صورت مقدار تنش در تنها میله باقیمانده را می‌توان با جمع تصاویر کلیه نیروها روی محور عمود بر جهات سایر نیروی میله‌ها بدست آورده در هردو حالت فوق تعداد مجہولات موجود در قسمت جدا شده همواره بیش از دو معادله باقیمانده تعادل می‌باشد و به این جهت پاسخ سریعی برای باقیمانده مجہولات ممکن نیست.

در کاربرد هریک از روش‌های گرهها و مقاطع باید متوجه بود که به هیچ عنوان تعداد میله‌های بریده شده که در آنها نیروی میله معلوم می‌باشد مهم نیست بلکه تنها تعداد نیروی میله‌های مجہول مهم می‌باشد.

#### ۴ - ۸ پایداری استاتیکی و معین بودن خریاها

تا کنون همه تأکیدما بر روش‌های محاسباتی تعیین نیروی میله‌ها در خریاها بوده است. به این خاطر کلیه مثالهای به کار رفته هم معین بوده‌اند و هم پایدار. حال با داشتن زمینه فکری می‌توانیم مبحث مربوط به چگونگی پایداری و معین بودن خریاها را از نقطه نظر کلی مطرح سازیم.

در مبحث ترتیب اعضای یک خریای ساده نشان دادیم که یک خریای صلب را بالاتصال سه گره توسط سه میله به شکل یک مثلث شروع می‌کنیم و سپس هر گره اضافی دیگر را با دو میله به آن متصل می‌نماییم سپس شبکه موردنظر ایجاد می‌گردد بنابراین برای ایجاد خریای ساده صلبی با  $n$  گره، لازم است که از سه میله اولیه برای ایجاد مثلث به اضافه دو میله برای هر یک از  $(3 - n)$  گره بقیه استفاده کنیم و به این ترتیب اگر  $b$  تعداد کلی میله‌های لازم باشد خواهیم داشت:

$$b = 3 + 2(n - 3) = 2n - 3$$

این تعداد حداقل میله لازم برای ایجاد یک خریای ساده صلب می‌باشد به کاربردن بیش از این مقدار غیر ضروری و به کاربردن کمتر از آن منجر به خریایی نایاب دیدار می‌شود. اگر خریایی

ساده که دارای  $n$  گره و  $(3 - 2n)$  میله است دارای تکیه‌گاه‌های معادل با سمتکیه‌گاه بنددار باشد بهنوعی که این بندها نه با یکدیگر موازی و نه متقارب باشند، در این صورت آن سازه تحت اثر بارگذاری‌های غیرمشخص پایدار بوده و عکس‌العمل‌های آن نیز معین خواهد بود.

دریخت قلی تأکید شده که پیاز تعیین عکس‌العمل‌های یک‌خرپای ساده تعیین کلیه نیروهای میله آن توسط روش گره‌ها ممکن می‌باشد.

به این ترتیب می‌توان نتیجه گرفت که یک خرپای ساده که دارای سه جزء مستقل عکس‌العمل و  $(3 - 2n)$  میله است هم از نظر نیروی میله‌ها و هم از نظر عکس‌العمل‌ها معین خواهد بود. اگر دارای بیش از سه جزء عکس‌العمل باشد سازه از نظر خارجی نامعین خواهد بود و اگر تعداد میله‌های آن بیش از  $(3 - 2n)$  بوده ولی فقط سه جزء عکس‌العمل داشته باشد سازه فوق از نظر نیروی میله‌ها نامعین خواهد شد و اگر هم میله اضافی و هم عکس‌العمل اضافی داشته باشد در این صورت آن سازه هم از نظر نیروی میله‌ها و هم از نظر عکس‌العمل‌ها نامعین خواهد بود.

نظیر همین نتیجه‌گیری برای خرپاهای مرکب نیز کاملاً "صادق است فرض کنید که خرپایی مرکب از اتصال دو خرپای ساده توسط سه میله اضافی که نه با یکدیگر موازی و نه متقارب می‌باشند بوجود آمده باشد، اگر دو خرپای ساده فوق الذکر به ترتیب دارای  $n_1$  و  $n_2$  گره باشد و تعداد کل میله‌های خرپای مرکب  $b$  باشد خواهیم داشت:

$$b = (2n_1 - 3) + (2n_2 - 3) + 3 = 2(n_1 + n_2) - 3$$

و اگر  $n$  نشان‌دهنده تعداد کل گره در خرپای مرکب بوده و به عبارتی  $n_1 + n_2 = n$  باشد داریم:

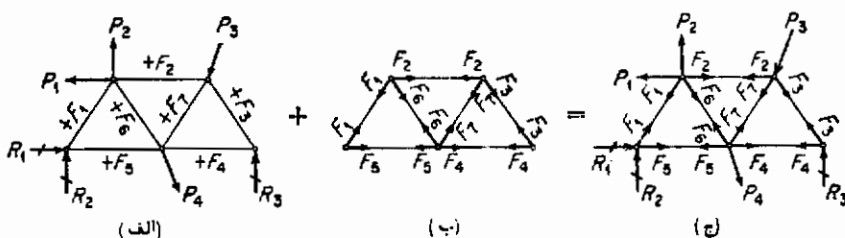
$$b = 2n - 3$$

و بنابراین دیده می‌شود که تعداد حداقل میله به کار رفته برای ایجاد یک خرپای مرکب صلب به همان تعداد لازم در یک خرپای ساده است و اگر بقیه بحث قلی را نیز به همان طریق در مورد خرپای مرکب ادامه دهیم خواهیم دید که نتیجه‌گیری در بند قبل در مورد هر دو خرپای ساده و مرکب به صورت یکسان صادق است.

لازم است که مساله پایداری و معین بودن را از نظر کلی بیشتر بررسی کنیم، فرض کنید که خرپایی دارای  $n$  جزء مستقل عکس‌العمل،  $n$  میله و  $n$  گره باشد، چون کل خرپا در تعادل است لازم است که هر قسمت جدا شده از آن نیز به همان ترتیب در تعادل باشد، جدا کردن تمام یک میله یا قسمتی از آن تاریف به کار رفته در مورد نیروی میله مرااعات شود شرایط تعادل میله‌ها را تغییری نخواهد داد و بدین ترتیب می‌توان هر یک از  $n$  گره را به نوبه خود

ازاد کرده و برای هریک از آن گره‌ها دومعادله مستقل تعادل استاتیکی،  $0 = \Sigma F_x$  و  $0 = \Sigma F_y$  را نوشت، بهاین ترتیب در کل  $2n$  معادله مستقل که شامل  $n$  عکس‌العمل و  $n$  نیروی میله‌می باشند یعنی جمعاً دارای  $(n + n)$  معجهول است به دست خواهد آمد. این دستگاه  $2n$  معادله باید  $(n + n)$  معجهول را تأمین نماید، با مقایسه تعداد معجهولات با تعداد معادلات مستقل می‌توان فهمید که آیا آن سازه خرپایی پایدار، معین و یا نامعین است. استدلال به‌کار رفته مشابه استدلالی است که در بخش ۷-۵ انجام گرفته است: اگر  $b + r$  کمتر از  $2n$  باشد تعداد معجهولات موجود کافی برای تأمین دستگاه  $2n$  معادله نمی‌باشد و در این صورت سازه‌را نظر استاتیکی ناپایدار است. اگر  $b + r$  مساوی  $2n$  باشد معجهولات موجود را می‌توان از حل دستگاه  $2n$  معادله به دست آورد. در این صورت سازه معین خواهد بود. اگر  $b + r$  بزرگتر از  $2n$  باشد، در آن صورت تعداد معجهولات بیشتر از تعداد  $2n$  معادله می‌باشد و در آن حالت سازه را نامعین گویند. خاطر بخوبی منجر به تعیین کل درجه نامعینی عکس‌العملها و نیروی میله‌ها (نه تک تک آنها) می‌شود، مشروط بر این که سازه هم از نظر استاتیکی و هم از نظر هندسی ناپایدار نباشد. واضح است که این نتیجه‌گیری با بحثی که در مورد خرپاهای ساده و مرکب انجام گرفت تطابق کامل دارد.

در نگاه‌نخستین ممکن است چیزی به‌نظر آید که تعداد کل معادلات مستقل تعادل استاتیکی یک سازه خرپایی شامل نه تنها  $2n$  معادله‌ای است که در بند قبل ذکر شد بلکه شامل سه معادله  $0 = \Sigma F_x$ ،  $0 = \Sigma F_y$  و  $0 = \Sigma M$  نیز می‌باشد که به‌کل سازه مانند جسمی آزاد می‌توان اعمال نمود. شرح زیرین ثابت می‌کند که این نظریه ابداء درست نیست و فقط  $2n$  معادله مستقل وجود دارد: خرپایی بهصورت پیکر آزاد مانند خرپای شکل (۴-۷الف) که تحت عکس‌العملها و بارهای واردہ می‌باشد درنظر بگیرید و فرض کنید که دستگاه نیروی مذکور در شکل (۴-۷ب) با دستگاه شکل (۴-۷الف) جمع گردد، ترکیب این دو دستگاه بارگذاری را می‌توان بهصورت دستگاه بارگذاری شکل (۴-۷ج) نشان داد. دستگاه بارگذاری شامل چندین جفت نیروی مساوی و در خلاف



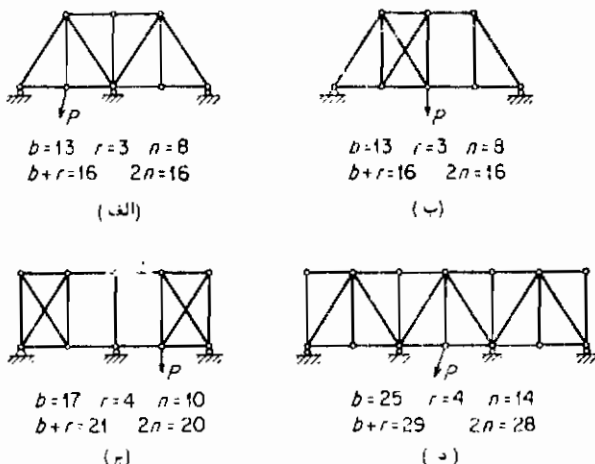
شکل (۴-۷)- نکات مربوط به تعادل

یکدیگر می‌باشد، به صورتی که برای هر عضو از خرپا یک جفت نیرو وجود دارد. در هر عضوی یک جفت نیرو در طول آن عضو به صورتی که یکی از آنها از یک گره انتهای عضو و دیگری از گره انتهای دیگر عضو اثر می‌کند و هریک از این نیروها انتظار عددی برابر با نیروی میله حاصل از اثر دستگاه نیروی  $\Sigma F_x$  بوده و در همان جهت اثر نیروی میله بر گره اثر می‌کند. واضح است که هر جفت نیرو در تعادل بوده و بنابراین کلیه جفتهای نیروها نیز دستگاه نیرویی در حال تعادل بوجود می‌آورند.

حال به دستگاه ترکیب یافته  $\Sigma F_y = 0$  توجه کنید، معلوم می‌شود که نیروهای مؤثر بر هر گره همان نیروهایی است که به آن گره در صورت اعمال بارگذاری  $\Sigma F_z = 0$  (اگر آن گره را به صورت گرهی  $\Sigma F_z \neq 0$  در نظر بگیریم) وارد می‌شود، حال اگر نیروهای وارد، عکس العملها و نیروی میله‌ها دستگاه  $\Sigma M = 0$  معادله تعادل را که با  $\Sigma F_z = 0$  گره و نوشتن معادلات  $\Sigma F_x = 0$  و  $\Sigma F_y = 0$  برای هر گره به دست می‌آید تأمین نماید نیروهای مؤثر بر هر گره در  $\Sigma F_z = 0$  دستگاه نیروی متقارنی در حال تعادل ایجاد خواهد کرد. چون در هر گره نیروها در تعادل می‌باشند دستگاهی که از همه گرهها در  $\Sigma F_z = 0$  تشکیل شده است نیز در تعادل بوده و باید کلاً "معادلات  $\Sigma F_z = 0$ " در مورد کل خرپا صادق باشد. چون دستگاه ترکیبی در  $\Sigma F_z = 0$  در تعادل بوده و قسمتی از آن دستگاه که در نمودار (ب) نشان داده شده نیز به خودی خود در تعادل است قسمت باقیمانده دستگاه که در نمودار (الف) نشان داده شده است نیز باید در تعادل بوده و معادلات  $\Sigma F_z = 0$  و  $\Sigma M = 0$  را برای کل خرپا تأمین نماید. پس می‌توان چنین نتیجه گرفت که اگر عکس العملها، نیروی میله‌ها و بارهای وارد  $\Sigma M = 0$  معادله تعادل را که با  $\Sigma F_z = 0$  ساختن گرهای خرپا به دست می‌آید تأمین نمایند، عکس العملها و بارهای وارد به خودی خود سه معادله تعادل را برای کل خرپا تأمین خواهند کرد و به این ترتیب در اصل فقط  $\Sigma M = 0$  معادله تعادل استاتیکی مستقل در یک خرپا وجود دارد.

باید توجه داشت که مقایسه شعاع مجھولات و معادلات مستقل خاطهای لازماً است ولی همواره کافی برای درک پایداری یک خرپا نمی‌باشد. اگر  $\Sigma F_z + \Sigma M = 0$  باشد این محاسبه کافی است که به فهمیم خرپایی مورد بحث از نظر استاتیکی ناپایدار است. ولی اگر  $\Sigma F_z + \Sigma M \neq 0$  باشد این به آن معنی نیست که خرپا پایدار است. این مطلب را می‌توان با ملاحظه مثالهای مذکور در شکل (۴-۸) بررسی نمود. در همه این چهار حالت سازه پایدار است با وجودی که شمارشها نشان می‌دهد که (الف) و (ب) معین (ج) و (د) یک درجه نامعین هستند. (الف) و (د) تحت اثر حالت بارگذاری نامشخص ناپایدار است زیرا در هر دو حالت عکس العملها معادل تکیه‌گاههای بنددار موازی می‌باشند. (ب) و (ج) نه بدليل نوع تکیه‌گاه‌ایشان بلکه به دلیل

آرایش میله‌های اشان ناپایدارند. به عنوان مثال در (ب) عکس العملها معین ولی خربناپایدار است زیرا که در پانل دوم مقاومتی در برابر برش منتقل شده از انتهای راست وجود ندارد.



شکل ۴-۸ سازه‌های ناپایدار

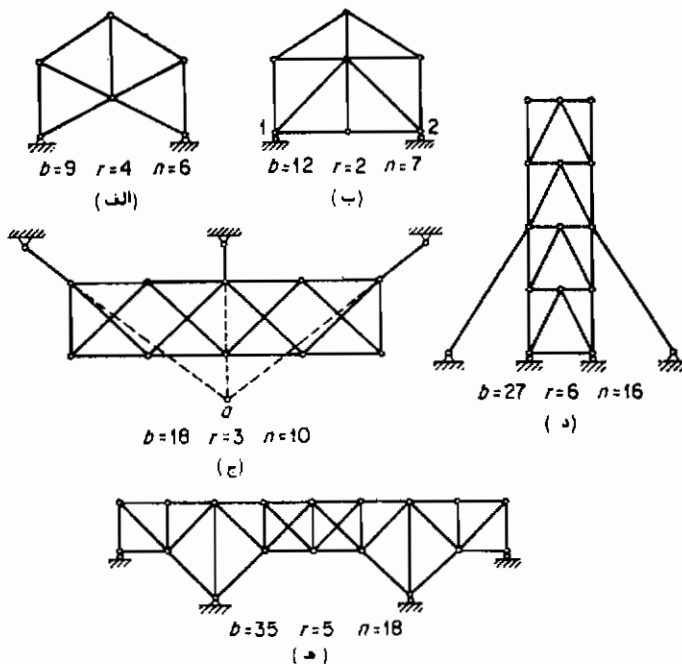
این ملاحظات و نظریه آنها منجر به این نتیجه‌گیری می‌شود که اگرچه روش شمارش نشان می‌دهد که سازه‌ای معین و یا نامعین است، برای آن سازه ناپایدار نیز نباشد لازم است شرایط زیر نیز صادق باشد: ۱- عکس العملها باید معادل سه یا بیشتر از سه تکیه‌گاه بنددار غیرمومازی و نامتقارب باشند- ۲- میله‌های خربناپایدار آرایشی به نحو مناسب داشته باشند. گاهی تعیین مناسب بودن آرایش میله‌ها مشکل است، در چنان حالاتی اگر آرایش بنده‌های مناسب باشد، بالاخره معلوم خواهد شد زیرا در صورتی که تحلیل تنیش انجام گیرد پاسخهای بدهست آمده ناسازگار، بی‌نهایت و یا غیرقابل تعیین خواهند بود.

#### ۴-۹ مثالهایی در شرح تعیین معینی و پایداری

بررسی پایداری و معینی یک سازه خربناپایی که بهنحوی روی تکیه‌گاه قرار گرفته است امری ساده است خربناپایی موجود ممکن است فقط یک خربناپایی ساده یا یک خربناپایی مرکب و در بعضی از حالات خربناپایی ساده یا مرکب با چند میله اضافه باشد. در همه حالات می‌توان میله‌ها و عکس العملها و گرهها را شمرد و از خاطره بحث قبلی دریافت که آن سازه ناپایدار، معین و یا نامعین است، بدیهی است که این شمارش فرد را قادر می‌سازد که به صورت سرجمع نسبت به حالات نیروی میله‌ها و عکس العملها سازه را طبق‌بندی نماید. اگر شمارش نشان دهد

که سازه معین و یا نامعین می‌باشد سوال مربوط به پایداری سازه هنوز مطرح است زیرا شمارش اغلب بخودی خود کافی برای تعیین پایداری سازه نیست.

طبقه‌بندی این نوع سازه نسبت به عکس‌العمل‌ها یا نامعین می‌باشد. اگر سازه دارای کمتر از سه جزء مستقل عکس‌العمل باشد تحت اثر حالت کلی پارگذاری بدون این که به آرایش میله‌های خرپا کاری داشته باشیم ناپایدار خواهد بود و اگر دارای سه یا بیشتر از سه جزء مستقل عکس‌العمل که به صورتی قرار گرفته باشند که معادل سه یا بیشتر از سه تکیه‌گاه بند دار غیرمتوازی باشند سازه نسبت به عکس‌العمل‌ها یا نامعین خواهد بود. در یک سازه پایدار اگر سه جزء عکس‌العمل موجود باشد این اجزاء معین می‌باشند و اگر بیش از سه جزء عکس‌العمل داشته باشد آن سازه فقط نسبت به عکس‌العمل‌ها یا نامعین خواهد بود و درجه این نامعینی مساوی مقدار بیشتر از سه بودن اجزای عکس‌العمل است، سازه‌هایی که در این ردیف کلی قرار دارند در شکل (۹-۴) نشان داده شده است.



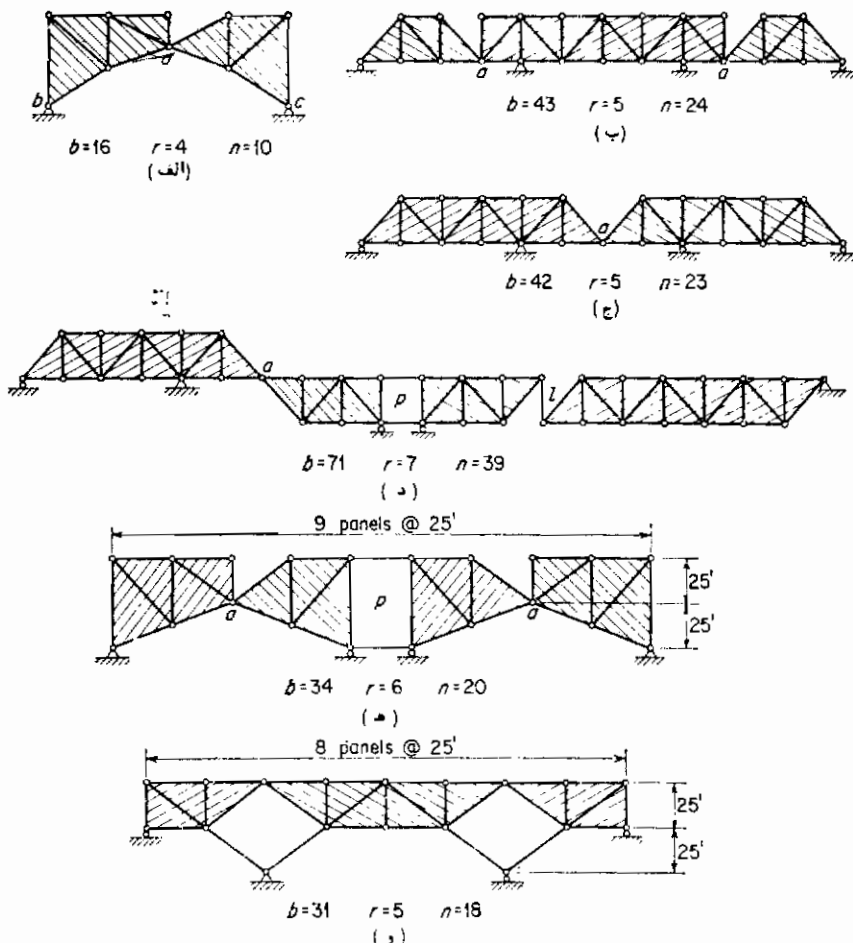
شکل ۹-۴ مثالهای برای دسته‌بندی

شارش میله‌ها، گره‌ها و اجزای عکس‌العمل در هر یک از خرپاهاي شکل (۹-۴) نشان داده شده است حال فقط به عکس‌العمل‌ها توجه کنید، سازه (الف) پایدار و یک درجه نامعین است زیرا  $13 = b + r = 2n$  است می‌بینیم که به‌این ترتیب یک درجه نامعین است شمارش

سازه(ب) نشان می‌دهد که معین است زیرا  $k_e = 6 + 2\pi/2\theta$  مساوی ۱۴ می‌باشد ولی دقت در عکس‌العملها نشان می‌دهد که این سازه ناپایدار است به همین ترتیب شمارش سازه(ج) نشان می‌دهد که آن سازه یک درجه نامعین است ولی دقت در عکس‌العملها نشان می‌دهد که آن سازه ناپایدار است ولی شمارش سازه و دقت در عکس‌العملها سازه(د) نشان می‌دهد که آن سازه یک درجه نامعین است، بررسی عکس‌العملها سازه(ه) نشان می‌دهد که آن سازه دو درجه نامعین می‌باشد ولی شمارش آن بیانگر این است که عمل<sup>a</sup> آن سازه چهار درجه نامعین است. یک نوع دیگر از سازه‌های خریای وجود دارد که از بیش از یک خریای صلب تشکیل یافته‌اند. این نوع سازه از چند خریای صلب که بهنوعی به یکدیگر وصل شده‌اند تشکیل شده و کل آن بر روی چند تکیه‌گاه سوار شده است، در چنین حالاتی معمولاً "تکیه‌گاهها بهنوعی قرار گرفته‌اند که بیش از سه جزء عکس‌العمل مستقل ایجاد نمایند، اتصال بین این چند خریا کاملاً" صلب نیست به‌این جهت سبب می‌شود که بتوان چندین معادله خاص به‌منظور تقلیل درجه نامعینی و یا تبدیل عکس‌العملها به‌صورت معین برقرار نمود. این نوع سازه‌ها از نظر تحلیل پایداری و معینی از مشکلترین سازه‌ها می‌باشد. در هر حال برخی از مهمترین سازه‌ها نظیر پلهای طرمای و قوسی با سه مفصل. به‌این گروه تعلق دارند و به‌آن جهت است که پادگیری روش اصلی برای بررسی چنین سازه‌هایی برای دانشجویان بسیار مفید است. در شکل (۱۵-۴) نمونه‌هایی کلی از این سازه‌ها را نشان داده‌ایم.

پایداری و معین بودن سازه‌هایی که در شکل (۱۵-۴) نشان داده شده است به طریق شمارش میله‌ها و اجزا عکس‌العمل و مقایسه‌آن با تعداد گرههای آنها امکان پذیراست، با به‌کاربردن این ضابطه معلوم می‌شود که سازه‌های (الف)، (ب)، (د)، (ه) و (و) معین بوده و سازه (ج) یک درجه نامعین است، در چنین سازه‌هایی تعیین این که سازه مورد نظر فقط نسبت به عکس‌العملها بین معین است. یا خیر نیز بسیار مهم است. این مطلب را می‌توان با مقایسه تعداد اجزاء مجہول عکس‌العمل با تعداد معادلاتی که به‌طریق بخش‌های (۵-۲) و (۶-۲) می‌توان برقرار نمود تعیین کرد. در این حالات معادلات موجود شامل سه معادله تعادل استاتیکی برای کل سازه به‌اضافه تعدادی معادله خاص که بستگی به اتصال این چند خریای صلب با یکدیگر دارند می‌باشد.

اگر دو خریا در یک گره مشترک به‌یکدیگر مفصل شوند همان‌طوری که در گره ۵ شکل‌های (۱۵-۴ الف) تا (۱۵-۴ ه) نشان داده شده است یک معادله خاص می‌توان برقرار نمود و این معادله بیانگر این است که حول آن نقطه باید لنگر خمشی برابر با صفر باشد زیرا که آن مفصل نمی‌تواند لنگری از یک خریا به‌خریای دیگر منتقل نماید. اگر دو خریا توسط یک اتصال بنددار و یا غلتکدار نظیر بند در سازه به‌یکدیگر متصل شوند در این حالت دو معادله



شکل ۴-۱۵ مثالهای برای دسته‌بندی

خاص را می‌توان برقرار کرد زیرا که جهت و نقطه اثر نیروی بین آنها معلوم می‌باشد این به آن معنی است که ۱- لنگر خمشی باید حول هریک از دو انتهای بند اتصال برابر با صفر باشد و به عبارتی دیگر ۲- نیروی مؤثر بین این دو خریا نمی‌تواند مولفه‌های عمود بر بند اتصال داشته باشد. اگر دو خریا توسط دو میله موازی نظیر آنچه در پانل (d) درسازه‌های (د) و (ه) نشان داده‌ایم بهم متصل گردند یک معادله خاص برای این اتصال می‌توان برقرار کرد به این صورت که عمل و عکس العمل بین این دو خریا نمی‌تواند نیرویی عمود بر این دو میله داشته باشد، در حالت سازه‌های (د) و (ه) این استدلال به این معنی است که برش باید در پانل  $m$  برابر با صفر باشد.

از این بحث چنین بر می‌آید که در سازه (الف) می‌توان یک معادله خاص، در سازه (ب) دو، در سازه (ج) یک و در سازه (د) چهار و در سازه (ه) و سه معادله خاص برقرار نمود و همچنین نتیجه‌گیری می‌شود که اگر فقط عکس العملها را در نظر بگیریم سازه‌های (الف)، (ب)، (د) و (ه) معین و سازه (ج) یک درجه‌نا معین خواهد بود. سازه (و) نوع مخصوصی است که در ایالات متحده امریکا با آن خرپای و یچرت Wichert گویند و آن را می‌توان فقط با شمارش میله‌ها، گرهها و عکس العملها ارزیابی نمود\*.

در سازه‌های شکل (۱۵-۴) هیچ ناپایداری آشکاری وجود ندارد ولی اگر کسی بخواهد عکس العملها و نیروی میله‌هارا در هریک از سازه‌های (ه) یا (و) تعیین کند نتایج بدست آمده ناسازگار، بی‌نهایت یا نامعین خواهد بود، پس این سازه‌ها عملاً "ناپایدار هستند". در هریک از این دو حالت می‌توان فقط با تغییری در شکل هندسی سازه آن را به یک سازه پایدار تبدیل نمود و به این جهت است که سازه‌های (ه) و (و) را ناپایدار هندسی گویند. این نوع ناپایداری زمانی بوجود می‌آید که به علل اتصالات سازه معادله‌ای خاص برقرار کرده باشیم. گاهی ناپایداری معلوم است ولی معمولاً تا کسی به محاسبه عکس العملها و غیره اقدام نکد آشکار نمی‌شود\*\*.

#### ۴-۱۰ خرپاهای متداول پلها و سقفها

اعضای یک خرپا را تقریباً می‌توان به طریقی نامحدود آرایش داد ولی اکثر قریب به اتفاق خرپاهایی که در پلها و بنایها بکار می‌رود نظیر یکی از انواع متداول نشان داده شده در شکل‌های (۱۱-۴) و (۱۲-۴) خواهد بود چون از آنها اغلب استفاده می‌شود، دانشجویان باید با اساس این خرپاهای متعارف آشنا باشند.

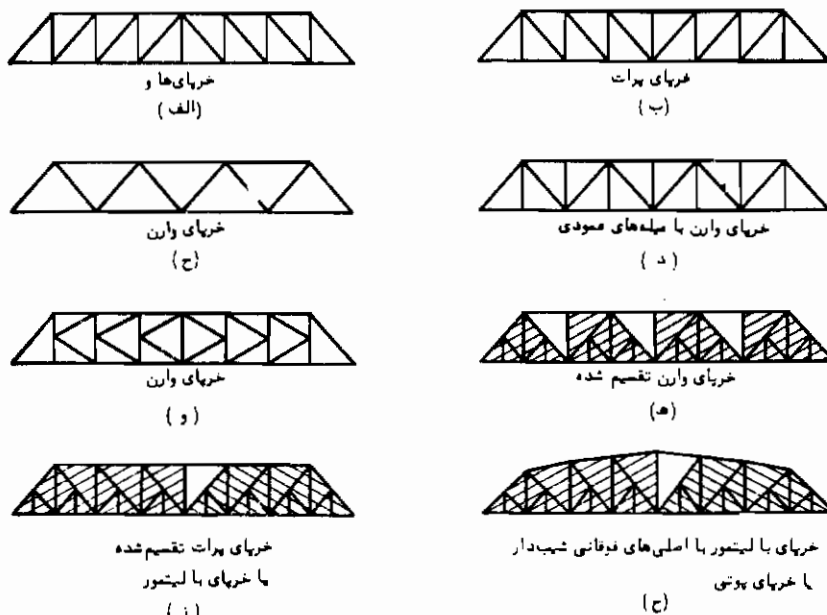
خرپاهای (الف)، (ب)، (ج)، (د)، (ه) از شکل (۱۱-۴) خرپاهای ساده‌ای هستند، در صورتی که سایر خرپاهای مرکب می‌باشند که از ترکیب خرپاهای ساده (هاشورخورد) تشکیل یافته‌اند. برای این که از نظر اقتصادی طرح پل‌های یک دهانه با خرپای فلزی مفرون به صرفه باشد لازم است که نسبت ارتفاع خرپا به طول دهانه آن بین  $5\%$  الی  $10\%$  بوده و قطریهای

D. B. Steinman, "The Wichert Truss," D. Van Nostrand Company, Inc., New York, 1932.

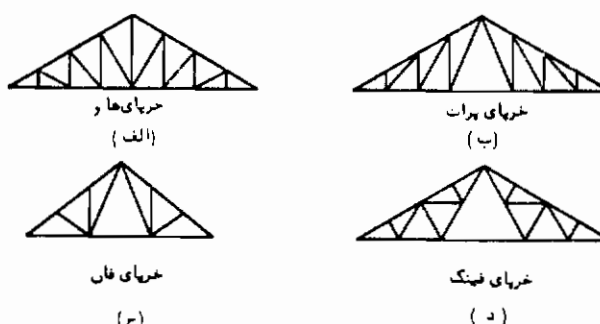
\*\* برای بحثی جامع تر به کتاب زیر مراجعه شود :

W. M. Fife and J. B. Wilbur, "Theory of Statically Indeterminate Structures," McGraw-Hill Book Company, Inc., New York, 1937.

آن شبیه در حدود  $45^{\circ}$  نسبت بهافق داشته و دهانه پانلها از ۴۰ الی ۳۰ نوت (یا از ۹ الی ۱۲ متر) تجاوز نکند. خرپاهای (الف)، (ب)، (ج)، (د) این شرایط را در صورتی که دهانه آنها وسیع نباشد می‌توانند تأمین نمایند، برای پلهایی با دهانه وسیع در هر صورت لازم است که یکی از انواع تقسیم شده‌ای نظیر (و)، (ز) و (ح) را به کار ببرند.



شکل ۱۱-۴ خرپاهای متعارف پل‌سازی



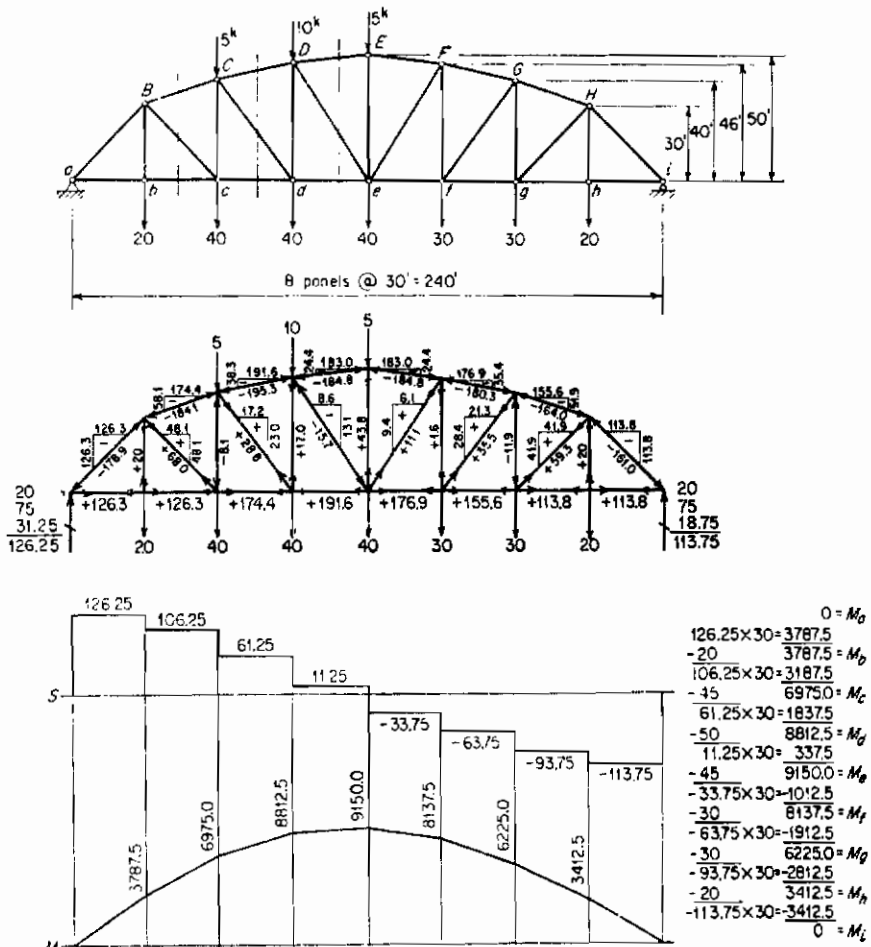
شکل ۱۲-۴ خرپاهای متعارف سقف‌ها

کلیه خرپاهای پوشش سقفها که در شکل (۱۲-۴) نشان داده شده است به جز خرپای فینک Fink که یک خرپای مرکب می‌باشد همگی خرپای ساده هستند.

## ۴-۱۱ مثال‌های عددی برای تحلیل تنش خرپاها معرفی

مثال‌های زیر شرحی بر کاربرد بحثهای قبلی درمورد تحلیل تنش برخی از انواع متعارف خرپاهاست، تحلیل چنین خرپاهایی را بعداً در فصل ۷ خواهیم دید.

مثال ۴-۷= نیروی میله را در کلیه اعضای این خرپای پرانت که دارای میله‌های اصلی و فوکانی منحنی شکل است محاسبه کنید.



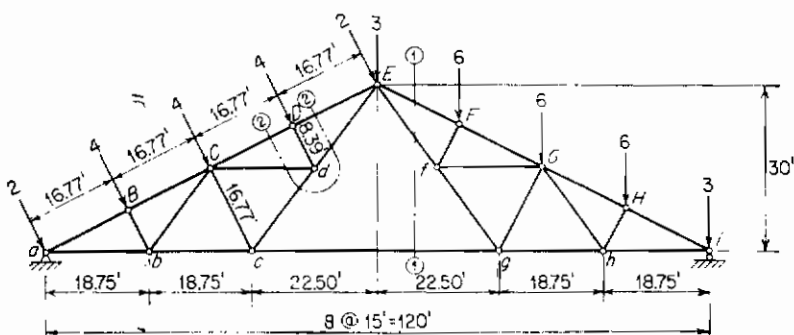
## بحث:

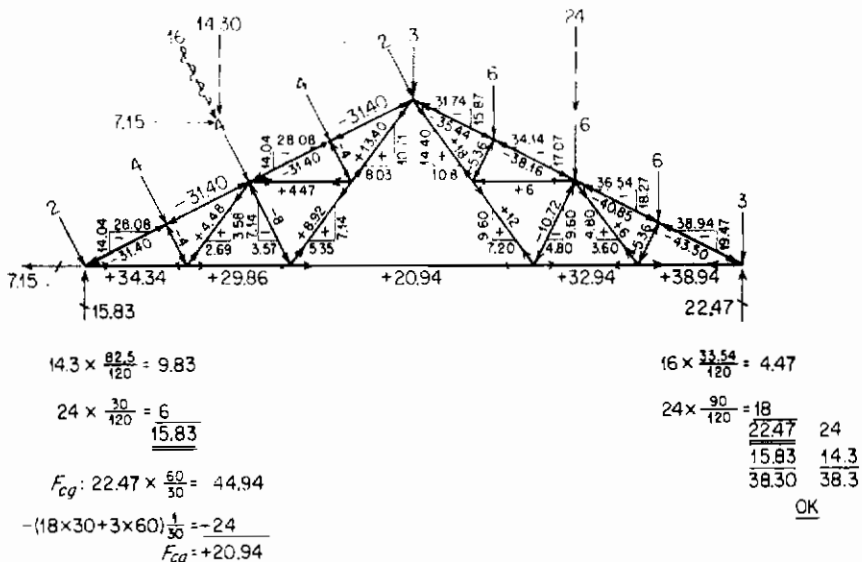
این خرپای پرات خرپایی ساده است و به این جهت فقط می‌توان با استفاده از روش گره‌ها بتحليل آن پرداخت، البته چنانی روشنی هرگاه میله‌های فوقانی و تحتانی موازی نباشد از نظر عملی مفید نیست، شاید بهترین طریقه این باشد که استداد مولفه‌های افقی میله‌های فوقانی منحنی شکل را تعیین نمائیم. این عمل را می‌توان با گذراندن برشی عمودی از وسط یک پانل و لنگرگیری نسبت به نقطه مناسبی در روی میله تحتانی انجام داد، این محاسبات زمانی که مقدار لنگرخمشی در نقاط مختلف میله‌های تحتانی معلوم باشد بسیار ساده‌تر خواهد بود.

مقدار لنگرخمشی را در گره‌های میله‌های تحتانی می‌توان بمسادگی با رسم نمودارهای برش و لنگرخمشی چنانکه نشان داده‌ایم محاسبه نمود. در این حالت اگر کلیه بارها و عکس العملها عمودی باشند لنگرخمشی حول هرگرهی از میله‌های فوقانی برابر با همان مقدار حول گره از میله‌های تحتانی – که دقیقاً "در زیر آن واقع شده" – باشد، بدیهی است که اگر بارهای افقی نیز وجود داشته باشند این مطلب صحیح نخواهد بود.

پس از آن که مولفه‌های افقی در میله‌های فوقانی معلوم شد بقیه تحلیل تنیش را می‌توان از طریق روش گره‌ها تکمیل نمود، باید خاطرنشان کرد که محاسبه مولفه‌عمودی میله‌های قطری پس از آن که برش در پانلها و مولفه‌های عمودی در میله‌های فوقانی معلوم شود عملی ساده خواهد بود.

**مثال ۴-۸**= کلیه نیروهای میله را در اعضای این خرپای سقفی فینک محاسبه کنید.





بـحـث

گرچه این خرپای فینک خرپایی مرکب است ولی آن را می‌توان فقط به کمک روش گرهها تحلیل نمود. به عنوان مثال، پس از آن که عکس‌العملها محاسبه شد روش گرهها را می‌توان به ترتیب بر گرههاي  $H$  و  $G$  اعمال نمود. ولی چون در هر یک از گرههاي  $H$  و  $G$  بیش از دونیروی میله مجهول وجود دارد لذا این گرهها را نمی‌توان در مرحله دوم تحلیل، بررسی کرد. ولی می‌توان نیروی میله در  $G$  را با آزادسازی گره  $H$  و نیروی میله در  $G$  را با آزاد کردن گره  $H$  بدست آورد و سپس به راحتی می‌توان تحلیل تنشی را با همان روش گرهها به پایان رساند. این چنین عملی بما می‌توان جهت امکان پذیر است زیرا که گرههاي  $E$ ،  $F$  و  $G$  و به همین ترتیب گرههاي  $H$  و  $I$  روی یک خط مستقیم واقع می‌باشند.

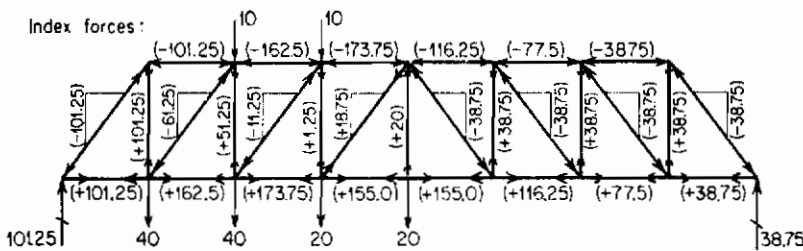
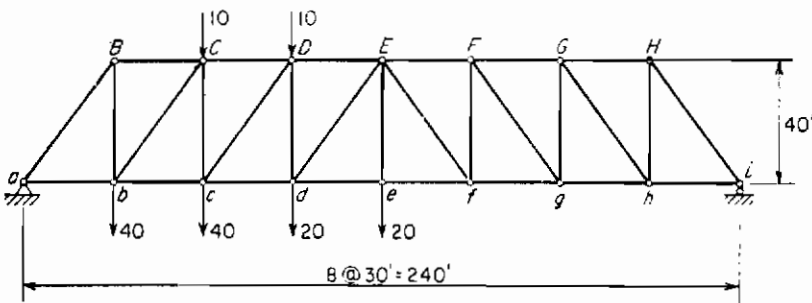
البته معمولاً کاهی عمل به صورت زیر ارجحیت دارد: پس از آن که روش گرهها را در مورد گرههای  $H$  و  $W$  به کار بریدیم نیروی میله را در  $eg$  می‌توانیم با جادا کردن قسمت راست برش ۱-۱ و با لنگرگیری حول نقطه  $E$  بددست  $A$  و  $R$  و  $S$  بقیه تحلیل خریا توسط روش گرهها انجام ممکن است.

توجه شود که می‌توان تحلیل تنش را با محاسبه نیروی میله‌هادر  $Gf$ ،  $Cb$ ،  $Cd$  و  $Gh$  با استفاده از روش‌های نظریه ۲-۳، و لگنگری جول نقاطه، نظریه نقطه  $E$  در حالت

## برش ۲-۲ تسریع نمود.

نکته اساسی این است که همواره به خاطر داشته باشیم که از ترکیب کاربرد دو روش گره‌ها و مقاطع بهمنحوى استفاده کنیم که به محاسبات سرعت لازم دارد شود .  
توجه شود که شکل هندسى این خرپا تقریباً پیچیده است که البته چنین مطلبی در مورد خرپاهای پوششی مرکب صحت دارد ، در چنین حالاتی اغلب تعیین تنش از طریق روش تحلیل ترسیمی ساده‌تر خواهد بود .

مثال ۹-۴ = کلیه نیروها را در همه اعضای این خرپای ها و محاسبه کنید .



$$80 \times \frac{6.5}{8} = 65$$

$$80 \times \frac{1.5}{8} = 15$$

$$40 \times \frac{4.5}{8} = 22.5$$

$$40 \times \frac{3.5}{8} = 17.5$$

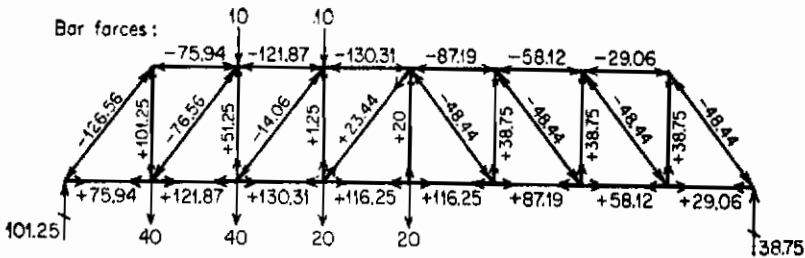
$$20 \times \frac{5.5}{8} = \frac{13.75}{101.25} \uparrow$$

$$20 \times \frac{2.5}{8} = \frac{6.25}{38.75} \uparrow$$

$$\frac{38.75}{101.25} \uparrow$$

$$140.0$$

$\therefore O.K.$



برای عمودیها (میله های عمودی) :  $(نیروی راهنمای) \times 1 = (نیروی میله)$

برای قطریها (میله های قطری) :  $(نیروی راهنمای) \times 5\%_{40} = (نیروی میله)$

برای اصلیها (میله های فوقانی و تحتانی) :  $(نیروی راهنمای) \times 3\%_{40} = (نیروی میله)$

وارسی :

$$F_{ef} = 88.75 \times 12\%_{40} = \underline{\underline{+116.25}}$$

بحث :

پس از آنکه عکس العملها محاسبه شود کلیه نیروی میله ها را در اعضاء جان خرپا می توان با استفاده از یکی از روش های گره ها یا مقاطع با شروع محاسبات از یک انتهای خرپا به طرف انتهای دیگر تعیین نمود ، سپس با محاسبه مولفه افقی اعضاء قطری می توان با استفاده از روش گره ها به تعیین نیرو در اعضاء فوقانی و تحتانی خرپا پرداخت در این حالت نیرو در اعضاء فوقانی و تحتانی فقط بستگی به مولفه افقی اعضاء قطری دارد و چون کلیه قطری ها دارای یک شب مشترک می باشند لذا نسبت بین مولفه های عمودی و افقی در همه آنها بسیار است . در این حالت این نسبت برابر ۴۰ به ۸۰ است . بنابراین در استفاده از رابطه  $F_{ef} = 2F_e$  برای گره های مختلف به منظور تعیین نیرو در اعضاء فوقانی و تحتانی می توان بخود اجازه داد که به جای مولفه افقی مقداری از رابطه  $F_e = 0$  مقدار مولفه عمودی آنها به طور موقت استفاده نمود . با این عملکرد مقداری کم برای نیروی اصلی های فوقانی و تحتانی بدست می آید برابر با مقدار حقیقی نیروی میله ها نمی باشد ولی خارج قسمت این مقداری به مقدار حقیقی ثابت بوده و برابر با نسبت بین مولفه های عمودی به افقی قطریها می باشد .

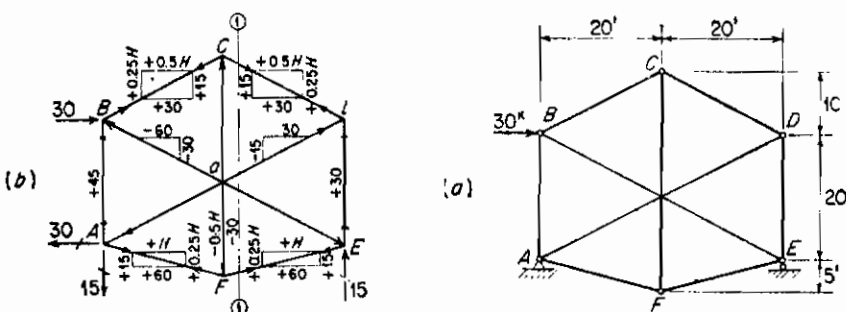
این مقدار نیروی اعضای اصلی که باید به ضرب ثابتی جهت به دست آمدن مقدار واقعی نیروی میله ها ضرب شوند نیروی راهنمای اعضا اطلاق کرد . نیروی راهنمای چنانکه در اولین نمودار نیرو توسط اعدادی در داخل هلال نشان داده ایم می توان

به سادگی نوشته و پس از آن می‌توان نیروی میله‌های حقیقی را چنانکه در دومین نمودار نیرو نوشته شده است با ضرب نیروی راهنمای در ضرائب لازم به دست آورد.

استفاده از نیروهای راهنمای در خرپاها بیان که دارای اعضای اصلی موازی با یکدیگر بوده و پانل‌های آنها نیز با یکدیگر برابر است و تحت اثر بارهای عرضی می‌باشند مفید است، در سایر حالات روش نیروهای راهنمای معمولاً "از سایر روش‌هایی که قبله" درباره آنها بحث شد نارسانتر می‌باشد.

#### ۱۳-۴- حالات استثنایی

گاهی برخی از خرپاهای جزو هیچیک از انواع خرپاهای ساده و یا مرکب نمی‌باشند نظیر چنین خرپایی را در شکل (۱۳-۴ الف) نشان داده‌ایم، در این حالات معمولاً "نمی‌توان گفت که این خرپا صلب است و یا این که نامعین است، در این حالت مخصوص شمارش سازه معلوم می‌کند که نه میله و شش گره وجود دارد ولذا معلوم می‌شود که این سازه معین است. پایدار و یا ناپایدار بودن خرپا واضح نیست ولی یکی از طرق درک آن این است که به تحلیل تنش بپردازیم و بهبینیم که آیا پاسخهای دریافتی سازگار است و یا خیر.



شکل ۱۳-۴ خرپای پیچیده

پس از محاسبه عکس‌العملها معلوم می‌شود که هیچ گرهی وجود ندارد که دو نیروی میله مجهول داشته باشد، لذا به کارگرفتن روش گرهها هیچ پاسخ سریعی نظیر کاربرد آن در مورد خرپاهای ساده برای نیروی میله‌ها به دست نخواهد داد و بهمین طریق معلوم می‌شود که روش مقاطع نیز پاسخ سریعی برای هیچیک از نیروی میله‌ها معلوم نمی‌کند. البته ممکن است که از حل دستگاه ۹ معادله که ۹ نیروی میله مجهول را در بردارد و از اعمال ۱۲ معادله ناشی از روش گرهها در عکس‌گره از این سازه به دست می‌آید به مقادیر مجهول نیروی میله‌ها

بی برد و اگر عکس العملها قبلاً تعیین شده باشد می‌توان از معادله باقیمانده برای نتایج بدست آمده برای نیروی میله مجھول استفاده نمود.

در هر صورت برقرارنمودن این چنین نه معادله برای حل این مساله راه حل ضعیفی است. روش‌های دیگری که بسیار بهتر از این روش هستند وجود دارد که یکی از آنها به صورت زیر است: پس از تعیین عکس العملها فرض کنید که نیروی میله  $FE$  برابر با نیروی کششی به مقدار  $H$  باشد. از بررسی گره  $F$  چنین بر می‌آید که مولفه افقی در  $F_A$  نیز برابر با  $+H$  و نیروی میله در  $FC$  برابر با  $-0.5H$  باشد، با ازدکدن گره  $C$  معلوم می‌شود که مولفه عمودی در هر دو میله  $BC$  و  $CD$  به ترتیب برابر با  $+0.5H$  و  $+0.25H$  خواهد شد. پس از این که نیروی میله‌ها در این پنج میله بر حسب  $H$  معلوم شد حال می‌توان با گذراندن برش ۱-۱ از وسط خرپا قسمت طرف راست آنرا جهت بررسی جدا نمود. اگر نسبت بمنطقه لنگرگیری کیم معادله‌ای بدست می‌آید که تنها مجھول  $A_H$  می‌باشد:

$$\sum^R M_a = 0, \quad \frac{1}{2} (15H - (20)(0.5H) - (15)(20)) = 0$$

از این رابطه  $+60 = H$  بدست می‌آید. پس از معلوم شدن  $H$  سایر نیروی میله‌ها را می‌توان با روش گره‌ها چنانکه در شکل (۴-۱۳ ب) می‌بینیم بدست آورد. چون بمانی طریق تحت هر نوع بارگذاری می‌توان به تحلیل سازگاری از تنش در این خرپا دست یافت لذا می‌توان نتیجه گرفت که این خرپا پایدار و معین می‌باشد.

خرپاهایی از این نوع را که در ردیف خرپاهای ساده و یا مرکب قرار ندارند می‌توان خرپاهای پیچیده نامید این لفظ توسط پروفسور س. تیموشنکو Timoshenko انتخاب شده است، نامبرده در بحث غنی خود در باره خرپاهای پیچیده (یا مختلط) روشی کلی برای تحلیل خرپاهای پیچیده بنام روش هنبرگ Henneberg را ارائه داده است.\*

در حالی که دانشجویان باید خرپاهای پیچیده را بشناسند و مطلبی در باره بررسی پایدار و تحلیل تنش آنها بدانند و از طرفی اغلب با این نوع خرپا برخور迪 نخواهند داشت لذا در اینجا بیش از این به آن نمی‌پردازیم هرگاه مطالب بیشتری در این باره مورد

S. Timoshenko and D. H. Young, "Engineering Mechanics," vol. I, "Statics," McGraw-Hill Book Company, Inc., New York, 1956.

روش هنبرگ توسط خود او در کتابش که نام آن در زیر آمده است بسط داده شده است.  
"Statik der Starren Systeme," Darmstadt, 1886.

نیاز باشد می‌توانند به کتاب تیموشنکو مراجعه نمایند مثالهای متعددی در آخراً این فصل ذکر شده که نشان می‌دهد که اغلب خریاهای پیچیده ممکن است دارای آرایشی باشند که بعنای پایداری هندسی بیانجامد. این چنین حالاتی همواره واضح نیست بلکه فقط زمانی معلوم می‌شود که به تحلیل تنش بپردازیم و از ناسازگاری پاسخهای به دست آمده پی‌بعنای پایداری آن ببریم.

### ۶- قابهای صلب

قبل از این که فصل مربوط به سازه‌های خریایی را خاتمه دهیم جلب توجه داشتجمیان به اختلاف بین خریاهای ایده‌آل و "قابهای صلب" بسیار مهم است. معمولاً "اعضای یک قاب صلب توسط گرههایی صلب که قادر به تحمل لنگر می‌باشند، بهم متصل می‌گردند. برخلاف آن در خریاهای ایده‌آل کلیه اعضاء توسط مفصل بهم وصل می‌شوند. پس یک قاب صلب عبارت از سازه‌ای است که از تعداد اعضاًی که همگی در یک صفحه واقع شده و توسط گرههایی صلب تشکیل شده‌ای صلب را داده باشند به نحوی که برخی یا همه آن گرهها برخلاف مفصل، صلب و دارای مقاومت در برابر لنگر باشند تشکیل شده باشد.

یک گره لنگرپذیر (مقاوم در برابر لنگر) گره‌ای است که قادر باشد از عضوی به عضو دیگر که در آن گره بهم متصل شده‌اند لنگر و نیرو منتقل نماید، چنین گرهی را می‌توان با برج یا جوش‌کردن اعضاء مورد بحث به ورق اتصال ایجاد نمود، طرح چنین گرهی بعنوانی است که زاویه بین اعضاء مختلف در گره همواره تحت اشتغیل‌شکل قاب نیز بدون تغییر باقی می‌ماند. بدین دلیل معمولاً گرههای لنگرپذیر را گرههای صلب کویند.

اگر این تعاریف را در نظر بگیریم، خریای جدید که دارای گرههای جوشی یا پرچی می‌باشد در زمرة قابهای صلب قرارخواهد گرفت ولی چون عموماً با فرض این که چنان خریایی مانند یک خریا با اتصالات مفصلی عمل کند به تحلیل تنش رضایت بخشی منتهی می‌شود به‌این خاطر به آن نوع سازه‌ها خریا گویند. و بدین ترتیب لفظ قاب صلب به‌کلیه سازه‌های مذکور در شکل (۱۴-۴) به جزشکل (ب) آن اختصاص یافته است. در این اشکال قابهای صلب را با نمودارخطی و گرههای لنگرپذیر را با ماهیجه کمی در گره اتصال قطعات نشان داده‌ایم و گرههای مفصلی را مانند معمول مشخص کرده‌ایم.

مساله پایداری و معین بودن قابهای صلب را می‌توان به روشی مشابه با آنچه برای خریاهای به‌کار برده می‌شود بررسی نمود، به‌این منظور می‌توان ضابطه‌ای جهت مقایسه بین مقدار مولفه‌های مجھول نیروها و عکس‌العملها با تعداد معادلات مستقل تعادل استاتیکی موجود برای

حل آن سازه برقرار نمود ، نظیر حالت خریاها ، تعداد مجھولات و معادلات را می‌توان بر حسب تعداد قطعات (اعضا) گرهها و اجزای عکس‌العمل بیان نمود .

تعداد کلی مجھولات مستقل برابر با جمع تعداد اجزای مجھول عکس‌العمل و تعداد مولفه‌های مجھول و مستقل نیروی داخلی قطعات می‌باشد . در یک قاب با گره‌های صلب ، عمل گره بر روی یک عضو می‌تواند شامل یک لنگر و یک نیرو باشد به طوری که این نیروی‌تواند هم دارای مولفه عمودی هم مولفه افقی گردد . بنابراین مقطعی از یک عضو می‌تواند تحت اثر نیروی محوری ، نیروی برشی و لنگرخمشی باشد و به‌این ترتیب اگر نیروی محوری ، نیروی برشی و لنگرخمشی در انتهای یک عضو معلوم گردد همین کمیت‌ها را می‌توان برای سایر مقاطع عضو محاسبه نمود . بنابراین برای هر عضوی از یک قاب فقط سه مولفهٔ مستقل نیروی داخلی وجوددارد — حال اگر تعداد اجزای عکس‌العمل ۲ باشد و تعداد اعضاء ۶ ، تعداد کل مجھول مستقل یک قاب برابر با  $2 + 36 = 38$  خواهد بود .

اگر گره صلبی را از سازه آزاد کنیم این گره تحت دستگاه نیرو و لنگر واقع خواهد شد ، برای این‌که تعادل چنان گرهی برقرار باشد این دستگاه باید سه معادله تعادل استاتیکی  $\Sigma F_x = 0$  ،  $\Sigma F_y = 0$  ،  $\Sigma M = 0$  را جواب‌گو باشد . اگر کل قاب در تعادل باشد لازم است که کلیه گره‌های آن نیز در تعادل بماند و اگر قاب دارای  $n$  گره صلب باشد هر یک از این گرهها را می‌توان آزاد نموده و برای کل آنها  $3n$  معادله تعادل استاتیکی برقرار نمود . مانند آنچه در بحث خریاها دیدیم می‌توان ثابت نمود که سه معادله تعادل کل سازه مستقل از این معادلات نیستند ولذا می‌توان نتیجه گرفت که برای کل قاب صلب فقط  $3n$  معادله تعادل استاتیکی می‌توان برقرار نمود .

کاهی مفصل‌هایی و یا وضعیت خاص دیگری در سازه موجود است لذا اگر به‌این ترتیب تعداد معادلات خاص سازه ۸ باشد تعداد کل معادلات موجود برای تعیین مجھولات برابر با  $8 + 3n$  خواهد بود . خابطه‌ای برای تعیین پایداری و معین بودن قاب صلب با مقایسه تعداد مجھولات یعنی  $2 + 36 + 8$  با تعداد معادلات مستقل یعنی  $8 + 3n$  معلوم می‌شود . همان‌طوری که قبل " دیدیم می‌توان نتیجه گرفت .

اگر  $2 + 36 + 8 > 3n + 8$  باشد قاب ناپایدار است .

اگر  $2 + 36 + 8 = 3n + 8$  باشد قاب معین است .

اگر  $2 + 36 + 8 < 3n + 8$  باشد قاب نامعین است .

اگر خابطه نشان دهد که قاب مورد بحث معین یا نامعین است باید مانند بحثی که در بخش (۴-۸) دیدیم بهیاد آورد که شمارش تنهای نمی‌تواند پایداری سازه‌ای را ثابت نماید و در آن صورت معلوم نیست که آن سازه از نظر استاتیکی و هندسی ناپایدار نباشد .

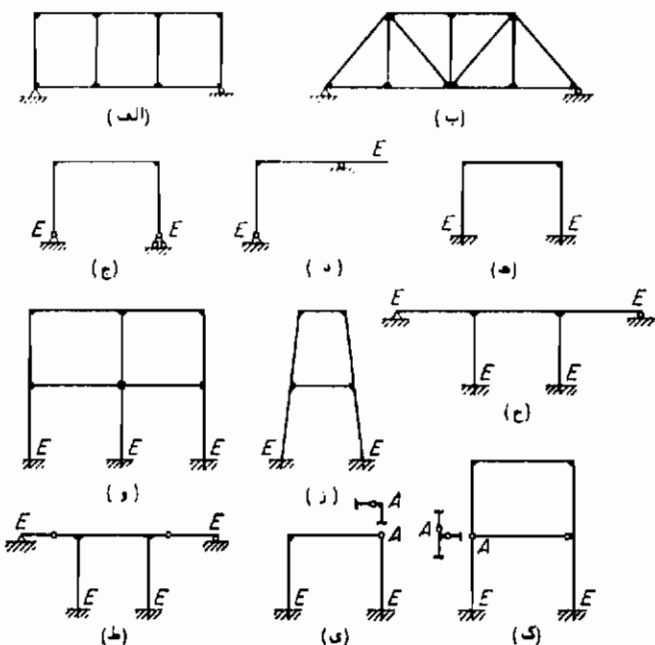
این ضابطه نشان دهنده درجه نامعینی نسبت به عکس‌العملها و مولفه‌های داخلی است و اگر فقط درجه نامعینی عکس‌العملها را لازم داشته باشیم می‌توان به همان روشنی که در بخش (۹-۴) برای سازه‌های خربایی و همچنین در بندۀ‌های (۵-۲) و (۶-۲) بحث شد عمل نمود.

جدول (۱-۴) نتیجه اعمال ضوابط فوق الذکر را در مورد قابهای شکل (۱۴-۴) نشان می‌دهد.

جدول (۱-۴)

مشخصه قاب	$3b + r$	$3n + s$	$r$	$b$	$s$	$n$	قاب
۹ درجه نامعین	33	24	3	10	0	8	الف
۱۸ درجه نامعین	42	24	3	13	0	8	ب
معین	12	12	3	3	0	4	ج
معین	12	12	3	3	0	4	د
۳ درجه نامعین	15	12	6	3	0	4	ه
۱۲ درجه نامعین	39	27	9	10	0	9	و
۶ درجه نامعین	24	18	6	6	0	6	ز
۶ درجه نامعین	24	18	9	5	0	6	ح
۴ درجه نامعین	24	20	9	5	2	6	ط
۲ درجه نامعین	15	13	6	3	1	4	ی
۳ درجه نامعین	24	21	6	6	3	6	ک

در عمل به این ضابطه کلیه انتهایهای نظیر  $E$  از قابها را که در شکل (۱۴-۴) نشان داده‌ایم باید مانند یک گره بحساب آورد، اگر چه به این نقاط فقط یک عضو منتهی می‌شود. گاهی شمارش و یعنی تعداد معادلات خاص سازه مشکل است. در سازه (ط) از شکل (۱۴-۴) واضح است که ایجاد دو مفصل سبب برقراری دو معادله خاص می‌شود در سازه (ی) مفصل گره  $A$  سبب یک معادله خاص ولی ایجاد مفصل مشابهی در سازه‌ای (ک) در گره  $A$  سبب ایجاد دو معادله خاص می‌گردد، در کلیه حالات فوق صحت آن شمارش بالا لاحظه شکل‌های کمکی که در هر حالتی برای گره‌ها نشان داده‌ایم واضح می‌گردد، این شکل‌های کمکی در هر حالتی نشان دهنده عملکردی است که در اثر ایجاد مفصل‌ها در انتهای اعضاء بوجود می‌آید با این ترتیب در سازه (ی) یک مفصل و در سازه (ک) دو مفصل در گره  $A$  بوجود می‌آید. برای این که مطلب فوق الذکر را به صورت کلی بیان کنیم باید گفت که تعداد معادلات خاص که در اثر ایجاد



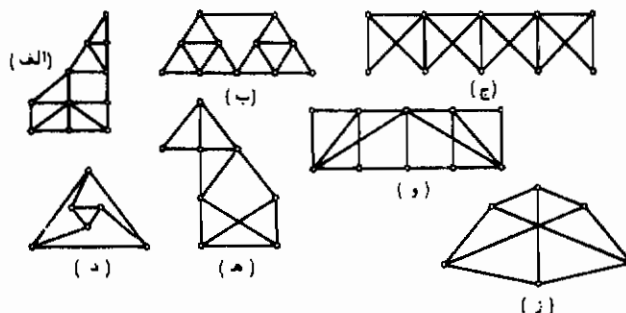
شکل ۱۴-۴ قابهای صلب

گره مفصلی در قابی صلب می‌آید برابر است با تعداد میله‌های مختوم به آن گره منهای یک. اگر تعداد معادلاتی که بین ترتیب شمرده می‌شود برابر با ۰ باشد این ضابطه جوابهای صحیح خواهد داد.

پس از خواندن پاراگراف آخر حقیقت این بیان برای خواننده واضح می‌شود که تقریباً "شمارش صحیح سازه‌ای بدون اطلاع از پاسخ آن تقریباً" غیرممکن است بدليل مشکلاتی که در شمارش برخی از سازه‌ها پیش می‌آید مؤلفین این کتاب احساس می‌کنند که گرچه ضابطه فوق گاهی بسیار مفید واقع می‌شود ولی محاسبین تنش باید از طریق اساسی تری برای تعیین درجه نامعینی یک سازه نامعین بهره گیرند اساسی‌ترین روش این است که شکلهای آن را حذف کنند و یا این که اعضاء سازه را تا زمانی که آن سازه تبدیل به سازه‌ای معین و پایدار می‌شود برش دهند. تعداد قیودی که بین طریق تا رسیدن به این هدف حذف می‌گردد برابر با درجه واقعی نامعینی سازه خواهد بود.

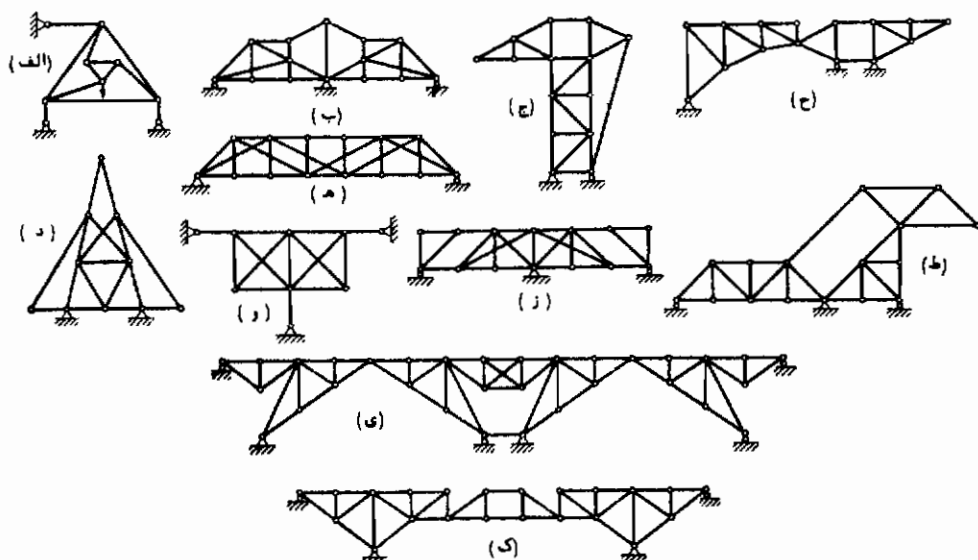
## ۴-۱۶ مسائل

۴-۱ خرپاهای شکل (۴-۵) را به دسته‌های ساده و مرکب و یا پیچیده (مختلط) تقسیم کنید



شکل ۴-۱۵ مساله (۱-۴)

۴-۲ سازه‌های خرپا‌سی شکل (۴-۶) را به دسته‌های معین یا نامعین، پایدار و یا ناپایدار تقسیم کنید، اگر سازه‌ای نامعین است درجه نامعینی آن را نسبت به عکس العمل و نیروی میله و همچنین تنها نسبت به عکس العملهای آن بیان کنید و اگر سازه‌ای پایدار است دلیل ناپایداری آنرا ذکر کنید.

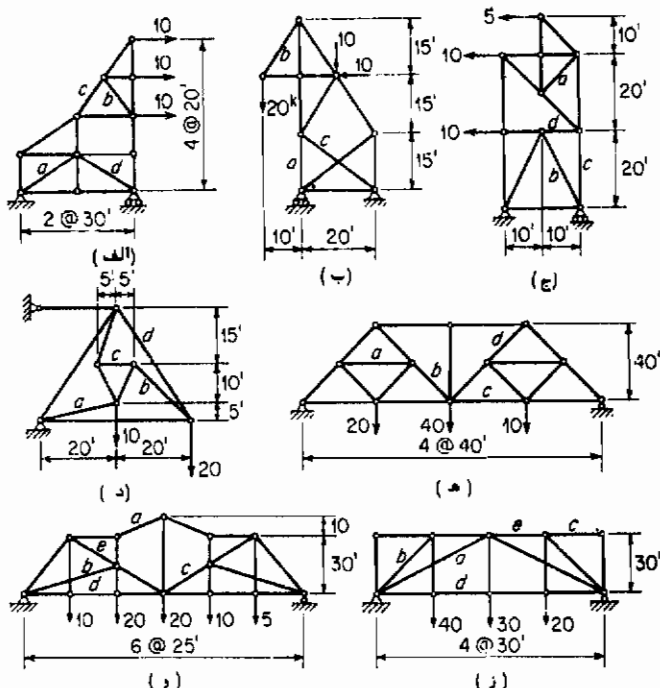


شکل ۴-۱۶ مساله (۱-۴)

جواب:

- (الف) پایدار، معین (ب) پایدار، عکس العملها یک درجه نامعین (ج) پایدار، معین  
 (د) پایدار عکس العملها یک درجه نامعین (ه) پایدار، تنفس میله‌ها یک درجه نامعین (و)  
 ناپایدار (ز) ناپایدار (ح) پایدار، معین (ط) پایدار، معین (ی) پایدار میله‌های یک درجه  
 نامعین (ک) ناپایدار.

۴- ۲ نیروی میله‌ها را در خریاهای شکل (۱۷-۴) در میله‌های که توسط حروف معین شده است  
 تحت اثر بارهای واردہ محاسبه کنید.



شکل ۱۷-۴ مساله ۳-۴

جواب:

$$a = +18.03, b = -8.3, c = +25.0, d = -18.03$$

الف

$$a = -43.75, b = +24.04, c = +2.083$$

ب

$$a = +3.535, b = +29.20, c = +17.50, d = -15.00$$

ج

$$a = -1.41, b = -5.89, c = -5.17, d = +28.18$$

د

$$a = -20.00, b = +24.74, c = +32.50, d = +38.89$$

هـ

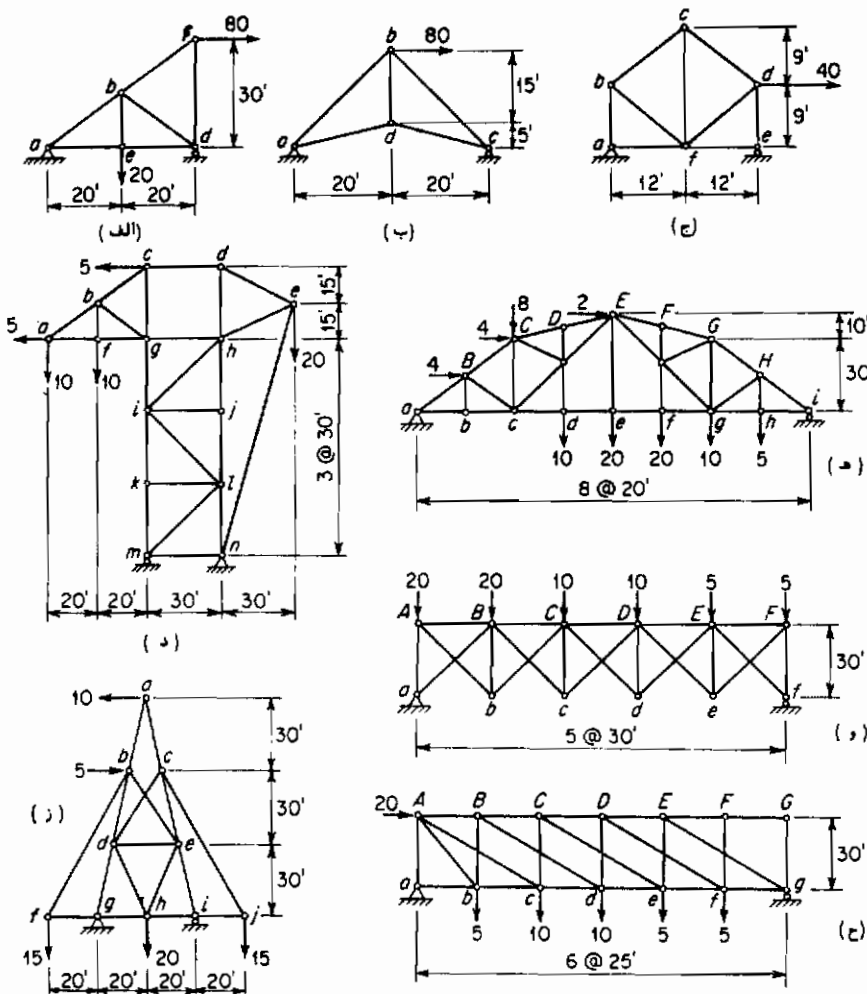
$$a = -45.44, b = -41.70, c = -5.04, d = +59.85, e = +26.89$$

و

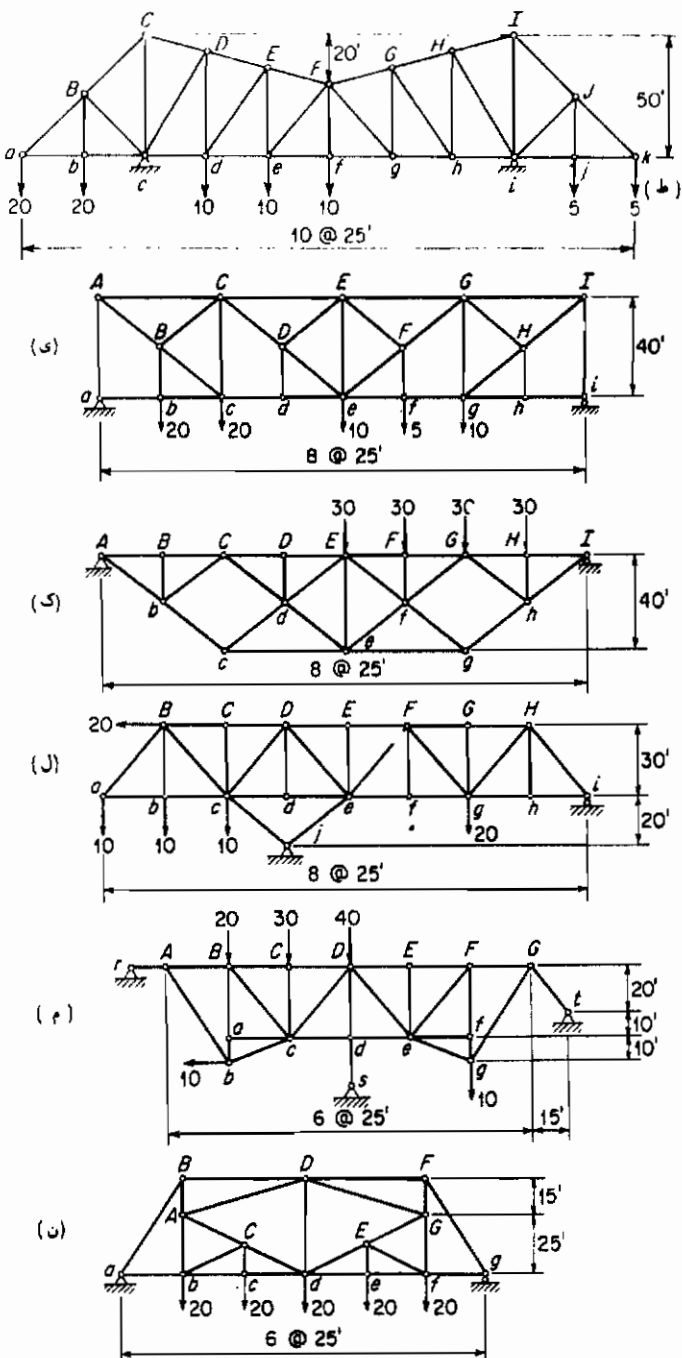
$$a = -22.36, b = -56.57, c = 0.0, d = +60.00, e = -20.00$$

ز

۴- ۴ کلیه نیروی میله‌ها را در خرپاهای شکل (۱۸-۴) تحت اثر بارهای نشان داده شده محاسبه کنید.

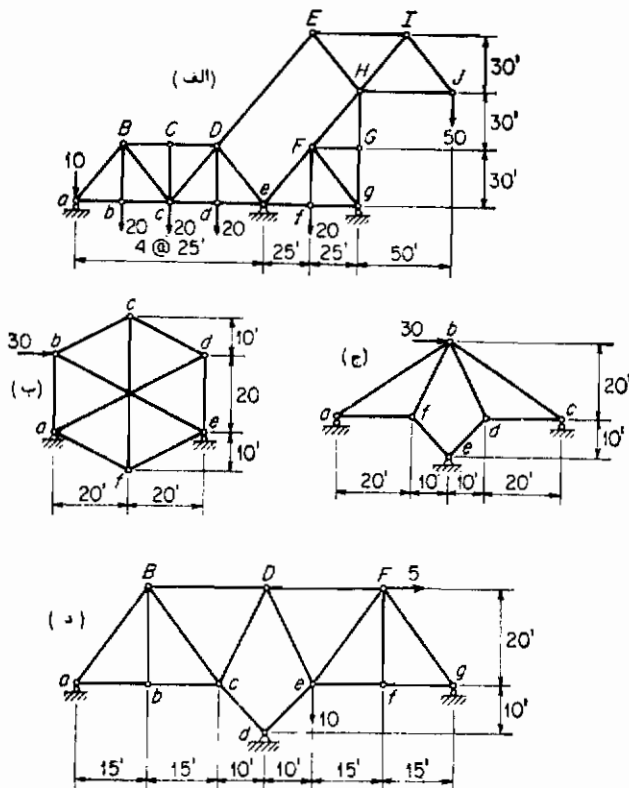


شکل ۱۸-۴ مساله ۴



دنبالهشکل (۱۸-۴)

۴-۵ نیروی میله‌ها را در سازه‌های شکل (۱۹-۴) محاسبه کنید (تذکر: متوجه باشید که چنین سازه‌هایی معکن است ناپایدار هندسی باشد)



شکل ۱۹-۴ مساله ۴

جواب:

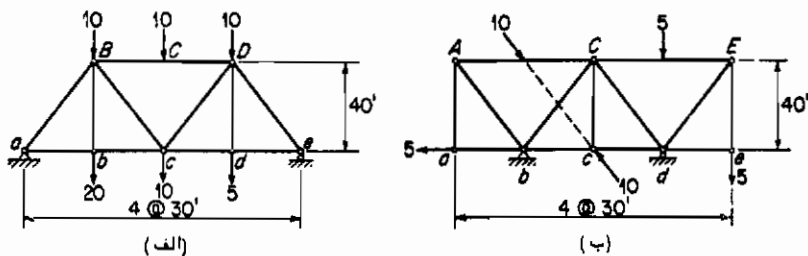
(الف) اعضاء:  $Hl = -65.086$ ;  $DE = +65.086$ ;  $Fg = -13.017$ ;  $cD = +45.50$

(ب) ناپایدار هندسی

(ج) ناپایدار هندسی

((د) اعضاء:  $Bc = -16.406$ ;  $cd = -24.745$ ;  $De = +4.841$ ;  $fg = -5.156$ )

۴-۶ نیروی میله‌ها را در سازه‌های شکل (۲۰-۴) محاسبه کنید. همچنین نمودارهای برش و لنگر خمشی را برای آن اعضاء که چنان تنشهایی را تحمل می‌کنند رسم کنید.



شکل ۲۰-۴ مساله ۶

جواب :

$$(الف) اعضاء : \quad BD = -28.125; BC = +1.563; ab = +27.188$$

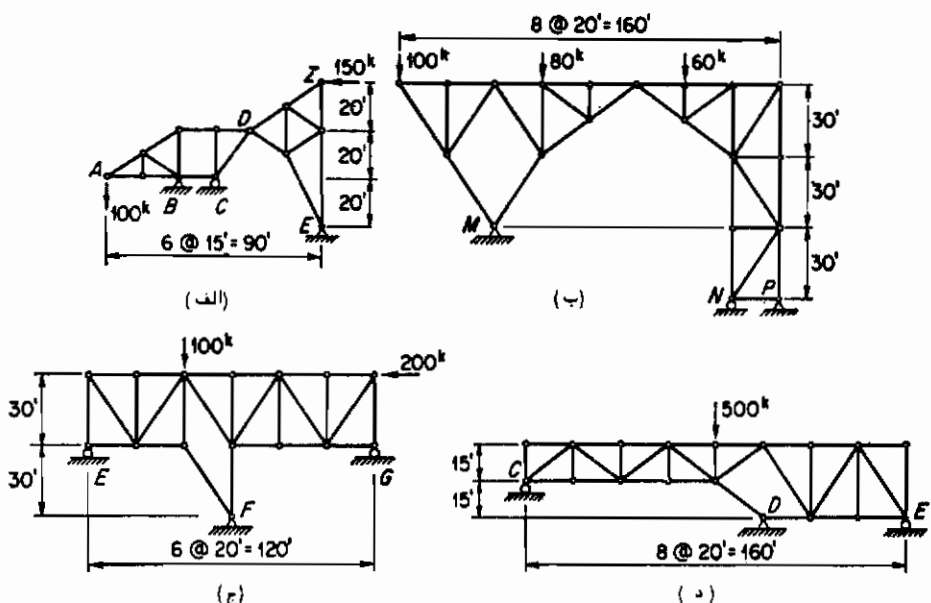
عضو  $BD$  : برش در  $D$  لنگر در  $B$   $= -5.0$   $B = +5.0$

$$(ب) اعضاء : \quad Ab = -5.0 \quad bC = +8.125 \quad CE = +5.625$$

عضو  $AC$  : برش در  $C$  لنگر در  $A$   $= +4.00$   $A = 0$

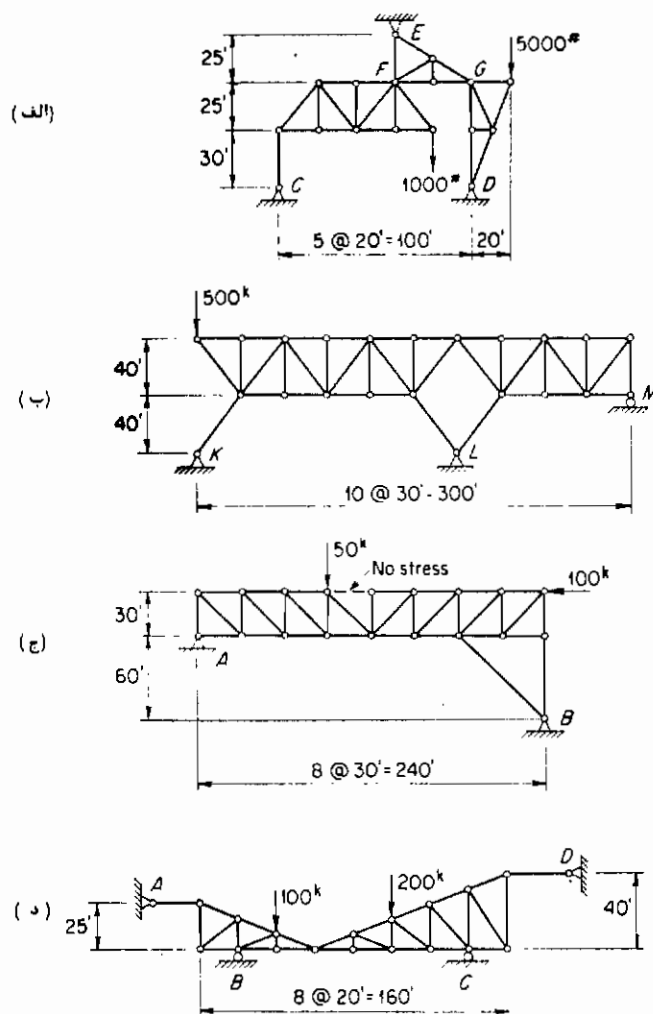
عضو  $E$  : برش در  $E$  لنگر در  $C$   $= -2.5$   $C = +2.5$

۴ - ۷ مقدار عکس‌العملها را برای هریک از سازه‌های شکل (۲۱-۴) محاسبه کنید.



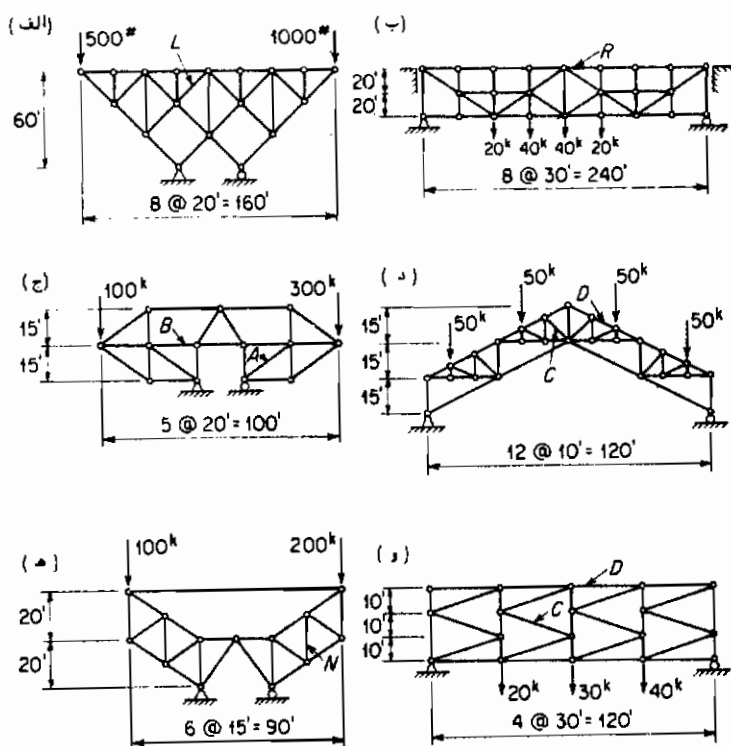
شکل ۲۱-۴ مساله ۷

۴- مقدار عکس العملها را برای هریک از سازه‌های شکل (۲۲-۴) محاسبه کنید.



شکل ۲۲-۴ مساله ۴-۲

۴- ۹ نیروی میله را در هر یک از میله‌های نشان داده شده در سازه‌های شکل (۲۳-۴) محاسبه کنید.



شکل ۲۳-۴ مساله ۹-۴



## ۵

### ایستایی ترسیمی

#### ۱ - مقدمه

ایستایی ترسیمی سخنی از مکانیک است که به جای روش‌های جبری عمدۀ "به طریق ترسیمی به حل مسائل ایستایی می‌پردازد، اصولاً" تمایل شدیدی از طرف دانشجویان و مهندسین به روش‌های ترسیمی به‌چشم می‌خورد و البته در برخی از مسائل به‌طور مشخص برتری روش‌های ترسیمی به روش‌های تحلیلی کامل‌ا" روش است، بدینه است که در مسائل دیگر نیز دقیقاً" عکس مطلب فوق صحت دارد و بین این دو حد کامل‌ا" متمایز، انتخاب شخصی و آشنازی قبلی مهندسین در روش محاسباتی نقش عده‌ای ایفا می‌کند.

مسائلی که حل آنها به طریق ترسیمی برتری دارند عبارتند از: ۱- تعمین نیروی میله‌های خربی‌ای که دارای شکل ظاهری پیچیده بوده و باید برای چند نوع بارگذاری مشخص محاسبه شود ۲- حالاتی که تغییر مکان حقیقی کل برای کلیه گرههای یک خریا مورد نیاز باشد.

دانشجویان متوجه خواهند شد که دانستن روش‌های ترسیمی نه تنها در حل مسائلی که قبلاً ذکر شد مفید می‌باشد بلکه مطالعه اصول روش‌های ترسیمی سبب ایجاد قدرت تشخیص و تجسم لازم در حل برخی از مسائل می‌گردد. دانشجویان در خواهند پافت که چنین علمی در مشاهده ذهنی و تجسم پدیده‌های فیزیکی موجود به او کم کرده و او را در جریان تفکر راه حل‌های جبری برخی از مسائل قرار می‌دهد.

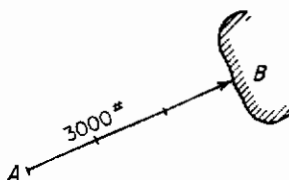
در این کتاب بحث ایستایی ترسیمی محدود به حل سازه‌های دوبعدی یا مستوی خواهد بود، البته واضح است که روش‌های ترسیمی را می‌توان در حالت کلی به مسائل سه‌بعدی نیز تعمیم داد ولی پیچیدگی‌هایی که در این طریق بدلیل بعد سوم در روش‌های ترسیمی حل مسائل وارد می‌شود بیشتر از پیچیدگی‌های روش جبری است.

#### ۲ - تعاریف

قبل از این که ببحث در مورد اصول مبنای ایستایی ترسیمی به‌پردازیم لازم است که به ذکر برخی

از عباری‌ف و خواص مربوط به نیروها و دستگاه‌های نیرو اشاره شود . نیرو را می‌توان به‌این ترتیب تعریف نمود که عبارت از هر نوع عملی است که تغایر به‌تفییر حالت حرکت (یا سکون) جسمی که بدان اثر می‌کند داشته باشد . نیروهای مؤثر بر یک جسم را می‌توان به‌نیروهای خارجی یا نیروهای داخلی (معنی برآیند اثر تنش‌های مؤثر بر مقاطع داخلی که توسط برشی که بر جسم مورد بحث اعمال می‌شود ظاهر می‌گردد) تقسیم نمود . نیروهای خارجی را نیز بعنوان خود می‌توان به‌بارهای مؤثر بر سازه از خارج (نیروهای عامل) و عکس العملها (نیروهای عکس العمل یا لنگرهای) که نقش متعادل کننده یا مهارکننده اثرات بار را دارند تقسیم نمود .

هر نیرو را می‌توان با مشخصات زیر کاملاً معین نمود ۱- نقطه اثرش ۲- امتداد نیرو ۳- مقدار برداری آن . بر طبق چنین الفاظی غرض از "امتداد یک نیرو" تعیین شیب خط اثر نیرو است و در حالی که غرض از "مقدار برداری" نمتنها اندازه عددی آن می‌باشد بلکه جهت اثر نیرو نیز مورد نظر است ، به‌این معنی که معین کنیم که نیرو به‌طرف و یا از طرف جسم اثر می‌کند و به‌این ترتیب هر نیرو یک کمیت برداری است زیرا که هم دارای مقدار و جهت است و هم دارای امتداد مشخص ، لذا یک نیرو را به‌صورت ترسیمی می‌توان توسط خطی که به‌طرف یا از طرف نقطه اثر آن می‌گذرد و دارای طولی که بر حسب مقیاس معینی نشان دهنده اندازه عددی آن می‌باشد مشخص نمود ، شیب این خط بیانگر امتداد اثر نیرو و جهت اثر نیرو توسط پیکانی که در روی امتداد نیرو است معین می‌شود . در شکل (۱-۵) نیرویی



شکل ۱-۵ بردار نیرو

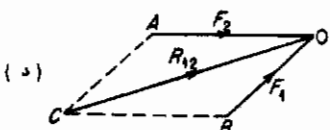
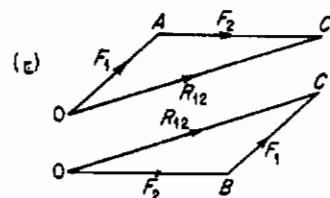
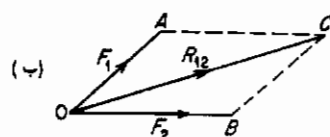
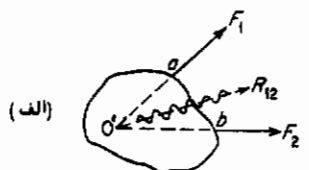
برابر با ۳,۰۰۰ توسط بردار  $\overline{AB}$  نشان داده شده است . اگر برداری به‌چنین روشی نشان داده شود ، ترتیب حروف نشان دهنده جهت نیرو است . لذا  $\overline{AB}$  مشخص می‌کند که نیرو از طرف A به‌طرف B اثر می‌کند .

بعکار بردن لفظ "نقطه اثر" یک نیرو به‌این معنی است که متمرکز نمودن یک نیرو در یک نقطه ممکن می‌باشد ، بدینهی است که از نظر فیزیکی اثر باری معلوم بر یک نقطه غیرممکن است زیرا اگر نیرویی به سطح برابر با صفر وارد شود در سطح تماش جسم شدت تنش بی‌نهایت بوجود می‌آید و چون هیچ مصالحی نمی‌تواند چنین تنشی را تحمل نماید لذا در نقطه اثر ، تغییر شکل کوچکی انجام می‌گیرد تا این که در اطراف آن سطح تماش کوچکی ایجاد شود تا در آن سطح بار مورد بحث بهشت معینی پخش گردد ، ولی در هر صورت اگر بررسی شرط تعادل کلی جسم مورد نظر باشد منطقی این است که بار واقعی را که بر سطح کوچکی پخش می‌شود با معادل کلی آن به‌صورت باری متمرکز در یک نقطه جایگزین کنیم .

چنانکه قبل "در بخش (۳-۲) توضیح دادیم معمولاً" هرگاه به خواهیم شرط تعادل سازه‌ای را بررسی کیم می‌توان آن را یک جسم صلب (غیرقابل تغییر شکل) فرض نماییم لذا در اکثر مسائل اینتایی ترسیمی فرض خواهیم کرد که سازه یک جسم صلب است ولذا شکل هندسی آن بعداز اثر بارها عملای به شکل قبل از بارگذاری باقی خواهد ماند.

### ۵-۳ ترکیب و تجزیه نیروها

کاهی لازم است که دو نیرو را با نیروشی که همان اثر را در تعادل جسم داشته باشد جایگزین کیم، این یک نیرو که همان اثر را در ایجاد حرکت بوجود خواهد آورد براستند آن دو نیرو گویند. می‌توان نشان داد که امتداد و مقدار برداری نیروی براستند دونیروی متقارب را با رسم قطرمتوازی - الاضلاعی که دوپلخ آن دو نیروی مورد بحث به صورت دو برداری می‌باشند بددست آورد. به اسن ترتیب برای تعیین مقدار برداری و امتداد براستند دو نیروی  $F_1$  و  $F_2$  که در شکل (۵-الف) نشان داده شده



شکل ۵-۳ ترکیب نیروها

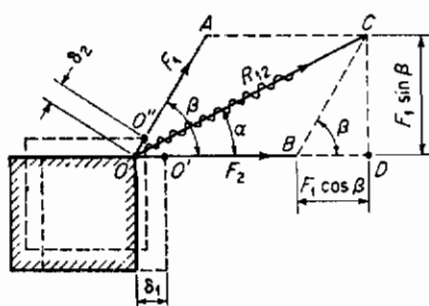
است متوازی الاضلاع شکل (۵-ب) ایجاد شده است. این متوازی الاضلاع براساس دوپلخ خود یعنی  $OB$  و  $OA$  که به ترتیب به اسن دو بردار  $A$  و  $B$  از نقطه  $O$  معرف نیروهای  $F_1$  و  $F_2$  می‌باشند بددست

آمده است . امتداد دو مقدار برداری برآیند  $R_{12}$  توسط بردار  $\overline{OC}$  که قطر متوازی‌الاضلاع فوق الذکر می‌باشد معین می‌شود .

با در نظر گرفتن شکل (۲-۵ د) واضح است که همین نتیجه را می‌توان از طریق ایجاد متوازی‌الاضلاعی با بردارهای  $\overline{AC}$  و  $\overline{BC}$  که هردو بمنطقه  $\alpha$  وارد می‌شوند به جای این که از آن نقطه خارج شوند نیز بعدست آورد و به این ترتیب از شکل (۲-۵ ج) معلوم می‌شود که همان نتایج را می‌توان با رسم یکی از مثلثهای برداری  $OBC$  و  $OAC$  به جای متوازی‌الاضلاع کسب نمود . برای رسم این مثلثها یکی از نیروهارا می‌توان ابتدا رسم نموده و نیروی دوم را از انتهای نیروی نخست ترسیم کرد . مقدار برداری و امتداد نیروی برآیند با وصل کردن ابتدای بردار اول به انتهای بردار دوم توسط بردار سومی بعدست می‌آید .

پس از آن که مقدار برداری و امتداد برآیند  $R_{12}$  به میکی از این طرق بعدست آمد نقطه اثر آن را می‌توان هر نقطه‌ای که در روی خط اثر آن گرفت شود فرض نمود . خط اثر برآیند باید از محل تلاقی دو نیروی  $F_1$  و  $F_2$  و یا به عبارت دیگر از نقطه  $O'$  در شکل (۲-۵ الف) بگذرد ، اگر چنین نباشد برآیند مجبور نمی‌تواند همان اثر دو نیرو را که به میکی آن نشسته است ایجاد نماید زیرا که در این صورت لنگر برآیند حول هر محوری که از نقطه‌ای معلوم از صفحه بگذرد برابر با جمع لنگرهای دونیرو حول همان محور نخواهد بود . به عنوان مثال جمع لنگرهای دونیروی  $F_1$  و  $F_2$  حول هر محوری که از نقطه  $O'$  بگذرد مساوی صفر است ، ولی لنگر برآیند  $R_{12}$  فقط زمانی صفر نخواهد شد که خط اثر نیز از نقطه  $O'$  بگذرد .

صحت روش ترسیم متوازی‌الاضلاع برای تعیین امتداد و مقدار برداری برآیند دونیروی متقابله را می‌توان به طریق زیر نشان داد : دونیروی  $F_1$  و  $F_2$  را که بر نقطه  $O$  از جسم شکل (۲-۵) اثر می‌کنند در نظر بگیرید برآیند  $R_{12}$  این نیروها نیز بمنطقه  $\alpha$  که در روی خط اثر برآیند که توسط زاویه مجهول معلوم می‌شود اثر می‌کند ، مقدار برداری و امتداد این نیروی برآیند را می‌توان به طریق زیر معین نمود : اگر این جسم به نحوی حرکت کند که بمنطقه  $O$  حرکتی دلخواه برابر با  $\theta$  بدهد نیروهای  $F_1$  و  $F_2$  مقدار معینی کار انجام خواهند داد ، اگر قرار باشد که برآیند  $R_{12}$  همان اثر مشابه دونیروی  $F_1$  و  $F_2$  را داشته باشد پس باید در طول حرکت  $\theta$  همان مقدار کار را انجام دهد ، فرض کنید که



شکل ۲-۵ متوازی‌الاضلاع نیروها

به جسم حرکتی دلخواه و انتقالی داده باشیم به نحوی که نقطه  $O$  به نقطه  $O'$  منتقل شود . با در نظر گرفتن برابری کار  $F_1$  و  $F_2$  با کار انجام شده توسط  $R_{12}$  معادله (الف) بدست می آید :

$$(R_{12} \cos \alpha)(\delta_1) = (F_2)(\delta_1) + (F_1 \cos \beta)(\delta_2)$$

$$R_{12} = \frac{F_2 + F_1 \cos \beta}{\cos \alpha}$$

به همان طریق با حرکت انتقالی مشابهی بطوری که نقطه  $O$  به  $O''$  تغییر مکان پیدا کند خواهیم داشت :

$$[R_{12} \cos (\beta - \alpha)](\delta_2) = (F_1)(\delta_2) + (F_2 \cos \beta)(\delta_2)$$

$$R_{12} = \frac{F_1 + F_2 \cos \beta}{\cos (\beta - \alpha)}$$

حال این دو معادله را باید نسبت به  $R_{12}$  و  $\alpha$  حل کنیم . با مساوی قراردادن طرفین سمت راست این دو معادله رابطه زیر برای مقدار  $\alpha$  بدست خواهد آمد :

$$\tan \alpha = \frac{F_1 \sin \beta}{F_2 + F_1 \cos \beta}$$

بنابراین داریم :

$$\cos \alpha = \frac{F_2 + F_1 \cos \beta}{\sqrt{(F_1 \sin \beta)^2 + (F_2 + F_1 \cos \beta)^2}}$$

با جاگذاری معادله (د) در معادله (الف) خواهیم داشت :

$$R_{12} = \sqrt{(F_1 \sin \beta)^2 + (F_2 + F_1 \cos \beta)^2}$$

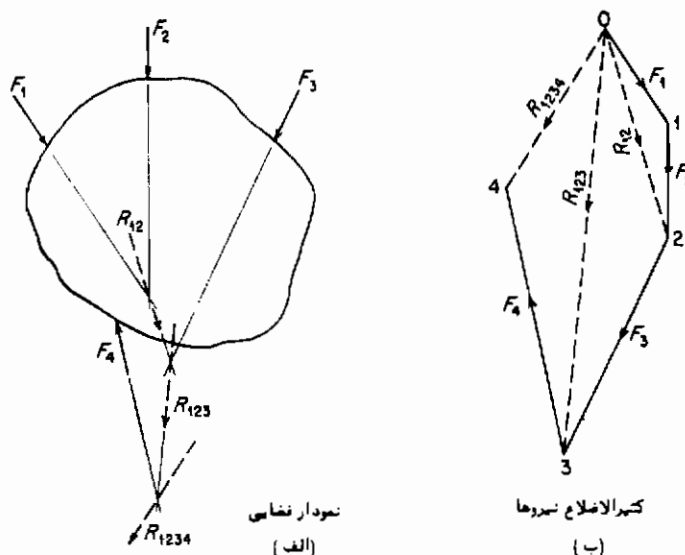
با استفاده از معادله (ج) می توان چنانچه در شکل (۳-۵) نشان داده شده است زاویه  $\alpha$  را ترسیم نمود و مقدار بردار  $R_{12}$  را نیز می توان از معادله (ه) که طول و ترمیث قائم الزاویه  $ODC$  را نشان می دهد بدست آورد . بنابراین واضح است که بردار  $DC$  که نشان دهنده برآیند می باشد قطر متوازی الاضلاع نیروهای  $OACB$  انتخاب می گردد زیرا که بر طبق شرحی که داده شد بر آن مطابقت دارد .

عملی که طی آن نیروهای  $F_1$  و  $F_2$  را توسط تنها نیروی برآیند  $R_{12}$  جایگزین می کنیم ترکیب نیروهای  $F_1$  و  $F_2$  می گویند . عکس عمل فوق را که در طی آن یک نیروی واحد را با دو نیروی معادل (که دو مولفه آن گفته می شود) آن  $F_1$  و  $F_2$  جایگزین می شود تجزیه نیروی  $R$  خوانده می شود . در تجزیه نیروها ممکن است که امتداد دو مولفه معلوم باشد و سپس مقدار برداری آنها را از طریق مثلث نیروها با متوازی الاضلاع نیروها بدست آوریم و یا این که امتداد و مقدار برداری یکی از مولفه ها معلوم باشد و به همان طریق امتداد و مقدار برداری مولفه دیگر را معلوم کنیم . این از آنکه امتداد و مقدار برداری هر دو مولفه  $F_1$  و  $F_2$  معین شد هر دوی آنها را می توان به نقطه اثر نیروی  $R$  وارد نمود . بدینهی است که می توانیم هر دو مولفه  $F_1$  و  $F_2$  را به هر نقطه ای در روی امتداد خط اثر

نیروی  $R$  وارد کنیم.

### ۴-۲ برآیند چند نیرو در یک صفحه - کثیرالاصلای نیروها

فرض کنید که جسمی تحت تأثیر دستگاه نیروی مستوی  $F_1$ ،  $F_2$ ،  $F_3$  و  $F_4$  که در شکل (۴-۲الف) نشان داده شده است واقع شده باشد. این شکل نشان دهنده تموداری با مقیاس است که نقطه اثرو خط اثر نیروها را در صفحه آنها (یا در فضای دو بعدی) نشان می دهد که به آن تمودار فضایی گویند، فرض کنید بخواهیم برآیند این نیروها را به طبق ترسیمی پیدا کنیم. چنانکه در مبحث قبل ذکر کردیم امتداد و مقداربرداری برآیند  $R_{12}$  نیروهای  $F_1$  و  $F_2$  را می توانیم از مثلث ۰۱۲ نیروها بدست آوریم خط اثر این برآیند به موازات بردار  $\overline{02}$  رسم می شود که از محل تقاطع خطوط اثر نیروهای  $F_1$  و  $F_2$  می گذرد. بهتر تبیین مشابه برآیند  $R_{123}$  نیروهای  $F_1$ ،  $F_2$  و  $F_3$  را نیز می توان بدست آورد و پس از آن برآیند  $R_{1234}$  نیروهای  $F_1$ ،  $F_2$ ،  $F_3$  و  $F_4$  را تعیین می کنیم. بدینهی است که برآیند  $R_{1234}$  هرچهار نیروی  $F_1$ ،  $F_2$ ،  $F_3$  و  $F_4$  می باشد.



شکل ۴-۵ برآیند دستگاه نیروی مستوی

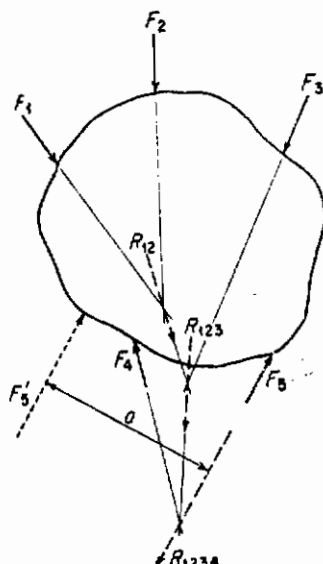
شکلی که از ترکیب مثلثهای نیروی ۰۱۲، ۰۲۳، ۰۳۴ با حذف خطوط خط چمن ۰۲ و ۰۳ به دست می آید کثیرالاصلای نیروهای  $F_1$ ،  $F_2$ ،  $F_3$  و  $F_4$  گویند، از طریق این کثیرالاصلای نیروها برآیند  $R_{1234}$  کل دستگاه را می توان مستقیماً و بدون تکمیل نمودن مثلثهای نیرو بدست آورد. امتداد و مقداربرداری برآیند با بردار یک از نقطه ابتدای کثیرالاصلای نیروها به نقطه انتهای آن وصل مسی شود

به دست می‌آید – که در این حالت بخصوص توسط بردار  $\vec{R}$  تعیین می‌شود . برای این که خط اثر این برآیند را در نمودار فضایی رسم کنیم ، خطوط اثر برآیندهای میانی  $R_{12}$  و  $R_{123}$  را نیز به عنوانی که قبل " شرح داده شد باید ترسیم نماییم .

این روش تعیین امتداد مقداربرداری و خط اثر برآیند تا زمانی که خطوط اثر نیروها با یکدیگر موازی نبوده و یکدیگر را در صفحه ترسیم قطع نمایند قابل استفاده خواهد بود . اگر این روش قابل اجرا نباشد لازم است که طریقه‌ای را که بنام "کثیرالاصلایع (قونیکولر) تعادل" خوانده می‌شود به عنوانی که در بند (۲-۵) شرح داده‌ایم بعکار برمی‌نماییم .  
باید پادآوری نمود که ترتیب رسم نیروها در کثیرالاصلایع نیروها مهم نیست ولی معمولاً نقطه منظور راحتی آنها را در جهت ساعتگرد رسم می‌نمایند .

### ۵-۵ شرایط تعادل برای دستگاه نیروهای متقارب و نامتقارب

فرض کنید که نیروی  $F_1$  بعدستگاه نیروی نامتقارب شکل (۵-۴ الف) اضافه گردد . دستگاه جدید  $F_1$  ،  $F_2$  ،  $F_3$  و  $F_4$  در شکل (۵-۵) نشان داده شده است ، فرض کنید که نیروی  $F_1$  دارای همان خط اثر برآیند  $R_{1234}$  بوده و بعلاوه از نظر مقدار عددی مساوی ولی از جهت جهت درخلاف برآیند باشد ، در این حالت معلوم می‌شود که کثیرالاصلایع نیروها برای این پنج نیرو در همان نقطه شروع اولیه آن یعنی نقطه  $O$  بسته می‌شود . بسته شدن کثیرالاصلایع نیروها نشان می‌دهد که معادلات  $\Sigma F_x = 0$  و  $\Sigma F_y = 0$  برای این پنج نیرو صادق بوده و بنابراین برآیند اثر آنها نمی‌تواند یک نیروی برآیند



شکل ۵-۵ دستگاه نیروی مستوی معادل با یک لنگر

باشد، در حقیقت دو نمودار فضایی  $R_1$  و  $R_{1234}$  دارای یک خط اثر بوده و از نظر مقدار عددی نیز با یکدیگر برابر بوده ولی از حیث جهت در خلاف هم می‌باشند این خصوصیات بهمین معنی است که  $R_1$  چهار نیروی دیگر را در تعادل نگه می‌دارد در میک چنین حالتی نیروی  $R_1$  را تعادل‌کننده چهار نیروی دیگر گویند.

حال فرض کنید که نیروی  $R_1$  بجهای این که با  $R_{1234}$  دارای یک خط اثر باشد همان طوری که در شکل (۵-۵) توسط نیروی  $R_1$  نشان داده شده است به‌غایله  $a$  از آن قرار گرفته باشد، در این حالت گرچه  $R_1$  کثیرالاصلان نیروها را می‌بندند و بهمین ترتیب معادلات  $\Sigma F_x = 0$  و  $\Sigma M = 0$  برقرار می‌شود در نمودار فضایی دو نیروی  $R_1$  و  $R_{1234}$  با یکدیگر موازی بوده ولی خطوط اثر آنها با یکدیگر به مقدار  $a$  فاصله خواهد داشت، واضح است که از این صورت برآیند دستگاه جدید  $R_1$ ،  $F_1$ ،  $P_1$  و  $R_1$  لذگری برابر با  $R_1$  بوده دستگاه به‌عملت این که  $0 \leq M \leq M$  است در تعادل خواهد بود.

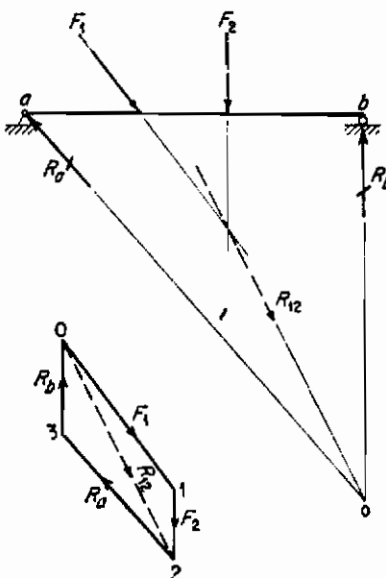
در حالت یک دستگاه نیروی نامتقارب، واضح است که بسته‌شدن کثیرالاصلان نیروها فقط شرط لازم تعادل دستگاه بوده ولی شرط کافی برای آنها خواهد بود. اضافه بر این شرط باید در نمودار فضایی نشان داده شود که دستگاه معادل یک لشکر نمی‌باشد، بهمین ترتیب که نشان داده شود که هنرنیرویی دارای همان خط اثر برآیند سایر نیروهای دستگاه بوده ولی از حیث جهت در خلاف آن می‌باشد.

بهبودی است که اگر دستگاه نیروی یک دستگاه نیروی نامتقارب باشد به‌طوری که خطوط اثر گلیمه نیروها در یک نقطه مشترک یکدیگر را قطع کنند، برآیند اثر دستگاه هرگز نمی‌تواند لشکر باشد. در این دو نیروهای از محل تقاطع این دو نیرو بگذرد پس برای اینکه نیروی باقیمانده متعادل کنند این دو نیرو باید که خط اثر نیروی سوم بر برآیند این دو نیرو منطبق گردد. از اینجا می‌توان چنین نتیجه گرفت که اگر قرار است که دستگاه در تعادل باشد می‌بایستی که این سه نیرو از نقطه مشترکی بگذرند. این نتیجه‌گیری اساس و روش سنتیرو، را که برای تعیین عکس‌العملهای سازه‌های معین بهکار می‌رود تشکیل می‌دهد.

#### ۵ - ۶ تعیین عکس‌العملهای سه نیرو

اگر فقط سه نیروی غیرموزایی بر جسمی اثر کند می‌توانیم به‌سادگی نشان دهیم در صورتی در تعادل خواهند بود که هاهم متقابل باشند، دو نیرو از این سه نیرو را در نظر بگیرید خط اثر برآیند این دو نیرو باید از محل تقاطع این دو نیرو بگذرد پس برای اینکه نیروی باقیمانده متعادل کنند این دو نیرو باید که خط اثر نیروی سوم بر برآیند این دو نیرو منطبق گردد. از اینجا می‌توان چنین نتیجه گرفت که اگر قرار است که دستگاه در تعادل باشد می‌بایستی که این سه نیرو از نقطه مشترکی بگذرند. این نتیجه‌گیری اساس و روش سنتیرو، را که برای تعیین عکس‌العملهای سازه‌های معین بهکار می‌رود تشکیل می‌دهد.

به عنوان مثال تبریز شکل (۵-۶) را ملاحظه کنید فرض کنید بخواهیم عکس‌العملهای آنرا که برای حفظ تعادل استاتیکی این سازه لازم است معین تعایم، ابتدا خط اثر و مقدار برداری برآیند بارهای واردہ را با بهکاربردن کثیرالاصلان نیروها و نمودار فضایی تعیین کنید، حال می‌توان سازه را تحت اثر سنتیرو فرض نمود - برآیند بارهای واردہ (درین حالت و  $R_1$ ) و دو عکس‌العمل ( $R_2$  و  $R_3$ )



شکل ۵-۶ تعیین عکس عملهای بروش سه نیرو

برای این که سازه در تعادل باشد لازم است که این سه نیرو متقابله باشند در این حالت مقدار برداری دو مکان العمل و امتداد  $R_b$  مجھول می‌باشد ولی نقطه اثر  $R_a$  و خط اثر  $R_b$  هردو معلوم هستند. واضح است که خط اثر  $R_b$  باید خط عمودی که از نقطه  $O$  می‌گذرد باشد، بنابراین نقطه  $O$  کمحل تلافی است باید بر نقطه تقارب این سه نیرو منطبق باشد لذا خط اثر  $R_b$  می‌بایستی در طول  $OA$  باشد. حال که امتداد هردو عکس العمل معلوم شد، مقدار برداری آنها را با علم بر این کمبلدارهای معرف این عکس عملهای باید کثیرالاصلع نیروهارا بهبود نمود. در این حالت با رسم خطی از نقطه  $2$  به موازات  $R_b$  و از نقطه  $O$  و به موازات  $R_a$  نقطه تقاطع  $3$  را که تعیین کننده طول بردارهای  $23$  و  $30$  می‌باشد و به ترتیب معرف عکس عملهای  $R_a$  و  $R_b$  هستند به دست می‌آید. البته بسته شدن کثیرالاصلع نیروها بهاین طریق یا با رسم خطی به موازات  $R_a$  از نقطه  $O$  و خط دیگری به موازات  $R_b$  از نقطه  $2$  فرقی در اصل مساله نمی‌نماید. باید توجه داشت که روش سه نیرو روش کلی و گام‌لی برای تعیین عکس عملهای یک سازه معین نمی‌باشد و فقط زمانی می‌توان آنرا به کار برد که خط اثر برآیند نیروهای واردہ خط اثر معلوم یکی از عکس عملهای را قطع نماید.

#### ۵-۷ کثیرالاصلع (تعادل) فونیکولر

در بخش (۴-۵) روشی ذکر شد که توسط آن می‌توانیم برآیند چند نیروی مستوی را معین کنیم

ولی آن روش در صورتی که نقطه تقاطعی از نمودار فضایی خارج از صفحه کاغذ قرار گیرد و یا این که دستگاه نیرو شامل نیروهای موازی باشد قابل اجرانیست . در هر حال روئی کلی بنام کثیرالاضلاع (تعادل) فونیکولر وجود دارد که در مورد کلیه دستگاه نیروهای هم صفحه قابل اجراست .

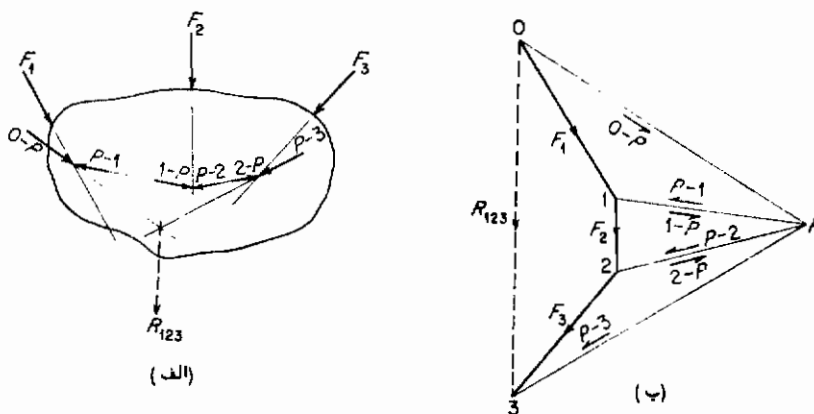
فرض کنید بخواهیم برآیند نیروهای  $F_1$  ،  $F_2$  و  $F_3$  را که در شکل (۵-۶ الف) نشان داده شده است معلوم کنیم . مقدار برداری و امتداد برآیند  $R_{123}$  با بردار  $\overline{OP}$  از کثیرالاضلاع نیروهای ۰۱۲۳ معلوم می شود . خط اثر این برآیند را روی نمودار فضایی به طریق زیر می توان معین نمود : فرض کنید مکتوسط مثلث نیروهای  $OP_1$  نیروی  $F_1$  را در نقطه‌ای از خط اثرش بعد مولفه  $P_1$  و  $OP$  (دلخواه) تجزیه کنیم همچنین فرض کنید که خط اثر مولفه  $P_1$  را تا جایی که خط اثر  $F_1$  را قطع کند ادامه دهم ، در این نقطه  $F_2$  را بعد مولفه که یکی از آنها  $P_1$  است و با  $P_1$  هم راستا (هم خط اثر) و برابر بوده ولی از حیث جهت برخلاف آن می باشد و دیگری که  $P_2$  است و از طریق مثلث نیروهای  $P_2$  حاصل می شود تجزیه کنیم ، به همین طریق  $F_3$  را چنانکه نشان داده شده بعد مولفه  $P_2$  و  $P_3$  تجزیه می کنیم در این حالت دستگاه نیروی اصلی  $F_1$  ،  $F_2$  و  $F_3$  با شش مولفه  $OP$  و  $P_1$  و  $1P$  ،  $P_2$  و  $2P$  ،  $P_3$  جایگزین شده است ، از این شش مولفه ، جفت‌های  $P_1$  ،  $1P$  و  $P_2$  ،  $2P$  با یکدیگر هم راستا (هم خط اثر) و مساوی بوده ولی از حیث جهت در خلاف هم می باشند و بدین جهت هریک از این جفت‌ها در حال تعادل هستند . بنابراین برآیند این شش مولفه که برآیند دستگاه نیروی اصلی است ، برآیند دومولفه باقیمانده  $OP$  و  $P_3$  خواهد بود که این برآیند از محل تقاطع آندونیز می گذرد .

خطی که به این طریق بین خطوط اثر نیروهای نمودار فضایی رسم می گردد کثیرالاضلاع تعادل یا فونیکولر خوانده می شود . هر ضلع این کثیرالاضلاع را که بین نیروها رسم می شود ریسمان و نقطه آن روی کثیرالاضلاع نیروها که کلیه مولفه‌ها از آن نقطه می گذرد قطب می گویند . خطوطی که روی من کثیرالاضلاع نیروها را به قطب  $P$  وصل می کند اشعه می گویند .

در مسائل عملی تعیین موقعیت خط اثر برآیند با روش ترسیم کثیرالاضلاع فونیکولر کمی باروشی که در بالا ذکر شد متفاوت است . ابتدا یک قطب مناسب  $P$  انتخاب می شود و از این قطب اشعه به روش کثیرالاضلاع نیروها رسم می کنند سپس ریسمان‌های کثیرالاضلاع فونیکولر را روی نمودار فضایی به موازات اشعه متناظر خود روی کثیرالاضلاع و نیروها ترسیم می نمایند ، با این توجه شود که هر ریسمانی بین خطوط اثر دونیرویی رسم شود که در روی کثیرالاضلاع نیروها مجاور یکدیگر باشند و به علاوه به موازات شعاعی رسم می شود که مستقیماً از محل تلاقی بردارهای این دو نیروی مجاور بگذرد . معمولاً نقطه شروع کثیرالاضلاع فونیکولر را نقطه‌ای به روش خط اثر اولین نیروی کثیرالاضلاع نیروها می گیرند و سپس از قطع اولین و آخرین ریسمان کثیرالاضلاع فونیکولر (به ترتیب مانند ریسمان بین  $F_1$  و  $R_{123}$  و ریسمان بین  $F_2$  و  $R_{123}$ ) نقطه‌ای از خط اثر برآیند دستگاه که قبلًا مقدار برداری و امتدان آن در کثیرالاضلاع نیروها معین شده است بعده است می آید . فرض کنید نیروی چهارمی برای  $F_4$  به دستگاه شکل (۵-۷) اضافه شود و اضافه برآن فرض کنید که  $F_4$  با  $R_{123}$  هم راستا و مساوی بوده ولی در خلاف جهت آن باشد ، دستگاه جدید به مانند شکل (۵-۸) خواهد شد . در یک چنین حالتی کثیرالاضلاع نیروها بسته شده و  $\Sigma F_x = 0$  و  $\Sigma F_y = 0$  در مورد آن صادق

خواهد بود . همچنین وقتی کثیرالاصلالع فونیکولر رسم شد خواهیم دید که اولین و آخرین ریسمان که بهترتبی از نیروهای  $F_1$  و  $F_2$  رسم شوند علاوه برهم منطبق هستند ، بدینهی است که رسم کثیرالاصلالع فونیکولر به معنی جایگزین کردن چهار نیرو با هشت مولفه (نشان داده شده) می باشد واضح است که این هشت مولفه را می توان به صورت چهارجفت که هریک از جفتها در تعادل می باشند فرض نمود و بنابراین دستگاه نیروی اصلی باید در تعادل باشد .

فرض کنید بعجاوی این که  $F_1$  با  $R_{123}$  هم راستا باشد دارای خط اثری با موقعیت (نشان داده شده با ) خط چمن باشد که در این حالت نیز موازی و برابر با  $R_{123}$  بوده ولی در خلاف جهت آن اترمی کند در این حالت باز هم کثیرالاصلالع نیروها بسته شده ولی اولین و آخرین ریسمان دیگر برهم منطبق نخواهد شد بلکه باهم موازی بوده و با یکدیگر فاصله ای برابر با  $R_{123}$  خواهد داشت . در این حالت هشت مولفه ای که توسط کثیرالاصلالع فونیکولر بوجود می آیند شامل سه جفت که باهم در تعادل هستند و جفت چهارمی که شامل  $OP$  و  $PQ$  که این دو باهم موازی ، مساوی ولی در خلاف جهت هستند لذا



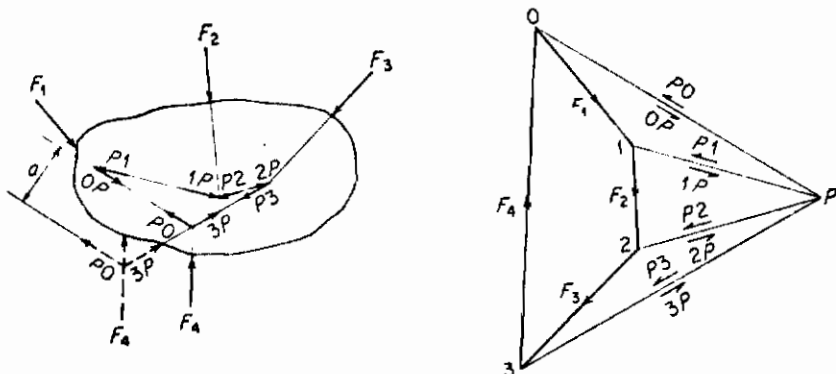
شکل ۵ - تعیین برآیند با استفاده از کثیرالاصلالع فونیکولر

معادل با لنگری برابر با  $(OP)$  می باشد خواهد بود ، در این حالت دستگاه نیروی اصلی معادل لنگری برابر با  $(OP)$  شده و دیگر در حال تعادل نخواهد بود .

بنابراین می توان نتیجه گرفت برای این که یک دستگاه نیروی نامتقارب در تعادل باشد لازم است که نه تنها کثیرالاصلالع نیرو از نظر شکل بسته شود بلکه کثیرالاصلالع فونیکولر نیز بسته گردد به عبارت دیگر اولین و آخرین ریسمان کثیرالاصلالع فونیکولر برهم منطبق شوند و اگر کثیرالاصلالع نیرو بسته شود ولی کثیرالاصلالع فونیکولر بسته نشود دستگاه نیرو معادل یک لنگر خواهد شد .

اصل دیگری هم که مربوط به کثیرالاصلالع نیروهاست ، وجود دارد که اغلب بدلیل مزیت آن بدکار برده می شود . ریسمانهای یک کثیرالاصلالع فونیکولر را می توان با بندهایی که یکدیگر را در روی وس کثیرالاصلالع فونیکولر توسط مفصلهای بدون اصطلاح قطع می کنند جایگزین نمود . اگر به اصول پایه حاکم بر رسم کثیرالاصلالع فونیکولر توجه شود واضح است که چنین شکل زنجیری از بندها ، دستگاه

بارهای وارده بر گرههای آنرا تحمل خواهد کرد، البته در حالتی که **کثیرالاصلای فونیکولر** شکل بسته ندارد نیز تعیین عکس‌العملهای زنجیر که در راستای اولین و آخرین ریسمانهای **کثیرالاصلای** می‌باشد لازم است، مقدار برداری این دو عکس‌العمل با اندازه‌گیری طول اولین و آخرین اشعه **کثیرالاصلای** نیروها امکان‌پذیر است.



شکل ۸-۵ بسته شدن کثیرالاصلایهای نیرو و فونیکولر

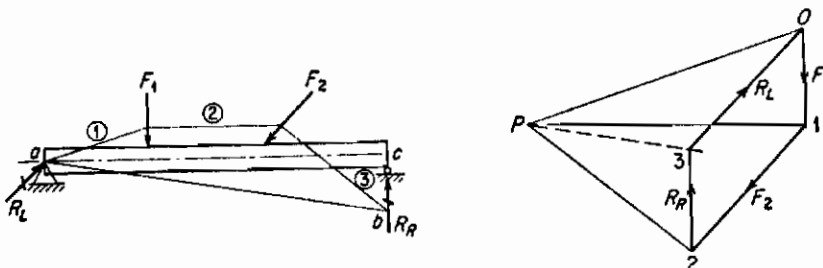
#### ۵-۱ استفاده از کثیرالاصلای فونیکولر در تعیین عکس‌العملهای

کاربرد کثیرالاصلای فونیکولر را در تعیین عکس‌العملهای سازه‌های معین، می‌توان با بررسی نیرو و بارگذاری شکل (۹-۵) توضیح داد. در این حالت نقطه اثر و امتداد عکس‌العمل طرف راست و نقطه اثر عکس‌العمل طرف چپ معلوم می‌باشد و فقط مقدار برداری هردو عکس‌العمل و امتداد عکس‌العمل چپ مجهول است، این سه مجهول را می‌توان با علم براین که شرط تعادل کل دستگاه بارها و عکس‌العملها این است که کثیرالاصلای فونیکولر باشد بسته شود تعیین نمود.

قسمتی از کثیرالاصلای نیروها را می‌توان بلافاصله رسم کرد، به‌این صورت که بردارهای  $\bar{O}1$  و  $\bar{O}2$  که نشان دهنده بارهای وارده می‌باشد رسم می‌کنیم و سهی به‌انتخاب قطب  $P$  می‌پردازیم و اشعه‌ای که از نقطه  $O$ ،  $1$  و  $2$  می‌گذرند رسم می‌کنیم، ریسمانی به موازات شعاع  $PO$  بین خط اثر مجهول  $R_L$  و نیروی  $F_1$  رسم می‌نماییم، به‌این صورت که اکثر امتداد نیروی  $R_L$  مجهول است ولی می‌دانیم که نقطه  $a$  نقطه‌ای از خط اثر آن می‌باشد، بنابراین این ریسمان را می‌توانیم از نقطه  $a$  رسم کنیم تا با  $\bar{P}1$  قطع کند\*. و سهی به‌ترتیب ریسمانهای بین  $1$  و  $\bar{P}$  و بین  $2$  و  $\bar{P}$  و خط اثر

\* چرا کثیرالاصلای فونیکولر را با رسم ریسمان  $\bar{a}$  به موازات  $P2$  و از نقطه  $a$  شروع نمی‌کنیم تا نیروی  $F_1$  را قطع کند؟

معلوم  $R_R$  را رسم می‌کنیم، آخرين ریسمان  $R_R$  را در نقطه ۳ قطع می‌کند و بالاخره ریسمانی که کثیرالاصلع فونیکولر را می‌بندد ریسمان ab خواهد بود. حال می‌توانیم بهموازات ریسمانی که کثیرالاصلع فونیکولر را می‌بندد شعاعی در کثیرالاصلع نیروها رسم کنیم. این شعاع باید از رأس محل تقاطع بردارهای (تعیین کننده)  $R_L$  و  $R_R$  بگذرد، چون ریسمان ۳ بین  $P$  و  $R_R$  و بهموازات شعاع  $p_2$  رسم شده است پس یک انتهای بردار معرف  $R_R$  باید در نقطه ۲ از کثیرالاصلع نیروها باشد. البته معلوم است که این عکس العمل عمودی است. بنابراین از نقطه ۲ برداری عمودی که معرف  $R_R$  است رسم می‌کنیم، انتهای دیگر این بردار باید روی شعاع موازی با ریسمان آخري باشد لذا بدین طریق رأس ۳ از کثیرالاصلع تعیین می‌شود. بردار  $\frac{R_R}{23}$  مقدار برداری  $R_R$  را معلوم می‌کند و بردار  $\frac{30}{23}$  که کثیرالاصلع نیروها را می‌بندد امتداد و مقدار برداری  $R_L$  را تعیین می‌کند.



شکل ۵-۹ تعیین عکس العملها با استفاده از کثیرالاصلع فونیکولر

طریقه عمل کاملاً "ساده و مشخص" است ولی کاهی داشجوبان در فهم این که بردار مربوط به عکس العمل با امتداد معلوم را از اولین و با آخرين رأس نیروها که در این حالت نقطه ۰ با ۲ می‌باشد رسم نمایند دچار اشکال می‌شوند، در رفع چنین اشکالی اگر بخارتر داشته باشیم که ریسمانی که بین خطوط اشر دو نیرو رسم می‌شود همواره بهموازات شعاعی است که از محل تقاطع بردارهای معرف این نیروها در کثیرالاصلع نیروها ترسیم می‌گردد چنین تردیدی رفع می‌شود، در این حالت ریسمان ۱ بهموازات شعاع  $O$  و ریسمان ۳ بهموازات شعاع  $P2$  رسم شده است و این بدان معنی است که یک انتهای بردار معرف  $R_L$  نقطه ۰ روی کثیرالاصلع نیروهast و انتهای دیگر بردار  $R_R$  در نقطه ۲ می‌باشد.

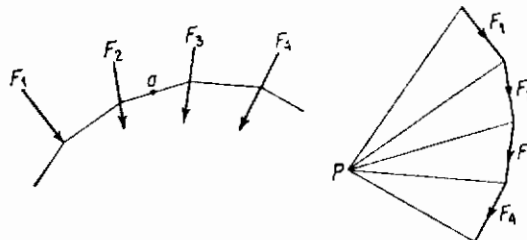
این روش برای تعیین عکس العملها کلی است و بر عکس روش سه نیرو مختص حالت خاصی نمی‌باشد.

#### ۵-۹ رسم کثیرالاصلع فونیکولر از یک، دو و یا سه نقطه معلوم

وقتی به چگونگی رسم یک کثیرالاصلع فونیکولر که برای دسته مشخصی از نیروها رسم می‌شود دقیق کنیم واضح است که امکان رسم تعداد بینهایتی از کثیرالاصلع فونیکولر برای دسته مشخصی از

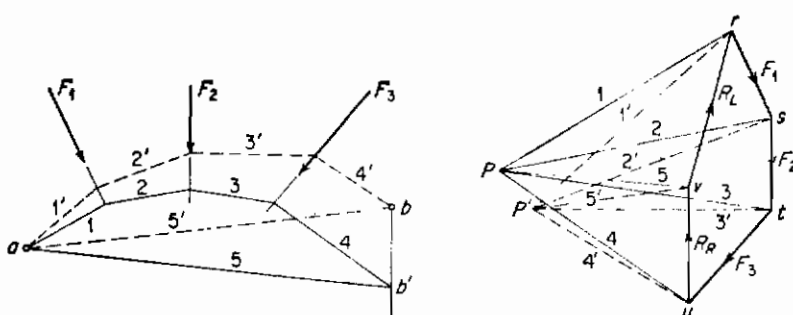
نیروها وجود دارد، زیرا می‌توان که به عنوان نقطه قطب کثیرالاصلع نیروها انتخاب نمود و لیکن کاهی لازم است که کثیرالاصلع فونیکولر به عنوان رسم شود که از نقاط مشخص در روی نصودار فضایی بگزدد، در چنین شرایطی لازم است که انتخاب قطب به نقاط مشخصی محدود گردد.

ابتدا حالتی را فرض کنید که گذشتن کثیرالاصلع فونیکولر از یک نقطه مشخص در روی نصودار فضایی نظری نقطه  $a$  از شکل (۱۰-۵) مورد نظر باشد. این خواسته می‌توان با رسم هر ریسمان مطلوبی بین نیروهای  $F_1$  و  $F_2$  که از نقطه  $a$  نیز بگزدد جامد عمل پوشاند. سپس می‌توان شاعع نظری به این ریسمان را به موازات آن رسم کرد بهطوری که از محل تلاقی بردارهای  $F_1$  و  $F_2$  در روی کثیرالاصلع نیروها بگزدد و حال می‌توان قطب  $P$  را در هر نقطه از این شاعع انتخاب نمود و بقیه کثیرالاصلع فونیکولر را چنانکه نشان داده‌ایم کامل کرد. واضح است که به این طریق امکان انتخاب به عنوان قطب  $P$  وجود دارد و به این جهت است که می‌توان به عنوان کثیرالاصلع رسم نمود که از نقطه  $a$  بگزدد.



شکل ۱۰-۵ گذراندن کثیرالاصلع فونیکولر از یک نقطه معلوم

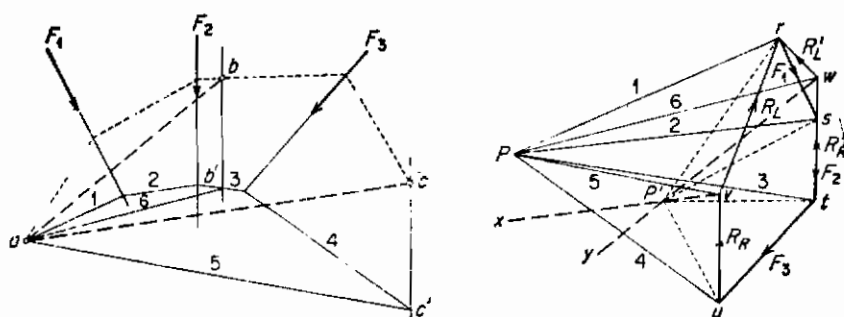
وقتی که لازم باشد، کثیرالاصلع فونیکولر از دو نقطه مشخص نظری نقطه  $a$  و  $b$  از شکل (۱۱-۵) بگزدد چگونگی عمل قدری متفاوت است. موقعتاً فرض کنید که این نیروها بر سازه‌ای که دارای تکه‌کاهی مفصلی در  $a$  و تکه‌کاهی غلتکی که فقط دارای عکس العمل عمودی نقطه  $b$  می‌باشد اثر کنند، بهروش معمول این دو عکس العمل خیالی را می‌توان سه ریسمان‌های  $ab$ ،  $a'b'$  و  $ab'$  رسم کرد. کثیرالاصلع را می‌بندد به دست آوریم، رسم کثیرالاصلع فونیکولر را استفاده از قطب  $P$  انجام می‌گیرد، بدینهی است مقادیری که به این طریق برای عکس العملهای  $R_L$  و  $R_R$  بدست می‌آیند مقادیر ثابتی بوده



شکل ۱۱-۵ گذراندن کثیرالاصلع فونیکولر از دو نقطه مشخص

و ربطی بمنطقه انتخاب شده برای قطب  $P$  نخواهد داشت و بنابراین موقعیت رأس « درکثیرالاصلاء نیروها ثابت می‌باشد . اگر قطب  $P$  به نحو مطلوب انتخاب می‌شود ، کثیرالاصلاء فونیکولر منتج از نقاط  $a$  و  $b$  می‌گذشت و رسمانی که کثیرالاصلاء را می‌بست برخط  $ab$  منطبق می‌شود لذا شعاع نظیر این رسمان به موازات  $ab$  بوده و از رأس  $P$  در کثیرالاصلاء نیروها نیز می‌گذشت . این شعاع را به همین طریق رسم می‌کنیم و آن را  $5$  می‌نامیم . بعاین صورت هر نقطه‌ای که در طول این شعاع مانند قطب  $N$  انتخاب شود کثیرالاصلاء فونیکولری را ایجاد می‌کند که دارای رسمانهای  $1$ ،  $2$ ،  $3$ ،  $4$  و  $5$  باشید از دو نقطه مشخص  $a$  و  $b$  در روی نمودار فضایی می‌گذرد . بازهم واضح است که می‌توان بعاین طریق تعداد بی‌نهایت قطب نظیر  $P$  انتخاب نمود و لذا مقدار بی‌نهایت کثیرالاصلاء فونیکولر می‌توان رسم کرد که از دو نقطه مشخص  $a$  و  $b$  بگذرد .

حال با درنظرگرفتن شکل (۱۲-۵) حالتی را برسی می‌کنیم که کثیرالاصلاء فونیکولرا از سه نقطه مشخص  $a$  و  $b$  و  $c$  بگذرد . به مانند سابق موقتاً فرض کنید که این نیروها بر سازه‌ای که دارای تکیه‌گاهی مفصلی در  $a$  و تکیه‌گاهی غلتکی (با عکس العمل عمودی) در  $b$  باشد اثر کنند . مثل قبل عمل کرده و عکس العملهای  $R_L$  و  $R_R$  را با رسم کثیرالاصلاء فونیکولری با رسمهای  $1$ ،  $2$ ،  $3$ ،  $4$  و  $5$  معین نموده و موقعیت راس  $P$  را در کثیرالاصلاء نیروها تعیین کنید . چنانکه در بند قبل ذکر شد قطب کثیرالاصلاء فونیکولری که از نقاط  $a$  و  $b$  می‌گذرد باید بر نقطه‌ای در طول خط  $ac$  که به موازات  $bc$  می‌باشد قرار داشته باشد . حال فقط بمنیروها بین نقاط  $a$  و  $b$  توجه کنید و فرض نمایید که این نیروها با تکیه‌گاهی مفصلی در  $a$  و تکیه‌گاهی غلتکی (که فقط دارای عکس العمل عمودی است) در  $b$  خنثی شوند . این عکس العملهای  $R'_L$  و  $R'_R$  را می‌توان با استفاده از کثیرالاصلاء فونیکولری با رسمانهای  $1$ ،  $2$ ،  $3$  و  $4$  معین کرد و موقعیت راس  $P$  را نیز در کثیرالاصلاء نیروها تعیین نمود . به همین ترتیب قطب کثیرالاصلاء فونیکولری که از نقاط  $a$  و  $c$  می‌گذرد باید بر نقطه‌ای در طول خط  $bc$  که به موازات  $ab$  است انتخاب شود . در این حالت فقط یک قطب  $P$  می‌تواند با این خاصیت وجود داشته باشد و لذا فقط یک کثیرالاصلاء فونیکولر می‌تواند از سه نقطه مشخص بگذرد و بنابراین هیچ کثیرالاصلاء فونیکولری نمی‌توان رسم کرد که از بیش از سه نقطه مشخص بگذرد .



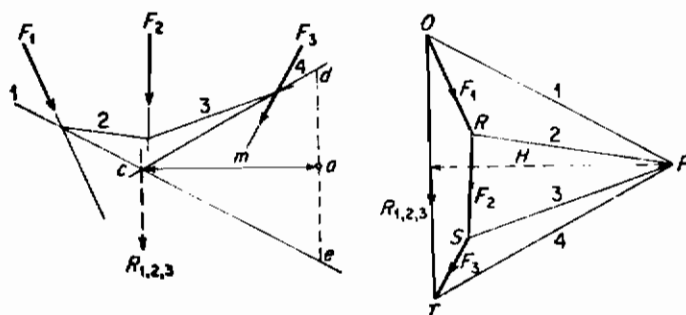
شکل ۱۲-۵ گذراندن کثیرالاصلاء فونیکولر از سه نقطه مشخص

## ۵-۱۰ تعیین ترسیمی برش و لنگر خمشی

پس از تعیین ترسیمی عکس‌العملهای یک تیر به‌سادگی می‌توان برش و لنگر خمشی آن را نیز به‌روشهای ترسیمی تعیین نمود. برش که عبارتست از مولقه عرضی برآیند نیروهای مؤثر بر طرف چهار راست مقطع، به‌سادگی با استفاده از کثیرالاصلع نیروها تعیین می‌شود ولی تعیین ترسیمی لنگرخمشی علاوه بر فتوئی که قبلاً ذکر شد به‌توضیحات بیشتری محتاج است.

لنگرخمشی در یک مقطع برابر است با لنگر برآیند نیروهای مؤثر بر سمت چهار راست آن مقطع بدینهی است که مقدار برداری و امتداد چنان برآیندی را می‌توان از طریق کثیرالاصلع نیروها بدست آورد که نقطه‌ای از خط اتر آن بر محل تقاطع ریسمانهای معینی از کثیرالاصلع غونیکولر قرار دارد. با استفاده از این اطلاعات و اندازه‌گیری بازیو اهرم آن برآیند، می‌توان لنگرمورد نظر را محاسبه نمود. در هر صورت با استفاده از عملکرد شروع زیر محاسبه فوق الذکر ساده‌تر می‌شود.

دستگاه نیروی  $F_1$ ،  $F_2$  و  $F_3$  را که در شکل (۱۲-۵) مشخص شده است در نظر بگیرید فرض



شکل ۱۲-۵ تعیین ترسیمی لنگر

کنید بخواهیم جمع لنگرهای این نیروهارا حول نقطه « حساب کنیم، جمع لنگرهای این سه نیرو مساوی با لنگر برآیند آنها حول نقطه » که با  $M_o$  مشخص شده است خواهد بود، پس:

$$M_o = (R_{1,2,3})(m) = (\overline{OT})(m) \quad (\text{الف})$$

در این رابطه  $\overline{OT}$  با مقیاس نیروها و  $m$  را با مقیاس فاصله اندازه می‌گیریم. اگر خط  $de$  را به موازات  $\overline{OT}$  رسم کنیم مثلثهای  $OPT$  و  $ode$  متشابه خواهند بود، پس با رسم  $H$  عمود بر  $\overline{OT}$  داریم:

$$\frac{de}{m} = \frac{\overline{OT}}{H} \quad \text{با} \quad (H)(de) = (\overline{OT})(m) \quad (\text{ب})$$

لذا

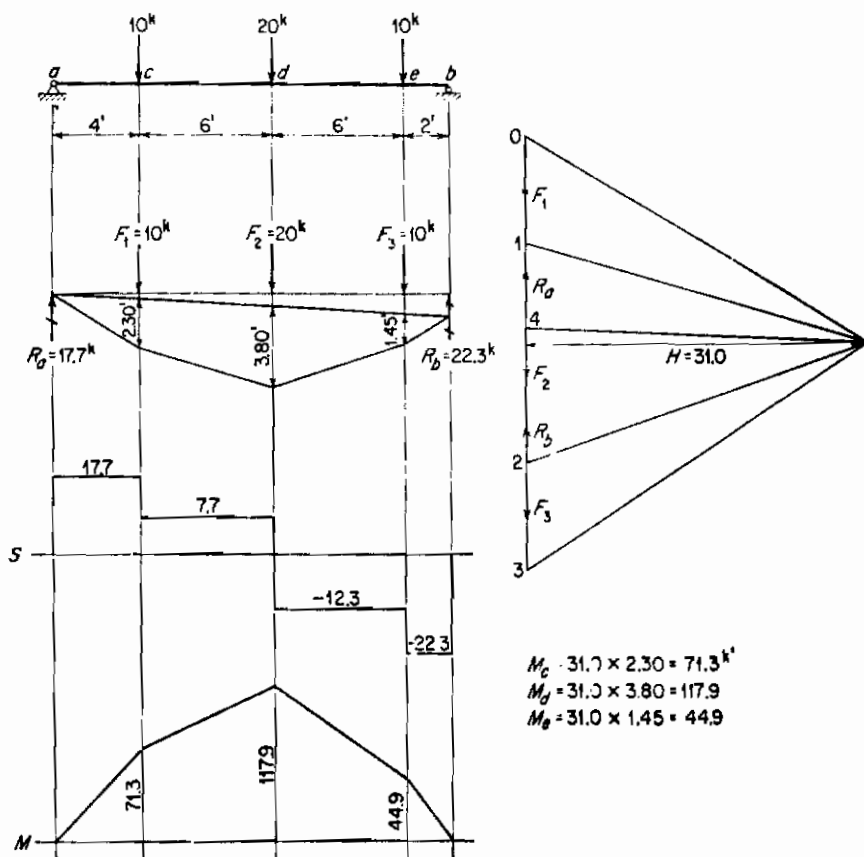
$$M_o = (H)(de) \quad (\text{ج})$$

در این رابطه  $de$  با مقیاس فاصله و  $H$  با مقیاس نیرواندازه‌گیری می‌شوند . به  $\parallel$  فاصله قطبی گویند.  
در حالت کلی تعیین حاصل ضرب ( $H$ ) روش ساده‌ای برای تعیین لنگر برآیند (و یا لنگر نیرو)  
نیرو) حول نقطه  $\alpha$  می‌پاشد . شرح زیر خلاصه این روش ترسیمی را برای تعیین لنگر یک دستگاه نیرو  
حول نقطه معینی مانند  $\alpha$  را آزاده می‌دهد :

- ۱ - کثیرالاصلع نیروها را برای این دستگاه رسم کنید ، قطب  $m$  را انتخاب کرده و کثیرالاصلع فونیکولر را ترسیم نمایید .
- ۲ - از نقطه  $\alpha$  در نمودار فضایی خطی بموازات امتداد برآیند این دستگاه نیرو که قبله" در کثیرالاصلع نیروها معین شده است رسم کنید .
- ۳ - با مقیاس فاصله ، طول محدود شده این خطرا بین ریسانهای کثیرالاصلع فونیکولر کم محل تقاطع  $\alpha$  ریسانه را روی خط اشاره برآیند واقع است اندازه بگیرید .
- ۴ - همچنین با مقیاس نیرو فاصله قطبی  $m$  را که فاصله عمودی بین قطب  $m$  و بردار برآیند در کثیرالاصلع نیروها می‌پاشد اندازه بگیرید .
- ۵ - با این ترتیب لنگر دستگاه نیرو حول نقطه  $\alpha$  برابر با حاصل ضرب مقدار بدست آمده از مرحله ۳ در فاصله قطبی بدست آمده از مرحله ۴ خواهد بود .  
از مثالهای زیرین معلوم می‌شود که بهجه سادگی می‌توان این فن را در تعیین لنگر خمشی نقاط مختلف تیری بهکار برد .

اغلب لازم است حالاتی مورد بررسی قرار گیرد که بارگذاری به عوض نیروهای متمرکز به صورت گستردۀ پاشد ، در یک چنین حالاتی تسمیتی از تیر را که دارای یک چنین بارگذاری می‌پاشد بایستی به یک سری بخشهای کوتاه تقسیم گردد و پس از آن می‌توان کل بار مؤثر بر هر بخش را با یک نیروی متمرکز که بر موزک ثقل بار مؤثر بر آن بخش اثر می‌کند جایگزین نمود . از این پس راه حل ترسیمی برای تعیین عکس العملها ، برش و لنگر خمشی بهروش متداول با این فرض که بارگسترده را با چنان سری بارگذاری متمرکزی جایگزین کرده باشیم اجرا خواهد شد . مقادیر عکس العملها که بعاین طریق بدست می‌آید خالی از خطاست ولی مقادیر برش و لنگر خمشی فقط در انتهای بخشهای کوتاه که بارگسترده را بدان بخشها تقسیم کرده‌ایم دارای مقادیر دقیقی می‌پاشند . عرض نمودارهای برش و لنگر خمشی در نقاط میانی تقریباً "عاری از خط است البته به شرطی که طول بخشها به طور منطقی کوچک گرفته شود .

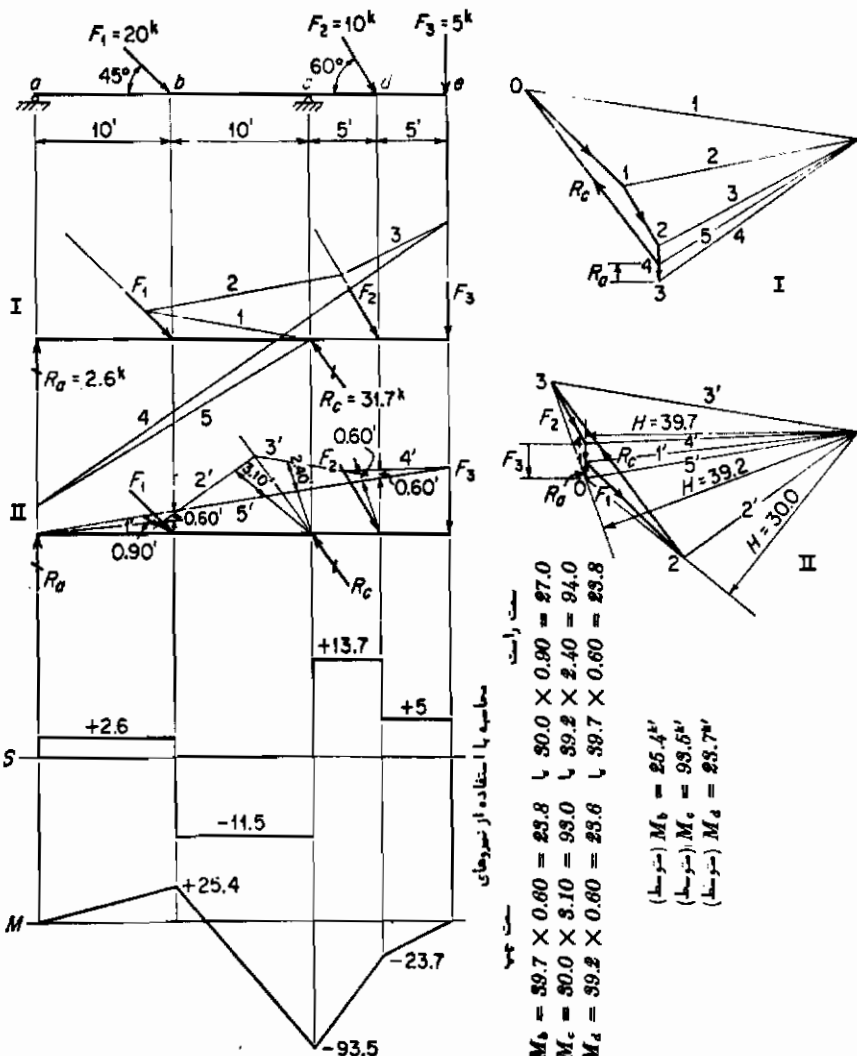
مثال ۵-۱ = نمودار برش و لنگر خمشی برای این تیر به طریق ترسیمی رسم کنید.



### بحث :

در این مثال کلیه بارها عمودی می‌باشند و لذا عکس العمل عمودی نیز ایجاد می‌کند و در نتیجه در هر نقطه‌ای در طول تیر، برآیند بارها چه در طرف راست مقطع و چه در طرف چپ آن نیرویی عمودی است. بنابراین محاسبه برش و مخصوصاً "لنگر خمشی تا حد قابل توجهی ساده" خواهد بود. به عنوان مثال برای محاسبه لنگر خمشی در نقاط مختلف مقدار فاصله قطبی  $II$  برای کلیه نقاط ثابت بوده و طولهای محدود شده بین ریسمانهای متناظر که در کثیر الاضلاع فونیکولر اندازه گرفته می‌شوند همگی خطوط عمودی خواهند بود.

مثال ۵-۲= برای این تیر نمودارهای برش و لنگ خمثی را به طریق ترسیمی رسم کند.



بحث:

در مسافت‌های ساده‌ای نظری مثال (۱-۵) روش ترسیمی بدون اشکال قابل اجراست ولی به معنی آن که بارها به طور مایل اثر کنند و یا تیر دیگر تیر ساده‌ای با دو تکه‌گاه انتهایی نباشد این روش در حد قابل توجهی پیچیده می‌شود.

در این حالت پس از آن که با استفاده از کثیرالاصلای نیرو و فونیکولر  $\tau$  مقادیر عکس‌العلتها معین شده لازم است که کثیرالاصلای نیرو را بر دیگر بعنوانی که در آن نیروها به همان ترتیب اثر آنها بر قطعه از پک انتها بماناندی دیگر قرار دارند ترسیم گردد. پس از آنکه کثیرالاصلای نیرو II و کثیرالاصلای فونیکولر مربوط به آن بمان طریق رسم گردید محاسبه برش و لنگرخمشی در نقاط مختلف در طول تیر ممکن خواهد بود. معمولاً دومین کثیرالاصلای فونیکولر را می‌توان بر اولین کثیرالاصلای فونیکولر منطبق گرد ولی در هر صورت دو نمودار فضایی جداگانه به منظور جلوگیری از ابهامات غیرضروری ترسیم می‌گردد.

توجه شود که به منظور وارسی عملیات لنگرهای خمشی در هر دو سوی مقطع محاسبه شده است.

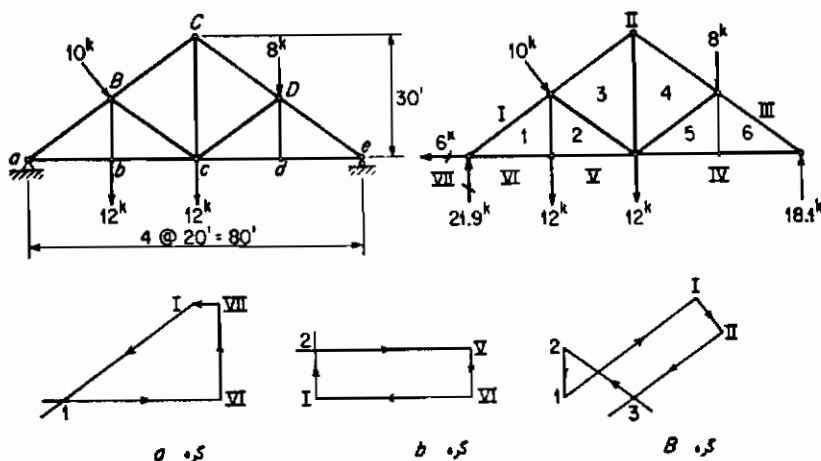
### ۵-۱۱ نیروی میله‌ها در خرپاها - نمودار ماکسوئل (Maxwell) علاش باو (Baw)

روش ترسیمی گرهها روش ساده‌ای برای تعیین نیروی میله‌ها در برخی از خرپاهای معین می‌باشد با فرض این که عکس‌العلتها را قبلاً<sup>۱</sup> یا با روش ترسیمی و یا با روش‌های جبری محاسبه کرده باشیم، پس از آن می‌توان نیروی میله‌ها را بر رسم چندسری کثیرالاصلای نیرو که هر یک برای پک کره از همه آنها که محاسبه نمود، به منظور تسهیل می‌توان کلیه این کثیرالاصلایها را در یک شکل مرکب از همه آنها که به خاطر مبتکر آن کلارک ماکسول Clerk Maxwell نمودار ماکسول خوانده می‌شود جا دهیم.

در هر گرهی نیروی میله‌ها و نیروهای خارجی تشکیل دستگاه نیرویی متقابله و هم صفحه را می‌دهند و برای این که این دستگاه در تعادل باشد بایستی که کثیرالاصلای نیرو بسته شود، به متعدد کثیرالاصلای نیرو معادل ثأتمین دو شرط جبری  $0 = ZF_x$  و  $0 = ZF_y$  می‌باشد. چون امتداد کلیه نیروهای مؤثر بر یک نقطه همگی معلوم هست مقادیر برداری دو نیروی میله مجہول را می‌توان با ترسیم کثیرالاصلای نیرو برای هر گره محاسبه نمود، لذا می‌توان کلیه نیروی میله‌ها را در یک خرپای ساده با شروع عملیات از گرهی که بیش از دو نیروی میله مجہول نداشته باشد و ادامه آن بهنوبت در هر گره بعدی بعنوانی که همواره در هر گرهی بیش از دو مجہول نباشد محاسبه نمود.

در اجرای روش ترسیمی گرهها نیروهای داخلی و خارجی را می‌توان با بعکاریدن علاش باو مشخص نمود. کاربرد این علاش چنین است که فضاهای بین نیروهای خارجی را با اعداد رومی و فضاهای بین میله‌ها را بعنوانی که در شکل (۱۴-۵) نشان داده شده است با اعداد عربی مشخص می‌کنند. پس یک نیروی خارجی را می‌توان با ذکر اعداد طوفین آن با ترتیبی متناظر با گردش عقربه‌های ساعت مشخص نمود، مثلاً "نیروی مؤثر بر گره B را نیروی I-II خواهیم نامید، به همین ترتیب یک نیروی داخلی را که توسط آن عضوی بر یک گره اثر می‌کند با ذکر اعداد طوفین آن عضو با مرااعات جهت ساعتگرد حول گره مشخص نمود. به عنوان مثال عضو B به گره B با نیروی 32 اثر می‌کند.

پس از آن که نمودار فضایی بر طبق علاش باو نام‌گذاری شد عکس‌العلتها یک خرپا، نظری خرپای شکل (۱۴-۵) را می‌توان یا با روش ترسیمی و یا با روش‌های جبری (هر کدام که راحتتر



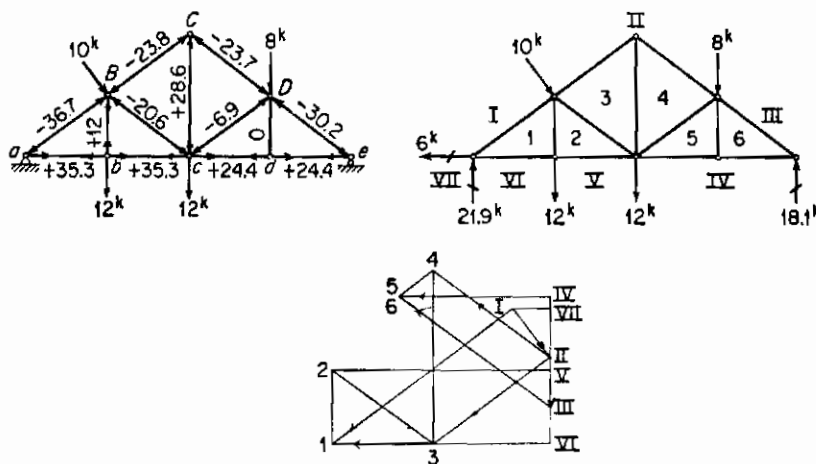
شکل ۱۴-۵ علاوه باو

باشد) محاسبه می‌کند و پس از آن می‌توان گره  $\text{e}$  را که در آن دو نیروی مجهول وجود دارد جدال نموده و این مجهولات را با رسم کثیرالاضلاع نیروی به طوری که نشان داده شده است، محاسبه کرد، بردارهای این کثیرالاضلاع را باید به ترتیب جهت ساعتگرد حول آن گره قرار داد، دو انتهای یک بردار باید به همان ترتیب که اعداد در طرفین نیروی نظیر در نمودار فضایی قرار دارند مشخص گردد به نحوی که اولین عددی که با مراعات ساعتگرد ذکر می‌شود در انتهای بردار و سپس دومین عدد در نوک بردار قرار گیرد. اگر چنین عطکردی دنبال شود اعدادی که در روی س کثیرالاضلاع نیرو قرار دارند به همان ترتیب که اعداد حول یک گره در جهت ساعتگرد به دنبال هم قرار می‌گیرند. به این ترتیب از کثیرالاضلاع نیرویی گره  $\text{e}$  معلوم می‌شود که به این گره نیروهایی توسط میله‌های  $AB$  و  $ab$  که به ترتیب بزرگتر از  $I-I$  و  $II-II$  نشان داده شده‌اند اعمال می‌شود و می‌توان دریافت که نیرو در میله  $AB$  فشاری بوده و در میله  $ab$  کشی است.

پس از آن که نیرو در میله  $ab$  معین شد می‌توان به گره  $\text{e}$  پرداخت و کثیرالاضلاع نیرو را برای آن گره با معلوم بودن نیروها در  $Bb$  و  $bc$  ترسیم کرد و پس از آن به گره  $B$  رسید که در آن گره فقط دو نیروی مجهول در میله‌های  $Bc$  و  $BC$  وجود دارد که آنها نیز از طریق ترسیم کثیرالاضلاع نیرو برای این گره معلوم می‌شوند، با بررسی بهنوشت گرههای باقیمانده می‌توان تحلیل خربناک را به اتمام رساند، به جای این که برای هر گره یک کثیرالاضلاع نیرو رسم کنیم بهتر است به ترسیم یک نمودار ماکسوئل که علاوه مجموعه‌ای کلیه کثیرالاضلاع‌های جداگانه گرهات به پردازیم.

برای رسم یک نمودار ماکسوئل ابتدا کثیرالاضلاع نیرو را برای کلیه نیروهای خارجی به نحوی که بردارهای آن نیروها را در جهت گردش عقربه‌های ساعت حول گردانید سازه منعکس می‌کند رسم می‌کنیم، اگر عکس العملها را به روش ترسیمی محاسبه گرده باشیم و کثیرالاضلاع نیروها بر حسب آن ترسیم شده باشد لازم است که کثیرالاضلاع جدیدی با آرایش بردارها در اطراف سازه در جهت ساعتگردی رسم کنیم. روی س این کثیرالاضلاع را به همان روشی که در بالا برای کثیرالاضلاع نیرو در گرهها ذکر شد

نامگذاری می‌کنیم. نمودار ماکسولی که برای خرپای شکل (۱۴-۵) به‌این روش ترسیم شده‌است در شکل (۱۵-۵) نشان داده شده است. حال گرهی نظیر گره  $a$  را که در آن فقط دو نیروی میله مجھول وجود دارد در نظر نگیرید و به عدد ادغاهای اطراف این گره دقت کنید، در نمودار ماکسول کلیه این فضاهای بجز یکی از آنها یعنی فضای I قبلاً به‌شکل رؤوس کثیرالاصلای مشخص شده‌اند، حال می‌توان موقعیت عدد ۱ را نیز با رسم دو خط از اعداد نشان دهنده فضاهای مجاور آن یعنی I و VII به‌شکل موازی با میله‌های حاصل بین این فضاهای فضای ۱ یعنی بهترتب با میله‌های  $aB$  و میله  $ab$  بعدست آوریم. حال به‌همان روش به‌گره  $d$  به‌رداریم. در این گره رأس ۲ تنها عدد نامعلوم است که آن نیز رسم دو خط به‌موازات میله‌های  $dB$  و  $dc$  بهترتب از رؤوس ۱ و VII بعدست می‌آید. رؤوس باقیمانده نامعلوم ۳ و ۴ را می‌توان به‌نوبت با بررسی گرههای  $B$ ،  $C$  و  $d$  (پا D) معین نمود. ملاحظه می‌شود که در طول بررسی هریک از این گرهها فقط یک رأس نامعلوم در بررسی آن گره وجود دارد.



شکل ۱۵-۵ نمودار ماکسول

پس از آن که نمودار ماکسول به‌صورت کامل ترسیم شد تعیین مقدار و جهت اثر نیروی هر میله در یک گره، معین و ساده خواهد بود. با در نظر گرفتن جهت ساعتگرد اعداد اطراف یک میله را بخوانید در این صورت مقدار و جهت اثر نیروی میله بر آن گره توسط برداری که مشخصات آن با اندازه‌گیری می‌باشند ابتدا و انتهای آن که بهترتب با دو عدد خوانده شده مشخص می‌شود، معلوم می‌گردد. نیروی میله‌ها که در این مثال به‌این طریق تعیین جهت شده‌اند، تعیین جهت مربوطه روی نمودار فضایی منعکس شده است.

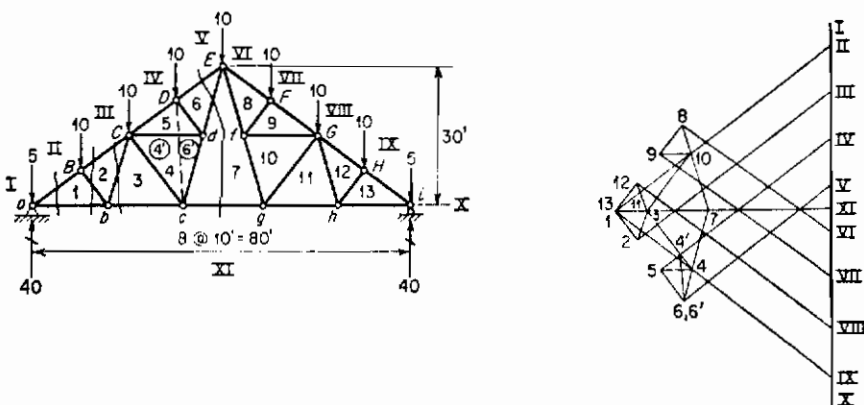
با مقایسه نمودار ماکسول با کثیرالاصلای نیرو که برای هر گره به‌طور جداگانه رسم می‌شود واضح است که این نمودار فقط شکل مرکبی است که در آن کثیرالاصلای عهای گرهها به‌دنبال هم قرار گرفته‌اند واضح است که انتخاب عکس جهت ساعتگرد یک اختیاری است و کل دستگاه در صورتی که برای

آن جهت گردشی برخلاف جهت ساعتگرد نیز انتخاب گردد عمل خواهد کرد.

### ۵-۱۲ چند حالت مبهم - خرپای پوششی فینک (Fink)

نمودار ماسکوئل را که در صفحه قبیل شرح آن داده شد بدون اشکال برای هر خرپای ساده‌می‌توان ترسیم گرد، وقتی بخواهیم این نمودار را برای خرپای مرکب رسم کنیم تا یک نقطه مشخص رسم نمودار بیش می‌رود و پس از آن دیده می‌شود که در هریک از گرههای بعدی بیش از دونبروی میله مجھول و بنابراین بیش از یک رأس (در نمودار) نامشخص وجود دارد.

خرپای مرکبی نظیر خرپای پوششی فینک Fink (شکل ۵-۱۶) را در نظر بگیرید، پس از تعیین عکس‌العملها می‌توان کثیر‌الاضلاع نیرو را برای کلیه نیروهای خارجی رسم کرد نمودار ماسکوئل را به طریق معمول ابتدا از گره  $a$  شروع گرده و سپس به گرههای  $b$  و  $B$  پرداخت. حال به هریک از گرههای  $c$  با  $c$  نگاه کنید در هر کدام از آنها سنبوری میله مجھول وجود دارد. بنابراین در هریک دو رأس نامشخص نیز بوجود می‌آید لذا دیگر ادامه نمودار ماسکوئل غیرممکن می‌گردد. البته می‌توان به گره  $c$  پردازد و نمودار را تا گرههای  $c$  و  $H$  رسم نمود ولی همین مساله غامض در مورد گرههای  $G$  و  $g$  نیز وجود دارد. در ذیل بعثیر یکی از چندین روش غلبه براین شکل می‌پردازیم:



شکل ۵-۱۶ تحلیل خرپای پوششی فینک

فرض کنید که میله‌های  $cd$  و  $dc$  را با میله  $dc$  به تحریک که با خط چین نشان داده شده است جایگزین کنیم، در این حالت نخای محاطبین مثلث  $cDE$  را با عدد ۶' و فضای محاطبین مثلث  $cCD$  را با عدد ۴' نشان خواهیم داد، چنین جایگزینی مقدار نیروی میله را در میله‌های  $ab$ ،  $aB$ ،  $bC$ ،  $bc$ ،  $bE$ ،  $BC$ ،  $bC$ ،  $cg$  از خرپای اصلی تغییر نخواهد داد، صحت این مطلب بالا لاحظه برشهای رسم شده که برای محاسبه نیروی این میله‌ها به کار می‌رود واضح می‌گردد. بنابراین رو'وس

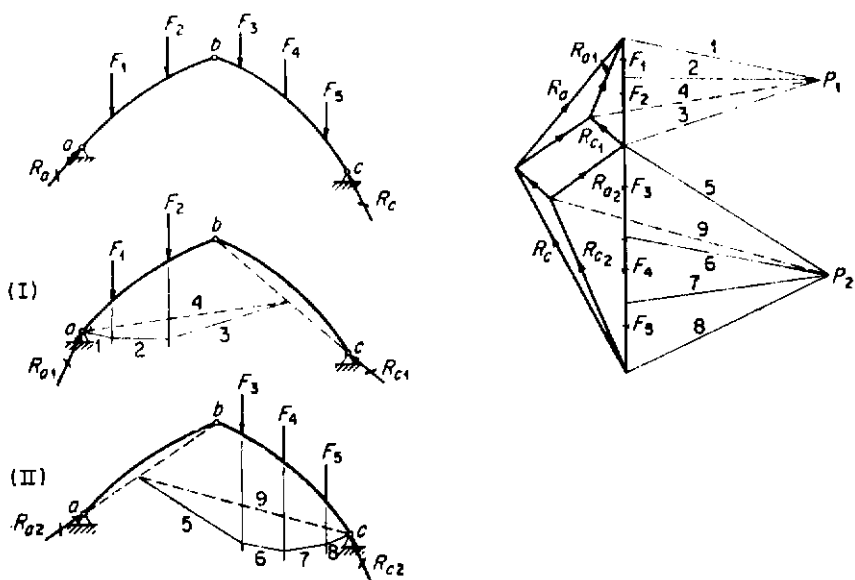
۱، ۲ و ۳ از نمودار ماکسول در هردوخرپای اصلی و خربای تغییریافته در یک موقعیت باقی خواهد ماند . بعاین ترتیب می‌توان موقعیت رأس<sup>۴</sup> از خربای تغییریافته را با بررسی گره C و سیس با پرداختن به گره D موقعیت رأس<sup>۶</sup> را معین نمود . موقعیت رأس<sup>۶</sup> که از طریق خربای تغییریافته بدست می‌آید با موقعیت رأس<sup>۶</sup> از خربای اصلی مطابقت می‌نماید زیرا که در هردو حالت نیرو در میله‌های DE و DE<sup>۷</sup> یکی است ، حال می‌توان به خربای اصلی برگشت و موقعیت صحیح رؤوس ۵ و ۴ را به ترتیب با بررسی گره‌های D و C بدست آورد و بعاین ترتیب می‌توان به طریق معمول موقعیتها را بقیه رؤوس یعنی از ۷ تا ۱۳ را معین نمود .

### ۵-۱۳ عکس‌العملها و نیروی میله‌ها در قوس‌های سه مفصل

اگر عکس‌العملها یک قوس سه مفصل معین شود هیچ مشکلی در تعیین نیروی میله‌های آن با رسم نمودار ماکسول وجود نخواهد داشت . بدینهی است که تعیین عکس‌العملها هم به طریق ترسیمی و هم به طریق تحلیلی امکان پذیر است ، ولی تعیین عکس‌العملها یک طاق سه‌مفصل نیاز به برخی تذکرات اضافی دارد .

یک روش ترسیمی جهت تعیین عکس‌العملها با استفاده از خاصیت مهم طاق به صورت زیرمی‌باشد قوس سه مفصل شکل (۱۷-۵) را در نظر بگیرید ، عکس‌العملهای این سازه را می‌توان با جمع آثار جداگانه حاصل از (۱) بارهای مؤثر بر نقطه نیمه چپ طاق و (۲) بارهای مؤثر بر نیمه طرف راست طاق بدست آورد . تعیین اثرات جداگانه هریک از بارگذاری‌های فوق بعثتها در صورتی که طرف دیگر بدون بارگذاری خارجی باشد ساده است . در چنین حالاتی امتداد عکس‌العمل مؤثر بر نیمه بدون بار باید از مرکز مفصل میانی طاق در نقطه ۸ بگذرد تا اینکه لنگر خمی حول آن مفصل برابر صفر گردد . بنابراین در هردوحالات I و II حل مساله منجر به مانند حالت تیری که در آن مقدار برداری هردو عکس‌العمل و راستای یکی از آنها مجبول باشد می‌شود ، عکس‌العملها طاق را در دو حالت I و II می‌توان چنانچه نشان داده شده است با انتخاب قطبها P و P<sub>۰</sub> و R و R<sub>۰</sub> رسم کثیرالا ضلاع فونیکولر بدست آورد . اگر دو کثیرالا ضلاع نیرو را بهتحوی که نشان داده شده است توأم رسم کنیم ، انتخاب ترسیمی دو حالت سبب تسهیل در تعیین عکس‌العملها برآیند R<sub>۰</sub> و R<sub>۰</sub> حاصل از دستگاه بارگذاری مجموع خواهد شد .

طریقه ترسیمی دیگری برای تعیین عکس‌العملها این است که کثیرالا ضلاع فونیکولر بارهای خارجی را از سه نقطه ۶، ۷ و ۸ عبور دهیم . در بخش (۷-۵) گفتم که بارگذاری خارجی را می‌توان به دستگاه زنجیر قوایی تبدیل کرد در صورتی که آن زنجیر قوی همان شکل کثیرالا ضلاع فونیکولر را برای آن نیروها دامنه باشد ، نیمه‌ای از طاق را به طور جداگانه در نظر بگیرید بارهای خارجی مؤثر براین قسم را هرگاه کثیرالا ضلاع فونیکولر طوری رسم شود که رسماهای دو انتهای آن از مفصلهای تکیه‌گاهی و میانی بگذرد می‌توان با عکس‌العملها در راستای این رسماهای معادل کرفت و چون نیروی عمل نیمه چهار راست را برای نیروی عمل نیمه دو راست روی نیمه چهار مساوی ولی در خلاف جهت

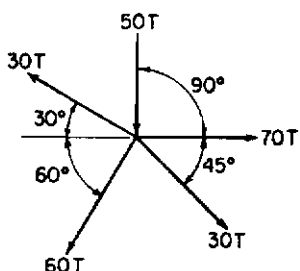


شکل ۱۷-۵ طاق سه مفصل

آن باشد لذا در رسمان گذرنده از مفصل میانی در دو کثیرالاصلع فونیکوئر باید هم امتداد باشند و این بدان معنی است که دو کثیرالاصلع جداگانه را می‌توان به‌گمک کثیرالاصلع ممتدد در کل طول طاق به‌شکلی که آن کثیرالاصلع از سه مفصل  $b-a$  و  $c-b$  بگذرد تبدیل نمود . حال اگر قطبی را به‌نوعی تعیین کنیم که کثیرالاصلع فونیکولر کلیه نیروهای خارجی از آن سه نقطه بگذرد می‌توان با اندازه‌گیری شاععهای اول و آخر روی کثیرالاصلع نیروها بی به‌مقدار عکس‌العملها در دو سه طاق برد .

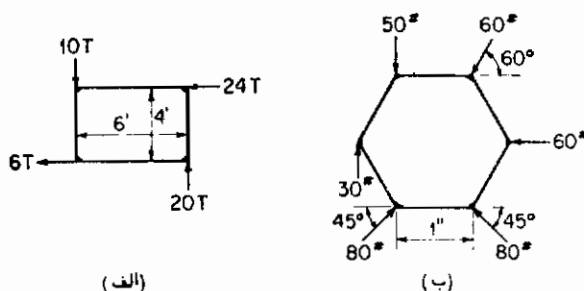
## ۱۶-۵ مسائل

۱- به صورت ترسیمی برآیند نیروهای شکل (۱۸-۵) را با ذکر مقدار برداری آن معین کنید . راستای آنرا توسط مولفه‌های افقی و عمودی آن مشخص نمائید . برای مقیاس  $1 \text{ in.} = 1 \text{ ton}$  بگیرید .



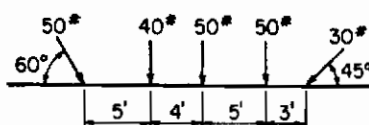
شکل ۱۸-۵ مسئله ۱-۵

- ۵-۲ به صورت ترسیمی نیروهای لازم برای حفظ تعادل هریک از قابهای شکل (۱۹-۵) را تعیین کنید. مقدار برداری هریک از نیروها با تضامن مولفه‌های افقی و عمودی آن‌ها را معین کنید، موقعیت خط اثر نیروی برآیند را نسبت به محورهای مختصات افقی و عمودی مار بر مرکز هریک از قابهای مشخص کنید.



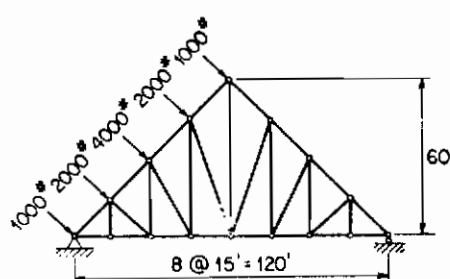
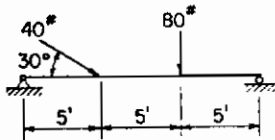
شکل ۱۹-۵ مساله ۲-۵

- ۵-۳ با به کار بردن کثیرالاضلاع فونیکولر برآیند نیروهای شکل (۲۰-۵) را به دست آورید، مقدار برداری و امتداد آنرا معین کنید و همچنین محل تقاطع امتداد آن را با خط اصلی افقی مشخص کنید برای مقیاس ۱ in. = 50 lb و 1 in. = 5 ft بگیرید.



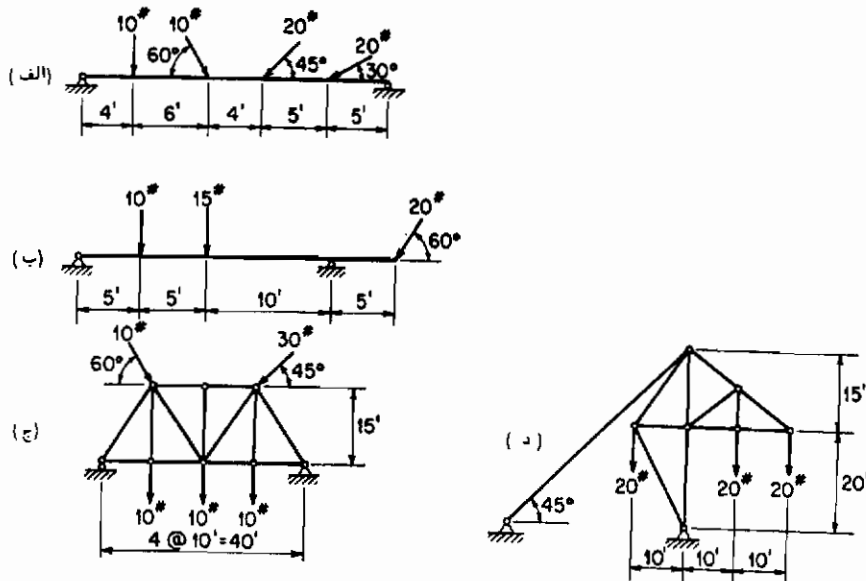
شکل ۲۰-۵ مساله ۲-۵

- ۵-۴ با به کار بردن روش سه نیرو مولفه‌های افقی و عمودی عکس‌العملهای سازه‌های شکل (۲۱-۵) را تعیین کنید.



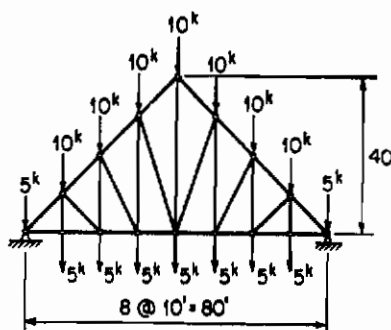
شکل ۲۱-۵ مساله ۴-۵

- ۵-۵ با به کار بردن کثیرالاضلاع فونیکولر مولفه‌های افقی و عمودی عکس‌العملهای سازه‌های شکل (۲۲-۵) را تعیین کنید.



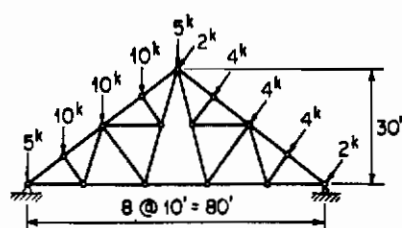
شکل ۲۲-۵ مساله ۵-۵

۵-۶ نیروی میله‌ها را در اعضای خرپای سقفی از نوع برات Pratt شکل (۲۳-۵) به صورت ترسیمی معن کنید.



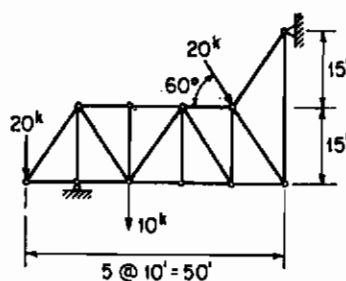
شکل ۲۲-۶ مساله ۶-۵

۵-۷ نیروی میله‌ها را در اعضاء خرپای سقفی از نوع فینک Fink شکل (۲۴-۵) به صورت ترسیمی معن کنید.



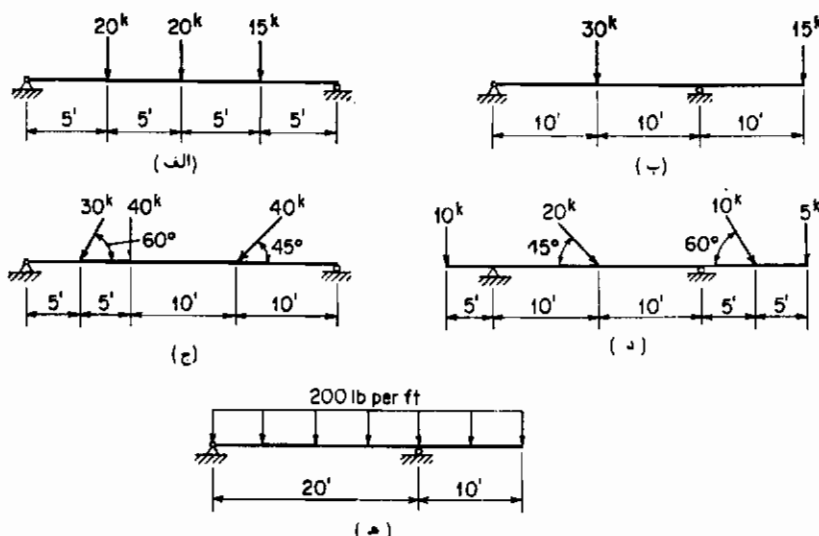
شکل ۲۴-۵ مساله ۷-۵

۵- نیروی میله‌ها را در اعضای خرپای شکل (۲۵-۵) به طریق ترسیمی معین کنید.



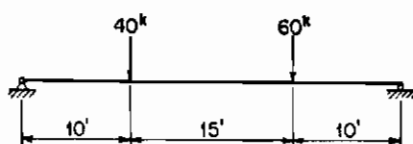
شکل ۵-۵ مساله ۲۵

۶- نمودارهای برش لنگر خمشی را برای تیرهای شکل (۲۶-۵) به طریق ترسیمی معین کنید.



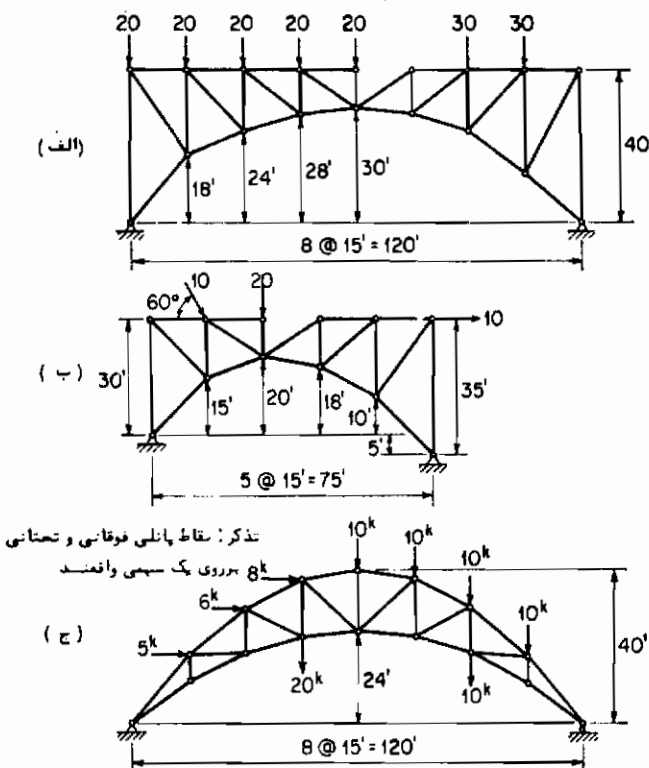
شکل ۵-۶ مساله ۲۶

۷- گشایش اضلاع فونیکولر را برای تیر و پارگذاری شکل (۲۷-۵) بعنوانی رسم کنید که از نقاط تکیه‌گاهی و نقطه‌ای واقع در پائین وسط دهانه آن بفاصله ۲۰ ft از آن بگذرد.



شکل ۵-۷ مساله ۲۷

- ۵- ۱۱ کابلی بین دو نقطه که در یک تراز بوده و از یکدیگر به فاصله ۲۰ ft قرار دارند متعلق است این کابل نه وزنه ۱۰۰ lb را که از یکدیگر به فاصله ۲ ft می باشند تحمل می کند ، فاصله بین هر یک از تکیه گاهها و نزدیکترین وزنه به آن ۲ ft می باشد ، پائین ترین نقطه کابل از تراز دو تکیه گاه ۵ ft است . طول کابل و حداقل کشش را در کابل تعیین کنید ؟ از روش های ترسیمی استفاده شود .
- ۶- ۱۲ نیروی میله ها و عکس العملها را در خرپا های شکل (۲۸-۵) به روش های ترسیمی تعیین کنید .



شکل ۲۸-۵ مثال ۱۲-۵

- ۵- ۱۳ با به کار بردن روش های ترسیمی نیروی میله ها و عکس العملها را در خرپا های نشان داده شده و مثال (۴-۵) معین شود .



## ۶

### خطوط تأثیر

#### ۶ - ۱ مقدمه

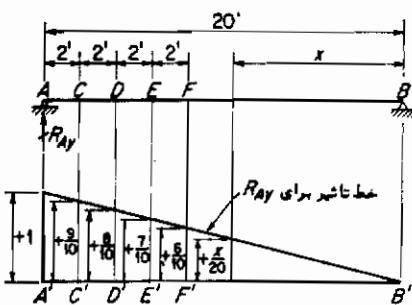
فصل ۲ تا ۵ اختصاص به بررسی روش‌های اساسی محاسبات عکس‌العملها، برشها، لنگرهای خمشی و نیروی میله‌ها در سازه‌های معین داشت واضح است قبل از این که هریک از عنصرهای فوق محاسبه گردد باید شرایط بارگذاری مورد نظر تعیین شود، در فصل اول اختلاف بین بارهای مزده نظیر وزن خود یک سازه که همواره ثابت است و بارهای زنده که می‌توانند موقعیت‌های مختلف پیدا کنند گفته شد.

وقتی به طرح و محاسبه قطعه معلومی از یک سازه می‌پردازیم لازم است که ابعاد مقاطع آن را به نوعی انتخاب کنیم که تحت اثر بیشترین تنش در طی عمر کل سازه، مقاومت کافی داشته باشد و برای این که چنین محاسبه‌ای در مورد آن قطعه‌انجام گیرد باید مقدار بیشترین سهم بار زنده از تنش کلی محاسباتی معین شود و چون تنش حاصل از بار زنده در یک قطعه همواره با موقعیت بار زنده در سازه تغییر می‌کند، لذا همیشه یک موقعیت مخصوص بار زنده وجود دارد که در یک قسمت مخصوص از سازه بیشترین تنش حاصل از بار زنده را ایجاد می‌نماید. این قسمت از سازه و تنش مورد بحث می‌تواند عکس‌العمل یک تکیه‌گاه لنگر خمشی نیروی برشی یک مقطع از یک تیر و یا یک شاهتیر، کشش یا فشار قطعه‌ای از یک خرها و یا بار وارد برج باشد و یهاین ترتیب در حالت کلی، محاسبه قسمت‌های مختلف یک سازه بستگی کامل به موقعیت‌های مختلف بار زنده دارد.

بهاین ترتیب واضح است که درک و آگاهی از روش‌های موجود که برای تعیین موقعیت بار زنده که سبب ایجاد بیشترین تنش در یک نقطه معلوم از سازه می‌نماید برای تحلیل گر سازه امری الزمی است.

## ۶- ۲ شرح تغییر تنش بر حسب موقعیت بار

فرض کنید که بار واحدی در جهت رو به پائین در نقطه  $A$  بر تیر  $AB$  از شکل ع-۱ اثر کند، با لنگرگیری حول نقطه  $B$ ، عکس العمل  $R_{Ay}$  برابر با ۱ و به سمت بالا تعیین می‌شود. از نقطه  $A'$  که روی خط مبنای  $A'B'$  واقع است خطی عمود بر خط مبنای  $A'B'$  رسم می‌کنیم، حال اگر این بار واحد در نقطه  $C$  اثر کند با لنگرگیری حول  $B$  برابر با  $R_{Ay}$  مقدار  $R_{Ay}$  خواهد شد، این مقدار را در "روی خط مبنای  $A'B'$  که دقیقاً زیر نقطه اثر بار واحد قرار دارد به عرضی برابر با  $\frac{9}{10}$  رسم می‌کنیم و بار دیگر فرض کنید که این بار به نقطه  $D$  منتقل شود، مقدار  $R_{Ay}$  برابر با  $\frac{8}{10}$  خواهد شد حال مقدار  $\frac{8}{10} + \frac{9}{10}$  را در نقطه  $D'$  که دقیقاً زیر  $D$  واقع است به صورت عمودی رسم می‌کنیم.



شکل ۶-۱ خط تأثیر ساده

این عملیات را برای کلیه موقعیت‌های اثر بار واحد بین  $A$  و  $B$  تکرار کنید، مقادیر عکس العمل منتج برای هر یک از این حالات به متوسط خطی عمودی از خط مبنای  $A'B'$  و از نقطه‌ای دقیقاً در زیر محل تأثیر بار رسم می‌شود، انتهای کلیه این خطوط بر یک خط مستقیم واقع می‌باشد. البته این مطلب قبلاً نیز قابل پیش‌بینی بود زیرا که مقدار  $R_{Ay}$  برای بار واحدی که در مقطعی به فاصله  $x$  از  $B$  اثر می‌کند برابر با  $20/x$  خواهد بود که  $20/x + 2/20$  عرض نقطه است که از فاصله  $x$  از  $B$  درج می‌شود و نمودار  $20/x$  بر حسب  $x$  یک خط مستقیم می‌باشد. با در نظر گرفتن نحوه رسم منحنی از خط مبنای  $A'B'$  نتایج زیر را می‌توان تحصیل نمود.

۱- عرض هر نقطه از این منحنی برابر با مقدار  $R_{Ay}$  است اگر بار واحدی در آن مقطع اثر کند (مذکور می‌شویم که کلیه عرض نقاط مربوط به عکس العمل در نقطه  $A$  است و نشان دهنده

محل تأثیر بار واحد ایجاد کننده آن مکمل عمل می‌باشد )

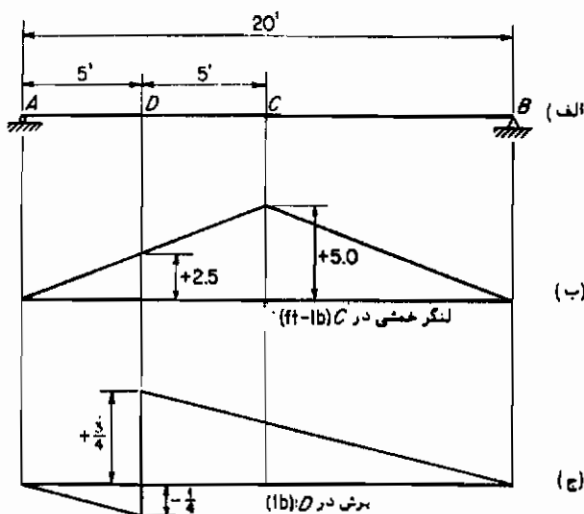
- ۱- به همان ترتیب که بار واحد از  $R_A$  به طرف  $A$  حرکت می‌کند، به همان نسبت نیز مقدار (عکس) العمل در  $A$  به صورت خطی افزایش می‌باید مقدار بعد اکثر  $R_{A_1}$  زمانی است که بار مزبور در نقطه  $A$  اثر کند
- ۲- چون کلیه مقادیر عرض این منحنی ثابت است نتیجه گرفته می‌شود که بار واحدی که بر هر نقطه‌ای از دهانه  $AB$  اثر کند ایجاد مکمل العملی به سمت بالا در نقطه  $A$  خواهد نمود، بنابراین اگر این سازه تحت اثر باری زنده به صورت پکتواخت قرار گرفته باشد این بار زنده باید در کل دهانه  $AB$  تیر اثر کند تا این که مقدار  $R_{A_1}$  به حد اکثر خود برسد.

### ۶- ۳ خط تأثیر - تعریف

منحنی رسم شده در شکل ۶-۱ را منحنی تأثیر می‌گویند زیرا آن منحنی نشان‌دهنده تابعی از بار واحدی است که در طول سازه حرکت می‌کند، در این حالت خاص تابع مورد بحث مکمل العمل عمودی در  $A$  است. واضح است که این تابع می‌تواند هرچیزی که بر حسب تغییر مکان بار در طول دهانه تغییر کند باشد، نظیر لنگرها بررش در مقطعی از یک شاهتیرو یا یک نیرو یا نیروی میلیمای در عضو معلومی از یک خرها و یا تغییر مکان یک نقطه معلوم از نکساره. خط تأثیر را می‌توان به صورت زیر تعریف نمود: خط تأثیر نظیر یک منحنی است که عرض آن منحنی در هر نقطه‌ای برابر با مقدار تابع مشخصی از یک بار واحد (مثلاً "بار ۱-lb" بار ۱-lb) باشد که در آن نقطه اثر می‌کند.

منحنی (ب) از شکل (۶-۲) خط تأثیر لنگر در نقطه  $C$  مرکز یک تیر روی دو تکیه‌گاه ساده را نشان می‌دهد، تطابق این منحنی را با تعریف خط تأثیر می‌توان با وارسی عرض نقاط مختلف آن بررسی نمود، مثلاً "اگر باری برابر با ۱-lb در  $D$  اثر کند لنگر در  $C$  برابر با  $+2.5 \times 10 = 10$  ft-lb خواهد شد که این مقدار عرض خط تأثیر در نقطه  $D$  می‌باشد. منحنی (ج) از این شکل خط تأثیر بررش را در  $D$  که بمقابله یک چهارم دهانه از سمت چپ واقع شده است نشان می‌دهد، برای این که بهینیم که آیا این منحنی نیز بر تعریف خط تأثیر مطابقت دارد یا نه می‌توان با وارسی عرض نقاط مختلف آن تحقیق نمود. برای مثال اگر بار واحدی درست در سمت راست نقطه  $D$  اثر کند بررش در  $D$  برابر با  $1b + \frac{3}{4}$  خواهد شد. بر حسب تعریف خط تأثیر نمایان گر اثر بار واحدی است هرگاه آن بار در طول دهانه تغییر مکان دهد، دیده می‌شود که چنین منحنی مطابقت کامل بر حرکت بار زندگانی در طول یک پل دارد، البته استفاده از خطوط تأثیر اختصاص به سازه‌هایی از قبیل پل ندارد، زیرا خطوط تأثیر اهمیت کامل در تعیین تنشی‌های حد اکثر در کلیه سازه‌هایی که تحت اثر بارهای

زنده می‌باشند دارند. چنین بارهای زنده‌ای می‌تواند بارهای منقول یک ساختمان اداری و یا بارهای آئرودینامیک مؤثر بر یک بال هواپیما و یا حاملهای فشاری آب ساکن حاصل از جابجایی موج‌ها در روی جدار یک کشتی باشد.



شکل ۶-۲ خطوط تأثیر برای تیر ساده

#### ۶-۳ خصوصیات خط تأثیر

خطوط تأثیر را می‌توان برای دو عمل مهم به‌کار برد: ۱- برای تعیین موقعیتی از بارهای زنده، که سبب ایجاد مقدار حداکثر تابع معلومی می‌شود که برای آن تابع خط تأثیر رسم شده است ۲- برای محاسبه مقدار آن تابع، تحت بارگذاری در موقعیت حداکثر اش و به عبارت دیگر برای هر نوع بارگذاری. از آنجایی که عرض یک خط تأثیر اندازه‌گرفته می‌شود لذا دو قضیه زیر را می‌توان بیان کرد:

۱- برای این‌که مقدار حداکثر تابع معلومی که به‌دلیل واردشدن بار زنده متصرکزی حاصل می‌شود بدست آید باید آن بار در محل عرض حداکثر خط تأثیر آن تابع وارد گردد این چنین مطلبی واضح است زیرا اگر بخواهیم مقدار حداکثر مثبت تابعی را معین کنیم بار وارد باید در نقطه‌ای عرض حداکثر مثبت خط تأثیر اثر کند اگر قرار باشد مقدار حداکثر منفی

به دست آید، موقعیت بار واردہ در نقطه عرض حد اکثر منفی خط تأثیر خواهد بود.

۲- مقدار تابع حاصل از واردشدن بار زنده منفرد و متمرکز برابر است با حاصل ضرب مقدار آن بار در عرض خط تأثیری که برای آن تابع رسم شده باشد و عرض مورد بحث در نقطه اثر بار اندازه گرفته شده باشد. چنین عملی از اصل انتطاق حاصل می‌شود. به علاوه بر طبق قضیه ۲ مقدار کل تابع حاصل از بیش از یک بار متمرکز را می‌توان با جمع اثرات جداگانه هر یک از بارهای متمرکز به دست آورد.

در تعریفی که فوقاً در مورد خط تأثیر ارائه شد پیشنهاد شده است که خط تأثیر برای باری برابر با  $1\text{-lb}$  رسم شود، در نتیجه عرض خط تأثیرداری واحدهای زیرخواهد بود: نیروهای عکس العمل پاوند، برش و نیروهای محوری پاوند، لنجکرهای خمشی فوت پاوند و غیره. به این ترتیب برای این که اثر بار متمرکز دیگری را با استفاده از خط تأثیر پیدا کنیم باید که مقدار بدون بعد آن بار را در محاسبات وارد کنیم (به این معنی که فقط تعداد بارهای یک پاوندی موجود در آن بار را در نظر داشته باشیم). مثلاً با استفاده از شکل (ع-۲-ب) لنجک خمشی در  $C$  حاصل از اثر باری برابر با  $780\text{ lb}$  که در  $D$  وارد می‌شود چنین خواهد شد.

$$(2.5 \text{ ft-lb})(780) = 1,875 \text{ ft-lb}$$

برخی از مهندسین محاسب ترجیح می‌دهند که خطوط تأثیر را بیانگر توابعی که در اثر بار واحد بدون بعدی به دست می‌آید در نظر بگیرند با چنین فرضی حاصل - ضرب فوق الذکر با ضرب عدد بعددار  $780\text{ lb}$  به دست می‌آید و یا:

$$(2.5 \text{ ft})(780 \text{ lb}) = 1,875 \text{ ft-lb}$$

برخی دیگران مهندسین محاسب ترجیح می‌دهند که عرض خط تأثیر را نسبت تابع مورد نظر بر بار دارای بعد یک پاوندی که سبب ایجاد آن تابع شده است بگیرند و با این تعریف می‌گویند که عرضهای شکل (ع-۲-ب) واحدی برابر با  $\text{ft-lb/lb}$  دارند و در این حالت حاصل ضرب فوق الذکر را می‌توان با ضرب عدد بعددار  $780\text{ lb}$  به دست آورد و یا:

$$(2.5 \text{ ft-lb per lb})(780 \text{ lb}) = 1,875 \text{ ft-lb}$$

این چنین برداشتی گرچه در این مبحث بدکار نخواهد رفت ولی دارای مزایایی می‌باشد

برطبق چنین کاربردی عرض‌های خطوط تأثیر به عنوان خرايب تأثیره‌کار بوده‌اند.

برای این که کاربرد اجرایی این دو قضیه را شرح داده باشیم فرض کنید که بار زنده‌ای برابر با  $1,000 \text{ lb}$  تأثیر شکل (ع-۴ الف) اثر کند، اگر خط تأثیر شکل (ع-۴ ج) را به کار ببریم مقدار حداقل برش مثبت حاصل از اثر این بار در  $D$  وقتی است که بار فوق الذکر درست در طرف راست  $D$  وارد شود که در این صورت مقدار آن برابر با  $1b = +7,000$  و  $+7,000 = 10,000 + \frac{1}{10}$  خواهد شد و مقدار حداقل برش منفی در همان مقطع وقتی است که بار درست در طرف چپ  $D$  وارد شود که مقدار آن برابر با  $-3,000 = -\frac{3}{10} \times 10,000$  خواهد شد، با در نظر گرفتن شکل (ع-۴ ه) حداقل لنگر مثبت در  $D$  وقتی است که بار در  $D$  وارد شود که مقدار آن برابر خواهد شد با:

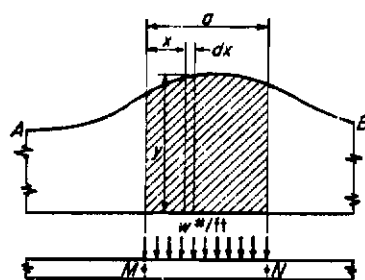
$$10,000 + \frac{1}{10} = +21,000 \text{ ft-lb}$$

با در نظر گرفتن تعریف خط تأثیر قضیه زیر که در مورد بارهای زنده گسترده باشد مکتواخت می‌باشد واضح است:

۳- برای این که مقدار حداقل تابع را که بعد لیل وارد شدن بار زنده گسترده یکنواختی حاصل می‌شود به دست آوریم باید که این بار در گلیه قسمتهای سازه که در مورد آن قسمتها عرضهای خط تأثیر تابع مورد نظر دارای علامت (مثبت یا منفی) دلخواه می‌باشد وارد شود. برای محاسبه مقدار واقعی تابعی که بعد لیل وارد شدن بار زنده گسترده و یکنواختی حاصل می‌شود با استفاده از خطوط تأثیر قضیه زیر را می‌باشیم به کار گرفت.

۴- مقدار تابع حاصل از وارد شدن هر بار زنده گسترده و یکنواخت برابر است با حاصل ضرب شدت آن بار در سطح خالص آن قسمت از خط تأثیر تابع مورد نظر که مربوط به قسمت بارشده سازه می‌گردد.

برای فهم صحت قضیه فوق می‌توان چنین تحقیق نمود: فرض کنید که  $AB$  خط تأثیر تابع مشخص  $m$  باشد، قسمتی از این سازه چنانکه در شکل (ع-۴) دیده می‌شود تحت اثر



شکل ع-۴ قسمتی از خط تأثیر

بارگستردہ و یکنواختی به شدت  $w \text{ lb/ft}$  کے در کل طول بین  $M$  و  $N$  اثرمی کند واقع شده باشد، قسمتی از خط تأثیر را که در فاصلہ  $dx$  واقع است می‌توان مانند بار متمنکزی برابر با  $dx$  گرفت، با در نظر گرفتن قضیہ ۲ مقدار اثر  $p$  حاصل از این بار دیفرانسیلی را می‌توان بصورت  $dP = w dx$  یعنی کرد بعاین ترتیب کل مقدار  $P$  که در اثر بار بین  $M$  و  $N$  حاصل می‌شود برابر با انتگرال  $dP$  بین  $0$  و  $a$  =  $x$  و  $y$  به عبارت دیگر مساوی: (سطح زیر خط تأثیر محدود بین قسمت بارشده سازه)

$$P = \int_0^a w y dx = w \int_0^a y dx = w$$

برای این که کاربرد عملی قضایای ۳ و ۴ را شرح دهیم فرض کنید که بار زنده و یکنواختی به شدت ۱,۰۰۰ lb بر تیر شکل (۶-۴ الف) اثر کند، برای این که برش مثبت و حد اکثر را در  $D$  (شکل ۶-۴ ج) بدست آوریم بار یکنواخت باید از  $A$  تا  $C$  و از  $D$  تا  $B$  بر تیر وارد شود، در این صورت مقدار این برش حد اکثر مثبت در  $D$  خواهد شد:

$$1,000[3\frac{1}{2}(5)(+3\frac{1}{10})] = +3,700 \text{ lb}$$

برای برش حد اکثر منفی در  $D$  باید سازه را از  $A$  تا  $D$  بارگذاری نمود که در این حالت برش حاصل در  $D$  برابر خواهد شد با:

$$1,000[3\frac{1}{2}(3)(-3\frac{1}{10})] = -450 \text{ lb}$$

با در نظر گرفتن شکل (۶-۴ ه) جهت محاسبه لنگر حد اکثر مثبت در  $D$  سازه را باید در حد فاصل  $A$  تا  $B$  بارگذاری نماییم، در این صورت خواهیم داشت:

$$1,000[3\frac{1}{2}(10)(+3\frac{1}{10})] = +10,500 \text{ ft-lb}$$

برای این که مقدار حد اکثر تابع حاصل از بار زنده متمنکز و بار زنده گستردہ یکنواختی را هرگاه این دو نوع بار بصورت همزمان وارد شوند تعیین کنیم باید حد اکثر تابع حاصل از هریک از این بارگذاریها را بصورت جداگانه بعروشی که قبلًا ذکر شد محاسبه کرده و نتایج حاصل را با یکدیگر جمع کنیم، به عنوان مثال برای این که لنگر منفی حد اکثر در  $A$  از شکل (۶-۴ الف) را تحت اثر بار یکنواختی به شدت ۱,۰۰۰ lb/ft و بار متمنکزی منفرد برابر با ۱0,000 lb را با استفاده از شکل (۶-۴ د) پیدا کنیم باید بار یکنواخت از  $C$  تا  $A$  بر تیر وارد شده و بار متمنکز باید در  $C$  اثر کند، در این حالت لنگر منفی حد اکثر در  $A$  خواهد شد:

$$1,000[\frac{1}{2}(5)(-5)] + 10,000(-5) = -62,500 \text{ ft-lb}$$

فرض کنید که بار یکواختی بهشت ۱,۰۰۰ lb در کل طول تیر شکل (ع-۴ الف) اثر کند اثرات حاصل را می‌توان با محاسبه جمع جبری سطوحی که کل خط تأثیر ایجاد می‌کند تعیین نمود. به عنوان مثال لنگر حاصل در  $D$  با استفاده از شکل (ع-۴ ه) برآورده شدند:

$$1,000[\frac{1}{2}(5)(-\frac{3}{2}) + \frac{1}{2}(10)(+\frac{2}{10})] = +1,750 \text{ ft-lb}$$

#### ۶-۵ رسم خطوط تأثیر تیرها

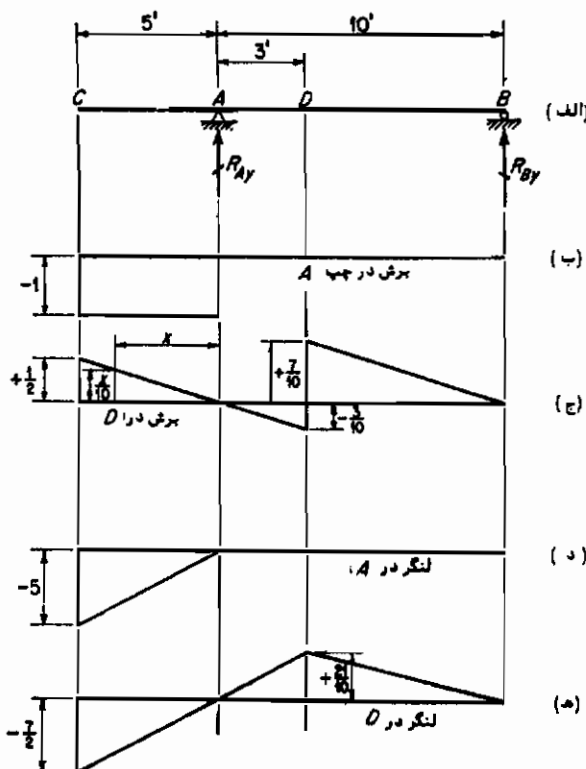
تیر شکل (ع-۴ الف) را در نظر بگیرید، برای شرح روش ترسیم خطوط تأثیر، خط تأثیری برای برش نقطه سمت چپ  $A$  همان طوری که در شکل (ع-۴ ب) نشان داده شده است ترسیم می‌گردد، هرگاه بار واحدی بهر مقطعی از سمت چپ این نقطه وارد شود برش در مقطع چپ  $A$  برابر با واحد بوده و مقدار متفاوت خواهد داشت. به این جهت خط تأثیر دارای عرضی برای  $A$ -از  $C$  تا  $B$  خواهد بود و اگر بار واحدی بهر مقطعی واقع در بین  $A$  و  $B$  اثر کند، مقدار برش در مقطع چپ  $A$  برابر با صفر خواهد شد و به این ترتیب عرض خط تأثیر برای این قسمت از تیر برابر با صفر خواهد شد.

حال خط تأثیر برش در  $D$  را چنانکه در شکل (ع-۴ ج) می‌بینیم رسم خواهیم کرد اگر بار واحد در  $C$  وارد شود برش در  $D$  را می‌توان برابر با عکس العمل در  $B$  و مساوی با  $\frac{1}{2} +$  بدست آورد به عنان ترتیب که بار واحداًز  $C$  به طرف  $A$  حرکت می‌کند مقدار عکس العمل  $B$  و در نتیجه برش در  $D$  تا مقدار صفر تقلیل پیدا می‌کند ولذا خط تأثیر برش در  $D$  از مقدار  $\frac{1}{2} +$  در  $C$  بمقدار صفر در  $A$  تغییر می‌کند. عملاً این تغییرات بین  $C$  و  $A$  خطی است، بررسی خطی بودن تغییرات خط تأثیر بین  $C$  و  $A$  را می‌توان با دو روش زیر معین نمود.

۱- می‌توان بار واحد را در هر مقطعی واقع بین  $C$  و  $A$  اثراًداده و برش در  $D$  را محاسبه نمود، زمانی که به درج این مقادیر به طرق ترسیمی در نقاط اثر بار می‌بردازیم معلوم خواهد شد که آن نقاط بر روی یک خط مستقیم واقع اند.

۲- اگر فاصله بار از  $A$  را با  $x$  نشان دهیم عکس العمل عمودی در  $B$  که در جهت رو به این اثر خواهد کرد برابر با  $10/x$  خواهد شد، رسم  $10/x$  بر حسب یک خط مستقیم است.

به عنان ترتیب که بار واحد از  $A$  تا مقطع سمت چپ  $D$  تغییر مکان می‌دهد عکس العمل



شکل ۴-۶ خطوط تأثیر برای تیر طرهدار

از مقدار صفر تا  $\frac{3}{10}$  افزایش می‌یابد لذا برش در سمت  $D$  از مقدار صفر تا  $\frac{3}{10}$ - تغییر می‌کند و بنابراین عرض خط تأثیر در سمت  $D$  برابر با  $\frac{3}{10}$ - خواهد شد. به همان طریق که خطی بودن خط تأثیر بین  $C$  و  $A$  نتیجه‌گیری شد می‌توان خطی بودن تغییرات  $A$  را از مقدار صفر در  $A$  تا مقدار  $\frac{3}{10}$ - در  $D$  استدلال نمود.

حال غرض کنید که بار واحد در سمت راست  $D$  اثر کند، اگر بخواهیم برش در  $D$  را که در اثر نیروهای مؤثر در سمت راست  $D$  بدطوری که قبلاً "شرح داده شده است محاسبه کنیم، لازم است که دونیروی عکس العمل در  $B$  و بار واحد را در محاسبات، وارد کنیم و از طرف دیگر اگر برش در  $D$  را که در اثر نیروهای مؤثر بر سمت چپ  $D$  حاصل می‌شود را محاسبه کنیم فقط عکس العمل در  $A$  لازم خواهد بود.

اگلی در محاسبه عرضهای خطوط تأثیر ترجیح داده می‌شود که از نیروهای مؤثر بر مقاطعی که از بار واحد دور می‌یابند استفاده شود. در حالت مورد بحث ما

بوده ولذا برش برابر با  $\frac{7}{10}$  می‌شود که این مقدار عرض خط تأثیر در سمت راست  $D$  می‌باشد . باید متذکر شد وقتی که بار واحد از  $D$  عمبور می‌کند یعنی از سمت چپ  $D$  به سمت راست  $D$  می‌گذرد برش در  $D$  به طور ناگهانی از مقدار  $\frac{3}{10}$  به  $\frac{7}{10}$  افزایش می‌باید، وقتی که بار واحد از مقطع راست  $D$  تا  $B$  حرکت می‌کند ، عکس العمل در  $A$  و بنا بر این برش در  $D$  به طور خطی از  $\frac{7}{10}$  تا صفر تقلیل می‌باید ولذا خط تأثیر به صورت خطی مستقیم از مقدار  $\frac{7}{10}$  در  $D$  تا مقدار صفر در  $A$  تغییر خواهد کرد .

حال خط تأثیر لنگر در  $A$  به طوری که در شکل (ع-۴-د) نشان داده شده است رسم می‌کنیم ، وقتی باری واحد در  $C$  قرار می‌گیرد لنگر در  $A$  برابر با  $5$  می‌شود ، به همان نحو که بار از  $C$  تا  $A$  حرکت می‌کند لنگر در  $A$  به طور خطی تا صفر تقلیل می‌باید . اگر بار در هر مقطعی بین  $A$  و  $B$  واقع شود لنگر در  $A$  برابر با صفر می‌شود ، این مطلب را می‌توان از بررسی بارهای واقع در سمت چپ  $A$  استنباط نمود .

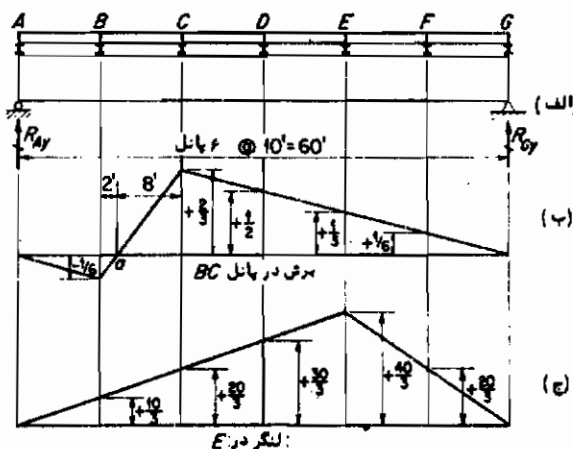
برای رسم خط تأثیر لنگر در  $D$  به طوری که در شکل (ع-۴-ه) دیده می‌شود می‌توان به صورت زیر عمل نمود : در صورت وارد شدن بار واحدی در  $C$  لنگر در  $D$  به طوری که به سادگی می‌توان با محاسبه عکس العمل  $B$  بعدست آورد برابر با  $\frac{7}{2}$  - خواهد شد ، به همان ترتیب که بار از  $C$  به  $A$  تغییر مکان می‌دهد لنگر در  $D$  به طور خطی تا مقدار صفر تقلیل می‌باید ولذا خط تأثیر خط مستقیمی است که از  $\frac{7}{2}$  - در  $C$  تا صفر در  $A$  رسم می‌شود ، همان طور که بار از  $A$  به  $\frac{7}{2}$  تغییر مکان می‌دهد عکس العمل در  $B$  به طور خطی از صفرتا  $\frac{9}{10}$  + افزایش می‌باید ولنگر در  $D$  که از طریق این عکس العمل محاسبه می‌شود به طور خطی از صفرتا  $\frac{21}{10}$  + در  $D$  رسم افزایش می‌باید ولذا خط تأثیر خط مستقیمی است که از صفر در  $A$  به  $\frac{21}{10}$  + در  $D$  رسم می‌شود . همان طور که بار از  $D$  تا  $B$  تغییر می‌باید عکس العمل در  $A$  به طور خطی از  $\frac{7}{10}$  + تا صفر تقلیل می‌باید و لنگر در  $D$  که از طریق این عکس العمل محاسبه می‌شود ، به طور خطی از  $\frac{7}{10} \times 3 = \frac{21}{10}$  + تا صفر در  $B$  تقلیل می‌باید .

#### ۶- خطوط تأثیر شاهتیرها با تیر ریزی گف

محاسبات باربری تیر ریزهای گف را در بخش ۹-۳ دیدیم و رسم خطوط تأثیر برای شاهتیرهای با تیر ریزی گف را می‌توان با ملاحظه شکل ع-۵ شرح داد . ابتدا چنانکه در شکل (ع-۵-ب) می‌بینیم خط تأثیر برای پانل  $BC$  را رسم می‌کنیم ، از آنجاشی که بارهای زنده فقط از طریق تیرهای عرضی گف که در نقاط پانلی  $G$  ،  $A$  ،  $B$  ،  $\dots$  واقع شده‌اند امکان انتقال به شاهتیر پیدا می‌کنند ملاحظه می‌شود که مقدار برش حاصل از بار زنده در طول یک

پانل از شاهتیر همواره ثابت می‌باشد.

وقتی که بار واحدی در  $A$  واقع می‌شود،  $R_{Ay} = 0$  می‌شود. عکس العملهای تیرهای کف سمت راست پانل  $BC$  که عبارت از نیروهای واردہ از طریق تیرهای عرضی کف در نقاط  $C$ ،  $D$ ،  $E$  و  $G$  می‌باشد همگی صفرخواهند بود لذا با محاسبه برش در پانل  $BC$  با استفاده از نیروهای مؤثر بر شاهتیرها در سمت راست، این پانل مقدار برش برابر با صفرخواهد شد وقتی که بار واحد در  $B$  قرار گیرد  $R_{Ay} = +\frac{1}{6}$  شده و عکس العملهای تیرهای کف در  $C, D, \dots, G$  بازهم برابر با صفرخواهد شد ولذا برش در پانل  $BC$  برابر با  $-\frac{1}{6}$  خواهد شد.



شکل عه خطوط تأثیر برای شاهتیر

وقتی که بار واحد در طول تیر طولی از یک نقطه به نقطه دیگر پانلی تغییر مکان می‌دهد، خط تأثیر در آن پانل مورد بحث یک خط مستقیم خواهد بود البته با غرض این که تیرهای طولی مانند تیرهای ساده‌ای بدهانه فاصله بین دو تیر عرضی عمل کنند، صحت مطلب فوق را در اینجا بررسی می‌کنیم: وقتی که بار واحدی از یک نقطه پانلی بمنطقه دیگر پانلی تغییر مکان می‌دهد عکس العملهای تیرهای طولی که همان بارهای مؤثر بر شاهتیر از طریق تیرهای کف می‌باشند، به طور خطی تغییر خواهند کرد ولذا هر اثری در شاهتیر که تابع تنش باشد نظیر برش در یک پانل نیز همچنان به طور خطی تغییر خواهد کرد بنابراین خط تأثیر برش در پانل  $BC$  نیز به طور خطی از مقدار صفر در  $A$  به مقدار  $-\frac{1}{6}$  در  $B$  تغییر خواهد کرد.

وقتی باری واحد در  $C$  قرار گیرد  $R_{Ay} = +\frac{1}{6}$  خواهد شد در حالیکه عکس العملهای کف در  $A$  و  $B$  برابر با صفر می‌باشد، پس برش در پانل  $BC$  برابر با  $+\frac{1}{6}$  خواهد شد و این

مقدار بهسادگی با درنظر گرفتن نیروهای مؤثر بر سمت چپ پانل قابل محاسبه می‌باشد. خط تأثیر خطی مستقیم از  $B$  تا  $C$  خواهد بود.

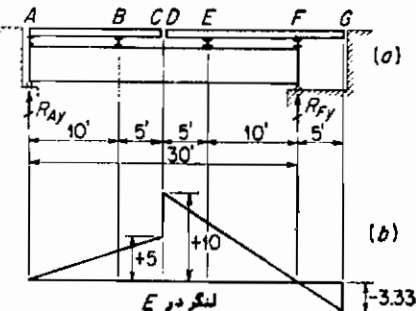
عرضهای خطوط تأثیر در نقاط پانلی  $D$ ،  $F$ ،  $E$  و  $G$  را می‌توان به همان روشهای در تعیین عرض خط تأثیر در نقطه  $C$  به کار برد. شد محاسبه نمود. در کلیه این حالات خط تأثیر خط مستقیمی در حد فاصل نقاط پانلی خواهد بود، معلوم می‌شود که خط تأثیر خط مستقیمی از  $C$  تا  $G$  خواهد بود. البته می‌توان از این محاسبات با استدلال زیرین خودداری تقلیل می‌یابد و به طوری که به سادگی از بررسی نیروهای خارجی مؤثر بر سازه دیده می‌شود چون عکس العملهای تیرهای کف در  $A$  و  $\bar{B}$  صفر باقی می‌ماند، بر این در پانل  $BC$  به طور خطی از  $\frac{2}{3} + \frac{1}{3}$  تا صفر تقلیل می‌یابد.

باید خاطرنشان کرد که می‌توان همواره یک خط تأثیر را با محاسبه مقادیر مختلف تابع مورد نظر با درنظر گرفتن موقعیت‌های مختلف برای بار واحد ترسیم نمود با توجه به این مطلب که نقاط تغییر شیب خط تأثیر همواره در بین موقعیت‌های انتخابی باشند، نقاط پانلی در زمرة این نقاط هستند، ولی همان طوری که بعداً خواهیم دید، ممکن است سازه‌ای به نحوی آرایش یافته باشد که نقاط دیگری نیز در آن سازه در زمرة نقاط تعیین کننده باشند تجربه کافی در رسم خطوط تأثیری می‌تواند به شخص درک کافی برای تشخیص خطی بودن خطوط تأثیر در قسمت‌های مختلف سازه را بدهد، گرچه چنین تجربه‌ای الزامی نیست ولی می‌تواند از مقدار محاسبات بگاهد.

حال به خط تأثیر لنگر در نقطه پانلی  $E$  از شاهیرشکل (ع-۵ الف) که در شکل (ع-۵) نشان داده شده است دقت کنید. به همان ترتیب که بار واحد از  $A$  به  $E$  تغییر مکان می‌دهد  $R_{AE}$  به طور خطی از صفر به  $\frac{2}{3} + \frac{1}{3}$  افزایش می‌تابد این مطلب را می‌توان با بررسی نیروهای خارجی در حالتی که عکس العملهای تیرهای عرضی کف در  $F$  و  $G$  صفر باشد فهمید. چون لنگر در نقطه پانلی  $E$  به طور خطی از مقدار صفر در  $A$  به مقداری برابر با  $\frac{2}{3} + \frac{1}{3}$  در  $E$  می‌افزایش می‌یابد لذا خط تأثیر نیز خطی مستقیم از مقدار صفر در  $A$  تا مقدار  $\frac{2}{3} + \frac{1}{3}$  در  $E$  می‌یابد. وقتی که بار واحد از  $E$  به  $G$  تغییر مکان می‌یابد،  $R_{EG}$  به طور خطی از  $\frac{2}{3} + \frac{1}{3}$  تا صفر تقلیل می‌یابد و عکس العملهای تیرهای عرضی کف در  $A$ ،  $C$ ،  $B$  و  $D$  صفر خواهد بود لذا خط تأثیر خط مستقیمی از مقدار  $\frac{2}{3} + \frac{1}{3}$  در  $E$  به مقدار صفر در  $G$  خواهد بود.

در هر پانلی لازم نیست که تیرهای طولی به صورت یک تیر ساده روی دو تیر عرضی کف در دو انتهای خود قرار گیرند، در شکل (ع-۶ الف) حالتی نشان داده شده است که

در  $\Delta$  حالت تیرهای طولی در پانل  $BE$  ترک شده و تیر طولی انتهایی در پانل  $EF$  تا نقطه  $G$  نیز ترک شده است. بررسی رسم خط تأثیر برای چنین سازه‌ای با بررسی لنگر در نقطه پانلی  $E$  از شاهتیر بطوری که در شکل (ع-۶ ب) دیده می‌شود انجام خواهد گرفت. به همان ترتیب که بار واحد از  $A$  تا  $C$  را می‌پسندید بررسی نیروهای مؤثر بر پیکر آزاد مت Shank از شاهتیر



شکل ع-۶ تأثیر نوع قرارگرفتن تیرهای طولی

و تیر طولی  $AC$  نشان می‌دهد که  $R_{Fy}$  بطور خطی از صفر تا  $\frac{1}{2} +$  تغییر می‌کند. چون عکس العملهای تیرهای عرضی کف در  $E$  و  $F$  برابر با صفر است پس لنگر در نقطه  $E$  از شاهتیر بطور خطی از مقدار صفر در  $A$  تا مقدار  $+5 = \frac{1}{2} \times 10$  در  $C$  تغییر خواهد کرد. اگر بار واحد در  $D$  اثر کند، مقدار  $\frac{1}{2} R_{Ay} = +10$  بوده و عکس العملهای تیرهای عرضی کف در  $A$  و  $B$  برابر با صفر خواهد بود ولذا لنگر در  $E$  مساوی با  $+1\frac{1}{2} \times 20 = +10$  خواهد شد. به همان ترتیب که بار از  $D$  به  $G$  تغییر مکان می‌پسندد،  $R_{Ay}$  بطور خطی از  $\frac{1}{2} +$  تا  $\frac{1}{6} -$  تغییر خواهد کرد و چون عکس العملهای تیر عرضی کف در  $A$  و  $B$  به مقدار صفر باقی می‌مانند لذا لنگر در  $E$  بطور خطی از مقدار  $10 +$  در  $D$  به مقدار  $-3.33 = -10$  در  $G$  تغییر خواهد کرد.

#### ۶-۲ شرح خطوط تأثیر شاهتیرها با تیرریزی کف

چهار قضیه مطرح در مبحث ع-۴ که موارد استفاده خطوط تأثیر را شرح می‌داد کاملاً کلی بوده و قابل استفاده در خطوط تأثیر شاهتیرها با تیرریزی کف نیز هستند. فرض کنید بارهای زنده‌ای شامل از بار یکتاختی بهشت  $lb/ft$  ۱,۰۰۰ و بار سنفرد متعمکزی برابر با  $lb/10,000$  به سازه شکل (ع-۵ الف) وارد شوند. برای این که حد اکثر برش حاصل از بار زنده را در پانل  $BC$  با استفاده از خط تأثیر شکل (ع-۵ ب) بدست آوریم ابتدا لازم است که محل

تقاطع این خط‌تأثیر را در نقطه  $C$  با خط مبدأ مشخص کنیم. چنین نقطه‌ای به نقطه خنثی مشهور است زیرا اگر باری در این نقطه وارد شود هیچ تأثیری در مقدار تابع مورد نظرخواهد داشت. محل این نقطه را با استفاده از تشابه مثلث می‌توان محاسبه نمود که به این ترتیب فاصله‌اش از  $B$  برابر با  $2\text{ ft}$  تعیین می‌شود، حداکثر برش مشتث حاصل از بار زنده در پانل  $BC$  وقتی است که بار یکنواخت از نقطه خنثی تا نقطه  $G$  بر تیر اثر کند و بار متعرک در نقطه  $C$  بر آن وارد شود که در این صورت مقدار حاصل چنین خواهد شد:

$$1,000[3\frac{1}{2}(+2\frac{1}{3})(48)] + 10,000(+\frac{2}{3}) = 22,067 \text{ lb}$$

حداکثر برش منفی حاصل از بار زنده وقتی خواهد بود که بار یکنواخت از  $A$  تا نقطه خنثی ادامه داشته و بار متعرک در  $B$  وارد شود، در این صورت مقدار آن خواهد شد:

$$1,000[3\frac{1}{2}(-\frac{1}{6})(12)] + 10,000(-\frac{1}{6}) = -2,667 \text{ lb}$$

با استفاده از شکل (ع-۵ج) حداکثر لنجک‌حاصل از بار زنده در نقطه پانلی  $E$  تحت اثرهای بارهای زنده وقتی است که بار یکنواخت در کل دهانه وارد شده و بار متعرک در  $E$  وارد شود، در این صورت مقدار آن برابر خواهد شد با:

$$1,000[3\frac{1}{2}(+4\frac{1}{3})(60)] + 10,000(+4\frac{1}{3}) = +533,333 \text{ ft-lb}$$

روش‌هایی که برای محاسبه حداکثر لنگر و برش حاصل از بار زنده براساس تعیین محل نقاط خنثی و بعکاربردن سطوح دقیق زیر خطوط تأثیر بعکار رفت روش‌های دقیق می‌باشد. روش تقریبی زیر دارای اهمیت زیادی است زیرا که اغلب محاسبات کمتری لازم داشته و می‌توان آنرا در محاسبات سازه‌های پیچیده نیز بکار برد. در روش تقریبی فرض می‌شود که بار زنده یکنواخت را می‌توان به صورت بارهای کامل یک پانل و به شکل بارهای متعرک در نقاط پانلی با در نظر گرفتن عرض خط تأثیر در آن نقاط پانلی که نشان‌دهنده این است که وارد شدن بار در نقاط پانلی سبب افزایش پاتقلیل مقدار تابع مورد نظر می‌باشد وارد نموده و یا از اثر آن خودداری کرد.

بار کامل یک پانل بار حداکثر ممکنی است که از طریق یک تیر عرضی کف می‌تواند بر شاهتیر وارد شود و این زمانی است که تیرهای طولی مجاور یک پانل در کل دهانه خود بار شده باشند و مقدار بار کامل یک پانل (برای پانلهای با طول مساوی) برابر با  $w$  خواهد بود که در این عبارت  $w$  شدت بار یکنواخت و  $L$  طول پانل می‌باشد.

بار دیگر سازه‌شکل (ع-۵الف) را که توسط بارهای زنده شامل از بار یکنواخت به شدت

$\text{ft-lb}$  ۱,۰۰۰ و بار منفرد متمرکزی برابر با  $10,000 \text{ lb}$  بار شده است در نظر گیرید . برای بار زنده پکتواخت بار کامل پانلی برابر با  $10,000 \text{ lb} = 10,000(10) = 100,000 \text{ lb}$  خواهد شد ، برای این که مقدار حداکثربرش حاصل از بار زنده را در پانل  $BC$  بروش تقریبی محاسبه کنیم این بار کامل پانلی را باید در  $C$  ،  $D$  ،  $E$  و  $F$  وارد کنیم ، زیرا خط تأثیر شکل (۵-۶) در این نقاط پانلی دارای علامت مثبت است . در  $B$  بار پانلی وارد نخواهیم کرد ، زیرا عرض خط تأثیر در آن منفی می‌باشد . اثر بار متمرکز مانند روش دقیق بوده و در  $C$  وارد خواهد شد در این صورت حداکثر برش برابر حاصل از بار زنده در پانل  $BC$  برابر خواهد شد با :

$$10,000(\frac{2}{3} + \frac{1}{2} + \frac{1}{3}) + 10,000(\frac{2}{3}) = 28,333 \text{ lb}$$

مقدار متناظر این رقم در روش دقیق مساوی  $22,667 \text{ lb}$  بود و دیده می‌شود که نتیجه حاصل از روش تقریبی کمی در جهت اطمینان است به عبارت دیگر کمی بیشتر از مقدار واقعی می‌باشد : در روش تقریبی فرض می‌شود که بر  $C$  بار کامل پانلی وارد شود که این مطلب در صورتی امکان پذیر است که تیر طولی  $BC$  "کلا" بار شده باشد که در این صورت چنین بار - گذاری تیر طولی  $BC$  سبب خواهد شد که عکس العلی برتیر عرضی کف در  $B$  برابر با نصف بار پانلی ایجاد شود که این بار اخیر خود سبب ایجاد برش منفی در پانل  $BC$  می‌شود و چون در محاسبه به طبق تقریبی از این برش منفی حاصل از بار پانلی جزیی در  $B$  صرفنظر شده است لذا "الزاما" برش مثبت حاصل در جهت اطمینان بعدست آمده است . روش تقریبی محاسبه حداکثر مقدارتابع مورد نظر هرگز از نظر مقدار رقمی کمتر از آنچه روش دقیق بعدست می‌دهد ارائه نمی‌کند .

برای تعیین لنگر مثبت حداکثر حاصل از بار زنده در  $E$  در همان سازه با استفاده از روش بارگذاری تقریبی با در نظر گرفتن خط تأثیر شکل (۵-۶) برای بار پکتواخت باید که بار کامل پانلی را که برابر با  $10,000 \text{ lb}$  می‌باشد ، بر کلیه نقاط پانلی وارد کنیم زیرا کلیه عرضهای خط تأثیر مثبت می‌باشد . بار متمرکز را می‌بایستی در  $E$  وارد کرد و در این صورت لنگر مثبت حداکثر حاصل از بار زنده برابر خواهد شد با :

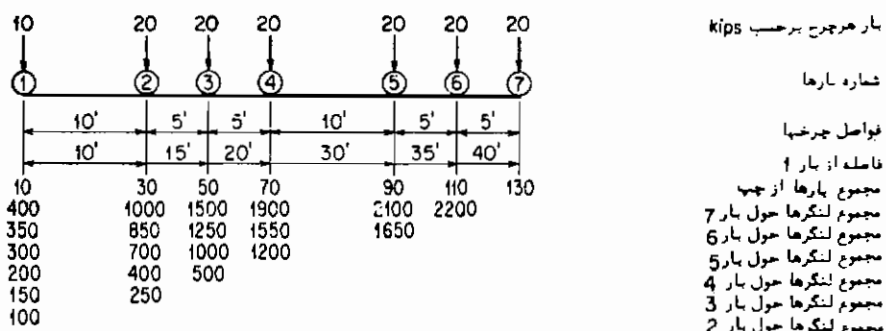
$$10,000(+\frac{1}{3} + \frac{2}{3} + \frac{3}{3} + \frac{4}{3} + \frac{2}{3}) + 10,000(+\frac{4}{3}) \\ = +533,333 \text{ ft-lb}$$

این رقم با آنچه بروش دقیق بدست آمد برابر است .

## ۶-۸ دسته بارهای متمرکز زنده - استفاده از نمودار لنگر

چنانکه قبلاً ذکر شد استفاده از خطوط تأثیر هم برای بارهای زنده گسترده یک واخت امکان پذیر است و هم برای بارهای منفرد زنده متمرکز، ولی آنها را نمی‌توان مستقیماً "برای بارهای زنده متشکل از یک دسته بارهای متمرکز که دارای مقدار و فواصل معینی از یکدیگر باشند نظیر بارهای وارد از چرخهای یک لوکوموتیو و یا چند واگن به کار برد. وقتی بیش از یک بار متمرکز وجود داشته باشد عموماً" براحتی نمی‌توان گفت که کدام یک از نیروهای متمرکز باید در موقعیت عرض حداقل خط تأثیر واقع شوند تا این که بتوان حداقل تابع مورد نظر را یافت.

روشی که برای چنان بار زنده‌ای می‌باشد یعنی به کار برد عملاً "بر سعی و خطا استوار است و برای این که بر چنین آزمون و خطای گوناگونی سرعت بخشیم باید ترتیبی اتخاذ شود که در چنان تحلیل دقیقی حداقل محاسبات به عمل آید، برای دسته بارهای متمرکز مزیت دارد که نمودار لنگری نظیر آنچه در شکل (۶-۷) دیده می‌شود به کار برد شود. این چنین نمودار لنگری برای هفت بار متمرکز با فواصل نشان داده شده محاسبه شده است. این نمودار توضیح لازم را در خود دارد. اعداد مذکور در شش ردیف زیرین را می‌توان تنتہ با یک شرح مختصر توضیح داد: عدد ۱,۹۰۰ زیر بار ۴ که در مقابل آن "جمع لنگرها حول بار" نوشته شده است

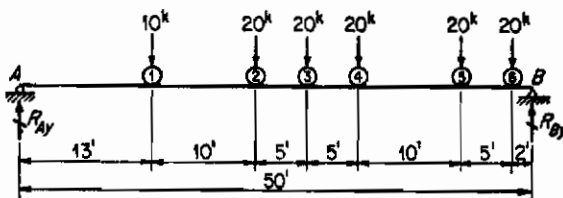


شکل (۶-۷) نمودار لنگر

است نشان دهنده لنگر بارهای از ۱ تا ۷ حول بار می‌باشد و به این ترتیب خواهیم داشت:

$$10(40) + 20(30) + 20(25) + 20(20) = 1,900$$

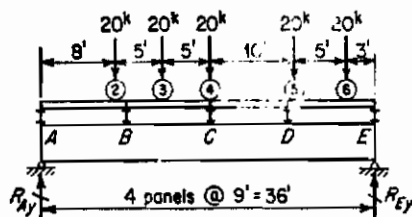
برای این که نمودار لنگر را شرح دهیم فرض کنید که بخواهیم لنگر در مقطع بار ۳ از تیر شکل (۶-۸) را در اثربارگذاری شکل (۶-۷) که طبق شکل (۶-۸) وارد شده است تعیین کیم.



شکل (۶-۸) کاربرد دیاگرام معان

لنگر حول  $B$  بارهای واردہ برابر است با  $1,650$  (لنگر بارهای  $1$  تا  $5$  حول بار  $6$ ) بهمراه  $110$  (جمع بارهای  $1$  تا  $6$ ) ضرب در  $2$  (فاصله بار  $6$  تا نقطه  $B$ ) که خواهد  $1,650 + 110(2) = 1,870$  kip-ft باشد. اگر این لنگر را بردهانه تیر تقسیم کنیم  $R_{A_y}$  برابر با  $1,870/50 = +37.4$  kips باشد. بعده دست خواهد آمد و چون لنگر در بار  $3$  با لنگرگیری از طرف چپ برابر است با  $250 = +798$  kip-ft باید خاطرنشان ساخت که لنگر  $250$  kip-ft که در این رابطه تفیق شده است لنگر بارهای  $1$  و  $2$  حول بار  $3$  می‌باشد.

بعنوان دومین مثال، با کاربرد نمودار لنگر، برش در پانل  $BC$  از شاهتیر شکل (۶-۹) را برای بارهای نشان داده شده (این بارها قسمتی از بارگذاری نشان داده شده در شکل (۶-۷) می‌باشد) محاسبه می‌کنیم. اگر بارها بمان صورت قرار گیرند بار شماره  $1$  در محدوده دهانه واقع نخواهد شد و عکس العمل شاهتیر در  $A$  برابر خواهد شد با:



شکل (۶-۹) کاربرد نمودار لنگر

می‌باشد) محاسبه می‌کنیم. اگر بارها بمان صورت قرار گیرند بار شماره  $1$  در محدوده دهانه واقع نخواهد شد و عکس العمل شاهتیر در  $A$  برابر خواهد شد با:

$$R_{A_y} = \frac{(1,650 - 350) + (110 - 10)3}{36} = +44.5 \text{ kips}$$

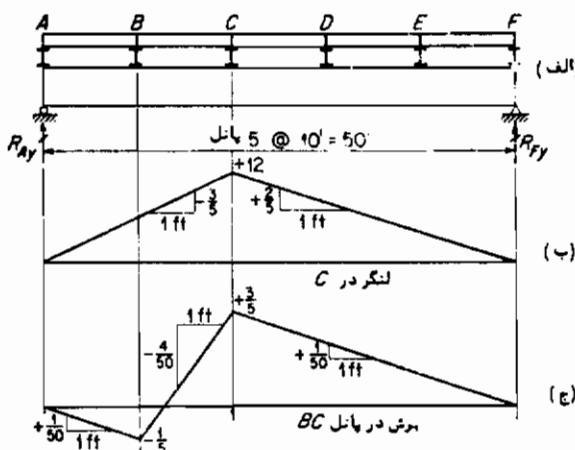
مجموع عکس العطهای تیرهای عرضی که در  $A$  و  $B$  برابر خواهد شد با:

$$20 + \frac{5}{9}(20) = 31.1$$

بنابراین برش در پانل  $BC$  برابر خواهد شد با:  $+44.5 - 31.1 = +13.4 \text{ kips}$   
 در کاربرد عملی نمودار لنگر را هترین راهها این است که آن را با مقیاسی معین روی  
 کالک رسم کنیم و سپس آن را در محل لازم روی سازه مورد نظر قرار دهیم بدیهی است سازه  
 موردنظر باید بهمان مقیاس رسم شده باشد.

#### ۶- ۹ دسته بارهای زنده متغیر- محاسبه لنگر حد اکثر

محاسبه لنگر حد اکثر در مقطعی از شاهتیر را با شرح محاسبه لنگر حد اکثر در  $C$  از  
 شاهتیر شکل (۶-۱۰ الف) که تحت اثر بارهای زنده وابسته به نمودار لنگر شکل (۶-۱۰ ب) قرار  
 دارد توضیح می‌دهیم. ابتدا خط تأثیر برای لنگر در  $C$  چنانچه در شکل (۶-۱۰ ب) نشان  
 داده‌ایم رسم می‌کنیم. حد اکثر لنگر در  $C$  زمانی خواهد بود که بارهای متغیر  $C$  وارد  
 شوند، لذا اولین مرحله مساله این خواهد بود که تعیین کنیم که کدام یک از بارها باید  
 بهمنظور ایجاد لنگر حد اکثر در  $C$  وارد شوند.



شکل (۶-۱۰) خطوط تأثیر شاهتیرها

قبل از انجام این آزمون و خطای شبیه هر قسم از خط تأثیر را به ترتیب از راست به چپ  
 معین می‌کنیم و بعنوان مثال قسمتی از خط تأثیری که برای لنگر در  $C$  رسم شده است و از  
 $p$  به سمت  $C$  می‌باشد دارای شبیه برابر با  $+3\frac{4}{5} = +12\frac{3}{5}$  است.

با استفاده از نمودار لنگر شکل (۶-۱۰ ب) بار ۱ را در  $C$  قرار می‌دهیم. این چنین عملی  
 لنگری در  $C$  ایجاد می‌کند که در این مرحله از تحلیل محاسبه نخواهد شد و پس از آن که کل

دستگاه بارها را به طرف چه آنقدر حرکت داریم که بار ۲ در  $C$  قرار گرفت ، محاسبات را برای تعیین این که لنگر در  $C$  پس از این تغییر موقعیت افزایش یافته است و یا کاهش ، بعمل خواهیم آورد . برای این که بعینیم که آیا لنگر بزرگتر شده است و یا کوچکتر ، بهتر است بارهای مورد بررسی را به سه گروه تقسیم کنیم : ۱- بارهایی که قبل از حرکت بارها روی سازه بودند و پس از حرکت نیز روی سازه باقی میمانند ۲- بارهایی که قبل از حرکت بارها روی سازه بودند ولی بعداز حرکت بارها روی سازه قرار نمیگیرند ۳- بارهایی که قبل از حرکت بارها روی سازه بودند ولی بعداز حرکت بارها روی سازه قرار میگیرند . برای راحتی ، این سه گروه بارها را بترتیب بارهای گروه ۱ ، بارهای گروه ۲ و بارهای گروه ۳ خواهیم گفت . محاسبات زیرین برای تعیین ازدحام یا کاهش لنگر در  $C$  میباشد ، باید توجه داشت که اگر بار  $m$  فاصله‌ای برابر با  $\Delta$  را بهماید و شیب خط تأثیر  $m$  باشد تغییر مربوطه در مقدار لنگر برابر با  $Pdm$  خواهد شد .

کاهش لنگر	افزایش لنگر	بار ۱ در مقطع اثر می‌کند و سهی جای خود را به بار ۲ می‌دهد
$10(10)(-\%6) = -60$	$80(10)(+\%6) = +320$	بارهای گروه ۱ - بارهای ۱ تا ۵
0	0	بارهای گروه ۲ - هیچ
0	$20(5)(+\%6) = +40$	بارهای گروه ۳ - بار ۶ و ۷
$-60$	$+360$	ترکیب کل بارها

تغییر خالص در مقدار لنگر برابر با  $= +300 - 60 = +360$  می‌شود ولذا اگر بار ۲ در مقطع (یعنی در  $C$ ) قرار گیرد ، لنگر در  $C$  نسبت به حالت قرارگیری بار ۱ در مقطع بیشتر خواهد شد و امکان این هم وجود دارد که با قرار گرفتن بار ۳ در مقطع لنگر بیشتری بوجود آید . حال بارها را به طرف چه حرکت می‌دهیم تا این که بار ۳ در  $C$  قرار گیرد و محاسبات را برای تعیین این که با این موقعیت جدید لنگر در  $C$  افزایش می‌پابد یا کاهش انجام می‌دهیم .

کاهش لنگر	افزایش لنگر	بار ۲ در مقطع اثر می‌کند و سپس خود را به بار ۳ می‌هد
$80(5)(-\frac{3}{5}) = -90$	$100(5)(+\frac{3}{5}) = +200$	بارهای گروه ۱ - کلیه بارها
0	0	بارهای گروه ۲ - هیچ
0	0	بارهای گروه ۳ - هیچ
$\underline{-90}$	$\underline{+200}$	ترکیب کل بارها

چون ۲۰۰ از ۹۰ بزرگتر است باز هم لنگر افزایش یافته است. حال بمحض جوادمه می‌دهیم تا ببینیم که آیا با قرار گرفتن بار ۴ در مقطع باز هم لنگر افزایش می‌باید یا نه.

کاهش لنگر	افزایش لنگر	بار ۳ در مقطع اثر می‌کند و سپس جای خود را به بار ۴ می‌دهد
$50(5)(-\frac{3}{5}) = -150$	$80(5)(+\frac{2}{5}) = +160$	بارهای گروه ۱ - کلیه بارها
0	0	بارهای گروه ۲ - هیچ
0	0	بارهای گروه ۳ - هیچ
$\underline{-150}$	$\underline{+160}$	ترکیب کل بارها

باز هم لنگر افزایش یافته است حال بار ۵ را در مقطع وارد می‌کنیم

کاهش لنگر	افزایش لنگر	بار ۴ در مقطع اثر می‌کند و سپس جای خود را به بار ۵ می‌دهد
$60(10)(-\frac{3}{5}) = -360$	$60(10)(+\frac{3}{5}) = +240$	بارهای گروه ۱ - بارهای ۲ تا ۷
0	0	بارهای گروه ۲ - بار
0	0	بارهای گروه ۳ - هیچ
$\underline{-360}$	$\underline{+240}$	ترکیب کل بارها

دقیق شود که گرچه بار ۱ وقتی که بار ۴ در مقطع اثر می‌کند روی سازه قرار دارد ولی لنگری در ۰ ایجاد نمی‌کند، لذا پس از حرکت و بیرون افتادن آن از سازه نیز تغییری انجام

نمی پذیرد . چون 240 از 360 کمتر است . پس با قرار گرفتن بار ۵ در مقطع ، لنگر در C تقلیل می یابد . با کمی تجربه در حرکت بارها می توان پیش بینی نمود که لنگر حداکثر در ۰ با قرار گرفتن بار ۱ در مقطع ، همچنین احتمالاً با قرار گرفتن بار ۲ در مقطع بوجود خواهد آمد لذا در آن صورت می توان از این قسمت از محاسبات خودداری نمود .

پس از آن که موقعیت بارها - که سبب ایجاد لنگر حداکثر در C را می نماید - معلوم شد مقدار لنگر حداکثر را می توان به عیکی از روش های استفاده مستقیم از عرضه ای خط تأثیر و یا استفاده از نمودار لنگر محاسبه نمود ، اگر روش دوم را به کار بریم خواهیم داشت :

$$R_{Ay} = \frac{2,200 + 130(10)}{50} = +70 \text{ kips}$$

لنگر عکس العملهای تیرهای عرضی در A و B حول C برابر با لنگر بارهای ۱، ۲، و ۳ حول ۴ می شود که از نظر مقدار برابر با 500 kip-ft که می باشد ، بنابراین حداکثر لنگر مثبت در C برابر خواهد شد با :

$$+70(20) - 500 = +900 \text{ kip-ft}$$

#### ۶-۱۰ دسته بارهای زنده متغیر - محاسبه برش حداکثر

روش جابجایی نیروها که قبلًا ذکر شد و با استفاده از خط تأثیر انجام می پذیرفت حالت کاملانه کلی دارد و آن را می توان برای هر خط تأثیری به کار برد . به عنوان شرح دیگری از کاربرد آن ، حداکثر برش مثبت را در پانل BC از سازه شکل (۱۵-الف) تحت اثر بارگذاری شکل (۱۵-ج) محاسبه می نماییم . محاسبه را می توانیم با قراردادن بار ۱ در C ( نقطه حداکثر عرض مثبت خط تأثیر ) شروع کنیم و سپس با حرکت دادن آن بار ۲ در آن مقطع به منظور دریافت این که آیا برش در پانل BC افزایش می یابد یا کاهش ، قرار دهیم . چنین مرحله ای از محاسبات بندرت لازم می شود زیرا که از بررسی بارگذاری و خط تأثیر شکل (۱۵-ج) بدون محاسبه چنین نتیجه گیری می شود که این چنین حرکتی از بارها سبب افزایش برش در پانل BC خواهد شد .

کاهش برش	افزایش برش	بار <sup>۲</sup> در مقطع اثر می‌کند سپس جای خود را به بار <sup>۳</sup> می‌دهد
$20(5)(-5\%) = -8.0$	$100(5)(+3\%) + 10(5)(+3\%) = +11.0$	بارهای گروه ۱ - کلیه بارها
0	0	بارهای گروه ۲ - هیچ
0	0	بارهای گروه ۳ - هیچ
<u>-8.0</u>	<u>+11.0</u>	ترکیب کل بارها

دیده می‌شود که افزایش در برش پانل  $BC$  ایجاد شده است ولذا بار<sup>۴</sup> را در مقطع قرار می‌دهیم.

کاهش برش	افزایش برش	بار <sup>۴</sup> در مقطع اثر می‌کند سپس جای خود را به بار <sup>۵</sup> می‌دهد
$40(5)(-5\%) = -16.0$	$80(5)(+3\%) + 10(5)(+3\%) = +9.0$	بارهای گروه ۱ - کلیه بارها
0	0	بارهای گروه ۲ - هیچ
0	0	بارهای گروه ۳ - هیچ
<u>-16.0</u>	<u>+9.0</u>	ترکیب کل بارها

دیده می‌شود که کاهشی در مقدار مثبت برش در پانل  $BC$  ایجاد شده است، لذا حداقل برش در پانل  $BC$  وقتی ایجاد خواهد شد که بار<sup>۳</sup> در  $C$  وارد شود و مقدار این حداقل برش را می‌توان به طریق زیر با استفاده از نمودار لنگر شکل ۷-۲ محاسبه نمود:

$$R_{Av} = \frac{2,200 + 130(5)}{50} = +57.0 \text{ kips}$$

جمع عکس‌العملهای تیرهای عرضی در  $A$  و  $B$  برابر خواهد شد با:

$$10 + 20\frac{1}{2} = 20 \text{ kips}$$

لذا حداقل برش مثبت حاصل از بار زنده در پانل  $BC$  برابر خواهد شد با:

$$+57.0 - 20.0 = +37.0 \text{ kips}$$

\* این عدد برای بار است.

#### ۶- ۱۱ برش حداکثر مطلق حاصل از بارهای زنده

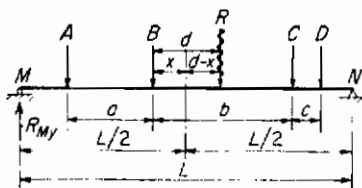
در روش‌هایی که بر طبق آنها محاسبات مربوط به برش حداکثر حاصل از بارهای زنده انجام می‌پذیرد، فرض می‌شود که مقطع یا پانلی که برای آن مقدار برش محاسبه می‌گردد مشخص باشد. اغلب بدون مطرح‌بودن مقطعی در یک قطعه محاسبه برش حداکثر مطلق حاصل از بارهای زنده موردنیاز می‌باشد و به عبارت دیگر لازم است که برش حداکثر حاصل از بارهای زنده را که امکان بوجود آمدن آن در مقطعی از یک قطعه وجود دارد محاسبه گردد. در مورد یک تیر ساده و یا یک شاهتیر برش حداکثر مطلق حاصل از بارهای زنده در یکی از مقاطع تکیه‌گاهی انتهایی اتفاق خواهد افتاد، اگر تیر با شاهتیر دارای دو تکیه‌گاه ساده در انتهای نباشد در آن صورت برش حداکثر مطلق حاصل از بارهای زنده در یکی از سطوح طرفین تکیه‌گاهی‌ای آن اتفاق خواهد افتاد و برای محاسبه مقدار صحیح برش حداکثر مطلق حاصل از بارهای زنده مقادیر برش حداکثر حاصل از بارهای زنده را فقط باید در هر یکی از آن مقاطع محاسبه کنیم.

#### ۶- ۱۲ لنگر حداکثر مطلق حاصل از بارهای زنده

مانند آنچه قبلًا ذکر شد، در روش‌هایی که بر طبق آنها محاسبات مربوط به تعیین حداکثر لنگر حاصل از بارهای زنده انجام می‌پذیرد فرض می‌شود مقطعی که برای آن مقدار لنگر محاسبه می‌گردد مشخص باشد. اغلب لازم است که لنگر حداکثر مطلق بارهای زنده برای یک تیر یا شاهتیری محاسبه گردد. برای یک تیر روی دو تکیه‌گاه ساده انتهایی این مقدار در مقطع میانی آن، هم برای باریکنواخت زنده و هم برای بارمنفرد متتمرکز زنده اتفاق می‌افتد و برای شاهتیری با تیر ریزی کف این مقدار در نزدیکترین نقطه پانلی به مقطع میانی شاهتیر اتفاق خواهد افتاد. برای شاهتیری که به صورت تره بوده و یا قسمی از آن به شکل طره باشد لنگر حداکثر مطلق حاصل از بارهای زنده حدوداً در یکی از عکس‌العملها اتفاق می‌افتد. اگر مقطع لنگر حداکثر مطلق بارهای زنده را نتوان دقیقاً حدس زد لازم است که لنگری حداکتر را برای مقاطع مختلف که در آن مقاطع احتمال وقوع لنگر حداکثر مطلق بارهای زنده وجود دارد محاسبه نمود.

حالت مخصوصی که دارای اهمیت زیادی است، تعیین لنگر حداکثر مطلق بارهای زنده در تیر ساده تحت اثر دسته بارهای زنده متتمرکز مانند شکل (۱۱) می‌باشد. از آنجائی که

نمودار لنگربرای دسته بارهای متمرکز شامل یک دسته خطوط می‌باشد که در راستای موقعیت‌های بارها دو بدوجدیگر را قطع می‌کنند بنابراین لنگر حداقل مطلق بارهای زنده باید مستقیماً در زیر یکی از این بارها ایجاد شود. این دو سوال می‌بایستی پاسخ داده شود: ۱- زیر کدام یک از بارها لنگر حداقل مطلق بارهای زنده ایجاد خواهد شد؟ ۲- زمانی که لنگر حداقل مطلق بارهای زنده اتفاق می‌افتد موقعیت این بار چه خواهد بود؟



شکل ۱۱- موقعیت لازم برای لنگر حداقل مطلق

پاسخ سوال نخست اغلب توسط روش آزمون و خطا امکان پذیر است ولی بررسی سوال دوم بستگی به تحلیل مستقیم موضوع دارد. فرض کنید که در شکل (۱۱-۶) لنگر حداقل مطلق بارهای زنده زیر بار  $B$  بوجود آید. همچنین فرض کنید که فاصله بار  $B$  را از مرکز دهانه تیر با  $x$  و فاصله برآیند  $R$  کلیه بارهای  $A$ ،  $C$ ،  $B$  و  $D$  را از بار  $B$  با  $d$  نشان دهیم. حال می‌خواهیم مقدار  $x$  را بهنحوی معین کنیم که لنگر در محل اثر  $B$  به مقدار حداقل برسد. مقدار  $R_{M_B}$  را می‌توان با لنگرگیری حول  $N$  تعیین نمود و در این محاسبات بجای بارهای حقیقی  $R_{M_y}$  و مقدار نیروی برآیند  $R$  را جایگزین خواهیم کرد. بنابراین خواهیم داشت:

$$R_{M_y} = \frac{R \left( \frac{L}{2} + x - d \right)}{L} = \frac{R}{2} + \frac{Rx}{L} - \frac{Rd}{L}$$

اگر لنگر زیر بار  $B$  را با  $M_B$  نشان دهیم داریم:

$$\begin{aligned} M_B &= R_{M_y} \left( \frac{L}{2} - x \right) - Aa = \left( \frac{R}{2} + \frac{Rx}{L} - \frac{Rd}{L} \right) \left( \frac{L}{2} - x \right) - Aa \\ &= \frac{RL}{4} - \frac{Rd}{2} - \frac{Rx^2}{L} + \frac{Rxd}{L} - Aa \end{aligned}$$

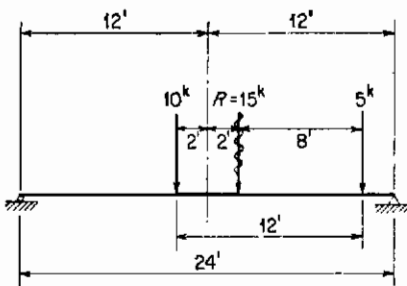
برای این که مقدار  $M_B$  حداقل مقدار خود را پیدا کند باید داشته باشیم،

$$\frac{dM_B}{dx} = -\frac{2Rx}{L} + \frac{Rd}{L} = 0$$

و از آنجا  $x = d/2$  خواهد شد.

بنابراین می‌توانیم نتیجه‌گیری کنیم که لنگر حداکثر، مستقیماً "زیر یکی از دسته بارهای متعرکر زنده که بر تیری ساده با دو تکیه‌گاه انتهایی وارد می‌شوند زمانی ایجاد خواهد شد که مرکز تیر در وسط فاصله بار مخصوص (ایجاد کنندهٔ لنگر حداکثر) و برآیند کلیه بارهای موثر در دهانه تیر قرار گیرد.

اگر فقط دو بار متعرکر وجود داشته باشد لنگر حداکثر مطلق بارهای زنده زیر سنگینترین آن دوبار اتفاق خواهد افتاد. چنان حالتی در شکل (۱۲-۶) شرح داده شده است. در آن شکل فاصله بار 10-kip را برآیند  $R = 15^k$  آین دوبار برابر با  $4 \times 12/15 = 5$  می‌باشد. وقتی لنگر حداکثر مطلق ایجاد می‌شود بار 10-kip به فاصله 2 ft از مرکز دهانه تیر قرار می‌گیرد.



شکل ۱۲-۶ لنگر حداکثر مطلق برای دوبار

لذا برآیند  $R$  نیز به فاصله 12 ft از مرکز دهانه تیر و در سمت دیگر آن واقع می‌شود، در این حالت باید وارسی شود که هردو بار در روی دهانه تیر فرار گرفته باشند و اگر چنین نباشد لنگر حداکثر مطلق در مقطع میانی تیر و وقتی که سنگینترین بارها در وسط دهانه قرار گیرد به وقوع خواهد پیوست. در حالتی که در شکل نشان داده شده است هردو بار روی دهانه تیر قرار دارند و لنگر حداکثر مطلق بارهای زنده مستقیماً "زیر یکی از دوبار" می‌باشد. این چنین است:

$$M = \frac{15(12 - 2)^2}{24} = +62.5 \text{ kip-ft}$$

اگر بیش از دوبار متعرکر وجود داشته باشد امکان این وجود ندارد که بتوان حدس زد لنگر حداکثر مطلق بارهای زنده زیر کدامیک از آنها بوجود خواهد آمد ولی معمولاً "زیر بار سنگینی" که نزدیک مرکز گروه بارها واقع است اتفاق می‌افتد. لنگر حداکثری که زیر هر یک از بارها امکان ایجاد پیدا می‌کند بروشی که قبلًا گفته شد قابل تعیین است و بزرگترین این لنگرهای حداکثر، لنگر حداکثر مطلق بارهای زنده خواهد بود.

### ۶-۱۳ خطوط تأثیر خرپاها - گلیات

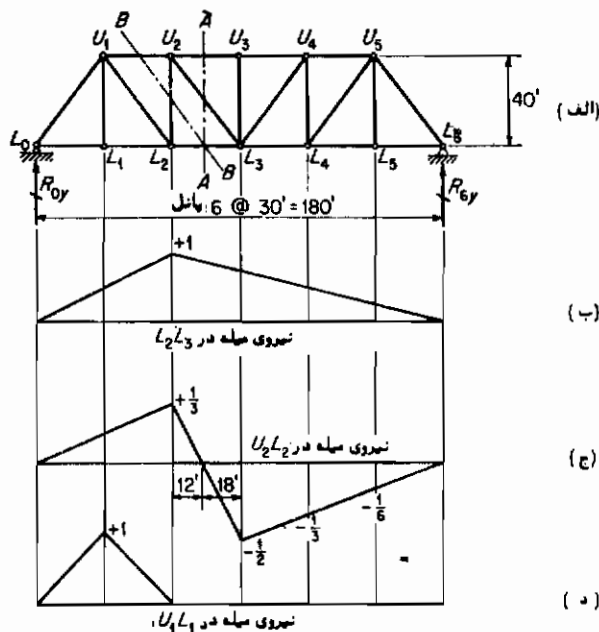
خطوط تأثیر را می‌توان برای نیروی میله‌های قطعات خرپا ترسیم کرد این خطوط برای تعیین موقعیت بارهای زنده که سبب ایجاد حداکثر نیروی میله‌ها در قطعات خرپا می‌شوند و همچنین در محاسبه مقدار حداکثر این نیروی میله‌ها مهم می‌باشد. برای خرپاهای نیز همان روش‌های کلی که برای رسم خطوط تأثیر تیرها و شاهتیرها به کار برده شد قابل اجراست محاسبه عرض خط تأثیر با قراردادن بار واحدی درهایی از نقاط پانلی خرپا همواره امکان پذیر است معمولاً "تیرهای طولی" بین تیرهای عرضی کف مانند تیرهای دو تکیه‌گاه ساده‌انتهایی عمل می‌کنند ولذا خط تأثیر در بین نقاط پانلی یک خط مستقیم خواهد بود. همانطوری که در تیرها و شاهتیر امکان دارد در اینجا نیز اغلب ممکن است حجم محاسبات را بادرگایی حقیقت که خط تأثیر برای پانل‌های متوالی از خطوط مستقیم تشکیل شده است کاوش داد. پس از آن که خط تأثیر برای نیروی یکی از قطعات خرپا رسم شد، کاربرد آن منحنی با استفاده از یک بارگذاری معین و تحلیل تنش مانند آنچه در مورد تیرها و شاهتیرها ذکر شد انجام خواهد گرفت.

خطوط تأثیر خرپاهای را برای بار واحدی که در طول میله‌های اصلی حالت حرکت می‌کند و یا به عبارت دیگر میله‌های اصلی که شامل آن دسته نقاط پانلی می‌باشند که بارهای زنده‌برآنها اثر می‌کنند ترسیم می‌شود.

### ۶-۱۴ خطوط تأثیر برای خرپای پرات

رسم و کاربرد خطوط تأثیر خرپاهای را با بررسی خرپای پرات شکل (۶-۱۳ الف) شرح خواهیم داد. برای این که خط تأثیری برای یک میله اصلی نظیر میله  $L_1$  و  $L_2$  رسم کنیم کافی است که از کلیه نیروهای مؤثر بر یک سمت از مقطع  $A-A$  حول  $U$  لنگرگیری کیم. اگر بار واحد در سمت چه مقطع واقع شود، کشش در  $L_2$  برابر با حاصل ضرب  $R_{40}$  در ۱۲۰ تقسیم بر ارتفاع خرپا که برابر با  $40^\circ$  می‌باشد خواهد بود و بنابراین نسبت مستقیم با  $R_{40}$  خواهد داشت و چون مقدار  $R_{40}$  به همان ترتیب که بار واحد از  $L_1$  تا  $L_2$  تغییر مکان می‌باید بطور خطی تغییر می‌کند لذا خط تأثیر خط مستقیمی خواهد بود که مقدار صفر در  $L_1$  را به مقدار  $+1 = \frac{1}{40}(120)$  در  $L_2$  وصل می‌نماید. اگر خطی بودن تفہیم نشود مقدار عرض خط تأثیر را در  $L_1$  می‌توان مستقلان "محاسبه نمود که در این صورت مقدار آن

برابر با  $\frac{1}{6}(120/40) = +1$  خواهد بود . اگر بار واحد در  $L_6$  با در هر نقطه‌ای واقع در سمت راست مقطع  $A-A$  قرار گیرد کشش در  $L_2L_3$  برابر با حاصل ضرب  $R_{0y} \cdot R_{6y}$  در 60 تقسیم بر 40 خواهد شد و چون به همان ترتیب که بار واحد از  $L_2$  تا  $L_6$  تغییر مکان می‌دهد به طور خطی تغییر می‌کند . این خط تأثیر به صورت خطی مستقیم مقدار  $+1 + \frac{3}{5}(60/40) = +1.3$  در  $L_6$  را به مقدار صفر در  $L_1$  وصل خواهد کرد . این خط تأثیر در شکل (ع ۱۳- ب) که در آن کشش را در بالای خط مبدأ نشان داده‌ایم رسم شده است .



شکل ۱۳-۶ خطوط تأثیر برای خربای برات

رسم خط تأثیر برای نیروی میله‌های اعضای جان توسط شکل (ع ۱۳- ج) شرح داده می‌شود در این شکل میله عمودی  $L_2$  و  $U_2$  مورد بررسی قرار گرفته است . وقتی بار واحدی در سمت چپ مقطع  $B-B$  قرار می‌گیرد ، کشش در این عضو برابر با عکس العمل  $R_{0y}$  می‌شود ولذا خط تأثیر خط مستقیمی از مقدار صفر در  $L_2$  تا مقدار  $+1$  در  $L_6$  خواهد بود . وقتی که بار واحد در سمت راست مقطع  $B-B$  واقع است فشار در  $L_2$  برابر با عکس العمل  $R_{6y}$  خواهد شد . و بنابراین خط تأثیر خط مستقیمی از  $-1$  در  $L_2$  تا صفر در  $L_6$  خواهد شد ، در اینجا مقادیر منفی را که نشان دهنده مقادیر فشاری می‌باشند در زیر خط مبدأ رسم کرده‌ایم . با فرض این که تیرهای طولی به نوعی اجرا شوند که تکیه‌گاههای انتهایی آنها نقاط پانلی  $L_1$  و

و  $L_2$  باشد خط تأثیر بین نقاط پانلی  $L_1$  و  $L_2$  یک خط مستقیم خواهد بود . در هر دو میله‌ای که مورد بررسی قرار گرفت ، خطوط تأثیر در کل دهانه خرپا ادامه داشت ، چنین میله‌هایی را اعضای اولیه خرپا گویند . حال عضو عمودی  $U_1L_1$  را که برای آن خط تأثیر مربوطه در شکل (۱۳-۶) نشان داده شده است مورد بررسی قرار می‌دهیم . اگر روش گره‌ها را برای گره  $L_1$  به‌دار برمی‌دیده می‌شود که هرگاه بار واحد در هر نقطه پانلی به‌جز  $L_1$  وارد شود مقدار نیرو در این میله برابر با صفر خواهد شد و در صورت وارد شدن آن به  $L_1$  مقدار نیرو برابر با  $+1$  خواهد بود . چنین عضوی که فقط تحت وضعیت‌های خاصی از بار واحد تنفس می‌پذیرد عضو پانویه خرپا گفته می‌شود .

برای این که با استفاده از خط تأثیر حداکثر نیروی میله حاصل از بار زنده را معین کنیم اصول جدیدی به‌کار گرفته نمی‌شود . به عنوان مثال فرض کنید که حداکثر فشار در میله عمودی  $U_2L_2$  تحت اثر بار زنده یک‌نواختی به‌شدت  $2,000 \text{ lb}/\text{ft}^2$  و بار منفرد متمرکر زنده‌ای برابر با  $15,000$  مورد محاسبه باشد .

با استفاده از روش دقیق ، موقعیت نقطه خنثی خط تأثیر در شکل (۱۳-۶ج) با استفاده از دو مثلث متشابه در فاصله  $12$  فوتی به‌سمت راست  $L_2$  معین می‌شود . برای این که فشار حداکثر در  $U_2L_2$  ایجاد شود بار یک‌نواخت باید از نقطه خنثی تا نقطه  $L_2$  وارد شود و بار متمرکر متمرکز در  $L_2$  اثر کند ، در این صورت مقدار این فشار حداکثر برابر خواهد شد با :

$$2,000(\frac{1}{2})(108)(-\frac{1}{2}) + 15,000(-\frac{1}{2}) = -61,500 \text{ lb}$$

با استفاده از روش تقریبی ، بار پانلی برای بار یک‌نواخت برابر با  $2,000 \times 30 = 60,000 \text{ lb}$  شده که باید در  $L_1$  ،  $L_2$  و  $L_3$  وارد شود و بار متمرکز باید در  $L_2$  اثر کند ، در این صورت حداکثر فشار حاصل از بار زنده خواهد شد :

$$60,000(-\frac{1}{2}) - \frac{1}{3} - \frac{1}{6} + 15,000(-\frac{1}{2}) = -67,500 \text{ lb}$$

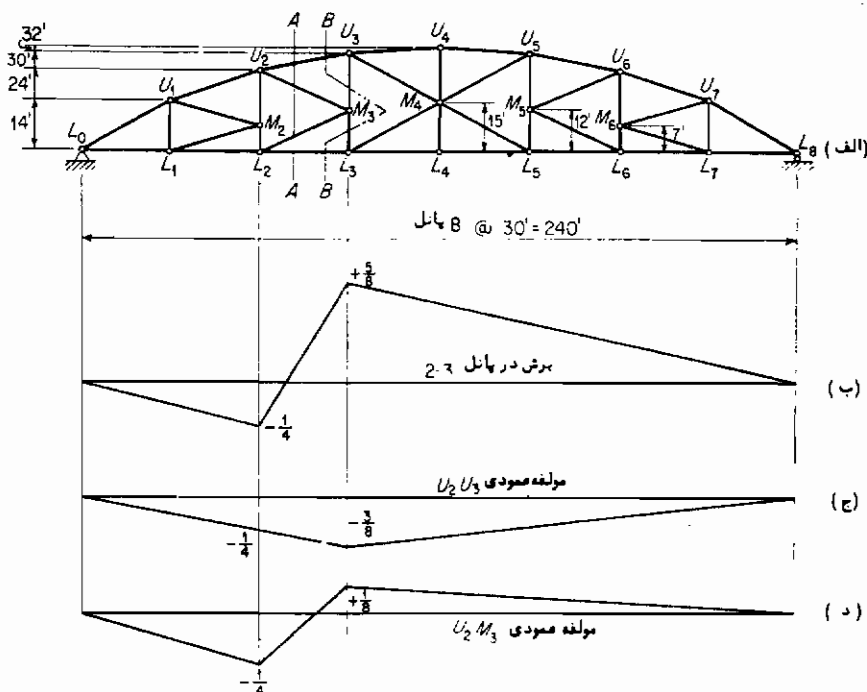
#### ۶-۱۵ خطوط تأثیر برای خرپا با قطریهای $K$

در حالات ساده نظیر حالت خرپای پرات که در بند (۱۴-۶) بحث شد ، به‌دلیل ساده بودن نسبی آن و درک این واقعیت که قسمت‌های مختلفی از خطوط تأثیر در چند پانل متوالی می‌تواند خطی باشد امکان دارد که بتوان از محاسبات بسیاری خودداری کرد ، ولی در سیاری از خرپاهای پیچیده اغلب لازم است که یا ۱- عرضهای نقاط پانلی متوالی را محاسبه نمود

و یا ۲- ابتدا خطوط تأثیر را برای اعضای دیگری به جز آن عضو که مورد نظر می باشد ترسیم نموده و از خصوصیات رسم آنها در ترسیم خط تأثیر موردنظر استفاده نمود . حالت اخیر را می توان با بررسی قطری  $M_3$  و  $U_3$  از خرپای شکل (۶-۱۴ الف) که خرپایی با قطریهای به شکل ۱۰ است و نقاط پانلی فوقانی آن بر روی یک سهی قرار دارد شرح داد . این خرپا عمل " یک درجه ناهمیهن است " در هر صورت این نامعینی مربوط بعده و پانل مرکزی است و سه پانل از دو طرف معین هستند .

بررسی گره ۳ نشان می دهد که مولفه های افقی نیروی میله های  $L_1, L_2$  و  $L_3, L_4$  همواره از نظر مقدار برابر بوده ولی در خلاف جهت یکدیگر خواهند بود و چون شبی این دو میله با یکدیگر بسان است ، مولفه های عمودی این نیروی میله ها نیز از نظر مقدار با یکدیگر برابر بوده و از نظر جهت در خلاف هم خواهند بود و بنابراین برای این که هریک از دو قسمت طرفین مقطع ۱-۱ از سازه را هنگام وارد شدن نیروهای عمودی در تعادل نگهداشته ، نیروی میله در این دو میله در یک جهت عمل خواهند کرد البته میله اصلی  $L_1, L_2$  نیز دارای یک مولفه عمودی است که شرط تعادل فوق الذکر باید آن را نیز ملاحظه دارد .

ابتدا باید خط تأثیری برای کل برش در پانل ۲-۲ را همان طوری که در شکل (۶-۱۴ ب) (الف)



شکل ۶-۱۴- خطوط تأثیر برای خرپا با قطریهای

دیده می‌شود رسم کرد و سپس باید خط تأثیر مولفه عمودی نیروی میله  $L_3$  را رسم نمود برای تعیین نیروی میله در این عضو می‌توان از لنگرگیری حول  $L_1$  از کلیه نیروهای واقع در یکطرف مقطع  $B-B$  سود جست. این خط تأثیر شکل مثلثی خواهد دارد که رأس آن در نقطه پانلی ۳ و به عرض  $\frac{1}{2}(L_3 - L_1) = \frac{1}{2}(30 - 15) = 7.5$  قرار دارد.

با اعمال  $\Sigma F_y = 0$  به قسمتی از خرپا که در طرف چپ برش  $A-A$  قرار دارد مولفه عمودی کششی نیروی میله در  $L_2$  برابر با نصف مجموع برش مشبّت در پانل ۳-۲ و مولفه عمودی کششی در  $L_3$  تعیین خواهد شد. بعاین ترتیب عرض خط تأثیر مولفه عمودی نیروی میله در  $L_3$  برابر با نصف جمع جبری عرضهای خط تأثیر در شکل‌های (۱۴-ج) و (۱۴-ب) می‌شود و چون این دو خط تأثیر فقط در  $L_2$  و  $L_3$  تغییر مسیر می‌دهند، خط تأثیر معین خواهد شد و چون این نقاط تغییر مسیر خواهد داد. عرضهای بحرانی مولفه عمودی نیروی میله در  $L_3$  فقط در این نقاط تغییر مسیر خواهد داد. عرضهای بحرانی که عبارت از عرض نقاط تغییر مسیر خط تأثیر حاصل می‌باشند در اینجا تعیین شده است.

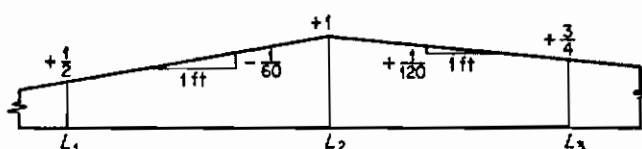
$$[-\frac{1}{4} + (-\frac{1}{4})] \frac{1}{2} = -\frac{1}{4} \quad \text{در } L_2$$

$$[+\frac{5}{8} + (-\frac{3}{8})] \frac{1}{2} = +\frac{1}{8} \quad \text{در } L_3$$

خط تأثیر حاصل برای مولفه عمودی نیروی میله  $L_3$  در شکل (۱۴-د) نشان داده شده است.

#### ۶-۱۶ تعیین نیروی حد اکثر عضوی از خرپا تحت اثر سری بارهای زنده متغیر

پس از آن که خط تأثیر برای نیروی میله‌ای از اعضای یک خرپا رسم شد، وضعیت قرارگیری دسته بارهای زنده متغیر را جهت ایجاد مقدار حد اکثر در آن میله‌ها می‌توان با حرکت دادن بارها به همان طریقی که قبله برای شاهتهای ذکر شد معین نمود. برای شرح این مطلب، وضعیت قرارگیری بارهای شکل (۱۴-۷) را که برای ایجاد کش حداکثر در میله  $L_3$  از خرپای شکل (۱۴-الف) لازم است مورد بررسی قرار می‌دهیم. قسمت لازم از خط تأثیر این عضو را (برای شکل کامل خط تأثیر به شکل (۱۴-ب) مراجعه شود) در شکل (۱۵) نشان داده‌ایم



شکل ۱۵- قسمتی از خط تأثیر شکل ۱۴-ب)

محاسبات به طریق زیر است (می‌توان حدس زد که بار ۱ در رو  $L_1$  ایجاد حد اکثر خواهد کرد) :

کاهش کشش	افزایش کشش	بار ۲ در $L_2$ قرارداده و سپس جای خود را به بار ۳ می‌دهد
$30(5)(-\frac{1}{60}) = -\frac{5}{2}$	$100(5)(+\frac{1}{120}) = +\frac{5}{12}$	
		بار ۳ در $L_2$ قرارداده و سپس جای خود را به بار ۴ می‌دهد
$50(5)(-\frac{1}{60}) = -\frac{25}{6}$	$80(5)(+\frac{1}{120}) = +\frac{10}{3}$	

بنابراین کشش حد اکثر در  $L_2$  وقتی است که بار ۳ در  $L_2$  قرار گیرد. برای تعیین این مقدار حد اکثر دو عملکرد متفاوت پیشنهاد می‌گردد.

روش ۱، (که بر پایه نمودار لنگر از شکل (۷-۶) می‌باشد) :

$$R_{0y} = \frac{2,200 + 130(95)}{180} = 80.8 \text{ kips}$$

لذا نیروی میله در  $L_2$  خواهد شد :

$$\frac{+80.8(60) - 250}{40} = 115.0 \text{ kips}$$

روش ۲ (که بر پایه محاسبه عرضهای خط تأثیر در هر نقطه پانلی می‌باشد) :

نقشه پانلی	عكس العملهای تیرهای عرضی کف	عرض خط تأثیر	افزایش نیرو در $L_1$
1	$= + 8.3$	$10(\frac{1}{6}) + 20(\frac{1}{6})$	$+ 4.2$
	$= + 78.3$	$10(\frac{1}{6}) + 20(\frac{1}{6} + \frac{1}{6} + \frac{1}{6} + \frac{1}{6} + \frac{1}{6})$	$+78.3$
2	$= +43.3$	$20(\frac{1}{6} + \frac{1}{6} + \frac{1}{6} + \frac{1}{6})$	$+32.5$
$\Sigma = +115.0 \text{ kips}$			

## ۶-۱۷ جداول تأثیر

اگل درج مشخصات تأثیر در جداول تأثیر، بر نمایش آنها به شکل نمودار مزیت پیدا می‌کند، جدول تأثیر (جدول ۱۳-۱) مربوط به خرپای شکل (۱۳-الف) می‌باشد، این جدول نیروی میله را در هریک از میله‌های خرپا تحت اثر بار واحدی در هریک از نقاط پانلی معین می‌کند، نیروی میله‌های  $L_1, L_2, L_3, U_1, U_2, U_3$  به ترتیب مستقیماً از شکل‌های (۱۳-ب)، (۱۳-ج) و (۱۳-د) استخراج شده است. نیروی سایر میله‌ها را خود داشتگویان می‌توانند وارسی کنند.

جدول (۱۳-۱) جدول تأثیر برای خرپای شکل (۱۳-الف)

میله	مقدار نیروی میله با قرار گرفتن بار واحد در						
	$L_0$	$L_1$	$L_2$	$L_3$	$L_4$	$L_5$	$L_6$
$L_0L_1$	0.000	+0.625	+0.500	+0.375	+0.250	+0.125	0.000
$L_1L_2$	0.000	+0.625	+0.500	+0.375	+0.250	+0.125	0.000
$L_2L_3$	0.000	+0.500	+1.000	+0.750	+0.500	+0.250	0.000
$L_0U_1$	0.000	-1.041	-0.833	-0.625	-0.417	-0.208	0.000
$U_1U_2$	0.000	-0.500	-1.000	-0.750	-0.500	-0.250	0.000
$U_2U_3$	0.000	-0.375	-0.750	-1.125	-0.750	-0.375	0.000
$U_1L_2$	0.000	-0.208	+0.833	+0.625	+0.417	+0.208	0.000
$U_2L_3$	0.000	-0.208	-0.417	+0.625	+0.417	+0.208	0.000
$U_1L_1$	0.000	+1.000	0.000	0.000	0.000	0.000	0.000
$U_2L_2$	0.000	+0.167	+0.333	-0.500	-0.333	-0.167	0.000
$U_3L_3$	0.000	0.000	0.000	0.000	0.000	0.000	0.000

برای استفاده از جدول تأثیر، در محاسبه نیروهای خلاصه حاصل از بارهای زنده بهروش تقریبی، بهتر است که جدول دیگری که خلاصه جدول تأثیر می‌باشد همانطوری که در جدول (۱۳-۲) نشان داده شده تهیه نمود.

در خلاصه جدول تأثیر، جمع عرضهای مثبت برای یک عضو با جمع نمودن کلیه مقادیر مثبت برای آن عضو از جدول تأثیر بدست می‌آید. حاصل ضرب این حاصل جمع در بارهای پانلی حاصل از بار زنده یکنواخت برابر با کشش حد اکثر در آن عضو تحت اثر بار زنده یکنواخت خواهد بود. جمع عرضهای منفی برای یک عضو با جمع نمودن کلیه عرضهای منفی از جدول تأثیر برای آن عضو بدست می‌آید. حاصل ضرب این حاصل جمع در بارهای پانلی حاصل از بار زنده یکنواخت برابر با فشار حد اکثر حاصل از بار زنده را یکنواخت در آن عضو خواهد بود. جمع کل عرضهای را برای یک عضو می‌توان با جمع جبری حاصل جمع عرضهای مثبت و حاصل جمع عرضهای منفی برای آن عضو بدست آورد. اگر بارهای پانلی حاصل از بار مردمه

با هدیگر برابر باشند از حاصل ضرب این حاصل جمع و بار پانلی حاصل از بارهای مرده نیروی میله‌های حاصل از بار مرده برای هر عضوی به استثنای میله‌های عمودی بددست می‌آید. برای میله‌های عمودی این حاصل ضربها را باید با تأثیردادن بار مرده مؤثر بر نقاط پانلی در میله‌های اصلی فوقانی تصحیح نمود.

جدول ع-۲ خلاصه‌ای از جدول تأثیر برای خرپای شکل (ع-۱۳-الف)

میله	جمع عرضها			عرضهای حداکثر		طول بارشده برای	
	ثبت	منفی	کل	ثبت	منفی	کشش	فشار
$L_0L_1$	+1.875	0.000	+1.875	+0.625	0.000	180	0
$L_1L_2$	+1.875	0.000	+1.875	+0.625	0.000	180	0
$L_1L_3$	+3.000	0.000	+3.000	+1.000	0.000	180	0
$L_0U_1$	0.000	-3.124	-3.124	0.000	-1.041	0	180
$U_1U_2$	0.000	-3.000	-3.000	0.000	-1.000	0	180
$U_2U_3$	0.000	-3.375	-3.375	0.000	-1.125	0	180
$U_1L_2$	+2.083	-0.208	+1.875	+0.833	-0.208	144	36
$U_2L_3$	+1.250	-0.625	+0.625	+0.625	-0.417	108	72
$U_1L_1$	+1.000	0.000	+1.000	+1.000	0.000	60	0
$U_0L_2$	+0.500	-1.000	-0.500	+0.333	-0.500	72	108
$U_0L_3$	0.000	0.000	0.000	0.000	0.000	0	0

عرض حداکثر ثبت برای یک عضو با انتخاب مقدار حداکثر ثبت برای آن عضو از جدول تأثیر بددست می‌آید. از حاصل ضرب این مقدار و بار متumerکر زنده حداکثر فشار حاصل از آن بار متumerکر زنده در آن عضو بددست می‌آید.

عرض حداکثر منفی برای یک عضو با انتخاب مقدار حداکثر منفی برای آن عضو از جدول تأثیر بددست می‌آید. از حاصل ضرب این مقدار و بار متumerکر زنده حداکثر فشار حاصل از آن بار متumerکر زنده در آن عضو بددست می‌آید.

عملکرد لازم برای محاسبه کل نیروی میله‌های حاصل از اثر بار زنده و مرده در هر عضوی از خرپا با استفاده از خلاصه جدول تأثیر با بررسی میله  $L_0L_3$  با بارهای زیر شرح داده می‌شود:

$$\text{بار مرده} = 2,000 \text{ lb/ft}$$

$$\text{بار زنده پکتواخت} = 1,000 \text{ lb/ft}$$

$$\text{بار زنده مرکز} = 10,000 \text{ lb}$$

فشار حداکثر kips	کشش حداکثر ، kips	
+37.5	$60(+0.625) = +37.5$	مرده زنده
$30(-0.625) = -18.8$	$30(+1.250) = +37.5$	پکتواخت
$10(-0.417) = -4.2$	$10(+0.625) = +6.3$	متمرکز
<u>+14.5</u>	<u>+81.3</u>	نیروی میله کل زنده به اضافه مرده

دیده می‌شود که در این حالت تغییر تنش وجود ندارد

#### ۶-۱۸ طول بارشده

طول بارشده عبارت از طولی از یک سازه است که به منظور ایجاد حداکثر تنش حاصل از بارهای زنده در یک عضوی از آن سازه توسط بار زنده پکتواختی بارشده باشد . این طول بار شده را می‌توان از خط تأثیر رسم شده برای آن عضو بدست آورد . به عنوان مثال شاهتیر شکل (ع۵) را در نظر بگیرید طول بار شده برای لنگر مثبت در  $\overline{BC}$  برابر با 60 ft می‌باشد طول بارشده برای برش مثبت در پانل  $BC$  برابر با 48 ft و برای برش منفی در همان پانل برابر با 12 ft می‌باشد . طول بارشده پارامتری است که در بسیاری از روابط موجود برای ضربه به عنوان وارسی بدکار برده می‌شود .

وقتی بارهای زنده معادلی به جای دسته بارهای زنده متمرکز بدکار برده می‌شود ، برای بار زنده متمرکز و بار زنده پکتواخت از نظر فیزیکی تفاوتی ابراز نمی‌شود لذا بدکار - بردن همان طول بارشده که برای بار زنده پکتواخت بدکار برده می‌شود برای بار زنده متمرکز صحیح خواهد بود . به عبارت دیگر ضربه برای هر دو نوع بار زنده معادل بر اساس طول بارشده تغییر توسط بار پکتواخت خواهد بود .

در محاسبه طولهای بارشده اغلب مجاز هستیم که محل نقطه خنثی را در حدود میانه پانلی در نظر بگیریم ، چنین عملی از حجم محاسبات می‌کاهد و خطای مهی در تنش محاسباتی کل (مرده + زنده + ضربه) ایجاد نمی‌کند .

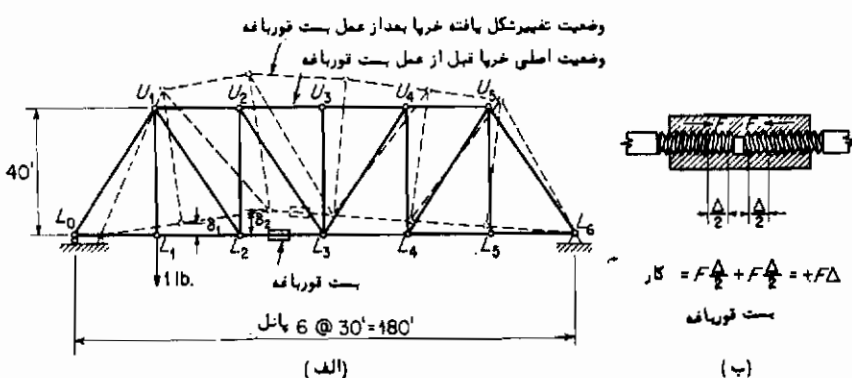
در صورت لزوم به خلاصه جدول تأثیر (جدول ۲-۶) می‌توان دوستون برای طولهای بارشده لازم برای کشش و فشار اضافه نمود ، وجود چنین مشخصاتی در خلاصه جدول تأثیر

در محاسبه نیروی میله‌های حاصل از ضربه در اعضای مختلف کمک می‌نماید.

#### ۶-۱۹ نحوه دیگری برای تعیین خطوط تأثیر

با ایجاد تغییرشکل مجازی در عضوی از خربها و یا در مقطعی از یک شاهتیر، می‌توان به نحوی دیگری مترسم خطوط تأثیر پرداخت، جالب بودن این روش بیشتر در سازه‌های غیراز سازه‌های معین است و در رسم خطوط تأثیر سازه‌های نامعین به هردو روش تحلیلی و مدل‌سازی اهمیت فراوانی می‌دهند (این چنین روشی که برای رسم خطوط تأثیر وجود دارد به نام "اصل مولر-برسلو" معروف است که در بخش (۳-۱۴) مورد بحث قرار خواهیم داد).

این روش را با بررسی خربهای شکلی (۶-۱۶ الف) که در رسم خط تأثیری برای عضو  $L_0L_1$  مورد نظر می‌باشد شرح می‌دهیم، فرض کنید که در میله  $L_0L_1$  بست قورباغه‌ای قرار داده باشیم، اگر این بست قورباغه را آنقدر بهیچانیم که میله  $L_0L_1$  به اندازه  $\Delta$  کوچک شود در این صورت سازه شکلی را که با خط چین نشان داده‌ایم پیدا خواهد کرد، چون این خربها معین است پس با بهیچاندن بست قورباغه مقاومتی ارتجاعی در آن بوجود خواهد آمد، بنابراین هیچ چیزی در هیچ یک از اعضای آن ایجاد نخواهد شد. حال فرض کنید که بار واحد مجازی در یکی از نقاط پانلی آن مانند  $L_1$  اثر کند و فرض کنید که نیروی کششی حاصل از این بار در  $L_0L_1$  برابر با  $F$  باشد، در این صورت وقتی که بست قورباغه بهیچانده می‌شود این نیرو کاری برابر با  $(\Delta + F)$  انجام خواهد داد، زیرا که این بست قورباغه در هرانتهای خود نیرویی برابر با  $F$  و میله  $L_0L_1$  اعمال می‌کند و فاصله کل تغییرپارامتر توسط این دو نیرویی برابر با  $\Delta$  چنانکه در شکل (۶-۱۶ ب) نشان داده شده است برابر با  $\Delta$  خواهد بود.



شکل ۶-۱۶ نحوه دیگری برای تعیین خطوط تأثیر

بار واحد در  $L_1$  نیز به طور عمودی تغییر مکانی برابر با  $\delta$  خواهد داد و چنین تغییر مکانی بر روی سازه کاری برابر با  $(\delta_1 - \delta)$  انجام خواهد داد. علامت منفی در این عبارت به دلیل این است که تغییر مکان انجام شده در خلاف جهت اثر بار واحد می‌باشد.

تشاهای موجود در سازه در طول این تغییر شکل تغییری نخواهد کرد و بنابراین انرژی کرنشی ارتجاعی ذخیره شده در اعضای خرپا ثابت باقی خواهد ماند و چون انرژی کرنشی ارتجاعی ثابت باقی می‌ماند، در طول این تغییر شکل هرگاه کلیه نیروها را در نظر بگیریم کاری انجام نمی‌شود لذا خواهیم داشت:

$$+F(\Delta) - (1)(\delta_1) = 0$$

$$F = +\frac{\delta_1}{\Delta} \quad \text{وازن} \rightarrow$$

اگر بار واحد در یک نقطه پانلی غیر مشخص  $L_n$  اثر کد عملکرد مشابهی منجر به نتیجه‌گیری زیر می‌شد.

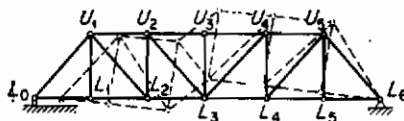
$$F = +\frac{\delta_n}{\Delta}$$

و چون  $\delta$  برابر با نیروی میله  $L_1$  و  $L_n$  تحت اثر بار واحد در  $L_n$  می‌باشد لذا برابر با عرض خط تأثیر نیروی میله در میله  $L_1$  در نقطه  $L_n$  خواهد بود و چون مقدار  $\Delta$  مستقل از نقطه پانلی مورد نظر می‌باشد لذا می‌توان نتیجه‌گیری نمود که میله‌های اصلی تحتانی خریای شکل (ع-۱۶ الف) که با خط چین نشان داده شده است شکل خط تأثیر را برای کشش در  $L_1$  و  $L_n$  نشان خواهد داد. مقیاس خط تأثیر را می‌توان با تقسیم نمودن تغییر مکان  $\delta$  بر تغییر شکل اعمال شده  $\Delta$  بددست آورد و اگر  $\delta$  را برابر با واحد بگیریم مقادیر  $\delta$  بهترین از نظر عددی نشان دهنده عرضهای خط تأثیر خواهد بود.

استفاده کامل از این روش برای رسم خطوط تأثیر نیاز به مدلی از سازه و یا به معلوماتی کافی برای محاسبه تغییر مکانها دارد. البته حتی بدون محاسبه تغییر مکانها اغلب می‌توان شکلی را که یک سازه بخود می‌گیرد قابل رویت نمود. و به این ترتیب به شکل خط تأثیر پی برد. موقعیت بارهای زنده را که سبب ایجاد تنشهای حداکثر حاصل از بار زنده می‌شوند اغلب می‌توان با ملاحظه شکل خطوط تأثیر بدون این که به محاسبه مقادیر عرضهای بحرانی بهزادیم معین نمود.

به عنوان مثال، خط چینهای شکل (۱۶-۱) نشان دهنده شکلی است که آن خریا در صورتی که میله قطری  $L_1$  و  $L_n$  کوتاه شود بخود خواهد گرفت و چون میله‌های اصلی تحتانی

فقط در  $L_2$  و  $L_3$  تغییرشیب خواهند داد، لذا محاسبه عرض خط تأثیر برای نیرو در  $U_2 L_3$  فقط برای تعیین در این نقاط پانلی لازم خواهد بود. و به علاوه می‌توان بدون محاسبه عرض این نقاط نتیجه‌گیری کرد که با استفاده از روش تقریبی برای این که حداکثر کشنش حاصل از

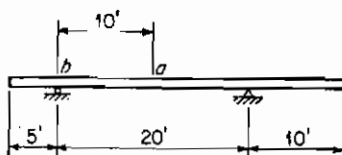


شکل (۱۷-۶) - خط تأثیر برای نیرو در میله قطری خرپا

بارهای زنده در  $U_2 L_3$  بوجود آید، باید در مورد بار زنده یکتاخت در  $L_3$ ،  $L_4$ ،  $L_5$  و  $L_6$  بارهای پانلی وارد نموده و در  $L_3$  نیز بار زنده مرکز وارد کرد. برای محاسبه مقدار حقیقی نیروی میله حداکثر حاصل از بارهای زنده پس از اشرادن آن بارها در نقاط فوق الذکر از معادلات تعادل استفاده نمود.

## ۶-۳۰ مسائل

۶-۱ با درنظر گرفته شکل (۱۸-۱) خطوط تأثیر را برای (الف) برش در  $a$  (ب) لنگر در  $a$  (ج) عکس العمل در  $b$  رسم کنید.



شکل (۱۸-۱) - مساله (۱-۶) و (۶-۶)

**جواب:**

(الف) عرض در:  $a = +0.5$  راست

$$-0.5 = \text{انتهای چپ} - a = +0.25$$

(ب) عرض در:  $-5.0 = \text{انتهای راست} - b = -2.5$   $a = +5.0$   $b = 0$  انتهای چپ

(ج) خط تأثیر به طور خطی از  $+1.25$  در انتهای چپ تا  $-0.5$  در انتهای راست تغییر

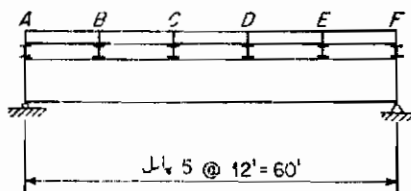
می‌کند.

۶-۲ با درنظرگرفتن شکل (۱۸-۶) و به کاربردن بارزندگی مرکب از یک بار یکنواخت به شدت  $500 \text{ lb} / \text{ft}$  و یکبار متصرف باشد  $5,000 \text{ lb}$  (الف) حداقل عکس العمل را به بالارادر مقطع سمت راست تکیه‌گاه  $\theta$  محاسبه کنید (ب) لنگرهای حداقل مشتب و منفی در  $\theta$  را محاسبه کنید (ج) حداقل برشهای مشتب و منفی را در مقطع سمت راست تکیه‌گاه  $\theta$  محاسبه کنید (د) اگر شدت بار مرده  $1,000 \text{ lb} / \text{ft}$  باشد حداقل لنگر در  $\theta$  را با استفاده از خط تأثیر تحت اثر مجموع بار مرده و زنده محاسبه کنید.

جواب :

$-40,625 \text{ lb-ft}$	$+50,000 \text{ lb-ft}$	(ج)	$14,062.5 \text{ lb}$	(الف)
$+68,750 \text{ lb-ft}$	$-3,750 \text{ lb}$	(د)	$+10,312.5 \text{ lb}$	(ب)

۶-۳ برای سازه شکل ۱۹-۱ خطوط تأثیر را برای (الف) برش در پانل  $AB$  (ب) لنگر در نقطه پانلی  $C$  رسم کنید.



شکل ۱۹-۱ مسائل ۳-۶ و ۴-۶

۶-۴ به هر دو روش دقیق و تقریبی برش حداقل در پانل  $AB$  و لنگر حداقل در نقطه پانلی  $C$  اصل از بارهای زنده را برای سازه شکل (۱۹-۱) محاسبه کنید، هرگاه بارهای زنده عبارت از بار یکنواختی به شدت  $1,200 \text{ lb} / \text{ft}$  و بار منفرد متصرفی برای  $18,000 \text{ lb}$  باشد.

۶-۵ برای سازه شکل (۲۰-۶) خطوط تأثیر را برای (الف) برش در پانل  $DE$  (ب) لنگر در نقطه پانلی  $E$  رسم کنید.



شکل ۲۰-۶ مسائل ۴-۶ و ۵-۶

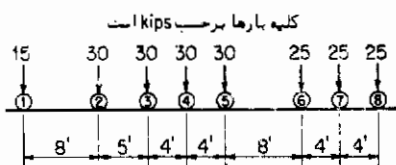
جواب :

(الف) خط تأثیر به طور خطی از ۰.۷۵-در  $E$  تا ۰.۰ در  $C$  تا ۰.۷۵-در  $G$  تغییر می‌کند.

(ب) خط تأثیر به طور خطی از ۰.۰ در  $E$  تا ۱۵.۰ در  $G$  تغییر می‌کند.

۶-۶ توسط روش تقریبی حداکثر برش در پانل  $DE$  و حداکثر لنگر در نقطه پانلی  $E$  حاصل از بارهای زنده را برای سازه شکل (۶-۲۰) تحت اثربارهای زنده مذکور در مساله (۶-۴) محاسبه کنید.

۶-۷ برای بارگذاری شکل (۶-۲۱) نمودار لنگر رسم کنید.



شکل ۶-۲۱-۶ مسائل ۶-۷ تا ۶-۱۵

۶-۸ با استفاده از نمودار لنگر بارگذاری شکل (۶-۲۱) و سازه شکل (۶-۱۹) مطلوب است محاسبه (الف) عکس العمل چپ شاهتیر هرگاه بار ۳ در  $C$  قرار کیرد. (ب) عکس العمل چپ شاهتیر هرگاه بار ۵ در  $C$  قرار کیرد. (ج) برش در پانل  $AB$  هرگاه بار ۳ در  $B$  قرار کیرد. (د) لنگر در نقطه پانلی  $D$  هرگاه بار ۲ در  $D$  قرار کیرد.

۶-۹ برای بارگذاری شکل (۶-۲۱) حداکثر لنگر حاصل از بارهای زنده را برای نقطه پانلی  $B$  از شاهتیر شکل (۶-۱۵ الف) محاسبه کنید.

جواب:

$$+1,068 \text{ kip-ft}$$

۶-۱۰ برای بارگذاری شکل (۶-۲۱) حداکثر برش مثبت در پانل  $CD$  از شاهتیر شکل (۶-۱۵ الف) را محاسبه کنید.

جواب:

$$+28.2 \text{ kips}$$

۶-۱۱ برش حداکثر مطلق را در تیر شکل (۶-۴ الف) که بر اثر وارد شدن بار زنده‌ای به شدت ۱,000 lb/ft و بار متمرکز زنده‌ای برابر با ۵,000 lb حاصل می‌شود محاسبه کنید.

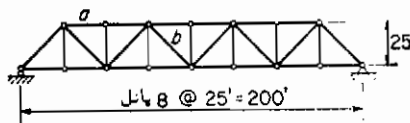
۶-۱۲ لنگر حداکثر مطلق را که در اثر دو بار متمرکز زنده‌ای که هر یک برابر با ۱0 kips می‌باشد و به فاصله ۱0 ft از بکد بگیر قراردارند و بر تیر ساده با دو تکیه‌گاه انتهایی به دهانه ۲0 ft وارد می‌شوند را محاسبه کنید.

جواب:

$$+56.25 \text{ kip-ft}$$

۶- ۱۳ لنگر حداقل مطلق را که در اثر چهار بار متغیر زنده‌ای که هر یک برابر با ۱۲ kips بوده و به فاصله ۱۱' از یکدیگر قرار دارند و بر تیر ساده‌ای با دو تکیه‌گاه انتهایی بهدهانه ۲۵ ft وارد می‌شوند، را محاسبه کنید.

۶- ۱۴ حداقل نیروهای میله را که در اثر بار زنده بوجود می‌آید در میله‌های a، b، c از خرپای شکل (۲۲-۶) در اثر بار زنده میکتواختی بعثت ۱۱/۷۵۰ محاسبه کنید، در محاسبات خود فشار و کشش هردو مورد بررسی قرار گیرد.

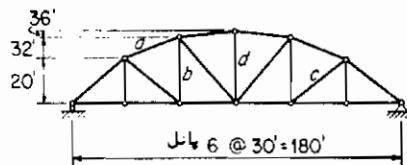


شکل ۲۲-۶ مسائل ۶-۱۴

جواب:

$$\text{در میله } a = +30,300 \text{ lb, } -17,045 \text{ lb} \quad \text{در میله } b = -112,500 \text{ lb}$$

۶- ۱۵ نقاط پانلی فوقانی خرپای شکل (۲۳-۶) بر یک سهمی قرار دارند، مطلوب است رسم خطوط تأثیر برای (الف) مولفه افقی نیروی میله در «(ب) نیروی میله در b (ج) نیروی میله در c (د) نیروی میله در d»



شکل (۲۳-۶) مسائل (۱۵-۶)، (۱۶-۶)، (۱۷-۶)

جواب:

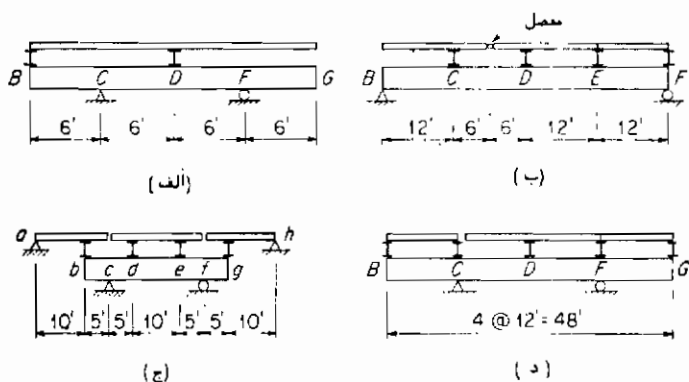
(الف) خط تأثیر به صورت خطی از ۰.۰ در چپ تا ۱.۲۵ در نقطه پانلی ۳ و تا ۰.۰ در انتهای راست نقطه پانلی ادامه دارد.

(ب) خط تأثیر به صورت خطی از ۰.۰ در چپ تا ۰.۸۳۳ در نقطه پانلی ۳ و از ۰.۱۲۵ در نقطه پانلی ۴ تا ۰.۰ در انتهای راست ادامه دارد.

(ج) خط تأثیر به صورت خطی از ۰.۰ در چپ تا ۰.۳۰۰ در نقطه پانلی ۵ تا ۰.۷۵۰ در نقطه پانلی ۶ تا ۰.۰ در انتهای راست ادامه دارد.

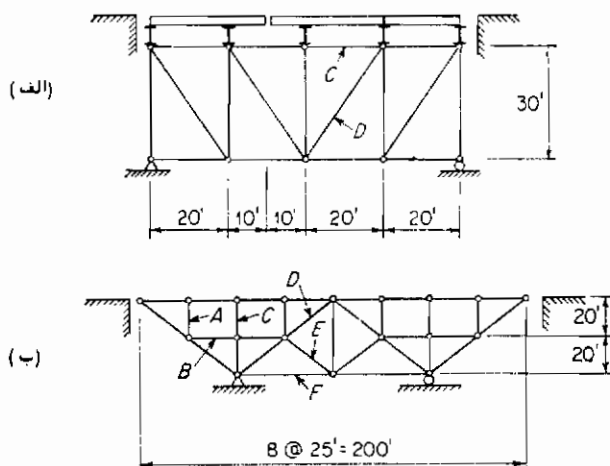
(د) خط تأثیر به شکل خطی از ۰.۰ در چپ تا ۰.۳۳۳ در نقطه پانلی ۴ تا ۰.۰ در انتهای راست ادامه دارد.

- ۶-۱۶ خط تأثیری برای نیروی میله در میله ۱۷-۶ از خرپای شکل (۶-۱۴ الف) رسم کنید.
- ۶-۱۷ حداقل نیروی میله را در میله ۶ از خرپای شکل (۶-۲۳) تحت اثربارگذاری شکل (۶-۲۱) محاسبه کنید.
- ۶-۱۸ خلاصه جدول تأثیری برای میله های ۶، ۷ و ۸ از خرپای شکل (۶-۲۳) تهیه کنید و در این خلاصه جدول طولهای بار شده را نیز درج نمایند.
- ۶-۱۹ برای کلیه تیرهای شکل (۶-۲۴) خط تأثیری برای برش در پانل ۷ و برای لنگرخمشی در نقطه پانلی ۱ رسم کنید.



شکل ۶-۲۴ مساله ۱۹

- ۶-۲۰ برای هریک از میله های مشخص شده در شکل (۶-۲۵) خط تأثیر لازم برای نیروی میله در آن میله را رسم کنید.



شکل ۶-۲۵ مساله ۲۰



## ۷

### خرپاهای پلهای و سقفها

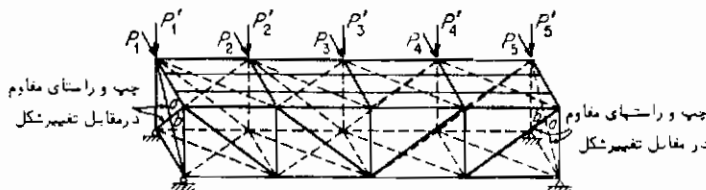
۱ - مقدمه

بارگذاری خرپاهای را در فصل ۱، تحلیل تنش خرپاهای را به طریق ریاضی و ترسیمی به ترتیب در فصول ۴ و ۵ و خطوط تأثیر خرپاهای و تعیین حداکثر نیروی میله حاصل از بارهای زنده در خرپاهای را در فصل ۶ دیدیم. در این فصل کلیه مطالب ذکر شده قبلی را برای تحلیل در سطح وسیع خرپاهای گردآوری خواهیم کرد، علامت تنش و اثر کشای قدری را مورد بررسی قرار خواهیم داد. اثر اعوجاج پلهای را نسبت به تکیه‌گاه‌های ایشان مورد توجه قرار خواهیم داد و بالاخره بررسی اندکی در مورد پلهای متحرک انجام خواهد شد.

خرپاهای را مانند سازه‌های مستوی تحلیل خواهیم کرد ولی همواره باید مدنظر داشته باشیم که عمل<sup>۱</sup>"آنها قسمت‌هایی از شبکه‌های سه‌بعدی می‌باشند، برای این‌که مجاز بودن چنین عملکردی را درک کنیم، پل شکل (۱-۲) را که برآن بارهای جانسی  $P_1$ ،  $P_2$ ،  $P_3$  وارد می‌شوند و فرض می‌گردد که این بارها در صفحه دستگاه مهاربندی فوقانی آن قرارداد شده باشد مورد بررسی قرار می‌دهیم. فرض کنید که صفحه‌ای افقی در سطحی بین میله‌های اصلی فوقانی و تحتانی، این سازه را قطع نماید. قسمت جدا شده این سازه را که در بالای این صفحه قرار دارد در نظر بگیرید دیده خواهد شد که مولفه‌های افقی نیروی میله‌ها چیزی را در اثر بارهای در مقابل تغییر شکل دو انتهای سازه باید دستگاه مهاربندی فوقانی را کشیده در اثر بارهای جانبی قرار دارد در تعادل نگهدازند\* این مولفه‌های افقی به صورت عکس‌العمل‌هایی برای دستگاه مهاربندی فوقانی عمل خواهند کرد بنابراین می‌توان به صورت خرپای مستوی

\* این مطلب کاملاً "هم صحیح نیست زیرا اگر بارهای جانبی به صورت نامتقارن وارد شوند، مولفه‌های افقی تیروی میله‌ها در قطبیهای خرپاهای اصلی نیز به صورت عکس‌العمل‌هایی برای دستگاه مهاربندی فوقانی عمل خواهند کرد.

مورد بررسی قرار گیرد . مولفه‌های عمودی نیروی میله‌ها در چپ و راستهای مقاوم در مقابل تغییرشکل دو انتهای سازه باید توسط نیروی میله‌های عمودی خرپاهای اصلی متعادل شوند ، لذا دیده می‌شود که چپ و راستهای دو انتهای سازه مانند خرپایی مستوی عکس-العمل دستگاه مهاربندی فوقانی را به همی منتقل می‌نمایند .



شکل ۱-۷ خرپای یل

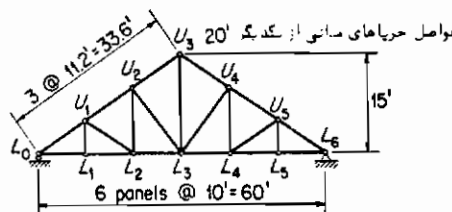
بار دیگر همین سازه را در نظر بگیرید به طوری که فقط برآن بارهای عمودی  $P_1', P_2', \dots, P_5'$  واقع در صفحه خرپایی عمودی پشتی اثر کنند و فرض کنید که یک صفحه عمودی موازی با خرپاهای اصلی عمودی واقع در میان این دو خرپا سازه را قطع نماید، چپ و راستهای مقاوم در مقابل تغییرشکل در دو انتهای این سازه تنها اعضای قطع شده‌ای خواهند بود که قادر به تحمل مولفه‌های عمودی می‌باشند ، اگر میله‌های قطری  $a$  قادر به تحمل فشار را باشند در این حالت تحمل تنفس نموده و بر نیروی میله‌های عمودی خرپایی پشتی تأثیر خواهند گذاشت . در هر صورت این تأثیرگذاری دارای اهمیت ثانوی می‌باشد و لذا مجاز هستیم و علاوه برآن در جهت اطمینان خواهد بود اگر خرپایی پشتی را مانند خرپایی مستوی تحت اثر بارهای  $P_1', P_2', \dots, P_5'$  تحلیل نمائیم .

اگر چپ و راستهای مقاوم در مقابل تغییرشکل دیگری در نقاط پانلی میانی اضافه گردد وضعیت بررسی سازه پیچیده‌تر خواهد شد ، به این شکل که اگر نقاط پانلی یکی از خرپاهای عمودی تحت اثر بارگذاری ، تغییرشکل عمودی دهد ، چپ و راستهای میانی به نحوی عمل خواهند کرد که نقاط پانلی نظیر مربوط به خرپایی عمودی بار نشده مجبور به مقداری تغییرشکل عمودی خواهند بود . این عمل باعث ایجاد تنشهای حاصل از مشارکت در خرپایی بدون بار خواهد شد . بدیهی است اگر هردو خرپا دارای بارگذاری مشابهی باشند تقارن سازه‌ای ایجاب می‌کند که هیچ نوع تنفس حاصل از مشارکت در آنها ایجاد نشود . در یک پل حقیقی بارهای عمودی مؤثر بر دو خرپایی عمودی اصلی هرگز یکسان نمی‌باشد ولی عموماً این بارها در موارد بارگذاری حد اکثر که بر اساس آن طرح پل انجام می‌گیرد ، به اندازه کافی مشابه یک‌گرمی باشد ، لذا نیروی میله‌ها در چپ و راستهای نقاط پانلی میانی را می‌توان برابر با صفر گرفت و به این

جهت هریک از خرپاهای اصلی عمودی را می‌توان جداگانه به صورت سازه‌ای مستوی تحلیل نمود.

## ۲-۲ تحلیل کلی یک خرپای سقف

تحلیل کلی یک خرپای پوششی سقف نهادها شامل محاسبه نیروی میله‌ها در هر یک کلاز اعضای خرپا تحت اثر انواع مختلف بارگذاری مؤثر بر خرپا می‌باشد، بلکه برای هر عضوی از خرپا شامل ترکیب نیروهای میله مربوطه به هریک از انواع بارگذاریها نیز می‌شود تا بتوان به حد اکثر نیروی میله‌ای که امکان بوجود آمدن آن از ترکیب اشرات ناشی از انواع مختلف بارگذاریها حاصل می‌شود رسید. برای این که چنین عطکردی را شرح دهیم خرپای سقف شکل(۲-۷) را که در دو انتها خود بر دیوار تکیه دارد مورد بررسی قرار می‌دهیم، این خرپا همی از خرپاهای میانی بوده که از بین سری خرپاهایی که به فاصله ۲۰ ft از یکدیگر قرار داردند انتخاب شده است. فرض خواهد شد که شبکه‌بندی سقف به نحوی باشد که بارهای سقف فقط بر نقاط پانلی میله‌های اصلی فوقانی خرپا وارد شوند، وزن پوشش سقف به اضافه وزن لایه که انتقال دهنده این وزن به خرپاهای می‌باشد، برابر با  $4.3 \text{ lb}$  بر فوت مربع سطح پوشش سقف فرض می‌شود. وزن خود خرپاهای را برابر با  $1b$  ۷۵ بر فوت افقی فرض خواهیم کرد که به طور مساوی بین نقاط پانلی فوقانی و تحتانی تقسیم گردد، بار حاصل از برف را برابر با  $20 \text{ lb}/\text{ft}^2$  سطح تصویر سقف فرض کرده و بار حاصل از بیخ زدگی را برابر با  $10 \text{ lb}/\text{ft}^2$  سطح تصویر سقف

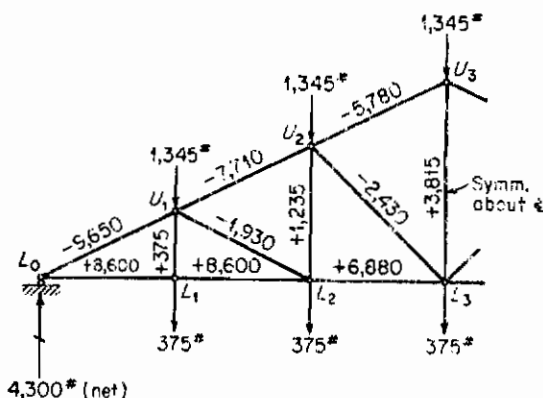


شکل ۲-۷ خرپای سقف

فرض می‌کنیم و بالاخره بار حاصل از اثر باد را بر طبق توصیه مذکور در گزارش ASCE - که در بخش(۱۱-۱) ذکر شد و براساس سرعت حد اکثر بادی برابر با mph 100 می‌باشد - در نظر می‌گیریم، تحلیل را به ترکیب بارهای زیر محدود می‌کنیم : ۱- بار مرده به اضافه بار برف در کل سقف ۲- بار مرده به اضافه بار باد به اضافه بار برف در پشت سمت بادگیر ۳- بار مرده به اضافه بار بیخ در کل سقف به اضافه بار باد . باید مذکور شد که وزش باد می‌تواند

از هر دو طرف راست یا چپ باشد\*.

ابتدا نیروی میله‌ها را حاصل از اثر بار مرده محاسبه می‌کنیم، در مورد میله‌های اصلی تحتانی بارهای پانلی مرده برابر با  $lb = 375 \times 75\% (10) = 2,625$  بوده و برای میله‌های اصلی فوقانی بارهای پانلی مرده برابر با  $lb = 1,345 \times 4.3 (11.2) = 5,780$  خواهد شد. این بارها به‌اضافه نیروی میله‌های حاصل از این بارهای مرده را در شکل (۳-۷) نشان داده‌ایم. چون نیروی میله‌ها نسبت به خط مرکزی خرپا متقارن می‌باشند فقط نیمی از خرپا نشان داده شده است. محاسبات مربوط به نیمی از نیروی میله‌های حاصل از بارهای مرده را چون مطلب جدیدی در خود ندارد حذف کرد‌ایم.



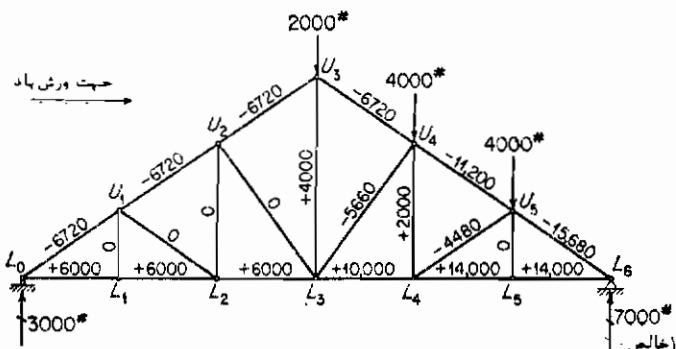
شکل ۳-۷ نیروی میله‌ها حاصل از بار مرده

\* این چنین ترکیب بارگذاری را در بحث حاضر بدان جمیت مورد بررسی قرار می‌دهیم زیرا که یکی از متداولترین ترکیبات مورداستفاده می‌باشد. اگر بار باد براساس فرمولی نظری فرمول دو خمین (Duchemin) - به اضافات بخش (۱۱-۱) مراجعت شود - محاسبه گردد، شرطی منطقی خواهد بود زیرا امکان دارد برف سمت بادگیر توسط فشار باد از شیب سمت بادگیر رانده شده ولی در شیب سمت پشت بادگیر - که در آنجا نه فشاری وجود دارد و نه مکشی - باقی بماند. هرگاه براساس توصیه مذکور در گزارش ASCE مساله را دنبال کنیم بعنظر می‌رسد که چنین ترکیبی از بارگذاری اتفاق نیافتد زیرا در این مساله بخصوص در شیب هر دو طرف مکش خواهیم داشت و بیشترین مکش در سمت پشت بادگیر خواهد بود و با چنین بارگذاری بادی، اگر برفی بر پشت بام باقی بماند بعنظر می‌رسد که بیشتر در سمت بادگیر برف باقی بماند. در هر صورت همواره این امکان وجود دارد که برف قبل از وزش باد به منحومی جایجا شده باشد که بتوان بارگذاری ۲ را فرض نمود.

در بارگذاری ۱ - بار برف در کل سقف موردنظر می‌باشد و در بارگذاری ۲ - فقط بهار برف در سمت پشت بادگیر اکتفا شده است، ما ابتدا نیروی میله‌ها را برای بار برف فقط بر سمت پشت بادگیر محسوب خواهیم کرد و سپس به دلیل این که خربیا متقارن می‌باشد با استفاده از اصل جمع آثار به محاسبه نیروی میله‌ها تحت اثر بار برف در کل سقف خواهیم پرداخت و به این ترتیب از تحلیل کامل دیگری خودداری خواهیم نمود. بار پانلی حاصل از بار برف خواهد شد.

$$20 \times 10 \times 20 = 4,000 \text{ lb}$$

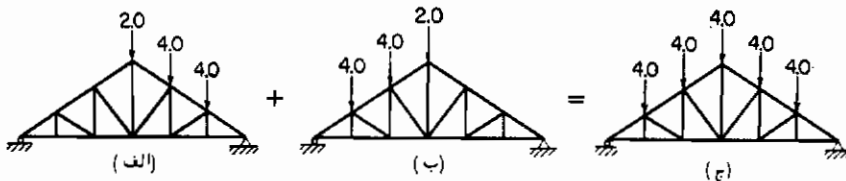
اگر بار برف فقط در سمت پشت بادگیر باشد، بار پانلی حاصل از بار برف در  $U_1$  برابر با نصف مقدار فوق خواهد شد، این بارهای پانلی به همراه نیروی میله‌های حاصل از این بارها در شکل (۴-۷) نشان داده شده است و چون این بارگذاری نامتقارن است، نیروی میله‌های برای کلیه اعضای خربیا محسوب شده است.



شکل ۴-۷ نیروی میله‌ها حاصل از بار برف بر پشت بادگیر

برای تعیین نیروی میله‌ها تحت اثر بار کامل برف می‌توانیم از اصل جمع آثار چنانکه در شکل (۴-۵) نشان داده شده است استفاده کنیم، لذا نیروی میله‌ها بر طبق بارگذاری "الف" (چنانکه قبل از شکل (۴-۷) محسوب شده است) را بر نیروی میله‌ها بر طبق بارگذاری "ب" (که با در نظر گرفتن تقارن از طریق شکل (۴-۷) استخراج شده است) جمع جبری نموده و نتیجه را برابر با بارگذاری "ج" که معادل اثر بار کامل برف می‌باشد به دست می‌آوریم. به عنوان مثال نیروی میله در میله  $L_6$  در اثر بار کامل برف برابر خواهد شد با:

$$-6,720 - 15,680 = -22,400$$



شکل ۷-۵ اجتماع بارگذاریها

و برای میله  $L_1$  خواهد شد:  $-5,660 = -5,660 + 0 \dots$  و چون بارگذاری اخیر پک بارگذاری متقارن است لذا فقط نیمی از خرپا نشان داده شده است، بدینهی است که نیروی میله‌های مذکور در شکل (۷-۶) را می‌توان با تحلیل جداول‌های که بر طبق بارگذاری کامل برف انجام می‌گیرد بدست آورد.

بارگذاری ۳—مربوط به بار یخ در کل سقف می‌باشد، چون شدت بار یخ در نصف شدت برف ذکر شده است لذا نیروی میله‌های حاصل از بار کامل یخ برابر با نصف نیروی میله‌های حاصل از بار کامل برف خواهد بود. نیروی میله‌ها را که حاصل از بار کامل یخ می‌باشد در شکل (۷-۷) نشان داده‌ایم.

برای سرعت بادی برابر با  $100 \text{ mph}$  با استفاده از معادله (۱-۳) خواهیم داشت.

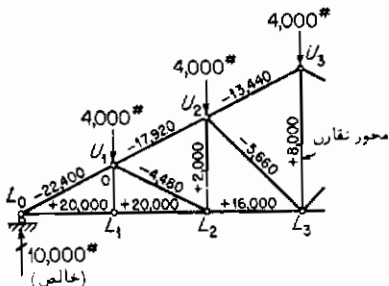
$$q = 0.002558(100)^2 = 25.6 \text{ lb/ft}$$

برای این سقف  $0.5 = \tan \alpha = \frac{15}{80} = 0.1875$  و از آنجا  $\alpha = 15^\circ$  می‌باشد و با استفاده از معادله (۴-۱) شیب سمت بادگیر، مکشی برابر با مقدار زیر تحمل خواهد کرد:

$$p = [0.07(26.6) - 2.10](25.6) = 6.4 \text{ lb/ft}$$

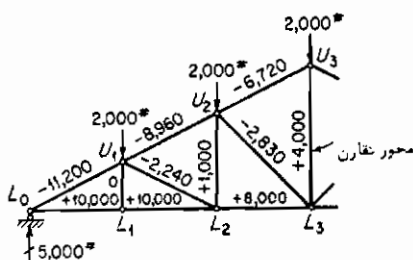
مکش در شیب سمت پشت بادگیر برابر است با  $0.6(25.6) = 15.4 \text{ lb/ft}$  و به این ترتیب بار پانلی حاصل برای سمت بادگیر خواهد شد:  $6.4(11.2)(20) = 1,435 \text{ lb}$  برای سه‌لتنه‌مودن محاسبات بهتر است که مولفه‌های عمودی و افقی بارهای پانلی ناشی از باد را به جای مولفه اصلی آن در نظر بگیریم که در این صورت به ترتیب خواهیم داشت  $1 \text{ lb}$  رو به بالا و  $1 \text{ lb}$  رو به سمت باد. در مورد باد سمت پشت بادگیر مقدار بار پانلی آن برابر با  $1,280 \text{ lb}$  و مقدار بار پانلی آن برابر با  $640 \text{ lb}$  است. در این صورت مولفه عمودی پانلی آن برابر با  $3,450 \text{ lb}$  و مولفه افقی آن برابر با  $15.4(11.2)(20) = 3,080 \text{ lb}$  است. همسو با جهت باد خواهد شد، شکل (۸-۷) خربای مورد بحث را تحت اثر مولفه‌های افقی و عمودی بارهای پانلی و نیروهای میله حاصل از این بارگذاری نشان می‌دهد. نصف بار پانلی در  $L_1$  و  $L_2$  را در

تحلیل داخل کرده‌ایم و مولفه افقی باد موئیر در  $L_0$  ایجاد نتنش در خرپا خواهد نمود و چون بار حاصل از باد نامتقارن می‌باشد نیروی میله‌ها را در کل خرپا نشان داده‌ایم.



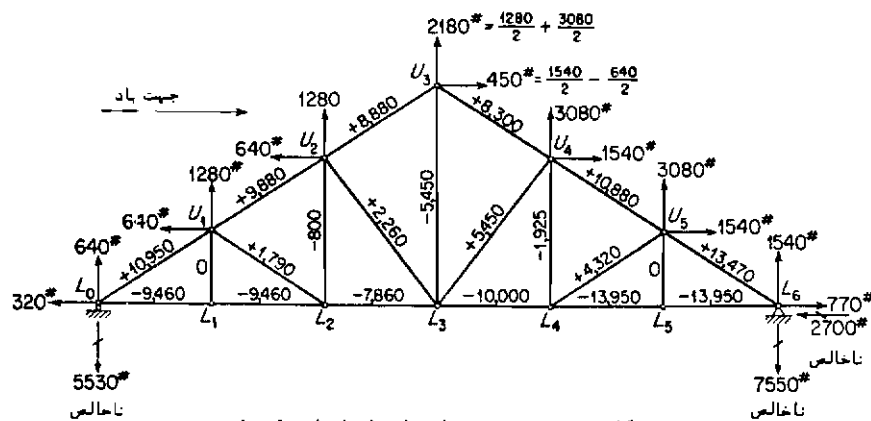
شکل ۶-۶ نیروی میله‌ها حاصل از بار کامل برف

درج‌دول (۱-۷) نیروی میله‌های نشان داده شده در شکل‌های (۳-۷)، (۴-۷) و (۶-۶) را درج نموده‌ایم و سپس به تناسب سه بارگذاری مشخص شده این نیروی میله‌های را جهت محاسبه نیروی میله کل در هریک از اعضای خرپا با یکدیگر ترکیب کرده‌ایم و بالاخره برای هریک از اعضاء حداکثر نیروی میله موجود را که برای یکی از سه ترکیب بارگذاری به دست می‌آید انتخاب می‌کنیم تا بتوانیم توسط این نیروی میله‌های حداکثر محاسبه مقطع آن عضو را بعمل آوریم. علائمی که در اول ستونها بکار رفته است به این معانی است:  $D$ : نیروی میله حاصل از بار مرده  $S$ : نیروی میله حاصل از بار برف بر کل خرپا  $S_L$ : نیروی میله حاصل از بار برف بر سمت پشت بادگیر  $I$ : نیروی میله حاصل از بار بین بر کل خرپا  $W$ : نیروی میله حاصل از بار باد. این جدول را فقط برای میله‌های نیمی از خرپا تنظیم کرده‌ایم ولی برای این که نیروی میله‌های کل خرپا را در ستونهای  $S_L$  و  $W$  درج کنیم ابتدا به ذکر نیروی میله مربوط به خود میله تحت اثر بار موردنظر اقدام کرده‌ایم و سپس نیروی میله قرینه آن را در خرپا تحت اثر همان بارگذاری بیان کرده‌ایم\*.



شکل ۷-۷ نیروی میله‌ها حاصل از بار کامل بین

\* این عمل را برای میله‌های اصلی تحتانی انجام نداده‌ایم. چرا؟



شکل ۷-۸ نیروی میله‌ها حاصل از بار باد

جدول (۱-۲) جدول نیروی میله‌ها برای خرپای شکل (۷-۲) نیروها بر حسب پاوند است

میله‌ها	D	S	SL	I	W	(1) D + S	(2) D + W + SL	(3) D + W + I	حداکثر نیرو	ترکیب بار گذاریها
L <sub>0</sub> L <sub>1</sub>	+8,600	+20,000	+ 6,000 +14,000	+10,000	- 9,460 -13,950	+28,600	+ 5,140 + 8,650	+ 9,140 + 4,650	+28,600	1
L <sub>1</sub> L <sub>2</sub>	+8,600	+20,000	+ 6,000 +14,000	+10,000	- 9,460 -13,950	+28,600	+ 5,140 + 8,650	+ 9,140 + 4,650	+28,600	1
L <sub>2</sub> L <sub>3</sub>	+6,880	+16,000	+ 6,000 +10,000	+ 8,000	- 7,860 -10,100	+22,880	+ 3,020 + 0,780	+ 7,020 + 4,780	+22,880	1
L <sub>3</sub> I <sub>1</sub>	-9,650	-22,400	- 6,720 -15,680	-11,200	+10,950 +13,470	-32,050	- 5,420 - 11,860	- 9,900 - 7,380	-32,050	1
U <sub>1</sub> U <sub>2</sub>	-7,710	-17,920	- 6,720 -11,200	- 8,960	+ 9,880 +10,680	-25,630	- 4,550 - 8,030	- 6,790 - 5,790	-25,630	1
U <sub>2</sub> U <sub>3</sub>	-5,780	-13,440	- 6,720 - 6,720	- 6,720	+ 8,800 + 8,300	-19,220	- 3,700 - 4,200	- 3,700 - 4,200	-19,220	1
U <sub>1</sub> L <sub>1</sub>	-1,930	- 4,480	0 - 4,480	- 2,240	+ 1,790 + 4,320	- 6,410	- 140 - 2,090	- 2,380 + 150	+ 150 - 8,410	3
U <sub>1</sub> L <sub>2</sub>	-2,430	- 5,660	0 - 5,660	- 2,830	+ 2,260 + 5,450	- 8,090	- 170 - 2,640	- 3,000 + 190	+ 190 - 8,090	3
U <sub>1</sub> L <sub>3</sub>	+ 375	0	0 0	0	+ 375	+ 375	+ 375	+ 375	+ 375	1, 2, 3
U <sub>2</sub> L <sub>2</sub>	+1,235	+ 2,000	0 + 2,000	+ 1,000	- 800 - 1,925	+ 3,235 + 1,310	+ 435 + 310	+ 1,435 + 310	+ 3,235	1
U <sub>2</sub> L <sub>3</sub>	+3,815	+ 8,000	+ 4,000	+ 4,000	- 5,450	+11,815	+ 2,365	+ 2,365	+11,815	1

رقم‌های دوم مربوط به زمانی می‌شود که جهت وزش باد برخلاف حالت نخست باشد. بدینهی

است که در آن حالت طرح خرپا می‌بایستی مناسب با رقمهای دوم نیز باشد . در درج جمع بارگذاریهایی که شامل  $S_L$  یا  $W$  می‌باشند هردو مقادیر مثبت و منفی آنها ملاحظه شده است.

### ۷-۳ تنشهای مجاز برای قطعات تحت تنش حاصل از باد

وقتی قطعاتی تحت تنش حاصل از بار باد قرار می‌گیرند معمولاً "جاز هستیم که برای آنها تنش محاسباتی را قادری بیشتر از بارگذاریهای دیگر در نظر بگیریم ، برای مثال برخی از آئین نامه‌ها اجازه می‌دهند قطعاتی را که تحت تنش حاصل از ترکیبی از بارگذاریهای باد و سایر بارها می‌باشند با تنش مجازی  $33\frac{1}{3}$  درصد بیشتر از آنچه در بخش (۲۲-۱) بهان شد محاسبه کنند ، به شرطی که مقطعی که بهاین ترتیب به دست می‌آید کمتر از آنچه برای ترکیب سایر بارگذاریهای بدون باد لازم است نباشد . این آئین نامه‌ها همچنین بیان می‌کنند که افزایش  $\frac{3}{4}$  درصد برای طرح قطعاتی که فقط تحت تنش حاصل از باد نیز باشد مجاز می‌باشد . به جای این که محاسبه قطعات تحت تأثیر بار باد را براساس تنش افزایش یافته‌ای برابر با  $\frac{9}{8}$  تنش متعارف مجاز انجام دهیم واضح است که می‌توان همین نتیجه را با محاسبه‌ای براساس تنش مجاز متعارف ولی با نیروی میله‌ای برابر با  $\frac{3}{4}$  نیروی میله واقعی به دست آوریم زیرا :  $\frac{3}{4}F/f = \frac{3}{4}f_f$  می‌باشد . لذا در تهیه جدول نیروی میله‌ها نظیر جدول (۲-۱) در ستون مربوط به "نیروی میله حداکثر" بزرگترین ارقام :  $D + S$  ،  $D + W + S_L$  و  $\frac{3}{4}(D + W + I)$  درج شده است ، در این صورت آن عضو را با معلوم بودن نیروی میله حداکثر براساس تنش مجاز متعارف محاسبه می‌کنیم .

### ۷-۴ تحلیل کلی یک خرپای پل

تحلیل کلی یک خرپای پل شامل محاسبه نیروی میله در هر عضو از آن خرپا تحت اثر هریک از بارگذاریها و تعیین ترکیب این نیروها به منظور تعیین نیروی میله کل حداکثر برای هر عضو جهت وارسی محاسبات می‌باشد . برای این که این روش تحلیل را شرح دهیم خرپای مخصوص شاهراهها از نوع وارن (Warren) را که در شکل (۹-۷) نشان داده‌ایم مورد بررسی قرار می‌دهیم . این خرپا برای بار مرده ، زنده و ضربه محاسبه خواهد شد . فرض می‌شود که خرپا بخلاف اتصالات و دستگاه بادبند درجه دوم آن "معما"  $0.500 \text{ kip}/\text{ft}$  وزن داشته باشد و این وزن به طور مساوی بین نقاط پانلی فوقانی و تحتانی تقسیم شود . وزن قسمتی از کفسازی که توسط خرپا تحمل می‌شود برابر با  $0.800 \text{ kip}/\text{ft}$  فرض می‌شود که بر

نقاط تحتانی پانلی اثر خواهد کرد . برای تأثیر بار زنده دستگاه بار معادل زنده‌ای به کار برده خواهد شد که از بار یکتواختی بهشت  $0.650 \text{ kip / ft}$  و بار مفرد متعرکزی برابر با  $20.0 \text{ kips}$  تشکیل شود . ضربه را براساس معادله (۱-۱) محاسبه خواهیم کرد . نیروی میله حد اکثر حاصل از بار زنده را با استفاده از روش تقریبی محاسبه خواهیم کرد . برای هر عضوی از نیمه چپ خریا نیروی میله کل حد اکثر را برای هریک از اعضای خریا به دست خواهیم آورد . ابتدا عرضهای خط تأثیر را برای اعضای نیمه چپ خریا با در نظر گرفتن اثر بار واحدی در کلیه نقاط پانلی تحتانی خریا (در کل طول خریا) محاسبه خواهیم کرد . این عرضهای در جدول تأثیری درج می‌کیم (جدول ۲-۲) و چون در محاسبات مربوط به این مقادیر نکات نامتعارفی وجود ندارد از ذکر جزئیات محاسبات مربوط به آن خودداری می‌کیم .

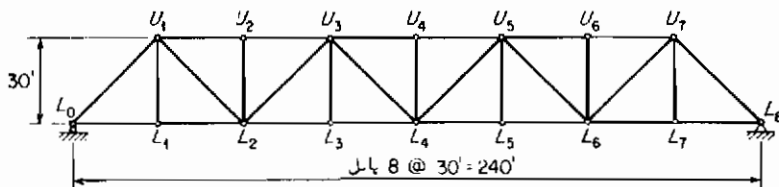
سپس خلاصه‌ای از جدول تأثیر (جدول ۲-۲) تهیه خواهیم گرد (جدول ۳-۲) .

قبل از تهیه جدول نیروی میله‌های اعضای مورد بحث ، باید بارهای پانلی را برای بارهای مرده زنده محاسبه کنیم . بار پانلی مرده مربوط به میله‌هایی اصلی فوقانی برابر است با  $30(0.250) = 7.5 \text{ kips}$  و برای بار پانلی میله‌های اصلی تحتانی برابر است با  $30(0.650) = 31.5 \text{ kips}$  و بار زنده متحرك که قبلاً "عنوان بار پانلی ذکر شده است برابر با  $20.0 \text{ kips}$

جدول تأثیر برای خرپای شکل (۹-۲)

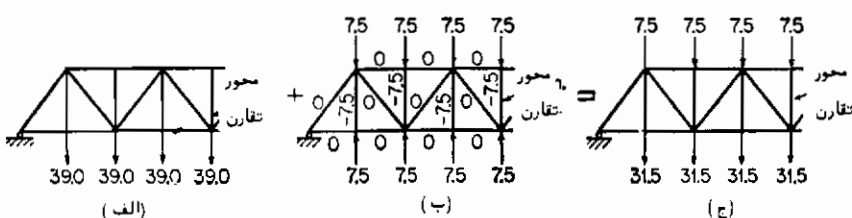
میله	نیروی میله‌ها تحت اثر بار واحد در								
	$L_0$	$L_1$	$L_2$	$L_3$	$L_4$	$L_5$	$L_6$	$L_7$	$L_8$
$L_0L_2^*$	0	+0.875	+0.750	+0.625	+0.500	+0.375	+0.250	+0.125	0
$L_0L_4$	0	+0.625	+1.250	+1.875	+1.500	+1.125	+0.750	+0.375	0
$L_0U_1$	0	-1.238	-1.060	-0.885	-0.708	-0.530	-0.354	-0.177	0
$U_1U_8$	0	-0.750	-1.500	-1.250	-1.000	-0.750	-0.500	-0.250	0
$U_3U_4$	0	-0.500	-1.000	-1.500	-2.000	-1.500	-1.000	-0.500	0
$U_4L_4$	0	-0.177	+1.060	+0.885	+0.708	+0.530	+0.354	+0.177	0
$L_2U_3$	0	+0.177	+0.354	-0.885	-0.708	-0.530	-0.354	-0.177	0
$U_3L_4$	0	-0.177	-0.354	-0.530	+0.708	+0.530	+0.354	+0.177	0
$U_1L_1$	0	+1.000	0	0	0	0	0	0	0
$U_2L_2$	0	0	0	0	0	0	0	0	0
$U_3L_3$	0	0	0	+1.000	0	0	0	0	0
$U_4L_4$	0	0	0	0	0	0	0	0	0

\* اگر فقط بار عمودی برگره  $L_1$  اثر کند نیروی میله در  $L_0L_2$  و  $L_0L_4$  همواره یکی خواهد شد لذا در این جدول و جدول بعدی این دو عضو را مانند یک عضو تلقی کردیم .



شکل ۹-۷ خرپای پل شاهراها

در جدول تنش (جدول ۴-۷) نیروهای میله حاصل از بار مرده براساس اصل جمع آثار همان طوری که در شکل (۱۵-۲) نشان داده شده است محاسبه شده‌اند. نیروی میله‌های ابتدا برای بارگذاری شکل (۱۵-۷ الف) محاسبه می‌کنیم در این بارگذاری فرض شده است که کلیه بارهای مرده بر میله‌های اصلی تحتانی اثر می‌کند لذا بار پانلی مرده برای نقاط تحتانی پانلی برابر با:  $39.0 = 31.5 + 7.5$  می‌شود. چون جدول تأثیر براساس اثر بارها بر نقاط پانلی تحتانی تهیه شده است نیروی میله‌های مربوط به این حالت از بارگذاری را می‌توان با حاصل ضرب جمع کلیه عرضهای خط تأثیر برای هر یک از اعضاء در بار پانلی کل حاصل انبار مرده یعنی ۳۹.۰ بدست آورد. نیروی میله‌های مربوط به بارگذاری شکل (۱۵-۷ ب) را بعداً می‌توان محاسبه نمود، مقدار ۷.۵ بار پانلی حاصل از بار مرده در میله‌های اصلی فوقانی می‌باشد. محاسبه نیروی این خرپا بسیار ساده است و چنانکه نتیجه محاسبات را در شکل آثار با هم جمع کنیم بارگذاری شکل (۱۵-۷ ج) که متناظر با بارگذاری حقیقی توسط بار مرده می‌باشد بدست خواهد آمد. لذا نیروهای میله حاصل از بار مرده را می‌توان توسط جمع نیروی میله‌های محاسبه شده توسط بارگذاریهای مذکور در شکل‌های (۱۵-۷ الف) و (۱۵-۷ ب) بدست آورد. به طور خلاصه نیروی میله حاصل از بارهای مرده را برای یک عضو مشخص می‌توان به صورت زیر محاسبه نمود: ۱- بار پانلی کل حاصل از بار مرده را در جمع کلیه عرضهای خط تأثیر ضرب می‌کنیم ۲- فقط از نیروی میله حاصل برای میله‌های عمودی که از



شکل (۱۵-۲) محاسبه نیروهای میله حاصل از بار مرده

جدول (۳-۷) خلاصه جدول تأثیر برای خریای شکل ۹-۷

میله‌ها	جمع عرضها			عرضهای حداکثر			طول بارشده بر حسب ft
	ثبت	منفی	جمع	ثبت	منفی	کشن	
$L_1 L_2$	+3.500	0	+3.500	+0.875	0	240	0
$L_2 L_4$	+7.500	0	+7.500	+1.875	0	240	0
$L_3 U_1$	0	-4.952	-4.952	0	-1.238	0	240
$U_1 U_3$	0	-6.000	-6.000	0	-1.500	0	240
$U_3 U_4$	0	-8.000	-8.000	0	-2.000	0	240
$U_1 L_2$	+3.714	-0.177	+3.537	+1.060	-0.177	206	34
$L_2 U_3$	+0.531	-2.654	-2.123	+0.354	-0.885	69	171
$U_3 L_4$	+1.769	-1.061	+0.708	+0.708	-0.530	137	103
$U_1 L_1$	+1.000	0	+1.000	+1.000	0	60	0
$U_2 L_2$	0	0	0	0	0	0	0
$U_3 L_3$	+1.000	0	+1.000	+1.000	0	60	0
$U_4 L_4$	0	0	0	0	0	0	0

طريق مرحله ۱ به دست می‌آید مقدار بار پانلی مربوط به بار مرده میله‌های اصلی فوچانی را کم می‌کنیم.

چون بار مرده به طور یکنواخت گستردۀ نشده است نیروی میله‌ها را که مربوط به بارگذاری شکل (۱-۵) (الف) می‌باشد می‌توان با استفاده از جدول تأثیر به دست آورد، به این صورت که تک تک بار پانلی را در مقادیر عرضهای مربوطه مندرج در جدول تأثیر ضرب نموده، حاصل جمع کلیه ارقامی که بدین ترتیب برای نیروی یک میله به دست می‌آید نشان دهنده نیروی آن میله تحت اثر کلیه بارها خواهد بود. بدیهی است گاهی اوقات ترجیح داده می‌شود که برای تعیین نیروی میله‌های حاصل از اثر بار مرده به محاسبه جداگانه مستقلی بدون استفاده از خصوصیات تأثیر اقدام نمود.

کشن و فشار حداکثر ناشی از بار زنده یکنواخت در ستون بعدی درج شده است. برای تعیین این ارقام کافی است که حاصل ضرب بار پانلی حاصل از بار زنده یکنواخت (19.5) را در حاصل جمع عرضهای ثبت و منفی متناظر خط تأثیر به دست آوریم به همین ترتیب کشن و فشار حداکثر ناشی از بار زنده متمرکز درستون بعد درج شده است. برای تعیین این مقادیر کافی است که حاصل ضرب بار پانلی حاصل از بار متمرکز زنده (20.0) را در حداکثر عرض مثبت و منفی متناظر خط تأثیر به دست آوریم. جمع کل نیروی میله حاصل از بار زنده را می‌توان با جمع ارقام به دست آمده برای بارهای یکنواخت و متمرکز زنده به دست آورد. افزایش ضریب را که بر اساس معادله (۱-۱) تعیین شده است معین می‌کنیم و از ضرب

ارقام افزایش ضربه در نیروی میله کل حاصل از بارهای زنده، نیروی میله حاصل از ضربه بدست می‌آید که از مجموع این نیرو و نیروی میله کل حاصل از بارهای زنده، نیروی میله کل حاصل از بار زنده و ضربه حاصل خواهد شد. در ستون آخر جمع نیروی میله‌های حاصل از بار مرده، بار زنده و ضربه درج شده است. باستثنی خاطرنشان کرد که نیروی میله‌ها را برای بارهای زنده و ضربه با هردو علامت در جدول نیروی میله‌ها درج کردایم تا مطمئن گردیم که میله<sup>۱</sup> فوق در صورت تغییر علامت تنש مقاومت خواهد گرد (بهبخش ۵-۶) مراجعه شود). در محاسبات عملی خریاها باید نیروی میله‌ها را تحت اثر حالات بارگذاری دیگری نظیر اثر باد بررسی نمود و ترکیب این نیروها را با نیروی میله‌ها حاصل از بار مرده، زنده و ضربه در ستون دیگری از جدول درج نمود. در این مثال از محاسبه نیروی میله‌های حاصل

جدول ۴-۲ جدول نیروی میله‌ها برای خریای شکل ۹-۷ کلیه نیروهابر حسب kips می‌باشد

میله‌ها	$D =$ نیروی میله از بارمرده	نیروی میله از بار زنده			افزایش ضربه	$I =$ نیروی میله از ضربه	$L + I$	جمع $= D$ $+ L + I$
		پکواخت	سترنگر	جمع				
$L_0L_2$	+136.5	+ 68.3	+17.5	+ 85.8	0.137	+11.8	+ 97.6	+234.1
$L_0L_4$	—	—	—	—	—	—	—	—
$L_0U_1$	+292.5	+146.2	+37.5	+183.7	0.137	+25.2	+208.9	+501.4
$U_1U_3$	—	—	—	—	—	—	—	—
$U_1U_4$	—	—	—	—	—	—	—	—
$U_1L_2$	-193.0	- 96.5	-24.7	-121.2	0.137	-16.6	-137.8	-330.8
$U_1L_4$	-234.0	-117.0	-30.0	-147.0	0.137	-20.2	-167.2	-401.2
$U_2U_3$	—	—	—	—	—	—	—	—
$U_2U_4$	-312.0	-156.0	-40.0	-196.0	0.137	-26.8	-222.8	-534.8
$U_2L_2$	+138.0	+ 72.5	+21.2	+ 93.7	0.151	+14.2	+107.9	+245.9
$U_2L_4$	—	- 3.5	- 3.5	- 7.0	0.300	- 2.1	- 9.1	—
$L_2U_3$	—	+ 10.4	+ 7.1	+ 17.5	0.258	+ 4.5	+ 22.0	—
$L_2U_4$	- 83.0	- 51.8	-17.7	- 69.5	0.189	-11.8	- 81.3	-164.3
$U_3L_4$	+ 27.6	+ 34.5	+14.2	+ 48.7	0.191	+ 9.3	+ 58.0	+ 85.6
$U_4L_1$	—	- 20.7	-10.6	- 31.3	0.219	- 6.9	- 38.2	- 10.6
$U_4L_2$	+ 31.5	+ 19.5	+20.0	+ 39.5	0.270	+10.7	+ 50.2	+ 81.7
$U_4L_3$	—	—	—	—	—	—	—	—
$U_4L_4$	- 7.5	—	—	—	—	—	—	- 7.5
$U_4L_1$	—	—	—	—	—	—	—	—

از اثر باد صرفنظر شده است زیرا که تحلیل دستگاه مهاریهای جانبی و پرثالها را به یکی از فصول بعدی واگذار کرده‌ایم.

## ۵ - ۲ تغییر علامت تنش

در تحلیل خرپای مخصوص شاهراه دربخش (۴-۷) فرض شده است که کلیه قطعات آن خرپا قادر به تحمل فشار و کشش باشند و نیروی میله حداکثر را با هر دو علامت برای هر میله‌ای به دست آورده‌ایم. در تهیه نیروی میله‌های جدول (۴-۷) نیروی کل میله را که حاصل از بار مرده + زنده + ضربه‌منی باشد با جمع ساده جبری  $I + L + U$  نیروی میله حاصل از جمع بار زنده و ضربه از مقدار نیروی میله حاصل از بار مرده تجاوز کرده است و علامت نیروی میله حاصل از بار زنده و ضربه مفایر با علامت نیروی میله حاصل از بار مرده می‌باشد.

برای  $I + L + U$  بیان این وضعیت به شرح زیر می‌باشد، بر حسب این که محل قرارگیری بار زنده روی سازه در چه محلی باشد نیروی میله کل حاصل از بار مرده + بار زنده + افزایش ضرب می‌تواند کششی یا فشاری گردد. این تغییر نوع تنش را که بر حسب حرکت بار زنده در طول دهانه سازه بوجود می‌آید "تغییر علامت تنش" گویند. هرگاه در اعضا ای امکان تغییر علامت تنش موجود باشد، به جای استفاده از روش متعارف متکی بر تنشهای مجاز که براساس مارکزیاری  $I + L + D$  که در جدول (۴-۷) ذکر شده، می‌باشد، باید روش تحلیل مطمئنتری برگزید. به عنوان مثال آئین نامه‌ای چنین الزام می‌کند "هرگاه در طی عبور کامل بار زنده، در رضوی تغییر علامت تنش بوجود آید باید هریک از تنشها را برابر با ۵۰ درصد کوچکترین آندو افزایش دهیم و اگر تنشهای حاصل از بار زنده و مرده دارای علامتهای متفاوتی باشند فقط ۷۰ درصد تنش حاصل از بار مرده را در جمع با تنش بار زنده که دارای علامت مفایری با تنش حاصل از بار مرده دارد می‌توان مؤثر فرض نمود." رعایت نکات این آئین نامه منتج به نیروی میله کل می‌گردد که براساس آن نیرو باید عضو مربوطه را که تحت اثر تنش با دو علامت متفاوت قراردارد طرح نمود. چون این از دیاد تنش را با تنشهای مجاز متعارف وارسی می‌نمایند لذا چنین از دیاد تنشی نسبت به حالتی که بدون در نظر گرفتن این افزایش به طرح قطعه می‌پردازد، اطمینان بیشتری در نظر می‌گیرید.

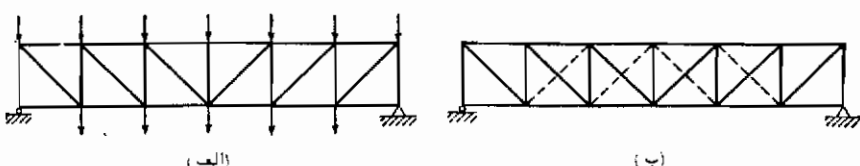
برای این که کاربرد نکات فوق الذکر آئین نامه را شرح داده باشیم،  $I + L + U$  را در نظر می‌گیریم:

$$\begin{array}{rcl}
 0.7(+27.6) = +19.3 & & +27.6 \\
 -38.2 & & +58.0 \\
 \hline
 -18.9 & & +85.6 \\
 -9.5 = 18.9(0.50) & & +9.5 = 18.9(0.50) \\
 \hline
 -28.4 \text{ kips} & & +95.1 \text{ kips}
 \end{array}
 \quad \begin{array}{l}
 \text{بار مرده} \\
 \text{بار زنده} + \text{افزایش ضربه} \\
 + 95.1 \text{ kips}
 \end{array}$$

حال قطعه را باید طوری طرح و محاسبه نمود که در برابر این هر دو نیروی میله‌ایستایی شاید.

## ۷-۶ کشهاي قطری

هر عضوي که داراي ضريب لاغري (خارج قسمت طول بر شاعع زيراسيون) بزرگي باشد تحت اثر هر نيروي فشاري نسبتاً "کوچك نيز کمانه خواهد نمود. اين چنین عضوي مي تواند بطور رضايبت بخشی تحمل کشش شمايد ولی فقط قادر به تحمل مقدار ناقصي فشار خواهد بود. قطریهاي يك خرها را می توان به نحوی طرح نمود که داراي چنین خاصیتي باشند. در اين صورت بدانها قطریهاي کششی گويند. اگر خرهاي فقط برای تحمل بار مرده مانند آنچه در شکل ۱۱-۷ (الف) می بینيم طرح شود وجود تنها يك قطری کششی در هر پانل آن کافي خواهد بود و همواره می توان شب اين قطریها را به نحوی انتخاب کرد که برش حاصل از بار مرده در پانل فقط ايجاد کشش در آن قطریها بنماید. ولی هرگاه بارهاي زنده نيز مورد بررسی قرار گيرند، همواره اين امكان وجود دارد که بر اثر موقعیت معینی از بارهاي زنده که حد اکثر برش حاصل از بارهاي زنده به اضافه افزایش ضربه در پانلي که داراي علامتی مغایر با علامت برش حاصل از بارهاي مرده می باشد، از مقدار برش بارهاي مرده تجاوز ننماید. اين چنین موقعیتی سبب ايجاد فشار در قطریهاي کششی خواهد نمود که ابداً مطلوب نیست. در اين صورت باید قطری کششی دیگری که به آن کش قطری خواهیم گفت به آن پانل اضافه نعایم کشهاي قطری داراي شبيه در خلاف جهت قطری کششی اصلی خواهد داشت. کشهاي قطری تحت اثر برش بارهاي مرده تنشی تحمل نمی کنند زيرا تحت اثر برش بار مرده به آهستگی



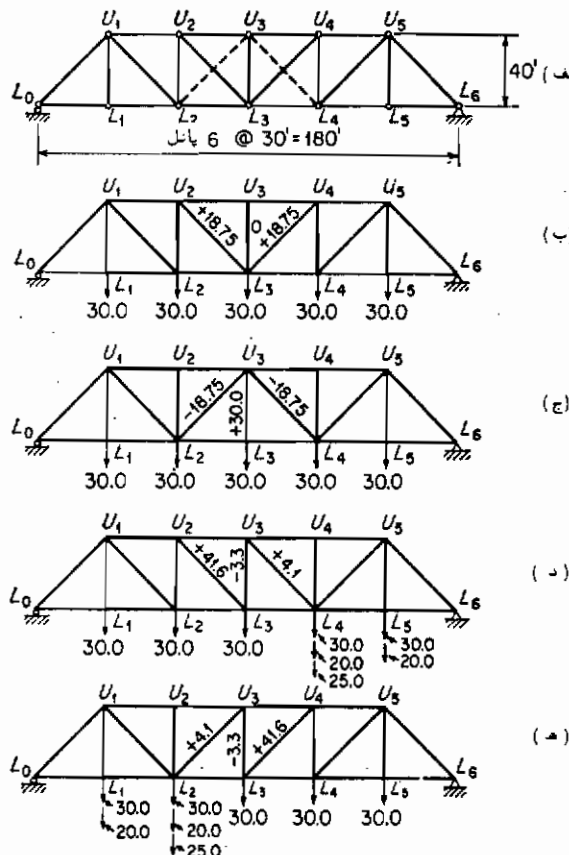
شکل ۱۱-۷ کاربرد کشهاي قطری

کمانه می‌نمایند ولی وقتی برش در پانل بر اثر بار زنده و افزایش ضربه تغییر علامت می‌دهد قطری کشی اصلی کمانه نموده و به تنش صفر می‌رسد و در این حالت کش قطری شروع به عمل نموده و برش حاصل از مجموع بار مرده، بار زنده و افزایش ضربه را مانند قطعه‌ای کشی تحمل می‌نماید.

در طرح خرپاهایی که فقط به قطعه‌های کشی نیاز دارند، ابتدا باید پانل‌هایی که برای آنها کشی‌ای قطری لازم خواهد بود معین شوند. بمنظور می‌رسد که وجود کش‌های قطری در پانل‌های میانی خرپا مورد لزوم باشد زیرا در آن پانل‌ها برش حاصل از بار مرده کمتر از برش در پانل‌های انتهایی می‌باشد در صورتی که برش حاصل از پاره‌ای زنده کم‌دارای علامتی برخلاف برش بارهای مرده باشد، در پانل میانی افزایش می‌یابند و بیشتر امکان دارد در آن پانل‌ها مقدار آنها از برش بار مرده تجاوز کند. به عنوان نمونه در شکل ۱۱-۷ ب) کش‌های قطری را که با خط چین نمایش داده شده است در چهار پانل میانی خرپا نشان داده‌ایم.

برای این که نحوه تعیین نیروهای میله را در عضوی از یک خرپا که دارای کش‌های قطری می‌باشد شرح دهیم به محاسبه حداکثر فشار در قطعه  $\text{U}_1\text{L}_1\text{U}_2$  از سازه شکل (۱۲-۷ الف) می‌پردازیم. ترسیم خط تأثیر مربوطه، تغییر نیروی میله را در  $\text{U}_1\text{L}_1\text{U}_2$  - هرگاه بار واحد در طول کل دهانه خرپا حرکت کند - نشان می‌دهد ولی رسم چنان خط تأثیری نمی‌تواند محل اثر بارهای زنده را که سبب ایجاد بیشترین نیروی فشاری در  $\text{U}_1\text{L}_1\text{U}_2$  می‌شوند به‌ما نشان دهد زیرا محاسبه هریک از عرضهای خط تأثیر نسبت به‌این که قطری اصلی و یا کش مربوط در دو پانل میانی عمل نمایند متفاوت خواهد بود. چنین شرطی برای وضعیت‌های متفاوت بار واحد متفاوت خواهد بود. به عنوان مثال اگر بار واحد در  $\text{U}_1\text{L}_1\text{U}_2$  قرار گیرد  $\text{U}_1$  و  $\text{U}_2$  عمل خواهد نمود ولی  $\text{U}_1$  و  $\text{U}_2$  دارای تنشی برابر با صفر خواهد بود در صورتی که هرگاه بار واحد در  $\text{U}_1\text{L}_1\text{U}_2$  قرار گیرد،  $\text{U}_1$  و  $\text{U}_2$  شروع به عمل نموده و  $\text{U}_1$  و  $\text{U}_2$  تنشی تحمل خواهند کرد. در حقیقت عرضهای مختلف خط تأثیر متناظر با عملکرد متفاوت سازه‌ها خواهد بود و تحت چنین شرایطی اصل جمع آثار صادق نخواهد بود. حداکثر نیروی فشاری در  $\text{U}_1\text{L}_1\text{U}_2$  که تحت اثر مجموع بارهای مرده به‌اضافه زنده و ضربه حاصل می‌شود، بستگی به‌این دارد که کدامیک از قطعه‌های خرپا تحت اثر بارگذاری کل که منجر به‌نشار حداکثر می‌شوند عمل نمایند. برای این که به صورت ساده‌ای موضوع فوق را شرح دهیم فرض کنید که بار پانلی مرده که بر میله‌های تخت پائین وارد می‌شوند برابر با  $30.0 \text{ kips}$  و بار پانلی زنده پکتواخت برابر با  $20.0 \text{ kips}$  و بار زنده متغیر برابر با  $25.0 \text{ kips}$  بوده و از اثر ضربه صرف نظر کرده باشیم. چهار حالت مختلفی که قطعه‌های دو پانل میانی می‌توانند عمل نمایند در شکل‌های

(۱۲-۷ ب) نشان داده شده است. اگر به صورت شکل (۱۲-۷ ب) عمل نمایند با اعمال روش گرهها بر گره  $U_6$  دیده می شود که در  $L_6$  نمی تواند تنש قبول نماید اگر مانند شکل (۱۲-۷ ج) عمل نمایند با اعمال روش گرهها بر گره  $L_6$  معلوم می شود که بار زنده نمی تواند طوری قرار گیرد که در  $L_6$  ایجاد فشار نماید. حتی تحت اثر بارهای مرده نیز چنین چیزی غیرمعکن می باشد، گرچه در این حالت  $L_6$  و  $U_6$  "الزاما" تحمل فشار می نمایند. اگر قطربهای مانند شکل (۱۲-۷ ب) عمل نمایند بارهای زنده باید به نحوی که نشان داده شده است قرار گیرند تا این که در  $L_6$  حداکثر فشار بوجود آید. امکان ایجاد چنین حالتی وجود دارد زیرا در هر چنین حالتی  $L_6$  و  $U_6$  هردو بکشن عمل نموده و منتج به فشاری برابر با  $-3.3 \text{ kips}$  در  $L_6$  و  $U_6$  می گردد. اگر قطربهای مانند شکل (۱۲-۷ ه) عمل کنند همان فشار قبلی یعنی  $-3.3 \text{ kips}$  در  $L_6$  و  $U_6$  ایجاد می شود و چون  $L_6$  و  $U_6$  هردو به کشن کار



شکل ۱۲-۷ تحلیل خرپا که دارای کشتهای قطعی است

می‌کند لذا یک چنین حالتی نیز امکان اتفاق دارد.

به‌این ترتیب می‌توان نتیجه‌گرفت که حد اکثر فشار ممکن در  $L_3 U$  برابر با  $3.3 \text{ kips}$  می‌باشد.

هرگاه خرپایی دارای کشتهای قطعی باشد تعیین حد اکثر نیروی میله‌هایی که تحت تأثیر عملکرد کشتهای قطعی می‌باشد بهروش آزمون و خط امکان پذیر است و به‌این ترتیب کلیه وضعیت‌های بارهای زنده را که می‌توانند به حد اکثر نیروی میله مطلوب بیانجامند باید مورد تفحص قرار دارد همین‌طور اگر قطعه‌هایی را که فقط قادر به تحمل کشش می‌باشد مؤثر فرض کنیم نتیجه تفحص و محاسبات زمانی قبول خواهد بود که نیروی میله‌های مربوط به آن قطعه‌ها نشان‌دهنده کشش در آنها باشد.

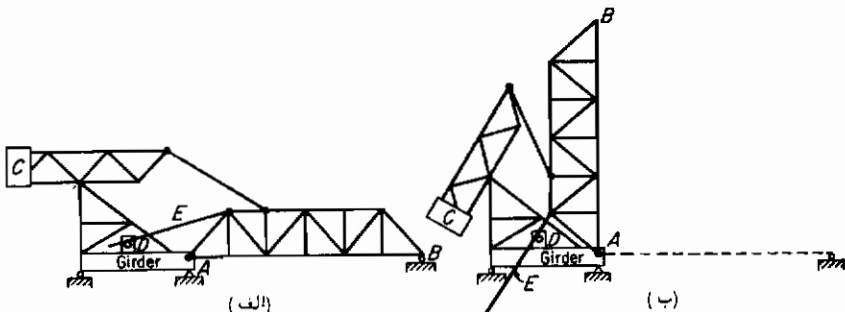
## ۲- پلهای متحرک - گلیات

هرگاه نقشه‌برداری پل‌سازی منطقه نشان دهد که سطح جاده عبوری پل باید نزدیک سطح آزاد آب زیر پل قرار گیرد، فاصله آزاد عمودی زیر پل و آب ممکن است مجبور نماید برای این که کشتیرانی زیر پل انجام گیرد پلی متحرک در آن محل ساخته شود. پل متحرک به‌پلی اطلاق می‌شود که جهت عبور کشتیرانی قابل به حرکت باشد سه نوع مهم پلهای متحرک به قرار زیر می‌باشند: ۱- پلهای قپانی ۲- پلهای بالارونده و ۳- پلهای چرخان افقی. انتخاب صحیح هریک از این سه نوع بستگی کامل به فاصله آزاد عمودی لازم جهت کشتیرانی دارد و در هر صورت بررسی لازم برای این که در محلی معین بایجاد پلی متحرک در ارتفاع پائین و بایجاد پلی ثابت در ارتفاع بالا اقدام شود، معمولاً " فقط با مطالعات دقیق اقتصادی امکان پذیر می‌باشد.

## ۳- پلهای قپانی

پلهای قپانی زمانی اقتصادی خواهند بود که دهانه لازم برای کشتیرانی طولانی نبوده ولی ارتفاع آزاد لازم برای آن زیاد باشد. نوع متدالوی از پلهای قپانی در شکل (۱۳-۷) نشان داده‌ایم در این نوع نیروی محرکی چرخ‌دنده  $R$  را می‌گرداند و چنین عملی بازوی  $E$  را جابجا کرده و به‌این ترتیب بازشدن و یا بسته شدن دهانه پل انجام می‌گیرد، وجود وزنه تعادل  $C$  سبب تقلیل نیروی لازم محرک می‌گردد. نیروی میله‌های حاصل از بار مرده در یک پل قپانی وقتی که پل باز یا بسته باشد تغییر

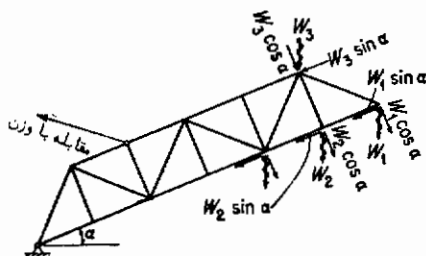
می‌نماید و ممکن است در بعضی از قطعات نیروی میله‌های حاصل از بار مرده در طی این عملیات تا اندازه‌ای افزایش یابد که از کل نیروی میله‌ها – حتی زمانی که پل بسته‌بوده و تحت اثر عبور باشد – بیشتر گردد.



شکل ۱۳-۷ پل میانی

برای این که حداقل نیروهای میله را که در اثر بازشدن و بسته شدن دهانه بوجود می‌آید تعیین کنیم فرض کنید که  $F_H$  نیروی میله حاصل از بار مرده عضوی در حالت افقی دهانه پل بوده و  $F_V$  نیروی میله حاصل از بار مرده همان عضو پس از آن که دهانه به صورت عمودی رسید باشد (به عبارت دیگر وقتی بماندازه  $90^\circ$  از وضعیت بسته خود تغییر نمود).

هردوی این مقادیر را می‌توان به سادگی به روش‌های متعارف تحلیل بددست آورد. اگر پل کاملاً بازنشده باشد به طوری که میله‌های تخت پایین آن با افق زاویه  $\alpha$  بسانند (همان‌طوری که در شکل ۱۴-۷) دیده می‌شود) کلیه بار پانلی مرده را می‌توان به دو مولفه عمودی و موازی با میله‌های تختانی تجزیه نمود. مولفه‌های بار مرده که عمود بر میله‌های اصلی تختانی می‌باشند، نیروی میله‌هایی برابر با  $F_H \cos \alpha$  ایجاد خواهند کرد در حالی که مولفه‌های بار مرده که به موازات میله‌های تخت پائین می‌باشند نیروی میله‌هایی برابر با  $F_H \sin \alpha$  ایجاد خواهند کرد و بنابراین برای زاویه‌گیر مشخص  $\alpha$  نیروی میله حاصل از بار مرده یعنی  $F_D$  برای



شکل ۱۴-۷ پل قهانی که کاملاً باز نشده است

هر عضو غیرمشخص برابر خواهد شد با :

$$F_D = F_V \sin \alpha + F_H \cos \alpha \quad (\text{الف})$$

اگر مشتق  $F_D$  را نسبت به  $\alpha$  برابر با صفر قرار دهیم :

$$\frac{dF_D}{d\alpha} = F_V \cos \alpha - F_H \sin \alpha = 0$$

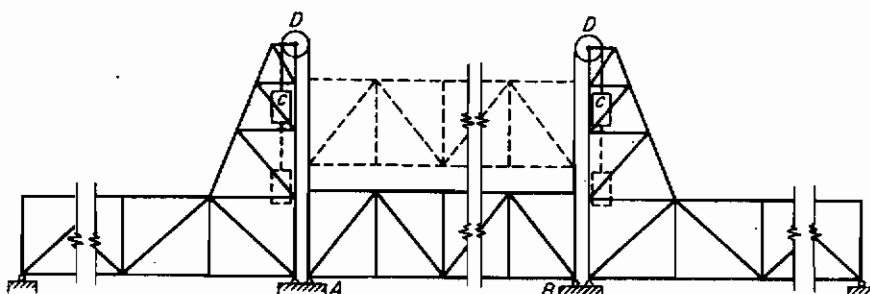
از این رابطه خواهیم داشت :  $\tan \alpha = F_V/F_H$  با قرار دادن این مقدار در معادله (الف) خواهیم داشت :

$$\text{Max } F_D = F_V \frac{F_V}{\sqrt{F_V^2 + F_H^2}} + F_H \frac{F_H}{\sqrt{F_V^2 + F_H^2}} = \sqrt{F_V^2 + F_H^2} \quad (1-2)$$

اگر پل بسته باشد عکس العمل بار مرده در انتهای آزاد پل صفر خواهد بود زیرا وزنه تعادل بار مرده را در تعادل حفظ می‌نماید ، ولی بارهای زنده نظیر یک پل روی دو تکیه‌گاه انتهایی در هر دو انتهای پل ایجاد عکس العمل خواهند شود .

## ۷- ۹ پلهای بالا رونده

هرگاه دهانه آزاد افقی لازم بیشتر از ارتفاع آزاد عمودی مورد نیاز برای کشیده‌گرانی باشد به نظر می‌رسد که پلهای بالارونده اقتصادی تر باشند . نوع متدائل از این نوع پلهای را در شکل (۱۵-۷) نشان داده‌ایم . در این پل ، دهانه  $AB$  توسط کابل‌هایی که از روی قرقره‌های  $D$ - که خود بر بالاترین نقطه پایه‌ها نصب شده‌اند - رد شده به پهائین و بالا حرکت

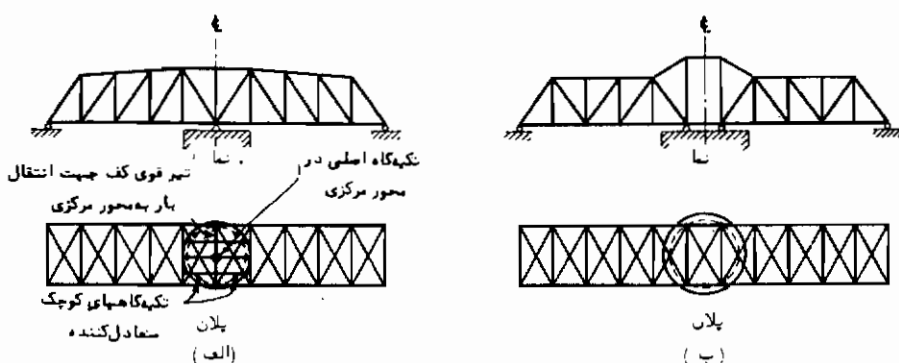


شکل (۱۵-۷) پل بالارونده

می کند . مقدار نیروی محرك لازم برای این حرکت توسط وزنه های تعادل  $\Delta$  کاهش داده شده است ، عموماً " این وزنه ها را طوری طرح می کند که جهت تعادل کل بار مرده دهانه متحرک پل کافی باشد به این جهت عکس العملهای بار مرده  $\Delta$  پل توسط کابلها تحمل می شوند ولی بارهای زنده روی دهانه متحرک پل تولید عکس العملهای می کند که بر پی های  $A$  و  $B$  وارد می شوند .

#### ۷-۱۰ پلهای چرخان افقی

پلهای چرخان افقی ارتفاع آزاد عمودی نامحدودی را ایجاد می کنند ولی پایه میانی آنها به عنوان نقطه کوری در عبور و مرور آن باقی می ماند . برای این چنین پل متحرکی سطح افقی وسیعی موردنیاز می باشد ، پلهای چرخان افقی را می توان بهدو صورت با تکیه گاه مرکزی به طوری که در شکل (۱۶-۲) دیده می شود و با تکیه گاه حلقوی چنان که در شکل (۱۶-۲ ب) نشان داده شده است ایجاد نمود . در هر صورت پل حول محور عمودی مرکزی خود به طور افقی چرخیده و باز می شود ، وقتی که پل باز است دو دهانه آن به صورت طریق از پایه میانی قرار داشته و سازه معین می باشد و وقتی پل بسته است خرباها به صورت سرتاسری بوده و لذا نامعین خواهد شد . تحلیل تنش در حالت بسته پل براساس اصولی کدر قسمت مربوط به سازه های نامعین در کتاب می باشد انجام خواهد گرفت .



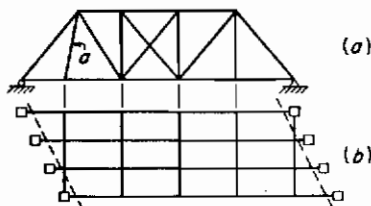
شکل ۷-۱۶ پل چرخان افقی

وقتی یک پل چرخان بسته است مقدار عکس العملهای انتهایی بیرونی آنهاستگی به طرح خواهد داشت اگر این نقاط انتهایی فقط تکیه گاههای خود را لمس نمایند . کوچکترین اثر بار زنده ای در یک دهانه سبب جدا شدن انتهای بیرونی دهانه دیگر از تکیه گاه خود خواهد

شده، معمولاً از وقوع چنین حالتی توسط بلندکردن دو انتهای آن به مقدار ناچیزی در زمان بسته بودن پل جلوگیری می‌کنند، با این ترتیب عکس العمل بار مرده را می‌توان به نوعی محاسبه نمود که مقدار آن از عکس العمل حد اکثر بار زنده با علامت مخالف آن بیشتر باشد.

### ۱۱-۲ پلهای اریب

اگر تکیه‌گاههای پلی در امتداد عمود بر محور طولی پل قرار نگرفته باشد پل را اریب گویند. شکل (۱۷-۲ ب) پلان چنین سازه‌ای را نشان می‌دهد، به منظور جلوگیری از پیچیده شدن سازه معمولاً تیر ریزی کف یک چنین پلی را عمود بر خرپاهای اصلی قرار می‌دهند، یک چنین علی سبب نامتقارن شدن خرپاهای اصلی می‌گردد. میله‌های اصلی دو انتهای خرپاها دارای یک شیب بوده و پرتابالهای انتهایی پل در یک صفحه قرار خواهند گرفت چنین علی ممکن است منجر به ایجاد میله‌های متماillی نظیر a در شکل (۱۷-۲ الف) گردد.



شکل ۱۷-۲ پل اریب

محاسبه نیروی میله‌ها در اعضای یک خرپای پل اریب می‌تواند به همان روش کلی مشروح برای پلهای عمود بر تکیه‌گاههای خود انجام گیرد ولی در هر صورت وقتی به اثربارهای زنده می‌پردازیم باید ناهمانگبودن تیر ریزی کفرا در محاسبات خود ملاحظه کیم، چنین علی در جزئیات مربوط به محاسبات بارهای زنده پانلی تأثیرگذاشته و سبب خواهد شد که بارهای واردہ بر کلیه نقاط پانلی یکسان نباشد.

### ۱۲ مسائل

- ۷-۱ برای خرپاهای پوششی سقفها و بارگذاریهای بخش ۲-۷:
- (الف) حد اکثر کششی و فشاری نیروی میله‌های هر یک از اعضای نیمه چهار خرپا را تحت اثر بار مرده به اضافه بار باد محاسبه نمایید.

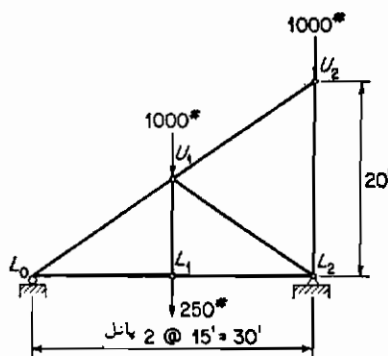
(ب) نیروهای میله به دست آمده در قسمت "الف" را با حداکثر نیروهای میله داده شده در جدول نیروی میله (۲-۲) مقایسه نمایید اگر عضوی در بارگذاری الف بیشترین بار را تحمل می‌کند آن عضو را تحت آن بار محاسبه کنید (توجه: در قسمت ب افزایش تنش مجاز قطعات را برای بارگذاری تحت اثر باد در نظر نباورید)

(ج) آیا لازم است این خرپا را به مخاطر جلوگیری از بلند شدن آن مهار کنیم؟ اگر چنین قیدی الزامی است نیروی بلند کننده احتمالی را که برای آن نیرو میل مهار لازم باشد تعیین شود محاسبه کنید. ضرب اطمینان محاسباتی را برای این نیرو برابر با ۵۰ درصد فرض کنید.

۲- خرپای پوششی شکل (۱۸-۲) یکی از خرپاهای میانی سری خرپاهایی است که به فاصله ۱۵-ft از یکدیگر قرار گرفته اند، بار مرده موثر براین خرپا در شکل نشان داده شده است بار برف برابر با  $\frac{15}{lb/ft}$  بر سطح افقی خواهد بود. بار باد با استفاده از فرمول دو خمین و برآسانش شده فشار پادی برابر با  $\frac{1}{lb/ft^2}$  بر سطح عمودی محاسبه خواهد شد. برای هر یک از بارگذاریهای زیر کلیه نیروی میله‌های حداکثر را برای هر یک از میله‌ها چه به صورت فشاری و چه به صورت کششی محاسبه کنید: ۱- بار مرده به اضافه برف ۲- بار مرده به اضافه بار باد (توجه شود که باد از هر یک از دوسو می‌تواند بوزد). کدامیک از نیروی میله‌ها برای طرح و محاسبه اعضای خرپا به کار خواهد رفت.

جواب:

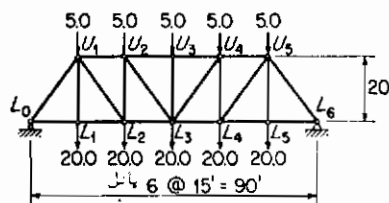
$$L_0 L_1 = +4,310, -20; U_1 U_2 = +1,530, -3,610; U_2 L_2 = +1,000, -3,760 \text{ lb}$$



شکل ۱۸-۲ مساله ۲

۲- در شکل (۱۹-۲) بار پانلی مرده خرپای پلی بر حسب kips نشان داده شده است، این خرپا تحت اثر بار زنده یکنواختی به شدت ۱.۰ kip/ft و بار متمرکزی برابر با ۱۵.۰ kips قرار

دارد، اثر ضربه را براساس رابطه (۱-۱) محاسبه خواهیم کرد. برای نیروی میله‌های اعضای نیمه چپ این خرپا جدولی تهیه کنید که دارای ستونهایی برای: بار مرده، بار زنده، یکنواخت بار زنده متمرکز، کل بار زنده، اثر ضربه، بار زنده بهاضافه ضربه و جمع کل بار مرده + بار زنده + ضربه داشته باشد. برای تعیین نیروی میله‌ای حاصل از بار زنده روش تحلیل تقریبی را به کار گیرید. اگر برای میله‌ای نیروی میله‌ای فشاری و کششی موجود است هردو را ذکر کنید، ترکیب بار مرده، بار زنده و ضربه را (الف) با روش جمع جبری (ب) بر حسب آئین نامه مذکور در بخش (۵-۵) برای اعضای تحت اثر تنش با امکان تغییر علامت، معین کنید.



شکل ۱۹-۷ مسائل ۳-۷ و ۴-۷

جواب :

$$(الف) \quad L_0L_1 = +93.1; U_1U_2 = -148.9; U_1L_2 = +101.6 \text{ kips}$$

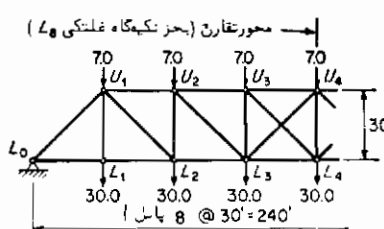
$$(ب) \quad U_2L_3 = -14.3, +56.5; U_2L_2 = -48.3, +6.0 \text{ kips.}$$

به جز اعضای فوق عضو دیگری تحت تنش با دو علامت قرار نمی‌گیرد.

۷-۴ اگر فرض شود که قطریهای خرپای شکل (۱۹-۷) فقط قادر به تحمل کشن باشند در کدامیک از پانل‌های آن نیاز به کشهای قطری می‌باشد.

جواب : کشهای قطری  $L_2U_3$  و  $L_4U_5$  موردنیاز است.

۷-۵ بارهایی که در شکل (۲۰-۲) بر خرپا وارد می‌شود نشان دهنده بارهای پانلی مرده بر حسب kips می‌باشد. قطریهای این خرپا فقط قادر به تحمل کشن می‌باشند، برای خرپا بارهای زنده: یکنواخت بهشت ۰.۷۰۰ kip / ft و متمرکز برابر با ۲۰.۰ kips اثر می‌کند اثر ضربه را بر اساس معادله (۱-۱) محاسبه خواهیم کرد، حداقل نیروی میله‌ها را تحت اثر مجموع بار مرده + بار زنده + اثر ضربه در (الف)  $L_0U_4$  (ب)  $U_4L_4$  محاسبه کنید.



شکل ۲۰-۲ مساله ۷-۵

۷-۶ شکل (۲۱-۷) نشان دهنده یک دهانه با سکولی است که برآن بارهای پانلی مرده برحسب اثر می‌کند.

(الف) نیروی میله‌ها و کشن دریند اتصال بوزنه تعادل را تحت اثر بارهای مرده در حالت پسته دهانه مطابق شکل محاسبه کنید.

(ب) حداقل نیروی میله حاصل از بارهای مرده، را هرگاه دهانه فوق الذکر تا زاویه  $90^\circ$  بلند شود برای کلیه میله‌ها به جز میله  $L_0U_1$  محاسبه کنید.

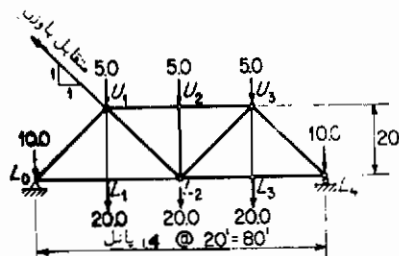
(ج) آیا روش تحلیل مذکور در قسمت (ب) برای محاسبه حداقل نیروی میله حاصل از بار مرده در  $L_0U_1$  نیز صادق است؟

جواب :

$$L_0L_1 = -105.0; U_1L_2 = +84.85; U_2U_1 = +45.0 \text{ kips} \quad (\text{الف})$$

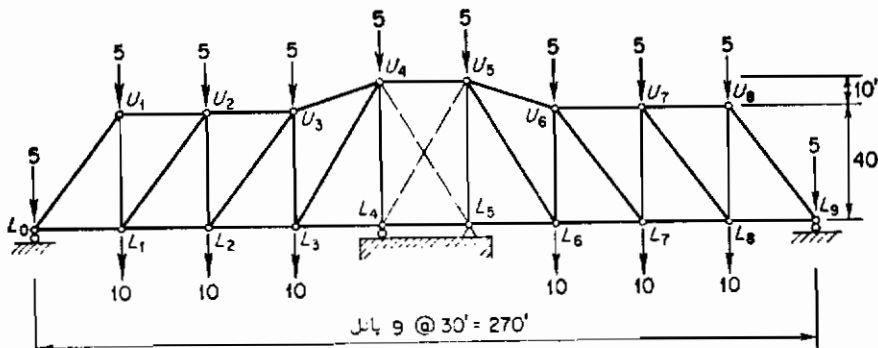
$$L_2L_3 = -31.62; U_1U_2 = +45.0, -10.0; L_2U_3 = -49.50 \text{ kips} \quad (\text{ب})$$

(ج) خیر.



شکل ۲۱-۷ مساله ۷

۷-۷ شکل (۲۲-۷) خرپای یک پل چرخان افقی را که تحت اثر بارهای مرده خود برحسب kips می‌باشد نشان می‌دهد، اعضایی که با خط‌چین نشان داده شده‌است فقط قادر به تحمل کشن می‌باشند.



شکل ۷-۷ مساله ۷

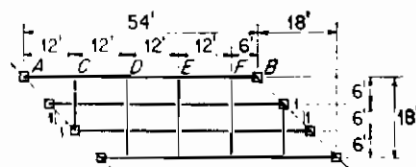
(الف) نیروی میله‌ها را تحت اثر بار مرده آن زمانی که پل چرخیده و به حالت باز قرار گرفته باشد حساب کنید.

(ب) وقتی که پل بسته است هریک از دو انتهای سازه به اندازه  $1 \text{ in}$  بالاتر از سطح آن در موقع بازبودن قرار می‌گیرند، اگر نیرویی برابر با  $10 \text{ kips}$  بعزمت بالا در  $E$  و وقتی که پل باز است اثر کند، این نیرو سبب می‌شود که  $E$  به اندازه  $1 \text{ in}$  بالا رفته و  $D$  به اندازه  $in$  پائین رود، به این ترتیب عکس العملهای حاصل از بار مرده را در  $E$  و  $D$  هرگاه پل بسته باشد حساب کنید.

۲-۸-۱ پل اربیی برای یک خط راه آهن طرح شده است و پلان آن را در شکل (۲۳-۷) می‌بینیم وزن ریل با بستهای آن  $500 \text{ lb/ft}$  بوده و وزن هر تیر طولی با اتصالات آن  $125 \text{ lb/ft}$ ، وزن هر تیر عرضی کف با اتصالات آن  $175 \text{ lb/ft}$  می‌باشد.

(الف) آن قسمت از بارهای پانلی مرده را که بر شاهتیر  $AB$  از طریق تیرهای عرضی کف به شاهتیر در نقاط پانلی  $C, D, E$  و  $F$  وارد می‌شود محاسبه کنید.

(ب) اگر بر ریل فوق الذکر بار زنده یکنواختی بعزمت  $5,000 \text{ lb/ft}$  در طول کل سازه وارد شود، بارهای پانلی زنده‌ای که بر شاهتیر  $AB$  از طریق تیرهای عرضی کف در نقاط پانلی  $C, D, E$  و  $F$  وارد می‌شوند چه مقدار خواهند بود.



شکل ۲۳-۷ مساله ۸-۷



## سازه‌های با دهانه وسیع

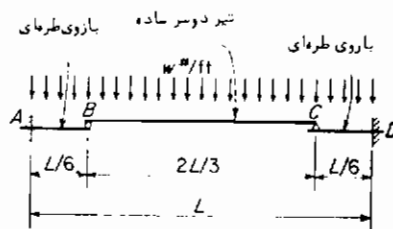
۱-۸ مقدمه

به همان میزان که دهانه سازه‌ای وسیعتر می‌گردد، اگر سازه‌ای با دو تکیه‌گاه انتها‌ی ساده به کاربرده باشیم به همان میزان لنگر خمشی موثر بر سازه به سرعت افزایش می‌یابد. حتی اگر شدت بارموده برابر سازه با افزایش دهانه افزایش نیابد لنگر حاصله از بارهای گسترده مناسب با مریع دهانه تغییر خواهد کرد. علاوه بر مرده مناسب با دهانه افزایش می‌یابد و به این جهت لنگر خمشی با میزانی بزرگتر از مریع دهانه افزایش می‌یابد و چون تنشهای موجود در میله‌های اصلی خرپا مناسب با لنگر خمشی ستحمله توسط خرپاها می‌باشد، دیده می‌شود که وسعت دهانه اهمیت بسیاری در طرح و محاسبه خرپاها و همچنین در طرح و محاسبه تیرها و شاهتیرها دارد.

در سازه‌های اقتصادی، ترجیح داده می‌شود در صورتی که دهانه آنها وسیع باشد روش‌های ساخت مطلوبی را جهت تقلیل لنگرهای خمشی به مقادیری کمتر از آنچه امکان ایجاد آن در سازه‌های با دو تکیه‌گاه ساده انتها‌ی موجود است به کار برد. روش‌های متعددی جهت جامعه عمل پوشاندن به هدف فوق وجود دارد، در این فصل به شرح برخی از این روش‌ها با ذکر محاسبه چندین سازه با دهانه وسیع خواهیم پرداخت.

۲-۸ سازه‌های طره‌ای - گلیات

در سازه‌های طره‌ای لنگرهای خمشی را با کوچکنمودن قسمتی از دهانه که تحمل لنگر مشتب می‌نماید تقلیل می‌دهند به این ترتیب که تیری با دو تکیه‌گاه انتها‌ی ساده و با دهانه‌ای کوچکتر از دهانه کل را بر تیرهای طره‌ای که تحمل لنگر منفی می‌نمایند تکیه می‌دهند. سازه شکل (۱-۱) طرز ساختن یک سازه‌ای طره‌ای را نشان می‌دهد، این سازه معین می‌باشد. لنگر



شکل ۱-۸ طرز ساختن سازه طرها

حداکثر در تیر  $BC$  برابر است با :

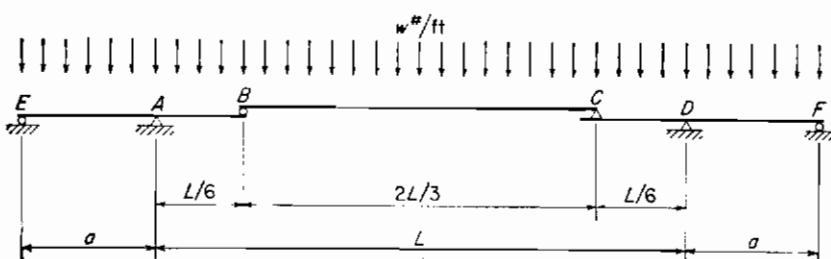
$$\frac{1}{8}w \left(\frac{2L}{3}\right)^2 = \frac{wL^2}{18}$$

حداکثر لنگر در بازوی طرهای  $AB$  در نقطه  $A$  بوده و برابر با مقدار زیر خواهد بود :

$$-\frac{w}{2} \left(\frac{2L}{3}\right) \left(\frac{L}{6}\right) - w \left(\frac{L}{6}\right) \left(\frac{L}{12}\right) = -\frac{5wL^2}{72}$$

اگر تیری با دهانه  $L$  به کار برده می شد لنگر حداکثر برابر با  $+wL^2/8$  می گردید . در این حالت تقلیل لنگر حداکثر به دلیل طرها ای کردن سازه برابر با تفاوت بین  $wL^2/72$  و  $wL^2/18$  می باشد و به عبارت دیگر در حدود ۴۵ درصد است . باید خاطرنشان کرد که حداکثر لنگر تنها ضابطه ای نیست که بر حسب آن مزیت نسبی انواع مختلف سازه ها را باهم بتوان مقایسه نمود . ولی در هر صورت یکی از مهمترین ضوابط تعیین انتخاب سازه برای دهانه ای مشخص می باشد . در محاسبات عملی کلیه لنگرها و برش های حاصل از کلیه انواع بارگذاریها ، از جمله بارهای زنده را باید در طول کل دهانه سازه محاسبه نمود .

به دلیل شرایط متعددی ، ایجاد گیرداری لازم در تکیه گاه های  $A$  و  $D$  از طرها های  $AB$  و  $CD$  شکل (۱-۸) مشکل خواهد بود ، لذا در شکل (۱-۸) همان اصل به کار گرفتن طرها را مراعات



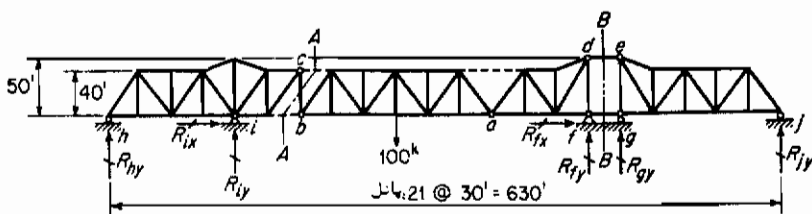
شکل ۱-۸ نمونه ای از شاهتیر طرهای پل

کرده ولی مشکلات موجود را نیز رفع کرده‌اند، به‌نوعی که لنگر در بین A و D این سازه‌عیناً "نظیر لنگرها در سازه شکل ۳-۸" می‌باشد، البته لنگرها در نقاط A و D توسط دهانه‌های کناری AE و DF مهار می‌شوند به عنوان مثال لنگر در A توسط عکس العمل در E و کل بارموده‌تر بین E و A مهار می‌گردد.

### ۳-۳ مشخصات ایستایی سازه‌های طره‌ای

برای این که سازه‌ای طره‌ای نسبت به نیروهای خارجی خود معین باشد باید بتوان بمتعدد عکس‌العمل‌های مستقل سازه معادلات مستقل جهت محاسبه نیروهای خارجی برقرار نمود، به استثنای تیر ساده طره، سایر سازه‌های طره‌ای همواره دارای بیش از سه عکس‌العمل مستقل می‌باشند در جایی که فقط سه معادله مستقل تعادل جهت اعمال به‌کل سازه وجود دارد. بنابراین برای این که سازه‌ای طره‌ای را تبدیل به سازه‌ای معین نماییم لازم است بمتعدد لازم اتصالات اجرایی مناسب در آن به‌کار ببریم تا بتوانیم به قسمت‌های مختلف آن به‌طور جداگانه معادلات تعادل را اعمال کنیم و به‌این ترتیب دیده می‌شود که معادلات مستقل خاص سازه نیز بر معادلات فوق اضافه می‌گردد. برخی از این اتصالات اجرایی در خود سازه طره‌ای مستتراند ولی برخی دیگر را بطرز مطلوب، باید ایجاد کرد.

در شکل (۳-۸) اتصالات اجرایی فوق الذکر را شرح داده‌ایم. مفصل e یکی از این اتصالات اجرایی است، زیرا که معادله  $\Sigma M_e = 0$  را می‌توان به‌کلیه بارهای مؤثر به‌هیک از طرفین سازه نسبت به a اعمال نمود، مفصل b نیز مانند مفصل e است زیرا که می‌توان رابطه  $\Sigma M_b = 0$  را بر کلیه نیروهای مؤثر به‌هیک‌کار دو قسمت طرفین این مفصل اعمال نمود.



شکل ۳-۸ خرپای طره‌ای پلها

مفصل e نیز امکان به‌کاربردن رابطه  $\Sigma M_e = 0$  را در مورد کلیه نیروهای مؤثر به‌هیک از قسمت‌های طرفین مفصل e را به ما می‌دهد. به‌جای این که مفصل e را به این طریق به‌کار ببریم معمولاً "اگر بطرز مشروح زیر عمل شود مزیت بیشتری خواهد داشت: چون

در هردو نقطه  $a$  و  $c$  مفصل وجود دارد لذا میله  $bc$  مانند یک بند اتصال عمل می‌نماید و به این طریق نتیجه گرفته می‌شود که اگر برشی بهمنوی که  $bc$  را قطع کند در نظر بگیریم مجموع نیروهای عمود بر  $bc$  که بههایی از دو قسمت برش فوق الذکر وارد می‌شوند برابر با صفر خواهد بود ، در این حالت مورد بحث مطلب فوق به این معنی است که امکان اعمال معادله  $\Sigma F_z = 0$  بر کلیه نیروهای مؤثر بر سازه واقع در یک سوی برش  $A-A$  وجود دارد . حذف قطری در پانل  $defg$  نیز ایجاد نوعی اتصال اجرایی می‌کند که اجازه استفاده از یک معادله مستقل تعادل دیگر را نسبت به نیروهای خارجی بهما می‌دهد ، زیرا که به دلیل چنین حالتی این پانل نمی‌تواند هیچ نیروی برشی تحمل نماید ، بنابراین معادله را می‌توان بر کلیه نیروهای مؤثر بر یک سوی برش  $B-B$  بهکار برد . دیده می‌شود که هفت معادله مستقل زیرین را می‌توان برای محاسبه عکس‌العملها این سازه اعمال نمود :

$$\Sigma M = 0 \quad (1)$$

$$\Sigma F_x = 0 \quad (2)$$

$$\Sigma F_y = 0 \quad (3)$$

$$\Sigma M_a = 0 \quad (4)$$

$$\Sigma M_b = 0 \quad (5)$$

$$\Sigma F_z = 0 \quad (6)$$

$$\Sigma F_y = 0 \quad (7)$$

در این سازه همچنین هفت عکس‌العمل مستقل به ترتیب زیر  $R_{hv}, R_{iy}, R_{iz}, R_{sy}, R_{sz}$  و  $R_{yy}$  نیز وجود دارد . بنابراین ، این سازه نسبت به نیروهای خارجی آن معین می‌باشد می‌توان ملاحظه نمود که این سازه هم نسبت به نیروهای داخلی و هم نسبت به نیروهای خارجی اش معین است زیرا جمع کل تعداد میله‌ها (75) به اضافه جمع کل عکس‌العملها (7) برابر با دو برابر تعداد گره‌هاست  $82 = (2 \times 41)$  :

#### ۴-۸ تحلیل تنش خرپاهای طرہای

برای این‌که عکس‌العملها اسازه شکل (۳-۸) را با در نظر گرفتن بارگذاری مؤثر بر آن محاسبه کیم می‌توان به صورت زیر عمل نمود : فرض کنید که کلیه عکس‌العملها در جهات نشان داده شده عمل کنند . معادله  $\Sigma F_z = 0$  را بر قسمتی از سازه که در طرف چپ برش  $A-A$  واقع است اعمال کنید معلوم می‌شود که  $R_{iz} = 0$  می‌باشد .

معادله  $\Sigma F_x = 0$  را بر کل سازه اعمال کنید معلوم می‌شود که  $R_{jx} = 0$  است .  
معادله  $\Sigma M_a = 0$  را بر قسمتی از سازه که در طرف چپ مفصل  $a$  واقع است اعمال کنید :

$$+R_{hy}(6)(30) + R_{iy}(2)(30) = 0 \quad R_{iy} = -3R_{hy}$$

معادله  $\Sigma M_b = 0$  را بر قسمتی از سازه که در طرف چپ مفصل  $b$  واقع است اعمال کنید :

$$-(100)(3)(30) + R_{hy}(12)(30) + (-3R_{hy})(8)(30) = 0 \quad R_{hy} = -25 \\ R_{iy} = -3(-25) = +75$$

معادله  $\Sigma F_y = 0$  را بر قسمتی از سازه که در طرف چپ برش  $B-B$  واقع است اعمال کنید .

$$-25 + 75 - 100 + R_{fy} = 0 \quad R_{fy} = +50$$

معادله  $\Sigma M_y = 0$  را بر قسمتی از سازه که در طرف راست برش  $B-B$  واقع است اعمال کنید .

$$+R_{gy} + R_{iy} = 0 \quad R_{gy} = -R_{iy}$$

و بالاخره معادله  $\Sigma M_c = 0$  را بر قسمتی از سازه که در طرف راست مفصل  $c$  واقع است اعمال کنید .

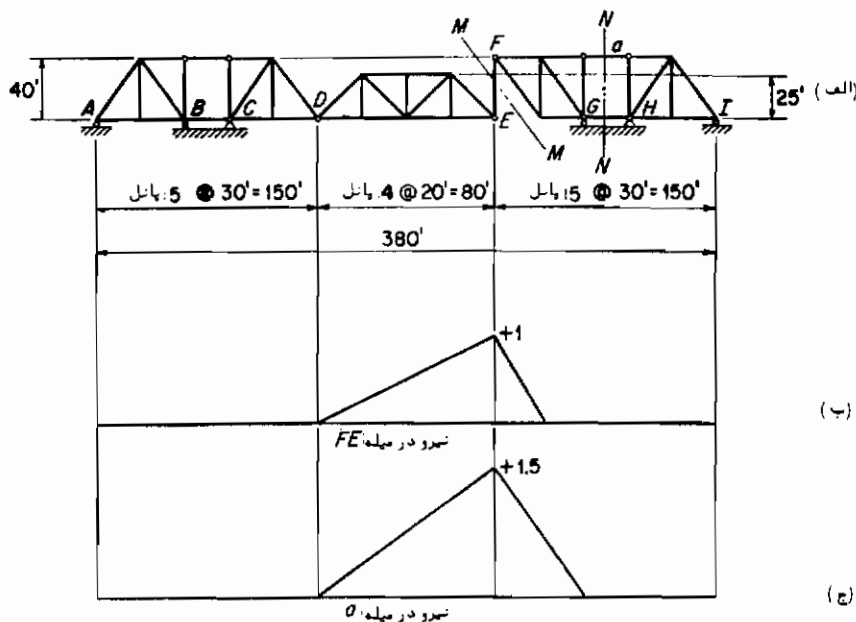
$$-50(3)(30) - (-R_{iy})(4)(30) - R_{iy}(9)(30) = 0 \\ R_{iy} = -30 \quad R_{gy} = +30$$

معادلات موجود را می‌توان با ترتیبی‌های مختلف به کار برد و اگر سازه پایدار باشد کلیه صور گوناگون منجر به نتایجی یکسان خواهد شد .

پس از آن که عکس‌العملها معلوم شدند ، نیروی میله‌ها را می‌توان با روش‌های متعارف تحلیل سازه‌های خربایی معین تعیین نمود . چون امکان انجام تحلیل سازه برای هر نیروی واحدی واقع در هریک از نقاط پانلی ممکن است ، لذا رسم خطوط تأثیر برای عکس‌العملها یا برای هریک از نیروی میله‌ها منجر به مشکلی نخواهد شد ولی با وجود این بهتر است که قبل از هر داشتن به میله مورد نظر به رسم خطوط تأثیر برای عکس‌العملها و پاسایر نیروی میله‌ها پرداخت و سپس با استفاده از معلوماتی که به‌این طریق حاصل می‌شود به رسم خط تأثیر مورد نظر اقدام نمود .

آنچه در اینجا ذکر شد در رسم خط تأثیر میله  $a$  از سازه شکل (۴-۸) (الف) شرح داده شده است ، ابتدا خط تأثیر میله  $FE$  را با لنگرگیری حول  $D$  از کلیه نیروهای مؤثر بر قسمتی از سازه که بین  $D$  و برش  $M-M$  واقع می‌باشد رسم می‌کنیم و سپس خط تأثیر میله  $a$  را با

محاسبه نیروی آن توسط لنگرگیری حول (۷) از کلیه نیروهای مؤثر بر قسمتی از سازه که بین پرشاهای  $M-M$  و  $N-N$  واقع اند رسم می‌کنیم، نیروهایی که در معادلات حاصل وارد می‌شوند عبارت از نیروی موجود در  $T$  ویز  $FE$ ، نیروی واحد وارد و نیرو در میله  $a$  خواهد بود.

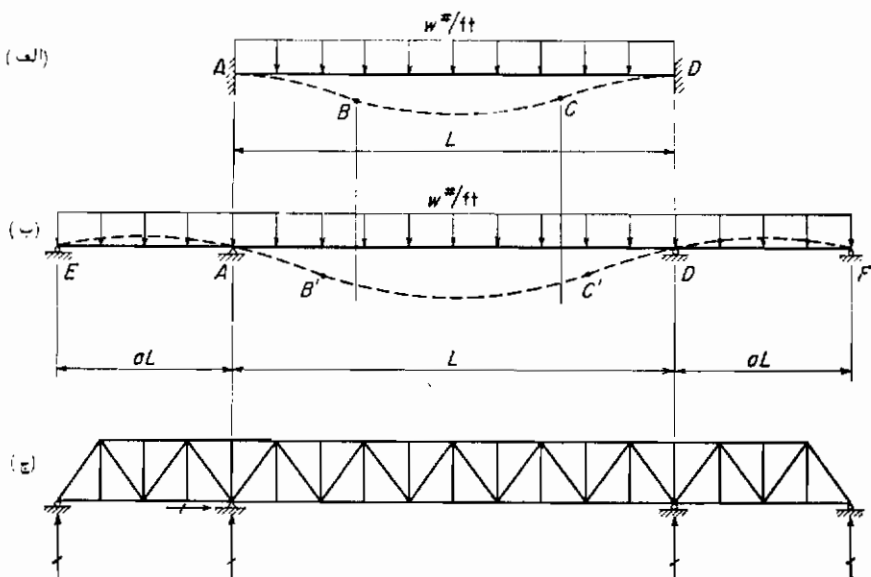


شکل ۴-۸ نمونه‌ای از خط تأثیر نیروی میله‌ها

#### ۴-۵ سازه‌های سرتاسری

کاهش لنگر حد اکثر را که حاصل کوچک نمودن دهانه‌های مؤثر سازه است و نهایتاً سبب کم شدن لنگر خمشی مثبت در سازه‌های طره‌ای می‌گردد، می‌توان به طریقی مشابه و با یکسره نمودن سازه نیز ایجاد نمود گرچه سازه‌های یکسره معمولاً "نامعین می‌باشند، تیردوسر گیردار شکل (۴-۸ الف) تحت اثر بار گستردگی یکنواخت نشان داده شده توسط خط چیزی  $ABCD$  خمش پیدا می‌کند. در نقاط  $B$  و  $C$  لنگر خمشی تغییر علامت داده و بدان جهت انحنای تیر خمیده (شده) نیز عوض می‌گردد، در چنان نقاطی که به نقاط عطف موسوم است لنگر خمشی صفر بوده ولذا نمودار لنگر برای تیر  $AD$  مانند تیری که در نقاط عطف دارای مفصل باشد در آن نقاط صفر می‌گردد. بدلیل مشکلات اجرایی در ایجاد انتهای گیردار در  $A$  و  $D$  برای سازه‌های با دهانه وسیع در عمل نوعی گیرداری نسبی که بعلت وجود

دهانه‌های اضافی کناری بوجود می‌آید مانند شکل (۵-۸ ب) به کار برده می‌شود. محل قرارگیری نقاط عطف (و " ) بستگی به نسبت دهانه  $a$  خواهد داشت. خرپای سرتاسری شکل (۵-۸ ج) دارای همان مزایای حاصل از یکسره‌بودن تیر سرتاسری (۵-۸ ب) می‌باشد. چون این خرپای سرتاسری دارای پنج عکس‌العمل مستقل است لذا دو درجه‌نامعین بوده و تحلیل آن بستگی به روشهایی خواهد داشت که خصوصیات ارجاعی این سازه را نیز در بر بگیرند.



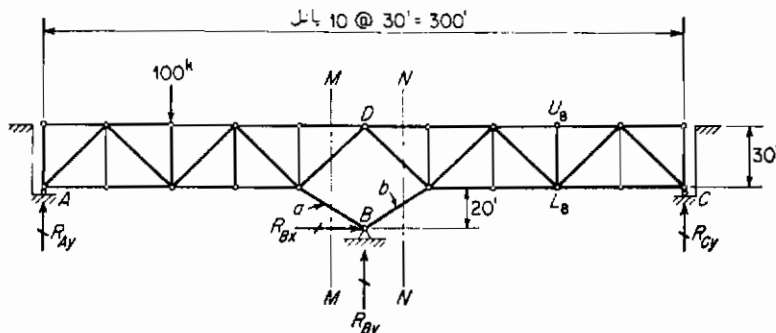
شکل ۵-۸ سازه‌های سرتاسری

البته می‌توان با حذف چند میله، یک خرپای سرتاسری معین ایجاد نمود، چنان عملی در خرپای ویچرت<sup>\*</sup> که توسط ایپی، ام، ویچرت Wichert اهل پیتسبرگ اختراط و به ثبت رسیده است با حذف اعضای عمودی خرپا در نقاط تکیه‌گاهی میانی ایجاد شده است. چنان سازه‌ای در شکل (۵-۶) نشان داده شده است. این سازه دارای ۱۰ میله و ۴ عکس‌العمل و بعبارت دیگر ۱۱ مجهول می‌باشد و همچنین دارای ۲۲ گره است، لذا ۱۱ معادله تعادل برای حل نیروهای داخلی و خارجی آن وجود خواهد داشت، دیده می‌شود که در این سازه

\* به کتاب زیر مراجعه شود:

D.B. Steinman "the Wichert turss" D.Van Nostrand Company. Inc., New York. 1932

تعداد مجهولات و معادلات موجود برای تحلیل آن برابر بوده ولذا علاً" معین است و فقط باید به میله‌های  $\sigma$  و  $\tau$  شیب داد چون در غیر این صورت این سازه از نظر هندسی ناپایدار خواهد شد. این چنین ناپایداری را می‌توان با دریافت نتایج ناسازگار از حل استاتیکی آن تحقیق نمود.



شکل ۸-۶ خرپای ویژرت

در مورد سازه شکل (۸-۶) که تحت اثر بارهای نشان داده شده است، اعمال  $\Sigma F_x = 0$  بر کل سازه نشان می‌دهد که در  $R_{Bz} = 0$  است، برای تعیین عکس‌العملهای عمودی می‌توان به شرح زیر عمل کرد: با لنگرگیری حول  $D$  از کلیه نیروهای مؤثر بر قسمت راست برش  $N-N$  و با فرض رو به بالا عمل نمودن عکس‌العملهای عمودی سازه داریم:

$$-R_{Cv}(5) + X_b(50) = 0 \quad X_b = +3R_{Cv}$$

$$Y_b = +\frac{2}{3}X_b = +2R_{Cv}$$

با لنگرگیری حول  $D$  از نیروهای واقع در چه برش  $M-M$  داریم:

$$+R_{Av}(5) - 100(3)(30) - X_a(50) = 0 \quad X_a = +3R_{Av} - 180$$

$$Y_a = +\frac{2}{3}X_a = +2R_{Av} - 120$$

با اعمال  $0 = \Sigma F_y$  در گره  $B$  داریم:

$$+R_{By} + 2R_{Cv} + 2R_{Av} - 120 = 0$$

از آنجا:

$$R_{By} = 120 - 2R_{Av} - 2R_{Cv}$$

و چون این عبارت بیان‌کننده مقدار عکس‌العمل میانی بحسب دو عکس‌العمل انتهایی می‌باشد

حال می‌توانیم عکس‌العملهای انتهایی را با اعمال  $\Sigma M = 0$  و  $\Sigma F_y = 0$  در مورد کل سازه محاسبه کنیم. برای  $\Sigma M_A = 0$  داریم:

$$+100(2)(30) - (120 - 2R_{Ay} - 2R_{Cy})(5)(30) - R_{Cy}(10)(30) = 0$$

و با اعمال  $\Sigma F_y = 0$  داریم:

$$R_{Ay} - 100 + (120 - 2R_{Ay} - 2R_{Cy}) + R_{Cy} = 0$$

با حل این دو معادله خواهیم داشت:

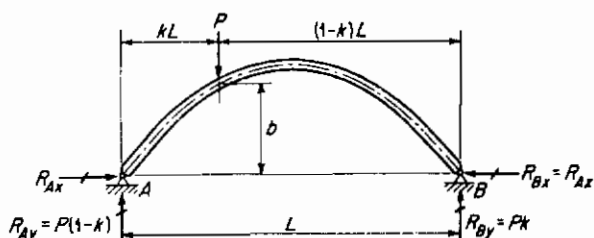
$$R_{Cy} = -20, \quad R_{Ay} = +40$$

$$R_{By} = 120 - 2(+40) - 2(-20) = +80$$

با معلوم شدن مقادیر عکس‌العملهای تحلیل نیروی میله‌ها مشکلی ایجاد نخواهد کرد و چون در حالی که باری واحد به هر یک از نقاط پانلی اثر کند می‌توان به طریق ذکر شده فوق تحلیل لازم را به عمل آورد لذا می‌توان خطوط تأثیر لازم را برای عکس‌العملهای و نیروی میله‌ها رسم نمود.

#### ۸-۶ قوسها - گلیات

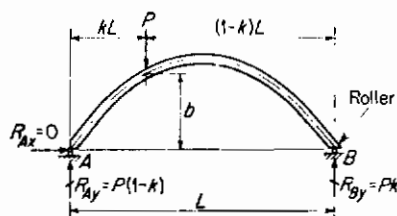
روش دیگری که برای کاهش لنگرهای حداکثر در سازه‌های با دهانه وسیع به کار برده می‌شود شامل انتخاب نوعی سازه برای دهانه فوق الذکر می‌باشد که بر اثر آن بارهای عمودی مؤثر تولید عکس‌العملهای افقی کند به طوری که لنگرهای حاصل از این عکس‌العملهای افقی در جهت کاهش لنگرهای حاصل از بارهای عمودی باشند. شکل ۲-۸ نشان‌دهنده یک قوس



شکل ۲-۸ قوس دو مفصل

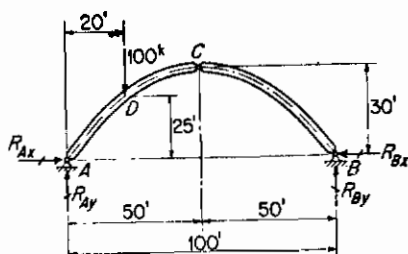
است که آن قوس سازه‌ای است که سبب ایجاد عکس‌العملهای رو به داخل افقی تحت اثر بارهای مؤثر عمودی می‌نماید. این قوس از نوع دو مفصل است. عکس‌العملهای عمودی این سازه را می‌توان با استفاده از روابط تعادل و با لنگرگیری حاصل یکی از مفصلهای انتهایی از کلیه نیروهای مؤثر بر قوس بدست آورد: اگر نیروی مؤثر خارجی  $P$  باشد عکس‌العملهای عمودی دارای مقادیر مذکور در شکل خواهد بود. رابطه بین عکس‌العملهای افقی  $R_{Bz}$  و  $R_{Az}$  را می‌توان با استفاده از روابط تعادل  $(\Sigma F_x = 0)$  بدست آورد ولی مقادیر واقعی این عکس‌العملها را فقط می‌توان براساس تحلیل ارجاعی معلوم نمود زیرا که با داشتن چهار عکس‌العمل مستقل این قوس دو مفصل، یک درجه نامعین خواهد بود.

اگر یکی از مفصلهای انتهایی را به غلتک تبدیل کیم، چنانچه در شکل (۸-۸) دیده می‌شود سازه ایجاد شده دیگر قوس نبوده بلکه تیری منحنی و معین می‌باشد و لنگر خمی در محل تأثیربار خارجی برابر با  $P(1 - k)L$  خواهد بود. در قوس دو مفصل شکل (۸-۷) این مقدار لنگر به میزانی برابر با  $R_{Ax,b}$  کاهش می‌یابد.



شکل ۸-۸ تیر منحنی

یک قوس را می‌توان با اضافه نمودن مفصل سومی در یکی از نقاط میانی آن نظیر تاج آن علاوه بر دو مفصل انتهایی آن به سازه‌ای معین تبدیل نمود، چنین سازه‌ای را در شکل (۹-۸) نشان داده‌ایم و به آن قوس سه مفصل گویند. این سازه دارای چهار عکس‌العمل مستقل است و برای کل سازه سه معادله می‌توان برقرار نمود و همچنین با لنگرگیری حول مفصل C از کلیه



شکل ۹-۸ قوس سه مفصل

نیروهای مؤثر به هریک از طرفین این مفصل یک معادله خاص سازه نیز می‌توان ایجاد کرد .  
بما این ترتیب با لنگرگیری از کلیه نیروهای مؤثر بر سازه حول نقطه A خواهیم داشت :

$$R_{By} = +100(2\%)_{100} = +20$$

و به همین ترتیب با لنگرگیری حول مفصل B ، خواهیم داشت ،

$$R_{Ay} = +100(8\%)_{100} = +80$$

و حال با لنگرگیری حول مفصل C از نیروهای مؤثر بر قسمتی از سازه که در طرف راست این مفصل واقع است داریم :

$$+R_{Bz}(30) - 20(50) = 0 \quad R_{Bz} = +33.3$$

با اعمال  $0 = \Sigma F_z$  بر کل سازه خواهیم داشت :  $R_{Az} = +33.3$   
مقدار لنگر در نقطه اثر بار خواهد شد :

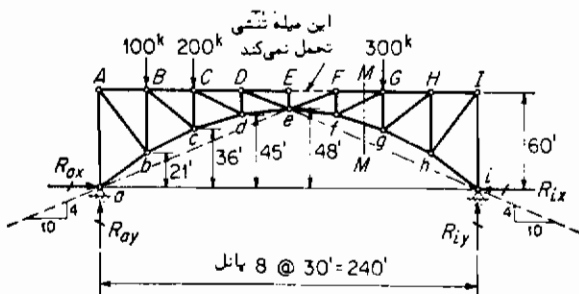
$$M_D = +80(20) - 33.3(25) = +767 \text{ kip-ft}$$

در مورد تیری ساده روی دو تکیه‌گاه انتهاهی که دارای همان دهانه و بارگذاری باشد ،  
لنگر در محل تأثیر بار برابر با  $+1,600 \text{ kip-ft} = +80(20)$  خواهد شد . با این  
ترتیب دیده می‌شود که اجرای قوسی آن مقدار لنگر را ۵۲ درصد تنظیل داده است . البته  
مقاطع قوس تحمل فشار نیز می‌نمایند که در تیر ساده با دو تکیه‌گاه انتهاهی وجود ندارد مثلاً  
فشار در تاج C قوس شکل (۹-۸) جائی که معاكس بر قوس افقی می‌باشد برابر با عکس العمل افقی  
یعنی برابر با مقدار  $-33.3 \text{ kips}$  - برای بار وارد می‌گردد . معمولاً "تحمل بار توسط تنشهای  
پکنواخت محوری نسبت به تحمل آن با تنشهای خمشی مقرن به صرفه است ، واضح است در  
صورتی که تنشهای محوری فشاری باشند می‌بایستی پایداری قطعه دربرابر کماش ارتجاعی  
تأمین گردد .

#### ۷-۸ تحلیل قوس خرپایی سه‌مفصل

دو نوار قوسی AC و BC از سازه شکل (۹-۸) را می‌توان با خرپاهای نشان داده شده شکل  
(۱۰-۸) جایگزین نمود ، چون در این سازه چهار عکس العمل وجود دارد لذا فقط به سبب  
مفصل در نقطه E ، این سازه نامعین است و چون میله EF که به صورت خط‌چین نشان داده

شده است در دو انتهای خود به نحوی اتصال یافته که نیروی محوری تحمل نمی‌کند لذا مفصل در e به صورت مؤثری عمل می‌نماید.



شکل ۱۰-۸ قوس خربزه‌ای سه مفصل

عكس العملهای این سازه را می‌توان به طریق زیر محاسبه نمود: با لنگرگیری حول a از کلیه نیروهای مؤثر بر سازه خواهیم داشت:

$$+100(30) + 200(2)(30) + 300(6)(30) - R_{ay}(8)(30) = 0 \\ R_{ay} = +287.5 \text{ kips}$$

با اعمال شرط  $\sum F_y = 0$  بر کلیه نیروهای مؤثر بر سازه داریم:

$$+R_{ax} - 100 - 200 - 300 + 287.5 = 0 \quad R_{ax} = +312.5 \text{ kips}$$

برای بدست آوردن  $R_{ay}$  معادله  $\sum M_a = 0$  را حول مفصل e با در نظر گرفتن نیروهای مؤثر بر قسمتی از سازه که بر قسمت راست این مفصل اثر می‌کنند اعمال می‌کیم:

$$+300(2)(30) + R_{ay}(18) - 287.5(4)(30) = 0 \quad R_{ay} = +344 \text{ kips}$$

با اعمال  $\sum F_x = 0$  بر کل سازه  $R_{ax}$  نیز برابر با  $+344 \text{ kips}$  بددست می‌آید: مقدار  $R_{ax}$  با می‌شود با اعمال لنگرگیری حول مفصل e از نیروهای واقع در سمت چپ این مفصل نیز بددست آورد.

$$+312.5(4)(30) - R_{ax}(48) - 100(3)(30) - 200(2)(30) = 0 \\ R_{ax} = +344 \text{ kips}$$

در محاسبه نیروی میله‌ها، اثر عکس العملهای افقی را نبایستی نادیده گرفت، به عنوان

مثال برای این کنیرو را در  $FG$  به دست  $T$  و یکی از نیروهای واقع در راست برش  $M-M$  حول آن لنگرگیری می‌نماییم.

$$+300(30) + 344(45) - 287.5(90) - F_{FG}(15) = 0 \quad F_{FG} = -93 \text{ kips}$$

اگر باری در حد فاصل بین مفصل مرکزی و یکی از نقاط انتهایی خربیا وجود نداشته باشد، عکس العمل برآیند در آن انتهای از خربیا می‌باشد و این انتهای چنان امتدادی داشته باشد که از مفصل مرکزی بگذرد زیرا لنگر حول مفصل مرکزی از نیروهای واقع در آن سمت مفصل می‌باشد و این انتهای چنان امتدادی داشته باشد که از خربیا می‌گذرد. اگر بار عمودی واحدی در هر سازه شکل (۱۵-۸) اثر کند برابر با صفر شود. به این ترتیب اگر بار عمودی واحدی در  $R_{..}$  در راستای خط چین رسم شده از آن  $R_{..} = +1$  می‌شود و چون عکس العمل برآیند در آن در راستای خط چین رسم شده از آن  $R_{..} = +1$  قرار می‌گیرد، به سرعت می‌توان نتیجه گرفت که:

$$R_{..} = +1_8(10_4) = +5\frac{1}{16}$$

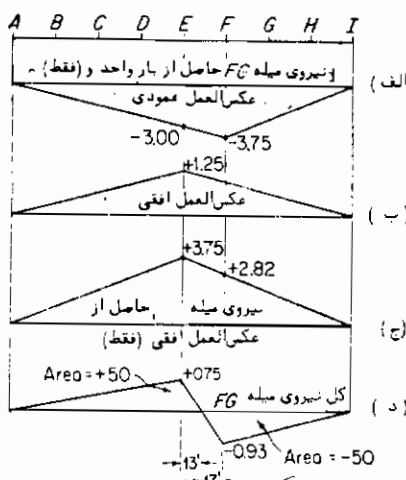
- این واقعیت اغلب سبب راحتتر شدن تحلیل قوس مخصوصاً در رسم خط تأثیر می‌گردد.
- اگر قوس سه مفصل شکل (۱۵-۸) تحت اثر بارهای یکسانی در کلیه نقاط پانلی فوقانی (و یا در کلیه نقاط پانلی تحتانی) قرار گیرد، شرایط تنшен زیر برقرار خواهد شد.
- ۱- نیرو در کلیه میله‌های اصلی فوقانی برابر با صفر خواهد شد.
  - ۲- نیرو در کلیه قطرهایها برابر با صفر خواهد شد.
  - ۳- نیرو در کلیه عمودیهای برابر با نیروی پانلی فوقانی خواهد شد.
  - ۴- مولفه افقی نیرو در هریک از میله‌های اصلی تحتانی مساوی بوده و هریک از آنها برابر با عکس العملهای افقی خواهد شد. واقعیت این مطلب را دانشجویان می‌توانند بررسی نمایند. چنین عملی بسیار مفید خواهد بود به عنوان مثال در محاسبه نیروی میله‌های حاصل از بار مرده گسترده یکنواخت کمک خواهد نمود. وجود چنین شرایطی بدليل آن است که کلیه نقاط پانلی تحتانی این سازه در روی یک سهی قرار دارند و اگر کمتر از اضلاع فونیکولری برای بارهای فوق الذکر را چنان رسم کنیم که این کمتر از اضلاع از سه مفصل قوس عبور کند، کمتر از اضلاع رسم شده بر وضعیت قرار گرفته میله‌های اصلی تحتانی منطبق خواهد شد.

#### ۸- خطوط تأثیر قوس خربیا سه مفصل

خطوط تأثیر یک قوس خربیا سه مفصل را می‌توان با قراردادن در موقعیت‌های مختلف

بار واحد رسم نمود ولی روشه مشابه روش زیرین اغلب مزیت پیدا می‌کند: می‌خواهیم خط تأثیری برای میله  $FG$  از سازه شکل (۱۰-۸) رسم کنیم. ابتدا خط تأثیری برای قسمتی از نیروی  $FG$  که مربوط به بار واحد و عکس‌العملهای عمودی می‌شود رسم می‌کنیم. چون این عکس‌العملهای دارای مقدار برابر با عکس‌العملهای تیرсадه‌ها دو تکیه‌گاه انتهایی می‌باشد لذا خط تأثیر برای این قسمت از نیرو، مثلثی خواهد بود که حداقل مقدار آن زمانی اتفاق می‌افتد که بار واحد مستقیماً بر مرکز لنگرگیری  $\mu$  وارد شود و در این صورت همان طوری که در شکل (۱۱-۸) الف) می‌بینیم عرض خط تأثیر برابر با  $3.75 = \frac{90}{25}$  خواهد شد.

سپس خط تأثیر برای  $R_{zz} = R_{zz}$  رسم خواهیم کرد، وقتی که بار واحد از  $A$  به  $E$  حرکت می‌کند،  $R_{zz}$  و برابر این  $R_{zz}$  (که برابر  $\frac{1}{2}R_{zz}$  می‌باشد) به طور خطی تغییر خواهد کرد. وقتی بار در  $E$  واقع شود  $R_{zz}$  برابر با  $+1.25 = +\frac{1}{2}(+1.25)$  خواهد شد. و خط تأثیر برای  $R_{zz}$  خط مستقیمی از مقدار صفر در  $A$  تا  $+1.25$  در  $E$  خواهد بود. با استدلال مشابهی به عکس‌العمل در  $a$  می‌بردازیم. خط تأثیر برای  $R_{aa} = R_{aa}$  خط مستقیمی خواهد بود که از  $+1.25$  در  $E$  تا صفر در  $I$  امتداد دارد. خط تأثیر اندازه این عکس‌العمل افقی را در شکل (۱۱-۸) ب) نشان داده‌ایم. نیرو در میله  $FG$  حاصل از عکس‌العملهای افقی برابر خواهد شد با  $+3R_{zz} = +3R_{zz} = +3(45_{15}) = +3(45_{15})$ . لذا خط تأثیر برای این قسمت از نیرو در میله  $FG$  مثلثی خواهد بود که رأس آن در  $E$  دارای مختصاتی برابر  $+3.75 = +3(+1.25)$  خواهد بود. این خط تأثیر را در شکل (۱۱-۸) ج) نشان داده‌ایم. حال میتوانیم خط تأثیر را برای کل نیرو در میله  $FG$  بالطباقي خطوط تأثیر شکل‌های (۱۱-۸) الف) و (۱۱-۸) ج) که منجر به خط تأثیر شکل (۱۱-۸) د) می‌گردد. به دست آوریم.



دیده می‌شود که سطح خالص زیر منحنی آنگونه که باید برابر با صفر است زیرا بار یکنواختی که برکل دهانه وارد می‌شود نیرویی در میله‌های اصلی فوقانی ایجاد نخواهد کرد.

شکل ۱۱-۸ خطوط تأثیر برای قوس شکل ۱۰-۸

### ۸-۹ قوسهای خربائی سه مفصل با اختلاف سطح تکیه‌گاهی

تکیه‌گاههای یک قوس خربائی سه مفصل ممکن است نظیر آنچه در شکل (۱۲-۸) دیده می‌شود در سطوح تراز مختلفی قرار داشته باشند، در این حالت عکس العملها عمودی قوس با آنچه در حالت معمولی یک خربا با دو تکیه‌گاه انتهایی می‌تواند داشته باشد متفاوت خواهد بود، زیرا وقتی حول یکی از نقاط تکیه‌گاهی لنگرگیری می‌کنیم، اثر عکس العمل افقی در تکیه‌گاه انتهایی دیگر در معادله لنگرگیری داخل می‌شود ولی در هر صورت مقادیر عکس العملها را می‌توان توسط معادلات تعادل به دست آوریم. با در نظر گرفتن شکل (۱۲-۸)

الف) و لنگرگیری حول  $a$  از کلیه نیروهای موثر بر سازه داریم:

$$+100(60) - R_{iz}(20) - R_{iy}(240) = 0$$

$$R_{iz} = +300 - 12R_{iy} \quad \text{ولذا:}$$

و حال می‌توانیم با لنگرگیری حول مفصل  $e$  از نیروهای مؤثر بر راست مفصل بنویسیم:

$$+R_{iz}(38) - R_{iy}(120) = 0 \\ R_{iy} = +\frac{38}{120}R_{iz} = +\frac{38}{120}(+300 - 12R_{iy})$$

وازانجا داریم:

$$R_{iz} = +300 - 12(19.8) = +62.5 \text{ kips} \quad R_{iy} = +19.8 \text{ kips}$$

در راه حل فوق حل دستگاه دو معادله دو مجهولی الزامی است ولی می‌توان با در نظر گرفتن جهت عکس العملها طبق شکل (۱۲-۸) از این عمل خودداری نمود، در این شکل راستای  $R'_{iz}$  طوری گرفته شده است که بر خط اتصال دو نقطه تکیه‌گاهی منطبق می‌باشد در این شکل  $R'_{iz}$  عکس العمل عمودی بوده که مقدار آن با مقدار  $R_{iy}$  متفاوت است زیرا که  $R'_{iz}$  نیز دارای یک مولفه عمودی می‌باشد، با لنگرگیری حول  $a$  داریم:

$$+100(60) - R'_{iy}(240) = 0 \quad R'_{iy} = +25.0$$

با لنگرگیری حول  $e$  و فرض این که  $R'_{iz}$  در نقطه  $e$  اتر کند:

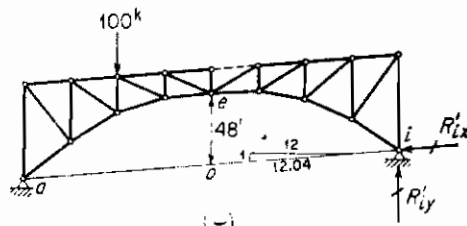
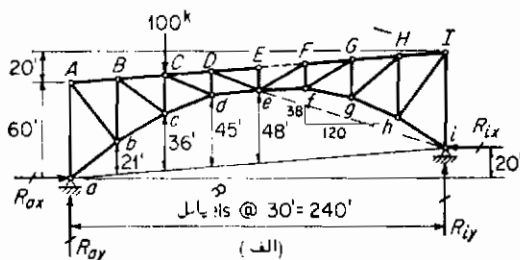
$$+\frac{12.00}{12.04}R'_{iz}(48) - 25.0(120) = 0$$

وازانجا  $R'_{ix} = +62.7 \text{ kips}$  خواهد شد. از این طریق عکس العمل واقعی افقی در زیر خواهد شد:

$$R_{ix} = +62.7 \left( \frac{12.00}{12.04} \right) = +62.5 \text{ kips}$$

و عکس العمل واقعی عمودی در زیر برابر خواهد شد با:

$$R_{iy} = +25.0 - \frac{1}{12.04} (62.7) = +19.8 \text{ kips}$$



شکل (۱۲-۸) اختلاف سطح تکیدگاهی

در حالت خاصی که باری بر قسمت راست مفصل  $e$  اثر نکند می‌توان نتیجه گرفت که عکس العمل برآیند در زیر از  $e$  بگذرد و ازانجا خواهیم داشت:

$$R_{ix} = 12.038 R_{iy} = +3.16 R_{iy}$$

سپس با لنگرگیری حول  $a$  نتیجه می‌شود که:

$$+100(60) - 3.16 R_{iy}(20) - R_{iy}(240) = 0$$

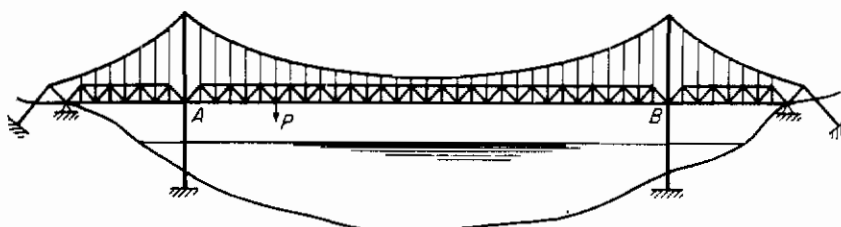
و بالاخره داریم:

وازانجا نتیجه خواهد شد.

$$R_{ix} = +3.16(+19.8) = +62.5 \text{ kips}$$

#### ۱۰ - پلهای معلق

روش مهندی که در تقلیل لنگرخمشی سازه‌های با دهانه وسیع به کار برده می‌شود عبارت از ایجاد تکیدگاه‌های فرعی در نقاط واقع در طول دهانه سازه به‌توسط کابل‌هایی نظیر آنچه در پلهای معلق وجود دارد می‌باشد. با توجه به‌شکل (۱۳-۸) یک پل معلق معولاً به‌نحوی نصب می‌شود که کلیه بار مرده آن به‌کابلها وارد شود. وقتی بار زنده بر پل وارد می‌شود به‌دلیل کشش موجود در کابل قسمت اعظم بار زنده به‌کابلها منتقل می‌شود. از این روش برای تقویتی ۱/۸ همچ لنگری که حاصل از بار مرده باشد تحمل نمی‌کند و لنگر حاصل از بار زنده آن تا حد قابل توجهی تقلیل یافته است. در سازه‌های با دهانه وسیع چنین عملکردی از اهمیت شایانی برخوردار است زیرا بیشتر بار توسط کابل کشی که نقشی بسیار مؤثر در باربری بارها دارد تحمل می‌شود.



شکل (۱۳-۸) پل معلق

پل معلقی نظیر شکل (۱۳-۸) جزو سازه‌های نامعین می‌باشد ولی با اجرای اتصالاتی خاص می‌توان آن را به صورت معین درآورد، تحلیل پلهای معلق معین در مبحث (۱۰-۱۵) مورد بررسی قرار گرفته است.

#### ۱۱ - مسائل

- ۱ - (الف) خط تأثیری برای عکس العمل عمودی A از سازه شکل (۲-۸) رسم کنید  $L/2 = a$  بگیرید.

(ب) اگر عکس العمل حداکثر حاصل از بار یکنواخت زنده بهشدت  $1,000 \text{ lb}/\text{ft}$  با عکس العمل حداکثر حاصل در  $A$  در حالتی که  $EA = AD$  را تیرهای ساده با دو تکیه‌گاه انتهاهی در نظر بگیریم نتیجه چه خواهد بود.

جواب :

(الف) خط تأثیر بصورت خطی از ۰.۰ در  $E$  تا  $+1.33$  در  $B$  و تا ۰.۰ در  $C$  تغییر می‌کند.

(ب) عکس العمل در حالت طرهای برابر با  $R_1 = 888.8L$  می‌شود و عکس العمل در حالت تیر ساده برابر با  $R_2 = 750.0L$  می‌شود که  $R_1/R_2 = 1.185$  خواهد بود.

۲-۲ با در نظر گرفتن پل طرهای شکل (۳-۸) خط تأثیری برای (الف) نیرو در  $A$  ویز  $bc$  (ب) عکس العمل عمودی در  $A$ ، (ج) نیروی میله در میله اصلی  $de$  رسم کنید (د) حداکثر نیرو را در میله  $de$  تحت اثر بارگذاریهای زیرین محاسبه کنید: بار مرده برابر با  $2,000 \text{ lb}/\text{ft}$  بار زنده یکنواختی برابر  $1,000 \text{ lb}/\text{ft}$  باز زنده متوزع کمتری برابر با  $10,000 \text{ lb}$ .

جواب :

(الف) خط تأثیر به طور خطی از ۰.۰ واقع در وسط  $A$  و  $B$  تا ۱.۰ در  $A$  و از آنجا تا ۰.۰ در  $C$  رسم می‌شود.

(ب) خط تأثیر به طور خطی از ۰.۰ در  $A$  تا ۱.۵ در  $A$  و از آنجا تا ۰.۰ در  $C$  رسم می‌شود.

(ج) خط تأثیر به طور خطی از ۰.۰ در  $A$  تا ۱.۸ در  $A$  و از آنجا تا ۰.۰ در  $C$  رسم می‌شود  
(د)  $747,000 \text{ lb}$

۳-۳ کلیه نیروها را در میله‌های خرپای ویژرت شکل (۶-۸) را تحت اثر باری برابر با  $100 \text{ kips}$  در  $D$  وارد می‌شود محاسبه کنید.

۴-۴ برای عکس العمل در  $A$  از خرپای ویژرت شکل (۶-۸) خط تأثیر رسم کنید.

جواب :

خط تأثیر به طور خطی از ۰.۰ در  $A$  تا ۱.۰ در  $B$  و از آنجا تا ۰.۰ در  $C$  رسم می‌شود.

۵-۵ یک خرپای سدابه ویژرت را که هر طرف آن مشابه طرف سمت چپ شکل (۶-۸) می‌باشد در نظر بگیرید در صورتی که محور تقارنی از  $w \text{ lb}/\text{ft}$  رسم شود با این تفاوت که تکیه‌گاه قرینه را می‌باشند تکیه‌گاهی غلتکی گرفت کلیه عکس العملهای این سازه را هرگاه تحت اثر بار یکنواختی بهشدت  $w \text{ lb}/\text{ft}$  در کل دهانه سازه و بر نقاط پانلی فوقانی آن قرار گیرد محاسبه کنید.

۶-۶ برش و نیروی محوری در نقطه  $D$  از سازه شکل (۹-۸) را تحت اثر بار وارد محاسبه کنید فرض کنید که شبیه قوس در  $D$  برابر با  $30^\circ$  با افق باشد.

۸- ۷ کلیه نیروی میله را در همه اعضای قوس سه‌مفصل شکل (۱۵-۸) تحت اثر بار پکتواختی بنشست  $1,000 \text{ lb/ft}$  که بر کل دهانه سازه اثر می‌کند محاسبه کنید. بارهای پانلی بر نقاط پانلی فوقانی وارد می‌شوند.

۸- ۸ خط تأثیری برای نیرو در میله  $c$  از سازه شکل (۱۵-۸) رسم کنید.

جواب :

خط تأثیر به صورت خطی از  $0.0$  در  $a$  تا  $+0.215$  در  $b$  و از آنجا تا  $-1.72$  در  $e$  و از آنجا تا  $0.0$  در  $f$  رسم می‌شود.

۸- ۹ مقدار حداقل نیرو در میله  $Bc$  از سازه به شکل (۱۵-۸) تحت اثر بارهای زیرین چه خواهد بود: بار مرده‌ای برابر با  $1,000 \text{ lb/ft}$ ، بار زنده پکتواختی برابر با  $500 \text{ lb/ft}$  با متعمکر زنده‌ای برابر با  $5,000 \text{ lb}$ .

۸- ۱۰ مساله (۸-۸) را با در نظر گرفته (۱۲-۸) الف) رسم کنید.

جواب :

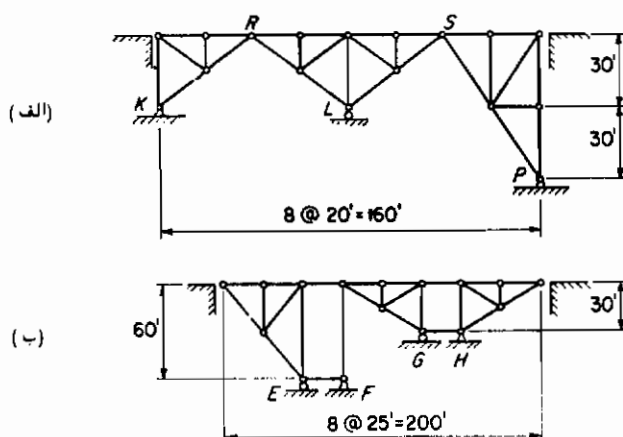
خط تأثیر به طور خطی از  $0.0$  در  $a$  تا  $+0.220$  در  $b$  و از آنجا تا  $-1.761$  در  $e$  و از آنجا تا  $0.0$  در  $f$  رسم می‌شود.

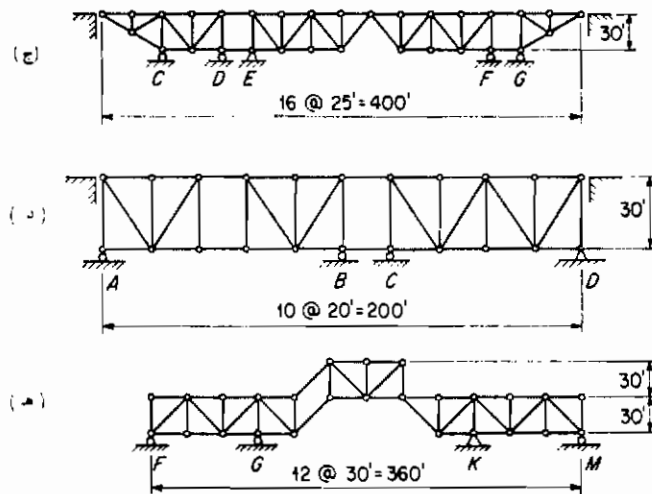
۸- ۱۱ مساله (۹-۸) را با در نظر گرفتن شکل (۱۲-۸) الف) رسم کنید.

جواب :

$$Bc = +19,110 \text{ lb}, -18,930 \text{ lb}$$

۸- ۱۲ خطوط تأثیر عکس العمل را برای هر یک از سازه‌های شکل (۱۴-۸) رسم کنید.





شکل (۱۴-۸) مساله (۱۲-۸)

## ۹

### شبکه‌های سه بعدی

۹ – ۱ مقدمه

گرچه اغلب سازه‌های مهندسی سه بعدی هستند ولی می‌توان سازه‌های سه بعدی را نیز به چندین سازه مستوی تجزیه نموده و هر یک از آنها را تحت اثر بارهای مؤثر در صفحه سازه مورد تحلیل قرار داد . به عنوان مثال خرپای یک پل زیرگذر را که دارای میله‌های اصلی فوکانی و تحتانی موازی باشد در نظر بگیرید یک چنین سازه‌ای سه بعدی بوده و آن را می‌توان به شش سازه مستوی تجزیه نمود . این سازه‌ها عبارتندار دو خرپای اصلی عمودی ، سیستم مهاربندی فوکانی ، سیستم مهاربندی تحتانی و دو پرتال انتهایی . اغلب برخی از قطعات این سازه را می‌بایستی عضو بیش از یکی از سازه‌های مستوی دانست به عنوان مثال میله اصلی تحتانی خرپای عمودی ، میله اصلی سیستم مهاربندی تحتانی نیز می‌باشد . چنین حالتی هیچ نوع مشکلی در محاسبات بوجود نمی‌آورد زیرا می‌توان مقدار تنفس را در یک چنین عضوی بتناسب این که در کدام سازه واقع است محاسبه نموده و سپس تنفس کل را با رویه‌گذاری چند تنفس محاسباتی در آن قطعه محاسبه نمود . در برخی از سازه‌های سه بعدی بین تنشهای موجود در قطعات مختلفی که در یک صفحه قرار گرفته‌اند روابط بخصوصی موجود است . بدینه است که در یک چنین حالتی آن سازه را نمی‌توان به روش تجزیه به چندین سازه مستوی تحلیل نمود ، در یک چنین سازه‌ای تحلیل بخصوص سه بعدی آن مورد لزوم خواهد بود .

اگر بخواهیم چند سازه از این نوع را مثال بزنیم می‌توان به برجها ، آنتنهای مهارشده دکلهای ، شبکه‌بندی طاقها و شبکه‌بندی بدنه هواپیما اشاره نمود . این چنین سازه‌هایی ممکن است معین و یا نامعین باشند . در این فصل به بررسی سازه‌های سه بعدی معین می‌پردازیم بدینه است که از روش‌های تحلیل سازه‌های نامعین که در بخش‌های دیگر این کتاب صحبت شده است می‌توان در تحلیل سازه‌های سه بعدی نامعین نیز استفاده نمود .

در این بخش از تحلیل سازه‌های سبعدی از سه محور مختصات استفاده می‌شود از  $OX$  و  $OY$  به همان ترتیبی که در سازه‌های مستوی تعریف شد یعنی  $OX$  افقی و  $OY$  عمودی استفاده می‌گردد و  $OZ$  افقی و عمود بر صفحه  $XOY$  در نظر گرفته می‌شود.

باید یاد آور شویم که اصول پایه تحلیل سازه‌های سبعدی همان اصول پایه سازه‌های مستوی می‌باشد. هریک از معادلات تعادل را می‌توان در مورد کل سازه یا به هریک قسمت از سازه به کاربرد، البته تعداد معادلات تعادل در این حالت بیشتر است زیرا نیروها را می‌توان در تعداد محورهای جدیدی برآورد نمود. همچنین لنگرگیری را می‌توان حول دو محور جدید دیگر نیز انجام داد.

## ۹ - ۲ شرط تعادل

"معمولًا" فرض می‌شود که قطعات یک شبکه سبعدی به‌نوعی به‌پذیرگر مفصل شده‌اند که قطعات فقط قادر به تحمل بارهای محوری باشند و لذا فقط یک مولفه مستقل نیروی میله برای هر عضو از شبکه وجود خواهد داشت.

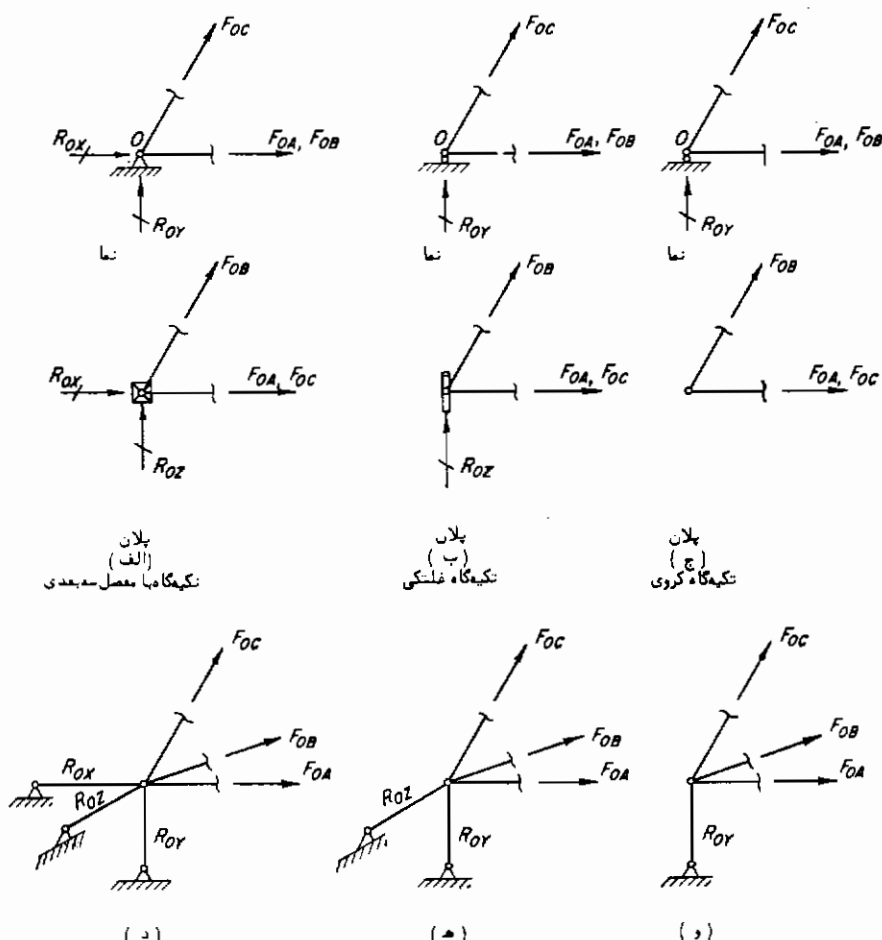
چنین گره مفصلی را در روی نمودار خطی شبکه‌های فضایی با یک‌دایره کوچک توخالی نشان خواهیم داد.

البته هر عضوی دارای سه مولفه نیروی میله که به ترتیب به موازات هریک از سه محور مختصات می‌باشند، خواهد بود که روابط موجود بین این سه مولفه را می‌توان از تصویر عضو مورد نظر به دست آورد.

در نقطه تکیه‌گاهی شبکه فضایی امکان وجود سه مولفه مستقل نیروی عکس العمل موجود است ولی امکان این نیز وجود دارد که سازه را در یک نقطه تکیه‌گاهی به‌نوعی طرح نمود که یک و یا بیش از یک مولفه عکس العمل برابر با صفر گردد. در شکل (۱۱-۹ الف) مفصل تکیه‌گاهی که یک مفصل سبعدی است می‌تواند سه مولفه مستقل عکس العمل  $R_{xz}$ ،  $R_{yy}$  و  $R_{xy}$  را داشته باشد. فرض کنید که این مفصل را با یک غلتک مانند شکل (۱-۹ ب) جایگزین

کرده باشیم، در این صورت چون یک چنین غلتکی در برابر انتقال افقی در راستای  $Z$  مقاومت خواهد کرد لذا عکس العملهای  $R_{yy}$  و  $R_{xy}$  دارای مقدار بوده ولی مقدار  $R_{xz}$  برابر با صفر خواهد شد اگر این غلتک را با یک گوی کروی جایگزین کنیم دیگر عکس العمل افقی وجود نداشته و فقط عکس العمل عمودی  $R_{yy}$  وجود خواهد داشت، چنین حالتی در شکل (۱-۹ ج) نشان داده شده است. برخی اوقات بهتر است که این سه نوع تکیه‌گاه را با مقدار معادل بند آنها نشان دهیم، به عنوان مثال تکیه‌گاه مفصلی سبعدی را می‌توان

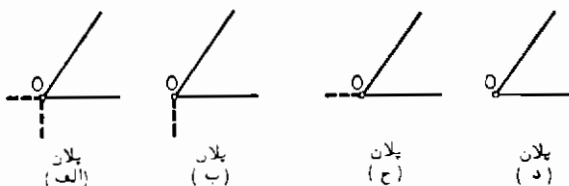
همان طوری که در شکل (۱-۹ الف) نشان داده شده است با سه بند متقاطع که در یک صفحه واقع نشده باشند نظریه آنچه در شکل (۱-۹ د) به طور ایزو متريک نشان داده شده نمایش داد و تکيه‌گاه غلتکی شکل (۱-۹ ب) را با دو بند متقاطع واقع در صفحه  $OYZ$  نظریه آنچه در شکل (۱-۹ ه) نشان داده شده و تکيه‌گاه کروی شکل (۱-۹ ج) را با یک بند در راستای  $OY$  نظریه آنچه در شکل (۱-۹ و) نشان داده شده است نمایش داد.



شکل (۱-۹) انواع تکيه‌گاه‌های شبکه فضائي

برای اين که بتوان اين سه نوع تکيه‌گاه را در پلان نمایش داد، از خط چهار ضخیم در راستای عکس العملهایی که دارای مولفه‌افقی می‌باشد استفاده خواهد شد. چنین قراردادی در شکل (۲-۹) نمایش داده است در این شکل (الف) نشان دهنده تکيه‌گاه مفصلی است که

دارای دو عکس العمل افقی در راستای  $\alpha$  و  $\beta$  می‌باشد (ب) نشان دهنده تکیه‌گاه غلتکی است که در آن غلتک بمنوعی قرار گرفته است که دارای عکس العمل افقی در راستای  $\gamma$  می‌باشد، (ج) نشان دهنده تکیه‌گاه غلتکی است که در آن غلتک بمنوعی قرار گرفته است که دارای عکس العمل افقی در راستای  $X$  می‌باشد و بالاخره (د) نشان دهنده تکیه‌گاه کروی است که در آن عکس العمل افقی وجود ندارد.



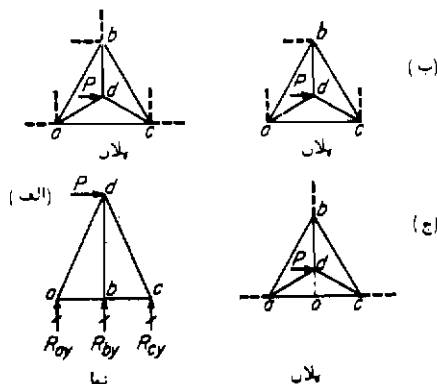
شکل (۲-۹) وضعیت‌های مختلف مولفه‌های افقی عکس العمل

به این ترتیب تعداد کل عناصر مجہول تحلیل تنیش که در تحلیل شبکه‌های سه بعدی وجود دارد عبارت خواهد بود از تعداد میله‌ها با اضافه تعداد مولفه‌های مستقل عکس العمل (یا بند) که تعداد این مولفه‌ها در هر تکیه‌گاه نسبت بمنوع ساختی که برای نقطه تکیه‌گاهی در نظر گرفته می‌شود می‌تواند یک، دو و یا سه باشد.

در مورد یک شبکه سه بعدی می‌توان شش معادله مستقل تعادل جهت بررسی تعادل بین بارهای خارجی مؤثربر سازه و عکس العمل های سازه برقرار نمود. اگر  $OY$  و  $OZ$  سه محور مختصات باشند این شش معادله عبارت خواهند بود از  $\Sigma F_x = 0$ ،  $\Sigma F_y = 0$ ،  $\Sigma F_z = 0$ ،  $\Sigma M_x = 0$ ،  $\Sigma M_y = 0$  و  $\Sigma M_z = 0$ . در این روابط نشان دهنده جمع لنگر حاصل از کلیه نیروهای مؤثر بر سازه حول محور  $OX$  خواهد بود و ....  
بنابراین می‌توان نتیجه گرفت که شرط لازم (که البته گافی نمی‌باشد) برای محاسبات تعادل یک شبکه سه بعدی با در نظر گرفتن نیروهای مؤثر خارجی آن این است که تعداد کل مولفه‌های مستقل عکس العمل آن برابر با شش باشد.

حال اگر هم نیروهای داخلی و هم نیروهای خارجی را در نظر بگیریم برای هر گره می‌توان سه معادله مستقل تعادل برقرار نمود، که این معادلات عبارتند از  $\Sigma F_x = 0$ ،  $\Sigma F_y = 0$  و  $\Sigma F_z = 0$ . معادلات تعادل کل سازه معادلات مستقلی (خارج از این معادلات) نمی‌باشند. بنابراین می‌توان نتیجه گرفت که شرط لازم (اما ناگافی) برای محاسبات ایستایی یک شبکه سه بعدی با در نظر گرفتن هردو نیروی داخلی و خارجی آن این است که جمع تعداد کل میله‌ها و تعداد کل مولفه‌های مستقل عکس العمل آن سه برابر تعداد گرهها باشد.

کاربرد این اصول را می‌توان با بررسی شکل (۳-۹ الف) شرح داد. اگر در وله اول فقط نیروهای خارجی را در نظر بگیریم در صورتی که عکس‌العملهای افقی مطابق تصویرافقی شکل آرایش یافته باشد در این صورت کلا<sup>۹</sup> مولفه مستقل عکس‌العمل وجود داشته ولذا این سازه برابر با (سه درجه) =  $\Sigma M_c$  نامعین خواهد بود. اگر بجای مفصلها غلتک‌های رار گیرید در این صورت عکس‌العملها افقی مطابق شکل (۳-۹ ج) عمل نموده و تعداد عکس‌العملهای مستقل این سازه به شش رسیده و این سازه معین خواهد شد. اگر فرض شود که غلتک‌ها به‌نوعی قرار گرفته باشند که عکس‌العملهای افقی دارای راستا‌هایی مطابق شکل (۳-۹ ج) باشند گرچه از نظر شمارش این سازه معین می‌باشد ولی نسبت به‌عده بارهای خارجی حالت ناپایدارخواهد



شکل (۳-۹) آرایش پایدار عکس‌العملها

داشت. به عنوان مثال عکس‌العمل  $Z$  در  $b$  برحسب این که با استفاده از  $0 = \Sigma M_c$  که نسبت به‌کل سازه اعمال شود (که در این حالت تعداد آن برابر با صفر خواهد شد) و یا این که با استفاده از معادله  $0 = \Sigma M_c$  حول محور عمودی ماراز<sup>۱۰</sup> محاسبه گردد (که در این حالت دارای مقداری خواهد شد). دارای دو مقدارخواهد بود. این نشان می‌دهد که گرچه شمارش یک شرط لازم برای معین بودن سازه می‌باشد ولی یک ضابطه کافی نمی‌باشد. اگر قرار است یک سازه سبعده پایدار باشد باید که عکس‌العملهای به‌نوعی قرار گرفته باشند که در مقابل انتقال در راستای هریک از سه محور و در مقابل دوران حول هریک از آنها مقاومت نمایند. چون کلیه عکس‌العملهای شکل (۳-۹ ج) از نقطه  $0$  می‌گذرند لذا قادر نخواهند بود که در مقابل دوران حول محور مار از این نقطه مقاومت ننمایند.

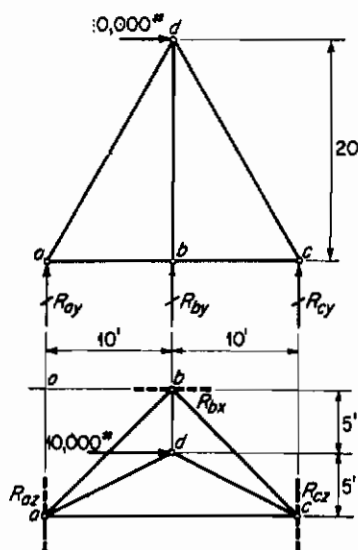
حال به بررسی هردو نیروی داخلی و خارجی شکل (۳-۹ الف) می‌پردازیم، در این حالت ۱۵ مجھول مستقل (عنی نیروی میله و مولفه عکس‌العمل) وجود دارد. چون ۴ گره

وجود دارد لذا  $12 \times 3 = 36$  معادله مستقل تعادل وجود خواهد داشت ، معلوم می‌شود که این سازه (سه درجه) ناتامیعین می‌باشد . اگر عکس‌العملها نظریه آنچه در شکل (۴-۹) را ایش بافته باشند فقط ۱۲ مجهول مستقل وجود خواهد داشت (عنیری میله و عکس‌العمل) و چون باز هم ۱۲ معادله مستقل تعادل موجود است لذا این سازه نسبت به نیروهای داخلی و خارجی معین خواهد بود .

### ۴ - ۳ محاسبه عکس‌العملها

هرگاه یک شبکه سبعدهی نسبت به نیروهای مؤثر خارجی بر آن معین باشد و اگر فقط روی سه نقطه دارای تکیه‌گاه باشد مقادیر عکس‌العملهای آن را می‌توان با اعمال معادلات تعادل بر کل سازه به عنوان یک جسم محاسبه نمود و اگر بر روی بیش از سه نقطه تکیه‌گاهی قرار گرفته باشد معمولاً "لازم است که نیروی چند میله و یا نیروی کل میله‌ها را قبلاً" محاسبه کنیم تا بتوانیم به تعیین عکس‌العملها بپردازیم . در این بحث به محاسبه عکس‌العملهای سازه‌هایی خواهیم پرداخت که محاسبه مستقیم عکس‌العملها ممکن باشد .

در شکل (۴-۹) عکس‌العملهای عمودی را می‌توان مستقلاً" محاسبه نمود . به این صورت که اگر حول محوری که از دو تکیه‌گاه می‌گذرد از کلیه نیروهای مؤثر بر سازه لنگرگیری نمائیم



شکل (۴-۹) محاسبه عکس‌العملها

مقدار عکس العمل عمودی تکیه‌گاه سوم به عنوان تنها مجهول این معادله خواهد بود و همچنین با اعمال معادله  $\Sigma M_z = 0$  حول محور  $ac$ ،  $R_{by} = 0$  تنها نیروی خارجی دارای لنگر خواهد بود لذا مقدار  $R_{by} = 0$  خواهد شد با لنگرگیری حول خط اثر  $R_{ay} = 0$  توسط  $\Sigma M_y$  خواهیم داشت.

$$+10,000(20) - R_{cy}(20) = 0$$

از این معادله  $R_{cy} = +10,000 \text{ lb}$  خواهد شد، با اعمال  $\Sigma F_y = 0$  بر کل سازه داریم.

$$R_{ay} + 10,000 = 0$$

از این معادله  $R_{ay} = -10,000 \text{ lb}$  می‌گردد.

برای محاسبه عکس‌العمل‌های افقی اگر با استفاده از معادله  $\Sigma M_y = 0$  حول هر محور عمودی مار بر مرکز تقاطع خطوط اثر دو عکس‌العمل افقی لنگرگیری نمائیم، سومین عکس‌العمل افقی موجود تنها مجهول معادله خواهد بود. به عنوان مثال اگر حول محور عمودی مار بر نقطه  $a$  لنگرگیری کنیم و فرض نمائیم که  $R_{as} = 0$  رو به سمت پشت سازه باشد داریم

$$-10,000(5) - R_{as}(20) = 0 \quad \therefore R_{as} = -2,500 \text{ lb}$$

حال اگر معادله  $\Sigma F_y = 0$  را بر کل سازه اعمال کنیم و فرض نمائیم که  $R_{ay} = 0$  رو به سمت پشت سازه عمل کند خواهیم داشت:

$$R_{ay} - 2,500 = 0 \quad R_{ay} = +2,500 \text{ lb}$$

و بالاخره با اعمال  $\Sigma F_z = 0$  بر کل سازه و با فرض اینکه  $R_{bz} = 0$  رو به سمت چپ عمل کند خواهیم داشت:

$$+10,000 - R_{bx} = 0 \quad R_{bx} = +10,000 \text{ lb}$$

همان‌طوری که در سازه‌های مستوی ذکر گردید هر یکی از معادلات تعادل را می‌توان بانظم و طرق مختلفی که نسبت به ابتکار محاسب متفاوت می‌باشد به کار برد.

#### ۹ - ۴ محاسبه نیروی میله‌ها

یک میله از شبکه سه بعدی می‌تواند دارای سه تصویر روی سه محور مختصات باشد، این

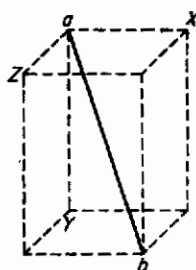
مطلوب را در شکل (۵-۹) شرح داده‌ایم. در این شکل میله  $ab$  دارای تصاویر  $ax$ ،  $ay$ ،  $az$  بوده‌ترتیب در راستای محورهای  $OX$ ،  $OY$  و  $OZ$  می‌باشد. بر حسب طول این تصاویر طول میله  $ab$  به صورت زیر محاسبه خواهد شد.

$$ab = [(ax)^2 + (ay)^2 + (az)^2]^{1/2}$$

چون نیروی  $F_{ab}$  محوری است، مولفه‌های  $F_{ab}$  به موازات محورهای مختصات به صورت زیر خواهند بود.

$$X_{ab} = F_{ab} \frac{ax}{ab} \quad Y_{ab} = F_{ab} \frac{ay}{ab} \quad Z_{ab} = F_{ab} \frac{az}{ab}$$

از ترکیب این روابط به سادگی می‌توان مقدار هر تصویر میله را بر حسب مقدار سایر تصاویر  $T$  نمود. به عنوان مثال  $X_{ab} = Y_{ab}(ax/ay)$  ... در هر گرهی که میله‌های مختوم باشند گره در یک صفحه واقع نشده باشند برای محاسبه نیروی میله‌ها سه معادله تعادل می‌توان برقرار نمود و لذا اگر باشند گره بیش از سه میله با



شکل (۵-۹) تصویر یک میله

نیروی مجهول ختم نشده باشد در یک چنین گرهی آن نیروهای میله‌را می‌توان محاسبه نمود. این روش کلی بسط روش گره‌ها به صورت سه بعدی می‌باشد با اعمال آن بر گره  $d$  از سازه شکل (۴-۹) شرح داده شده است. ابتدا باید جدول ابعاد زیر را تهیه نمود:

با فرض کششی بودن کلیه میله‌ها در گره  $d$  معادلات زیر برقرار خواهد بود.

$$\begin{aligned} \sum F_x &= 0 & +10,000 - X_{ad} + X_{cd} &= 0 \\ \sum F_y &= 0 & - Y_{ad} - Y_{bd} - Y_{cd} &= 0 \\ \sum F_z &= 0 & +Z_{ad} - Z_{bd} + Z_{cd} &= 0 \end{aligned}$$

قطعه	طول	تصاویر		
		X	Y	Z
ad	22.9	10	20	5
bd	20.6	0	20	5
cd	22.9	10	20	5
ab	14.14	10	0	10
bc	14.14	10	0	10
ac	20.0	20	0	0

نه مولفه نیروی میله که در این سه معادله ذکر شده است بحسب سه نیروی میله  $F_{bd}$ ،  $F_{ad}$  و  $F_{cd}$  به صورت زیر قابل بیان است.

$$\begin{aligned} +10,000 - \frac{10}{22.9} F_{ad} + \frac{10}{22.9} F_{cd} &= 0 \\ - \frac{20}{22.9} F_{ad} - \frac{20}{20.6} F_{bd} - \frac{20}{22.9} F_{cd} &= 0 \\ + \frac{5}{22.9} F_{ad} - \frac{5}{20.6} F_{bd} + \frac{5}{22.9} F_{cd} &= 0 \end{aligned}$$

حل دستگاه سه معادله سه مجهولی فوق منجر به پاسخهای زیرین می‌گردد.

$$F_{ad} = +11,450 \text{ lb} \quad F_{bd} = 0 \quad F_{cd} = -11,450 \text{ lb}$$

در این سازه بخصوص ابتدا می‌توان عکس العملهای عمودی را چنانچه دریخش (۳-۹) نشان داده شده است محاسبه نمود و نیروی میله‌های  $ad$ ،  $ad$ ،  $bd$  و  $cd$  را می‌توان به سادگی با استفاده از این واقعیت محاسبه نمود. به عنوان مثال در گره  $a$  عکس العمل عمودی رو به سمت پائین و برابر با  $10,000 \text{ lb}$  خواهد بود. با عمال  $\Sigma F_y = 0$  در گره  $a$  داریم.

$$-10,000 + Y_{ad} = 0 \quad Y_{ad} = +10,000$$

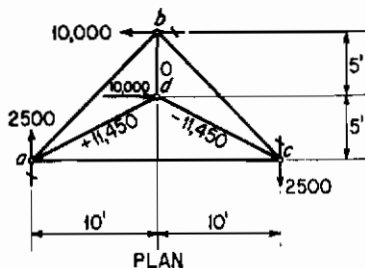
$$F_{ad} = +10,000 \left( \frac{22.9}{20.0} \right) = +11,450^*$$

\* بدینهی است که این رابطه را می‌توان مستقیماً به صورت زیر نوشت:

$$-10,000 + \frac{20.0}{22.9} F_{ad} = 0 \quad F_{ad} = +11,450$$

به همین ترتیب می‌توان  $F_{bd}$  و  $F_{bc}$  را بمسادگی با اعمال  $\Sigma F_y = 0$  به ترتیب برگرهای  $b$  و  $c$  بدست آورد ، در حالت کلی این روش براساس برقرار نمودن دستگاه معادله سه مجهولی در گره  $d$  استوار است زیرا در سازه‌های پیچیده سه بعدی این تنها روش قابل اجرا خواهد بود . تحلیل میله‌های اتصال نقاط تکیه‌گاهی (شکل ۹-۶) را می‌توان با استفاده از مقادیر معلوم شده عکس‌العملهای افقی بر طبق محاسبات بخش (۳-۹) انجام داد .

مقادیر این عکس‌العملها را در شکل (۹-۶) نشان داده‌ایم . برای شرح مطلب گره  $a$



شکل (۹-۶) محاسبه نیروی میله‌ها به روش گرهها

را با برقرار نمودن معادله  $\Sigma F_y = 0$  مورد بررسی قرار می‌دهیم با ذکر این که  $Z_{ad} = +11,450(5/22.9)$  می‌باشد داریم .

$$+2,500 + 11,450 \left( \frac{5}{22.9} \right) + F_{ab} \left( \frac{10}{14.14} \right) = 0 \quad F_{ab} = -7,070 \text{ lb}$$

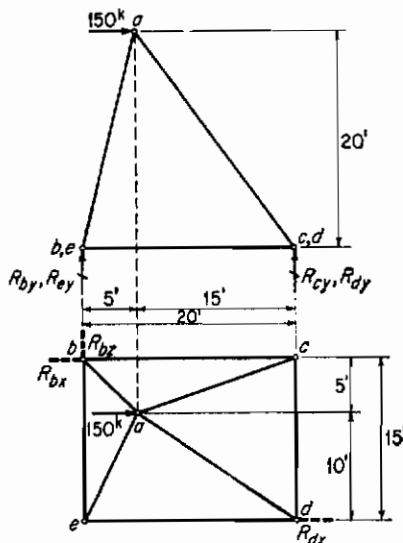
به همین ترتیب می‌توان نیروی میله  $ac$  را با اعمال  $\Sigma F_y = 0$  در گره  $a$  محاسبه نمود و مقدار  $F_{ac}$  را با اعمال  $\Sigma F_x = 0$  در گره  $c$  بدست آورد \*

۹-۵ حالتی که محاسبه عکس‌العملها بدون محاسبه نیروی میله‌ها ممکن نیست .

سازه شکل (۷-۹) از نظر داخلی و خارجی معین است و چون فقط سه عکس‌العمل افقی موجود است آنها را می‌توان فقط با در نظر گرفتن نیروهای خارجی محاسبه نمود ولی عکس

\* دانشجویان می‌بایستی بدانند که این مثال فقط جهت شرح اهمیت روش کلی آورده شده است . تحلیل این گره را می‌توان با حد قابل ملاحظه‌ای با به کار بردن قضیه (الف) از بند (۶-۹) تسهیل نمود .

العملهای عمودی را نمی‌توان بدون در نظر گرفتن نیروی میله‌ها محاسبه کرد . اگر بتوانیم نیروها را در  $a b$  ،  $a c$  و  $a e$  محاسبه کنیم سپس قادرخواهیم بود عکس العملهای عمودی را با در نظر گرفتن مولفه‌های عمودی این نیروی میله‌ها محاسبه کنیم .



شکل (۷-۹) مثال مشروح

چون در گره  $a$  چهار نیروی میله مجهول وجود دارد و فقط می‌توانیم سه معادله تعادل در آن گره برقرار کنیم لذا محاسبه مستقیم این چهار نیروی میله ممکن نخواهد بود . البته می‌توان فقط با استفاده از تعادل به تحلیل این سازه پرداخت زیرا در پنج گره می‌توانیم پانزده معادله مستقل تعادل برقرار کنیم و از طرف دیگر فقط پانزده نیروی مجهول مستقل نیز وجود دارد (۸ میله ، ۴ عکس العمل عمودی و ۳ عکس العمل افقی) برای این سازه معادلات تعادل همگنی با یکدیگر مرتبط می‌باشند ولذا با استفاده از این مطلب می‌توان جهت تسهیل در محاسبات یکی از نیروهای میله‌ها را موقتاً "مجهول فرض" کرد و سایر نیروی میله‌ها و عکس العمل‌های را بر حسب این مجهول محاسبه نمودو سپس با استفاده از یکی از معادلات تعادل به تعیین مقدار آن مجهول پرداخت . برای شرح این روش  $F_{cd}$  را موقتاً "به عنوان مجهول بر می‌گزینیم . در گره  $c$  معادله  $\sum F_e = 0$  را برقرار می‌کنیم .

$$F_{cd} + \frac{5}{25.5} F_{ae} = 0 \quad F_{ae} = -5.10 F_{cd}$$

میله	تصاویر			طول
	X	Y	Z	
ab	5	20	5	21.2
ac	15	20	5	25.5
ad	15	20	10	26.9
ae	5	20	10	22.9
bc	20	0	0	20.0
cd	0	0	15	15.0
de	20	0	0	20.0
eb	0	0	15	15.0

در گره d با به کار بردن معادله  $\Sigma F_x = 0$  داریم.

$$F_{ed} + \frac{10}{26.9} F_{ad} = 0 \quad F_{ad} = -2.69F_{ed}$$

فرض کنید که عکس العملهای عمودی در c و d رو به سوی بالا باشند، حال در گره e معادله  $\Sigma F_y = 0$  را می نویسیم:

$$R_{ce} + \frac{20}{25.5} F_{ae} = 0$$

$$R_{cy} = -0.784F_{ae} = -0.784(-5.10F_{ed}) = +4.00F_{ed}$$

در گره d با به کار بردن معادله  $\Sigma F_y = 0$  داریم:

$$R_{dy} + \frac{20}{26.9} F_{ad} = 0$$

$$R_{dy} = -0.744F_{ad} = -0.744(-2.69F_{ed}) = +2.00F_{ed}$$

حال با لنگرگیری حول bc از کلیه نیروهای موثر بر سازه خواهیم داشت.

$$+150(20) - R_{cy}(20) - R_{dy}(20) = 0$$

بنابراین

$$+150(20) - 4.00F_{ed}(20) - 2.00F_{ed}(20) = 0_d \quad F_{ed} = +25 \text{ kips}$$

چون مقادیر  $R_{cy}$ ،  $R_{dy}$  و  $F_{ad}$  را قبل از "برحسب  $F_{ed}$  بیان کرده ایم حال می توانیم مقادیر آنها را مجا به نماییم، پس از آن که این نیروها معلوم شدند تحلیل ماقبی سازه اشکالی

بوجود خواهد آورد.

#### ۹ - عقضايا مخصوص

گرچه شبکه‌های سه بعدی را می‌توان به روش‌هایی که ذکر شد تحلیل نمود، با وجود این قضایای زیرین بدلیل آن که اغلب منتج به تقلیل عملیات محاسباتی قابل ملاحظه‌ای می‌گردد از اهمیت بسیاری برخوردار می‌باشد.

الف - اگر کلیه میله‌های مختوم به یک گره با استثنای یکی از آنها که میله  $n$  ام باشد همگی در یک صفحه واقع شده باشند، مولفه عمود براین صفحه نیروی  $n$ ، برابر است با مولفه عمود بر صفحه هر نیرو یا نیروهای موثر بر آن گره، تحقیق صحت این قضیه با به کار گرفتن تعادل گره مورد نظر ممکن می‌باشد. می‌توان جمع کلیه نیروهای عمود بر آن صفحه را که شامل کلیه میله‌ها به جز  $n$  می‌باشد به دست آورد. در سازه شکل (۴-۹) اگر به عنوان مثال این قضیه را در مورد گره  $n$  به کار ببریم، میله‌های  $ad$  و  $dc$  در صفحه  $adc$  قرار دارند لذا مولفه عمود بر صفحه  $adc$  نیروی میله  $bd$  باید برابر با مولفه عمود بر آن صفحه نیروی موثر بر آن گره باشد در این حالت مخصوص نیروی موثر بر گره نیز در همان صفحه قرار گرفته است لذا مولفه عمود بر صفحه ندارد و بدین ترتیب نتیجه گرفته می‌شود که نیروی میله  $bd$  برابر با صفر است. علم براین مطلب تحلیل گره  $n$  را که در بند (۴-۹) به توسط سه معادله سه مجہولی به عمل آمد، بهدو معادله لازم دو مجہولی تبدیل می‌کند.

ب - اگر کلیه میله‌های مختوم بر یک گره با استثنای یکی از آنها که میله  $n$  ام باشد در یک صفحه واحدی واقع شده باشند و بر آن گره نیز نیرویی اثر نکند نیروی میله  $n$  برابر با صفر خواهد بود.

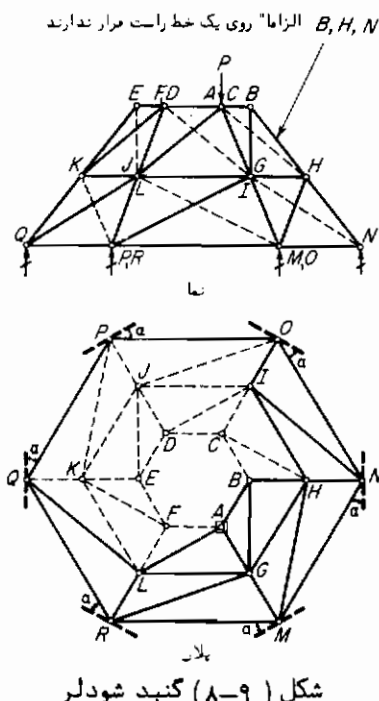
ج - اگر کلیه میله‌های یک گره مگر دو میله آن دارای نیرو نبوده و این دو میله نیز هم راستا نباشند و بر آن گره تیز نیروی خارجی وارد نشود نیروی میله هریک از این میله‌ها برابر با صفر خواهد بود.

#### ۹ - ۷ کاربرد قضایای مخصوص - گنبد شودلر (Schwedler Dome)

اهمیت کاربرد این سه قضیه را در تحلیل شبکه‌های سه بعدی می‌توان با بررسی گنبد شودلر شکل (۸-۹) که تحت اثر نیروی  $P$  در گره  $A$  قرار دارد شرح داد. در میله‌هایی که در

پلان با خط چین نشان داده شده است با به کار بردن قضایای فوق به صورت زیر می‌توان دریافت که نیروی میله‌ای وجود ندارد.

در گره  $P$ ، میله‌های  $AF$ ،  $EF$  و  $KF$  به جز  $AF$  همگی در یک صفحه قرار گرفته اند و چون بر گره  $P$  نیرویی اثر نمی‌کند لذا بر طبق قضیه (ب) نیروی میله  $AF$  برابر با صفر خواهد بود. به همین ترتیب می‌توان به بررسی گرههای  $E$ ،  $D$ ،  $C$ ،  $B$  و  $A$  پرداخت و نتیجه گرفت که میله‌های  $BC$ ،  $CD$ ،  $DE$ ،  $EF$  همگی دارای نیروی میله برابر با صفر می‌باشند.



شکل (۸-۹) گنبد شودلر

حال اگر دوباره به گره  $F$  برگردیم، چون نیروی میله‌های  $FE$ ،  $FA$  صفر هستند و دو میله  $LF$  و  $KF$  دو میله‌ای هستند که به گرهی ختم می‌شوند که بر آن گره نیرویی اثر نمی‌کند لذا بر طبق قضیه (ج) نتیجه گرفته می‌شود که نیروی میله این دو نیز برابر با صفر است. بررسی مشابه گرههای  $E$ ،  $D$ ،  $C$  و  $B$  با این نتیجه می‌رسد که میله‌های  $KE$ ،  $JD$  و  $JE$  و  $ID$  و  $IC$  و  $HC$  نیز همگی نیرویی تحمل نمی‌کنند.

حال اگر گره  $K$  را مورد بررسی قرار دهیم چون  $KE$  و  $KF$  نیرویی تحمل نمی‌کنند و  $KL$  تنها میله‌ی واقع در خارج صفحه میله‌های  $JK$ ،  $PK$  و  $QK$  می‌باشد لذا میله  $KL$  نیرویی تحمل خواهد کرد. به همین ترتیب بررسی گرههای  $J$  و  $I$  نشان می‌دهد که میله‌های  $JK$  و  $IJ$  نیز

نیرویی تحمل نمی‌کند.

حال دوباره به گره  $K$  بر می‌گردیم ، چون میله‌های  $JK$  ،  $EK$  و  $LK$  دارای نیرو نمی‌باشد میله‌های  $PK$  ،  $QK$  میله‌هایی هستند که برگرهی بدون تاثیر نیروی خارجی ختم می‌گردند بنابراین این دو میله نیز نیرویی نخواهند داشت . بررسی مشابه گره  $J$  نشان می‌دهد که میله‌های  $PJ$  و  $OJ$  نیز دارای نیرو نخواهند بود .

از آنجایی که این شبکه‌ی گنبدی تحت تاثیر بار عمودی در  $A$  قرار گرفته است فقط میله‌هایی که با خطوط پردر روی پلان شکل (۸-۹) نشان داده شده‌اند تحمل نیرو خواهند نمود . برای تکمیل تحلیلی این سازه می‌توان با اعمال روش گرهها بهترتیب برگرهای  $A$  ،  $B$  ،  $C$  ،  $D$  ،  $G$  و  $I$  به محاسبه نیروی میله در کلیه میله‌ها به جز میله‌های قاعده اصلی آن پرداخت پس از آن عکس‌العملهای عمودی را می‌توان با بدکاربردن  $\Sigma F_y = 0$  در هر یک از نقاط تکیه گاهی معین نمود .

برای این که به محاسبه عکس‌العملهای افقی و نیروی میله در میله‌های قاعده اصلی که همگی در یک صفحه واقع‌اند بپردازیم لازم است که موقتاً نیروی میله را در یکی از میله‌های قاعده اصلی بطور موقت مجبول فرض نمائیم فرض کنید  $F_{RM}$  مجهول باشد . اگر در گره  $R$  معادلات  $\Sigma F_x = 0$  و  $\Sigma F_z = 0$  را بدکاربریم می‌توانیم  $F_{QR}$  و عکس‌العمل افقی را در  $R$  بحسب  $F_{RM}$  بیان کنیم (بایستی متوجه بود که گره  $R$  تحت تاثیر مولفه‌های  $X$  و  $Z$  نیروی میله در میله‌های  $LR$  و  $GR$  نیز می‌باشد) هرگاه در جهت ساعتگرد روی قاعده اصلی حرکت کرده و بهترتیب به درج معادلات در گره‌های  $P$  ،  $Q$  و  $N$  بپردازیم این معادلات امکان خواهد داد که نیروی میله را در کلیه میله‌های اصلی و عکس‌العملهای افقی به مجزه در  $M$  را بحسب  $F_{RM}$  بیان کنیم ، حال اگر معادلات  $\Sigma F_x = 0$  و  $\Sigma F_z = 0$  را بر گره  $M$  اعمال کنیم مقادیر  $F_{RM}$  و مولفه افقی عکس‌العمل را در  $M$  می‌توانیم بدست آوریم : چون سایر نیروهای میله‌ها و عکس‌العملهای افقی قبلاً بحسب  $F_{RM}$  بیان شده است حال می‌توان مقادیر عددی آنها را نیز معین نمود . اگر زوایای بین عکس‌العملهای افقی و میله‌های قاعده اصلی را دارای مقادیر مخصوصی باشند امکان ناپایداری هندسی گند شود لر وجود دارد ، کرچه شمارش استاتیکی خبری از آن نمی‌دهد \*.

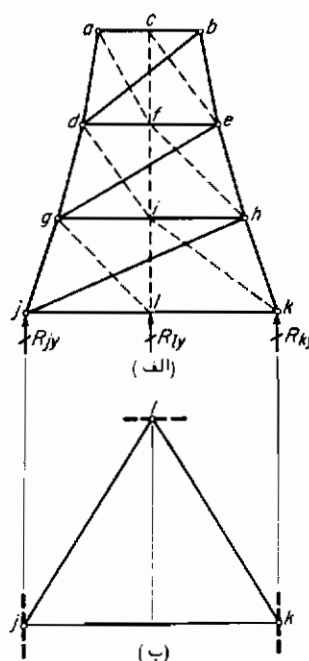
\* به بخش ۱۶ کتاب زیر که در مورد شبکه‌های فضائی است مراجعه شود .

C.M. Spofford " Theory of structures" 4th ed.

Mc. Graw - Hill Book Company Inc. New York 1939

## ۹-۱- برجها

حتی اگر ساقهای (اعضای ستونی) یک برج مشبک در کل طول خود دارای شب ثابتی باشند آن سازه را می‌بایستی براساس سازه‌های سمبودی تحلیل نمود. در شکل (۹-۹ الف) نمای جانبی یک برج با قاعده مظلتی را که ساقهای آن دارای شب ثابتی نمی‌باشد ملاحظه می‌نمایید. در شکل (۹-۹ ب) آرایش عکس العملهای افقی آن را مشاهده می‌کنیم، این سازه همان‌طوری که بررسی نیز نشان خواهد داد یک سازه معین است می‌توان پانل به‌پانل با شروع محاسبات از پانل فوقانی و ادامه آن به‌ست پائین تحلیل نمود. هرگاه مانند این حالت ساقهای مجاور پانل فوقانی در یک صفحه واقع شده باشند نیروی میله‌را در هریک از میله‌های قاعده اصلی فوقانی را می‌توان به‌سادگی با استفاده از سه قضایای بخش (۹-۶) محاسبه نمود. به عنوان مثال  $F_{\text{eff}}$  را می‌توان با استناد به‌این مطلب که مولفه عمود بر صفحه acfd این نیرو باید مولفه عمود بر همین صفحه بار خارجی موثر برگره  $a$  را در تعادل نگهدارد محاسبه نمود. پس از آن که نیرو در میله‌های قاعده فوقانی محاسبه شود، نیرو در قطربهای ساقهای



شکل (۹-۹) برج مظلتی

پانل فوقانی محاسبه خواهد شد . نیروهای این میله‌ها به همراه کلیه بارهای خارجی مؤثر برگرهای  $c$ ،  $e$  و  $f$  به عنوان بارهای واردہ بر پانل دوم به حساب آمده و بهروش مشابه فوق به تحلیل این پانل خواهیم پرداخت و ... .

اگر ساقهای مجاور پانلی در یک صفحه واقع نشده باشد ، برای تعیین نیروی میله‌های قاعده می‌بایستی از روش کلی تری استفاده نمود . مثل سابق از پانل فوقانی شروع به محاسبه می‌کنیم و نیروی میله‌را در یکی از اعضای قاعده فوقانی موقتاً "به عنوان مجھول بر می‌گزینیم اگر  $F_{ce}$  را به عنوان مجھول انتخاب کنیم با اعمال روش گرهها برگرهای رابطه‌ای برای  $F_{ce}$  بر حسب  $F_{ce}$  به دست می‌آید . به عنین ترتیب گره  $c$  مقدار  $F_{ce}$  را بر حسب  $F_{ce}$  معین می‌کند و بالاخره با اعمال روش گرهها برگرهای  $a$  می‌توان به مقدار عددی  $F_{ce}$  پی برد .

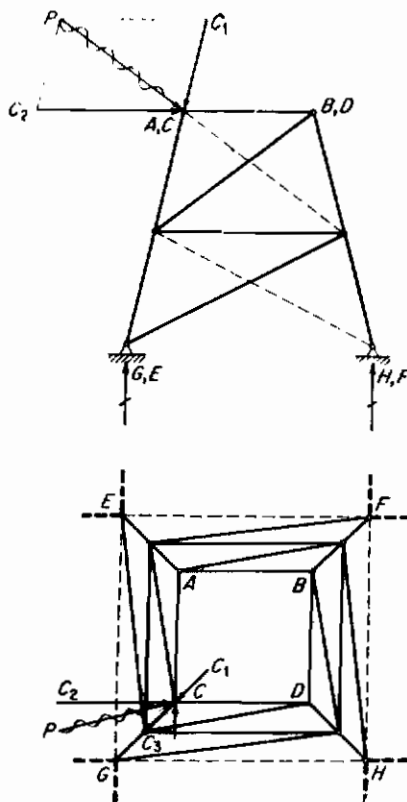
"معولاً" مهاربندی درجه دومی در کلیه سطوح افقی که شب ساقهای برج تغییر می‌کند وجود دارد و اغلب در نقاط پانلی که حتی شب ساقها نیز تغییر نمی‌کند این مهاربندی وجود دارد . به عنوان مثال در برچی که دارای قاعده مستطیلی شکل می‌باشد این مهاربندی افقی می‌تواند شامل قطریهایی باشد که نقاط پانلی متقابل را بهم وصل می‌کند ، چنین مهاربندی برج را یک سازه نامعین خواهد کرد . در عمل "معولاً" اعضای اصلی برج را به عنوان بار بر تلقی کرده و فرض می‌شود که این مهاربندیها نیرویی تحمل نکنند و بدین ترتیب تحلیل چنین سازه‌ای به صورت معین باقی می‌ماند .

#### ۹ - برج با ساقهای مستقیم

اگر شب ساقهای برج در کل ارتفاع خود ثابت باشد می‌توان برج را جهت تحلیل به چند خرپای مستقیم تجزیه نمود . چنین سازه‌ای در شکل (۹-۲) نشان داده شده است هر یار  $H$  که برگرهی اثربخشی کند به سه مولفه تجزیه خواهد شد ،  $C_1$  موازی ساق برج ،  $C_2$  افقی و واقع در یک صفحه مجاور برج ،  $C_3$  افقی و واقع در صفحه دیگر مجاور برج .

با استفاده از قضایای بخش (۹-۶) به سادگی می‌توان فهمید که  $C_1$  فقط سبب ایجاد نیروی میله در میله‌های  $GC$  شده و  $C_2$  فقط سبب ایجاد نیرو در میله‌های صفحه  $CDGH$  برج می‌شود و  $C_3$  فقط سبب ایجاد نیرو در میله‌های صفحه  $ACEG$  برج می‌گردد .

به این ترتیب نیروهای میله حاصل از هر یک از مولفه‌های  $C_1$ ،  $C_2$  و  $C_3$  را می‌توان به کمک تحلیل مستوی جداگانه‌ای به دست آورد و سپس نیروی کل حاصل از  $H$  در هر میله را می‌توان با جمع آثار سه مولفه آن به دست آورد . چون هر نیروی پانلی را می‌توان به صورت زیر مورد



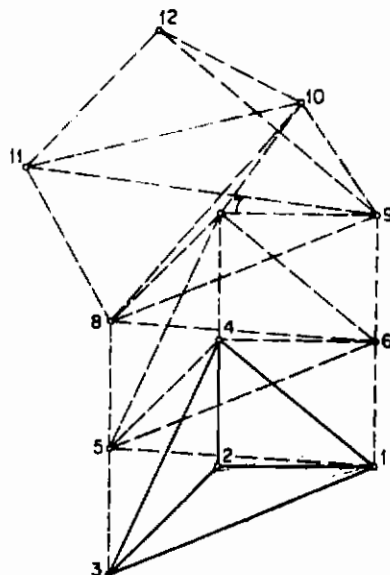
شکل (10-۹) برج مستطیلی با ساقهای مستقیم

تحلیل قرار داد لذا این چنین روشنی یک روش کلی برای تحلیل خواهد بود .  
اگر کلیه صفحات یک چنین برجی مشابه یکدیگر باشند ، می توان به تهیه مشخصات تأثیر اقدام نمود . به این صورت که نیروهای میله موجود در هر میله از آن صفحات را حاصل از (الف) یک بار واحد افقی که به ترتیب در هریک از گره های آن صفحه اثر کند و (ب) یک بار واحد موازی با ساق برج که به ترتیب در هر گره از آن صفحه اثر کند دانست . اگر چنین مشخصات تأثیری را برای یک صفحه از برج تهیه کنیم از یک چنین مشخصاتی می توان برای سایر صفحات نیز استفاده نمود . اگر کلیه بارهای پانلی را به مولفه های ذکر شده فوق تجزیه نماییم و از مشخصات تأثیر استفاده کنیم تنشهای حاصل از کلیه حالات بارگذاری خارجی را در هریک از اعضاء می توان با استفاده از اصل جمع آثار بدست آورد .

## ۹ - ۱۰ تئوری کلی شبکه‌های سه بعدی

بسیاری از شبکه‌های فضایی را که در سازه‌های متعارف بهکار می‌برند می‌توان به کم روش‌های فوق الذکر محاسبه نمود، ولی بهمنظور تسهیل در بررسی مسائل مربوط به شبکه‌های غیرمتعارف مطالعه پایداری تعادلی و معین بودن شبکه‌های فضایی بهصورت کلی تری و مشابه با آنچه در فصل چهارم در مورد خرپاها (با شبکه‌های مستوی) بعمل آمد لازم می‌باشد. شرح مختصری از چنین عملکردی بهصورت زیر خواهد بود\*.

رایش اعضاء یک شبکه فضایی ساده، گروهی از نقاط را که در یک صفحه واقع نشده باشند می‌توان توسط یک شبکه فضایی صلب و مقاوم بهصورت مشروح زیر به یک پگر متصل نمود. تعاریف مربوط به اجسام صلب و مقاوم در بخش (۴-۳) ذکر شده است) ابتدا با استفاده از شش میله چهار نقطه غیر واقع در روی یک صفحه را بهطوری که در شکل (۹-۱۱) با خط پر جهت

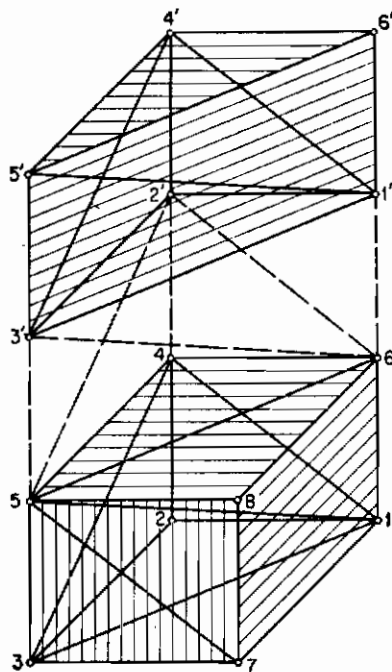


شکل (۹-۱۱) شبکه فضایی ساده

\* بهمنظور بحث بیشتر و بهتر در مورد شبکه‌های فضایی معین می‌توان به فصل چهارم صفحات ۱۶۳ الی ۲۱۲ کتاب زیر مراجعه نمود.

S.P. Timoshenko D.H. Young " Theory of structures"

Mc Graw Hill Book Company Inc. New York 1945.



شکل (۱۲-۹) شبکه فضایی مرکب

اتصال گرههای ۱، ۲، ۳ و ۴ به کار رفته است با ایجاد یک هسته چهاروجهی بهم متصل کند. پس از آن می‌توان گره ۵ را بمانن هسته صلب توسط میله‌هایی که از گرههای ۱، ۳ و ۴ به آن گره وصل می‌شوند و در روی شکل با خط‌چین نشان داده شده است در فضا تشییت نمود و به همین ترتیب هریک از گرههای ۶ الی ۱۲ را می‌توان توسط سه میله‌گه در یک صفحه واقع نباشد به شبکه‌ای که قبلاً "ایجاد شده است متصل نمود.

اگر بخواهیم از همان الفاظی که در مورد خرپاها به کار بردیم استفاده نماییم یک شبکه فضایی را که بمانن ترتیب ایجاد می‌شود به نام شبکه فضایی ساده خواهیم نامید. تعداد میله‌هایی که جهت ایجاد چنین شبکه‌ای با  $n$  گره لازم است برابر با  $6 + (n - 4)(n - 3)$  و یا  $b = 3n - 6$  خواهد بود.

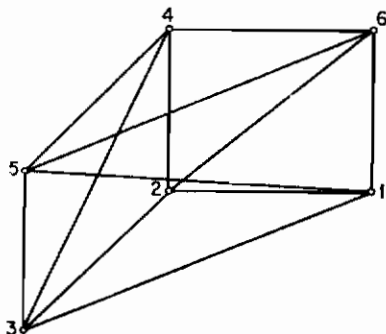
ایجاد شبکه‌های فضایی مرکب با اتصال چندین شبکه فضایی ساده به‌نحوی که در شکل (۱۲-۹) دیده می‌شود ممکن است. این اتصال باید توسط شش میله‌گه محورهای آنها در روی یک خط مستقیم یکدیگر را قطع ننمایند انجام می‌گیرد. در شکل (۱۲-۹) دو شبکه فضایی ساده را با هاشور مشخص کرده و میله‌های اتصال این دو شبکه را با خط‌چین نشان داده‌ایم. ملاحظه

می‌شود که تعداد کل میله‌های به کار رفته در یک چنین حالتی برابر با:

$$(3n_1 - 6) + (3n_2 - 6) + 6, \quad \text{یا} \quad b = 3(n_1 + n_2) - 6, \quad \text{یا} \quad b = 3n - 6,$$

می‌باشد. در این روابط  $n_1$  و  $n_2$  نشان‌دهنده تعداد گره‌های هریک از شبکه‌های فضایی ساده بوده و  $n$  نشان‌دهنده تعداد کل گره‌های کل سازه است.

شبکه‌های فضایی پیچیده، از آنجایی که اکثر شبکه‌های فضایی را نمی‌توان در زمرة شبکه‌های ساده و یا مرکب به حساب آورد لذا آنها را در زمرة شبکه‌های فضایی پیچیده قرار می‌دهند. یک چنین شبکه‌ای را در شکل (۱۳-۹) نشان داده‌ایم. دیده می‌شود که اکثر میله ۲-۶ را در وضعیت ۱-۴ قرار دهیم، این شبکه به یک شبکه فضایی ساده تبدیل می‌شود، به همان نحو فوق الذکر تعداد میله‌های لازم جهت ایجاد یک شبکه صلب و مقاوم توسط یک شبکه فضایی پیچیده نیز برابر با  $b = 3n - 6$  می‌باشد\*.



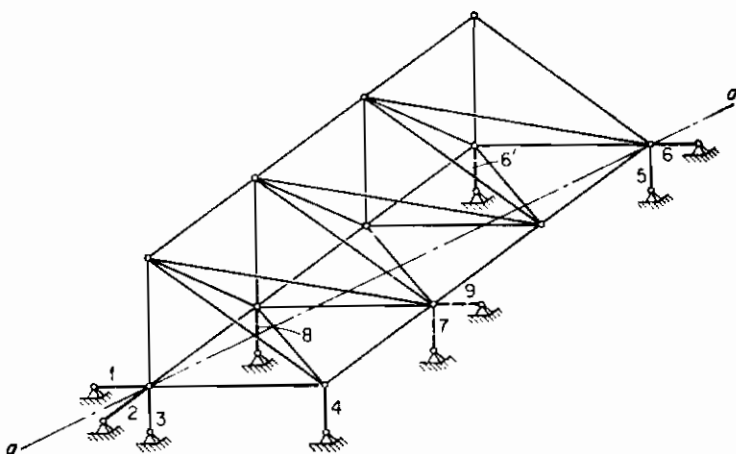
شکل (۱۳-۹) شبکه فضایی پیچیده

تکیه‌گاه‌های شبکه‌های فضایی، اگر یک شبکه فضایی به‌ نحوی روی تکیه‌گاه‌های خود قرار گرفته باشد که مولفه‌های عکس‌العمل آن معادل با شش بند که خط‌آثراً آنها یکدیگر را در روی یک خط مستقیم قطع نکنند باشد این سازه پایدار بوده و این شش مولفه معین بوده و محاسبه آنها توسط شش معادله تعادل کلی سازه که در شکل (۲-۹) بیان گردید بعمل می‌آید. چنین آرایش تکیه‌گاهی در شکل (۱۴-۹) نشان داده شده در این شکل بندها را با خط‌ضخیم و اعداد

\* همان‌طوری که در فصل ۴ تأکید شد، چنین ضابطه‌ای یک شرط لازم ولی ناگایی برای صلب و مقاوم بودن شبکه می‌باشد. اگرچه تعداد میله‌های شبکه‌ای کافی باشد ولی اگر آرایش میله‌ها به‌ نحو مطلوبی انجام نگرفته باشد امکان ناپایداری هندسی شبکه فضایی وجود دارد.

از ۱ الی ۶ مشخص کرده‌ایم.

واضح است که اگر خط اثر بند ۶ بر خط  $aa'$  منطبق می‌شود، سازه حالت ناپایداری بخود می‌گرفت زیرا در آن صورت عکس‌العملی که در مقابل دوران سازه حول محور منطبق ببر بند ۳ ایستادگی نماید وجود نداشت. چنین حالتی در صورتی که بند ۶ در موقعیت بند ۶' قرار می‌گرفت نیز تکرار می‌شد. ملاحظه می‌شود که در هریک از حالات فوق محورهای کلیه بندها خط عمود منطبق ببر بند ۳ را قطع می‌کنند زیرا بندهای ۴، ۵ و ۶' با بند ۳ موازی بوده و لذا آن خط عمودی را در بین نهایت قطع خواهند نمود. بدینهی است که اگر بندهایی اضافی نظیر بندهای ۷، ۸ و ۹ بر بندهای اولیه - بندهای ۱ الی ۶ - افزوده شوند سازه سازه پایدار بوده ولی عکس‌العمل‌های آن نامعین خواهد شد که در این حالت درجه‌نامعینی سه خواهد بود.



شکل (۱۴-۹) رایش عکس‌العملها

در اغلب شبکه‌های فضایی موجود تعداد مولفه‌های عکس‌العمل بیش از شش است، در یک چنین حالتی اگر تعداد مولفه‌های عکس‌العمل  $r$  باشد اغلب  $(6 - r)$  میله از تعداد کل میله‌لازم جهت یک شبکه صلب و مقاوم یعنی  $(6 - 3n)$  حذف می‌گردد و درنتیجه خواهیم داشت:

$$b = (3n - 6) - (r - 6)$$

و یا  $3n = b + r$  و به عبارت دیگر چون حذف  $(6 - r)$  میله معادل با افزودن  $(r - 6)$  معادله خاص (یا معادله شرط - مترجم) می‌باشد، اگر چنین عملی بعنوان مطلوبی انجام گیرد از ناپایداری هندسی جلوگیری شده و سازه پایدار و معین خواهد بود. گاهی عکس‌العملها

را می‌توان مستقیماً با استفاده از ترکیب معادلات خاص و معادلات تعادل در مورد کل سازه محاسبه نمود ولی اغلب اوقات محاسبه عکس العملها همان‌طوری که در بند (۵-۹) شرح داده شد بدون محاسبه پر خواهد بود و نتیجه آن امکان پذیر نمی‌باشد.

این چنین بررسیها و نظایر آنها ما را به ترتیجه‌گیری زیر درمورد پایداری و شرط معینی سازه‌های شبکه‌های فضایی با در نظر گرفتن مولفه‌های عکس العمل و نیزروی میله‌های آنها می‌رساند، در مورد شبکه‌های فضایی کلا<sup>n</sup> معادله مستقل تعادل موجود است که این معادلات با جذاب‌کردن هریک از گره‌ها و برقرارنمودن سه معادله  $\sum F_x = 0$  و  $\sum F_y = 0$  و  $\sum F_z = 0$  بوجود می‌آید. در این معادلات تعداد مجھولاتی که کلا<sup>n</sup> برابر با  $(n + b)$  می‌باشد موجود است که در آن  $b$  تعداد نیزروی میله‌ها و  $n$  تعداد مولفه‌های عکس العمل می‌باشد. هرگاه تعداد مجھولات را با تعداد معادلات موجود مقایسه کنیم نتایج زیر بدست می‌آید.

اگر  $(b + r) < 3n$  باشد، سازه ناپایدار است.

اگر  $(b + r) = 3n$  باشد، سازه معین است.

اگر  $(b + r) > 3n$  باشد، سازه نامعین است.

اگر این ضابطه شمارش نشان دهد که سازه‌ای معین یا نامعین می‌باشد می‌بایستی متوجه بود که شمارش تنها نمی‌تواند پایداری سازه را اثبات نماید زیرا اکرآرایش و ترتیب قرار-گرفتن میله‌ها و یا مولفه‌های عکس‌العمل وضع مطلوبی نداشته باشد ممکن است سازه از نظر ایستایی یا هندسی ناپایدار باشد.

تحلیل تنش شبکه‌های فضایی معین، تحلیل تنش بسیاری از شبکه‌های فضایی رامی‌توان با ترکیبی از روش گرهها و مقاطع به همان صورتی که قبلاً در فصل ۴ در مورد خرپاها (یا شبکه‌های مستوی) شرح داده شد انجام داد. بدینهی است وضع هندسی سازه‌های سه بعدی به نحو تقابل توجهی مانع از پیشرفت قابل توجه چنان مجازاتی می‌گردد.

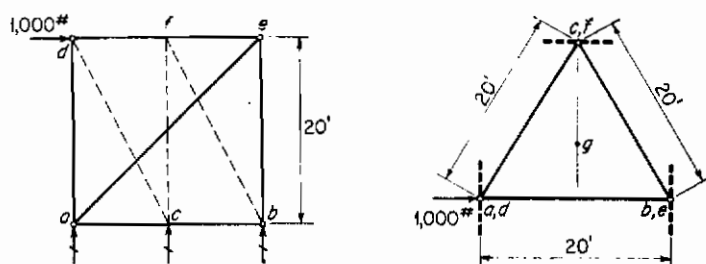
به عنوان مثال یک شبکه ساده فضایی را که به نحو معینی روی تکیه‌گاه قرار گرفته است در نظر بگیرید. در یک چنین حالتی عکس‌العملها را می‌توان با در نظر گرفتن تعادل کلی سازه محاسبه نمود و پس از تعیین عکس‌العملها کلیه مقادیر نیروهای موثر خارجی بر سازه معلوم می‌گردد. حال می‌توان آخرين گره ایجاد شده در شبکه ساده فضایی را (نظیر گره 12 در شکل ۱۱-۹) از سازه جدا نمود. در این گره فقط سه نیروی میله مجهول وجود دارد که مقادیر آنها را می‌توان از طریق سه معادله تعادل گره معین نمود. اگر درست بر عکس ترتیبی که گرهها در سازه ایجاد شده‌اند یعنی در ترتیب گره‌های ۱۱، ۱۰، ۹ و غیره به تحلیل گرهها بپردازیم در مورد هر گره فقط سه نیروی میله مجهول وجود خواهد داشت و لذا تعیین کامل نیروی

میله‌ها فقط با اعمال نوبت روش گره‌ها در گره‌های متعدد انجام خواهد گرد. در حالت یک شبکه فضایی مرکب پس از تعیین عکس العملها می‌توان تا جایی که در هر گره مورد تحلیل سه نیروی میله مجہول وجود دارد محاسبات را با استفاده از روش گره‌ها پیش برد ولی در گرهی که تعداد نیروی میله مجہول بیش از سه باشد می‌باشی از روش مقاطع به منظور تعیین برخی از نیروی میله‌ها استفاده کرد. در حالت یک شبکه فضایی پیچیده بالاخره به نقطه‌ای خواهیم رسید که نه توسط روش گره‌ها—و نه توسط روش مقاطع— حل مستقیم مساله ممکن نخواهد بود. در یک چنین حالتی یا می‌باشی بمنحوی که دریند (۴-۱۲) برای شبکه‌های فضایی شرح داده شده حل مساله پرداخت و یا این که به روش هنبرگ متولّ شد (به مراجعی که در بخش (۴-۱۲) ذکر شده است مراجعه شود).

در سالهای اخیر از شبکه‌های فضایی بسیار پیچیده در فرستنده‌ها و گیرنده‌های رادار استفاده می‌شود در یک چنین سازه‌هایی مقدار وسیعی گره و میله وجود داشته و گاهی نیز دارای شکل هندسی بعنوانی می‌باشند و اغلب بجای مقاومت قطعات محدودیت‌های غنیمیر مکان و مشخصات لرزشی تعیین کننده طرح آنها می‌باشد. در تحلیل چنین سازه‌هایی در جد جامعی از ماشینهای حسابگر با به کار بردن روش‌های ماتریسی استفاده می‌شود.

### ۹-۱۱ مسائل

- ۹-۱ نشان دهید که برج شکل (۹-۱۵) معین است.
- ۹-۲ عکس العملهای سازه‌شکل (۹-۱۵) را تحت اثریار  $1,000 \text{ lb}$  موثر بر آن پیدا کنید.



شکل (۹-۱۵) مسائل ۹-۲، ۹-۳ و ۹-۴

: جواب :

$$R_{ay} = 1,000 \text{ lb} \quad (\text{به طرف پائین}) \quad R_{bx} = 866 \text{ lb} \quad (\text{به طرف بالا})$$

$$R_{ax} = 0; R_{cx} = 1,000 \text{ lb} \quad (\text{به سمت چپ}) \quad R_{bx} = 866 \text{ lb}$$

۹ - ۳ نیروی میله‌های سازه شکل (۱۵-۹) را تحت اثر بار موثر  $1,000 \text{ lb}$  پیدا کنید.

جواب :

میله‌های :  $ab = -500; bc = +1,000; ca = -1,000; ed = -1,000$

و کلیه سایر میله‌ها صفر می‌باشد.

۹ - ۴ عکس‌العملها و نیروی میله‌ها را در سازه شکل (۱۵-۹) در صورتی پیدا کنید که بار  $1,000 \text{ lb}$  که برگره  $d$  اثر می‌کند در راستایی وارد شود که امتداد آن از نقطه  $g$  که در مرکز مثلث متساوی الاضلاع  $def$  واقع است بگذرد.

جواب :

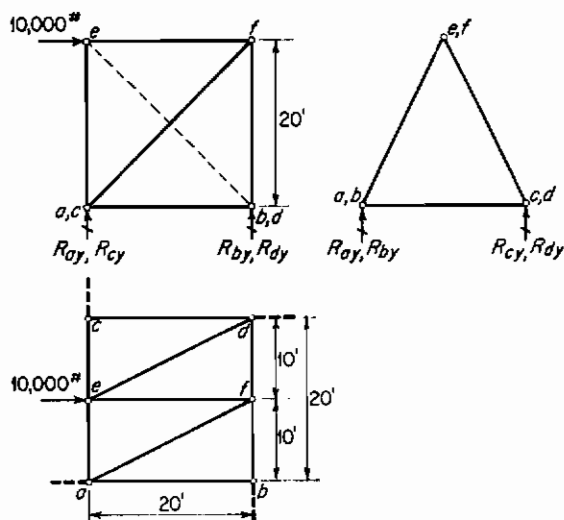
$R_{ay} = 250$  (به طرف پائین)  $R_{ax} = 577$  (به طرف بالا)  $R_{by} = 1,154$

$R_{cy} = 577$  (به طرف پائین)  $R_{cx} = 866 \text{ lb}$  (به سمت چپ)  $R_{dx} = 750$

میله‌های :  $ab = -433; bc = +866; ca = -289; ed = eb = -577; da = +577$  و سایر میله‌ها صفر می‌باشد.

۹ - ۵ (الف) نشان دهید که سازه شکل (۱۶-۹) یک درجه نامعین است.

(ب) عکس‌العمل‌های سازه شکل (۱۶-۹) و کلیه نیروی میله‌های آن را تحت اثر بار موثر  $10,000 \text{ lb}$  محاسبه کنید، فرض کنید که میله  $ef$  میله‌ای فشاری بوده و دارای نیرویی برابر با نصف بار موثر بر سازه می‌باشد.



شکل (۱۶-۹) مساله ۹

۹-۶ اگر همان طوری که در شکل (۸-۹) نشان داده شده است زاویه  $\alpha$  که بین عکس العمل افقی و میله قاعده اصلی می‌باشد در کلیه نقاط تکیه‌گاهی کنجد شود لر دارای مقدار ثابتی باشد ثابت کنید که تحت اثر هربار عمودی موثر بر گند جمع چبری کلیه عکس العملهای افقی برابر با صفر است.

۹-۷ در برجی مشابه با برج شکل (۹-۹) که دارای ۱۰ پانل با ارتفاع هریک برابر با 10 ft می‌باشد  $jk = kl = ij = 40 \text{ ft}$  و در قاعده برج  $de = ef = fd = 12 \text{ ft}$  و  $ab = bc = ca = 10 \text{ ft}$  که در جهت برگره  $a$  بارهای موثر خارجی زیرین اثر می‌کند، باری افقی برابر با 10,000 lb موازی با محور  $OZ$  و رو به سمت راست اثر می‌کند، باری افقی برابر با 5,000 lb که در جهت موازی با محور  $OY$  و رو به سمت عقب اثر می‌کند و باری عمودی برابر با 16 lb که رو به سمت پائین اثر می‌کند:

(الف) مقدار نیروی میله را در اعضاء  $ab$  ،  $bc$  و  $ca$  چقدر است.

(ب) مقدار برابر آیند مولفه‌های  $X$  ،  $Y$  و  $Z$  نیروهای موثر بر گرههای  $d$  ،  $e$  و  $f$  که متوسط ساق‌ها و قطریهای پانل فوقانی اعمال می‌شوند چیست.

(ج) عکس العملهای برج چقدر است.

جواب:

$$(al) \text{ میله: } ca = 0 \quad bc = 0 \quad ab = -8.45 \text{ kips};$$

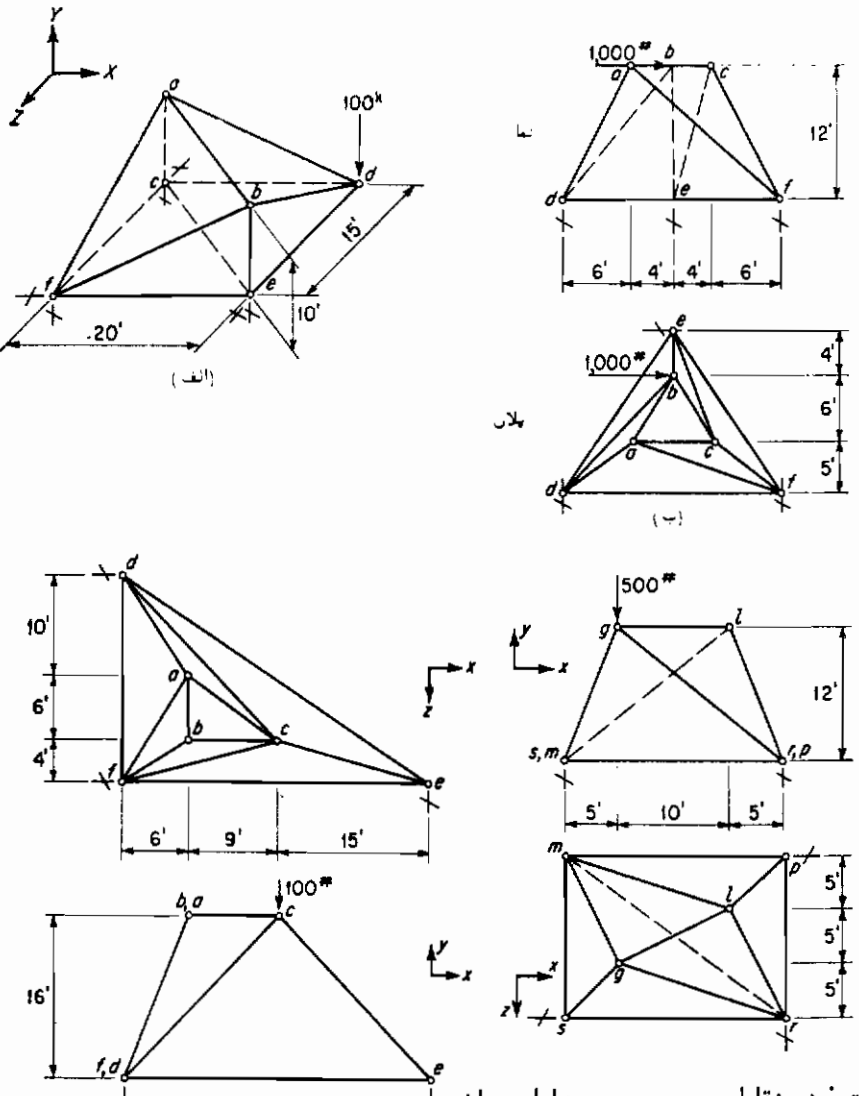
$$(b) \text{ گره: } d: Z = -0.41, X = +6.34, Y = -7.04; e: Z = -0.41$$

$$X = +0.70; Y = -7.04; f: Z = +5.81; X = +2.96; Y = -5.92 \text{ kips}$$

$$(c) \text{ (به سمت چپ) } R_{ix} = 3.37 \quad R_{iy} = 19.43 \quad (به طرف بالا) \quad R_{iz} = 10.00 \\ \text{ (به طرف پائین) } R_{jx} = 8.37 \quad R_{jy} = 22.79 \text{ kips} \quad R_{jz} = 22.22 \quad (به طرف بالا)$$

۹-۸ برج مساله (۷-۹) دارای وزنی برابر با 50,000 lb می‌باشد، حداکثر بار حاصل از باد که بر برج اثر می‌کند برابر با فشار جانبی معادل 400 lb هر فوت ارتفاع برج می‌باشد، تکیه‌گاههای این برج بر اساس چه نیرویی رو به بالا می‌باشند محاسبه شود در صورتی که برطبق آنین نامه محاسباتی، هی برا اساس ۱۵۵ درصد نیروی رو به بالای موثر محاسبه می‌گردد.

۹ - عکس العملها و نیروی میله‌های هریک از شبکه‌های فضایی شکل (۱۷-۹) را محاسبه کنید.



دقت: در نقاط  $e, d$  و  $c$  دارای مولنده عمودی عکس العمل می‌باشد. نیروی میله را در عضو  $ce$  برابر با ۱۰۰ پاوند فشاری عمودی عکس العمل می‌باشد.

دقت: در نقاط  $m, p, r$  و  $s$  دارای مولنده عمودی عکس العمل می‌باشد. نیروی میله را در عضو  $sp$  برابر با ۵۰۰ پاوند فشاری فرض کنید.

شکل (۱۷-۹) مساله ۹-۹



## ۱۰

### کابلها

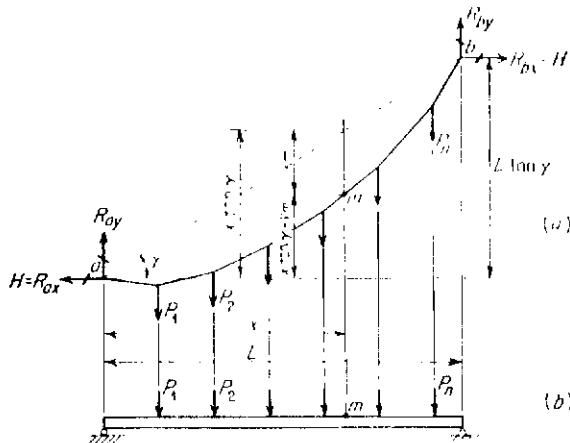
#### ۱ - مقدمه

کابلها در اکثر انواع سازه‌های مهم مهندسی به کار برده می‌شوند. کابلها اعضاء اصلی و هاربر پلهای معلق و دستگاههای حمال کابلی را تشکیل می‌دهند. در دلکها و برجهای رادیو از کابلها ثابت بمنحوگسترده‌ای استفاده می‌شود و به صورت کابلها موقتی در نصب سازه‌ها به کار برده می‌شود. گرچه تحلیل دقیق کابلها نیاز به معلومات ریاضی خارج از هدف این کتاب دارد ولی ذکر برخی از روابط اساسی کابلها در سازه‌های مهندسی بسیار مهم است. اگر بر کابلها بارگسترده یکنواختی در طول آن مانند وزن آنها اثر کند کابل مربوطه شکل شنت Catenary بخود خواهد گرفت و در صورتی که افت (یا شکم) کابل نسبت به طول آن قابل توجه نباشد شکل حاصل از کابل را می‌توان سه‌می فرض کرده و به این ترتیب تحلیل کابل را تا حد بالایی ساده نمود.

#### ۲ - قضیه کلی کابلها

کابلی را که در نقاط  $a$  و  $b$  در حالت کلی در یک تراز نمی‌باشد و به عنوان تکیه گاه کابل فرض می‌شوند ثابت شده و بر آن کابل بارهای  $P_1, P_2, \dots, P_n$  مانند شکل (۱-۱) (الف) اثر می‌کنند در نظر بگیرید. فرض می‌شود که این کابل کاملاً "خمپذیر بوده" به‌نوعی که لنگر خمши در هر نقطه آن برابر با صفر باشد، چون کلیه بارها عمودی است لذا مولفه افقی کشش کابل که آن را با  $H$  نشان می‌دهیم در کلیه نقاط دارای مقدار ثابتی بوده و عکس-العملهای افقی کابل نیز برابر با  $H$  خواهد بود.

اگر  $\sum M_a$  جمع کلیه لنگرهای حاصل از بارهای  $P_1, P_2, \dots, P_n$  حول  $a$  بوده و  $\sum M_b$  جمع کلیه لنگرهای بارهای  $P_1, P_2, \dots, P_n$  که در قسمت سمت چپ نقطه  $b$  بر کابل اثر



شکل (۱-۱۰) استخراج قضیه کابلها

می‌کنند باشد، اگر چنانچه لنگرهای کلیه نیروهای موثر بر کابل را حول  $\theta$  محاسبه کنیم خواهیم داشت.

$$+H(L \tan \gamma) + R_{ay}L - \Sigma M_b = 0 \\ R_{ay} = \frac{\Sigma M_b}{L} - H \tan \gamma \quad (\text{الف})$$

اگر لنگر کلیه نیروهای موثر به سمت چپ نقطه  $m$  از کابل را حول نقطه  $m$  محاسبه کیم خواهیم داشت:

$$+H(x \tan \gamma - y_m) + R_{ay}x - \Sigma M_m = 0$$

اگر بجای  $R_{ay}$  از معادله (الف) مقدار آن را در رابطه فوق قرار دهیم خواهیم داشت:

$$Hy_m = \frac{x}{L} \Sigma M_b - \Sigma M_m \quad (\text{ب})$$

در معادله (ب) مقدار  $y_m$  بیان کننده فاصله عمودی نقطه  $m$  از خطی است که دو تکیه‌گاه  $a$  و  $b$  کابل را بهم متصل می‌سازد. سمت راست معادله (ب) برابر است با لنگر خمشی حاصل در نقطه  $m$  (به شکل ۱-۱-۱ ب) مراجعه شود از یک تیر ساده فرضی که تحت اثر بارهای  $P_1, P_2, \dots, P_n$  واقع شده و دارای دهانه  $L$  باشد و در این نقطه  $m$  یک مقطع فرضی به فاصله  $x$  از تکیه‌گاه چپ آن باشد.

با ملاحظه معادله (ب) قضیه کلی کابلها به صورت زیر بیان می‌گردد: در هر نقطه‌ای از یک کابل که تحت اثر بارهای عمودی واقع شده باشد، حاصل ضرب مولفه افقی کشش کابل در فاصله عمودی آن نقطه از خط اتصال دو انتهای کابل برابر است با لشکر خمشی حاصل

در همان مقطع از تیری ساده‌که تحت اثر همان بارهای عمودی واقع شده و دارای همان دهانه گابل باشد.

باید تاکید نمود که این قضیه در مورد کلیه انواع بارهای عمودی موثر بر گابلها صادق است اعم از این که خط اتصال دو انتهای گابل افقی و یا مائل باشد.

### ۱۰-۳ گاربرد قضیه عمومی گابلها

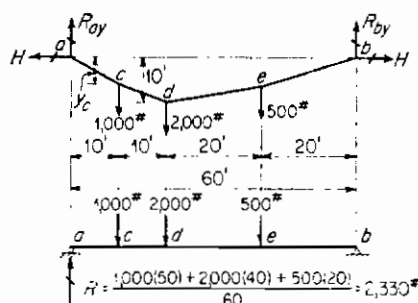
فرض کنید که بارهای موثر بر یک گابل و فاصله یک نقطه از گابل از خط اتصال دو انتهای آن همان طوری که در شکل (۲-۱۰) نشان داده شده است معلوم باشد. اگر از وزن گابل صرف نظر شود لنگر خمشی در نقطه  $d$  از تیر فرضی با همان دهانه گابل برابر خواهد بود با:

$$2,330(20) - 1,000(10) = 36,600 \text{ lb}$$

لذا بر طبق قضیه عمومی گابلها خواهیم داشت  $H = 3,660 \text{ lb} = 10H$  و یا  $H = 3,660 \text{ lb}$  برای اینکه فاصله نقطه دیگری نظیر نقطه  $c$  از گابل را از خط اتصال دو انتهای گابل محاسبه کیم، قضیه عمومی گابلها را در مورد مقطع  $c$  اعمال می‌کیم که در نتیجه خواهیم داشت  $3,660y_c = 2,330(10)$  و از آنجا  $y_c = 6.38 \text{ ft}$  بدست می‌آید. گابل در فاصله  $a$  و  $c$  شکل خط مستقیمی بخود گرفت زیرا از وزن گابل صرف نظر شده است و در این فاصله طول گابل برابر با مقدار زیر خواهد بود.

$$\sqrt{(10)^2 + (6.38)^2} = 11.85 \text{ ft}$$

چون مولفه افقی کشش گابل برابر با  $3,660 \text{ lb}$  می‌باشد کشش واقعی گابل بین  $c$  و  $b$  برابر با  $3,660(11.85/10) = 4,340 \text{ lb}$  باشد.



شکل (۲-۱۰) گاربرد قضیه عمومی گابلها

عکس‌العمل عمودی سمت چپ کابل برابر با مولفه عمودی کشش کابل در قسمت  $ac$  یعنی برابر با  $2,330 \text{ lb} = 3,660(6.38/10)$  خواهد شد. در این حالت خاص این مقدار برابر با عکس‌العمل عمودی سمت چپ تیر ساده فرضی می‌باشد. اگر خط واصل بین دو انتهای کابل شیب‌دار می‌بود مقادیر عکس‌العمل‌های کابل و تیر متفاوت می‌شد.

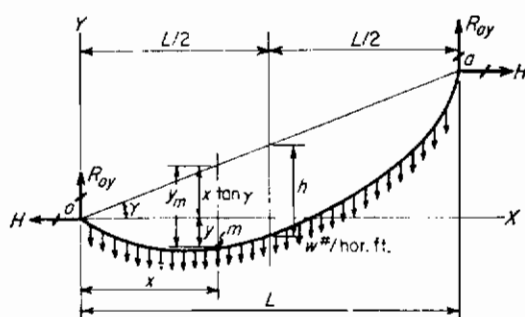
#### ۱۰ - ۴ شکل کابل با بار یکنواخت

حالت بارگذاری یکنواخت کابل یعنی با شدت یکنواخت در هر واحد طول افقی کل دهانه آن بسیار حالت مهمی می‌باشد، چون نه تنها این چنین حالتی نظیر حالت بارگذاری کابل پلهای معلق است بلکه حالتی است که با تقریب می‌توان کابل را تحت اثر بار حاصل از وزن خود به شرط این که وزن آنرا در طول افقی دهانه آن ثابت فرض کنیم تحلیل نماییم. در شکل (۱۰-۳) با در نظر گرفتن قضیه عمومی کابل‌ها به نتیجه زیر خواهیم رسید.

$$Hy_m = \frac{wLx}{2} = \frac{wL^2}{2} \quad (\text{الف})$$

اگر مقدار خاص  $y_m$  را در وسط دهانه با نشان دهیم مقدار  $H$  را شکم کابل نامیده و در حالتی به صورت عمودی اندازه خواهیم گرفت. برای وسط دهانه که  $2/2 = h - y_m = h$  می‌باشد معادله قبلی به صورت  $Hh = wL^2/8$  در می‌آید، لذا:

$$H = \frac{wL^2}{8h} \quad (10-1)$$



شکل (۱۰-۳) کابل با بارگذاری یکنواخت در واحد طول افقی آن

این رابطه که بیان کننده مقدار  $H$  می‌باشد بسیار مهم است، دیده می‌شود که مقدار فوق در هردو صورت افقی و یا مایل بودن خط اتصال دو انتهای کابل، معتبر باقی می‌ماند. اگر

مقدار  $y$  را از این رابطه در معادله (الف) قرار دهیم و از آنجا  $y$  را محاسبه کنیم خواهیم داشت:

$$y_m = \frac{4hx}{L^2} (L - x) \quad (2-10)$$

معادله (۲-۱۰) شکل کابل را معین می‌کند، این رابطه شکم کابل را از خط اتصال دو انتهای آن مشخص می‌کند. اغلب لازم است که شکل کابل را بر طبق یک محور افقی معین کنیم در این حالت اگر مرکز محور موردنظر بوده و آن را در انتهای چپ کابل که در شکل (۳-۱۰) نشان داده‌ایم در نظر بگیریم با استفاده از رابطه  $y = +x \tan \gamma$  می‌توان مقدار  $y$  را در معادله (۲-۱۰) قرار داده و به معادله زیر رسید:

$$y = \frac{4hx}{L^2} (x - L) + x \tan \gamma \quad (3-10)$$

اگر خط اتصال دو انتهای کابل افقی باشد در این صورت  $\tan \gamma = 0$  بوده خواهیم داشت.

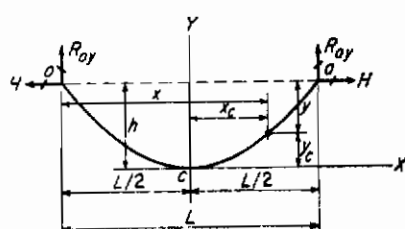
$$y = \frac{4hx}{L^2} (x - L) \quad (4-10)$$

اگر خط اتصال دو انتهای کابل افقی باشد و بخواهیم منحنی کابل را بر طبق محورهایی که مرکز آنها در نقطه  $c$  یعنی پائینترین نقطه کابل که در وسط دهانه کابل قرار دارد بنویسیم با توجه به شکل (۴-۱۰) داریم:

$$x = \frac{L}{2} + x_0 \quad \text{و} \quad y = -h + y_0$$

اگر این روابط را در معادله (۴-۱۰) قرار دهیم خواهیم داشت:

$$y_0 = \frac{4h}{L^2} x_0^2 \quad (5-10)$$



شکل (۴-۱۰) شکل هندسی کابل

## ۱۰-۵ کشش کابل با بار یکنواخت

نیروی داخل کابل همواره محوری است و مولفه افقی کشش کابل را در هر صورت می‌توان توسط معادله (۱-۱۰) معین نمود. یک جزء کوچک از کابل را به طول  $ds$  و با تصویر افقی  $dx$  در نظر بگیرید، در این صورت کشش  $T_z$  کابل در فاصله  $x$  از انتهای آن با  $H ds/dx$  نشان داده می‌شود. اگر خط اتصال دو انتهای کابل شیبدار باشد چنانکه در شکل (۱-۳) دیدیم مشتق معادله (۱-۱۰) به صورت زیر خواهد بود:

$$\begin{aligned}\frac{dy}{dx} &= \frac{8hx}{L^2} - \frac{4h}{L} + \tan \gamma \\ &= \frac{8\theta x}{L} - 4\theta + \tan \gamma\end{aligned}$$

در این معادله  $\theta = h/L$  بوده و نسبت افت (یا شکم) گفته می‌شود. علاوه بر آن چون  $dx = [1 + (dy/dx)^2]^{1/2} ds$  باشد پس  $[1 + (dy/dx)^2]^{1/2} ds$  خواهد بود یا:

$$T_z = H \left( 1 + \frac{64\theta^2 x^2}{L^2} + 16\theta^2 + \tan^2 \gamma - \frac{64\theta^2 x}{L} + \frac{16\theta x}{L} \tan \gamma - 8\theta \tan \gamma \right)^{1/2} \quad (\text{الف})$$

حداکثر کشش در یکی از دو انتهای کابل خواهد بود.

$$\begin{aligned}T_{\max} &= H(1 + 16\theta^2 + \tan^2 \gamma - 8\theta \tan \gamma)^{1/2} & \text{اگر } x = 0 \\ T_{\max} &= H(1 + 16\theta^2 + \tan^2 \gamma + 8\theta \tan \gamma)^{1/2} & \text{اگر } x = L\end{aligned} \quad (6-10)$$

اگر خط اتصال دو انتهای کابل افقی باشد  $\tan \gamma = 0$  شده و در هر دو انتهای کابل داریم:

$$T_{\max} = H(1 + 16\theta^2)^{1/2} \quad (7-10)$$

در حالت مخصوصی که خط اتصال دو انتهای کابل افقی است معادله (۷-۱۰) را می‌توان به صورت زیر استخراج نمود: کشش حداکثر کابل در انتهای کابل بوده و مقدار آن برابر با عکس العمل برآیند تکیه‌گاه کابل خواهد بود، این عکس العمل دارای مولفه افقی برابر با  $H$  است ولی مولفه عمودی آن برابر با نصف کل بار موثر بر کابل می‌باشد و یا برابر با  $2/wL$  است، لذا

چون  $H = wL^2/8h$  می‌باشد و  $H\theta = 4Hh/L$  است داریم :

$$\begin{aligned} T_{max} &= (H^2 + R_y^2)^{1/2} \\ &= (H^2 + 16H^2\theta^2)^{1/2} \\ &= H(1 + 16\theta^2)^{1/2} \end{aligned}$$

### ۱۰-۶ مثالهای مشروح

**مثال ۱۰-۱** = کابلی که بار گسترده و یکنواخت بهشدت  $1 \text{ kip/foot}$  (تصویر افقی) را تحمل می‌کند بین دو نقطه که دارای یک تراز بوده و بهفاصله  $2,000 \text{ ft}$  از یکدیگر قرار دارد آویزان است . نسبت افت این کابل بهنوعی است که مولفه افقی کشن کابل برابر با  $2,500 \text{ kips}$  می‌باشد . کشن حداکثر کابل چقدر است

$$H = wL^2/8h, 2,500 = 1(2,000)^2/8h, h = 200 \text{ ft} \quad \text{حل : داریم}$$

$$\theta = \frac{h}{L} = \frac{200}{2,000} = \frac{1}{10}$$

$$T_{max} = H(1 + 16\theta^2)^{1/2} = 2,500(1 + 16 \cdot \frac{1}{100})^{1/2} = 2,690 \text{ kips}$$

**مثال ۱۰-۲** = کابلی که بار گسترده و یکنواخت بهشدت  $100 \text{ lb/foot}$  (تصویر افقی) را تحمل می‌کند ، بین دو نقطه که بهفاصله  $200 \text{ ft}$  افقی از یکدیگر فاصله داشت و یکی از آن نقاط  $50 \text{ ft}$  بالاتر از نقطه دیگر قرار دارد آویزان است . کشن کابل را آنقدر تغییر داده‌اند که مقدار شکم ( یا افت ) کابل در وسط دهانه آن ( به عبارت دیگر فاصله عمودی بین خطوط اصل بین دو انتهای کابل و کابل در وسط دهانه ) برابر با  $12.5$  باشد ، مقدار کشن حداکثر کابل چقدر است .

$$\begin{aligned} H &= \frac{wL^2}{8h} = \frac{100(200)^2}{8(12.5)} = 40,000 \text{ lb} \\ \theta &= \frac{h}{L} = \frac{12.5}{200} = 0.0625 \quad \tan \gamma = \frac{50}{200} = 0.25 \end{aligned} \quad \text{حل :}$$

حداکثر کشن کابل در تکیه‌گاهی که در تراز بالا قرار دارد اتفاق خواهد افتاد که مقدار آن

$$\begin{aligned} T_{max} &= H(1 + 16\theta^2 + \tan^2 \gamma + 8\theta \tan \gamma)^{1/2} \\ &= 40,000[1 + 16(0.0625)^2 + (0.25)^2 + 8(0.0625)(0.25)]^{1/2} \\ &= 44,700 \text{ lb} \end{aligned} \quad \text{برابر است با :}$$

## ۱۰-۷ طول کابل با بار یکنواخت

اگر « طول کل کابل باشد خواهیم داشت :

$$s_o = \int_0^L ds = \int_0^L \left[ 1 + \left( \frac{dy}{dx} \right)^2 \right]^{\frac{1}{2}} dx \quad (\text{الف})$$

در حالتی که خط اتصال دو انتهای کابل افقی باشد با استفاده از معادله (۵-۱۰) که براساس مرکز مختصاتی واقع در پائینترین نقطه کابل که در وسط دهانه کابل قرار دارد، می‌باشد داریم :

$$\frac{dy}{dx} = \frac{8hx}{L^2}$$

$$s_o = 2 \int_0^{L/2} \left( 1 + \frac{64h^2x^2}{L^4} \right)^{\frac{1}{2}} dx \quad (\text{ب})$$

با انتگرال‌گیری از این رابطه به عبارت دقیق زیر خواهیم رسید .

$$s_o = \frac{L}{2} (1 + 16\theta^2)^{\frac{1}{4}} + \frac{L}{8\theta} \ln [4\theta + (1 + 16\theta^2)^{\frac{1}{4}}] \quad (1-10)$$

استفاده از معادله (۱۰-۸) نیاز به کاربرد لگاریتم طبیعی دارد ، عبارت بسیار مفید که برای محاسبه طول کابل در حالتی که خط اتصال دو انتهای کابل افقی باشد با بسط عبارت :

$$\left( 1 + \frac{64h^2x^2}{L^4} \right)^{\frac{1}{2}}$$

به دست می‌آید . بدین ترتیب عبارت فوق به کمک قضیه بینوم به یک سری همگرا تبدیل کرده و چند عبارت اولیه این سری را در محاسبه معادله (۱۰) در نظر می‌گیریم در این صورت خواهیم داشت .

$$s_o = 2 \int_0^{L/2} \left[ (1)^{\frac{1}{2}} + \frac{1}{2}(1)^{-\frac{1}{2}}(64) \frac{h^2x^2}{L^4} + \frac{1}{2} \left( -\frac{1}{2} \right) \left( \frac{1}{2} \right) (1)^{-\frac{3}{2}}(64)^2 \frac{h^4x^4}{L^8} + \dots \right] dx$$

که به صورت ساده زیر در می‌آید:

$$s_0 = L \left( 1 + \frac{8\theta^2}{3} - \frac{32\theta^4}{5} + \dots \right) \quad (9-10)$$

این معادله به شدت همگراست و سعی بر این است که دارای دقت کافی در اغلب محاسبات می‌باشد.

اگر خط اتصال دو انتهای کابل دارای شیب باشد مقدار دقیق  $s_0$  را می‌توان با قراردادن  $dy/dx$  از معادله (۹-۱۰) در معادله (الف) به دست آورد، ولی چنین عملی منتهی به محاسبات بسیار خستگی آوری خواهد شد، در اغلب موارد علکرد تقریبی زیر منجر به نتایج محاسباتی با دقت کافی می‌گردد.

فرض کنید که طول چنین کابلی برابر با طول کابلی است که خط اتصال دو انتهای آن افقی باشد در صورتی که کابل اخیر دارای دهانه‌ای برابر با طول خط اتصال دو انتهای کابل یعنی  $\gamma$  بوده و افت کابل برابر با  $h \cos \gamma$  باشد که یک چنین مقداری بیان کننده فاصله تقریبی حداقل بین کابل و خط اتصال دو انتهای کابل می‌باشد، با در نظر گرفتن این فرضیات داریم.

$$\theta' = \frac{h \cos \gamma}{L \sec \gamma} = \frac{\theta}{\sec^2 \gamma}$$

حال با اعمال معادله (۹-۱۰) برای کابل که توسط فرضیات فوق حاصل شده است و با به کار بردن فقط دو عبارت اولیه آن خواهیم داشت:

$$\begin{aligned} s_0 &= L \sec \gamma \left( 1 + \frac{8}{3} \frac{\theta^2}{\sec^4 \gamma} \right) \\ &= L \left( \sec \gamma + \frac{8}{3} \frac{\theta^2}{\sec^3 \gamma} \right) \end{aligned} \quad (10-10)$$

برای این که طول کابل مثال (۹-۱) از بند (۹-۶) را با بکار بردن معادله (۹-۱۰) به دست آوریم ( $\theta = 1^\circ$ ) خواهیم داشت.

$$\begin{aligned} s_0 &= 2,000 \left[ 1 + \frac{8}{3} \left( \frac{1}{100} \right) - \frac{32}{5} \left( \frac{1}{10,000} \right) \right] \\ &= 2,000(1.000 + 0.0267 - 0.0006) = 2,052 \text{ ft} \end{aligned}$$

برای این که طول تقریبی کابل مثال (۹-۱۰) از بند (۹-۶) را با استفاده از معادله (۹-۱۰) پیدا کنیم خواهیم داشت:

$$\theta = 0.0625 \quad \sec^2 \gamma = 1 + \tan^2 \gamma = 1 + (0.25)^2 = 1.0625$$

$$s_o = 200 \left[ 1.031 + \frac{8(0.0625)^2}{3(1.031)^3} \right] = 208 \text{ ft}$$

$$\sec \gamma = 1.031$$

### ۱۰- اتساع ارتجاعی کابلها

وقتی کابلی باری را متحمل می‌شود از دیگر طول نیز پیدا می‌کند که اغلب این از دیگر طول در تعیین افت کابل و همچنین در سایر موارد بسیار مهم می‌باشد. بر طبق تعریف ضریب ارتجاعی داریم.

$$\Delta L = \frac{FL}{AE} \quad E = \frac{F/A}{\Delta L/L}$$

جزیی از کابل که دارای طولی برابر با  $ds$  باشد کشی برابر با  $T_x$  تحمل می‌نماید، یک روش ساده چهت تعیین از دیگر طول در وله اول شامل تعیین  $T_{av}$  می‌باشد که بر طبق تعریف عبارت از کشش متوسطی است که هرگاه در کل طول کابل برابر آن اثر کند همان از دیگر طول کابل واقعی را ایجاد نماید. هرگاه این مقدار را به زبان ریاضی بیان کنیم خواهیم داشت:

$$\frac{T_{av} s_o}{AE} = \int_0^{s_o} \frac{T_x ds}{AE}$$

در این رابطه  $A$  و  $E$  ثابت فرض می‌شوند لذا داریم:

$$T_{av} = \frac{1}{s_o} \int_0^{s_o} T_x ds = \frac{1}{s_o} \int_0^{s_o} H \frac{ds}{dx} dx = \frac{H}{s_o} \int_0^L \left[ 1 + \left( \frac{dy}{dx} \right)^2 \right] dx \quad (\text{الف})$$

اگر بار موثر بر کابل را باری گسترده و یکنواخت باشد در هر فوت افقی فرض کنیم و خط اتصال دو انتهای کابل را مایل بگیریم. مقدار  $dy/dx$  را می‌توان از معادله (۳-۱۵) که برابر با  $\gamma = \tan \theta = (4h/L) - (8hx/L^2)$  خواهد بود به دست آوریم، هرگاه این مقدار  $dy/dx$  را در معادله (الف) قرار دهیم و سپس به انگرال گیری رابطه بپردازیم داریم:

$$T_{av} = \frac{HL}{s_o} \left( 1 + \frac{16}{3} \theta^2 + \tan^2 \gamma \right) \quad (\text{ب})$$

با استفاده از معادله ۱۰-۱۵ مقدار  $T_{av}$  خواهد شد.

$$T_{av} = H \frac{1 + (16\theta^2/3) + \tan^2 \gamma}{\sec \gamma + \frac{8}{3}(\theta^2/\sec^3 \gamma)} \quad (10-11)$$

اگر خط اتصال دو انتهای کابل افقی باشد در آن صورت  $\gamma = 0$  شده و خواهیم داشت.

$$T_{av} = H \frac{1 + (16\theta^2/3)}{1 + (8\theta^2/3)} \quad (10-12)$$

بعنوان مثال فرض کنید که تعیین از دیاد طول کابل مثال (۱۰-۱) مربوط به بخش (۱۰-۶) مورد نظر باشد در مورد آن کابل مقدار  $H$  برابر با ۲,۰۵۲ ft در بند (۱۰-۷) محاسبه شد، اگر  $A = 50 \text{ sq in}$  و  $E = 27,000,000 \text{ psi}$  باشد خواهیم داشت:

$$T_{av} = 2,500 \frac{1 + \frac{16}{3}(\frac{1}{100})}{1 + \frac{8}{3}(\frac{1}{100})} = 2,570 \text{ kips}$$

$$\frac{T_{av}}{AE} = \frac{2,570(2,052)}{50(27,000)(144)} = 3.91 \text{ ft}$$

با تقریب می‌توان طول بی‌تنش کابل را به صورت زیر تعیین نمود:

$$2,052 - 4 = 2,048 \text{ ft}$$

## ۱۰-۹ سازه‌های مهارشده توسط کابل

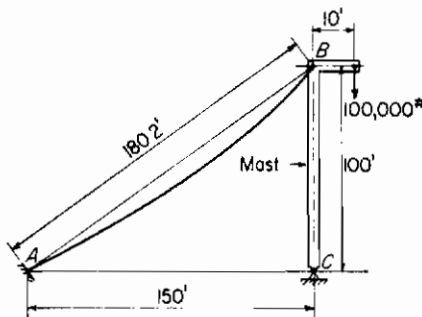
با بررسی سازه شکل (۱۰-۵) می‌توان به کاربرد روابط مختلف موجود در مورد کابل‌های مهاری سازه‌ها پرداخت فرض کنید برای عمودنگهداشت دکل BC از کابل مهاری بوزن ۴.۱۶ lb/ft استفاده شده باشد و این دکل باری برابر با ۱00,000 lb را نیز تحمل کند، هرگاه حول نقطه C از کلیه نیروهای موثر بر دکل لنگرگیری نماییم و توجه داشته باشیم که  $H$  یعنی مولفه افقی کشش کابل رو به سمت چپ دکل عمل کند خواهیم داشت.

$$100H = 100,000(10) \quad H = 10,000 \text{ lb}$$

این مقدار  $H$  می‌بایستی جهت عمودنگهداشت دکل در کابل بوجود آید ولذا افت کابل می‌بایستی در عبارت زیر صدق کند.

$$10,000 = \frac{wL^2}{8h} = \frac{5.00(150)^2}{8h}$$

$$h = 1.41 \text{ ft}$$



شکل (۱۵-۵) کابل مهاری

در این حل تقریبی، شکل کابل سه‌می فرض شده و تحت اثر باری گستردگی و یکنواخت برابر با زیر در نظر گرفته شده است.

$$w = 4.16(180.2/150) = 5.00 \text{ lb/ft}$$

کشن حد اکثر در کابل مهاری در نقطه *B* اتفاق خواهد افتاد و با استفاده از معادله (۱۵-۶)

برابر با مقدار زیر خواهد شد.

$$T_{\max} = 10,000 \left[ 1.000 + 16 \left( \frac{1.41}{150} \right)^2 + \left( \frac{100}{150} \right)^2 + 8 \left( \frac{1.41}{150} \right) \left( \frac{100}{150} \right) \right]^{\frac{1}{2}} \\ = 12,240 \text{ lb}$$

با فرض این که کابل مانند میله‌ای که در امتداد خط اتصال دو انتهای کابل یعنی *A* و *B* قرار گرفته باشد می‌توان با تقریب قابل قبولی راه حلی برای مساله فوق ارائه نمود. چون طول

این خط برابر با  $\sqrt{180.2^2 + 100^2} = 12,000 \text{ lb}$  می‌باشد لذا کشن کابل برابر با

خواهد بود. تنها خطابی که بدین ترتیب در حل مسئله وارد می‌شود این است که در حقیقت شبکه کامل در نقطه *B* عمل "بیشتر از خط اتصال دو انتهای کابل می‌باشد و فقط زمانی که نسبت افت (یا شکم) کابل بزرگ باشد این اختلاف شبکه مهم خواهد بود.

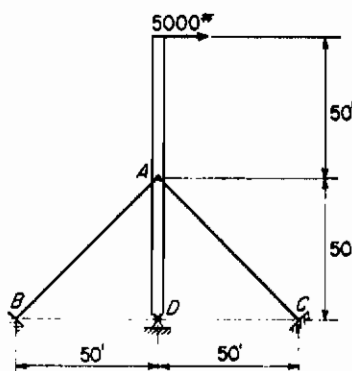
"معمولًا" برای این که از واژگونی دکل در بیش از یک جهت جلوگیری شود لازم است دکل یا سازه را با بیش از یک کابل مهاری، مهار نمود. در چنین حالاتی کابل‌های مهاری را تحت اثر کشن اولیه قرار می‌دهند این کشن اولیه حدود یک دوم کشن حد اکثر کابل در حال عمل می‌باشد. فرض کنید در سازه شکل (۱۵-۶) افت (یا شکم) کابل‌های *AB* و *AC* همان‌طوری که در فوق ذکر شد در حالی که باری افقی بمدکل اثربنگذست تنظیم کرده باشند و

بعاین ترتیب مولفه افقی کشش هریک از کابلها برابر با  $11,400 \text{ lb}$  باشد ، تحت یک چنین شرایطی کشش حد اکثر در هریک از کابلها بر حسب روش تقریبی مذکور در شکل (۱۰-۵) برابر با  $11,400 \text{ lb} = +8,500 \times 1.414 + 6,000 \text{ lb}$  خواهد شد .

اگر هاری افقی برابر با  $11,400 \text{ lb}$  بر نقطه فوقانی دکل اتر کند نیرویی افقی برابر با  $11,400 \text{ lb}$  توسط کابلها و رو بعست چه باید بر نقطه  $A$  جهت برقرار نمودن تعادل دکل وارد شود . با یک تحلیل تقریبی که منتهی به نتایج قابل قبولی می گردد می توان فرض کرد که این باره  $11,400 \text{ lb}$  از دیگر مولفه افقی کشش کابل  $AB$  به اندازه  $11,400 \text{ lb}$  و سبب تقلیل مولفه افقی کشش کابل  $AC$  برابر با همان مقدار خواهد شد ولذا  $H_{AB} = +11,000 \text{ lb}$  و  $H_{AC} = +1,000 \text{ lb}$  خواهد شد و بدین ترتیب کشش حد اکثر کابل برابر با مقدار زیر خواهد شد .

$$+11,000 \times 1.414 = +15,500 \text{ lb}$$

"عمل" وقتی بار  $11,400 \text{ lb}$  بر بالای دکل وارد می شود نقطه  $A$  به سمت راست حرکت می کند ، چون کابل  $AB$  امکان چنین حرکتی را می دهد لذا از دیگر طول ارجاعی پیدا کرده و شکم کابل کم می شود ولی شکم کابل  $AC$  از دیگر پیدا کرده و طول ارجاعی آن کم می شود . تحلیل دقیق تغییر ارجاعی طول کابل و شکم آن امکان پذیر می باشد ولی نسبه پیچیده است ، در مسائل متداول مربوط به طراحی راه حل تقریبی فوق قابل اجرا می باشد .



شکل (۱۰-۶) دکل مهار شده با کابل

#### ۱۰-۱۰ پلهای معلق معین

پلهای معلق را معمولاً "بنوعی می سازند که بارهای مرده آن کلا" توسط کابلها تحمل گردد ، که قسمت عمده بار مرده آنها ناشی از جاده بوده ولذا به صورت یک تواخت عمل می کند

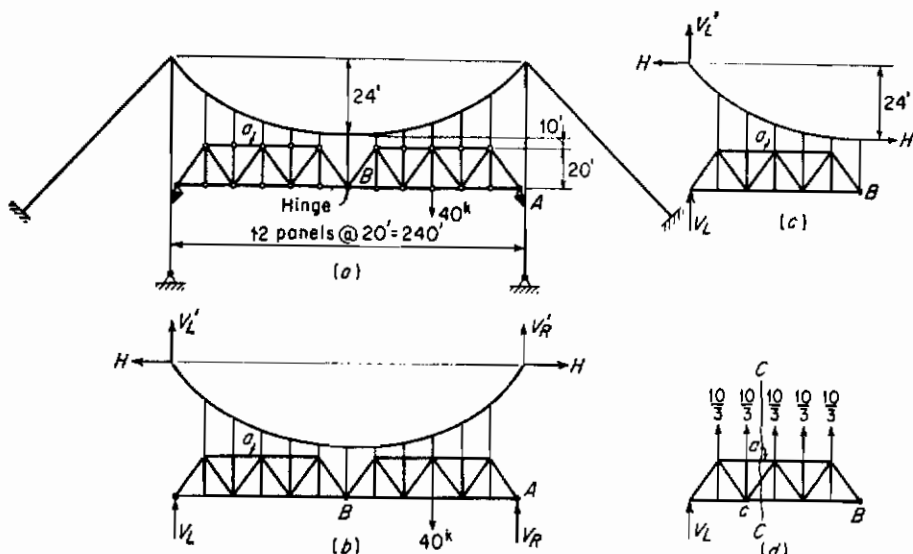
معمولًا" فرض می‌شود که بار مرده بهصورت یکواخت بر واحد طول افقی وارد شود و براساس چنین فرضی شکل کابلها تحت اثر بار مرده بهصورت سهمی خواهد بود . وقتی که بار زنده بهمنتظر ایجاد حد اکثر تنش در قطعات بر قسمتی از پل وارد می‌شود کابلها تعامل به تغییر شکل خود پیدا می‌کنند برای این که از تغییر موضعی شبیه جاده که می‌تواند بر اثر بار زنده مقدار زیاده از حدی پیدا کند جلوگیری شود معقولاً تیرهای عرضی کفسازی پل را توسط خرپاهایی مهار می‌کنند که این خرپاهای بمنوبت توسط آویزهایی بهکابلها آویزان می‌گردند . این چنین خرپاهای تقویت‌کننده‌ای سبب می‌شوند که بار زنده بمنحوی بهمندی آویز منقل شود که عملاً شکل کابل را زیر اثر بارهای زنده نیز بتوان بهصورت سهمی فرض نمود . تازمانی که شکل کابل بهصورت سهمی باقی می‌ماند باید بر آن چنان باری وارد شود که در واحد طول افقی بهصورت یکواخت باشد و چون فواصل آویزها یکسان می‌باشد چنین استدلالی منجر بهیکسان‌بودن کشش آویزها در کل دهانه پل می‌گردد . در تئوری "ارتجاعی" پلهای معلق، کشش در کلیه آویزهای دهانه یک پل یکسان فرض می‌گردد . عدم صحت کامل این تئوری را می‌توان با تئوری پیچیده‌تر و دقیق‌تری که تئوری "تغییر مکان" پلهای معلق می‌باشد نشان داد . البته تا زمانی که یک پل معلق طویل و خمس‌پذیر بماند تئوری ارتجاعی منجر بهنتایجی که زیاد خطأ ندارد خواهد شد .

اگر خرپاهای تقویتی یک پل معلق بهطوری که در شکل (۷-۱۵الف) نشان داده شده است دارای مفصل در وسط دهانه باشد . بهشرطی که کشش کلیه آویزها را یکسان فرض کنیم سازه ایجاد شده معین خواهد بود . کاربرد روابط مختلف مربوط بهکابلها یک پل معلق معین را می‌توان با تحلیل سازه بمنحوی که در شکل نشان داده شده است شرح داد . فرض کنید براین پل بار زنده‌ای برابر با ۴۰ kips همان‌طوری که در شکل نشان داده شده است اثر کند . تعادل کلیه نیروهای موثر بر آن قسمت از سازه را که در شکل (۷-۱۵ب) نشان داده شده است در نظر بگیرید ، مولفه افقی عکس العمل کابل در هردو انتهای آن برابر و دارای یک راستا خواهند بود ، اگر حول نقطه  $B$  لنگرگیری نماییم خواهیم داشت :

$$(V_L + V'_L)(240) - 40(60) = 0 \quad V_L + V'_L = +10 \text{ (به طرف بالا)}$$

حال تعادل کلیه نیروهای موثر بر آن قسمت از سازه را که در شکل (۷-۱۵ج) نشان داده شده است را با لنگرگیری از کلیه این نیروها حول مفصل  $B$  بررسی کنید .

$$(V_L + V'_L = 10)(120) + H(30) - H(54) = 0 \quad H = 50.0 \text{ kips}$$



شکل (۷-۱۰) پل معلق

در دهانه اصلی کشش حداکثر کابل در انتهای کابل بوجود آمده و بر حسب معادله (۷-۱۰)

$$\text{مقدار آن برابر با: } 50.0(1 + \frac{16}{100})^{1/2} = 53.9 \text{ kips}$$

اگر  $X$  کشش در هر یک از ویژها باشد، باریکتوخت مؤثر معادل با

$w = X/20$  kips/ft خواهد شد، برای محاسبه  $X$  می‌باشد از معادله  $H = wL^2/8h$  که در آن  $H = 53.9$  kips می‌باشد استفاده نمود.

$$50.0 = \frac{X}{20} \frac{(240)^2}{8(24)} \quad X = + \frac{10}{3} \text{ kips}$$

پس از آنکه کشش آن ویژها محاسبه گردید، نیروی میله‌های خرپای تقویتی به سادگی محاسبه خواهد شد، به عنوان مثال برای این که نیروی میله  $a$  محاسبه شود، ابتدا باید مقدار  $V_L$  را با لنگرگیری حول  $B$  از کلیه نیروهای مؤثر بر آن قسمت از سازه که در شکل (۷-۱۰) نشان داده شده است محاسبه نمود.

$$(رو به سمت پائین) - V_L = 25(20 + 40 + 60 + 80 + 100) = 0$$

در این سازه مخصوص دهانه‌های کناری پل حالت معلق ندارند و کابل‌های دهانه‌های کناری مانند مهاری برج عمل می‌کنند. مولفه افقی کشش کابل در دهانه میانی و کناری یکسان بوده و این مطلب را می‌توان با لنگرگیری حول مفصل پایه برج از کلیه نیروهای مؤثر بر برج اثبات نمود. فرض می‌شود که  $V_L$  در راستای خط مرکزی برج اثر می‌کند.

## ۱۱-۱۰ مسائل

۱-۱۰ کابلی بدهانه ۱,000 ft تعداد بار متتمرکز بفواصل افقی ۲۰۰ ft را تحمل می‌نماید. مقدار این بارها از جمی بعراست بر حسب kips برابر با ۱۰۰ ، ۵۰ ، ۲۰۰ و ۳۰۰ می‌باشد، انتهای راست کابل ۱۰۰ ft بالاتر از انتهای چپ آن است. حداقل فاصله عمودی بین کابل و خط اتصال دو انتهای کابل برابر با ۵۰ ft می‌باشد، با صرف نظر نمودن از وزن خود کابل مطلوب است.

(الف) فاصله عمودی کابل از نقطه اثر هریک از بارها

(ب) طول کابل

(ج) حداقل کشش کابل

۲-۱۰ دهانه‌های کناری یک پل معلق دارای دهانه‌ای برابر با ۵۰۰ in و نسبت افتی برابر با ۴۰٪ می‌باشد، شیب خط اتصال دو انتهای کابل با  $\tan \gamma = 0.7$  معین می‌گردد. بار مؤثر بر کابل برابر با ۱,000 lb بر هر فوت افقی است،  $E = 27,000,000 \text{ psi}$  و سطح مقطع کابل برابر با ۵۰ sq in می‌باشد.

(الف) شیب حداقل کابل چقدر است

(ب) حداقل کشش کابل چقدر است

(ج) طول کابل را بر حسب مقدار صحیح فوت (بدون اعشار) بیان کنید.

(د) طول بدون تنش کابل را بر حسب مقدار صحیحی از فوت (بدون اعشار) محاسبه کنید.

جواب:

(الف) ۰.۸ (ب) ۰.۶ (ج) ۳,۲۰۰ kips (د) ۶۰۹ ft

۳-۱۰ برای کابلهایی که تحمل باری یکنواخت در هر فوت افقی می‌نمایند تعدادی نمودار که از طریق آنها بتوان نسبت  $L/L$  را بر حسب تغییرات  $\theta$  از ۰ الی ۰.۲۵ و تغییرات مقادیر  $\gamma$  از ۰ الی ۱ بتوان تعیین نمود ایجاد کند.

۴-۱۰ کابلی بدهانه ۱,000 ft دارای خط اتصال دو انتهایی افقی می‌باشد این کابل باری یکنواخت بهشت ۱,۵۰۰ lb بر هر فوت افقی را تحمل می‌کند، درجه حرارت  $+50^{\circ}\text{F}$  و  $E = 27,000 \text{ kips}$  می‌باشد.

(الف) شکم کابل در وسط دهانه چقدر است.

(ب) طولی خالی از تنش کابل در  $+100^{\circ}\text{F}$  چقدر است.

۵-۱۰ نوک یک دکل توسط ۱۲ کابل مهاری که در پلان هریک با دیگری زاویه  $30^{\circ}$  می‌سازد مهار شده‌اند هریک از این کابلهای مهاری دارای دهانه ۴۰۰ ft بوده و ارتفاعی افقی برابر

با  $150 \text{ ft}$  می باشد و وزن هر کابل برابر با  $5 \text{ lb}/\text{ft}$  و شکم هریک از آنها  $4 \text{ ft}$  است  
(الف) فشار ناشی از کلیه کابلها که حاصل از عکس العملهای عمودی آنها می باشد بر دکل چقدر است.

(ب) حداقل نیرو در هر کابل مهاری چقدر است.

(ج) ارتفاع دکل برابر با  $150 \text{ ft}$  است، اگر بر نوک دکل نیرویی افقی برابر با  $100,000 \text{ lb}$  اثر کند مقادیر تقریبی حداقل کشش در هریک از کابلها چقدر است؟ (فرض کنید که هریک از این کابلها مهاری مقاومی در برابر این نیرو متناسب با کسینوس زاویه بین کابل مهاری و نیرو در پلان از خود نشان می دهد).

۱۰-۶-۱۵-۷-۶ (الف) دیده می شود دارای  $20 \text{ panel}$  فوتی و نسبت افتی برابر با  $1/5$  می باشد، ارتفاع خرپای تقویتی  $20 \text{ ft}$  می باشد.

(الف) اگر بار زنده بهشدت  $1,000 \text{ lb}/\text{ft}$  در کل میله های تحتانی اثر کند، کشش کابل را در دهانه آویزان آن محاسبه کرده و نیروی حداقل میله تحتانی اصلی خرپای تقویتی را تعیین کنید.

(ب) خطوط تأثیر را برای اعضا نامبرده زیر رسم کنید (۱) مولفه افقی کشن کابل (۲) کشن آویز (۳) نیروی قطعی خرپای تقویتی که در پانل دوم از برج سمت چپ قرار دارد.

(ج) بار مرده، مؤثر براین سازه برابر با  $5 \text{ kips}/\text{ft}$  می باشد. بار زنده اثر بار یکتاختی برابر با  $2 \text{ kips}/\text{ft}$  و بار متغیر کزی برابر با  $20 \text{ kips}$  تشکیل می گردد. با صرف نظر نمودن از اثر ضربه، سطح مقطع لازم برای هر آویزرا معلوم کنید. در این محاسبات تنش مجاز را  $50 \text{ kips}/\text{in}$  برای کشن کابل فرض نمایند.

جواب:

(الف)  $= 538.5 \text{ kips}$  (کشن حداقل کابل) میله های اصلی تحتانی باری تحمل نمی کنند.

(ب) (۱) خط تأثیر به طور خطی از مقدار صفر در یکی از دو انتهای آن شروع شده و تا  $2.50$  در وسط دهانه تغییر می کند.

(۲) خط تأثیر به طور خطی از مقدار صفر در یکی از دو انتها شروع شده تا  $0.10$  در وسط دهانه تغییر می کند.

(۳) خط تأثیر به طور خطی از مقدار صفر در انتهای چپ دهانه شروع شده به  $-0.192$  در دومین نقطه پانلی و از آنجا به  $+1.032$  در سومین نقطه پانلی و از آنجا به  $-0.495$  در وسط دهانه و بالاخره از آنجا تا  $0.0$  در انتهای دهانه راست تغییر می کند.

(ج)  $2.84 \text{ sq in}$



# ۱۱

## تحلیل تقریبی سازدهای نامعین

۱۱ - ۱ مقدمه

تحلیل کلیه سازه‌ها در عمل تقریبی است . زیرا همواره می‌بایستی برای تحلیل آنها چندین مفروض ابتداعی را بپذیریم تا بتوانیم محاسبات را بهانجام برسانیم برای مثال و قوی محاسبه یک خرپا با اتصالات مفصلی را شروع می‌کنیم فرض می‌نماییم که کلیه مفصلها بدون اصطکاک هستند تا این که میله‌های خرپا فقط نیروی محوری تحمل کنند بدینهی است ایجاد مفصل بدون اصطکاک غیرممکن بوده ولذا محاسبه خرپا عملاً "تقریبی" است ، از این‌رو است که می‌توان گفت هیچ تحلیلی بهصورت دقیق وجود ندارد .

بسیار روشی است که هرگاه در تعیین مفروضات محاسباتی یک سازه معین دقت بسیار کرده باشیم ، خطای ناشی از تقریبی‌بودن مفروضات ناچیز خواهد بود . تحلیل تنش سازه‌ها هرگاه براساس مفروضات متعارف استوار باشد به‌آن روش تحلیل "روشن دقیق" اطلاق می‌گردد . در اینجا هرگاه منظور ما از کلمه دقیق ، بهمعنای مطلق آن باشد می‌بینیم که انتخاب کلمه فوق صحیح نبوده است ولی از آنجائی که منظور ما از انتخاب آن کلمه برای چنان محاسباتی متمایز‌بودن "محاسبات براساس مفروضات متعارف" با محاسباتی که براساس مفروضات اضافی دیگری نیز استوار است می‌باشد ، لذا انتخاب کلمه فوق‌الذکر انتخاب بجائی است زیرا اگر روش محاسباتی نخست روش نسبتاً "دقیقی" باشد روش دوم محاسباتی بهمعنی واضح کلمه تقریبی است .

وقتی از روش تقریبی یک مساله معلوم محاسباتی صحبت می‌شود الزاماً به‌هیچ مجموعه مفروضات مشخصی اشاره نمی‌گردد زیرا یک روش تقریبی معلوم همواره بر اساس مدت زمان داده شده و دقت محاسباتی درخواست گردیده انتخاب و بهکار برده می‌شود .

در حل مسائل محاسباتی متعارف سازه‌ها می‌توان از روش‌های تقریبی که توسط پیشینه‌بان ابداع گردیده است و توسط آنان درجه دقت آن روش‌ها مشخص گردیده است با خاطر آسوده

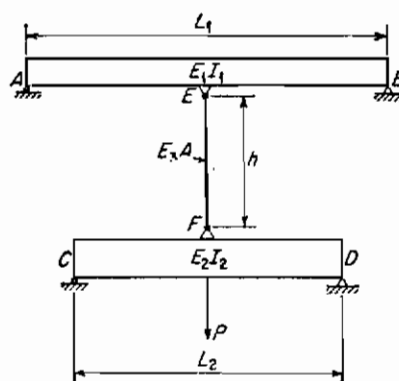
استفاده نمود. البته روش‌های تقریبی، محاسبات کلیه سازه‌های نامعین را در بر نمی‌گیرد یک محاسب ماهر تنش محاسباتی باید بهاندازه کافی با عملکرد سازه‌های نامعین آشنا باشد تا بتواند در شرایطی که مشخصات سازه‌ای با مفروضات قبلی او تطابق ندارد مفروضات صحیحی جهت محاسبه آن سازه اتخاذ نماید.

در این فصل تعدادی از روش‌های تقریبی تحلیل سازه‌های متعدد نامعین ارائه شده است پادگیری این روشها بسیار مهم است، ولی مهمنراز آن درک عملی است، که جهت تعیین فرضیات هوشیارانه حاکم براین روشها بکارگرفته شده است، زیرا چنین درکی محاسب را قادر می‌سازد که روش مشابهی برای سایر سازه‌های نامعین که در این فصل به حل آنها نپرداخته‌ایم ابداع نماید.

### ۱۱-۲) همیت روش‌های تقریبی در تحلیل سازه‌های نامعین

در تحلیل یک سازه معین مشخصات ارجاعی قطعات آن وارد عملکرد محاسباتی نمی‌شود. بدین جهت برای چنین سازه‌هایی می‌توان روش بررسی تنش نسبتاً "ساده و دقیقی" به کاربرد. در سازه‌های نامعین همواره مشخصات ارجاعی قطعات آن سازه در تعیین تنش قطعات وارد می‌شوند این مشخصات عبارتند از ضریب ارجاعی، سطح مقطع لنگر لختی سطح مقطع و طول قطعه. برای تفہیم بهتر مطلب می‌توان از شکل (۱-۱۱) کم کرفت.

فرض کنید که سختی تیر  $AB$  نسبت به سختی تیر  $CD$  کم باشد به‌این معنی که نسبت به  $E_1I_1/L_1^3$  مقدار کمی را به دست دهد، در این صورت تیر  $CD$  قسمت بیشتری از بار  $p$  را نسبت به تیر  $AB$  تحمل خواهد کرد. حال تصور کنید که قطعه کشی  $EF$  که دو تیر



شکل (۱-۱۱) اثر مشخصات ارجاعی در محاسبه تنش

را بهم متصل می‌کند از سختی بسیار کمی برخوردار باشد یعنی که مقدار  $E_{\text{eff}}/h$  کم باشد مثلاً "جنس آن از لاستیک که دارای ضریب ارجاعی ناچیزی است ساخته شده باشد با این شرط اخیر تیر  $CD$  بازهم قسمت بیشتری از بار  $M$  را نسبت به حالت نخست تحمل خواهد کرد. هرگاه مقادیر محاسباتی عواملی را که در تعیین سختی قطعات یک سازه نامعین وارد می‌شوند را بتوانیم دقیقاً مشخص کنیم، محاسبه چنین سازه‌ای از همان دقت محاسباتی سازه‌های معین برخوردار خواهد بود ولی در عمل سه عاملی که ذیلاً ذکر شده است ممکن است از انجام یک محاسبه دقیق جلوگیری نماید.

- ۱- فرد محاسب معلومات کافی و لازم برای حل سازه‌های نامعین نداشته باشد.
- ۲- زمان لازم برای انجام یک محاسبه دقیق چنان طولانی باشد که عمل "راه حل دقیق محاسباتی کنار گذاشته شود، مثلاً" در برخی موقع نمودار زمانی، تعیین کننده زمان ارائه محاسبات می‌باشد و یا در سایر موارد ملاحظات اقتصادی ممکن است انتخاب روش محاسباتی تقریبی را تجویز نماید، بدین صورت که امکان دارد به کاربردن مصالح به همراه ضریب اطمینان بالاتر - که می‌تواند نتیجه اتخاذ راه حل تقریبی باشد - به قناعت در بکاربردن مصالح به همراه ضریب اطمینان کمتر - که امکان دارد نتیجه دقیق تنشها باشد - ارجحیت داشته باشد. این نوع اتخاذ تصمیم امکان دارد در محاسبات مربوط به سازه‌های کم-اهمیت و در محاسبات قسمتها کم اهمیت سازه‌های مهم به عمل آید. در این موارد محاسب با قضاوتی که در مورد درصد خطای ناشی از به کار گرفتن روش تقریبی محاسباتی به عمل می‌آورد ممکن است به انتخاب روش تقریبی اقدام نماید.

- ۳- وقتی که محاسبه یک سازه نامعین شروع می‌شود، مقدار سطح مقطع و لنگر لختی مقطع کلیه قطعات آن نامعلوم است برای این که تخمین تقریبی در مورد مقادیر فوق الذکر بددست آید باید اقدام به یک محاسبه تقریبی تنش در قطعات سازه نمود، پس از انجام چنین محاسبه تقریبی و تعیین مقاطع می‌توان محاسبات دقیق ارجاعی را شروع نمود، عموماً اولین محاسبه دقیق ارجاعی نشان می‌دهد که تنش واقعی با آنچه به صورت تقریبی به دست آمده تطابق ندارد، از این پس فقط به کمک محاسبات متعدد می‌توان به نتیجه مطلوب نهایی رسید، از این‌رو روش تحلیل تقریبی در سازه‌های نامعین می‌تواند در بررسیهای ابتدایی این نوع سازه‌ها بسیار مفید باشد.

### ۱۱- ۳- تعداد مفروضات لازم

"چنانکه قبل" نیز به نوعی اشاره شد برای این که بتوان به محل سازه‌ای فقط بر اساس

معادلات تعادل اقدام نمود باید همواره بهتعداد مولفه‌های مستقل نیرو که در داخل سازه می‌باشند معلوم گردد معادله مستقل تعادل وجود داشته باشد . اگر تعداد  $n$  مولفه مستقل تعادل وجود داشته باشد، سازه مورد نظر نامعین از درجه  $n$  خواهد بود . از این رو برای این که بتوان سازه را براساس روش تقریبی یعنی فقط با استفاده از تعادل محاسبه نمود می‌باشند  $n$  فرض مستقل که هر یک از این فرضها تأمین کننده یک معادله با رابطه مستقل تعادل باشد ابداع نمود .

هرگاه تعداد مفروضات ابداعی کمتر از  $n$  باشد سازه را نمی‌توان فقط براساس تعادل محاسبه کرد و اگر تعداد فرضیات بیشتر از  $n$  باشد فرضیات با یکدیگر تناقض داشته و عملکرد براساس معادلات تعادل استوار برفرضیات فوق منتهی به جوابهای متناقض خواهد شد . اولین قدمی که در کاربرد روش تقریبی محاسبه سازه‌های نامعین می‌باشند برداشت اینست که درجه نامعینی سازه را دریافت . سپس بهتعداد درجه نامعینی سازه فرض اضافی ابداع نمود .

#### ۱۱-۴ خرپای نردنی با دو عضو قطری

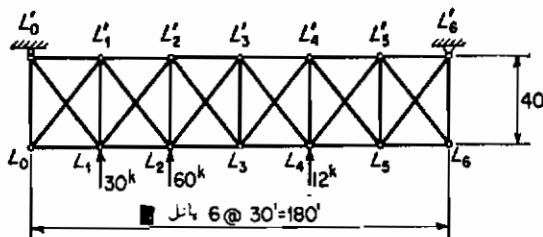
چنین خرپاهایی به صورت فراوان در سازه‌های مهندسی به کار برده می‌شود . بعنوان مثال خرپاهای افقی تحتانی و فوقانی پلهای فلزی<sup>\*</sup> به این صورت طرح می‌شوند . روش تقریبی تحلیل چنین خرپایی در مورد خرپای شکل (۲-۱۱) شرح داده شده است . در این خرپا فرض براین است که میله‌های میانی (قطریها) خرپا قادر به تحمل کشش و یا فشار هستند . در اولین وله دیده می‌شود که این خرپا نامعین از درجه شش است ، زیرا هرگاه در هر یک از پالنهای خرپا قطری را حذف کنیم آنچه که باقی خواهد ماند یک خرپایی معین خواهد بود . لذا لازم است که همسو با شرایط تنش شش فرض مستقل ابداع نمائیم ، فرض می‌شود که در هر پانل برش موجود بهتساوی توسط دو میله قطری تحمل شود از آنجایی که شش پانل وجود دارد لذا این فرض معرف شش فرض مستقل است .

حال بسیار ساده است که فقط با استفاده از روابط تعادل به حل سازه بپردازیم . در شکل (۲-۱۱) حل خرپای فوق را ارائه گردهایم در این شکل از روش نیروهای راهنمای "استفاده شده است . برش در هر پانلی از خرپا ابتدا به کمک نیروهای خارجی محاسبه شده است ، به این صورت که مثلاً در پانل ۲-۱ مقدار برش برابر  $39 \text{ kips}$  است این برش بهتساوی بین میله‌های  $L_1$  و  $L_2$  تقسیم می‌شود ، به این صورت نیروی راهنمای این دو میله به ترتیب برابر

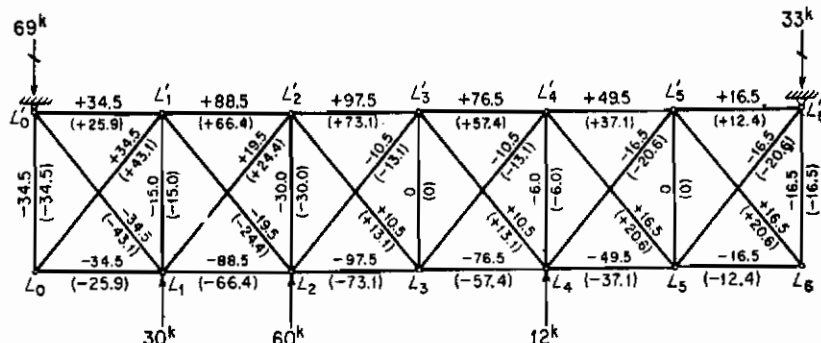
\* این خرپاهای مهارکننده پلهای در برابر نیروهای افقی می‌باشند (متترجم)

+19.5 و -19.5 خواهد شد و به همین ترتیب نیروی راهنمای سایر میله‌های قطری محاسبه می‌گردد، با استفاده از نیروی راهنمای میله‌های قطری نیروی راهنمای سایر میله‌ها (میله‌های اصلی) قابل محاسبه خواهد بود\*. در شکل ۱۱-۳ نیروهای واقعی میله‌ها در داخل پرانتز نشان داده شده است.

در چنین خرپا‌هایی بیشتر معمول است که قطریهای خرپا را به کشن محسوب کنند، به این صورت که در طرح طول کمانشی (طول نگهداری نشده - فاصله دوسر میله - میله تقسیم بر شاعع زیرا سیون حداقل مقطع میله آنها را زیاد اختبار می‌کنند تا به راحتی زیربارفشاری کمانه کنند، و قطری دیگر حد اکثر نیروی برشی پانل را به صورت کشن تحمل کند. البته با در نظر گرفتن جهت نیروی برشی در هر پانل می‌توان از ابتدا به راحتی فهمید که کدامیک از قطریهای به کشن کار خواهد کرد. در مثال فوق اگر خرپا را بخواهیم با فرض تحمل کشن قطریهای حل کنیم نیروی داخلی میله‌های قطری را که تحمل فشار می‌کنند باستی برابر با صفر قرار دهیم به این ترتیب به نحوی دیگر خرپای فوق معین شده و تکمیل بقیه محاسبات مربوطه به مشکلی برخواهد خورد.



شکل (۱۱-۲) خرپا با قطریهای ضاغف

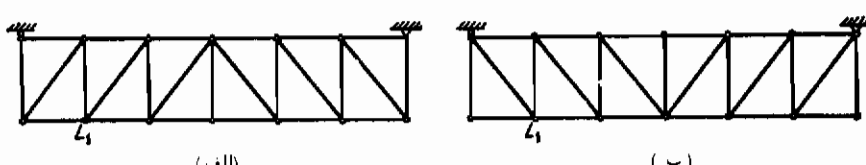


شکل (۱۱-۳) مثال مشروع

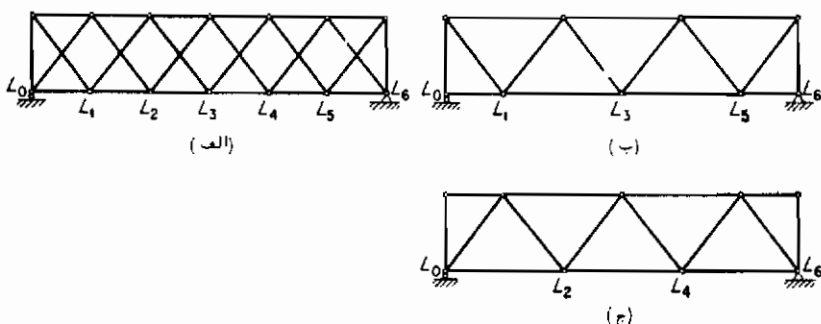
\* جهت توضیح بیشتر به مثال (۴-۹) مراجعه شود.

### ۱۱-۵ خرپای چند گونه

در برخی از موقع خرپاهایی که از نظر آرایش میله‌های داخلی نامعین هستند قابل تجزیه بندو یا چند نوع مختلف خرپای معین می‌گردید، به عنوان مثال خرپای شکل (۱۱-۲) می‌تواند مجموع دو خرپای شکل (۱۱-۴) باشد. در خرپاهای اخیر نیرویی که به‌گرهی نظری  $L_1$  اثر می‌کند می‌تواند توسط یکی از خرپاهای شکل (۱۱-۴) تحمل شود گرچه نمی‌توان چنان بار وارد شده‌ای را فقط مختص یکی از خرپاهای تشکیل دهنده فوق به حساب آورد. حال به‌خرپای شکل (۱۱-۵ الف) که فقط یک درجه نامعین می‌باشد توجه کنید این خرپا را می‌توان به دو خرپا مطابق شکل‌های (۱۱-۵ ب) و (۱۱-۵ ج) تجزیه نمود. اگر باری به‌یکی از گرههای این خرپا اثر کند می‌توان فرض کرد که بار واردۀ فقط توسط یکی از خرپاهای تجزیه شده تحمل می‌شود. برای مثال فرض کنید که باری عمودی به‌یکی از گرههای  $L_1$ ،  $L_2$  و  $L_3$  اثر می‌کند در این صورت می‌توان تصور نمود که فقط خرپای شکل (۱۱-۵ ب) این بار را تحمل می‌کند زیرا میله‌های قطری این خرپا در این حالت قادر به تحمل آن خواهند بود اگر فرض کنیم که خرپا شکل (۱۱-۵ ج) آن نیرو را تحمل کند در این صورت میله‌های اصلی تحتانی خرپا تحمل خم ش خواهند نمود از آنجایی که کلیه میله‌های یک خرپا تحت اثر نیروهای محوری محاسبه می‌شوند لذا نمی‌توان پذیرفت که خرپای شکل (۱۱-۵ ج) در گرههای  $L_1$ ،  $L_2$  و  $L_3$  تحمل بار نمایند به‌همین ترتیب می‌توان استدلال نمود که نیروهای واردۀ بر خرپای شکل (۱۱-۵ ج) تحمل می‌شوند. بنابراین نیروهای واردۀ بر خرپای شکل (۱۱-۵ الف) را می‌توان به‌تناسب این که به‌کدام یک از گرههای خرپا وارد می‌شوند به‌یکی‌سی از خرپاهای تشکیل دهنده آن نسبت داد و چون هردو خرپای تشکیل دهنده خرپای معین می‌باشند لذا تعیین نیروهای میله‌های خرپا به‌سادگی انجام پذیر می‌باشد پس از حل کامل هردو خرپای تشکیل دهنده تعیین نیروهای داخلی خرپای واقعی با رویهم‌گذاری نیروهای میله‌های خرپاهای تشکیل دهنده با یکدیگر انجام پذیر خواهد بود. بعاین صورت که نیروهای میله‌های قطری به‌همان مقدار که در هریک از خرپاهای تشکیل دهنده به‌دست آمده



شکل (۱۱-۴) خرپاهای تشکیل دهنده خرپای شکل (۱۱-۲)



شکل (۱۱-۵) خرپای چندگونه

است باقی می‌ماند ولی نیروهای میله‌های فوقانی و تحتانی و میله‌های عمودی کناری با جمع جبری مقادیر به دست آمده در دو خرپای فرعی انجام پذیر خواهد بود.

چون خرپای شکل (۱۱-۵ الف) یک درجه نامعین می‌باشد لذا روشی که برای حل آن اتخاذ شد براین اصل استوار است که نیروی برشی در یک پانل بین دو میله قطربی آن پانل به نوعی تقسیم می‌شود که گویی این میله‌ها به صورت مستقل هر یک یعنی از خرپاهای تشکیل دهنده اختصاص داشته باشند و این خرپاهای نیز به صورت مستقل تحت تأثیر بار عمل کنند، فرضی که به صورت فوق در مرور تقسیم نیروی برشی در یک پانل اتخاذ شد منتج به این مطلب می‌شود که تقسیم نیروی برشی بر همان اساس در سایر پانلها مستقیماً "توسط معادلات تعادل انجام گیرد، به این صورت فرض دیگری در حل این خرپا انجام نگرفته است.

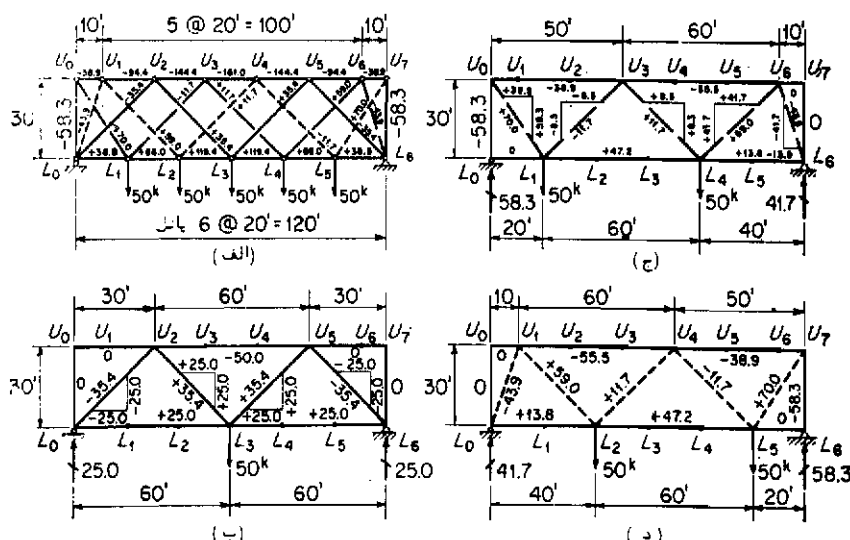
برای روشن شدن روشی که در مورد حل خرپاهای قابل تجزیه به کار بردهیم خرپای شکل (۱۱-۶ الف) را مورد بررسی قرار می‌دهیم، این خرپا را چنانکه در روی شکل با خطوط پر، تیره و خط چین نشان داده ایم می‌توان ترکیبی از سه خرپا را دانست. نیروهای محوری میله‌های خرپای تشکیل دهنده را در شکل‌های (۱۱-۶ ب) الی (۱۱-۶ د) نشان داده ایم، با استفاده از مقادیر به دست آمده برای میله‌های خرپاهای تشکیل دهنده نیروهای میله‌های خرپای شکل (۱۱-۶ الف) را تعیین کرده ایم، مثلاً نیروی محوری میله  $L_1$  و  $L_2$  کلاً برابر با مقداری است که در خرپای شکل (۱۱-۶ ب) برای آن به دست آمده  $(+35.4)$  در صورتی که برای تعیین نیروی میله  $L_1$  و  $L_2$  جمع نیروهای به دست آمده برای این میله در کلیه خرپاهای تشکیل دهنده را به صورت زیر به دست آورده ایم:

$$-50.00 - 38.9 - 55.5 = -144.4$$

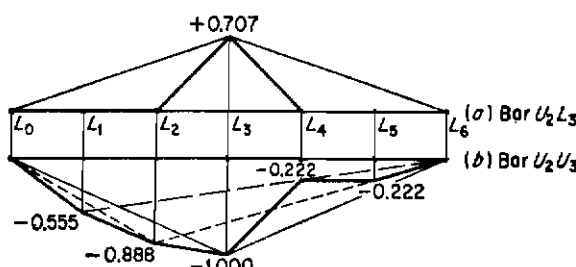
برای این که خط تأثیر نیروی محوری هر یک از میله‌های خرپاهای چندگونه را رسم کنیم می‌بایستی به همان روش فوق الذکر عمل نماییم، در شکل (۱۱-۷ الف) و (۱۱-۷ ب)

خطوط تأثیر میله‌های  $U_0U_1$  و  $U_0U_2$  رسم شده است، چون  $U_0U_1$  یک عضو از خرپای شکل (۱۱-۶ ب) می‌باشد ابتدا با در نظر گرفتن فقط آن خرپا، خط تأثیر میله فوق رسم شده است، دراین خط تأثیر بعد  $L_7$  تنها بعد معنی دار می‌باشد زیرا هرگاه نیروی واحد به مریک از گره‌های دیگر اثر کند آن نیرو توسط خرپای تشکیل‌دهنده دیگری تحمل شده و لذا نیروی محوری  $U_0U_2$  برابر صفر خواهد شد، از آنجایی که خط تأثیر شده بین دو گره انتهای یک پانل به صورت خطی می‌باشد لذا خط تأثیر نیروی این میله به صورت خط بُر رنگی که در شکل (۷-۱۱) رسم شده است خواهد بود.

میله  $U_0U_3$  عضوی از کلیه خرپاهای تشکیل‌دهنده خرپای اصلی می‌باشد اگر این میله را به نوبت عضوی از هریک از سه خرپای نشان داده شده در شکل‌های (۱۱-۶ ب) الی (۱۱-۶ د) بدانیم خط تأثیر آن میله در هریک از حالات فوق به ترتیب



شکل (۱۱-۶) مثال عددی



شکل (۷-۱۱) خطوط تأثیر خرپای شکل (۱۱-۶)

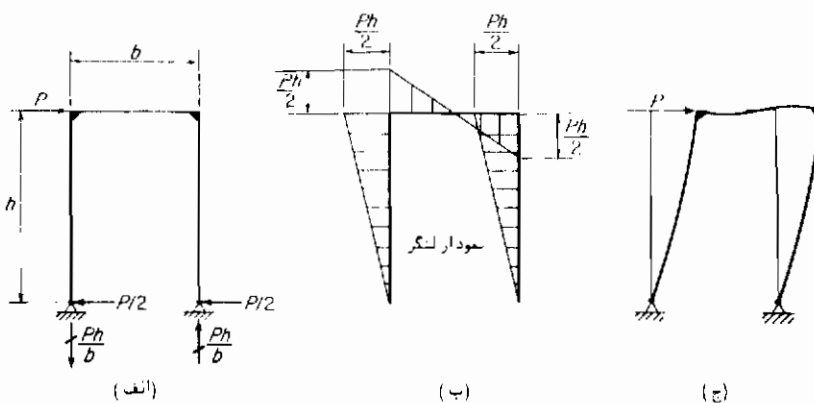
بهصورت خطوط پر، تیره و خط چیز در شکل (۱۱-۷ ب) خواهد بود. بعد از در خط تأثیر مربوط به خرپای شکل (۱۱-۶ ب) تنها بعد معنی دار آن خط تأثیر و بعدهای نقاط  $I_1$  و  $I_2$  تنها بعدهای معنی دار خط تأثیر خرپای شکل (۱۱-۶ ج) و بعدهای نقاط  $I_3$  و  $I_4$  تنها بعدهای معنی دار خط تأثیر خرپای شکل (۱۱-۶ د) می‌باشد. این نقاط معنی دار در شکل (۱۱-۷ ب) با خط پررنگ بهم متصل شده است که نمایانگر خط تأثیر میله  $\frac{1}{2}$  می‌باشد.

#### ۱۱-۶ پرتالها

پرتالها نظیر پرتالهای پلی که در بخش (۲۱-۱) شرح داده شد اصولاً "جهت انتقال نیروهای افقی موثر به انتهای فوچانی ستون آن بهمی بکار گرفته می‌شوند، با اندگی دقیق می‌توان دریافت که یک قاب نامعین برای این منظور بسیار مناسب خواهد بود ولی اغلب ترجیح می‌دهند که در حل این سازه نامعین از روش‌های تقریبی استفاده کنند. پرتال شکل (۱۱-۸ الف) را در نظر بگیرید می‌بینید که کلیه قطعات آن قادر به تحمل لنگر خمشی، برش و نیروی محوری می‌باشد، ستونها در انتهای بهصورت مفصلی به تکیه‌گاه متصل‌اند و از طرف دیگر توسط اتصال صلبی به شاهتیر قاب وصل شده‌اند. از آنجایی که این قاب فقط پک درجه نامعین می‌باشد لذا در حل تقریبی آن یک فرض اضافی کفايت خواهد کرد، بررسی دقیق این نوع سازه‌ها نشان می‌دهد که نیروی برشی موثر بر قاب تقریباً "به نسبت مساوی بین دو ستون قاب تقسیم می‌شود، به این جهت می‌توان فرض نمود که عکس العمل افقی ستونها برابر پک‌پک و یا هریک برابر  $P/2$  باشد".

سایر مجھولات را می‌توان با بهکاربردن معادلات تعادل به دست آورد، به این ترتیب که عکس العمل عمودی ستون سمت راست با لنگرگیری حول مفصل ستون سمت چپ به دست آمده و عکس العمل ستون سمت چپ با بهکاربردن معادله  $\sum F_y = 0$  در کل سازه معلوم می‌شود حال که کلیه مقادیر عکس العملها معلوم شده است می‌توان به راحتی نمودار لنگر خمشی و تلاش برشی را که بهصورت گوایی تغییرات لنگر خمشی را در مقاطع مختلف قاب به دست می‌دهد رسم نمود (شکل ۱۱-۸ ب). دقیق در منحنی تغییر شکل پرتال تحت اثر نیروی  $M$  که در شکل (۱۱-۸ ج) با مقیاسی غیر واقعی نشان داده شده است به درک مطلب کمک بسیاری می‌نماید. حال به پرتال دیگری که به نوعی شبیه پرتال شکل (۱۱-۸ الف) می‌باشد توجه کنید

\* این فرض زمانی منطقی است که قاب قرینه بوده و منحنی خمشی ستونها با یکدیگر برابر باشد. حال پاسخ دهید که اگر سختی خمشی ستونها متفاوت باشد چه فرضی منطقی خواهد بود.



شکل (۸-۱۱) قاب پرتال

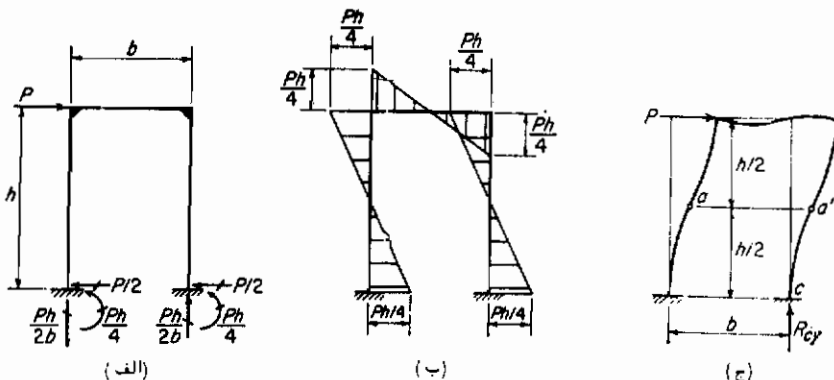
تفاوت این پرتال که در شکل (۸-۹ الف) نشان داده شده با پرتال قبلی این است که ستونهای آن در انتهای به صورت گیردار بقیه خود متصل شده‌اند، این سازه سه‌درجه نامعین می‌باشد و لذا برای حل آن می‌بایستی سه فرض اضافی تعیین کنیم، مانند پرتالی با تکیه‌گاه مفصلی می‌توان فرض کرد که عکس‌العمل‌های افقی این قاب نیز برابر بگیر و هریک برابر باشد از طرف دیگرها دقت در منحنی تغییر شکل این پرتال که در شکل (۸-۹ ج) نشان داده شده‌است متوجه می‌شویم که در حدود مقطع میانی نقاطی هستند که در منحنی تغییر شکل ستونها انجنای خود را در این نقاط تغییر می‌دهند این نقاط همان نقاط عطف می‌باشند که در آن نقاط لنگر خمشی تغییر علامت می‌دهد و لذا مقدار لنگر خمشی در این نقاط برابر صفر می‌باشد، باین ترتیب دو فرض اضافی دیگر را بدین صورت می‌توان تعیین نمود که نقاط عطف در مقطع میانی ستونها واقع شده‌اند، از نظر محاسباتی چنین فرضی معادل با این است که در نقاط  $a$  و  $a'$  (شکل ۸-۱۱ ج) دو مفصل ایجاد کرده باشیم. عکس‌العمل‌های عمودی این پرتال برابر نیروی محوری ستونهای آن می‌باشند که این نیروهارا می‌توان به ترتیب با لنگرگیری حول  $a$  و  $a'$  از کلیه نیروهایی که در بالای این نقاط عمل می‌کنند بددست آورد، برای مثال هرگاه حول نقطه  $a$  لنگرگیری نمائیم خواهیم داشت،

$$+P\frac{h}{2} - R_{av}b = 0 \quad R_{av} = +\frac{Ph}{2b}$$

لنگرگیری تکیه‌گاههای ستونها برابر خواهد بود با مقدار تلاش برشی در نقاط عطف ضرب در فاصله این نقاط از تکیه‌گاهها، باین ترتیب مقدار لنگرگیری تکیه‌گاهها برابر خواهد شد با:

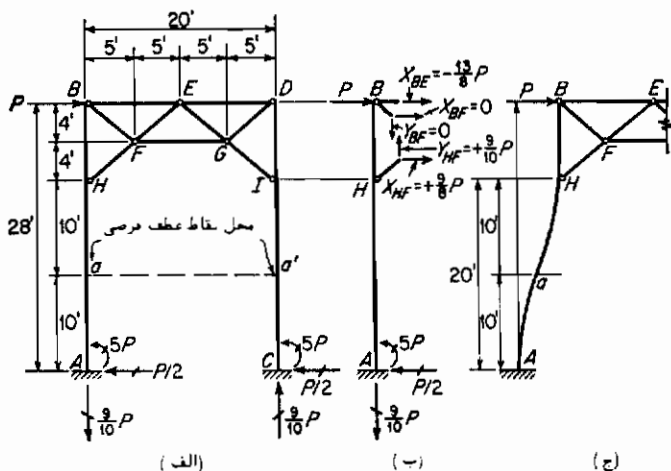
$$(P/2)(h/2) = Ph/4$$

پس از تعیین مقادیر عکس‌العملها به راحتی می‌توان مقدار تلاش برشی و لنگر خمی را برای کلیه مقاطع پرتابل تعیین نمود، در شکل (۱۱-۹ج) نمودار تغییرات لنگر خمی ترسیم شده است.



شکل (۱۱-۹) قاب پرتابل با تکیه‌گاه گیردار

پرتابل پلها اغلب به صورتی که در شکل (۱۱-۱۵) نشان داده شده است ساخته می‌شود، در یک چنین پرتابلی ستونهای  $AB$ ،  $CD$ ، به صورت یکره از  $A$  تا  $B$  و از  $C$  تا  $D$  به نوعی طراحی می‌شود که قادر باشند تلاش برشی، لنگر خمی و همچنین نیروی محوری تحمل نمایند، سایر قطعات این پرتابل از جمله قطعات خرپای آن را با اتصالات مفصلی در نظر بگیرید، چنین سازه‌ای سه درجه نامعین خواهد بود و برای حل آن سه فرض اضافی زیر را تعیین می‌کنیم:



### شکل (۱۰-۱۱) پرتاب پلیها

۱- عکس‌العملهای افقی برابر یک‌یگزند.

۲- نقطهٔ عطفی در مقطع میانی ستون  $AB$  بهیک فاصله از  $A$  و  $H$  وجود دارد.

۳- نقطهٔ عطفی در مقطع میانی ستون  $CD$  بهیک فاصله از  $C$  و  $I$  وجود دارد.

بماين ترتيب عکس‌العملهای افقی تکيه‌گاهها هریک برابر  $P/2$  شده و لنگرگيرداری تکيه‌گاهی هریک از ستون‌ها برابر خواهد شد با حاصل ضرب تلاش برشی در نقاط عطف در فاصله اين نقاط از تکيه‌گاهها ولذا برابر خواهد شد با:

$$(P/2) = 5P \quad (10)$$

مقادير عکس‌العملهای عمودی با لنگرگيري حول نقاط عطف از کلیه نیروهایی که بالاتر از نقاط  $a$  و  $a'$  بهسازه اثرمی‌کنند معلوم می‌شود و بماين ترتيب اين چنین معادلاتی مقادير عکس‌العملهای عمودی را هریک برابر با  $9P/10$  درجهتهای نشان داده شده روی شکل معین خواهد کرد.

برای تعیین نیروهای داخلی میله‌های متصل بهستونها، بماين صورت می‌توان عمل نمود. فرض کنید که ستون  $AB$  یک قطعهٔ صلب است و از کلیه نیروهای مؤثر بر آن حول نقطه  $B$  لنگرگيري نمایید. خواهیم داشت:

$$\begin{aligned} +\frac{P}{2}(28) - 5P - X_{HF}(8) &= 0 & X_{HF} &= +\frac{9P}{8} \\ \therefore Y_{HF} &= +\frac{9P}{8}\left(\frac{4}{5}\right) = +\frac{9P}{10} \end{aligned}$$

برای تعیین نیروی محوری میله  $BF$  کافی است که معادله  $\Sigma F_y = 0$  را در مورد کلیه نیروهای مؤثر بر ستون  $AB$  بنویسید.

$$+Y_{BF} - \frac{9P}{10} + \frac{9P}{10} = 0 \quad \therefore Y_{BF} = 0 \quad \therefore X_{BF} = 0$$

برای تعیین نیروی محوری میله  $BE$  بایستی معادله  $\Sigma F_z = 0$  را در مورد کلیه نیروهای مؤثر بر ستون  $AB$  بنویسید.

$$+X_{BE} + 0 + \frac{9P}{8} + P - \frac{P}{2} = 0 \quad \therefore X_{BE} = -\frac{13P}{8}$$

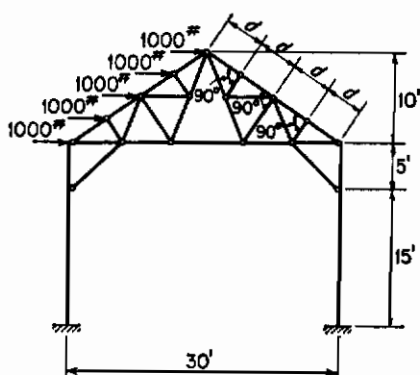
پس از آن که مقادير کلیه نیروهای مؤثر بر ستون  $AB$  چنانکه در شکل (۱۱-۱۰) نشان داده‌ایم معلوم شد. نیروی محوری در هر مقطع ستون قابل محاسبه بوده و می‌توان تعدادار تغییرات تلاش برشی و لنگر خمشی را برای ستون رسم نمود. ستون  $CD$  رانیز به همین طریق می‌توان بررسی نمود. بدیهی است که پس از آن تعیین سایر نیروهای مجهول سازه به راحتی قابل محاسبه خواهد بود.

### ۱۱-۷ خرپاهاي قابي کارخانهها

خرپاهاي قابي کارخانهها اغلب به صورت شکل (۱۱-۱۱) ساخته می‌شود، روش تحلیل تقریبی این سازه‌ها هرگاه تحت تأثیر نیروهای افقی واقع شده باشد براساس فرضیاتی استوار است که در مورد پرتال شکل (۱۱-۱۵) انجام گرفت، بدین صورت که عکس العملهای افقی ستونها با یکدیگر برابر بوده و دونقطه عطف در ارتفاع ۷.۵ فوتی ستونها از هم قرار دارد. پس از این فرضیات کاربرد معادلات تعادل برای حل این سازه دقیقاً بهمان روش کلی که در مورد پرتال‌ها گفته شد، استوار می‌باشد.

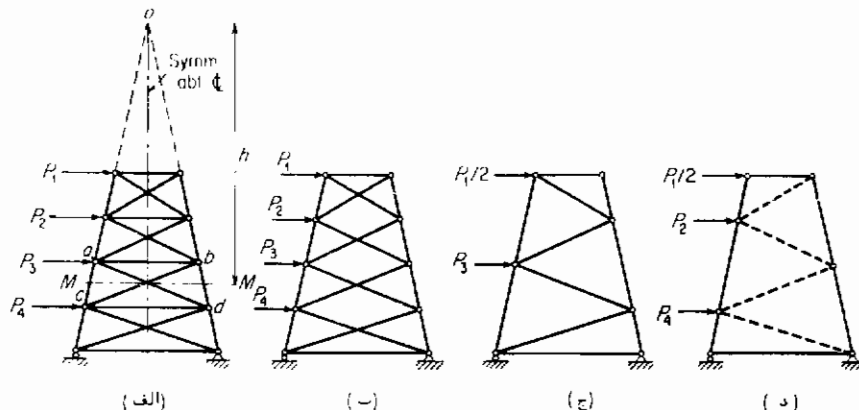
### ۱۱-۸ برجها با پایه‌های مستقیم

اگر پایه‌های یک برج معین در طول خود از یک شبیک پکواخت برخوردار باشد، هریک از صفحات برج در یک صفحه واقع خواهد شد، برای حل یک چنین برجی تحت اثر بارهای جانبی می‌توان ابتدا کلیه نیروهای موجود را بهدو مولفه واقع در صفحه‌های مجاور نقطه اثر نیرو تجزیه نموده و سپس می‌توان هریک از خرپاهاي مستوي صفحات جانبی برج را تحت اثر مولفه‌های نیروی واقع در صفحه خرپا مورد بررسی قرار داد، یک چنین روش مستقیماً "نیروهای داخلی میله‌های میانی خرپاها را به دست خواهد داد ولی نیروی محوری پایه‌ها را می‌توان با جمع جبری مقادیر به دست آمده در خرپاهاي مستوي مجاور یکدیگر که در آن پایه مشترک می‌باشد معین نمود.



شکل (۱۱-۱۱) خرپاهاي قابي کارخانه

معکن است خرپاهای هریک از صفحات برج نامعین داخلی باشند، در یک چنین مواردی تحلیل برج می‌تواند به همان روش تبدیل برج به خرپاهای مستوی انجام گیرد، ولی هرگاه بخواهیم که حل سازه فقط به کمک معادلات تعادل انجام گیرد بدیهی است که فرضیات اضافی مناسبی موردنیاز خواهد بود.



شکل (۱۲-۱۱) خرپای برجی

فرض کنید در شکل (۱۲-۱۱ الف) بخواهیم نیروهای داخلی میله‌های قطری پانل  $abcd$  را تعیین کیم مقطع  $M-M$  را از محل تقاطع دو میله قطری این پانل عبور می‌دهیم و نسبت به نقطه  $o$  که محل تقاطع امتداد پایه‌های خرپاست از کلیه نیروهای واقع در بیالای مقطع  $M-M$  لنگرگیری می‌نماییم، چون امتداد پایه‌ها از نقطه  $o$  می‌گذرد لذا لنگرگرهای افقی نیروهای داخلی میله‌های قطری که همان بازوی لنگر برابر با  $h$  می‌باشند با لنگر نیروهای  $P_1$ ،  $P_2$  و  $P_3$  نسبت به نقطه  $o$  در تعادل خواهند بود.

اگر میله‌های قطری فقط قادر به تحمل کشش باشند نیروی داخلی میله  $ad$  برابر با صفر بوده و فقط یک مجھول مولفه افقی نیروی داخلی میله  $bc$  باشد باید تعیین شود که آن نیرو به راحتی قابل محاسبه خواهد بود و اگر فرض شود که میله‌های قطری قادر به تحمل کشش و فشار باشند می‌بایستی فرض گردد که مولفه‌های افقی دو میله قطری از نظر مقدار با یکدیگر برابر ولی از نظر علامت مخالف هم باشند، یک چنین فرضی تعداد مجھولات را به یک مجھول تقلیل می‌دهد و بدین ترتیب می‌توان مولفه‌های افقی میله‌های قطری را محاسبه نمود.

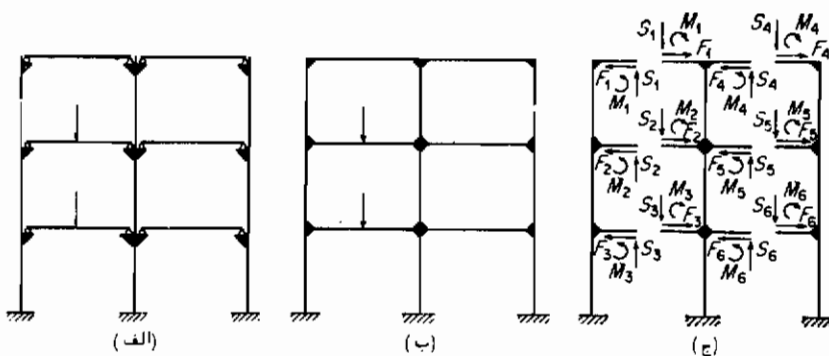
اگر میله‌های افقی خرپا را در حد فاصل پانل‌های خرپا حذف کنیم - به صورتی که در شکل (۱۲-۱۱ ب) نشان داده شده است - می‌توان تصور نمود که خرپای برج از دو خرپای مجزا که در شکل‌های (۱۲-۱۱ ج) و (۱۲-۱۱ د) نشان داده شده است تشکیل شده باشد در

این حالت هریک از خرپاهای تجزیه شده به راحتی فقط به توسط معادلات تعادل تحت اثر نیروهای مربوط به خود قابل حل خواهد بود . نیروهای واقعی در خرپای اصلی با جمع جبری نیروهای مختلف در دو خرپای تجزیه شده حاصل خواهد شد .

دیده می‌شود که همان روش کلی حل تقریبی خرپاهای نامعین روی تکیه‌گاههای کناری قابل استفاده در حل و بررسی برجهاست که از خرپاهایی به صورت طره‌ای تشکیل شده است می‌باشد .

#### ۱۱-۹ تنش حاصل از بارهای عمودی در قابهای ساختمانی

یک قاب ساختمانی عبارت است از شاهتیرها که بار عمودی را به ستونها منتقل می‌کنند و از ستونها، هرگاه چنین قابی را به صورتی که در شکل (۱۱-۱۳الف) نشان داده ایم بازیم

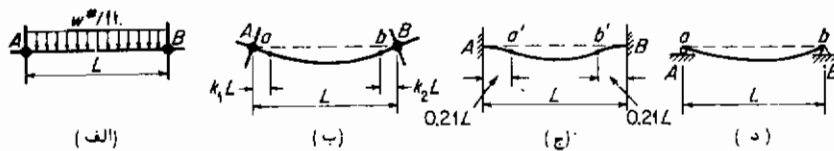


شکل (۱۱-۱۳) قاب ساختمانی

به نحوی که کاملاً "یک قاب معین را ایجاد نماید می‌بینیم که چنان قابی در مقابل نیروهای افقی بسیار ضعیف است ، به این جهت در عمل قابهای ساختمانی را به صورتی که در شکل (۱۱-۱۳ب) نشان داده شده می‌سازند که در آن چنین حالتی شاهتیرها کاملاً "به ستونها به صورت گیردار متصل شده‌اند با چنین اتصالاتی که قطعات قاب تحمل لنگر خمشی ، تلاش برشی و نیروی محوری را خواهند نمود . چنین قابی را یک قاب صلب و یا قاب ساختمانی گویند این گونه قابها به دلیل اتصالات صلب در حد بالایی نامعین می‌باشند . تعیین درجه نامعینی آنها به صورتی که در شکل (۱۱-۱۳ج) نشان داده شده است به عمل می‌آید . فرض کنید کلیه شاهتیرها را در وسط دهانه خود قطع کیم ، سازه ایجاد شده معین خواهد بود که در آن ستونها مانند طره‌ای عمل خواهند کرد . بدینهی است در چنین سازه‌ای لنگر خمشی ،

تلash برشی و نیروی محوری بهصورتی که نشان داده شده است عمل خواهد کرد ، اگر  $n$  تعداد شاهتیرهای سازه باشد برای این که آن را تبدیل بهیک سازه<sup>۰</sup> معین نمائیم لازم است که  $3n$  مجھول را از میان ببریم لذا چنین اسکلتی  $3n$  درجه نامعین خواهد بود . بهاین صورت اسکلت شکل (۱۱-۱۳ ب) هیجده درجه نامعین است . یک بنایی با یکصد طبقه و هشت ردیف ستون شامل ۷۰۰ شاهتیر بوده و لذا ۱۰۰ درجه نامعین خواهد بود ، بدین صورت می‌بینیم که کاربرد روش تقریبی در حل چنین سازه‌ای تا چه حد مفید است .

اگر بخواهیم چنان قاب ساختمانی را فقط بهکمک معادلات تعادل حل کنیم چون در هر اسکلت ساختمانی هر شاهتیر ایجاد سه درجه نامعینی می‌نماید ، لذا می‌بایستی برای هر شاهتیر سه فرض اضافی در نظر بگیریم . در شکل (۱۴-۱۱ الف) یک شاهتیر را که تحت اثر بار پکتواختی بهشدت  $1bf/ft^w$  قرار گرفته است مشاهده می‌کنیم دو انتهای این شاهتیر یعنی نقاط  $A$  و  $B$  بهصورتی که در شکل (۱۴-۱۱ ب) نشان داده شده است دوران خواهند



شکل (۱۴-۱۱) شاهتیر قابهای ساختمانی

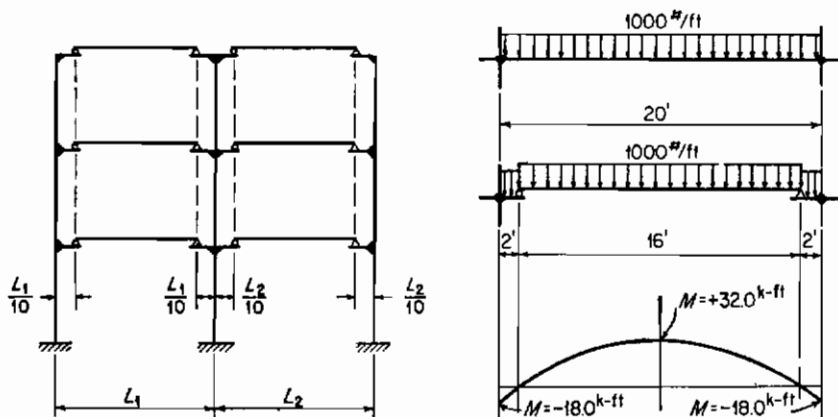
کرد ، زیرا این نقاط کاملاً در برابر دوران مقطع مهار نشده است . اگر تکیه‌گاههای  $A$  و  $B$  کاملاً در برابر دوران مهار شده بود ، بهنحوی که در شکل (۱۴-۱۱ ج) می‌بینیم ، تعیین نقطه عطف شاهتیر کاری سهل و ساده بود و می‌دانستیم که این نقاط بفاصله  $0.21L$  از دو انتهای تیر واقع شده است ، و اگر دو انتهای تیر مفصلی بود (شکل ۱۴-۱۱ د) می‌دانستیم که نقاط عطف در محل تکیه‌گاهها قرار دارند . برای حالت عملی که تکیه‌گاهها کاملاً در برابر دوران مهار نشده‌اند محل نقاط عطف بفاصله‌ای بین  $0.00L$  الى  $0.21L$  از تکیه‌گاهها واقع خواهد شد و اگر این فاصله را برابر با  $0.1L$  بگیریم یک محل تقریبی ولی منطقی برای نقاط عطف انتخاب کردہ‌ایم .

حل قابهای ساختمانی بروش دقیق نشان می‌دهد که نیروی محوری شاهتیرها تحت اثر بارهای قائم عوماً ناچیز است .

بهاین ترتیب سهفرض اضافی زیر برای حل تقریبی قابهای ساختمانی تحت اثر بارهای قائم برای هریک از شاهتیرها بهکار گرفته خواهد شد .

- ۱ - نیروی محوری در هر شاهتیر برابر صفر است .

- ۲ - نقطه عطفی در فاصله یکدهم دهانه شاهتیر از تکیه‌گاه دست چپ واقع خواهد شد.
- ۳ - نقطه عطفی در فاصله یکدهم دهانه شاهتیر از تکیه‌گاه دست راست واقع خواهد شد مبنی فرضیاتی معادل با این است که قاب ساختمانی از نظر نوع اسکلت محاسباتی به صورت قاب شکل (۱۱-۱۵) تبدیل گردد. در این قاب شاهتیرها به کمک تعادل بهتحوی که در شکل (۱۱-۱۶) می‌بینیم محاسبه خواهد شد، لنگر حد اکثر مثبت در وسط دهانه تیر برابر خواهد شد با:
- $$M = +\frac{1}{8}(1.0)(16)^2 = +32.0 \text{ kip-ft}$$



شکل (۱۱-۱۶) ممان خمی شاهتیرها شکل (۱۵-۱۱) فرضیات اضافی شاهتیرها

لنگر حد اکثر منفی در انتهای دهانه شاهتیر برابر خواهد شد با:

$$M = -8.0(2) - 1.0(2)(1) = -18.0 \text{ kip-ft}$$

تلاش برشی حد اکثر در انتهای هر دهانه هر دهانه برابر خواهد شد با:

$$S = 8.0(1) + 2.0(1) = 10 \text{ kips}$$

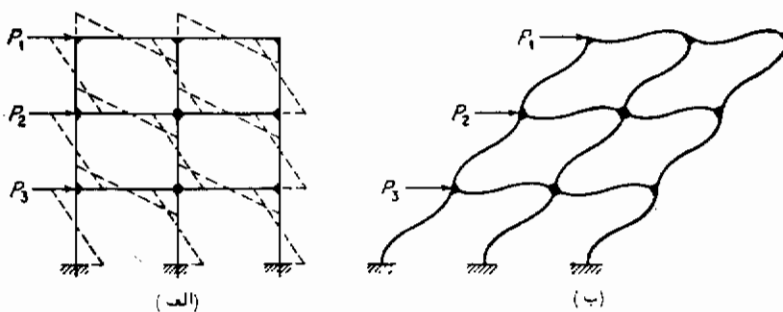
چون مقدار تلاش برشی در انتهای هر شاهتیر برابر با نیروی عمودی موثر بر ستون از طرف شاهتیر می‌باشد لذا نیروی محوری کلی ستونها با حاصل جمع تلاش برشی شاهتیر از بالای ستون تا پائین ستون مورد نظر به دست خواهد آمد.

برای این که نیروی فشاری حد اکثر در ستونها ایجاد شود طره‌های متصل به ستونها نیز بارگذاری شده است، در ستونهای میانی لنگر حاصل از بارگذاری کف ساختمان که توسط شاهتیرها به ستون منتقل می‌شود چون از دو طرف به ستون وارد می‌شود لذا لنگر خمی ستون

ناچیز بوده و اغلب از آن در محاسبات صرف نظر می‌گردد ، ولی در ستونهای کناری چون شاهتیرها از یک طرف به ستون لنگر وارد می‌کنند لذا لنگر خمی ستونها قابل ملاحظه بوده و در محاسبات باید منظور گردد . در هر صورت در محاسبه ستونها فرض اضافی (۱) فاقد اعتبار بوده و لنگر حاصل از شاهتیرها را می‌بایستی متناسب سختی ستونها بین آنها تقسیم نمود .

### ۱۱-۱۵ تنش حاصل از بارهای جانبی در قابهای ساختمانی

در بند (۹-۱۱) گفته شد که روش تقریبی بررسی قابهای ساختمانی از آنجایی که این قابها دارای درجه نامعینی بالایی می‌باشند از اهمیت بسیاری برخوردار است ، گفته شد که درجه نامعینی یک قاب ساختمانی نظیر شکل (۱۷-۱۱ الف) برابر با سه برابر تعداد شاهتیرها آن قاب است . لذا مقدار فرضیات اضافی برای این که بتوان قاب مزبور را فقط به کمک معادلات



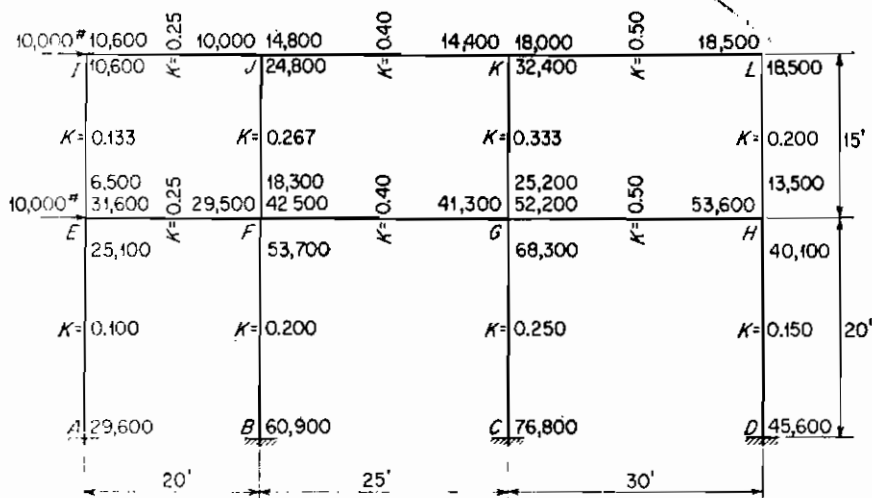
شکل (۱۷-۱۱) قاب ساختمانی تحت اثر بارهای جانبی

تعادل قابل حل نمود . سه برابر تعداد شاهتیرهای آن قاب خواهد بود . البته تعداد فرضیات اضافی رقیعی است ثابت و ربطی به نوع بارگذاری قاب ساختمانی ندارد . فرضیاتی که در مرور اثر بار عمودی برای حل قاب ساختمانی اتخاذ شد نمی‌تواند در مورد اثربار جاذبی ساختمان مفید باشد زیرا تغییر شکل سازه تحت اثر بار افقی کاملاً از تغییر شکل آن تحت اثر بار عمودی متفاوت می‌باشد ، این تفاوت را می‌توان با دقت در شکل (۱۷-۱۱ ب) که نشان دهنده تغییر شکل قاب در مقیاسی خارج از اندازه متعارف می‌باشد مشاهده نمود . دیده می‌شود که در این تغییر شکل محل واقع شدن نقاط عطف کاملاً با موقعیت آن نقاط در قابی تحت اثر بارهای عمودی متفاوت می‌باشد . علاوه بر این که قاب ساختمانی تحت اثر بارهای افقی واقع می‌شود - چنانچه در شکل (۱۷-۱۱ ب) می‌بینیم - نقاط عطف در حدود مراکز شاهتیرها و ستونها واقع می‌شود ، فرض این که این نقاط در مرکز ستونها و تیرها واقع اند از جمله فرضیات اضافی

است که در روش‌های تقریبی جهت حل سازه‌ها فقط به کمک معادلات تعادل به کار گرفته می‌شود. تغییرات لنگر خمشی قاب شکل (۱۸-۱۱) را می‌توان به صورتی که در شکل (۱۷-۱۱ الف) با رسم خط چین نشان داده شده است نمایش داد.

در این قسمت سه روش مختلف حل و بررسی قابهای ساختمانی تحت اثر بارهای افقی ارائه شده است که به ترتیب عبارتند از ۱- روش پرتابل ۲- روش طرمای ۳- روش ضربی.

برای این که درجه دقت هریک از این سه روش مشخص شود در مورد یک قاب معین این سه روش را به کارخواهیم برد. قابی که مورد حل و بررسی واقع خواهد شد در شکل (۱۸-۱۱)



شکل (۱۸-۱۱) مقادیر دقیق لنگرهای انتهایی قطعات تحت اثر بارهای افقی

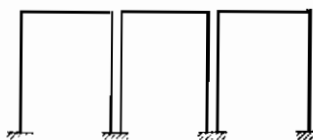
تحت اثر بارهای افقی نشان داده شده است، بدینهی است که حل این قاب توسط روش‌های دقیق که به محل سازه‌هایی نامعین می‌پردازد نظری روش "شیب - تغییرمکان" نیز ممکن است، حل قاب فوق الذکر توسط روش دقیق محاسباتی برای مقایسه نتایج بعدست آمده با آنچه در محاسبات تقریبی به دست می‌آید شایان اهمیت است، به این جهت نتایج تحلیل این قاب را که بعروسش دقیق حاصل شده است در شکل (۱۸-۱۱) نشان داده‌ایم، مقادیر لنگرهای دوانتهای ستونها و تیرها را بر حسب فوت - پاوند در دو انتهای هریک از قطعات فوق ذکر کرده‌ایم. برای استفاده از روش‌های "شیب - تغییرمکان" و ضربی دانستن سختی نسبی هریک از قطعات ضروری است به این جهت سختی نسبی را که با  $K$  نشان داده‌ایم و برای هریک از قطعات با تقسیم لنگر سختی آن قطعه به طول آن به دست آمده است در مورد هر قطعه از شکل (۱۸-۱) در همان شکل ذکر کرده‌ایم.

## ۱۱-۱۱ روش پرتال

در روش پرتال فرضیات اضافی زیر اتخاذ شده است :

- ۱- در مقاطع میانی دهانه هر شاهتیر یک نقطه عطف وجود دارد.
- ۲- در مقاطع میانی ارتفاع هر ستون یک نقطه عطف وجود دارد.
- ۳- کل تلاش برشی در هر طبقه بهنوعی بین ستونهای آن طبقه تقسیم می‌گردد که سهم هر ستون میانی دو برابر سهم ستونهای کناری می‌باشد.

فرض سوم از آنجا ناشی می‌شود که می‌توان هر طبقه را مجموعه‌ای از پرتالهایی با یک دهانه مانند شکل (۱۹-۱۱) فرض کرد در چنین حالتی ستونهای کناری نظیر یک ستون از این پرتالها بوده و در حالتی که ستونهای میانی متضاظر با دو ستون از این قابها خواهند بود. منطقی بهمنظر می‌رسد که قبول کنیم ستونهای میانی دو برابر ستونهای کناری نیروی برشی تحمل نمایند.



شکل (۱۹-۱۱) مجموعه پرتالهای معادل قاب ساختمانی

با در نظر گرفتن روابط بین تلاش برشی ستونها، هرگاه در طبقه‌ای از یک قاب ساختمانی ستون داشته باشیم، مجموعه فرض معرف ( $m - 1$ ) فرض اضافی است. برای قاب شکل (۱۸-۱۱) مجموعه فرضیات اضافی روش پرتال معرف تعداد فرضیات اضافی زیر است.

$$\text{تعداد نقاط عطف شاهتیرها} = 2 \times 3 = 6$$

$$\text{تعداد نقاط عطف ستونها} = 1 \times 2 = 8$$

$$\text{روابط تلاش برشی ستونها} = 2 \times 3 = 6$$

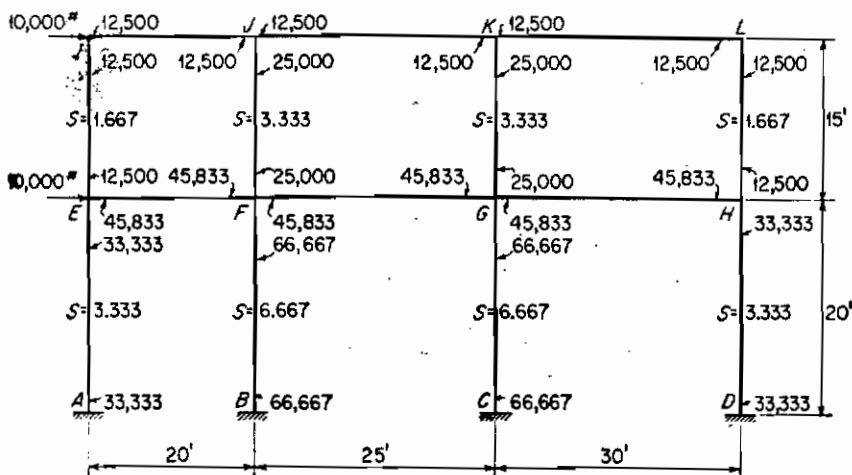
جمع ۲۰

چون قاب مورد نظر دارای شش شاهتیر می‌باشد لذا فقط هیجده درجه نامعین است. بدین ترتیب دیده می‌شود که در روش پرتال تعداد فرضیات اضافی بیشتر از فرضیات لازم است ولی از آنجایی که این فرضیات با یکدیگر سازگاری دارند لذا بهنتایج ناسازگار از طریق اعمال معادلات تعادل برخواهیم خورد.

برای شرح عملیات لازم برای اعمال روش پرتال این عملیات را در مورد قاب شکل (۱۸-۱) انجام می‌دهیم در شکل (۲۰-۱۱) نتایج حاصل از این عملیات درج شده است .  
تلاش برشی ستونها : با درنظر گرفتن فرضیات (۲) اگر  $x$  مقدار تلاش برشی درستونهای میانی همان طبقه برابر با  $2x$  خواهد بود ، با این شرح برای طبقه اول خواهیم داشت .

$$x + 2x + 2x + x = 6x = 10,000 + 10,000 = 20,000 \\ x = 3,333 \quad 2x = 6,667$$

برای طبقه دوم خواهیم داشت :  $6x = 10,000 ; x = 1,667 ; 2x = 3,333$



شکل (۲۰-۱۱) مقادیر لنگرهای انتهای شاهتیرها و ستونها در روش پرتال

لنگر خمشی ستونها : برطبق فرضیات (۲) مقدار لنگر خمشی در مقاطع میانی ستونها برابر با صفر است ، لذا مقدار لنگر انتهای هرستون برابر خواهد بود با مقدار تلاش برشی آن ستونها ضرب در نصف ارتفاع آن ستون ، برای مثال مقدار  $M_{AB}$  که لنگر انتهای  $A$  را ستون  $AB$  می‌باشد برابر خواهد شد با :

$$3,333 \times 10 = 33,333 \text{ ft-lb}$$

و مقدار لنگر  $M_{PJ}$  برابر خواهد شد .

$$M_{PJ} = 3,333 \times 7.5 = 25,000 \text{ ft-lb}$$

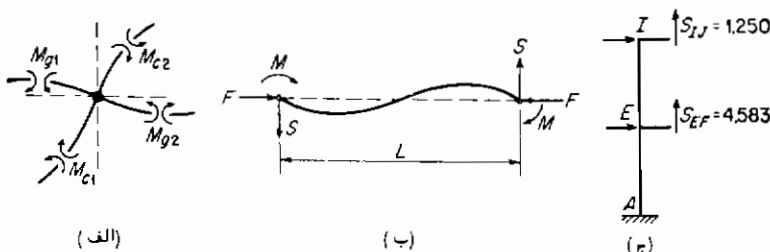
لنگر خمشی شاهتیرها : با توجه به شکل (۱۱-۱۲) که نوع تغییر شکل قاب را تحت اثر بارهای جانبی نشان می‌دهد می‌توان دریافت که لنگرهای خمشی تیرها در یک گره در خلاف جهت لنگرهای خمشی ستونها عمل می‌کنند این واقعیت در شکل (۱۱-۲۱الف) به

صورت واضحی نشان داده شده است با توجه به این شکل می‌توان معادله زیر را بین لنگرهای خمشی انتهای تیرها و ستونها در یک گره نوشت:

$$M_{c1} + M_{c2} - M_{s1} - M_{s2} = 0$$

یعنی که مجموع لنگرهای خمشی انتهای ستونها برابر مجموع لنگرهای خمشی انتهای تیرهاست، از این رابطه با در نظر گرفتن این که قبل "لنگرهای انتهایی ستونها محاسبه شده است می‌توان برای تعیین لنگرهای انتهایی تیرها استفاده نمود. به این ترتیب به عنوان مثال در گره ۱۱ داریم:

$$M_{EF} = 33,333 + 12,500 = 45,833 \text{ ft-lb}$$



شکل (۲۱-۱۱) قطعات تفکیک شده قاب شکل (۱۱-۲۰)

چون برطبق فرضیات (۱) در مقطع میانی شاهتیر  $EF$  یک نقطه عطف وجود دارد، لذا مقدار  $M_{FE}$  نیز برابر با  $45,833 \text{ ft-lb}$  خواهد شد. با مساوی قراردادن لنگرهای شاهتیرها با لنگرهای ستونها در گره ۱۱ خواهیم داشت:

$$M_{PG} + 45,833 = 66,667 + 25,000$$

به این ترتیب  $M_{PG}$  نیز برابر با  $45,833 \text{ ft-lb}$  خواهد شد. اکر به همین ترتیب شاهتیرهای طبقه اول را مورد بررسی قراردهیم خواهیم دید که لنگرهای خمشی انتهای شاهتیرهای آن طبقه برابر با  $45,833 \text{ ft-lb}$  می‌شود، لنگرهای انتهایی شاهتیرهای طبقه بالا نیز به همین نحو تعیین می‌گردد، خواهیم دید که در این طبقه مقدار عددی کلیه آن لنگرها برابر با،  $12,500 \text{ ft-lb}$  می‌شود.

تلash برشی شاهتیرها: با توجه به شکل (۲۱-۱۱ ب) هرگاه رابطه  $\Sigma M = 0$  را برای کلیه نیروها و لنگرهای مؤثر بر یک شاهتیر با لنگرگیری حول یک انتهای آن شاهتیر بنویسیم خواهیم داشت:

$$SL = 2M/L$$

و از آنجا

$$S = 2M/L$$

بدین ترتیب مقدار برش میله  $EF$  خواهد شد.

$$S_{EF} = \frac{2 \times 45,833}{20} = 4,583 \text{ lb} \quad S_{IJ} = \frac{2 \times 12,500}{20} = 1,250 \text{ lb}$$

نیروی محوری ستونها: با توجه به شکل (۲۱-۱۱ ج) نیروی محوری ستونها با جمع تلاش

برشی منتقل شده از شاهتیرها به انتهای فوقانی ستونها به دست می‌آید، به این ترتیب داریم:

$$F_{EI} = +1,250 \text{ lb} \quad F_{AE} = +1,250 + 4,583 = +5,833 \text{ lb}$$

نیروی محوری شاهتیرها را که عموماً در محاسبات نقش مهمی ندارد نیز می‌توان به همین نحو تعیین نمود، یعنی ترتیب باید نیروهای برشی منتقل شده از ستونها به یک طرف شاهتیر را جمع نمود، بدینهی است در این صورت باید اثر نیروهای جانبی را نیز در این جمع بندی به حساب آورد.

### ۱۱-۱۲ روش طریقی

فرضیات اضافی در روش طریقی به قرار زیر است:

- ۱- در مقاطع میانی دهانه هر شاهتیر یک نقطه عطف وجود دارد.
- ۲- در مقاطع میانی ارتفاع هرستون یک نقطه عطف وجود دارد.
- ۳- شدت تنفس محوری هر ستون از یک طبقه مناسب با فاصله افقی آن ستون از مرکز شغل کلیه ستونهای آن طبقه موردنظر است.

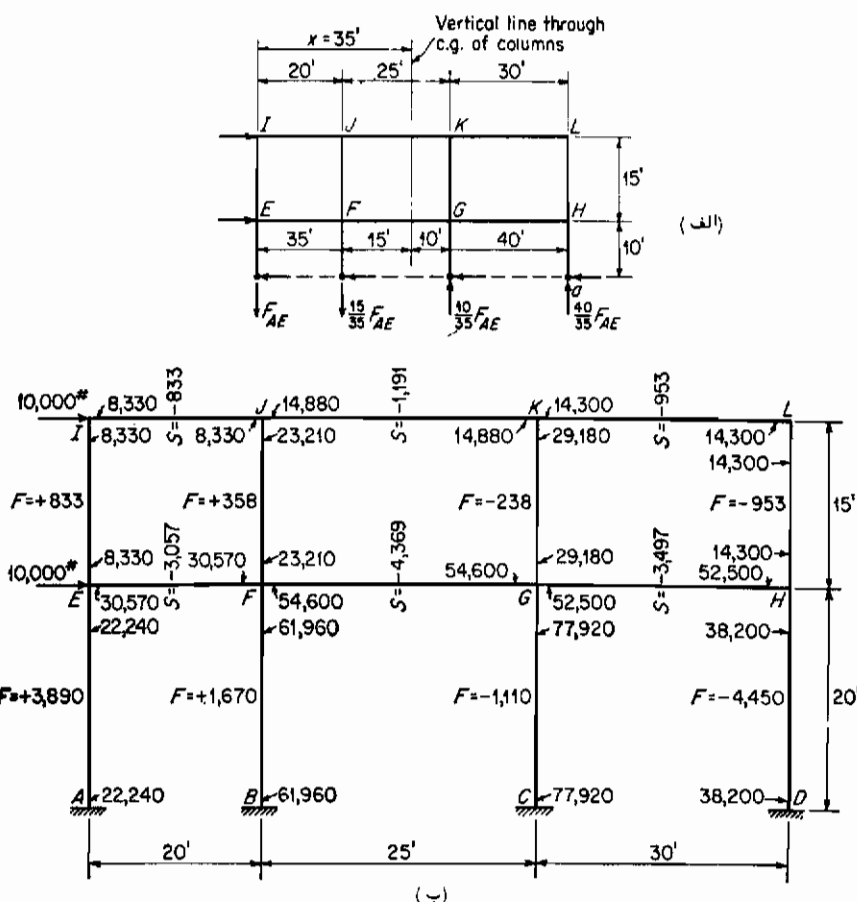
جهت تحقیق فرضیات (۳) می‌توان به روش مشابهی که در تعیین شدت تنفس عمودی مقاطع یک تیر طریقی عمل می‌شود استفاده نمود.

اگر در طبقه‌ای  $m$  ستون داشته باشیم اجرای مجموعه فرضیات (۳) با توجه به روابط موجود بین نیروهای محوری ستونها معادل با  $-1 - m$  فرض اضافی خواهد بود، لذا مانند روش پرتوال روش طریقی نیز مفروضات بیشتری از مقدار مجهولات ارائه می‌دهد ولی باز به همان ترتیب این فرضیات اضافی به دلیل سازگاری با یکدیگر نتایج مطابقی را ایجاد نمی‌کنند. برای شرح عملی روش طریقی، این روش را در مورد قاب شکل (۱۱-۱۸) عمل می‌کنیم، بحث زیرین به شکل (۱۱-۲۲ ب) مربوط می‌شود که در آن نتایج حاصل از تحلیل به روش طریقی قاب درج شده است.

نیروی محوری ستونها: با فرض این که سطح مقطع کلیه ستونها برابر باشد موقعیت مرکز شغل ستونها در هر طبقه بتوسط رابطه زیر معین خواهد شد.

$$(فاصله از AEI) \quad x = \frac{20 + 45 + 75}{4} = 35.0 \text{ ft}$$

با توجه به شکل (۱۱-۲۲ الف) با فرض این که نیروی محوری ستون  $EI$  برابر با  $F_{AE}$  باشد و نیز با توجه به مجموعه فرضیات (۳) مقادیر نیروهای محوری ستونهای  $DH_{RIP}$  و  $DH_{RR}$



شکل (۲۲-۱۱) مقادیر لنگرهای انتهای شاهتیرها و ستونها در روش طریقی

به ترتیب برابر با  $+10,000 \cdot \frac{25}{35}F_{AE}$  ،  $+10,000 \cdot \frac{10}{35}F_{AE}$  ،  $-10,000 \cdot \frac{75}{35}F_{AE}$  و  $-10,000 \cdot \frac{55}{35}F_{AE}$  خواهد شد با لنگرگیری حول نقطه  $a$  از کلیه نیروهای مؤثر سه قسمت فوقانی سازه واقع در بالای صفحه افقی مار بر کلیه نقاط عطف ستونهای آن طبقه خواهیم داشت :

$$+10,000(25) + 10,000(10) - F_{AE}(75) - 10,000 \cdot \frac{55}{35}F_{AE}(55) + 10,000 \cdot \frac{30}{35}F_{AE}(30) = 0$$

$$F_{AE} = +3,890; F_{BF} = +10,000 \cdot \frac{15}{35}(+3,890) = +1,670 \quad \text{لذا داریم :}$$

نیروهای محوری ستونهای طبقه دوم نیز نسبت به یکدیگر همان روابط ستونهای طبقه نخست را دارند ، این نیروها را نیز به همان روش می‌توان محاسبه نمود ، به این ترتیب که

نسبت به نقطه عطف ستون // از کلیه نیروهای موثر بر قسمت فوقانی سازه واقع در بالای صفحه مار (صفحه افقی) بر کلیه نقاط عطف ستونهای آن طبقه لنگرگیری نمود. نیروی محوری هرستون در شکل (11-۲۲ ب) در وسط آن ستون ذکر شده است.

**تلash برشی شاهتیرها:** تلاش برشی شاهتیرهارا می‌توان با درنظر گرفتن نیروی محوری ستونها در هر گره بدست آورد، برای مثال در گره F خواهیم داشت:

$$S_{BF} = +833 - 3,890 = -3,057$$

$$\text{در گره } F \text{ داریم: } S_{FG} = -3,057 + 358 - 1,670 = -4,369$$

تلash برشی شاهتیرها در وسط آنها، در شکل (11-۲۲ ب) درج شده است.

**لنگر خمثی شاهتیرها:** چون لنگر خمثی در وسط شاهتیرها برابر با صفر است، لذا لنگر انتهای هر شاهتیر برابر با حاصل ضرب تلاش برشی آن شاهتیر در نصف دهانه آن خواهد شد. به عنوان مثال داریم:

$$M_{BF} = 3,057 \times 10 = 30,570 \text{ ft-lb} \quad M_{KJ} = 1,191 \times 12.5 = 14,880 \text{ ft-lb}$$

لنگر خمثی ستونها: لنگر خمثی ستونها به طوری که در ادامه بحث می‌آید با محاسبه از انتهای فوقانی ستون شروع می‌شود و سپس به تدریج به سوی انتهای تحتانی ستون خاتمه می‌پذیرد، مثلاً "در گره J چون مجموع لنگرهای خمثی ستونها برابر مجموع لنگرهای خمثی تیرها است خواهیم داشت.

$$M_{JF} = 8,330 + 14,880 = 23,210 \text{ ft-lb}$$

و از آنجایی که در مقطع میانی ستون pJ یک نقطه عطف وجود دارد لذا  $M_{pJ}$  نیز برابر با 23,210 ft-lb خواهد شد، در گره F خواهیم داشت:

$$M_{pB} + 23,210 = 30,570 + 54,600$$

پس داریم،  $M_{pB}$  مقدار  $M_{BF} = 61,960 \text{ ft-lb}$  نیز چون نقطه عطفی در مقطع میانی ستون BF وجود دارد برابر با 61,960 ft-lb خواهد شد.

### ۱۱-۱۳ روش ضریب

روش ضریب در مقام مقایسه با دو روش قبلی یعنی پرتوال و طریقی که یک سازه را تحت

اثر نیروهای افقی مورد بررسی قرار می‌دهند از دقت بیشتری برخوردار است. چرا که در دو روش قبلی اساس تحلیل سازه بر فرضیاتی اضافی در مورد عملکرد تنشهای استوار است تا بتوان سازه را فقط به کمک معادلات تعادل حل نمود در صورتی که روش ضریب براساس فرضیاتی اضافی در مورد عملکرد ارجاعی سازه استوار است تا بتواند یک روشی تقریبی برای اعمال روش شیب - تغییر مکان ابداع نماید. هرگاه بخواهیم از روش شیب - تغییر مکان کمک بگیریم علاوه بر این بتوان به کمک یک مجموعه دستورات نسبتاً ساده بدون آن که از اصول ارجاعی اطلاعی داشته باشیم آن روش را اجرا کنیم.

قبل از اجرای روش ضریب لازم است که مقدار  $I/L = K$  را برای کلیه شاهتیرها و سطونها بدست آورد، لازم نیست که مقدار واقعی  $K$  در عملیات به کار برده شود زیرا تنفس فقط به تناسب نسبت سختی قطعات قاب توزیع می‌گردد، در هر صورت لازم است که نسبت سختی قطعات بیکدیگر به صورت صحیحی تعیین گردد.

روش ضریب را می‌توان با اجرای شش مرحله زیر اعمال نمود.

۱- برای هرگره ضریب شاهتیر  $\mu$  را توسط رابطه  $\Sigma K_e / \Sigma K_o = g$  تعیین نمایید. اینجا  $\Sigma K_o$  مجموع مقادیر  $K$  برای کلیه سطونهای واردہ به آن گره بوده و  $\Sigma K_e$  مجموع مقادیر  $K$  برای کلیه قطعات واردہ به آن گره می‌باشد، مقدار  $\mu$  را که به این نحو بدست می‌آید در نزدیک انتهای هر شاهتیری که به آن گره وارد می‌شود بنویسید.

۲- برای هرگره ضریب ستون  $c$  را توسط رابطه  $\mu - 1 = c$  تعیین نمایند، در این رابطه  $\mu$  ضریب شاهتیر است که در مرحله (۱) طریقه تعیین آن ذکر شد، مقدار بدست آمده  $c$  را در نزدیکی انتهای هر سطونی که به آن گره وارد می‌شود بنویسید. برای انتهای گیردار سطونهای طبقه اول،  $1 = c$  می‌باشد.

۳- با اجرای دستورات مراحل (۱) و (۲) در انتهای هر قطعه از قطعات قاب عددی موجود است به هر یک از این اعداد نصف اعدادی را که در انتهای قطعه قرار دارد اضافه کنید.

۴- مجموع مقادیری را که با اجرای گام (۳) برای انتهای هر عضوی بدست می‌آید در مقدار  $K_o$  آن عضو ضرب نمایید، مقدار بدست آمده را برای سطونها ضریب لنگر ستون  $C$  و برای شاهتیرها، ضریب لنگر شاهتیر  $\mu$  بنامید.

۵- ضریب لنگر سطونها  $C$  که از طریق اجرای مرحله (۴) بدست می‌آید علاوه بر این نسبی و تقریبی لنگرهای انتهای سطونهای طبقه‌ای است که سطونها در آن طبقه قرار دارند، مجموع لنگرهای انتهای سطونهای واقع در یک طبقه را به راحتی با استفاده از روابط تعادل می‌توان برابر با مجموع جمع تلاش برشی افقی آن طبقه ضرب در ارتفاع همان طبقه تعیین

کرد، لذا با تعیین یک ضریب ساده برای هر طبقه می‌توان ضریب لنگر ستونهای  $C$  را تبدیل به لنگر انتهای ستونها نمود.

۶- ضریب لنگر شاهتیرها  $G$  که از طریق اجرای مرحله (۴) بدست می‌آید عملاً مقدار نسبی و تقریبی لنگرهای انتهای شاهتیرهای یک گره می‌باشد، مجموع لنگرهای انتهای شاهتیرها واقع در یک گره را می‌توان به راحتی با استفاده از روابط تعادل برابر با مجموع لنگرهای انتهای ستونها در آن گره که به متوسط مرحله (۵) محاسبه می‌شود می‌توان تعیین نمود. لذا با تعیین یک ضریب ساده برای هرگره می‌توان ضریب لنگر شاهتیرها  $G$  را تبدیل به لنگر انتهای شاهتیرها نمود.

برای شرح عملیات لازم در روش ضریب قاب ساختمانی شکل(۱۱-۱۸) را به این روش مورد بررسی قرار می‌دهیم، بحث و عملی که ذیلاً آورده می‌شود مربوط به شکل (۱۱-۲۳) است که در آن شکل محاسبات لازم در روش ضریب و نتایج حاصله نشان داده شده است. مقادیر برای هر طبقه به عنوان مقدار معلومی برای آن قطعه روی آن طبقه درج شده است. برای هر طبقه ابتدا درست راست شکل مقادیر  $H$  که جمع تلاش برشی افقی آن طبقه می‌باشد و مقدار  $Hh$  که حاصل ضرب  $H$  در ارتفاع طبقه  $h$  می‌باشد محاسبه شده است، شرح جزئیات عملیات لازم ذیلاً درج شده است:

#### مرحله ۱- محاسبه ضریب شاهتیرها

برای گره  $E$ :

$$g_E = \frac{0.133 + 0.100}{0.133 + 0.100 + 0.250} = 0.482$$

این مقدار در انتهای چپ شاهتیر  $EF$  نوشته می‌شود  
برای گره  $F$ :

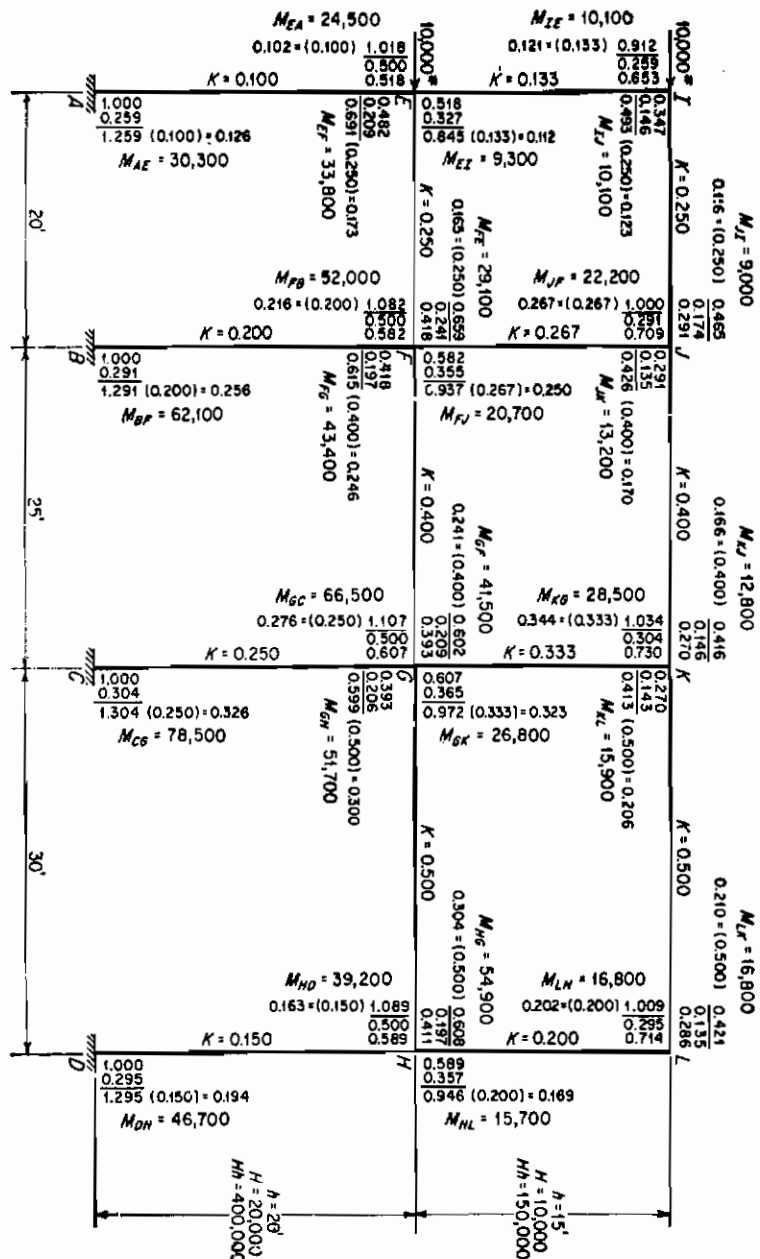
$$g_F = \frac{0.267 + 0.200}{0.267 + 0.200 + 0.250 + 0.400} = 0.418$$

این مقدار در انتهای چپ شاهتیر  $FG$  و انتهای راست شاهتیر  $JF$  نوشته می‌شود.  
برای گره  $J$ :

$$g_J = \frac{0.133}{0.133 + 0.250} = 0.347$$

این مقدار را در انتهای چپ شاهتیر  $IJ$  می‌نویسیم.

ضریب شاهتیرها برای سایر گرهها بهمین نحو محاسبه می‌گردد و مقادیر محاسبه شده در نزدیک انتهای هر شاهتیر که به آن گره ختم می‌شود نوشته می‌گردد.



مکل (۱۱ - ۲۲) مداد لنجکواری انتبهای شاهتیرها و سترنها در روش ضرب

مرحله ۲—محاسبه ضریب ستونها

$$c_B = 1 - g_B = 1.000 - 0.482 = 0.518 \quad \text{برای ذره } E$$

این مقدار در بالای ستون  $AE$  و در پائین ستون  $EI$  نوشته می‌شود.

$$c_J = 1.000 - 0.291 = 0.709 \quad \text{برای گره } J:$$

این مقدار در بالای ستون  $JF$  نوشته می‌شود.

$$c_A = 1.000 \quad \text{برای گره } A:$$

برای این که این گره انتهای گیردار ستون طبقه اول را تشکیل می‌دهد، این مقدار می‌باشد  
در پائین ستون  $AE$  نوشته شود.

ضریب ستون برای سایر گرهها بهروشی مشابه محاسبه می‌گردد و در نزدیک انتهای هر  
ستونی که به آن گره ختم می‌شود درج می‌گردد.

مرحله ۳—ازدیاد مقدار انتهای هر قطعه به اندازه نیمی از عدد انتهای دیگر قطعه

$$\text{برای گره } A : \text{قطعه } AE = 1.000 + 0.5(0.518) = 1.259$$

$$\text{برای گره } E : \text{قطعه } EI = 0.518 + 0.5(0.653) = 0.845$$

$$\text{قطعه } EF = 0.482 + 0.5(0.418) = 0.691$$

$$\text{قطعه } EA = 0.518 + 0.5(1.000) = 1.018$$

برای سایر گرهها محاسبات مشابهی در روی شکل (۲۳-۱۱) انجام گرفته است.

مرحله ۴—محاسبه ضریب لنگر ستون و ضریب لنگر شاهتیر

$$C_{AB} = 1.259(0.100) = 0.126 \quad \text{قطعه } AE \cdot A$$

$$C_{EI} = 0.845(0.133) = 0.112 \quad \text{قطعه } EI \cdot E$$

$$C_{EF} = 0.691(0.250) = 0.173 \quad \text{قطعه } EF \cdot F$$

$$C_{EA} = 1.018(0.100) = 0.102 \quad \text{قطعه } EA \cdot A$$

برای سایر گرهها محاسبات مشابهی در روی شکل (۲۳-۱۱) انجام گرفته است.

مرحله ۵—محاسبه لنگر ستونها

چون ضریب لنگر ستونها به صورت نسبی گویای مقادیر لنگرهای انتهای ستونهای هر  
طبقه از قاب می‌باشد بمعبارت دیگر مقادیر لنگرهای انتهای ستونها را می‌توان به صورت

زیر نشان داد

$$M_{AK} = AC_{AK} \quad M_{EA} = AC_{EA} \quad M_{BF} = AC_{BF}$$

که در این روابط  $M_{BF}$  و  $M_{AK}$  و  $M_{EA}$  غیره مقادیر واقعی لنگر انتهای ستونها می‌باشد و یک مقدار ثابت برای کلیه ستونهای هر طبقه می‌باشد . لذا مجموع لنگرهای انتهایی ستونها برابر خواهد شد با :

$$\begin{aligned} & (مجموع لنگرهای) = A(C_{AK} + C_{EA} + C_{BF} + C_{FB} + C_{ca} + C_{ac} + C_{DH} + C_{HD}) \\ & \text{برای هر طبقه} = A\Sigma C \quad \text{انتهایی ستونها} \end{aligned} \quad (\text{الف})$$

هرگاه روابط تعادل کلیه نیروهای مؤثر بر کلیه ستونهای یک طبقه مفروض را بنویسیم با استفاده از شکل (۱۱-۲۴) و لنگرگیری حول انتهای تحتانی ستون سمت راست یعنی نقطه  $a$  خواهیم داشت :

$$(S_1 + S_2 + S_3 + S_4)h = M_1 + M_2 + M_3 + M_4 + M_5 + M_6 + M_7 + M_8$$

مجموع  $S_4 + S_5 + S_6 + S_7 + S_8$  برابر با  $H$  است که خود جمع تلاش برشی موجود در طبقه می‌باشد ، مجموع لنگرها در طرف دیگر یعنی  $S_1 + S_2 + \dots + M_9$  برابر با مجموع لنگرهای انتهایی ستونها طبقه موردنظر است لذا :

$$\begin{aligned} & (مجموع لنگرهای انتهایی ستونها) = Hh \quad (\text{ب}) \\ & \text{از روابط (الف) و (ب) نتیجه می‌گیریم که :} \end{aligned}$$

$$A = \frac{Hh}{\Sigma C} \quad \text{برای هر طبقه} \quad (\text{ج})$$

برای هر طبقه مقدار  $A$  را می‌توان توسط رابطه (ج) بدست آورد پس از تعیین مقدار  $A$  با ضرب مقدار  $A$  در ضریب لنگر ستون مقدار لنگر انتهایی هر ستون تعیین می‌گردد . در اینجا محاسبات لازم فوق را برای طبقه اول قاب ساختمانی شکل (۱۱-۲۴) انجام می‌دهیم .

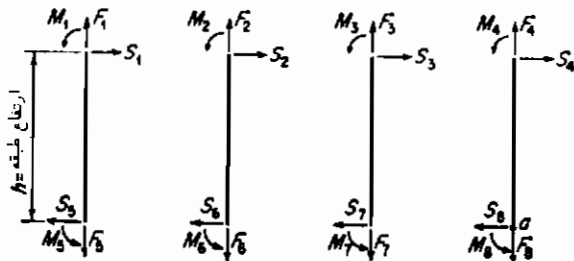
$$A_1 = \frac{400,000}{0.126 + 0.102 + 0.258 + 0.216 + 0.326 + 0.276 + 0.194 + 0.163} = 241,000$$

$$M_{AK} = 0.126(241,000) = 30,300 \text{ ft-lb}$$

$$M_{EA} = 0.102(241,000) = 24,500 \text{ ft-lb}$$

$$M_{BF} = 0.258(241,000) = 62,100 \text{ ft-lb}$$

لنگر انتهایی سایر ستونها بهروشی مشابه با استفاده از مقدار  $A_1 = 241,000$  بدست خواهد آمد.



شکل (۱۱ - ۲۴) ستونهای تفکیک شده یک طبقه

برای تعیین لنگرهای انتهایی طبقه دوم می‌بایستی مقدار  $A_2$  را با استفاده از رابطه (ج) برای طبقه دوم بدست آورد، اگر چنین کنیم مقدار  $A_2 = 83,000$  خواهد شد.

#### مرحله ۶ - تعیین لنگر شاهتیرها

از آنجایی که ضرب لنگر شاهتیرها به صورت نسبی گویای مقدار لنگر انتهای شاهتیرها در یک گره می‌باشد به عبارت دیگرمی توان با توجه به شکل (۲۵-۱۱) برای مقادیر لنگر انتهای شاهتیرها روابط زیر را نوشت:

$$M_{AB} = B_A G_{AB} \quad M_{AC} = B_A G_{AC}$$

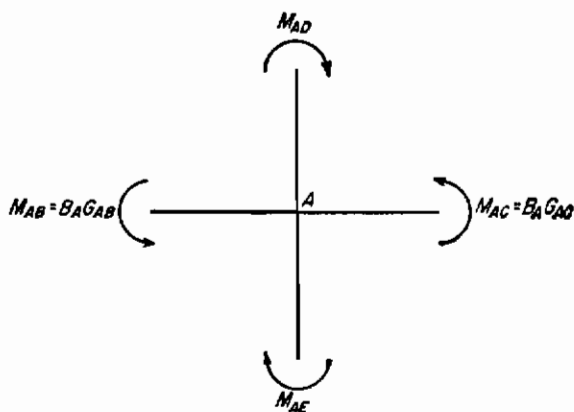
که در این روابط  $B_A$  یک مقدار ثابت در هردو رابطه می‌باشد به علاوه چون در هر گره مجموع لنگرهای ستونها برابر با لنگر شاهتیرها است لذا مقدار  $B_A$  را می‌توان از طریق رابطه زیر تعیین نمود.

$$B_A G_{AB} + B_A G_{AC} = M_{AB} + M_{AC}$$

به همین ترتیب در هر گرهی نظیر  $N$  خواهیم داشت:

$$B_N = \frac{\text{(مجموع لنگر ستونها در گره } N)}{\text{(مجموع ضرب لنگر شاهتیرها در گره } N)} \quad (d)$$

برای هر گره مقدار  $B_N$  را می‌توان بتوسط رابطه (d) محاسبه نمود، سهی می‌توان لنگر انتهای هر شاهتیر را در هر گرهی با ضرب ضرب لنگر شاهتیر مربوطه در  $B_N$  بدست آورد. عملیات لازم برای شاهتیرهای مختوم به گره  $N$  از قاب شکل (۱۱ - ۲۳) در اینجا شرح داده می‌شود.



شکل (۲۵-۱۱) یک گره منفک شده

$$B_F = \frac{52,000 + 20,700}{0.165 + 0.246} = 176,500$$

$$M_{FE} = 0.165(176,500) = 29,100 \text{ ft-lb}$$

$$M_{FO} = 0.246(176,500) = 43,400 \text{ ft-lb}$$

شایان توجه است که اعمال مرحله (۶) به گرههای خارجی یک قاب را با استفاده از تعادل گره که بعدها آن مجموع لنگرها انتهایی ستونها برابر لنگر انتهای شاهتیر می‌باشد نیز می‌توان انجام داد. به این ترتیب می‌توان مستقیماً با جمع مقادیر لنگر انتهای ستونها لنگر انتهای شاهتیرها را توسط تعادل گره به دست آورد و به این ترتیب معلوم می‌شود که محاسبه ضریب لنگر شاهتیرها در گرههای خارجی بیهوده می‌باشد.

پس از آن که این کار انجام شد و کلیه لنگرها انتهای ستونها و شاهتیرها معلوم شد، با استفاده از روابط تعادل می‌توان به محاسبه تلاش برشی و نیروی محوری تک تک قطعات پرداخت.

#### ۱۱-۱۶ مسائل

۱۱-۱ هرگاه خربیای شکل (۲-۱۱) تحت اثر سربار زنده یکنواختی بهشدت  $500 \text{ lb}/\text{ft}$  قرار گرفته باشد مقدار حداکثر نیروی محوری میله‌های زیرین را در حالات اثر بار به گرههای اینی و یا به گرههای تحتانی محاسبه کنید.

(الف)  $L_1, L_2$  (ب)  $L_1, L_2$  (الف)  $L_1, L_2$  (ب)  $L_1, L_2$  (الف)

جواب : (الف)  $+47,812.8 \text{ lb}$       (ب)  $\mp 8,437.5 \text{ lb}$ ,  $\pm 3,750 \text{ lb}$

۱۱-۲ هرگاه به خرپای شکل (۱۱-۶ الف) سریار زنده یکنواختی برابر با  $1,000 \text{ lb/ft}$  و یک بار زنده متغیر برابر با  $10,000 \text{ lb}$  اثر کند، مقدار حداقل نیروی محوری میله‌های زیرین را محاسبه کنید.

جواب : (الف)  $L_0, U_0, U_1, U_2$  (ب)  $L_0, U_0, U_1, U_2$  (ج)  $+46.8 \text{ kips}$       (د)  $-31.6 \text{ kips}$ ,  $+33.00 \text{ kips}$

۱۱-۳ هرگاه به پرتال شکل (۱۱-۸ الف) بار گستردۀ یکنواختی حاصل از باد به شدت در طول کل ستون سمت چهار آن اثر کند، با فرض این که  $h_1 = h_2 = 200 \text{ ft}$  و  $h_3 = 30 \text{ ft}$  باشد نمودار لنگر خمی را برای کلیه اعضای پرتال رسم کنید.

۱۱-۴ مساله (۱۱-۳) را با فرض پرتال شکل (۱۱-۹ الف) حل کنید.

۱۱-۵ مساله (۱۱-۲) را با فرض پرتال شکل (۱۱-۱۰) حل کنید، ابعاد پرتال در شکل ذکر شده است.

۱۱-۶ برای قاب شکل (۱۱-۱۱) :

الف : نمودار لنگر خمی و تلاش برشی را برای ستون سمت چهار رسم کنید.

ب : مقادیر نیروهای مؤثر به خرپای پوششی قاب را که از طریق ستونها و زانویی‌ها وارد می‌شود پیدا کنید.

جواب :

الف :  
 $+2,500$  = (مقدار تلاش برشی از تکیدگاه تا زانویی)  
 $-3,750$  = (بالای زانویی)  $-18,750 \text{ lb-ft}$  = (لنگر در تکیدگاه)  
 $+18,750$  = (لنگر در زانویی)       $0.0$  = (لنگر در بالا)

ب :  
 $-2,846 \text{ lb}$       (نیروی محوری در ستون سمت چهار)  
 $+2,846 \text{ lb}$       (نیروی محوری در ستون سمت راست)  
 $3,750 \text{ lb}$       به سمت راست (برش در ستون سمت چهار)  
 $3,750 \text{ lb}$       به سمت راست (برش در ستون سمت راست)  
 $+8,520$  = (نیروی محوری در زانویی سمت چهار)  
 $-8,520 \text{ lb}$  = (نیروی محوری در زانویی به سمت راست)

۱۱-۷ برجی به مقطع مستطیل دارای خرپاهای جانبی تغییر شکل (۱۱-۱۲ الف) می‌باشد. این برج دارای پنج پانل است که ارتفاع هر یک  $10 \text{ ft}$  می‌باشد، عرض هر صفحه جانبی آن در پی برابر با  $15 \text{ ft}$  و در بالای آن برابر  $7.8 \text{ ft}$  است، هر یک از گرههای سمت چهار خرپاهای جانبی این برج تحت اثر نیروهای افقی به سمت راست گره برابر  $1,000 \text{ lb}$

قراردارد به طوری که این نیروها در صفحه همان خرپا واقعند ، مطلوب است تعیین نیروهای داخلی کلیه میله‌های برج . فرض کنید که میله‌های قطری کلیه پانلها نیروهای متساوی از نظر مقدار ولی مخالف از نظر علامت تحمل می‌کنند .

۱۱ - ۸ - یک قاب ساختمانی دارای سدهانه هر یک به طول  $20\text{ ft}$  و سه طبقه هر طبقه به ارتفاع  $12\text{ ft}$  می‌باشد ، ستونهای طبقه اول در پی‌های خود گیردار شده‌اند . بار مرده یکواختی بعشت  $300 \text{ lb}/\text{ft}$  و سربار زنده یکواختی بعشت  $500 \text{ lb}/\text{ft}$

بر شاهتیرهای این قاب اثر می‌کند ، مطلوب است تعیین ،

- الف - حداکثر لنگر خمشی مشبт شاهتیرهای این قاب
- ب - حداکثر لنگر خمشی مشبт شاهتیرهای این قاب
- ج - حداکثر تلاش برشی شاهتیرهای این قاب
- د - حداکثر نیروی فشاری ستونهای خارجی این قاب
- ه - حداکثر نیروی فشاری ستونهای داخلی این قاب
- و - حداکثر لنگر خمشی ستونهای خارجی این قاب
- ز - حداکثر لنگر خمشی ستونهای داخلی این قاب

۱۱ - ۹ - قاب ساختمانی مساله (۱۱-۸) تحت اثر نیروهای افقی هر یک به مقدار  $5,000 \text{ lb}$  که در امتداد شاهتیرهای این قاب و در سمت خارجی چه ستونها قرار دارد . مطلوب است تعیین لنگر خمشی انتهای هر یک از اعضای این قاب در محاسبات از روش پرتاب استفاده کنید .

**جواب :**

لنگرهای خمشی تکیه‌گاهی از سمت چه به طرف راست عبارتند از :

$15.0, 30.0, 30.0, 15.0 \text{ kip-ft}$

۱۱ - ۱۰ - مساله (۱۱-۹) را به روش طریق حل کنید .

**جواب :**

لنگرهای خمشی تکیه‌گاهی از سمت چه به طرف راست عبارتند از :

$13.5, 31.5, 31.5, 13.5 \text{ kip-ft}$

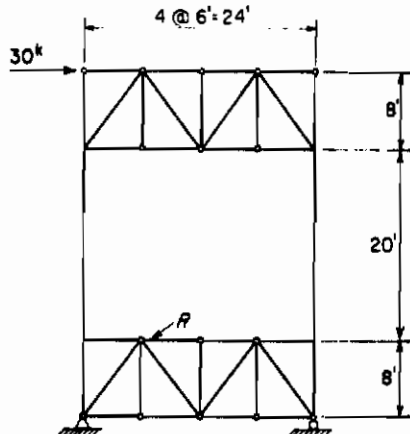
۱۱ - ۱۱ - مساله (۱۱-۹) را به روش ضریب حل کنید ، لنگر خمشی شاهتیرها را سه‌بار لنگر لختی ستونها بگیرید .

**جواب :**

لنگرهای خمشی تکیه‌گاهی از سمت چه به طرف راست عبارتند از :

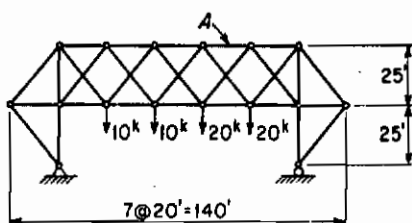
$23.80, 25.45, 25.45, 23.80$

- ۱۱-۱۲ نیروی محوری عضو ۱۲ از پرتوال نشان داده شده در شکل (۲۶-۱۱) را محاسبه کنید.  
فرضیات اضافی لازم و منطقی خود را نیز بیان نمایید.



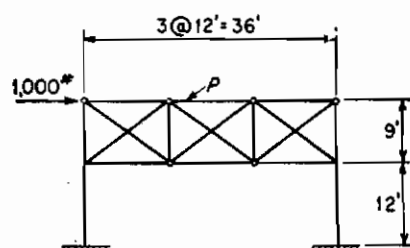
شکل (۱۲-۱۱) مساله (۲۶-۱۱)

- ۱۱-۱۳ نیروی محوری میله ۴ را در سازه شکل (۲۷-۱۱) محاسبه کنید. فرضیات اضافی منطقی را تعیین کنید.



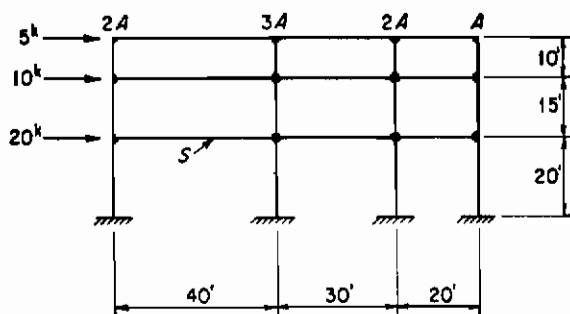
شکل (۲۷-۱۱) مساله (۲۷-۱۱)

- ۱۱-۱۴ کلیه اعضای خرپای شکل (۲۸-۱۱) قادر به تحمل کشش فشار می‌باشند، هرگاه نقطه عطفی در فاصله ۴ ft از پیچهای ستونها قرار داشته باشد مطلوب است تعیین نیروی محوری عضو P.



شکل (۲۸-۱۱) مساله (۲۸-۱۱)

۱۱-۱۵ با بعکاربردن روش طریق تلاش برشی و لنگر خمشی انتهای شاهتیرهای قاب ساختمانی شکل (۲۹-۱۱) را محاسبه کنید، سطح مقطع ستونها در بالای شکل ذکر شده است.



شکل (۲۹-۱۱) مساله (۱۵-۱۱)

## ۱۲

### تغییر مکان سازه‌ها

۱ - ۱۲ مقدمه

سازه‌های مهندسی از مصالحی ساخته می‌شوند که تحت اثر تنش و یا تغییر شکل می‌دهند، این تغییر شکل سبب می‌شود که نقاط یک سازه از محل اولیه خود حرکت نمایند که بعاین نوع حرکت تغییر مکان (خیز، دوران) گویند از آنجایی که تغییر شکل سازه‌ها همواره پائین تراز حد ارتجاعی مصالح سازه اتفاق می‌افتد، لذا همیشه پس از حذف تنش و یا برگشت به درجه حرارت اولیه، تغییر مکان سازه نیز منتفی می‌گردد، این نوع تغییر شکل و یا تغییر مکان را که در اثر بارگذاری سازه‌ها و یا تغییر درجه حرارت ایجاد می‌گردد، تغییر شکل ارتجاعی گویند.

گاهی تغییر مکان سازه‌ها نتیجه نشست تکیه گاه‌ها، چرخش گره‌های مفصلی، انقباض بتن و یا سایر عوامل نظیر آن می‌باشد، در چنین مواردی چون عامل تغییر مکان همواره به صورت پایدار باقی می‌ماند لذا تغییر مکان بوجود آمده هرگز از بین نمی‌رود. این نوع تغییر مکان را برای این که با نوع ارتجاعی متفاوت باشد می‌توان غیر ارتجاعی نامید. در این قسمت خواهیم دید که تغییر شکل و تغییر مکان سازه‌ها با و یا بدون وجود تنش - چنانکه بعد از در جزئیات شرح خواهیم داد - ممکن می‌باشد.

اغلب مهندسین سازه لازم می‌بینند که تغییر مکان سازه‌ها را محاسبه کنند. به عنوان مثال وقتی نصب پلهای طرهای یا سرتاسری مطرح باشد و یا طرح بالابرها پلهای معلق مورد نظر باشد محاسبه تغییر مکان نقاط مختلف سازه امری اجباری است، بعضی اوقات محاسبات تغییر مکان سازه‌ها به منظور جلوگیری از تجاوز تغییر شکل آنها از حد معینی انجام می‌گیرد، به عنوان مثال تغییر مکان تیرهای کف همیشه به طایر طریقه حداقل رساندن ترکهای پوشش گچ باید محدود گردد و همچنین در موارد کاربرد محورها جهت عملکرد صحیح و کامل تکیه گاه‌های آنها تغییر مکان آنها را باید محدود کرد. در مواردی که عملکرد دینامیکی و ارتعاشی سازه‌ها

طرح است نیز محاسبه تغییر مکان سازه‌ها اجباری است ولی با این وجود شاید مهندسین دلیلی محاسبات تغییر مکان را برای مهندسین سازه جالب توجه می‌سازد این باشد که تا حد وسیعی محاسبات سازه‌های نامعین بر پایه تعیین تغییر مکان آنها زیر اثر بارگذاری استوار است. روش‌های متعددی برای محاسبه تغییر مکانها وجود دارد که از بین آنها طرق زیر از جمله اساسی‌ترین و مفیدترین راهها به شمار می‌رود و لذا در این فصل به شرح آنها خواهیم پرداخت:

۱- روش‌هایی که در آن یک مولفه مشخص از تغییر مکان را محاسبه می‌کنند.

- روش کار مجازی (قابل استفاده در کلیه سازه‌ها)

- قضیه دوم کاستیگلیانو (قابل استفاده در کلیه سازه‌ها)

۲- روش‌هایی که در آن چندین مولفه تغییر مکان را به طور همزمان محاسبه می‌کنند

- روش ویلیوت - مور (قابل استفاده فقط در خرپاها)

- روش سلسله میله‌ها (قابل استفاده فقط در خرپاها)

- روش سطح لنگر (روش بار ارجاعی یا روش تیر مزدوج) (قابل استفاده در تیرها و قابها)

## ۲- ۱۲ ماهیت مساله تغییر مکان

محاسبه تغییر مکان سازه‌ها الزاماً یک مساله هندسی و یا مثلثاتی است، البته در وهله اول لازم است که تغییر مکان اجزاء و قطعات سازه را معین نمود ولی پس از تعیین آن تغییر مکانها را می‌توان با به کار بردن اصول هندسی یا مثلثاتی محاسبه نمود.

این مطلب بخصوص در حالت یک خرپای ساده که از تعدادی مثلث تشکیل شده است "کامل" واضح است، شکل پسندی این مثلثها با معلوم بودن طول سه ضلع آنها مشخص می‌گردد به این ترتیب اگر طول قطعات قبل و بعد از تغییر شکل معلوم باشد، موقعیت گرهها قبل و بعد از تغییر شکل به کمک مثلثات قابل محاسبه می‌باشد با تعیین اختلاف دو موقعیت گره (قبل و بعد از تغییر شکل) تغییر مکان گره معلوم می‌گردد ولی گرچه تئوری چنین روشی ساده است ولی در عمل کاری خستگی آور و نامناسب است.

در حالتی که خرپا مطرح است، مساله تغییر مکان آن را به صورت ترسیمی نیز می‌توان حل کرد به این ترتیب که تصویر آن را قبل و بعد از تغییر شکل رویهم قرار می‌دهیم، چنین روشی گرچه از نظر فکری ساده و روشی است ولی اگر دقت کمی را نیز در عمل خواستار باشیم می‌باشیم در چنان مقیاس بزرگی آن را به کار بگیریم که علاوه برای یک نقشه‌کش تهیه چنان

نقشه‌ای غیرممکن می‌باشد.

”روش دوران“ وسیله دیگری برای محاسبه تغییر مکان خرپا هاست، این وسیله از نظر فکری ساده ولی از نظر عملی غیرقابل استفاده است، این روش اندیشه مفیدی در مورد چگونگی بوجود آمدن تغییر مکان خرپاها بهما می‌دهد در این روش می‌توان تغییر مکان هرگره از خرپای ساده را در اثر تغییر طول هریک از میله‌های آن با اثرا دادن دوران قسمتی از خرپا نسبت به قسمت دیگر آن که ثابت فرض می‌شود معین نمود. با تعیین جداگانه اثر هریک از میله‌ها و جمع کلیه این اثرات تغییر مکان یک گره را تحت اثر تغییر طول کلیه میله‌های خرپا می‌توان محاسبه نمود.

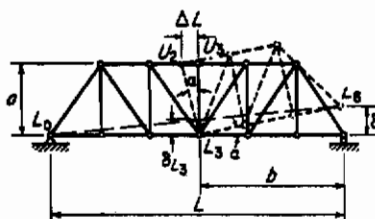
برای این که نحوه عمل چنین روشی را شرح دهیم، اثر تغییر طول میله فوکانی اصلی  $\alpha$  و  $U$  خرپای شکل (۱-۱۲) را مورد بررسی قرار می‌دهیم، چون کلیه تغییر شکلها کوچک است می‌توانیم فرض کنیم که دورانهای قطعات به قدری کوچک باشد که بتوانیم بنویسیم.

$$\alpha = \sin \alpha = \tan \alpha$$

همچنین مجاز هستیم قوسی را که نقطه‌ای طول آن را همزمان با دوران می‌پیماید با ماس بر آن قوس برای راحتی بیشتر منطبق فرض نمائیم برای این که تأثیر تغییر طول  $U$  را در تغییر مکان خرپا پیدا کنیم ابتدا گره  $U$  را آزاد کرده و به اندازه تغییر طول میله مذبور پعنی  $\Delta L$  بنآن انتقالی می‌دهیم اگر قسمت چه خرپا را در موقعیت خود ثابت فرض کنیم برای این که بار دیگر نقاط  $U$  برهم منطبق شوند لازم است که میله  $U$  حول  $U$  و قسمت خط چین خرپا حول  $U$  دوران نماید، در این حال نقطه  $U$  در دوران  $U$  حرکت عمودی و در دوران قسمت خط چین حرکت افقی خواهد داشت.

در این حالت محل تقاطع این دو مسیر در راستای وضعیت اولیه  $U$  قرار خواهد گرفت و موقعیت نهایی  $U$  در وضعیت که نشان داده شده است قرار می‌گیرد پس:

$$\delta = ab - \frac{\Delta L}{a} b = \frac{b}{a} \Delta L$$

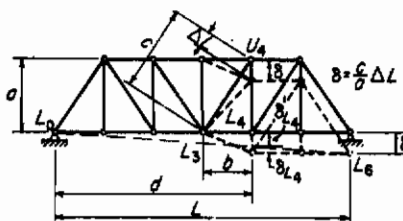


شکل (۱-۱۲) تغییر مکان ناشی از تغییر طول میله فوکانی خرپا

حال اگر نشست تکیه‌گاهی وجود نداشته باشد گره  $L_4$  نهایتی حرکت عمودی داشته باشد بدین جهت کل خرپا می‌بایستی در جهت ساعتگرد حول  $L_4$  آنقدر دوران نماید تا بوضعیت تکیه‌گاهی خود برگردد، در این صورت خط چمنی که  $L_4$  را به  $L_6$  متصل می‌کند خط تغییرمکان صفر خواهد بود و تغییرمکان عمودی به سمت پائین گره  $L_4$  با نسبت‌گیری ساده برابر خواهد شد با:

$$\delta_{L_4} = \frac{L - b}{L} \delta = \frac{L - b}{L} \frac{b}{a} \Delta L$$

با روش مشابه می‌توان تغییرمکان ناشی از تغییر طول میله قطری را به نحوی که در شکل (۲-۱۲) نشان داده شده است نیز معین نمود، با توجه به آنچه گذشت غیرقابل استفاده بودن این روش مشخص می‌گردد ولی از آن‌دیشه آن به صورت مستقیم در روش ویلیوت مور که در بخش (۱۲-۱۲) شرح داده شده است استفاده شده است.



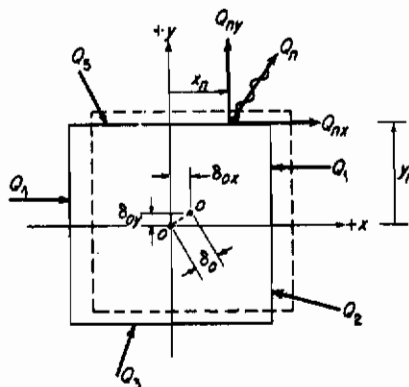
شکل (۲-۱۲) تغییرمکان ناشی از تغییر طول میله قطری خرپا

گرچه روش‌های متعددی که در بالا شرح داده شد غیرعملی هستند ولی اطلاع از وجود آنها مهم است زیرا چنین اطلاعی به ما می‌آموزد که مساله تغییرمکان را می‌توان با بکارگیری آن‌دیشه‌های ساده روزمره حل نمود، بعلاوه واضح می‌شود که باید در تئوری آن بازنگری نمود تا زحمت اجرای آن در حل مسایل عملی کاهش یابد.

### ۱۲-۱۳ اصل تغییرمکانهای مجازی

شاید متداول‌ترین، مستقیم‌ترین و کم خطاطرین روش محاسبه تغییرمکانهای سازه روش گار مجازی باشد، این روش که برایه یکی از موارد استعمال اصل تغییر مکانهای مجازی استوار است اولین بار در سال ۱۹۱۷ توسط جان برنتولی به صورت فرمولی ارائه شد، اصل گفته شده را می‌توان به صورت زیر ارائه داد.

فرض کنید که جسم صلبی تحت اثر دستگاه نیروی  $Q$  در تعادل باشد – منظور از جسم صلب جسمی است غیرقابل تغییرشکل که در آن هیچیک از اجزا آن نسبت به پیکر گر حرکتی نسبی نداشته باشند – ابتدا فرض کنید که این جسم به صورتی که در شکل (۳-۱۲) نشان داده شده است تحت اثر عامل دیگری مستقل از دستگاه نیروی  $Q$  تغییر مکان کوچکی بدون دوران متحمل شود، پس از انتخاب مرکزه و دو محور مختصات  $x$  و  $y$  می‌توان این انتقال نقطه  $h$  را به صورت واقعی با  $h$  با دو تصویر  $h_1$  و  $h_2$  در جهت محورهای  $x$  و  $y$  نشان داد، این دو تصویر را زمانی مثبت خواهیم گرفت که در جهت مثبت محورهای نشان داده شده باشند، چون این جسم صلب است، کلیه نقاط آن دقیقاً به همان میزان نقطه  $h$  انتقال خواهند پافت.



شکل (۳-۱۲) انتقال مجازی جسم صلب

کلیه نیروهای  $Q$  را می‌توان به دو مولفه درجهت  $x$  و  $y$  مانند  $Q_{nx}$  و  $Q_{ny}$  برای نیروی  $Q$  تجزیه نمود جهت مثبت این مولفه‌ها همان جهت مثبت مربوط به محورهای مختصات می‌باشد. از آنجائی که دستگاه نیروی  $Q$  در تعادل می‌باشد لذا بین مولفه‌های آن نیروها معادلات زیر برقرار خواهد بود.

$$\Sigma Q_{nx} = 0 \quad \Sigma Q_{ny} = 0 \quad \Sigma (Q_{nx}y_n - Q_{ny}x_n) = 0$$

حال به تعیین کار  $W$  که توسط نیروهای  $Q$  طی انتقال بسیار کوچک  $\delta$  جسم صلب که توسط عاملی دیگر ایجاد می‌شود می‌پردازیم، چون این انتقال کوچک است می‌توان فرض نمود که کلیه نیروهای  $Q$  همان وضع و جهت نسبی خود را نسبت به جسم صلب و

پکدیگر حفظ می‌نمایند لذا در طول این انتقال در تعادل باقی خواهند ماند، با این شرح می‌توان نوشت که:

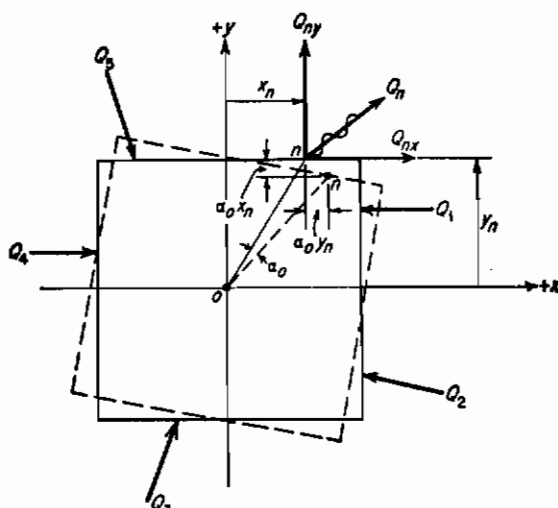
$$W_Q = \Sigma(Q_{nx}\delta_{ox} + Q_{ny}\delta_{oy}) = \delta_{ox}\Sigma Q_{nx} + \delta_{oy}\Sigma Q_{ny}$$

با توجه به روابط مذکور در (a) دیده می‌شود که کل کار انجام شده توسط نیروهای  $Q$  در چنین حالتی برابر با صفر است.

به همین ترتیب می‌توان کار انجام شده توسط نیروهای  $Q$  را در اثر دوران کوچک  $\alpha$  جسم صلب حول نقطه  $O$  بدست آورد. در این دوران، می‌توان فرض کرد که هر نقطه در طول عمود برشعاع مار از مرکز دوران به نقطه مزبور، حرکت نماید یعنی بجای حرکت در طول قوس در طول مماس بر آن قوس حرکت کند، لذا مولفه‌های تغییر مکان نقطه نامشخص  $n$  را می‌توان به صورت نشان داده شده در شکل (۴-۱۲) محاسبه نمود، چون زاویه دوران کوچک است باز هم نیروهای  $Q$  در تعادل باقی خواهند ماند، پس می‌توانیم بنویسیم:

$$W_Q = \Sigma(Q_{nx}\alpha_ox_n - Q_{ny}\alpha_oy_n) = \alpha_o\Sigma(Q_{nx}y_n - Q_{ny}x_n)$$

با توجه به معادلات (a) معلوم می‌شود که کل کار انجام شده توسط نیروهای  $Q$  در طول دوران جسم صلب نیز برابر با صفر می‌باشد. پس از کمی تفکر واضح می‌شود که هر تغییر مکان کوچک جسم صلب قابل تبدیل به یک



شکل (۴-۱۲) دوران مجازی جسم صلب

انتقال نقطه معلوم و یک دوران جسم صلب حول همان نقطه می‌باشد، از آنجایی که در هر دو حالت انتقال و دوران کار انجام شده توسط دستگاه نیروی  $Q$  (که یک دستگاه در حال تعادل است) چنانکه دیده شد برابر صفر است، اصل زیر در حالت کلی در موردی که جسم صلب تغییر مکان نامشخصی را تحمل می‌کند صادق خواهد بود.

اصل تغییر مکانهای مجازی برخلافی: هرگاه دستگاه نیروی  $Q$  که بر جسم صلبی اثر می‌کند در تعادل بوده و پس از آن که به جسم یک تغییر مکان کوچک مجازی دهیم باز در تعادل باقی بماند کار مجازی انجام شده توسط دستگاه نیروی  $Q$  برابر با صفر خواهد بود.

در بیان اصل فوق کلمه مجازی به این جهت به کار رفته است که بیانگر مستقل و جدا بودن عمل تغییر مکان از دستگاه نیروی  $Q$  باشد. لذا کاری که توسط دستگاه نیروی  $Q$  در طول تغییر مکان مجازی انجام می‌پذیرد کار مجازی نامند.

#### ۱۲-۴ پایه و اساس روش کار مجازی

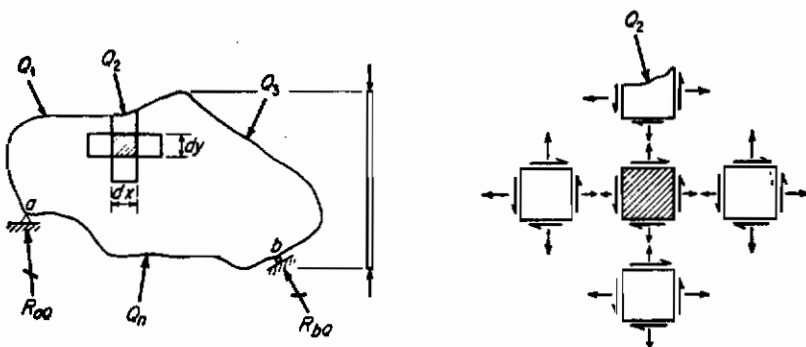
حال می‌توانیم اصل تغییر مکانهای مجازی را جهت تصمیم اساس کار مجازی برای محاسبه تغییر مکان سازه‌ها به کار ببریم این روش در کلیه سازه‌ها - تیرها، خرپاها و قابها چه مسطح و چه فضایی - قابل استفاده می‌باشد، برای سادگی مطلب سازه‌ای مسطح نظیر شکل (۱۲-۵) را در نظر می‌گیریم فرض نمایید که این سازه تحت اثر بارهای خارجی و عکس العملهای آن (به صورت دستگاه نیروی  $Q$ ) در تعادل باشد.

چون کل جسم در تعادل است، کلیه اجزاء آن نظیر جزء هاشورخورده آن تحت تنشیهای داخلی  $Q$  که نتیجه نیروهای خارجی  $Q$  می‌باشد در تعادل خواهند بود. اگر این جزء و اجزای مجاور آن را به صورت جدا مطالعه کنیم می‌بینیم که تنشیهای داخلی  $Q$  به کلیه سطوح تماس این اجزاء اثر کرده ولی نیروهای خارجی  $Q$  به سطوح خارجی آن اثر می‌کنند. در کلیه سطوح تماس بین دو جزء مجاور تنشیهای داخلی از نظر مقدار عددی با یکدیگر برابر ولی از حيث جهت در خلاف یکدیگر خواهند بود.

حال تصور کنید که این جسم در اثر عامل دیگری غیر از دستگاه نیروی  $Q$  تغییر شکل کوچکی دهد، چنین تغییر شکلی که بدان تغییر شکل مجازی گویند به دستگاه نیروی  $Q$  حرکتی خواهد داد که در اثر چنین تغییر شکلی هر جزئی نظیر جزء هاشورخورده (در شکل ۱۲-۵) تغییر شکل داده و همچنین مانند یک جسم صلب تحمل انتقال و دوران خواهد نمود، لذا سطوح چنان جزئی تغییر مکان داده و بر اثر آن تغییر مکان تنشیهای  $Q$  که به سطوح خارجی آن اثر می‌کنند تکان خورده و ایجاد کار مجازی خواهند نمود، اگر کار مجازی انجام شده توسط

تنشیهای  $Q$  را - که این تنشیها به سطوح خارجی اجزاء اثر می‌کنند - با  $dW_s$  نشان دهیم جزئی از این کار مجازی ناشی از حرکت سطح اطراف این اجزاء می‌باشد که در اثر تغییر شکل خود جزء مجبور بوجود می‌آید و این قسمت از کار مجازی را با  $dW_d$  نشان می‌دهیم باقی مانده  $dW_s$  عبارت خواهد بود از کاری مجازی که توسط تنشیهای  $Q$  در طی حرکت باقی مانده سطوح مرزی انجام می‌پذیرد که این قسمت برابر با  $-dW_d$  خواهد بود، در هر صورت این حرکت باقی مانده ناشی از انتقال دوران آن جزء می‌باشد که مانند جسم صلب متصل می‌شود که در چنین حالتی بر طبق اصل تغییر مکانهای مجازی، کار مجازی حاصل از آن برابر با صفر خواهد شد پس.

$$dW_s - dW_d = 0 \quad \therefore \quad dW_s = dW_d$$



شکل (۵-۱۲) سازه مسطح در حال تعادل تحت اثر دستگاه نیروی  $Q$

حال اگر کار مجازی انجام شده توسط تنشیهای  $Q$  را در مورد کلیه اجزای جسم بهم بیفزاییم رابطه فوق به صورت زیر در می‌آید:

$$W_s = W_d \quad (12-1)$$

ابتدا برای ارزیابی  $W_s$  باید آن ری می‌کنیم که مقدار آن عبارت از جمع کار مجازی انجام شده توسط تنشیها و نیروهای  $Q$  مولث بر کلیه سطوح اجزاء جسم می‌باشد، چون در برابر هر جزء سطح داخلی جسم جزء سطح دیگری درست در همان راستا وجود دارد لذا این سطوح مجاور دقیقاً به یک مقدار تغییر مکان خواهند پافت و چون نیروهای مولث براین جزء سطهای داخلی از نظر مقدار عددی دقیقاً "با یکدیگر برابر بوده و از نظر جهت در خلاف یکدیگر می‌باشند لذا کل کار مجازی انجام شده روی هر جفت سطح داخلی برابر با صفر خواهد بود

واز آنجاشی که کلیه سطوح داخلی به صورت جفت سطح وجود دارند، پس هیچ کار مجازی توسط نیروهای مؤثر بر سطوح داخلی انجام نمی‌گیرد و مقدار  $\frac{1}{4}$  محدود بدهکار انجام شده توسط نیروهای خارجی (۱) بر روی سطوح خارجی اجزاء تشکیل دهنده جسم خواهد بود بنابراین معادله (۱-۱۲) را می‌توان به صورت زیر تفسیر نمود:

قانون کار مجازی: هرگاه یک جسم ارتقاگی (قابل تغییرشکل) تحت اثر دستگاه نیروی (۲) در تعادل باشد و پس از تحمل تغییرشکلی کوچک و مجازی به حال تعادل باقی بماند کار مجازی خارجی انجام شده توسط نیروهای خارجی (۳) که بر سطح خارجی جسم اثر می‌گذارد برابر با کار تغییرشکل مجازی داخلی جسم که توسط تنشهای داخلی (۴) انجام می‌پذیرد خواهد بود.

قانون کار مجازی اساس روش کار مجازی مورد استفاده در محاسبه تغییر مکانهاست ولی قبل از این که بتوان به عنوان محاسباتی پرداخت می‌باشی انتی عبارات مناسب برای تعیین کار مجازی خارجی و کار تغییرشکل مجازی داخلی بددست آورد و اضافه بر آن ابتکارهای متعددی جهت انتخاب دستگاه (۵) می‌باشی بدهکار گرفت تا بتوان مولفه‌های موردنظر تغییر مکانها را محاسبه کرد. کلیه این مطالب در گفتارهای زیر شرح داده خواهد شد.  
برای این که انعطاف‌پذیری و کلی بودن قابل توجه روش کار مجازی را درک نماییم تأکید فرضیات و محدودیتهای زیر مهم می‌باشد.

۱- تنها شرطی کدنیروهای خارجی (۶) و تنشهای داخلی (۷) می‌باشی انتی حائز باشند  
این است که در طول جریان تغییر شکل همچنان ایجاد دستگاه نیروی در تعادل را بنمایند، بدیهی است که این شرط در مورثی که تغییرشکل مجازی شکل هندسی سازه را به صورت محسوس تغییر دهد صادق نخواهد بود.

۲- روابط استخراج شده فوق مستقل از بیلت یا نوع تغییرشکل می‌باشد- این روابط خواه مربوط به تغییرشکل ناشی از بارگذاری، درجه حرارت، خطای طول قطعات و یا سایر علل باشد و یا خواه مربوط به مصالحی باشد که از قانون هوک پیروی کنند یا نکنند صادق می‌باشند.

۳- علاوه بر آن که تغییرشکلها باشی انتی تا حدی که شکل هندسی سازه را به صورتی محسوس تغییر ندهند کوچک باشد باید سازگار نیز باشد به این معنی که قطعات سازه باشد بمنحوی تغییرشکل دهنده که پس از تغییرشکل به یکدیگر جفت بوده و شرایط قیود تکیه‌گاهی را تأمین نمایند.

## ۱۲- ۵ روابط کار مجازی خارجی و داخلی

محاسبه (۸) که کار مجازی خارجی انجام شده توسط دستگاه نیروی (۹) مؤثر بر یک سازه

می‌باشد امری ساده است، اگر نشان دهنده تغییر مکان نقطه اتر نیروی  $Q$  در طول تغییر شکل مجازی یک سازه باشد و مقدار آن را در همان جهت و راستای نیروی  $Q$  اندازه بگیریم، کار مجازی انجام شده توسط نیروی  $Q_1$  برابر با  $Q_1 \delta_1$  ضرب در آن خواهد بود و بنابراین کل کار مجازی انجام شده توسط نیروهای  $Q$  که شامل بارگذاریها و عکس‌العملها می‌باشد برابر خواهد شد با:

$$W_s = Q_1 \delta_1 + Q_2 \delta_2 + Q_3 \delta_3 + \dots$$

این رابطه را می‌توان به صورت زیر نشان داد.

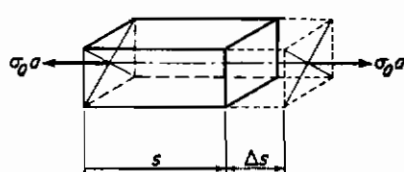
$$W_s = \Sigma Q \delta \quad (12-2)$$

معنی این است که کافی است که حاصل ضرب  $Q$  در آن را برای هر یک از نیروهای  $Q$  به دست آورده و برای کلیه نیروهای  $Q$  که شامل بارگذاریها و عکس‌العملها می‌باشد مقادیر به دست آمده را بهم بیفزاییم. بایستی خاطر نشان کنیم که هرگاه فرض برای این باشد که در رابطه فوق مقدار کار مشتث فرض شود می‌بایستی مقدار آن را در جهت  $Q$  مربوط به خود مشتث فرض کنیم.

محاسبه  $W_s$  که کار مجازی تغییر شکل داخلی می‌باشد نیز به طور نسبی ساده می‌باشد، برای به دست آوردن عبارت  $W_s$  در این قسمت می‌بایستی انواع مختلف تغییر شکل را نظری تغییر طول (محوری) تغییر شکل برشی، تغییر شکل خمشی و غیره را محاسبه کنیم، ابتدا حالت ساده شکل (۱۲-۶) را که قطعه کوچکی به طول اولیه (قبل از تغییر شکل)  $\delta$  و سطح مقطع  $A$  را نشان می‌دهد ملاحظه کنید فرض کنیم که شدت تنش  $Q$  که به صورت یکنواخت در کل سطح مقطع  $A$  گسترده شده است و باشد در این صورت نیروی محوری برابر با  $(\sigma)(a)$  خواهد شد. اگر تغییر شکل مجازی این قطعه فقط کرنش محوری یکنواخت  $\Delta s$  باشد تغییر طول محوری  $\Delta s$  برابر با  $(\epsilon)(a)$  خواهد شد بنابراین کار مجازی تغییر شکل داخلی که توسط تنشهای  $Q$  حاصل می‌شود با رابطه ساده زیر بیان خواهد شد:

$$W_s = \sigma_a a \Delta s = \sigma_a a \epsilon s \quad (3-12)$$

حال می‌توانیم این رابطه را برای محاسبه کار تغییر شکل مجازی داخلی یک تیر یا میله‌ای

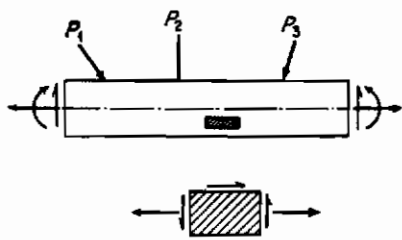


شکل (۱۲-۶) تغییر طول محوری

از خرها و یا قاب به کار بریم.

تفییر شکل میله‌ای را که تحت اثر دستگاه نیروی دو بعدی  $M$  قرار دارد و یا تحت اثر تغییر درجه حرارت واقع است در نظر می‌گیریم، فرض می‌کنیم که محور مار بر مراکز ثقل این قطعه خط مستقیم باشد و فرض می‌کنیم که کلیه مقاطع این قطعه دارای محور تقارنی واقع در صفحه بارهای  $M$  باشد در نتیجه برآیند تنشهای داخلی  $M$  نیز در همان صفحه واقع خواهد شد.

هر نیروی محوری نظیر  $M$  در هر سطح مقطع قطعه سبب ایجاد کرنش محوری پکواخت در کلیه تارهای مقطع خواهد نمود و به همین ترتیب فرض نمایید که تغییر درجه حرارت نیز سبب ایجاد کرنش پکواخت در این مقطع ننماید، اگر کرنش پکواخت محوری مقطع قطعه را که در اثر دو عامل فوق ایجاد می‌شود با  $\epsilon$  نشان دهیم دستگاه بارگذاری  $M$  نیز سبب تلاش برشی و لنگر خمشی در همان مقطع خواهد شد بدلیل این دو اثر یک قطعه افقی نظیر نمچه در شکل (۲-۱۲) نشان داده شده است تحمل تنشهای معاوی و عمودی خواهد نمود بررسیهای بیشتری نشان می‌دهد بجز در قطعاتی که ارتفاع آنان نسبت به طول آنها زیاد است در سایر قطعات اثر تنش برشی در ایجاد تغییر مکان نسبت به تنشهای عمودی که با ازدیاد و یا تقلیل طول اجزاء سبب ایجاد تغییر مکان می‌گردند ناچیز می‌باشد. بدین جهت در این کتاب از اثر تنشهای برشی صرف نظر می‌گردد.



شکل (۲-۱۲) برش و خمش در اثر بارهای  $M$

با صرف نظر نمودن از تغییر شکل برشی محاسبه کار مجازی تغییر شکل ناشی از فقط از دیاد با تقلیل طول اجزاء طولی عملی ساده خواهد بود. فرض کنید که دستگاه نیروی  $M$  در همان صفحه نیروهای  $M$  – شکل (۲-۱۲) – واقع شده باشد این نیروها سبب ایجاد نیروی محوری، تلاش برشی و لنگر خمشی در مقطع قطعه خواهند نمود. حال می‌خواهیم عبارتی جهت بیان کار مجازی تغییر شکل داخلی انجام شده توسط تنشهای بوجود آمده  $M$  وقتی قطعه مزبور تغییر شکلی مجازی به نوعی که در بند قبل ذکر شد تحمل می‌نماید به دست آوریم.

محورهای متعامد مختصات  $z, y, x$  را به نوعی که محور  $x$  بر مراکز نقل قطعه گذشته و

محور  $\mathbf{z}$  عمود بر صفحه کاغذ باشد انتخاب می‌کنیم ، حال اگر مانند شکل (۸-۱۲) یک جزء طولی از قطعه را که در موقعیت (y, z) قرار گرفته در نظر بگیریم واضح است که عمل کرد این جزء تحت شرایط فوق دقیقاً شبیه جزء نشان داده شده در شکل (۱۲-۶) می‌باشد و بنابر این کار مجازی مربوط به این جزء طولی را می‌توان به کمک معادله (۱۲-۳) تعیین نمود. اگر چنان عملی را برای کلیه اجزای قطعه انجام دهیم و نتایج حاصل را با یکدیگر جمع کنیم ، کار مجازی تغییر شکل کل قطعه به دست خواهد آمد.

با فرض این که تنشهای عمودی را می‌توان با استفاده از نظریه مقدماتی تیرها به دست آورد و تعاریف زیر را داشته باشیم .

$M_P$  : لنگر خمشی حاصل از بارهای  $P$  در مقطع  $mm'$  (که سبب ایجاد تغییر شکل مجازی می‌گردد ) .

$M_Q$  : لنگر خمشی حاصل از بارهای  $Q$  در مقطع  $mm'$

$F_P$  : نیروی محوری حاصل از بارهای  $P$  در مقطع  $mm'$

$F_Q$  : نیروی محوری حاصل از بارهای  $Q$  در مقطع  $mm'$

$\sigma_P$  : تنش عمودی حاصل از بارهای  $P$  در نقطه  $(s,y)$  که برابر با  $(F_P/A)+(M_{Py}/I)$  می‌باشد .

$\sigma'_P$  : تنش عمودی حاصل از  $F_P/A$  در نقطه  $(s,y)$  که برابر با  $F_P/A$  می‌باشد .

$\sigma''_P$  : تنش عمودی حاصل از  $M_{Py}/I$  در نقطه  $(s,y)$  که برابر با  $M_{Py}/I$  می‌باشد .

$\sigma_Q$  : تنش عمودی حاصل از بارهای  $Q$  در نقطه  $(s,y)$  که برابر با  $(F_Q/A)+(M_{Qy}/I)$  می‌باشد .

$e$  : کرنش محوری حاصل از بارهای  $P$  و تغییرات درجه حرارت جزء طولی در نقطه  $(s,y)$

$e_0$  : کرنش محوری حاصل از بارهای  $P$  و تغییرات درجه حرارت و لنگر طولی در نقطه‌ای روی مار بر مراکز ثقل .

$I$  : لنگر لختی سطح مقطع  $mm'$  نسبت به محور  $oz$

$m$  : مساحت سطح مقطع  $mm'$

$E$  : ضریب ارتجاعی مصالح مصرفی

$b$  : عرض سطح مقطع  $mm'$  در تار  $y$

حال جزء طولی قطعه را که در نقطه  $(s,y)$  واقع است و دارای طولی برابر با  $ds$  ،

عرض برابر با  $b$  و ارتفاعی برابر با  $dy$  می‌باشد در نظر بگیرید در این حالت خواهیم داشت :

$$e = e_0 + \frac{\sigma''_P}{E} = e_0 + \frac{M_{Py}}{EI}$$

کار مجازی تغییر شکل این جزء خواهد شد.

$$(\sigma_Q b \, dy)(e \, ds) = \left( \frac{F_Q}{A} + \frac{M_Q y}{I} \right) (b \, dy) \left( e_o + \frac{M_P y}{EI} \right) ds$$

بنابراین کل کار مجازی تغییر شکل برای کل قطعه خواهد شد.

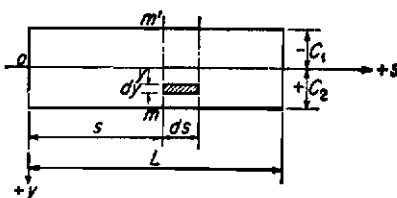
$$\begin{aligned} W_d &= \int_0^L \int_{-c_1}^{+c_1} \left( \frac{F_Q}{A} + \frac{M_Q y}{I} \right) (b \, dy) \left( e_o + \frac{M_P y}{EI} \right) ds \\ &= \int_0^L \int_{-c_1}^{+c_1} \left( \frac{F_Q e_o}{A} + \frac{M_Q e_o}{I} y + \frac{F_Q M_P}{EIA} y + \frac{M_Q M_P}{EI^2} y^2 \right) b \, dy \, ds \end{aligned}$$

با توجه به این که همواره داریم.

$$\int_{-c_1}^{c_1} b \, dy = A \quad \int_{-c_1}^{c_1} yb \, dy = 0 \quad \int_{-c_1}^{c_1} y^2 b \, dy = I$$

رابطه فوق به صورت شکل ساده زیر در می‌آید.

$$W_d = \int_0^L F_Q e_o \, ds + \int_0^L \frac{M_Q M_P}{EI} \, ds \quad (4-12)$$



شکل (۸-۱۲) محورهای مختصات

#### ۱۲-۶ تغییر مکان خرپاها با استفاده از کار مجازی

برای این که رابطه اختصاصی قانون کار مجازی را برای خرپاها به دست آوریم کافی است که معادلات (۴-۱۲) و (۲-۱۲) را در معادله (۱-۱) قرار دهیم. ابتدا حالتی را که شامل خرپای ایده‌آلی با گرههای مفصلی می‌گردد و این خرپا تحت اثر بارهای  $P$  و  $Q$  که همگی فقط بر گرههای خرپا وارد می‌شوند را در نظر بگیرید. در یک چنین حالتی تک تک قطعات فقط تحت اثر بارهای محوری واقع شده و هیچ برش و لنجکی را تحمل نخواهند کرد و عبارت دوم معادله (۴-۱۲) حذف خواهد شد و علاوه بر آن مقدار  $\theta_m$  در طول یک قطعه

مشخص ثابت خواهد بود و چون :

$$\int_0^L e_o \, ds = (\text{تغییر طول محوری در یک قطعه}) = \Delta L$$

کار مجازی تغییرشکل برای قطعه خمثی از خرها خواهد شد.

$$W_d = F_Q \int_0^L e_o \, ds = F_Q \Delta L$$

حاصل جمع کلیه مقادیر فوق برای تک قطعات خرها برابر با کار مجازی داخلی تغییرشکل برای کل خرها خواهد شد که برابر با مقدار زیر می‌گردد.

$$W_d = \Sigma F_Q \Delta L$$

بنابراین قانون کار مجازی که قابل استفاده برای یک خرها ایده‌آل با اتصالات مفصل می‌باشد به صورت زیر در می‌آید:

$$\Sigma Q \delta = \Sigma F_Q \Delta L$$

روابط مناسبی را برای محاسبه  $\Delta L$  می‌توان به راحتی بر حسب آن که تغییر طول حاصل از بارهای  $P$ ، تغییر درجه حرارت و یا به علت دیگری باشد به دست آورد. در حالتی که قطعه‌ای منشوری دارای سطح مقطعی ثابت و برابر با  $A$  و ضریب ارتفاعی ثابتی برابر با  $E$  باشد.

اگر تغییرشکل حاصل از اثر بارهای  $P$  بر گرههای خرها باشد.

$$\Delta L = (e_o)(L) = \left(\frac{\sigma'_P}{E}\right)(L) = \left(\frac{F_P}{A}\right)\left(\frac{L}{E}\right) = \frac{F_P L}{AE} \quad (5-12\text{ الف})$$

اگر تغییرشکل حاصل از تغییر پکنواخت درجه حرارت باشد.

$$\Delta L = (e_o)(L) = (\alpha_t t)(L) = \alpha_t t L \quad (5-12\text{ ب})$$

اگر تغییرشکل حاصل از هردو عامل فوق به صورت همزمان باشد.

$$\Delta L = \frac{F_P L}{AE} + \alpha_t t L \quad (5-12\text{ ج})$$

در اینجا علاوه بر تعاریفی که قبلاً ذکر شد داریم:

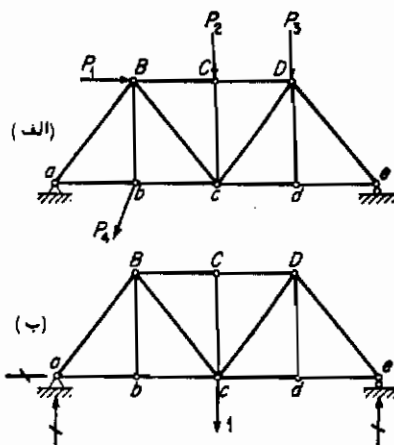
$F_P$ : نیروی میله، یک عضو حاصل از بارهای  $P$

$F_Q$ : نیروی میله، یک عضو حاصل از بارهای  $Q$

$\alpha$ : ضریب انبساط حرارتی مصالح

$L$ : طول قطعه

معادله (۹-۱۲) اساس روش کار مجازی را برای محاسبه تفییرشکل خربه‌های ایده‌آل قبلی را تشکیل می‌دهد ولی ما هنوز هم کاربرد آنرا برای این عمل نمیدانیم. به عنوان مثال فرض کنید که بخواهیم مولفه عمودی تفییرشکل گره  $c$  را که در اثر بارهای  $P$  که در شکل (۹-۱۲ الف) نشان داده شده است حاصل می‌شود محاسبه کنیم. فرض کنید که برای دستگاه بار  $Q$  بار عمودی واحدی که بر گره  $c$  اثر می‌کند توانم با عکس العمل‌های آن در نظر بگیریم.



شکل (۹-۱۲) کاربرد روش کار مجازی در خربه‌ای مفصلی

اگر تصور کنیم که ما ابتدا دستگاه  $Q$  را بر سازه وارد کنیم و سپس بارهای واقعی  $P$  را بر آن اثر دهیم در این صورت بارهای  $P$  تغییر جا داده و در طول این تغییر کار مجازی خارجی انجام خواهند داد. بر طبق قانون کار مجازی تنشهای داخلی  $Q$ ، بهمان میزان وقتی که اعضای خربه در اثر تنشهای  $P$  تغییر طول می‌دهند کار مجازی داخلی انجام خواهند داد، لذا با استفاده از معادله (۹-۱۲) داریم:

$$(1) + W_R = \sum F_Q \frac{F_P L}{AE}$$

در این رابطه  $W_R$  بیانگر کار مجازی انجام شده توسط عکس العمل‌های  $Q$  می‌باشد البته این در صورتی است که نقاط تکیه‌گاهی تغییر مکان یافته و مقدار تغییر مکان به صورت رقم قابل محاسبه باشد و اگر تکیه‌گاهها ثابت باشند  $W_R = 0$  می‌باشد:

$$(1) \quad = \sum F_Q F_P \frac{L}{AE}$$

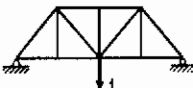
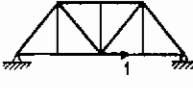
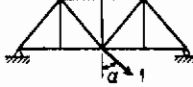
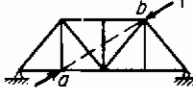
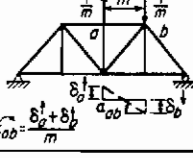
نیروی میله‌های  $F_Q$  و  $F_P$  را که بهترتبیب در اثر دستگاه‌های بارگذاری  $Q$  و  $P$  حاصل می‌شوند به راحتی می‌توان محاسبه نمود، پس از آن که این مقادیر را با مقادیر معلوم  $L$ ،  $A$  و  $E$  طبق رابطه فوق ترکیب نمودیم قسمت سمت راست معادله بالا محاسبه می‌گردد و بدین ترتیب مقدار مجهول  $\theta$  معین می‌گردد.

در شکل (۱۵-۱۶) انتخاب مناسب دستگاه‌های  $Q$  را برای استفاده در محاسبه مولفه‌های مورد نیاز تغییر مکان نشان داده‌ایم، دیده می‌شود که "لم" انتخاب دستگاه نیروی  $Q$  در این است که در جهت تغییر مکان مورد نیاز  $\theta$  که تنها مجهول در طرف چپ معادله می‌باشد انتخاب گردد، برخی از دانشجویان نقش تغییر شکل حاصل از دستگاه  $Q$  را در این قسمت به راحتی نمی‌فهمند، واقعیت این است که ما با آن تغییر مکان کاری نداریم، ما می‌خواهیم تغییر مکان حاصل از دستگاهی را سبب تغییر شکل شده است پیدا کنیم. دستگاه  $Q$  دستگاهی است که در این عملیات تغییر مکان می‌باید ولذا کاری مجازی انجام می‌دهد و بر اثر آن ما را قادر می‌سازد که تغییر مکان مطلوب خود را محاسبه کنیم، توجه شود که در این قسمت ما به محاسبه کار واقعی انجام شده توسط بارهای  $P$  که سبب تغییر شکل سازه شده‌اند نمی‌پردازیم.

مسائل عددی زیرین روشهای تنظیم محاسبات را در مسائل متداول نشان می‌دهد، در کاربرد قانون کار مجازی رعایت علامت گذاری دارای اهمیت بسیار است، در استخراج معادلات مربوط به کار مجازی خارجی و داخلی دستگاه  $Q$  فرض را براین گذاشتیم که کار انجام شده مثبت باشد. این مطلب بدین معنی است که اولاً  $\theta$  را زمانی مثبت فرض کنیم که دارای همان جهت نیروی نظیر  $Q$  باشد و ثانیاً چنین ایفاد می‌شود که  $F_Q$  و  $PL$  هر دو زمانی مثبت گرفته می‌شوند که در یک راستا عمل کنند، و اگر  $\theta$  را زمانی مثبت می‌گیریم که کششی باشد  $PL$  را زمانی می‌پایستی مثبت گرفت که ایجاد از دیاد طول کند و بنابراین  $P$  در صورت کششی بودن مثبت گرفته می‌شود و  $\theta$  زمانی مثبت گرفته می‌شود که از دیاد درجه حرارت وجود داشته باشد.

پس از مطالعه مثال‌های زیرین خواهید فهمید که دو عامل اشتباه وجود دارد که عبارتند از آحاد و علاوه البته اگر آحاد نیرو را برای نیروی  $Q$  و تنها منظور کنیم احتمالاً اشکال کمتری بروز خواهد کرد گرچه برخی از مؤلفین این نیروها را بدون بعد در نظر می‌گیرند، معمولاً اگر در حل مسئله همواره واحد ثابتی برای طول در نظر بگیریم بهتر خواهد بود ولی در برخی اوقات منطقی‌تر است که بخاطر این که به اعداد محسوس‌تری برسیم آحاد طول را عوض کنیم. به عنوان مثال در این مسائل  $A$  و  $E$  را بر حسب واحد اینچ بعکار برده‌ایم در

صورتی که  $L$  را بر حسب فوت بیان کرده‌ایم. آنچه در این زمینه انجام می‌گیرد عموماً بستگی به سلیقه شخصی دارد ولی می‌بایستی خاطرنشان کرد که همواره از یک طریق پیروی کنیم و مطمئن باشیم که آحاد انتخابی سازگار باشند. اگر از همان علائم قراردادی با دقت بسیار پیروی کنیم در مورد علائم نبایستی به مشکلی برخوردد کنیم ولی لازم است که علائم کلیه حاصل ضربها را کنترل نماییم. خاطرنشان می‌شود که  $F_0$  و  $F_m$  نیروهای میله واقعی هستند و مولفه‌های افقی و یا عمودی نمی‌باشند.

مولفه تغییر مکان	دستگاه	$\Sigma Q \delta = \Sigma F_0 \Delta L$	توضیحات
۱- مولفه عمودی تغییر مکان گرهها		$(1)(\delta_V) + W_R = \Sigma F_0 \Delta L$ $W_R = \text{کارگذاری خارجی} = \frac{Q}{\text{مکان العمل}}$	فرمایشی از مولفه‌های افقی و افقی-آفونه که معمولاً در مورد تغییر مکان گرهها مورد استفاده قرار می‌گیرند. این مولفه‌ها میله‌هایی را که از یک گره جدا شده‌اند را در میان گره‌ها می‌گذارند.
۲- مولفه افقی تغییر مکان گرهها		$(1)(\delta_H) + W_R = \Sigma F_0 \Delta L$	فرمایشی از مولفه‌های افقی و افقی-آفونه که معمولاً در مورد تغییر مکان گرهها مورد استفاده قرار می‌گیرند. این مولفه‌ها میله‌هایی را که از یک گره جدا شده‌اند را در میان گره‌ها می‌گذارند.
۳- مولفه غیر مشخص تغییر مکان گرهها		$(1)(\delta_G) + W_R = \Sigma F_0 \Delta L$	فرمایشی از مولفه‌های افقی و افقی-آفونه که معمولاً در مورد تغییر مکان گرهها مورد استفاده قرار می‌گیرند. این مولفه‌ها میله‌هایی را که از یک گره جدا شده‌اند را در میان گره‌ها می‌گذارند.
۴- تغییر مکان نسبی دو گره در طول خطی که آن دو را بهم وصل می‌کند		$(1)(\delta_G) + (1)(\delta_B) + W_R = \Sigma F_0 \Delta L$ $(1)(\delta_G + \delta_B) + W_R =$ $(1)(\delta_{G-B}) + W_R = \Sigma F_0 \Delta L$ $\delta_{G-B} = \text{rel. mov. } G \text{ and } B \text{ together}$	فرمایشی از مولفه‌های افقی و افقی-آفونه که معمولاً در مورد تغییر مکان گرهها مورد استفاده قرار می‌گیرند. این مولفه‌ها میله‌هایی را که از یک گره جدا شده‌اند را در میان گره‌ها می‌گذارند.
۵- دوران میله یک گرهها		$(\frac{1}{m})(\delta_A) + (\frac{1}{m})(\delta_B) + W_R = \Sigma F_0 \Delta L$ $(\frac{1}{m})(\delta_A + \delta_B) + W_R =$ $(1)(\alpha_{AB}) + W_R = \Sigma F_0 \Delta L$	فرمایشی از مولفه‌های افقی و افقی-آفونه که معمولاً در مورد تغییر مکان گرهها مورد استفاده قرار می‌گیرند. این مولفه‌ها میله‌هایی را که از یک گره جدا شده‌اند را در میان گره‌ها می‌گذارند.
شکل (۱۰-۱۲) دستگاه نیروهای متعارف $Q$ که در مسایل تغییر مکان خرپاها به کار برده می‌شود			

مثال ۱۰-۱۲ = (الف) مولفه عمودی تغییر مکان گره  $C$  را تحت اثر بارنشان داده شده محاسبه کنید. (ب) مولفه عمودی تغییر مکان گره  $C$  را هرگاه فقط میله‌های اصلی تحتانی  $50^{\circ}F$  تقلیل درجه حرارت دهنده محاسبه کنید.  $\alpha = 1/150,000 \text{ per } ^{\circ}F$  می‌باشد.

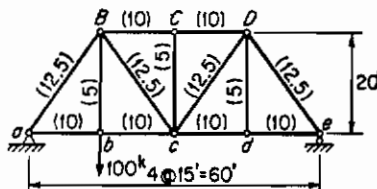
$$(a) \sum Q\delta = \sum F_Q \Delta L = \sum F_Q F_P \frac{L}{AE}$$

$$(I^k)(\delta_{\frac{1}{2}}) = \frac{l}{E} \sum F_Q F_P \frac{L}{A}$$

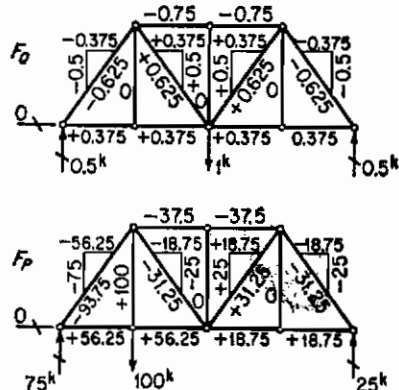
$$= \frac{+325.01 kips/in^3}{80 \times 10^3 kips/in^3}$$

$$\therefore \delta_e = \underline{+0.01083 ft}$$

به طرف پائین



مقادیر سطح مقاطع در داخل پرانتز  
درج شده است



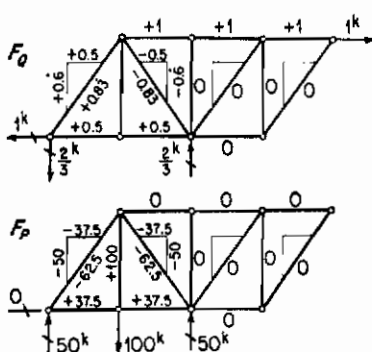
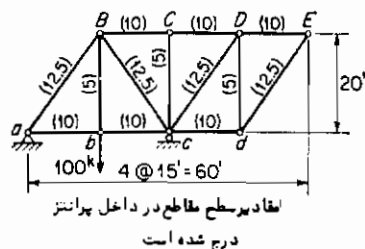
جدول تنظیم محاسبات

میله‌ها	$L$	$A$	$\frac{L}{A}$	$F_Q$	$F_P$	$F_Q F_P \frac{L}{A}$	$t$	$F_Q t L$
حاد	'	"	"'				$kips/in^2$	$k^{\circ}F$
$ab$	15	10	1.5	+0.375	+ 56.25	+ 31.84	-50	- 281.85
$bc$	15	10	1.5	+0.375	+ 56.25	+ 31.84	-50	- 281.85
$cd$	15	10	1.5	+0.375	+ 18.75	+ 10.55	-50	- 281.85
$de$	15	10	1.5	+0.375	+ 18.75	+ 10.55	-50	- 281.85
$BC$	15	10	1.5	-0.75	- 37.5	+ 42.19	0	0
$CD$	15	10	1.5	-0.75	- 37.5	+ 42.19	0	0
$aB$	25	12.5	2	-0.825	- 93.75	+117.19	0	0
$Bc$	25	12.5	2	+0.825	- 31.25	- 39.06	0	0
$cD$	25	12.5	2	+0.825	+ 31.25	+ 39.06	0	0
$De$	25	12.5	2	-0.825	- 31.25	+ 39.06	0	0
$bB$	20	5	4	0	+100	0	0	0
$cC$	20	5	4	0	0	0	0	0
$dD$	20	5	4	0	0	0	0	0

مثال ۱۲ - ۲ = مولقه افقی تغییر مکان گره  $E$  را تحت اثر بارگذاری نشان داده شده

$$E = 30 \times 10^3 \text{ kips/in}$$

محاسبه کنید ،



$$\sum Q\delta = \sum F_Q \Delta L = \sum F_Q F_P \frac{L}{A}$$

$$(1^k)(\delta_E) = \frac{l}{E} \sum F_Q F_P \frac{L}{A} = \frac{+56.25 k^4 in^4}{30 \times 10^3 k/in^4}$$

$$\therefore \delta_E = +0.001875 \text{ ft} \quad \therefore \text{to right}$$

مکان	$L$	$A$	$\frac{L}{A}$	$F_Q$	$F_P$	$F_Q F_P \frac{L}{A}$
آزاد						
ab	15	10	1.5	+0.5	+87.5	+28.13
bc	15	10	1.5	+0.5	+87.5	+28.13
aB	25	12.5	2	+0.83	-62.5	-104.17
Bc	25	12.5	2	-0.83	-62.5	+104.17
$\Sigma$						+ 56.25

بحث :

توجه شود که هر میله‌ای را که برای آن میله یکی از مقادیر  $F_Q$  یا  $F_P$  صفر است می‌توان از جدول حذف نمود زیرا برای چنان میله‌ای حاصل ضرب  $F_Q F_P (L/A)$  همواره صفرخواهد شد.

مثال ۱۲-۳ = در خرپای مربوط به مثال (۲-۱۲) مولفه افقی تغییر مکان E را که حاصل از جابجاگی تکیه‌گاهها به صورت زیر می‌باشد محاسبه کنید.

۰.۵" به سمت چپ = جابجاگی افقی در a

۰.۷۵" به طرف پائین = جابجاگی عمودی در a

۰.۸۵" به طرف پائین = جابجاگی عمودی در e

برای تحلیل تنش تحت اثر دستگاه نیروی Q از مثال قبل استفاده کنید. در این مثال تغییر مکان فقط به دلیل جابجاگی تکیه‌گاهها ایجاد می‌شود و برای همچویک از اعضا تغییر طولی بوجود نمی‌آید یعنی برای کلیه اعضاء  $0 = \Delta L$  است.

$$\sum Q\delta = \sum F_Q \Delta L = 0$$

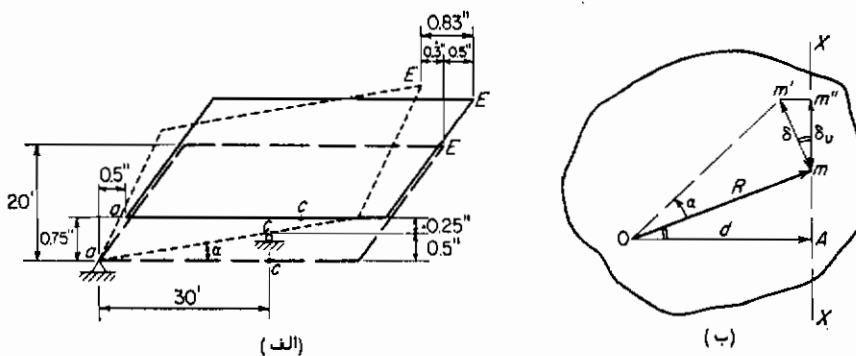
$$(1^k)(\delta_E) + (1^k)(0.5") + (3g^k)(0.75") - (3g^k)(0.25") = 0$$

$$\therefore \delta_E = -0.5 - 0.5 + 0.167 = -0.833 \text{ in.}$$

## بحث :

در محاسبه کار مجازی خارجی که توسط عکس‌العمل‌های  $Q$  انجام می‌شود دقت کنید که علامت صحیح به کار برده شود علامت مثبت یا منفی کار مجازی یک عکس‌العمل بستگی به این دارد که نقطه اثر آن عکس‌العمل به ترتیب در جهت و یا در خلاف جهت عکس‌العمل جابجا شود.

محاسبه تغییرمکان حاصل از نشست تکیه‌گاهها را می‌توان بسادگی با استفاده از علم-الحرکات بدست آورد. در شکل (الف) خطوط پر نشان دهنده وضعیت اولیه خرپا می‌باشد. می‌توان فرض نمود که خرپا ابتدا چنان حرکتی انتقالی را متحمل شود که تکیه‌گاه  $A$  در وضعیت نهایی خود قرار گیرد، وضعیت انتقال یافته خرپا را در شکل با خطوط منقطع نشان داده‌ایم.



پس از آن خرپا حول « $A$ » در جهت عکس ساعتگرد آنقدر می‌چرخد تا این‌که تکیه‌گاه  $A$  در وضعیت مناسب خود قرار گیرد وضعیت نهایی خرپا را با خط چین نشان داده‌ایم، در شکل‌های ذکر شده جابجاییها را بخاطر واضح شدن مساله به صورت بسیار زیادی بزرگ نشان داده‌ایم. با توجه به شکل فوق جابجایی افقی نقطه « $E$ » را می‌توان به صورت زیر محاسبه نمود.

$$\text{حاصل از انتقال} = \text{به سمت چپ } 0.5''$$

$$\text{به سمت چپ } \frac{0.5''}{80'} \times 20' = 0.3'' = \text{حاصل از دوران حول } A$$

$$\text{به سمت چپ } 0.5'' + 0.3'' = 0.83'' = \text{کل جابجایی افقی نقطه } E$$

محاسبه جابجایی در اثر دوران نیاز به توضیح دارد و به صورتی است که گویا عملکرد قضیه مفیدی را بیان می‌کند حرکت نقطه « $m$ » از یک جسم صلب را که حولاً مرکز  $O$  به اندازه زاویه « $\alpha$ » دوران می‌نماید در نظر بگیرید. در شکل (ب) این زاویه بخاطر واضح شدن شرح هندسی مساله خارج از اندازه بزرگ نشان داده شده است، عمل « $\alpha$ » زاویه به قدری کوچک است (بر حسب رادیان) که سینوس و تانژانت آن علاوه بر یکدیگر برابر است، این بدان معنی

است که منطبقاً می‌توان فرض کرد که نقطه  $m$  بجای آن که در طول قوسی تغییرمکان دهد می‌توان در طول مماس نشان داده شده تا نقطه  $m'$  تغییرمکان دهد. فرض کنید که بخواهیم مولفه تغییرمکان  $mm'$  را در راستای معینی نظیر  $XX$  معلوم کنیم از نقطه  $O$  عمود  $OA$  را براین راستای  $XX$  وارد کنید، با درنظر گرفتن شکل واضح است که مثلثهای  $mm'm''$  و  $mma$  متشابه هستند، بنابراین خواهیم داشت:

$$\frac{\delta_m}{\delta} = \frac{d}{R} \quad \delta_m = \frac{\delta}{R} d = \alpha d$$

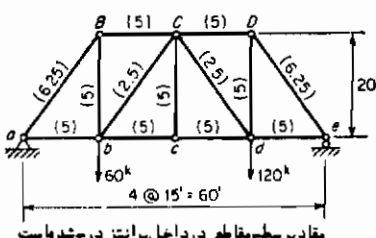
زیرا  $\alpha \approx \delta/R$  است. بنابراین قضیه زیر را می‌توان بیان نمود.  
اگر جسمی صلب حول مرکزی نظیر  $O$  به اندازه زاویه  $\theta$  گوچک « دوران گند مولفه تغییر مکان نقطه  $m$  در طول راستای  $XX$  که از آن نقطه می‌گذرد برابر با حاصل ضرب زاویه « در فاصله عمودی نقطه  $O$  از  $XX$  می‌باشد. در مورد خرپای فوق داریم:

$$\alpha = \frac{0.5''}{30'}$$

بنابراین جابجایی افقی نقطه  $E$  که در اثر دوران حول  $O$  می‌باشد خواهد شد.

$$\frac{0.5''}{30'} (30') = 0.5''$$

- مثال ۱۲ - ۴ = تغییرمکان نسبی نقاط  $a$  و  $D$  را در طول خط اتصال آنها و در هر دویک از حالات زیر پیدا کنید (الف) بارهای نشان داده شده in  $\cdot E = 30 \times 10^3 \text{ kips}$   
 (ب) از دیادار درجه حرارتی برابر با  $80^\circ F$  در تخت فوقانی و تقلیل درجه حرارتی برابر با  $20^\circ F$  در تخت تحتانی  $\alpha_t = 1/150,000 \text{ per } ^\circ F$



$$(a) \sum Q\delta = \sum F_Q \Delta L = \sum F_Q F_P \frac{L}{AE}$$

$$(I^k)(\delta_b) + (I^k)(\delta_D) = \frac{1}{E} \sum F_Q F_P \frac{L}{A}$$

$$(I^k)(\delta_{b-D}) = \frac{55.0 k^3/in^4}{30 \times 10^3 k/in^3}$$

$$\therefore \delta_{b-D} = +0.00183 \text{ ft}$$

بعست پذیر

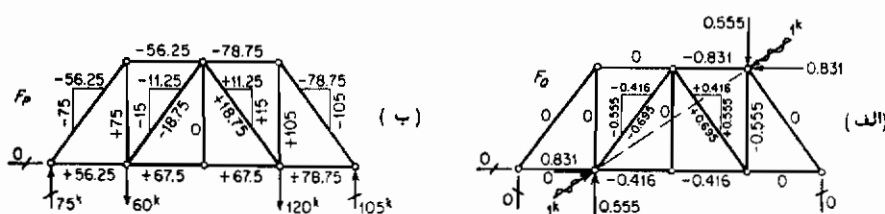
$$(b) \sum Q\delta = \sum F_Q \Delta L = \sum F_Q \alpha_t L = \alpha_t \sum F_Q L$$

$$(I^k)(\delta_{b-D})$$

$$= \left( \frac{1}{150,000} \text{ per } ^\circ F \right) (-747.2 k^\circ F)$$

$$\therefore \delta_{b-D} = -0.00499 \text{ ft}$$

بعست دور از هم



میله‌ها	$L$	$A$	$\frac{L}{A}$	$F_q$	$F_p$	$F_q F_p \frac{L}{A}$	$t$	$F_q dL$
آhad	'	"	'/''	$k$	$k$	$k^2/''$	$^oF$	$k^oF'$
bc	15	5	3	-0.416	+ 67.5	- 84.5	-20	+125
cd	15	5	3	-0.416	+ 67.5	- 84.5	-20	+125
CD	15	5	3	-0.831	- 78.75	+197.0	+80	-997.2
..	25	2.5	10	-0.695	- 18.75	+130	0	0
Cd	25	2.5	10	+0.695	+ 18.75	+130	0	0
dD	20	5	4	-0.555	+105	-233	0	0
$\Sigma$						+ 55.0		-747.2

بحث:

در مسائل مربوط به تغییر مکانهای حاصل از تغییر درجه حرارت و نشست در خریاهای معین بسیاری از دانشجویان دچار سرد رگی می‌شوند. آنها، احساس می‌کنند که در اعضاء خریا در چنان حالاتی می‌باشند که در خریاهای معین تا زمانی برسازه باری اثر نکند عکس العملی بوجود نمی‌آید، این مطلب را می‌توان با استفاده از معادلات تعادل ثابت نمود. اگر عکس العملی و یا باری خارجی وجود نداشته باشد بنا بر این نیرویی داخلی در میله‌ها بوجود نخواهد آمد، از نظر فیزیکی تغییر شکل چنان خریا باید حاصل از نشست تکیه‌گاهی و یا تغییر طول حاصل از تغییر درجه حرارت می‌باشد می‌تواند بدون مواجهه شدن با مقاومتی انجام گیرد بنا بر این عکس العملی و یا نیروی میله‌ای ایجاد نخواهد کرد.

کلیه خریاهایی که مورد بررسی قرار گرفت خریاهای ایده‌آل مفصلی بودند که تحت اثر بارهای  $Q$  و  $M$  که همواره بر گرهها وارد می‌شدند قرار داشتند. هرگاه یک خریا مفصلی تحت اثر قسمتی از بارهای  $M$  واقع شود که برخی از آنها بر بین گرهها بر اعضای آن وارد شوند چنان اعضاًی تحت اثر لنگر خمشی  $M_p$  قرار خواهند گرفت و در صورتی که فقط تغییر مکان گرهها موردنظر باشد دستگاه  $Q$  فقط شامل بارهای گرهی خواهد شد و لنگر خمشی  $M_Q$  ایجاد نخواهد شد و عبارت دوم سمت راست معادله (۴-۱۲) حذف می‌شود، بنا بر این قانون کار مجازی

در چنین حالتی نیز مانند معادله (۵-۱۲) خواهد شد . نظیر آن در حالاتی که به منظور محاسبه تغییر مکان اعمال بارهای (ر) بین گرهها الزامی است ولی بارهای (ر) که بارهای ایجاد کننده تغییر مکان می‌باشند فقط بر گرهها وارد می‌شوند نیز صادق است زیرا در این حالت لنگر خمی (۱۱) وجود نخواهد داشت .

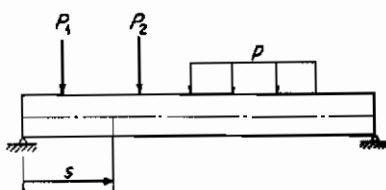
حالتي که یک خرپای مفصلی تحت اثر بارهای (ر) و (ر) که هردو بر نقاط بین گرهها وارد شوند مانند سازه‌های مشکل از قابهای صلب خواهد بود در مبحث بعدی مورد بررسی قرار می‌گیرد، حالات شامل خرپاهای پرچی نیز در همان بند بحث می‌گردد .

#### ۱۲ - ۷ تغییر مکان تیرها و قابها با استفاده از روش کار مجازی

برای بدست آوردن رابطه‌ای برای قانون کار مجازی تیرها و قابها می‌توان به طریق مشابهی با قراردادن معادلات (۲-۱۲) و (۴-۱۲) در معادله (۱-۱۲) عمل نمود . ابتدا تیری را در نظر بگیرید که توسط بارهای عرضی تغییر شکل می‌دهد در چنان حالتی اگر عکس العملها مولفه افقی نداشته باشند ، کلیه مقاطع تیر بدون نیروی محی قطب تحت تأثیر برش و لنگر خمی قرار خواهند گرفت ، اولین عبارت معادله (۴-۱۲) حذف شده و قانون کار مجازی در این حالت فقط به صورت ساده زیر بیان خواهد شد .

$$\sum Q\delta = \int M_Q M_P \frac{ds}{EI} \quad (6-12)$$

خطرنشان می‌سازد که در استخراج معادله (۴-۱۲) از تغییر شکل برشی صرف نظر شده است، چنین حالتی را در شکل (۱۱-۱۲) نشان داده‌ایم ، برای این که در چنین حالتی مولفه عمودی ، افقی و یا هردو مولفه معنی از تغییر شکل نقطه‌ای از آن را معلوم کنیم ، باری واحد در راستای موردنظر آن تیر وارد می‌کنیم ، این بار واحد به همراه عکس العملها خود تشکیل دستگاه  $Q$  را خواهد داد که در طول تغییر شکل نیز متholm تغییر مکان خواهد شد ، حل مساله



شکل (۱۱-۱۲) تغییر مکان تیرها

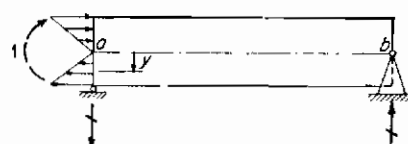
"تغییر مکان تیرها اساساً" شبیه حل مساله تغییر مکان خرپا است و فقط تعیین مقدار سمت راست معادله  $(12-6)$  تغییر کرده است.

قبل از آن که به انگرال گیری طرف راست رابطه فوق اقدام کنیم می بایستی روابط مربوط به  $M_0$  و  $M_1$  را به صورت تابعی از « بیان نماییم عموماً» لازم است که انگرال گیری برای کل تیر را به صورت حاصل جمع از چند انگرال برای قسمتهای مختلف تیر بیان کنیم این تقسیم انگرال گیری می بایستی در نقاطی انجام گیرد که توابع مربوط به  $M_0$  و  $M_1$  و یا  $\alpha$  که برحسب « بیان شده اند تغییر نمایند. اغلب با انتخاب مبدأ های اندازه گیری مختلفی برای « در مورد هریک از قسمتهای انگرال گیری می توان عمل انگرال گیری را ساده نمود، فن چگونگی چنان محاسباتی را در مثالهای متعدد زیرین شرح داده ایم.

به علامت گذاری عبارات مختلف معادله  $(12-6)$  توجه بسیار شود گرچه انتخاب هر نوع علامت گذاری مناسب دیگری برای  $M_0$  و  $M_1$  تا زمانی که برای هردوی آنها یک نوع علامت گذاری انتخاب شود مجاز خواهد بود ولی عموماً علامت گذاری متداول تیرها بیشتر رضایت بخش می باشد. بدیهی است که زمانی مثبت خواهد بود که در همان جهت نیروی نظیر خود قرار داشته باشد.

اغلب لازم است که دوران مقطوعی از تیر را معین نماییم. برای چنین منظوری دستگاه  $Q$  را باری گسترده نظیر آنچه در شکل  $(12-12)$  نشان داده شده است بهمراه عکس العملهای آن در نظر بگیرید. این باره نوعی در مقطع گفته شده گسترده خواهد شد که نظیر با کوپل واحدی گردد. فرض کنید که شدت این بار در فاصله  $y$  از تار خنثی برابر با  $b$  باشد، چون فقط تغییر شکل حاصل از خمش در نظر گرفته می شود، یک مقطع که قبل از خمش مسطح بوده است بعد از خمش نیز مسطح و عمود بر منحنی ارجاعی تیر باقی می ماند و اگر مقطوعی به اندازه، زاویه کوچک  $\alpha$  دوران یافته باشد و نقطه ای از آن که به فاصله  $y$  از تار خنثی واقع شده است بعد از دوران تغییر مکانی برابر  $y(\alpha)$  پیدا خواهد کرد بنابراین کار مجازی خارجی حاصل از دوران بار گسترده  $Q$  که حاصل از دوران مقطع در اثر دستگاه  $P$  می باشد خواهد شد:

$$\int (q_y b \, dy)(\alpha y) = \alpha \int q_y b y \, dy = (1)(\alpha)$$



شکل  $(12-12)$  دستگاه  $Q$  برای تعیین تغییر شیب یک مقطع

چون لنگر بار  $\sigma$  حول تار خنثی که مساوی  $\int q_y b y dy$  می‌باشد برابر با ۱ است و چون معلوم شد که کار مجازی خارجی انجام شده توسط بار گستردگی نظیر بار  $\sigma$  فقط برابر با حاصل ضرب زوج بر آیند واحد آن در  $\alpha$  می‌باشد لذا می‌توانیم زوج واحدی بدون توجه به جزئیات پخش بار واحد به مقطع اثردهیم در این حالت با اعمال معادله (۱۴-۶) خواهیم داشت:

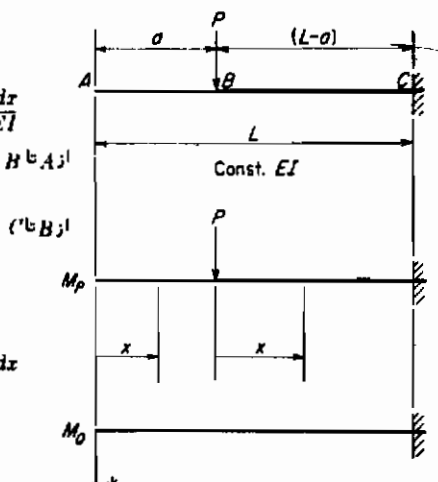
$$(1)(\alpha \sigma) + W_R = \int M_Q M_P \frac{ds}{EI}$$

باقي مساله شبیه تغییر مکان عمودی می‌باشد.

مثال ۱۲-۵ = تغییر مکان عمودی نقطه A را که حاصل اثر بار P در نقطه B می‌باشد

محاسبه کنید

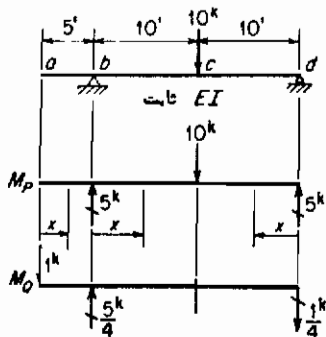
$$\begin{aligned} \sum Q\delta &= \int M_Q M_P \frac{ds}{EI} \\ (I^k)(\delta_A) &= \int_A^B M_Q M_P \frac{dx}{EI} \\ &\quad + \int_B^C M_Q M_P \frac{dx}{EI} \\ 0 < x < a &\quad M_Q = -x \quad M_P = 0 \\ 0 < x < (L-a) &\quad M_Q = -(a+x) \quad M_P = -Px \\ (I^k)(\delta_A) &= 0 + \frac{1}{EI} \int_0^{L-a} [-(a+x)] \\ &\quad \{-Px\} dx \\ &= \frac{P}{EI} \left[ \frac{ax^2}{2} + \frac{x^3}{3} \right]_0^{L-a} \\ &= \frac{P}{EI} \left[ \frac{a(L-a)^2}{2} + \frac{(L-a)^3}{3} \right] \\ \delta_A^1 &= \frac{P}{6EI} (L-a)^2 (2L+a) \end{aligned}$$



مثال ۱۲-۶ = تغییر مکان عمودی نقطه a را تحت اثر بار نشان داده شده محاسبه کنید.

$$E = 30 \times 10^3 \text{ kips/in.} \quad I = 200 \text{ in.}^4$$

$$\begin{aligned} \sum Q\delta &= \int M_Q M_P \frac{ds}{EI} \\ (I^k)(\delta_a^1) &= \int_a^b M_Q M_P \frac{dx}{EI} + \int_b^c + \int_c^d \end{aligned}$$



$$\begin{aligned} & \text{at } b \text{ to } a: \\ & M_p = 0 \\ & M_0 = -\frac{x}{4} \\ & 0 < x < 10 \quad M_q = \frac{x}{4} - 5 \quad M_p = 5x \\ & \text{at } c \text{ to } b: \\ & M_0 = -\frac{x}{4} \quad M_p = 5x \\ & 0 < x < 10 \quad M_q = -\frac{x}{4} \end{aligned}$$

$$\begin{aligned} (I^k)(\delta_a) &= \frac{1}{EI} \left[ 0 + \int_0^{10} \left( \frac{x}{4} - 5 \right) (5x) dx + \int_0^{10} \left( \frac{-x}{4} \right) (5x) dx \right] \\ &= \frac{1}{EI} \left\{ \left[ \frac{5}{12} x^3 - \frac{25}{2} x^2 \right]_0^{10} + \left[ -\frac{5}{12} x^3 \right]_0^{10} \right\} = -\frac{1,250 k^4}{EI} \\ \therefore \delta_a &= \frac{-1,250 k^4}{(30 \times 10^3 \times 144)^{1/4} \left( \frac{200}{144 \times 144} \right)^{1/4}} = -0.030 \text{ ft} \end{aligned}$$

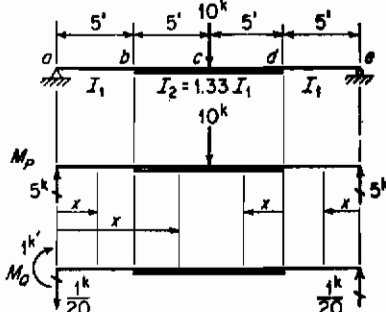
بحث:

مبدأ اندازه‌گیری  $x$  را در هر قسمتی می‌توان به طور دلخواه انتخاب نمود ولی می‌بایستی یک مبدأ بزرای  $x$  در عبارات مربوط به هردوی  $M_q$  و  $M_p$  مربوط به یک قسمت واحد در نظر گرفته شود. انتخاب مبدأ بایستی به صورتی باشد که مقدار عبارات مربوط به روابط  $M_p$  و  $M_q$  را تقلیل دهد چنان عملی حجم عملیات را در جاگذاری حدود استگار کم خواهد نمود.

**مثال ۷-۱۲** = دوزان مقطع را در نقطه a در حاصل بارگذاری نشان داده شده در شکل

$E = 30 \times 10^3 \text{ kips/in.}$        $I_1 = 150 \text{ in.}^4$        $I_2 = 200 \text{ in.}^4$

$$\begin{aligned} \sum Q\delta &= M_q M_p \frac{ds}{EI} \\ (I^k)(\alpha_a) &= \int_a^b M_q M_p \frac{dx}{EI} \\ &\quad + \int_b^c + \int_c^d + \int_d^e \end{aligned}$$



$$0 < x < 5 \quad I_1 \quad M_q = 1 - \frac{x}{20} \quad M_p = 5x$$

at a to b

از  $b_j$ 

$$5 < x < 10 \quad 1.33I_1 \quad M_Q = I - \frac{x}{20} \quad M_P = 5x$$

از  $e$ 

$$0 < x < 5 \quad I_1 \quad M_Q = \frac{x}{20} \quad M_P = 5x$$

از  $c$ 

$$0 < x < 5 \quad 1.33I_1 \quad M_Q = \frac{I}{4} + \frac{x}{20} \quad M_P = 25 + 5x$$

$$\begin{aligned} (I')(\alpha_a^{\infty}) &= \frac{I}{EI_1} \left[ \int_0^5 \left( I - \frac{x}{20} \right) (5x) dx + \int_5^{10} \left( I - \frac{x}{20} \right) (5x) \frac{dx}{1.33} \right. \\ &\quad \left. + \int_0^5 \left( \frac{x}{20} \right) (5x) dx + \int_0^5 \left( \frac{I}{4} + \frac{x}{20} \right) (25 + 5x) \frac{dx}{1.33} \right] = \frac{I}{EI_1} \left\{ \left[ \frac{5x^2}{2} - \frac{x^3}{12} \right]_0^5 \right. \\ &\quad \left. + \frac{1}{1.33} \left[ \frac{5x^2}{2} - \frac{x^3}{12} \right]^{10}_5 + \left[ \frac{x^2}{12} \right]_0^5 + \frac{1}{1.33} \left[ \frac{25x}{4} + \frac{5}{4}x^2 + \frac{x^3}{12} \right]_0^5 \right\} \\ &= \frac{I}{EI_1} \left\{ \frac{5}{2}(25) + \frac{1}{1.33} \left[ \frac{5}{2}(100 - 25) - \left( \frac{1,000 - 125}{12} \right) \right] \right. \\ &\quad \left. + \frac{1}{1.33} \left[ \frac{25}{4}(5) + \frac{5}{4}(25) + \frac{125}{12} \right] \right\} \\ &= \frac{I}{EI_1} \left[ 62.5 + \frac{1}{1.33} (187.5 - 62.5 + 62.5) \right] = \frac{I}{EI} (62.5 + 140.6) = \frac{203.1}{EI_1} \end{aligned}$$

$$\therefore \alpha_a = \frac{(203.1)^{k/4}}{(30 \times 10^3 \times 144)^{k/4} \left( \frac{150}{144 \times 144} \right)^4} = +0.0085$$

بحث :

انتخاب مبدأ اندازه‌گیری  $x$  در حل این مساله شاید بهترین انتخاب نباشد غرض از یک چنین انتخابی نشان دادن راههای مختلف بررسی مساله می‌باشد. هرگاه قبل از قراردادن حدود انتگرال حذف عباراتی مطرح‌گردد می‌بایستی از چنین عملی مطمئن شد، بدین ترتیب که یکی‌بودن حدود انتگرال حتماً "وارسی" شود.

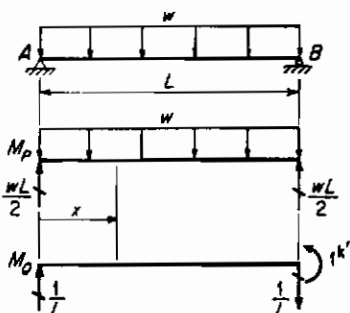
مثال ۱۲-۸ = دوران مقطع را در نقطه  $B$  محاسبه کنید،  $E$  و  $I$  هردو دارای مقادیر ثابتی هستند.

$$\sum Q\delta = \int M_Q M_P \frac{ds}{EI}$$

$$(I')(\alpha_B^{\infty}) = \int_A^B M_Q M_P \frac{dx}{EI}$$

از  $B \subseteq A$ 

$$M_Q = \frac{x}{L} \quad M_P = \frac{wL}{2} x - \frac{wx^2}{2}$$

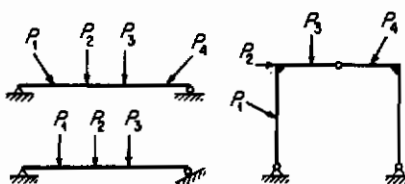


$$(I^{\text{st}})(\alpha_B) = \int_0^L \left(\frac{x}{L}\right) \left(\frac{wLx}{2} - \frac{wx^2}{2}\right) \frac{dx}{EI}$$

$$= \frac{w}{EI} \left[ \frac{x^3}{6} - \frac{x^4}{8L} \right]_0^L = \frac{wL^3}{24EI}$$

در خلاف جهت ساعتگرد  $\therefore \alpha_B = \frac{wL^3}{24EI}$

حال حالت کلی تر یک تیر و یا یک قاب صلب را که مقاطع اعضای آنها تحت اثر نیروی محوری، برش، لنگر خمشی می‌باشند در نظر بگیرید چندین حالت متفاوت از این نوع را در شکل (۱۲-۱۲) نشان داده‌ایم، امکان دارد تغییر مکان چنین سازه‌ای علاوه بر نیروهای محوری و لنگرهای خمشی که نتیجه بارهای  $P$  می‌باشند در اثر تغییر درجه حرارت نیز بوجود



شکل (۱۲-۱۲) سازه‌ایی که علاوه بر خمش تغییر طول محوری نیز تحمل می‌کنند

آید، بنابراین هردو عبارت معادله (۴-۱۲) را در محاسبه کار مجازی داخلی می‌باشند در نظر گرفت پس قانون کار مجازی را در مورد چنان حالاتی می‌توان به صورت عبارت زیر بیان نمود.

$$\sum Q\delta = \int F_Q e_0 d\delta + \int M_Q M_P \frac{d\delta}{EI} \quad (۷-۱۲)$$

در این عبارت کرنش محوری  $e_0$  شامل اثر نیروی محوری و حرارت خواهد بود یعنی:

$$e_0 = \alpha_i + \frac{F_P}{AE}$$

"عمولاً" می‌توان کل سازه را به قطعات متعددی که در طول هریک از آنها  $A, F_P, F_Q$  و  $\epsilon$  ثابت می‌باشند جدا کرد. به همین ترتیب برای محاسبه عبارت دوم سمت راست معادله (۷-۱۲)، انتگرال را می‌توان به قسمتهای متعددی که در طول هریک از آنها توابع  $M_Q$ ،

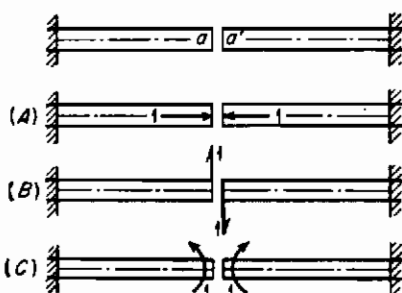
$M_p$  و  $Q_p$  بهیک صورت مشخص باقی می‌مانند تقسیم نمود قسمتهایی که برای محاسبه عبارت نخست معادله (۷-۱۲) انتخاب می‌شود، "الزاماً" همان قسمتهای بهکار گرفته برای محاسبه عبارت دوم نخواهد بود. در هر صورت معادله (۷-۱۲) را برای راحتی بیشتر می‌توان بهصورت زیر نشان داد:

$$\sum Q\delta = \sum F_0 \Delta L + \sum \int M_0 M_p \frac{ds}{EI} \quad (8-12)$$

در این رابطه داریم:

$$\Delta L = \int c_0 ds = \alpha_0 t L + \frac{F_p L}{AE}$$

علامت  $\Sigma$  در سمت راست معادله (۸-۱۲) نشان می‌دهد که مجموع چنان عباراتی که برای کلیه قسمتهای مختلف کلیه اعضای سازه می‌باشند برای محاسبه آن عبارت بعدست آید. کاربرد معادله (۸-۱۲) در یک مساله معلوم بهمان روش و فنی نیاز دارد که قبلًاً در مثالهای (۱-۱۲) تا (۸-۱۲) شرح داده شد. در مثال (۹-۱۲) نظم و آرایش محاسبات را ملاحظه خواهیم کرد. در اغلب مسائل مربوط به تغییر مکان تیرها و قابها می‌باشند مولفه تغییر مکان نقطه‌ای و یا دوران مقطعي را پیدا کنیم و گاهی لازم است که تغییر مکان نسبی دو مقطع مجاور هم را نظیر مقاطع  $a$  و  $a'$  در شکل (۱۴-۱۲) معلوم کنیم تغییر مکان نسبی افقی عمودی و یا زاویه‌ای در نقاط  $a$  و  $a'$  را می‌توان با انتخاب دستگاه  $Q$  متعدد به ترتیب نظیر شکلهای  $A$ ،  $B$ ،  $C$  یا  $D$  بعدست آورد.

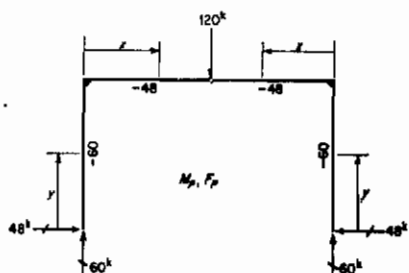
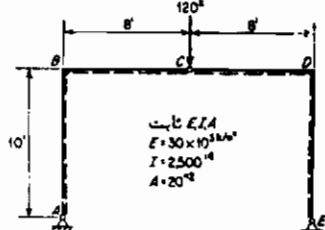


شکل (۱۴-۱۲) دستگاه  $Q$  جهت تعیین تغییر مکانهای نسبی

مثال ۱۲-۹ = دوران مقطعي را در طرف چپ منصل  $a$  را تحت اثر بارهای نشان داده شده محاسبه کنید.

$$\sum Q\delta = \sum F_Q F_P \frac{L}{AE} + \sum \int M_Q M_P \frac{ds}{EI}$$

$$(I^{k'})(\alpha_{CL}) = \int_A^B M_Q M_P \frac{dy}{EI} + \int_B^C M_Q M_P \frac{dx}{EI} + \int_E^D + \int_D^C + \sum F_Q F_P \frac{L}{AE}$$



توجه:  $F_Q F_P \frac{L}{AE}$  را می‌توان برای همان قسمتهای  $DC$  و  $ED$ ,  $BC$ ,  $AB$  محاسبه نمود، خط تیره نشان دهنده تار زیرین برای استفاده از قرارداد علامت گذاری در تیرهای جهت علائم  $M_Q$  و  $M_P$  می‌باشد.  
 از  $B$  تا  $A$

$$L = 10' \quad 0 \rightarrow y \rightarrow 10$$

$$F_Q = +\frac{1}{16} \quad M_Q = -\frac{y}{20}$$

$$F_P = -60 \quad M_P = -48y$$

از  $C$  تا  $B$  باز

$$L = 8' \quad 0 \rightarrow x \rightarrow 8$$

$$F_Q = -\frac{1}{20} \quad M_Q = -\frac{1}{2} - \frac{x}{16}$$

$$F_P = -48 \quad M_P = -480 + 60x$$

از  $D$  تا  $E$

$$L = 10 \quad 0 \rightarrow y \rightarrow 10$$

$$F_Q = -\frac{1}{16} \quad M_Q = -\frac{y}{20}$$

$$F_P = -60 \quad M_P = -48y$$

از  $C$  تا  $D$  باز

$$L = 8 \quad 0 \rightarrow x \rightarrow 8$$

$$F_Q = -\frac{1}{20} \quad M_Q = -\frac{1}{2} + \frac{x}{16}$$

$$F_P = -48 \quad M_P = -480 + 60x$$

$$(I^{k'})(\alpha_{CL}) = \frac{1}{EI} \left[ \frac{2}{8} \int_0^{10} \left( \frac{-y}{20} \right) (-48y) dy + \int_0^8 \left( -\frac{1}{2} - \frac{x}{16} \right) (-480 + 60x) dx + \int_0^8 \left( -\frac{1}{2} + \frac{x}{16} \right) (-480 + 60x) dx \right] + \frac{2}{AE} \left( -\frac{1}{20} \right) (-48)(8)$$

$$= \frac{1}{EI} \left[ (1.6y^3) \Big|_0^{10} + 2(240x - 15x^3) \Big|_0^8 \right] + \frac{38.4}{AE}$$

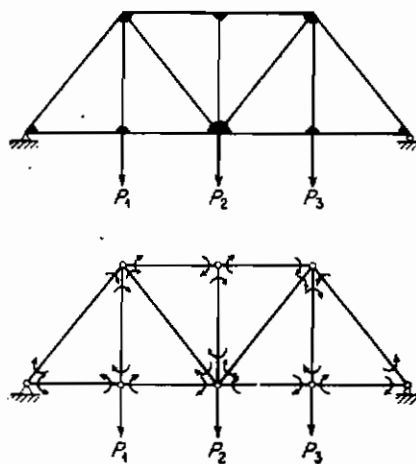
$$(I^b)(\alpha_{CL}) = \frac{3,520}{EI} + \frac{38.4}{AE} = \frac{(3,520)^{1/3}}{(80 \times 10^3 \times 444)^{1/3} \left( \frac{2,500}{144 \times 444} \right)^4} + \frac{(38.4)^{1/3}}{(80 \times 10^3 \times 444)^{1/3} \left( \frac{20}{444} \right)^4}$$

$$\therefore \alpha_{CL} = +0.00678 + 0.000064 = +0.006824 \quad \text{رادیان در جهت ساعتگرد}$$

بحث :

در مسائلی که هم خمش و هم تغییرشکل محوری مطرح می‌باشد به آحاد دقت کافی مبذول شود، شایان توجه است که مقدار عبارت مربوط به تغییرشکل محوری در حدود یک درصد تغییرشکل خمشی می‌باشد، این نتیجه کم و بیش نشان دهنده میزان نسبی این دو اشر در مسائل مربوط به تغییر مکان قابه‌امی باشد، لذا معمولاً "صرف نظر نمودن از تغییرشکل محوری در چنین حالاتی مجاز می‌باشد.

خرپایی که دارای گره‌های پرچی می‌باشد در رده قابه‌ای صلب به حساب می‌آید در مبحث مربوط بهند (۲-۴) گفته شد که اعضای چنین خرپایی علاوه بر نیروهای محوری تحمل برش و لنگر خمشی نیز می‌نمایند حتی اگر بارهای وارد بگرهها اثر کند، ولی هرگاه تحلیل تنش و کرنش در اعضای چنین خرپایی مطرح باشد چنین خرپایی پرچی را می‌توان نظیر خرپای مفصل که در شکل (۱۵-۱۲) نشان داده شده است تصور نمود، چنین خرپای معادلی نه تنها توسط بارهای مؤثر بر گرهها معلوم بارگذاری شده است بلکه توسط زوجهایی در انتهای هر یک از قطعات نیز که به ترتیب برابر با لنگرهای انتهایی در هر یک از اعضای خرپایی پرچی می‌باشد بارگذاری شده است، تحلیل دقیق نشان می‌دهد که در اغلب حالات این زوجهای انتهایی تولید مقدار کمی نیروی محوری در اعضاء نیز می‌نمایند، به عبارت دیگر نیروی میله‌ها در خرپای مفصلی مشابه، تقریباً "کلا" توسط بارهای مؤثر بر گرهها بوجود می‌آید، در مبحث قبلی خاطرنشان شد که تغییر مکان گرهها در یک خرپای مفصلی تابعی از تغییر طول محوری اعضای آن می‌باشد و بستگی به تغییرشکل حاصل از خمش آن اعضاء ندارد، بنابراین تغییر مکان گرهها در خرپای مفصلی مشابه تحت اثر بارهای مؤثر بر گرهها و زوجهای انتهایی عمل "برابر با تغییر مکان گرهها" خرپایی مفصلی ایده‌آلی تحت اثر فقط بارهای مؤثر بر گرهها خواهد بود، پس هرگاه بخواهیم تغییر مکان گرهها



شکل (۱۵-۱۲) تغییر مکان خرپا با گره‌های صلب

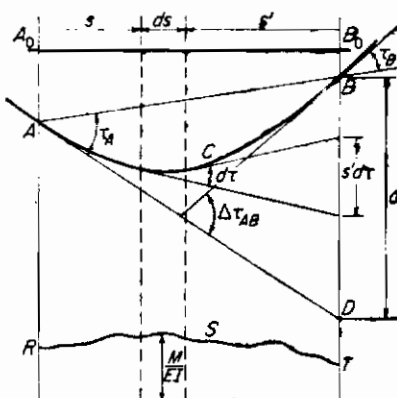
یک خرپای پرجی را محاسبه کنیم می‌توانیم آن را به صورت خرپای مفصلی ایده‌آلی فرض نمائیم . بدینهی است که خمس اعضای خرپاهای پرجی تغییر مکان نقاط دیگر خرپا را به جزء گره‌های آن تحت تأثیر قرار می‌دهد .

در هیچ جایی از مبحث قبلی مطلبی در مورد حالتی از تیر یا قابی که دارای محوری منحنی و مقطع متغیر باشد ذکر نگردید . بحث در جزئیات چنین سازه‌هایی خارج از بحث این کتاب می‌باشد . اگر اینجا و تغییر مقطع زیاد نباشد . تنشهای عمودی در چنان سازه‌هایی را می‌توان با تغییر خطوط فرض نموده و بنابراین تغییر مکان آن سازه را با استفاده از معادله (۷-۱۲) محاسبه نمود . در چنان حالاتی انتگرالهای سمت راست آن معادله را بندرت می‌توان به طور دقیق بدست آورد و اغلب مقادیر آنها را با استفاده از عملیات تقریبی محاسبه می‌نمایند و برای این منظور محور سازه را ب متعدد قطعات کوچکی با طولهای برابر  $\Delta s$  تقسیم می‌نمایند و مقادیر  $F_{\text{و}}, M_{\text{و}}, M_{\text{و}}, \theta_{\text{و}}, \Delta\theta_{\text{و}}, F_{\text{و}}, M_{\text{و}}, M_{\text{و}}, \theta_{\text{و}}, \Delta\theta_{\text{و}}$  را برای مرکز مقاطع هریک از این قطعات کوچک محاسبه می‌کنند و پس از آن می‌توان مقادیر هریک از حاصل سریهای حاصل ضریب‌های مربوط به کلیه قطعات به طور تقریبی برابر با مقدار سمت راست معادله (۷-۱۲) خواهد شد ، هر قدر طول این قطعات کوچک گرفته شود دقت حاصل جمع گفته شده افزایش خواهد یافت .

### ۱۲-۸ قضایای سطح لنگر

اغل قضایای سطح لنگر در محاسبات مربوط به شب و تغییر مکان تیرها و قایها (مخصوصاً) زمانی که تغییر شکل آنها حاصل از بارهای متعرک باشد نه بارهای گسترده) راحت تر از روش کار مجازی به کار برده می‌شود. این قضایا براساس شکل هندسی منحنی خیز تیر و رابطه بین دوران و لنگر خمی در نقطه‌ای از منحنی خیز بیان می‌شود.

در شکل (۱۶-۱۲) قسمت  $ACB$  از منحنی خیز تیری را که در حالت بدون تنش ابتدایی خود در وضعیت مستقیم  $A_0B_0$  قرار داشت در نظر گیرید و در نقاط  $A$  و  $B$  مماسه‌ایی بر منحنی خیز رسم کنید. خط مماس بر نقطه  $A$  خط عمود مار از نقطه  $B$  را در  $D$  قطع می‌کند.



شکل (۱۶-۱۲) استخراج قضایای سطح لنگر

زاویه  $\Delta\tau_{AB}$  برابر با زاویه دوران بین دو مماس در نقاط  $A$  و  $B$  می‌باشد، با توجه به این مطلب که تغییر مکانها و انحنای تیر را در این شکل به صورت خارج از مقیاسی بسیار بزرگ نشان داده‌ایم، علاوه‌اً زاویه هریک از این مماسها بر منحنی خیز بهاندازه‌ای کوچک است که زاویه‌ای نظیر  $\Delta\tau$  را می‌توان تقریباً برابر با مقدار سینوس و تانژانت آن گرفت و همچنین کسینوس آن را می‌توان تقریباً برابر با واحد فرض کرد.

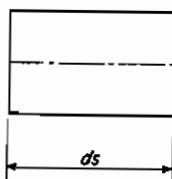
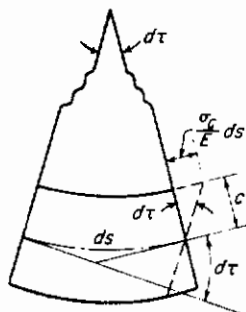
یک جزء بسیار کوچک این منحنی را که تصویر افقی آن برابر با  $ds$  باشد در نظر گیرید و مماسهایی بردو انتهای منحنی این جزء رسم کنید، تغییر شبیه آن دومماس نسبت به یکدیگر برابر با زاویه  $d\tau$  بوده و مقدار آن را می‌توان با در نظر گرفتن شکل (۱۷-۱۲) به صورت زیر تعیین نمود:

$$d\tau = \frac{(\sigma_c ds)/E}{c} = \frac{Mc}{EI} \frac{ds}{c} = \frac{M}{EI} ds$$

واضح است که برای محاسبه تغییر شیب کل بین دو معاكس مار بر  $A$  و  $B$  می‌باستی مجموع زوایای  $d\tau$  را برای کلیه اجزاء  $ds$  در طول منحنی خیز  $ACB$  به دست آوریدم در این صورت خواهیم داشت :

$$\Delta\tau_{AB} = \int_A^B d\tau = \int_A^B \frac{M}{EI} ds \quad (9-12)$$

فرض کنید که  $RST$  منحنی لنگر خمشی برای قسمت  $AB$  باشد به صورتی که هر عرضی از این منحنی را بر مقدار  $EI$  در آن نقطه نیز تقسیم کرده باشیم، چنین منحنی را منحنی  $M/EI$  خواهیم خواند، واضح است که انتگرال رابطه (9-12) برابر با سطح زیر منحنی  $M/EI$  در حد فاصل  $A$  و  $B$  می‌باشد، بنابراین با استفاده از معادله (9-12) اولین قضیه سطح لنگر به صورت زیر بیان می‌شود.



شکل (۱۲-۱۲) تغییر شیب دیفرانسیلی

تغییر شیب بین دو معاكس بر منحنی خیز در نقاط  $A$  و  $B$  برابر با سطح منحنی  $M/EI$  بین این دو نقطه می‌باشد. (البته بشرطی که در قسمت  $AB$  از تیر هیچ نوع غیر پیوستگی نظری مفصل وجود نداشته باشد) با در نظر گرفتن این حقیقت که تغییر شکل و شیب‌ها همگی کوچکند با ملاحظه شکل (۱۲-۱۶) واضح می‌شود که قسمتی از خط  $BD$  (که عمود بر وضعیت

بدون تنش تیر رسم شده است) که بین دو میاس بر دو انتهای جزء  $d_8$  رسم می‌شود به صورت  $s' d\tau$  نوشته شده و در نتیجه خواهیم داشت:

$$d = \int_A^B s' d\tau = \int_A^B \frac{M}{EI} s' ds \quad (10-12)$$

این انتگرال برابر با لنگر سطح زیر منحنی  $M/EI$  در حد فاصل نقاط  $A$  و  $B$  حول محوری مار بر نقطه  $B$  می‌باشد و بدین ترتیب دومین قضیه سطح لنگر به صورت زیر بیان می‌شود.

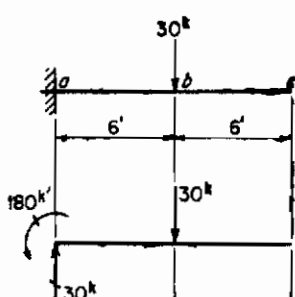
تغییر مکان نقطه  $B$  که در روی منحنی خیز واقع است از میاس برای منحنی در نقطه  $A$  برابر است با لنگر سطح زیر منحنی  $M/EI$  در حد فاصل نقاط  $A$  و  $B$  نسبت به محوری که از  $B$  می‌گذرد...

(البته به شرطی که در قسمت  $AB$  از تیر هیچ نوع غیر پیوستگی نظری مفصل وجود نداشته باشد) باید دقت شود که این تغییر شکل در جهت عمود بر وضعیت اولیه تیراندازه گیری می‌شود.

این دو قضیه را می‌توان مستقیماً جهت تعیین شیوه‌ها و تغییر مکانهای تیر فقط با رسم منحنی لنگر برای بارهای موثر تیر و محاسبه لنگر سطح برای کل یا قسمتی از منحنی  $M/EI$  نظری، به کار برد. شرح عملکرد اجرایی این روش را در مثالهای (۱۰-۱۲) الی (۱۲-۱۲) بیان کرده‌ایم، در این مثالها دیده خواهد شد که چگونه با استکارهایی محاسبات مربوط به این روش ساده می‌گردد، روش مشابهی که براساس این روش استوار است و روش بار ارجاعی خواهد می‌شد در مبحث بعدی ذکر خواهد شد.

این قضایا را می‌توان بدون اشکال برای قطعاتی که دارای انحنای اولیه می‌باشند توسعه داد، البته بررسی چنان حالاتی خارج از موضوع این کتاب می‌باشد.

مثال ۱۲-۱۰- با استفاده از قضایای سطح لنگر تغییر مکان در نقاط  $\delta$  و  $\epsilon$  و شیب منحنی خیز را در نقطه  $\delta$  تعیین کنید،  $E$  و  $I$  دارای مقادیر ثابتی هستند.



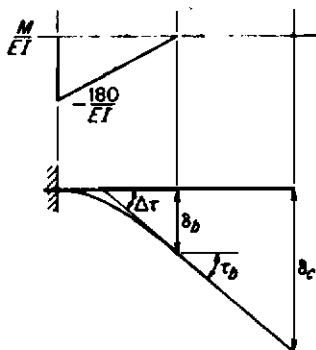
با استفاده از دومین قضیه سطح لنگر داریم:

به سمت پائین

$$\delta_0 = \left( \frac{180}{EI} \right) \left( \frac{6}{2} \right) (4) = \frac{2,160}{EI}$$

به سمت پائین

$$\delta_c = \left( \frac{180}{EI} \right) \left( \frac{6}{2} \right) (4 + 6) = \frac{5,400}{EI}$$



با استفاده از اولین قضیه سطح لنگر داریم:

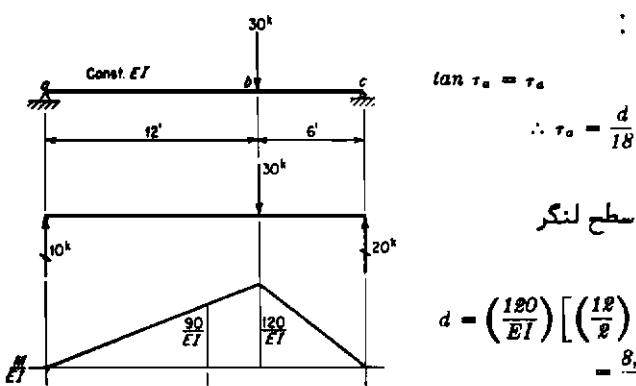
$$\Delta\tau = \left(\frac{180}{EI}\right) \left(\frac{6}{2}\right) = \frac{540}{EI}$$

$$\therefore \tau_b = \frac{540}{EI}$$

جهت کاربرد قضایای سطح لنگر می‌توان علامت‌گذاری معینی تعیین نمود، از چنین عملی در این قسمت بهدلیل این‌که امکان دارد با علامت قراردادی پیشنهادی برای بحث بعدی که در مورد بار ارجاعی می‌پاشد تداخل نماید خودداری شده است. در کاربرد قضایای سطح لنگر می‌توان از علاوه‌ی که در مثال‌های (۱۰-۱۲) (الی ۱۲-۱۵) به کاربرده شده است استفاده نمود. در این مثال‌ها ابتدا شکل تقریبی منحنی خیز به منظور انجام با همان علامت و نمودار لنگر خوشی رسم کردند. در محاسبات مربوط به تغییر مکان (و یا زاویه دوران) قسمت معینی از نمودار  $M/EI$  (بدون توجه به علامت  $M$  در آن قسمت) را در صورتی که به ترتیب سبب افزایش و یا تقلیل مقدار تغییر مکان که در شکل مفروض نشان داده شده است بنماید مثبت یا منفی در نظر می‌گیرند در صورتی که نتیجه نهایی مثبت باشد جهت تغییر مکان نشان داده شده تأیید می‌کردد.

مثال ۱۲ - ۱۱ = با استفاده از قضایای سطح لنگر شب منحنی ارجاعی را در نقاط  $a$  و  $m$  محاسبه کرده و تغییر مکان را در نقطه  $m$  تعیین کنید.

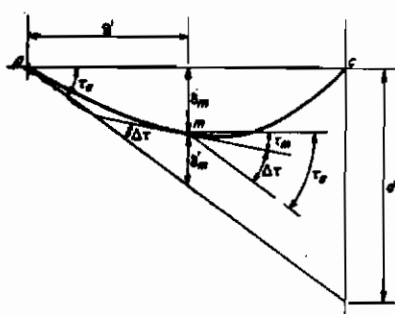
چون شباهای کوچکند پس:



با استفاده از قضیه دوم سطح لنگر

$$d = \left(\frac{120}{EI}\right) \left[ \left(\frac{12}{6}\right) (6 + 4) + \left(\frac{6}{2}\right) (4) \right]$$

$$= \frac{8,640}{EI} \quad \therefore \tau_a = \frac{480}{EI}$$



با استفاده از شکل منحنی خیز و با در نظر گرفتن اولین قضیه سطح لنگر داریم:

$$\Delta\tau = \left(\frac{90}{EI}\right) \left(\frac{9}{2}\right) - \frac{405}{EI}$$

$$\therefore \tau_m = \frac{480 - 405}{EI} = \frac{75}{EI}$$

باز هم با استفاده از شکل داریم:

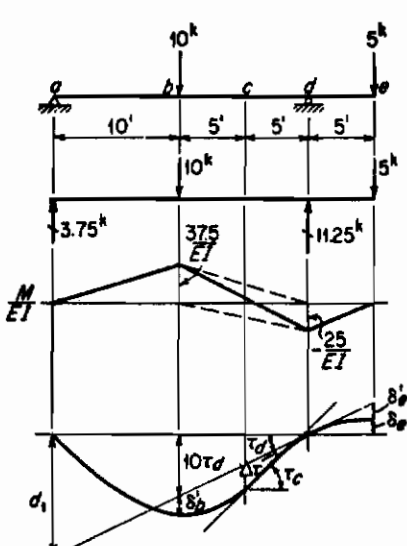
$$\delta_m = \theta\tau_m - \delta'_m$$

$$\delta'_m = \left(\frac{90}{EI}\right) \left(\frac{9}{2}\right) (8) = \frac{1,815}{EI}$$

$$\therefore \delta_m = (9) \left(\frac{480}{EI}\right) - \frac{1,815}{EI} = \frac{3,105}{EI}$$

با اعمال قضیه دوم سطح لنگر خواهیم داشت:

مثال ۱۲-۱۲: با استفاده از قضایای سطح لنگر تغییر مکانیای نقاط  $b$ ،  $c$  و همچنین شبک نقطه  $e$  را محاسبه کنید.



$$\tau_d = \frac{d_1}{20},$$

$$d_1 = \frac{1}{EI} \left[ (37.5) \left(\frac{20}{2}\right) (10) - (25) \left(\frac{10}{2}\right) \left(10 + \frac{2}{3} \times 10\right) \right] = \frac{5,000}{3EI}$$

$$\therefore \tau_d = \frac{250}{3EI}$$

$$\delta_b = 10\tau_d + \delta'_b,$$

$$\delta'_b = \frac{1}{EI} \left[ (25) \left(\frac{10}{2}\right) \left(\frac{20}{3}\right) - (37.5) \left(\frac{10}{2}\right) \left(\frac{10}{3}\right) \right] = \frac{625}{3EI}$$

$$\therefore \delta_b = \frac{2,500}{3EI} + \frac{625}{3EI} = \frac{3,125}{3EI}$$

نمودت پائین  
نمودت بالا

$$\delta_c = 5\tau_d - \delta'_c,$$

$$\delta'_c = \frac{1}{EI} \left[ (25) \left(\frac{5}{2}\right) \left(\frac{10}{3}\right) \right] = \frac{625}{3EI}$$

$$\therefore \delta_c = \frac{1,250}{3EI} - \frac{625}{3EI} = \frac{625}{3EI}$$

$$\tau_e = \tau_d + \Delta\tau,$$

$$\Delta\tau = \frac{(25 + 12.5)(5)}{2EI} - \frac{(18.75)(5)}{2EI} = \frac{93.75}{2EI}$$

$$\therefore \tau_e = \frac{250}{3EI} + \frac{93.75}{2EI} = \frac{781.25}{6EI}$$

## بحث :

دیده می‌شود که کاربرد صحیح علاوه زمانی که تیری تحمل هر دو نوع لنگر خمشی مثبت و منفی را می‌نماید بسیار مشکل می‌شود برای به حداقل رساندن این اشکال توصیه می‌شود که شکل منحنی ارجاعی را تا حد امکان دقیق رسم نمایید . رسم دقیق شکل منحنی را می‌توان به سادگی و فقط با تبعیت از نمودار لنگر خمشی انجام داد ، لنگر خمشی مثبت سبب تغیر رو ببالای منحنی خیز شده و لنگر خمشی منفی سبب تغیر رو به پائین آن منحنی می‌شود . دیده خواهد شد که در حل چنین مسائلی ، استفاده از روش بار ارجاعی برتری دارد زیرا در آن روش مشکل حاصل از علامت‌گذاری کم و بیش به طور خودکار انجام می‌گیرد .

در قسمتی نظریه  $\delta d$  که در آن قسمت منحنی لنگر به طور خطی از مقدار مثبت به مقدار منفی تغییر می‌کند اغلب اوقات بهتر است که برای تسهیل در محاسبات مربوطه منحنی لنگر واقعی را با خطوط تیره نشان داده شده جایگزین نمایند . در این حالت مثلثهای مثبت و منفی منحنی لنگر واقعی با مثلثی مثبت بالارتفاع ۳۷.۵ و قاعده ۱۰ و مثلثی منفی بالارتفاع ۲۵ و قاعده ۱۰ جایگزین شده ، با اندگی دقت و بررسی معلوم می‌گردد که چنین عملکردی برای تعیین محاسبات لازم جهت سطح خالص و یا لنگر خالص سطح حول هر محوری عمودی لازم ، منطقی‌تر خواهد بود .

## ۱۲ - ۹ روش بار ارجاعی

با در نظر گرفتن منحنی خیز  $ACB$  قطعه  $AB$  که در وضعیت اولیه خود به شکل مستقیم بوده است و مطابق آنچه در شکل (۱۲-۱۸) دیده می‌شود خم شده است می‌توان به استخراج خصوصیات روش بار ارجاعی پرداخت . فرض کنید که  $RST$  منحنی  $M/EI$  باشد با اعمال قضیه دوم سطح لنگر داریم :

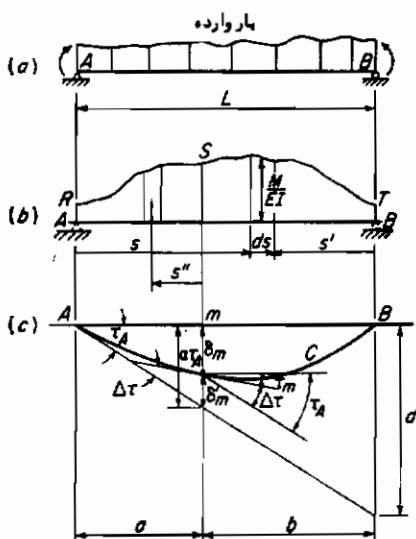
$$d = \int_A^B s' \frac{M}{EI} ds$$

$$\tau_A = \frac{d}{L} = \frac{1}{L} \int_A^B s' \frac{M}{EI} ds$$

وازانجا :

این عبارت بیان کننده این مطلب است که  $\tau_A$  برابر با لنگر سطح زیر منحنی  $M/EI$  در حد فاصل  $A$  و  $B$  حول محور مار بر  $L$  تقسیم بر  $L$  می‌باشد . جالب است که می‌بینیم این روش محاسباتی  $\tau_A$  برای ما بسیار آشناست . فرض کنید که به طور خیالی نمودار  $RST$  معنی  $M/EI$  یعنی

بیانگر باری مجازی بر تیر ساده‌ای که دارای دو تکیه‌گاه  $A$  و  $B$  نظیر آنچه در شکل (۱۸-۱۲ ب) با خط چین نشان داده شده است باشد، در این صورت محاسبه عکس العمل عمودی نقطه  $A$  با لنگرگیری حول محوری که از نقطه  $B$  می‌گذرد (و عمود بر صفحه کاغذ می‌باشد) به دست خواهد آمد که بدین ترتیب این عکس العمل عمودی در نقطه  $A$  دقیقاً "برابر با مقدار  $\tau_A$ " که در بالا محاسبه شد خواهد گردید.



شکل (۱۸-۱۲) استخراج روش بار ارجاعی

این شباهت محاسباتی با ادامه محاسبات برای  $\tau_m$  و  $\tau_B$  باز هم دیده می‌شود. در اینجا  $\tau_m$  شبیه معايس بر منحنی خیز نسبت به امتداد  $AB$  است و  $\tau_B$  عبارت از تغییر مکان نقطه  $m$  از همان امتداد  $AB$  می‌باشد. ابتدا به  $\tau_m$  می‌پردازیم و خواهیم داشت:

$$\tau_m = \tau_A - \Delta\tau$$

و با در نظر گرفتن قضیه اول سطح لنگر داریم،  $\Delta\tau = \int_A^m M/EI ds$  و از آنجا خواهیم داشت:

$$\tau_m = \tau_A - \int_A^m \frac{M}{EI} ds$$

با همان فرضی که نمودار  $M/EI$  را به صورت نمودار بار و  $\tau_A$  را به عنوان عکس العمل نقطه  $A$  تیر خیالی در نظر گرفتیم می‌بینیم که در این رابطه  $\tau_m$  برابر است با عکس العمل  $\tau_A$  منتهای بار واردۀ در حد فاصل  $A$  و  $m$  بهبیانی دیگر  $\tau_m$  را می‌توان برش در نقطه  $m$  این

تیر خیالی فرض نمود . به همان منوال داریم :

$$\delta_m = (a)(\tau_A) - \delta'_m$$

و با در نظر گرفتن قضیه دوم سطح لنگر داریم ،  $\delta_m = \int_1^m s''(M/EI) ds$  و از آنجا خواهیم داشت :

$$\delta_m = (\tau_A)(a) - \int_A^m s'' \frac{M}{EI} ds$$

از این رابطه دیده می‌شود که  $\delta_m$  را می‌توان لنگر خمشی نقطه  $m$  تیر خیالی فرض نمود . با ملاحظه آنچه ارائه شد می‌توان چنین نتیجه گرفت که منحنی خیز تیر  $AB$  دقیقاً برابر با منحنی لنگر خمشی یک تیر خیالی روی دو تکیه‌گاه ساده است به طوری که دارای همان دهانه  $AB$  بوده و توسط بار گسترده جانبی برابر با نمودار  $M/EI$  تیر حقیقی  $AB$  بار شده باشد . شبیه معاكس بر منحنی خیز در هر نقطه از تیر برابر است با عرض نظیر نمودار برش مربوط به تیر خیالی  $AB$  که تحت اثر نمودار  $M/EI$  بار شده باشد . با چنین کاربردی نمودار  $M/EI$  را "بار ارجاعی" نامیده و روش محاسباتی مربوط به تعیین تغییر مکان و شبیه تیر را "روش بار ارجاعی" می‌نامند . برش و لنگر خمشی حاصل از بار ارجاعی موئشر بر تیر خیالی را اغلب به ترتیب برش ارجاعی و لنگر ارجاعی می‌نامند .

با این قیاس . مساله محاسبه تغییر مکانها و شبیهای یک تیر تبدیل به عملکردی کاملاً معلوم برای مهندس سازه می‌گردد و تنها عملی که محاسب می‌بایستی انجام دهد عبارت خواهد شد از محاسبه عکس العملها برش و لنگر خمشی مربوط به یک تیر خیالی که روی دو تکیه گاه ساده قرار داشته و توسط بار گسترده جانبی بارگذاری شده باشد . مثالهای زیر سهل‌بودن روش بار ارجاعی را نشان می‌دهد .

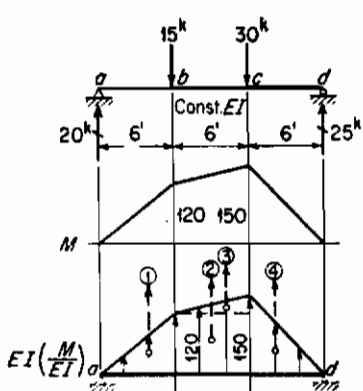
در کلیه مثالهای تکیه‌گاههای  $A$  و  $B$  غیرقابل تغییر شکل می‌باشد و این بدان معنی است که این نقاط تغییر مکان نداده و بنا بر این خط و اصل بین  $A$  و  $B$  افقی باقی می‌ماند و بز وضعیت قبل از تغییر شکل محور تیر منطبق خواهد شد لذا شبیه  $\tau_m$  و تغییر مکان  $\delta_m$  به ترتیب عبارت از شبیه و تغییر مکان حقیقی نسبت به وضعیت اولیه تیر خواهد بود . البته روش بار ارجاعی را می‌توان به هر قسمت  $AB$  از تیر اعمال نمود چه از نظر وضعیت ضلع  $AB$  منحنی خیز ثابت باقی بماند یا نماند . در هر صورت بخاطر داشته باشید که برش و لنگر خمشی حاصل از روش بار ارجاعی نسبت به وضعیت  $AB$  اندازه شبیه و تغییر مکان را معین می‌کند و اگر این ضلع تغییر محل داده باشد مقادیری که بر حسب اندازه‌گیری نسبت به وضعیت اولیه تیر برای شبیه و تغییر مکان معین شوند نا زمانی که اثر تغییر محل این ضلع در آنها ملحوظ

نگردد مقادیر حقیقی نخواهد بود.

در حالت کلی که ضلع مذکور ممکن است تغییر محل بدهد پا ندهد، کاربرد روش پار ارجاعی را می‌توان در بیان زیر خلاصه نمود.

شیبها و تغییر مکانهای مربوط به یک منحنی ارجاعی که نسبت به یکی از اضلاع آن  $AB$  اندازه‌گیری می‌شود به ترتیب عبارت نخواهد بود از برآشها (ی ارجاعی) و لنگرهای (ارجاعی) تیزی خیالی با دهانه  $AB$  روی دو تکیه‌گاه ساده به طوری که توسط بار (ارجاعی) گسترده‌ای که برابر با نمودار  $M/EI$  برای قسمت  $AB$  باشد بارشده باشد، البته به شرطی که در حد فاصل قسمت  $AB$  تیر هیچ نوع غیرپیوستگی وجود نداشته باشد) چون بارهای رو به بالا در چنین محاسباتی مثبت فرض می‌شوند عرضهای مثبت  $M/EI$  نشان دهنده بارهای رو به بالا نخواهد بود. اگر رسم منحنیهای برش و لنگر خمشی این تیر خیالی را با همان علامت گذاری که برای تیر متعارف به کار می‌بریم انجام دهیم لنگر خمشی مثبت در بالای محور و لنگر خمشی منفی در پائین آن قرار خواهد گرفت و بنابراین لنگر خمشی مثبت تیر خیالی نشان دهنده تغییر مکان به بالای ضلع و مقادیر منفی لنگر نشان دهنده تغییر مکان به پائین ضلع خواهد بود. به همان ترتیب برش مثبت در تیر خیالی نشان دهنده شب رو به بالا منحنی ارجاعی از طرف چپ به راست بوده و برش منفی نشان دهنده شب رو به پائین خواهد بود.

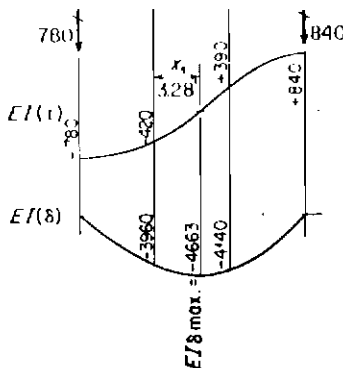
مثال ۱۲-۱۳ = با استفاده از روش پار ارجاعی، شیبها و تغییر مکانهای این تیر را محاسبه کنید.



$$\begin{aligned} \Sigma M_A &= 0 \\ (1) \quad 120 \times 9 &= 960 \times 14 = 5,040 \\ (2) \quad 120 \times 6 &= 720 \times 9 = 6,480 \\ (3) \quad 30 \times 3 &= 90 \times 8 = 720 \\ (4) \quad 160 \times 3 &= 450 \times 4 = 1,800 \\ &\hline 1,620 & 14,040 \\ &\hline 18 & \\ &\hline 780 & \pm \end{aligned}$$
  

$$\begin{aligned} \Sigma M_A &= 0 \\ 360 \times 4 &= 1,440 \\ 720 \times 9 &= 6,480 \\ 90 \times 10 &= 900 \\ 450 \times 14 &= 6,300 \\ &\hline 15,120 & \\ &\hline 18 & \\ &\hline 840 & \pm \\ 0 &= \delta_0 \end{aligned}$$
  

$$\begin{aligned} \tau_a &= -780 & -780 \times 6 &= -4,680 \\ &+ 360 & + 360 \times 2 &= +720 \\ &&&\hline -3,960 &= \delta_0 \end{aligned}$$



$$\begin{aligned}
 \tau_b &= -420 \times 6 = -2,520 \\
 &+720 \times 3 = +2,160 \\
 &+90 \times 2 = +180 \\
 &-4,140 = \delta_r \\
 \tau_c &= +390 \times 6 = +2,340 \\
 &+450 \times 4 = +1,800 \\
 \tau_d &= +840 \quad 0 = \delta_d
 \end{aligned}$$

حداکثر مقدار  $\delta$  زمانی خواهد بود که  $\delta = 0$  باشد و این وقتی است که برش در تیر خیالی صفر شود که چنین نقطه‌ای بین  $b$  و  $c$  خواهد بود جائی که:

$$\begin{aligned}
 EI\tau &= -420 + 120x_1 + \left(\frac{30}{6}\right)\frac{x_1^2}{\delta} \\
 &= -420 + 120x_1 + 2.5x_1^2 = 0 \\
 \therefore x_1^2 + 48x_1 &= 168 \\
 (x_1 + 24)^2 &= 168 + (24)^2 = 744 \\
 x_1 + 24 &= +27.28 \quad \therefore x_1 = \underline{\underline{3.28}}
 \end{aligned}$$

در این نقطه داریم:

$$\begin{aligned}
 EI\delta_{max} &= -3,960 - (420)(3.28) + (120)(3.28)\left(\frac{3.28}{\delta}\right) + (5)(3.28)\left(\frac{3.28}{\delta}\right)\left(\frac{3.28}{\delta}\right) \\
 &= -3,960 - 1,378 + 646 + 29 = -4,663 \text{ kip-ft}^3
 \end{aligned}$$

بحث:

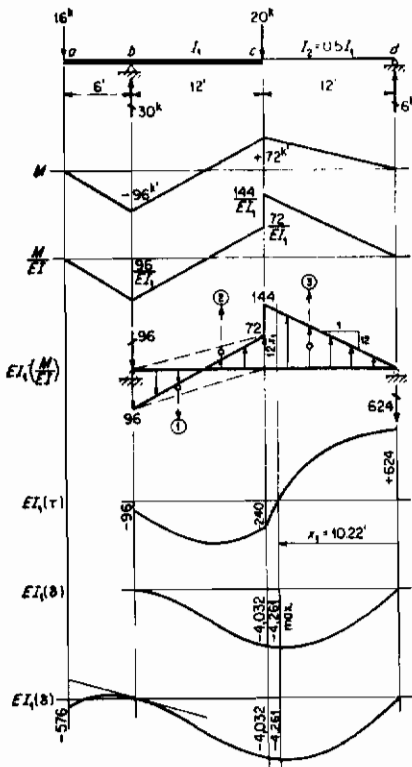
به آhad این اعداد مختلف دقت کنید و چون  $M$  بر حسب  $\text{kip-feet}$  می‌باشد، بنابراین سطح زیر منحنی  $M$  بر حسب  $\text{kip-feet}^3$  و لنگر سطح بر حسب  $\text{kip-feet}^4$  خواهد شد و به این ترتیب هرگاه مقادیر  $E$  و  $I$  نیز بر حسب آhad  $\text{kip}$  و  $\text{foot}$  بیان شوند، مقادیر  $\delta$  بر حسب  $\text{feet}$  و  $\text{in.}$  بر حسب رادیان خواهد شد.

مثال ۱۲-۱۴ = شبیه‌ها و تغییر مکانهای این تیر را محاسبه کنید.

$$E = 30 \times 10^3 \text{ k/in.}^2 \quad I_1 = 600 \text{ in.}^4 \quad I_2 = 300 \text{ in.}^4$$

صلع  $bd$  این تیر افقی باقی می‌ماند و بنابراین هرگاه شبیه‌ها و تغییر مکانهای را نسبت به این مهنا تعیین کنیم آنها مقادیر واقعی خواهند بود. اگر روش بار ارجاعی را برای محاسبه آنها

به کار بریم باید تیر خیالی را روی تکیه‌گاههای ۱ و ۲ در نظر بگیریم. عکس العمل نقطه ۱ این تیر مقدار حقیقی شیب مماس بر منحنی خیز را در نقطه ۱ بدست می‌دهد. حال که مقدار این شیب معلوم شده است با به کار بردن قضایای سطح لنگر می‌توان به مادگی مستقیماً به محاسبه شیبها و تغییر مکانهای قسمت طرهای ab پرداخت.



$$EI_1 \delta_a = 96 \times 6 - 96 \times 3 \times 4 \\ = -576$$

به سمت پائین

بنابراین در نقطه a داریم:

مقدار حد اکثر دقیقاً در سمت راست e جایی که  $\tau = 0$  باشد قرار خواهد داشت:

$$EI_{1\tau} = +624 - (12x_1) \left(\frac{x_1}{2}\right) = 0 \quad \therefore x_1^2 = 104 \quad x_1 = 10.22'$$

$$EI_1 \delta_{max} = -(624)(10.22) + \frac{(12)(10.22)^3}{(2)(3)} = -6,385 + 2,124 = -4,261$$

به سمت پائین

با قراردادن مقادیر  $E$  و  $I_1$  در رابطه فوق خواهیم داشت:

$$\delta_{max} = \frac{-(4,261)^{k^4}}{(30 \times 10^3 \times 144)^{k^4/2} (600/144^2)^{k^4}} = -0.0341 \text{ ft}$$

به سمت پائین

## ۱۲-۱۱) اعمال قضایای سطح لنگر و روش بار ارجاعی برای تغییر مکان تیرها و قابها

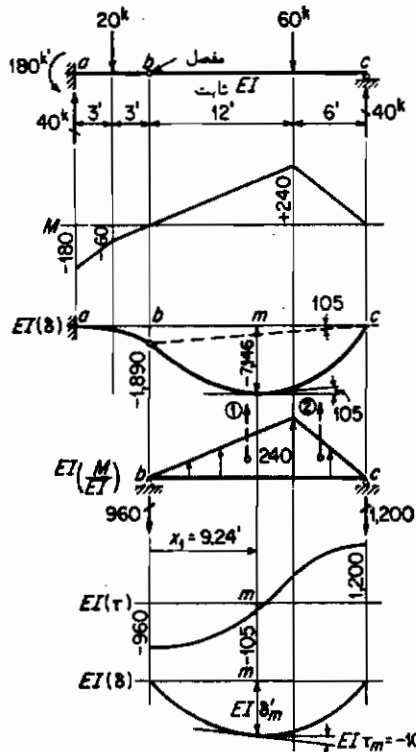
بعد منظور استفاده کامل از خواص سطح لنگر اغلب ترجیح داده می‌شود که کاربرد دو قضیه سطح لنگر به همراه بار ارجاعی باهم به کار گرفته شود، چنین کاربردی را قبلاً در مثال (۱۲-۱۳) شرح دادیم وعلاوه بر آن در مثالهای بعدی نیز شرح داده خواهد شد، برای این که نحوه کاربرد روش محاسباتی را در یک مقاله طرح ریزی کنیم توصیه می‌شود که ابتدا شکل منحنی خیز سازه را رسم کنیم. البته برای این که در رسم چنان منحنی‌هایی ماهر شویم نیاز به ممارست فراوان خواهد بود ولی در عین حال یک مبتدی نیز می‌تواند با تبعیت از نمودار منحنی خمشی یک قطمه و با دقت در مثبت و منفی بودن آن به رسم صحیح انحنای تیر پردازد. پس از آن که به طور تقریبی منحنی خیز رسم شد، می‌توان به راحتی به طرح چگونگی حل مقاله پرداخت برای این که تغییر مکانها را نسبت به یک معاكس به دست آورید، مستقیماً از قضایای سطح لنگر استفاده گنید و برای این که تغییر مکانها را نسبت به یک مينا تعیین کنید از روش بار ارجاعی استفاده نمایید. در گاربرد روش بار ارجاعی به نحوی که در اینجا ذکر شد منحنی خیز تیر واقعی نظری بددهانه تیر خیالی هرگز نمایستی دارای مفصلی میانی باشد، در چنان مفصلهایی امکان تغییر ناگهانی در شب منحنی خیز وجود دارد، چنین تغییر ناگهانی در یک بار ارجاعی که فقط شامل  $M/EI$  می‌باشد ملاحظه نمی‌گردد. چنان حالاتی را می‌توان به توسط کاربرد دیگری از روش بار ارجاعی که روش تیر مزدوج نامیده می‌شود و در بخش (۱۱-۱۲) بدان خواهیم پرداخت و یا توسط روش ترکیبی قضایای سطح لنگر و روش بار ارجاعی به نحوی که در مثالهای زیر شرح داده می‌شود بررسی نمود.

به همین دلیل که ذکر شد، تقریباً این مطلب حقیقت دارد که قضایای سطح لنگر را نمی‌توان در حد فاصل دو نقطه از منحنی خیز زمانی که مفصلی در آن قسمت از تیر قرار داشته باشد به کار برد.

**مثال ۱۲-۱۵= حداقل تغییر مکان این تیر را محاسبه کنید.**

پس از بررسی شکل منحنی خیز دیده می‌شود که می‌توان «ه» را با اعمال قضیه دوم سطح لنگر به قسمت  $ab$  محاسبه نمود با این تغییر مکان موقعیت خط مبنای  $bc$  معلوم می‌شود با در نظر گرفتن این مبدأ تغییر مکانها و شباهها را می‌توان با استفاده از روش بار ارجاعی که بر تیری

خيالی بهدهانه  $bc$  اعمال می‌شود محاسبه تمود.



$$EI\delta_b = [(180)(\frac{3}{2})(5) + (80)(\frac{5}{6})(3)] = \underline{\underline{1,890}} \downarrow$$

$$(bc) \text{ دوران خط مبناء} = \frac{1,890}{18} = \underline{\underline{105}}$$

$$(1) 240 \times 6 = 1,440 \times 10 = 14,400$$

$$(2) 240 \times 3 = 720 \times 4 = \underline{\underline{2,880}}$$

$$\frac{17,280}{18}$$

$$= \underline{\underline{960}} \ddagger$$

$$1,440 \times 8 = 11,520$$

$$720 \times 14 = \frac{10,080}{21,600}$$

$$= \underline{\underline{1,900}} \ddagger$$

نقطه حد اکثر ۸ در حائی قرار دارد که مماس بر منحنی خیز افقی باشد به عبارت دیگر در آن نقطه شبیه معاں نسبت به خط مبنای  $bc$  و رو بعست راست به طرف پائین باشد و یا این که

$$EI\tau_m = -105$$

$$EI\tau_m = -960 + (80x_1) \left( \frac{x_1}{\ell} \right) = -105$$

$$x_1^2 = 85.5$$

$$x_1 = \underline{\underline{9.24'}}$$

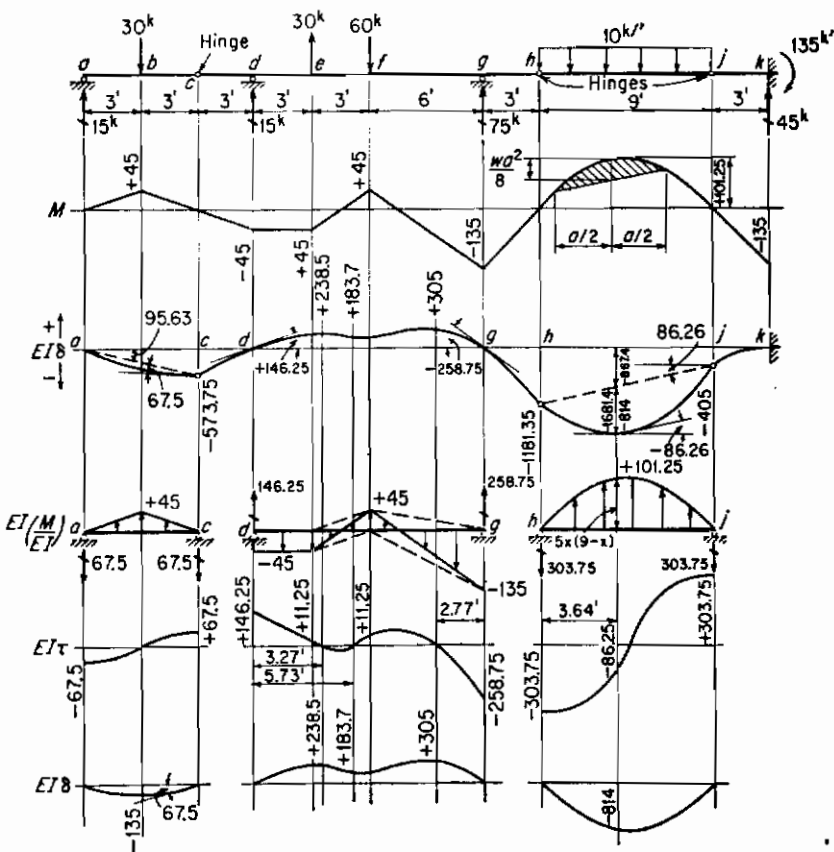
$$EI\delta'_m = -(960)(9.24) + \frac{(80)(9.24)^2}{6} = \underline{\underline{-6,885}}$$

$$EI\delta_m = -6,885 - (105)(18 - 9.24) = \underline{\underline{-7,146}}$$

بحث:

دقیق کنید که بهدلیل وجود مفصل  $\theta$  اعمال روش بار ارجاعی بر تیر خیالی بهدهانه  $bc$  مجاز نمی‌باشد.

مثال ۱۲ - ۱۶ = شبیه و تغییر مکانهای این تیر را محاسبه کنید  $E$ ،  $I$  دارای مقادیر ثابتی هستند.



بحث :

چون خط  $dg$  از منحنی خیز تغییر محل نمی‌دهد بنابراین شبیه و تغییر مکانهای که نسبت به آن با اعمال روش بار ارتجاعی بر تیر خیالی  $dg$  بدست می‌آیند مقادیر حقیقی شبیه و تغییر مکانهای تیر در این قسمت خواهند بود محاسبات لازم برای این قسمت سرراست و بدون اشکال است و منجر به نتایجی می‌شود که با ذکر محل برای مقادیر حداقلر قسمت  $dg$  نشان داده شده است.

عکس‌العملهای این تیر خیالی نشان دهنده شبیه مماس بر منحنی خیز در  $d$  و  $g$  می‌باشد پس از آن به سادگی می‌توان با به‌کاربردن قضیه دوم سطح لنگر به محاسبه تغییر مکان اضافی مفصلهای  $e$  و  $h$  در این مساحه پرداخت، تغییر مکانهای کلی این مفصلها نسبت به وضعیت اولیه تیر در شکل نشان داده شده است.

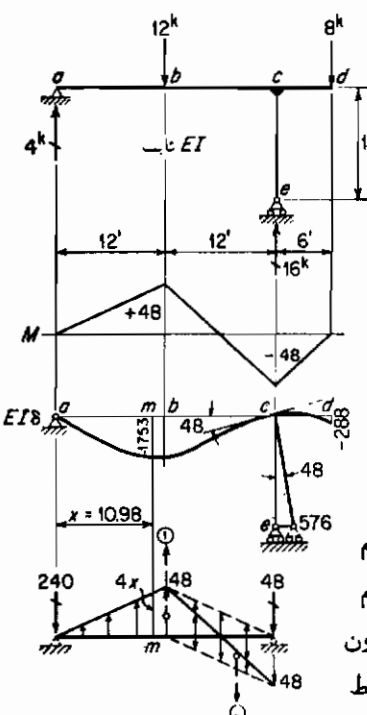
همچنین به سادگی می‌توان با اعمال قضیه دوم سطح لنگر به قسمت طره‌ای  $h$  و  $g$  به محاسبه تغییر مکان مفصل در  $z$  پرداخت.

بهاین ترتیب وضعیت خطوط مبنای  $ar$  و  $zh$  معلوم شده و پس از آن امکان دارد که بتوان به محاسبه مقادیر حقیقی شبیه‌ها و تغییر مکانها در این قسمتها پرداخت محل و مقادیر تغییر مکانهای حداکثر در این قسمتها نشان داده شده است مقادیر تغییر مکانها و شبیه‌ها را نسبت به خطوط مبنای  $ar$  و  $zh$  می‌توان با اعمال روش بار ارجاعی بر تیرهای خیالی بهمان دهانه‌ها بدست آورد.

ملاحظه می‌شود که در قسمت  $ac$  هیچ نقطه‌ای وجود ندارد که بیشتر از  $z$  تغییر مکان داشته باشد زیرا شبیه خط مینا در این قسمت بیشتر از شبیه مساوی بر  $z$  نسبت به خط مینا می‌باشد.

قضایای سطح لنگر و روش بار ارجاعی را می‌توان همچنین در محاسبات مربوط به تغییر مکان قابها بدکار گرفت تغییر مکانهای قابها که بدین ترتیب بدست می‌آیند در هر صورت شامل اثر تغییر طول محورهای قطعات نمی‌باشد و خوب‌خیانه "عمولاً" صرف نظر نمودن از تغییر شکل طولی در اکثر مسائل مربوط به تغییر مکان قابها مجاز می‌باشد.

#### مثال ۱۲ - تغییر مکانهای این قاب را محاسبه کنید.



$$\begin{aligned} (1) \quad 48 \times 12 &= 576 \times \frac{1}{2} \frac{2}{4} = 288 \downarrow \\ (2) \quad 48 \times 6 &= 288 \times \frac{3}{2} \frac{2}{4} = \frac{48}{240} \uparrow \\ (1) \quad 576 \times \frac{1}{2} \frac{3}{4} &= 288 \downarrow \\ (2) \quad 288 \times \frac{2}{2} \frac{3}{4} &= \frac{240}{48} \uparrow \end{aligned}$$

برای این که نقطه حداکثر تغییر مکان را بیابیم

$$\begin{aligned} EI\tau_m &= 0 = -240 + (4x) \left( \frac{x}{2} \right) \\ x^2 &= 120 \quad x = 10.98 \\ EI\delta_m &= -(240)(10.98) + (4) \frac{(10.98)^3}{6} \\ &= -1,753 \quad (1) \end{aligned}$$

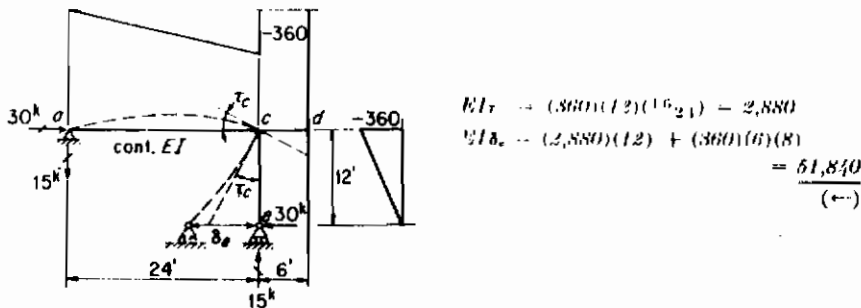
$$\begin{aligned} EI\delta_d &= (48)(6) - (48)(3)(4) \\ &= -288 \quad (2) \end{aligned}$$

$$EI\delta_e = (48)(12) = 576 \quad (3)$$

چون گره  $c$  یعنی گره  $c$  می‌باشد لذا کلیه معاشهای مرسوم بر منحنی‌های خیز کلیه اعضایی کمتر از ۶ گره بهم می‌رسند بدیک مقدار دوران خواهد کرد. چون ستون هیچ لنگر خمشی تحمل نمی‌کند لذا منحنی خیز خط راستی خواهد بود که دارای زاویه نمایلی بهمان

میزان زاویه معاكس بر منحنی خیز تیر خواهد بود.

مثال ۱۲ - ۱۸ = تغییر مکان نقطه، از این قاب را محاسبه کنید.



از این مثالها و مسائل انتهای فصل آشکار می‌شود که کاربرد روش‌های سطح لنگر زمانی برتری پیدا می‌کند که نمودار لنگر در چند خط مستقیم تشکیل شده باشد و به عبارت دیگر تیر موردنظر تحت اثر بارهای متوزع باشد، در چنین حالتی سطح زیر منحنی  $M/EI$  را می‌توان به چند مستطیل و مثلث تجزیه نموده و محاسبات مربوطه بسیار ساده خواهد بود. وقتی که بار گسترده باشد نمودار لنگر یک خط منحنی شده، و محاسبات مشکلتر می‌شود، وقتی بار واردہ به طور یک واخت گسترده باشد منحنی لنگر سه‌می شده و نمودار  $M/EI$  را به چند مثلث، مستطیل و قطعه‌های سه‌می تجزیه می‌کنیم. در حالات پیچیده‌تر بارهای گسترده معمولاً لازم است که نمودار  $M/EI$  را به چندین قسمت کوچک که هریک در این قسمتها به تناسب بهم‌تشاها و مستطیل‌هایی تقسیم می‌گردد تجزیه نمود. گاهی بهتر است برای این که نتیجه جمع تقریبی را دقیق‌تر کنیم از قاعده سمسون Simpson استفاده کنیم.

با درنظر گرفتن نمودار لنگر خمینی برای قسمت ۱-۲ از تیر مثال (۱۶-۱۲) سطح هاشور خورده بین منحنی سه‌می و وتری از این منحنی را ملاحظه کنید. اگر تصویر افقی این وتر را برابر با  $w$  بگیریم ثابت کنید ۱- قسمتی از خط عمودی که از وسط وتر می‌گذرد و بین این وتر و منحنی قرار دارد برابر است با  $\frac{w^3}{8}$  که در این عبارت  $w$  شدت بار گسترده یک واخت موردنیر تیر است ۲- سطح این قطعه هاشور خورده برابر با  $\frac{w^3}{12}$  است ۳- مرکز شغل این قطعه هاشور خورده روی خط عمودی که از وسط وتر می‌گذرد قرار دارد.

زمانی لازم است که از روش‌های ترسیمی در کاربرد روش بار ارجاعی استفاده کنیم.

به عنوان مثال فرض کنید که در نمودار  $M/EI$  به دلیل بارگذاری پیچیده سازه و یا تغییر لنگر لختی تیرشکل بی قاعده‌ای داشته باشد در چنین حالاتی نمودار برنش و لنگر را که حاصل از بار بی قاعده ارجاعی بر تیر خیالی می‌باشد می‌توان به‌کمک روش ترسیمی به همان ترتیبی که در بخش (۱۵-۵) بحث شد به دست آورد.

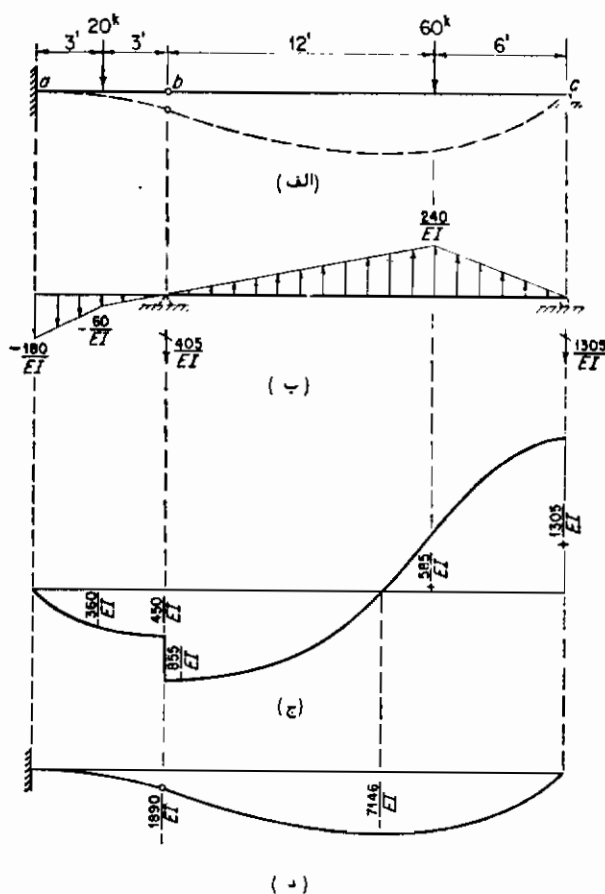
## ۱۲ - ۱۱ روش تیر مزدوج

از مثال‌های مبحث قبل چنین بر می‌آید که محاسبات تغییر مکان هر تیری را می‌توان با به‌کاربردن ترکیب مناسبی از قضایای سطح لنگر و روش بار ارجاعی محاسبه نمود. روشی را که جهت این ترکیب به‌کار گرفته می‌شود می‌توان با کمی بسط و تغییر روش بار ارجاعی تدوین نمود. این چنین بسطی را روش تیر مزدوج می‌گویند.

برای این که به‌شرح واستخراج روش جدید بپردازیم تیری را که در مثال (۱۲ - ۱۵) به‌کاربرده شده است و در شکل (۱۹-۱۲) به صورتی متفاوت نشان داده شده است در نظر بگیرید. در شکل (۹-۱۲الف) تیر واقعی با بارهای واردۀ برآن دیده می‌شود. در شکل مذبور منحنی تغییر مکان با خط چین نشان داده شده که این منحنی به‌دلیل وجود تکیه‌گاه‌ها و مفصل ۶ دارای خواص ویژه مهی می‌باشد حتی اگر در این مرحله مقدار تغییر مکانها نامعلوم فرض شوند ۱- در تکیه‌گاه ۶ هم تغییر مکان و هم شیب منحنی ارجاعی صفر می‌باشد ۲- در تکیه‌گاه ۶ تغییر مکان صفر بوده ولی منحنی خیز می‌تواند هر شیبی که لازم باشد پیدا کنید ۳- در مفصل ۶ هم تغییر مکان وجود دارد و هم این که امکان وجود تغییر شیبی ناگهانی بین طرف چه و طرف راست مفصل وجود دارد.

هدف انتخاب تیر مزدوج (به عبارت دیگر تیر فرضی نظیر تیر واقعی) است به طوری که دارای همان طول تیر واقعی بوده ولی دارای چنان تکیه‌گاه و قیودی باشد که هرگاه تیر مزدوج را با باری (ارجاعی) برابر با نمودار  $M/EI$  تیر واقعی بارگذاری کنیم، برش (ارجاعی) تیر مزدوج در هر مقطعی از آن برابر با شیب تیر واقعی در همان مقطع نظیر بوده و لنگر خمشی (ارجاعی) تیر مزدوج نیز برابر با تغییر مکان مقطع نظیر در تیر واقعی گردد. وقتی شود که شیبها و تغییر مکانها تیر واقعی نسبت به وضعیت اولیه آنها اندازه‌گیری می‌شود و این بدان معنی است که آنها مقادیر واقعی شیبها و تغییر مکانها می‌باشند. همواره می‌توان فقط با معلوم بودن مشخصات منحنی خیز تیر واقعی تکیه‌گاه‌ها و سایر خصوصیات اجرایی آن تیر، نظیر مفصل ۶، چنان تکیه‌گاه‌های برای تیر مزدوج انتخاب کرد که بتوان به هدف مورد نظر رسید.

برای این که به شرح انتخاب تکیه‌گاه‌های تیر مزدوج بپردازیم تیرشکل (۱۹-۱۲) را در نظر بگیرید. در نقطه « تیر واقعی نهشیبی وجود دارد و نه تغییر مکانی بنا براین در آن نقطه از تیر مزدوج نه برشی باید باشد و نه لنگری و این بدان معنی است که نقطه « تیر مزدوج می‌باشد آزاد و بدون تکیه‌گاه باشد. در نقطه « تیر واقعی شبی وجود دارد ولی تغییر مکان صفراست پس در آن نقطه تیر مزدوج می‌باشد و وجود داشته ولی لنگری وجود نداشته باشد و این بدان معنی است که نقطه « تیر مزدوج می‌باشد و تیر واقعی دارای عکس العمل عمودی باشد یعنی دارای تکیه‌گاهی غلتکی باشد. در نقطه « تیر واقعی تغییر مکان وجود داشته و امکان ناپیوستگی در شبی نیز وجود دارد بنا براین در آن نقطه از تیر مزدوج می‌باشد تغییر عکس العمل عمودی برای ایجاد تغییر ناگهانی برش وجود داشته و همچنین آن نقطه قادر به تحمل لنگر خمی نیز باشد و به عبارت دیگر نقطه « در تیر مزدوج باید دارای تکیه‌گاهی غلتکی باشد.



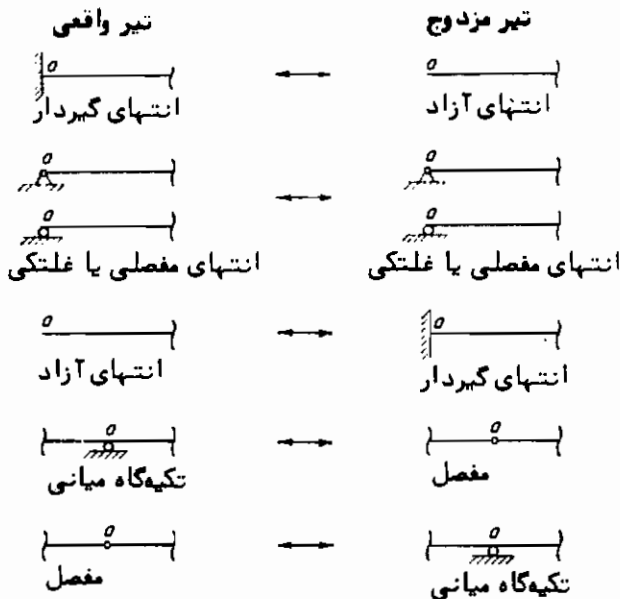
شکل (۱۹-۱۲) استخراج روش تیر مزدوج

و بهاین ترتیب تیر مزدوج مانند آنچه در شکل (۱۹-۱۲ ب) نشان داده شده است بارگذاری شده و دارای تکیه‌گاههای نشان داده شده خواهد بود.

حال اگر مانند تیری معین به محاسبه عکس‌العملها، برشها و لنگرهای خمی بپردازیم می‌توان به ترسیم نمودارهای برش (ارتجماعی) و لنگر خمی (ارتجماعی) به ترتیب نظیر شکل‌های (۱۹-۱۲ ج) و (۱۹-۱۲ د) اقدام کرد. عرضهای این نمودارها به ترتیب مقادیر شیب و تغییر مکان مربوط به مقطع نظیر تیر واقعی را به صورتی که این مقادیر نسبت به وضعیت قبل از تغییر شکل تیر اندازه‌گیری شود معلوم می‌کنند. قرارداد علائم برای بار (ارتجماعی) برش (ارتجماعی) و لنگر خمی (ارتجماعی) همان قرارداد متعارف تیرهاست که در انتهای بخش (۹-۱۲) وقتی بحث درباره<sup>۸</sup> روش بار ارجاعی بود بیان شد.

از بحث فوق و بحثهای مشابه دیگری می‌توان به قواعدی که منجر به انتخاب تکیه‌گاهها و قیدهای تیرهای مزدوج می‌شود و در شکل (۲۰-۱۲) نشان داده شده است رسید. شرح انتخاب تکیه‌گاهها و قیدهای تیرهای مزدوج متعارف در شکل (۲۱-۱۲) نشان داده شده است. ملاحظه می‌شود که تیرهای حقیقی معین همواره دارای تیرهای مزدوج معین می‌باشند و تیرهای حقیقی نامعین به نظر می‌رسد که دارای تیرهای مزدوج نایاب‌ارند در صورتی که این چنین تیرهای مزدوج توسط بار ارجاعی برابر با نمودار  $EI/M$  تیر واقعی به حالت تعادل نگهداری می‌شود بعنوان مثال آخرين حالت نشان داده شده را که در آن تیر حقیقی دارای دو انتهای گیردار می‌باشد و تیر مزدوج نظیر آن دارای دو انتهای کامل<sup>۹</sup> آزاد است می‌توان ملاحظه نمود. برای هر نوع بارگذاری (مانند بار متعرکی که بواسطه دهانه اثر گرده است) معلوم می‌شود که نمودار  $EI/M$  منتهی به یک بارگذاری ارجاعی می‌شود که بخودی خود در تعادل بوده و به هیچ عکس‌العمل تکیه‌گاهی نیاز ندارد. واقعیت این است که در یک چنین حالاتی تعیین شرایط پایداری لازم بارگذاری ارجاعی منتهی به روشنی می‌شود که تعیین‌کننده معادلات لازم برای لنگرهای گیرداری در آن تیرهای نامعین می‌باشد.

اگرخواهیم با استفاده از روش تیر مزدوج به حل مسائلی نظیر آنچه در مثال‌های (۱۴-۱۲) و (۱۵-۱۲) و یا (۱۶-۱۲) ذکر شده است بپردازیم باید دقیقاً به همان محاسباتی بپردازیم که اگر می‌خواستیم آن مسائل را به روشنی ترکیب شده از قضایای سطح لنگر و روش بار ارجاعی حل کنیم. بعبارت دیگر روش تیر مزدوج روش محاسباتی سرراست (بدون پیچ و خم) با علائم قراردادی معلومی را ارائه می‌دهد و در نتیجه اگر از طریق تیر مزدوج به محاسبات لازم بپردازیم امکان اشتباهات محاسباتی تقلیل می‌یابد.

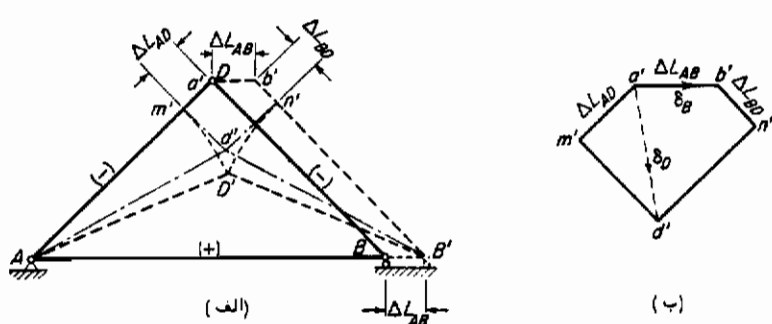
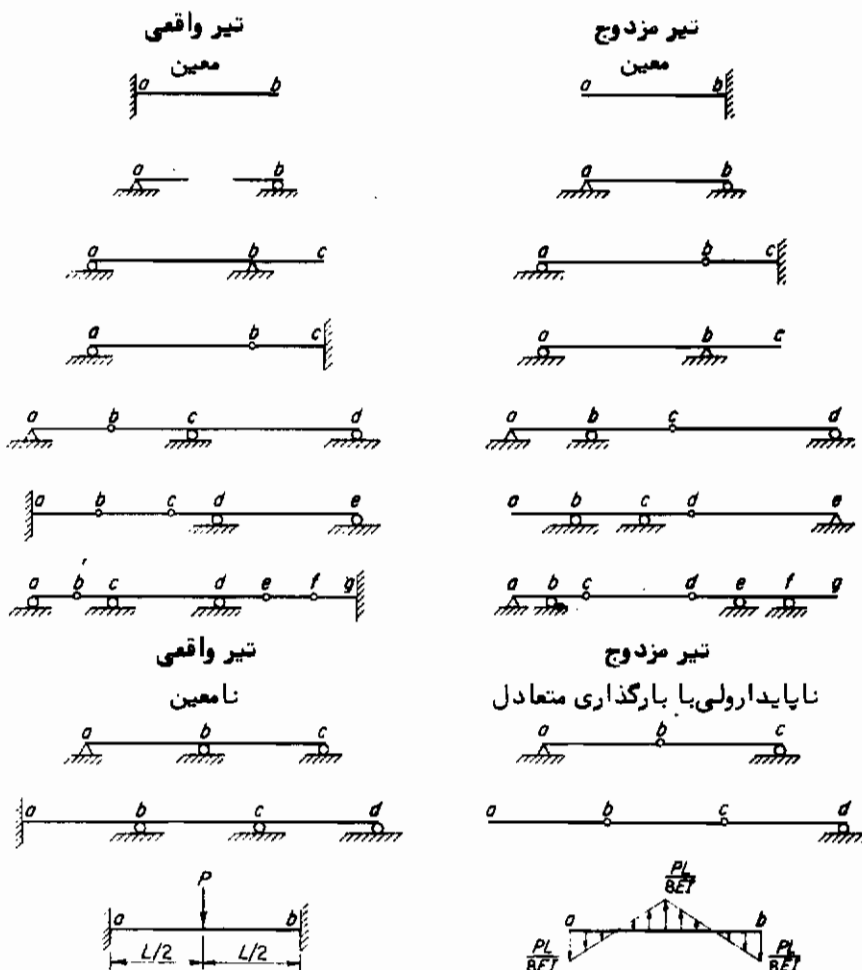


شکل (۲۰-۱۲) انتخاب تکیه‌گاه و جزئیات (قیوایت) تیر مزدوج

## ۱۲-۱۲ روش ویلیو(ت) - مور

وقتی که از روش کارمجازی برای محاسبه تغییرمکان یک خرپا استفاده کنیم در هر مرحله فقط امکان محاسبه یک مولقه تغییرمکان یک گره امکان پذیر می‌باشد و برای این که مقدار و جهت تغییرمکان واقعی و مطلق یک گره را پیدا کنیم بهردو مولقه افقی و عمودی آن نیاز داریم و بنابراین "عموماً" برای این که تغییرمکان واقعی هر گره خرپا را محاسبه کنیم نیاز بعدها کاربرد مستقل کار مجازی خواهیم داشت. با بدکاربردن یک راه حل ترسیمی بهنام روش ویلیو(ت) - مور می‌توان به محاسبه کلیه تغییرمکانهای واقعی خرپا پرداخت و بدین - ترتیب واضح است که این روش در حل برخی از مسائل مربوط به تغییرمکانها برتری کاملی خواهد داشت.

اساس روش ویلیو(ت) - مور را می‌توان با بررسی خرپای ساده شکل (۲۰-۱۲) شرح داد. فرض کنید که با استفاده از معادلات (۲۰-۵-ب) و (۲۰-۵-ج) تغییر طول  $\Delta L$  قطعات را با در نظر گرفتن شرایط معلوم تغییر شکل محاسبه کرده باشیم، در این صورت می‌توان وضعیت تغییر شکل یافته خرپا را به روشی که توسط خط چین در شکل (۲۰-۱-۲ الف) نشان داده شده است معین کرد، ابتدا مفصل گره  $D$  را آزاد کرده و بگذارد که تغییر طول قطعه  $AB$  انجام گیرد، چنانی عملی سبب می‌شود که قطعه  $DB$  چنانکه نشان داده شده است به موازات



شکل (۲۲-۱۲) علم حرکات تغییر مکان یک خربا

خود حرکت کند و در این صورت کلیه نقاط آن قطعه به طور افقی به سمت راست به میزانی برابر با  $\Delta L_{AB}$  تغییر محل خواهد داد . حال اگر بگذاریم که قطعات  $BD$  و  $AD$  تغییر طول دهند انتهای  $D$  هریک از آنها مانند آنچه نشان داده شده است به شرطی که آن قطعات به ترتیب در نقاط  $A$  و  $B'$  به قطعه  $AB$  متصل باقی بمانند تغییر محل خواهد داد ، قبل از آن که مفصل  $D$  دوباره بوجود آید و خرپا بازهم بهم متصل گردد لازم است که کاری کنیم که انتهای  $D$  هریک از قطعات  $AD$  و  $BD$  بار دیگر برهم منطبق شوند و برای چنین علی می‌باشد ترتیب تغییر مکان هرگره را می‌توان با معلوم بودن وضعیت‌های اولیه و تغییر محل داده گرده معلوم نمود .

یک چنین علی سراسر و بدون اشکال است ولی اعمال آن در مسائل علی مشکل است زیرا عملاً "تغییر مکانها و تغییر طولها از آنچه که در این شکل نشان داده شده است بسیار کوچکترند و لذا برای رسیدن به نتیجه‌های نسبتاً دقیق ترسیمی اخذ مقیاس بسیار بزرگ لازم خواهد بود . چون تغییر شکلها کوچکد نباشند دوران زاویه‌ای کلیه قطعات نیز کوچک خواهد بود و در حقیقت این کوچکی به حدی است که مجاز هستیم فرض کنیم هر نقطه‌ای در طی دوران یک قطعه در امتداد مماس عمود بر وضعیت اولیه قطعه (بجای طول قوس) به طوری که توسط نقطه در شکل (۲-۲۱الف) نشان داده شده است ، تغییر محل می‌دهد . اگر مقدار  $\beta$  را به طور خارج از مقیاسی در این شکل بزرگ نکرده بودیم خطوط خط چین و خط نقطه نظری کلیه موارد عملی بر یکدیگر منطبق می‌شد . با به کار بردن فرض فوق قادر هستیم که تغییر مکانهای گرهها را بدون این که نیاز به رسم کل طول قطعات باشد بمدست آوریم زیرا دیگر نیازی به رسم قوسهایی حول مراکز دوران نمی‌باشیم .

نمودار ساده شده‌ای که در شکل (۲-۲۱ب) نشان داده‌ایم شبیه قسمتی از شکل (۲-۲۱الف) می‌باشد که با همان حروف مشخص شده است . نمودار مزبور تغییر طول کلیه قطعات و مماسهای مرسوم بر قوسهای دوران را نشان می‌دهد و بر طبق آن می‌توان تغییر وضع نسبی گرههای مختلف را پیدا نمود ، چنان نموداری را به نام مهندس فرانسوی پیشنهاد - کننده آن نمودار ویلیو (ت) می‌نامند . مثل قبیل تصور کنید که مفصل  $D$  را موقتاً "زاد کرده و بگذاریم به نوبت تغییر طولها انجام گیرد . با انتخاب مقیاس مناسبی برای  $\Delta L$  و مشخص کردن نقاط این نمودار با حروف کوچک گرههای تحتانی نظری در خرپا نمودار را با تعیین محل نقطه  $a'$  شروع می‌کنیم ، در این خرپای ساده می‌دانیم که گره  $A$  از نظر موقعیت ثابت مانده و قطعه  $AB$  افقی باقی می‌ماند . بنابراین گره  $B$  به صورت افقی به سمت راست نسبت به  $A$  به اندازه  $\Delta L_{AB}$  حرکتی نسبی خواهد داشت که این مقدار با فاصله دو موقعیت نسبی

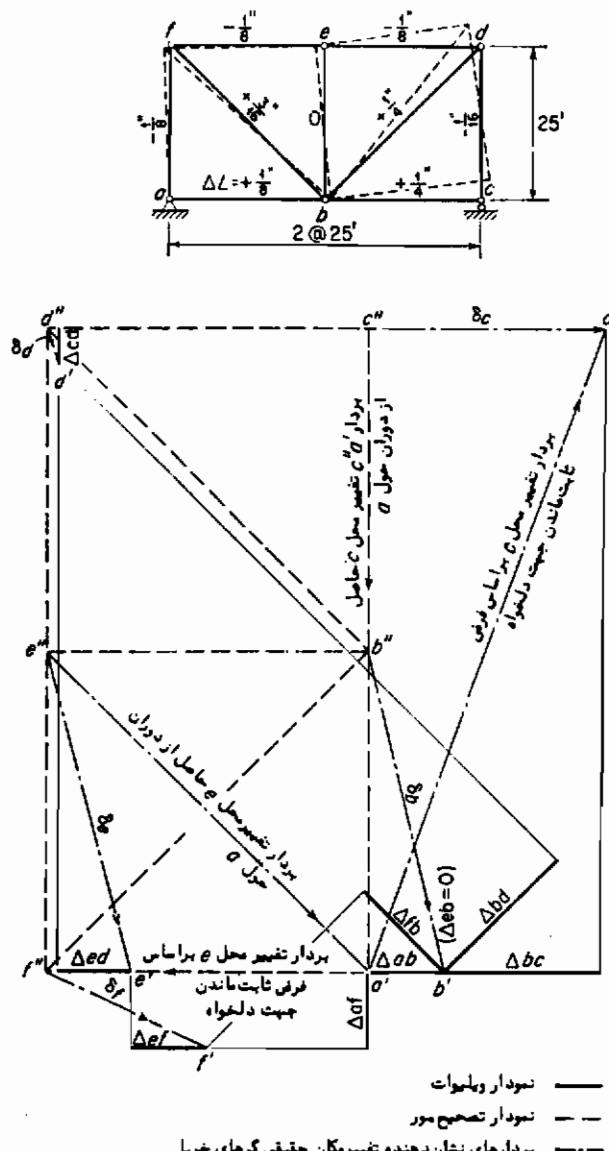
$a'$  و  $b'$  نشان داده شده است . بدلیل تقلیل طولی برابر با  $\Delta L_{AD}$  انتهای  $D$  قطعه  $AD$  به موازات  $AD$  و نسبت به گره  $A$  حرکتی بطرف پائین و سمت چپ خواهد داشت که این حرکت را با بردار  $\overline{a'm}$  نشان داده ایم . بهمین ترتیب بدلیل تقریبی طولی برابر با  $\Delta L_{BD}$  انتهای  $D$  قطعه  $BD$  به موازات  $BD$  نسبت به گره  $B$  حرکتی بطرف پائین و سمت راست خواهد داشت که این حرکت را با بردار  $\overline{b'n}$  نشان داده ایم . برای این که انتهای  $D$  قطعات برهمنطبق شوند می‌بایستی که قطعه  $AD$  حول  $A$  و قطعه  $BD$  حول  $B$  دوران نمایند ، در طی این دوران فرض می‌شود که انتهای  $D$  قطعات در طول معاشه‌ای که به ترتیب با بردارهای  $\overline{m'd'}$  و  $\overline{n'd'}$  نشان داده شده است حرکت کنند ، ملاحظه می‌شود که معاشه به ترتیب عمود بر قطعات  $AD$  و  $BD$  می‌باشد . بردارهای  $\overline{a'd'}$  و  $\overline{a'b'}$  به ترتیب نشان دهنده تغییر مکانهای گرههای  $D$  و  $B$  نسبت به گره  $A$  می‌باشد و در این حالت چون عمل "موقعیت گره  $A$  ثابت است این بردارها نشان دهنده تغییر محلهای مطلق و حقیقی آن گرهها هستند ، بدینهی است که طول این بردارها را باید با همان مقیاسی که برای رسم  $\Delta L$  به کار برده‌ایم اندازه‌گیری کنیم .

رسم نمودار ویلیو (ت) برای خرپایی مفصلتر براساس همان روشهی که در بالا ارائه شد انجام می‌گیرد . یعنی به طور موقتی فرض می‌شود که کلیه قطعات آزاد شوند و پس از آن که فرض شود کلیه قطعات تغییر طولهای خود را انجام دهند بار دیگر و بهنوبت بهم وصل می‌شوند و به این ترتیب نمودار ویلیو (ت) نتایج تغییر محل گرهها را نشان می‌دهد . در چنان حالاتی تغییر محل نسبی و حقیقی دو انتهای یک میله برخلاف آنچه برای گرههای  $A$  و  $B$  از خرپایی سازه ارائه شده در بالا وجود داشت معلوم نمی‌شود . در هر صورت نمودار ویلیو (ت) را می‌توان براساس فرضی اختیاری به این صورت که میله‌ای در راستای خود ثابت بماند رسم نمود و به عبارت دیگر فرض نمود که تغییر محل نسبی گرههای دو انتهای این میله به موازات آن میله بوده و برای برآورده تغییر طول آن میله باشد . پس از آن که موقعیت این دونقطه تشییت شد نقطه سوم که مربوط به گره سوم از مثلث خرپایی می‌باشد و توسط این سه گره ایجاد می‌شود ، به همان نحوی که قبلاً "شرح داده شد تعیین موقعیت می‌شود . بقیه اسکلت را می‌توان گره به گره و همواره به نحوی که گره انتخابی گره سوم مثلثی باشد که دو گره قبلی آن تشییت شده است و موقعیت این گره جدید با در نظر گرفتن آن دو گره معلوم شود ادامه داد . اگر راستای فرض شده صحیح بوده باشد بردارهای مربوط به برخی از شرایط تغییر مکان معلوم در راستای صحیحی خواهند بود و اگر این بردارها با شرایط معلوم سازگار نباشند نمودار تصحیحی مور را می‌بایستی به نمودار ویلیو (ت) افزود .

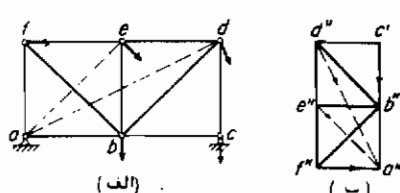
نمودار ویلیو (ت) خرپایی شکل (۱۲-۲۳) را با این فرض که گره  $A$  از نظر موقعیت ثابت

است و قطعه  $ab$  از نظر امتداد ثابت باشد رسم شده است . اگر این امتداد فرض شده صحیح باشد بردارهای رسم شده از نقطه  $a'$  به نقاط  $b'$  ،  $c'$  ،  $d'$  و غیره نشان دهنده به ترتیب تغییر مکانهای حقیقی گرههای  $b$  ،  $c$  ،  $d$  و غیره خواهد بود . گره  $c$  خوب چون یکنکه گاه غلتکی است نمی‌تواند تغییر مکان عمودی داشته باشد و فقط اجبار به حرکتی افقی دارد . ولی بر اساس راستای فرض شده گره  $c$  بطرف بالا و سمت راست به نحوی که توسط بردار  $\overline{a'c}$  نشان داده شده است تغییر مکان یافته و سایر گرهها نیز به نحوی که با خط چین روی نمودار خطی خربما با مقیاسی خارج از اندازه بزرگ نشان داده شده است تغییر محل داده اند . این نشان می‌دهد که فرض ثابت ماندن جهت  $ab$  فرضی خطاست و حال لازم است که خربما را "کلا" حول  $a$  در جهت ساعتگرد دوران دهیم تا این که گره  $c$  دوباره برروی تکیه‌گاه برگردد ، مقدار لازم دوران را می‌توان با علم براین که تغییر مکان حقیقی  $c$  می‌باشستی برداری افقی باشد معین نمود . تغییر مکان حقیقی برآیند بردار  $\overline{a'c}$  و بردار نشان دهنده تغییر محل  $c$  در طول دوران خربما حول  $a$  می‌باشد ، در طی دوران زاویه‌ای کوچک خربما حول  $a$  می‌توان فرض نمود که گره  $c$  در طول معاكس برقوس حقیقی تغییر محل می‌دهد یعنی عمود بر خط  $ac$  خربما و به عبارت دیگر در این حالت به طور عمودی حرکت می‌کند . اگر برداری را که نشان دهنده حرکت  $c$  نسبت به  $a$  در طی دوران می‌باشد توسط بردار عمودی  $\overline{c'a}$  که از  $a'$  می‌گذرد به نمودار اضافه کنیم برآیند بردار ( $\downarrow$ )  $\overline{a'c}$  و بردار ( $\nearrow$ )  $\overline{a'c}$  باید بردار افقی ( $\rightarrow$ )  $\overline{c'a}$  باشد که این بردار ، تغییر مکان حقیقی گره  $c$  می‌باشد و بدین ترتیب نقطه  $c$  تثبیت می‌شود .

در طی دوران خربما حول  $a$  نه تنها گره  $c$  بلکه می‌توان فرض کرد که سایر گرهها نیز در طول عمود بر شعاع مار برگرهی که مرکز دوران می‌باشد یعنی  $a$  حرکت می‌کنند و مقدار این تغییر محل برابر با حاصل ضرب شعاع در زاویه دوران می‌باشد ، در شکل (۱۲-۲۴الف) پیکانهایی که از گرهها رسم شده نشان دهنده جهت تغییر محل گرهها در طی دوران خربما در جهت ساعتگرد و حول  $a$  به اندازه زاویه کوچک  $\alpha$  می‌باشند . اگر این بردارها را با مقیاس معین و به سمت گره  $a$  همان طوری که در شکل (۱۲-۲۴ب) نشان داده شده است رسم کنیم ، تغییر محل گره  $b$  در طی دوران با بردار  $\overline{b'a}$  و برای گره  $c$  با بردار  $\overline{c'a}$  و برای گره  $d$  با بردار  $\overline{d'a}$  و غیره نشان داده می‌شود . پس از آن که مطابق شکل این نقاط با دو پریم را بهم وصل کردیم ، هر قسمی از این دو شکل را با نظیر خود از شکل دیگر در نظر بگیرید مثلاً " مثلث  $dac$  را با مثلث  $d'a'c'$  ملاحظه کنید ، چون  $d'a' = da$  و  $c'a' = ca$  عمود است و  $d'a' = da$  نیز بر  $da$  عمود می‌باشد بنابراین  $(d'a') \perp (da)$  زاویه  $\alpha$  می‌باشد و چون  $c'a' = ca$  می‌باشد و  $d'a' = da$  هست پس  $d'a' = da$



شكل (٢٣-٢٤) روش دیلپو (ت) - مور

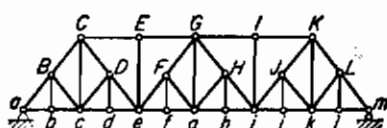


شکل (۱۲-۲۴) نمودار تصحیح مور





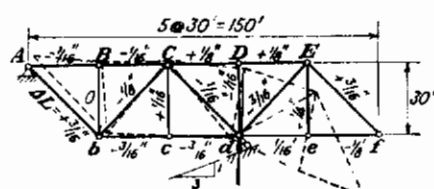
از  $e'$  و  $D'$  را در طرف چپ و به همین ترتیب نقاط  $II$ ،  $III$ ،  $IV$  و  $V$  را در طرف راست می‌توان بدون اشکال تعیین موقعیت نمود ولی با استفاده از آنچه قبلاً گفته شد بگریبیشتراز این نمی‌توان پیش رفت. یکی از طرقی که توسط آن می‌توان برای مشکل غلبه کرد این است که با علم براین که تغییر محل نسبی گرههای  $I$  و  $II$  در راستای موازی با  $De$  برابر است با مجموع تغییر طول میله‌های  $(I)$  و  $(II)$  به همین ترتیب تغییر محل نسبی گرههای  $e$  و  $e'$  در طول  $cd$  برابر است با مجموع تغییر طول  $cd$  و  $de$  به طور موقت گرههای  $(I)$  و  $e$  را نادیده می‌گیریم و میله‌های  $cd$  و  $Dd$  را حذف می‌کنیم و نمودار را جهت تعیین محل نقاط  $e$  و  $C'$  ادامه می‌دهیم و پس از آن که این نقاط را تعیین محل کردیم به میله‌های حذف شده بر می‌گردیم و نقاط  $D'$  و  $d'$  را تعیین موقعیت می‌نماییم اگر این عمل به طور صحیحی انجام گرفته باشد هرگاه محل  $e'$  را از طریق  $D'$  و  $d'$  بهداشتی بر موقعیت موجود نقطه  $e'$  منطبق گردد. حال می‌توان نقاط  $B'$ ،  $a'$  و  $a''$  را بدون اشکال تعیین موقعیت نمود و نقاط باقی مانده در طرف راست  $II$  را به همان طریقی که برای نقاط موجود در طرف چپ شرح داده شد می‌توان تعیین محل نمود.



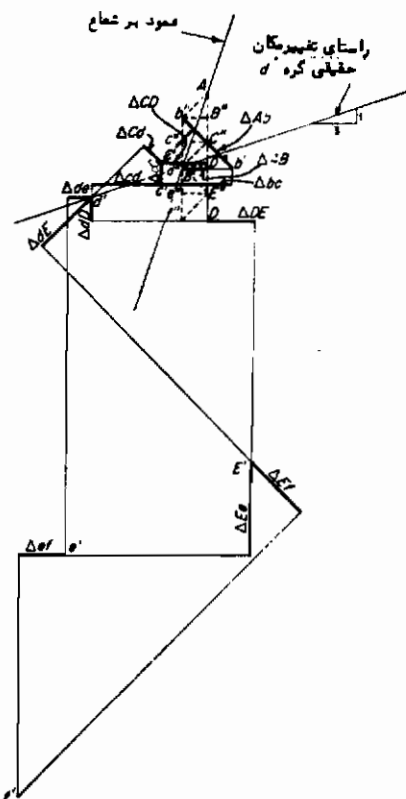
شکل (۱۲-۲۶) خرپای مرکب

اعمال روش ویلیمو (ت) مور برای قوس سه مفصل نیاز به فنی متفاوت دارد که در مثال ۱۲-۲۱ شرح داده شده است.

مثال ۱۲-۱۹ = برای این خرپا نمودار ویژیو (ت) مور را رسم کنید.



فرض کنید نقطه  $x$  در جای خود ثابت بماند.  
فرض کنید که  $A$  استای ملئی  $\mathbb{R}$  ثابت بماند.



نقطه	تغییر مکان	
	افقی	عمودی
A	0	0
B	0.063'' ←	0.130'' ↓
C	0.125'' ←	0.050'' ↓
D	0	0.125'' ↓
E	0.125'' →	0.700'' ↓
b	0.125'' →	0.130'' ↓
c	0.063'' ←	0.118'' ↓
d	0.250'' ←	0.083'' ↓
e	0.313'' ←	0.968'' ↓
f	0.438'' ←	1.513'' ↓

بحث:

با فرض این که گره  $e$  در جای خود ثابت می‌ماند و راستای میله  $CE$  نیز تغییر نمی‌کند بردارهای که در روی نمودار ویلیو(ت) از  $e$  به  $e'$ ،  $B$ ،  $B'$ ،  $C$ ،  $b$ ،  $b'$  وغیره رسم می‌گردند نشان دهنده تغییر محل گرههای  $A$ ،  $A'$ ،  $C$ ،  $b$ ،  $B$ ،  $b'$  وغیره می‌باشند در چنین حالتی تغییر مکان برآیند گرهها با مقیاسی خارج از اندازه بزرگ مانند آنچه در نمودار خطی نشان داده شده است خواهد بود. واضح است که فرضهای ثابت بودن راستا و محل گره درست نمی‌باشند زیرا گره  $A$  از مفصل تکیه‌گاهی جدا شده و تغییر محل گره  $e$  نیز به موازات سطح تکیه‌گاه نمی‌باشد، ولی با وجود این معلوم است که وضعیت‌های فرض شده زیاد هم خطأ نیستند.

گره  $A$  را می‌توان به مفصل تکیه‌گاهی برگرداند، هرگاه خرها را مانند جسمی صلب به موازات بردار  $\overline{AC}$  به اندازه مقدار آن بردارها در نظر گرفتن مقیام آن انتقال دهیم. در طی این انتقال کلیه گرهها به اندازه‌ای که بردار  $\overline{AC}$  معلوم می‌کند تغییر محل می‌دهند و پس از این انتقال تغییر محل گرهی نظیر  $E$  برآیند برداری، دو بردار  $\overline{CE}$  و  $\overline{E'E}$





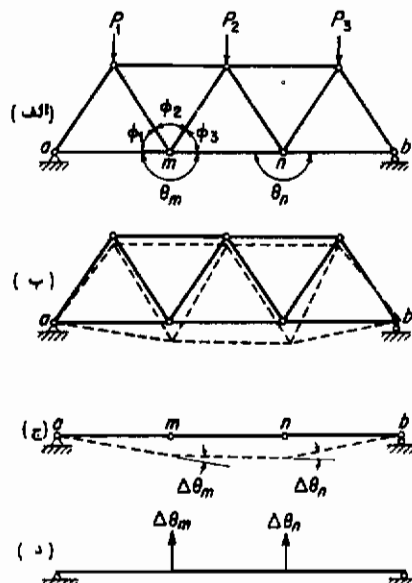
معینی برای گره  $\alpha$  نشان می‌دهد و به همین ترتیب بردار  $\overline{c_B}$  در نمودار راست تغییر مکان دیگری برای گره  $\alpha$  مشخص می‌کند و اگر فرضهای اولیه صحیح بوده باشد تغییر مکان گره  $\alpha$  چه از طریق نمودارچپ چه از طریق نمودار راست یکی خواهد بود. چون این بردارها معادل نیستند لذا می‌بایستی نیمه چپ را حول  $\alpha$  به‌طوری که گره  $\alpha$  در چهت عمود بر شعاع  $c_B$  حرکت کند دوران دهیم و به همین ترتیب نیمه راست را حول  $\alpha$  به‌طوری که گره  $\alpha$  درجهت عمود بر شعاع  $c_B$  حرکت کند دوران دهیم. این دورانها می‌بایستی چنان باشند که سبب شوند تغییر مکان برآیند گره  $\alpha$  برای هر دو نیمه یکسان گردد. این مقادیر به‌طوری که در نمودار برداری میانی نشان داده شده است معین می‌شوند در این نمودار بردار  $\overline{c_B}$  برای نیمه چپ و بردار  $\overline{c_B}$  برای نیمه راست می‌باشد، بنابراین این بردارها یعنی  $\overline{c_A}$  و  $\overline{c_B}$  به ترتیب اساس شروع و رسم نمودار تصحیحی مور برای نیمه‌های چپ و راست را تشکیل می‌دهند. حال می‌توان برای تعیین تغییر مکانهای حقیقی گرههای مختلف از بردارهای که نقاط با دو پریم را به نقاط با یک پریم وصل می‌کنند استفاده نمود.

#### ۱۴- روش سلسله میله‌ها

روش سلسله میله‌ها از این نظر که توسط آن می‌توان تغییر مکان گرههای مختلف یک خرپا را همزمان معین نمود شبیه روش ویلیو (ت) مور می‌باشد. این روش اولین بار توسط مولر - برسلا Muller-Breslau ارائه گردید و اساساً "تطبیق کاربرد روش بار ارجاعی" بر خرپا به عوض تیرها می‌باشد.

برای این که به استخراج اساس این روش بپردازیم، خرپای ساده شکل (۱۲-۱۲الف) را که در آن تغییر مکان عمودی کلیه نقاط پانلی میله‌های اصلی تحتانی مورد محاسبه می‌باشد در نظر گیرید. با در نظر گرفتن آنچه سبب تغییر شکل می‌گردد تغییر طول اعضاء را می‌توان از معادلات (۱۲-۱۵الف) (۱۲-۱۵ب) و (۱۲-۱۵ج) محاسبه نمود. در نتیجه شکل خرپا به صورتی زوایای مثلثهای خرپا به مقدار بسیار ناچیزی تغییر می‌کنند و در نتیجه شکل خرپا به صورتی که با خط چین در شکل (۱۲-۲۷) (۱۲-۲۷ب) با مقیاسی خارج از اندازه نشان داده شده است تغییر می‌کند، تغییر زوایای مثلثها را می‌توان به سادگی به کمک روابطی که در پائین بیان می‌شود محاسبه نمود. میله‌های تحتانی خرپا را می‌توان از آن جدا نموده و شکل تغییر مکان پافته آن را به صورت شکل (۱۲-۲۷ج) مور برسی قرار داد. بلا فاصله بعنهظر می‌رسد که نحوه محاسبه شکل تغییر مکان پافته، میله‌های تحتانی شبیه محاسبه منحنی ارجاعی یک‌تیر مستقیم توسط سطح لنگر و یا روش بار ارجاعی می‌باشد. فقط در حالت مربوط به تیر، منحنی خیز

یک منحنی صاف و پیوسته می‌باشد و شیب آن به تدریج تغییر می‌گند در صورتی که منحنی تغییر مکان در این میله‌های تحتانی از چند خط صاف که فقط در گره‌های خربناک تغییر شیب می‌دهند تشکیل شده است. این سری میله‌های مستقیم، سلسله میله‌ها نامیده می‌شوند و به همین دلیل این روش را به این اسم می‌خوانند.



شکل (۲۷-۱۲) اساس روش سلسله میله‌ها

در یک تپیر، تغییر شیب بین دو میان بر انتهای های یک جزء کوچک  $dx$  از منحنی خیز برابر است با  $M/EI dx$  که به نوبه خود برابر با جزء زیرنمودار  $M/EI$  مربوط به جزء می‌باشد در گرهی مثل  $m$  از سلسله میله‌ها تغییر شیب بین میله‌های مجاور یکدیگر برابر است با تغییر زاویه  $\theta_m$  که عبارت از  $\Delta\theta_m$  می‌باشد و بین گره‌ها تغییر شیبی وجود ندارد و بنابراین وقتی از روش سطح لنگر در سلسله میله‌ها استفاده می‌شود نمودار  $M/EI$  را می‌باشی با چند عرض که هر یک از آنها در یکی از گره‌های میانی برابر با  $\Delta\theta$  در آن گره می‌باشد جایگزین نمود، لذا بار ارجاعی که برای سلسله میله‌ها بدکار می‌رود شامل چندین بار متعدد نظریه شکل (۲۷-۱۲ د) می‌گردد. فتنی که در کاربرد سطح لنگر و یا روش بار ارجاعی برای تعیین شیبها و تغییر مکانها در سلسله میله‌ها بدکار برده می‌شود دقیقاً "نظیر حالت تپیرها" می‌باشد. زاویه  $\theta$  را می‌باشی زاویه‌ای در نظر گرفت که طرف پائین‌تر دومیله مجاور یکدیگر تشکیل می‌دهد، مقدار  $\Delta\theta$  هرگاه و افزایش یابد مثبت در نظر گرفته می‌شود (بنابراین نشان دهنده

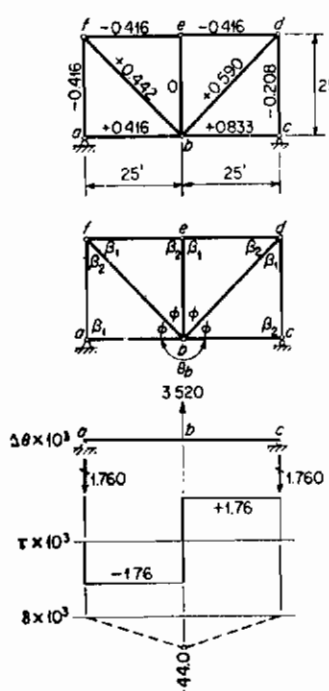




منحنی تغییر مکان می‌باشد که می‌باید نسبت به میله‌های اصلی مربوط به نقاط تکیه‌گاهی این تیر خیالی اندازه‌گیری شوند. به این ترتیب در مثال (۲۳-۱۲) که میله‌های اصلی  $\beta_1$  دوران می‌نمایند تغییر مکان‌های حقیقی را می‌توان با رسم خط تغییر مکان صفر که از نقاط  $e$  و  $d$  می‌گذرد و تصحیح تغییر مکان‌ها با اندازه‌گیری آنها از میله‌های اصلی  $\beta_1$  به طوری که شرح داده شد معین نمود.

مثال ۱۲-۲۳ = با استفاده از روش سلسله میله‌ها مولفه عمودی تغییر مکان گره  $b$  از خرپای شکل (۲۳-۱۲) را معین کنید.

اعدادی که روی نمودار خطی (خرپا) نشان داده شده است عبارتند از  $100 \times e$  کلیه کرنشها را به منظور دستیابی به اعدادی سهل‌المحاسبه‌تر در  $1000$  ضرب کرد هایم. بدین جهت برای این که نتایج نهایی جوابهای حقیقی باشند آنها را می‌بایستی بر  $1000$  تقسیم نمود.



$\chi$	$e_2 - e_1$	$col \beta_1$	$e_3 - e_2$	$col \beta_1$	$\Delta\phi$
$a\bar{b}f$	$-0.416 - 0.416$	0	$-0.416 - 0.442$	1	-0.888
$f\bar{b}r$	$-0.416 - 0.442$	1	$-0.416 - 0$	0	-0.888
$e\bar{b}d$	$-0.416 - 0$	0	$-0.416 - 0.590$	1	-1.006
$d\bar{b}r$	$-0.208 - 0.590$	1	$-0.208 - 0.833$	0	-0.588
$\Sigma \Delta\phi$					-3.580

چون در این حالت  $\Delta\phi$  از نظر مقدار برابر ولی از نظر علامت در خلاف جهت  $\Delta\phi$  در گره  $b$  می‌باشد داریم:

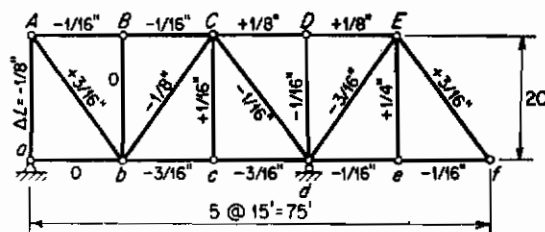
$$\therefore \Delta\theta_b = +3.580$$

و بنابراین بار ارجاعی رو به بالا می‌باشد.

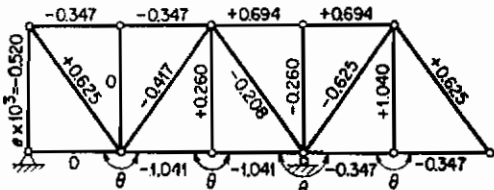
$$1.760 \times 25 = -44.0$$

$$\therefore \delta_b = \frac{0.044 \text{ ft}}{= 0.588 \text{ in.}} \quad (\text{به سمت پائین})$$

مثال ۱۲ - ۲۳ = با استفاده از روش سلسهٔ میله‌ها مولفه‌های عمودی تغییر مکانهای مقاطل تخت پائین را پیدا کنید.



برای راحتی عمل  $\times 10^3$  را در  $10^3$  ضرب کنید و سپس نتایج نهایی را برای به دست آوردن پاسخ‌های حقیقی بر  $10^3$  تقسیم کنید.



$\chi$	$(e_3 - e_1) \times 10^3$ (1)	col $\beta_1$ (2)	$(1) \times$ (2)	$(e_3 - e_1) \times 10^3$ (3)	col $\beta_1$ (4)	$(3) \times$ (4)	$\Delta\phi \times$ $10^3$	$\Delta\theta \times$ $10^3$
$abA$	$-0.580 - 0 = -0.580$	0	0	$-0.580 - 0.625 = -1.145$	1.3	$-1.587$	$-1.587$	
$AbB$	$-0.347 - 0.625 = -0.972$	0.75	$-0.729$	$-0.347 - 0 = -0.347$	0	0	$-0.729$	$+1.301$
$BbC$	$-0.347 - 0 = -0.347$	0	0	$-0.347 + 0.417 = +0.070$	0.75	$+0.058$	$+0.058$	
$CbC$	$+0.860 + 0.417 = +0.677$	1.3	$+0.903$	$+0.860 + 1.041 = +1.901$	0	0	$+0.903$	
$bcC$	$-0.417 + 1.041 = +0.624$	0.75	$+0.468$	$-0.417 - 0.260 = -0.677$	1.3	$-0.903$	$-0.435$	$+0.435$
$CdC$	$-0.208 - 0.260 = -0.468$	1.3	$-0.624$	$-0.208 + 1.041 = +0.833$	0.75	$+0.624$	0	
$cdC$	$+0.260 + 1.041 = +1.301$	0	0	$+0.260 + 0.260 = +0.465$	1.3	$+0.624$	$+0.624$	
$CdD$	$+0.694 + 0.260 = +0.954$	0.75	$+0.676$	$+0.694 + 0.260 = +0.954$	0	0	$+0.676$	$-4.800$
$DdE$	$+0.694 + 0.260 = +0.954$	0	0	$+0.694 + 0.625 = +1.319$	0.75	$+0.989$	$+0.989$	
$Ede$	$+1.040 + 0.625 = +1.665$	1.3	$+2.220$	$+1.040 + 0.347 = +1.387$	0	0	$+2.220$	
$deE$	$-0.694 + 0.347 = -0.273$	0.75	$-0.208$	$-0.625 - 1.040 = -1.665$	1.3	$-2.220$	$-2.220$	$+2.220$
$EfF$	$+0.694 - 1.040 = -0.346$	1.3	$-0.553$	$+0.625 + 0.347 = +0.972$	0.75	$+0.729$	$+0.729$	$+0.176$

با بدکاربردن تیری خیالی بدهانه

$$\Sigma M_f,$$

$$1.301 \times 4 = 5.204$$

$$0.435 \times 3 = +1.305$$

$$-4.509 \times 2 = -9.018$$

$$2.252 \times 1 = +2.252$$

$$\frac{5}{0.521} \quad \frac{0.051}{}$$

$$\Sigma M_a,$$

$$1.301 \times 1 = +1.301$$

$$0.435 \times 2 = +0.870$$

$$-4.509 \times 3 = -13.527$$

$$2.252 \times 4 = +9.008$$

$$\frac{5}{0.470}$$





میله‌ها، بارگذاری مذکور را برابر خواهد بود با تغییر زاویه  $\Delta\theta_m$  با ملاحظه داشتن دخالت‌های کرنش در قطعات مجاور سلسله میله‌ها، در این تغییر زاویه و به این ترتیب اگر بار ارتجاعی تغییر یافته در گره  $m$  با  $m$  نشان داده شود داریم:

$$W_m = \Delta\theta_m - e_L \tan \alpha_L + e_R \tan \alpha_R$$

در این رابطه  $e_L$  و  $e_R$  به ترتیب نشان دهنده کرنش و شبیه اولیه قطعه مجاور سلسله میله واقع در سمت چپ گره  $m$  نسبت بهافق می‌باشد  $\alpha_R$  و  $\alpha_L$  به همان نحو نشان دهنده مقادیر فوق برای قطعه مجاور در سمت راست گره  $m$  می‌باشند  $\Delta\theta_m$  بیان‌کننده تغییر زاویه  $\theta_m$  با شرحی که در بالا داده شد می‌باشد یعنی زاویه‌ای که بین کنارهای تحتانی دو میله مجاور از سلسله میله‌ها تشکیل می‌شود (نمایر  $a_c$ ،  $b_c$ ،  $c_c$  در شکل ۲۵-۱۲(الف) مترجم) برای این که معادلات به طریقی صحیح تنظیم گردد هماهنگی و صحت علاوه اهمیت بسیار دارد.

$\Delta\theta_m$  زمانی مثبت است که نشان دهنده بار ارتجاعی بسته باشد.

$\Delta\theta_m$  زمانی مثبت است که  $e_L$  از دیگر طول پاید.

$\theta_m$  زمانی مثبت است که قطعه از دیگر طول پاید.

$\alpha$  زمانی مثبت است که شبیه اولیه قطعه سمت راست رو به بالا باشد.

مثال ۱۲-۲۴- با استفاده از روش سلسله میله‌ها مولفه‌های عمودی تغییر مکانهای مفاصل تحتانی را محاسبه کنید.

$X$	$(e_3 - e_1) \times 10^3$ (1)	$\cot \beta_1$ (2)	$(I) \times$ (3)	$(e_3 - e_1) \times 10^3$ (5)	$\cot \beta_2$ (4)	$(S) \times$ (6)	$\Delta\phi \times$ $10^3$	$\Delta\theta \times$ $10^3$
$AaB$	-0.848 - 0.490 = -0.888	1.0	-0.835	-0.848 - 0 = -0.848	0	0	-0.888	
$BbC$	-0.848 - 0 = -0.848	0	0	-0.848 + 0.490 = +0.148	1.0	+0.148	+0.148	+0.888
$CcE$	-0.860 + 0.490 = +0.250	1.0	+0.830	-0.860 - 0.890 = -1.250	0.8	-0.417	-0.187	
$bcC$	-0.490 - 0.890 = -1.480	0.500	-0.740	-0.490 + 0.250 = -0.250	1.0	-0.250	-0.070	+0.888
$CcD$	+0.848 + 0.250 = +0.805	1.0	+0.605	+0.848 - 0.890 = -0.745	0.500	-0.373	+0.132	
$cdC$	-0.860 - 0.890 = -1.250	0.5	-0.417	-0.860 - 0.848 = -0.508	1.0	-0.505	-0.922	
$CdD$	-0.868 - 0.848 = -0.940	1.0	-0.840	-0.868 + 0.348 = -0.520	0	0	-0.940	+3.888
$DdE$	-0.898 + 0.348 = -0.547	0	0	-0.898 - 0.736 = -1.434	1.0	-1.431	-1.431	

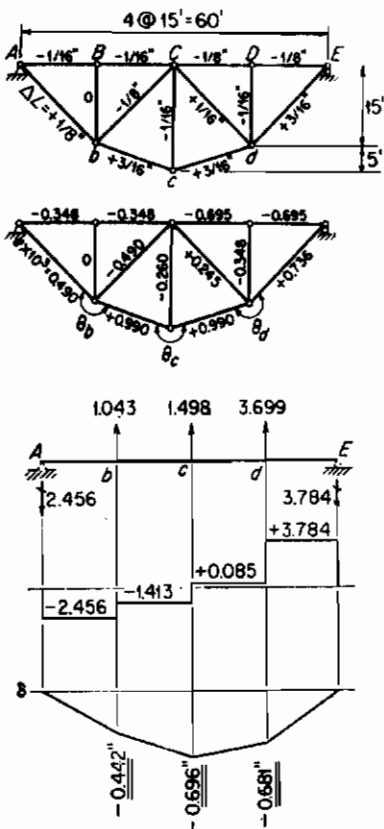
$$W_m = \Delta\theta_m - e_L \tan \alpha_L + e_R \tan \alpha_R.$$

$$W_b \times 10^3 = +0.888 - (0.490)(-1.0) + (0.990)(-0.5) = +1.048$$

$$W_c \times 10^3 = +0.888 - (0.990)(-0.5) + (0.990)(0.5) = +1.498$$

$$W_d \times 10^3 = +3.298 - (0.990)(0.5) + (0.736)(1.0) = +3.699$$

به تعیین عکس‌العملهای تیر خیالی  $AE$  می‌پردازیم.



$$\begin{aligned}\Sigma M_E, & \\ 1.043 \times 3 &= 3.129 \\ 1.498 \times 2 &= 2.996 \\ 3.699 \times 1 &= 3.699 \\ 4) 9.824 & \\ 8.240 \uparrow & \quad 2.456 \downarrow\end{aligned}$$

$$\begin{aligned}\Sigma M_A, & \\ 1.043 \times 1 &= 1.043 \\ 1.498 \times 2 &= 2.996 \\ 3.699 \times 3 &= 11.097 \\ 4) 15.136 & \\ 3.784 \downarrow &\end{aligned}$$

$$\begin{aligned}0 &= \delta_A \times 10^3 \\ -2.456 - 2.456 \times 15 &= -36.84 \\ -36.84 &= \delta_b \times 10^3 \\ +1.043 & \\ -1.413 - 1.413 \times 15 &= -21.20 \\ -21.20 &= \delta_c \times 10^3 \\ +1.498 & \\ +0.086 + 0.086 \times 15 &= +1.28 \\ +1.28 &= \delta_d \times 10^3 \\ +3.699 & \\ +3.784 + 3.784 \times 15 &= +58.76 \\ +58.76 &= \delta_e \times 10^3 \\ -3.784 & \\ 0 &= \delta_E \times 10^3\end{aligned}$$

مثال (۲۴-۱۲) کاربرد این روش را در مورد سلسله میله‌ای که دارای وضعیت اولیه مستقیم الخطی نمی‌باشد شرح می‌دهد. تذکر این مطلب مهم است که در چنین حالاتی برش حاصل از بار ارجاعی در تیر خیالی دارای تغییر خاصی نمی‌باشد، بدینهی است در مورد حالاتی که سلسله میله‌ها دارای شکل اولیه مستقیم الخط نمی‌باشند، برش نشان دهنده شبیه قطعات در سلسله میله‌های تغییر مکان یافته می‌باشد. هرگاه سلسله میله‌ها در حالت کلی شکل چندضلعی داشته باشد بار ارجاعی توسط معادله (۱۲-۱۲) بیان می‌گردد. این رابطه به این طریق محاسبه شد که لنگر خمشی تیر خیالی سبب تغییر مکان سلسله میله‌ها می‌شود لیکن تغییری برای برش حاصل از این بار ارجاعی نشود. صحت این مطالب را می‌توان بتوسط محاسبات انجام شده در مثال (۲۴-۱۲) بررسی نمود. در این حالت چون میله  $Bb$  تغییر طول نمی‌دهد. تغییر مکان عمودی گرههای  $B$  و  $b$  بسان خواهد بود. دوران میله  $AB$  در جهت ساعتگرد

برابر با  $0.002456$  رادیان می‌باشد زاویه  $8.16^\circ$  به اندازه  $0.0004966$  رادیان کم می‌شود ، بنابراین میله  $16^\circ$  در جهت ساعتگرد به اندازه  $0.001966$  رادیان دوران خواهد کرد و دیده می‌شود که این مقدار برابر با برش که مساوی  $0.002456^\circ$  می‌باشد نیست . به همین ترتیب معلوم می‌شود که هیچ یک از سایر دورانهای قطعات سلسله، میله‌ها نیز برابر با برشهای نظری خود نیستند . بدینهی است با معلوم بودن دوران میله  $16^\circ$  دوران سایر میله‌های سلسله را می‌توان با دنبال کردن گره به گره سلسله میله‌ها و با استفاده از مقادیر  $55^\circ$  که قبلاً معلوم شده است محاسبه نمود . بعاین منوال دوران میله  $6^\circ$  برابر با  $0.001083$  رادیان و در جهت عقربه‌های ساعت و دوران  $6^\circ$  برابر با  $0.000245$  رادیان درجهت عقربه‌های ساعت و بالاخره  $6^\circ$  برابر با  $0.003048$  رادیان در جهت عکس عقربه‌های ساعت محاسبه می‌گردد .

روش سلسله میله‌ها را می‌توان به همین منوال به سادگی بر هر خرپای ساده‌ای اعمال نمود . سلسله میله‌های موردنظر را به طوری انتخاب می‌کنیم که گرههایی را که تغییر مکان عمودی آنها مورد محاسبه باشد به یکدیگر وصل کند بار ارجاعی هر سلسله میله‌ای را که دین طریق تعیین شده باشد می‌توان از معادله  $(12-12)$  محاسبه نمود . در حالات خاصی که سلسله میله‌ها دارای وضعیت اولیه مستقیم و افقی می‌باشد (همان طوری که در مثالهای  $(12-22)$  و  $(12-23)$  شرح داده شد) برای کلیه میله‌ها « صفر بوده و  $12^\circ$  برابر با  $55^\circ$  می‌گردد . باستی ذکر نمود که معادله  $(12-12)$  را نمی‌توان در مورد سلسله میله‌ای که دارای قطعه‌ای عمودی باشد به کار برد زیرا در آن صورت  $\tan \alpha = 90^\circ$  و  $\alpha = 90^\circ$  می‌گردد ، در هر صورت قراردادن چنان قطعه‌ای در سلسله میله‌ها هرگز لازم نمی‌گردد زیرا اختلاف بین تغییر مکان عمودی دو انتهای چنان قطعه‌ای عمودی برابر با تغییر طول آن قطعه می‌باشد .

این روش را در مورد خرپاهای مرکب نظری  $12-26$  در شکل  $(12-26)$  نشان داده شده است نیز می‌توان اعمال کرد ولی در چنین حالاتی لازم است میله‌های خیالی بین گرههایی و غیره در نظر گرفت تا بتوان خرپارا به مثلثهایی تبدیل نمود و تغییرات زوایا را محاسبه کرد . تغییر طول هر یک از این میله‌ها را می‌توان با محاسبه تغییر مکان نسبی گرههای واقع در انتهای میله مورب نظر با استفاده از روش کار مجازی محاسبه نمود . این روش را می‌توان همچنین بر قوسهای سه‌مفصلی نظری  $(12-21)$  نیز اعمال کرد . در این مورد نیز لازم است قبل از این که تغییرات زوایا مورد محاسبه قرار گیرد میله‌ای خیالی بین  $C$  و  $D$  در نظر گرفت ، تغییر طول این میله خیالی برابر با تغییر مکان نسبی گرههای  $C$  و  $D$  می‌باشد که به همان صورت مذکور می‌توان آن را به کمک روش کار مجازی محاسبه نمود .

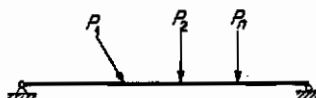
## ۱۲-۱۵ قضیه دوم کاستیگلیانو

در سال ۱۸۷۹ کاستیگلیانو نتایج تحقیقات پرکار خود را که مربوط به سازه‌های نامعین بود منتشر کرد، او از دو قضیه که بنام خود او نامیده‌می‌شوند استفاده کرده بود. قضیه دوم کاستیگلیانو را می‌توان به صورت زیر بیان کرد.

در هر سازه‌ای که از مصالح ارتقایی ساخته شده و از قانون هوک تبعیت کند به شرطی که درجه حرارت ثابت بوده و این سازه دارای تکیه‌گاه‌های ثابت و غیرقابل تغییر شکلی باشد مشتق نسبی درجه اول انرژی تغییر شکل آن سازه نسبت به هر نیرویی برابر خواهد بود با تغییر مکان نقطه اثر آن نیرو در جهت خط اثر آن (نیرو).

در این عبارت کلمات نیرو و تغییر مکان را می‌شود به ترتیب به معانی زوج و دوران زاویه‌ای نیز توجیه نمود. علاوه بر آن باید طی تغییر شکل سازه، شکل هندسی آن تغییر محسوسی ننماید بنابراین کاربرد این قضیه محدود به حالاتی است که جمع تغییر مکانها منطقی و ممکن باشد.

برای استخراج این قضیه، سازه‌ای بنظیر تیر شکل (۳۰-۱۲) را که شرایط فوق الذکر را حائز می‌باشد در نظر گیرید، فرض کنید که به صورت تدریجی توسط بارهای  $P_1, P_2, \dots, P_n$  بارگذاری شده باشد در این صورت کار خارجی انجام شده توسط این نیروها (که آن را با  $W_T$  نشان می‌دهیم) تابعی از این نیروها خواهد بود. برطبق اصل بقای انرژی می‌دانیم که در



شکل (۳۰-۱۲) استخراج قضیه دوم کاستیگلیانو

هر سازه ارتقایی که تحت اثر دستگاه باری به صورت تعادل درآمده باشد کار داخلی با انرژی تغییر شکل ذخیره شده در سازه برابر است با کار خارجی که در طی اثر تدریجی بارهای موقت بر سازه انجام می‌گیرد اگر کار داخلی و یا به عبارت دیگر انرژی تغییر شکل را با  $W_I$  نشان دهیم، می‌توان رابطه زیر را نوشت:

$$W_I = W_T = f(P_1, P_2, \dots, P_n) \quad (\text{الف})$$

حال فرض کنید نیروی  $P_i$  به اندازه کوچک  $dP_i$  افزایش مقدار پیدا کند، در این صورت کار

داخلی افزایش پافته و مقدار جدید آن خواهد شد.

$$(b) \quad W'_I = W_I + \frac{\partial W_I}{\partial P_n} dP_n$$

مقدار کل انرژی داخلی مستقل از ترتیب اثر نیروهast و فقط بستگی به مقدار نهایی نیروها دارد و علاوه بر این اگر مصالح سازه از قانون هوك تعیت کند، تغییر شکلها و تغییر مکانهای حاصل از بارهای  $P_1, P_2, \dots, P_n$  و بنابراین کار انجام شده توسط آن نیروها مقدار ثابتی می‌باشد و ربطی بین مطلب ندارد که سازه قبلاً تحت اثر بارهای دیگری بوده باشد پا نه البته این نازگی ندارد که تنش کلی حاصل از کلیه نیروها در حد ارجاعی باقی بماند، بنابراین اگر نیروی بی‌نهایت کوچک  $dP_n$  ابتدا وارد شود و نیروهای  $P_1, P_2, \dots, P_n$  بعداز آن اثر نمایند مقدار نهایی کار داخلی بازهم به همان مقدار بیان شده توسط معادله (b) خواهد بود.

اگر بار  $dP_n$  در وله اول اثر کند سبب تغییر مکان بی‌نهایت کوچکی برابرا  $d\delta_n$  خواهد نمود که کار خارجی حاصل در طی اثر  $dP_n$  بی‌نهایت کوچک درجه دوم بوده و می‌توان از آن صرف نظر نمود. حال اگر نیروهای  $P_1, P_2, \dots, P_n$  اثر کند کار خارجی انجام گرفته توسط این نیروها به دلیل این که  $dP_n$  وجود داشته تغییر خواهد کرد لذا مقدار آن کار برابر با مقدار  $W_g$  بر طبق معادله (الف) خواهد بود. ولی در طی اثرا این نیروها نقطه اشاره  $P_n$  به مقداری برابر با  $\delta_n$  در راستای خط اثرا این نیرو تغییر مکان خواهد داد و بنابراین  $dP_n$  در طی این تغییر مکان کاری خارجی برابر با  $(dP_n)(\delta_n)$  انجام خواهد داد. اگر کل مقدار کار خارجی انجام شده توسط کل دستگاه در طی این بارگذاری را با  $W'_E$  نشان دهیم خواهیم داشت:

$$(c) \quad W'_E = W_E + dP_n \delta_n$$

و چون بر طبق اصل هقای انرژی  $W'_g$  برابر با  $W'_I$  می‌باشد لذا

$$(d) \quad W_E + dP_n \delta_n = W_I + \frac{\partial W_I}{\partial P_n} dP_n$$

و از آنجا که  $W_g$  برابر با  $W_I$  می‌باشد، معادله (d) به صورت زیر خلاصه می‌گردد:

$$(12-13) \quad \frac{\partial W_I}{\partial P_n} = \delta_n$$

این رابطه بیان ریاضی قضییه دوم کاستیگلیانو می‌باشد.

برای استفاده از قضییه دوم کاستیگلیانو ابتدا لازم است که عباراتی برای انرژی تغییر شکل ذخیره شده و یا برای کار داخلی انجام شده توسط تنشهای موجود در یک قطعه بدست

و زیرا ابتدا انرژی تغییرشکل ذخیره شده در میله‌ای را که تحت اثر نیروی محوری  $F$  می‌باشد به صورتی که این نیرو به صورت تدریجی از صفر به مقدار نهایی خود افزایش پابد در نظر می‌گیریم، حال از چنین میله‌ای یک جزء کوچک که مانند شکل (۳۱-۱۲) محدود بهدو مقاطع می‌باشد جدا می‌کنیم. فرض کنید که برای این جزء نیروی  $F_t$  که دارای مقداری بین صفر و مقدار نهایی نیروی  $F$  می‌باشد اثر کند و فرض کنید که این نیرو افزایشی برایها،  $dF_t$  گردد در این صورت داریم:

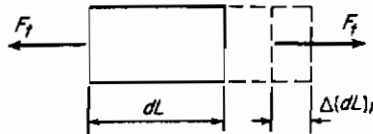
$$\Delta(dL)_t = dF_t \frac{dL}{AE} \quad (\text{ه})$$

با حذف مقادیر بین نهایت کوچک از درجه دوم، کار داخلی انجام شده در اثر  $dF_t$  برابر واحد شد با  $[F_t \Delta(dL)_t]$  و بنابراین کل کار داخلی  $dW_t$  انجام شده در طی افزایش نیروی  $F$  از صفر الی مقدار نهایی خود در این جزء خواهد شد:

$$dW_t = \int_0^F F_t \Delta(dL)_t = \int_0^F F_t \frac{dL}{AE} dF_t = \frac{F^2}{2AE} dL \quad (\text{و})$$

برای کل قطعه، مقدار کار داخلی برابر خواهد بود با مجموع جملات  $dW$  برای کلیه اجزاء  $dL$  بنابراین:

$$W_t = \int_0^L \frac{F^2}{2AE} dL = \frac{F^2 L}{2AE} \quad (\text{ز})$$



شکل (۳۱-۱۲) انرژی تغییرشکل ذخیره شده توسط نیروی محوری

برای کلیه قطعات سازه، کار داخلی برابر خواهد شد با مجموع چنین جملات برای هر یک میله‌ای سازه و یا:

$$W_t = \sum \frac{F^2 L}{2AE} \quad (۱۴-۱۲)$$

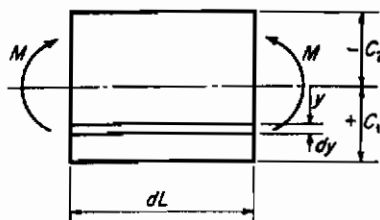
حال می‌توان از این معادله برای تعیین عبارت انرژی تغییرشکل ذخیره شده در یک نیرو توسط تنشهای حاصل از لنگر خمشی  $M$  استفاده نمود، یک جزء کوچک به طول  $dL$  از تیری را مطابق شکل (۳۲-۱۲) در نظر بگیرید این جزء از تیر را می‌توان دسته‌ای از تارهای کوچکی

که هریک دارای طولی برابر  $dL$  و ارتفاعی برابر  $dy$  و عرضی عمود بر صفحه کاعذ و برابر با  $b$  می‌باشد فرض کرد. نیروی محوری در هریک از چنین تاری خواهد شد:

$$F = \sigma b dy = \frac{My}{I} b dy \quad (ج)$$

کل انرژی تغییرشکل ذخیره شده در چنان تارهایی از تیر را می‌توان با استفاده از معادله (۱۴-۱۲) معنی با جمع نمودن انرژی حاصل از کلیه تارهای جزء به طول  $dL$  بدست آورد و سپس جمع کلیه این مقادیر را برای کل اجزاء در طول تیر بدست آورد. در این صورت داریم:

$$W_I = \int_0^L \int_{-C_1}^{C_1} \left( \frac{My}{I} b dy \right)^2 \frac{dL}{2(b dy) E} = \int_0^L \frac{M^2}{2EI} \int_{-C_1}^{C_1} \frac{y^2 b dy}{I} dL = \int_0^L \frac{M^2}{2EI} dL \quad (ط)$$



شکل (۳۲-۱۲) انرژی تغییرشکل ذخیره شده توسط لنگر خمشی

زیرا  $I = \int_{-C_1}^{C_1} y^2 b dy$  می‌باشد. بنابراین برای کلیه قطعات خمشی سازه خواهیم داشت:

$$(15-12) \quad W_I = \sum \int \frac{M^2}{2EI} dL \quad (\text{انرژی تغییرشکل ذخیره شده توسط لنگر خمشی})$$

چنانکه قبل "نیز در بخش (۱۴-۵) ذکر شد، معمولاً" می‌توان از انرژی تغییرشکل ذخیره شده توسط تنشهای برشی در تیرها صرف نظر نمود.

## ۱۶ - قضیه اول گاستیگلیانو

برای این که مبحث مربوط به قضایای کاستیگلیانو کامل شود، قضیه اول او نیز در اینجا ذکر می‌شود. اگرچه این قضیه بیشتر از آن که روشی برای محاسبه تغییر مکانها باشد روشی برای ذکر شرایط تعادل و برای تحلیل سازه‌های نامعین می‌باشد. قضیه اول کاستیگلیانو

را می‌توان به صورت زیر بیان کرد.\*

در هر سازه‌ای که از مصالح ارتجاعی خطی و یا غیرخطی تشکیل شده باشد و در آن درجه حرارت ثابت بوده و تکیگاههای آن غیرقابل تغییرشکل باشند، مشتق اول انرژی تغییرشکل نسبت به هر مولفه تغییرشکل برابر است با نیروی مؤثر در آن نقطه و در راستای تغییر به همان مولفه تغییر مکان.

این قضیه را می‌توان به همان نحوی که قضیه دوم استخراج گردید معین نمود. فرض کنید سازه‌ای تحت اثر نیروهای  $P_1, P_2, \dots, P_n$  در تعادل باشد، این نیروها مقداری کار خارجی برابر با  $W$  و به همان مقدار انرژی تغییرشکل برابر  $W'$  در سازه انجام می‌دهند و هم‌چنین هر نقطه اثر این نیروها تغییر مکانی برابر با  $\delta_1, \delta_2, \dots, \delta_n$  اعمال می‌کنند اگر با تغییر بی‌نهایت کوچک نیروها تغییر مکان  $\delta$  به اندازه کوچکی برابر با  $d\delta$  تغییر نماید ولی سایر تغییر مکانهای  $\delta_1, \delta_2, \dots, \delta_n$  ثابت نگهداشته شوند مقدار انرژی تغییرشکل ذخیره شده در دستگاه به مقدار  $W'$  تغییر خواهد نمود، بدین صورت که:

$$W'_1 = W_1 + \frac{\partial W_1}{\partial \delta_n} d\delta_n \quad (\text{الف})$$

از کار خارجی درجه دومی که توسط نیروی کوچک  $dP$  انجام می‌گیرد صرف نظر شود، با در نظر گرفتن تغییر مکان اضافی  $d\delta$  کار خارجی انجام شده در سازه به مقدار  $W'$  افزایش خواهد یافت، در این صورت داریم:

$$W'_2 = W_2 + P_2 d\delta_n \quad (\text{ب})$$

چون  $W'_1$  و  $W'_2$  می‌باشند با یکدیگر برابر باشند با مساوی قراردادن طرفین راست معادله (الف) و (ب) خواهیم داشت

$$\frac{\partial W_1}{\partial \delta_n} = P_2 \quad (\text{ج})$$

\* به کتاب کاستیکلیانو با عنوان: "Theorem de l'équilibre des systèmes élastiques et ses applications"

و با به کتاب ماتسون Matheson با عنوان زیر مراجعه شود:

"Hyperstatic Structures"

متاسفانه در نام‌گذاری قضایای کاستیکلیانو ابهام زیادی وجود دارد. خود کاستیکلیانو قضایای خود را به صورت "قسمت اول و قسمت دوم قضیه دیفرانسیلی کار داخلی" می‌نامد. در این کتاب قسمت اول و قسمت دوم را به ترتیب قضیه اول کاستیکلیانو و قضیه دوم کاستیکلیانو نامیده‌ایم.

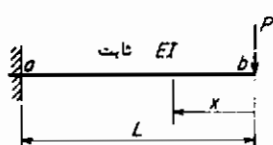
این عبارت بیان ریاضی قضیه اول کاستیکلیانو می‌باشد.  
 از نحوه کاربرد قضیه‌اول کاستیکلیانو در اینجا بحث نخواهد شد. خواننده‌می‌توارد به کتابی که توسط هاتسون که بدان اشاره شد و یا به مقاله آرجریس (Arggris) مراجعه نماید. به منظور استفاده از این قضیه واضح است که عبارت دیگری برای انرژی تغییر شکل می‌باشند استخراج گردد این عبارات باید بیان کنند: انرژی تغییر شکل بر حسب تغییر مکان‌های  $\delta_1, \delta_2, \dots, \delta_n$  باشند.

### ۱۲-۱۲ محاسبه تغییر مکان‌ها با استفاده از قضیه دوم کاستیکلیانو

قضیه دوم کاستیکلیانو اصولاً در تحلیل سازه‌های نامعین به کار برده می‌شود ولی گاهی نیز در حل مسائل مربوط به تغییر مکان‌ها نیز از آن استفاده می‌کنند. فن استفاده از این روش در مسائل تغییر مکانها اساساً به عنوان نحو استفاده از روش کار مجازی است. در مسائل عددی زیر خواهیم دید که چگونه محاسبات عددی هردوی این روشها تقریباً یکی است.

در مثال (۱۲-۲۵) شرح می‌دهیم که چگونه این روش را در محاسبه تعیین تغییر مکان نقطه اثر نیرویی به کار ببریم. اگر این نیرو دارای مقدار عددی باشد به طور موقت می‌توان آن را با متغیری جایگزین نمود و پس از آن که مشتق نسبی مربوط به عبارت خمی گرفته شد می‌توان متغیر را با مقدار عددی آن جایگزین کرد.

مثال ۱۲-۲۵ = تغییر مکان عمودی نقطه  $a$  را تحت اثر بار نشان داده شده محاسبه کند.



$$W_I = \sum_i \int \frac{M^2 dx}{2EI}$$

$$\frac{\partial W_I}{\partial P} = \delta_a^I = \sum_i \int M \frac{\partial M}{\partial P} \frac{dx}{EI}$$

$a :$

$$0 < x < L \quad M = -Px \quad \frac{\partial M}{\partial P} = -x$$

$$\delta_a^I = \int_0^L (-Px)(-x) \frac{dx}{EI} = \left| \frac{Px^3}{3EI} \right|_0^L$$

$$\delta_b = \frac{PL^3}{3EI}$$

بنابراین:

پس داریم:

گاهی لازم است که تغییر مکان نقطه‌ای را که بر آن نیرویی اثر نمی‌کند تعیین کنیم، در یک چنین حالتی می‌توانیم به طور موقت نیرو (یا لینگری) خیالی در جهت مولفه تغییر

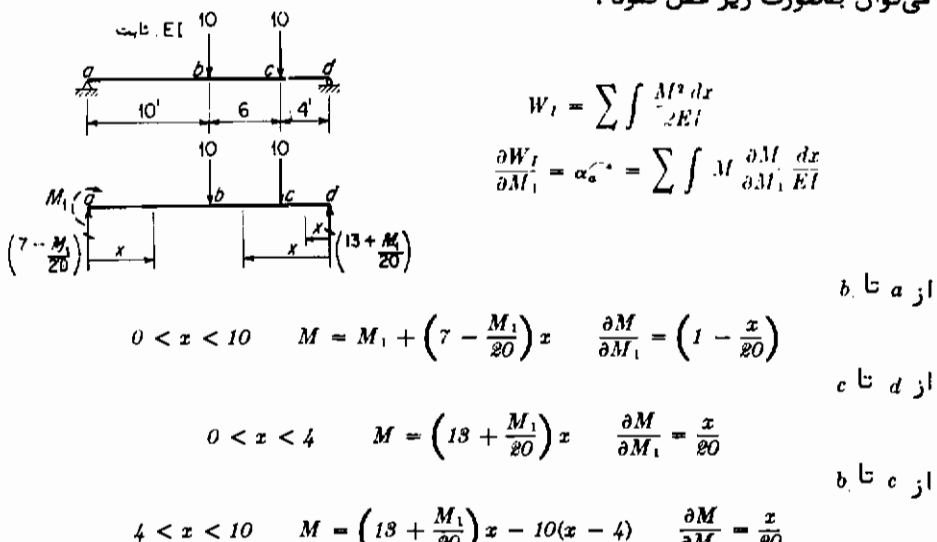
مکان مورد نظر به نقطه، مفروض اثر دهیم و پس از آن که به مشتق‌گیری نسبی از انرژی تفییر شکل پرداختیم، مقدار نیرو را برابر با صفر قرار دهیم و به محاسبات عددی خود ادامه دهیم. بدین ترتیب تفییر مکان مورد نظر تحت اثر بارگذاری موجود به دست خواهد آمد. در مثال (۲۶-۱۲) بشرح این روش پرداخته‌ایم.

بدین ترتیب با اضافه نمودن بارهای خیالی مطلوب امکان محاسبه هرمولفه‌ی دلخواهی از تفییر مکان ممکن می‌گردد. در چنین حالاتی فن انتخاب بارهای مناسب خیالی به همان صورت انتخاب دستگاه نیروهای  $Q$  در روش کارهای مجازی است، مثال (۲۶-۱۲) این نکته را شرح می‌دهد و همچنین تشابه نزدیک قضییه دوم کاستیگلیانو را با روش کار مجازی در حل مسائل آشکار می‌سازد.

با استی خاطرنشان نمود که قضییه دوم کاستیگلیانو را می‌توان به هر نوع از سازه‌ها اعم از تیر، خرپا و یا قاب اعمال کرد به شرطی که علکرد مصالح آنها به طور خطی در محدوده ارجاعی انجام گیرد. کاربرد این روش به طور موکد در حالاتی ممکن است که تفییر مکان حاصل از اثر بارگذاریها باشد، کاربرد این قضییه در حالاتی که محاسبات تفییر مکان مربوط به اعشار درجه حرارت و یا اثر حاصل از نشست تکیه‌گاهی می‌گردد ممکن نمی‌باشد.

### مثال ۱۲ - ۲۶ = تفییر شبیه مقطع $a$ را تحت اثر بارهای نشان داده شده محاسبه کنید.

فرض کنید به طور موقت لنگر  $M_1$  در  $a$  اثر گند، با فرض آن به صورت جزئی از بارگذاری، می‌توان به صورت زیر عمل نمود:



$$\frac{\partial W}{\partial M_1} = EI \alpha_a^{\curvearrowleft} = \int_0^{10} \left[ M_1 + \left( 7 - \frac{M_1}{20} \right) x \right] \left( 1 - \frac{x}{20} \right) dx \\ + \int_0^4 \left[ \left( 13 + \frac{M_1}{20} \right) x \right] \left( \frac{x}{20} \right) dx + \int_4^{10} \left[ \left( 13 + \frac{M_1}{20} \right) x - 10(x-4) \right] \left( \frac{x}{20} \right) dx$$

حال در این معادله می‌باشد  $M_1 = 0$  قرار داد . زیرا آن یک بار خیالی است ، در این صورت داریم :

$$EI \alpha_a^{\curvearrowleft} = \int_0^{10} (7x) \left( 1 - \frac{x}{20} \right) dx + \int_0^4 (13x) \left( \frac{x}{20} \right) dx + \int_4^{10} (3x+40) \left( \frac{x}{20} \right) dx \\ = \left[ \frac{7x^2}{2} - \frac{7x^3}{60} \right]_0^{10} + \left[ \frac{13x^2}{60} \right]_0^4 + \left[ \frac{3x^2}{60} + x^2 \right]_4^{10} = \left( 350 - \frac{700}{6} \right) + \left( \frac{208}{15} \right) \\ + \left[ \left( \frac{1,000 - 64}{60} \right) + (100 - 16) \right] \\ \alpha_a = \frac{378}{EI}$$

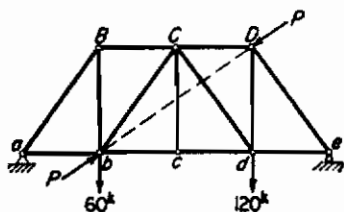
و با این که :

$$I = 200 \text{ in.}^4 \quad E = 30 \times 10^6 \text{ lb/in.}^2$$

$$\alpha_a = \frac{(378)^{1/2}}{(30 \times 10^6 \times 144)^{1/2} (200/144)^{1/4}} = 0.00007$$

مثال ۱۲-۲۷ = قسمت (الف) مثال ۱۲-۴ را با استفاده از قضیه دوم کاستیگلیانو حل کند .

برای این که به محاسبه تغییر مکان نسبی گرههای  $B$  و  $D$  بپردازیم بمناسبتگاه بارگذاری موجود بارهای  $m$  را به صورت نشان داده شده اضافه کنید .



$$W_1 = \sum \frac{F^2 L}{2AE}$$

$$\frac{\partial W_1}{\partial P} = \delta_{B-D} = \sum \frac{FL}{AE} \frac{\partial F}{\partial P}$$

با استفاده از محاسباتی که در مثال (۱۲-۴) برای بارهای  $60$  و  $120\text{-kip}$  انجام گرفته و توجه به این مطلب که نیروها حاصل از بارهای  $m$  ،  $m$  برابر نیروهای حاصل از بارهای واحد در آن سلسه می‌باشد ، می‌توان به صورت زیر عمل کرد .

قبل از تعیین حاصل ضربهای مذکور در آخرین ستون می‌باشد  $m$  را برابر صفر قرار داد تا این که فقط قسمت ثابت  $m$  در این حاصل ضرب وارد شود . بدین ترتیب داریم

$$\delta_{B-D} = \frac{+56}{E} = \frac{(56)^{1/2/4}}{(30 \times 10^6)^{1/2/4}} = +0.00188 \text{ ft}$$

میله	$L$	$A$	$\frac{A}{L}$	$F$	$\frac{\partial F}{\partial P}$	$P \frac{L}{A} \frac{\partial F}{\partial P}$
T حاد	'	"	''''	$k$	$k/k$	$k'''''$
bc	15	5	3	+ 67.5 - 0.416P	-0.416	- 84.5
cd	15	5	3	+ 67.5 - 0.416P	-0.416	- 84.5
CD	15	5	3	- 78.75 - 0.831P	-0.831	+197.0
bC	25	2.5	10	- 18.7 - 0.695P	-0.695	+130
Cd	25	2.5	10	+ 18.7 + 0.695P	+0.695	+130
dD	20	5	4	+105 - 0.555P	-0.555	-233
$\Sigma$						+ 65.0

دقت کنید که کلیه میله‌هایی که در آنها نیروی حاصل از بارهای خیالی  $P$  و یا بارهای موثر نشان داده شده صفر است در تعیین حاصل ضربهای مذکور درستون آخرون ظرفیتی ندارند بنابراین بعد از آنها در جدول نیازی نیست.

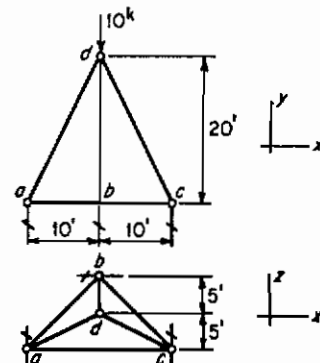
### ۱۲-۱۸ تغییر مکان شبکه‌های فضایی

تغییر مکانهای گرههای یک شبکه فضایی را می‌توان بدون اشکال به توسط یکی از روش‌های کار مجازی یا قضیه دوم کاستیگلیانو محاسبه نمود. همان طوری که در مثال (۲۸-۱۲) دیده می‌شود از عباراتی که به منظور استفاده در خرپاهای مستوی برای بیان این روش ارائه شد می‌توان در شبکه‌های فضایی (که آنها نیز "خرپاهای" سبعده می‌باشند) استفاده نمود.

مثال ۲۸-۱۲ = مولفه ۲ تغییر مکان گره  $d$  را تحت بارگذاری نشان داده شده محاسبه نمایند، سطح مقطع کلیه قطعات، اینچ مریع می‌باشد.

$$E = 30 \times 10^3 \text{ kips/in}$$

میله	تصویر			$L$
	$x$	$y$	$z$	
ab	10	0	10	14.14
bc	10	0	10	14.14
ac	20	0	0	20
ad	10	20	5	22.91
bd	0	20	5	20.68
cd	10	20	5	22.91



## با استفاده از روش کار مجازی

$$\sum Q\delta = \sum F_Q \Delta L = \sum F_Q F_P \frac{L}{AE}$$

$$(I^k)(\delta_{ds}) = \frac{L}{AE} \sum F_Q F_P L$$

میله	مولدها			$F_Q$		مولدها			$F_P$	
	X	Y	Z			X	Y	Z		
ab	+0.88	0	+0.88	+0.884		ab	+0.888	0	+0.888	+0.884
bc	+0.88	0	+0.88	+0.884		bc	+0.888	0	+0.888	+0.884
ac	-0.76	0	0	-0.76		ac	+0.888	0	0	+0.888
ad	+0.8	+1	+0.88	+1.145		ad	-1.88	-8.8	-0.888	-8.888
bd	0	-2	-0.8	-2.088		bd	0	-8	-1.88	-8.154
cd	+0.8	+1	+0.88	+1.145		cd	-1.88	-8.8	-0.888	-8.888

میله	$L$	$F_Q$	$F_P$	$F_Q F_P L$
آزاد	'	$k$	$k$	$k^2$
ab	14.14	+0.884	+0.884	+ 4.4
bc	14.14	+0.884	+0.884	+ 4.4
ac	20	-0.76	+0.625	- 9.4
ad	22.91	+1.145	-2.883	+ 75.0
bd	20.82	-2.088	-5.154	+219.4
cd	22.91	+1.145	-2.883	- 75.0
$\Sigma$				+ 68.8

بنابراین

$$(I^k)(\delta_{ds}) = \frac{+68.8^4}{(8''^4)(30 \times 10^{12} \text{ ft}^2)}$$

$$\delta_{ds} = \underline{\underline{+0.00115 \text{ ft}}}$$

## ۱۲-۱۹ سایر مسائل تغییر مکان

کلیه مثالهای این فصل مختص به شرح تغییر مکانهای سازه‌های معین بوده است، البته کلیه روش‌هایی که در اینجا معرفی شدند در هر دو نوع سازه‌های معین و نامعین قابل استفاده می‌باشد، واضح است که تحلیل تنش در پیکساره "نامعین قبل از آن که تغییر شکل‌های قطعات آن معلوم شود می‌بایستی بعمل آید و پس از آن که چنین تحلیلی به عمل آمد محاسبات تغییر مکان آن سازه اساساً به همان طریقی خواهد بود که گویی سازه‌ای معین می‌باشد، مثالهای متعددی برای شرح چنین محاسباتی در بند (۲۲-۱۳) شده است.

در این فصل بحث تغییر مکانهای تیرها محدود به حالاتی بوده است که در آن محور خنثای تیر مستقیم الخط بوده و مقاطع آن دارای محورهای تقارنی در همان سطح بارگذاری بوده است و علاوه بر این بحثی در مورد مقدار دخالت تغییر مکان ناشی از برش نگردیده

است کلیه حالاتی از این قبیل در حد بحث این کتاب نمی‌باشد و می‌بایستی در بحثهای پیشرفت‌تری که مربوط به این حالات می‌شود ذکر گرددند. با وجود این بایستی خاطر نشان کرد که هریک از روش‌های کارمجازی و یا قصیه دوم کاستیکلیانورا می‌توان برای رفع این شکل در این حالات بسط داد. هم‌چنین از این روش‌ها می‌توان برای بررسی قطعاتی که تحت پیچش می‌باشند نیز استفاده نمود.

#### ۱۶ - ۲۵ گوزدادن سازه‌ها

منظور از گوزدادن سازه این است که شکلی بدون تنش قطعات سازه را به نحوی انتخاب کنیم که تحت شرایط معلومی از بارگذاری سازه شکل نظری خود را باز باید. این عمل به دو منظور زیر انجام می‌گیرد: (۱) شکل ظاهری سازه تحت بار را بهتر می‌کند (۲) اطمینان لازم جهت این که سازه تحت بارهای شکل نظری مورد استفاده در تحلیل تنش را دارد حاصل می‌گردد.

برای شرح این عمل، مساله گوزدادن یک خرپا را مورد نظر بگیرید، در این حالت اعضای خرپا به نحوی ساخته می‌شوند که طولتر و یا کوتاه‌تر از طولهای نظری خود باشند و چون تنش حداتکثر در قطعات تحت موقعیتهای مختلف بار زنده حاصل می‌شود نمی‌توان به خرپا چنان کوزی داد که قطعات طول نظری خود را در صورت رسیدن به تنش حداتکثر بپیدا کنند. چنانکه علاوه "نیز لازم است معمولاً" به خرپاها به صورتی کوز می‌دهند که شکل نظری خود را تحت اثر بار مرده و یا بار مرده به اضافه قسمی از کل بار زنده در کل دهانه سازه بپیدا کنند.

برای این که کوز خرپا را به طور دقیق ایجاد کنیم، تغییر طول هر ک از اعضای آن را تحت تنش حاصل از بار لازم برای محاسبه کوز معین می‌کنیم و سپس قطعات فشاری را به مقدار لازم طولتر و قطعات کشی را به مقدار لازم کوتاه‌تر می‌سازیم، در این صورت پس از نصب، خرپا اگر تحت اثر بار لازم برای کوز قرار گیرد خرپا تغییر مکان یافته و شکل نظری خود را بپیدا می‌کند. مزیت چنین روش دقیق این است که کلیه خرپاها که بدین طریق کوز داده می‌شود بدون تنش اولیه نصب می‌گردند و نامطلوب بودن آن در این است که کلیه قطعات شامل تغییر طول می‌گردند و لذا گاهی تغییر طولها آنچنان کوچک است که امکان انجام آن وجود ندارد.

روش علی در گوزدادن خرپاها این است که فقط طولهای قطعات اصلی آن را تغییر دهند، بعنوان مثال اگر هریک از میله‌های اصلی فوقانی یک خرپا روی دو تکیه‌گاه

انتهایی می‌باشی ۱۶<sup>۳</sup> اینج در هر ۱۰ فوت افقی آن افزایش دهیم، چنین عملی معادل با این است که هم تخت فوقانی و هم میله تخت تحتانی آن را به مقدار نصف آن تغییر دهیم چنین تغییر طولی معادل ایجاد شد تنشی برابر با زیر است:

$$29,000,000 \times 0.32 \times 1.20 = 22,600 \text{ psi}$$

چون فقط میله‌های اصلی تصحیح می‌گردند، مقدار این تصحیح به مطور اثر قطعات جان در تغییر مکان می‌باشی افزایش یابد، اگر فرض شود که میله‌های اصلی در ۸۰ درصد تغییر مکان دخالت دارند تغییر طولی که در بار ذکر شد سبب باری در میله‌های اصلی می‌شود که ایجاد شدت تنشی برابر با زیر می‌گردد:

$$0.8 \times 22,600 = 18,000 \text{ psi}$$

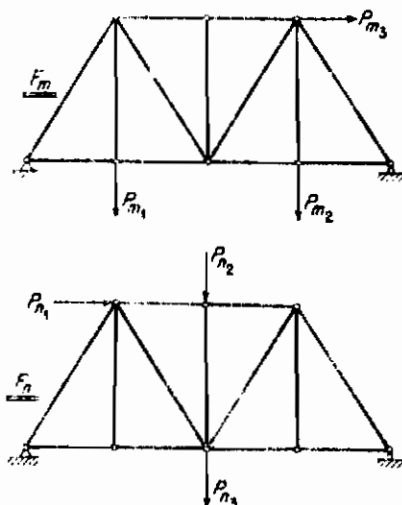
به عبارت دیگر روش تجربی که در بالا پیشنهاد شد معادل انتخاب باری برای محاسبه کوز می‌باشد که نظیر با بار مرده به‌اضافه کل بار زنده با اثر ضربه در کل سازه است.

از این روش تقریبی برای محاسبه کوز می‌توان بدون اشکال در کلیه خرپاهای معین استفاده نمود ولی در کاربرد آن در خرپاهای نامعین می‌باشی احتیاط لازم را بعمل آورد در غیر این صورت خرپای نصب شده ممکن است تحت اثر تنشهای اولیه‌ای که بدین طریق در خرپا ایجاد می‌گردد نیز قرار گیرد.

## ۲۱- قانون ماسکوئل در مورد تغییر مکانهای متقابل - قانون بتی (Betti)

قانون ماسکوئل حالت خاصی از قانون کلی بتی می‌باشد. هردوی این قوانین را می‌توان به‌هنرمندی از سازه‌ها اعم از تیر، خرپا و یا قاب اعمال نمود. برای ساده‌تر نمودن این بحث با در نظر گرفتن خرپای ساده شکل (۳۲-۱۲) به بررسی این قوانین می‌پردازیم. فرض کنید که این خرپا تحت اثر دودستگاه نیروی جداگانه و مستقل  $P_1$  و  $P_2$  قرار گرفته باشد، دستگاه نیروی  $P_1$  ایجاد نیروی میله‌های  $m_1$  در اعضای خرپا می‌نماید و به همین ترتیب دستگاه نیروی  $P_2$  ایجاد نیروی میله‌های  $m_2$  در اعضای آن می‌کند، دو وضعیت خیالی زیر را فرض کنید، ابتدا این که فرض کنید که این خرپا تحت اثر دستگاه  $m_1$  در سکون باشد و در این حالت با وارد نمودن دستگاه  $P_2$  تغییر شکل اضافی به خرپا اعمال می‌کنیم، دوم این که درست حالت عکس وضعیت قبل را ایجاد کنیم بدین صورت که خرپا تحت اثر دستگاه  $m_2$  در سکون باشد و سپس با اشداد دستگاه  $P_1$  خرپا تغییر شکل بیشتری پیدا کند، قانون کار مجازی را در

هر دو وضعیت به کار می‌بریم و از طریق آن نتیجه‌گیری بسیار مفیدی که بعنوان قانون بتی معروف است می‌کنیم.



شکل ۲۲-۱۲) استخراج قانون بتی

بدین منظور فرض می‌نماییم که تکمیله‌گاه‌های این سازه غیرقابل تغییر شکلی بوده و درجه حرارت نیز ثابت بماند و هم‌چنین فرض می‌کنیم که:

۱: عبارت باشد از تغییر مکان نقطه اثر یکی از نیروهای  $\delta_{mn}$  (در امتداد وجهت همان نیرو) تحت وارد شدن دستگاه نیروی  $\Delta L$ .

۲: عبارت باشد از تغییر مکان نقطه اثر یکی از نیروهای  $\delta_{mn}$  تحت اثر وارد شدن دستگاه نیروی  $\Delta L$ .

حال کاربرد قانون کار مجازی را در وضعیت نخست در نظر بگیرید، در این حالت دستگاه نیروی  $\Delta L$  مانند دستگاه نیروی (۱) می‌باشد که در اثروارد شدن دستگاه  $\Delta L$  بر بدالیل تغییر شکل سازه بدان تغییر محلی اعمال می‌شود، بدین ترتیب با کاربرد معادله (۱۲-۵) داریم:

$$\sum \Delta P_m \delta_{mn} = \sum \Delta F_n \Delta L$$

در این عبارت  $\Delta L = F_n L / AE$  می‌باشد ولذا:

$$\sum P_m \delta_{mn} = \sum F_n F_n \frac{L}{AE} \quad (\text{الف})$$

در وضعیت دوم دستگاه نیروی  $P$  مانند دستگاه نیروی  $Q$  خواهد بود و در اثر واردشدن دستگاه  $P$  که ایجاد تغییرشکل اضافی می‌نماید بدان دستگاه تغییر محلی اعمال می‌شود، لذا با بهکاربردن معادله (۵-۱۲) خواهیم داشت:

$$\sum P_n \delta_{mn} = \sum F_n \Delta L$$

در این عبارت  $\Delta L = F_n L / AE$  می‌باشد پس:

$$\sum P_n \delta_{nm} = \sum F_n F_m \frac{L}{AE} \quad (b)$$

از معادلات (الف) و (ب) رابطه زیر نتیجه می‌شود.

$$\sum P_n \delta_{mn} = \sum P_n \delta_{nm} \quad (16-12)$$

که هرگاه این رابطه به صورت نوشته بیان شود آن را قانون بتی می‌گویند.

در هر سازه‌ای که از مصالح ارتجاعی ساخته شده باشد و از قانون هوک تبعیت کند بشرطی که دارای تکیه‌گاه‌های غیرقابل تغییرشکل بوده و در طول عمل درجه حرارت ثابت بماند کار مجازی انجام شده توسط دستگاه نیروی  $P$  که در طی تغییرشکل حاصل از اثر دستگاه نیروی  $P$  انجام می‌گیرد برابراست با کار مجازی انجام شده توسط دستگاه نیروی  $P$  که در طی تغییرشکل حاصل از اثر دستگاه نیروی  $P$  بر سازه انجام می‌پذیرد.

قانون بتی که اصل بسیار مفیدی می‌باشد گاهی بمنام حالت کلی قانون ماسکوئل نامیده می‌شود. بدین معنی که قانون ماسکوئل را که در مورد تغییر مکانهای متقابل می‌باشد می‌توان از قانون بتی نتیجه گیری نمود.

سازه‌ای نظیر خرپایی، شکل (۳۴-۱۲) را در نظر بگیرید، فرض کنید که این خرپا ابتدا تحت اثر بار  $P$  در نقطه ۱ قرار داشته باشد و پس از آن فرض کنید که این خرپا تحت اثر باری به همان مقدار  $P$  ولی در نقطه ۲ واقع شود، اگر:

$\delta_{12}$ : تغییر مکان در نقطه ۱ و در امتداد  $ab$  در اثر واردشدن بار  $P$  به نقطه ۲ و در امتداد  $cd$  و  $\delta_{21}$ : تغییر مکان در نقطه ۲ و در امتداد  $cd$  در اثر واردشدن بار  $P$  به نقطه ۱ و در امتداد  $ab$  باشد، قانون بتی را در این حالت به کار می‌بریم:

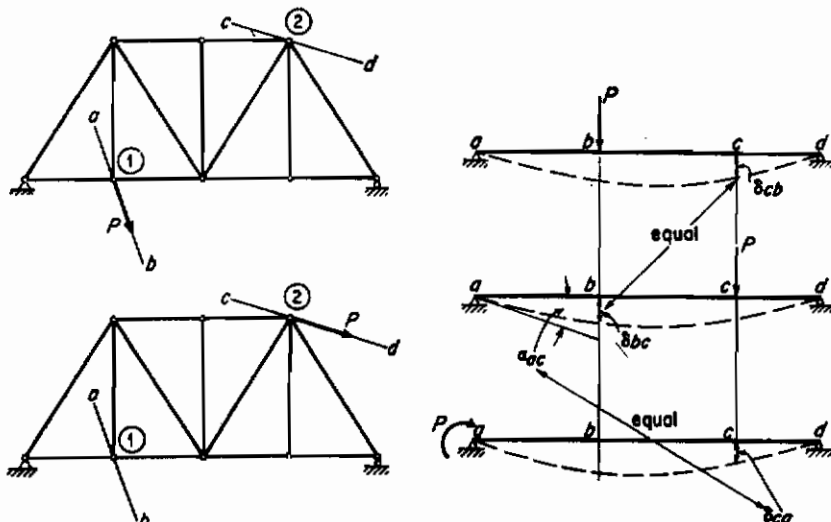
$$(P)(\delta_{12}) = (P)(\delta_{21})$$

پس خواهیم داشت:

$$\delta_{12} = \delta_{21} \quad (12-12)$$

که اگر این رابطه به صورت الفاظ در آید آن را قانون تغییر مکان‌های متقابل ماسکوئل می‌نامند. در هر سازه‌ای که از مصالح ارتقایی ساخته شده باشد و از قانون هوک تعیت گردید بشرطی که دارای تکیه‌گاه‌های غیرقابل بوده و در طول عمل درجه حرارت ثابت باشد، تغییر مکان نقطه ۱ در امتداد  $ab$  که در اثر واردشدن بار  $P$  بمنطقه ۲ در امتداد  $cd$  در راستای  $cd$  بوجود نماید از نظر عددی برابر است با تغییر مکان نقطه ۲ در امتداد  $cd$  در صورتی که در اثر واردشدن بار  $P$  بمنطقه ۱ و در راستای  $ab$  بوجود آید.

قانون ماسکوئل به این‌گونه است و آن را می‌توان در هر سازه‌ای به کار برد، این روابط متقابل بین دورانهای حاصل از اثر دو لنگر و همچنین بین تغییر مکان حاصل از اثر لنگر  $P$  و دوران حاصل از نیروی  $P$  نیز صادق است. در شکل (۳۵-۱۲) این حالت کلی بودن قانون



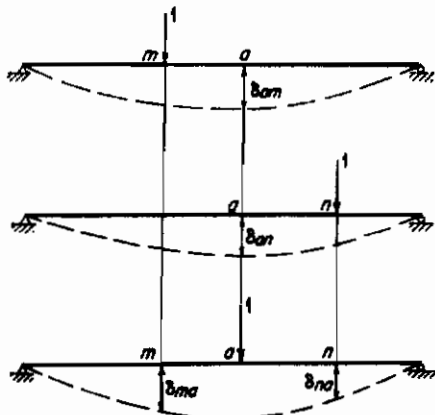
شکل (۳۵-۱۲) کاربرد قانون ماسکوئل شکل (۳۴-۱۲) استخراج قانون ماسکوئل

را به کمک تیری شرح داده‌ایم، تعیین  $\theta_a = \theta_b$  از کاربرد مستقیم قانون ماسکوئل به دست می‌آید. دقت کنید که دوران  $\theta_a$  بر حسب رادیان که در اثر نیروی  $P$  بر حسب پوند بوجود می‌آید از نظر عددی برابر است با تغییر مکان  $\theta_a$  بر حسب  $ft$  که در اثر لنگر  $P$  بر حسب  $ft-lb$  حاصل می‌شود. در حالت عکس می‌باشدستی به آحاد دقت نمود.

آنالیزی کامل با علاوه بعکار رفته به عنوان زیرنویس کجهت نشان دادن تغییر مکانها استفاده می‌شود بسیار مهم است. زیرنویس اول نشان دهنده محل اندازه‌گیری تغییر مکان و زیرنویس دوم نشان دهنده محل اثر پاری است که ایجاد تغییر مکان می‌نماید.

### ۱۶-۲ خطوط تأثیر برای تغییر مکانها

فرض کنید بخواهیم خط تأثیری برای تغییر مکان عمودی نقطه « $m$ » از تیر شکل (۳۶-۱۶) رسم نماییم، عرضهای چنین خط تأثیری را می‌توان با قراردادن بار عمودی واحدی در نقاط مختلف طول تیر و محاسبه تغییر مکان عمودی نقطه « $m$ » در هریک از حالات فوق به دست آورد. بدین ترتیب هرگاه بار واحدی در نقطه  $m$  وارد شود تغییر مکانی برابر با  $\Delta_m$  در نقطه « $m$ » ایجاد می‌کند و یا اگر این بار در نقطه دیگر « $n$ » اثر کند تغییر مکانی برابر با  $\Delta_n$  در نقطه « $n$ » ایجاد خواهد گرد، حال به مزیت کاربرد قانون ماسکوئل در این مساله دقت نمایید، اگر صرفاً به اشراط این بار عمودی واحدی در نقطه « $m$ » اکتفا کنیم تغییر مکانهای  $\Delta_m$  و  $\Delta_n$  در نقاط

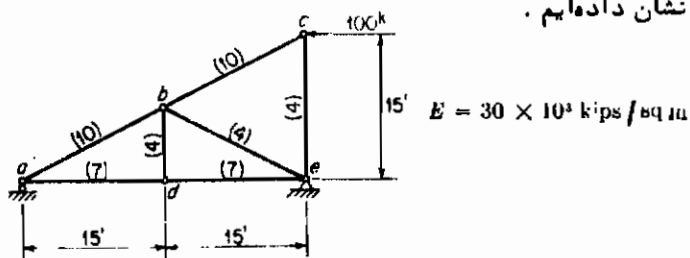


شکل (۳۶-۱۶) خطوط تأثیر تغییر مکان

و  $n$  بر طبق قانون ماسکوئل به ترتیب برابر با  $\Delta_m$  و  $\Delta_n$  خواهد بود و به عبارت دیگر منحنی (یا منحنی تغییر شکل) تیر که حاصل از اثر بار واحد بر نقطه « $m$ » می‌باشد، خط تأثیر تغییر مکان عمودی در نقطه « $m$ » نیز هست. بدین ترتیب با محاسبه عرضهای منحنی ارجاعی می‌توانیم به تعیین عرضهای خط تأثیر مورد نظر بپردازیم.  
با استفاده از این طریق می‌توانیم به تعیین خط تأثیر تغییر مکان هر نقطه‌ای از یک سازه اقدام کنیم. برای بدست آوردن خط تأثیر تغییر مکان برای یک نقطه « $P$ » معلوم کافی است که بار واحدی بر آن نقطه اثر دهیم و به محاسبه منحنی حاصل شده در سازه بپردازیم.

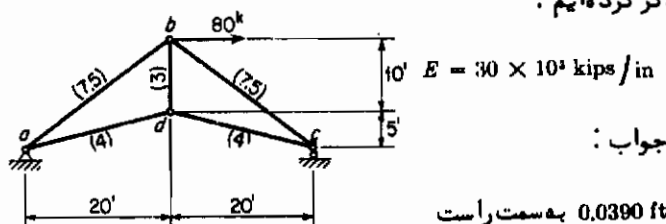
## ۱۲-۲۳ مسائل

- ۱۲-۱ با استفاده از روش کار مجازی مولفه عمودی تغییر مکان گره  $c$ ، از سازه شکل را تحت بار نشان داده شده محاسبه کنید، سطح مقطع میله‌ها را بر حسب اینچ مربع در داخل هر انتزاع نشان داده‌ایم.



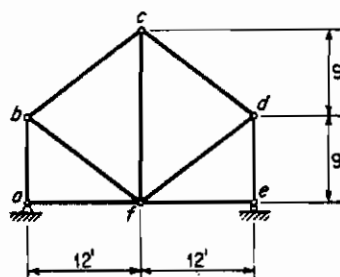
شکل (۱۲-۱۲) مساله (۱-۱۲)

- ۱۲-۲ با استفاده از روش کار مجازی مولفه افقی تغییر مکان گره  $c$  از سازه شکل (۱۲-۲۸) را تحت اثر بار نشان داده شده محاسبه کنید، سطح مقطع میله‌ها را بر حسب اینچ مربع در داخل هر انتزاع ذکر گرده‌ایم.



شکل (۱۲-۲۸) مساله (۲-۱۲)

- ۱۲-۳ برای سازه شکل (۱۲-۲۹) مولفه افقی تغییر مکان گره  $d$  را هرگاه میله  $dc$  پکابینج کوتاه شود محاسبه کنید.



شکل (۱۲-۲۹) مساله (۲-۱۲)

جواب:

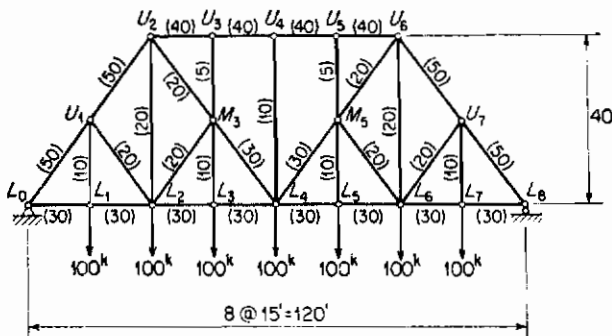
۰.۳۷۵ in به سمت راست

جواب:

۰.۰۳۹۰ ft به سمت راست

۱۲-۴ با استفاده از روش کار مجازی برای سازه شکل (۴۰-۱۲) تغییر محل نسبی گره‌های  $L_1, L_2, L_3, L_4, L_5, L_6, L_7, L_8$  را در طول خط  $M_3M_5$  (الف) تحت اثر بارگذاری نشان داده شده (ب) تحت اثر ازدیاد یکواخت درجه حرارت برابر با  $50^{\circ}\text{F}$  در میله‌های اصلی تھتانی محاسبه کنید. سطح مقطع میله‌ها برحسب اینچ مربع در داخل پرانتر نشان داده‌ایم

$$E = 30 \times 10^3 \text{ kips/in} \quad \alpha_t = 1/150,000 \text{ per } ^{\circ}\text{F}$$



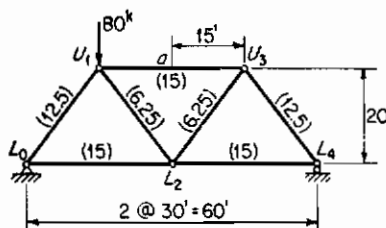
شکل (۴۰-۱۲) مساله (۴-۱۲)

۱۲-۵ با استفاده از روش کار مجازی برای سازه شکل (۴۱-۱۲) تغییر مکان عمودی نقطه  $a$  را تحت اثر بارگذاری نشان داده شده محاسبه کنید، سطح مقطع اعضاء را برحسب اینچ مربع در داخل پرانتر نشان داده‌ایم

$$E = 30 \times 10^3 \text{ kips/in.} \quad \text{مربع در داخل پرانتر نشان داده‌ایم}$$

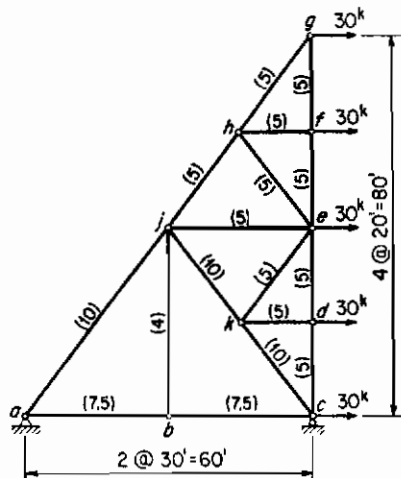
جواب:

به طرف پائین ۰.۰۰۶۴۲ ft



شکل (۴۱-۱۲) مساله (۵-۱۲)

۱۲-۶ برای سازه شکل (۴۲-۱۲) سطح مقطع اعضاء برحسب اینچ مربع در داخل پرانتر ذکر شده است است و  $E = 30 \times 10^3 \text{ kips/sq in}$  می‌باشد، دوران زاویه‌ای عضو  $z_a$  را تحت اثر بارهای نشان داده شده محاسبه کنید.



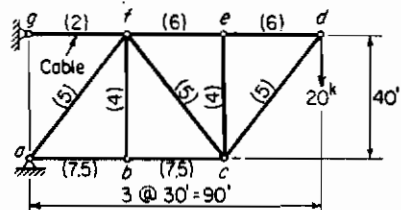
شکل (۶-۱۲) مساله (۴۲-۱۲)

۱۲- برای سازه شکل (۴۳-۱۲) برای عضو  $E_1 = 20 \times 10^3 \text{ kips in}$  و برای کلیه سایر اعضاء  $E_2 = 30 \times 10^3 \text{ kips sq in}$  باشد، سطح مقاطع اعضاء را بمحاسبه اینچ مربع در داخل پرانتز نشان داده ایم، با استفاده از روش کار مجازی:

- (الف) مولفه عمودی تغییر مکان نقطه e را تحت اثربارهای نشان داده شده محاسبه کنید.
- (ب) - هرگاه بر قطعه  $ef$  یک بست قورباغه قرار داده باشیم و توسط آن طول این قطعه  $0.5 \text{ in}$  کوتاه کنیم، مولفه عمودی و افقی تغییر محل نقطه e را که در این عمل کوتاه کردن بوجود می آید چقدر خواهد بود.

جواب:

افقی  $0 \text{ in}$  (ب) بدبلا ۰.۷۵ in بدهشت پائین  $0.0774 \text{ in}$  (الف)

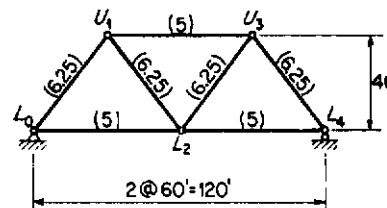


شکل (۴۳-۱۲) مساله (۴۲-۱۲)

۱۲- با توجه به شکل (۴۴-۱۲) ۵ رطی تعمیر تکیه گاه به سمت راست این خربناک شدکه آن را بهطور موقت در گره ۱ روی یک جک هیدرولیکی قرار دهیم اگر عکس العمل ناخالص با مردمه

در  $E$  برابر با  $50 \text{ kips}$  باشد، فاصله‌ای را که این جک در گره  $d$  می‌پایستی خربناک را بلنده کند محاسبه کنید. به طوری که تکیه‌گاه در  $L$  افزود شده و  $in$   $2$  بالاتراز وضع اصلی خود قرار گیرد، سطح مقطع میله‌ها را بر حسب اینچ مربع در داخل پرانتز نشان داده‌ایم،

$$E = 30 \times 10^3 \text{ kips} \text{ in}$$



جواب:

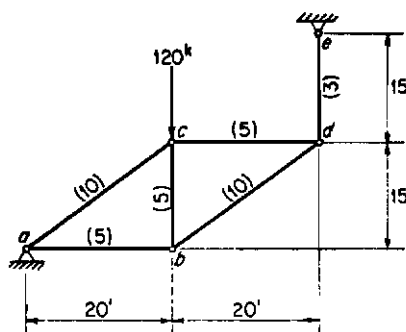
به بالا  $1.905 \text{ in}$

شکل (۴۴-۱۲) مساله (۸-۱۲)

۸-۱۲ با توجه به شکل (۴۵-۱۲) و سطح مقاطعی که بر حسب اینچ مربع در داخل پرانتز درج شده است، برای قطعه  $ed$  مقدار  $E_1 = 20 \times 10^3 \text{ kips sq in}$  و برای سایر اعضا  $E_2 = 30 \times 10^3 \text{ kips in}$  می‌باشد. با استفاده از روش کار مجازی جهت و مقدار تغییر مکان برآیند گره  $d$  را تحت اثر بارگذاری نشان داده شده محاسبه کنید.

جواب:

به طرف پائین و با زاویه  $27.7^\circ$  سمت راست عمود  $0.01695 \text{ ft}$



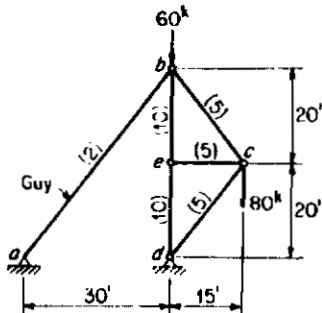
شکل (۴۵-۱۲) مساله (۹-۱۲)

۹-۱۰ برای سازه شکل (۴۶-۱۲) سطح مقاطع اعضا بر حسب اینچ مربع در داخل پرانتز درج شده است. مقدار  $E$  بترتیب به قرار زیر است، برای طناب  $E_1 = 20 \times 10^3 \text{ kips in}$  و برای سایر اعضا  $E_2 = 30 \times 10^3 \text{ kips in}$ .

(الف) مولفه عمودی تغییر مکان گره  $e$  را تحت اثر بارگذاری نشان داده شده محاسبه کنید.

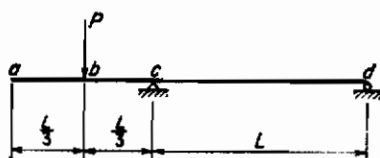
(ب) هرگاه بر طناب مذبور یک بست قورباغه افزوده شود، مقدار تغییر طول طناب را

که برای رساندن گره ، بوضعتی اولیه طناب قبل از تغییر مکان لازم است معین کند.



شکل (۱۰-۱۲) مساله (۴۴-۱۲)

۱۲-۱۱ با استفاده از روش کار مجازی ، تغییر مکان عمودی و تغییر شیب مقطع نقطه a از شکل (۱۰-۱۲) (۴۷-۱۲) را محاسبه کنید . E و I هردو دارای مقادیر ثابتی هستند .



شکل (۱۱-۱۲) مساله (۴۷-۱۲)

۱۲-۱۲ با استفاده از روش کار مجازی در مورد شاهتیر شکل (۱۰-۱۲) (۴۸-۱۲) :

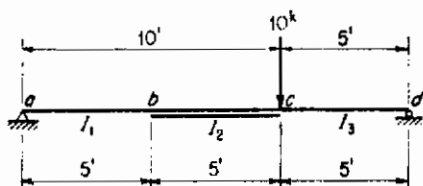
الف - مولفه عمودی تغییر مکان نقطه a را تحت بارگذاری شکل محاسبه کنید .

ب - تغییر شیب مقطع نقطه a را تحت اثر بار یکواحتی به شدت 2 kips / ft در طول کل دهانه محاسبه کنید .

$$E = 30 \times 10^3 \text{ kips/in} \quad I_1 = 300 \text{ in.}^4 \quad I_2 = 500 \text{ in.}^4$$

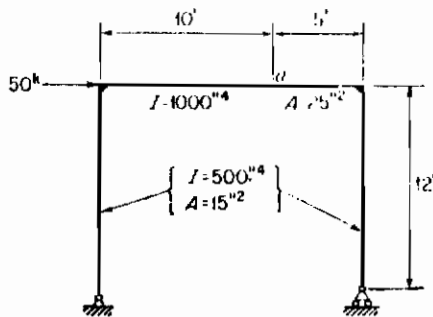
جواب :

(درجہت عکس ساعتگرد) رادیان 0.003635 (ب) بهست پائین 0.00585 ft (الف)



شکل (۱۲-۱۲) مساله (۴۸-۱۲)

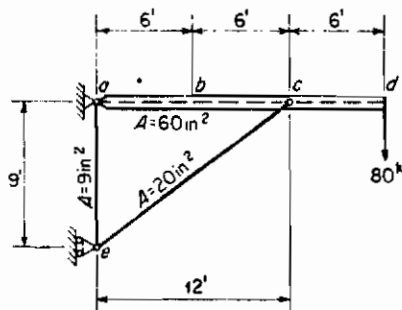
۱۲- تغییر مکان عمودی نقطه « از قاب شکل (۴۹-۱۲) را با در نظر گرفتن اثرات تغییر شکل‌های حاصل از تنشهای محوری و خمشی محاسبه کنید .  
 $E = 30 \times 10^3 \text{ kips/in}$



شکل (۱۳-۱۲) مساله (۴۹-۱۲)

۱۳- در سازه‌شکل (۵۰-۱۲) مقدار  $I$  برای قطعه  $ad$  برابر با  $3,456 \text{ in}^4$  بوده و مقدار ضریب ارجاعی  $E = 30 \times 10^3 \text{ kips/in}$  می‌باشد . با استفاده از روش کار مجازی مولفه عمودی تغییر مکان نقطه  $b$  را محاسبه کنید .

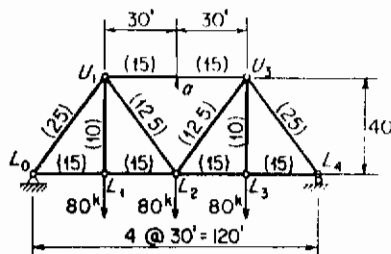
جواب :  $0.000877 \text{ ft}$



شکل (۱۴-۱۲) مساله (۵۰-۱۲)

۱۴- در خریای شکل (۵۱-۱۲) سطح مقاطع اعضاء برحسب اینچ مربع در داخل پرانتز ذکر شده است و داریم :

$E = 30 \times 10^3 \text{ kips/in}^2$  تغییر مکان نسبی نقطه  $a$  و کره  $l_{12}$  را در طول خط اتصال آنها تحت اثر بارگذاری نشان داده شده محاسبه کنید .



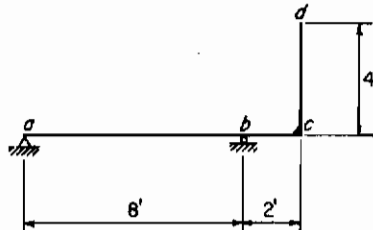
شکل (۱۵-۱۲) مساله (۵۱-۱۲)

۱۶-۱۶ با توجه به شکل (۵۲-۱۲) و با استفاده از روش کار مجازی مولنده افقی تغییر مکان نقطه  $a$  را تحت تغییر محلهای زیرین تکیه‌گاهها محاسبه کنید.

نقطه  $a$ : بسمت چپ افقی ۰.۳۶ in

به طرف پائین عمودی ۰.۴۸ in

نقطه  $b$ : به طرف پائین عمودی ۰.۹۶ in



شکل (۱۶-۱۲) مساله (۵۲-۱۲)

۱۶-۱۷ با توجه به شکل (۵۲-۱۲) و با استفاده از روش سطح لنگر:

الف - تغییر مکان عمودی نقاط  $c$  و  $d$  و همچنین تغییر شب منحنی نقاط  $a$  و  $b$  را بر حسب  $E$  محاسبه کنید.

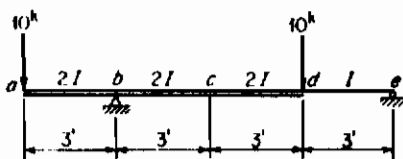
ب - اگر  $\text{in.}^4 \times 10^3 \text{ kips} = 300$  in. $^4 E$  باشد در قسمت  $a$  تغییر مکان عمودی نقطه  $a$  را بر حسب اینچ و شب منحنی نقطه  $a$  را بر حسب رادیان محاسبه کنید.

جواب :

(به طرف پائین در  $c$ )  $10/EI$  (به طرف بالا در  $c$ )  $17.5/EI$  (بسمت پائین در  $a$ )

الف (در جهت عقربه‌های ساعت در  $c$ )  $115/EI$  (در جهت عکس عقربه‌های

ساعت در  $b$ )  $23.33/EI$  (در  $a$ )  $0.000373$  in. (در  $a$ ) (ب)

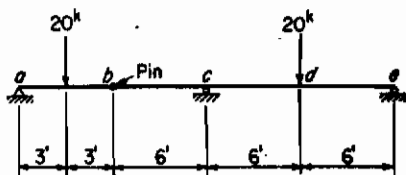


شکل (۱۲-۵۲) مساله (۱۲-۵۲)

۱۸-۱۲ با توجه به شکل (۱۲-۵۴) و با استفاده از روش بار ارجاعی و قضایای سطح لنگر

(الف) تغییر مکان عمودی تمر را بر حسب  $E = 1$  در فواصل ۳-۶ محاسبه کنید.

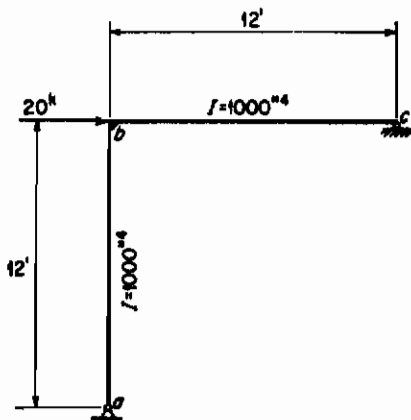
(ب) مقدار و محل حد اکثر تغییر مکان عمودی را در دهانه  $\alpha$  پیدا کنید،  
 $E = 1$  هردو دارای مقدار ثابتی هستند.



شکل (۱۲-۵۴) مساله (۱۲-۵۴)

۱۹-۱۲ با توجه به شکل (۱۲-۵۵) و با استفاده از روش سطح لنگر، مقدار و محل تغییر-

مکان عمودی حد اکثر را در قطعه  $bc$  پیدا کنید.  $E = 30 \times 10^3 \text{ kips sq in}$

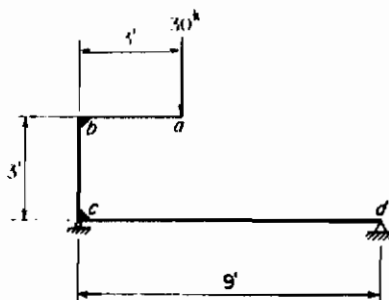


شکل (۱۲-۵۵) مساله (۱۲-۵۵)

۲۰-۱۲ مراجعة به شکل (۱۲-۵۶) و فرض ثابت بودن مقادیر  $E$  و  $I$  در کل سازه صورت

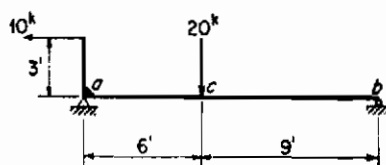
۱۲-۲۰ مولفه عمودی تفییر مکان نقطه، از طریق مربوطه را محاسبه کنید.

جواب: (به طرف پاشین) ۰.۰۲۱ ft.



شکل (۲۰-۱۲) مساله (۵۶-۱۲)

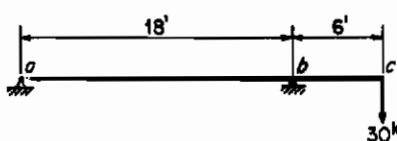
۱۲-۲۱ با مراجعه به شکل (۵۷-۱۲) و فرض ثابت بودن مقادیر  $E$  و  $I$  به مقادیر عددی  $E = 30 \times 10^3 \text{ kips/in}$  و  $I = 192 \text{ in}^4$  مقدار و محل تفییر مکان عمودی حداقل تیر ab را محاسبه کنید.



شکل (۲۱-۱۲) مساله (۵۷-۱۲)

۱۲-۲۲ با مراجعه به شکل (۵۸-۱۲) و معلوم بودن مقادیر  $E = 30 \times 10^3 \text{ kips/in}$  و  $I = 1,440 \text{ in}^4$  اکر تکیه گاهه به مقدار in نشست کرده باشد مقدار و محل تفییر مکان رو به بالای حداقل تیر ab که حاصل از بارگذاری نشان داده شده و نشست فوق الذکر می‌باشد محاسبه کنید.

جواب: ۰.۰۰۶۹۸ ft به طرف بالا به فاصله ۸.۸۶ ft از a



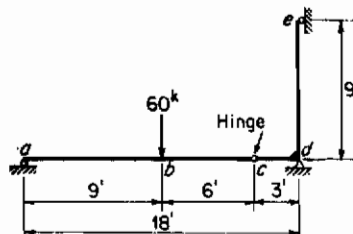
شکل (۲۲-۱۲) مساله (۵۸-۱۲)

۱۲-۲۳ با مراجعه به شکل (۵۹-۱۲) محل و مقدار تفییر مکان عمودی حداقل این سازه را

محاسبه کنید، در این محاسبه از قضایای سطح لنگر و تطابق بار ارجاعی استفاده نمایند  
و / دارای مقادیر ثابتی به صورت زیر می‌باشند

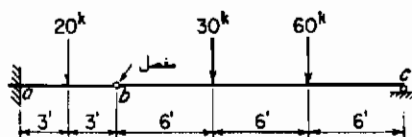
$$I = 1,200 \text{ in.}^4$$

$$E = 30 \times 10^3 \text{ kips sq in}$$



شکل (۲۲-۱۲) مساله (۵۹-۱۲)

۱۲-۲۴ با توجه به شکل (۶-۱۲) و مقادیر  $E = 30 \times 10^3 \text{ kips sq in}$  و  $I = 576 \text{ in.}^4$  تغییر مکان عمودی حد اکثر این تیر را با استفاده از روش تیر مزدوج محاسبه نمایند.

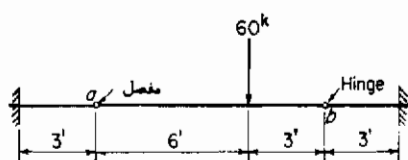


شکل (۲۴-۱۲) مساله (۶-۱۲)

۱۲-۲۵ با مراجعه به شکل (۶-۱۲) مقدار و محل تغییر مکان عمودی این تیر را محاسبه کنید،  $E$  و  $I$  دارای مقادیر ثابتی به صورت زیر می‌باشند.

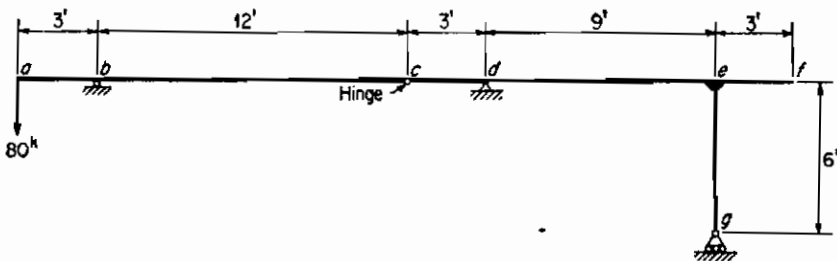
$$E = 30 \times 10^3 \text{ kips sq in} \quad I = 432 \text{ in.}^4$$

جواب:  $a = 0.01182 \text{ ft}$  در فاصله ۵.۱ ft از پائین به مت



شکل (۲۵-۱۲) مساله (۶-۱۲)

۱۲-۲۶ با مراجعه به شکل (۶-۱۲) و با استفاده از روش تیر مزدوج، مقدار و محل تغییر مکان عمودی حد اکثر قسمت bc از این سازه را محاسبه کنید،  $E$  و  $I$  دارای مقادیر ثابتی برابر با  $E = 30 \times 10^3 \text{ kips in}$  و  $I = 1,440 \text{ in.}^4$  می‌باشند.



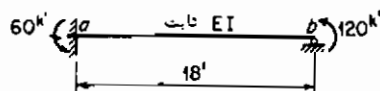
شکل (۲۶-۱۲) مساله (۲۶-۱۲)

۱۲-۲۷ با مراجعه به شکل (۱۲-۶۳) فرض کنید که لنگری برابر با  $120 \text{ kip}\cdot\text{ft}$  بر  $6$  اثر کرده و عکس العملی برابر با  $60 \text{ kip}\cdot\text{ft}$  در تکیه‌گاه  $a$  مانند شکل ایجاد می‌کند، مقدار و محل تغییر مکان عمودی حد اکثر را در این تیر محاسبه کنید.

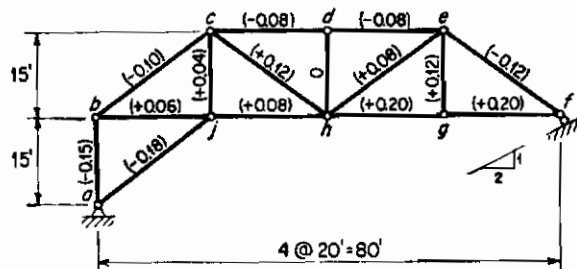
$$E = 30 \times 10^3 \text{ kips/in}^2 \quad I = 576 \text{ in.}^4$$

$$\text{به سمت پائین در فاصله } 12 \text{ ft از } a \quad 1,440/EI$$

جواب:



۱۲-۲۸ با توجه به شکل (۱۲-۶۴) مولفه‌های افقی و عمودی تغییر مکان‌های گره‌های این خربناک را با استفاده از روش ولیمو (ت) - مور پیدا کنید. با فرض ثابت بودن موقعیت نقطه  $h$  و امتداد میله  $hd$  نمودار ولیمو (ت) را رسم کنید و نتایج را بر حسب اینچ ثبت نمایید. مقیاس انتخابی  $1 \text{ in.} = 0.20$  باشد و موقعیت نقطه  $h$  را در گوش راست پائین کاغذ از ۱ in. از پائین صفحه و ۳ in. از کار راست کاغذ انتخاب کنید. مقادیر لذت میله‌هارا در داخل پرانتز نشان داده ایم.



شکل (۱۲-۶۴) مساله (۱۲-۲۸)

۱۲-۲۹ با استفاده از روش ویلیو (ت) - مور مولفه‌های افقی و عمودی کلیه گرههای خریا را در مسائل زیر پیدا کنید . (الف) مساله (۶-۱۲) (ب) مساله (۷-۱۲) (ج) مساله (۴-۱۲) (د) مساله (۹-۱۲) (ه) مساله (۱۵-۱۲)

۱۲-۳۰ با استفاده از روش سلسله میله‌ها ، محاسبات زیر را انجام دهید . (الف) تغییر مکان عمودی نقاط پانلی تحتانی خریای مساله (۱۵-۱۲) (ب) تغییر مکان عمودی نقاط پانلی فوقانی خریای مساله (۷-۱۲) (ج) تغییر مکان افقی نقاط پانلی  $L_1, U_2, U_3, L_4$  و  $h$  از خریای مساله (۶-۱۲) (د) تغییر مکان افقی نقاط پانلی  $a$ ،  $z$ ،  $h$  و  $w$  از خریای مساله (۶-۱۲) (ه) تغییر مکان عمودی گرههای سلسله میله از خریای مساله (۴-۱۲) (و) تغییر مکان عمودی نقاط پانلی تحتانی توسعه مفصل مثال (۲۱-۱۲) .

## ۱۳

### تحلیل تنش در سازه‌های نامعین

۱۳ - ۱ مقدمه

در چهل سال اخیر سازه‌های نامعین همواره به طور گستردگتر از قبل بکار برده شدند. زیرا چنین سازه‌هایی در اثر بارهای متغیر و یا منقول اقتصادی تر و مستحکم‌تر می‌باشند، از طرف دیگر چون اتصالات سازه‌های بتن مسلح و فلزی به نحوی است که پک پارچگی سازه‌ها را به صورت کلی یا جزئی ایجاد می‌کند لذا عمل<sup>a</sup> این سازه‌ها در زمرة<sup>b</sup> سازه‌های نامعین می‌باشد. به این دلیل است که آگاهی بررسی‌های طرح و محاسبه سازه‌های نامعین با گستردگتر شدن استفاده از این نظریه فلزی یا بتنی روز به روز مهمتر می‌گردد. نمونه‌هایی از سازه‌های نامعین عبارتند از تیرها و خرپاهای پکره، طاقهای دو مفصل یا بی مفصل. قابهای صلب پلهای، پلهای معلق و قابهای ساختمانی.

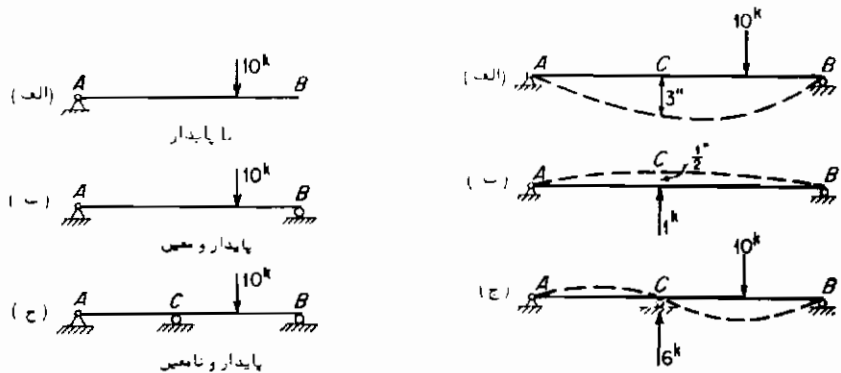
سازه‌های نامعین و سازه‌های معین در دو زمینه<sup>c</sup> زیر با هم تفاوت هستند.

۱- تحلیل تنش در این سازه‌ها نه تنها بستگی به مشخصات هندسی سازه دارد بلکه به خواص ارجاعی آن نظیر ضربی ارجاعی سطح مقطع و لنگر لختی نیز بستگی دارد. به این جهت برای این که به طرح نهایی سازه‌های نامعین بررسی می‌بریم باید برای قطعات آن اندازه‌های لازم را در محاسبات فرض کنیم سپس به تحلیل تنش بپردازیم و بعد از آن اندازه‌های جدیدی برای آن مقادیر بر حسب تنشهای بدست آمده انتخاب کنیم و این عمل را تا جایی که طرح نهایی میرسمیم ادامه دهیم.

۲- در حالت کلی در سازه‌های نامعین مقدار تنشها نه تنها بستگی به شدت و نوع بارگذاری دارد بلکه به تغییرات درجه حرارت و نشست تکیه‌گاهها، خطاهای ساخت و نظایر آن نیز مربوط می‌گردد.

برای درک چگونگی محاسبه تنش در سازه‌های نامعین لازم است که ابتدا تفاوت‌های موجود بین سازه‌های ناپایدار معین و نامعین را درک نماییم. به این جهت پادآوری مختصراً

از مقدمات اساسی این سازه‌ها به عمل می‌آید. فرض کنید که تیر ۱/۱۲. فقط دارای یک تکیه‌گاه مفصلی در A. نظری شکل (۱-۱۲ الف) باشد، اگر باری برابر با  $10\text{-kip}$  چنانچه نشان داده شده است به‌این تیر اثر کند واضح است که این تیر حول مفصل A خواهد چرخید. لذا تیری که بدین صورت تکیه‌گاه داشته باشد یک سازه ناپایدار خواهد بود، حال اگر مانند شکل (۱-۱۲ ب) در انتهای B این تیر یک تکیه‌گاه غلتکی اضافه کنیم دیگر تیر مجبور حول A نخواهد چرخید و تبدیل به یک سازه پایدار می‌گردد که این سازه یک سازه معین نیز می‌باشد.



شکل ۱-۱۳ طبقه‌بندی سازه‌ها

شکل ۱-۲ انطباق ساده آثار

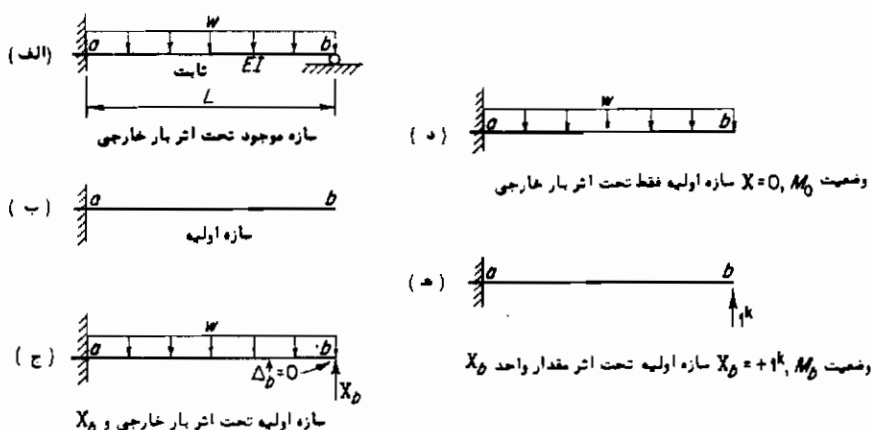
اگر یک تکیه‌گاه غلتکی دیگری در نقطه C مانند شکل (۱-۱۲ ج) به‌آن اضافه کنیم در این حالت تعداد تکیه‌گاه‌ها بیشتر از حداقل مورد نیاز برای ایجاد تعادل خواهد شد ولذا دیگر سازه فوق معین نبوده بلکه نامعین خواهد شد. در حالت اخیر نه تنها از انتقال و دوران قطعه جلوگیری کرد، ایم بلکه از تغییر مکان عمودی نقطه C نیز جلوگیری شده است.

با اندک دقیقی فوراً می‌توان روشی برای تعیین عکس‌العمل عمودی نقطه C پیشنهاد نمود. فرض کنید مانند شکل (۲-۱۳ الف) موقتناً تکیه‌گاه C را حذف کرده و تیر را به صورت ساده روی دو انتهای خود قرار دهیم در این حالت فرض نمایید که بار  $10\text{-kip}$  در نقطه C تغییر مکانی عمودی و به سمت پائین برابر با  $3''$  ایجاد می‌نمایید. حال اگر تکیه‌گاه نقطه C را دوباره ایجاد کنیم این تکیه‌گاه باید آنچنان عکس‌العمل به‌این تیر بدهد که نقطه C را به‌جای خود برگرداند و به عبارت دیگر تغییر مکان نقطه C را برابر صفر نماید. برای این که بدانیم چه مقدار عکس‌العمل در نقطه C اعمال کنیم تا نقطه C به‌جای خود برگردد ابتدا مقدار تغییر مکان ناشی از اثر تیرویی برابر با  $1\text{-kip}$  در نقطه C را در حالی که تیر فقط روی دو تکیه‌گاه A و B قرار دارد معین می‌کنیم چنانکه در شکل (۲-۱۳ ب) نشان داده شده است اگر مقدار تغییر مکان در این حالت برابر با  $in \frac{1}{2}$  باشد معلوم می‌شود که نیرویی

برابر با  $6 \text{ kips}$  که در جهت از پائین به بالا در نقطه  $C$  اثرکند مانند شکل (۱۳-۲ج) نقطه  $C$  از تیر را که خود تحت اثر بار متغیر  $10\text{-}k\text{ip}$  می‌باشد به جای خود برخواهد گرداند، بدین ترتیب عکس العمل عمودی نقطه  $C$  از تیر شکل (۱۳-۱ج) برابر با  $6 \text{ kips}$  در جهت از پائین به بالا تعیین می‌شود، پس از این که مقدار عکس العمل در نقطه  $C$  معین شد با استفاده از معادلات تعادل می‌توان برآحتی مقادیر عکس العمل‌های نقطه  $A$  و  $B$  را معین نمود.

### ۱۳-۲ گاربد معادلات رویهم‌گذاری (انطباق) در تحلیل سازه‌های نامعین

بسیاری از سازه‌های نامعین ساده را می‌توان به طریقی که ذکر شد حل و بررسی نمود، البته با چنان روش بدون نظامی که شرح داده شد، حل سازه‌های پیچیده‌تر مشکل خواهد شد، لذا برای این که می‌توان روش فوق را برای کلیه حالات قابل اجرا نموده و در حالات ساده نیز به راحتی به نتیجه رسید طریقه نظام پاافتة روش فوق را برای حالتی ساده بیان می‌کنیم. فکر و فلسفه این روش نظام پاافتة را می‌توان با شرح تیرنامه‌نی که در شکل (۱۳-۳الف) نشان داده شده است بیان نمود تکیه‌گاههای تیر را غیرقابل تغییرشکل فرض می‌کنیم. این تیر یک درجه نامعین است و به عبارت دیگر فقط یک مولفه عکس العمل اضافه بر آنچه برای استفاده از معادلات تعادل لازم است دارد. لذا یکی از مولفه‌های عکس العمل را می‌توان به عنوان اضافی قلمداد کرد، در این حالت عکس العمل عمودی را در نقطه  $b$  به عنوان عکس العمل اضافی فرض می‌کنیم.



شکل ۱۳-۳ محاسبه به طریقه معادلات انطباق

فرض کنید که از سازه موجود تکیه‌گاه در نقطه ۱ و عکس‌العمل عمودی ۲، را که در آن تکیه‌گاه اعمال می‌شد حذف کنیم، طرہای معین و پایدار باقی مانده که پس از حذف تکیه‌گاه اضافی در نقطه ۱ بودست می‌آید، این طرہ را سازه اولیه می‌نامیم (شکل ۲-۱۳ ب) حال می‌توان سازه اولیه را تحت اثر مجموع اثرات بارهای موجود سازه اصلی و نیروی اضافی نامعین ۳، مطابق شکل (۲-۱۳ ج) قرار دهیم.

اگر نیروی اضافی ۳، که به سازه اولیه وارد می‌شود از نظر مقدار برابر با عکس‌العمل در نقطه ۱، سازه موجود باشد. مقادیر تلاش برشی و لنگر خمشی و مقادیر عکس‌العملها در نقطه ۲ برای دو سازه یکی خواهد شد و اگر شرایط تنش در دو سازه اولیه و موجود یکی باشد اجباراً نحوه تغییر شکل در دو سازه کاملاً یکی خواهد شد. اگر نحوه تغییر شکل دو سازه یکی باشد. تغییر مکان تکیه‌گاهی در نقطه ۱ نیز برای آنها یکی خواهد شد و به همین نحو تغییر مکان در هر دو نقطه نظیر از دو سازه یکی خواهد بود. بنابراین چون در نقطه ۱ از سازه موجود تغییر مکان عمودی وجود ندارد لازم است که در سازه اولیه که تحت اثر مجموع بارهای موئی موجود ۳، قرار دارد نیز تغییر مکان عمودی برابر صفر باشد.

امکان این که شرح فوق را به صورت ریاضی در آوریم و از آن معادله‌ای برای تعیین مقدار مجھول  $X_1$  ارائه دهیم موجود است، با فرض این که جهت مثبت  $X_1$  به طرف بالا باشد و تعاریف زیر را نیز داشته باشیم:

$\Delta_1$ : تغییر مکان به سمت بالای نقطه ۱ در سازه اولیه (شکل ۲-۱۳ ج)

$\Delta_{11}$ : تغییر مکان به سمت بالای نقطه ۱ در سازه اولیه تحت اثر بار موجود و شرط  $X = 0$  (شکل ۲-۱۳ د).

$\Delta_{12}$ : تغییر مکان به سمت بالای نقطه ۱ در سازه اولیه که فقط تحت اثر مجھول  $X_1$  می‌باشد.

محاسبه  $\Delta_{11}$  تا زمانی که مقدار  $X_1$  معلوم نشده است امکان پذیر نمی‌باشد و اگر داشته باشیم:

$\Delta_{12}$ : تغییر مکان به سمت بالای نقطه ۱ در سازه اولیه که فقط تحت اثر بار واحد به سمت بالا در نقطه ۱ قرار گرفته باشد "یعنی  $+1 = X_1$ " (شکل ۲-۱۳ ه). می‌توان گفت تا زمانی که اصل رویهم گذاری صادق است داریم:

$$\frac{\Delta_{11}}{X_1} = \frac{\delta_{11}}{1^k} \quad (\text{الف})$$

$$\Delta_{11} = \frac{X_1}{1^k} \delta_{11} \quad \text{or} \quad \Delta_{11} = X_1 \delta_{11} \quad (\text{ب})$$

ولذا

و چون  $\Delta_{\delta} / X_{\delta}$  را با  $X_{\delta}$  جایگزین کرده‌ایم پس بایستی مقدار  $X_{\delta}$  را بدون بعد در نظرداشته باشیم و بدانیم که  $X_{\delta}$  فقط مقدار عددی  $\Delta_{\delta}$  را نشان می‌دهد (یعنی مقدار نیروهای  $\Delta_{\delta}$  را نشان می‌دهد  $^{*}$ ) البته این یک واقعیت فیزیکی است که  $\Delta_{\delta}$  (تفییر مکان‌کل) برابر با جمع تفییر مکانهای حاصل از اثر تک تک بارگذاریها یعنی بار موجود و مجہول  $X_{\delta}$  باشد:

$$\Delta_{\delta} = \Delta_{\delta\delta} + \Delta_{\delta\theta} \quad (ج)$$

لذا با درنظر گرفتن رابطه (ج) خواهیم داشت:

$$\Delta_{\delta} = \Delta_{\delta\delta} + X_{\delta}\delta_{\delta\delta} \quad (1-12)$$

این معادله را معادله رویهم‌گذاری (انطباق) برای تفییر مکان نقطه  $\delta$  در سازه اولیه گویند. چون  $\Delta_{\delta}$  می‌بایستی برابر با صفر باشد لذا معادله (1-12) را جهت تعیین  $X_{\delta}$  حل می‌کنیم.

$$X_{\delta} = -\frac{\Delta_{\delta\delta}}{\delta_{\delta\delta}} \quad (2-12)$$

تعیین مقادیر عددی  $\Delta_{\delta\delta}$  و  $\delta_{\delta\delta}$  به طرق مختلف محاسبه تفییر مکان تیرها امری ساده است، با جاگذاری مقادیر آنها در معادله (2-12) باید قرار داد علامت‌گذاری را بهت伺ی که گفته شد یعنی مشتبه برای تفییر مکانهای به سمت بالا رعایت کیم به این ترتیب مقدار مشتبه  $X_{\delta}$  نشان خواهد داد که جهت عمل  $X_{\delta}$  به سمت بالاست و مقدار منفی عمل کرد به سوی پائین آن را معین می‌کند. نحوه و ترتیب محاسبات عددی در چنین مسائلی در مثالهای بخش (4-12) نشان داده شده است.

### ۱۳-۳ شرح گلی گاربرد معادلات انطباق در تحلیل سازه‌های نامعین

روشی که در بخش (2-12) شرح داده شد روشی گلی برای تعیین تنش در سازه‌های نامعین

\* از طرف دیگر معادله (الف) را به صورت زیر نیز می‌توان تعایش داد.

$$(ب) \quad \Delta_{\delta\delta} = X_{\delta}d_{\delta\delta} \quad or \quad d_{\delta\delta} = \frac{\Delta_{\delta\delta}}{X_{\delta}}$$

در این صورت  $d_{\delta\delta}$  را ضریب تفییر مکان گویند که این ضریب مقدار تفییر مکان به سمت بالا نقطه  $\delta$  را با بازاء واحد نیرو نشان می‌دهد لذا دارای بعد واحد واحد تفییر مکان به واحد نیرو خواهد بود. اگر چنین راه حلی را بهذیریم در آن صورت  $X_{\delta}$  دارای بعد بوده و برحسب واحدهای نیرو بیان خواهد شد.

است، گرچه روش‌های دیگری نیز وجود دارد که برای سازه‌های خاصی بکاربردن آنها براین روش برتری پهدا می‌کند ولی روشی چنین کلی و قابل انعطاف برای حل سازه‌های نامعین موجود نیست. روش منطبق بر معادلات انطباق برای کلیه سازه‌ها اعم از تیرها، قابها و پا خریها و یا ترکیبی از این سازه‌ها قابل اجراست اعم از این که تحلیل سازه‌ها تحت اثر بارگذاریها، تغییرات درجه حرارت، نشست تکیه‌گاهها، اشتباہات اجرایی و نظایر آن بررسی کنیم قابل استفاده خواهد بود.

فقط یک شرط در مورد کاربرد معادلات (رویهم گذاری) انطباق باستی رعایت شود و آن قابل اجرای بودن اصل انطباق می‌باشد. با بحثی که در بخش (۱۲-۲) درباره اصل انطباق شد تا زمانی که تغییرات هندسی تحت اثر بارهای وارد به نحوی باشد که مصالح آن سازه از قانون هوک تبعیت کند صادق است البتہ کلیه روش‌های دیگری که در اینجا بیان می‌شود نیز مانند این روش باستی شرط فوق در مورد آنها صادق باشد.

قبل از این که به مثال‌های مشروح عددی در مورد کاربرد این روش با استفاده از مسائلی نumeone بهردازیم بهتر است که در مورد آنچه در بخش (۲-۱۳) گفته شد شرح بیشتری داده شود ممکن است دانشجویان در درک شرح کلی زیر دچار اشکال شوند ولی اگر تا پایان آن بخوانند مطلب بهردازند و آنچه را که درک کرده جذب نمایند و پس از آن مثال‌های بخش‌های (۴-۱۲) و (۱۲-۵) را مطالعه کنند قادر خواهند شد که بقیه مطلب را نیز با دوباره خواندن آن درک نمایند.

فرض کنید که بخواهیم یک سازه نامعین معلومی را تحت یک یا کلیه حالاتی که در آن ایجاد تنش می‌کند حل و بررسی نمائیم، این سازه می‌تواند به هر صورت و به هر درجای نامعین باشد به هر حال اولین قدم در حل آن تعیین درجه نامعینی آن است. فرض کنید سازه فوق « درجه نامعین باشد. در این صورت » قيد اضافی را انتخاب می‌کنیم و آنها را از سازه حذف می‌نماییم و به جای آنها به متعدد « تا مولفه تنش اضافی به سازه می‌افزاییم کلیه این » مجھبول  $X_1, \dots, X_n$  هم‌زمان و همراه با بارهای موجود (خارجی) به سازه اولیه که پس از آزاد کردن « قيد اضافی بوجود آمده است اثر می‌کنند.

به انواع مختلف می‌توان قیدهای اضافی را برای آزاد کردن آنها انتخاب نمود ولی در هر صورت انتخابی صحیح خواهد بود که با دقت کافی بحسب دست آمده ولذا عملیات محاسباتی را به حداقل برساند. برخی از اصول انتخاب قیدهای اضافی در بخش (۱۳-۶) شرح داده شده است و در حال حاضر کافی است ذکر کنیم که این قیود اضافی باستی به نحوی انتخاب شوند که سازه اولیه سازه‌ای پایدار و معین باشد\*.

\* گاهی بهتر است که سازه اولیه را سازه‌ای نامعین و پایدار انتخاب نمود بخش ۱۴-۳.

پس از انتخاب مجہولات می‌توانیم بگوئیم که اگر مجہولات بارهای را به سازه اولیه اعمال کنند که توسط قیدهای اضافی نظیر به سازه موجود اعمال می‌شود، پس کلیه حالات تنش در دوسازه اولیه و موجود یکی خواهد بود. درنتیجه تغییر شکل دو سازه نیز کاملاً "یکی خواهد بود و اگر تغییر مکان تکیه‌گاههای سازه اولیه با تغییر مکان تکیه‌گاههای نظیر سازه موجود یکی باشد لازم است که تغییر مکان کلیه نقاط نظری دو سازه نیز یکی باشد. می‌توان از این بحث چنین نیز برداشت کرد که لازم است تغییر مکان نقاط اثر "مجہول در سازه" اولیه کاملاً برابر با تغییر مکان نظیر آن نقاط در سازه" موجود باشد.

اگر " معادله انطباق برای " تغییر مکان نوشته شود این معادلات "مجہول را در خود خواهد داشت و چون هر یک از " تغییر مکان سازه بستگی بمناسبت تک " مجہول معادلات انطباق دارد لذا حل دستگاه معادلات "مجہولی بمعینین " مجہول خواهد انجامید. در کاربرد این روش برای راحتی بیشتر می‌باشد قراردادی برای نام‌گذاری تغییر مکانها ابداع گرد تغییر مکان کلی نقطه  $m$  از سازه اولیه را تحت اثر کلیه حالات با "  $\Delta_m$  نشان می‌دهیم سایر تغییر مکانها را که جزوی از این تغییر مکان کلی می‌باشند با دو زیرنویس که زیرنویس اول نشان دهنده محل تغییر مکان مورد بحث و زیرنویس دوم منوط به بارگذاری مربوطه می‌گردد نشان خواهیم داد، به این ترتیب تغییر مکان نقطه  $m$  از سازه اولیه را که بدلیلی بوجود آمده باشد به شرح زیر قرارداد می‌کنیم.

$\Delta_m$ : تغییر مکان کلی نقطه  $m$  تحت اثر کلیه عوامل

$\Delta_{m0}$ : تغییر مکان نقطه  $m$  تحت شرط  $0 = X$  (یعنی تحت اثر هار موجود بدون اثر مجہولات موردنظر)

$\Delta_{mT}$ : تغییر مکان ناشی از اثر تغییر حرارت

$\Delta_{ms}$ : تغییر مکان نقطه  $m$  ناشی از اثر نشست تکیه‌گاهی سازه اولیه

$\Delta_{me}$ : تغییر مکان نقطه  $m$  ناشی از اثر خطای ساخت و اجرا

$\delta_{ma}$ : تغییر مکان نقطه  $m$  ناشی از اثر  $X_a = +1 \text{ kip}$

$\delta_{mb}$ : تغییر مکان نقطه  $m$  ناشی از اثر  $X_b = +1 \text{ kip}$

$\delta_{mc}$ : تغییر مکان نقطه  $m$  ناشی از اثر  $X_c = +1 \text{ kip}$

توجه کنید که تغییر مکان ناشی از اثر مقدار واحد مجہولات را با دلتای کوچک (ة) نشان می‌دهیم.

هر مجہولی را می‌توان در جهت و راستایی دلخواه به سازه وارد کسرد با این انتخاب جهت مثبت آن مجہول را نیز تعیین کرد هایم. تغییر مکان نقطه اثر آن مجہول در راستای

انتخاب شده اندازهگیری می‌شود و جهت مشبّت تغییرمکان سیز همان جهت عملکرد مجهول خواهد بود.

بدین ترتیب با به کار بردن تعاریف و فرادران علامت، دستگاه « معادله انتباطق که شامل « مجهول می‌باشد به شکل زیر خواهد بود، هر معادله بیانگر تغییر مکان کلی یک نقطه تحت اثر هریک از « مجهول به سازه اولیه می‌باشد.

$$\begin{aligned} \Delta_a &= \Delta_{ao} + \Delta_{ar} + \Delta_{as} + \Delta_{ae} + X_a \delta_{aa} + \dots + X_n \delta_{an} \\ \Delta_b &= \Delta_{bo} + \Delta_{br} + \Delta_{bs} + \Delta_{be} + X_b \delta_{ba} + \dots + X_n \delta_{bn} \\ &\dots \\ \Delta_n &= \Delta_{no} + \Delta_{nr} + \Delta_{ns} + \Delta_{ne} + X_n \delta_{na} + \dots + X_n \delta_{nn} \end{aligned} \quad (3-12)$$

اگر مقادیر معلوم  $\Delta_a$  و  $\Delta_b$  را در معادلات قرار دهیم و همچنین پس از تعیین مقادیر تغییر مکانهای طرف راست معادله به طرق مناسب موجود و جاگذاری آنها در معادلات، دستگاه  $n$  معادله  $n$  مجهولی را می‌توان حل کرده و مقادیر مجهولات  $X_a, X_b, \dots, X_n$  را معین نصود.

در مثال (۲۲-۱۳) روش ساده‌ای مبنی بر استفاده از جدول در حل این قبیل معادلات ارائه شده است.

اگر در ایجاد معادلات انتباطق به طریقی که در بخش (۲-۱۳) بیان شد از ضرب تغییر مکان استفاده شود معادلات (۳-۱۳) بر حسب ضرایب تغییر مکان  $d_{ij}$  که بیان کننده تغییر مکان نقطه اثر مجهول  $X_i$  در جهت انتخابی  $X_j$  تحت اثر مقدار واحد مجهول  $X_i$  می‌باشد به صورت زیر نوشته خواهد شد:

$$\begin{aligned} \Delta_a &= \Delta_{ao} + \Delta_{ar} + \Delta_{as} + \Delta_{ae} + X_a d_{aa} + X_b d_{ab} + \dots + X_n d_{an} \\ \Delta_b &= \Delta_{bo} + \Delta_{br} + \Delta_{bs} + X_b d_{ba} + X_b d_{bb} + \dots + X_n d_{bn} \\ &\dots \\ \Delta_n &= \Delta_{no} + \Delta_{nr} + \Delta_{ns} + \Delta_{ne} + X_n d_{na} + X_b d_{nb} + \dots + X_n d_{nn} \end{aligned} \quad (3-13)$$

چنانکه قبل "نیز گفته شد مجهولات  $X_i$  در این معادلات دارای بعد نیرو یا لنگر بر حسب حالت موجود خواهند بود.

توجه کنید که از این معادلات مقادیر  $X_a, X_b, \dots, X_n$  به صورت بدون بعد بدست می‌آید چنین مطلبی واضح می‌باشد زیرا باید  $X_a, X_b, \dots, X_n$  عدد خالص باشند تا این که کلیه عبارات معادلات (۳-۱۳) دارای بعد یک نوع تغییر مکان (انتقال یا دوران) گردند، برای این که واحدی برای مقادیر  $X_a, X_b, \dots, X_n$  مشخص کیم لازم است که آحاد مقادیر واحد این مجهولات را که در محاسبه مقادیر  $\Delta_a, \Delta_b, \dots, \Delta_n$  وغیره بکار برد هایم همواره در نظر داشته باشیم.

توجه کنید که قیود آزاد شده (مجهولات) می‌توانند نیرو و بالانسگر بوده و تغییر مکانها نیز که با  $\Delta$  یا  $\theta$  نشان داده شده‌اند به متناسب این که آنها معرف تغییر مکان نقطه اثر یک نیرو یا لنگر باشند می‌توانند معرف تغییر مکان خطی (انتقال) و یا تغییر مکان زاویه‌ای (دوران) باشند. در مثال‌های مشروح زیر جهت مشتبه یک تغییر مکان را با پیکان کوچکی که با علامت  $\text{مربوطه مانند}$   $\overset{\circ}{\Delta}$  و غیره، همراه شده است نشان داده‌ایم.

### ۱۳- ۶ مثال‌های عددی تحلیل تنش به طریقه معادلات انطباق

مثال‌های زیر کاربرد عملی معادلات انطباق را برای تعیین تنش در سازه‌های متعارف نامعین که تحت اثر هارگذاری معلوم خارجی قرار دارند روشن می‌سازد.

پس از تعیین درجه نامعینی سازه آزادی عمل قابل ملاحظه‌ای در انتخاب قیود اضافی وجود دارد. در هر صورت هرگز مولفه‌های عکس العمل، نیروی محوری، تلاش برشی و لنگر خمی قابل محاسبه تیرها را به عنوان قید اضافی انتخاب نکنید زیرا اگر چنان کمیتی قابل محاسبه باشد آن کمیت برای پایداری سازه لازم خواهد بود، با حذف آن سازه اولیه ثابت خواهد شد.

البته چنان خطای غیرقابل تشخیص نیست زیرا تعیین تنش چنان سازه اولیه‌ای منتهی به عملی غیرممکن و یا جواب‌هایی ناسازگار خواهد شد.

خواسته شده باید انتخاب‌های دیگری برای قیود اضافی در مثال‌های ذکر شده به عمل آورد و سعی کند که انتخاب‌یابی با عملیات محاسباتی کمتر از آنچه انجام شده است تعیین نماید.

مسئله انتخاب قیود اضافی با شرح مبسط‌تری در بخش (۱۳-۶) آورده شده است.

جهت مشتبه عوامل مجهول (نیرو یا لنگر) به طور دلخواه انتخاب می‌گردد و تغییر مکان نقطه اثر آن عامل مجهول در جهت مشتبه آن عامل مشتبه گرفته می‌شود. با توجه به هر یک از این مثال‌ها دیده می‌شود که جهت اثر نهایی هر یک از عوامل مجهول ربطی به انتخاب جهت مشتبه ابتدایی ندارد.

در کاربرد روش انطباق هر نوع طریقه‌ای برای محاسبه مقادیر تغییر مکانها مجاز می‌باشد بدینهی است مانند سایر مسائل تغییر مکان باید دقت بسیاری در کاربرد آhad و علاشم به کار گرفته شود، بار دیگر توجه کنید که مقادیر  $X_1$ ،  $X_2$  و غیره که از این راه حلها بدست می‌آید فقط مقادیر عددی می‌باشند یعنی که دارای بعد نیستند. چنان مقادیر عددی مثلاً "اکبرای  $X_1$ " برابر با  $10.5$  باشد نشان می‌دهد که  $X_1$  برابر  $10.5$  برا بر زرگر از بار واحد در حالت  $X_1 = +1 \text{ kip}$  می‌باشد بدین ترتیب اگر بار واحد  $1-\text{kip}$  باشد در بیان پاسخ نهایی مقدار  $X_1$  را برابر

با  $10.5 \text{ kips}$  ذکر نموده و یا در ادامه محاسبات به کار خواهیم برد.  
اگر یک نوع واحد نیرو و یکنوع واحد طول در کل مساله بکار برد و باشیم واحدها همواره سازگار خواهند بود و اگر واحدهای مختلفی نظری  $\Delta_{\text{b}}$ ،  $\Delta_{\text{b}}$  و  $\Delta_{\text{b}}$  را در مسائلی که بیش از یک نوع تغییر شکل در آنها مطرح است مخلوط کنیم بدینهی است که به مشکل برخواهیم خورد، اشکال مشابه در حل مسائلی که بهینه در مورد تغییر درجه حرارت، نشست تکیه‌گاهها و نظایر آن مربوط می‌شود زمانی که آحاد مختلفی به کار گیریم ایجاد خواهد شد، اشکالاتی ازین قبیل در بخش (۱۳-۵) شرح داده شده است.

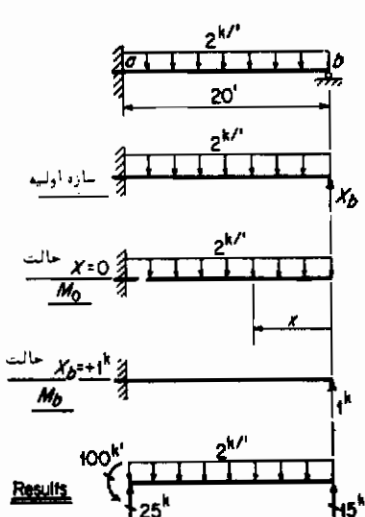
باید توجه گرد که مقدار  $\Delta_{\text{b}}$  که تغییر مکان گل نقطه، اثر عامل مجہول  $X_b$  تحت اثر کلیه حالات می‌باشد نیز همواره برابر صفر است، در حقیقت فقط زمانی مقدار  $\Delta_{\text{b}}$  مختلف صفر می‌گردد که  $X_b$  بیان گننده نیرو یا لنتگر باشد که بهیک تکیه‌گاه سازه موجود گذر جهت  $X_b$  تحمل حرکتی می‌نماید اثر گند.

### مثال ۱۳-۱ = عکس العملهای این تیر را محاسبه کنید و ثابت هستند

سازه یک درجه نامعین است،  $X_b$  را می‌توان عامل مجہول انتخاب کنیم، پس داریم:

$$\Delta_{\text{b}} = \Delta_{\text{b}} + X_b \delta_{\text{b}} = 0$$

مقادیر مطابق را به روش کار مجازی تعیین می‌کنیم



$$\Delta_{\text{b}}: \quad Q\delta = \sum \int M_Q M_P \frac{ds}{EI}$$

$$M_Q = M_b \quad M_P = M_o$$

$$(I^k)(\Delta_{\text{b}}^1) = \int M_b M_o \frac{ds}{EI}$$

از رُنگ

$$M_b = x \quad M_o = -x^2$$

$$(I^k)(\Delta_{\text{b}}^1) = \int_0^{20} (x)(-x^2) \frac{dx}{EI}$$

$$\Delta_{\text{b}} = \frac{-40,000 k'^3}{EI}$$

$$\delta_{\text{b}}: \quad M_Q = M_b \quad M_P = M_b$$

$$(I^k)(\delta_{\text{b}}^1) = \int M_b^2 \frac{dx}{EI}$$

$$(I^k)(\delta_{\text{b}}^1) = \int_0^{20} (x)^2 \frac{dx}{EI} \quad \delta_{\text{b}} = \frac{2,667 k'^4}{EI}$$

پس

$$\frac{-40,000}{EI} + \frac{2,667}{EI} X_b = 0$$

به سمت بالا

$$\therefore X_b = +15$$

سپس با کمک گرفتن از معادلات تعادل عکس‌العملها در انتهای ه و به صورتی که نشان داده شده محاسبه می‌شود.

**مثال ۱۳-۲ = عکس‌العمل‌های این تیر را محاسبه کرده و نمودار لنگر خمشی آنرا ترسیم نمایید E و I ثابت هستند.**

سازه یک درجه نامعین است، X<sub>c</sub> را به عنوان عامل مجہول انتخاب می‌کنیم پس:

$$\Delta_E = \Delta_{ee} + X_c \delta_{ee} = 0$$

مقادیر E و I را بروش بار ارجاعی محاسبه می‌کنیم

۱۳-۵: ابتدا مقدار عکس‌العمل تیر خیالی را در نقطه ۶ مشخص می‌کنیم

$$\begin{aligned} 216 \times 3 &= 648 \times 4 = 2,592 \\ 216 \times 4.5 &= 972 \times 9 = 8,748 \\ \frac{11,340}{15} &= 756 \end{aligned}$$

پس:

$$EI\Delta_{ee} = 756 \times 18 = 13,608 \uparrow$$

$$\therefore \Delta_{ee} = \frac{+13,608 \text{ in}^3}{EI}$$

۱۳-۶: ابتدا عکس‌العمل تیر خیالی را در ۶

مشخص می‌کنیم

$$36 \times 18 \times 7.5 = 90$$

پس:

$$EI\delta_{ee} = 90 \times 18 + 18 \times 9 \times 12 = 3,564 \uparrow$$

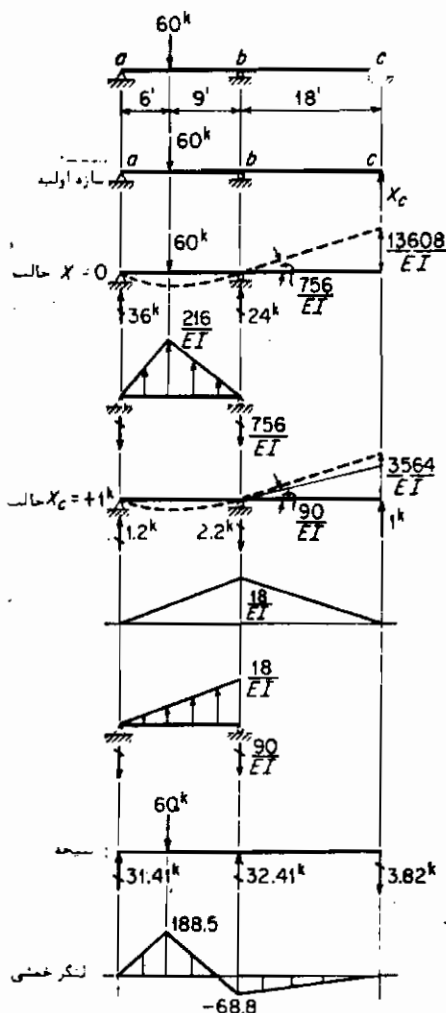
$$\therefore \delta_{ee} = \frac{+3,564 \text{ in}^3}{EI}$$

پس

$$\frac{13,608}{EI} + \frac{3,564}{EI} X_c = 0$$

$$\therefore X_c = -3.82$$

یعنی به سمت پائین



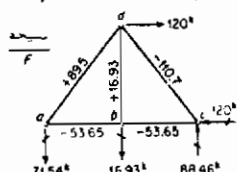
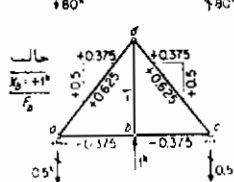
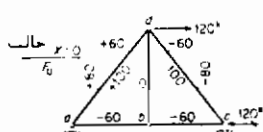
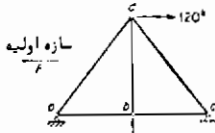
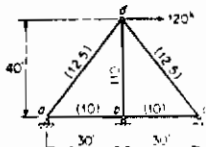
حال می‌توان عکس‌العمل‌های مربوط به ه و ۶ را به سادگی به کمک معادلات تعادل معین نمود و به همین ترتیب نمودار لنگر خمشی را بدون اشکال رسم کرد.

مثال ۱۳ - ۳ = عکس العملها و نیروی میله‌ها را برای این خرپا محاسبه کنید، سطح

$$E = 30 \times 10^3 \text{ kips} \quad \text{sq in} \quad \text{مقاطع را در داخل پرانتز نشان داده‌ایم.}$$

چون این سازه یک درجه نامعین می‌باشد  $X_b$  را به عنوان مجهول بر می‌گزینیم در این صورت خواهیم داشت:

$$\Delta_{bb} = F_b + X_b \delta_{bb} = 0$$



$\Delta_{bb}$  را به روش کار مجازی محاسبه می‌کنیم

$$\sum Q\delta = \sum F_Q \Delta L = \sum F_Q F_P \frac{L}{AE}$$

$$\Delta_{bb}: F_Q = F_b \quad F_P = F_b \quad (I^k)(\Delta_{bb}^1) = \frac{1}{E} \sum F_b F_b \frac{L}{A}$$

$$\delta_{bb}: F_Q = F_b \quad F_P = F_b \quad (I^k)(\delta_{bb}^1) = \frac{1}{E} \sum F_b^2 \frac{L}{A}$$

میله	$L$	$A$	$\frac{L}{A}$	$F_o$	$F_b$	$F_b F_o \frac{L}{A}$	$F_b^2 \frac{L}{A}$	$X_b F_b$	$F$
ad	30	10	3	-	-	-	-	-	-
be	30	10	3	-60	-60	+87.5	+87.5	+0.422	+6.35
ad	30	12.5	4	+100	+100	+0.825	+250	+1.563	-10.6
dc	50	12.5	4	-100	-100	+0.825	-850	+1.563	-10.6
bd	40	10	4	0	-1.0	0	0	+4.0	+16.93
$\Sigma$						+135	+7.970		+10.03

$$(I^k)(\Delta_{bo}) = \frac{+135 k^{1/10^3}}{E} \quad \Delta_{bo} = \frac{135 k^{1/10^3}}{E}$$

$$(I^k)(\delta_{bb}) = \frac{+7.97 k^{1/10^3}}{E} \quad \delta_{bb} = \frac{7.97 k^{1/10^3}}{E}$$

$$\therefore \frac{135}{E} + \frac{7.97}{E} X_b = 0 \quad X_b = \underline{-16.93} \quad \text{به سمت پائین}$$

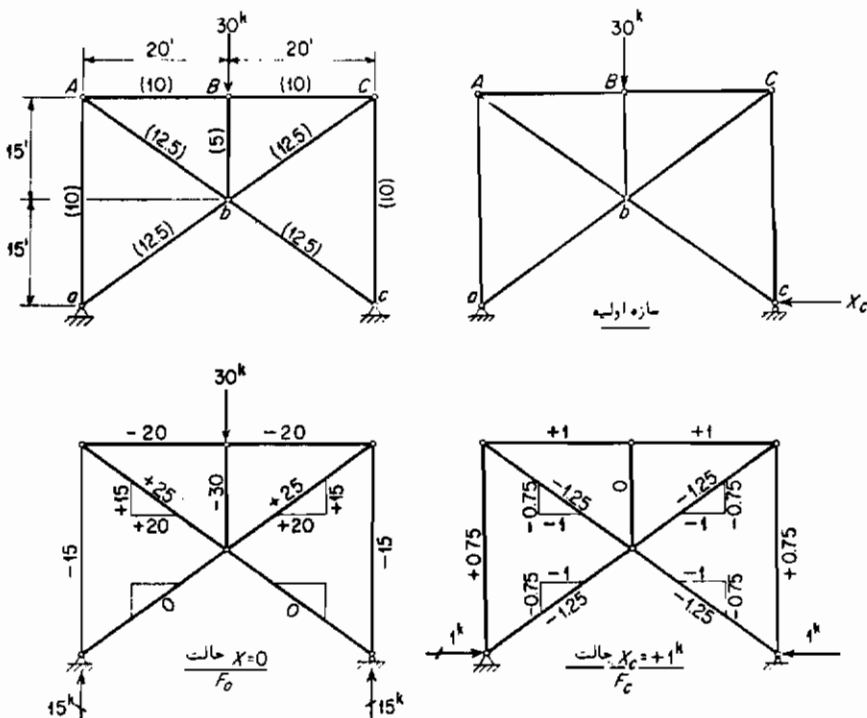
حال بقیه عکس العملها و نیروی میله‌ها را می‌توان با استفاده از معادلات تعادل محاسبه نمود. نیروی میله‌ها را نیز می‌توان به همین ترتیب با استفاده از جدول و بکاربردن رابطه زیر که بیان کننده روش انطباق می‌باشد محاسبه کرد.

$$F = F_o + X_b F_b$$

مثال ۱۳-۴ = عکس‌العملهای این خرپا را محاسبه کنید، سطح مقطع اعضاء آن در  $E = 30 \times 10^3 \text{ kips} \text{ sq in}$  داخل پرانتر ذکر شده است،

چون این سازه پک درجه نامعین است،  $X_c$  را به عنوان مجھول انتخاب می‌کنیم.

$$\Delta_{ce}^- = \Delta_{co} + X_c \delta_{ce} = 0$$



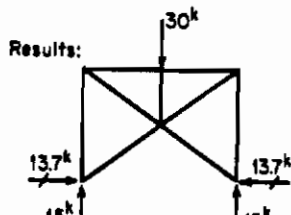
با استفاده از روش کار مجازی به محاسبه مقادیر  $\Delta_{co}$  و  $\delta_{ce}$  می‌پردازیم.

$$\Delta_{co}: \quad F_Q = F_c \quad F_P = F_o \quad (I^k)(\Delta_{co}^-) = \frac{1}{E} \sum F_c F_o \frac{L}{A}$$

$$\delta_{ce}: \quad F_Q = F_c \quad F_P = F_c \quad (I^k)(\delta_{ce}^-) = \frac{1}{E} \sum F_c^2 \frac{L}{A}$$

از نتائجی که هم از نظر بارگذاری هم از نظر شکل سازه و هم از حیث تکیه‌گاهها تقارن وجود دارد، فقط نصف میله‌های خرپا در جدول درج شده است.

$$\frac{-272.5}{E} + \frac{19.875}{E} X_c = 0 \quad \therefore X_c = \underline{\underline{+13.7}} \quad \therefore \leftrightarrow$$



میله	$L$	$A$	$\frac{L}{A}$	$F_o$	$F_e$	$F_o F_e \frac{L}{A}$	$F_o^2 \frac{L}{A}$
AB	20	10	2	-80	+1.0	-40	+8.0
ab	25	18.5	2.67	0	-1.25	0	+3.185
Aa	30	10	3	-15	+0.75	-35.75	+1.888
Ab	25	18.5	2.67	+25	-1.25	-68.5	+3.185
$\sum Bb$	7.5	5	1.5	-30	0	0	0
$\sum \Sigma$						-138.25	+9.938
						-878.5	18.875

مثال ۱۳ - نیروی میله‌ها را در اعضای این خرپا محاسبه کنید E و A برای کلیه اعضاء ثابت هستند.

این خرپا از نظر تکیه‌گاهی معین است ولی از نظر نیروی میله‌های خود دودرجمنامعین می‌باشد میله‌های  $bC$  و  $cd$  را برش می‌زنیم و نیروهای داخلی آنها را به عنوان مجہول می‌گیریم:

$$\Delta_{11} = \Delta_{10} + X_1 \delta_{11} + X_2 \delta_{12} = 0 \quad (1)$$

$$\Delta_{22} = \Delta_{20} + X_1 \delta_{21} + X_2 \delta_{22} = 0 \quad (2)$$

به دلیل قانون ماکسول  $\delta_{11} = \delta_{22}$  است و به دلیل تقارن سازه و انتخاب مناسب مجہولها  $\delta_{22} = \delta_{11}$  می‌باشد. بنابراین فقط چهار تغییر مکان محاسبه خواهد شد، که این تغییر مکانها عبارتند از  $\Delta_{10}$  ،  $\Delta_{20}$  ،  $\Delta_{11}$  و  $\Delta_{22}$  با استفاده از روش کار مجازی خواهیم داشت:

$$(I^b)(EA\Delta_{10}) = \Sigma F_o F_e L = -8,040 k^3$$

$$(I^b)(EA\Delta_{20}) = \Sigma F_o F_e L = +760 k^3$$

$$(I^b)(EA\delta_{11}) = \Sigma F_o F_e L = +12,8 k^3$$

$$(I^b)(EA\delta_{22}) = \Sigma F_o^2 L = +86,4 k^3$$

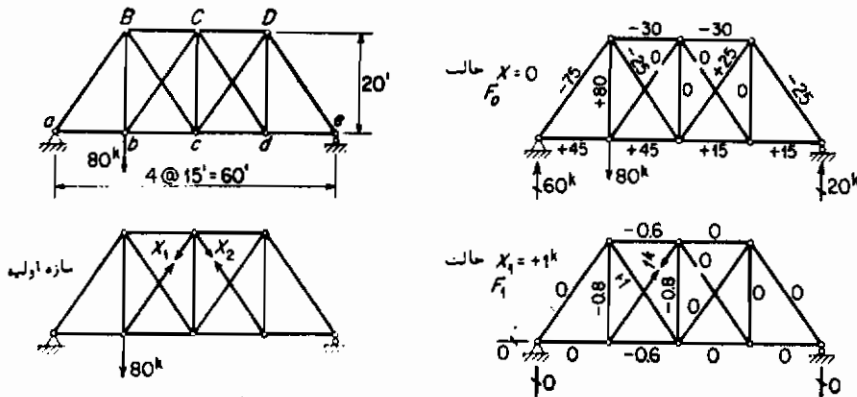
حال اگر این مقادیر را در عبارات (1) ، (2) قرار دهیم و مقدار EA را حذف نمائیم خواهیم داشت:

$$-8,040 + 86,4X_1 + 12,8X_2 = 0$$

$$+760 + 12,8X_1 + 86,4X_2 = 0$$

با حل این دستگاه دو معادله دو مجہولی مقادیر زیر بدست می‌آید:

$$X_1 = +25.5 \quad X_2 = -12.6$$



میله	$L$	$F_0$	$F_1$	$F_2$	$F_0 F_1 L$	$F_0 F_2 L$	$F_1 L$	$F_1 F_2 L$	$F_1 X_1$	$F_2 X_2$	$F$
حاد ت	'	$k$	$k$	$k$	$k^2$	$k^2$	$k^2$	$k^2$	$k$	$k$	$k$
bc	15	+45	-0.8	0	-405	0	+5.4	0	-15.3	0	+29.7
cd	15	+15	0	-0.8	0	-135	0	0	0	+7.6	+22.6
BC	15	-30	-0.8	0	+270	0	+5.4	0	-15.3	0	-45.3
CD	15	-30	0	-0.8	0	+270	0	0	0	+7.6	-22.4
bB	20	+80	-0.8	0	-1,280	0	+12.8	0	-20.4	0	+59.6
cC	20	0	-0.8	-0.8	0	0	+12.8	+12.8	-20.4	+10.1	-10.3
dD	20	0	0	-0.8	0	0	0	0	0	+10.1	+10.1
Bc	25	-25	+1	0	-625	0	+25.0	0	+25.5	0	+0.5
bC	25	0	+1	0	0	0	+25.0	0	+25.5	0	+25.5
cD	25	+25	0	+1	0	+625	0	0	0	-12.6	+18.4
Cd	25	0	0	+1	0	0	0	0	0	-12.6	-12.6
$\Sigma$					-8,040	+760	+88.4	+18.8			

بحث :

جدولی کردن محاسبات چنین خربایی، مشخص نمودن میله‌هایی که در آنها تأثیری بر وجود دارد نه  $F_0$ ، غیر ضروری است، ولی حتماً می‌بایستی میله‌های اضافی ذکر شود، چرا؟

ممکن است سوالاتی در مورد قطع میله‌های خربای این مساله وجود داشته باشد، دانشجویان گاهی اظهار می‌دارند که دو انتهای چنین میله قطع شده‌ای حالت ناپایدارخواهد داشت، زیرا چنانکه در نمودار خطی فوق الذکر نشان داده شده است امکان دوران دو انتهای این میله‌ها حول مفصل‌های گرمها وجود دارد برای این که امکان صحیح چنین عطی را نشان دهیم نحوه برش در چنین حالاتی را در شکل (۴-۱۳) نشان داده‌ایم، چون برش و لنگر در میله‌ای که در دو انتهای خود بدین صورت مفصل شده است معین می‌باشد لذا چنین اتصالی

قابل انفال نخواهد بود و بدین ترتیب وقتی ما می‌گوئیم که میله‌ای را برش می‌دهیم منظور این است که قدرت انتقال نیروی محوری را از آن سلب می‌کنیم ولی قدرت تحمل برش و لنگر آن همچنان باقی می‌ماند . این عمل را می‌توان بهطوری که در شکل نشان داده شده است . با خالی نمودن اطراف محور میله و تراش دادن انتهای دیگر آن و تأمین اتصال آن دو توسط چند سری گویچه که در حول محور قرار دارند ایجاد نمود .



شکل ۴-۱۲ بیان چگونگی سلب قدرت انتقال نیروی محوری

البته نشان دادن چنین شرح اتصالی در همه مواردی که میله را به منظور سلب قدرت انتقال نیروی محوری برش می‌دهیم غیرعملی خواهد بود . در چنین حالاتی همواره به صورتی که ذر نمودار خطی نشان داده ایم چنین حالاتی را بیان خواهیم کرد ولی منظور ما اتصالی از نوع بالا خواهد بود .  
این شرح در مورد قطعه کشی مثال (۱۳-۸) نیز صادق خواهد بود .

مثال ۱۳ - ۶ = عکس العملهای این تیر را محاسبه کرده و نمودار لنگر خمشی را برای آن رسم کنید .

$$E = 30 \times 10^3 \text{ kips} \quad \text{sq in}$$

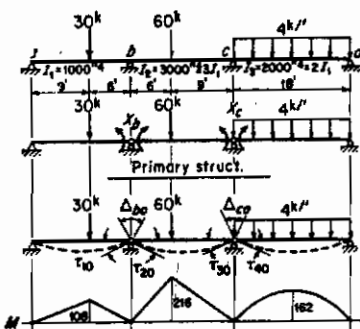
این تیر دو درجه نامعین می‌باشد . لنگرهای تکیه‌گاههای میانی را به عنوان مجہول انتخاب می‌کنیم لذا خواهیم داشت :

$$\Delta_{b0} = \Delta_{b0} + X_b \delta_{bb} + X_c \delta_{bc} = 0 \quad (1)$$

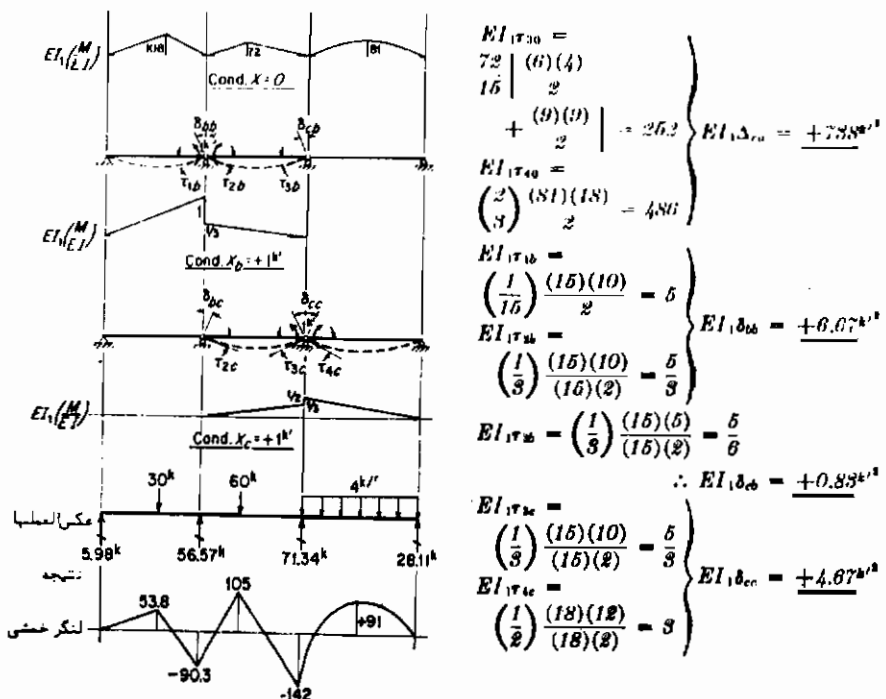
$$\Delta_{c0} = \Delta_{c0} + X_b \delta_{cb} + X_c \delta_{cc} = 0 \quad (2)$$

طبق قانون ماکسول  $\Delta_{bc} = \delta_{bc}$  و با استفاده از قضایای سطح لنگر برای محاسبه  $\delta_{bc}$  ،

و خواهیم داشت :



$$\left. \begin{aligned} EI_{1,T_{10}} &= \frac{108}{15} \left[ \frac{(9)(6)}{2} + \frac{(6)(11)}{2} \right] = 432 \\ EI_{1,T_{20}} &= \frac{72}{15} \left[ \frac{(9)(6)}{2} + \frac{(6)(11)}{2} \right] = 288 \\ EI_{1,\Delta_{b0}} &= +720 \end{aligned} \right\}$$



با جاگذاری این مقادیر در معادلات (۱) و (۲) و حذف  $EI$  از معادلات خواهیم داشت:

$$\begin{aligned} 780 + 6.07X_b + 0.83X_c &= 0 \\ 738 + 0.83X_b + 4.67X_c &= 0 \end{aligned}$$

از حل این دستگاه معادله مقادیر زیر به دست می‌آید:

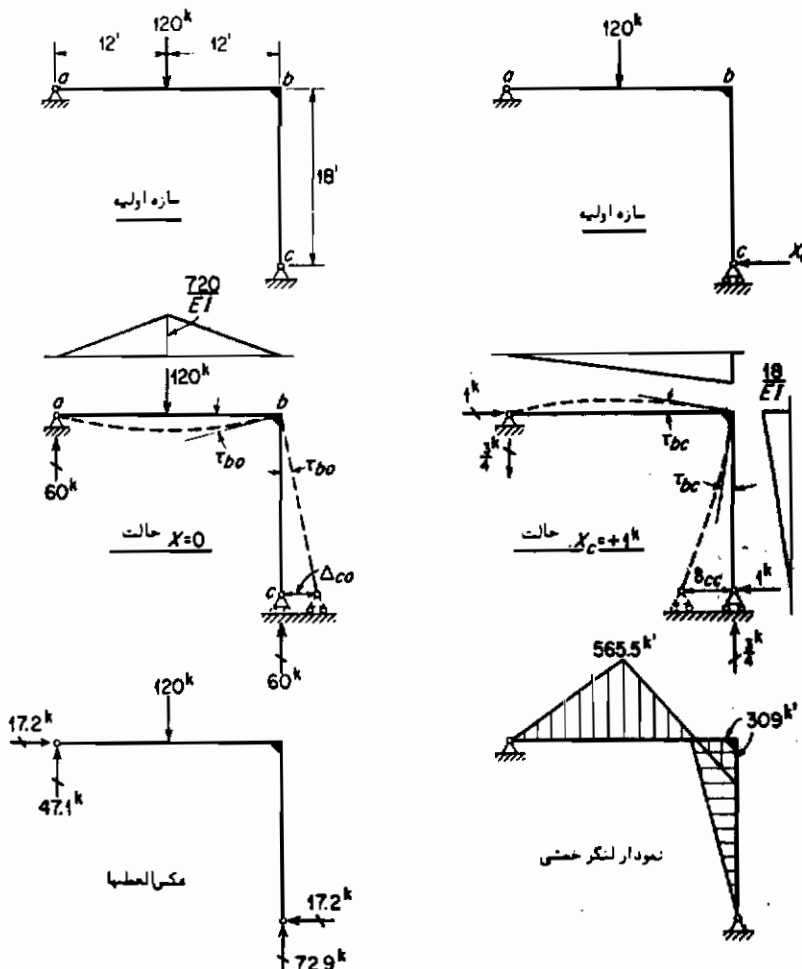
$$X_b = -80.8 \quad X_c = -142.0$$

پس از معلوم شدن این مقادیر لنگر می‌توان در قسمتهای مختلف تیر با استفاده از معادلات تعادل به محاسبه برش، عکس‌العملها و لنگرها پرداخت که در این صورت نتایج نشان داده شده حاصل خواهد شد.

### بحث :

وقتی لنگرهای تکیه‌گاهی را به عنوان مجھول انتخاب می‌کنیم، مقاومت در برابر لنگر را در این نقاط از بین می‌بریم و این بدان معنی است که در این نقاط مفصل ایجاد می‌کنیم. به نحوهٔ برخورد با تغییر  $I$  در طول تیر این مساله توجه نمایند، دیده می‌شود که هر یک را به عنوان مبدأ انتخاب کرده‌ایم و سپس سایر  $I$  ها را نسبت به آن نشان داده‌ایم. پس از انجام این عمل دیگر ذکر مقادیر متغیر  $I$  در این مساله مورد پیدا نخواهد کرد.

مثال ۱۳ - ۲ = مقادیر عکس العملها را برای این قاب محاسبه کرده و نمودار لنگرخمشی را برای آن رسم کنید  $\Delta_{\text{ee}}$  و  $\theta_{\text{ee}}$  ثابت هستند، فقط تغییر شکل حاصل از لنگر موردنظر می‌باشد.



این قاب یک درجه نامعین می‌باشد.  $X_c$  را به عنوان مجهول انتخاب می‌کنیم در این صورت خواهیم داشت:

$$\Delta_e = \Delta_{ee} + X_c \delta_{ee} = 0$$

حال با استفاده از تضایی سطح لنگر مقادیر  $\Delta_{ee}$  و  $\theta_{ee}$  را محاسبه می‌کنیم.

$$EI\theta_{ee} = (720)(12) \left( \frac{12}{\frac{E}{24}} \right) = 4,320 \quad \therefore \Delta_{ee} = - \left( \frac{4,320}{EI} \right) (18) = \frac{-77,760}{EI}$$

$$EI\tau_{\text{م}} = (18)(18) \left( \frac{18}{E4} \right) = 144 \quad \therefore \delta_{\text{م}} = \left( \frac{144}{EI} \right) (18) + \left( \frac{18}{EI} \right) (9)(18) = + \frac{4,536}{EI}$$

بدین ترتیب خواهیم داشت:

$$\frac{-77,760}{EI} + \frac{4,536}{EI} X_0 = 0 \quad X_0 = +17.16 \quad \therefore +$$

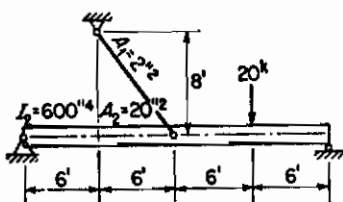
بعیه محاسبات را می‌توان با استفاده از روابط تعادل انجام داد.

مثال ۱۳ - ۸ = مقدار نیرو را در میله کشی این سازه محین کنید.

این سازه یک درجه نامعین می‌باشد، قطعه کشی را بریده و نیروی داخلی آن را به عنوان

مجهول انتخاب می‌کنیم، خواهیم داشت:  $\Delta_{\text{م}} = \Delta_{\text{م}} + X_0 \delta_{\text{م}} = 0$

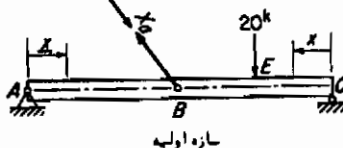
با ملاحظه نمودن تغییر شکل حاصل از لنگر خمشی و نیروی محوری مقادیر  $M_{\text{م}} = 5x$  و  $F_{\text{م}} = 0$  را با استفاده از روش کار مجازی محاسبه می‌نماییم.



$$\sum Q\delta = \sum F_Q F_P \frac{L}{AE} + \sum \int M_Q M_P \frac{ds}{EI}$$

از A تا B

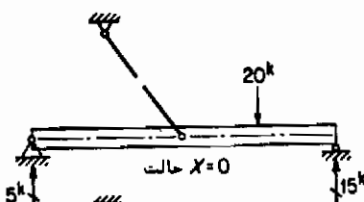
$$\begin{aligned} 0 < x < 18 \\ M_{\text{م}} &= 5x & L &= 18 \\ M_{\text{م}} &= -0.4x & F_{\text{م}} &= 0 \\ M_{\text{م}} &= -0.6x & F_{\text{م}} &= -0.6x \end{aligned}$$



از B تا C

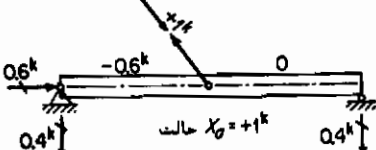
$$\begin{aligned} 0 < x < 6 \\ M_{\text{م}} &= 15x & F_{\text{م}} &= 0 \\ M_{\text{م}} &= -0.4x & F_{\text{م}} &= 0 \end{aligned}$$

از C تا D



$$\begin{aligned} 6 < x < 12 \\ M_{\text{م}} &= 120 - 5x & F_{\text{م}} &= 0 \\ M_{\text{م}} &= -0.4x & F_{\text{م}} &= 0 \end{aligned}$$

از D تا E



$$\begin{aligned} 12 < x < 18 \\ M_{\text{م}} &= 0 & F_{\text{م}} &= 0 \\ M_{\text{م}} &= 0 & F_{\text{م}} &= +1 \end{aligned}$$

$$(I^k)(\Delta_{\infty}) = \sum F_s F_s \frac{L}{AE} + \sum \int M_s M_s \frac{ds}{EI} = 0 + \int_0^{12} (5x)(-0.4x) \frac{dx}{EI_1} \\ + \int_0^6 (15x)(-0.4x) \frac{dx}{EI_1} + \int_6^{12} (120 - 5x)(-0.4x) \frac{dx}{EI_1} \\ \therefore EI_1 \Delta_{\infty} = \underline{-3,168}^{\text{b}^4}$$

$$(I^k)(\delta_{\infty}) = \sum F_s \frac{L}{AE} + \sum \int M_s \frac{ds}{EI} = \frac{(-0.6)^4(12)}{EA_1} + \frac{(I^k)(10)}{EA_1} \\ + 2 \int_0^{12} (-0.4x)^4 \frac{dx}{EI_1} \quad \therefore EI_1 \delta_{\infty} = \underline{+206.06}^{\text{b}^3}$$

چون داریم :

$$\frac{I_1}{A_1} = \left( \frac{600}{144^4} \right) \left( \frac{144}{20} \right) - \left( \frac{30}{144} \right)^4 \quad \frac{I_2}{A_1} = \left( \frac{600}{144^4} \right) \left( \frac{144}{8} \right) - \left( \frac{300}{144} \right)^4 \\ \frac{-3,168}{EI_1} + \frac{206.06}{EI_1} X_0 = 0 \quad \therefore X_0 = \underline{+15.38} \quad \therefore \text{کششی :}$$

اگر از تغییر شکل حاصل از نیروی محوری صرف نظر شود خواهیم داشت :

$$X_0 = \frac{3,168}{184.32} = \underline{+17.8}$$

### ۱۳- ۵ چند مثال برای بررسی اثر حرارت، نشت و غیره

در مثالهای زیر به شرح چگونگی کاربرد معادلات انطباق در تحلیل تنش سازه‌های نامعین متداول که تحت اثر تغییر درجه حرارت، جابجایی تکیه‌گاه‌ها، خطاهای ساخت و غیره قرار دارند می‌پردازیم.

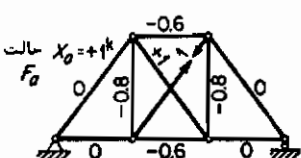
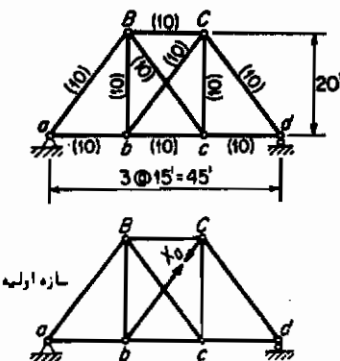
اساساً این مسائل پیچیده‌تر از مسائل مربوط به بررسی سازه‌ها تحت اثر بارگذاریها نمی‌باشند همواره بیان داشته باشید که تغییر مکانهای  $\Delta_{47}$ ،  $\Delta_{48}$  و غیره به ترتیب نشان دهنده تغییر مکانهای نقاط در سازه اولیه تحت اثر تغییر درجه حرارت سازه اولیه، نشت تکیه‌گاه‌های سازه اولیه و غیره می‌باشد هرگاه جمع این تغییر مکانهای با سهم مربوط به هر یک از اتصالات اضافی به صورت صحیحی انجام گیرد جمع کل می‌باشی طوری باشد که تغییر مکان نقطه از سازه اولیه برابر با تغییر مکان معلوم نقطه نظیر آن از سازه اصلی باشد.

مثال ۱۳-۹ = نیروی میله‌ها را در صورت ازدیاد درجه حرارتی برابر با  $60^\circ F$  در میله‌های  $aB$  و  $BC$  محسوب کنید، در سایر میله‌ها تغییر درجه حرارتی انجام نمی‌گیرد  $E = 30 \times 10^3 \text{ kips sq in}$  و  $\alpha_i = 1/180,000$  و دادهایم.

این خرپا یک درجه نامعین است، میله  $cC$  را قطع کرده و نیروی میله آن را به عنوان مجهول اضافی فرض می‌کنیم، در این حالت خواهیم داشت:

$$\Delta_{eT}^{'} = \Delta_{eT} + X_e \delta_{ee} = 0$$

با استفاده از روش کار مجازی،



$$\Delta_{eT}: F_0 = F_e$$

$$(I^k)(\Delta_{eT}^{'}) = \sum F_e a_{et} L = a_t \sum F_e t L$$

$$\delta_{ee}: F_0 = F_p = F_e \quad (I^k)(\delta_{ee}^{'}) = \frac{1}{E} \sum F_e \frac{L}{A}$$

میله	$L$	$A$	$\frac{L}{A}$	$F_e$	$F_e^2 \frac{L}{A}$	$t$	$F_e t L$	$X_e F_e$
BC	15	10	1.5	-0.6	+0.54	+80	-540	-7.5
be	15	10	1.5	-0.6	+0.54	0	0	-7.5
Bb	30	10	3	-0.8	+1.28	0	0	-10.0
Cc	30	10	3	-0.8	+1.28	0	0	-10.0
Be	35	10	3.5	+1.0	+2.5	0	0	+12.5
bC	35	10	3.5	+1.0	+2.5	0	0	+12.5
$\Sigma$					+8.64		-540	

$$\Delta_{eT} = -(540)^{\circ F} \left( \frac{1}{150,000} \right)^{\circ F} = -0.0036 \text{ ft}$$

$$\delta_{ee} = + \frac{8.64 \text{ ft}^2}{30 \times 10^3 \text{ ft}^3} = +0.000288 \text{ ft}$$

$$-0.0036 + 0.000288 X_e = 0 \quad X_e = +12.5 \text{ کشش}$$

مثال ۱۳-۱۰ = نیرو میله‌ها را در قاب خرپایی دو مفصل مثال (۱۳-۴) در صورتی که قطعه  $AB$  به اندازه "۳' گوچکتر ساخته شده باشد حساب کنید.

$$\Delta_{eT}^{'} = \Delta_{eT} + X_e \delta_{ee} = 0$$

در این حالت

با به کار بردن روش کار مجازی و استفاده از معلومات مثال (۱۳-۴) مقدار  $\Delta_{eT}$  به صورت زیر محاسبه می‌گردد

$$(I^k)(\Delta_{eB}^{'}) = \Sigma F_e \Delta L_B = (+1^k)(-360)' \quad \Delta_{eT} = -0.0104'$$

از مثال (۱۳-۴) خواهیم داشت:

$$\delta_{ee} = + \frac{19.875 \text{ ft}^2}{E} = + \frac{19.875 \text{ ft}^2}{30 \times 10^3 \text{ ft}^3} = +0.0006625'$$

$$\therefore -0.0104' + 0.0006625' X_e = 0 \quad \therefore X_e = +15.7 \quad \therefore \leftrightarrow$$

پس از آن می‌توان نیروی میله‌ها را از رابطه زیر معین نمود.

$$F = X_e F_e = 15.7 F_e$$

مثال ۱۳ - ۱۱ = نیروی میله‌های این خرپا را تحت اثر جابجایی تکیه‌گاهی زیر محاسبه کنید.

0.24 in	بطرف پائین	: a	تکیه‌گاه
0.48 in	بطرف پائین	: c	تکیه‌گاه
0.36 in	بطرف پائین	: e	تکیه‌گاه

$$E = 30 \times 10^3 \text{ kips} \quad \text{sq in} \quad \text{مقادیر سطح مقاطع را در داخل پرانتز نشان داده ایم}$$

عكس العمل عمودی e را به عنوان مجهول اضافی انتخاب می‌کنیم

$$\Delta_e^t = \Delta_{es} + X_e \delta_{ee} = -0.04'$$

با استفاده از روش کار مجازی خواهیم داشت:

$$\Delta_{es}: \quad \Sigma Q \delta = 0$$

$$\text{چون } \Delta_e = 0 \quad (\text{بهمثال ۱۲-۳ مراجعه شود})$$

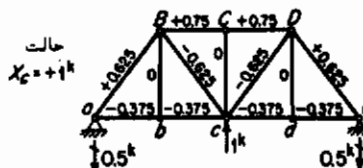
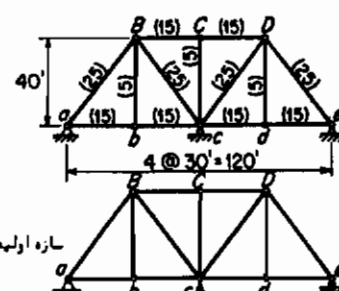
$$(I^k)(\Delta_{es}^t) + (0.5^k)(0.08') \\ + (0.5^k)(0.08') = 0 \\ \therefore \Delta_{es} = \underline{-0.025'}$$

که بر مقدار حاصل از بزرگی هندسی در شکل نشان داده شده تطابق دارد

$$\delta_{ee}: \quad (I^k)(\delta_{ee}^t) = \frac{1}{E} \sum F_i^2 \frac{L}{A}$$

بعد لیل تقارن درج نیمی از میله‌های خرپا در جدول کافی خواهد بود.

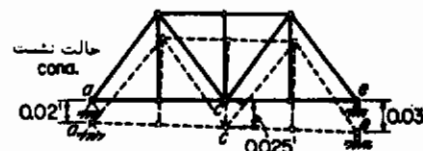
میله	L	A	$\frac{L}{A}$	F <sub>e</sub>	$F_e^2 \frac{L}{A}$	X <sub>e</sub> F <sub>e</sub>
آحاد	z	"	z	k	$z^2 k^2 z^2$	k
ab	30	15	2	-0.375	+0.281	+86.0
bc	30	15	2	-0.375	+0.281	+86.0
BC	30	15	2	+0.75	+1.125	-88.1
aB	30	25	1.2	+0.625	+0.781	-44.1
Bc	30	25	1.2	-0.625	+0.781	+44.1
yz					+3.85	



$$\delta_{ee} = \frac{+0.50 k^2 z^2}{30 \times 10^3 \text{ kips}} = +0.000216'$$

$$\therefore -0.025 + 0.000216 X_e = -0.04'$$

$$X_e = \frac{-0.015}{0.000216} = -69.5 \quad \text{به سمت پائین}$$



مثال ۹-۱۲ = عکس العملهای تیر مثال (۹-۱۳) تحت نشستهای تکیه‌گاهی زیر محاسبه نموده و نمودار لنگر خمشی را برای آن رسم کنید.

نشسته a: نقطه  $x_1 = 0.02 \text{ ft}$  به طرف پائین

نشسته b: نقطه  $x_1 = 0.04 \text{ ft}$  به طرف پائین

$$E = 30 \times 10^3 \text{ kips/sq in}$$

$$\Delta_{as} = \Delta_{bs} + X_b \delta_{ba} + X_c \delta_{ca} = 0 \quad (1)$$

$$\Delta_{cs} = \Delta_{as} + X_b \delta_{cb} + X_c \delta_{cc} = 0 \quad (2)$$

یا با استفاده از روش کار مجازی و یا با استفاده از بررسی هندسی مقابله خواهیم داشت:

$$\Delta_{as} = -0.000667$$

$$\Delta_{cs} = -0.003444$$

از مثال (۹-۱۳) داریم:

$$\delta_{ba} = \frac{6.667x^3}{EI_1} \quad \delta_{ca} = \frac{4.667x^3}{EI_1}$$

$$\delta_{bc} = \delta_{ab} = \frac{0.833x^3}{EI_1}$$

پس از ارزانی این مقادیر معادلات (۱) و (۲) به صورت زیر در می‌آید:

$$6.667X_b + 0.833X_c = 0.000667EI_1$$

$$0.833X_b + 4.667X_c = 0.003444EI_1$$

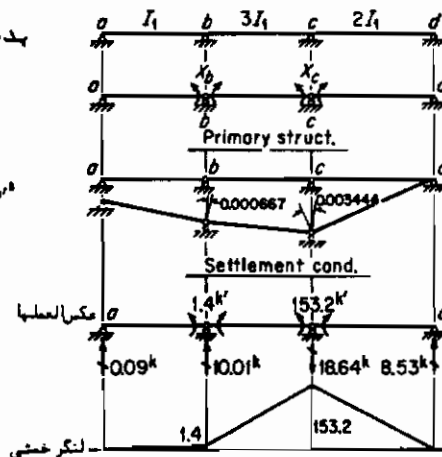
بدین طریق خواهیم داشت:

$$EI_1 = (30 \times 10^3 \times 144)^{1/3} \left( \frac{1,000}{144^3} \right)^{1/3}$$

$$= 0.808 \times 10^6 \text{ in}^3$$

$$X_b = +0.00000885EI_1 = +1.4$$

$$X_c = +0.000738EI_1 = +153.2$$



پس از معلوم شدن این دو مقدار محاسبه عکس العملها و رسم نمودار لنگر خمشی ساده خواهد بود.

### ۱۳- ۶ تذکراتی کلی در مورد انتخاب مجہولات اضافی

از بحث قبلی چنین بر می‌آید که انتخاب‌های متفاوتی در مجہولات اضافی وجود دارد و تنها ضابطه‌ای که برای انتخاب وجود دارد این است که سازه اولیه پایدار باقی بماند البته واضح است که انتخاب مناسب مجہولات اضافی حجم محاسبات را نیز به حداقل خود می‌رساند. چنین نتیجه‌ای در صورتی حاصل می‌گردد که نکات زیر توجه شود:

- ۱- از هر نوع تقارن سازه استفاده شود.
- ۲- سازه اولیه را به نوعی انتخاب کنید که تا حد ممکن اثرات حاصل از بارگذاری‌های متفاوت را بتوان درهم ادغام نمود.

بررسی انتخاب‌های متعدد مجہولات اضافی در مورد خربای سرتاسری شکل (۱۳-۵) صحت نکات فوق را تأثیر می‌نماید. این سازه دو درجه نامعین است ولذا هر نوع انتخابی که برای مجہولات اضافی بعمل آید منجر بهدو معادله زیر خواهد شد.

$$\begin{aligned}\Delta_a &= \Delta_{aa} + X_a \delta_{aa} + X_b \delta_{ab} = 0 \\ \Delta_b &= \Delta_{bb} + X_a \delta_{ba} + X_b \delta_{bb} = 0\end{aligned}\quad (\text{الف})$$

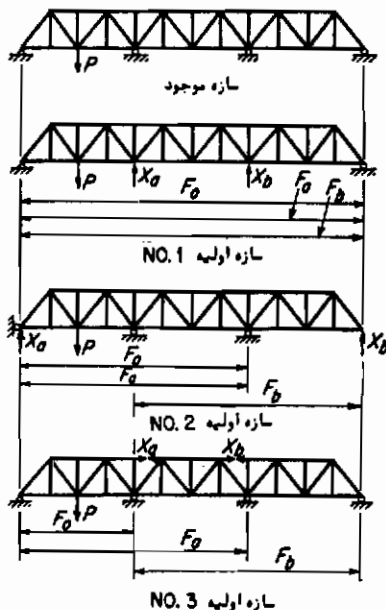
چون  $\Delta_a$  برابر با  $\Delta_b$  می‌باشد فقط محاسبه پنج تغییر مکان مختلف زیر مورد نیاز خواهد بود.

$$\begin{aligned}(1)(\Delta_{aa}) &= \sum F_a F_a \frac{L}{AE} & (1)(\delta_{aa}) &= \sum F_a^2 \frac{L}{AE} \\ (1)(\Delta_{bb}) &= \sum F_b F_b \frac{L}{AE} & (1)(\delta_{bb}) &= \sum F_b^2 \frac{L}{AE} \\ (1)(\delta_{ab}) &= \sum F_a F_b \frac{L}{AE}\end{aligned}$$

برای محاسبه این مقادیر قبلاً می‌بایستی نیروی میله‌های  $F_a$  و  $F_b$  محاسبه گردند. اگر سازه متقارن باشد و مجہولات اضافی نیز به صورت متقارن انتخاب شوند نیروهای  $F_a$  را می‌توان بخاطر تقارن از نیروهای  $F_b$  به دست آورده به علاوه چون مقادیر  $F_a$  را نیز به همان دلیل می‌توان برابر با مقادیر  $F_b$  گرفت فقط چهار مقدار تغییر مکان می‌بایستی محاسبه گردد. هرگاه انتخاب مجہولات به نوعی باشد که اثر بارگذاری‌های مختلف تا حد امکان به میله‌های کمتری اختصاص پیدا کند حجم محاسبات به حداقل خود خواهد رسید، البته چنین مطلبی در صورتی که سازه متقارن باشد یا نه امکان پذیر می‌باشد.

در هر سه انتخاب مختلف شکل (۱۳-۵) از تقارن استفاده شده است. قسمت‌هایی از سازه را که تحت اثر بارگذاری‌های مختلف تحت اثر بار قرار می‌گیرند در هر حالتی نشان داده ایم.

مقایسه سازه‌های اولیه مختلف این سازه به‌وضوح نشان می‌دهد که انتخاب شماره ۳ بهترین آنها خواهد بود زیرا در این حالت اثر بارگذاری‌ها به قسمت‌های کمتری اختصاص یافته است.



شکل ۱۳-۵ انتخاب مجھولهات اضافی

در اینجا می‌بایستی به‌چند نکته اشاره شود، در بحث مربوط به مثال (۱۳-۵) یاد آوری شد که برش و لنگر مربوط به میله‌ای مستقیم که در دو انتهای خود مفصل شده باشد معین می‌باشد، اگر چنین میله‌ای برش داده شود فقط نیروی محوری آن نامعین می‌باشد که می‌تواند به عنوان مجھول اضافی در نظر گرفته شود، از طرف دیگر اگر قطعه‌ای در دو انتهای خود به صورت صلب با بقیه سازه متصل شده باشد، برش، لنگر و نیروی محوری چنین میله‌ای از نظر تعادل نامعین خواهد بود و در صورتی که چنین میله‌ای برش داده شود هر سه آنها عینی برش لنگر و نیروی محوری را باید به عنوان مجھول اضافی در نظر گرفت تا این که سازه مزبور در صورت حذف قبیود مربوط به این سه عامل همچنان پایدار باقی بماند. (همان طوری که در مثال ۱۴-۱۳ شرح داده شده است)

#### ۱۳-۷ تحلیل سازه‌های نامعین با استفاده از قضیه دوم گاستیگلیانو-قضیه‌گار حداقل

در روش قبل تحلیل سازه‌های نامعین از طریق ایجاد معادلات انطباق برای تغییر

مکانهای نقاط اثر مجہولات اضافی انجام می‌گرفت، به عوض چنین کاری می‌توان روابط مربوط به این تغییر مکانها را با به کار بردن قضیه دوم کاستیکلیانو ایجاد نمود، البته چنین روشنی شاهد زیادی بعروش اول دارد و می‌توان گفت روشنی خود بخودی تراز اولی است و بدین-جهت کاربرد آن توسط برخی از مهندسین و یا دانشجویان ترجیح داده می‌شود. از آنجایی که قضیه کاستیکلیانو در حقیقت محدود به محاسبات تغییر مکانهای حاصل از بارهای موثر بر سازه می‌باشد لذا این روش کلیتی را که روش انطباق دارد شامل نمی‌شود.

به عنوان مثال تیرنامعین شکل (۱-۳) را در نظر بگیرید، پس از تعیین درجه نامعینی می‌توان به تعیین مجہول اضافی و سازه اولیه اقدام کرد، تغییر مکان نقطه اثر مجہول اضافی  $X_b$  را می‌توان با به کار بردن قضیه کاستیکلیانو محاسبه نمود. در این حالت خاص فقط تغییر شکل حاصل از خمش در محاسبات داخل می‌شود و لذا خواهیم داشت:

$$W_I = \sum \int M^2 \frac{ds}{EI}$$

$$\frac{\partial W_I}{\partial X_b} = \Delta_b \quad \text{و چون داریم:} \\ \text{(الف)}$$

چون نقطه  $b$  از سازه اصلی تغییر مکانی ندارد، لذا مقدار  $\Delta_b$  در سازه اولیه می‌بایستی برابر با صفر شود و با این که:

$$\frac{\partial W_I}{\partial X_b} = \sum \int M \frac{\partial M}{\partial X_b} \frac{ds}{EI} = 0 \quad \text{(ب)}$$

و چون  $M$  لنگر خمی کل سازه اولیه حاصل از کلیه اشرافات می‌باشد لذا برابر با جمع آثار بارهای وارد و مجہول اضافی  $X_b$  خواهد بود و لذا خواهیم داشت:

$$M = M_o + X_b M_b \quad \frac{\partial M}{\partial X_b} = M_b \quad \text{(ج)}$$

بدین ترتیب معادله (ب) به صورت زیر در خواهد آمد.

$$\sum \int M_o M_b \frac{ds}{EI} + X_b \sum \int M_b^2 \frac{ds}{EI} = 0 \quad \text{(د)}$$

تعیین این انتگرالها برای سازه اولیه ساده است و پس از آن می‌توان مقدار  $X_b$  را محاسبه نمود. اگر از روش انطباق استفاده کرده بودیم مقادیر  $M_b$  و  $\Delta_b$  از طریق کار مجازی به صورت زیر حاصل می‌شد:

$$(1)(\Delta_{bb}) = \sum \int M_o M_b \frac{ds}{EI} \quad (1)(\delta_{bb}) = \sum \int M_b^2 \frac{ds}{EI} \quad \text{(ه)}$$

از معادلات (ه) بلا فاصله چنین بر می‌آید که معادله (د) را می‌توان به شکل زیر نیز ارائه نمود:

$$\Delta_{\theta\theta} + X_{\theta\theta} = 0 \quad (\text{و})$$

به این ترتیب دیده می‌شود که اگر از روش کار مجازی برای محاسبه  $\Delta_{\theta\theta}$  و  $X_{\theta\theta}$  در معادلات انتطباق استفاده شود این دو روش اساساً یکی خواهد شد.

در شرح فوق سازه "مورد بحث فقط یک درجه نامعین" بود، در سازه‌های با درجه نامعینی بالا اساس عملکرد بهمان صورت فوق است، بدین ترتیب که پس از انتخاب "مجہول اضافی" را می‌توان با به کار بردن قضییه دوم کاستیگلیانو بعدست آورد. بدین ترتیب "معادله" مجہولی حاصل خواهد شد که حل این دستگاه معادلات منجر به تعیین کلیه مقادیر مجہولات می‌شود. در مثال (۱۳-۱۴)

روش استفاده از این طریقه را در تحلیل قاب چند درجه نامعین شرح داده است.

در مثالهای مربوط به بخش (۸-۱۳) معادلات سازگار با معادلات (ب) با روشهای ممکن متفاوت تعیین شده‌اند. بدان طریق امکان استفاده موثر از قضییه کاستیگلیانو در برخی از مسایل ممکن می‌گردد، بدینهی است از روش مشروح فوق می‌توان در حل برخی دیگر از مسایل استفاده نمود واضح است که در این صورت امکانی در کاربرد روش کاستیگلیانو به عوض معادلات انتطباق وجود ندارد.

اگر در تحلیل سازه‌های نامعین، تغییر مکان نقطه اثر مجہولی برابر با صفر باشد، استفاده از قضییه کاستیگلیانو بصورت معادله (الف) (منتهی به این مطلب می‌شود که مشتق اول ارزی تغییر شکل نسبت به آن مجہول برابر با صفر باشد. این مطلب معادل این است که مقدار مجہول را به نوعی بایستی انتخاب نمود که عبارت ارزی کرنشی (یا تغییر شکل) به مقدار حداقل خود برسد. این حالت مخصوص از قضییه دوم کاستیگلیانو اغلب بنام قضیه کار حداقل خوانده شده و به صورت زیر بیان می‌شود).

در یک سازه نامعین اگر جایگاهی تغییرگاهی و تغییر درجه حرارت مطرح نباشد، مقادیر مجہولات اضافی می‌بایستی به نوعی باشد که ارزی تغییر شکل را به حداقل خود برساند.

#### ۸-۱۳ مثالهایی چند درباره تحلیل تنش با استفاده از قضییه دوم کاستیگلیانو

مثالهای زیر عددنا بخاطر شرح کاربرد قضییه دوم کاستیگلیانو در تحلیل تنش سازه‌های نامعین انتخاب شده است، اگر در هر یک از این حالات مساله را با استفاده از معادلات انتطباق بررسی نمائیم و درین بررسی از روش کار مجازی جهت محاسبه تغییر مکانها کمک بگیریم،

خواهیم دریافت که محاسبات انجام شده اساساً با محاسبات مربوط به روش کاستیکلیانو هکی می‌باشد. تنها فرقی که در این دو روش وجود دارد این است که در راه حل به طریق کاستیکلیانو معادلات بخودی خود بوجود می‌آیند.

البته تفاوتی بین این دو طریقه موجود است که ارزش پادآوری دارد و آن این است که در راه حل کاستیکلیانو مجہولات اضافی در طول حل مساله بر حسب  $\Delta$  حد خود در عملیات وارد می‌شوند. به عنوان مثال در معادله (الف) اگر  $W_1$  بر حسب kip-feet بیان شود مقدار  $X_1$  را می‌باشیم بر حسب kips در عملیات وارد نمود تا این که نسبت تغییرات  $W_1$  به تغییرات  $X_1$  که مقدار  $\Delta$  را بیان می‌کند بر حسب فوت حاصل شود و بخاطر سازگاری معادلات (ج) اگر  $X_1$  بر حسب kips بیان شود می‌باشیم مقدار  $M_1$  دارای  $\Delta$  حد دیگر - فوت باشد و بدین ترتیب اگر مقدار مجہولات در راه حل کاستیکلیانو بر حسب آحاد خود بیان گردند و ارسی ابعاد در طول کلیه محاسبات به منظور سازگاری عملیات همواره الزامی خواهد بود.

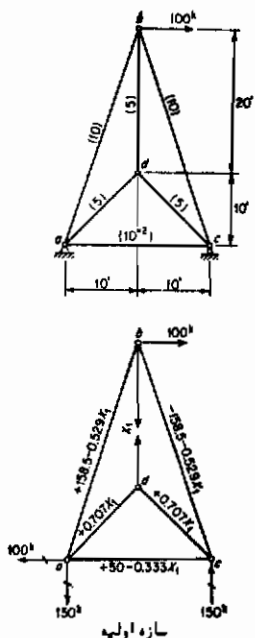
به طور خلاصه می‌توان گفت که قضییه کاستیکلیانو فقط زمانی قابل استفاده است که تغییر مکان سازه‌ها در اثر بارگذاری بوجود آمده باشد البته به طریقی که در پائین بیان می‌شود امکان تحلیل تنش در سازه‌های نامعین که تحت اثر تغییر درجه حرارت، نشست تکه‌گاهی و غیره قرار گرفته‌اند وجود دارد؛ سازه اولیه را انتخاب کنید و موقتاً "کلیه اتصالات اضافی را حذف کنید". حال سازه اولیه را تحت اثر تغییر درجه حرارت یا نشست قرار دهید و تغییر مکان نقاط اثر اتصالات اضافی را در این سازه اولیه و در این شرایط محاسبه کنید البته چنین محاسباتی را می‌توان با استفاده از روش کار مجازی و یا روش مناسب دیگری انجام دهید. حال مجہولات اضافی را بر سازه اثر دهید بدینهی است که این مجہولات می‌باشی نقاط اثر خود را بر وضعیت صحیح خود برگردانند. از قضییه کاستیکلیانو می‌توان در محاسبه تغییر مکان حاصل از این مجہولات استفاده نمود. با جاگذاری مقادیر تغییر مکانها که قبلاً محاسبه شده است معادلاتی بدست می‌آید که در آنها مجہولات اضافی تنها مجہولات معادلات می‌باشند و بعاین ترتیب با حل دستگاه معادلات حاصل می‌توان به تعیین آنها پرداخت. از آنجایی که چنین راه حلی اغلب بمسادگی طریقه حاصل از معادلات انطباق نمی‌باشد بدین جهت هرگز مورد استعمالی برای کاربرد آن پیدا نمی‌شود.

**مثال ۱۳ - ۱۳ = نیروی میله‌های اعضاء این خرپارا محاسبه کنید، سطح مقاطع را در داخل پرانتز نشان داده ایم**

$$E = 30 \times 10^3 \text{ kips} \quad sq \text{ in}$$

این خرپارا یک درجه نامعین می‌باشد. نیروی محوری میله  $bd$  را به عنوان مجہول اضافی

انتخاب می‌کنیم.



$$W_I = \sum \frac{F^2 L}{2AE} \frac{\partial W_I}{\partial X_1} = \Delta_1 \downarrow = 0$$

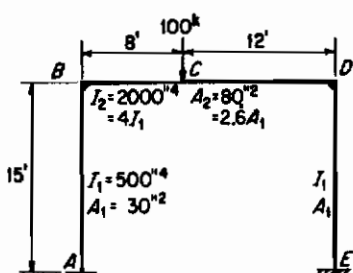
$$\therefore \frac{\partial W_I}{\partial X_1} = \frac{1}{E} \sum \frac{FL}{A} \frac{\partial F}{\partial X_1} = 0$$

میله	$L$	$A$	$\frac{L}{A}$	$F$	$\frac{\partial F}{\partial X_1}$	$F \frac{L}{A} \frac{\partial F}{\partial X_1}$
آhad	'	'	'/''	$k$	$k/k$	$k'/''$
ab	51.7	10	5.17	$+158.5 - 0.529X_1$	$-0.529$	$-265 + 0.888X_1$
bc	51.7	10	5.17	$-158.5 - 0.529X_1$	$-0.529$	$+265 + 0.888X_1$
ca	80	10	8	$+ 80 - 0.553X_1$	$-0.553$	$-33.3 + 0.888X_1$
ad	14.1	8	1.75	$+ 0.707X_1$	$+0.707$	$+ 1.414X_1$
bd	80	8	10	$+ 1.0 X_1$	$+1.0$	$+ 4.000X_1$
cd	14.1	8	1.75	$+ 0.707X_1$	$+0.707$	$+ 1.414X_1$
$\Sigma$						$-33.3 + 8.888X_1$
						$\therefore -33.3 + 8.888X_1 = 0$
						$X_1 = +3.78 \text{ kips}$

حال سایر نیروی میله‌ها را می‌توان به کمک معادلات تعادل و یا با ادامه جدول فوق محاسبه نمود.

مثال ۱۴-۱۳ = این قاب را با بدکاربردن قضیه کاستیکلیانو حل کنید. هردو اثرتغیر شکل حاصل از نیروی محوری و لنگر خمی را در محاسبات داخل کنید.

این قاب سه درجه نامعین است، شاهتیر آن در وسط دهانه برش داده و لنگر نیروی محوری و برش آن را به عنوان سه مجہول اضافی  $X_1$ ،  $X_2$  و  $X_3$  انتخاب کنید.



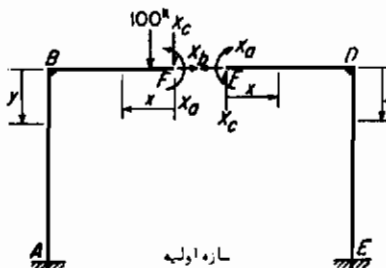
$$W_I = \sum \int M^2 \frac{ds}{2EI} + \sum \frac{F^2 L}{2AE}$$

$$\frac{\partial W_I}{\partial X_1} = \Delta_1 \downarrow = 0$$

$$\frac{\partial W_I}{\partial X_2} = \Delta_2 \leftarrow = 0$$

$$\frac{\partial W_I}{\partial X_3} = \Delta_3 \uparrow = 0$$

با مشتقگیری و حذف E خواهیم داشت:



$$\sum \int M \frac{\partial M}{\partial X_a} \frac{ds}{I} + \sum F \frac{L}{A} \frac{\partial F}{\partial X_a} = 0 \quad (1)$$

$$\sum \int M \frac{\partial M}{\partial X_b} \frac{ds}{I} + \sum F \frac{L}{A} \frac{\partial F}{\partial X_b} = 0 \quad (2)$$

$$\sum \int M \frac{\partial M}{\partial X_c} \frac{ds}{I} + \sum F \frac{L}{A} \frac{\partial F}{\partial X_c} = 0 \quad (3)$$

$C \leftarrow F$   $j^1$

$$0 < x < 2 \quad M = X_a - xX_c \quad \frac{\partial M}{\partial X_a} = 1 \quad \frac{\partial M}{\partial X_b} = 0 \quad \frac{\partial M}{\partial X_c} = -x$$

$$L = 2' \quad F = X_b \quad \frac{\partial F}{\partial X_a} = 0 \quad \frac{\partial F}{\partial X_b} = 1 \quad \frac{\partial F}{\partial X_c} = 0$$

$B \leftarrow C$   $j^1$

$$2 < x < 10 \quad M = X_a - xX_c - 100(x - 2) \quad \frac{\partial M}{\partial X_a} = 1 \quad \frac{\partial M}{\partial X_b} = 0 \quad \frac{\partial M}{\partial X_c} = -x$$

$$L = 8' \quad F = X_b \quad \frac{\partial F}{\partial X_a} = \frac{\partial F}{\partial X_c} = 0 \quad \frac{\partial F}{\partial X_b} = 1$$

$A \leftarrow B$   $j^1$

$$0 < y < 15 \quad M = X_a - yX_b - 10X_c - 800 \quad \frac{\partial M}{\partial X_a} = 1 \quad \frac{\partial M}{\partial X_b} = -y \quad \frac{\partial M}{\partial X_c} = -10$$

$$L = 15' \quad F = -100 - X_c \quad \frac{\partial F}{\partial X_a} = \frac{\partial F}{\partial X_b} = 0 \quad \frac{\partial F}{\partial X_c} = -1$$

$D \leftarrow F$   $j^1$

$$0 < z < 10 \quad M = X_a + zX_c \quad \frac{\partial M}{\partial X_a} = 1 \quad \frac{\partial M}{\partial X_b} = 0 \quad \frac{\partial M}{\partial X_c} = z$$

$$L = 10' \quad F = X_b \quad \frac{\partial F}{\partial X_a} = \frac{\partial F}{\partial X_c} = 0 \quad \frac{\partial F}{\partial X_b} = 1$$

$E \leftarrow D$   $j^1$

$$0 < y < 15 \quad M = X_a - yX_b + 10X_c \quad \frac{\partial M}{\partial X_a} = 1 \quad \frac{\partial M}{\partial X_b} = -y \quad \frac{\partial M}{\partial X_c} = 10$$

$$L = 15' \quad F = X_c \quad \frac{\partial F}{\partial X_a} = \frac{\partial F}{\partial X_b} = 0 \quad \frac{\partial F}{\partial X_c} = 1$$

با جاگذاری در معادله (1) خواهیم داشت :

$$\begin{aligned} & \int_0^2 (X_a - xX_c)(I) \frac{dx}{4I_1} + \int_2^{10} (X_a - xX_c - 100x + 200)(I) \frac{dx}{4I_1} \\ & + \int_0^{15} (X_a - yX_b - 10X_c - 800)(I) \frac{dy}{I_1} + \int_0^{10} (X_a + zX_c)(I) \frac{dz}{4I_1} \\ & + \int_0^{15} (X_a + 10X_c - yX_b)(I) \frac{dy}{I_1} = 0 \end{aligned}$$

پس از ضرب و حذف و انتگرال‌گیری لازم عبارت زیر به دست می‌آید .

$$35X_0 - 225X_6 = 18,800$$

حال معادله (۲) را ایجاد می‌کنیم

$$\int_0^{15} (X_0 - yX_6 - 10X_6 - 800)(-y) \frac{dy}{I_1} + \int_0^{15} (X_0 - yX_6 + 10X_6)(-y) \frac{dy}{I}$$

$$+ X_6 \frac{(I)(10)}{2.6A_1} + X_6 \frac{(I)(10)}{2.6A_1} = 0$$

به همان ترتیب پس از ضرب و حذف انتگرال‌گیری لازم عبارت زیر حاصل خواهد شد.

$$(-225)X_0 + \left(2,250 + 7.5 \frac{I_1}{A_1}\right)X_6 = -90,000$$

$$\frac{I_1}{A_1} = \left(\frac{500}{144^2}\right) \left(\frac{144}{30}\right) = \frac{50}{432}$$

بنابراین خواهیم داشت:

$$-225X_0 + 2,250.87X_6 = -90,000$$

بعنحوی مشابه فوق معادله (۳) به صورت زیر در می‌آید:

$$\left(3,100.7 + 90 \frac{I_1}{A_1}\right)X_0 = -\left(125,800.7 + 1,500 \frac{I_1}{A_1}\right)$$

$$3,170.14X_0 = -188,040.8$$

پس از حل دستگاه معادلات حاصل از (۱)، (۲) و (۳)

$$X_0 = \underline{\underline{+304.84}}$$

$$X_6 = \underline{\underline{-9.60}}$$

$$X_6 = \underline{\underline{-39.74}}$$

اگر از اثر تغییر شکل محوری در کلیه عملیات صرف نظر می‌کردیم می‌بایستی کلیه عبارات شامل  $A$  را از معادلات حذف می‌نمودیم در این صورت نتایج زیر به دست می‌آید.

$$X_0 = \underline{\underline{+304.04}}$$

$$X_6 = \underline{\underline{-9.60}}$$

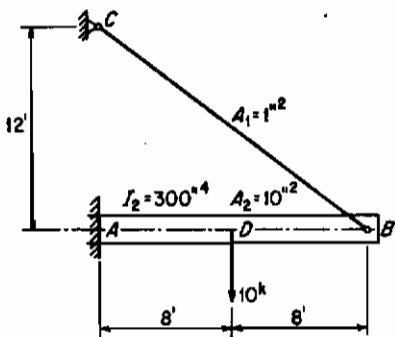
$$X_6 = \underline{\underline{-39.74}}$$

بحث:

از این مثال چنین نتیجه‌گیری می‌شود که می‌توان از اثر تغییر شکل محوری در مقایسه با اثر تغییر شکل خمشی در سازه‌های ساخته شده از قابهای صلب صرف نظر نمود.

مثال ۱۳ - ۱۵ = نیروی داخلی میله کشی را محاسبه کنید، هردو اثر حاصل از نیروی محوری و لنگر خمی را در نظر بگیرید.

این سازه یک درجه نامعین می‌باشد، نیروی داخلی میله کشی را به عنوان مجهول اضافی انتخاب می‌کنیم در این صورت خواهیم داشت:



$$\frac{\partial W_I}{\partial X_1} = \Delta_{11} = 0$$

$$\frac{\partial W_I}{\partial X_1} = \sum \int M \frac{\partial M}{\partial X_1} \frac{dx}{EI} + \sum F \frac{\partial F}{\partial X_1} \frac{L}{AE} = 0 \quad (1)$$

از C تا B

$$M = 0 \quad F = X_1 \quad \frac{\partial F}{\partial X_1} = 1$$

$$L = 20'$$

از D تا B

$$M = 0.8xX_1 \quad F = -0.8X_1$$

$$\frac{\partial M}{\partial X_1} = 0.8x \quad \frac{\partial F}{\partial X_1} = -0.8$$

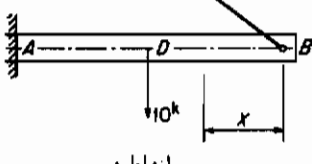
$$0 < x < 8 \quad L = 8'$$

از A تا D

$$M = 0.8xX_1 - 10(x - 8) \quad F = -0.8X_1$$

$$\frac{\partial M}{\partial X_1} = 0.8x \quad \frac{\partial F}{\partial X_1} = -0.8$$

$$8 < x < 16 \quad L = 8'$$



هدین ترتیب معادله (۱) خواهد شد.

$$\int_0^8 (0.8xX_1)(0.8x) \frac{dx}{I_1} + \int_8^{16} (0.8xX_1 - 10x + 80)(0.8x) \frac{dx}{I_2} + \frac{X_1(20)(1)}{A_1} + \frac{(-0.8X_1)(16)(-0.8)}{A_2} = 0$$

از این رابطه حاصل خواهد شد:

$$\frac{I_2}{A_1} = \frac{85}{12} \quad \frac{I_2}{A_2} = \frac{5}{24}$$

$$\therefore 585.32X_1 = 2,560$$

$$\therefore X_1 = \underline{+4.80^k}$$

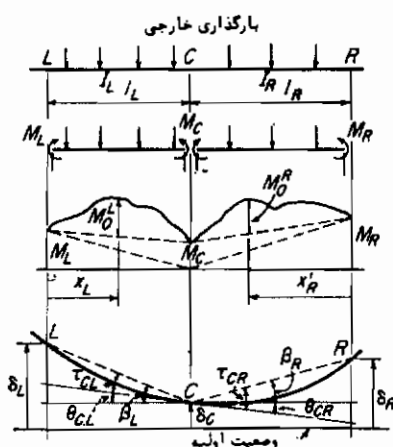
و اگر از اثر نیروی محوری صرف نظر می‌شود مقدار نیرو به قرار زیر می‌بود.

$$X_1 = +6.80^4$$

### ۱۳-۱۶ استخراج معادله سه لنگر

برای اولین بار معادله سه لنگر در سال ۱۸۵۷ میلادی توسط کلapeyron مهندس فرانسوی ارائه گردید این معادله عبارت از رابطه‌ای است که بین لنگرهای سه نقطه از یک قطعه سرتاسری وجود دارد. عملًا ایجاد چنین رابطه‌ای بین لنگرهای تکیه‌گاهی تیرهای نامعین بسیار مفید می‌باشد.

مطابق شکل (۱۳-۱۶) سه نقطه  $L$ ،  $C$  و  $R$  را روی یک قطعه سرتاسری مشخص کنید و فرض کنید که مقدار لنگر لختی بین  $L$  و  $C$  ثابت بوده و برابر با  $I_L$  و به همین ترتیب بین  $C$  و  $R$  ثابت و برابر با  $I_R$  باشد فرض می‌شود که در وضعیت اولیه این تیر دارای شکل مستقیم الخط بوده و تغییر مکانهای آن نسبت به وضعیت اولیه در نقاط  $L$  و  $C$  و  $R$  به ترتیب برابر با  $\delta_L$ ،  $\delta_C$  و  $\delta_R$  باشد که مقادیر این تغییر مکانها اگر به سمت بالا باشد مثبت فرض می‌گردد.



شکل ۱۳-۱۶ استخراج معادله سه لنگر

با فرض این که لنگر خمشی زمانی مثبت باشد که در تارهای انتهایی ایجاد کشش کند، لنگرهای این سه نقطه را به ترتیب با  $M_R$ ،  $M_C$  و  $M_L$  نشان می‌دهیم، نمودار لنگر خمشی را برای قسمت  $LC$  و با  $CR$  می‌توان با استفاده از انطباق سه اثر جدایکانه زیر به دست آورد؛ لنگر حاصل از اثر هریک از لنگرهای انتهایی که به طور جداکانه عمل کند، که نمودار حاصل

از این اثرات را با خط چینی‌هایی که تشکیل مثلاً را داده‌اند نشان داده‌ایم و همچنین لنگر حاصل از اثر بارگذاری خارجی که به‌نتهایی و بدون در نظر گرفتن اثر لنگرهای انتهایی در نظر گرفته می‌شود که این اثر را نیز با عرض  $M_o^L$  در قسمت  $LC$  و با  $M_o^R$  در قسمت  $CR$  نشان داده‌ایم.

از شکل منحنی خیز داریم :

$$\theta_{CL} = \beta_L - \tau_{CL} \quad \theta_{CR} = \tau_{CR} - \beta_R$$

و چون منحنی خیر در نقطه  $O$  پیوستگی خود را حفظ می‌کند لذا :

$$\begin{aligned} \theta_{CL} &= \theta_{CR} \\ \beta_L - \tau_{CL} &= \tau_{CR} - \beta_R \end{aligned} \quad (\text{الف})$$

و چون کلمه این زوایا کوچک هستند، می‌توانیم فرض کنیم که .

$$\beta_L = \frac{\delta_L - \delta_C}{l_L} \quad \beta_R = \frac{\delta_R - \delta_C}{l_R} \quad (\text{ب})$$

اگر نمودار لنگر خمشی به نمودار  $M/EI$  تبدیل شود می‌توان به مسادگی  $\tau_{CL}$  و  $\tau_{CR}$  را با استفاده از قضیه دوم سطح لنگر محاسبه نماییم :

$$\begin{aligned} \tau_{CL} &= \frac{1}{EI} \left( \frac{M_L l_L^2}{6} + \frac{M_C l_L^2}{3} + \int_0^{l_L} M_o^L x_L dx_L \right) \\ \tau_{CR} &= \frac{1}{EI_R l_R} \left( \frac{M_R l_R^2}{6} + \frac{M_C l_R^2}{3} + \int_0^{l_R} M_o^R x'_R dx'_R \right) \end{aligned} \quad (\text{ج})$$

اگر مقادیر زیر با علامت نشان داده مشخص کنیم ،

$$(M_o)_L = \int_0^{l_L} M_o^L x_L dx_L \quad (M_o)_R = \int_0^{l_R} M_o^R x'_R dx'_R \quad (4-12)$$

اگر مقادیر معادله (4-12) را در معادلات (ج) قرار دهیم و سپس از معادلات (ب) و (ج) در معادله (الد) قرار دهیم رابطه‌ای را که بین این معادله سه لنگر مشهور است بدست خواهیم آورد .

$$\begin{aligned} M_L \frac{l_L}{I_L} + 2M_C \left( \frac{l_L}{I_L} + \frac{l_R}{I_R} \right) + M_R \frac{l_R}{I_R} &= - \frac{\xi_o}{I_L} - \frac{\eta_o}{I_R} \\ &+ 6E \left[ \frac{\delta_L}{l_L} - \delta_C \left( \frac{1}{l_L} + \frac{1}{l_R} \right) + \frac{\delta_R}{l_R} \right] \end{aligned} \quad (5-13)$$

در رابطه فوق مفاہیم زیر مطرح می‌باشد :

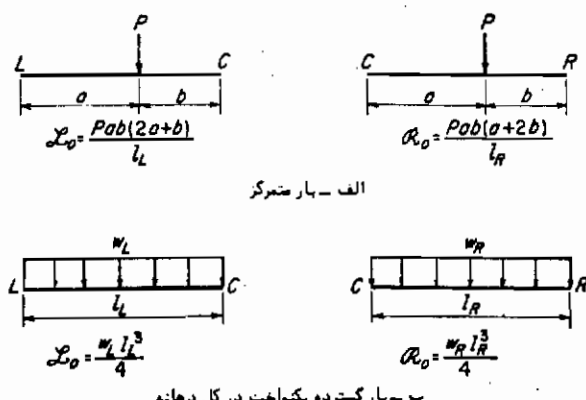
$$\xi_o = + \frac{6(M_o)_L}{l_L} \quad \eta_o = + \frac{6(M_o)_R}{l_R} \quad (6-13)$$

در استفاده از این معادلات به نکات زیر دقت کامل نمایید .

- ۱- مقادیر  $M_L$ ،  $M_C$  و  $M_R$  زمانی مثبت خواهند بود که در تارهای تحتانی ایجاد کشش نمایند.
- ۲- مقادیر  $\delta_L$ ،  $\delta_C$  و  $\delta_R$  زمانی مثبت خواهند بود که از وضعیت اولیه به مت ببالا باشند.
- ۳-  $\mathcal{L}_o$  و  $\mathcal{R}_o$  ترتیب عبارات مربوط به بارگذاری در دهانه‌های  $CR$  و  $LC$  می‌باشد.
- ۴- نمودار  $M$  برای هر قطعه عبارت است از نمودار لنگر برای آن قطعه با فرض این که قطعه مزبور روی دو تکیه‌گاه ساده قرار گیرد، و در این صورت  $M_{(R)}$  عبارت خواهد بود از لنگر سطح زیر این نمودار حول محور مار بر انتهای چپ و  $M_{(C)}$  عبارت خواهد بود از لنگر سطح حول محور مار بر انتهای راست. بدینهی است که علامت هردی این لنگرها فقط بستگی به عرض‌های نمودار  $M$  خواهد داشت.
- در حالت خاص که  $I_L = I_R = I$  می‌باشد معادله (۱۳-۵) به صورت زیر خلاصه می‌گردد.

$$M_L l_L + 2M_C(l_L + l_R) + M_R l_R = -\mathcal{L}_o - \mathcal{R}_o + 6EI \left[ \frac{\delta_L}{l_L} - \delta_C \left( \frac{1}{l_L} + \frac{1}{l_R} \right) + \frac{\delta_R}{l_R} \right] \quad (13-7)$$

عبارات مربوط به بارگذاری در حالات تیر تحت اثر بارگذاری کل دهانه و تحت اثر بار متغیر در شکل (۱۳-۷) نشان داده شده است.



شکل ۱۳-۷- عبارات مربوط به بارگذاری

۱۳-۱۰ کاربرد معادله سه لنگر

اعمال معادله سه لنگر به هر سه نقطه‌ای در طول یک تیر تا زمانی که در آن طول تیر

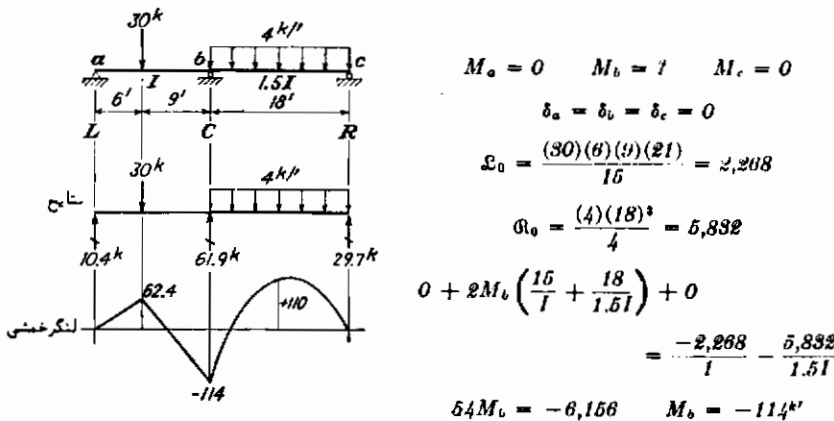
نایپوستگی نظیر مفصل وجود نداشته باشد امکان‌پذیر است. اگر این معادله را در مورد تیر سرتاسری به کار ببریم و سه تکیه‌گاه متواالی آن را به ترتیب  $L$ ،  $C$  و  $R$  بنا می‌یابیم عبارات مربوط به تغییر مکان در طرف راست این معادله یا برابر با صفر بوده و یا برابر با مقدار معلوم نقطه تکیه‌گاهی خواهد شد. بدین ترتیب معادله‌ای به دست می‌آید که در آن معادله لنگرهای مربوط به نقاط تکیه‌گاهی تنها مجهولات آن معادله هستند.

به این طریق می‌توانیم معادله مستقلی برای هر سه نقطه تکیه‌گاهی متواالی یک تیر سرتاسری برقرار کیم و بدین ترتیب  $n$  معادله مستقل که در آنها  $n$  معادله تکیه‌گاهی به عنوان مجهول وجود دارد به دست می‌آید، از حل این دستگاه معادله می‌توان به مقدار لنگرهای تکیه‌گاهی پی برد. در بررسی انتها گیردار یک تیر سرتاسری ابهامی بمنظر می‌رسد که فن برخورد با آن در مثالهای زیر شرح داده شده است.

تحلیل تیرهای سرتاسری به کمک این روش بسیار ساده است ولی لازم است که به علاوه قراردادی مذکور دربخش (۹-۱۲) دقیقاً کامل شده و در انتخاب آhadasazگاری لازم مخصوصاً زمانی که نشست تکیه‌گاهی وجود دارد به عمل آید.

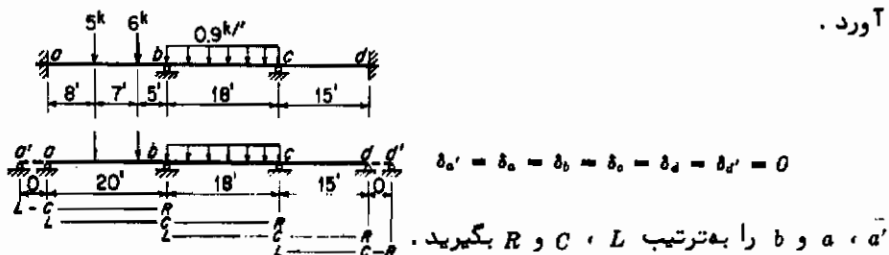
**مثال ۱۳ - ۱۶ = عکس العملهای این تیر را تعیین کرده و نمودار لنگر خمی را برای آن رسم کنید.**

با بکار بردن معادله (۱۳-۵) و فرض  $a = b = c = l$  به ترتیب به عنوان  $L$ ،  $C$  و  $R$  داریم:



**مثال ۱۳ - ۱۷ = لنگرهای تکیه‌گاهی این تیر را محاسبه کنید  $E$  و  $I$  ثابت هستند**

در این حالت چهار لنگر  $M_a$ ،  $M_b$ ،  $M_c$  و  $M_d$  مجهول می‌باشند بنابراین چهار معادله لازم خواهد بود، همان‌طوری که می‌بینیم انتهاهای گیردار را می‌توان با دهانه‌ای به طول صفر جایگزین کرد. بدین ترتیب می‌توان معادلات مورد نیاز را با اعمال چهار بار معادله (۷-۱۳) به نحوی که در هر بار  $L$ ،  $C$  و  $R$  را مطابق آنچه مشخص شده است در نظر گرفته شود بددست



$$\begin{aligned} \delta_a &= 0 & \theta_a &= \frac{(5)(8)(18)(38)}{80} + \frac{(6)(15)(5)(35)}{80} = 1,330.5 & M'_a &= 0 \\ \therefore 40M_a + 20M_b &= -1,330.5 & (1) \end{aligned}$$

و  $c$  و  $d$  را به ترتیب  $L$ ،  $C$  و  $R$  بگیرید.

$$\begin{aligned} \delta_a &= \frac{(5)(8)(18)(38)}{80} + \frac{(6)(15)(5)(35)}{80} = 1,459.5 & \theta_a &= \frac{(0.9)(18)^2}{4} = 1,312.2 \\ \therefore 80M_a + 76M_b + 18M_c &= -8,771.7 & (T) \end{aligned}$$

و  $c$  و  $d$  را به ترتیب  $L$ ،  $C$  و  $R$  بگیرید.

$$\delta_a = 1,312.2 \quad \theta_a = 0 \quad \therefore 18M_b + 66M_c + 15M_d = -1,312.2 \quad (3)$$

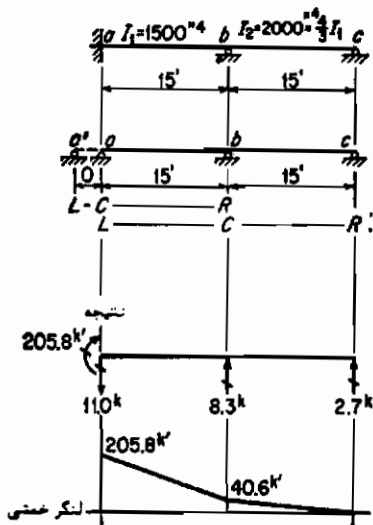
و  $d'$  را به ترتیب  $L$ ،  $C$  و  $R$  بگیرید.

$$\delta_a = \theta_a = 0 \quad M'_d = 0 \quad \therefore 15M_c + 30M_d = 0 \quad (4)$$

با حل دستگاه چهار معادله (۱)، (۲)، (۳) و (۴) مقادیر مجهول لنگرها مانند زیر معین می‌شود.

$$M_a = \underline{-19.17k'} \quad M_b = \underline{-28.20k'} \quad M_c = \underline{-15.74k'} \quad M_d = \underline{+6.87k'}$$

مثال ۱۳-۱۸ = عکس العملهای تکیه‌گاهی این تیر را تحت اثر تغییر وضع تکیه‌گاه‌ها محاسبه کرده و نمودار لنگر خمی را برای آن تیر رسم کنید.  
تکیه‌گاه a: در جهت ساعتگرد دورانی برابر با  $0.005$  رادیان انجام می‌دهد  
تکیه‌گاه b: نشستی برابر با  $0.0808 \text{ ft}$  دارد.



$a$  و  $b$  را بترتیب  $L$ ،  $C$  و  $R$  بگیرید.

$$M_a = 0 \quad \delta_a = 0 \\ L_a = R_a = 0 \quad \delta_b = -0.0208'$$

بعد از تکمیل دوران تکیه‌گاه  $a'/L_a$ ،  $a'$  برابر با  $+0.005$  می‌شود و با استفاده از معادله (۵-۱۳) خواهیم داشت:

$$2M_a \left( \frac{15}{I_1} \right) + M_b \left( \frac{15}{I_1} \right) = \delta E (0.005) \\ + \delta E \left( -\frac{0.0208}{15} \right) \\ \therefore 30M_a + 15M_b = 0.02166 EI_1$$

$c$  و  $d$  را بگیرید.

$$M_c = 0 \quad \delta_d = -0.0208' \\ \delta_a = 0 \quad \delta_b = 0$$

با اعمال (۵-۱۳) خواهیم داشت:

$$M_a \left( \frac{15}{I_1} \right) + 2M_b \left( \frac{15}{I_1} + \frac{15}{25I_1} \right) \\ = -\delta E (-0.0208) \left( \frac{1}{15} + \frac{1}{15} \right) \\ \therefore 15M_a + 52.5M_b = +0.01664 EI_1$$

با حل دستگاه معادله دو مجهول (۱)، (۲) و قراردادن مقدار  $EI_1 = 31.25 \times 10^4 \text{ kip-ft}^2$  با حل دستگاه معادله دو مجهول (۱)، (۲) و قراردادن مقدار  $EI_1 = 31.25 \times 10^4 \text{ kip-ft}^2$  خواهیم داشت:

$$M_a = +0.000658 EI_1 = \underline{\underline{+205.8' \\ +40.6'}}$$

### ۱۳-۱۱ استخراج معادله شبیه - تغییر مکان

روش شبیه - تغییر مکان در سال ۱۹۱۵ توسط پروفسور جی - ای مانی G. A. Maney به عنوان روش کلی در تحلیل سازه‌های متخلک از گره‌های صلب ارائه گردید. این روش کاربرد معادلاتی را که قبلاً "توسط ماندرلا" (Manderla) و موهرب جهت محاسبه تنشهای ثانویه خود پیشنهاد شده بود تقویت نمود. این روش در جای خود بسیار مفید و مهم بوده و توجیه بسیار عالی برای روش پخش لنگر می‌باشد.

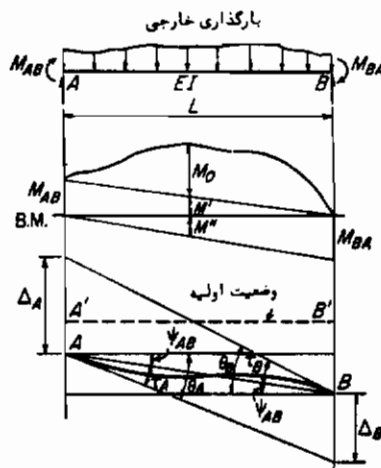
معادلات اساسی زیر با استفاده از قضایای سطح لنگر استخراج شده است، لذا در این معادلات تغییر شکل حاصل از لنگر خمشی ملاحظه شده ولی از تغییر شکل حاصل از برش و نیروی محوری صرف نظر شده است. چون اثر تغییر شکل حاصل از برش و نیروی محوری در تحلیل تنش بسیاری از تیغه‌ها و قابهای نامعنین بسیار کوچک است لذا خطای استفاده از

این معادلات به عنوان اساس استخراج روش شب - تغییر مکان در تحلیل سازه‌ها بسیار کم خواهد بود (جهت اثبات چنین مطلبی به نتایج مثال (۱۳-۱۴) مراجعه کنید) معادله اساسی شب - تغییر مکان رابطه‌ای است که برای لنگرهای انتهایی یک قطعه بروجسب چهار مقداری که عبارت از دوران معاكس در هر انتهای منحنی خیز قطعه، دوران خط اتصال دو انتهای قطعه و بارهای خارجی موثر بر آن باشد نوشته می‌گردد. در کاربرد این معادله استفاده از قرارداد علاوه زیر سبب تسهیل در محاسبات می‌گردد:

- ۱ - لنگرهای موثر بر دو انتهای یک قطعه در جهت ساعتگرد مثبت فرض می‌گردد.
- ۲ - هرگاه  $\theta$  زاویه دوران معاكس بر منحنی خیز در یک انتهای قطعه نسبت به امتداد اولیه قطعه باشد، این زاویه  $\theta$  زمانی مثبت گرفته می‌شود که معاكس بر منحنی خیز نسبت به امتداد وضعیت اولیه خود در جهت ساعتگرد دوران کرده باشد.
- ۳ - هرگاه  $\theta$  زاویه دوران خط اتصال دو انتهای منحنی خیز نسبت به امتداد اولیه قطعه باشد، زاویه  $\theta$  زمانی مثبت خواهد بود که این خط نسبت به امتداد اولیه خود در جهت ساعتگرد دوران کرده باشد.

در نمایش لنگرهای انتهایی دو زیرنویس به کارخواهیم برد، این دو زیرنویس با همنشان دهنده قطعه مورد بحث خواهند بود و اولین زیرنویس نشان دهنده انتهایی از قطعه است که برآن همان لنگر وارد شده است، به عنوان مثال  $M_{AB}$  نشان دهنده لنگر وارد بر انتهای  $A$  از قطعه  $AB$  بوده و  $M_{BA}$  لنگر موثر بر انتهای  $B$  از همان قطعه است، زوایای  $\theta_A$  و  $\theta_B$  فقط با یک زیرنویس که نشان دهنده انتهای قطعه است مشخص خواهیم کرد و زوایای  $\theta_A$  را با دو زیرنویس که نشان دهنده خط اتصال و قطعه می‌باشد نشان خواهیم داد.

با به کاربردن نکات و علاوه نکات و علاوه فوق قطعه  $AB$  را که دارای  $\theta_A$  و  $\theta_B$  ثابت (المتہ بطور نظری استخراج معادله شب - تغییر مکان با در نظر گرفتن  $I$  متغیر نیز امکان پذیر می‌باشد) در کل طول خود بوده و دارای مستقیم الخطی باشد در نظر بگیرید و فرض کنید که این قطعه تحت اثر لنگرهای انتهایی مثبت و بار غیر مشخص نظری شکل (۱۳-۱۴) قرار گرفته باشد. اگر  $AB$  منحنی خیز این تیر باشد  $A'B'$  نشان دهنده وضعیت اولیه آن خواهد بود، در این صورت  $\theta_A = \theta_B = \theta_{AB}$  همان‌طوری که نشان داده شده است مثبت خواهد بود. نمودار لنگر خمی را برای این قطعه می‌توان از جمع سه اش�件 اگانه زیر به دست آورد. نمودار حاصل از اش�件 اگانه هر یک از لنگرهای انتهایی که در روی شکل با عرضهای قسمتی مثلثی  $M'$  و  $M''$  مشخص شده است نمودار حاصل از اشjet اگانه بارهای موثر باعذف لنگرهای انتهایی که این نمودار نیز با عرضهای  $M_0$  معین شده است و به عبارت دیگر  $M_0$  عبارتست از عرضهای نمودار لنگر خمی نظری قطعه هرگاه آن قطعه بروجسب دو تکیه گاه ساده انتهایی قرار گیرد.



شکل ۸-۱۳ استخراج معادله شیب - تغییر مکان

مقدار لنگر خمی در هر نقطه از این قطعه را می‌بایستی با جمع جبری مقادیر  $M_0$  و  $M'$  و  $M''$  بدست آورد ولی در این قسمت از بحث بهتر است که اثر هریک را به‌طور جداگانه بررسی نمائیم.

اگر نمودار لنگر را به نمودار  $M/EI$  تبدیل کنیم در این صورت مقادیر  $\Delta_A$  و  $\Delta_B$  را می‌توان به‌کمک قضیه دوم سطح لنگر بدست آوریم. در این صورت خواهیم داشت:

$$\Delta_A = -\frac{L^2}{6EI} M_{AB} + \frac{L^2}{3EI} M_{BA} - \frac{(M_0)_A}{EI} \quad (\text{الف})$$

$$\Delta_B = \frac{L^2}{3EI} M_{AB} - \frac{L^2}{6EI} M_{BA} + \frac{(M_0)_B}{EI} \quad (\text{ب})$$

در این روابط  $(M_0)_A$  عبارتست از لنگر سطح زیر نمودار لنگر خمی  $M_0$  حول محور مارپیچ  $A$  و به همین ترتیب  $(M_0)_B$  عبارت است از لنگر همان سطح حول محور مارپیچ  $B$ . با در نظر گرفتن این حقیقت که کلیه زوایا و تغییر شکل‌های مذکور در شکل (۸-۱۳) بقدرتی کوچک‌کردکه عمل "یک زاویه را می‌توان با سهیوس و تانژانت آن یکی فرض کرد" با مراجعه به شکل، روابط زیر را می‌توان برقرار داشت.

$$\frac{\Delta_A}{L} = \tau_B = \theta_B - \psi_{AB} \quad \frac{\Delta_B}{L} = \tau_A = \theta_A - \psi_{AB} \quad (\text{ج})$$

با حل دستگاه معادلات (الف) و (ب) نسبت به  $M_{AB}$  و  $M_{BA}$  و جایگزینی مقادیر  $L/\Delta_A$  و  $L/\Delta_B$  از معادلات (ج) مقادیر زیر بدست خواهد آمد.

$$\begin{aligned} M_{AH} &= \frac{2EI}{L^2} (2\theta_A + \theta_B - 3\psi_{AB}) + \frac{2}{L^2} [(\mathfrak{M}_o)_A - 2(\mathfrak{M}_o)_B] \\ M_{H,A} &= \frac{2EI}{L^2} (2\theta_B + \theta_A - 3\psi_{AB}) + \frac{2}{L^2} [2(\mathfrak{M}_o)_A - (\mathfrak{M}_o)_B] \end{aligned} \quad (d)$$

تا کنون از شرایط بارگذاری صحبتی به میان نیامده و معادلات (د) برای هر نوع بارگذاری عرضی صادق می‌باشند، آخرين عبارت هر یک از اين معادلات که در داخل کروشه آورده شده است تابعی از نوع بارگذاری است و شناسایی معنی فیزیکی آن بسیار مهم است، فرض کنید که  $\theta_A$ ،  $\theta_B$  و  $\psi_{AB}$  هر سه برابر با صفر باشند، در این صورت آخرين عبارات معادلات (د) بعترتیب برابر با لنگر نسبت بعانتهای  $A$  و لنگر نسبت بعانتهای  $B$  قطعه می‌باشد، اما اگر  $\theta_A$  و  $\theta_B$  همگی برابر با صفر باشند از نظر فیزیکی چنین معنی می‌دهد که هر دو انتهای این قطعه در برابر دوران و یا انتقال پایدارند و به عبارت دیگر این قطعه در دو انتهای خود کنیدار می‌باشد پس این آخرين عبارات معادلات (د) برابر با لنگرهای دو انتهای گیردار می‌باشند لذا آنها را با FEM نشان می‌دهیم.

$$\begin{aligned} \text{FEM}_{AB} &= \frac{2}{L^2} [(\mathfrak{M}_o)_A - 2(\mathfrak{M}_o)_B] \\ \text{FEM}_{BA} &= \frac{2}{L^2} [2(\mathfrak{M}_o)_A - (\mathfrak{M}_o)_B] \end{aligned} \quad (8-12)$$

اگر مقادیر معادلات (۸-۱۲) را در معادلات (د) قرار دهیم خواهیم داشت.

$$\begin{aligned} M_{AB} &= \frac{2EI}{L} (2\theta_A + \theta_B - 3\psi_{AB}) + \text{FEM}_{AB} \\ M_{BA} &= \frac{2EI}{L} (2\theta_B + \theta_A - 3\psi_{AB}) + \text{FEM}_{BA} \end{aligned} \quad (9-12)$$

با دقت بیشتر در معادلات (۹-۱۲) معلوم می‌شود که اگر انتهای نزدیک قطعه را با  $N$  و انتهای دور قطعه را با  $F$  نشان دهیم، این دو معادله را می‌توان با یک معادله کلی نشان داد. اگر تعریف زیر را در نظر بگیریم:

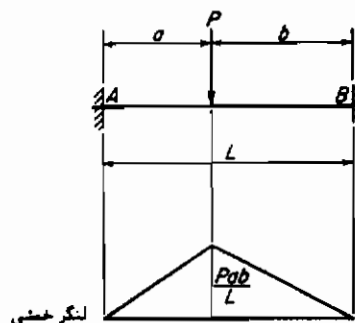
$$K_{NF} = \left( \frac{I_{NF}}{L_{NF}} \right) = \text{ضریب سختی قطعه} \quad (10-12)$$

معادله اساسی شبیه - تغییر مکان به صورت زیر نوشته می‌شود.

$$M_{NF} = 2EK_{NF}(2\theta_N + \theta_F - 3\psi_{NF}) + \text{FEM}_{NF} \quad (11-12)$$

واضح است که مقدار FEM را می‌توان به سادگی برای هر نوع بارگذاری معین نمود و اگر علاوه

برآن دوران معکوس در هر دو انتهای تیر و دوران خط اتصال دو انتهای قطعه معلوم شود می‌توان به سادگی با استفاده از معادله (۱۱-۱۲) به محاسبه لنگرهای دو انتهای قطعه پرداخت . در بخش (۱۲-۱۳) نحوه کاربرد این معادله را در حل تیرها و قابهای نامعین شرح داده‌ایم .  
بار متغیر (به شکل (۹-۱۲) مراجعه شود ) :



شکل ۹-۱۲ بار متغیر

$$(\mathfrak{M}_o)_A = \frac{Pab}{L} \left[ \frac{a}{2} \left( \frac{2a}{3} \right) + \frac{b}{2} \left( a + \frac{b}{3} \right) \right] = \frac{Pab}{6} (2a + b)$$

$$(\mathfrak{M}_o)_B = \frac{Pab}{L} \left[ \frac{b}{2} \left( \frac{2b}{3} \right) + \frac{a}{2} \left( b + \frac{a}{3} \right) \right] = \frac{Pab}{6} (2b + a) \quad (12-12)$$

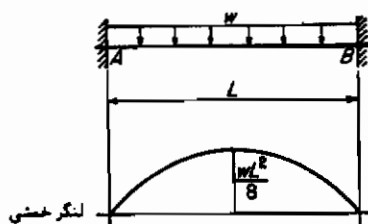
$$\text{FEM}_{AB} = \frac{2}{L^2} \left[ \frac{Pab}{6} (2a + b) - 2 \frac{Pab}{6} (2b + a) \right] = - \frac{Pab^2}{L^2}$$

$$\text{FEM}_{BA} = \frac{2}{L^2} \left[ 2 \frac{Pab}{6} (2a + b) - \frac{Pab}{6} (2b + a) \right] = + \frac{Pa^2b}{L^2}$$

بار گسترده پکتواخت در کل دهانه (به شکل ۱۰-۱۳ مراجعه شود )

$$(\mathfrak{M}_o)_A = (\mathfrak{M}_o)_B = \frac{wL^4}{24}$$

$$\text{FEM}_{AB} = - \frac{wL^3}{12} \quad \text{FEM}_{BA} = + \frac{wL^3}{12} \quad (12-12)$$



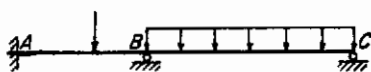
شکل ۱۰-۱۳ بار گسترده پکتواخت در کل دهانه

بایستی پادآوری نمود که علامت صحیح FEM بخودی خود از این عبارات به دست می‌آید. در بسیاری از حالات با قدری دقت جهت لنگر انتهای تیر را می‌توان فهمید و به این ترتیب "عمولاً" قادر به تعیین و کنترل علامت FEM هستیم.

بار دیگر پادآوری می‌کنیم که قرارداد علامت روش شیب - تغییر مکان می‌بایستی بعکار برده شود و همچنین خاطرنشان می‌سازیم که معادلات فوق برای قطعه‌ای استخراج شده است که دارای حالت اولیه مستقیم الخط بوده و در آن قطعه  $E$  و  $I$  دارای مقادیر ثابتی باشد.

### ۱۲-۱۲/ اعمال روش شیب - تغییر مکان بر تیرها و قابها

ابتدا بعکاربرد روش شیب - تغییر مکان در مسائل مربوط به تیرهای سرتاسری نظیر آنچه در شکل (۱۱-۱۲) نشان داده شده است توجه کنید، فرض می‌شود که تکیه‌گاههای این تیر غیرقابل تغییر شکل باشند، این تیر را مجموعه‌ای از دو قطعه  $AB$  و  $BC$  که به صورت کامل "صلب در گره  $B$  بهم وصل شده‌اند تصور کنید، در این صورت با استفاده از معادله (۱۱-۱۲) می‌توانیم روابطی برای نقاط انتهایی هر یکی از این قطعات بنویسیم، این چهار لنگر انتهایی  $M_{CB}$  ،  $M_{BC}$  ،  $M_{BA}$  ،  $M_{AB}$  را می‌توانیم بر حسب زوایای  $\theta_A$  و  $\theta_B$  و همچنین FEM که کلیه آنها از طریق معادلات (۱۲-۱۳) و (۱۳-۱۲) قابل محاسبه می‌باشند تعیین کنیم.



$$\begin{array}{c} M_{BA} \\ \rightarrow (P) \leftarrow \\ \hline M_{BC} \end{array} \qquad \qquad \begin{array}{c} M_{CB}=0 \\ \rightarrow (P) \leftarrow \end{array}$$

شکل ۱۱-۱۳/ تفکیک گرهها

چون تکیه‌گاهها غیرقابل تغییر شکل می‌باشند، می‌دانیم که در این حالت  $\theta_A = \theta_B = \theta_C = 0$  همگی برابر با صفر هستند و علاوه بر آن چون قطعات  $BA$  و  $BC$  به صورت صلب در گره  $B$  به یکدیگر وصل شده‌اند لذا ماس بر منحنی خیز در انتهای  $B$  از قطعه  $AB$  می‌بایستی نسبت به امتداد اولیه خود "جهرا" باشد به مقدار  $\theta_B$  برابر با دوران ماس در انتهای  $B$  از قطعه  $BC$  دوران نماید. فقط مقادیر  $\theta_B$  و  $\theta_C$  که در روابط مربوط به چهار لنگر انتهایی وجود دارند مجھول هستند، اگر بتوانیم به نحوی مقادیر  $\theta_B$  و  $\theta_C$  را تعیین کنیم خواهیم توانست هر چهار لنگر انتهایی را محاسبه کرده و با معلوم شدن این چهار لنگر هر لنگر دیگر را برش

و عکس العمل مورد نظر با استفاده از معادلات تعادل قابل محاسبه خواهد بود. به عبارت دیگر تحلیل تنش این تیر پس از معلوم شدن مقادیر  $\theta_B$  و  $\theta_C$  به مسائلهای در زمینه تعادل تبدیل می‌گردد.

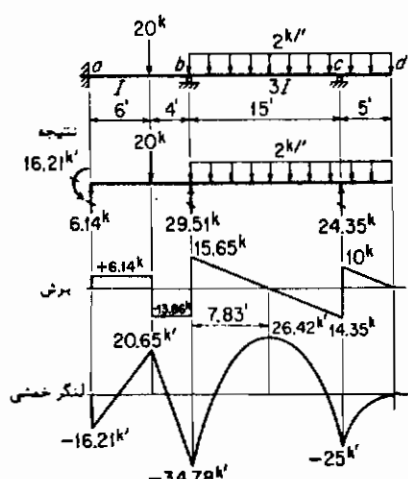
در این حالت، با در نظر گرفتن این حقیقت که لنگرهای انتهایی می‌بایستی دو معادله ساده تعادل را تأمین نمایند می‌توان به تعیین این دو مجهول پرداخت، این معادلات را می‌توان با جدای کردن گرههای  $B$  و  $C$  به نحوی که در شکل (۱۱-۱۲) نشان داده شده است و برقرار نمودن معادله  $\Sigma M = 0$  برای هر یک از این گرهها به صورت زیرا تأمین نمود:

$$\begin{array}{ll} M_{BA} + M_{BC} = 0 & \text{از} \\ M_{CB} = 0 & \text{از} \end{array}$$

اگر در این دو معادله عبارات مربوط به لنگرهای انتهایی را از معادله (۱۱-۱۲) قرار دهیم بدین ترتیب دو معادله با مجهولات  $\theta_B$  و  $\theta_C$  بدست خواهد آمد. پس از حل این دستگاه معادله و تعیین این مجهولات قادر خواهیم شد که لنگرهای انتهایی را معین کرده و تحلیل تنش تیر را با انتها برسانیم.

راه حل عددی چنین مستطه‌ای در مثال (۱۹-۱۳) شرح داده شده است، در مثال (۲۰-۱۳) این موضوع را بسط داده و بهالتی که جابجایی تکیه‌گاهی نیز وجود داشته باشد اعمال کرد ما یم.

مثال ۱۹-۱۹ = عکس العملهای این تیر را محاسبه کرده و نمودارهای برش و لنگرخمشی را برای آن رسم کنید تکیه‌گاهها غیرقابل تغییر شکل می‌باشند.



زوازیای  $\theta$  و  $\psi$  را تحلیل کنید.

$$\begin{aligned} \theta_a &= 0 & \psi_{ab} &= \psi_{bc} = 0 \\ \theta_b &=? & \theta_c &=? \\ K_{ab} &= \frac{I}{10} = K & K_{bc} &= \frac{3I}{15} = 2K \\ FEM_{ab} &= -\frac{(20)(6)(4)^2}{(10)^3} = -19.2k' \\ FEM_{ba} &= +\frac{(20)(6)^2(4)}{(10)^3} = +28.8k' \\ FEM_{bc} &= -\frac{(2)(15)^2}{12} = -37.5k' \\ FEM_{cb} &= +37.5k' & M_{cd} &= -25k' \end{aligned}$$

با استفاده از معادله (۱۱-۱۳) عباراتی برای لنگرهای انتهایی می‌نویسیم:

$$\begin{aligned}M_{ab} &= 2EK\theta_b - 19.2 \\M_{ba} &= 4EK\theta_b + 28.8 \\M_{bc} &= 8EK\theta_b + 4EK\theta_c - 37.5 \\M_{cb} &= 8EK\theta_b + 4EK\theta_c + 37.5\end{aligned}$$

گرههای  $b$  و  $c$  را جدا کرده و معادلات مربوط به آن گرهها را می‌نویسیم و در آن معادلات مقادیر  $M_{ba}$  و  $M_{bc}$  وغیره را قرار می‌دهیم.

$$\begin{array}{l} \leftarrow \overset{M_{ba}}{\textcircled{b}} \leftarrow \quad \Sigma M_b = 0 \quad M_{ba} + M_{bc} = 0 \quad \therefore 12EK\theta_b + 4EK\theta_c - 8.7 = 0 \quad (1) \\ \leftarrow \overset{M_{cb}}{\textcircled{c}} \leftarrow \overset{25k'}{\textcircled{b}} \quad \Sigma M_c = 0 \quad M_{cb} - 25 = 0 \quad \therefore 4EK\theta_b + 8EK\theta_c + 12.5 = 0 \quad (2) \\ \leftarrow \overset{M_{bc}}{\textcircled{c}} \leftarrow \end{array}$$

پس از حل معادلات (1) و (2) جوابهای زیر به دست می‌آید:

$$EK\theta_b = \underline{+1.495} \quad EK\theta_c = \underline{-2.31}$$

پس از قراردادن این مقادیر در روابط مربوط به لنگرهای انتهایی خواهیم داشت:

$$\begin{aligned}M_{ab} &= +2.99 - 19.2 = \underline{-16.21^k} & M_{bc} &= +11.96 - 9.24 - 37.5 = \underline{-34.78^k} \\M_{ba} &= +5.98 + 28.8 = \underline{+34.78^k} & M_{cb} &= -18.48 + 5.98 + 37.5 = \underline{+25.0^k}\end{aligned}$$

بقیه محاسبات به کمک معادلات تعادل انجام خواهد گرفت:

بحث:

قسمت طرهای  $cd$  هیچ مشکلی ایجاد نمی‌کند زیرا لنگر خمشی در این قسمت از نظر تعادل معلوم است ولی همین طره، معادله گره را در گره  $c$  تحت تاثیر قرار می‌دهد. هرگاه گرهها را جدا می‌کنید، لنگرهای مجھول را در جهت مثبت فرض نمایید (به دین صورت که در انتهای قطعه در جهت ساعتگرد وارد شوند و در انتهای گره در جهت عکس ساعتگرد اش رکنند) بدینهی است که لنگرهای معلوم را به مقدار حقیقی و در جهت واقعی اثرشان در نظر می‌گیریم.

بهترین راه برای برخورد با ضرایب  $K$  انتخاب یک ضریب  $K$  استاندارد و بیان سایر ضرایب بر حسب آن می‌پاشد.

همواره سازگاری آحاد را می‌توان با انتخاب آحاد  $k_{ip}$  و  $foot$  حفظ کرد.

راهنمایی دیگری جهت برخورد با اثر طره به صورت زیر می‌پاشد. به دلیل تعادل لنگرهای

در هر گره  $m$  اگر اعضاًی که به این گره متصل‌اند به گره‌های  $a, b, \dots, n$  را منتهی‌شوند

$$\text{داریم: } M_{ma} + M_{mb} + \dots + M_{mn} = 0$$

اگر هر یک از این لنگرهای انتهاًی معلوم باشد مقدار آن را می‌توان با علامت و مقدار درست

$$M_{ad} = -25 \quad M_{ab} + M_{ad} = 0 \quad \text{و چون} \quad M_{ab} = -25$$

لذا خواهیم داشت:  $M_{ab} = 0$

که این مقدار معادله (۲) ارائه شده در بالا را بیان می‌کند.

دقیق شود که نتایج نهایی می‌باشند در معادلات (۱) و (۲) صدق کنند، بدینهی

است برای این وارسی کافی است که مقادیر معلوم را در این معادلات قرار دهیم.

مثال ۱۳-۲۰ = لنگرهای انتهاًی را در تیر (۱۹-۱۳) بشرطی که این لنگرها فقط در

اثر جابجایی زیرین تکیه‌گاهها بوجود آمده باشند محاسبه کنید (باری بر تیر اشرنمی کند)

تکیه‌گاه  $a$ :  $\theta_a = 0.01 \text{ ft}$  به طور عمودی به طرف پائین و دورانی در جهت ساعتگرد  
و برابر با  $0.001$  رادیان.

تکیه‌گاه  $b$ :  $\theta_b = 0.04 \text{ ft}$  به طور عمودی به طرف پائین

تکیه‌گاه  $c$ :  $\theta_c = 0.0175 \text{ ft}$  به طور عمودی به طرف پائین

مقدار  $E = 1,000 \text{ kips/in}^2$  فرض می‌شود.

در این حالت:

$$\theta_a = +0.001 \quad \psi_{ab} = \frac{0.04 - 0.01}{10} = +0.003 \quad \psi_{bc} = -\frac{(0.04 - 0.0175)}{15} = -0.0015$$

$$\theta_b = ? \quad \text{and} \quad \theta_c = ?$$

چون باری برای تیر وارد نمی‌شود لذا کلیه مقادیر  $FEM$  برابر با صفر است، با استفاده از معادله (۱۳-۱۱) عبارات زیر را برای لنگرهای انتهاًی می‌نویسیم:

$$M_{ab} = 2EK(0.008 + \theta_b - 0.009) = 2EK\theta_b - 0.014EK$$

$$M_{ba} = 2EK(2\theta_b + 0.001 - 0.009) = 4EK\theta_b - 0.016EK$$

$$M_{bc} = 2E(2K)(2\theta_b + \theta_c + 0.0045) = 8EK\theta_b + 4EK\theta_c + 0.018EK$$

$$M_{cb} = 2E(2K)(2\theta_c + \theta_b + 0.0045) = 4EK\theta_b + 8EK\theta_c + 0.018EK$$

از طریق معادلات گره‌ها داریم:

$$\sum M_b = 0 \quad M_{ba} + M_{bc} = 0 \quad 12EK\theta_b + 4EK\theta_c + 0.008EK = 0 \quad (1)$$

$$\sum M_c = 0 \quad M_{cb} = 0 \quad 4EK\theta_b + 8EK\theta_c + 0.018EK = 0 \quad (2)$$

از حل دستگاه معادلات (۱) و (۲) جوابهای زیر به دست می‌آید.

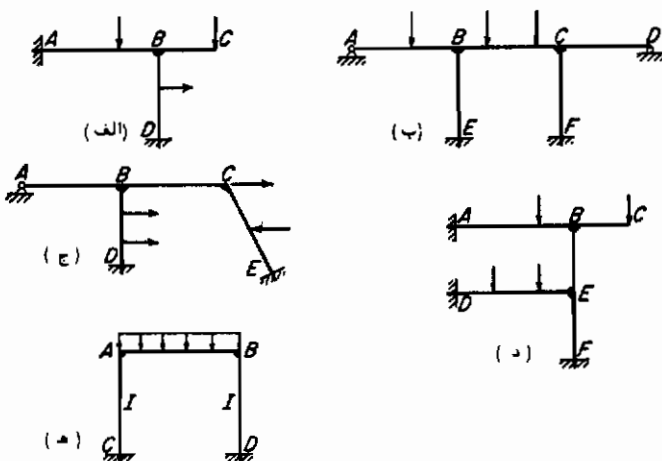
$$\theta_b = +0.0007 \quad \theta_c = -0.0028$$

با جایگذاری این مقادیر خواهیم داشت:

$$\begin{aligned} M_{ab} &= -0.0120 EK = \frac{-262.5^{\prime\prime}}{EK} & M_{bc} &= +0.0132 EK = \frac{+275.0^{\prime\prime}}{EK} \\ M_{ba} &= -0.0132 EK = \frac{-275.0^{\prime\prime}}{EK} & M_{cb} &= 0 = \frac{0}{EK} \\ EK &= 30 \times 10^6 \times 144 \times \frac{1,000}{144^2 \times 10} = 20,833 \text{ kip-ft} & \text{زیرا:} \\ & & \text{بحث:} \end{aligned}$$

در چنین مسائلی باید کاملًا "مواظب بودکه مقادیر معلوم زوایای  $\theta$  و  $\delta$  با اعلامات صحیح خود در محاسبات وارد شوند و همچنین باایستی دقت شود که آحاد همچنان سازگار باقی بمانند.

قبهای صلب شکل‌های (۱۲-۱۳ الف) الی (۱۲-۱۳ د) را در نظر بگیرید و فرض کنید همان طوری که معمولاً "در قابهای صلب معمول است از تغییر طول حاصل از نیروی محوری صرف نظر کرده و فقط تغییر شکل حاصل از خمش را در نظر بگیریم" با این فرض به سادگی می‌توان نشان داد که در هریک از این چهار قاب زاویه  $\theta$  برای کلیه قطعات صفر می‌باشد (بدینهای است که با استثنای قسمت‌های طرفای معین)، به عنوان مثال شکل (۱۲-۱۳ ب) را در نظر بگیرید واضح است با صرف نظر کردن از تغییر طول محوری قطعات  $BE$  و  $AB$  گره  $B$  فقط در صورت جابجایی تکیه‌گاه می‌تواند تغییر محل بدهد و اگر گره  $B$  تغییر محل ندهد می‌توانیم



شکل ۱۲-۱۳ قابهای متداولی که در آنها تغییر مکان افقی وجود ندارد

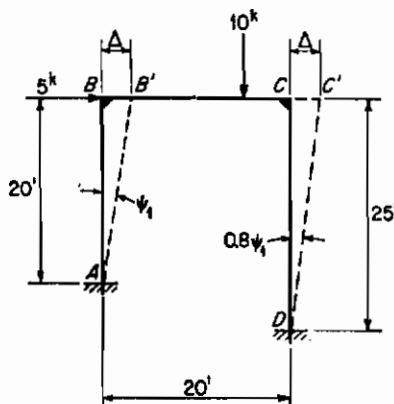
نتیجه بگیریم که گره  $C$  نیز به همان طریق جایجا نخواهد شد. در این صورت زوایای  $\theta$  برای هر پنج قطعه  $AB$ ،  $CD$ ،  $BC$  و  $CF$  برابر با صفر خواهد شد.

در هر گره مقدار زاویه  $\theta$  برای انتهای کلیه قطعاتی که به صورت صلب به آن گره ختم می‌شوند یکسان خواهد بود و بنابراین در حالت این قاب از نظر زاویه  $\theta$  فقط چهار زاویه  $\theta_A$ ،  $\theta_B$ ،  $\theta_C$  و  $\theta_D$  مجهول خواهند بود. لذا با استفاده از معادله (۱۱-۱۲) روابطی جهت تعیین لنگرهای انتهایی بر حسب چهار زاویه  $\theta$  که تنها مجهولات می‌باشد به دست خواهد آمد و چون می‌توانیم در کلیه گرههایی که در آنها  $\theta$  مجهول است معادله گره  $= \Sigma M = 0$  را برقرار کنیم به این ترتیب قادر خواهیم بود چهار معادله را که در آنها چهار زوایای  $\theta$  مجهول می‌باشد (همان طوری که در مثال (۱۹-۱۳) دیدیم) بدست آوریم، پس از تعیین این چهار زاویه می‌توانیم جهت تعیین مقادیر لنگرهای انتهایی از مقادیر معلوم شدهٔ زوایای  $\theta$  استفاده کنیم مابقی محاسبات لازم جهت تحلیل تنش به یک ساله تعادل منتهی می‌گردد.

بدین ترتیب معلوم می‌شود که راه حل شبیه - تغییر مکان در مورد قابهایی که در آنها زوایای  $\theta$  به عنوان مجهول وجود ندارند عملاً به همان طریق تیر سرتاسری می‌باشد، حل قاب شکل (۱۲-۱۳) نیز به همان ترتیب قابل انجام است به شرطی که هم ساخت خود قاب و هم بارگذاری آن حالت قرینه داشته باشد، در این حالت خاص تغییر مکانها شکل قرینه پیدا گردد و لذا در انتهای فوقانی ستونها تغییر مکانی افقی وجود نخواهد داشت و در نتیجه زوایای  $\theta$  برای هر سه قطعه این قاب صفر خواهد بود.

در اغلب انواع کلی قابهای صلب حتی اگر منحصراً "تغییر شکل حاصل از خمش را در نظر گیریم هردو زوایای  $\theta$  و  $\theta_C$  مجهول می‌باشد، به عبارت دیگر هم در آنها دوران گرهها وجود دارد و هم دوران خط اتصال در گره انتهایی که جایجا بی جانبی گفته می‌شود، انواع مختلفی از این قابها در شکل (۱۵-۱۳) نشان داده شده است. برای بررسی این چنین مسائلی می‌بایستی به راه حل‌های جدیدی دست یافت، بدین منظور قاب شکل (۱۲-۱۳) را در نظر بگیرید.

اگر این قاب دارای تکیه‌گاههای غیرقابل تغییر شکلی باشد در این صورت فقط دو زوایه  $\theta$  مجهول که عبارت از  $\theta_B$  و  $\theta_C$  می‌باشد وجود خواهد داشت ولی در این حالت عاملی برای جلوگیری از جایجا بی جانبی نقطه  $B$  وجود ندارد، چون از تغییر شکل حاصل از نیروی محوری قاب صرف نظر کرد هایم و چون دوران خط اتصال دو انتهای قطعه همواره کوچک است لذا عملاً "جایجا بی جانبی گره  $B$  در ابتداء" عمود بر  $AB$  خواهد بود که در این حالت افقی خواهد بود، فرض کنید این جایجا بی جانبی را با  $\Delta$  نشان دهیم، می‌توانیم به همان طریق استدلال کنیم که گره  $C$  انتهای فوقانی ستون  $CD$  نیز می‌بایستی دارای جایجا بی جانبی افقی باشد و چون از تغییر



شکل ۱۳-۱۳ قابی که در آن جابجاگی جانبی مطرح است

شکل طولی  $BC$  نیز صرف نظر شده است بنابراین جابجاگی افقی گره  $C$  نیز می‌باشد برابر با  $\Delta$  گردد.

در شکل (۱۳-۱۳) شکل جابجا شده قطعات قاب را با خط چمن نشان داده ایم، توجه شود که خطوط خط چمن نشان دهنده منحنی خیز قاب نیست بلکه صرفاً "نشان دهنده" خطوط اتصال گرههاست، از این شکل معلوم می‌شود که:

$$\psi_{BC} = 0 \quad \psi_{AB} = \frac{\Delta}{20} = \psi_1$$

$$\psi_{CD} = \frac{\Delta}{25} = \frac{4}{5}\psi_1$$

بنابراین در این حالت کلیه زوایای مربوط به قطعات قاب را می‌باشد بر حسب یک مجهول که در اینجا  $\psi_1$  می‌باشد بیان کنیم.\*

\* در مثال (۲۲-۱۳) از همین فن در مساله بسیار مشکلتری به منظور تحلیل بهادر نظر گرفتن روابط بین زوایا استفاده شده است، از همین طریق اساسی می‌توان در بررسی زوایای مربوط به هر قاب پیچیده‌ای نظریه آنچه در شکل (۱۵-۱۳) نشان داده شده است استفاده نمود که ذیلاً در این مورد شرح داده می‌شود:

۱- موقتاً کلیه گرهای صلب را در قسمت نامعین قاب به صورت مفصل و کلیه تکیه گاههای گیردار را به صورت تکیه‌گاه مفصلی فرض کنید، حال ببینید که این سازه اخیراً نظر تعادل هندسی پایدار می‌باشد و یا خیر، اگر یک گره یا بیشتر از یک گره از این سازه به صورت ناپایدار بوده و تعامل به جابجاگی انتقالی از محل خود داشته باشد، در این صورت

**بقیه پاورقی**

سازه ناپایدار است و خط اتصال دو انتهای قطعاتی از قاب که تمایل به جابجایی از خود نشان می‌دهند دورانی برابر با  $\neq$  خواهد داشت به عبارت دیگر در چنین حالتی جابجایی سازه اصلی امکان پذیر خواهد بود.

۲ - درجه ناپایداری سازه تغییر یافته برابر است با تعداد بند و یا تکیه‌گاه غلکتی که به منظور تأمین پایداری سازه بدان اضافه گردد، موقعیت چنین تکیه‌گاههای اضافی را می‌توان به روش زیر معین نمود. تصور کنید که قطعات سازه را از تکیه‌گاهها جدا نموده و همچنین در کلیه گرهها از یکدیگر جدا کرده باشید حال به سوارکردن قطعات سازه به صورت تک به تک بهردازید، به طوری که نصب این قطعات را از تکیه‌گاهها شروع کنید، به همان نحوی که نصب قطعات پیش می‌رود معلوم خواهد شد که در چه گرهی به منظور جلوگیری از ناپایداری سازه به تکیه‌گاههای کمکی نیاز است. این تکیه‌گاه کمکی به هر گرهی که از اتصال حداقل دو قطعه تشکیل می‌شود اضافه خواهد شد واضح است که انتهای دیگر قطعات به قسمت نصب شده و پایدار سازه متصل می‌باشد.

۳ - حال می‌توان با جابجاکردن به نوبت هر یک از تکیه‌گاههای کمکی که به منظور حفظ پایداری به نحوی که در بالا اشاره شد به سازه تغییر یافته اضافه شده است به تحلیل زوایای  $\neq$  و روابط بین آن زوایا در قاب اصلی پرداخت، هر یک از این تکیه‌گاهها را می‌توان به مقدار دلخواهی جابجا نموده و از این طریق به محاسبه دوران خط اتصال دو انتهای قطعه که بدلیل جابجایی پیش می‌آمد اقدام کرد، یعنی از این دورانهای فوق الذکر را که حاصل از جابجایی یک تکیه‌گاه می‌باشد می‌توان به عنوان یک زاویه مستقل  $\neq$  برگزید و سپس سایر دورانهای قطعات را بر حسب آن حساب کرد، به این ترتیب دیده می‌شود که تعداد زاویه مستقل  $\neq$  در هر سازه‌ای برابر با درجه ناپایداری سازه تغییر یافته آن می‌باشد. با استثنای خاطرنشان کرد که امکان دارد که زاویه دوران خط اتصال دو انتهای قطعه‌ای از یک قاب بهبیش از یک زاویه مستقل  $\neq$  مربوط بوده باشد.

در هر قاب صلب هر درجه آزادی نسبت به جابجایی جانبی مربوط به یک زاویه مستقل  $\neq$  می‌باشد در مبحث (۱۲-۱۴) خواهیم دید که درک و امکان حل قابها به روش پخش لنگر بستگی کامل به محاسبه صحیح درجه آزادی نسبت به جابجایی جانبی سازه دارد. هن از اعمال این روش در مورد قابهای شکل (۱۳-۱۵) درجه ناپایداری سازه‌های تغییر یافته (به عبارت دیگر تعداد زوایای مستقل  $\neq$  سازه اصلی) به ترتیب خواهد شد.

(a) 1

(b) 1

(c) 1

(d) 3

(e) 1

(f) 3

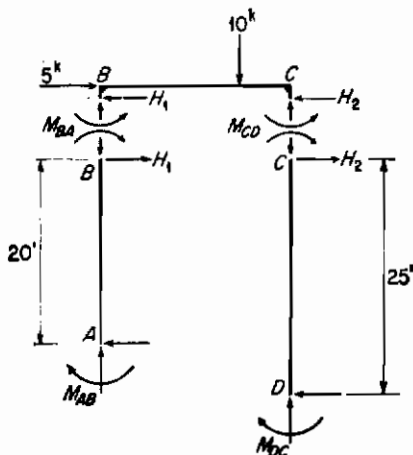
(g) 2

(h) 2

اگر از معادله (۱۱-۱۳) به منظور تعیین لنگرهای انتهایی قطعات استفاده کنیم در این حالت به عباراتی خواهیم رسید که در آنها سه مجهول  $\theta_B$ ,  $\theta_C$  و  $\psi$  وجود خواهد داشت دو معادله از جمع سه معادله لازم جهت تعیین این مقادیر مجهول از طریق برقرار نمودن معادلات گرههای  $B$  و  $C$  به دست می‌آید ولی تعیین سومین معادله مستقل که می‌باشد توسط لنگرهای انتهایی تأمین گردد بمنحوه دیگری به دست می‌آید. برای تعیین این معادله بایستی به صورت زیر عمل کرد: هریک از ستونها را با قطع آنها درست زیر شاهتیر و درست روی پی همان طوری که در شکل (۱۴-۱۲) می‌بینید از سازه جدا کنید و به همین طریق شاهتیر را نیز با قطع آن درست در بالای ستونها از سازه جدا کنید حال حول انتهای تحتانی هریک از ستونها لنگرگیری نمایید.

$$M_{AB} + M_{BA} + 20H_1 = 0 \quad (\text{الف})$$

$$M_{DC} + M_{CD} + 25H_2 = 0 \quad (\text{ب})$$



شکل ۱۴-۱۳ جدانمودن ستونها از شاهتیر

به همین ترتیب در مورد شاهتیر نیز  $\sum F_x = 0$  را برقرار می‌کنیم

$$H_1 + H_2 = 5 \quad (\text{ج})$$

اگر مقادیر  $H_1$  و  $H_2$  را از معادلات (الف) و (ب) و (ج) قراردهیم سومین معادله مستقل تعادل به دست خواهد آمد.

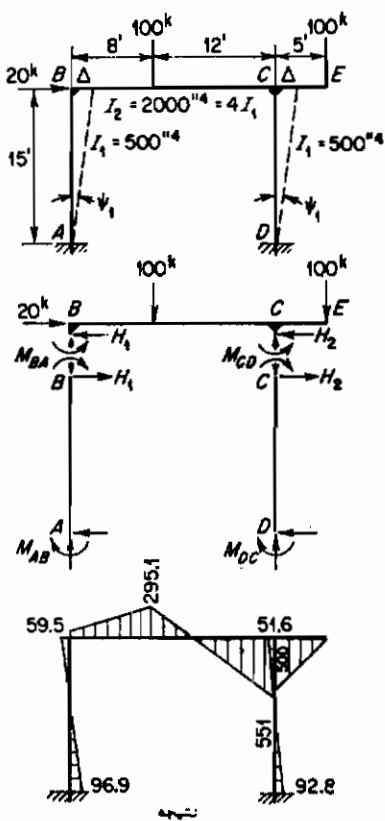
$$M_{AB} + M_{BA} + 0.8M_{DC} + 0.8M_{CD} + 100 = 0 \quad (\text{د})$$

از طریق دو معادله گرهها و این معادله که بنام "معادله برش" خوانده می‌شود قادر خواهیم بود که پس از حل این دستگاه سه معادله مقادیر  $\theta_B$ ,  $\theta_C$  و  $\psi$  را به دست آوردهیم و سپس مساله را مانند مسائل قبلی حل کنیم.

در مثالهای (۲۱-۱۳) و (۲۲-۱۳) به شرح روش شب - تغییر مکان در حل برخی از

قابلیت معمولی که در آنها امکان جایگزینی جانبی وجود دارد برداخته ایم.

**مثال ۱۳-۲۱**= لنگرهای انتهایی این قاب را محاسبه کرده و نمودار لنگر خمسی را برای آن رسم کنید.



په تحلیل زوایای و و موردازیم:

$$\theta_A = \theta_D = \psi_{BC} = 0$$

$$K_{AB} = K_{CD} = \frac{I_1}{15} = K \quad K_{BC} = \frac{4I_1}{20} = 3K$$

$$FEM_{BC} = - \frac{(100)(8)(12)^2}{(20)^3} = -288 k'$$

$$FEM_{CB} = + \frac{(100)(8)^2(12)}{(20)^3} = +192\text{ k}$$

با استفاده از معادله (۱۳-۱۱) داریم:

$$M_{AB} = 2EK\theta_B = 6EK\psi_1$$

$$M_{BA} = 4EK\theta_B - 6EK\psi_1$$

$$M_{BC} = 12EK\theta_B + 6EK\theta_C = 288$$

$$M_{CB} = 12EK\theta_C + 6EK\theta_B + 192$$

$$M_{CD} = 4EK\theta_C - 6EK\psi_1$$

$$M_{DC} = 2EK\theta_C - 6EK\psi_1$$

*B* : كـ

$$\therefore 16EK\theta_B + 6EK\theta_C - 6EK\psi_1 - 288 = 0 \quad (1)$$

C : گز

$$\Sigma M_C = 0 \quad M_{CB} + M_{CD} - 500 = 0$$

$$M_{cb} = 500 \quad \therefore 6EK\theta_B + 16EK\theta_C \quad (1)$$

$$+ \left( \frac{c}{M_{cd}} \right) - 6EK\psi_1 - 308 = 0$$

عادلات برش:

$$M_{AB} + M_{BA} + 15H_1 = 0$$

ستون : *AB*

$$M_{PC} + M_{CD} + 15H_2 = 0$$

ستون DC

$$H_1 + H_2 = 20$$

شانتون

$$\therefore M_{AB} + M_{BA} + M_{CD} + M_{DC} + 300 = 0$$

از حل سه معادله (۱)، (۲) و (۳) مقدار زیر پدست می‌آید:

$$EK\theta_B = +18.63 \quad EK\theta_C = +20.60 \quad EK\psi_1 = +22.34$$

$$\begin{array}{lll} M_{AB} = -98.9^{\text{tr}} & M_{BC} = +59.8^{\text{tr}} & M_{CD} = -51.6^{\text{tr}} \\ M_{BA} = \underline{-59.8^{\text{tr}}} & M_{CB} = \underline{+551.0^{\text{tr}}} & M_{DC} = \underline{-98.8^{\text{tr}}} \end{array} \quad \text{و بالاخره:}$$

بحث:

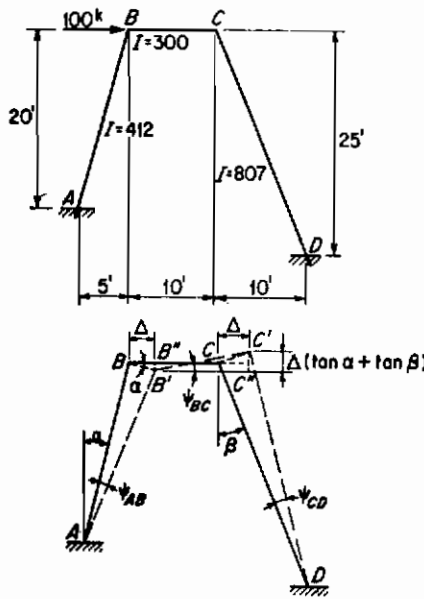
توجه کنید که در اولین شکل با خط چمن وضعیت تغییر شکل یافته خطوط اتصال دو انتهای ستوнаها و نه خود منحنی خیز آنها را نشان داده ایم.

وقتی در یک قاب قسمتهای مختلف آن را جدا می‌کنیم همان طوری که در دومین شکل می‌بینید کلیه لنگرهای انتهایی مجھول را می‌بایستی به صورت مشتب و به عبارت دیگر در جهت ساعتگرد در نظر بگیریم، بدینهی است که نیروهای محوری و بررشا را می‌توان در هر جهتی انتخاب کرد ولی پس از آن که نیرویی نظیر  $H_1$  را در جهت معینی روی قسمتی جدا شده از سازه مشخص کردیم در هر قسمت جدا شده دیگر آن جهت آن را سازگار با جهت انتخابی معین کنیم.

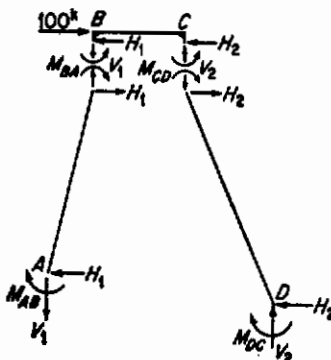
وقتی نمودار لنگر خمشی را برای چنین سازه‌ای رسم می‌کنیم، مقادیر عددی عرضهای نمودار را در طرفی از نمودار درج کنید که در آن سمت قطعه لنگر خمشی در آن قسمت از قطعه مذبور مربوط به قاب صلب ایجاد تنش فشاری کرده باشد.

مثال ۱۳ - ۲۲ = لنگرهای انتهایی این قاب را محاسبه کرده و نمودار لنگر خمشی را برای آن رسم کنید

برای تحلیل روابط موجود بین زوایای  $\beta$ ، تصور کنید که کلیه قطعات را موقتاً از محل گرهها و تکیه‌گاهها از هم جدا کرده و سپس یکی پس از دیگری بهم متصل کنیم، ابتدا قطعه  $AB$  را به یی وصل کنید اگر خط اتصال دو انتهای این قطعه حول  $A$  بماندازه  $\beta_{AB}$  دوران کند انتهای  $B$  در راستای عمود بر  $AB$  به ماندازه  $BB'$  تغییر مکان پیدا خواهد کرد، قطعه  $BC$  را به موازات خود آنقدر انتقال دهید که انتهای  $B$  از  $AB$  و  $BC$  در نقطه  $B'$  یکدیگر را قطع کنند، حال اگر خط اتصال دو انتهای  $BC$  دوران نماید انتهای  $C$  در راستای عمود بر یروضیت اولیه خود به ماندازه  $CC'$  تغییر مکان خواهد داد به همین ترتیب اگر قطعه  $CD$  به تکیه‌گاه خود در  $D$  وصل شود و خط اتصال دو انتهای آن را دوران دهیم، انتهای  $C$  آن در راستای عمود بر  $CD$  به ماندازه  $CC'$  تغییر مکان خواهد داد، در این حالت دو انتهای  $C$  قطعات  $BC$  و  $CD$  یکدیگر را در نقطه  $C'$  قطع خواهند کرد، در این صورت خواهیم داشت:



$$\begin{aligned}\psi_{AB} &= \frac{BB'}{L_{AB}} = \frac{\Delta}{(\cos \alpha)l_{AB}} = \frac{\Delta}{20} = \frac{10}{13}\psi_1 \\ \psi_{BC} &= -\frac{C'C'}{l_{BC}} = -\frac{\Delta}{l_{BC}} (\tan \alpha + \tan \beta) \\ &= -\frac{13}{200}\Delta = -\psi_1 \\ \psi_{CD} &= \frac{CC'}{l_{CD}} = \frac{\Delta}{(\cos \beta)l_{CD}} = \frac{\Delta}{25} = \frac{8}{13}\psi_1\end{aligned}$$



بنابراین کلیه زوایای  $\psi$  را می‌توان برحسب یک مجهول  $\psi$  بیان نمود و چون  $\theta_D = 0$  است لذا مجهولات مستقل عبارت خواهند بود از  $\theta_B$ ،  $\theta_C$  و  $\psi$

$$K_{AB} = \frac{412}{20.6} = 20 = K \quad K_{BC} = \frac{300}{10} = 30 = 1.5K \quad K_{CD} = \frac{807}{20.9} = 1.5K$$

چون هیچ باری بین گره‌ها وارد نمی‌شود لذا کلیه مقادیر FEM برابر با صفر خواهد بود، با استفاده از معادله (۱۱-۱۲) داریم:

$$\begin{aligned}M_{AB} &= 2EK\theta_B - \frac{6}{13}EK\psi_1 & M_{CB} &= 3EK\theta_B + 6EK\theta_C + 9EK\psi_1 \\ M_{BA} &= 4EK\theta_B - \frac{6}{13}EK\psi_1 & M_{CD} &= 6EK\theta_C - \frac{7}{13}EK\psi_1 \\ M_{BC} &= 6EK\theta_B + 3EK\theta_C + 9EK\psi_1 & M_{DC} &= 3EK\theta_C - \frac{7}{13}EK\psi_1\end{aligned}$$

$$\sum M_B = 0 \quad M_{BA} + M_{BC} = 0 \quad \therefore 10EK\theta_B + 3EK\theta_C + 4.885EK\psi_1 = 0 \quad (1)$$

$$\sum M_C = 0 \quad M_{CB} + M_{CD} = 0 \quad \therefore 3EK\theta_B + 18EK\theta_C + 3.468EK\psi_1 = 0 \quad (2)$$

معادلات برش:

$$\sum M_A = 0 \quad M_{AB} + M_{BA} + 20H_1 - 5V_1 = 0 \quad (\text{آ}) : AB$$

$$\sum M_D = 0 \quad M_{DC} + M_{CD} + 25H_2 - 10V_2 = 0 \quad (\text{ب}) : CD$$

$$\sum M_C = 0 \quad M_{BA} + M_{CD} + 10V_1 = 0 \quad (\text{ج}) \quad \text{شاہتی:}$$

$$\sum F_y = 0 \quad V_1 = V_2 \quad (\text{د})$$

$$\sum F_x = 0 \quad H_1 + H_2 = 100 \quad (\text{ه})$$

مقادیر  $V_1$ ،  $V_2$  و  $H_1$  را از روابط (ج) و (د) و (ه) در روابط (الف) و (ب) قرار دهید و سپس  $H_1$  را در معادلات تغییریافته (الف) و (ب) حذف کنید، در این صورت خواهیم داشت:

$$\begin{aligned} M_{AB} + 2.3M_{BA} + 2.1M_{CD} + 0.8M_{DC} + 2,000 &= 0 \\ 11.2EK\theta_B + 15EK\theta_C - 31.292EK\psi_1 &= -2,000 \end{aligned} \quad (۲)$$

حال معادلات (۱)، (۲) و (۳) را از طریق جدول زیر حل کنید:

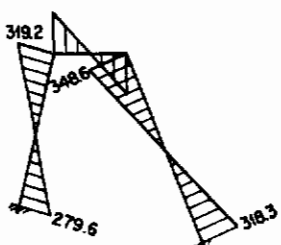
معادله	محاسبات	$EK\theta_B$	+	$EK\theta_C$	+	$EK\psi_1$	$= const \times 10^{-3}$	Check
۱		+10	+	3	+	4.385	0	+17.385
۲		+3	+	12	+	3.482	0	+18.482
۳		+11.2	+	15	-	-31.292	-80	-25.092
$3'$	$3 \times 0.893$	+10	+	13.393	-	-27.939	-17.857	-88.404
$3''$	$3 \times 0.268$	+3	+	4.018	-	-8.382	-5.357	-6.721
۴	$1 - 3'$			-10.393	+	38.324	+17.857	+39.789
۵	$2 - 3''$			+7.982	+	11.844	+5.357	+25.183
۴'	$4 \times 0.788$			-7.982	+	24.825	+13.715	+30.559
۶	$5 + 4'$					+38.669	+19.072	+55.742
						+1.0	+0.5801	

$$7.988EK\theta_B = 5.357 - 6.159 = -0.802 \quad EK\theta_C = -0.1005 \\ 3EK\theta_B = -5.357 + 4.359 + 0.404 = -0.594 \quad EK\theta_B = -0.1980$$

نتایج فوق برای مقدار ثابتی برابر با ۰.۰۱ مقدار ثابت واقعی است محاسبه شده‌اند، نتایج حقیقی ۱۰۰ برابر مقادیر فوق است:

$$EK\theta_B = \underline{-19.80} \quad EK\theta_C = \underline{-10.05} \quad EK\psi_1 = \underline{+52.01}$$

بنابراین لنگرهای انتهایی برابر با مقادیر زیر خواهد بود:



$$\begin{aligned} M_{AB} &= -39.6 - 240.0 = \underline{-279.6^k} \\ M_{BA} &= -79.8 - 240.0 = \underline{-319.8^k} \\ M_{BC} &= -118.8 - 30.2 + 468.1 = \underline{+319.1^k} \\ M_{CB} &= -59.4 - 60.4 + 468.1 = \underline{+348.7^k} \\ M_{CD} &= -60.4 - 288.1 = \underline{-348.5^k} \\ M_{DC} &= -80.8 - 288.1 = \underline{-318.9^k} \end{aligned}$$

## بحث:

زمانی که به تحلیل روابط بین زوایای  $\alpha$  می‌پردازید از صحیح بودن علامات آنها مطمئن شوید و بدین ترتیب معین کنید که خطوط اتصال دو انتهای قطعات در جهت و یا در خلاف جهت ساعتگرد دوران می‌نمایند.

در این مساله حل دستگاه معادلات چندمجهولی را در جزئیات لازم به صورت جدولی شرح داده‌ایم، این چنین راه حلی در مواقعي که سه یا بیشتر از سه معادله وجود داشته باشد راه حل ساده‌ای است، خصوصیات مهم این نحو عطیات ذیلاً ذکر می‌گردد.

۱- وقتی که قصد حذف مجهولی را دارید معادله‌ای را انتخاب کنید که در آن معادله بزرگترین ضریب را داشته باشد عملیات لازم را روی این معادله به منظور مساوی کردن ضریب مجهول با هر یکی از ضرایب آن مجهول در معادلات دیگر انجام دهید، در این صورت همواره این معادله در اعدادی کمتر از یک ضرب خواهد شد، عمل به چنین نحوی در جهت تقلیل خطای می‌باشد.

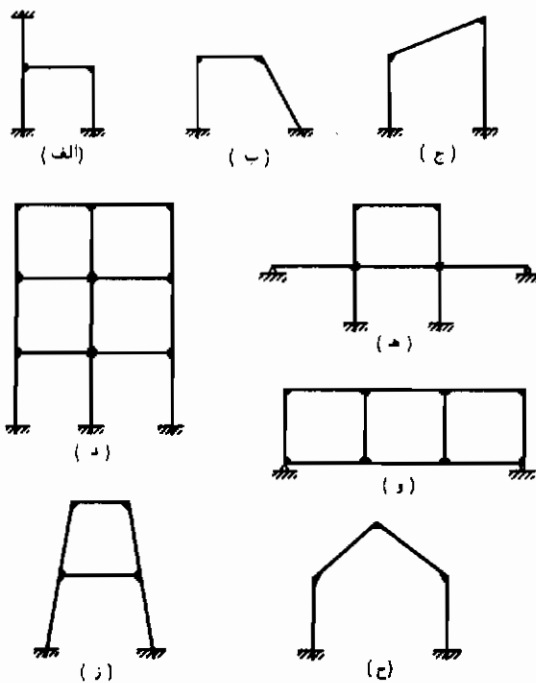
۲- جهت تسهیل در وارسی، محاسبات انجام شده در هر معادله را ذکر کنید.

۳- در ستون وارسی جمع جبری کلیه ضرایب و مقدار ثابت معادله را درج کنید. بر روی این عدد نیز مانند سایر اعداد معادله، عملیات محاسباتی انجام دهید، پس از هر عملیات محاسباتی جمع کلیه ضرایب جدید و مقدار ثابت جدید می‌باشی برابر با این عدد جدید در ستون وارسی باشد. باشی باید آنرا شد که یک چنین وارسی لازم بوده ولی برای حذف خطاهای وارد شده در محاسبات کافی نیست.

۴- تعداد ارقام صحیح مقدار ثابت می‌باشی با ارقام صحیح ضرایب مجهول مساوی شود، این عمل اعداد درج شده در ستون وارسی را اعدادی مؤثرتر خواهد نمود. پس از آن که پاسخ مجهولات به دست آمد مقادیر مجهولات را می‌باشی در عدد لازم جهت تطابق این پاسخها با عدد ثابت واقعی ضرب نمود.

از این پس دانشجویان به مقایسه مزايا و معایب روش‌های مختلف تحلیل‌تش می‌پردازند. دانشجو باید در موقع انتخاب یک روش به مزايا ای انتخاب خود بینديش، به عنوان مثال اگر او بخواهد جهت تحلیل سازه‌های مذکور در شکل‌های (۱۲-۱۳) و (۱۵-۱۶) انتخاب روش نماید در هر موردی ذر کاربرد معادلات انتطباق، قضییه کاستیکلیانو یا برتری آنها بر روش شیب تغییر مکان خواهد اندیشید.

مقدار محاسبات کم و بیش برابر با مربع تعداد معادلات موجود در راه حل می‌باشد.



شکل ۱۵-۱۳ قابهای صلب با امکان جابجایی جانبی

در حالت کلی، بهترین روش آن است که کمترین مجہولات را داشته باشد. بدین ترتیب اگر روش معادلات انطباق را با روش شبیب - تغییر مکان مقایسه کنیم عدتاً "می‌باشی تعداد مولفه‌های مجہول نیروها را با تعداد زوایای ۶ و ۷ مجہول مقایسه نماییم.

### ۱۳-۱۳ اساس روش پخش لنگر

روش پخش لنگر روشهای مبتکانه و سهل در تحلیل تنش سازه‌های متشكل از گرههای صلب می‌باشد\*.

کلیه روشهایی که تا کنون ذکر شد به دستگاه معادلات چند مجہولی منتهی می‌گردند و هرگاه تعداد معادلات بیش از سه یا چهار باشد عده‌ترین وقت محاسباتی صرف حل دستگاه معادلات می‌گردد، روش پخش لنگر معمولاً به عنان تعدادی از معادلات منتهی نمی‌شود و

\* روش پخش لنگر در سال ۱۹۳۲ توسط پروفسور هاردی کراس Cross در چندین نشریه منتشر و ارائه گردید و بدون شک این روش یکی از مهمترین روشهای تحلیل نگری در سالهای اخیر است.

اگل از نظر محاسباتی از کلیه روش‌هایی که تا کنون ذکر شد کوتاهتر است، به علاوه این حسن را دارد که شامل چندین چرخه محاسبات می‌باشد که به صورت همگرا به نتایج دقیق نهایی منتهی می‌گردند و بنابراین این چرخه محاسباتی را می‌توان پس از رسیدن به درجه دقت مورد لزوم ختم نمود.

اگر به معادله (۱۱-۱۳) که معادله اساسی شبیه - تغییر مکان می‌باشد دقت کنیم خواهیم دید که لنگر موثر بر هر انتهای قطعه به صورت جبری مجموع چهار اثر جداگانه است.

۱ - لنگر کمی دارای حاصل از بارگذاری قطعه به عبارت دیگر FEM

۲ - لنگر حاصل از دوران معاكس بر منحنی خیز در انتهای نزدیک تیر

۳ - لنگر حاصل از دوران معاكس بر منحنی خیز در انتهای دور تیر

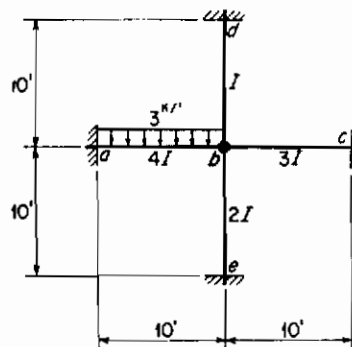
۴ - لنگر حاصل از دوران خط اتصال دو انتهای قطعه

چون لنگر انتهایی حاصل از جمع این چهار اثر می‌باشد می‌توان این اثرات را جداگانه وارد نموده و به این طریق به جمع اثرات آنها رسید.

جهت تسهیل در بحث بالا به موضوع سازه‌هایی می‌پردازیم که در طول هر قطعه آنها مقدار  $\tau$  ثابت بوده و امکان جابجایی جانبی برای آن سازه وجود نداشته باشد که در این صورت مقدار  $\tau$  برای کلیه قطعات آن صفر خواهد شد.

چنین سازه‌ای را که در شکل (۱۶-۱۳) می‌بینیم در نظر بگیرید، اگر تکیه‌گاهها غیر-

قابل تغییر شکل باشند در این صورت در گره‌های  $a$ ،  $c$ ،  $d$  یا  $e$  دوران گرهی وجود نخواهد داشت ولی در اثر بارگذاری امکان دوران گرهی در  $b$  وجود دارد. فرض کنید که در وهله اول سازه بدون بارگذاری بوده و در این حالت توسط اسایابی موقتاً از دوران بعدی گره  $b$  جلوگیری نماییم در این صورت در اثر بارگذاری خارجی در قطعه  $ab$  لنگر کمی داری بوجود خواهد آمد که مقدار آن را می‌توان با استفاده از معادلات (۱۳-۱۳) محاسبه نمود.



شکل ۱۶-۱۳ تعیین اهداف روش پخش لنگر ( فقط دوران گره وجود دارد )

لنگر  $FEM_{ba}$  سبب لنگری در جهت خلاف ساعتگرد برگره  $\theta$  می‌گردد و اگر این گره را آزاد کنیم لنگر مزبور سبب دوران گره  $\theta$  در جهت مخالف ساعتگرد خواهد نمود و هرگاه این گره دوران نماید کلیه قطعاتی که به‌این گره ختم می‌شوند تحمل لنگر خواهند نمود و این گره تا زمانی که لنگر انتهایی کافی در این قطعات به‌منظور معادل گردن اثر  $FEM_{ba}$  ایجاد نشده است به دوران خود ادامه خواهد داد. بدینهی است همزمان با ایجاد لنگر انتهایی در انتهای  $\theta$  این قطعات، انتهای دیگر این قطعات نیز تحت اثر لنگر واقع خواهد شد پس از آن کتعادل لنگری در گره  $\theta$  بوجود آمد در این حالت سازه تغییر شکل نهایی خود را پیدا کرده است و جمع لنگر انتهایی در انتهای قطعات مختلف (در گره  $\theta$ ) برابر با جمع جبری لنگرگیرداری و لنگر حاصل از دوران گره  $\theta$  خواهد بود.

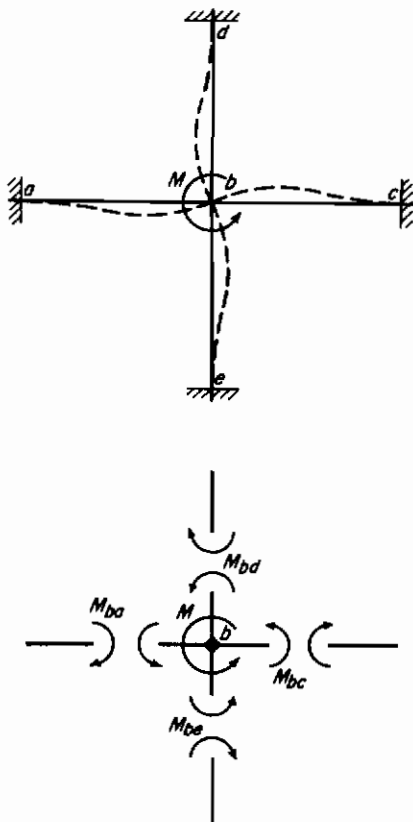
آنچه در بالا ذکر شد اساس روش پخش لنگر را تشکیل می‌دهد، برای تسهیل در شرح این روش چند نامگذاری زیر را قبول می‌کنیم. قبلًا "بالفظی که برای شرح لنگرهای انتهایی حاصل از بارگذاری موئیز بر سازه هرگاه از دوران کلیه گرهها جلوگیری شده باشد آشناشده ایم چنان لنگرهایی را لنگرهای (انتهایی) گیرداری گویند، در صورت آزاد نمودن گرهی اگر جمع جبری لنگرهای گیرداری در انتهای قطعات مختوم به آن گره برابر با صفر نباشد آن گره در اثر لنگر برآیند موجود در گره شروع به دوران خواهد نمود بدین جهت به‌این لنگر برآیند، لنگر نامتعادل گویند. هرگاه گره تحت اثر لنگر نامتعادل دوران کند در انتهای قطعات مختوم به‌این گره لنگر انتهایی بوجود خواهد آمد که بالاخره این لنگرها سبب تعادل گره خواهند شد، به مقدار نهایی این لنگرهای انتهایی لنگرهای پخش شده گویند، چون گره دوران می‌کند لذا سبب خمش قطعات شده و در انتهای دیگر قطعات سبب ایجاد لنگرمی گردد که به‌این لنگرها لنگر انتقالی خواهیم گفت.

قبل از آن که به طور عددی به محاسبه لنگرهای مختلف بپردازیم می‌بایستی به تعیین قرارداد علاوی اقدام کنیم سه نوع قرارداد علاوه در کاربرد این روش استفاده می‌شود ولی مولفین ترجیح می‌دهند که همان قرارداد علاوی را که در روش شبیه - تغییر مکان شرح داده شد به کار برده شود به‌این صورت که: لنگرهای انتهایی زمانی مثبت خواهند بود که در جهت ساعتگرد بر انتهای قطعات اثر گنند.

روابط مربوط به لنگرهای گیرداری قبلًا در مبحث (۱۱-۱۲) تعیین شده‌است، بدین ترتیب مقدار لنگر نامتعادل موثر بر گره  $\theta$  برابر با جمع جبری لنگرهای انتهایی  $\theta$  قطعه که همگی به صورت صلب در آن گره بهم وصل شده‌اند خواهد بود.

جهت توضیح چگونگی محاسبه لنگرهای پخش شده به تحلیل بیشتری نیازمند هستیم، سازه شکل (۱۶-۱۳) را به طوری که گره  $\theta$  تحت اثر لنگر نامتعادل  $M$  به دوران درآید در نظر

بگیرید، در این حالت سازه به صورت شکل (۱۷-۱۳) تغییرشکل یافته بسب بوجود آمدن لنگرهای پخش شده  $M_{ba}$  و غیره خواهد شد که بوجود آمدن این لنگرها سبب تعادل گره  $b$  می‌گردد.



شکل ۱۷-۱۳ دوران گره

این لنگرهای پخش شده که دارای مقادیر نامعلوم می‌باشد به صورت مثبت فرض می‌شوند بدین ترتیب که بر انتهای قطعات در جهت ساعتگرد و برگره در جهت عکس ساعتگرد عمل کنند. لنگر نامتعادل  $M$  که حاصل از لنگر انتهایی گیرداری مثبت می‌باشد نهض در جهت عکس ساعتگرد برگره اثر خواهد نمود و چون  $\sum M_b = 0$  است لذا:

$$M_{ba} + M_{bc} + M_{bd} + M_{ba} + M = 0 \quad (\text{الف})$$

در این صورت لنگری پخش شده را می‌توان به کمک معادله (۱۱-۱۲) محاسبه نمود، با توجه به این مطلب که  $\theta_a = \theta_b = \theta_c = \theta_d = 0$  می‌باشد و کلیه زوایای ≠ صفر هستند داریم:

$$\begin{aligned} M_{ba} &= 4EK_{ba}\theta_b & M_{bd} &= 4EK_{bd}\theta_b \\ M_{bd} &= 4EK_{bd}\theta_b & M_{bd} &= 4EK_{bd}\theta_b \end{aligned} \quad (b)$$

حال اگر معادلات (ب) را در معادله (الف) قرار دهیم و مقدار  $\theta_b$  را از رابطه حاصل معین نموده و در تک تک معادلات (ب) منظور کنیم روابطی برای بیان مقادیر  $M_{ba}$  و غیره به دست خواهیم آورد، مثلاً:

$$M_{ba} = \frac{-K_{ba}}{K_{ba} + K_{bd} + K_{bc} + K_{bd}} M \quad (c)$$

و در حالت کلی لنگر پخش شده در میله  $bm$  به صورت زیر معین می‌شود:

$$M_{bm} = -\sum_b \frac{K_{bm}}{K} M \quad (d)$$

در مخرج کسر این رابطه، سختی کلیه قطعات به گره  $b$  وارد می‌شوند و اگر:

$$DF_{bm} = \left( \text{ضریب پخش انتهای } b \text{ قطعه } bm \right) \sum_b \frac{K_{bm}}{K} \quad (14-12)$$

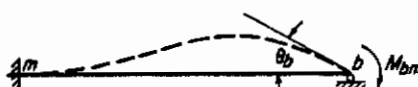
در این صورت خواهیم داشت:

$$M_{bm} = -DF_{bm}M \quad (15-12)$$

معادله (15-12) را می‌توان به صورت زیر بیان کرد:

لنجر پخش شده حاصل در انتهای  $b$  از قطعه  $bm$ ، هرگاه گره  $b$  تحت اثر لنجر نامتعادل دوران نماید برابر است با حاصل ضرب ضریب پخش در لنجر نامتعادل با علامت عکس. برای لنجر انتقالی نیز بایستی روابطی معین کنیم. قطعه‌ای را که در انتهای  $b$  آن به اندازه  $\theta_b$  دوران یافته ولذا لنجر پخش شده  $M_{bm}$  در آن انتهای قطعه مانند شکل (18-12) بوجود آمده است در نظر بگیرید، دیده می‌شود قبل و بعداز دوران گره  $b$  گره  $m$  همچنان بدون دوران باقی مانده ولذا برابر با صفر خواهد بود چون،  $M_{bm}$  نیز برابر صفر است معادله (11-12) منجر به روابط زیر می‌شود:

$$M_{bm} = 4EK_{bm}\theta_b \quad M_{mb} = 2EK_{bm}\theta_b$$



شکل ۱۸-۱۲ لنجر انتقالی

و بنابراین

$$M_{mb} = \frac{1}{2} M_{bm} \quad (16-12)$$

بعبارت دیگر، لنگر انتقالی برابر با یک‌دوم لنگر پخش شده نظیر خود بوده و دارای همان علامت لنگر پخش شده است.

بهاین ترتیب کلیه مطالب روابط لازم است جهت حل مسائل ساده پخش لنگر ذکر شده است، دقت شود که آنچه در بالا، ذکر شد فقط زمانی صادق است که سازه مورد نظر دارای قطعاتی با لنگر لختی ثابت باشد. در مبحث (15-13) مطالب بالا در مورد سازه‌ای که از ترکیب قطعاتی با لنگر لختی متغیر تشکیل شده باشد بسط خواهیم داد.

### ۱۴-۱۳ کاربرد روش پخش لنگر در تیرها و قابها

برای شرح کاربرد روش پخش لنگر ابتدا بمثالی در مورد تیر سرتاسری شکل (19-13) توجه نمائید. این تیر دارای تکیه‌گاه‌های غیرقابل تغییر شکل می‌باشد. در این صورت زوایای ۴ برای هر دو قطعه صفر بوده و دوران تکیه‌گاه  $a$  همواره برابر با صفر خواهد بود، فرض کنید که موقتاً از دوران گره‌های  $b$  و  $c$  جلوگیری کرده و تیر را تحت اثر بارگذاری قرار دهیم، در این صورت مقادیر حاصل برای لنگرهای انتهایی گیرداری به صورت زیر خواهد بود.

$$\begin{aligned} FEM_{ab} &= -9.6 \text{ kip-ft} & FEM_{bc} &= -18.75 \text{ kip-ft} \\ FEM_{ba} &= +14.4 \text{ kip-ft} & FEM_{ca} &= +18.75 \text{ kip-ft} \end{aligned}$$

برای این که خود را جهت افزایش گره‌های  $b$  و  $c$  ماده کرده و بتوانیم به پخش لنگرهای نامتعادل بهر دازیم ضرایب سختی  $K$  و از طریق آنها ضرایب پخش می‌بایستی محاسبه گردند.

$$\Sigma K = 0.3I \quad DF_{ba} = \frac{1}{3} \quad DF_{bc} = \frac{2}{3} \quad : \text{ در گره } b$$

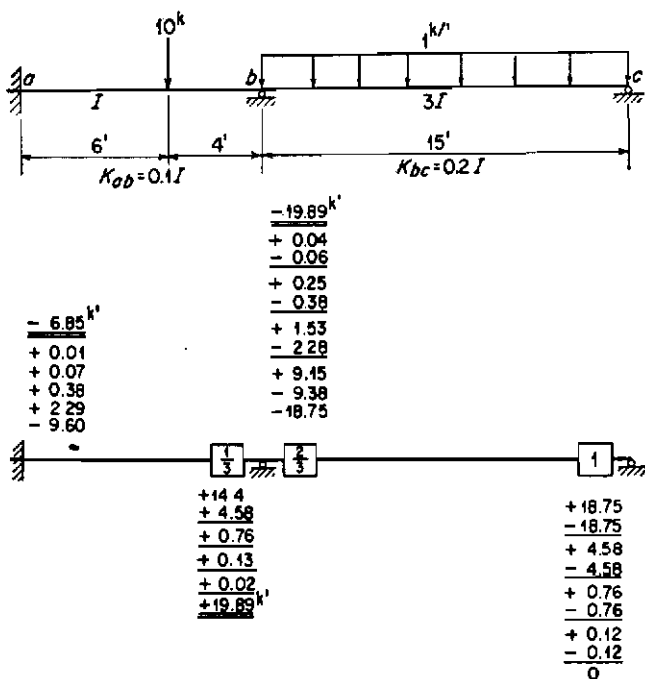
$$\Sigma K = 0.2I \quad DF_{cb} = 1 \quad : \text{ در گره } c$$

ضرایب پخش را در داخل مربعی روی نمودار (19-13) درج می‌کنیم، کلیه محاسبات لازم برای لنگرهای انتهایی در روی این نمودار درج می‌گردد به طوری که اعداد مربوط به یک لنگر انتهایی به صورت ستونی از اعداد که عمود بر قطعه می‌باشد نوشته می‌شوند، این اعداد در سمتی از قطعه قرار دارند که هرگاه حول گره در جهت ساعتگرد عمل کنیم آن سمت قطعه در وهله اول مورد تلاقی قرار گیرد. واضح است که چنین آرایش محاسباتی حالت اجباری ندارد ولی برای قابها بسیار مناسب به نظر می‌رسد.

پس از محاسبه لنگرهای گیرداری، گره‌های  $b$  و  $c$  را به نوبت افزایش گردیده و به طور تدریجی

امکان دوران آنها را تا وضعیت تعادل ممکن می‌سازیم، پس از آزادنمودن گره  $c$  آن گره تحت اثر لنگر نامتعادل  $18.75 +$  ناجایی که لنگر پخش شده برابر با  $-18.75 -$  بهمنظور ایجاد تعادل بوجود آید بدوران در می‌آید. پس از آن دوران از دوران  $c$  جلوگیری کرده و خطی زیر  $18.75 -$  رسم می‌کنیم تا نشان دهیم که این گره در این حالت بهتعادل رسیده است. در اثر دوران گره  $c$  لنگر انتقالی برابر با یک دوم لنگر پخش شده در انتهای  $b$  از قطعه  $b$  بوجود می‌آید که در این حالت برابر با  $-9.38 -$  خواهد بود.

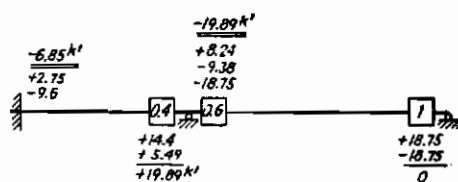
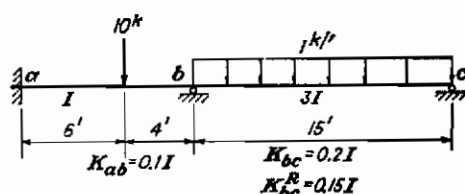
حال اگر گره  $b$  را  $2\alpha$  زاد کنیم این گره تحت اثر لنگر نامتعادلی برابر با مجموع جبری دولنگر گیرداری در این گره و لنگر انتقالی فوق الذکر که از نظر عددی برابر با  $-13.73 -$  می‌گردد بدوران در خواهد  $\Delta$  مد. با بكاربردن ضریب پخش، لنگرهای پخش شده حاصل جهت ایجاد تعادل گره برابر با  $+9.15 + 4.58 +$  محاسبه خواهند شد که این اعداد درجای خود درج شده و زیر آنها خطی کشیده می‌شود. این خطشناسان می‌دهد که در حال حاضر این گره بهتعادل رسیده است، باز از دوران این گره از وضعیت جدید خود جلوگیری کرده لنگرهای انتقالی حاصل در  $a$  و  $c$  را که در اثر دوران گره  $b$  بوجود می‌آیند به ترتیب برابر با  $2.29 + 4.58 +$  در محل خود ثبت می‌نماییم.



شکل ۱۹-۱۳ مثال عددی

حال دوباره بهگره  $\epsilon$  برمی‌گردیم و آن را آزاد می‌کنیم، این گره تحت اثر لنگرنا متعادل +4.58 دوران نموده و لنگر پخش شده 4.58 را ایجاد می‌کند و بازهم نیمی از این لنگر پخش شده به انتهای  $\delta$  از این قطعه منتقل می‌شود، در این حالت از دوران گره  $\epsilon$  جلوگیری می‌شود، حال برای هار دوم گره  $\delta$  را آزاد می‌کنیم و در این حالت این گره تحت لنگرنا متعادل -2.29 دوران کرده و لنگرهای پخش شده  $+0.76$  و  $+1.53$  را ایجاد می‌کند که نیمی از این لنگرهای پخش شده به ترتیب برابر با  $+0.38$  و  $+0.76$  به  $\epsilon$  و  $\delta$  منتقل می‌گردد. به همین ترتیب به آزاد و قفل نمودن به عنوان گرههای  $\epsilon$  و  $\delta$  از آن  $\delta$  آنقدر ادامه می‌دهیم که اثرات آنها به قدری کوچک شود که از آنها بتوان صرف نظر نمود. در اینجا این مساله را بیش از آنچه در عمل موردنیاز می‌باشد ادامه داده‌ایم و غرض ما از این عمل شرح بهتر این روش بوده است، پس از آن که عمل پخش لنگر به انتهای رسید، مقادیر مربوط به لنگرهای انتهایی را می‌توان با جمع جبری کلیه اعداد بدست آمده درستون اعداد مختلف محاسبه نمود.

از آنجاشی که در این مثال گره  $\epsilon$  یک گره مفصلی است و مرتباً بهگره  $\delta$  لنگر منتقل می‌کند همگرایی لنگرها به کندی پیش می‌رود، هرگاه در انتهای سازه‌ای گرهی مفصلی وجود داشته باشد می‌توان با تغییری که در روش بالا داده می‌شود مطابق آنچه در شکل (۲۵-۱۳) دیده می‌شود همگرایی لنگرها را زودتر حاصل نمود.



شکل ۲۵-۱۳ مثال تشریحی برای کاربرد ضربی سختی تقلیل یافته

مانند سابق با جلوگیری نمودن از دوران کلیه گرهها و وارد نمودن پاره خارجی که به عنوان خود سبب ایجاد لنگرهای گیرداری می‌شود مساله را شروع می‌کنیم، بازهم در وهله اول گره  $\epsilon$  را آزاد کرده و می‌گذاریم که دوران نماید و در اثر این دوران لنگر پخش شده 18.75-

ایجاد شده از این لنگر  $9.38 - \theta_b$  منتقل می‌گردد. در این نقطه گره  $c$  را جهت دوران آزاد نگه می‌داریم تا این که از ایجاد لنگر انتهایی جلوگیری شود، در این شرایط که گره  $b$  را آزاد می‌کنیم این گره تحت اثر لنگر  $13.73 - \theta_b$  دوران می‌نماید در حالی که گره  $c$  به جای آن که قفل شده باشد آزادانه می‌چرخد. بطوط فیزیکی می‌توان گفت که دیگر قطعه  $bc$  مانند سابق سخت نیست ولذا قادر در پیافت همان مقدار لنگر ناتعادل نمی‌باشد، حال به تعیین مقدار تقلیل سختی آن می‌پردازیم.

با مراجعه به اشکال (۱۳-۱۶) و (۱۲-۱۳) و چگونگی تعیین رابطه‌ای برای لنگرهای پیش‌شده، فرض کنید که تکیه‌گاه  $c$  بجای آن که تکیه‌گاهی گیردار باشد تکیه‌گاهی غلتکی و پی‌ما مفصلی می‌بود، در این صورت تحت اثر لنگر ناتعادل  $M$  در  $b$ ، در گره  $c$  یک زاویه  $\theta$  بوجود می‌آمد ولی مقدار  $M$  برابر با صفر می‌شد، حال با کاربرد معادله (۱۳-۱۱) تحلیل قبلی به صورت زیر تغییر می‌یافتد:

$$M_{bc} = 4EK_{bc}\theta_c + 2EK_{bc}\theta_b = 0$$

$$\theta_c = -\frac{\theta_b}{2} \quad \text{وازانجا:}$$

بنابراین:

$$M_{bc} = 4EK_{bc}\theta_b + 2EK_{bc}\theta_c = 3EK_{bc}\theta_b = 4E(\frac{3}{4}K_{bc})\theta_b = 4EK_{bc}^R\theta_b$$

که در آن:

$$K_{bc}^R = \frac{3}{4}K_{bc} \quad (ضریب سختی تقلیل یافته)$$

بدین ترتیب روابط قبلی مربوط به ضرایب پخش را به شرطی که برای قطعاتی که در انتهای دیگر شان مفصلی هستند ضریب سختی تقلیل یافته‌را به کار بریم می‌توان در این حالت جدید استفاده نماییم\*.

حال با به کار بردن ضریب سختی تقلیل یافته قطعه  $bc$ ، ضرایب توزیع  $\theta$  را معین می‌کنیم:

$$\Sigma \text{ eff } K = 0.25I \quad DF_{ba} = 0.4 \quad DF_{bc} = 0.6$$

در  $b$ :

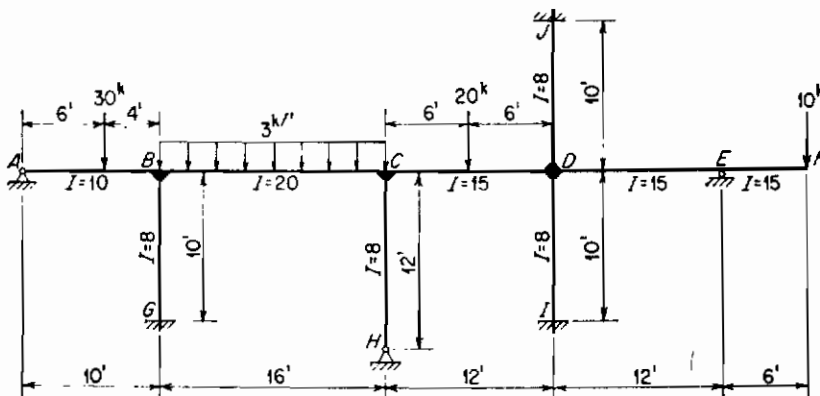
\* چون ضریب سختی مؤثر در انتهای  $b$  از قطعه  $bm$  هرگاه انتهای  $m$  گیردار باشد برابر با  $K_{bm}^R$  و هرگاه مفصلی باشد برابر با  $K_{bm}^R$  می‌باشد بهتر است که معادله (۱۳-۱۴) را مشکل زیر بیان کنیم.

$$DF_{bm} = \frac{\text{eff } K_{bm}}{\sum \text{eff } K} \quad (۱۴-۱۳ \text{ الف})$$

در این رابطه علامت  $\text{eff } K$  نشان‌دهنده ضریب سختی مؤثر قطعه است که این ضریب می‌تواند بر حسب آن که انتهای دیگر قطعه گیردار و یا مفصلی باشد به ترتیب  $K_{bm}$  و یا  $K_{bc}$  گرفته شود.

در نتیجه جهت متعادل نمودن لنگر نامتعادل  $13.73 - \text{در آن گره لنگرهای پخش شده و } +5.19 + 8.21 \text{ بوجود می‌آید، بدینهی است که از این لنگرچیزی به گره } 8 \text{ منتقل نمی‌گردد زیرا این گره آزاد باقی مانده است بین گرههای } a \text{ و } b \text{ همان انتقال متعارف وجود دارد، در این حالت خاص چون دیگر گره } b \text{ در اثر آزاد شدن گره } a \text{ نامتعادل نشده است لذا عملیات محاسباتی خاتمه یافته است و بدین ترتیب کلیه گرههای موجود در تعادل هستند و اگر برای همیشه گره } a \text{ را آزاد نگه داریم، دیگر انتقال لنگری بوجود نخواهد آمد. در این حالت با جمع اعداد در هر یک از ستون اعداد مقادیر دقیق لنگرهای انتهایی را بدست می‌آوریم. حالت اصلاح شده، اخیراً غالب پس از یک چرخه مانند آنچه در این مساله دیدیم به می‌اسخنای صحیح نمی‌رسد ولی همواره زودتر از روش اصلی به همگرایی می‌رسد. در مثال (۲۳-۱۳) به شرح چگونگی محاسبات لازم در مورد سازه‌ای با پیچیدگی قابل ملاحظه پرداخته ایم در این سازه کلیه دورانهای خط اتصال دو انتهای قطعات صفر می‌باشند. در مثال (۲۴-۱۳) در مورد سازه‌ای که برای آن زوایای  $\neq$  صفر نمی‌باشند ولی دارای مقادیر معلومی هستند محاسبات لازم را انجام داده‌ایم.$

مثال ۲۳-۱۳ = برای این قاب لنگرهای انتهایی را محاسبه کرده و نمودار لنگر خمشی را رسم کنید، تکیه‌گاهها غیرقابل تغییر شکل می‌باشند.



فرضیه پخش :

$$\begin{aligned} \text{At } B: \Sigma \text{ eff K} &= 2.8 \\ DF_{BA} &= 0.268 \\ DF_{BC} &= 0.446 \\ DF_{BG} &= 0.286 \\ &\hline 1.000 \end{aligned}$$

$$\begin{aligned} \text{At } C: \Sigma \text{ eff K} &= 3.0 \\ DF_{CB} &= 0.417 \\ DF_{CD} &= 0.417 \\ DF_{CH} &= 0.167 \\ &\hline 1.000 \end{aligned}$$

$$\begin{aligned} \text{At } D: \Sigma \text{ eff K} &= 3.788 \\ DF_{DC} &= 0.390 \\ DF_{DJ} &= 0.212 \\ DF_{DS} &= 0.248 \\ DF_{DI} &= 0.212 \\ &\hline 1.002 \end{aligned}$$

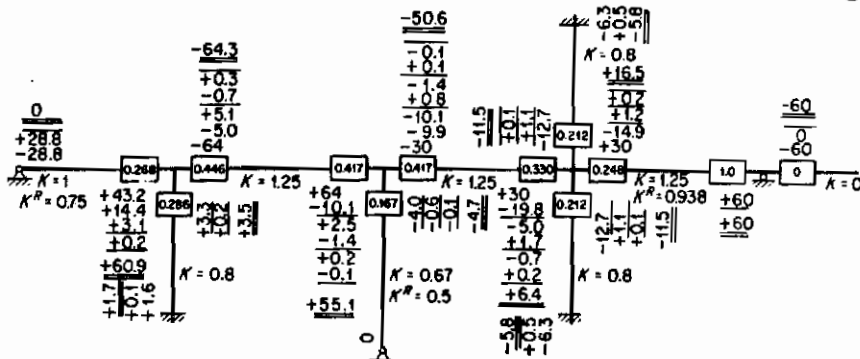
لنگرهای گیرداری :

$$\begin{aligned} FEM_{AB} &= -\frac{(30)(6)(4)^3}{(10)^3} = -28.8k' & FEM_{BA} &= +\frac{(30)(6)^3(4)}{(10)^3} = +43.2k' \\ FEM_{BC} &= \frac{(3)(16)^3}{12} = -64k' & FEM_{CB} &= +64k' \\ FEM_{CD} &= -\frac{(20)(12)^3}{8} = -30k' & FEM_{DC} &= +30k' \end{aligned}$$

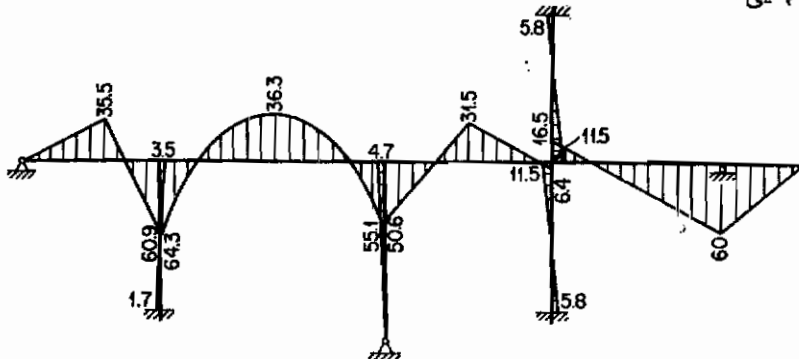
لنگر طره:

$$M_{SF} = -(10)(6) = -60^{\text{m}}$$

پختہ لنگر:



نتایج نهایی:



بحث

در این سازه، پس از آن که کلیه گرهها در مقابل دوران قفل شدند و سپس بارهای خارجی بر سازه وارد شدند لنگری در انتهای طره علاوه بر لنگرها متعارف گیرداری کمتر نقاط دیگر قاب بوجود می‌آید تولید خواهد شد، همان طوری که یک لنگر گیرداری در لنگر نامتعادل داخل می‌شود این لنگر  $80 \text{ kip-ft}$  نیز دارای همین نقش خواهد بود.

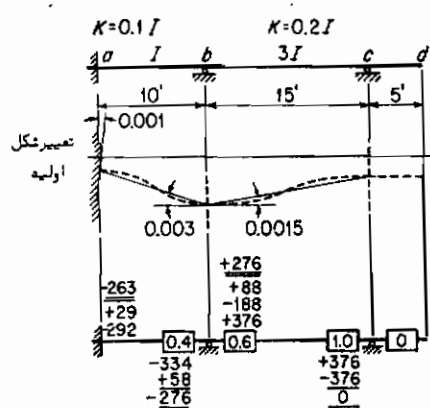
این بدان معنی است که ضریب سختی آن برابر با صفر می‌باشد. بنابراین کلیه لنگرهای نامتعادل توسط سایر قطعاتی که هدین گره ختم می‌شوند منتقل می‌گردد.

با عمل بهروش تجدید نظر شده کلیه گرههای مفصلی می‌باشندی در وهله اول آزاد گردند. این عمل نه تنها شامل گرههای  $A$  و  $H$  می‌گردد بلکه شامل  $E$  نیز خواهد بود.

سایر گرهها، هریک بهنوبه خود آزاد شده و به تدریج در جهت وضعیت تعادل خود دوران پیدا می‌کنند. اگر در حین عمل به آزادسازی گرهی بپردازیم که دارای بیشترین لنگر نامتعادل می‌باشد همگرایی اعداد قدری سریعتر خواهد بود ولی بایستی یادآور شد که نتایج نهایی بستگی به ترتیب آزاد کردن گرهها ندارد.

مثال ۱۳-۲۴ = مثال (۲۰-۱۳) را با روش پخش لنگر حل کنید.

فرض کنید که موقتاً از دوران کلیه گرهها جلوگیری کرده و با این شکل جابجاشی تکیه‌گاهها را اعمال کنیم، خواهیم داشت:



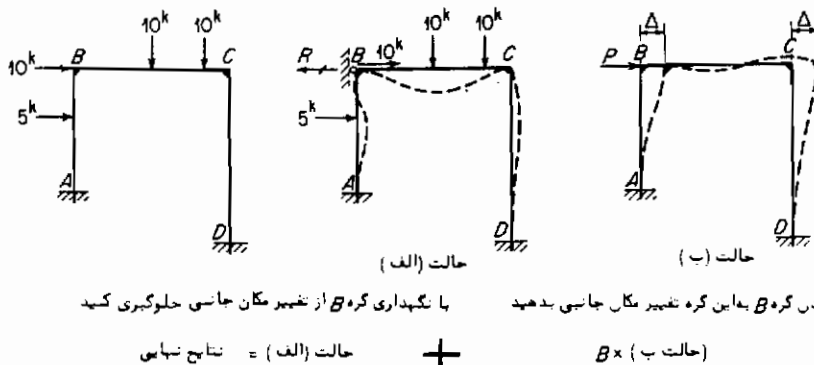
رادیان	$\theta_a = +0.001$
رادیان	$\psi_{ab} = +0.003$
رادیان	$\psi_{bc} = -0.0015$

در حقیقت با این عمل قطعات را خم نموده و لنگر انتهایی در آنها ایجاد کرده‌ایم که این لنگرهای را می‌توان از معادله (۱۱-۱۳) به صورت زیر محاسبه نمود:

$$\begin{aligned}
 M_{ab} &= 2E(0.1I)(0.002 - 0.009) \\
 &= -0.0014EI = -298\text{k}\mu\text{l}^2 \\
 M_{ba} &= 2E(0.1I)(0.001 - 0.009) \\
 &= -0.0010EI = -334\text{k}\mu\text{l}^2 \\
 M_{bc} &= 2E(0.2I)(+0.0045) \\
 &= +0.0018EI = +376\text{k}\mu\text{l}^2 \\
 M_{cb} &= +0.0018EI = +376\text{k}\mu\text{l}^2
 \end{aligned}$$

در محاسبات فوق  $EI = 80 \times 10^3 \times \frac{1,000}{144} = 208,333 \text{ kip}\cdot\text{ft}^2$  در نظر گرفته شده است. بقیه محاسبات را با فرض این لنگرهای اولیه به عنوان لنگرهای گیرداری دقیقاً به همان روش قبل می‌توان ادامه داد. بدین ترتیب پخش لنگر و... دقیقاً مانند شکل (۲۰-۱۳) انجام گرفته است.

پس از آن که فلسفه روش پخش لنگر را با جزئیات لازم محاسباتی آن در مورد حالت فوق درک نمودیم حال به سادگی می‌توان به شرح حالات پیجیده‌تری که در آن حالات تغییر مکان جانبی وجود دارد و به عبارت دیگر زوایای  $\theta$  مجھول می‌باشد پرداخت. به عنوان مثال قاب شکل (۲۱-۱۳) را در نظر بگیرید<sup>\*</sup>، در این حالت مانعی برای جلوگیری از تغییر مکان افقی انتهای فوچانی ستون وجود ندارد؛ بنابراین علاوه بر دوران گره‌های  $B$  و  $C$  دوران خط اتصال دو انتهای ستونها نیز که نامعلوم هستند وجود خواهد داشت.



شکل ۲۱-۱۳ کاربرد روش پخش لنگر در امکان جابجایی جانبی (انتقال گرهها)

به منظور حل این مساله به کمک پخش لنگر آن را بعد و قسمت جداگانه تقسیم می‌کنیم. ابتدا تصور کنید که نیروی افقی  $R$  را که قادر به جلوگیری از هر نوع جابجایی افقی می‌باشد بر گره  $B$  وارد کنیم. براین چنین سازه‌ای که در مقابل جابجایی افقی مهار شده است بارهای خارجی را اعمال کرده و به کمک روش پخش لنگر درست مانند حالتی که جابجایی جانبی وجود نداشته باشد به محاسبه لنگرهای انتهایی می‌پردازیم، پس از آنکه لنگرهای انتهایی محاسبه گردید می‌توان با استفاده از روابط تعادل به محاسبه نیروی بازدارنده  $R$  پرداخت\*\*. این قسمت از محاسبه را در شکل (۱۹-۱۳) با حالت  $A$  مشخص کردایم.

\* به مطلبی که در داخل کادر بند (۱۲-۱۳) در مورد روش تعیین تعداد منتقل زوایای مجھول  $\theta$  گفته شده است مراجعه نمایند. تعداد درجات آزادی مربوط به مکان تغییر مکان جانبی برابر با تعداد منتقل زوایای مجھول  $\theta$  می‌باشد.

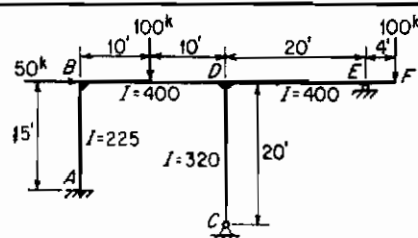
\*\* فرض کنید که در یک حالت خاص نیروی بازدارنده  $R$  که با تعادل به دست می‌آید برابر با صفر گردد. با در نظر گرفتن مساله امکان تغییر مکان جانبی چنین مطلبی چه معنی می‌دهد؟ آیا لازم است که به راه حل حالت  $B$  عمل شود.

در قسمت دوم محاسبه که حالت  $B$  می‌باشد با فرض جلوگیری از دوران گره‌ها، گره  $B$  از قاب را مجبور به جابجا‌بی دلخواهی برابر با  $\Delta$  می‌کنیم. (توجه شود که نیروی جابجا – گندم  $P$  مربوط به حالت  $B$  می‌باشد) به همان نقطه اثر نیروی بازدارنده  $R$  مربوط به حالت  $A$  وارد شده در همان راستا باشد) بدین ترتیب می‌توان به تحلیل زوایای  $\theta$  که در ستونها ایجاد می‌شود پرداخت و با استفاده از معادله (۱۱-۱۳) به محاسبه لنگرهای انتهایی اولیه که در کلیه قطعات ایجاد می‌گردد اقدام کرد. لنگرهای انتهایی که بدین ترتیب به دست می‌آیند بر حسب  $E\Delta$  خواهند بود ولی چون مقدار  $\Delta$  یک مقدار دلخواهی است می‌توانیم  $E\Delta$  را برابر با واحد و یا برابر با هر مقدار مناسب دیگری اختیار کنیم تا این که مقادیر لنگرهای انتهایی اولیه بر حسب اعداد بیان شوند. حال اگر به نوبه با آزادسازی گره‌های  $B$  و  $C$  به پخش و انتقال لنگر بپردازیم برای این قاب مقادیری برای لنگرهای انتهایی به دست خواهیم آورد. حال باز هم می‌توان به محاسبه نیروی  $P$  که به قاب وارد شده و سبب ایجاد این لنگرها شده است پرداخت.

به این ترتیب می‌توان با روی هم گذاری دو قسمت مربوط به حالت  $A$  و  $B$  به تعیین پاسخهایی جهت حالت بارگذاری واقعی قاب اقدام کرد، به منظور تسهیل بحث مربوط به نحوه این جمع آثار فرض کنید که مقدار  $R$  برابر با ۱۲ kips و رو به سوی چپ و مقدار  $P$  برابر با ۸ kips رو به سوی راست معین شده باشد، می‌باشیم که مقدار  $R$  مربوط به حالت  $A$  را همان طوری که هستند در نظر گرفت زیرا که بارهای خارجی در این حالت به همان صورتی که وجود دارند در عملیات وارد شده‌اند. واضح است که این نتایج را می‌توان با هر ضریبی از نتایج حالت  $B$  به طور دلخواه جمع کرد ولی با استفاده از مقادیر به دست آمده برای  $R$  و  $P$  اگر دو برابر بارهای حاصل از حالت  $B$  را با بارهای حاصل از حالت  $A$  جمع کنیم واضح است که نتایج به دست آمده شامل اثرات دستگاه بارگذاری خارجی خواهد بود و به این ترتیب واضح است که نتایج نهایی لازم برای لنگرهای انتهایی با جمع جبری دو برابر لنگرهای حالت  $B$  با لنگرهای حالت  $A$  به دست خواهد آمد.

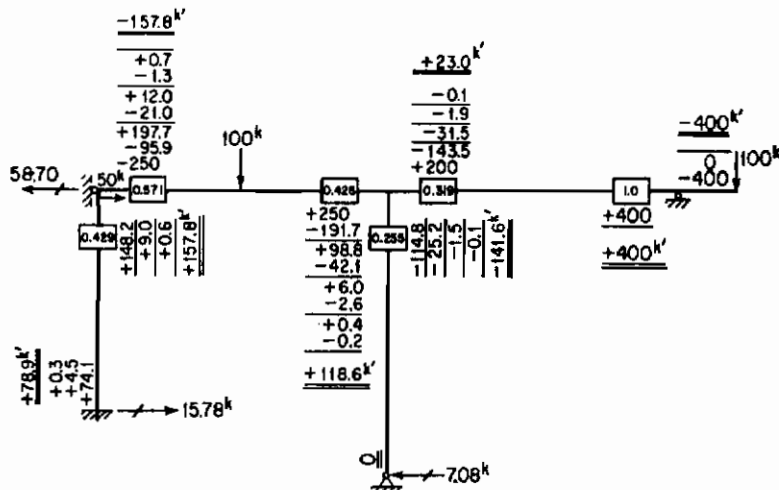
### مثال ۱۳ - ۲۵ = لنگرهای انتهایی این قاب را محاسبه کنید.

در	$K_{AB} = 15$	$DF_{BA} = 0.420$
	$K_{BD} = 20$	$DF_{BD} = 0.571$
	$\Sigma \text{ eff } K = 35$	
در	$K_{DB} = 20$	$DF_{DB} = 0.426$
	$K_{DE}^B = 15$	$DF_{DE} = 0.319$
	$K_{DC}^B = 12$	$DF_{DC} = 0.255$
	$\Sigma \text{ eff } K = 47$	



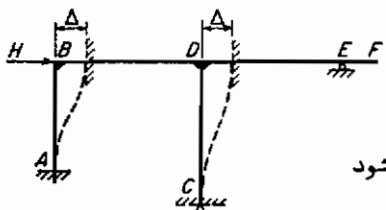
حالت (الف) از جابجایی قاب جلوگیری می‌شود، گره B تثبیت می‌گردد. کلیه بارهارا بر سازه وارد می‌کنیم. با جدادنمودن ستونها عکس العملهای افقی در A و C را می‌توان محاسبه نمود

$$FEM_{BD} = -250 \quad M_{EF} = -400 \\ FEM_{DC} = +250$$



و پس از آن با استفاده از  $\sum H = 0$  در مورد کل سازه می‌توان به تعیین نیروی باز دارنده در گره B که برابر با  $58.70^*$  می‌باشد اقدام نمود. جهت این نیرو را به سوی چپ خواهد بود.

حالت (ب) با جابجاینمودن نقطه B، در سازه تغییر محل جانبی ایجاد کنید، در ابتداموقتاً از دوران کلیه گرهها از جمله C جلوگیری نماید و از معادله (۱۱-۱۳) لنگرهای انتهایی اولیه را محاسبه کنید.



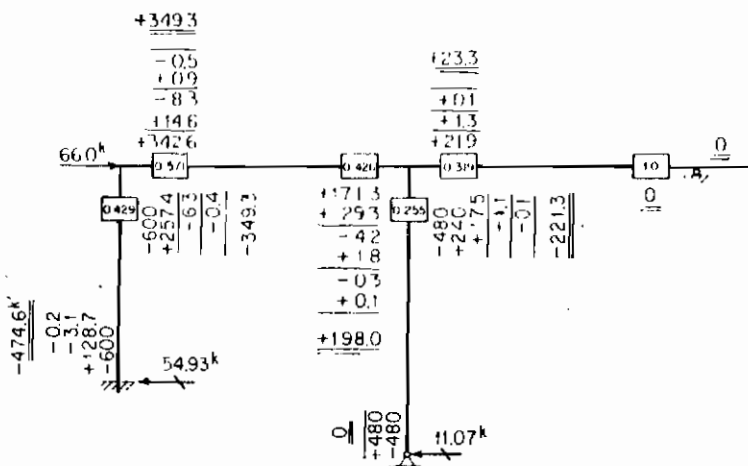
$$M_{AB} = M_{BA} = -6E(15) \left(\frac{\Delta}{15}\right) = -6E\Delta$$

$$M_{CD} = M_{DC} = -6E(16) \left(\frac{\Delta}{20}\right) = -4.8E\Delta$$

اگر  $E\Delta = 100$ ; فرض شود

$$M_{AB} = M_{BA} = -600 \\ M_{CD} = M_{DC} = -480$$

ترکیب حالت (الف) و حالت (ب)؛ اگر B ضربن تایج حالت (ب) باشد، حاصل انطباق B در حالت (ب) و (الف) می‌باشدستی مبنوعی باشد که نیروی جدید حاصل در حالت (ب) بتواند نیروی بازدارنده گره B را در حالت (الف) وجود دارد خنثی نماید تا این که تنها اثر نیروهای موئثر خارجی بر جا بماند، این خنثی سازی را می‌توان به صورت معادله‌ای بیان نمود



که در این معادله نیروی رو به سوی راست را مثبت فرض کردیم، خواهیم داشت:

$$-58.7 + 66B = 0 \quad \text{or} \quad B = 0.89$$

(حالت ب)  $(B)$  + (حالت الف) = نتائج نهايى

$$\begin{aligned}
 M_{AB} &= +78.9 - 421.5 = \underline{-342.6^{\text{kft}}} & M_{DC} &= -141.6 - 196.7 = \underline{-338.3^{\text{kft}}} \\
 M_{BA} &= +157.8 - 310.5 = \underline{-152.7^{\text{kft}}} & M_{DE} &= +23.0 + 20.7 = \underline{+43.7^{\text{kft}}} \\
 M_{BD} &= -157.8 + 310.5 = \underline{+152.7^{\text{kft}}} & M_{ED} &= +400 + 0 = \underline{+400^{\text{kft}}} \\
 M_{DB} &= +118.6 + 176.0 = \underline{+294.6^{\text{kft}}}
 \end{aligned}$$

بحث:

وقتی که به محاسبه لنگرهای انقبایی اولیه حاصل از دوران خط اتصال دو انتهای اعضاء می پردازیم باید توجه نماییم که کلیه گرهها از جمله تکیه گاههای مفصلی قادر به دوران نمی باشند، همچنین توجه شود که در این محاسبات از ضرب سختی  $K$  استفاده شده است و از ضرب سخته، تقلیل باقته استفاده نشده است.

از ضریب سختی تقلیل یافته فقط در محاسبه ضرایب پخش استفاده می‌شود و نه بیشتر.

مقادیر لنگرهای انتهاهای حاصل از هر نیروی افقی موئش پرگره B را می‌توان مستقیماً با

استفاده از قسمت حالت (ب) از محاسبه پهدست آورد.

آنچه در مثال (۲۵-۱۳) شرح داده شد بدون هیچ‌گونه تغییری در مورد کلیه قابها با یک زاویه  $\theta$  مستقل قابل اعمال می‌باشد. بسط چنین کاربردی در مورد قابهای که دارای بیش از یک  $\theta$  مستقل می‌باشند نیز بسیار ساده است. قابی که دارای  $\theta$  زاویه مستقل باشد

قابلی با " درجه آزادی در برابر تغییر مکان جانبی خوانده می‌شود .

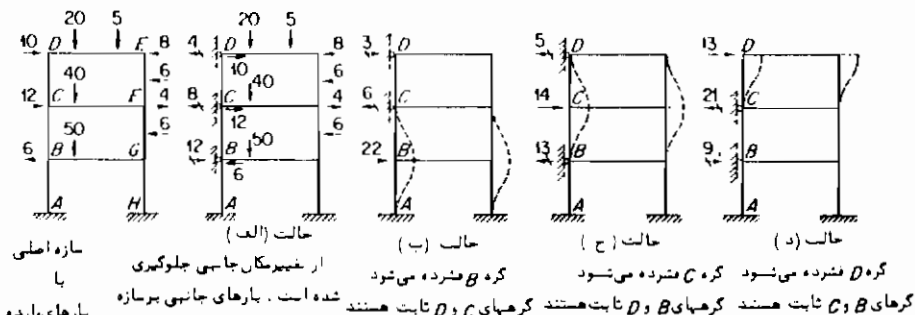
برای چنین قابلی را حل پخش لنگر به  $(1 + n)$  حالت جداگانه تقسیم می‌گردد ( ۱ )  
حالت (الف) که در آن با ایجاد " نیروی بازدارنده کامل " از تغییر مکان جانبی قاب  
جلوگیری شده است . ( ۲ ) " حالت تغییر مکان جداگانه جانبی که در مورد هریک از این  
حالات فقط یک زاویه  $\theta$  مستقل می‌تواند وجود داشته باشد زیرا  $1 - n$  نیروی بازدارنده از  
نیروهایی که در حالت (الف) از تغییر مکان جانبی " گره جلوگیری می‌نمودند هنوز در جای  
خود قرار دارند و تنها یک گره باقی مانده از گرههای نگهداری شده حالت (الف) تحت اثر  
فشار جانبی قرار می‌گیرد .

نتایج حاصل از این  $(1 + n)$  حالت را می‌توان به همان روشی که در مثال ( ۲۵-۱۲ ) شرح  
داده شد باهم جمع نمود . پس از حل دستگاه " معادله ضرایبی که بر طبق آنها هریک از  
حالات تغییر مکان جانبی در این جمع بندی وارد می‌شوند به دست خواهد آمد . این " معادله  
با برقرار نمودن یک معادله برای هریک از " گره نگهداری شده حالت (الف) به دست می‌آیند .  
در مورد یک گره غیر مشخص ز یک چنین معادله‌ای بیان کننده " این است که جمع جبری نیروی  
بازدارنده گره ز از حالت (الف) به اضافه حاصل ضرب ضریب  $B$  در نیروی بازدارنده " یا فشار  
دهنده " افقی در حالت (ب) به اضافه حاصل ضرب ضریب  $C$  در نیروی بازدارنده و یا فشار دهنده  
افقی در حالت (ج) و الی آخر برای هریک از " حالت مربوط به تغییر مکان جانبی می‌باشی  
برابر با صفر باشد .

برای شرح کاربرد پخش لنگر در چنین حالتی قابلی را که دارای چندین درجه آزادی در  
برابر تغییر مکان جانبی می‌باشد نظریه قاب شکل ( ۲۲-۱۳ ) در نظر می‌گیریم . این قاب به دلیل  
امکان تغییر مکان افقی گرههای  $B$  ،  $C$  و  $D$  دارای سه زاویه مستقل  $\theta$  می‌باشد . لذا گفته می‌شود  
که این قاب دارای سه درجه آزادی در مقابل تغییر مکان جانبی می‌باشد ، به این جهت روش  
پخش لنگر را به  $(1 + 3)$  یا چهار حالت جداگانه تقسیم می‌کنیم : حالت (الف) از جایگایی  
جانبی گرهها جلوگیری شده است ( و سه حالت تغییر مکان جانبی (حالات (ب) ، (ج) و (د) ) .

در حالت (الف) پس از آن که با اعمال نیروهای بازدارنده بر گرههای  $B$  ،  $C$  و  $D$  از امکان  
تغییر مکان جلوگیری به عمل آمده ، بارهای خارجی را وارد کرده و روش متعارف پخش لنگر را  
که برای حالات بدون تغییر مکان جانبی است اعمال می‌کنیم تا لنگری انتهایی بدست آید .  
سپس با استفاده از تعادل نیروهای بازدارنده رادر  $B$  ،  $C$  و  $D$  محاسبه می‌کنیم ، برای تسهیل  
در امر شرح این مساله فرض می‌کنیم که این نیروها به ترتیب دارای مقادیر  $12$  ،  $8$  و  $4$  در  
جهت‌های نشان داده شده روی شکل ( ۲۲-۱۳ ) باشند .

سپس هریک از سه حالت مربوط به تغییر مکان جانبی را جداگانه مورد بررسی قرار می‌دهیم



شکل ۲۲-۱۲ چند درجه آزادی در برابر امکان تغییر مکان جانی

تذکر: مقادیری که در شکل جهت نیروهای فشارده‌هندۀ افقی و یا بازدارنده ذکر شده است فقط جنبه تشریحی داشته و برای این مساله محاسبه نشده‌اند خطوطی که با خط‌چین نشان داده شده است شکل تغییر یافته قاب را نسبت به وضعیت اولیه خودنشان می‌دهد، دریک چنین تغییرمکانی از دوران کرها جلوگیری شده است. شکل نهایی منحنی خیز که پس از آزادنمودن کلیه‌گرهای ورسیدن به وضعیت نهایی خود پس از پخش لنگر کامل بوجود می‌آیدنشان داده نشده است.

به عنوان مثال در حالت (ب) از تغییر مکان افقی گرههای C و D جلوگیری شده و در حالی که به گره B تغییر مکانی دلخواه اعمال شده است. اگر از ابتدا از دوران این گرهها جلوگیری شده باشد پس از اعمال این تغییر مکان لنگرهای اولیه در قطعات AB، BC، GH و GF وجود خواهد آمد، همان‌طوری که در حالت (ب) (مثال ۲۵-۱۲) انجام شده مقادیر لنگرهای انتهایی اولیه را برای این تغییر مکان دلخواه می‌توان محاسبه نمود. جهت پخش این لنگرهای انتهایی اولیه از روی پخش لنگر استفاده می‌شود و پس از آن با استفاده از تعادل نیروی فشار-دهنده افقی در B و نیروهای بازدارنده موثر بر C و D محاسبه می‌گردند. به همان دلیل بالا جهت تسهیل در شرح مساله این نیروها را با همان مقادیر و جهت‌های نشان داده شده در حالت (ب) از شکل (۲۲-۱۳) فرض می‌کنیم راه حل‌های مشابهی برای دو حالت اعمال جابجایی جانی (ج) و (د) به کار می‌بریم.

آنچه باقی می‌ماند تعیین مقدار دخالت هریک از این سه حالت مربوط به تغییر مکان جانی در جمع به حالت (الف) جهت رسیدن به نتایج نهایی این مساله می‌باشد. به عبارت دیگر باید ضرایب B، C و D را به ترتیب در هریک از حالات (ب)، (ج) و (د) به منظور ضرب در مقادیر

به دست آمده در آن حالات جهت تعیین نتایج نهایی محاسبه نمائیم . مقادیر این ضرایب را می‌توان با حل دستگاه معادله که هریک از این معادلات به صورت زیر تشکیل می‌گردد محاسبه نمود ، به عنوان مثال اگر نیروهای رو بوسی راست را مثبت فرض کنیم در گره B خواهیم داشت :

$$\begin{array}{l} 12 + 22B - 13C + 9D = 0 \\ -8 - 6B + 14C - 21D = 0 \\ -4 + 3B - 5C + 13D = 0 \end{array} \quad \begin{array}{l} : C \\ : D \end{array}$$

مقادیر  $B$  و  $C$  را می‌توان از حل این سه معادله به دست آورد ، حال اگر نیروهای خارجی حالت (ب) رادر  $B$  و نیروهای خارجی حالت (ج) رادر  $C$  و بالاخره نیروهای حالت (د) را در  $D$  ضرب گرده و سپس مقادیر تغییر یافته این نیروها را که از این سه حالت به دست می‌آیند بر نیروهای حالت (الف) منطبق نمائیم حاصل نیروهای موئیر خارجی خواهد بود (با انضمام عکس العمل‌های نظیر آنها) . به عبارت دیگر چنین رویهم‌گذاری کلیه نیروهای بازدارنده و فشاردهنده افقی را حذف خواهد نمود . واضح است که نتایج نهایی (نظیر لنگرهای انتهایی حاصل از اثر بارهای خارجی) را می‌توان با رویهم‌گذاری نتایج این چهار حالتی که در شکل (۲۲-۱۳) نشان داده شده است به دست آورد .

با استی خاطرنشان گرد که نحوه اعمال جابجایی گرهها در هریک از جابجایی‌های جانبی کاملاً اختیاریست ، تنها شرطی که وجود دارد این است که هریک از حالات اعمال جابجایی جانبی مستقل از حالات دیگر باشد ، به عنوان مثال در حالت (ب) می‌توانیم بگلیه گرهای  $B$  و  $C$  یک مقدار برابری ، تغییر مکان افقی بدھیم و در حالت (ج) می‌توانیم گره  $B$  را درجای خود ثابت نموده و بر گرهای  $C$  و  $D$  یک مقدار برابری ، تغییر مکان افقی بدھیم و بدین ترتیب این دو حالت جدید (ب) و (ج) را با دو حالت قبلی (الف) و (د) ترکیب نمائیم . در این صورت معادلات جدیدی به دست خواهد آمد که از طریق حل آن دستگاه معادلات ، مقادیر جدیدی برای ضرایب  $B$  ،  $C$  ،  $D$  حاصل خواهد شد ولی رویهم‌گذاری این حالات جدید به همان نتایج نهایی به دست آمده از طریق راه حل نخست منتهی خواهد شد .

برای حل حالاتی که در آنها تغییر مکان جانبی وجود دارد روش موجود است که منجر به دستگاه معادلات چند جبهولی نمی‌گردد ، در این روش همزمان با تغییر مکان گرهها نیروهای خارجی را که سبب ایجاد لنگرهای گیرداری می‌شوند بر سیستم وارد می‌کنیم ، پس از هر چرخه از پخش لنگر ، معادلات تعادل را کنترل گرده و بارهای موئیر بر گرهها را معین می‌کنیم اگر این بارها با بارهای معلوم موئیر بر گرهها مطابقت نداشته باشند ، تغییر مکان اضافی دیگری بر گره اعمال می‌کنیم و به چرخه پخش لنگر دیگر می‌پردازیم و باز هم

\* نیروها را وارسی می‌کنیم و ...

### ۱۲ - ۱۵ - گاربرد روش پخش لنگر در قطعاتی با لنگر لختی متغیر

فلسفه اساسی روشن پخش لنگر که در بخش (۱۳-۱۲) شرح داده شد بر هر تیر و قابی که از قطعات با  $A$  و  $B$  تشکیل شده است قابل بسط می‌باشد، البته روابطی که جهت لنگرهای گیرداری، ضرایب سختی و لنگرهای انتقالی در این قسمت معلوم گردید کلاً برای قطعاتی با  $A$  و  $B$  ثابت صادق بوده و از آنها نمی‌توان برای قطعات غیرمنشوری استفاده نمود. حال ما روابط جدید این مقادیر را برای قطعاتی که دارای شکل اصلی مستقیم الخط بوده ولی با  $A$  و  $B$  متغیر می‌باشند استخراج می‌کنیم.

ضریب انتقال  $C$ ، لنگر انتقالی عبارت از لنگری است که در یک انتهای گیردار قطعه‌ای هرگاه انتهای دیگر آن قطعه در اثر یک لنگر انتهایی دوران نماید بوجود می‌آید، لنگر انتقالی به  $B$  را می‌توان به سادگی بر حسب حاصل ضرب لنگر موثر بر  $A$  و ضریب انتقال  $C_{AB}$  بهان نمود، ترتیب زیرنویس ضریب انتقال بیان کننده جهت انتقال لنگر می‌باشد بهاین ترتیب که نشان می‌دهد لنگر از  $A$  به  $B$  منتقل شده است و یا:

$$M_{BA} = C_{AB} M_{AB} \quad (18-12)$$

\* شرح کامل این طریقه، از بحث این کتاب خارج است، جهت اطلاع بیشترخواننده می‌تواند به کتب دیگری که به صورت مفصل تر به روش پخش لنگرمی پردازند نظریه کتب زیر مراجعه نماید.

L.E. Grinter "Theory of Modern Steel Structures"

J.A.L. Matheson "Hyperstatic Structures"

J.I. Parcel and R.B Moorman " Analysis of Statically Indeterminate Structures"

کلاً برای تحلیل و سیعتری از سازه‌های نامعین می‌توان علاوه بر آنچه در بالا ذکر شد به کتب زیر نیز مراجعه نمود:

S.F. Borg and J.J. Gennaro "Advanced Structural Analysis"

L.C. Maugh " Statically Indeterminate Structures"

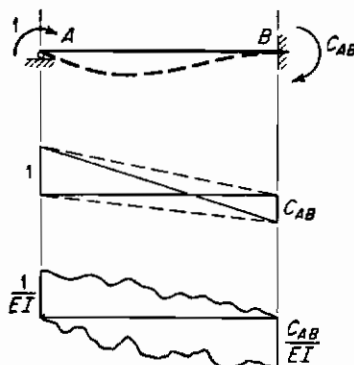
S.P. Timoshenko and D.H. Young "Theory of Structures"

C.K. Wang " Statically Indeterminate Structures"

J.S. Kinney " Indeterminate Structural Analysis"

با استفاده ازین معادله ، تعریف ضریب انتقال عبارت خواهد بود از لنگری که در انتهای گیره‌ارقطعه‌ای بوجود می‌آید هرگاه انتهای دیگر قطعه در اثر لنگری برابر با واحد دوران نماید در مورد قطعات منشوری (با لنگر لختی ثابت) ضریب انتقال برابر با  $\frac{1}{EJ}$  می‌باشد ، باقیستی مذکور شد که در صورتی  $C_{AB}$  برابر با  $C_{BA}$  خواهد بود که قطعه مورد بحث حول نقطه مرکزی خود متقارن باشد .

شرح روش محاسبه ضریب انتقال در یک حالت غیرمشخص به صورت زیر خواهد بود : قطعه  $AB$  را مطابق شکل (۱۳-۲۳) در نظر بگیرید و بر انتهای  $A$  آن لنگری برابر با  $C_{AB}$  نمایید بر اثر این لنگر در انتهای  $B$  لنگری برابر با  $C_{BA}$  بوجود می‌آید هرگاه تغییر مکان نقطه  $A$  واقع روی منحنی خیز قطعه را از خط مماس بر  $B$  اندازه بگیریم مقدار آن برابر با صفر خواهد بود با در نظر گرفتن قضیه دوم سطح لنگر ، لنگر سطح نمودار  $M/EI$  حول نقطه  $A$  می‌باشیستی برابر با صفر باشد . از طریق این معادله می‌توان به سادگی مقدار  $C_{AB}$  را محاسبه نمود .



شکل ۱۳-۲۳ ضریب انتقال

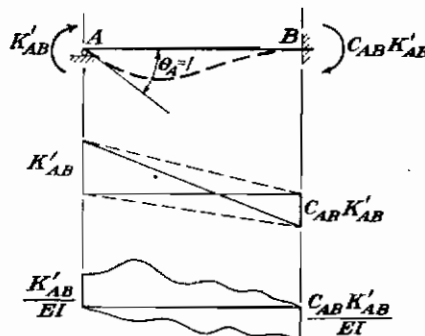
ضریب سختی حقیقی '  $K'$  : حال بهبخش (۱۳-۱۳) که در مورد تعیین لنگر پخش شده بود بر می‌گردیم و شکل‌های (۱۶-۱۳) و (۱۷-۱۳) را با فرض این که سازه مورد بحث در آن شکلها از قطعات غیرمنشوری (با لنگر لختی متغیر) تشکیل شده باشد در نظر می‌گیریم . برای محاسبه اثر حاصل از دوران گره  $B$  که خود بهدلیل لنگر نامتعادل  $M$  حاصل می‌شود دیگر نمی‌توان از معادله (۱۱-۱۳) استفاده نمود . در این حالت می‌توانیم بنویسیم :

$$M_{BA} = K'_{BA} \theta_B \quad M_{BC} = K'_{BC} \theta_C \quad (\text{الف})$$

در این روابط  $K'_{BC}$  و غیره را ضرایب سختی حقیقی انتهای  $B$  از قطعه  $BA$  ، انتهای  $B$  از قطعه  $BC$  و غیره می‌نامند با استفاده از این معادلات ، تعریف ضریب سختی حقیقی  $K'_{BA}$  عبارت خواهد بود از لنگری که برای دوران دادن مماس نقطه  $B$  از قطعه  $BA$  برابر با

واحد هرگاه انتهای دیگر آن یعنی  $A$  گیردار باشد لازم خواهد بود . در مورد یک قطعه منشوری ضریب سختی حقیقی برابر با  $EK$  خواهد بود ، متذکر می‌شویم علامت  $K$  که قبلًا "ضریب سختی" یک قطعه نامیده بودیم بیان‌کننده مقدار نسبی ضرایب سختی حقیقی یک قطعه می‌باشد . شاید بهتر بود که  $K$  را "ضریب سختی نسبی" بنامیم ولی از آنجایی که لفظ مربوط به آن بدغایت به کار برده می‌شود لذا لازم است کلفظ آن کوتاه انتخاب شود . در حالت کلی ضریب سختی حقیقی برای هر انتهای قطعه‌ای متفاوت است فقط در صورتی که آن قطعه متقاضی باشد ضریب سختی حقیقی آن در هر دو انتهای یکی خواهد بود .

ضریب سختی حقیقی  $K'_{AB}$  برای انتهای  $A$  از قطعه  $AB$  شکل (۲۴-۱۲) را می‌توان به صورت زیر محاسبه نمود : بر حسب تعریف هرگاه لنگری انتهایی برابر با  $K'_{AB}$  بر انتهای  $A$  وارد شود ، هرگاه انتهای  $B$  گیردار باشد معان نقطه  $A$  به اندازه زاویه‌ای برابر با واحد دوران خواهد نمود ، بر طبق قضیه اول سطح لنگر باید سطح خالص زیر نمودار  $M/EI$  برابر با واحد گردد ، اگر  $C_{AB}$  که قبلًا "برطبق شرح بالا معین شده است محاسبه کرده باشیم از معادله فوق مقدار  $K'_{AB}$  را می‌توان محاسبه نمود .



شکل ۲۴-۱۲ ضریب سختی

ضریب سختی تقلیل یافته حقیقی  $K'^R_{AB}$  : ضریب سختی تقلیل یافته حقیقی  $K'^R_{AB}$  عبارت خواهد بود از لنگری که برای دوران دادن معان نقطه  $A$  به اندازه زاویه برابر با واحد هرگاه انتهای دیگر آن مفصلی باشد . مقدار  $K'^R_{AB}$  را به شرطی که قبلًا "کلا"  $K'_{AB}$  و  $C_{BA}$  معلوم شده باشند می‌توان بمسادگی به صورت زیر معین نمود : میله  $AB$  را که موقتاً از دوران انتهای  $B$  آن جلوگیری کرده‌ایم در نظر بگیرید ، لنگری برابر با  $K'_{AB}$  بر انتهای  $A$  وارد می‌کنیم این لنگر در نقطه  $A$  دورانی برابر با واحد ایجاد کرده و در انتهای دیگر آن لنگر انتقالی برابر  $C_{AB}K'_{AB}$  بوجود می‌آورد ، حال اگر انتهای

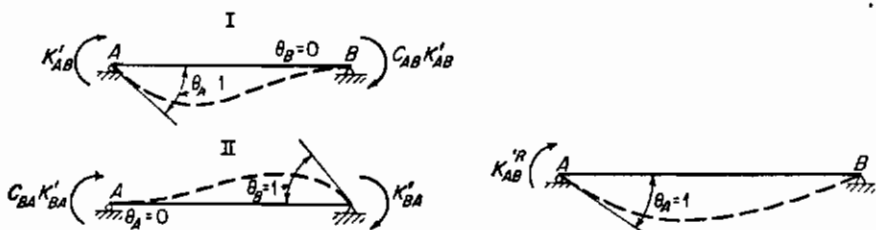
ا. را در وضعیت جدید خود قفل کنیم و انتهای  $B$  را آزاد کنیم این انتها تحت اثر لنگر نامتعادل  $C_{AB}K'_{AB}$  دوران کرده و لنگر پخش شده برابر با  $-C_{AB}K'_{AB}$  بوجود می‌آورد و درنتیجه لنگر انتقالی برابر با  $-C_{BA}C_{AB}K'_{AB}$  در  $A$  ایجاد می‌شود. در این حالت قطعه مانند شکل (۲۵-۱۳) حالت تغییر شکل یافته خود را پیدا کرده است و کل لنگر انتهایی در  $A$  برابر با ضریب سختی تقلیل یافته حقیقی  $K'_{AB}^B$  خواهد شد، یعنی:

$$K'_{AB}^B = K'_{AB}(1 - C_{BA}C_{AB}) \quad (19-13)$$

در مرور قطعات منشوری که برای آنها هردو مقادیر  $C_{AB}$  و  $C_{BA}$  برابر با ۱ است از رابطه (۱۹-۱۳) مقدار  $K'_{AB}^B$  برابر سه‌چهارم مقدار  $K'_{AB}$  بددست می‌آید. با وارسی رابطه بین سختی و ضرایب انتقال می‌توان رابطه مفیدی جهت وارسی بین سختی و ضرایب انتقال بددست آورد، قطعه  $AB$  از شکل (۱۶-۱۳) را که تحت اثر دو دستگاه بارگذاری I و II قرار دارد در نظر بگیرید با اعمال قانون بتی خواهیم داشت:

$$C_{AB}K'_{AB} = C_{BA}K'_{BA} \quad (20-13)$$

این رابطه هرگاه نیاز به وارسی مقادیر ضرایب سختی و ضرایب انتقال باشد بسیار مفید خواهد بود.



شکل ۱۳-۲۵ ضریب سختی تقلیل یافته حقیقی

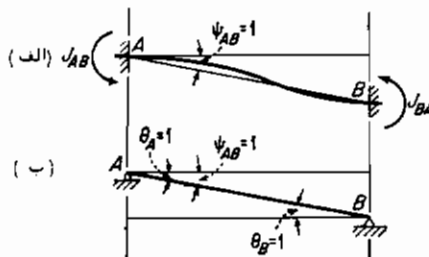
ضرایب پخش لنگرهای پخش شده: اگر با استفاده از معادلات (۱۳) که در این مبحث آورده شده است محاسبه مربوط به لنگرهای پخش شده را بر طبق روشی که در مبحث (۱۳-۱۳) آورده شده است انجام دهیم، روابطی که برای ضرایب توزیع بددست خواهد آمد مانند معادلات (۱۴-۱۳) یا (۱۴-۱۳) (الف) خواهد بود فقط در این روابط ضرایب سختی حقیقی  $K'$  به جای ضرایب سختی  $K$  قرار گرفته است.

ضریب تغییر مکان جانی: بسادگی می‌توان برای ضریب تغییر مکان جانی رکه در محاسبه لنگرهای انتهایی اولیه که توسط دوران خط اتصال دو انتهای قطعه بوجود می‌آید روابطی معین نمود، برای چنان لنگرهای انتهایی روابط زیر برقرار است:

$$\begin{aligned} M_{AB} &= J_{AB}\psi_{AB} \\ M_{BA} &= J_{BA}\psi_{AB} \end{aligned} \quad (21-13)$$

ضریب تغییرمکان جانبی  $J_{AB}$  عبارت خواهد بود از لنگری که در انتهای  $A$  از قطعه  $AB$  در اثر دوران برابر با واحد خط اتصال دو انتهای آن بوجود می‌آید به شرطی که از دوران هر دو انتهای قطعه جلوگیری شده باشد ضریب تغییرمکان برای یک قطعه منشوری برابر با  $-6EK$  خواهد شد. ضریب تغییرمکان جانبی در صورتی که قطعه متقارن باشد برای هر دو انتهای آن بیکسان خواهد بود.

مقدار ضریب تغییرمکان جانبی قطعه  $AB$  از شکل (۲۷-۱۳ الف) را می‌توان بر طبق استدلال زیر بر حسب ضرایب سختی و ضرایب انتقال بیان نمود: غرض کنید که موقتاً "گیرداری دو انتهای  $A$  و  $B$  قطعه را حذف نموده و این قطعه مانند شکل (۲۷-۱۳ ب) عمل نماید، حال انتهای  $A$  را در وضعیت جدید خود قفل کرده و انتهای  $B$  را آنقدر دوران می‌دهیم



شکل ۲۷-۱۳ ضریب تغییرمکان جانبی

که  $\theta_B$  به مقدار صفر خود برگردید در این صورت در انتهای  $B$  لنگر انتهایی  $-K'_{BA}$  و در  $A$  لنگر انتهایی  $-C_{BA}K'_{BA}$  بوجود می‌آید حال انتهای  $B$  را در وضعیت جدید خود قفل کرده و انتهای  $A$  آنقدر دوران دهید که  $\theta_A$  به مقدار صفر خود برگردید، در این حالت در انتهای  $A$  لنگر انتهایی  $-K'_{AB}$  و در انتهای  $B$  لنگر انتهایی  $-C_{AB}K'_{AB}$  بوجود می‌آید در این وضعیت قطعه شکل اولیه خود را مطابق شکل (۲۷-۱۳ الف) باز یافته ولذا لنگرهای انتهایی کل برابر با ضرایب تغییرمکان جانبی خواهند بود و یا:

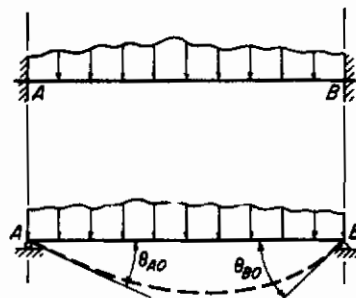
$$\begin{aligned} J_{AB} &= -(K'_{AB} + C_{BA}K'_{BA}) \\ J_{BA} &= -(K'_{BA} + C_{AB}K'_{AB}) \end{aligned} \quad (22-13)$$

لنگرهای (انتهایی گیرداری: لنگرگیرداری را در قطعات غیرمنشوری می‌توان به طریق زیر محاسبه نمود، قطعه  $AB$  را که تحت اثر بارگذاری غیرمشخص خارجی است در نظر گیریم، موقتاً فرض می‌کیم که بار خارجی مانند یک تیر روی دو تکیه‌گاه ساده براین قطعه اثر کند در این

حالت با استفاده از قضایای سطح لنگر به محاسبه زوایای حاصل از دوران لنگرها یعنی  $\theta_{A0}$  و  $\theta_{B0}$  بپردازید، حال اگر تصور کنیم که انتهای  $B$  را در وضعیت جدید خود قفل کرده و انتهای  $A$  را نقدر دوران دهیم که بهشیب صفر بررسد و سپس انتهای  $A$  را در آین وضعیت قفل نموده و انتهای  $B$  را نقدر دوران دهیم که بهوضعیت اولیه خود برگردد، لنگرهای انتهایی حاصل بهصورت زیر خواهد بود:

$$\begin{aligned} FEM_{AB} &= -K'_{AB}\theta_{A0} + C_{BA}K'_{BA}\theta_{B0} \\ FEM_{BA} &= +K'_{BA}\theta_{B0} - C_{AB}K'_{AB}\theta_{A0} \end{aligned} \quad (22-13)$$

نتایج کلی: عبارات فوقانی فقط در مورد قطعاتی که دارای شکل اولیه مستقیم الخط باشند قابل استفاده است این روابط را می‌توان بادقت قابل قبولی در قطعاتی که دارای محوری با انحنای مختصری باشند بهشرطی که آرایش سازه بهمنوعی باشد که نیروی فشاری محوری حاصل در آن قطعات نسبتاً کوچک باشد بهکار برد. بررسی روابط دقیقی که به محل قطعات منحنی می‌پردازد از بحث این کتاب خارج است.



شکل ۲۸-۱۳ محاسبات اضافی مربوط به لنگرهای گیرداری

برای قطعات متداولی که دارای ماهیجه و یا دارای لنگر لختی متغیر می‌باشند مقادیر لنگرهای گیرداری، ضرایب سختی و ضرایب انتقال در جداول و یا نمودارهایی به صورت محاسبه شده وجود دارد\*.

### ۱۳-۱۶ تحلیل تنش شبکه‌های فضایی نامعین

شبکه‌های فضایی نامعین را می‌توان بهمکم معادلات انطباق و یا قضیه کاستیکلیا: و

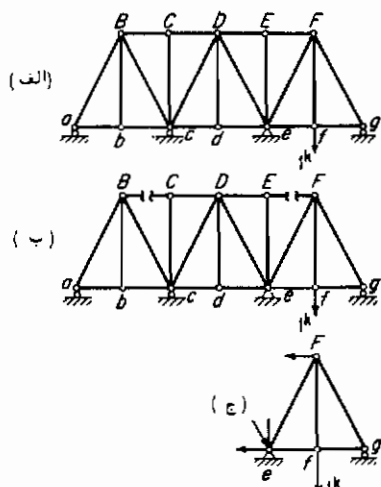
\* به عنوان مثال می‌توان به انجمن سیمان پرتلند که در Bulletin S.T. 41 معرفی شده باشد مراجعه نمود.

بررسی نمود ، اساساً "تحلیل تنش چنین شبکه‌ایی با بهکاربردن روش‌های فوق دقیقاً" مانند یک خرپای نامعین می‌باشد ، بدینهی است که جزئیات این تحلیل به‌علت آن که تحلیل تنش مربوط به‌سازه اولیه معین آن به‌علت سه‌بعدی بودن به‌مراتب پیچیده‌تر از یک خرپای نامعین است ، بسیار خسته‌کننده خواهد بود . کلیه مطالبی که در مورد خرپاهای نامعین گفته شد در مورد آنها نیز صادق است و در هر صورت بسط جزئی‌تر مطالب مربوط به‌شبکه‌های فضایی خارج از بحث این کتاب می‌باشد

### ۱۳-۱۲ تغییر مکان سازه‌های نامعین

پس از آن که تحلیل تنش برای یک سازه نامعین کلاً به‌اتمام رسید می‌توان بدون اشکال با همان روش‌هایی که در فصل ۱۲ در مورد سازه‌های معین بیان شد به‌محاسبه کرنش و تغییر مکان سازه پرداخت .

به‌عنوان مثال فرض کنید که نیروی میله‌ها و تغییر طول قطعات مختلف خرپای شکل (۱۳-۲۹الف) را تحت اثربارگذاری معلومی محاسبه‌کرده باشیم . حال فرض کنید که بخواهیم تغییر مکان عمودی‌گره  $\text{f}$  را به‌روش کارمجازی معین کنیم ، می‌توان به‌روش معمولی عمل نموده و بار عمودی واحدی همان‌طوری که در شکل (۱۳-۲۹الف) نشان داده شده برگره  $f$  وارد کنیم ، این بار سبب ایجاد نیروهای  $F$  در اثر میله‌های خرپا خواهد شد ، پس از آن که کلیه این نیروهارا محاسبه کردیم می‌توان با استفاده از معادله (۱۲-۵) به‌محاسبه تغییر مکان



شکل ۱۳-۲۹ تغییر مکان خرپای نامعین

لازم گره ر پرداخت . این عمل گرچه طریقه معلومی است ولی بسیار خسته‌کننده خواهد بود زیرا اکثر میله‌های خرپا در این محاسبات داخل می‌شوند .

اگر درک کنیم که مجھولات یک سازه نامعین بعنوان محاسبه می‌گردند که تشها، کرنشها و تغییر مکانهای سازه‌ای و سازه اصلی یکی باشد در این صورت می‌توان با این علم محاسبات مربوط به تغییر مکان سازه‌های نامعین را تا حد بسیار زیادی ساده نمود . زیرا در این صورت می‌توان بهجای این که از سازه اصلی نامعین در محاسبات استفاده شود از سازه اولیه معین استفاده نمود، بدینهی است که کاربرد سازه اولیه بسیار ساده‌تر خواهد بود . به عنوان مثال فرض کنید که در سازه بالا از سازه اولیه شکل (۱۳-۲۹الف) جهت محاسبه تغییر مکان عمودی گره ر بروشن کار مجازی استفاده کنیم . در این حالت نیروی واحد موقت بر گره ر فقط سبب ایجاد نیروهای  $F_x$  در پنج میله  $e_1$ ،  $e_F$ ،  $e_g$ ،  $f_F$  و  $f_g$  خواهد شد . در نتیجه وقتی که از معادله (۱۲-۵) استفاده می‌کنیم فقط این پنج میله در مجموع  $\Sigma F_x = 0$  وارد می‌شود و بداین ترتیب محاسبات بسیار خسته‌کننده قبلی در این حالت خاص به این صورت تقلیل می‌یابد .

برخی توضیح تشریحی ارائه شده بالا را کافی نمی‌دانند و ترجیح می‌دهند که به صورت ریاضی این مطلب را اثبات کنند . گرچه چنین تشریحی در اینجا انجام نخواهد شد ولی به صورت ریاضی می‌توان ثابت نمود که نتایج حاصل از اثربار واحد  $\sigma$  چه بر سازه‌ای اصلی نامعین و چه بر سازه اولیه معین کاملاً "پکسان" می‌باشد .

از نظر فیزیکی، به صورت واضحی بعثتی می‌رسد که تغییر مکانهای محاسباتی برای دهانه سمت راست از سازه اصلی دقیقاً با تغییر مکانهای این قسمت که به صورت دهانه‌ای مستقل و تحت اثر نیروهای موثر خارجی و نیروهای خارجی حاصل از نیروی میله‌های قطعاتی که در شکل (۱۳-۲۹ج) بروید شده‌اند قراردارد برابر باشد، تحلیل فیزیکی چنین مطلبی در مرور تغییر مکانهای یک تیر سرتاسری بیشتر از فوق واضح است . در چنین سازه‌ای جدا کردن هر دهانه از بقیه تیر و محاسبه تغییر مکانهای آن دهانه درست مانند تیری روی دو تکیه‌گاه ساده که تحت اثر بارگذاری خارجی خود در آن دهانه و لنگرهای انتها بیکه می‌باشد که معادل لنگرهای خمی در نقاط تکیه‌گاهی تیر سرتاسری اصلی می‌باشد قرار دارد عملی متداول و طبیعی می‌باشد .

### ۱۳ - ۱۸ تنشهای ثانویه در خرپاها

در فصل ۴ گفته شد که تحلیل مقدماتی تنش خرپاها بر اساس فرضیات زیر استوار است :

- ۱ - قطعات خرپا در انتها خود توسط مفصلهای بدون اصطکاک به یکدیگر متصل شده‌اند.
- ۲ - کلیه بارهای خارجی و عکس العمل‌ها (از جمله وزن قطعات خرپا) به گرههای خرپا اثر می‌کنند.

۳ - محورهای مار بر مراکز نقل کلیه قطعات مستقیم الخط بوده و بر خطوط اتصال مراکز گرهها منطبق است که این خطوط نیز به نوبه خود همکی در صفحه‌ای که شامل سایر محورها و خطوط اثر نیروها می‌باشد قرار دارند.

تنشهائی که بر اساس چنین فرضیاتی محاسبه‌می‌گردند به تنشهای اولیه "موسوم هستند تنشهائی که حاصل از مواردی است که در تحلیل تنشهای اولیه در نظر گرفته نشده است تنشهای ثانویه نامیده می‌شوند، مهمترین تنشی که به‌این ترتیب به دست می‌آید تنش حاصل از صلب بودن گرههای خرپاست که اجازه نمی‌دهد قطعات خرپا تحت اثر تغییر شکل آن به‌زادی عمل کند\*، روش‌های مدون متعددی برای تحلیل تقریبی تنشهای ثانویه موجود است، البته این چنین مساله‌ای را می‌توان با استفاده از روش پخش لنگر به نحو مطلوبی حل نمود که در زیر بشرح چگونگی این روش می‌پردازیم.

خرپایی که دارای گرههای صلب است عملاً در زمرة؛ قابهای صلب قرار دارد، از نظر اصولی چنین قابی را می‌توان با استفاده از معادلات انطباق و یا قضیه کاستیکلیانو مورد تحلیل قرار داده و بتعیین تغییر شکل حاصل از خمش و نیروی محوری آن پرداخت ولی درجه نامعینی چنین سازه‌ای به قدری بالا خواهد بود که عملاً به تحلیل تنش دقیقی منجر نخواهد شد، قبلاً "خاطرنشان کردیم که تغییر مکان گرهها عمدتاً" تابعی از نیروهای محوری قطعات خواهد بود زیرا خمش قطعات در درجه دوم اهمیت واقع است و به عبارت دیگر اثر برشها و لنگرهای قطعات بر روی نیروی محوری آنها بسیار کم است\*\*.

و به همین دلیل است که نیروی محوری قطعات و تغییر مکان گرهها را با فرض مفصل بودن گرهها به دست می‌وریم. هرگاه تغییر مکان گرهها معلوم باشد، می‌توان به محاسبه کلیه زوایای قطعات پرداخت و به‌این ترتیب بقیه مساله را می‌توان یا به‌کمک روش شب - تغییر مکان و یا روش پخش لنگر به‌مان نحوی که در مورد قابها به‌کار برده می‌شود در حالتی که فقط زوایای ه مجھول باشند حل نمود.

\* مقاله مهندی که در باره این چنین روش‌هایی وجود دارد توسط سیسیل ویوان آسو نوشته شده است.

\*\* به کتاب زیر نوشته پارسل و مورمان مراجعه شود.

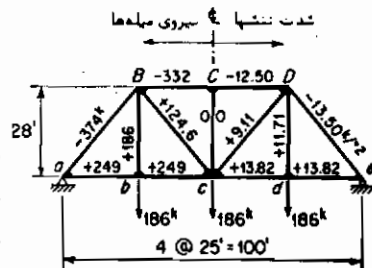
- حل مسائل مربوط به تنشهای ثانویه را می‌توان در چهار چوب زیر ارائه نمود.
- ۱ - نیروی میله‌ها را با فرض مفصلی بودن گرههای خرپا محاسبه کنید.
  - ۲ - تغییر مکان گرهها و دوران خطوط اتصال دو انتهای قطعات را محاسبه نمایید.
  - چنین محاسبه‌ای را می‌توان با استفاده از روش ویلیوت و یا به طریقی که از تغییر زوایا استفاده می‌گردد نظری شرحی که در مثال (۱۳-۲۶) می‌بینیم انجام داد.
  - ۳ - لنگرهای انتهایی اولیه را در حالتی که اگر از دوران کلیه گرهها جلوگیری کرده و سپس تغییر مکانهای گرهها و دورانهای خطوط اتصال دو انتهای قطعات را برآن اعمال می‌نماییم محاسبه می‌کنیم، به همین ترتیب لنگرهای نامتعادلی را که امکان بوجود آمدن آنها در گرهها به‌سبب خروج از مرکزیت میله‌ها وجود دارد محاسبه کنید.
  - ۴ - به‌پیش و انتقال بعدفات لازم بپردازید، لنگرهای انتهایی که بین طریق به دست می‌آیند با تقریب درجه اول نشان‌دهنده لنگرهای انتهایی ثانویه می‌باشد که از طریق آنها می‌توان به محاسبه تنشهای ثانویه پرداخت، با استفاده از این لنگرهای انتهایی محاسبه برش در قطعات ساده بوده و همچنین می‌توان با استفاده از روابط تعادل مقادیر جدید نیروی میله‌ها را محاسبه نمود.
  - ۵ - اگر این مقادیر جدید نیروی میله‌ها با آنچه در مرحله ۱ محاسبه شده است تفاوت فاحشی داشته باشد مراحل ۲، ۳ و ۴ را تکرار نموده و بدین ترتیب به محاسبه تنشهای ثانویه با تقریب درجه دوم بپردازید.
  - چنین عملکردی را در مثال (۱۳-۲۶) نشان داده‌ایم.
- 
- مثال ۱۳ - ۲۶ =** تنشهای ثانویه را در قطعات این خرپا محاسبه کنید.
- 

تذکر:

- ۱ - قطعات  $B_1$ ،  $B_2$ ،  $B_3$  و  $B_4$  از نیمرخ مقابل تشکیل شده‌اند.
  - ۲ - اعضاء اصلی فوکانی از نیمرخ مقابل با ترکیبی از ناوданی:
- مرحله ۱ = نیروی اولیه میله‌ها و شدت اولیه تنشها در نمودار خطی فوق نشان داده شده است.
- مرحله ۲ = با محاسبه تغییر زوایا که با استفاده از معادله (۱۱-۱۲) ممکن می‌گردد به محاسبه زوایای  $\theta$  می‌پردازیم:
- در این حالت مقدار  $B_{12}$  با استفاده از تقارن برابر صفر می‌باشد و بنابراین سمت کلیه این زوایا صحیح می‌باشد. در هر صورت می‌توان هر یک از زوایای  $\theta$  را صفر فرض نموده و سایر زوایای  $\theta$  را به‌تناسب آن محاسبه نمود. واضح است که چنین علی مجاز می‌باشد زیرا که

بدان معنی است که خرپا را مانند جسمی صلب دوران داده باشیم بدیهی است که در چنین صورتی شرایط تنش تغییر می‌نماید.

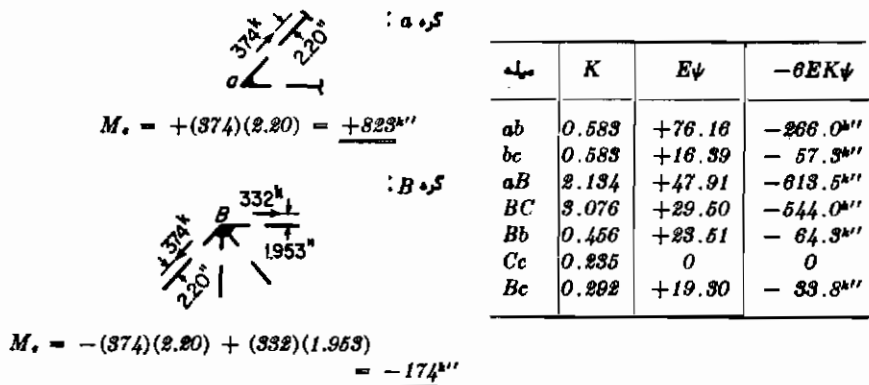
مکانها	<i>L</i>	<i>A</i>	<i>I</i>	<i>r</i>	<i>K</i>	نمودار سرکشی
"	"	"	"	"	"	
<i>ab</i>	300	18.0	174.9	6.375	0.583	$4 \times 18 \times 336 \times 36$
<i>bc</i>	300	18.0	153.4	6.375	0.486	$4 \times 18 \times 336 \times 36$
<i>Bb</i>	336	18.88	153.4	6.375	0.486	$4 \times 18 \times 336 \times 36$
<i>Bc</i>	460.4	18.88	151.4	6.375	0.292	$4 \times 18 \times 336 \times 36$
<i>Cc</i>	336	11.44	78.9	6.375	0.235	$4 \times 18 \times 3 \times 36$
<i>aB</i>	460.4	27.08	960.9	0.699	2.134	$1Pl 18 \times 316$
<i>BC</i>	300	96.55	988.7	9.453	3.076	$1Pl 18 \times 36$



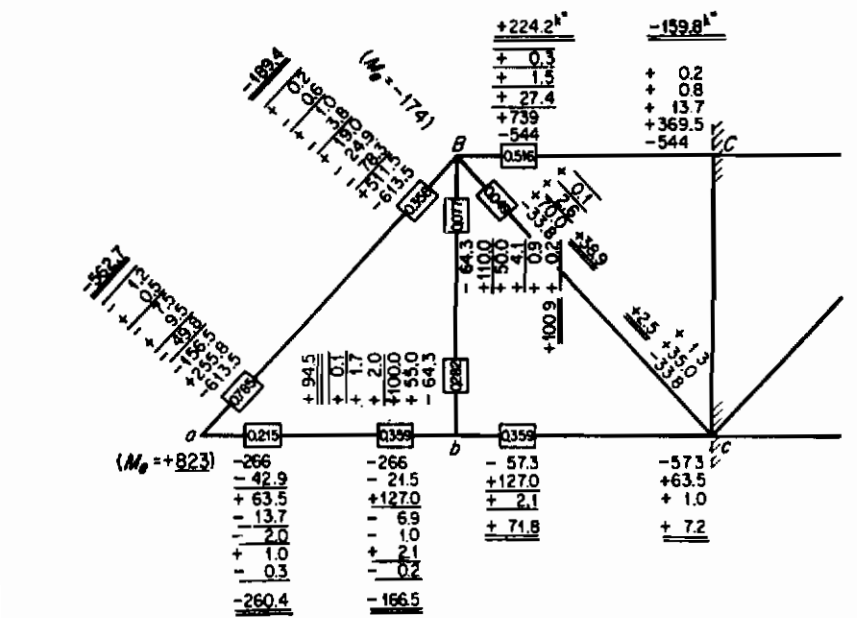
$\alpha_{ij}$	$f_1 - f_1$	$\cot \beta_1$	$f_1 - f_3$	$\cot \beta_1$	1st term	2d term	E $\Delta\gamma$
<i>B-a-b</i>	+11.71 + 13.50 = +25.21	1.12			0	+28.25	0 + 28.25
<i>b-B-a</i>	+13.82 + 13.50 = +27.32	0.893			0	+24.40	0 + 24.40
<i>a-b-B</i>	-13.50 - 13.88 = -27.32	0.893	-13.50 - 11.71 = -25.21	1.12	-24.40	-28.25	-28.25 - 24.40
<i>c-B-b</i>	+13.82 - 9.11 = +4.71	0.893			0	+ 4.81	0 + 4.81
<i>B-b-c</i>	+ 9.11 - 11.71 = -2.60	1.12	+ 9.11 - 13.88 = -4.71	0.893	- 2.60	- 4.81	- 4.81 - 7.18
<i>b-c-B</i>	0		+ 11.71 - 9.11 = +2.60	1.12	0	+ 2.60	+ 2.60 + 2.60
<i>C-B-c</i>	0		0 - 9.11 = -9.11	1.12	0	-10.80	-10.80
<i>c-C-B</i>	+ 9.11 - 0 = +9.11	1.12	+ 9.11 + 12.60 = +21.61	0.893	+10.80	+19.80	+19.80 + 19.80
<i>B-c-C</i>	0		-12.60 - 9.11 = -21.61	0.893	0	-19.80	-19.80

$$\begin{aligned}
 E\psi_{C_c} &= 0 & E\psi_{aB} &= +47.91 \\
 E\Delta_{Bc} &= -19.80 & E\Delta_{aBb} &= +24.40 \\
 E\psi_{B_c} &= +19.80 & E\psi_{Bb} &= +23.51 \\
 E\Delta_{Bcb} &= +2.91 & E\Delta_{bBc} &= +4.81 \\
 E\psi_{b_b} &= +16.39 & E\psi_{B_c} &= +19.80 \\
 E\Delta_{Bba} &= -7.12 & E\Delta_{cBC} &= -10.80 \\
 E\psi_{Bb} &= +23.51 & E\psi_{BC} &= +29.50 \\
 E\Delta_{abB} &= -52.65 & E\Delta_{BCc} &= +29.50 \\
 E\psi_{ab} &= +76.18 & E\psi_{C_c} &= 0 \\
 E\Delta_{Bab} &= +28.25 & &
 \end{aligned}$$

مرحله ۳ = لنگرهای اولیه ابتدائی و لنگرهای خروج از مرکز را محاسبه می‌کنیم.



مرحله ۴ = بهبود و انتقال نا زمانی که لنگرهای انتهایی ثانویه به دست آید ادامه می‌دهیم روی نمودار صفحه بعد زیر این لنگرها خط کشیده شده است. از طریق این لنگرهای انتهایی با معلوم بودن اساس مقطع به سادگی می‌توان به محاسبه شدت تنشهای ثانویه پرداخت. توجه کنید که در این حالت به دلیل تقارن فقط بررسی نیمی از خرا کافی است، به علاوه معلوم است که گرههای C، b دوران نمی‌کنند ولذا هرگز آزاد کردن این گرهها لازم نخواهد بود.

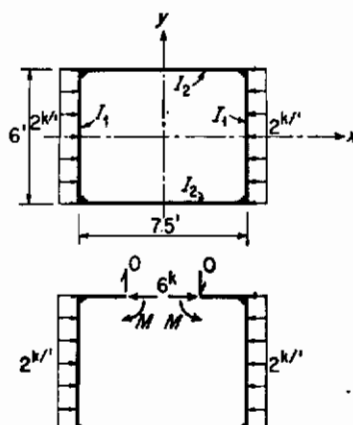


### ۱۳-۱۹ تذکرات اضافی : بارهای متقارن و با ضد متقارن مرکز ارجاعی و تشابه ستونی

برای معرفی مقدماتی از یک موضوع، نویسنده می‌باشدی حد و مرزی دلخواه بین اصول بنیادی و زمینه پیشرفت آن موضوع معین نماید زیرا همواره مطالبی وجود دارد که می‌توان به ذکر آنها پرداخت و یا از ذکر آنها صرف نظر نمود، البته بهتر است به شرح مختصری از مضمون کلی آنها پرداخت و به خواننده پیشنهاد نمود در صورت تعایل به مطالعه بیشتر در آن زمینه بپردازد.

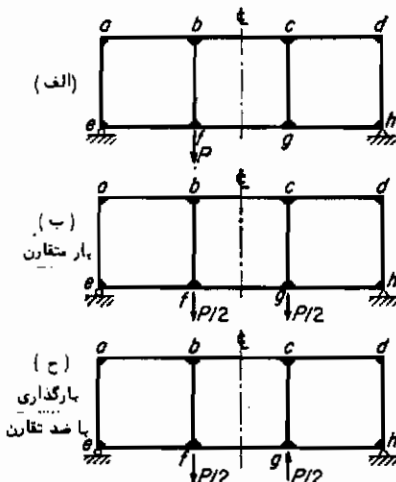
در بحثهای قبلی به متقارن در معنی محدود آن به کرات اشاره شده است، هرگاه سازه مورد تحلیل دارای متقارن باشد بر ما واجب است که تا حد امکان از این متقارن استفاده کنیم، به عنوان مثال سازه مربع بسته شکل (۳۰-۱۳) را در نظر بگیرید. بر طبق تحلیل این سازه سه درجه نامعین است اگر هم قاب و هم بارگذاری آن حول هردو محور  $x$  و  $y$  دارای متقارن باشد، به دلیل متقارن می‌توان استدلال نمود که در مقطع وسط شاهتیر برش صفر بوده و مقدار نیروی محوری برابر با ۶ kips فشاری می‌باشد و به این ترتیب فقط مقدار لنگر نامعلوم باقی می‌ماند و این بخاطر متقارن است که فقط یک مقدار نامعلوم از سه درجه نامعینی باقی می‌ماند.

از تسهیلی که در وضعیت پیش مشاهده کردیم چنین معلوم می‌شود که هرگاه بر سازه‌ای متقارن باری نامتقارن وارد شود نیز می‌توان تسهیلات بسیار در محاسبه به دست آورده چنین وضعی را نظیر آنچه در شکل (۳۱-۱۳) نشان داده شده است در نظر بگیرید، فرض کنید که



شکل ۳۰-۱۳ سازه متقارن - بارگذاری متقارن

این قاب (که خرپای و پرندیل خوانده می‌شود) فقط حول محور عمودی خود دارای تقارن باشد، هرگاه حل این قاب تحت اثر بارگذاری نامتقارن نظری شکل (۳۱-۱۲ الف) مطرح باشد اگر از روش شبیه - تغییر مکان استفاده کنیم جمعاً به ۱۱ مجہول خواهیم رسید - ۸ زاویه و ۳ زاویه  $\psi$  - حال اگر بارگذاری را بعدو دستگاه بارگذاری که یکی از آنها مطابق شکل (۳۱-۱۲ ب) دارای تقارن و دیگری مطابق شکل (۳۱-۱۲ ج) دارای ضدتقارن می‌باشد



شکل ۳۱-۱۲ کاربرد بارگذاری متقارن و با ضد تقارن

تجزیه کنیم واضح است که جمع این دو دستگاه بارگذاری برابر با بارگذاری موجود بوده و بنابراین جمع نتایج حاصل از این دو دستگاه بارگذاری متفاوت مساوی نتایج حاصل از بارگذاری معلوم خواهد بود.

حال به مقایسه حجم محاسباتی تحلیل سازه‌ها با نامتقارن با جمع حجم محاسباتی لازم برای بارگذاری متقارن و با ضد تقارن می‌پردازیم. در مورد بارگذاری متقارن فقط پنج مجہول مستقل خواهیم داشت - چهار زاویه  $\theta$  و یک زاویه  $\psi$  زیرا که بعدلیل تقارن داریم:

$$\begin{aligned} \theta_a &= -\theta_d & \theta_b &= -\theta_c & \theta_e &= -\theta_k & \theta_f &= -\theta_g \\ \psi_{ab} &= 0 & \psi_{bc} &= 0 & \psi_{ek} &= 0 & \psi_{fg} &= 0 \end{aligned}$$

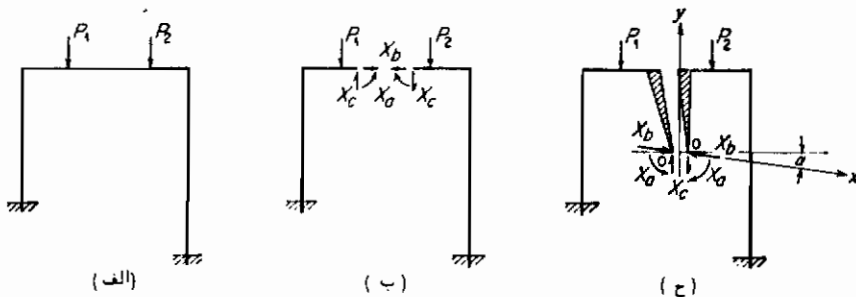
در حالت بارگذاری با ضد تقارن شش مجہول مستقل خواهیم داشت - چهار زاویه  $\theta$  و دو زاویه  $\psi$  - زیرا در این حالت بعدلیل ضد تقارن داریم:

$$\theta_a = \theta_d \quad \theta_b = \theta_c \quad \theta_e = \theta_k \quad \theta_f = \theta_g \quad \psi_{ab} = \psi_{ek}$$

از آنجایی که حجم محاسباتی به طور تقریبی متناسب با مجدور تعداد مجہولات می‌باشد اگر

بارگذاری متقاض و با ضد تقارن را برگزینیم تقریباً حجم محاسباتی به نصف خواهد رسید . چنین علی در مرور سازه‌های متقاض بسیار مفید است و سزاوار است که در این زمینه به مطالعه بیشتری پرداخته شود\*.

روش "مرکز ارجاعی" نیز روش مفید دیگری است که در اینجا آن ذکری به میان نیامد\*\*. روشن مرکز ارجاعی را می‌توان در مرور سازه‌هایی که دارای شکل بسته‌ای می‌باشند نظیر قابوی که در شکل (۳۱-۱۲) نشان داده شده به کار برد . در قابهایی از این قبیل، زمین به عنوان ضلع دیگر آن به حساب می‌آید ، این قاب را می‌توان با استفاده از معادلات انتطاق (رویه‌گذاری) تحلیل نمود ، در این صورت مجهولات آن را می‌توان مطابق شکل (۳۲-۱۳) ب ) برگزید که در این صورت دقیقاً مطابق شکل (۱۴-۱۳) خواهد بود ، اگر همین ترتیب



شکل ۳۲-۱۳ کاربرد مرکز ارجاعی

عمل کنیم حل مساله منجر به حل دستگاه سه معادله سه مجهولی زیر می‌گردد :

$$\begin{aligned}\Delta_{aa} + X_a \delta_{aa} + X_b \delta_{ab} + X_c \delta_{ac} &= 0 \\ \Delta_{bb} + X_a \delta_{ab} + X_b \delta_{bb} + X_c \delta_{bc} &= 0 \\ \Delta_{cc} + X_a \delta_{ac} + X_b \delta_{bc} + X_c \delta_{cc} &= 0\end{aligned}$$

اگر بتوانیم این سه مجهول را به نوعی انتخاب کنیم که  $\Delta_{aa} = \Delta_{bb} = \Delta_{cc} = 0$  و  $X_a = X_b = X_c$  برابر با صفر شود در این صورت هر یک از این معادلات فقط شامل یک مجهول بوده ولذا نیازی به حل دستگاه سه مجهولی نخواهد بود . چنین علی با اعمال این سه مجهول به نقطه‌ای نظریه از شکل

J. S. Newell, Symmetric and Anti-symmetric Loadings, Civil Eng

\* شماره ۷ وریل سال ۱۹۳۹ مجله Civil Eng

W. L. Andrée, Das B = U Verfahren, R. Oldenbourg-Verlag, Munich, 1919

W. M. Fife and J. B. Wilbur, "Theory of Statically Indeterminate Structures,"

\*\*

(۳۲-۱۲ج) بعنوانی که مولفه‌های نقطه  $\theta$  و زاویه تعایل محور  $\theta$  یعنی  $\theta$  بهنوعی انتخاب گردند که  $\theta = \theta_0$  و  $\theta = \theta_0 + 90^\circ$  همگی برابر صفر شوند ممکن می‌گردد. فرض می‌شود که این مجہولات که بر نقطه  $\theta$  اثر می‌کنند توسط دو بازوی صلب (غیرقابل تغییرشکل) به دو طرف پرش ایجاد شده در شاهتیر متصل شده باشند، البته واضح است که دو دسته مجہولاتی که در شکل‌های (۳۲-۱۲ب) و (۳۲-۱۲ج) نشان داده شده‌اند از نظر تعادل معادل یکدیگر بوده ولی دارای یک مقدار نخواهند بود.

جزئیات محاسباتی مربوط به کاربرد روش مرکز ارجاعی بیشتر شبیه محاسبه لنگر سطح و حاصل ضرب لنگر لختی و یا لنگر لختی سطوح می‌باشد، پروفسور هاردی کراس بدین موضوع بی برد و محاسبات مربوط به آن را مانند محاسبات مربوط به ستونی که تحت اثر ترکیبی از خمش و تنش مستقیم قرار دارد ارائه نموده است، وی این چنین ارائه محاسباتی را روش "تشابه ستونی" نامیده است\*.

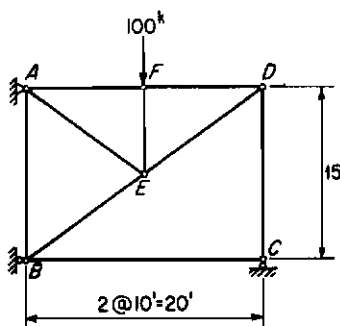
### ۱۳-۲۰ مسائل

۱۳-۱ کلیه عکس‌العمل‌های سازه شکل (۳۲-۱۲) را با استفاده از معادلات اनطباق به عنوان راه حل محاسباتی معین کنید، برای کلیه قطعات  $1 - L/A$  گرفته شود.

جواب :

در  $A$  به سمت بالا  $83^{\circ}$  و به سمت چپ  $44^{\circ}$

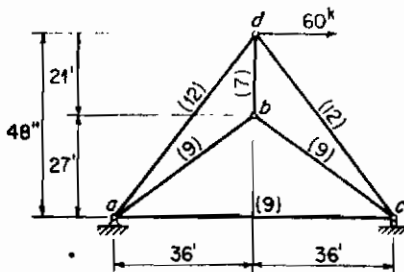
در  $B$   $44^{\circ}$  به سمت راست و در  $C$   $17^{\circ}$  به طرف بالا.



شکل ۳۲-۱۲ مقاله ۱۳-۱۲

\* H. Gross and N.D. Morgan, "Continuous Frames of Reinforced Concrete," John Wiley & Sons, Inc., New York. 1932.

- ۱۳- ۲ نیروی میله را در اعضای خرپای شکل (۲۴-۱۳) با استفاده از روش انطباق محاسبه کنید، سطح مقطع اعضا، را بر حسب اینچ مربع در داخل پرانتز نشان داده‌ایم.

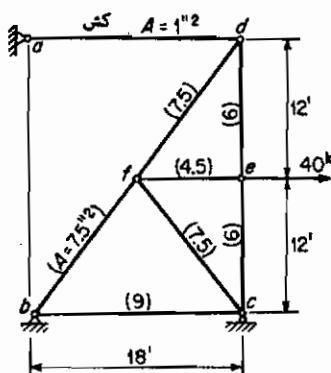


شکل ۲۴-۱۳ مساله ۲-۱۳

- ۱۳- ۳ با استفاده از روش معادلات انطباق مقدار نیروی میله را در میلگرد کشی  $ad$  از سازه شکل (۳۵-۱۳) معین کنید سطح مقاطع اعضا، را بر حسب اینچ مربع در داخل پرانتز نشان داده‌ایم.

$$F_{ad} = +3.06k$$

جواب:



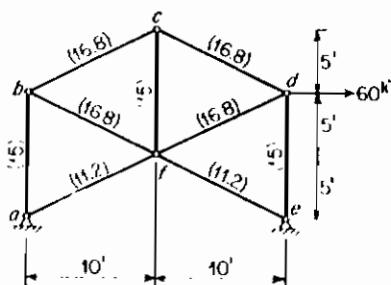
شکل ۳۵-۱۳ مساله ۳-۱۳

- ۱۳- ۴ با استفاده از معادلات انطباق نیروی میله را در کلیه قطعات طاق شکل (۳۶-۱۳) محاسبه کنید، سطح مقاطع اعضا، را بر حسب اینچ مربع در داخل پرانتز ذکر کرده‌ایم.

$$E = 30 \times 10^3 \text{ kips per sq in.}, \alpha_t = 1/150,000 \text{ per } {}^\circ\text{F.}$$

جواب:

$$F_{ab} = +14.4k; F_{ad} = -15.6k; F_{bd} = +16.1k$$

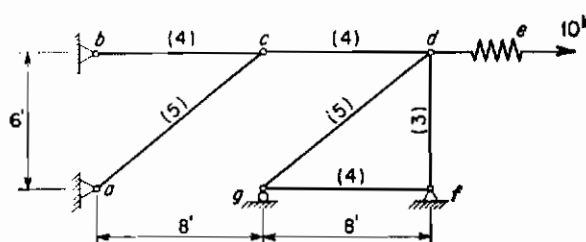


شکل ۳۶-۱۳ مساله ۴-۱۳

۱۲-۵ مولفه افقی عکس العمل راست طاق مساله (۴-۱۳) را در هریک از شرایط زیر پیدا کنید . (الف) در صورت افزایش درجه حرارت به مقدار  $50^{\circ}\text{F}$  در میله‌های  $ab, bc, cd, de$  در سایر میله‌ها تغییر بوجود نمی‌آید . (ب) اگر میله‌های  $bc$  و  $cd$  در اثر خطای ناشی از ساخت به اندازه  $in$  ۰.۱ کوتاهتر و میله  $cf$  به اندازه  $in$  ۰.۳ طویلتر شده و لذا لازم شود که آنها را با اعمال زور در جای خود قرار دهند (ج) اگر تکیه‌گاه‌ها به مقادیر زیر نشست داشته باشند :

بهست پائین	$0.48 \text{ in}$	عمودی =	تکیه‌گاه چپ :
بهست چپ	$0.24 \text{ in}$	افقی =	
بهست پائین	$0.24 \text{ in}$	عمودی =	تکیه‌گاه سمت راست :
بهست راست .	$0.36 \text{ in}$	افقی =	بهست راست .

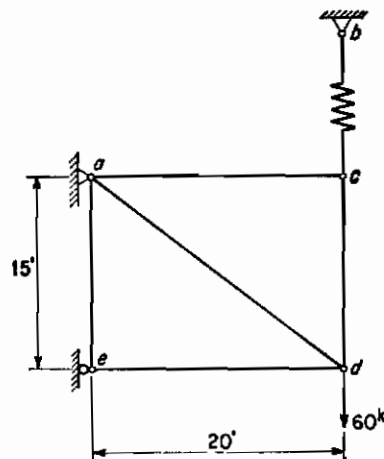
جواب :  $58.65^k$  بهست راست (ب)  $222.5^k$  بهست چپ (ج)  $391^k$  بهست راست .  
۱۳-۶ عکس العملها و نیروی میله را در کلیه اعضای سازه شکل (۳۷-۱۳) محاسبه کنید ، سطح مقاطع اعضاء را در داخل پرانتز نشان داده ایم . آزمایش فنر  $de$  نشان می‌دهد که نیرویی برابر با  $20 \text{ kips}$  سبب افزایاد طولی برابر با  $1 \text{ in}$  در  $10^4 \text{ in}$  می‌گردد .  $E = 30,000 \text{ kips sq in}$



شکل ۳۷-۱۳ مساله ۶-۱۳

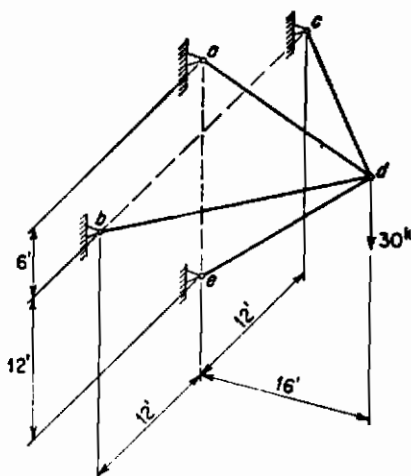
۱۳-۷ مولفه افقی تغییر مکان گره  $d$  را تحت اثر بار واردہ بر سازه شکل (۳۸-۱۳) محاسبه

کنید . سختی فتر  $b$  بمنوعی است که تحت اثر نیروی کششی  $1 \text{ kip}$  از دیاگ طولی برابر با  $0.036$  بدها می‌کند ، برای سایر قطعات  $E = 30,000 \text{ kips/sq in}$   $A = 2 \text{ in}^2$



شکل ۷-۱۳ مساله ۳۸-۱۳

۱۳-۸- کلیه گرههای سازه شکل (۳۹-۱۳) از مفصلهای بدون اصطکاک تشکیل شده است ، گرههای  $b$ ،  $c$  و  $d$  در یک صفحه افقی واقعند ، برای سایر قطعات  $E=30,000 \text{ kips/sq in}$   $A=3 \text{ in}^2$  می‌باشد . نیروی میله‌ها را در کلیه قطعات این سازه تحت اثر نیروی عمودی  $30\text{-kip}$  محاسبه کنید .



شکل ۸-۱۳ مساله ۳۹-۱۳

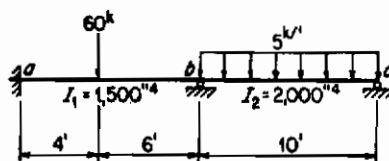
۱۳ - ۹ تیر شکل (۴۰-۱۳) را در نظر بگیرید.

(الف) به نحوی منطقی (که به شرح آن خواهد پرداخت) مقادیر عکس‌العمل‌های این تیر را حدس بزنید، البته با استقیم مطمئن شوید که این مقادیر حدسی شما حداقل در معادلات تعادل صدق می‌کنند، و نمودارهای برش لنگرخمشی را برای راه حل خود رسم نموده و منحنی چند تیر را نیز رسم کنید.

(ب) با استفاده از معادلات انتظام برای حل این تیر تحلیل کامل تیر را تحت اثر بارگذاری آن انجام داده و نمودارهای برش و لنگر خمشی را برای نتایج حاصله رسم کنید.

(ج) تحلیل تیر را فقط برای نشت عمودی تکیه‌گاه  $a$  برابر با  $0.24$  و دوران تکیه‌گاه  $a$  درجهت ساعتگرد برابر با  $0.005$  رادیان انجام دهید  $E = 30,000 \text{ kips/in}^2$

(د) مقادیری را که شما در قسمت  $a$  برای عکس‌العمل‌ها حدس زده‌ای در حالت کلی تغییر مکان‌های سازگاری را در سازه ایجاد نخواهند کرد. به عنوان مثال به جای آن که تکیه‌گاهها از جای خود تغییر مکان ندهند مقادیر حدسی شما سبب ایجاد مقداری تغییر مکان در تکیه‌گاه خواهد شد، مقادیر جابجایی (تغییر مکان) که در اثر مقادیر حدسی شما ایجاد می‌شود چه مقدار خواهند بود؟

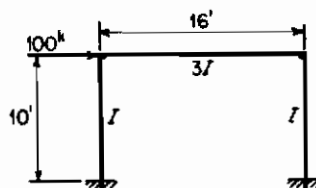


شکل (۴۰-۱۳) مساله ۱۳

۱۳ - ۱۰ نمودار لنگر خمشی را برای قاب شکل (۴۱-۱۲) رسم کنید، برای این عمل از قضیه کاستیکلیانو استفاده نمایید و فقط تغییر شکل خمشی را در نظر بگیرید.

جواب :

مقدار  $M$  در هر سطون  $270^\circ$  که سبب کشش در تارهای سمت چپ می‌نماید.



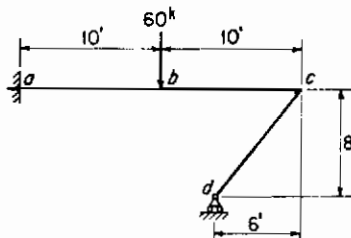
شکل ۴۱-۱۳ مساله ۱۰-۱۳

۱۳ - ۱۱ عکس‌العمل‌های سازه شکل (۴۲-۱۳) را محاسبه کنید. از تغییر شکل حاصل از تیزروی

محوری صرف نظر نماید،  $E$  و  $I$  دارای مقادیر ثابتی هستند.

جواب:  $M_A = 195.4k$        $R_{ay} = 31.1k$        $R_{az} = 0$  و به سمت بالا

در جهت عکس عقریه‌های ساعت،  $R_{dy} = 28.9k$  و به سمت بالا.



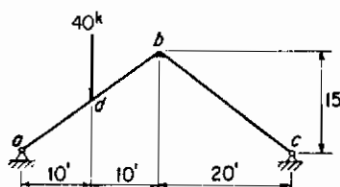
شکل ۴۲-۱۳ مساله ۱۱-۱۲

۱۲- عکس العملهای سازه شکل (۴۲-۱۳) را محاسبه کنید از تغییر شکل حاصل از نیروی محوری صرف نظر کنید،  $E$  و  $I$  دارای مقادیر ثابتی هستند.

جواب:

$R_{ay} = 30k$  و به سمت راست،       $R_{az} = 18.8k$  و به سمت بالا،

$R_{cy} = 10k$  و به سمت چپ،       $R_{cz} = 18.8k$  و به سمت بالا.

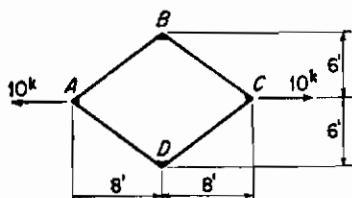


شکل ۴۳-۱۳ مساله ۱۲-۱۳

۱۳- برای عضو  $AB$  از قاب شکل (۴۴-۱۳) نمودارهای برش و لنگر خمی را رسم کنید. از تغییر شکل حاصل از نیروی محوری صرف نظر نماید.

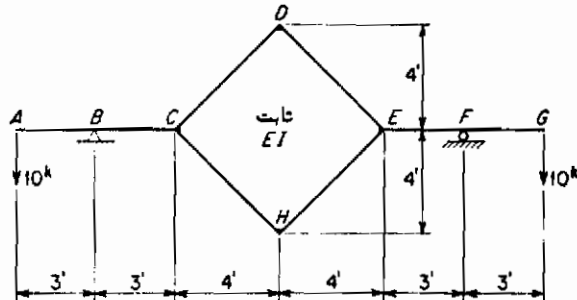
جواب:

برش دارای مقدار ثابتی برابر با  $3k$  می‌باشد،  $M_A = 15k$  که ایجاد کشش در تارهای خارجی می‌کند،  $M_B = 15k$  که ایجاد کشش در تارهای داخلی می‌نماید.



شکل ۴۴-۱۳ مساله (۱۲-۱۳)

۱۴-۱۴ سازه شکل (۴۵-۱۲) را تحلیل نموده و برای قطعه  $CD$  نمودار لنگر خمشی را رسم کنید.

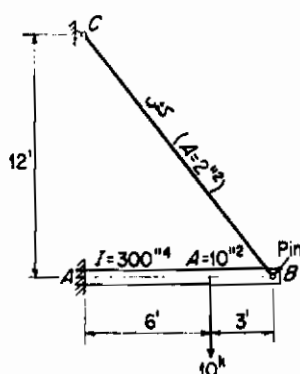


شکل ۱۴-۱۳ مساله ۴۵-۱۲

۱۴-۱۵ با در نظر گرفتن شکل (۴۶-۱۲) منحنی لنگر خمشی را برای تیر  $AB$  رسم نماید از قضیه کاستیکلیانو استفاده شود.

جواب:

برنش از  $A$  تا بارگذاری  $+5.31\text{ in}^4$  و پرسش از بارگذاری تا  $B = -4.69\text{ in}^4$  مقطع بار  $+14.07\text{ in}$



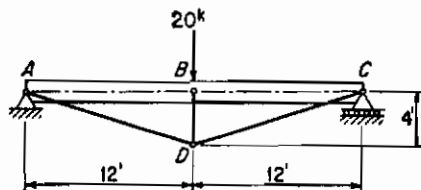
شکل (۴۶-۱۲) مساله ۱۴-۱۵

۱۴-۱۶ با در نظر گرفتن شکل (۴۲-۱۲) نیروهای محوری را در اعضاء خربنا تحت اثر بارگذاری آن محاسبه کنید همچنین منحنی لنگر خمشی را برای قطر  $AC$  رسم کنید.

برای قطعه  $AC$   $A = 12 \text{ in}$   $I = 432 \text{ in}^4$

برای قطعه  $AD$   $A = 3 \text{ in}$

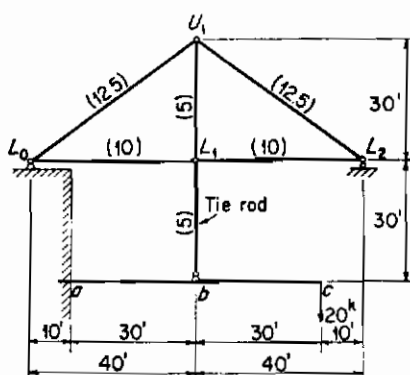
برای قطعه  $BD$   $A = 2 \text{ in}$       برای قطعه  $DC$   $A = 3 \text{ in}$



شکل ۴۷-۱۳ مساله ۱۳-۴۷

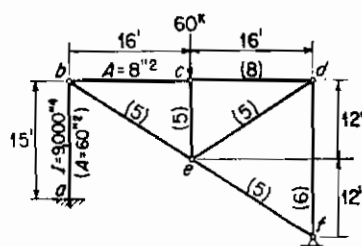
۱۲-۱۳ در سازه شکل (۴۸-۱۳) سطح مقاطع را بر حسب اینچ مربع در داخل پرانتز نشان داده ایم  $E = 30 \times 10^3 \text{ kips/in}^2$  و  $I = 4,000 \text{ in.}^4$  برای تیرمی باشد، مقدار نیرو را در داخل مهله کششی که تیر را به خرپا متصل می‌سازد محاسبه کنید دو انتهای این مهله مفصلی می‌باشد.

جواب :  $F_{L_{1b}} = +47.0\text{k}$



شکل ۴۸-۱۳ مساله ۱۳-۱۲

۱۴-۱۳ عکس العمل‌های سازه شکل (۴۹-۱۳) را محاسبه کنید.



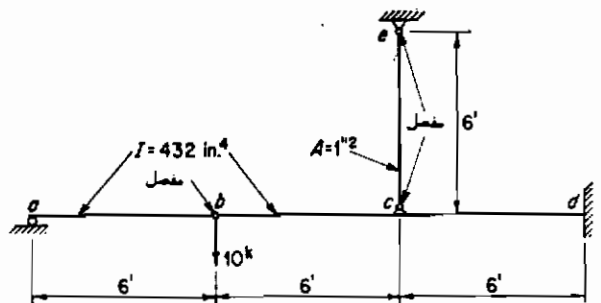
شکل ۴۹-۱۳ مساله ۱۳-۱۴

۱۵-۱۳ با در نظر گرفتن شکل (۵۰-۱۳)

(الف) عکس العمل حاصل از بار واردہ را محاسبه کنید

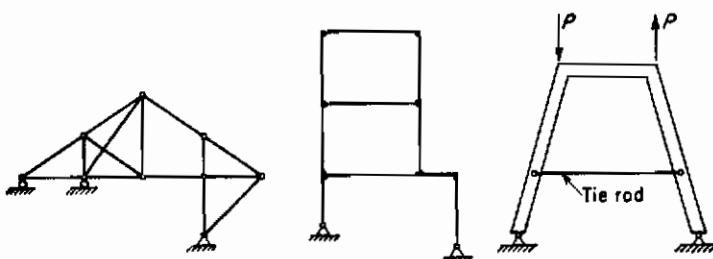
(ب) فرض کنید که میله کشی  $\sigma_c$  را حذف کرده و به جای آن در نقطه  $e$  یک تکیه‌گاه غلتکی برای ایجاد تکیم در صورتی که بار وارد شود نیز حذف نمایم ولی سازه بعدست آمده را تحت اثر جابجایی تکیه‌گاهی زیر قرار دهیم مقادیر عکس العمل‌های تکیه‌گاه‌ها را محاسبه کنید.

تکیه‌گاه  $e$  نشستی برابر با  $0.72 \text{ in}$  بعزمت پائین  
 تکیه‌گاه  $e$  نشستی برابر با  $0.12 \text{ in}$  بعزمت پائین  
 تکیه‌گاه  $e$  دورانی برابر با  $0.005$  رادیان در جهت عکس عقربه‌های ساعت.



شکل ۱۳-۵۵ مساله ۱۲-۱۹

۱۳-۵۵ سازه‌های شکل (۱۲-۵۱) را از نظر پایداری و معین بودن مورد بحث قرار دهید و در صورت نامعین بودن انتخاب مجهولات خود را بیان کنید، در مورد سازه سمت راست دلیل خود را در مورد تحلیل تنش آن با استفاده از اصول تقارن و ضد تقارن بیان کنید.



شکل ۱۳-۵۱ مساله ۱۳-۲۰

۱۳-۲۰ تیر سرتاسری دو دهانه مساله (۱۳-۹) را در نظر بگیرید و فرض کنید بالاضافه نمودن تسمه به پروفیل آن لنگر لختی دهانه را به دو برابر برسانیم در صورت اعمال چنین تغییری اثر آن را بر روی نتایج حاصل قبلی در مورد زیر چه خواهد بود:

(الف) لنگر خمشی محاسبه شده با در نظر گرفتن بارگذاری معلوم .

(ب) لنگر خمشی محاسبه شده برای جابجایی تکیه‌گاهها .

(ج) تغییر مکانهای حاصل از خمش برای جابجایی تکیه‌گاهها .

(د) شدت تنش حاصل از خمش که برای جابجایی‌های تکیه‌گاهی محاسبه شده است .

۱۳-۲۲ با مراجعه به شکل (۵۳-۱۴) و با استفاده از روش شب - تغییر مکان لنگرهای انتهایی را در کلیه قطعات این قاب محاسبه کرده و منحنیهای لنگر را برای قطعات  $AB$  و

$BD$  رسم کنید .

جواب :

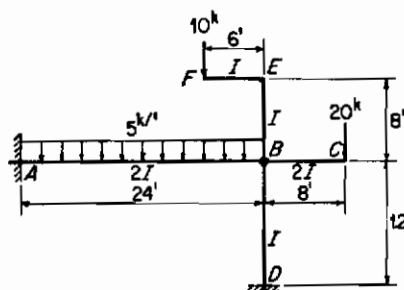
$$M_{AB} = -275^k$$

با در نظر گرفتن علاوه شب - تغییر مکان

$$M_{BA} = +170^k$$

$$M_{BD} = -70^k$$

$$M_{DB} = -35^k$$



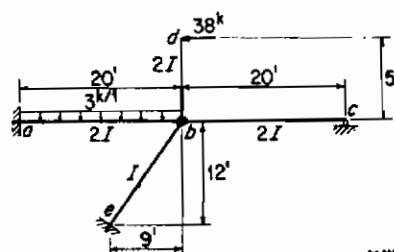
شکل ۱۳-۲۲ مساله ۵۳-۱۳

۱۳-۲۳ با مراجعه به شکل (۵۳-۱۴) و با استفاده از روش شب - تغییر مکان لنگرهای انتهایی را در کلیه قطعات این قاب محاسبه کنید . منحنیهای برش و لنگر را برای قطعه  $ab$  رسم نمایید .

جواب :

$$M_{ab} = -160^k \quad \text{با در نظر گرفتن علاوه شب - تغییر مکان}$$

$$M_{ba} = -20^k \quad M_{bc} = -90^k \quad M_{ca} = -80^k \quad M_{cb} = -40^k$$



شکل ۱۳-۲۳ مساله ۵۳-۱۳

۱۳ - ۲۴ قسمت‌های (ب) و (ج) از مساله (۱۳-۹) را با استفاده از روش شیب - تغییر مکان محاسبه کنید.

۱۳ - ۲۵ با استفاده از روش شیب - تغییر مکان لنگرهای انتهایی و عکس عملهای تکیه‌گاهی قاب شکل (۵۴-۱۳) را محاسبه کنید.

جواب :

$$M_{AB} = -161.6^k$$

با در نظر گرفتن علامت شیب - تغییر مکان

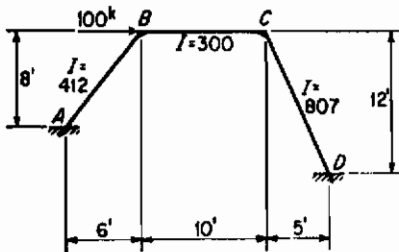
$$M_{BC} = +150.2^k$$

$$M_{BA} = -150.2^k$$

$$M_{CB} = +147.4^k$$

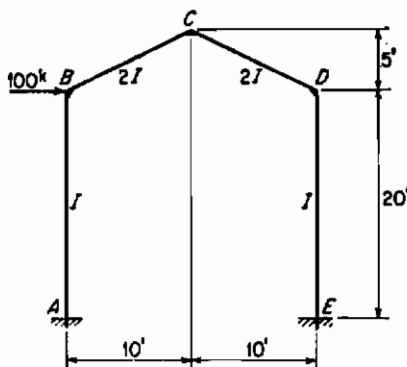
$$M_{CD} = -147.4^k$$

$$M_{DC} = -163.5^k$$



شکل ۲۵-۱۳ مساله ۵۴-۱۳

۱۳ - ۲۶ با استفاده از روش شیب - تغییر مکان کلیه لنگرهای انتهایی و عکس عملهای تکیه‌گاهی قاب شکل (۵۵-۱۳) را محاسبه کنید.



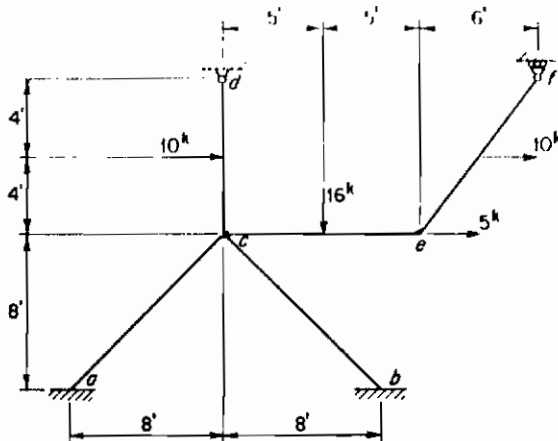
شکل ۲۶-۱۳ مساله ۵۵-۱۳

۱۳ - ۲۷ در هر صورت حل کامل سازه شکل (۵۶-۱۳) مورد نیاز نمی‌باشد ولی :

(الف) زوایای مستقل  $\theta$  و  $\psi$  را مشخص کنید، اگر بین برخی از زوایای  $\theta$  رابطه‌ای وجود دارد آن رابطه را تعیین کنید.

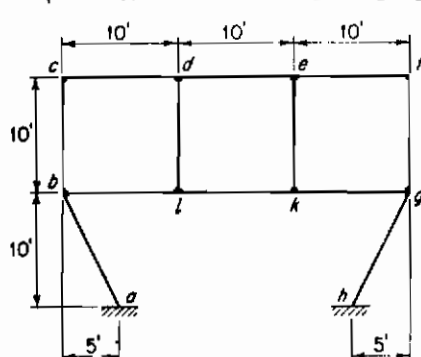
(ب) معادلات تعادل را که اساس حل این سازه بهروش شبب - تغییر مکان می‌باشد

بنویسید.



شکل ۲۷-۱۳ مساله ۵۶-۱۳

(الف) فرض کنید که سازه شکل (۵۷-۱۳) حول محور عمودی خود دارای تقارن باشد .  
 (الف) زوایای مستقل  $\theta$ ،  $\phi$  را معین کرده و معادلات تعادل موجود را با فرض این که بارگذاری این قاب نسبت به محور عمودی دارای تقارن باشد بنویسید .  
 (ب) همین عمل را برای بارگذاری با ضد تقارن انجام دهید .



شکل ۲۸-۱۳ مساله ۵۷-۱۳

(ب) با ملاحظه شکل (۵۸-۱۳) و به کاربردن پخش لنگر لنگرهای انتهایی را در قطعات این قاب محاسبه کرده و منحنیهای برش و لنگر را برای قطعه AB رسم کنید .  
 جواب :

$$M_{AB} = -180.8 k'$$

با در نظر گرفتن علامت شبب - تغییر مکان

$$M_{DB} = -10.3 k'$$

$$M_{BD} = -28.3 k'$$

$$M_{HA} = +88.3 k'$$

$$M_{DB} = +5.1 k'$$

$$M_{DP} = +5.1 k'$$

۱۳-۲۰ قسمتهای الف و ب مساله (۹-۱۳) را با استفاده از پخش لنگر محاسبه کنید.

۳۱-۱۳ با ملاحظه شکل (۵۹-۱۳) لنگرهای انتهایی این قاب را با استفاده از روش

پخش لنگر محاسبه کنید.

جواب :

$$M_{AB} = -338 k'$$

با در نظر گرفتن علام شیب تغییر مکان

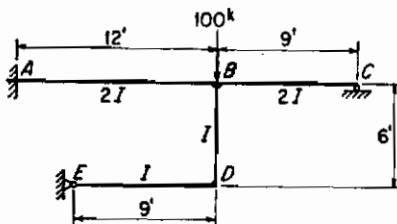
$$M_{BC} = +294 k'$$

$$M_{BA} = -340 k'$$

$$M_{DB} = -98.6 k'$$

$$M_{DB} = +98.6 k'$$

$$M_{BD} = +46 k'$$



شکل ۳۱-۱۳ مساله ۵۹-۱۳

۱۳-۲۲ با استفاده از روش پخش لنگرهای انتهایی قطعات قاب شکل (۶۰-۱۳) را محاسبه کنید.

جواب :

$$M_{AB} = +26.8 k'$$

با در نظر گرفتن علام شیب - تغییر مکان

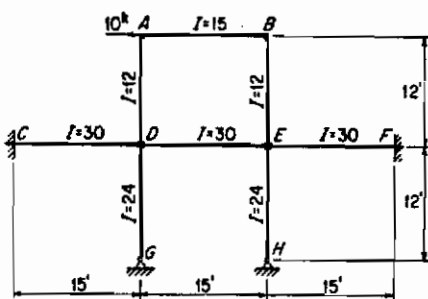
$$M_{AD} = -26.8 k'$$

$$M_{DA} = -33.2 k'$$

$$M_{DG} = +7.7 k'$$

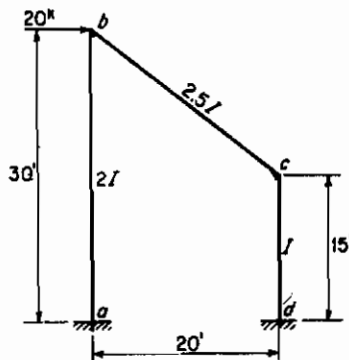
$$M_{DC} = +10.4 k'$$

$$M_{DB} = +15.2 k'$$



شکل ۴۰-۱۳ مساله ۶۰-۱۳

۱۳ - ۳۳ با ملاحظه شکل (۶۱-۱۲) لنگرهای انتهایی را در قطعات این قاب با استفاده از روش پخش لنگر محاسبه کنید.



شکل ۶۱-۱۳ مقاله ۶۱-۱۲

۱۳ - ۳۴ با ملاحظه شکل (۶۲-۱۳)، لنگرهای انتهایی این قاب را با استفاده از روش پخش لنگر پیدا کنید.

جواب :

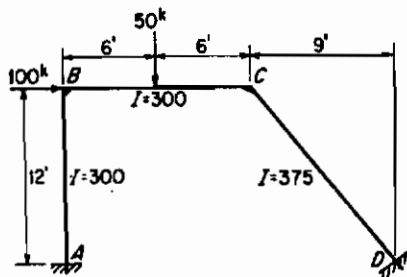
$$M_{BA} = -123.6^k$$

با در نظر گرفتن علائم شبیه - تغییر مکان

$$M_{DC} = -208.2^k$$

$$M_{AB} = -158.2^k$$

$$M_{CD} = -223.6^k$$



شکل ۶۲-۱۳ مقاله ۶۲-۱۳

۱۳ - ۳۵ برای قاب شکل (۶۳-۱۳) منحنی‌های لنگر خمی را با استفاده از روش پخش لنگر رسم نمایید.

جواب :

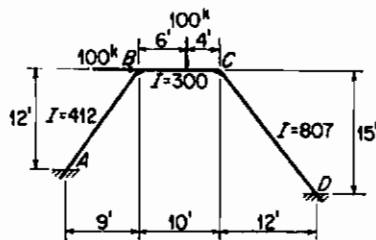
$$M_{BA} = -55.6^k$$

با در نظر گرفتن علائم شبیه - تغییر مکان

$$M_{AB} = -69.2^k$$

$$M_{DC} = -167.6^k$$

$$M_{CD} = -233.4^k$$

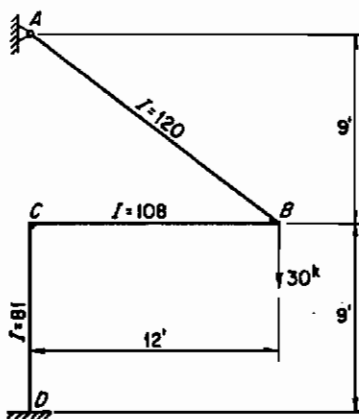


شکل ۳۵-۱۳ مساله ۱۳

۱۳-۳۶ سازه شکل (۳۴-۱۳) را در نظر بگیرید.

- (الف) با استفاده از روش پخش لنگر کلیه لنگرهای انتهایی حاصل از بارگذاری نشان داده شده را در کلیه قطعات آن محاسبه کنید.
- (ب) با استفاده از نتایج حاصل از قسمت (الف) توضیح دهید که چگونه تغییر مکان افقی را محاسبه خواهید کرد.

(ج) چه مقدار نیروی افقی می‌باشدیتی به گره C وارد کنیم تا آن را بوضعیت اصلی خود برگردانیم.



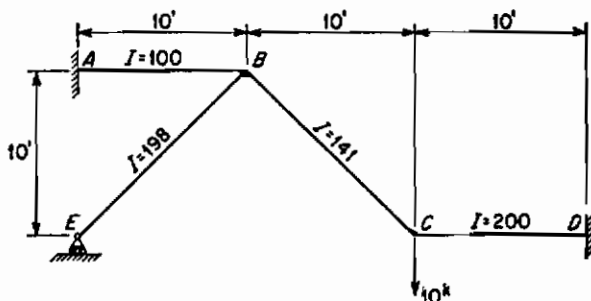
شکل ۳۶-۱۳ مساله ۱۳

۱۳-۳۷ سازه شکل (۳۵-۱۳) را در نظر بگیرید.

- (الف) با استفاده از روش پخش لنگر کلیه لنگرهای انتهایی حاصل از بارگذاری نشان داده شده را در این سازه محاسبه کنید.
- (ب) فرض کنید که گره C این سازه را توسط میله کششی که با مفصل به آن گره وصل می‌شود به تکیه‌گاهی در فاصله ۱۲ft بالای آن گره وصل کنیم، نیروی محوری حاصل در این

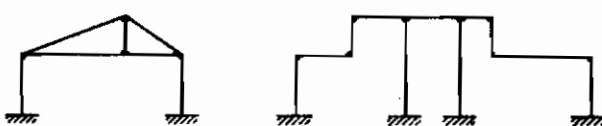
میله کشی را که در اثر نیروی عمودی 10-kip که بر گره C وارد می‌شود محاسبه کنید، از تغییر طول محوری حاصل در این میله صرف نظر نمایید.

(ج) شرح دهید که چگونه می‌توان اثر تغییر طول محوری میله کشی را در عملیات روش پخش لنگر داخل نمود.



شکل ۱۳-۱۳ مساله ۳۷-۱۳

۱۳-۳۸ فرض کنید که سازه‌های شکل (۱۳-۶۴) نامتقابن باشند، با استفاده از شکل‌های مناسب نظر خود را در مورد حل هر کدام از آنها به حالات مختلفی توسط روش پخش لنگر بیان کنید.



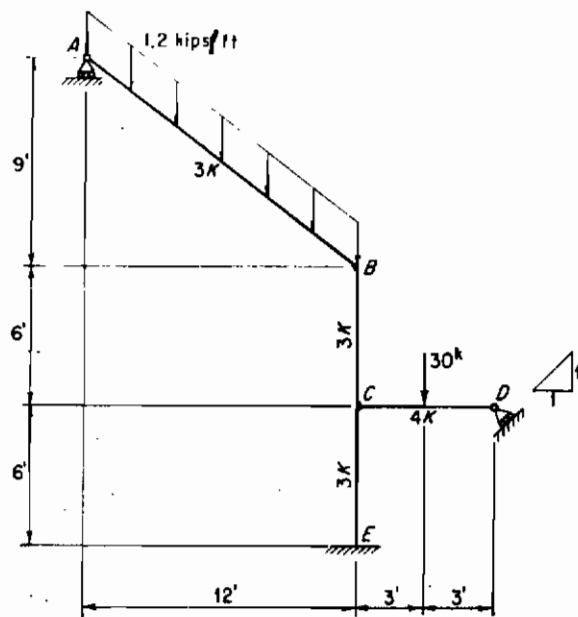
شکل ۱۳-۱۴ مساله ۳۸-۱۳

۱۳-۳۹ کلیه لنگرهای انتهایی را در اعضای قاب شکل (۱۳-۶۲) را محاسبه کنید.  
جواب :

$$M_{BA} = -M_{BC} = +8.6^{\text{k}} \quad \text{تغییر مکان - شب علام}$$

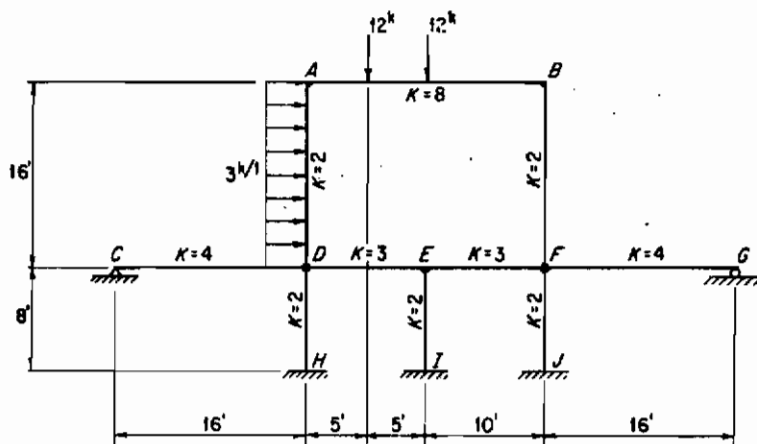
$$M_{CB} = +8.6^{\text{k}} \quad M_{CD} = -37.2^{\text{k}} \quad M_{CG} = +28.7^{\text{k}}$$

$$M_{BG} = +23.9^{\text{k}}$$



شکل ۱۳-۱۳ مساله ۱۳-۳۹

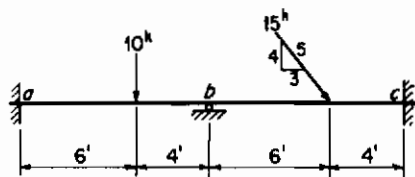
۱۳-۴۰ با استفاده از اصول تقارن و ضد تقارن لنگرهای انتها بی کلیه قطعات قاب شکل ۱۳-۱۳ را با استفاده از روش پخش لنگر محاسبه کنید.



شکل ۱۳-۱۴ مساله ۱۴-۴۰

۱۳-۴۱ تیر شکل (۱۳-۱۴-۶۹) را در نظر بگیرید در این تیر  $A = 30 \text{ in}^2$ ,  $I = 500 \text{ in.}^4$ ,  $E = 30 \times 10^6 \text{ kips/sq in}$  باشد. حل این مساله را در روش‌های مختلف، شبیه-

تفییر مکان قضیه سه لنگر و معادلات انطباق با هم مقایسه کنید. سوال: این تیز چند درجه نامعین می‌باشد؟  
 آیا عکس العمل‌های افقی را با استفاده از روش‌های سه لنگر و شبیه تفییر مکان می‌توان محاسبه نمود؟ کدام یک از این روش‌ها بر همه برتری دارند؟ تعداد معادلات ایجاد شده در هر یک از این راه حلها چه می‌باشد؟



شکل ۴۱-۱۳ مسئله ۶۹-۱۳

(۱۳-۴۲) مقدار زوایای مستقل  $\theta$  و  $\phi$  را در هر یک از سازه‌های شکل‌های (۱۲-۱۳) و (۱۵-۱۳) محاسبه کنید.

## ۱۴

### خطوط تأثیر سازه‌های نامعین

۱۴ - ۱ مقدمه

در فصل ۱۲ روش‌های گوناگون تحلیل سازه‌های نامعین مورد بحث و بررسی قرار گرفت و در کلیه حالات موردنظر سازه‌های مورد نظر تحت اثر یک نوع بارگذاری معینی قرار گرفته بودند. اغلب لازم است که یک سازه نامعین را تحت اثر بارهای منقول و یا متغیرکبررسی نماییم، در چنین حالاتی بهتر است برای مولفه‌های مختلف تنش خطوط تأثیر و یا جدول تأثیر تهیه نمود، زیرا از طریق آنها می‌توان هم چگونگی بارگذاری سازه را جهت محاسبه اثر حداکثر معین کرد و هم قادر خواهیم بود مقدار این اثر حداکثر را محاسبه نماییم.

در فصل ۶ چگونگی تهیه و کاربرد خطوط تأثیر را برای سازه‌های معین شرح داده‌ایم، در چنین حالاتی دیدیم که پس از قدری تمرین می‌توان یک خط تأثیر را با مشخص کردن چندین عرض اصلی آن و اتصال دادن آن عرضها به یکدیگر توسط خطوط مستقیم رسم کرد. خطوط تأثیر سازه‌های نامعین را نمی‌توان به همان راحتی رسم کرد زیرا در این حالت خطوط تأثیر عموماً پامحنی شکل هستند و یا از چندین خط شکسته که منحنی وار بهم وصل شده‌اند تشکیل پافته‌اند.

خوبی‌خانه اغلب خطوط تأثیر این نوع سازه‌ها از نوع دوم هستند، اگر یک سازه نامعین در نقاط پانلی خود از طریق تیرهای عرضی کف - که این تیرها نیز بعنوبت خود بعوسلیه تیرهای طولی بار شده‌اند - بارگذاری شده باشد در این حالت تیرهای طولی در حد فاصل تیرهای عرضی کف مانند تیرهای ساده عمل می‌کنند، بمسادگی می‌توان نشان داد که کلیه خطوط تأثیر این سازه نامعین در حد فاصل نقاط پانلی از خطوط مستقیم تشکیل پافته‌اند ولی اگر تیرهای طولی به صورت تیرهای سرتاسری روی چند تیر عرضی اثر کنند خطوط تأثیر بین نقاط پانلی به مشکل منحنی در خواهد آمد. در اغلب حالات عملی، انحراف این خطوط منحنی از خطوط مستقیم بسیار اندک است. اگر بار متغیرکبریک پل

از طریق تیرهای کف و تیرهای عرضی اثر نکند و بر سازه دیگری وارد شود در این صورت نیز خطوط تاثیر مربوطه به شکل خطوط منحنی خواهند بود .  
اولین قدم در رسم خطوط تاثیر برای تنشهای مختلف یک سازه نامعین ، تعیین خطوط تاثیر برای قیدهای اضافی آن می‌باشد . پس از آن که چنین عملی انجام شد تعیین خطوط تاثیر برای عکس العمل نیروهای میله ، برش یا لنگر به کمک معادلات تعادل امکان پذیر خواهد بود .

#### ۱۴ - ۲ رسم خطوط تاثیر به کمک وضعیتهای متعدد بار واحد

در فصل ۶ خاطرنشان کردیم که عرضهای خط تاثیر یک کمیت را همواره می‌توان با قراردادن بار واحد در وضعیتهای مختلفی که در آن نقاط امکان اثر بار بر سازه وجود دارد با محاسبه مقدار آن کمیت در هر وضعیت جدید تعیین نمود . چنین روشی را می‌توان برای به دست آوردن خطوط تاثیر اتصالات (قیدهای) اضافی یک سازه نامعین به کار برد . عمل به چنین کاری منجر به محل چندین مساله از نوع مسائل فصل ۱۳ می‌باشد .

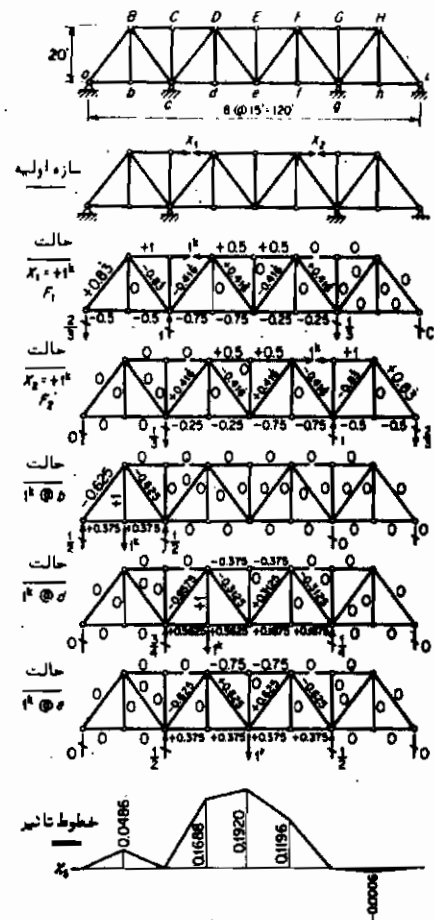
در وهله نخست به نظر می‌رسد که چنین عملی بسیار خستگی آور خواهد بود ولی همان طوری که در مثال (۱-۱۴) شرح داده شده است خواهیم دید که می‌توان محاسبات را به نحو مطلوبی آرایش داد ، بعلاوه پس از آن که پکار خطوط تاثیر را برای قیود اضافی به دست آوردهیم تعیین خطوط تاثیر برای سایر مولفه‌های تنش با استفاده از معادلات انتطباق بسیار ساده خواهد بود . در مثال (۱-۱۴) پس از آن که عرضهای خط تاثیر برای مجہولات  $X_1$  و  $X_2$  محاسبه شد ، عرضهای مربوط به سایر نیروهای میله‌را می‌توان با استفاده از روش جدولی از طریق رابطه زیر به دست آورد .

$$F = F_0 + X_1 F_1 + X_2 F_2$$

ملاحظه می‌کنید که چنین کاری بسیار ساده است زیرا نیروهای میله  $F$  را قبلاً "برای مقادیر کلیه نیروهای میله تحت اثر وضعیتهای مختلف بار واحد محاسبه کردیم . اگرچه محاسبه خطوط تاثیر برای مجہولات (قید اضافی) یک سازه نامعین با استفاده از این طریق طولانی می‌باشد ولی تعیین خطوط تاثیر برای کلیه نیروی میله‌ها و عکس العمل‌ها چه از این طریق چه از طریق دیگری با همین زحمت خواهد بود .

**مثال ۱۴ - ۱ =** با فرض ثابت بودن  $A$  برای کلیه میله‌ها ، خطوط تاثیر نیروی داخل میله‌های اضافی این خرپا را رسم کنید .

نیروی داخل میله‌های  $\delta_{11}$  و  $\delta_{22}$  را به عنوان مجهول انتخاب می‌کیم، با استفاده از معادلات افقی مقدار این مجهولات را برای بار واحد که بر هر گره « اثر می‌کند محاسبه می‌کیم،



$$\Delta_{11} = \delta_{11} + X_1 \delta_{12} + X_2 \delta_{22} = 0 \quad (1)$$

$$\Delta_{22} = \delta_{22} + X_1 \delta_{21} + X_2 \delta_{11} = 0 \quad (2)$$

با استفاده از تقارن داریم:  $\delta_{22} = \delta_{11}$  و با استفاده از قانون ماکسویل داریم:  $\delta_{12} = \delta_{21}$  بنابراین معادلات (1) و (2) به صورت زیر خواهد بود.

$$\Delta_{11} + X_1 \delta_{12} + X_2 \delta_{11} = 0 \quad (1\text{ الف})$$

$$\Delta_{22} + X_1 \delta_{21} + X_2 \delta_{11} = 0 \quad (2\text{ الف})$$

با به کار بردن روش کار مجازی جهت محاسبه مقادیر تغییر مکانها مقادیر ثابت سازه به صورت زیر خواهد بود.

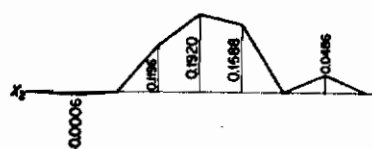
$$(I^k)(\delta_{11}) = \frac{1}{EA} \sum F_i^2 L$$

$$(I^k)(\delta_{12}) = \frac{1}{EA} \sum F_i F_k L$$

در حالی که عبارات مربوط به بار خواهد بود.

$$(I^k)(\Delta_{11}) = \frac{1}{EA} \sum F_i F_k L$$

$$(I^k)(\Delta_{22}) = \frac{1}{EA} \sum F_k F_k L$$



چون مقادیر  $EA$  برای کلیه میله‌ها مقداری ثابت است و طرف راست معادلات (1الف) و (2الف) دارای مقدار صفر می‌باشد، درجهت تسهیل محاسبات می‌توان برای بقیه محاسبات  $E A = 1$  قرار داد. بر حسب تقارن مقدار  $X_1$  بارهای بار واحد در  $\Delta$  برابر با مقدار  $X_2$  بارهای بار واحد در  $\Delta$  خواهد بود و در نتیجه اگر مقادیر  $X_1$  و  $X_2$  را بارهای بار واحد به ترتیب در نقاط  $a$  و  $e$  محاسبه کنیم معلومات کافی جهت رسم خطوط تأثیر برای  $X_1$  و  $X_2$  خواهیم داشت.

ثابت‌های سازه:

مکان	$L$	$F_1$	$F_2$	$F_1 F_2 L$	$F_1^2 L$	
$ac$	30	-0.5	0	0	+ 7.5	
$ce$	30	-0.75	-0.25	+5.625	+ 16.875	
$eg$	30	-0.25	-0.75	+5.625	+ 16.875	
$BD$	30	+1.0	0	0	+ 30.0	
$DF$	30	+0.5	+0.5	+7.5	+ 7.5	
$aB$	25	+0.83	0	0	+ 17.83	
$Bc$	25	-0.83	0	0	+ 17.83	
$cD$	25	-0.416	+0.416	-4.345	+ 4.345	
$De$	25	+0.416	-0.416	-4.345	+ 4.345	
$eF$	25	-0.416	+0.416	-4.345	+ 4.345	
$Fg$	25	+0.416	-0.416	-4.345	+ 4.345	
$\Sigma$				+1.87	+115.83	

$$\therefore \delta_{11} = +115.83 \quad \delta_{12} = +1.87$$

مقادیر مربوط به بار

بار واحد در دهانه هب					بار واحد در دهانه میانی							
			در $b$					در $d$		در $e$		
مکان	$L$	$F_1$	$F_n$	$F_1 F_n L$	مکان	$L$	$F_1$	$F_n$	$F_1 F_n L$	$F_n$	$F_1 F_n L$	
$ac$	30	-0.5	+0.375	-5.625	$ce$	30	-0.75	-0.85	+0.563	-12.86	-4.22	+0.375 - 8.44
$aB$	25	+0.83	-0.625	-13.0	$eg$	30	-0.25	-0.76	+0.188	-1.41	-4.22	+0.375 - 2.81
$Bc$	25	-0.83	-0.625	+13.0	$DF$	30	+0.5	+0.5	-0.875	-5.63	-5.63	-0.75 - 11.25
$\Sigma$				-5.625	$cD$	25	-0.416	+0.416	-0.938	+9.78	-9.78	-0.625 + 6.50
					$De$	25	+0.416	-0.416	-0.938	-3.26	+3.26	+0.625 + 0.50
					$eF$	25	-0.416	+0.416	+0.513	-3.26	+3.26	+0.625 - 0.50
					$Fg$	25	+0.416	-0.416	-0.513	-3.26	+3.26	-0.625 - 6.50
					$\Sigma$				-19.70	-14.07		-22.50

حل معادلات

معادلات	محاسبات	$X_1$	$X_2$	بار واحد در $\Sigma$ ثابت			بررسی
				$b$	$d$	$e$	
(1)		+115.83	+ 1.87	+5.625	+19.70	+22.50	+165.025
(2)		+ 1.87	+115.83	+0	+14.07	+22.50	+153.77
(1')	(1) $\times 0.01182$	+ 1.87	+ 0.016	+0.066	+ 0.233	+ 0.266	+ 1.951
(3)	(2) - (1')			+115.814	-0.066	+18.837	+22.234 +151.819
				+ 1.0	-0.00057	+ 0.1196	+ 0.1920 + 1.8100
				- 1.87	+0.00078	- 0.1638	- 0.2610
		+115.83		+5.6258	+19.5362	+22.2390	
		+ 1.0		+0.0486	+ 0.1688	+ 0.1920	

### ۱۴ - اصل مولر - برسلا ( Müller-Breslau ) جهت تعیین خطوط تأثیر

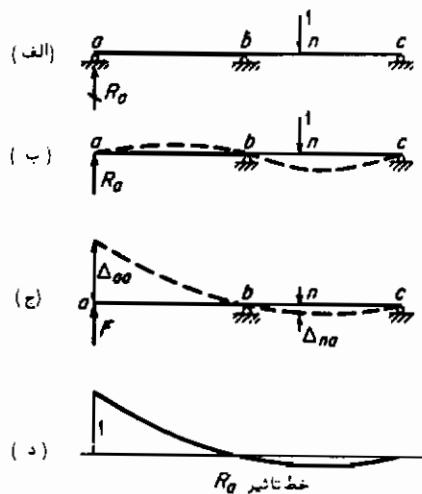
بر طبق اصل مولر - برسلا می‌توان روش بسیار ساده‌ای جهت محاسبه خطوط تأثیر وجود آورد\*\*، و همچنین این روش اساس برخی از روش‌های غیر مستقیم تحلیل مدل‌ها می‌باشد. این اصل را می‌توان به صورت زیر بیان نمود.

عرضهای خط تأثیر یک اثر تنش زا (ناظیر نیروی محوری، برش، لنتگر با عکس العمل) در هر سازه‌ای مناسب خواهد بود با منحنی تغییر مکانی که با حذف قید مربوط به آن اثر از سازه و جایگزین نمودن تغییر شکلی مناسب با آن بر سازه اولیه بدست می‌آید.

این اصل را می‌توان برگلیه سازه‌ها اعم از تیر، خربیا یا قاب به صورت معین یا نامعین اعمال نمود، در صورتی که سازه‌های مورد نظر نامعین باشند گاربرد این اصل محدود به سازه‌هایی است که از مصالح ارجاعی با تبعیت از قانون هوک ساخته شده باشند. علاوه بر این محدودیتی مهم نمی‌باشد زیرا در سطح بسیار وسیعی از کاربردهای عملی این شرط صادق می‌باشد.

اعتبار این اصل را می‌توان به صورت زیر نشان داد: بخاطر منظور تیر سرتاسری دو دهانه، شکل (۱-۱الف) را در نظر بگیرید، فرض کنید که خط تأثیر مربوط به عکس - العمل مقطع a این تیر موردنیاز باشد این خط تأثیر را می‌توان با قراردادن بار واحد عمودی در نقاط مختلف a در طول سازه و محاسبه عکس العمل برای آن بار، رسم نمود این محاسبات را می‌توان به طریق زیر انجام داد: موقتاً تکیه‌گاه غلتکی مقطع a را از سازه حذف نمایید تا این که سازه اولیه‌ای به صورت شکل (۱-۱ب) بدست آید، فرض کنید که برای سازه اولیه بار واحد عمودی در نقطه a اثر کند که سبب عکس العمل عمودی  $R_a$  در a شود. اگر این نیرو دارای همان مقدار عکس العمل عمودی در نقطه a از سازه واقعی باشد، در این صورت تنשها و بندنهال آن تغییر شکل سازه اولیه دقیقاً "مانند سازه واقعی خواهد بود، بنابراین منحنی ارجاعی سازه اولیه تحت چنین شرایطی مانند شکل (۱-۱ب) خواهد شد که در آن تغییر مکان عمودی نقطه a برابر با صفر می‌باشد.

\* به همین ترتیب با استفاده از اصل مولر - برسلا اغلب می‌توان به طور تقریبی به رسم شکل خطوط تأثیر پرداخت و به این ترتیب با دقیقی که برای مقاصد طراحی کافی می‌باشد به تعیین چگونگی بارگذاری سازه به منظور ایجاد حداقل اثر مورد نظر اقدام نمود.



شکل (۱-۱۴) اصل مولر - برسلا

حال فرض کنید که بر سازه، اولیه یک نیروی عمودی  $n$  در نقطه  $B$  اثر گردد. در این حالت سازه، اولیه مانند شکل (۱-۱۴-ج) تغییر شکل خواهد داد، بدین ترتیب سازه، اولیه را تحت اثر دو دستگاه نیروی متفاوت و جداگانه قرار داده ایم: (۱) نیروهای مذکور در شکل (ب) و (۲) نیروهای مذکور در شکل (ج).

با اعمال قانون بتی بر این حالت خواهیم داشت

$$(R_0)(\Delta_{n0}) + (1)(\Delta_{nn}) = (F)(0)$$

و بنابراین

$$R_n = -\frac{\Delta_{nn}}{\Delta_{n0}}(1) \quad (1-14)$$

علامتهایی که برای نشان دادن تغییر مکانها به کار رفته است همان علام علائم ذکر شده در روش معادلات انتطباق می‌باشد.

از این معادله چنین بر می‌آید که عکس العمل  $R_n$  مربوط به بار واحد عمودی موثر به نقطه  $n$  متناسب با تغییر مکان  $n$  در آن نقطه می‌باشد. بنابراین شکل خط تاشر  $R_n$  مانند شکل منحنی خیز سازه می‌باشد در صورتی که نیروی  $n$  در نقطه  $n$  اثر گند، مقدار عرض خط تاشر در هر نقطه نامعلوم  $n$  را می‌توان با تقسیم نمودن تغییر مکان آن نقطه از این منحنی خیز بر تغییر مکان نقطه  $n$  بدست آورد. بدین ترتیب معلوم می‌شود که خطوط تاشر را می‌توان بر طبق اصل مولر - برسلا بدست آورد.

به همین ترتیب می‌توان اعتبار این اصل را برای هر اثر تنش زا از سازه را ثابت نمود.

در حالت کلی معادله (۱-۱۴) برای اثر تنش زا،  $X_a$  به صورت زیر نوشته می‌شود:

$$X_a = -\frac{\Delta_{aa}}{\Delta_{aa}} \quad (2-14)$$

ذکر قرارداد علائم در مورد این معادله بسیار مهم است، بدین ترتیب  $X_a$  زمانی مثبت است که با تغییر مکان  $\Delta_{aa}$  هم جهت باشد و  $\Delta_{aa}$  زمانی مثبت است که در جهت بار واحد موئزی باشد که تأثیر آن توسط عرضهای خط تأثیر نشان داده شده است، همچنین می‌بایستی ذکر کرد که  $X_a$  هم نشان دهنده "نیرو و هم نشان دهنده لنگر می‌باشد. اگر  $X_a$  یک نیرو باشد  $\Delta_{aa}$  مربوطه یک تغییر مکان خطی خواهد بود و اگر  $X_a$  یک لنگر باشد  $\Delta_{aa}$  مربوطه یک دوران زاویه‌ای خواهد بود.

ذکر این نکته نیز مهم است که عرض کلیه خطوط تأثیرها بستگی به مقدار نیروی  $F$  که جهت ایجاد تغییر مکان  $\Delta_{aa}$  می‌بایستی بر سازه اولیه اثر کند ندارند. برای محاسبه عرضهای خط تأثیر معمولاً "مقدار  $F$  را برابر با واحد گرفته و مقادیر  $\Delta_{aa}$  و  $\Delta_{aa}$  را نسبت به آن محاسبه می‌کنند.

در مثالهای (۲-۱۴) و (۳-۱۴) کاربرد این روش را در مورد تیرهای سرتاسری شرح داده‌ایم وقتی که به کاربرد این روش می‌پردازیم می‌بایستی بدانیم که اگر سازه اصلی بیش از یک درجه نامعین باشد سازه اولیه‌ای که پس از حذف قید موردنظر باقی می‌ماند باز هم نامعین خواهد بود. در هر صورت چنین مطلبی ایجاد اشکال نمی‌نماید فقط می‌بایستی قبل از آن که بتوان به مجاشه تغییر مکانهای  $\Delta_{aa}$  و  $\Delta_{aa}$  پرداخت سازه اولیه نامعین را به کسک یکی از روش‌های مذکور در فصل سیزدهم تحلیل نمود.

#### مثال ۱۴-۲= خط تأثیری برای عکس العمل عمودی در نقطه $a$ از این تیر رسم کنید.

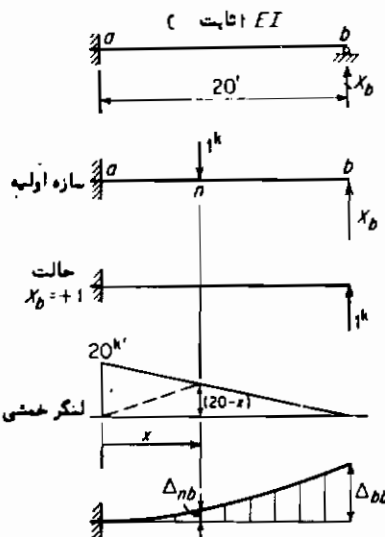
با به کار بردن اصل مولر-پرسلاسازه اولیه شکل مقابل را انتخاب می‌کنیم، می‌توانیم بنویسیم:

$$X_a^1 = -\frac{\Delta_{aa}^1}{\Delta_{aa}^1} \quad (14)$$

در رابطه فوق جهت مثبت هر یک از علائم نشان داده شده است.

اگر به منظور راحتی بیشتر تصمیم بگیریم که  $\Delta_{aa}$  را رو به سوی بالا مثبت بگیریم می‌بایستی علامت راست این معادله را تغییر دهیم و بنویسیم:

$$X_a^1 = \frac{\Delta_{aa}^1}{\Delta_{aa}^1} \quad (14)$$



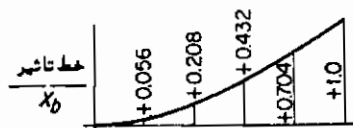
بر طبق قضیه دوم سطح لنگر:

$$EI\Delta_{nb} = (20) \left(\frac{x}{2}\right) \left(\frac{2x}{3}\right)$$

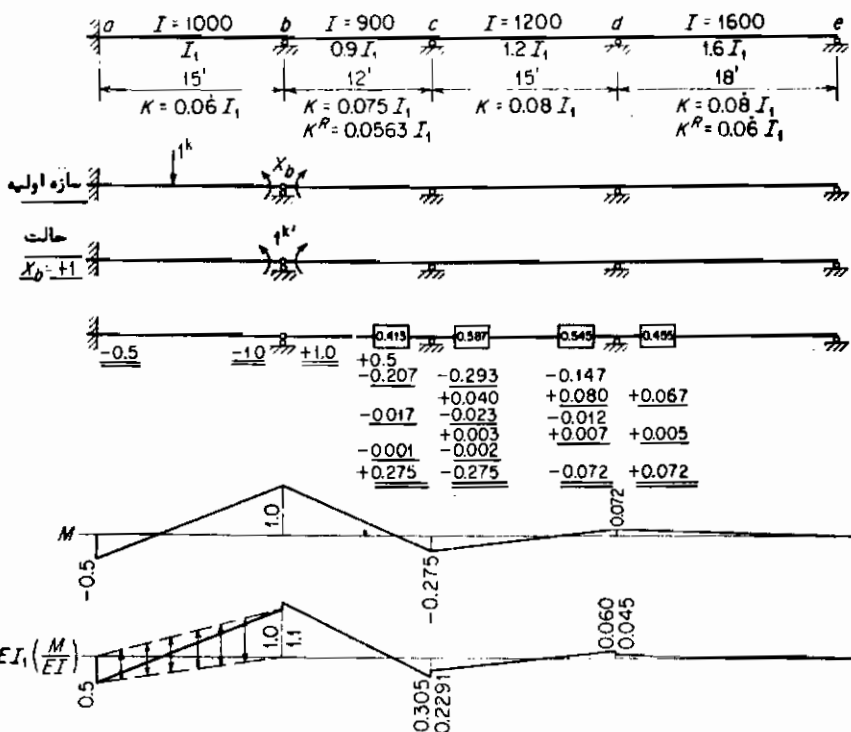
$$+ (20-x) \left(\frac{x}{2}\right) \left(\frac{x}{3}\right) = \frac{x^2}{6} (60-x)$$

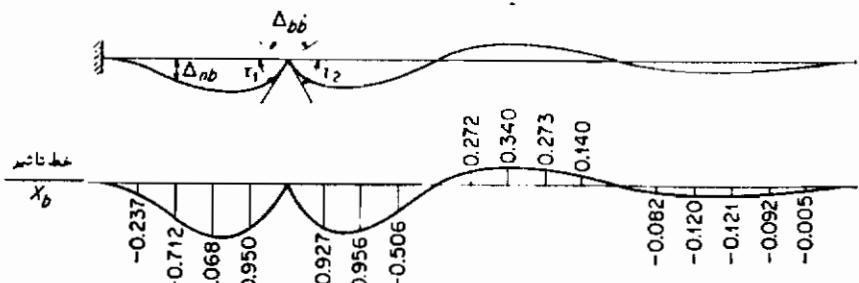
$$EI\Delta_{bb} = \frac{(20)^2}{8} (60-20) = \frac{8,000}{3}$$

$$\therefore X_b^\uparrow = \frac{x^2(60-x)}{16,000}$$



مثال ۱۴ - ۳ = خط تأثیری برای لنگر در تکیه‌گاه b از این تیر رسم کنید.





با استفاده از اصل مولر - برسلا

$$X_b^{ab} = -\frac{\Delta_{ab}^1}{\Delta_{ab}^2} (t^b) \quad \text{or} \quad X_b^{ab} = +\frac{\Delta_{ab}^1}{\Delta_{ab}^2} (t^b)$$

بر حسب این که علامت  $\Delta_{ab}$  را تغییر دهیم یا ندهیم .  
و هم را با استفاده از سطح لنگر و یا بار ارجاعی محاسبه می‌کنیم .

$$EI_{1\tau_1} = (0.5)(7.5) = 3.75 \quad \therefore EI_{1\Delta_{ab}} = 3.75 + 3.83 = 7.58$$

$$EI_{1\tau_2} = (1.1)(6)(2\frac{2}{3}) - (0.305)(6)(\frac{1}{3}) = 3.834$$

دهانه  $ab$

$$EI_{1\Delta_{ab}^1} = \left(\frac{x}{15}\right)\left(\frac{x^3}{6}\right) - \left(\frac{l}{2}\right)\left(\frac{x}{2}\right)\left(\frac{2x}{3}\right) - \left(\frac{l}{2} - \frac{x}{30}\right)\left(\frac{x^3}{6}\right) = \frac{x^4}{60} - \frac{x^4}{4}$$

$$\therefore X_b = \frac{1}{7.58} \left( \frac{x^4}{60} - \frac{x^4}{4} \right)$$

دهانه  $bc$

$$EI_{1\Delta_{ab}^1} = -3.834x + (1.1)\left(\frac{x^3}{3}\right) + (1.1 - 0.0928x)\left(\frac{x^3}{6}\right) - (0.08542)\left(\frac{x^3}{6}\right)$$

$$= -3.834x + 0.556x^3 - 0.0197x^4$$

$$\therefore X_b = \frac{1}{7.58} (-3.834x + 0.556x^3 - 0.0197x^4)$$

برای دهانه‌های  $cd$  و  $de$  نیز به همین ترتیب بدست می‌آید ، همان طوری که درج شده است  
مقادیر عرضهای خط تأثیر را در فواصل سه‌فوتبی می‌توان از این معادلات بدست آورد .

#### ۱۴ - ۴ خطوط تأثیر حاصل از جمع اثرات لنگرهای گیرداری

این روش برای محاسبه خطوط تأثیر لنگرهای انتهاهی تیر و یا قابهای نامعین بسیار سهی است ، در این حالت لازم است که به پخش لنگرجهت محاسبه اثرات جداگانه هر یک از لنگرهای گیرداری اعضای مختلف بار شده بپردازیم پس از آن می‌توان با جمع این اثرات جداگانه

بهمنظور تعیین لنگرهای انتهایی کل اقدام کرد . اگر همان طوری که در مثال (۴-۱۴) شرح داده شده است این عمل بعطور منظم انجام گیرد روش بسیار موثری جهت تعیین خطوط تأثیر لنگرهای انتهایی خواهد بود .

بعطور اساسی این روش از مراحل زیر تشکیل می‌گردد :

۱ - لنگری گیرداری برابر با واحد بعانتهای یک قطعه وارد کنید ، با استفاده از روش پخش لنگر لنگرهای انتهایی حاصل را در کلیه قطعات محاسبه کنید . این عمل را برای هر انتهای کلیه قطعاتی که می‌توانند دارای لنگر گیرداری حاصل از بارهای واردہ باشند تکرار کنید .

۲ - لنگرهای گیرداری حاصل از اثر بار واحدی را که بهنوبت در هریک از نقاط مختلف بارگذاری اثر می‌کند محاسبه کنید .

۳ - نتایج حاصل از مراحل ۱ و ۲ را بهمنظور تعیین لنگرهای انتهایی حاصل از اثر بار واحد در هریک از نقاط مختلف بارگذاری سازه با یکدیگر ترکیب کنید .

بهبیهی است که پس از آن که خطوط تأثیر را برای لنگرهای انتهایی محاسبه نمودیم سایر خطوط تأثیر را می‌توان با استفاده از روابط تعادل محاسبه نمود .

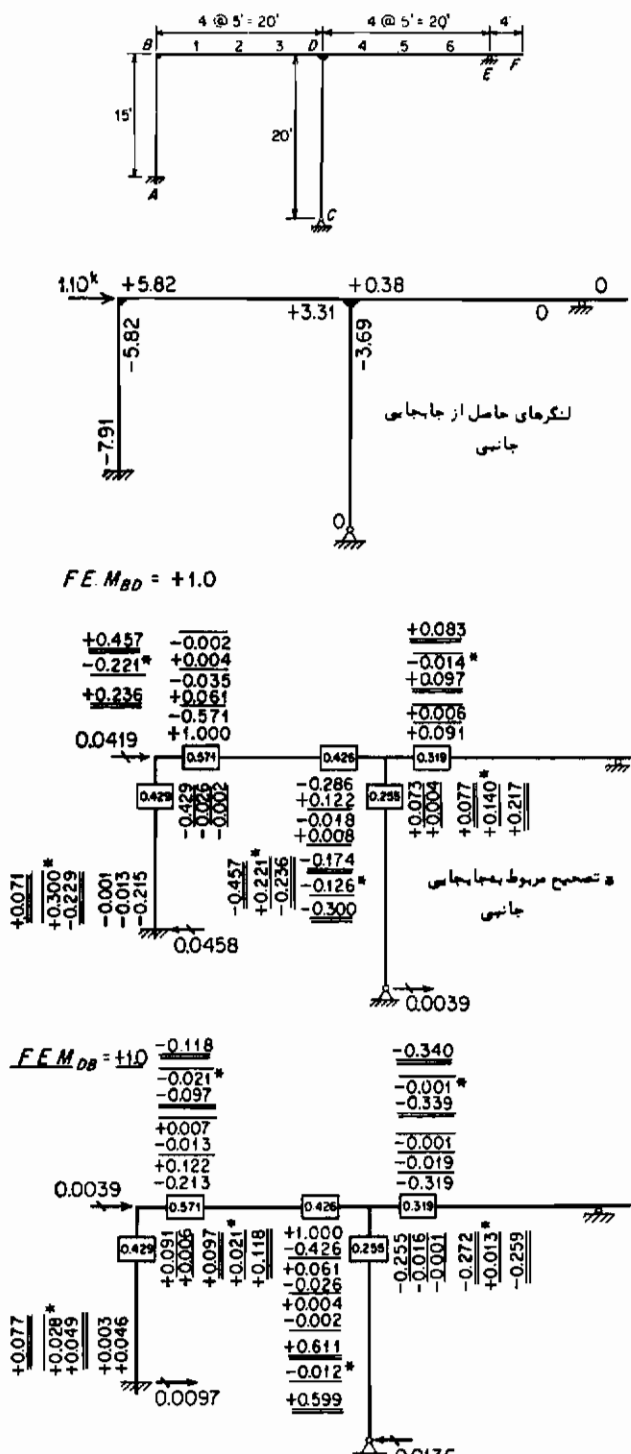
پس از محاسبه مرحله یک از مراحل فوق عملاً "فقط یک بار استفاده از روش پخش لنگر برای هریک از گرههای قاب لازم خواهد بود که آن را می‌توان برای لنگر گیرداری برابر با واحد در هر عضوی در یک گره انجام داد . پس از آن که بعاین عمل اقدام نمودیم اثر لنگر گیرداری برابر با واحد را در هریک از اعضای مختوم به آن گره می‌توان با توصل به بررسی و جستجو معین نمود . در حل مثال (۴-۱۴) این چنین عملی تشریح شده است .

مثال ۱۴ - ۴ = با جمع اثرات لنگرهای گیرداری، جدول تأثیری برای لنگرهای انتهایی قاب مثال ۲۵-۱۳ تهیه نمایید . مقدار عرضها را در فواصل ۵ فوت از طول شاهتیر *BDEF* معین کنید .

در این حالت امکان جابجایی جانبی ستونها وجود دارد ، جهت ملاحظه نمودن این جابجایی باید به حالت (الف) و (ب) حل سازه را با یکدیگر ترکیب کنیم .

حالت (ب) از لنگرهای انتهایی مثال (۲۵-۱۴) را به کار برد و نتایج آن را بر ۶۰ تقسیم می‌کنیم .

مرحله ۱ = لنگرهای انتهایی حاصل از  $+1 = FEM$  در انتهایی قطعات شاهتیر را معین می‌کنیم .



این ارقام تنها پاسخهای اصلی پخش لنگر لازم جهت عملیات محاسباتی می‌باشند، لنگرهای انتهایی حاصل از  $FEM_{DE} = +1.000$  را می‌توان فقط با تغییر عدد  $+1.000$  از  $DB$  به ستون  $DE$  اعداد به دست  $T$  ورد. به همین ترتیب لنگرهای انتهایی حاصل از هر یک از  $FEM_{DE} = +1.0$   $FEM_{EF} = +1.0$  برابر با  $\frac{1}{2}$  مقادیر حاصل از  $FEM_{DE} = +1$  می‌باشد به جزء موارد دو انتهای  $ED$  و  $EF$ .

خلاصه لنگرهای انتهایی حاصل از  $FEM = +1$  در نقاط مختلف

$FEM = +1$ در نقاط	$M_{AB}$	$M_{BD}$	$M_{DB}$	$M_{DE}$	$M_{DC}$	$M_{ED}$
$BD$	+0.071	+0.236	-0.300	+0.088	+0.217	0
$DB$	+0.077	-0.118	+0.599	-0.340	-0.259	0
$DE$	+0.077	-0.118	-0.401	+0.660	-0.259	0
$ED$	-0.088	+0.059	+0.201	-0.380	+0.129	0
$EF$	-0.088	+0.059	+0.201	-0.380	+0.129	-1.0

مرحله ۲:  $FEM$  حاصل از اثر بار واحد در نقاط مختلف بارگذاری:

بار در	$FEM$ در انتهای:				
	$BD$	$DB$	$DE$	$ED$	$EF$
1	-2.8125	+0.9375			
2	-2.50	+2.50			
3	-0.9375	+2.8125			
4			-2.8125	+0.9375	
5			-2.50	+2.50	
6			-0.9375	+2.8125	
F					-4.00

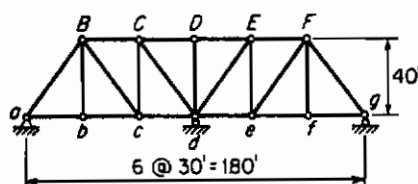
مرحله ۳ : جدول تأثیر برای لنگرهای انتهایی .

مار در	فریب $\times$ [لنگر انتهایی نظیر ]-(-1) $+1 \times$ در نقطه ] $= FEM$	$M_{AB}$	$M_{BD}$	$M_{DB}$	$M_{DE}$	$M_{DC}$	$M_{ED}$
1	$-2.8125 \times BD$ $+0.9375 \times DB$	-0.199	-0.664	+0.844	-0.233	-0.610	
		+0.072	-0.111	+0.561	-0.318	-0.243	
		-0.127	-0.776	+1.405	-0.551	-0.853	0
2	$-2.50 \times BD$ $+2.50 \times DB$	-0.172	-0.590	+0.760	-0.207	-0.543	
		+0.192	-0.295	+1.498	-0.850	-0.648	
		+0.020	-0.885	+2.248	-1.057	-1.191	0
3	$-0.9375 \times BD$ $+2.8125 \times DB$	-0.067	-0.221	+0.281	-0.078	-0.203	
		+0.216	-0.332	+1.682	-0.956	-0.729	
		+0.149	-0.553	+1.963	-1.034	-0.932	0
4	$-2.8125 \times DE$ $+0.9375 \times ED$	-0.216	+0.332	+1.128	-1.852	+0.729	
		-0.098	+0.054	+0.188	-0.308	+0.120	
		-0.252	+0.386	+1.316	-2.160	+0.849	0
5	$-2.50 \times DE$ $+2.50 \times ED$	-0.192	+0.295	+1.002	-1.648	+0.648	
		-0.095	+0.145	+0.500	-0.820	+0.320	
		-0.287	+0.440	+1.502	-2.468	+0.968	0
6	$-0.9375 \times DE$ $+2.8125 \times ED$	-0.072	+0.111	+0.376	-0.619	+0.243	
		-0.107	+0.163	+0.565	-0.922	+0.360	
		-0.179	+0.274	+0.941	-1.541	+0.603	0
F	$-4.0 \times EF$	+0.152	-0.232	-0.804	+1.321	-0.521	+4.0

## ۱۴-۵ مسائل

۱۴-۱ (الف) فرض کنید که  $L/A$  برای کلیه میله‌ها ثابت باشد ، خط تأثیری برای میله  $CD$  از خریای شکل (۲-۱۴) تهیه نماید .

(ب) با استفاده از معلومات قسمت (الف) خطوط تأثیری برای نیرو در میله‌های  $Bc$  و  $Ec$  تهیه کنید .



شکل (۱-۱۴) - مساله (۲-۱۴)

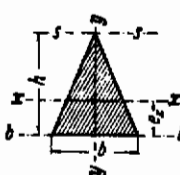
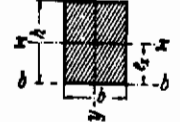
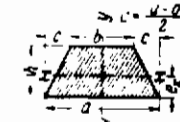
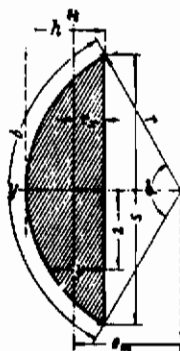
- ۱۴- ۲- برای میله‌های  $8C$  و  $Cd$  از خریای شکل (۵-۱۳) خطوط تأثیر تهیه کنید.
- ۱۴- ۳- با استفاده از اصل مولر-برسلا برای موارد زیر خطوط تأثیر تهیه کنید:
- (الف) لنگر در نقطه  $e$  از تیر مثال (۳-۱۴)
  - (ب) عکس العمل عمودی در نقطه  $h$  از همان تیر.
- ۱۴- ۴- با استفاده از روش مشروح در بخش (۴-۱۴)، خطوط تأثیری برای لنگرهای انتهایی تیر مذکور در مثال (۳-۱۴) تهیه کنید.

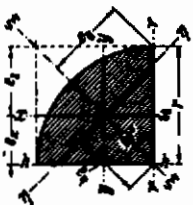
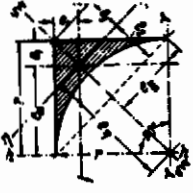
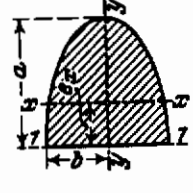
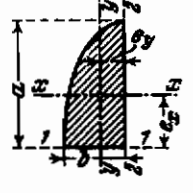
**ضمائـه**

## ضمیمه الف - تبدیل آحاد متعارف به میکدیگر

in	= 0.025400	m
ft	= 0.304800	m
in <sup>2</sup>	= 645.1600	mm <sup>2</sup>
ft <sup>2</sup>	= 0.092903	m <sup>2</sup>
in <sup>3</sup>	= 16.387064.10 <sup>-6</sup>	m <sup>3</sup>
ft <sup>3</sup>	= 28.31685.10 <sup>-3</sup>	m <sup>3</sup>
quart	= 0.946353	liter
gallon	= 3.785412.10 <sup>-3</sup>	m <sup>3</sup>
in <sup>4</sup>	= 41.623143	cm <sup>4</sup>
cm <sup>4</sup>	= 1.000000.10 <sup>-8</sup>	m <sup>4</sup>
ft <sup>4</sup>	= 8.360975.10 <sup>-3</sup>	m <sup>4</sup>
gram	= 980.665000	dyne
kg	= 9.806650	N
lb (جرم)	= 0.453592	kg (جرم)
kips (=1000 lbs)	= 4.448222	kN
kip/ft	= 14.593904	kN/m
lb/ft	= 1.488164	kg/m
kg/cm <sup>2</sup>	= 9.806650	N/m <sup>2</sup> (Pascal)
kg/cm <sup>2</sup>	= 98.066500	kN/m <sup>2</sup> (kPa)
kip/ft <sup>2</sup>	= 47.880260	kN/m <sup>2</sup>
lb/in <sup>2</sup> (psi)	= 6.894757	kN/m <sup>2</sup>
lb.in (torque)	= 0.112985	N.m (نگر)
lb.ft	= 1.355818	N.m
kip.ft	= 1.355818	kN.m
ft.lb (= کار با انرژی)	= 1.355818	joule
cal.g (= مقدار بین المللی)	= 4.136800	joule
lb/ft <sup>3</sup>	= 16.018460	kg/m <sup>3</sup>
kip/ft <sup>3</sup>	= 157.087616	kN/m <sup>3</sup>
g/cm <sup>3</sup>	= 62.427900	lb/ft <sup>3</sup>
g/cm <sup>3</sup>	= 9.806650	kN/m <sup>3</sup>

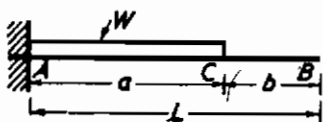
## ضیمه ب: سطح و مرکز نقل برخی از اشکال بارگذاریها

نوع شکل	مشخصات شکل	سطح	موقعیت مرکز نقل
مثلث		$A = \frac{b h}{2}$	$e_x = \frac{1}{3} h$
مربع		$A = b^2$	$e_x = \frac{h}{2}$
ذوزنقه		$A = \frac{h}{2} (a + b)$	$e_x = \frac{h}{3} \frac{a + 2b}{a + b}$
نیم دایره		$A = \frac{\pi}{2} r^2 \approx 1,57080 r^2$	$e_x = \frac{4 r}{3 \pi} \approx 0,4244 r$
قطبیده دایره		$A = \frac{r^2}{2} \left( \frac{\pi \varphi^2}{180^\circ} - \sin \varphi \right) \\ = \frac{r(b-s)+sh}{2}$	$e_m = \frac{s^2}{12 R} \\ = \frac{2}{3} \frac{r^2 \sin \frac{\varphi}{2}}{R} \\ e_x = e_m - r \cos \frac{\varphi}{2}$

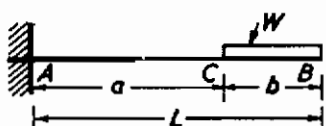
نوع شکل	مشخصات شکل	سطح	موقعیت مرکز نقل
ربع پیله		$A = \frac{\pi}{4} r^2 \approx 0,7854 r^2$	$c_x \approx 0,4244 r$ $c_y \approx 0,5756 r$ $c_\eta \approx 0,6002 r$ $c_\xi \approx 0,7071 r$
کسر ربع پیله از مربع		$A = r^2 \left(1 - \frac{\pi}{4}\right) \approx 0,2146 r^2$	$c_1 \approx 0,2234 r$ $c_x \approx 0,7766 r$ $c_\eta \approx 1,0983 r$ $c_\xi \approx 0,7071 r$ $c_a \approx 0,3159 r$ $c_b \approx 0,3912 r$
نیم پیله		$A = \frac{\pi}{2} a b \approx 1,571 a b$	$c_x = \frac{4}{3\pi} a \approx 0,4244 a$
رئی پیله		$A = \frac{\pi}{4} a b \approx 0,7854 a b$	$c_x = \frac{4}{3\pi} a \approx 0,4244 a$ $c_y = \frac{4}{3\pi} b \approx 0,4244 b$

نوع شکل	مشخصات شکل	سطح	موقعیت مرکز نقل
کسر بیج بیضی از مستطیل		$A = \left(1 - \frac{\pi}{4}\right)ab \\ \approx 0,2146 ab$	$e_x \approx 0,7766 a \\ e_y \approx 0,7766 b$
سهمی		$A = \frac{4}{3}ab$	$e_x = \frac{2}{5}a$
نم سهمی		$A = \frac{2}{3}ab$	$e_x = \frac{2}{5}a \\ e_y = \frac{3}{8}b$
کسر نهم بیضی از مستطیل		$A = \frac{1}{3}ab$	$e_x = \frac{7}{10}a \\ e_y = \frac{3}{4}b$

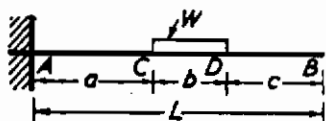
ضمیمه ج : مقادیر FEM در تیرهای مختلف  
تیر طریقی



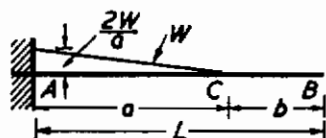
$$FEM_{AB} = -\frac{Wa}{2}$$



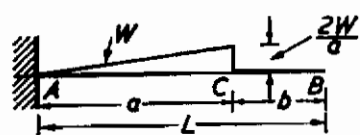
$$FEM_{AB} = -W\left(a + \frac{L}{2}\right)$$



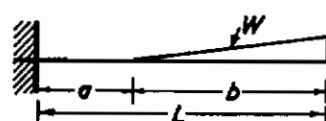
$$FEM_{AB} = -W\left(a + \frac{b}{2}\right)$$



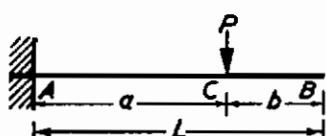
$$FEM_{AB} = -\frac{Wa}{3}$$



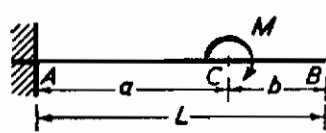
$$FEM_{AB} = -\frac{2Wa}{3}$$



$$FEM_{AB} = -W\left(a + \frac{2b}{3}\right)$$



$$FEM_{AB} = -Pa$$

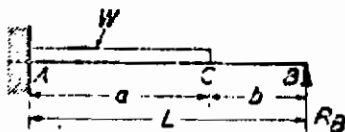


$$FEM_{AB} = -Mc$$

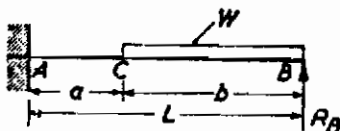
## تیر یک سر ساده و یک سر گیردار



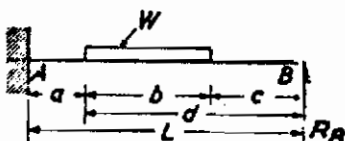
$$FEM_{AB} = -\frac{WL}{8}$$



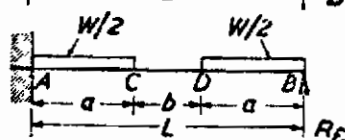
$$FEM_{AB} = -\frac{WQ}{A}(2-n)^2 \quad a/L = n$$



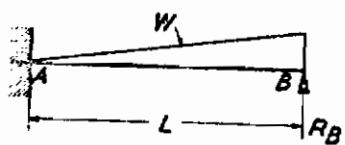
$$FEM_{AB} = -\frac{WB}{8}(2-n^2) \quad b/L = n$$



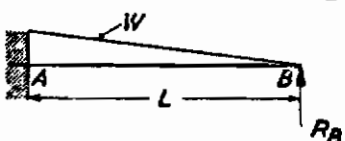
$$FEM_{AB} = -\frac{W}{8L^2b}(d^2-c^2)/(2L^2-c^2-d^2)$$



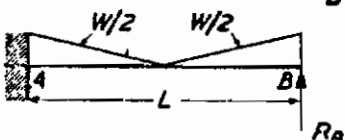
$$FEM_{AB} = -\frac{Wg}{8L}(3L-2a)$$



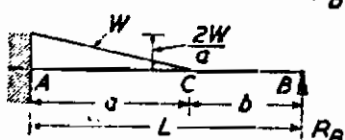
$$FEM_{AB} = -\frac{7WL}{60}$$



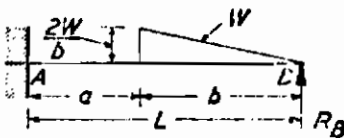
$$FEM_{AB} = -\frac{2WL}{15}$$



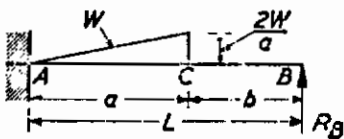
$$FEM_{AB} = -\frac{3WL}{32}$$



$$FEM_{AB} = -\frac{WQ}{60L^2}(3a^2-15aL+20L^2)$$

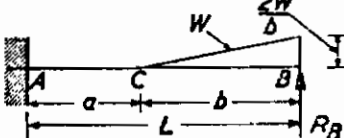


$$FEM_{AB} = -\frac{Wb}{12L^2}(5L^2 - 3b^2)$$

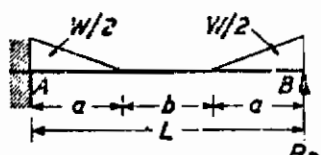


$$m = a/L$$

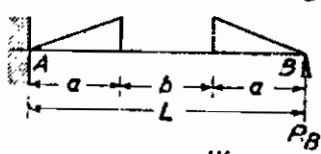
$$FEM_{AB} = -Wa \left( \frac{m^2}{5} - \frac{3m}{4} + \frac{2}{3} \right)$$



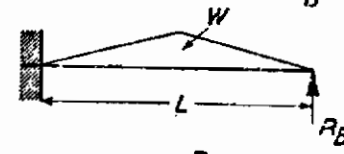
$$FEM_{AB} = -\frac{Wa}{60L}(10L^2 - 3b^2)$$



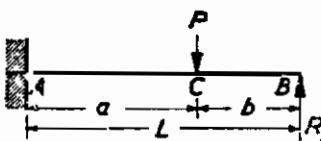
$$FEM_{AB} = -\frac{Wa}{8L}(2L - 3a)$$



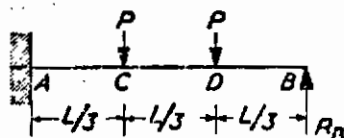
$$FEM_{AB} = -\frac{Wa}{8L}(4L - 3a)$$



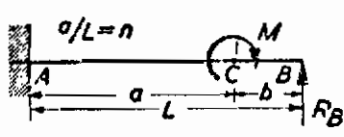
$$FEM_{AB} = -\frac{SWL}{32}$$



$$FEM_{AB} = -\frac{Pb(L^2 - b^2)}{2L^2}$$

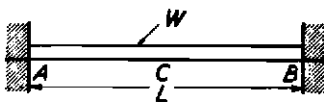


$$FEM_{AB} = -\frac{PL}{3}$$



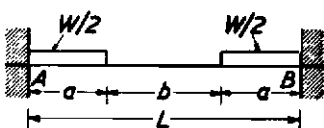
$$FEM_{AB} = \frac{M}{2}(2 - 6n + 3n^2)$$

## تیز دوسر گیردار



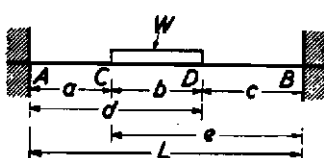
$$\text{FEM}_{AB} = -\frac{WL}{12}$$

$$-\text{FEM}_{BA}$$



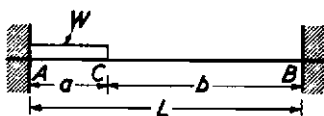
$$\text{FEM}_{AB} = -\frac{Wa}{12L}(3L-2a)$$

$$-\text{FEM}_{BA}$$



$$\text{FEM}_{AB} = \frac{-W}{12L^3} [e^3/(4L-3e) - c^3/(4L-3c)]$$

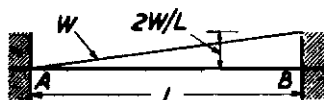
$$\text{FEM}_{BA} = \frac{+W}{12L^3} [d^3/(4L-3d) - a^3/(4L-3a)]$$



$$\text{FEM}_{AB} = -\frac{WL}{12} \cdot m (3m^2 - 8m + 6)$$

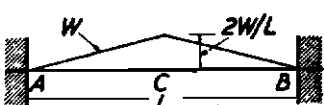
$$\text{FEM}_{BA} = \frac{WL}{12} \cdot m^2 (4 - 3m)$$

$$a/L = m$$



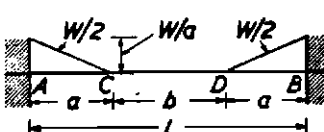
$$\text{FEM}_{BA} = +WL/10$$

$$\text{FEM}_{AB} = -WL/15$$



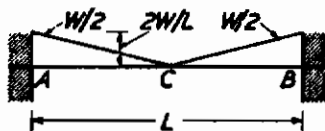
$$\text{FEM}_{AB} = -\frac{5WL}{48}$$

$$-\text{FEM}_{BA}$$

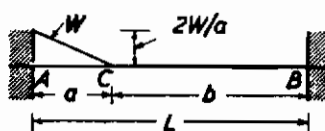


$$\text{FEM}_{AB} = -\frac{Wa}{12L}(2L-a)$$

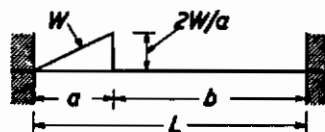
$$-\text{FEM}_{BA}$$



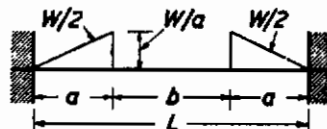
$$FEM_{AB} = -WL/k \\ -FEM_{BA} = -WL/k$$



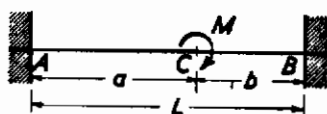
$$FEM_{AB} = -\frac{Wa}{30L^2}(3a^2 + 10bL) \\ FEM_{BA} = \frac{Wa}{30L^2}(5L - 3a)$$



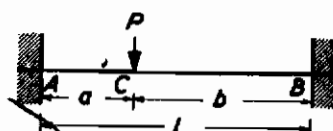
$$FEM_{AB} = -\frac{Wa}{15L}(10L^2 - 15aL + 5a^2) \\ FEM_{BA} = \frac{Wa}{10L}(5L - 4a)$$



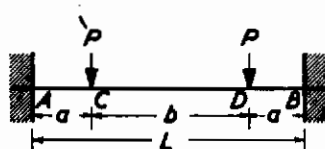
$$FEM_{AB} = -\frac{Wa}{12L}(4L - 3a) \\ -FEM_{BA} = -\frac{Wa}{12L}(4L - 3a)$$



$$FEM_{BA} = +M \cdot \frac{a}{L^2}(3b - L) \\ FEM_{AB} = -M \cdot \frac{b}{L^2}(3a - L)$$



$$FEM_{AB} = -\frac{Pab^2}{L^2} \\ FEM_{BA} = -\frac{Pba^2}{L^2}$$



$$FEM_{AB} = -\frac{Pa(L-a)}{L} \\ -FEM_{BA} = -\frac{Pa(L-a)}{L}$$

## واژه‌یاب

### فارسی – انگلیسی

(الف)

<i>naval architect</i>	رشینتکت صنایع دریاچی
<i>guyed mast</i>	آنتن مهارشده
<i>anchorage</i>	آنکراز
<i>hangers</i>	آویزها
<i>construction features</i>	اتصالات اجرایی
<i>stress element</i>	اثر تنش زا
<i>rolling effect</i>	اثر حاصل از غلت
<i>vibration</i>	ارتعاش
<i>elongation</i>	ازدیاد طول
<i>pier</i>	اسکله
<i>raqs</i>	اشمه
<i>principle of the conservation of energy</i>	اصل بقای انرژی
<i>principle of superposition</i>	اصل رویه‌گذاری (انطباق)
<i>bottom chords</i>	اصلی تھانی (میله‌های)
<i>top chords</i>	اصلی فوقانی (میله‌های)
<i>end posts</i>	اعضای انتهایی
<i>primary truss members</i>	اعضای اولیه خرپا
<i>web members</i>	اعضای جان
<i>sag</i>	افت (شکم)
<i>impact fraction</i>	افزایش ضربه

<i>expantion</i>	انبساط
<i>far end</i>	انتهای دور
<i>near end</i>	انتهای نزدیک
<i>American Railway Engineering Association</i>	انجمن مهندسین راه آهن آمریکا
<i>American Association of State Highway and Transportation officials</i>	انجمن مهندسین راه و حمل و نقل ایالات امریکا
<i>elastic strain energy</i>	انرژی ارجاعی کرنش
<i>contraction</i>	انقباض
<i>graphic static</i>	امستاتیکی ترسیمی

(ب)

<i>rim bearing type</i>	با تکیهگاه حلقوی
<i>center bearing type</i>	با تکیهگاه مرکزی
<i>elastic load</i>	بار ارجاعی
<i>wind load</i>	بار باد
<i>double - prime</i>	با دوپریم
<i>full snow load</i>	بار کامل برف
<i>full panel load</i>	بار کامل پانلی
<i>antisymetrical</i>	با ضد تقارن
<i>lateral loads</i>	بارهای جانبی
<i>hydrodynamic loads</i>	بارهای دینامیکی آب
<i>live loads</i>	بارهای زنده
<i>moving loads</i>	بارهای متحرک
<i>dead loads</i>	بارهای مرده
<i>movable loads</i>	بارهای منقول
<i>ice load</i>	بار بخ زدگی
<i>tower</i>	برج
<i>transmission tower</i>	برج انتقال نیرو
<i>radio .tower</i>	برج رادیو

<i>elastic shear</i>	بروش ارجاعی
<i>planning</i>	برنامه‌ریزی
<i>turnbuckles</i>	بست قورباغه
<i>link</i>	بند

( ب )

<i>Paleolithic</i>	پارینه سنگی
<i>stable</i>	پایدار
<i>leg</i>	پایه مستقیم
<i>portal</i>	پروتال
<i>rivet</i>	برچ
<i>leeward</i>	پشت بادگیر
<i>skew bridge</i>	پل اریب
<i>through bridge</i>	پل با عبورگاه تھاتانی
<i>deck bridge</i>	پل با عبورگاه فوقانی
<i>half-through bridge</i>	پل با عبورگاه میانی
<i>vertical lift bridge</i>	پل بالا رونده
<i>horizontal-swing bridge</i>	پل چرخان افقی
<i>through - parallel chord truss bridge</i>	پل خربیابی روی گذر
<i>three hinged bridge</i>	پل سه مفصل
<i>cantilever bridge</i>	پل طره‌ای
<i>bascule bridge</i>	پل قیچانی
<i>movable bridge</i>	پل متحرک
<i>suspension bridge</i>	پل معلق
<i>shell</i>	بوسته
<i>twisting</i>	پیچش
<i>unfinished bolts</i>	پیچه‌های ناقص(خام)

( ۲ )

<i>function</i>	تابع
<i>theorem</i>	تئوری
<i>stress analysis</i>	تحلیل تنش
<i>structural analysis</i>	تحلیل سازه‌ای
<i>structural analyst</i>	تحلیل‌گر سازه
<i>bottom chord</i>	تحت تحتانی
<i>top chord</i>	تحت فوقانی
<i>resolution</i>	تجزیه نیرو
<i>composition</i>	ترکیب نیرو
<i>top plate</i>	تسمه بال
<i>column analogy</i>	تشابه ستونی
<i>static equilibrium</i>	تعادل استاتیکی
<i>deformation</i>	تفاوت شکل
<i>virtual deformation</i>	تفاوت شکل مجازی
<i>stress reversal</i>	تفاوت علامت تنش
<i>displacement</i>	تفاوت مکان
<i>linear deflection</i>	تفاوت مکان خطی
<i>angular deformation</i>	تفاوت مکان زاویه‌ای
<i>relative deflection</i>	تفاوت مکان نسبی
<i>support</i>	تکیه‌گاه
<i>link support</i>	تکیه‌گاه بنددار
<i>roller support</i>	تکیه‌گاه غلتکی
<i>partial support</i>	تکیه‌گاه فرعی
<i>ball support</i>	تکیه‌گاه کروی
<i>fixed support</i>	تکیه‌گاه گیردار
<i>hinge support</i>	تکیه‌گاه منصل
<i>universal joint support</i>	تکیه‌گاه مفصلی سه‌بعدی
<i>shear force</i>	تلاش برنشی

<i>shear resisting force</i>	تلاش مقاوم برشی
<i>primary stress</i>	تنش اولیه
<i>shear stress</i>	تنش برشی
<i>yield stress</i>	تنش تسلیم
<i>live stress</i>	تنش زنده
<i>impact stress</i>	تنش ضربه‌ای
<i>normal stress</i>	تنش عمودی
<i>permissible stress</i>	تنش مجاز
<i>dead stress</i>	تنش مرده
<i>beam</i>	تیر
<i>girder</i>	تیر اصلی
<i>stringer</i>	تیر طولی کف
<i>conjugate beam</i>	تیر مزدوج
<i>girder(plate)</i>	تیر ورق
<i>continuous beam</i>	تیر پکره

(ج)

<i>sidesway</i>	جانبجایی جانبی
<i>weld</i>	جوش

(ج)

<i>bracing</i>	چپ و راست
<i>sway - bracing diagonals</i>	چپ و راست مقاوم در برابر تغییر شکل

(ج)

<i>elastic limit</i>	حد ارجاعی
<i>minimum</i>	حداقل
<i>maximum</i>	حداکثر

(خ)

<i>truss</i>	خرپا
<i>ideal truss</i>	خرپای ایده‌آل
<i>complex truss</i>	خرپای پیچیده
<i>multiple - system truss</i>	خرپای چندگونه
<i>simple truss</i>	خرپای ساده
<i>compound truss</i>	خرپای مركب
<i>planar truss</i>	خرپای مستوی
<i>fatigue</i>	خستگی
<i>plastic fatigue</i>	خستگی خمیری
<i>line of action</i>	خط اثر
<i>influence line</i>	خط تأثیر
<i>track</i>	خط قطار
<i>base line</i>	خط مينا
<i>pipeline</i>	خطوط لوله

(د)

<i>degree of freedom</i>	درجه آزادی
<i>degree of indeterminacy</i>	درجه نامعینی
<i>equivalent live-load system</i>	دستگاه بار معادل زند.
<i>original force system</i>	دستگاه نیروهای اصلی
<i>general coplanar force system</i>	دستگاه نیروی هم صفحه غیرمشخص
<i>classification</i>	دسته‌بندی
<i>National Bureau of standards</i>	دفتر ملی استانداردها
<i>Uniforme Building Code</i>	دفتر هماهنگی آئین نامه‌های ساختمانی
<i>derrick</i>	دکل
<i>rotation</i>	دوران
<i>retaining wall</i>	دیوار حاصل

( ر )

<i>direction</i>	راستا
<i>renaissance</i>	رنسانس
<i>elastic load method</i>	روش بار ارتیجاعی
<i>distribution method</i>	روش پخش لنگر
<i>displacement method</i>	روش تغییر مکان
<i>rotation method</i>	روش دوران
<i>factor method</i>	روش ضرب
<i>method of joints</i>	روش گرهها
<i>method of sections</i>	روش مقاطع
<i>force method</i>	روش نیرو
<i>relaxation procedures</i>	روشهای آزادسازی تنش
<i>string</i>	رسمان

( ز )

<i>friction angle</i>	زاویه اصطکاک
<i>catenary</i>	زنگیر
<i>couple</i>	زوج

( س )

<i>compatible</i>	سازگار
<i>primary structure</i>	سازه اولیه
<i>panel structure</i>	سازه پانلی
<i>continuum structure</i>	سازه پیوسته
<i>modified structure</i>	سازه تغییر یافته
<i>framed structure</i>	سازه قابی
<i>steel-cable structure</i>	سازه کابلی
<i>descrete structure</i>	سازه مجزا

<i>actual structure</i>	سازه موجود
<i>guyed structure</i>	سازه مهارشده با کابل
<i>engineering structure</i>	سازه مهندسی
<i>leg</i>	ساق
<i>net area</i>	سطح خالص
<i>dam</i>	سد
<i>moment area</i>	سطح لنگر
<i>gross area</i>	سطح ناخالص
<i>bar - chain</i>	سلسله میله‌ها

( ش )

<i>space framework</i>	شبکه فضایی
<i>complex space framework</i>	شبکه فضایی پیچیده
<i>simple space framework</i>	شبکه فضایی ساده
<i>compound space framework</i>	شبکه فضایی مرکب
<i>planar truss</i>	شبکه مستوی
<i>plane framework</i>	شبکه مستوی
<i>circular acceleration</i>	شتاب خروج از مرکز
<i>secondary stress intensity</i>	شدت تنش ثانویه
<i>radius of gyration</i>	شعاع زیراسیون
<i>sketch</i>	شكل
<i>structural form</i>	شكل سازه
<i>brittle fracture</i>	شکستگی ناشی از تردی
<i>sag</i>	شکم (افت)
<i>sketch</i>	شما
<i>slope-deflection</i>	شیب - تغییر مکان

( ه )

<i>gusset plate</i>	صفحه اتمال
---------------------	------------

<i>bearing plate</i>	صفحة تقسيم فشار
<i>rigid</i>	صلب

( ف )

<i>impact</i>	ضریب
<i>coefficient of thermal expansion</i>	ضریب انبساط حرارتی
<i>load factor</i>	ضریب بار
<i>distribution factor</i>	ضریب پخش
<i>influence coefficients</i>	ضرایب تأثیر
<i>deflection coefficient</i>	ضریب تغییر مکان
<i>sidesway factor</i>	ضریب تغییر مکان جانبی
<i>stiffness factor</i>	ضریب سختی
<i>reduced stiffness factor</i>	ضریب سختی تقلیل یافته
<i>true reduced stiffness factor</i>	ضریب سختی تقلیل یافته حقیقی
<i>true stiffness factor</i>	ضریب سختی حقیقی
<i>effective stiffness factor</i>	ضریب سختی مؤثر
<i>relative stiffness factor</i>	ضریب سختی نسبی
<i>column factor</i>	ضریب ستون
<i>girder factor</i>	ضریب شاهتیر
<i>slenderness ratio</i>	ضریب لاغری
<i>column moment factor</i>	ضریب لنگر ستون
<i>girder moment factor</i>	ضریب لنگر شاهتیر

( ط )

<i>elastic design</i>	طرح ارجاعی
<i>plastic design</i>	طرح خمیری

( ع )

<i>critical ordinate</i>	عرض بحرانی
--------------------------	------------

<i>redundant reaction</i>	عکس العمل اضافی
<i>Bow's notation</i>	علائم باو
<i>notation</i>	علائم قراردادی
<i>sign convention</i>	علائم قراردادی
<i>kinematics</i>	علم حرکات
<i>vertical</i>	عمودی (میله)

(غ)

<i>membrane</i>	غشاء
<i>flexible membrane</i>	غشاء خمشیزبر
<i>roller</i>	غلنک
<i>nonelastic</i>	فیر ارتجاعی

(ف)

<i>clear span</i>	فاصله بیرون بهبیرون قطعات
<i>polar distance</i>	فاصله قطبی
<i>intelligent assumptions</i>	فرضیات هوشیارانه
<i>pressure</i>	فشار
<i>hydrostatic pressure</i>	فشار آب ساکن
<i>soil pressure</i>	فشار خاک
<i>active pressure</i>	فشار عامل
<i>passive Pressure</i>	فشار غیرعامل

(ق)

<i>building frame</i>	قاب ساخته‌اندی
<i>mill bent</i>	قاب کارخانه
<i>Simpson's rule</i>	قاعده سیمsson
<i>binomial theorem</i>	قضییه بینوم
<i>theorem of least work</i>	قضییه کار حداقل

<i>pole</i>	قطب
<i>diagonal</i>	قطری (میله)
<i>build up members</i>	قطعات مرکب
<i>haunched member</i>	قطعه ماهیچه‌دار
<i>anchorage</i>	قلاب
<i>arch</i>	قوس
<i>analogy</i>	قياس
<i>redundant (restaint)</i>	قيد اضافی
<i>fitted stiffeners</i>	قيدهای تقویتی اجرا شده در محل
<i>milled stiffeners</i>	قيدهای تقویتی کارخانه‌ای
<i>restraints</i>	قيود اتصال

• (گ)

<i>virtual work</i>	کار مجازی
<i>handbook</i>	کتاب راهنمای
<i>equilibrium (funicular) polygon</i>	کثیرالاصلایع (فونیکولر) تعادل
<i>strain</i>	کرنش
<i>counters</i>	کشتهای قطری
<i>elastic buckling</i>	کمانش ارتیجاعی
<i>plastic buckling</i>	کمانش خمیری
<i>buckle</i>	کمانه کردن

(گ)

<i>joint</i>	گره
<i>Schwedler dome</i>	گنبد شودلر
<i>gothic</i>	گوتیک
<i>ball joint</i>	گوی بدون اصطکاک

(ل)

<i>purlin</i>	لاپه
---------------	------

<i>moment</i>	لنگر
<i>elastic moment</i>	لنگر ارجامی
<i>carry - over moment</i>	لنگر انتقالی
<i>distributed moment</i>	لنگر پخش شده
<i>moment - resisting</i>	لنگر پذیر
<i>bending moment</i>	لنگر خمشی
<i>fixed end moment</i>	لنگر گیرداری
<i>gross moment of inertia</i>	لنگر لختی ناخالص
<i>resisting moment</i>	لنگر مقاوم
<i>unbalanced moment</i>	لنگر نامتعادل
<i>fixed end moments</i>	لنگرهای انتهای گیردار

( م )

<i>symmetrical</i>	متقارن
<i>concurrent</i>	متقاطع
<i>shear center</i>	مرکز برش
<i>centroid</i>	مرکز ثقل
<i>shaft</i>	محسور
<i>centroidal axis</i>	محورهای مار بر مرکز ثقل
<i>tank</i>	مخزن
<i>lane</i>	مسیر عبور
<i>hinge</i>	مفصل
<i>construction hinge</i>	مفصل ساخته‌اندی
<i>universal joint</i>	مفصل سه بعدی
<i>magnitude</i>	مقدار
<i>shear equation</i>	معادله برش
<i>equation of construction condition</i>	معادله خاص (شرط)
<i>superposition equation</i>	معادله رویهم‌گذاری (انطباق)
<i>three moment equation</i>	معادله سه لنگر

<i>slope - deflection equation</i>	معادله شیب تغییر مکان
<i>statically determinate</i>	معین
<i>soil mechanics</i>	مکانیک خاک
<i>suction</i>	مکش
<i>American Society for Testing and Materials</i> آمریکا	موسسه آزمایش و مصالح
<i>American Iron and Steel Institute</i> آمریکا	موسسه آهن و فولاد آمریکا
<i>American Concrete Institute</i> آمریکا	موسسه بتن آمریکا
<i>American Institute of Steel Construction</i> آمریکا	موسسه ساختمانهای فولادی آمریکا
<i>rectangular components</i>	مولفه‌های قائم
<i>bracing system</i>	مهاریها
<i>electrical engineer</i>	مهندس برق
<i>sanitary engineer</i>	مهندس تأسیسات
<i>transportation engineer</i>	مهندس ترابری
<i>structural engineer</i>	مهندس سازه
<i>chemical engineer</i>	مهندس شیمی
<i>aeronautical engineer</i>	مهندس صنایع هوایی
<i>design engineer</i>	مهندس طراح
<i>hydraulic engineer</i>	مهندس هیدرولیک
<i>bar</i>	میله (خرپا)
<i>loaded chord</i>	میله اصلی حمال
<i>pin</i>	میله محوری

(ن)

<i>unstable</i>	ناپایدار
<i>geometrically unstable</i>	ناپایدار هندسی
<i>unsymmetrical</i>	نا متقارن
<i>statically indeterminate</i>	نا معین
<i>sag ratio</i>	نسبت افت (شکم)
<i>settlement</i>	نشست

<i>erection</i>	نصب
<i>theorem</i>	نظریه
<i>critical points</i>	نقاط بحرانی
<i>yield point</i>	نقطه تسلیم
<i>neutral point</i>	نقطه خنثی
<i>point of inflection</i>	نقطه عطف
<i>free body sketch</i>	نمایش پیکر آزاد
<i>load curve</i>	نمودار بار
<i>shear curve</i>	نمودار برش
<i>Mohr correction diagram</i>	نمودار تصحیحی مور
<i>line diagram</i>	نمودار خطی
<i>moment diagram</i>	نمودار لنگر
<i>bending moment curve</i>	نمودار لنگر خمشی
<i>Maxwell diagram</i>	نمودار ماکسول
<i>redundant forces</i>	نیروهای اضافی
<i>inertia forces</i>	نیروهای جرمی
<i>thermal forces</i>	نیروهای حرارتی
<i>outer forces</i>	نیروهای خارجی
<i>inner forces</i>	نیروهای داخلی
<i>frictional force</i>	نیروی اصطکاکی
<i>index force</i>	نیروی راهنمای
<i>earthquake force</i>	نیروی زلزله
<i>longitudinal force</i>	نیروی طولی
<i>active force</i>	نیروی عامل
<i>axial thrust</i>	نیروی فشار محوی
<i>centrifugal force</i>	نیروی گردیز از مرکز
<i>motive force</i>	نیروی محرك
<i>axial force</i>	نیروی محوری
<i>axial resisting force</i>	نیروی مقاوم محوری
<i>bar force</i>	نیروی میله

( و )

<i>web plate</i>	ورق جان
<i>dead weight</i>	وزن مرده
<i>counter weight</i>	وزنه تعادل
<i>viaduct</i>	ویا دوک
<i>Vierendeel</i>	ویرندل

( ه )

<i>collinear</i>	هم راستا
<i>coplanar</i>	هم صفحه